



国际信息工程先进技术译丛



# 生物医学工程学概论

(原书第3版)

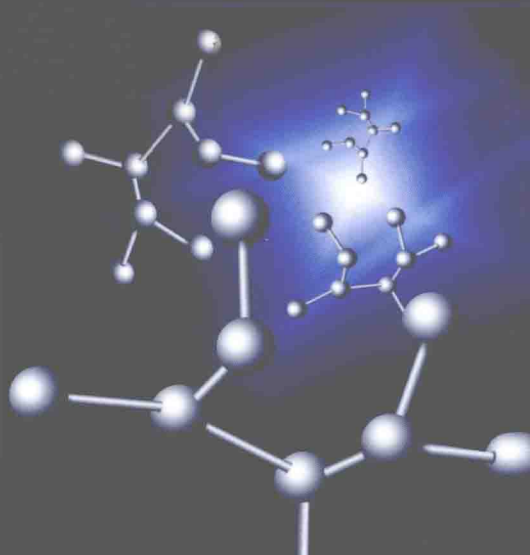
**Introduction to Biomedical Engineering**  
**(Third Edition)**

(美) John D.Enderle 著  
Joseph D.Bronzino

封洲燕 译



机械工业出版社  
CHINA MACHINE PRESS





国际信息工程先进技术译丛

# 生物医学工程学概论

(原书第3版)

(美) John D. Enderle 著  
Joseph D. Bronzino  
封洲燕 译



机械工业出版社

本书是一部全面介绍生物医学工程学的教科书, 主要内容包括: 生物医学工程学发展的历史背景以及职业状况, 生物医学工程技术所涉及的伦理道德问题, 解剖学和生理学基础知识, 以及生物力学、生物材料、组织工程、仿真建模、生物仪器、传感器、信号处理、生物电、生物传输、医学成像、光学与激光在生物医学中的应用等。此外, 书中的附录还介绍了计算机软件 MATLAB 和 Simulink 的使用方法。书中各章都包含了例题、习题和参考文献目录, 有利于读者深入理解和掌握基本知识, 提高应用理论知识解决实际问题的能力。

本书不仅是生物医学工程专业难得的一部好教材, 而且对于生物学、医学和其他工程专业的学生也是一本很有价值的参考书。此外, 它对于致力于生物医学工程技术工作和管理工作的从业人员也是一本值得常备的工具书。

Introduction to Biomedical Engineering, 3<sup>rd</sup> ed/By John D. Enderle, Joseph D. Bronzino

ISBN: 9780123749796

Copyright © 2012 by Elsevier. All rights reserved.

Authorized Simplified Chinese translation edition published by the Proprietor.

Copyright © 2014 by Elsevier (Singapore) Pte Ltd and China Machine Press.

All rights reserved.

Published in China by China Machine Press under special arrangement with Elsevier (Singapore) Pte Ltd.. This edition is authorized for sale in China only, excluding Hong Kong SAR and Taiwan. Unauthorized export of this edition is a violation of the Copyright Act. Violation of this Law is subject to Civil and Criminal Penalties.

本书简体中文版由 Elsevier (Singapore) Pte Ltd. 授予机械工业出版社在中国大陆地区 (不包括香港、澳门特别行政区以及台湾地区) 出版与发行。未经许可之出口, 视为违反著作权法, 将受法律之制裁。

本书封底贴有 Elsevier 防伪标签, 无标签者不得销售。

北京市版权局著作权合同登记 图字 01-2012-3118 号

## 图书在版编目 (CIP) 数据

生物医学工程学概论: 原书第 3 版/(美) 安德勒 (Enderle, J. D.), (美) 布龙齐诺 (Bronzino, J. D.) 著; 封洲燕译. —北京: 机械工业出版社, 2014. 4

(国际信息工程先进技术译丛)

书名原文: Introduction to biomedical engineering, 3rd ed

ISBN 978-7-111-45878-4

I. ①生… II. ①安…②布…③封… III. ①生物工程-医学工程-概论  
IV. ①R318

中国版本图书馆 CIP 数据核字 (2014) 第 030266 号

机械工业出版社 (北京市百万庄大街 22 号 邮政编码 100037)

策划编辑: 朱 林 责任编辑: 朱 林 版式设计: 霍永明

责任校对: 陈延翔 封面设计: 马精明 责任印制: 李 洋

三河市宏达印刷有限公司印刷

2014 年 6 月第 1 版第 1 次印刷

169mm × 239mm · 60 印张 · 1330 千字

0001—2000 册

标准书号: ISBN 978-7-111-45878-4

定价: 168.00 元

凡购本书, 如有缺页、倒页、脱页, 由本社发行部调换

电话服务

网络服务

社服 务 中 心: (010) 88361066

教 材 网: <http://www.cmpedu.com>

销 售 一 部: (010) 68326294

机工官网: <http://www.cmpbook.com>

销 售 二 部: (010) 88379649

机工官博: <http://weibo.com/cmp1952>

读者购书热线: (010) 88379203

封面无防伪标均为盗版

# 译者序

生物医学工程学是工程技术与生物学和医学高度结合所产生的一门新兴交叉学科,旨在运用工程技术的手段解决生命科学研究以及医学诊断和治疗中存在的问题,提高人类防治疾病的能力,保障人类健康。国际上,美国在第二次世界大战之后的20世纪50年代最早建立了生物医学工程学科;在我国,浙江大学于1977年最早创建了生物医学工程专业。近年来,随着我国科学技术水平的不断提高和经济建设的飞速发展,人们对于自身健康水平和生活质量的要求越来越高,生物医学工程行业也迅速发展起来。为了适应该领域的人才需求,国内越来越多的高校相继开设了生物医学工程专业。但是,生物医学工程学包罗万象,几乎涉及所有工程学科以及生物学和医学,因而目前能够全面而系统地讲述该专业的理论知识和技术应用的导论性教材比较缺乏。

本书英文版由20多位学者撰写,是目前涵盖生物医学工程主要领域的最全面的一部教材,在国际上受到广泛的认可。书的信息量相当大,理论与应用紧密结合。开篇首先介绍本学科的发展历史、伦理道德问题以及基础生物医学知识;然后讲述本学科的核心理论和应用技术,包括:生物力学、生物材料、组织工程、仿真建模、生物仪器、传感器、信号处理、生物电、生物传输、医学成像和激光生物医学等。全书将严谨的理论知识与深入浅出的例题和习题相结合,向读者展现了生物医学工程丰富多彩、引人入胜的专业景象。正如原作者在前言中所述,即便如此,本书仍然没能囊括生物医学工程现有的所有领域,并且,科学技术的进步还将不断地给该学科增添新的内容。

希望本书的翻译能够给生物医学工程专业的学生和从业人员提供一部有价值的专业著作。新的第3版删除了第2版的康复工程与辅助技术、基因组学和生物信息学、计算生物学等几章内容。对这些内容感兴趣的读者可以查阅2010年出版的第2版中译本。

翻译过程中,译者对原书某些明显的笔误或印刷错误已做了更正,为保持译著的简洁流畅,没有加以标注。同时为尽量保持原书特色,书中部分图形和文字符号并未按照国家标准修改,请读者注意。

余颖、胡振华、陈白璐、曹嘉悦、吴蕴蕴、肖乾江等同学参与了本书第3版的部分翻译工作,在此深表谢意。译者还要特别感谢参与了本书第2版翻译工作的同学们,他们是郑晓静、吴丹、汪洋、杨彭举、田聪、毛盾、徐白露、李林森、蓝义昀、李迎等。

本书内容所涉及的研究领域极其广泛,限于译者的水平,翻译过程中难免存在错误和不妥之处,恳请广大读者批评指正。译者电子信箱:fengzhouyan@139.com。

封洲燕

浙江大学 生物医学工程与仪器科学学院

2013年10月

# 前 言

本书第3版的目标与第1、2版相同，就是全面地概述生物医学工程学科。新版有许多章改动很大，各章末尾的习题也有更新。其中有几章被全部删除，另外新增了几章反映该学科最新发展的内容。

在过去的50多年发展历程中，生物医学工程学已经清楚地展现出多种多样、包罗万象的特性。它包括生物电、生物信息学、生物材料学、生物力学、生物仪器、生物传感器、生物信号处理、生物技术、计算生物学和复杂性、基因组学、医学成像、光学与激光、放射成像、组织工程、道德与伦理问题等领域。显然，本书不可能囊括生物医学工程学科的所有研究领域，但是，我们尽可能包含了其大部分主要领域。

本书主要面向已经学过微积分和基础力学的工程专业学生，大学二年级和三年级的学生都应该已经具备学习本书内容的基础知识，生物学、医学和护士专业的学生如果掌握了所需的数学基础知识，也可以读懂本书。

虽然在本书的论述和证明过程中我们都力求严谨，但我们的最终目标是帮助学生掌握生物医学工程学的本质；因此，为了便于理解，必要时我们偶尔会在数学的严谨上做出让步。为了解释基本概念、培养学生解决问题的能力，书中列举了大量例题，并使用计算机软件MATLAB和Simulink作为工具，帮助解题。Simulink是MATLAB的一个工具箱，可用于仿真动态系统。本书的附录介绍了MATLAB和Simulink的基本使用方法，该软件工具是Mathworks公司的产品，该公司联系方式如下：

The Mathworks, Inc.

24 Prime Park Way

Natick, Massachusetts 01760

Phone: (508) 647-7000

Email: info@mathworks.com

WWW: <http://www.mathworks.com>

本书各章的内容分别包含了生物医学工程某个特定领域的主要发展历史，以及该领域生物医学工程设计、分析和建模过程的基本原理，并且，举例介绍该领域所遇到的问题及其解决方法。此外，按照正文内容的顺序在各章末尾列出了一些习题，难易皆有。

根据教师的需要和兴趣，本书可以安排为半学年、一学年或者四分之三学年的课程。书中第1章介绍生物医学工程学发展的历史背景和职业状况；第2章介绍有

# 目 录

译者序

前言

原书第 3 版作者名单

原书第 2 版作者名单

原书第 1 版作者名单

<b>第 1 章 生物医学工程学的发展历史</b>	1
1.1 现代医疗保健体系的建立	2
1.2 现代医疗保健体系的特点	7
1.3 什么是生物医学工程学	13
1.4 生物医学工程师的职能	17
1.5 生物医学工程的新进展	18
1.6 生物医学工程的专业状况	22
1.7 生物医学工程专业学会	24
1.8 习题	25
<b>第 2 章 道德问题与伦理问题</b>	27
2.1 道德和伦理的定义	28
2.2 两条基本道德原则——行善与不伤害	34
2.3 死亡的新定义	35
2.4 晚期病人与安乐死	38
2.5 医疗决策权	41
2.6 人体试验	42
2.7 人体试验的定义和目的	43
2.8 知情同意	45
2.9 医疗器械产品开发的管理	49
2.10 医疗器械的上市	51
2.11 可行性研究中的伦理道德问题	52
2.12 紧急使用的伦理道德问题	53
2.13 治疗使用的伦理道德问题	56
2.14 FDA 认证过程中生物医学工程师的职责	56
2.15 习题	57
<b>第 3 章 解剖学与生理学</b>	59
3.1 绪论	59
3.2 细胞的结构	61

3.3 组织 .....	72
3.4 人体主要器官系统 .....	73
3.5 内环境的自身平衡 .....	99
3.6 习题 .....	101
<b>第4章 生物力学</b> .....	<b>104</b>
4.1 绪论 .....	104
4.2 基础力学 .....	108
4.3 材料力学 .....	124
4.4 黏弹性 .....	131
4.5 软骨、韧带、肌腱与肌肉 .....	135
4.6 临床步态分析 .....	138
4.7 心血管动力学 .....	152
4.8 习题 .....	171
<b>第5章 生物材料学</b> .....	<b>175</b>
5.1 医用材料——从修复到再生 .....	175
5.2 生物材料的种类、特性和应用 .....	177
5.3 生物材料设计和选择中的仿生学 .....	187
5.4 生物材料与组织之间的相互作用 .....	190
5.5 诱导组织修复和再生的生物材料处理技术 .....	198
5.6 生物材料的安全性测试与管理 .....	205
5.7 生物材料应用举例 .....	209
5.8 习题 .....	215
<b>第6章 组织工程学</b> .....	<b>217</b>
6.1 组织工程的定义 .....	217
6.2 生物学问题 .....	229
6.3 物理学问题 .....	252
6.4 体外培养的工程学问题 .....	266
6.5 组织工程化产品的临床应用问题 .....	269
6.6 未来的发展方向——功能性组织工程 .....	271
6.7 总结 .....	273
6.8 习题 .....	273
<b>第7章 房室模型</b> .....	<b>281</b>
7.1 绪论 .....	281
7.2 溶质、房室和体积 .....	282
7.3 两个房室之间的跨膜物质传输 .....	284
7.4 建立房室模型的基本方法 .....	297
7.5 单室模型 .....	299
7.6 双室模型 .....	307
7.7 三室模型 .....	316

7.8 多室模型 .....	330
7.9 习题 .....	341
<b>第 8 章 生化反应和酶动力学</b> .....	<b>355</b>
8.1 化学反应 .....	356
8.2 酶动力学 .....	365
8.3 利用准稳态近似值的其他模型 .....	372
8.4 扩散、生化反应和酶动力学 .....	377
8.5 细胞呼吸：葡萄糖代谢和 ATP 的生成 .....	387
8.6 酶的抑制、变构调节和协同反应 .....	398
8.7 习题 .....	406
<b>第 9 章 生物医学仪器</b> .....	<b>410</b>
9.1 绪论 .....	410
9.2 基本生物医学仪器系统 .....	412
9.3 电荷、电流、电压、电功率和电能量 .....	414
9.4 电阻 .....	418
9.5 线性电路网络分析法 .....	425
9.6 线性特性与叠加原理 .....	430
9.7 戴维南定理 .....	432
9.8 电感 .....	434
9.9 电容 .....	436
9.10 电阻、电容和电感组成电路的通用求解方法 .....	438
9.11 运算放大器 .....	444
9.12 时变信号 .....	452
9.13 有源模拟滤波器 .....	456
9.14 生物医学仪器的设计 .....	464
9.15 习题 .....	466
<b>第 10 章 生物医学传感器</b> .....	<b>479</b>
10.1 绪论 .....	479
10.2 生物电的测量 .....	484
10.3 物理量的测量 .....	487
10.4 血气传感器 .....	500
10.5 生物分析传感器 .....	505
10.6 光学传感器 .....	507
10.7 习题 .....	515
<b>第 11 章 生物信号处理</b> .....	<b>519</b>
11.1 绪论 .....	519
11.2 生物信号的生理基础 .....	520
11.3 生物信号的特性 .....	522
11.4 信号采集 .....	524

11.5	生物信号的频域表示 .....	528
11.6	线性系统 .....	544
11.7	信号平均 .....	561
11.8	小波变换和短时傅里叶变换 .....	566
11.9	人工智能技术 .....	572
11.10	习题 .....	578
<b>第12章</b>	<b>生物电现象 .....</b>	<b>582</b>
12.1	绪论 .....	582
12.2	生物电的发现历史 .....	583
12.3	神经元 .....	590
12.4	生物物理学基本定律和方程 .....	594
12.5	细胞膜的等效电路模型 .....	603
12.6	动作电位的 Hodgkin-Huxley 模型 .....	611
12.7	神经元整体模型 .....	623
12.8	化学突触 .....	626
12.9	习题 .....	632
<b>第13章</b>	<b>生理系统仿真建模 .....</b>	<b>639</b>
13.1	绪论 .....	639
13.2	快速眼动系统概述 .....	642
13.3	Westheimer 扫视眼动模型 .....	647
13.4	扫视控制器 .....	651
13.5	动眼肌模型的建立 .....	655
13.6	1984 年建立的交感神经支配的线性扫视眼动模型 .....	664
13.7	1995 年建立的线性扫视眼动模型 .....	674
13.8	2009 年建立的线性扫视眼动模型 .....	684
13.9	扫视的神经通路 .....	702
13.10	系统辨识 .....	706
13.11	习题 .....	719
<b>第14章</b>	<b>生物医学传输过程 .....</b>	<b>727</b>
14.1	生物医学物质传输 .....	727
14.2	生物流体力学和动量传输 .....	743
14.3	生物医学的热传输 .....	756
14.4	习题 .....	769
<b>第15章</b>	<b>放射成像 .....</b>	<b>771</b>
15.1	绪论 .....	771
15.2	放射性核素成像技术 .....	772
15.3	检测仪器和成像设备 .....	785
15.4	X 射线成像系统 .....	789
15.5	习题 .....	803



---

<b>第 16 章 医学成像</b> .....	805
16.1 绪论 .....	806
16.2 超声诊断成像 .....	807
16.3 磁共振成像 .....	831
16.4 脑磁图 .....	854
16.5 造影剂 .....	855
16.6 几种成像技术的比较 .....	856
16.7 图像融合 .....	858
16.8 总结 .....	859
16.9 习题 .....	859
<b>第 17 章 光学和激光在生物医学中的应用</b> .....	863
17.1 基本光学理论概述 .....	864
17.2 生物组织中光传播的基本理论 .....	869
17.3 光的物理作用及其检测 .....	878
17.4 生化物质的光学检测技术 .....	886
17.5 光热疗的基本原理 .....	893
17.6 光纤和波导在医学中的应用 .....	901
17.7 生物医学中的光学成像 .....	906
17.8 习题 .....	911
<b>附录</b> .....	914

# 第1章 生物医学工程学的发展历史

Joseph D. Bronzino 博士，策划工程师

## 本章目录

- 1.1 现代医疗保健体系的建立
- 1.2 现代医疗保健体系的特点
- 1.3 什么是生物医学工程学
- 1.4 生物医学工程师的职能
- 1.5 生物医学工程的新进展
- 1.6 生物医学工程的专业状况
- 1.7 生物医学工程专业学会
- 1.8 习题

推荐阅读资料

## 本章的主要学习内容：

- 先进医疗技术在现代化医疗保健体系创建过程中所发挥的主要作用；
- 生物医学工程的定义和生物医学工程师在医疗保健体系中的作用；
- 生物医学工程师属于专业人员的缘由。

工业化国家的技术发展日新月异，这些技术创新几乎已经渗透到我们生活的各个方面，尤其是医学和医疗卫生领域。虽然医学发展的历史悠久，但是，真正能够广泛、有效地提供诊断和治疗服务的高科技医疗保健体系却还属于新兴事物。在该体系的建立过程中，拥有先进技术的医疗保健中心——现代化医院的出现具有特别重要的意义。

由于工程技术对于先进医疗保健体系极其重要，因此，许多工程专业人员投身于各种医疗创新工作中，使得医学和工程学这两个充满活力的学科结合在一起，从而形成了生物医学工程学。该学科的从业人员开发各种新技术，比如生物传感器、生物材料、图像处理 and 人工智能等，用于医疗保健领域的研究、诊断和治疗，帮助人类攻克各种疾病。

生物医学工程专业人员属于医疗保健队伍中的新成员，他们的职责是开发新技术，解决现代医疗保健领域所面临的各种疑难问题。本章将全面概述工程技术在现代医疗保健体系形成过程中所起的作用，重点介绍生物医学工程人员的基本职能，并且展示这个生机勃勃的新兴领域的职业状况。

## 1.1 现代医疗保健体系的建立

远古时期，人们凭借本能和经验，创建了原始的医药科学。例如，通过收集和记录可靠的医疗案例，人们开始发展草药治病法、正骨疗法、外科手术和助产术等。就像原始人类经过长期观察总结出某些蔬菜和谷物可以食用并种植一样，他们也掌握了某些疾病的特性，并把这些经验传给后代。

有证据表明，人类很早之前就积极地利用各种工具施行外科手术来治疗疾病。例如，在欧洲、亚洲和南美洲的许多地方，人们曾经发现过被类似环钻的工具开过孔的颅骨。显然这些骨头上的孔都是用硬器开出来的，构成了进出大脑的通道。那么，当时为什么要做这种手术呢？现在我们只能猜测，最有可能的是有人偏头痛剧烈发作，或者癫痫病人突然发作并瘫倒在地，当时的人们认为这种开颅手术可以解救病人。而且，手术是在活人身上进行的，因为这些头骨上的孔的边缘是圆滑的，说明手术后骨头又生长过。这点证明了这些人术后确实活了下来。从这些早期医术开始，医学职业就成了整个人类社会文化不可分割的一部分。

下面介绍几位最成功的早期行医者，他们的故事都很有趣。其中，Imhotep 是公元前 3000 年设计第一座金字塔的建筑师。长期以来，埃及人对他一直极为敬重。不过，这并不是因为金字塔，而是因为他的医生身份。在给病人看病时，他可以使病人安详地入睡，Imhotep 这个名字就是由此而来，它的意思是“带来安宁的人”。Imhotep 的医术非常精湛，以致他在埃及文化中被神化为“康复之神”。

又如，至今仍在广泛使用的医药处方的标志符“Rx”，就来源于古埃及的传说“太阳神 Horus 的眼睛”（Eye of Horus）。Horus 小时候曾遭受恶魔 Seth 的袭击而失明，后来，他母亲 Isis 向最权威的健康之神 Thoth 求助，Thoth 随即恢复了 Horus 的视力。于是，“Horus 的眼睛”在埃及成为神灵保佑和康复的象征，由此传说产生的“Rx”标志就是维系古代医学与现代医学的最明显纽带。

Imhotep 的思想和实践经验被记录在莎草纸上，并埋藏在古墓中。1873 年，George Elbers 得到了一卷大约写于公元前 1500 年的书稿，其中记录了从治疗鳄鱼咬伤到便秘等各种疾病的几百种方法。在此之前，1862 年，Edwin Smith 曾经找到另一卷大约写于公元前 1700 年的莎草纸书稿，它是最重要最完整的一本古代外科手术著作。这两本莎草纸著作描述了一系列手术病例的诊断、预后和治疗方法。毫无疑问，它们是医学史上的杰出著作。

受到古埃及文化和 Imhotep 的影响，希腊人树立了自己的康复之神 Aesculapius。根据传说，太阳神 Apollo 在一次下访人间时留下了名为 Aesculapius 的一个儿子。Apollo 是一位非常关心子女的父亲，正如现今很多父母一样，他希望自己的儿子成为医生。就请人首马身的 Chiron 当老师，教 Aesculapius 学习治病的方法。不久，学生不仅精通了老师的医术，还迅速超过了老师，使人类的寿命大大延长，以致阴间的人口数量都开始下降了。于是，阴间之神 Pluto 强烈抗议，迫使天神 Zeus 不得不用雷电劈死了 Aesculapi-

us, 并将他升至天堂成为神。

神话故事一般都与史实具有一定的联系, Aesculapius 究竟是不是像埃及的 Imhotep 一样, 是一位人间行医者呢? 这无从考证。不过, 有一件事是可以确定的, 那就是到了公元前 1000 年, 医生已经成为十分受人尊敬的职业。

在希腊, 名为 Aesculapius 的教堂曾经是病人康复治疗的地方, 可以说是最早的医院 (见图 1.1)。

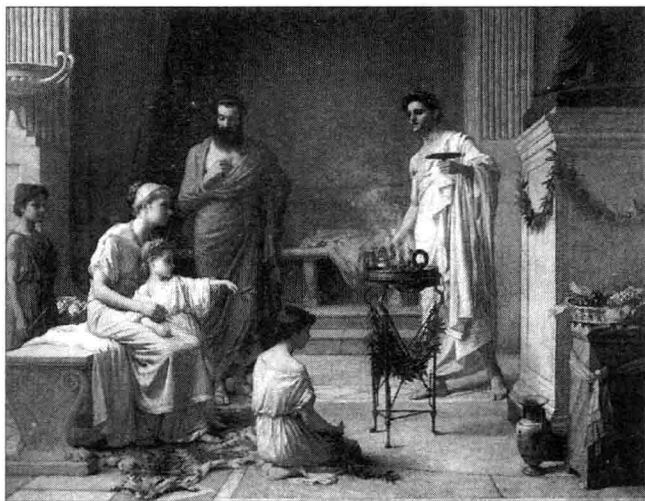


图 1.1 被送进 Aesculapius 教堂的患病儿童

(摘自 <http://www.nouveaunet.com/images/art/84.jpg>)

这类“康复”教堂中最著名之一位于 Cos 岛, 古希腊医学的代表人物希波克拉底 (Hippocrates) 就出生在这座岛上。希波克拉底从小随父亲学医, 他并不是一位很善于创新的医师, 但是, 他很善于收集和学习前人的各种治疗方法和技术。他把医师看成科学家, 而不是牧师。因此, 希波克拉底最早给医学注入了一种新的要素, 这就是科学精神。从他开始, 行医时的迷信仪式逐渐转变成检查、诊断和临床治疗。他认为疾病是一种自然发生的过程, 而不是神赐予的。疾病的发展有一定的规律, 病症是身体对抗疾病的反应。他还强调身体本身拥有自我康复的能力, 医师的任务只是帮助病人增强这种自然抗病的力量。希波克拉底把每个病人都当做新的案例来研究, 并将它们记录下来。他对各种疾病的精确描述至今仍是医生们学习的楷模。希波克拉底曾任 Cos 学院的院长, 该学院培养了许多学生。这些人后来移民到了地中海各个地区, 在那里行医并广泛传播他们校长的哲学思想。希波克拉底及其学院的工作, 以及他所创立的传统, 造成了医学与巫术之间的第一次真正决裂, 并为科学医学打下了基础。不过, 作为一名医师, 希波克拉底代表的是医学精神, 并不是医学科学, 他塑造了一名好医师的形象, 即病人的朋友、仁慈的专家。

在古罗马帝国的鼎盛时期, 其威力遍及大半个地球。它吸收并继承了各种伟大文

化，其中包括医学上的进步。虽然罗马人自己对临床医学的发展并没有什么贡献，但他们在公共卫生方面确实取得了杰出的成就。例如，他们建立了组织严密的军队医疗服务队。这些服务队不仅在各个战场上给古罗马军团提供急救服务，而且还在遍布罗马帝国的各个战略要塞为病人的康复治疗建立了基地医院。城市下水道系统和输水管道的建设是罗马人另一卓越的成就，为罗马帝国创造了卫生的生活环境，体现了其在医学和社会环境上的进步。饮用纯净的水和干净的食物可以控制流行病的传播，使得城市的存在成为可能。不幸的是，由于对疾病缺乏足够的科学认识，使用公共卫生设施的罗马人即便想尽办法，也不能避免周期性发生的疾病灾难，特别是瘟疫，它们随时会无情地降临到市民头上。

起初，罗马统治者并不喜欢希腊的医师和医术。然而，几年之后，希波克拉底的弟子们给人留下了良好的行医印象，并广泛流传开来。在公元前46年，古罗马凯撒大帝为了奖赏这些行医者为罗马帝国的人民所做出的贡献，给所有在他领地上的希腊医师们授予了罗马公民的身份。这个新身份使得这些人的生活有了保障，在当年罗马遭遇饥荒时，这些希腊医师是唯一没有被驱逐出境的外国人。相反，罗马人甚至还给他们奖赏让他们留下来！

颇具讽刺意味的是，被认为是罗马历史上最伟大的医师——盖仑（Galen）竟然是希腊人。因为治愈了罗马帝王的热病，盖仑成为罗马医学界的名人。他傲慢，喜欢吹嘘。与希波克拉底不一样，他只宣扬成功的病例。不过，他的确是一位杰出的医师。盖仑的医疗诊断是一门艺术。除了负责自己的病人以外，他还答复来自远方其他地方的医疗咨询。他非常勤奋，撰写了300多部有关解剖和体检的书籍，其中包括精选的病历史案例、他开过的药方，当然也少不了一些自我炫耀的内容。他当时写的人体解剖学其实是蒙人的。由于他反对人体解剖，因此，只是根据动物的研究结果来画人体的解剖器官。但是，由于盖仑当时主宰了医学界，后来又得到罗马天主教的支持，因此，他实际上阻碍了医学的求真探索。他的医学观点和著作在随后的宗教统治的“黑暗时期”被罗马教皇和权威人士看做“圣经”和“定律”。

罗马帝国衰败之时，教堂已经成为知识宝库，汇聚了那些经过几个世纪的漂泊，流传到地中海地区的所有学术成就，包括医学知识。它们在教徒中流传，散布于各种不同等级的教堂。

早期天主教的教义和人们对神的恩慈的信仰，使得在上千年的时间里医学研究一直停滞不前。在16世纪文艺复兴时期之前，医学一直没有出现显著的进展。希波克拉底曾经指出，疾病不是上帝给予人类的惩罚，而是一种自然现象。但是，在教会和新上帝的指引下，疾病超自然起源的陈旧观点又复苏并传播开来。

在这个时期，虽然医学知识缺乏，然而，穷人却能获得慈善救助。基督徒医师们对穷人和富人一视同仁，教会承担着救死扶伤的责任。而且，现在的医院实际上就是从基督教当时创建的医院演变而来的，因此，创建医院被公认为教徒医学的主要贡献之一。公元335年，在第一个信奉基督教的罗马帝王君士坦丁一世（Constantine I）的统治下，所有异教徒的康复教堂都被关闭，并且，每个主教堂城市都建立了医院。（注：英

文的医院“hospital”一词源于拉丁文 hospes，意思是“宿主”或“客人”。英文的“hotel”和“hostel”两词也源于该词根。）这些早期的医院都是一些简朴的房子，可以给疲惫的旅客和病人提供食宿和护理。医院由教会运作，修道士和修女们负责病人的康复治疗。

在十字军时期，基督教信仰、人道主义和慈善思想在欧洲和中东地区广泛传播，医院系统也同时传播开来。但是，那些受过培训的医生主要还是到病人家中给人看病。医院接纳的只是那些过于劳累的游客、穷人和没有治愈希望的病人。并且，这些早期的医院条件有好有坏，差别很大。有的医院资金充足，管理妥善，对待病人友好。但是，大多数医院其实只是看守所，其作用主要是把棘手的或者患传染病的病人与公众隔离开来。这些地方往往拥挤、肮脏，病人和医护人员的死亡率都很高。因此，人们通常因害怕而回避这些医院。

15~16世纪的文艺复兴和宗教改革解除了教会对医院和医疗活动的控制。文艺复兴时期，人们追求医学知识之类的自然界真正奥秘的渴望被再次激发。人体解剖学得到了进一步发展，并且，米开朗基罗（Michelangelo）、拉斐尔（Raphael）、杜勒（Durer）等著名画家，当然还有天才画家达·芬奇（Leonardo da Vinci），都为深入研究人体解剖学做出了贡献。他们把盖仑用文字描述的人体结构画成实物图像。非常详细地描绘出病人以及他们的痛苦，并且惊人地深入勾画出心脏、肺、大脑和肌肉的结构。他们还试图在人物画像上展现出情绪和身体素质。在这个激昂奋发的时代，医师们也开始用同样的方式对待病人，并深入探索医学知识。新的医学院不断涌现，最著名的有萨勒诺（Salerno）、博洛尼亚（Bologna）、蒙彼利埃（Montpelier）、帕多瓦（Padua）和牛津（Oxford）等地的医学院。这些医学院重新采纳了希波克拉底的学说，认为病人也是人，疾病是一种自然过程，基于知识的治疗可以帮助人体战胜疾病。

文艺复兴时期，事物的基本原理受到重视，检测技术开始发展。1592年伽利略访问意大利城市帕多瓦（Padua）时，给一大群医学院的学生做了数学讲座，讲解他的著名理论，并展示了他的一些发明，有测温器、钟摆和望远镜镜片等。他的学生 Sanctorius 就利用这些装置研究了人体体温和脉搏。后来，帕多瓦的毕业生威廉·哈维（William Harvey）还应用伽利略的运动定律和力学定律求解了血液循环问题，测出了流经动脉的血流量，用于诊断心脏的功能。

伽利略提倡运用正确的实验测量方法。这些方法是科学工具，可以帮助医生做出有效的诊断，避免胡乱猜测。只有经过实验证明的学说才会被采纳。有些医学研究人员采用这些新方法，将体温和脉搏速率的测量数据与其他相关症状结合起来，帮助医生诊断某些特殊的疾病。与此同时，显微镜的发明扩大了人类的视野，将一个惊奇的未知世界呈现在人们眼前，成为备受关注的焦点。然而，这些科学新装置当时对于普通医师并没有产生什么影响，他们仍然在使用放血法和有害的药膏治疗各种疾病。只有在大学里，多个科研小组联合起来，才能汇集不同的装置和各种智慧。

在英格兰，亨利八世（Henry VIII）曾经热情有力地支持医学，他支持医生反对渎职行为，并支持建立皇家内科医学院（Royal College of Physicians）。该医学院是欧洲最早

的纯医学机构。16 世纪初期，他镇压了修道士体制，教会医院都被所在城市接管。随后，出现了私立的、非营利性的志愿者医院，散布于各地。其中的工作人员是医生和医学院学生，代替了原来的修女护士和修道士医师。结果使得医院中几乎没有专业护理人员，只有教会医院还保留着护理，这使得穷困病人只能待在教会医院。直到数年之后，佛罗伦萨·南丁格尔（Florence Nightingale）改变了这种局面。

这里，还有一件值得一提的事件。随着城市人口的不断膨胀，英格兰对医院的需求量空前增长，但是，当时的设施不可能满足那么大的需求。因此，在 17 世纪，伦敦的两家主要城市医院——圣巴塞洛缪（St. Bartholomew）和圣托马斯（St. Thomas）率先采取了一项措施，医院只接纳和治疗那些可能治愈的病人，不能治愈的患者只能把自己的命运交给精神病收容所、监狱或者救济院等其他机构。

18 世纪，在法国和美国的殖民地，人道主义和民主运动成为备受人们关注的问题，权利平等的思想终于形成。并且，随着城市化的发展，美国社会开始关注其成员的福利。医护人员把服务范围扩大到那些社会的“不幸”群体上，开展监狱改革、儿童保育和医院运动，来帮助缓解这些“不幸者”的痛苦。然而，尽管医院开始积极主动地救治病人，但是，病人的死亡率并没有下降，反而继续增长。例如，巴黎的 Hotel Dru 医院大约建于 17 世纪，是现存的最古老的医院。在 1788 年，该医院病人的死亡率接近 25%。不仅病人的死亡率高，而且在这些医院工作的医护人员的死亡率也相当高，每年有 6% ~ 12% 的医护人员死亡。

实际上，当时医院成了人们尽量回避的地方，难怪美国殖民者先驱迟迟不愿意建立医院。美国第一家医院是宾州医院（Pennsylvania Hospital），它直到 1751 年才建成。波士顿则用了 200 多年时间才建起了第一家医院——麻省总医院（the Massachusetts General Hospital），并于 1821 年向公众开放。

在 19 世纪中叶，随着著名的细菌学说的发展，现代医学史上出现了重大进展。细菌学说指出，传染病是由生活在人体内的微生物引发的。作为早期细菌学说的一个证明，约翰·斯诺（John Snow）与伦敦 Broad 大街水泵的故事家喻户晓。在工业化时代拥挤的伦敦街头，当时霍乱病菌肆虐，形成了流行势态，是当地医生约翰·斯诺利用一张街区地图终止了疾病的传播。斯诺在地图上画出了霍乱病例在市区内的分布图，发现病源来自于一台水泵。斯诺拆掉水泵上的把手，使水泵报废，这样，被污染的水源也就不再使用。斯诺既证明了细菌学说，同时也挽救了数千人的生命。现在公认的是法国化学家 Louis Pasteur 在 19 世纪中叶创建了细菌学说的基本理论。

直到 19 世纪，医院才能够使相当数量的病人受益。这个时期的进步主要归功于护理水平的提高。从克里米亚战场（Crimean War）回到英格兰的佛罗伦萨·南丁格尔（见图 1.2）创建了护理职业，她认为当时医院的状况比疾病本身更容易引起病人的死亡。19 世纪前半叶，南丁格尔迫使医院将医疗重点放在病人的护理上。满怀着激情和智慧，她阐述了护理思想：“护理可以使我们拥有可能的最佳条件，以便于病人自然恢复健康，并保持健康……请注意，我们是护理病人，而不是护理疾病。”到了 19 世纪后半叶，她的影响力达到了顶峰，世界各地新建的医院几乎无不采纳她的忠告。



虽然这些工作很出色，但是 20 世纪之前的医院仍然只是接纳穷困病人的机构。例如，19 世纪 70 年代，美国人在审核约翰·霍普金斯医院（Johns Hopkins Hospital）的建设规划时认为，配置 324 张免费病床和 24 张收费病床是很合理的。那时，不仅医院接纳的病人只代表广大社会阶层中的很小一部分，而且医院也只能治疗众多疾病中很有限的几种。例如，1873 年，大约半数美国医院不接纳传染病患者，很多医院也不接纳患不治之症的病人。此外，在那个时期，普通医院手术率只有 5%，其中多数是外伤病例。

100 多年之前的美国医院相当简陋，其管理机构对于医院的装备没有特定的要求，只要有炊具和洗衣设备就可以了。此外，由于医生通常没有薪水，并且护理费用很低，因此，医院正常运作的大部分费用开销在食物、药品和公用设施上。直到 20 世纪，美国才开始进入“现代化医院”的时代，下面我们就会看到，工程技术在医院的发展过程中起了非常重要的作用。



图 1.2 佛罗伦萨·南丁格尔的肖像

(摘自 <http://ginnger.topcities.com/cards/computer/nurses/765x525nightengale.gif>)

## 1.2 现代医疗保健体系的特点

现代医学实践始于 19 世纪末 20 世纪初。在 20 世纪之前，由于主要医学资源只有为数不多的内科医师和他们所受的教育，还有小小行医箱。因此，医学对于普通市民没什么贡献。当时，造成医生短缺的原因与现在不同。那时，医生收取的费用很低，需求也很少。医生所能提供的大部分服务，居住在社区里的有经验的业余人士也都能提供。治疗和康复主要是上门服务，亲戚和邻居有能力也愿意帮助护理病人，接生婴儿还有专门的助产师。而那些家庭疗法不能治愈的病人只能听天由命了。到了 20 世纪，科学技术的重大发展才促进了美国医疗保健体系的迅速发展。于是，医院成为该体系的中心，专业医生和护士成为主角。

20 世纪，化学、生理学、药理学等基础科学开始加速发展。物理学的各种新发现促使医学技术的研究产生了飞跃。例如，1903 年，威廉·爱因托芬（William Einthoven）设计出了第一台心电图机，能够检测心跳过程中所产生的电流变化（见图 1.3）。这一发明不仅为心血管医学，也为电测量技术开创了新时代。

那个时期的新发现真是层出不穷，就像连锁反应一样，其中对于临床医学的发展意义最大的是 X 射线的发现。从伦琴（W. K. Roentgen）阐述他的“新射线”那一起，



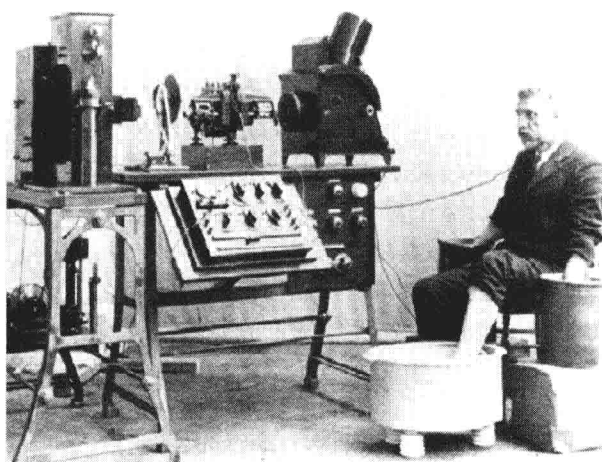
神秘的人体就开始向医学检查敞开大门。最初，X 射线主要用于骨折和脱臼诊断。美国大多数城市医院都用上了 X 射线机这项新技术。于是，独立的放射科在医院里应运而生，并且其影响迅速扩大。几乎每个医疗科室，如外科、妇产科等，都借助这项新技术迅速发展。到了 20 世纪 30 年代，钡盐等各种射线不能穿透的物质的应用，使得 X 射线机几乎可以将人体所有器官可视化。

X 射线新技术给予医生无穷的力量，使他们能够正确地诊断许多疾病和人体损伤。并且，借助这项技术，医院开始改变被动接纳穷困病人的处境，转变为能够主动积极地救治美国社会所有公民的医疗机构。

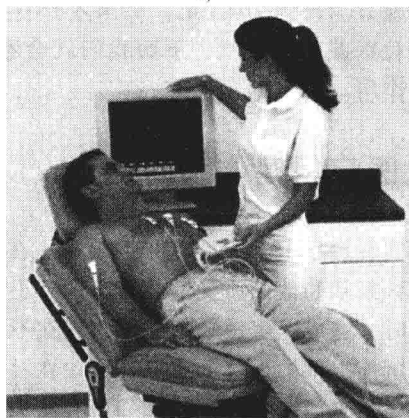
20 世纪 30 年代中期磺胺类药物的开发，以及 20 世纪 40 年代青霉素的开发，极大地降低了住院病人之间交叉感染的危险性。有了这些新药品，外科医生手术时也可以避免感染引起得病甚至死亡。还有，虽然早在 20 世纪初血液学就获得了重大发展，包括人体不同血型的发现，抗凝固剂枸橼酸钠的应用等。但是，直到 20 世纪 30 年代冷藏技术成熟之后，血库才开始全面推广应用。所以，在此之前，人们献血时，都是新鲜使用，甚至还保留着献血者的体温。

随着科学技术的蓬勃发展，美国医学声誉鹊起。

1900 ~ 1929 年期间，生理学和医学诺贝尔奖获得者主要来自欧洲，根本没有美国人；但是，在 1930 ~ 1944 年，就是第二次世界大战结束之前，已有 19 位美国人获此殊荣；在第二次世界大战之后的 1945 ~ 1975 年，有 102 位美国生命科学家荣获此奖项；而 1975 ~ 2009 年，美国人获奖人数达到了 191 名。因此，自 1930 以来，共有 312 位美国科学家（包括国



a)



b)

图 1.3 心电图机的发展

a) 早期心电图机 b) 现代心电图机

注：先进的计算机技术和电子技术极大地简化了心电图机的构造并增强了其诊断功能。

外出生的) 凭借他们的杰出研究成就荣获了诺贝尔奖。这些研究成就的绝大多数都得益于科学技术的临床应用。

科学技术的应用推动了复杂外科手术技术的快速发展, 例如, 1927 年发明的 Drink-er 呼吸机、1939 年创建的心肺转流术等。20 世纪 40 年代, 开发了心导管及心血管造影术 (cardiac catheterization and angiography), 也就是将细导管通过手臂静脉插入至心脏, 然后通过导管注入不透射线的染料, 从而可以在 X 射线照片上显示出心脏和肺部的血管和瓣膜, 用于正确诊断先天性或者后天性心脏病 (主要是风湿热引起的心脏瓣膜损坏等)。这些技术开辟了心血管外科手术的新纪元。21 世纪前 10 年机器人手术的实现和发展更进一步提高了现代化手术的水平, 这项新技术使得神经外科手术 (包括周围神经和中枢神经) 和血管手术技术获得了重大进展 (见图 1.4)。

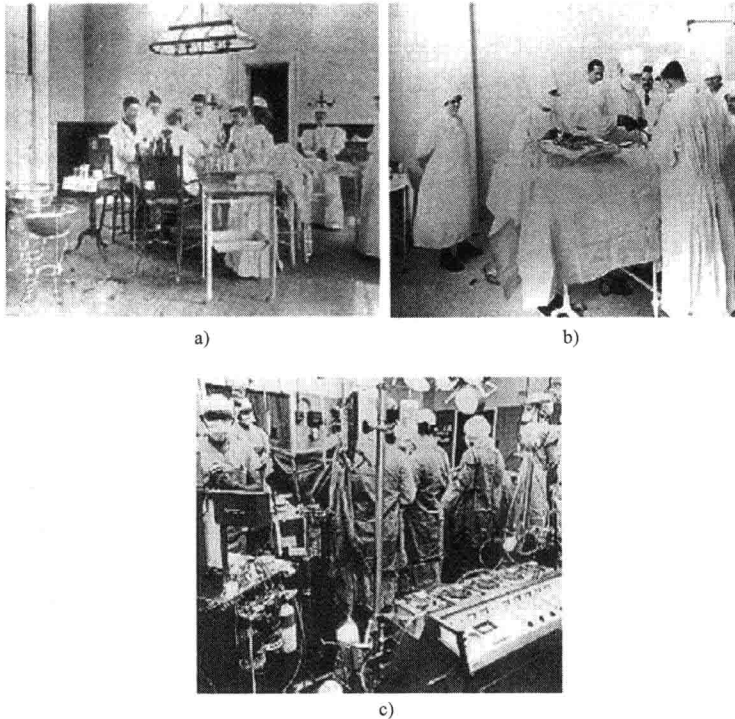


图 1.4 手术室的改变

- a) 19 世纪末 20 世纪初手术室的场景    b) 20 世纪 20 年代末至 30 年代初期手术室的场景  
c) 如今的手术室场景 (摘自 JD Bronzino 的 “Technology for Patient Care”, Mosby: St. Louis, 1977;  
“The Biomedical Engineering Handbook”, CRC Press: Boca Raton, FL, 1995; 2000; 2005)

现代科学技术发展的另一个重要产物是电子显微镜, 它在 20 世纪 50 年代开始用于医学, 极大地推进了微小细胞的可视化。早期的人体扫描技术利用正电子发射断层扫描 (Positron-Emission Tomography, PET) 技术检测肿瘤就是基于电子显微镜类似的原理。这类技术的应用使人类社会不得不进入原子时代。这种 “肿瘤检测” 使用放射性药物,

在当时各个医院新成立的核医学科室成为常规技术。

上述发明和其他许多发明一起对医学产生了深远的影响。随着医学不断吸收创新的科学技术，早先由“江湖郎中”似的医师组成的医疗保健体系已经一去不复返，取而代之的是以现代化医院为中心的体系，医生则依靠医院来行使职责。

第二次世界大战之后，综合性医疗保健技术加速发展，曾经为军事目的开发的许多军用先进技术已经被转化为民用。在这种强大的技术力量冲击下，医学界受益匪浅，其中电子技术领域首当其冲。曾经用于跟踪敌人军舰和飞机的电子技术，以及给飞行员提供海拔、气流速度等信息的电子技术，都被用于医学领域。例如，用于记录中枢神经系统基本单元——神经元的微弱电活动，或者用于监测病人的心脏搏动。

第二次世界大战还点燃了康复工程和假体技术的创新火花。借助于先进的医疗技术，越来越多残疾士兵活着回到家乡，辅助技术的需求增长。这引发了20世纪40年代后期新型材料的发展浪潮，并促进了辅助技术在第二次世界大战后的发展。

历史上，科学和技术这两者的的发展总是交互跃进，竞相发展。如果要寻找两者之间的因果关系，你会发现曾经技术是起因，科学是结果。例如，射击产生了弹道学，蒸汽机产生了热力学，动力飞行产生了空气动力学。这些都是技术先于科学的例子。但是，反过来也正确。随着电子学的发展，技术与科学之间的因果关系被颠覆，变成了为了追求新技术而系统地开展科学研究。

正如第二次世界大战促进了综合性医疗保健技术的发展一样，随着人类第一次成功登上月球，20世纪60年代电子学的发展触目惊心。早在20世纪30年代和20世纪40年代还曾经被视为科学幻想的事物已经变成了现实。仪器设备紧跟技术发明的最新进展而不断更新，而许多技术又会很快过时。在医院里，监测病人心脏活动的无线遥测装置就是一个例子。有了它，病人和医生的活动范围都不再受到病房四周墙上拉出的电线的限制。那些用于控制阿波罗号太空舱飞行的计算机，如今在社会上已是随处可见。

20世纪70年代以来，这种“电脑”已经广泛用于医学领域的各种复杂计算，利用人工智能实现数据记录，甚至用于控制维持生命的重要仪器设备。计算机X射线断层扫描（Computerized Tomography, CT）和磁共振成像（Magnetic Resonance Imaging, MRI）等新兴医学成像技术的发展就完全依赖于不断进步的计算机技术。图1.5所示的功能MRI（fMRI）是成像技术新进展之一，它能够通过测量人体大脑的耗氧量和血流量来显示神经活动区域。科学技术的发明和应用真是不胜枚举。

人工脏器手术现在已经成为常规手术。随着1954年第一例肾移植手术的成功，人造器官的概念获得认可，并正式在医学界普及开来（见图1.6）。人造心脏瓣膜和人造血管等假体的制造技术迅速发展，甚至启动了开发整个人工心脏的项目，用于取代损坏的人体心脏。人体心脏拥有神经功能、弹性、惊人的收缩力和耐用性能，至今还没有能够完全替代它的人造假体。但是，左心室辅助器（Left Ventricular Assist Devices, LVAD）已经能够成功替代心脏“重负荷”区域的功能，它常用于等待全心脏移植手术患者的暂时性治疗。未来解决心脏衰竭问题的方向可能会更多地利用组织和细胞水平的治疗技术，而不是宏观的力学系统。这些技术革新极大地改变了外科手术的组织和运

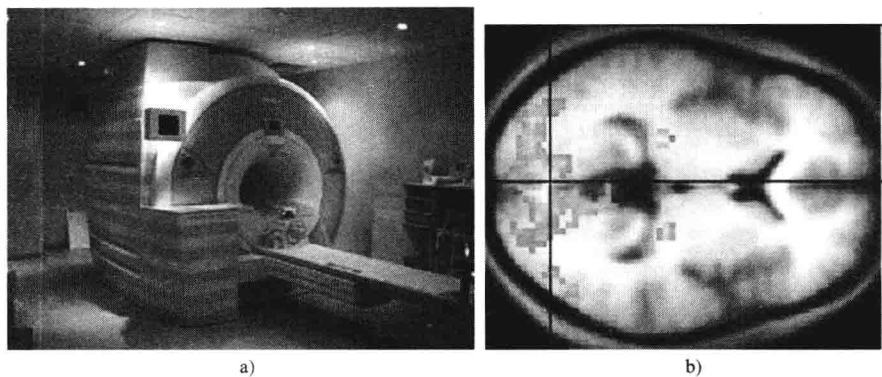


图 1.5 新型功能磁共振 (fMRI) 医学成像技术

a) fMRI 设备的照片 b) fMRI 扫描图像示例 (摘自 <http://neurophilosophy.wordpress.com>)

用, 从而进一步促进了医院的变革。使得医院从 100 多年之前的低技术含量的机构, 向未来先进的现代化医疗中心发展。

近年来, 科学技术的发展已经给医学界带来了巨大的冲击。其中, 人类基因组计划可能是 20 世纪 90 年代最卓越的科技成就。在这项成就的实现过程中, 一些工程产品的开发起了关键的作用, 包括自动测序仪、自动取样器以及数据库和序列拼接软件等 (见图 1.7)。同时, 基因组计划的成功也使得生物医学工程人员开始关注细胞和分子水平的研究, 而不仅仅局限于器官和系统水平的研究, 从而引起了又一个重大转变。经过 13 年的努力, 2003 年基因组计划完成, 新的科技前景也随之展现出来。干细胞研究就是突显了化学和分子水平的研究, 自从其概念形成以来, 它始终处于科学界争议的风口浪尖。这项研究可能产生的成果之多难以想象, 同时, 干细胞研究带来的伦理道德问题近年来也备受关注。

另外, 纳米技术、组织工程和人造器官的发展清晰地表明各种科学幻想将不断成为现实。但是, 要有效地利用这些新技术, 还必须全面认识大量涌现的这些信息和创新将给社会和经济带来的后果。

如果你展望一下, 就可以看到科学技术的发展可能对医疗卫生行业产生的巨大影响 (见图 1.8)。例如,

通过与地区医疗中心相连的闭路电视通信网络, 远在乡村的病人同样可以获得高水平的医疗服务。多项筛检 (multiphasic screening) 系统的发展为大众提供了预防医学的服务, 可以使那些真正需要使用医院设施进行诊断和治疗的病人住进医院。病历中心系

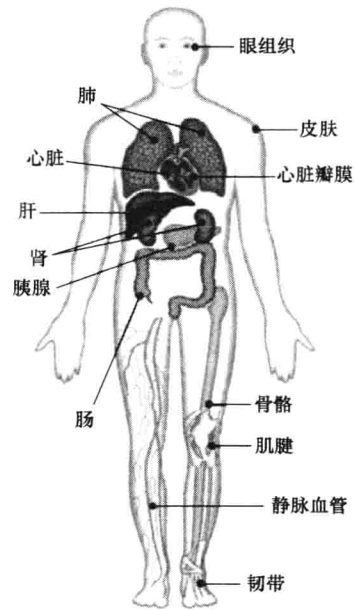


图 1.6 人体可能移植部位的示意图  
(摘自 [http://www.transplant.bc.ca/images/what\\_organs.gif](http://www.transplant.bc.ca/images/what_organs.gif))

统建立之后，即使病人变换了住址，或是离家途中因病就医，医生都能够方便快捷地获得病人的病历。上述例子只是医疗保健领域可能达到的、高质量的、成本合理的众多潜在技术之中的一小部分。（有关生物医学工程学发展历史上主要事件的详细介绍，请参考 Nebekar 2002 年的综述论文。）

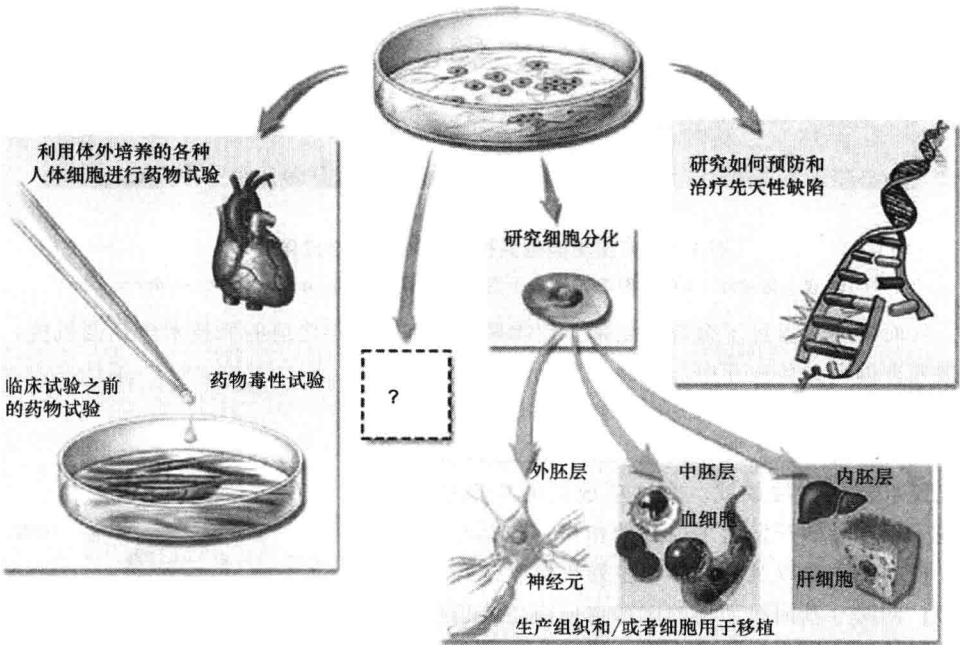


图 1.7 干细胞研究的应用前景

(摘自 <http://stemcells.nih.gov/info/media/promise.htm>.)

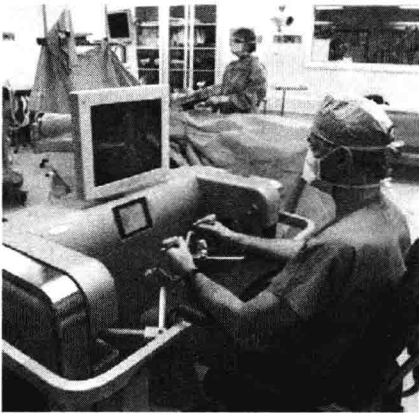


图 1.8 医生的新装备——手术机器人

(摘自 <http://library.thinkquest.org/03oct/00760/steve.jpg>)

### 1.3 什么是生物医学工程学

对于生物医学工程技术人员而言,医疗保健行业如今所面临的各种问题都极为重要。因为这些问题是仪器系统分析、设计和应用的根本,而开发各种仪器系统就是工程应用的核心。这种与医学紧密相关的仪器的开发涉及面非常广,有复杂的大规模系统,如医院的信息系统;有“简单”的小型器件,如用于监测特定生理信号的记录电极和传感器等。

美国医疗保健系统中存在的众多难题给属于工程职业的生物医学工程师们提出了挑战。他们需要应用不同工程学科的原理、知识和方法,比如电子、机械和化工等,来解决与医疗保健相关的特殊问题,因此,工程师和医护人员的合作机会很多,并且形式各种各样。

虽然,许多人认为生物医学工程研究领域所包含的范围比较清楚,但是,也有不少人持相反观点,他们认为生物医学工程学的有些领域与其定义不相符。例如,在生物工程高等教育目录中定义了下列名称:生物医学工程学(biomedical engineering)、生物工程学(bioengineering)、生物学工程(biological engineering)以及临床工程(clinical engineer)[即医学工程(medical engineer)]。虽然 Pacela 在这个指南中把生物工程学定义为涵盖整个大范围的广义名称(参见本章后面的参考文献),但是,它通常所指的是与生物技术和基因工程密切相关的偏向于基础研究的专业。而生物技术和基因工程的目标是通过动植物细胞的变异,来改良动植物,或者培养出新的微生物,以便获取更大的利益。例如,在食品行业,改良发酵用的酵母菌;在农业界,通过施加有机肥来减轻霜冻对植物的损害,从而增加农作物的产量等。显然,未来生物工程人员的工作对提高人类的生活质量具有重要的作用。这个专业的前景难以预料,其主要目标如下:

- 开发动植物的改良品种,用于食品生产;
- 发明新的用于疾病诊断的医学测试方法;
- 通过克隆细胞生产人工疫苗;
- 发展生物环境工程来保障人类和动植物的生命安全,避免有毒物质和污染物;
- 蛋白质表面交互作用的研究;
- 酵母和杂交细胞生长的动力学建模仿真;
- 固定化酶技术的研究;
- 医用蛋白和单克隆抗体的开发。

生物医学工程学这个名称的综合性似乎最强。生物医学工程师的职业目标是,应用电学、化学、光学、力学和其他工程学原理来认识、改造或者控制生物系统(也就是人或动物)。在医院工作的生物医学工程师称为临床工程师更合适,然而,现实中并不一定遵循这种理论上的区分。如今在美国医院工作的这类专家很多仍然被称为生物医学工程师。

生物医学工程师的研究领域极其广泛。虽然他们在 20 世纪 50 和 60 年代主要从事

医学仪器的开发;但是,如图1.9所示,现在他们已经开拓了许多新兴领域,其中包括

- 工程系统分析的应用(即生理建模、仿真以及生物控制等);
- 生理信号的检测和监视(即生物传感器和生物医学仪器);
- 利用生物电信号的处理技术提取

诊断信息;

• 开发治疗和康复的技术和装置  
(即康复工程);

• 开发用以代替或者增强人体功能的  
装置(即人工器官);

• 病人数据的计算机辅助分析和临  
床决策(即医学信息学和人工智能);

• 医学成像,即解剖细节和生理功  
能的图像显示;

- 新型生物制品的开发(即生物技术和组织工程学)。

下列是生物医学工程师开展的研究工作示例:

- 研究用于植入式人工器官的新材料;
- 开发用于血液分析的新型诊断仪器;
- 编写医学数据的分析软件;
- 为保证安全性和有效性,进行医疗器械安全性能分析;
- 开发新的诊断成像系统;
- 设计用于病人监护的遥测系统;
- 设计生物医学传感器;
- 开发用于疾病诊断和治疗的专家系统;
- 设计施药的闭环控制系统;
- 人体生理系统的建模仿真;
- 运动医学的仪器设计;
- 开发新型牙科材料;
- 设计残疾人交流使用的辅助设备;
- 研究肺部的流体动力学;
- 研究人体生物力学;
- 开发人造皮肤材料。

以上所列并没有完全包括生物医学工程所涉及的研究工作,还有许多应用领域需要生物医学工程师们发挥他们的才能。实际上,他们的工作与所处的环境密切相关。在医院工作的生物医学工程师,也就是临床工程师,尤其如此。现在的临床工程师需要负责医院的所有高技术仪器设备;负责培训医护人员,使他们能够安全地使用各种设备;还要负责设备的选购和使用,以便提供安全有效的医疗保健服务。

20世纪60年代末,为了保障医院病人的电气安全,工程师们受到鼓舞,开始进入

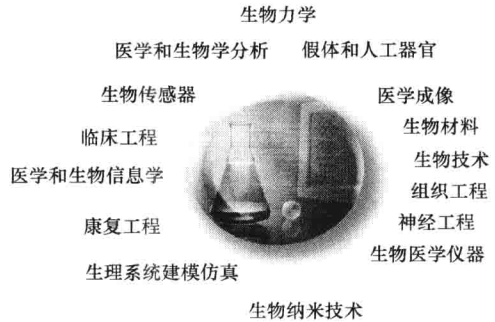


图 1.9 生物医学工程学所涉及的领域



临床环境。当时，以 Ralph Nader 为代表的消费者活动家宣称：“每年至少有 1200 名美国人在医院的常规诊断和治疗过程中触电身亡”。这使人们对电气安全的担忧达到了顶峰。大家推测病人触电致死的原因是：导管插入病人体内之后，在体外至心脏附近的血管之间形成了低阻抗通路；这样，比正常触电阈值低得多的电压就可能使病人触电身亡。尽管缺乏统计数据来证实这些传言，但是，这种呼吁使医务人员开始重视医疗设备的安全使用。

为了解决这个问题，医院电气安全这一新兴产业几乎在一夜之间就形成了。美国国家消防协会（National Fire Protection Association, NFPA）等机构制定了有关医院电气安全的标准。电气安全分析仪生产厂家和设备安全顾问等都热切地希望为各种医院的医疗安全提供服务。有些公司立即开发了新产品用来保障病人的安全，特别是专用于配电系统的装置，比如隔离变压器等。为了缓解人们的恐惧情绪，医疗卫生机构认证联合委员会（Joint Commission on the Accreditation of Healthcare Organizations）（当时称为医院认证联合委员会）将国家消防协会制定的规则作为电气安全的标准，并且进一步规定医院至少每 6 个月检查一次用于病人身上或者在病人周围使用的仪器设备的电气安全。为了满足这项新要求，医院管理人员考虑了 3 种可供选择的方案：雇用医疗仪器厂家来完成电气安全的这种检查工作；与公共服务机构签订合同，让其提供服务；由医院内部员工来完成这项工作。多数大型医院都选择了第三种方案，建立了独立的部门来提供电气安全所需的技术支持。

就这样，新兴的工程学科——临床工程学诞生了，许多医院建立了临床工程部。当这些部门开始运行时，大家很快就发现，电气安全故障其实只是医疗仪器所带来的众多问题之一。当时的医护人员对仪器既缺乏全面的了解，也不懂得维护。简单的目测检查往往只能看到破损的旋钮、磨损的电线以及液体渗漏迹象等。许多设备并没有按照厂家的规定使用，也没有根据厂家的建议维护。总之，电气安全问题只是冰山一角。到了 20 世纪 70 年代中期，医疗设备使用前后的全面检查已经成为常规，并且形成了切合实际的检查程序。在此发展过程中，那些临床工程的前驱们在医院里所起的作用越来越大。作为医院队伍的新成员，他们当时的工作包括：

- 积极参与开发符合成本效益的方法来运用医疗技术；
- 给医院管理人员提供咨询，根据医院的条件和专业技术规格来购买医疗设备；
- 启动科技新方法的应用，并且协助相关部门制定各种标准；
- 培训医护人员，使他们能够安全有效地使用医疗仪器。

于是，在紧接着的 20 世纪 70 和 80 年代，在下列重要事件的推动下，临床工程学突飞猛进：

- 美国退役军人管理局（Veterans' Administration, VA）认识到临床工程师对于 VA 医院系统的正常运行至关重要，并将整个国家分为几个生物医学工程地区，每个地区安排一名生物医学工程主管工程师，监管区域内各个医院的所有工程技术事务。

- 在整个美国，绝大多数较大的医疗中心、医院和一些拥有 300 张以上病床的小型临床机构都设立了临床工程部门。



• 医疗保健的职业人员，也就是医生和护士，在使用现有技术和引进新发明时急需临床工程师的援助。

• 建立了临床工程师的资格认证体系，确保临床工程师在任职期间一直能够胜任工作。

到了 20 世纪 90 年代，作为一个专业，临床工程学不断完善。在医学与生物工程国际联合会（International Federation of Medical and Biological Engineering, IFMBE）下设立了美国临床工程学协会（American College of Clinical Engineering, ACCE）和临床工程部（Clinical Engineering Division）。如今临床工程师为临床医护人员提供了广泛的工程技术服务，并且已经成为医院整体中非常重要的一部分（见图 1.10）。现代临床工程师既掌握医院内部具有的技术资源，又了解医院之外厂家的技术资源，使医院可以有效地利用（即使不是全部也是绝大部分）资源。

总之，生物医学工程是工程学的交叉学科分支。它以工程学和生命科学为重要基础，从理论的非实验性研究到创新的应用，其范围包括了研究、开发、实现和运用。与医学职业一样，任何人都不可能成为整个生物医学工程领域的专家，只能成为某个方面的专家。因此，生物医学工程宽广的研究领域中涌现出了各种各样的专家。然而，由于该学科的交叉性质，这些专家的兴趣和工作内容都有许多相互关联和重合之处。例如，致力于生物传感器开发的工程师可能会与开发假肢装置的工程师联合，以便研究检测和利用生物电信号驱动假肢的方法。再比如，致力于临床化学检验自动化的工程师也许会与那些开发专家系统的工程师合作，以便设计专家系统，辅助临床医生根据检验结果做出诊断和决策。这种例子举不胜举。

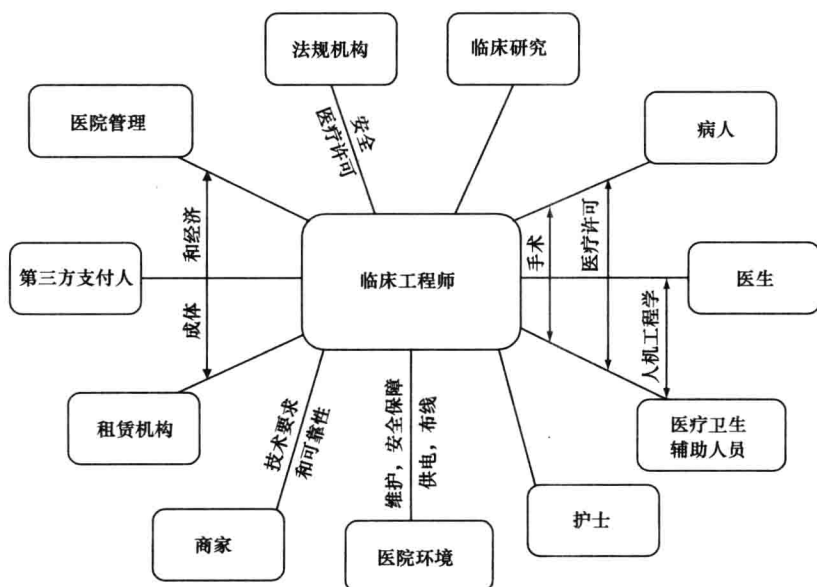


图 1.10 医院里的临床工程师需要涉及的工作范围

生物医学工程师还有一个更重要的潜能，他们会利用现有的工程技术来认识和解决医疗保健系统中目前仍然存在的问题，从而为不断追求低费用高质量的医疗保健服务带来希望。如果生物医学工程师具有正确的导向，面向预防医学、急救服务等方面的问题，那么，他们就可以为进一步提高医疗保健系统的工作效率提供更好的方法和技术。

## 1.4 生物医学工程师的职能

广义上，生物医学工程专业主要培养3类人才：医疗保健系统的临床工程师；工业界的生物医学设计工程师；做研究工作的科学家。此外，目前还按照生物医学工程师所履行的3种不同职能进行分类，他们之间的区别很明显，分别介绍如下。

第一类是3类中最常见的一类工程师，可以称为“解题人”。临床工程师和生物医学设计工程师最可能成为这类人，他们与生命科学家之间保持着传统的服务关系。科学家发现并提出问题，由工程师应用专业技术来解决。但是，要有效并成功地“解题”，双方必须了解对方的术语，具有很好的信息交流和沟通。生物医学工程师必须了解生物学方面的情况，做出正确的判断，发挥自己的知识才能，解决所给予的问题，并且用生命科学家可以理解的语言阐述所设计的解决方法。如果不能做到这些，那么“生物医学”这个冠名就名不副实了。

第二类人员比较少，可以称为“科技企业家”，工业界的生物医学设计工程师最可能成为这类人。他们认为，生命科学家和医生所接受的工程技术方面的教育与现有的技术潜能之间存在着相当大的差距，生命科学家不太可能结合现有的技术水平来提出问题。因此，科技企业家通过考察生物学和医学某些前沿领域的问题，自己寻找和确定先进技术可能发挥作用的地方，自己提出问题，然后解决问题。先设计，再用硬件和软件来实现。最后，这些企业家还必须证明他们的研究成果是有用的，说服医学界接纳这些成果。与前述“解题人”的境况不同，企业家的工作是有风险的，他们的成果没有现成的消费者。但是，一旦冒险成功，那么无论是科学上还是经济上，都会前进一大步，比按照传统程序的进展速度要快得多。科技企业家的工作性质决定了他们应该掌握大量工程学和医学方面的知识，并且具有丰富的医疗系统方面的经验。

第三类生物医学工程师称为“工程科学家”，在科研机构和公司研究所最多，他们主要致力于应用工程学原理和技术来研究生物学过程。他们常用的最强方法就是为所研究的生物系统建立合适的物理模型或者数学模型。例如，在研究心脏功能时，工程科学家就需要探究血液流过人体心脏这个匪夷所思的血泵时的复杂过程。他们会建立数学模型来模拟心脏收缩时的动力学特性，用方程来定义血流的行为。然后，利用计算机资源和仿真技术来求解数学模型，从而揭示生物系统的特性。由于过于复杂，这些模型的特性无法用解析计算或者直观推导的方法来求解。而且，模型仿真的结果可用于指导实际生物系统的实验设计；反过来，实验的结果又可以用来改进数学模型。如此反复，就可以一步步深入揭示生物学机制。

如果实验工作很繁重，难以施行，或者具有危险性；那么，数学模型还可用于预测

各种变化对于生物系统的影响。因此，工程科学家收获的是对于生物系统的深刻认识。并且，数学表述是一种紧凑简洁的语言，易于交流。例如，对于上述心脏研究的例子，工程师必须始终结合解剖学和生理学的知识来解释宏观模型的仿真结果，即心脏为什么如此泵血。做生物实验时往往需要开发精巧的测量技术，因此，工程科学家的工作不可避免地会涉及仪器开发，而且还必须与生物学相关。如果他们的研究成果最终将应用于临床，那么更是如此。如果只是片面强调数学分析的优美，而忽视研究工作的临床应用意义，那是不够的。这类生物医学工程师是生物科学家真正的伙伴，他们已经成为很多科研机构研究队伍中不可缺少的成员，旨在开发新的技术，用于揭示人体的生物学奥秘。

上述生物医学工程师的每一种角色虽然工作性质有所不同，对于生物学知识的掌握程度各有不同的要求；但是，每位工程师都必须是掌握重要工程技术的熟练专家。因此，在培养这个领域不同层次的新专业人员时，既要使学生学到足够多的生物学知识，同时又不能牺牲基础工程技术的学习，这使生物医学工程专业教学计划的制订经常会遇到困难。

我们正在迈入一个新的历史时期，面临着迅速增长的老龄人口，不断提升的社会和经济期望，以及疾病的预防、诊断和治疗方面越来越多技术开发的迫切需求。在这种形势下，生物医学工程师的培养和聘用必不可少。这不仅因为这些人可以增进人类对于生命系统的了解，而且因为他们就像一种充满希望的推进器，可以加速知识向应用的转化。

与医生和护士一样，生物医学工程师最终的职责是为社会服务。这是一种职业，而不仅仅是技术服务。为了有效地发挥这类新生人员的作用，医学界的医护人员和管理人员应该充分认识这个新职业的重要性及其培养目标。生物医学工程学具有的巨大潜力、挑战和前景将给我们带来的不仅是技术收益，而且还有人道主义效益。

## 1.5 生物医学工程的新进展

生物医学工程包罗万象，包含众多不同的专业技术和研究方向。临床工程方面的技术人员和许多其他领域的工作人员主要关注成熟的技术；而科研人员则致力于创造新技术。生物医学工程专业的成立还不到100年，它呈现出指数形式的飞速发展。至今，几乎所有医学分支都已受到工程师“解题”技术的影响。本节的目的并不是向读者展现当今所有前沿技术，只是举例介绍某些新发明。

### 1.5.1 假肢

假肢是生物医学工程早期的发明之一。第二次世界大战结束之后，得益于当时医疗技术的进步，大批伤残军人从战场上生还，回到故乡，几乎是有史以来人数最多的，但是他们落下了残疾。这促使辅助技术，特别是假肢技术，真正发展成为独立的工程学科。

假肢的定义是“任何用于替代神经骨骼运动系统的残缺部分或者残缺功能的体内或体外装置”。它们要么是矫形器，要么是体外控制器。体外控制器可以由人体自身的肌电驱动，也可以由外接电源供电。其中，神经假体是假肢领域的发展前沿，并且是当今生物医学工程中发展最迅速的方向之一。

### 1. 矫形假肢

在设计人体肢体的“替代品”时，工程师需要考虑许多因素和约束条件。根据人体活动的需要，假体必须具备足够的功能，设计必须因人而异；它必须舒适、美观、方便，并且易于安装。如果要制造模仿人体部件各个细节的假肢和矫形器，那是非常困难的；因此，以用户为本的通用型装置是假肢设计的首选。这种设计理念的范例就是“弧形脚”，这种假脚与人体本身的脚一点都不相似。设计者没有致力于重建小腿之下的踝骨、跗骨、跖骨和趾骨等的生物力学功能，而是发明了仅由一种材料制作的无关节的单块假体连接器。

图 1.11 所示的猎豹腿就是这种假肢，它使得 Oscar Pistorius 那样的残奥会运动员的奔跑水平接近健全运动员的水平。事实上，Pistorius 这位双腿截肢的运动员借助于猎豹腿所达到的竞技水平曾经引发过争议。在 2008 年，这位南非短跑运动员为了争取参加北京奥运会的健全人比赛而上过法庭。虽然他最终没能获得参赛资格，但是，他的举动引发了一场关于他的假肢是否优于人类腿的争论，假肢带给他的优势可能超过正常奥运会参赛选手。

体外控制的假肢可以利用外部电动机来实现其功能。智能腿“C-Leg”就是其中一例。这种假腿有一个微处理机控制的膝盖；还有多种力传感器用于角度、转动和速度的检测；可以持续工作 25~30h 不用充电。它还可以应付不平整的地形，并能够调节步速和方向。近年来，传感器和微型电动机的发展成就了 C-Leg 之类的装置。

### 2. 神经假体

神经假体 (Neural Prosthetics, NP) 是当今生物医学工程最新、最令人振奋的研究方向之一。这种装置或者由人体自身提供驱动信号 (也就是通过电极将人体其他部位发出的信号传送给支配肌肉的外周神经)，或者由外界提供驱动信号。神经假体的定义是：使用功能电刺激 (Functional Electrical Stimulation, FES) 来“恢复人体的感觉或者运动功能”的系统。这种系统能够辅助脊髓损伤或者颈椎损伤的病人恢复肌肉和手足的功能。

电极所施加的电刺激必须达到某个频率阈值之后才能够诱发肌肉的强直收缩，这种



图 1.11 佩戴假腿的国际残疾人奥运会短跑运动员 Oscar Pistorius

注：实现整体功能，而不是复制人体部件，这往往是一种更可行的假肢设计方法。

(摘自 [http://www.thefinalsprint.com/images/2008/05/oscar-pistorius-double-](http://www.thefinalsprint.com/images/2008/05/oscar-pistorius-double-amputee-sprinter.jpg)

[amputee-sprinter.jpg](http://www.thefinalsprint.com/images/2008/05/oscar-pistorius-double-amputee-sprinter.jpg))

肌肉收缩可以产生平稳的动作。低于阈值频率的刺激会导致肌肉短促的抽搐和疲劳。刺激器和电极可以全部置于体外，电极放在皮肤外表面；或者刺激器置于体外而电极植于皮肤内；或者两者都植入体内。

人体的下肢假体仅需要一组简易的关节和电动机就能够实现所需的功能；而上肢假体却不同，它需要精细的控制功能，很难实现。人手的惊人力量和灵活性很难复制。新一代假肢设计师们希望能够攻克其中的某些难题。图 1.12 所示的卢克臂（Luke Arm）是摄位车（Segway）发明者 Dean Kamen 的又一项智慧结晶。这种假臂具有与人类手臂一样多的自由度，高举时能够超过使用者的头顶。它由人体上身残存的肌电信号控制。精细的调控由安装在鞋子里的控制器辅助完成：通过激活不同的“踏

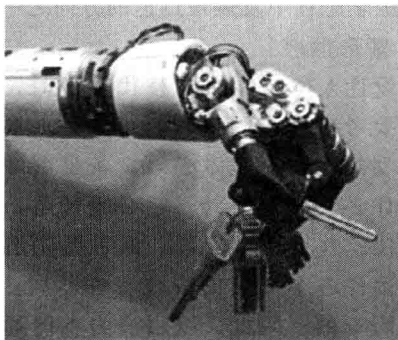


图 1.12 Dean Kamen 发明的卢克臂

注：它使用肌电信号，是迄今为止最先进的神经假体，目前正处于临床试验期。（摘自 <http://medgadget.com>。）

脚”，使用者可以旋转手腕，抓取或者释放物品。感觉反馈一直是困扰机械设计师们的难题。卢克臂通过安装在指尖的压力传感器检测感觉信号，并将其反馈到穿戴在背部的振动器上。使用者通过振动强度的变化可以感知指尖压力的大小。这种神经假体目前正处于临床试验期。

假肢的设计人员需要具备较强的材料工程背景，并且对于动力学仿真和生理学都具有深入的认识。美国矫形学、假肢学和足科矫正的认证委员会颁布了相关指南，说明如何申请该领域修复专家的资格证书。该领域的从业人员需要完成正规的假肢学专业的本科生学业，或者具有其他合适专业的本科学位以及假肢学专业的研究生学位。神经假体的研发团队需要生物力学、电子学和数学仿真等各种不同背景的成员。

虽然假肢是辅助技术发展中的强项之一，而且呈现了大量有意义的创新设计；但是，近年来，生物医学工程领域已经将重心从力学系统转移到生物学和器官学方面。早在数十年之前，生物医学工程师的主要目标是设计装置，但是，目前的新技术涉足更多的是生物化学和基因治疗，而不是螺钉、螺母和螺栓。这种转变的两大范例就是组织工程学和干细胞研究的发展。

### 1.5.2 组织工程学

组织工程是生物医学工程的新兴领域，它主要包括回体（ex vivo）或者离体（in vitro）制造生物组织，也包括结合先进技术促进体内组织的修复和生长。回体技术是指使用人造和天然材料一起合成的人造生物组织来代替器官移植，或者在体外培养，用于研究组织的特性。组织工程领域的重要课题包括细胞分离、细胞组成和功能的控制、人造生物组织的升级和完善，以及生物材料的制造等。

最著名的组织工程学成果是上皮组织的培养,目前,软骨、骨骼、神经和肝脏组织重建也正在临床进行。皮肤移植已用于治疗各种皮肤损伤,包括烧伤、压疮、静脉曲张性溃疡和糖尿病皮肤溃疡等。聚合物软管的植入体已用于辅助神经再生,治疗中枢和外周神经系统的损伤或者疾病。组织工程还包括关节置换、结缔组织重建和骨骼移植。人造心脏瓣膜则是由牛和猪的瓣膜组织与人造生物材料基质一起构成。各种器官功能衰竭,从肝癌到乳房缺损,也可以利用组织工程的新发明来治疗。输血和牙科手术的进展也是组织工程技术广泛的应用领域中的两个范例。

骨髓负责生产各种血细胞,人体的多数器官都可以通过骨髓移植获得再生。骨髓移植时通常使用化疗和放疗等清除骨髓的方法来破坏原有的骨髓。新型自体移植治疗法是在清髓之前先采集病人的骨髓样品,在清髓治疗后再重新注射回去。这样,造成暂时性免疫功能缺失之后,人体的骨髓获得新生。

在生产胰腺和肝脏组织时需要使用生物反应器。这类反应器是一种由大量细胞组成的系统,它接收输入的反应物,然后输出产物。生物反应器可以分为中空纤维和微载体两种类型。在中空纤维系统中,许多空心细管捆绑成束,装在一个大圆筒内。细管里注入需要培养的器官特异性细胞,细胞悬浮在胶原蛋白基质中。基质收缩后,在细管内留下许多空隙。将病人自身的血液(即血浆)注入大圆筒内,血浆流过细管内部新产生的空隙时,可以给肝脏细胞提供营养。在微载体系统中,许多小细珠放在固定式填充床或者流化床上,或者置于中空纤维管内。细珠的直径小于 $500\text{ }\mu\text{m}$ ,表面经过特殊处理,便于细胞附着。填充床反应器是一根填满细珠的柱子,两端用多孔板封住,便于灌流。反应器的成功率取决于液流速率、细珠的密度和柱体维度的比例。

生物材料对于组织工程非常重要。在上述各个例子中,生物材料都是组织再生和重建系统必不可少的部分。从人工心脏瓣膜之类的显而易见的应用,到骨髓移植注射针设计之类的隐含应用,生物材料的研发是组织工程发展的重要环节。生物材料器件必须具备足够的机械强度,能够防止有害的组织反应,还可以产生适时的生物降解。这种器件可以分成免疫阻隔器件和开放式器件两大类,它们的大小都只有几百 $\mu\text{m}$ 。具备免疫阻隔功能的器件含有半透膜,可以阻止宿主细胞的特异性免疫系统的各种因子进入器件。而开放式器件则不同,材料的孔隙很大( $>10\mu\text{m}$ ),其反应系统可以与宿主细胞充分结合,各种细胞和分子都可以自由传输。

生物材料孔隙的大小与器件的功能直接相关,孔隙的结构取决于器件上每个孔的连续性以及孔的大小分布。多孔生物材料可以分成微孔、介孔和大孔3类。微孔材料的孔径小于 $2\text{nm}$ ,可以传输气体等小分子物质。介孔材料的孔径为 $2\sim 50\text{nm}$ ,可以传输小分子蛋白质等。大孔材料的孔径大于 $50\text{nm}$ ,可以传输大分子蛋白质甚至细胞。孔隙的大小和分布都不规则,其中的缺陷会影响材料的特性以及物质穿过器件的流速。

组织工程的一个关键问题是如何控制细胞的再生和组织结构的形成。研究人员对于细胞生长的掌控越好,人造生物组织的功能就会越强,其应用范围也会越广。干细胞提供了一种机会,使得研究人员几乎可以从无到有培养出生物组织。在体内,干细胞能够制造并维护各种细胞,它们也能够体外用于组织培养,然后再输回体内。下一节将介

绍这项新技术的背景知识，本书后面章节还将介绍干细胞在组织工程中的各种应用。

### 1.5.3 干细胞研究

近年来，干细胞在科学界成为既备受争论又极其振奋人心的话题。干细胞技术的应用前景无法估量，图 1.7 所示是其中一些已知的可能性。干细胞可用于检测各种不同组织对于药物的反应，用于研究如何预防先天性缺陷，还可能用于替换和再生人体内的受损组织。其可能性确实不胜枚举。

事实上干细胞有胚胎干细胞和成熟干细胞两种类型。胚胎干细胞（embryonic stem cells）取自胚胎，这些胚胎多数由体外受精诊所提供，是受精后 4~5 天的胚胎。在此时间点上，干细胞要么自我更新，要么定型并分化。自我更新（即再生）意味着干细胞将繁殖（而不是发育和定型），繁殖的细胞仍然是干细胞。分化是组织或细胞特异性基因的表达。

人体内大多数组织的细胞最终都会分化。然而，在某些情况下，细胞数量需要维持动态平衡。因此，为了保持再生的能力，人体会保留一群成熟的干细胞。最常见的两类成熟干细胞是造血系统用于血细胞更新的干细胞和肠上皮的干细胞。这两类细胞具有相似的特点：数量很多且寿命很短。干细胞能够维持数量上的动态平衡。

研究人员利用各种方法来控制体外培养的干细胞的发育和分化。令人惊奇的是，胚胎干细胞选择自我更新和分化的原因仅仅在于某一种关键蛋白质（即生长因子）的浓度。当白血病抑制因子（Leukemia Inhibitory Factor, LIF）的浓度足够高时，胚胎干细胞会在培养基中无限制地再生。这种现象很有意义，它说明干细胞的发育并不是先天决定的，而是由外界因素激发的。

随着 2009 年新法令的执行，美国总统奥巴马（Barack Obama）解除了长达 8 年半的政府资助干细胞研究的禁令。这一举措在科学界赢得好评，它为追寻某些人类绝症的潜在治疗途径敞开了大门。组织工程和干细胞研究仅仅是如今生物医学工程师在生物学探索道路上已经获得突破的典型事例。

## 1.6 生物医学工程的专业状况

生物医学工程师是专业人员。专业人员的定义是，经过相同强化培训、具有同种价值和技能的群体。判断一个人是不是专业人员，主要看他是否具有某种给定专业的价值。专业人员必须具备专业价值，并且凭借其技术才能获得相关的许可证书。专业人员通常遵循与其工作相关的各种科学标准，专注于其技术能力范围内的工作，不受情绪影响，尊重客观现实，并且将客户利益放在自身利益之上。

从事医学技术设计、开发和管理的人员大致包括 3 类：科学家、商人和专业人员。首先来看科学家与专业人员之间的区别。科学家追求的是知识，其价值体现在提供证据并与同行进行交流。而专业人员则是为客户提供服务，解决客户自己无法处理的问题。虽然科学家和专业人员都要运用知识、技能和专长。但是，科学家是



凭才能工作，并向同行报道研究成果；而律师、医生和工程师等专业人员是为外行的客户服务。为了避免由于外行人员缺乏特定的知识而引起的麻烦，从事各种专业的人员通常由正式的国家许可机构来管理。专业人员和科学家都必须说服对象接受他们的发现。专业人员支持并遵循特定的道德规范为社会服务；而科学家则通过游说来说服同行接受他们的观点。

以医学职业为例，其专业人员的主要职责是治病救人。这些人不仅有责任来创建、发展并执行相关的职业规范，而且还应该在一定条件下不计个人得失为公众服务。为了确保服务质量，医学界非常重视许可制度和认证程序。也许有人认为，这是医学从业人员自己在执行社会监控机制，但是，这并不意味着社会的其他方面对医护人员的工作没有监督和控制作用。

专业人员的最后一个特征是职业道德。医生总是尽量宽容和支持病人，因而经常会在病人的愿望和社会利益之间陷入矛盾之中。例如，如何做到既尊重临终病人的意愿又不促进病人的死亡，这是医护人员不得不面对的道德问题。本书第2章将详细讲述医疗技术带来的这类伦理道德问题。

按照时间顺序，我们可以根据以下6个关键事物的建立情况来确定某个专业的发展状况：第一所培训学校；第一所大学；第一个地方专业协会；第一个国家专业协会；第一部国家许可法规；第一部正规的伦理道德准则。

在此发展过程中，最初的培训学校和大学一般注重基础知识学习的重要性。通过创新和改革，学校和教师会逐渐将理论知识与实践结合起来。以后，那些推进专业培训的人又会建立专业协会。协会规定职业机构的任务，也就是：提高新成员的素质，重新定位成员的职责，让那些技术上稍有欠缺的人员去干比较常规的、较容易的工作；并且，平息内部和外部争端。其中，内部争端可以是那些坚持原有制度的人与那些追求变革和创新的人之间的矛盾。于是，此时就出现了许可和认证等机制。人们相信这样的机制可以确保专业的最低标准，提高专业的地位，并且保护外行人。

专业发展的最后一项工作就是建立正式的道德准则，通常包括：淘汰不称职或无道德的从业人员的条例，减少内部竞争的条例，以及保障客户权益、强调为社会提供理想服务的条例。道德法规通常在专业形成的最后阶段制定。

生物医学工程专业的发展已经经历了上述6个关键步骤。20世纪50年代末，该专业最初由一群主要对于医学电子学感兴趣的人员兴起，现在已经从零星的群体发展为完善的组织机构。全世界大约有48个国际性协会为日益壮大的生物医学工程师队伍服务。如今，生物医学工程专业所涉及的领域非常广阔，近年来，组织工程学和人工智能等许多以前不属于该专业的新学科，现在也已经成为该专业不可或缺的部分。

在其发展过程中，专业协会起了主要的作用，它将该专业五花八门不同学科的成员聚集起来，分享在探索新技术应用时所获得的知识和经验，为改善人类的健康状况和提高生活质量而努力。通过生物医学工程协会（BMES）、美国医学与生物工程学会（AIMBE）以及隶属于IEEE的生物医学工程学会（EMBS）等专业机构的工作，国内和国际水平上的各个协会之间的合作如今越来越活跃。



## 1.7 生物医学工程专业学会

### 1.7.1 美国医学与生物工程学会

美国拥有世界上最大的生物医学工程师队伍,为这支队伍服务的有许多侧重点各不相同的专业机构,主要有:美国临床工程学会(American College of Clinical Engineering),美国化学工程师协会(American Institute of Chemical Engineers),美国医学信息学协会(American Medical Informatics Association),美国农业工程师协会(American Society of Agricultural Engineers),美国人工器官学会(American Society for Artificial Internal Organs),美国机械工程师协会(American Society of Mechanical Engineers),医疗仪器促进协会(Association for the Advancement of Medical Instrumentation),生物医学工程学会(Biomedical Engineering Society),IEEE生物医学工程学会(IEEE Engineering in Medicine and Biology Society),康复与辅助技术发展交叉学科联合会(interdisciplinary Association for the Advancement of Rehabilitation and Assistive Technologies),生物材料学会(Society for Biomaterials)。为了将这些不同协会中的各种生物医学工程内容统一起来,于1992年创建了美国医学与生物工程学会(American Institute for Medical and Biological Engineering, AIMBE)。AIMBE的主要目标是包容并统一美国的生物工程队伍,处理公共政策问题,为促进人类健康和提高生活质量不断开拓工程应用的新途径。AIMBE的联系方式是:1701 K Street, Suite 510, Washington, DC, 20036 USA; <http://www.aimbe.org/>; e-mail: aimbeoffice@gmail.com。

### 1.7.2 IEEE 生物医学工程学会

电气电子工程师学会(Institute of Electrical and Electronic Engineers, IEEE)是世界上最大的国际性专业机构,它共包括37个协会和理事会,其中IEEE生物医学工程学会(IEEE Engineering in Medicine and Biology Society, EMBS)是最重要的国际组织之一,为全球8000多位生物医学工程会员提供服务。EMBS主要致力于物理学和工程学的原理和方法在生物学和医学中的应用。该学会每年资助召开一次重大的国际学术会议,同时也在世界各地协助举办针对不同主题的地区性学术会议。学会出版的主要学术刊物有:生物医学工程学汇刊(Transactions on Biomedical Engineering)(月刊)、神经系统与康复工程汇刊(Transactions on Neural Systems and Rehabilitation Engineering)(季刊)、生物医学信息技术汇刊(Transactions on Information Technology in Biomedicine)(季刊)、纳米生物学汇刊(Transactions on Nanobioscience)(季刊)、IEEE医学与生物工程杂志(IEEE Engineering in Medicine and Biology Magazine)(双月刊)。还有与其他学会联合出版的学术刊物,包括:医学成像汇刊(Transactions on Medical Imaging)、神经网络汇刊(Transactions on Neural Networks)、模式分析与机器智能汇刊(Transactions on Pattern Analysis and Machine Intelligence)。IEEE EMBS行政办公室的联系方式是:IEEE, 445

Hoes Lane, Piscataway, NJ, 08855-1331 USA; <http://www.embs.org/>; e-mail: emb-exec@ieee.org。

### 1.7.3 生物医学工程协会

为了使代表生物医学利益和工程学利益的两个方面在协会组织中具有同等的地位,美国生物医学工程协会 (Biomedical Engineering Society, BMES) 于 1968 年应运而生。正如 BMES 章程中所述,其首要目标是“促进生物医学工程学知识的增长和应用”。该协会每年春季和秋季定期召开两次学术会议。另外,每年还与 AIMBE 和 EMBS 等其他生物医学工程学会联合举办各种专题的学术会议。与 BMES 有关的主要学术刊物有:生物医学工程纪事 (Annals of Biomedical Engineering), 是刊登生物医学工程多个领域创新性研究论文的月刊;生物医学工程通报 (BMES Bulletin), 是广泛刊登生物医学工程研究、新闻和相关事件的季刊;还有 BMES 会员目录 (BMES Membership Directory), 是罗列协会成员个人联络信息的年刊。BMES 的联系方式是: BMES, 8401 Corporate Drive, Suite 140, Landover, MD 20785-2224, USA; <http://www.bmes.org/default.asp>; e-mail: info@bmes.org。

上述各个生物医学工程协会的工作对于生物医学工程师职业地位的不断提升具有非常重要的作用。因此,鼓励所有生物医学工程师,包括该专业的学生,都积极成为这些协会的会员,并投入到真正的职业工作中来。

## 1.8 习题

1. 请说出下列各个历史时期发明的一项特殊“医学技术”,并说明它们的基本工作原理,论述其对于医疗保健系统所产生的影响。

(a) 1900 ~ 1939; (b) 1945 ~ 1970; (c) 1970 ~ 1980; (d) 1980 ~ 2003。

2. 请综述计算机技术对于医疗保健系统所产生的影响,举例说明计算机在该领域的应用及其发明时间。

3. “基因工程”这个名称意味着它具有工程作用,对吗?这方面的工作应该属于生物医学工程学领域吗?

4. 请详细论述人类基因组计划对于医学新技术的发展已经产生的作用以及预期将会产生的作用。

5. 请你展望一下,工程学和生命科学中哪些方面的进展将对临床医疗和生物医学研究产生最大的影响?

6. 医院的组织机构有 3 个主体:董事会、管理人员和医务人员。请说明 3 者各自的主要职责。临床工程部门应该属于哪个主体?请给出解释。

7. 根据定义,临床工程师应该具备哪些特征?

8. 请列举至少 7 项临床工程师特有的工作。

9. 生物医学工程师可分成 3 类:解题人、技术企业家和工程科学家;请分别举例

说明当今的典型人物, 给出姓名和他们的工作成就。

10. 下列人员是否符合专业人员的定义, 为什么? (a) 注册护士; (b) 生物医学技术人员; (c) 呼吸治疗师; (d) 医院管理人员。

11. 请列出从事生物医学工程工作必须掌握的知识, 在哪些正规教学环节中可以获得这些知识? 学习管理技能的最好方法是什么?

12. 假肢常被用于某些专业运动, 例如: 骑山地自行车或者驾驶汽车。请设计一款用于专业运动的上肢或下肢假体。

13. 成为一名职业假肢医师需要具备哪些经历?

14. 神经假体有哪两种驱动方法?

15. 成熟干细胞和胚胎干细胞有什么区别? 它们的来源各是什么?

16. 虽然干细胞研究最近已经可以获得联邦政府的资助, 但是, 允许的科研类型由州政府来决定。请查找你所在州对于干细胞研究的各种政策, 并写一段概述。

17. 请复制某个生物医学工程专业协会的主页, 并列出的该协会下一年度的主要活动事项。

18. 请搜索某个生物医学工程专业协会, 并列出的参加该协会的3个好处。

19. 你认为生物医学工程师在未来的医疗卫生系统中将会承担怎样的职能?

20. 请论述由于经济条件限制所造成的医疗保健方面的得失。

21. 请分析医学技术的经济成本因素和利益因素。

## 推荐阅读资料

C. Aston, Biological Warfare Canaries, IEEE Spectrum (2001) 35–40.

I.N. Bankman, Handbook of Medical Imaging, CRC Press, Boca Raton, FL, 2000.

J.D. Bronzino, Biomedical Engineering Handbook, first and second ed., CRC Press, Boca Raton, FL, 1995; 2000; 2005.

J.D. Bronzino, Management of Medical Technology: A Primer for Clinical Engineering, Butterworth, Boston, 1992.

E. Carson, C. Cobelli, Modeling Methodology for Physiology and Medicine, Academic Press, San Diego, CA, 2001.

D.J. DiLorenzo, J.D. Bronzino, Neuroengineering, CRC Press, Boca Raton, FL, 2008.

C.T. Laurencin, Repair and Restore with Tissue Engineering, EMBS Magazine 22 (5) (2003) 16–17.

F. Nebekar, Golden Accomplishments in Biomedical Engineering, EMBS Magazine 21 (3) (2002) 17–48.

A. Pacela, Bioengineering Education Directory, Quest Publishing Co., Brea, CA, 1990.

B.O. Palsson, S.N. Bhatia, Tissue Engineering, Prentice Hall, Upper Saddle River, NJ, 2004.

J.B. Park, J.D. Bronzino, Biomaterials: Principles and Applications, CRC Press, Boca Raton, FL, 2003.

D. Serlin, Replaceable You, University of Chicago Press, Chicago, 2004.

The IEEE/EMBS magazine published by the Institute of Electrical and Electronic Engineers, in: J. Enderle (Ed.), especially "Writing the Book on BME," vol. 21, No. 3, 2002.

M.L. Yarmush, M. Toner, Biotechnology for Biomedical Engineers, CRC Press, Boca Raton, FL, 2003.

# 第 2 章 道德问题与伦理问题

Joseph D. Bronzino 博士，策划工程师

## 本章目录

- 2.1 道德和伦理的定义
- 2.2 两条基本道德原则——行善与不伤害
- 2.3 死亡的新定义
- 2.4 晚期病人与安乐死
- 2.5 医疗决策权
- 2.6 人体试验
- 2.7 人体试验的定义和目的
- 2.8 知情同意
- 2.9 医疗器械产品开发生的管理
- 2.10 医疗器械的上市
- 2.11 可行性研究中的伦理道德问题
- 2.12 紧急使用的伦理道德问题
- 2.13 治疗使用的伦理道德问题
- 2.14 FDA 认证过程中生物医学工程师的职责
- 2.15 习题
- 推荐阅读资料

## 本章的主要学习内容：

- 道德和伦理的定义与区别；
- 功利主义和康德主义这两大主要哲学流派的基本思想；
- 医生、护士和生物医学工程人员的伦理准则；
- 现代社会的一些道德难题，包括死亡的新定义、晚期病人的护理、人体试验等，它们都源于行善和不伤害这两条基本道德准则。
- 目前新型医疗器械开发与使用的管理政策所涉及的道德问题。

医疗技术的飞速发展使人类进入了医学新时代。随着材料科学的发展，我们已经能够制造假肢、人造心脏瓣膜和人造血管等产品，从而产生了所谓的“备用件”手术疗法；无数病人的常规疾病诊断都用上了各种各样高技术成像设备；随着呼吸机、心脏起搏器和人工肾等先进辅助和治疗设备的发展，许多病人的生命得以延续。

然而，科学技术发展带给人类的并非全都是福音，它们也带来了严重的道德问题。如今，人类已经能够开发心血管辅助装置或者实施器官移植来维持晚期病人的呼吸和心跳，这迫使人们不得不重新审视死亡、生存质量以及尽力与怜悯等问题的含义，并且开始考虑病人拒绝治疗的权利（即预立遗嘱）和参与临床试验的权利（即知情同意）。可见，科技进步使人类医疗保健所涉及的道德问题变得越来越复杂，这给医务人员、生物医学工程师，甚至整个社会提出了新的令人烦恼的道德难题。

本章的目的是分析某些与新型医疗技术应用相关的道德问题，我们并不提供解决问题的办法和建议，只是表明每一种科技进步的结果都会影响人类价值观的核心问题。

科学技术与伦理学具有密切的联系，它们是人类文明社会的两大成就。科学技术是人类非凡才能的体现，它与人类伦理道德分别属于两个范畴，两者相互对峙，并不相交。一方面，通过伦理学分析，可以看到科学技术的潜力和限制；另一方面，科学技术以伦理道德为指导来实现人类的目标和利益。

在科学技术与伦理学的这种相互对峙过程中，我们希望从事医疗新技术开发和负责病人护理的人们能够通过批判地审视所谓的“公认”观点，来获得自己的结论。本章将首先介绍有关道德和伦理的定义，然后较详细地论述对于生物医学工程人员而言重要的一些道德问题。

## 2.1 道德和伦理的定义

自古以来，人们就一直在思考生命的本质及其意义。德国哲学家康德（Immanuel Kant, 1724—1804）曾经就此提出4个基本问题：我能认识什么？我应该做什么？我能希望什么？人是什么？部落是最早的人类社会组织形式，部落的风俗习惯中所包含的复杂的行为准则体现了早期人类社会中就存在上述这些问题。大约在公元前600年，希腊人把有关这些问题的众多原始思想、态度和观点简化成为一些很好的理论，并将它们整合成为普遍适用的智慧体系，这就是哲学。作为航海家和殖民者，希腊人与众多不同民族和文化具有密切的接触，在他们所接触的各种各样社会习俗、法规和制度的冲击下，希腊人开始审视并比较这些社会中的所有人类行为，而且把由此形成的那部分哲学思想称为伦理学。

伦理学的英文名词“ethics”来源于希腊文“ethos”，它是“习俗”的意思。另一方面，拉丁文中“习俗”一词是“cos”，其复数形式是“mores”，它与希腊文的“ethos”意思等同，是英文中道德“moral”和“morality”的词根。虽然伦理和道德这两个名词常被互用，但两者之间存在区别。

哲学家将伦理学定义为一门特殊的学问，而将道德作为该学问的主题。由那些持久不变的人类相互关系所产生的习俗称为道德。例如，说真话、欠债必还、尊敬父母、尊重他人的权利和财产等，都是我们所生活的社会的道德规范。大部分社会成员通常都认

为这些行为规范不仅是习俗，而且是正确的。因此，道德是指人们认为正确的、好的、应该遵循的习俗。

我们中的大多数人都能够遵循这些行为准则，根据基本道德规范调整自己的生活方式。许多人甚至宁愿牺牲自己的生命也不愿意背叛这些道德规范，他们不仅将道德规范作为自己的行为准则，同时也以此衡量他人的行为。那些漠视公认的行为准则的人则被认为是行为不轨者，在很多情况下这些人会因为社会不能接受的行为而受到惩罚。例如，行使了社会定义的“犯罪行为”的人被称为罪犯，通常要受到严惩。然而，这些行为准则的判定并不是一成不变的，它们必须经常调整，以适应社会的变化，从而避免它们阻碍社会的改革和发展。

道德观代表了社会的行为准则，而伦理学是研究人类行为的对与错、善与恶的一门学问。伦理学不关心人类行为的具体评判准则，只是客观分析人们“应该做什么”。由此可见，伦理学其实代表了道德的哲学观，因此，常被称为道德哲学。

考虑如下3个问题：严重畸形的婴儿是否应该存活下去？是否可以终止晚期病人的治疗而让他们死去？是否可以进行人体试验？这些问题属于道德问题还是伦理问题呢？根据上述定义可知，这3个问题都是道德评判问题。

哲学家们认为所有的道德评判都可以规范化，可以直接用善、恶、对、错等特征价值指标来表示。例如，以下就是一些常用的规范化评判：

- 偷东西是错的；
- 每个人都享有接受教育的权利；
- 自愿安乐死不应该合法化。

每一个评判都表明了一种价值观，也就是表达了人们支持或者反对某种事件的态度，因此，它们具有指导行为的作用。

然而，要做出道德评判，必须了解人类社会的正确道德标准。那么，什么是正确的道德标准呢？为了回答这个问题，我们先来了解一下目前主宰伦理学的两大对立学说，即功利主义与康德主义。功利主义注重行为的后果，是一种结果论；而康德主义则注重行为的动机，是一种非结果论。结果论认为可以达到最佳结果的行为总是正确的道德行为，其主要论点就是，没有特定的行为可以自动归为道德的或者不道德的，某种行为的对与错完全由其结果决定。

根据功利主义学说，在任何情况下，可以根据以下两步来决定应该采取的行动：首先，确定可以选择的行动；其次，判断哪种行动的结果能够获得最多快乐、最少痛苦。能够给“最多的人带来最大好处”的行为就是正确的道德行为。医疗仪器设计、开发和使用的主要动机就是提高医疗保健水平，因此，根据功利主义的观点，评价医疗技术的标准显然就是大家所公认的对健康有益，也就是能够维护人类的幸福感、避免痛苦。

由此可见，功利主义者提倡用结果验证方法。只要治疗方法能够达到最佳结果，就应该使用。然而，很多人并不认为结果一定能够验证方法，他们认为无论结果怎样好，人的权利始终是不可侵犯的。

与功利主义对立的伦理学学说就是非结果论，其支持者否认道德价值完全由行为的结果决定的观点，他们认为道德价值还与其他因素相关，不同意凡是能够获得最好结果的行为就是正确道德行为的观点。该伦理学学说主要基于康德主义，它坚持认为在道德观上人类具有其特别珍贵的东西。根据康德理论，人具有其他动物所没有的权利。例如，人不能为了食物而互相残杀和食用，不能为了体育运动而互相恶性竞争，不能为了医学而进行人体试验。这些都是基于人权观点的道德判断。总而言之，人拥有特殊的不可侵犯的权利，只因为他们是人。

这两种伦理学也可以用于科学研究是否可以进行动物实验的问题。功利主义认为，动物实验研究使得人类医疗保健技术的发展成为可能，因而使得反对者的种种理由显得微不足道。相反，非结果论则认为，虐待无辜且无防卫的生命是不道德的，因此，为了人类拥有更好的医疗保健技术而进行动物实验，这是不正确的手段。科研人员最终偏向于哪一方，这必须由他们自己根据信念和理解来决定。

可见，上述两种伦理学思想提供了一些道德评判的基本准则。但是，如果没有明确的道德判断，我们在处理问题时常常会面临困境。医学上，在判断病人治疗和保健方法的对与错时经常会遇到道德难题。很多情况下，医务人员必须在两种治疗方案中做出选择，而这两种方案似乎都不能达到令人满意的结果。例如，是延续生命重要，还是阻止痛苦重要？如果治疗可能会缩短寿命，那么，停止治疗是否正确？如果不治疗可能导致死亡，那么病人是否仍然有权利拒绝治疗？根据我们现有的判定对与错的准则，这些问题似乎都没有明确的答案。难怪康德会提出这样的难题：“我应该做什么？”

#### 案例分析：干细胞研究

精子与卵子相结合之后，就会发生受精过程并启动胚胎发育。精子一旦进入卵细胞，立即就会引起细胞膜离子通道的开放，从而使细胞膜去极化，阻止其他精子再进入卵细胞。然后，卵细胞的DNA开始复制，并在大约36h之后发生第一次细胞分裂。以后，发育过程继续进行，细胞开始卵裂，也就是细胞重复发生分裂，并且，其分裂周期只包含DNA合成的S期和有丝分裂的M期，基本上跳过一般细胞分裂所包含的G1期和G2期。因此，细胞的总体积并没有增加，只是分裂成越来越小的子细胞，这些细胞被称为分裂球（blastomere）。

受精5天之后，胚胎的细胞数目达到数百个，这些细胞紧密连接成上皮组织的形式，排列在一个腔体周围，构成所谓的囊胚。囊胚中存在一团突向腔内的细胞，这些细胞称为内细胞团，它将发育成为胚胎。外层细胞则形成滋养层，最终会变成胎盘。囊胚的内细胞团可以被分离出来，在体外进行培养，并由此获得胚胎干细胞。

必须注意，如果细胞分裂不断继续下去，细胞就会发生定型和分化。细胞发生分化后表现出其命运注定的特异性细胞功能。干细胞的定型与分化相关，但两者有所不同。已经定型的细胞群移植之后，不会被同化成为其他细胞，而是会生长成为其命运注定的器官组织细胞。

如图2.1所示，由于采集胚胎干细胞时会破坏胚胎，于是，就出现了以下问题：

1) 胚胎是否属于活人, 它是否具有其他年龄阶段活人所享有的人权? 这个问题可以分别根据功利主义和康德哲学两种观点来分析。

2) 是否任何对于人类幸福感有利的研究都应该去追求? 2009 年美国总统奥巴马签署了“行政命令 13505——解除对于涉及人类干细胞的科学研究的限制”。该命令使得美国国家卫生研究院 (National Institute of Health, NIH) 需要重新编写有关干细胞研究的指南。更重要的是, NIH 资助的干细胞研究项目不再需要总统审批。

3) 美国联邦政府是否应该支持 (也就是使用税金来资助) 这类研究工作? 或者, 相反, 政府应该拥有干预的权利?

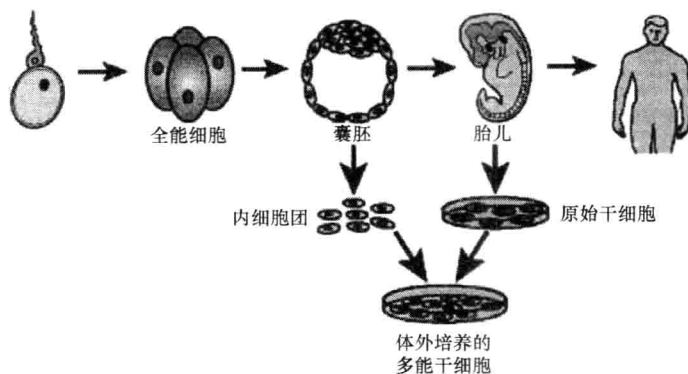


图 2.1 利用内细胞团产生多能干细胞的示意图

(摘自网址 <http://www.nih.gov/news/stemcell/primer.htm>)

医学中的各种道德难题当然不是现在才出现的, 它们贯穿着整个医学史。长期以来, 人们一直在努力为负责病人医疗保健的工作人员制定指导方针, 并建立了医学职业的特殊行为准则。下面介绍其中的一些原则和指导方针。

对于医学职业, 1949 年, 世界医学协会 (World Medical Association, WMA) 通过了希波克拉底誓言的修订版本, 名为《医学伦理学日内瓦协议法》(Geneva Convention Code of Medical Ethics), 其中包含如下誓言:

“我庄严地宣誓把我的一生献给为人道主义服务的事业。

我给我的老师们以尊敬和感谢, 这些都是他们应该赢得的。

我凭着良心和尊严行使我的职业。

我首先考虑的是我的病人的健康。

凡是信托于我的秘密我均予以尊重。

我将尽我的一切维护医务职业的荣誉和崇高传统。

我的同行均是我的兄弟。

在我的职责和我的病人之间不允许把对宗教、国籍、种族、政党和社会党派的考虑掺杂进去。



即使受到威胁，我也将以最大的努力尊重从胎儿开始的人的生命。

我绝不利用我的医学知识违背人道法规。

我庄严地、自主地、并以我的名誉做出上述保证。”

美国医学协会（American Medical Association, AMA）1980年通过了一套医学伦理学准则，并在2001年6月进行了修订。下面是修订前后两套准则的对比：

### 修订之前的准则

1980年美国医学协会代表议会通过

医学职业早就签署有伦理学声明，它们主要根据病人的利益建立。医师作为医学职业的成员，不仅必须对病人负责，而且必须对社会、对其他医务人员、同时对自己负责。下列是美国医学协会通过的准则，它们并不是法律条文，只是受人尊敬的医师的基本行为标准。

1) 医师应该抱着同情心和对人类尊严的敬重全心全意地提供称职的医疗服务。

2) 医师应该诚实对待病人和同事，并努力揭发人品不端和不称职的医师以及他们的欺骗行为。

3) 医师在尊重法律的同时，也有责任对那些违反病人根本利益的要求寻求变更。

4) 医师应该尊重病人、同事和其他医务人员的权利，并且在法律限定的范围内保守病人的秘密。

5) 医师应该不断学习和运用科学知识，并促进其发展。与病人、同事和公众交流相关信息，积极获取咨询，并利用其他医务人员的才能。

6) 除了急救情况以外，医师在所提供的合适的病人护理条件下，可以自由选择服务对象，选择合作人员和实施医疗服务的场所。

7) 医师有责任参与旨在改善社区状况的各项活动。

### 修订后的准则

2001年6月17日美国医学协会代表议会通过

医学职业早就签署有伦理学声明，它们主要根据病人的利益建立。医师作为医学职业的成员，必须首先对病人负责<sup>⊖</sup>，也必须对社会、对其他医务人员、同时对自己负责。下列是美国医学协会通过的原则，它们并不是法律条文，只是值得尊敬的医师的基本行为标准。

1) 医师应该抱着同情心和对人类尊严和权利的敬重全心全意地提供称职的医疗保健服务。

2) 医师应该拥护职业道德标准，诚实对待所有职业关系，并努力向相关机构报告人品不端和不称职的医师以及他们的欺骗行为。

3) 医师在尊重法律的同时，也有责任对那些违反病人根本利益的要求寻求变更。

4) 医师应该尊重病人、同事和其他医务人员的权利，并且在法律限定的范围内保守病人的秘密和隐私。

⊖ 下划线表示修订的内容。

5) 医师应该不断学习和运用科学知识,并促进其发展。承担医学教育的义务,与病人、同事和公众交流相关信息,积极获取咨询,并利用其他医务人员的才能。

6) 除了急救情况以外,医师在所提供的合适的病人护理条件下,可以自由选择服务对象,选择合作人员和实施医疗保健服务的场所。

7) 医师有责任参与旨在改善社区状况和提高公共卫生水平的各项活动。

8) 在治疗病人时,医师应该把对病人的责任放在首位。

9) 医师应该支持任何人都有权享受医疗保健服务的观点。

对于护理职业,美国护士协会(American Nurses Association, ANA) 1976年正式通过了护士章程,其中的声明和解释给护士履行护理职责时的行为和关系提供了指导。详见下文:

“序言:护士章程建立在对人的本性、护理、健康和社会的认识的基础之上。护理服务的接受者和给予者都是拥有基本权利和义务的个人和团体,他们的价值和境况在任何时候都必须得到尊重。护理的目的是促进健康的恢复、预防疾病、缓减痛苦。本章程的声明及其解释给护士履行护理职责时的行为和关系提供了指导,护理职责包括职业的道德义务和护理质量。

1) 护士应以尊重人的尊严的态度为病人服务,不论病人的社会和经济地位如何,个人品性和疾病的性质如何,对病人都应该一视同仁。

2) 护士应该能够判断病人信息的私密性,保护病人的私人权利。

3) 无论何人如果要以不称职的、不道德的或者非法的行为危害他人的健康和安全时,护士都应当采取措施保护病人和公众。

4) 护士有义务和责任承担病人护理的决策并实施工作。

5) 护士应该能够胜任护理工作。

6) 护士应该具备个人的能力和资历,能够做出正确的评判,寻求咨询、接受任务,并能够指派他人做护理工作。

7) 护士应该参加那些有利于本职业知识发展的活动。

8) 护士应该努力提高护理水平。

9) 护士应该努力创造和维护有利于提高护理质量的工作条件。

10) 护士应该努力防止公众误报和误传信息,维护护士职业的高尚。

11) 护士应该与其他医务人员和群众合作,为满足公众的健康需求,共同努力促进社区和国家的发展。”

这些准则作为护士行为的指导方针,表明了为人类服务和尊重人的生命的原则。读了这些行为准则后,很难想象谁还能对这些有关护理病人的主要目标的总结性陈述做出什么改进。然而,有些人认为这些准则并没有给目前医务人员所面临的很多道德难题提供答案。很多时候,护士不可能同时履行所有应尽的基本职责。例如,如果有一位脑部遭受严重损伤的病人正在用人工设备维持生命,而此时其他病人也需要使用这台设备,那么,根据上述指导方针,如何完成保护生命促进健康的护士职责呢?可能有人会争辩说,是否给予病人治疗是医生决定的,而不是护士决定的,

但是，这两种职业的工作人员都与病人的护理密切相关，他们都关心这种决定的最终含义。

随着对于职业行为伦理道德重要性的认识日益加深，生物医学工程人员也建立了各种职业道德准则。这些准则一般都由数条规则组成，它们既表明了所有职业人员应该遵守的最低标准，也提出了他们应该努力的目标，为从事该职业的人员提供了道德行为的指导方针。例如，以下是美国临床工程学会签署的道德准则：

“作为美国临床工程学会的成员，我同意遵守以下道德准则，我将：

- 1) 正确体现我的职责、权力、经验、知识和受教育水平；
- 2) 努力防止科学技术的应用给人类造成的风险；
- 3) 揭露那些可能影响信息的提供和获取的各种利益冲突；
- 4) 尊重信息的私密性；
- 5) 致力于人类医疗保健的发展；
- 6) 致力于改善医疗技术的管理和设施建设，从而控制其成本；
- 7) 促进临床工程职业的发展。”

这些准则有助于规范道德行为，但是，显然它们不可能提供针对每一种具体情况的道德指导。一个旨在使其成员道德行为规范化的职业，不能将其成员对于道德的认识只局限在职业准则的范围内，它必须为成员们提供各种资源，使他们在具体的特殊情况下有能力决定需要遵守哪些准则，从而使他们在指导性准则含糊不清或者根本没有的情况下，也能够做出符合伦理道德的判断。

## 2.2 两条基本道德原则——行善与不伤害

自古希腊文明的西方医学开始，在各种为卫生保健系统工作人员制定的准则和誓言中就一直包含了“行善”和“不伤害”这两条道德原则。行善（beneficence）就是提供帮助；不伤害（nonmaleficence）就是避免伤害。这两条原则的起源可以追溯到古典名作《希波克拉底文集》（Hippocratic Corpus）。该文集虽然以公认的西方医学创始人希波克拉底命名，然而，医学历史学家其实并不能肯定文集的全部内容（甚至包括希波克拉底宣言）究竟是否出自其本人之手。可以断定文集中的部分内容写于公元前6世纪，但其他内容却被认为写于公元初期。历史学家认为文集的很多具体道德准则并不是古希腊和古罗马时期一般医师的实际行医方法，也不是他们的道德思想。

无论如何，至少有一部分古代医师将如下这句名言作为基本医学道德准则，这就是“面对病人，要习惯于做两件事：一是救人，二是至少不伤害。”随着希腊文明的衰败和基督教的兴起，行善和不伤害逐渐成为医疗行为的基本道德原则。虽然这两条原则在古希腊和古罗马医疗技术中只是附属品，然而，基督教所强调的人类同情心和兄弟情使这两条原则逐渐变成了唯一可接受的行医动机。甚至在如今制定的西方医务人员行为准则中，仍然与以前行医者的誓言和准则中一样，强调行善和不

伤害。

传统医疗保健伦理学中对于不伤害的强调程度明显超过行善，这与医学发展历史有关。历史上，医学的伤害能力远远超过其保护和恢复健康的能力。行医者的很多治疗方法对病人显然有极大的危险，并且似乎不会带来什么好处，真正有效的治疗方法实在太少。在这种情况下，当然要尽可能强调不伤害，优先考虑不伤害，而不是行善。

现代科学技术的发展彻底改变了这种状况。实验研究获得的知识、临床试验得到的结果以及统计方法验证的数据等都在不断充实医学知识，指导医疗活动。这种医学与科学之间的持续合作已经成为大量医疗技术发展的主要源泉，遍及整个医疗保健系统，使得医学的治疗、预防和康复能力显著提高，从而也将“行善”推到了医学道德的前沿。有人甚至提出，“不伤害高于一切”的老观点已过时，应该用“病人应该获得最好的治疗”的新观点来代替。然而，日新月异的医疗技术也带来了很大的不确定性，人们很难断定究竟什么会给病人带来最大的益处和最小的伤害。换言之，随着医学“行善”能力的增强，医学技术也带来了究竟什么是有益且无害治疗的许多争议。

以上概述了医学伦理和道德的一些基本原则，下面我们介绍医疗技术的应用所带来的几大具体道德问题。

### 2.3 死亡的新定义

虽然医学上很早就开始观察并鉴定死亡，但是，许多医生并不了解生命起始和终结的哲学观点。由于医学是一门经验性的临床科学，过去，医务人员在医学上似乎没有必要考虑死亡的基本概念，只要知道死亡的事实就足够了。以前，活与死被看做两种极端情况，两者之间存在着无限隔断的鸿沟。如今，医务人员利用先进的医疗技术可以延长病人的生命，活与死的定义也因此发生了变化。

毫无疑问，医疗技术的应用已经从死神手中挽救了无数病人的生命。这一点从人均预期寿命（average life expectancy）的变化趋势上就可以得到证实。例如，如今美国的人均预期寿命男性为74.3岁，女性为76岁；而在1900年，男性和女性的人均预期寿命都只有47岁。发达国家的科学技术已经成为社会文化的一部分，这使得婴儿的死亡率也大大下降。医疗技术所提供的人工环境使早产儿不再受到死亡的威胁。如今的医学技术不仅可以减少早期死亡，还可以有效地推迟那些不可避免的死亡的发生时间。例如，心脏起搏器、人工肾等各种各样医疗仪器使无数病人的生命延长了很多年。医学技术的发展所取得的成功甚至可以使医务人员能够长时间延续濒死病人的“生命体征”。然而，这些医疗过程也产生了有关病人生存质量的重要哲学问题。

假如有位病人在一次交通事故中脑部严重受伤，赶到事故现场的救护车上的急救人员发现病人已经昏迷，但心脏仍然在跳动。病人被送到医院急诊室之后，值班医生的检

查结果表明病人的心跳和呼吸生命体征稳定, CT 扫描显示大范围严重颅脑损伤, 头皮电极测得的脑电图也表现出明显的异常。在这种情况下, 显然会出现这样的问题: 病人究竟处于什么状态, 是死还是活?

再举一个开胸手术的例子。假设手术时病人身上连接了人工心肺机, 外科医生正在修复病人受损的心脏瓣膜。在复杂而漫长的手术期间, 原来正常的脑电图监测波形突然几乎变成了一条直线, 显示出非常微弱的脑电活动。但此时人工心肺机仍然维持着病人的所谓生命体征。这时医生应该怎么办? 仍然认为病人还活着并继续手术呢, 还是认为病人已经死亡?

临床上, 上述这些情况越来越多, 从而促使医务人员重新审视死亡的定义。实际上是拖延死亡的先进医疗技术提出了死亡的重定义要求。这没什么可奇怪的, 其实在人类历史上死亡的定义一直与医学知识和医疗技术的发展密切相关。以前, 长达数百年时间里, 人们一直认为没有呼吸就是死亡。后来, 人体生理学知识不断得到积累, 而且医疗技术的发展可以使失去呼吸的人重新苏醒过来, 于是, 人们逐渐将心跳作为确定死亡的主要指标。然而, 随着支持性疗法、心血管辅助装置和器官移植等医学技术的进一步发展, 死亡的定义又发生了变化。

随着人类对于人体结构及其功能的不断深入了解, 现在大家都知道血液的主要成分之一是氧气, 任何人体器官如果持续缺氧超过一定的时间就会停止工作并死亡。具备高级功能的脑组织特别容易受到缺氧的伤害, 供血中缺氧时间超过很短的 3min, 脑组织都会产生不可逆的损伤。于是, 人们又将死亡的征兆从心脏转移到脑。自从医学上能够利用脑电图监测脑的活动之后, 死亡的定义中就引入了一个新的指标。脑死亡观念的支持者认为人脑是生命真正不可缺少的东西。一旦脑受到不可逆的损伤, 那么, 脑所控制的功能, 以及记忆、感觉、思维和认知等与人性相关的功能就都会受损。

这样, 临床上被广泛接受的死亡的定义就变成了肺、心脏和脑的自发活动全部丧失。也就是, 在宣布任何人死亡之前, 其心、肺、脑三个主要器官都必须已经不可逆地停止工作了。虽然肝和肾等其他器官系统的受损可能会通过其对心、肺、脑重要功能的致命影响最终导致病人的死亡, 但是, 临床死亡的定义不包括这些内容。

然而, 随着先进呼吸机技术的发展, 遭受不可逆脑损伤的病人依靠呼吸机几乎可以一直维持下去, 这种病例如今越来越多。于是, 医疗技术的新发展再一次要求我们重新审视死亡的定义。

1968 年, 哈佛医学院特别委员会发表了一份报告, 极大地推进了重新定义死亡的工作。该报告提出了另一种基于脑功能的死亡定义, 被公认为是医学技术发展史上有关死亡问题的一个里程碑。

简而言之, 该委员会制定的死亡标准包括下列内容: 病人必须无感知并无反应, 也就是处于不可逆昏迷状态。撤除机械呼吸机时, 病人必须没有呼吸活动。病人必须没有任何反射反应。病人的脑电信号变为平坦的时间必须至少超过 24h, 表明其没有脑电活

动。只有当这些条件都满足时，才能宣布病人死亡。

同时，该委员会还强烈建议，参与死者后续的器官或者组织移植工作的医生不能是宣布病人死亡并撤除呼吸机的人。这样，供体病人的死亡就不会受到器官移植动机的逼迫。这一点很重要，必须将护理受者病人的权利和责任与护理供者病人的权利和责任彻底分开。

脑死亡概念的出现表明仅仅具有生物活性的人并不能称为活人，这其实说明植物人的生活并不是人的生活。我们很多人都理所当然地认为真正活在世上的人必须具有“完整的大脑功能”，正是这种思想使得死亡的定义逐渐从以心跳和呼吸为指标，转变到面向脑的指标。

实际上，完全且不可逆的脑功能丧失被称为脑干死亡（brainstem death），也就是全脑死亡，或者简称脑死亡，它已经被公认为死亡的法律标准。按照这个标准，脑死亡的病人在法律上与死尸没有什么区别。即使医疗技术的干预可以维持其呼吸和血液循环功能，这种人在法律上可以与死尸一样处理。很多人认为这个法律标准是符合道德原则的，一旦发生脑干受损，人脑就根本不能工作了，除非使用人工辅助设备维持生命状态，否则机体的各种调节机制都会失去。因此，利用机械方法维持脑死亡病人的状态只不过是推迟不可避免的最终结果的发生时间而已，对于其人性、人格和意识的丧失都毫无作用。是机械干预使这样的人体看起来与死尸不一样，但是，机械通气状态下的死尸终究还是死尸。

虽然已经形成共识，脑死亡就是死亡，处于脑死亡状态的人其实就是一具死尸，但是，棘手的病例仍然存在。例如，某病人处于持续性植物状态，也就是所谓的新皮质死亡（neocortical death）。这种病人虽然遭受了严重的脑损伤，但其脑功能仍然足以维持呼吸和循环系统的功能，并不需要机械辅助。然而处于持续性植物状态的病人对于外界刺激不能产生有目的的响应，也没有自我意识。然而，病人的眼睛可能会间歇性地睁开，并且可能表现出睡眠觉醒周期。某些病人甚至可以自发地产生打哈欠、咀嚼和吞咽等动作。与毫无反应的脑干死亡病人不同，这种病人可以诱发出各种简单或复杂的反应。但是，这样的病人重新恢复意识的机会非常渺茫。在人工进食、肾透析等方法的维持下，这种病人的状态可以维持数十年。

如果脑干死亡是死亡，那么，新皮质死亡也是死亡吗？同样，这个问题并没有明确的答案。这里也需要确定这种病人与死尸之间存在哪些不同之处，从而证明在道德上是否允许像死尸一样处理。根据传统上呼吸和循环不可逆停止工作的死亡标准，处于持续性植物状态的病人并不是死尸，道德上不能像死尸一样处理。另一方面，根据脑干死亡标准，处于新皮质死亡的病人也不是死尸。因为该标准的关键是脑损伤的严重程度必须达到身体各种调节机制的丧失。

那么，与利用机械辅助设备维持呼吸和血液循环的脑死亡病人相比，新皮质死亡的病人缺少了哪些特征呢？这是一个社会必须回答的问题。有了答案之后，才能清楚怎样的治疗对于新皮质死亡病人是属于行善和不伤害。

**案例分析：Terri Schiavo 与脑死亡争议**

1990年2月，本该身体健康的27岁女青年 Terri Schiavo 在家中突发心脏病，昏倒在地。虽然 Schiavo 最终苏醒过来，并且对外界环境有了反应；但是，经过1年各种康复治疗和家庭护理之后，当时才28岁的她被诊断为不可逆的迁延性植物状态（Persistent Vegetative State, PVS）。1998年，她丈夫 Michael Schiavo 向佛罗里达法院提出申请，要求停止维持他妻子的生命。该申请遭到女方父母的强烈反对。

2001年，医生诊断 Schiavo 患脑死亡，报告称她的脑干严重损伤，80%的大脑功能已丧失。于是，维持 Schiavo 生命的鼻饲管被撤除，但几天后由于她父母的上诉被重新放回。最终，她的鼻饲管一共被撤除了3次，每次她丈夫兼法律监护人都极力争取让妻子“安乐死”，但她父母却坚持认为女儿仍然具有认知能力，要求再做测试。

最后，2005年，在 Schiavo 患病15年之后，她的鼻饲管被最后一次撤除，2周后她死于脱水。美国媒体对此事进行了追踪报道。而此时该案件仍然没有获得美国最高法院的判决。

1) 如果脑死亡患者没有遗嘱，那么，由谁负责做决定呢？如果亲人有异议，谁负责调解呢？

2) 谁应该承担脑死亡患者的医疗费用？2006年，被认为已经患脑死亡23年的 Rom Houben，经过一系列先进的脑扫描成像试验后，被发现仍然具有完整的大脑功能。Houben 于1983年20岁时遭遇车祸后瘫痪。原为武术爱好者的他在长达20多年的时间里被认为是 PVS 患者。经过治疗，他现在已经能够通过打字来与人交流，并可以利用辅助装置躺着看书。“我要看书”，Houben 敲击键盘写道：“现在与朋友在电脑上交谈，享受生活。大家已经知道我没有死。”

3) 随着医学诊断技术的不断发展，PVS 患者应该允许被“安乐死”吗？

## 2.4 晚期病人与安乐死

如今，晚期病人经常会发现自己处于一种奇怪的境地，一方面，社会制度和医疗技术在帮助他们对抗死亡，而另一方面，拥有先进科学技术的现代化医疗系统却可能造成病人及其家庭相当大的经济负担以及心理和生理上的痛苦。而且，为了延续生命，先进的医疗技术经常可以拖延临终病人的死亡过程，使病人更加有损尊严。这种情况又引起了一个医学道德难题，如果医务人员停止晚期病人的治疗，或者给病人注射致死剂量的药物，这究竟是对还是错呢？

这个问题已经成为如今社会需要考虑的主要问题之一。虽然交通事故、用药过量、酗酒、谋杀、自杀等造成的死亡随处可见，但是，对于大多数人而言，一般都是寿终正寝，或者死于某些慢性病。当生命的旅程即将终结时，人们希望那一天到来时所有的烦恼都会结束，满怀同情心的家属们也常抱有这种愿望。但是，抱着唯一目标的医学治疗却经常会粉碎这种愿望，无论如何，医学治疗都要尽可能延续生命。于是，很多希望尊



主动安乐死中，必须有人做了某件导致病人死亡的事；而被动安乐死中，病人的死亡由疾病引起，而不是人的行为引起的。这种说法对吗？假如某位医生有意不治疗一位晚期病人，然后病人死亡了。再假设，该医生为自己辩解说“我没做任何事，病人是病死的，我没有使他死亡。”根据目前的法律和道德标准，这样的辩解毫无说服力。这位医生肯定会像主动杀死了病人那样受到谴责。因此，医生采取措施一直治疗到病人死亡为止，这才是被人理解的行为。

安乐死还可以分为自愿与非自愿两类。如果为病人实施的安乐死只是为病人好，但不是病人自己的意愿，那么，这种安乐死就是非自愿的。可见，从道德方面看，非自愿安乐死与不道德的杀人没有什么区别。但是，当病人已经没有能力表达同意与不同意时该怎么办呢？假如某位晚期病人丧失了意识，无法表达自己的意愿。那么，是否允许加速他的死亡呢？如果有充分的证据能够表明病人事先曾经同意这种做法，那么，这是可以的。例如，病人可能告诉过亲戚和朋友，在某些情况下不应该继续延长他的生命，甚至可能有遗嘱，或者有录音带、录像带等记录资料。如果有这种事先同意的证据，那么，实施安乐死就不违背道德。这种情况就属于自愿安乐死。

病人在签署遗嘱时必须具有清醒的意识，并且在签署遗嘱与疾病发作之间的这段时间里没有改变主意，只有这样遗嘱才有效。此外，遗嘱的证明人不能是病人死亡的利益获得者。正如遗嘱本身所述，它并不是具有法律约束力的文件，它只是被动的请求，只有道德上的说服力。然而，遗嘱的倡议者们相信，在决定让病人自行死亡时，遗嘱可以减轻医务人员和家人的负罪感。

那些赞成安乐死的人认为个人权利和选择自由是最重要的，他们把安乐死看做结束病人痛苦的一种仁慈的方法，尊严死比不断遭受痛苦而逐渐衰弱直至死亡更有吸引力。这些倡议者们把每个人看做拥有独特思想和个性的理性人，他们坚持晚期病人应该有权控制自己生命的结束。另一方面，那些反对安乐死的人却强调谁也无权结束他人的生命。

有些人则根据已建立的准则行事，他们提醒那些对病人承担负责的人必须尽力挽救生命。他们的意见是医务人员不可能在认为安乐死是合理的同时仍然履行自己的誓言。如果晚期病人还活着，那么，至少还有机会寻找可能有用的治疗方法。反对安乐死的人觉得安乐死的合法化会破坏医生与病人之间的信任。如果病人不相信医生和护士会尽全力给予治疗，并且知道，一旦病情恶化，医务人员就会失去信心，并可能决定还是让病人死亡好，那么，病人会怎么想呢？那些反对者还质问安乐死究竟是真正对遭受痛苦的病人有利，还是只是减轻病人家属苦恼的一种办法。他们相信，无论破坏多么微弱的生命，如果只是为了解除他人的精神痛苦，实在是不公平的事情。

还有很多人担心，如果安乐死合法化，那么，很难定义和建立执行安乐死的明确的基本条例。而且，一旦社会接受了任何形式的安乐死，就会引出许多其他问题。即使只允许被动安乐死，它也可能被用于各种收治智障病人和老人的国立医院和机构，那些地方现在住着成千上万没有生活希望的人。另外，被动安乐死的合法化可能会使更多的父母寻求方法，结束身患不治之症的孩子的生命，从而摆脱烦恼；也会有更多的子女寻求方法，提早结束年老的或者身患绝症的父母的痛苦。例如，在纳粹德国，安乐死最初只



严死的病人的要求经常与如今的医疗标准不相容。

例如,下面这种案例就是如今病人、家庭、医务人员和社会经常会共同面临的一个问题。假如有一位中年男子动脉破裂引起脑出血,并失去了知觉,而且一直住院治疗,再也不能够恢复知觉,处于新皮质死亡状态,也就是慢性植物人状态。塑料袋中的营养液通过手术放置的胃管直接滴入其胃部,以维持他的生命。病人的护理每天需要7.5h,护理工作包括剃须、清洁口腔、梳理、清除肠道和膀胱的排泄物等。再假设他妻子通过法律途径要求停止其丈夫的所有治疗,包括停止营养液和水的供给,使其丈夫的机体可以彻底死亡。她向法庭陈述了有力的证据,表明在这种情况下她丈夫所希望的就是这样的结果。

这种案例产生的主要道德问题就是病人生存质量的下降是否已经达到道德上允许的有意结束生命的程度。清醒的时候,病人曾经清楚地告诉家人和朋友,他宁愿死也不愿意在无法恢复意识的状态下通过机械装置维持生命。那么,是否可以按照他的意愿行事呢?首先必须明确怎样的生存能力和质量值得维持下去,反过来,这些生存质量的缺失是否足以作为结束生命的依据,至少这可能是病人自己的意愿。如果这个问题没有明确的答案,那么,传统的医学伦理学准则,也就是行善和不伤害,就没有指导意义,因为无法确定终止维持病人生命的支持对病人究竟是有益还是有害。

对于多数人而言,争取生命是正确的职业观,他们认为医学始终应该致力于应用先进技术尽可能延长人的生命。然而,对于晚期病人,这并不是唯一的办法。如果要保护个人权利,那么,医生尽可能延长生命的某些做法所引起的一些道德问题就必须解决。只要各种药物、手术、呼吸机、人工肾、心脏起搏器等的使用能够延长病人的生命,就尽可能实施,这不应该是医务人员的唯一目标。医务人员应该给予每位病人合理的生存质量。正是出于这种新观点,安乐死再一次成为医学界争议的问题。

“安乐死”的英文“euthanasia”源于两个希腊文字“美好”和“死亡”。其实很多原始社会都不同程度地施行安乐死,例如,古希腊在Cos岛上每年要举行一次老人和病人的聚餐,让他们饮用一种毒药。甚至亚里士多德也主张对严重畸形儿实施安乐死。其他古代社会也用类似的方法对待老人,当某些人不再有用时就会被抛弃。然而,随着基督教在西方社会的传播,人们对安乐死产生了一种新的态度。因为圣经中耶稣基督的信条是“不能杀人”,“杀人者应判死刑”,于是,安乐死的实施大为减少。

如今社会,安乐死更多的是意味着“尊严死”。当生命只能依靠机器维持,似乎不再有价值时,才能实施安乐死。在许多情况下,安乐死意味着终止生命是为了避免病人在不治之症的晚期忍受不必要的痛苦,因此它具有解脱痛苦的含义。

在讨论安乐死的道德问题时经常将其分成主动安乐死和被动安乐死两类,两者的区别在于实施安乐死的行为是积极的还是消极的。如果通过注射针剂等方法加速病人的死亡,相当于杀死病人,这是积极安乐死。如果不采取可以有效推延病人死亡的措施,任病人自行死亡,这是消极安乐死。这两种安乐死的区别在于主动和被动。在被动安乐死中,医生并没有做任何导致病人死亡的事情,死亡是由病人所患的疾病引起的。相反,在主动安乐死中,医生做了某件事,从而导致了病人的死亡。例如,医生给癌症病人注射致命的针剂后引起病人死亡,这就是医生导致病人死亡。而如果医生只是中止治疗,那么,死因就是癌症。

是用于结束晚期病人的痛苦；但是，后来，安乐死的实施普及开来，以致那些稍有不正常的人，如精神病人都遭到杀害。显然，这种情况发人深省。

#### 遗嘱样本

我的家人、医生、牧师、律师们：

如果将来某个时候，我没有能力再决定自己的未来，那么，就让这份声明作为我的意愿。如果我没有任何合理的希望能够恢复身体或精神上的残疾，我要求让我自行死亡，不要用大量的人工措施维持我的生命。死亡与出生、成长、成熟和衰老一样，是必然要发生的事情。我宁愿死，也不愿意因为病情恶化、失去自立以及绝望的痛苦而失去尊严。即使药物会加速死亡，我也请求给我使用能够减轻我最终痛苦的药物。本请求经过慎重考虑。虽然这份遗嘱没有法律约束力，但我希望关心我的人能够从道德上满足我的要求。我知道这会让您们承担沉重的责任，我希望这份遗嘱能够分担这种责任并减轻它给您们带来的内疚感。

签名\_\_\_\_\_

日期\_\_\_\_\_

证明人\_\_\_\_\_

## 2.5 医疗决策权

医疗决策的选择可能会极其困难，它们往往涉及令人不愉快的问题，而且，往往在我们的身心都最脆弱的时候出现。这些选择几乎总是涉及新的医学信息，使人感觉很陌生且无法抗拒。以下步骤有助于人们进行医疗决策：

- 1) 获取所有数据，也就是明了各种医疗数据；
- 2) 了解所有选择及其后果；
- 3) 根据你自己的价值观，给每一种选择设定一个价值。

这3个步骤构成的“数据—选择—价值”途经所关注的只是“如何”决策，而同样重要的是“谁”做出决策，必须有人对每一种医疗方案做出决策。理论上，做决策的人应该是与决策最密切相关的人，也就是病人。然而，多数情况下，却是其他人做决定，如配偶、家人、医生或者是代表病人的其他人。这里，必须清楚医疗决定的同意权由4个层次组成：

- 最中心的第一层是病人；
- 第二层是利用病人先前的指示，也就是根据遗嘱等文件进行决策；
- 第三层就是他人为病人做决定，也就是从自我控制变换为他人代理控制；
- 最后一层是法院和政府。当病人丧失能力，也没有明确的预先指示，该由谁做决定不明确时，社会法令告诉我们法院和政府是我们最终可以求助的地方。

上述3个步骤和4个层次只是在混乱的医疗决策过程中加上了一些条理，它们有助于人们掌握控制权。

## 2.6 人体试验

在现代社会中，医学研究长期以来一直拥有崇高的地位，从预防脊髓灰质炎（即小儿麻痹症）的 Salk 疫苗和 Sabin 疫苗的成功开发，到人工器官的研制，医学研究的卓越成就受到公众的热情赞颂。然而，为了确定研究结果的有效性以及临床应用价值，新药和新型医疗仪器最终都必须经过人体试验。这里存在的问题，一是人是否应该参与旨在对自己或者他人有利的临床试验，二是要明确这些试验在什么条件下才能允许进行。

例如，假设有一位 50 岁女性病人患有严重的冠心病，那么，在对她可能有益也可能无益的新药或者新仪器试验中应该遵循什么指导方针呢？是不是只有那些看起来对她可能有益的试验才能做呢？为了评价某些诊断方法和仪器设备的有效性，即使它们对受试病人没有直接的益处，并且还有其他更容易接受的治疗方法可供选择，在这种情况下，可以在病人身上进行临床试验吗？

我们再考虑一个有关人体胎儿医学研究的问题。随着美国社会堕胎的合法化和胚胎研究技术的发展，这类研究已成为可能。那么，在什么情况下才能进行这方面的医学研究呢？例如，为了确定某些药物对胎儿的影响，是否可以让正在计划堕胎的妇女服用这些存在潜在危险的药物呢？流产的胎儿是否可以用于任何实验研究呢？这些问题很难回答，但是，对病人的幸福负有责任的临床研究人员在试验新仪器和新方法时必须面对这些道德问题，同时也必须保护病人的个人权利。

### 案例分析：新生儿重症监护病房

新生儿出生体重不足往往由早产引起，长期以来，它是影响婴儿存活率的一个主要因素。体重不足的婴儿通常分成两类，一类是体重小于 1500g 的低出生体重儿（Low Birth Weight, LBW），另一类是体重小于 1000g 的极低出生体重儿（Very Low Birth Weight, VLBW）。护理这些婴儿时必须极其小心谨慎，要尽可能增加他们的存活率。随着各种早产儿医疗护理技术的发展，如改进的体温调节技术和通气技术等，现在 LBW 和 VLBW 的死亡率已经大大降低。如图 2.2 所示，新生儿重症监护病房（Neonatal Intensive Care Unit, NICU）的建立也是一个重要的进步，它将维持婴儿生命所需的设备都方便地集中在一起。

NICU 中最重要的设备之一就是早产儿培养箱。这种装置一般用透明塑料制作，用于稳定婴儿的体温。培养箱使医务人员不必用毯子包裹婴儿就可以保持婴儿的体温。培养箱还可以防止感染并保持生长环境的湿度。新生儿环境温度和湿度的稳定可以使婴儿身体保持一定的水分，避免水分的丢失。

很多新生儿都患有一种并发症，就是不能自己正常呼吸，要么完全不能呼吸，要么有呼吸暂停现象。所谓的呼吸暂停是一种非周期性的不规则呼吸模式。

容易发生呼吸暂停的婴儿必须受到密切监视，一旦他们的呼吸停止了，护士就必须冲到床边唤醒他们。但是，有时护士赶到现场需要数分钟时间。为了便于唤醒发生呼吸暂停的婴儿，生物医学工程技术人员开发了一种触觉振动器，它由呼吸暂停事件

触发，会在婴儿脚底产生振动，从而自动唤醒婴儿。为了证明这种装置的有效性和安全性，必须进行人体试验。这时，需要解决如下问题：

- 1) 谁负责这项试验研究？
- 2) 这种试验的审批程序应该包括哪些内容？
- 3) 知情同意的方针应该是什么？

4) 在试验研究过程中如果装置有所改动，并且这些变化改变了装置在原来申报时的性质，那么，这些改动是否应该准许呢？

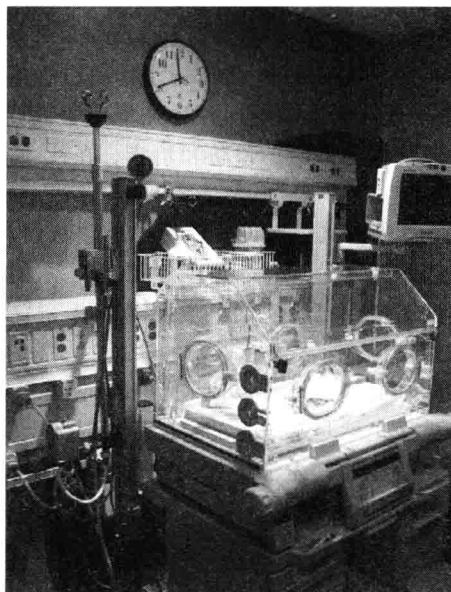


图 2.2 新生儿重症监护病房

(摘自网址 <http://www.pediatrics.ucsd.edu/Divisions/Neonatology/Pictures/Image%20Library/NICU%20Bed.jpg>)

## 2.7 人体试验的定义和目的

你可能会问，究竟怎样的试验是人体试验呢？虽然试验方法有各种各样的变化，但是，一般认为只要在临床病人治疗过程中有意收集有关药物和器材使用效果的信息，就属于人体试验。以前，人体试验分成治疗性（therapeutic）和非治疗性（nontherapeutic）两类。治疗性试验是可能对病人直接有利的试验，而非治疗性试验则只是为了获取更多的知识，而不是直接有利于病人。两者的主要差别在于试验目的，而不是试验结果。

在整个医学发展史上，治疗性医学试验的例子层出不穷。例如，应用非常规放射治疗抑制恶性肿瘤，利用心脏起搏器提供正常心脏功能所需的电刺激信号，还有使用模拟

肾脏功能的人工肾排除血液中的毒素等，这些医疗技术都曾经是对病人可能有价值的治疗新方法。经过临床试验，现在已经证实它们不仅对病人有益而且对整个人类社会都有利。

非治疗性试验也一直是推动医学发展的重要方法。例如，肝炎病毒感染、疟原虫感染以及心脏导管插入手术的效果等方面的实验研究都曾经对医学的发展产生过重要的作用，对于造福全人类的医疗技术的最终发展具有深刻的影响。

20 世纪 70 年代中期，美国“保护生物医学与行为学研究的受试人的国家委员会”（National Commission for the Protection of Human Subjects of Biomedical and Behavioral Research）提出用“实践”（practice）和“研究”（research）这两个术语来替代传统的治疗性和非治疗性试验。1986 年，Alexander Capron 引用委员会的报告内容写道：

“实践”是指那些具有合理的成功期望，并且纯粹为提高病人或客户的幸福而进行的活动。在医学界，实践通常包括诊断、预防和治疗；在社会上，实践包括政府的转移支付和教育等项目。

相对而言，‘研究’是指验证某个假设、获取结论，从而对基础知识的发展有所贡献的活动，基础知识可以表示为各种理论、原理、相互关系的描述等。由此可见，实践和研究处于两个极端，实践是应用已证实的科学技术造福于人类的活动，而研究则是为了增加知识而开展的工作。”

分成实践和研究两种活动的优点是可以使人们明确造福于病人的临床实验并不是只有治疗性活动，但这种分类法仍然是基于目的，而不顾结果。为了病人的利益而应用已证实的科学技术，这类活动是实践；为了增加理论知识而进行的活动则是研究；那么，不符合这两种性质的活动又是什么呢？

无效实践就属于这类活动，它包括预防和诊断治疗活动。使用“无效实践”一词的主要目的是为了保护病人的利益，向病人强调将要进行的试验还没有被证实是安全且有效的。对于那些将要接受无效实践的人，必须让他们适当了解情况，并取得他们的同意。

#### 案例分析：人工心脏

20 世纪 80 年代初，为了给当时最新研制的人工心脏 Jarvik-7（见图 2.3）挑选第一位候选使用者，有关部门专门成立了一个审查委员会。大家决定第一位接受人工心脏移植的病人必须是已经濒临死亡的人，如果选择还可能活一年的病人进行试验，那是不道德的，因为人工心脏很可能会立刻杀死病人。

1) 这属于无效实践吗？

2) 这种情况是否仍然需要知情同意？

手术一周后，病人 Barney Clark 从头到脚开始发生痉挛。每次痉挛发作期间，Clark 失去知觉的身体都会颤抖数小时。在接下来的几个月时间里，痉挛和精神错乱不断发生。最后，Clark 表示希望死去。虽然在一段采访录像中 Clark 确实肯定了人工心脏的作用，但他并不幸福，身上绑着一个大机器，几乎没有知觉，而且还要忍受痛苦。此后，1983 年 3 月 Barney Clark 死于多发性器官衰竭。

3) 请利用本案例详细讨论“成功的标准”和生存质量的概念。

4) Barney Clark 受尽痛苦。谁应该作为责任方来决定对于病人而言什么是正确的选择? 如果双方都希望获得好的结果, 就可能基于病人的最佳预后做出公正的决定吗?

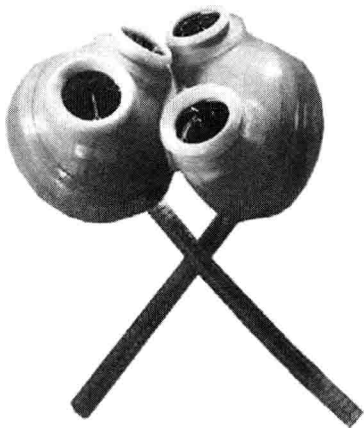


图 2.3 1985 年的 Jarvik-7 人工心脏

(摘自网址 [http://www.smithsonianlegacies.si.edu/object\\_description.cfm?ID=172](http://www.smithsonianlegacies.si.edu/object_description.cfm?ID=172))

## 2.8 知情同意

长期以来, 很多人一直认为知情同意是人体试验最重要的道德条件。为了使人体试验合法且合理, 必须满足知情同意这个首要条件。所有成年人都具有同意医疗试验的法律权利, 除非这种权利已通过法律程序被废除。因此, 有关医疗试验法律权利的问题一般局限于未成年人。许多国家, 即使不是所有国家, 都有一些允许未成年人给予同意的有关条例。

知情同意的目的是保护受试人的权利, 让他们有机会自己决定是否愿意参加任何医学试验。1964 年, 世界医学协会在芬兰签署了一份有关人体试验的道德准则, 旨在给这方面的工作提供指导方针。2000 年 10 月在苏格兰爱丁堡召开的第 52 届世界医学协会大会对这些指导方针进行了修订。

由于人体试验的结果对于推进科学知识的发展非常重要, 因此, 世界医学协会向全世界医生推荐了以下各小节介绍的基本指导方针。当然, 必须注意, 这些指导方针并不是指医生、科学家和工程师可以摆脱他们各自国家所规定的刑事责任、民事责任和道德责任。

### 2.8.1 基本原则

1) 涉及人体受试者的生物医学研究必须符合普遍公认的科学原理, 必须已经经过

充分的测试和动物实验，并且以全面的科技文献资料作为基础。

2) 涉及人体受试者的每种试验过程的设计和实施方式都必须清楚地写成试验议定书，并递交给专门任命的独立委员会进行审核，以征求意见并获得指导。

3) 涉及人体试验的生物医学研究必须由具备科研资历的人员承担，并且必须在具有临床资历的医务人员监督下进行。医务人员必须始终对受试者负责，即使受试者已经递交了知情同意，也决不能把负责推给受试者。

4) 除非试验的重要性与受试者需要承担的内在风险相当，否则人体生物医学试验研究就不能合法进行。

5) 对于每个涉及人体试验的生物医学研究项目，都应该事先仔细评估其可能带来的风险，并将这些风险与受试者或他人可能获得的利益进行比较。必须始终将受试者的利益放在科学利益和社会利益之前。

6) 必须始终尊重受试者保护自身不受损害的权利，应该谨慎采取预防措施以尊重受试者的隐私权，尽可能减少试验研究对受试者造成的生理、心理以及人格的影响。

7) 医生应该回避参与人体试验，除非他们确信其中的危险性是可以预见的。而且，一旦发现试验的危险性超过其潜在的益处，医生应该中止试验研究。

8) 发表受试者的试验研究结果时，医生有义务保证结果的准确性。与本宣言所制定的原则不相符的试验报告不应该发表。

9) 任何人体试验中，每位受试者都必须被充分告知试验的目的、方法、预期的利益和潜在的危险，以及它可能带来的不适。并且，受试者还应该被告知有权拒绝参与研究，而且有权随时撤回同意书。然后，医生才可以取得受试者自愿给予的知情同意，最好是书面的同意书。

10) 在获取受试者的知情同意时，医生应该特别注意他自己与受试者之间是否存在关系，受试者是否会迫于某些关系而签署知情同意，如果是这样，就应该由不参与研究工作并且与某些关系完全无关的医生去获取知情同意。

11) 如果受试者无法律行为能力，那么，应该取得国家法律规定的法定监护人的知情同意。也就是，当受试者在生理上或者心理上没有能力给予知情同意，或者受试者是未成年人时，根据国家法律的规定，应该从对受试者负责的亲属那里获得许可。

12) 试验研究议定书必须包括有关伦理道德问题的声明，并且表明该试验遵守本宣言中阐明的各项准则。

## 2.8.2 结合治疗的临床医学研究

1) 在病人的治疗过程中，如果医生判定某种新的诊断或治疗技术有希望挽救生命、恢复健康、减轻痛苦，那么，医生就应该有使用这种新方法的自由。

2) 新方法可能带来的好处、风险和不适应该与现有最好的诊断和治疗方法的优点进行权衡。

3) 任何医学研究都应该保证每位病人（包括对照组）能够获得已证实的最好的诊断和治疗方法。

4) 如果病人拒绝参与研究,这绝对不能影响医生与病人之间的关系。

5) 如果医生认为不能进行知情同意过程,那么,就应该在递交给独立委员会的试验协议书上写明特殊的理由。

6) 只有确定了医学研究对于病人具有潜在的诊断和治疗价值之后,医生才可以将医学研究与病人的医疗过程结合起来,以获取新的医学知识。

### 2.8.3 非治疗性临床生物医学研究

1) 在人体上进行纯科学性医学研究时,医生有责任保护受试者的生命和健康。

2) 受试者必须是志愿者,可以是健康人,或者是病人,但试验的设计与病人所患疾病必须无关。

3) 研究人员一旦确定继续试验可能会给受试者造成伤害,就应该立即中止试验。

4) 在进行人体试验研究时,科学利益和社会利益绝不应该凌驾于受试者的利益之上。

这些准则可以归纳为人体试验的6条基本道德要求:

1) 人体试验必须以充分的实验研究和动物研究为基础,必须基于充分的科学数据,这样,才能明确人体试验的研究重点,并且利用非人体方法获得了尽可能多的结果。

2) 人体研究应该使用能够合理地提供所需信息的试验方法,如果所用方法不能提供所需信息,那就毫无意义,没有科学研究价值。

3) 研究工作必须由相关的科学技术专家操作。

4) 必须仔细评定该人体试验对于受试者、对于科学以至对于社会的所有可预见的风险和利益,并且,利益必须明显大于风险,而且,不存在其他风险较小的方法能够获得这些可能的利益。

5) 受试者应该知情并自愿同意参加试验。

6) 如果受试者中途不愿意再继续试验,或者谨慎的研究人员认为继续试验可能会导致受试者受伤、残疾或者死亡,那么,就应该立即停止试验。

遵守这些条件确实可能会限制医学发展的速度和广度,但是,我们的社会坚持执行这些条例是因为真正有价值的医学发展必须高度尊重人类的尊严。在这些条件中,获取受试者自愿的知情同意被公认为是最重要的保护措施之一。

根据这些准则的含义,有几类受试者可以自动被排除,他们不能参与医学研究项目。儿童、智障者以及思考能力受疾病影响的病人都可以被排除,因为他们不能准确理解试验内容。此外,那些与临床研究人员有关系的人,如研究人员的病人和学生等,也可以被排除。由于心理能力也包括受试者判断试验后果严重性的能力,因此,对于某些类型的医疗方法有些未成年人虽然有权利给予同意,但是,前提是他们必须能够理解其中的风险。

任何研究项目都必须明确定义其中的风险。病人必须能够毫无隐瞒地获得所有已知的信息。过去,很多情况下风险和利益的评估都由医务人员单独执行。风险和利益一旦



确定之后，就以为病人会接受这些定义。如今，这种做法不再有效。尽管医务人员仍然必须评估他们所推荐方法的风险和利益，但是，具有最终决定权的是病人。当然，病人不可能决定这些医疗方法是否正确，做出这些评价所需的医学专业知识一般都超出了普通人的知识水平。但是，一旦某种医疗方法被推荐之后，病人就必须获得足够的信息来决定其中所期待的利益是否值得他们承担其中的风险。这样获得的知情同意才有效。

一旦获取并记录了病人自愿的知情同意之后，研究人员就有了如下保障：

1) 知情同意代表了医学人体试验的法律许可。受试者以后不得攻击和殴打有关人员。

2) 知情同意给予了有关人员在医疗和研究上使用试验数据的法律权利，受试者等人以后不得提出侵犯隐私的起诉。

3) 如果受试者没能从试验方法中获益，不得起诉。

4) 在了解试验的风险并同意接受试验的情况下，如果受试者受伤，不得起诉。

5) 在试验规则合理并已解释清楚的情况下，如果受试者由于没有遵守安全指示而导致受伤，那么，研究人员可以免受起诉。

然而，医学研究的目标是否总能够与医生的传统道德义务相一致呢？研究人员和医生是否可能处于难以防守的境地呢？这里，受试者自愿的知情同意仍然是关键。因为，这种情况下，试验引起的后果都是他们自己选择的结果，不是他人强加的，实实在在是他们自己选择接受的。由于受试者的自主权受到尊重，他们并没有被迫成为他人利益的牺牲品。即使他们可能会为了他人的利益而受苦，这也是出于他们自己的意志，是他们自主行为的结果，而不是自主权受到限制或剥夺产生的结果。

为了保证知情同意的真实性，它必须是真正自愿的，而不是强迫的。并不是所有的强迫都像体罚那样明显，容易识别。受试者可能会担心没有别的治疗方法，或者担心不同意会疏远负责其治疗的医生，甚至会担心别人的谴责，这些都可能迫使受试者给出同意。这种胁迫经常难以察觉和纠正。

最后，受试者必须了解他们同意的究竟是什么。因此，他们必须根据所给予的充分信息来做出明智的决定，决定是否参加试验研究。虽然不需要把研究人员所知道的所有信息都告诉受试者，但是，在不影响受试者做出决定的有效性的条件下，必须确定哪些信息应该提供给受试者，哪些可以省略。还有一个难题就是很难知道受试者是否有能力理解有关信息并在此基础上做出明智的选择。无论如何，任何情况下都必须努力保证提供充足的相关信息，并使受试者能够分析这些信息。这些事虽然很可能无法做到绝对准确和肯定，但是，必须全心全意做出努力，以防止人体试验触犯人类的尊严。

#### 案例分析：保密、隐私与同意

美国医疗产业近年来发生的一个不可忽视的巨大变化就是医疗信息系统中计算机应用技术的发展。美国大部分主要医院现在都已经将各种系统更新为完整的电子数据库。病人的用药方案都呈现在计算机模块中，在医院的每个房间都能查到，护士可以随时跟踪。磁共振扫描图像 MRI 不再打印在胶片上，而是上传在病人的电子文档中（见图 2.4）。医生只要获得权限就可以查看图像。病人数据库中保存了完整的病历。

1) 请讨论电子系统的优势和潜在危险性。

2) 请详细讨论授予访问权限的地点和方法。虽然病人信息数据库的访问仅限于可以信赖的医生和职工；但是，内部人员不合法的访问是一个突出问题。拥有访问权限的医院职工，如医生和研究人员，也许能够访问家庭的账户或者朋友的账户。当然，对于纸质资料，受保护的病人信息（Protected Patient Information, PPI）也可能由于资料遗失或者不负责任的处理而被泄露出去。但是，对于电子资料，那些有权访问系统的人员可能更容易违反隐私权。

3) 在电子系统中留有病历的医院职工如何保证其隐私不被同事知道？

4) 应该让病人自己来决定他们的信息是否保存为电子文档吗？纸质和电子相结合的系统可以有效地运行吗？

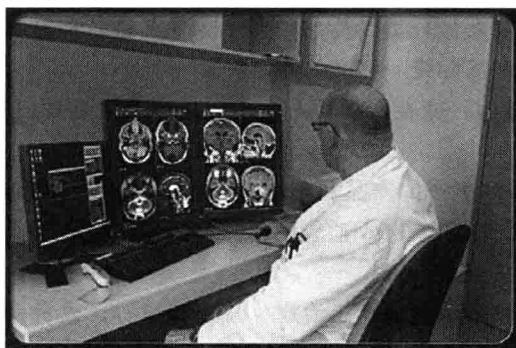


图 2.4 MRI 扫描图像是电子数据库中可以查阅的 PPI 信息之一

(摘自网址 [http://images.medicinenet.com/images/SlideShow/dementia\\_s21\\_mri\\_doctor.jpg](http://images.medicinenet.com/images/SlideShow/dementia_s21_mri_doctor.jpg))

## 2.9 医疗器械产品开发生的管理

美国食品与药物管理局（FDA）是美国国会管辖之下的管理医疗器械的唯一联邦政府机构，它保证了美国医疗器械的安全性和有效性。FDA 早在 1906 年就开始管理食物和药物，与此不同，它对医疗器械的管理从 1938 年才开始。当时，FDA 的主要任务是确保美国市场上医疗器械的真正合法化，商标真实，没有虚假商标的产品。随着时间的推移和医疗技术的发展，FDA 所包括的医疗器械范围发生了变化。1976 年通过的医疗器械修正案（Medical Device Amendment）首次立法，提出了所有医疗器械上市销售前必须经过审查的要求。该修正案要求医疗器械新产品在上市前必须取得 FDA 的许可证，并且必须通过临床人体试验。详细内容请参考 FDA 的处理过程，其网址为 <http://www.fda.gov/>。

FDA 包括五大中心：生物制品评价与研究中心、药物评价与研究、食品安全与营养中心、兽药中心、器械与放射卫生中心（Center for Devices and Radiological Health, CDRH）。每个 FDA 中心都有不同的主要管辖领域。根据 FDA 的规定，CDRH 负责确保医疗器械的安全性和有效性，并且防止医疗、工作职业和消费过程中人体可能

遭受的不必要的人为辐射照射。

CDRH 下设 6 个办公室：系统与管理办公室、执法办公室、科学与技术办公室、卫生项目与工业项目办公室、监督与生物测定办公室以及器械评价办公室（Office of Device Evaluation, ODE）。其中，ODE 的主要职能如下：

- 1) 将所有 510（k）上市前通告申请、上市前批准（Premarket Approval, PMA）、器械分类以及临床研究的器械豁免认证（Investigational Device Exemptions, IDE）通报给 CDRH 负责人。
- 2) 对各项 510（k）、PMA 和 IDE 申请的批准、否决和撤销工作进行规划、实施和协调。
- 3) 对申报者呈交的各种上市产品、临床技术和各种要求递交的报告进行审查、监督和医疗评估。
- 4) 制定并解释有关器械分类以及 510（k）、PMA 和 IDE 申请的规则和指导方针。
- 5) 参与各种国内和国际统一标准的制定。

开发销售医疗器械的厂商在产品生产之前、之中和之后都可能需要与 ODE 进行多次交涉。

原则上，如果制造商生产的产品属于医疗器械，那么，就需要接受 FDA 的上市前和上市后管理（见图 2.5）。与 FDA 监管的药品等其他物品不同，根据 FDA 的规定，医疗器械的定义是：

“凡是用于人或动物的疾病诊断、治疗、缓减和预防，或者旨在对人和其他动物身体的功能和结构产生作用，而且，不是通过化学反应和代谢来达到其主要功能的仪器、设备、机器、装置、植入物、外用试剂等相关物品。”

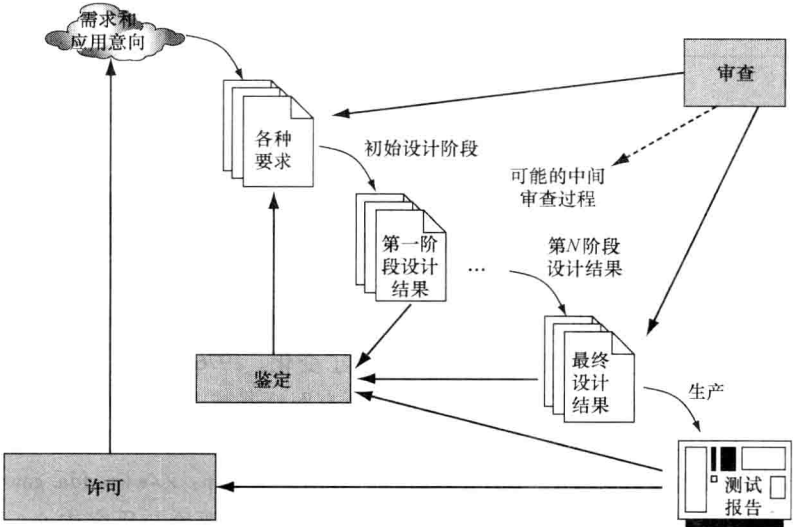


图 2.5 FDA 的管理规程

注：FDA 管理规程的目的是通过产品的审查来确保医疗器械的安全性和有效性，确保设计的质量，监管器械的质量。审查过程的结果就是对医疗器械的鉴定和许可。

## 2.10 医疗器械的上市

在美国, 医疗器械的上市有如下4条主要途径:

1) 上市前批准 (PMA)。除非产品可以通过 510 (k) 规程上市 (见下述), 否则具有高风险的Ⅲ类医疗器械产品的销售必须申请并通过 PMA。只有 FDA 确定所申报的医疗器械安全且有效时, 它才能获得 PMA 许可证。PMA 申请过程可能耗资巨大, PMA 所要求的数据采集费用即便不是数百万美元, 也要数十万美元。而且, PMA 申请的数据采集时间可能要好几年。然而, 一旦获得 PMA 许可证, 申请者就相当于获得了某种医疗器械在市场上独家销售的许可执照一样, 因为别的厂家如果要销售具有同样用途的同类医疗器械也必须申请 PMA 批准。

2) 研究性器械的豁免认证 (IDE)。IDE 许可规程允许厂家生产的那些只用于临床人体试验的器械得到豁免特权。由于 IDE 许可的产品专门用于临床试验, 而不是商业化销售, 因此, FDCA (即美国食品、药品和化妆品法案) 授权 FDA 免去这些器械的某些商业化销售产品所需达到的要求。如果没有得到 IDE 许可, 所有医疗器械的临床评估就不能作为上市的依据。IDE 可以由伦理审查委员会 (Institutional Review Board, IRB) 单独审核, 或者由 IRB 和 FDA 联合审核。

3) 产品开发协议 (Product Development Protocol, PDP)。PDP 是除了 IDE 和 PMA 以外Ⅲ类医疗器械的另一种上市前许可证。它使申请人可以与 FDA 在证明新产品的安全性和有效性所需的步骤上达成早期协议。在 1976 年医疗器械修正案刚刚制定之后的那几年里, FDA 并没有把主要精力花在 PDP 上, 而是执行修正案的其他主要条例, 包括建立各种器械分类系统, 以及处理 510 (k) 和 PMA 规程。

4) 510 (k) 上市前通告规程。除非获得联邦政府给予的特别赦免, 否则, 任何厂商在将医疗器械产品引入美国市场之前都必须递交 510 (k) 上市前通告申请书, 并留给 FDA 90 天处理时间。在这 90 天时间里, FDA 将负责决定该产品与修正案中已有的某个产品是否实质性等同。工业界将上市前通告称为 510 (k) 是因为它在 FDCA 中的相关章节编号是 510 (k)。510 (k) 条例用于证明所申报的产品是否与市场上已合法销售的某种医疗器械具有实质性等同。

为了尊重临床人体试验研究, FDA 将医疗器械分为高风险和低风险两大类。高风险产品包括整形外科移植物、人工心脏和输液泵等。低风险产品包括各种牙科器械、日常佩戴的隐形眼镜等。只有当临床试验方法议定书和知情同意书都通过了 IRB 的审查, 并且也获得了 FDA 的批准之后, 高风险产品才能开始临床试验。而低风险产品的临床试验则不需要向 FDA 提交 IDE 申请, FDA 只要求厂家提供 IRB 的批准书, 以证明该产品只具有低风险。在决定是否批准某个新产品的临床试验研究时, IRB 和 FDA 必须确定如下几点事项:

- 1) 受试者所承担的风险降至最低;
- 2) 与预期的受益或者可能获得的知识相比较, 受试者所承担的风险是合理的;

- 3) 受试者的选择是公平的；
- 4) 知情同意的材料和手续过程完整；
- 5) 研究过程的监视和病人信息的保护等措施可以接受。

另外，FDA 允许没有 IDE 许可证的医疗器械产品可以在以下 3 种特殊情况下使用：可行性研究、紧急使用和治疗使用。下面分别介绍这几种使用情况的伦理道德问题。

## 2.11 可行性研究中的伦理道德问题

可行性研究，又称有限调查研究，是指只在单个机构中进行的、涉及 10 人以下受试者的新型医疗器械的人体试验。FDA 要求这种试验的申请人提交一份“有限调查研究通告书”，其中包括医疗器械的说明、调查研究的目的、试验方案、一份知情同意表以及相关医疗委员会的许可证明。在某些情况下，FDA 可能还需要其他资料，也可能需要申请人提交完整的 IDE 申请，或者暂停该项调查研究。

这种调查研究只限于：①研究现有器械的新用法；②研究开发初期的暂时性或永久性植入物体；③研究现有器械的改进。

为了充分理解这种 IDE 条例以外未批准医疗器械的临床使用可能引起的道德问题，下面我们应用本章前面所述的实践、无效实践和研究这 3 类临床人体试验的特性，来分析可行性研究应该属于哪类试验。

显然，可行性研究的目标是获取知识，因此，它是一种研究而不是实践。厂家希望通过特定病人群体的使用来考察器械的性能，从而获得其有效性和安全性的信息。这些信息对于决定该器械是否需要进行深入动物或人体研究，是否还需要改进等，具有重要意义。未批准医疗器械的可行性研究与 IDE 许可的应用，这两者之间的主要区别是 FDA 对前者的审查力度远小于后者。这就意味着 IRB 对保证器械可行性研究应用的合理性承担了主要责任。

这里首先必须弄清楚道德问题是，使研究合理化的首要因素是什么。毕竟，无论某个医疗器械进行了多少基础研究和动物实验，在还没有实际用于人体时，它对人体的风险和益处都不可能完全确定。人体研究的好处主要在于能够获取信息，这些信息对于开发既有效又安全的医疗新方法至关重要。因此，人体试验研究合理化的一个伦理条件就是它必须具有科学上的合理性。

虽然科学合理性是人体试验的必要道德条件，但它并不充分。在这种试验中受试者有可能成为纯粹的研究资源，也就是只有研究价值。人不能只有被使用的价值，他们的价值就在于他们是人，应该受到尊重，也就是要尊重人的自主权。要做到这一点，就必须保证，如果事先没有给出自愿的知情同意，任何人都不能参加临床试验。而且，尊重人就意味着医生不能让病人承担不必要的风险，也就是在试验过程中要尽可能减少病人的风险。

FDA 在审查 IDE 条例的未批准医疗器械的使用申请时，主要关注研究的两个伦理条件：一是试验的科学合理性，二是尊重受试者的权利。医学伦理学家指出，如果削弱

FDA 的审查力度，就会增加不满足这两个条件的事件的发生概率。因为医疗器械生产厂家毕竟是商业企业，他们追求的是利润，他们会尽量减少时间和费用，尽可能快地将他们的产品推入市场。这些自身利益的动机经常会与伦理要求发生冲突，从而使得厂家不能满足这些伦理要求。而且，利润并不是驱使厂家违反人体试验伦理要求的唯一动机，厂家可能会真诚地认为他们的产品会给许多人带来巨大的利益，从而在这种思想的激励下选择某些捷径，降低人体试验研究质量的要求。无论人体试验是为了自身利益还是他人利益，道德问题都是相同的。必须避免将受试者当做物体而不是人来承担风险。

那么，开展可行性研究有怎样的条件要求呢？这些要求是否足以使其有别于“正常”条件下的研究而可以减少 FDA 的审查呢？正如以上所述，厂家希望通过可行性研究来考察现有器械的新用途、测试处于开发初期的临时性或永久性植入物体的性能、或者研究现有器械的改进。前面也已经提到，可行性研究只能在一个机构中进行，且受试者人数不能超过 10 人。那么，在这些条件下，可行性研究的科学性和对人权的尊重是否会低于“正常”人体研究的水平呢？

可行性研究只在很小的受试人群中进行，与一般人体试验相比，其道德失误产生的伤害只影响少数人。但是，即使其伤害只限于 10 人或更少的受试者，这种伤害仍然是一种道德错误。尽管伤害 10 人以下的问题不像伤害 10 人以上那么糟，但是，无论如何这都是不道德的行为。

那么，可行性研究中发生的道德失误是否可能比执行 IDE 条例的要多呢？虽然前面的论述中没有明确回答这个问题，但是，这是 FDA 应该优先给予重视的问题。是临时性或永久性植入物，还是已批准器械的新用途开发或改进；对于不同类型的医疗器械，这个问题的答案可能截然不同。然而，无论可行性研究的预期应用是什么，除非有足够的理由能够确认受试者不会承担比“正常”试验更大的风险，否则，在道德上 FDA 不应该允许这种未批准器械的非 IDE 使用。

## 2.12 紧急使用的伦理道德问题

医疗器械的紧急使用可以避开 IDE 的严格审查，其中的机制是什么呢？如果某个未批准器械是挽救濒死病人的唯一选择，那么，即使该器械的使用还没有获得 IDE 许可证，或者 IDE 许可已通过，但是想使用该器械的医生却不是 IDE 许可的研究人员，在这些情况下，FDA 允许该器械的紧急使用。

允许未批准器械的紧急使用是为了在没有其他可用方法的情况下挽救濒死病人的生命。这种使用属于实践而不是研究。它主要是为了病人的利益，而不是为了获取新知识。由于器械在还没有完成临床试验之前就使用了，因此，这种使用属于无效实践。这是什么意思呢？

首先，虽然器械的使用目的是为了挽救病人的生命，但是，与那些属于有效实践的临床应用相比，这种器械使用可能带来的潜在益处和风险不那么确定。有效实践是指已经确立了有效性和安全性的器械的使用，它们经过全面的调查研究，包括临床前研究、

动物实验和人体试验；因此，临床医生完全有依据来判断这种治疗方法对于病人的益处和风险。

而无效实践所缺少的正是这样的依据。那么，这是否意味着未批准器械的紧急使用是不道德的呢？如果没有任何依据可以判定器械的使用将带来什么风险和益处，那么，就可以认为其使用是不道德的。然而，FDA 要求施行未批准器械紧急使用的医生必须具有充足的理由相信该器械的使用会有好处，这就必须有充分的临床前研究和动物实验的结果作为依据来预测器械对病人的益处。

由此可见，虽然这种器械的使用所带来的益处和风险相当不确定，但并不是完全不确定。尽管医疗新技术合法化的唯一途径需要经过临床人体试验，但并不是所有无效实践的无效程度都是一样的。有些医疗技术基本上没有进行深入的研究，其益处和风险几乎完全不能确定；而有些医疗技术至少已经有临床前研究和动物实验数据的支持，虽然这些数据还不足以支持器械的常规临床应用，但是它们可以作为紧急情况下的措施的依据。然而，这种措施绝不是不计后果的行为，因此，在道德上，FDA 首先要求未批准器械的紧急使用必须具有临床前研究和动物实验结果的有力支持。

FDA 对于未批准器械紧急使用的第二个要求是医生不能事先断定紧急情况的存在。FDA 希望医生对于潜在的紧急情况进行合理的预测，并根据 IDE 规程安排有关器械的使用，而不是随便实施紧急使用。这样，医生就不能为了逃避 IRB 的审查，为了避免申请未批准器械的使用权，而“制造”紧急事件。从康德主义保护人的尊严的观点来看，这个要求特别重要。制造紧急事件来逃避 FDA 的管理，这是欺骗病人，使病人成为纯粹的实验资源，将病人的价值降低为只为临床医生的目标服务。因此，FDA 坚持紧急情况是指那些无法合理预测的情况，这是非常正确的。

这里，病人的知情同意一样非常重要。面临死亡的病人尤其容易被利用，应该给予更多的保护。措施之一就是要确保病人或者病人的合法监护人了解即将使用的治疗方法存在高度的不确定性，使他们清楚地认识到，与那些有效实践相比，临床医生估计这种新疗法的风险和益处的依据是相当不充分的，这种即将使用的器械还没有经过严格完整的人体试验，医生对器械潜能的估计只是基于临床前研究和动物实验的结果。还有一点也很重要，就是要让病人知道所有的可能性，不仅是生或死，还有质量严重受损的生存。虽然紧急情况下可以合法地采取铤而走险的措施，但是，是否采取这种措施必须由知情同意的病人自愿决定，当然这是特别虚弱的病人。

此外，参与未批准器械的紧急使用的医生必须认识到这种行为虽然是无效实践，但属于实践性的，不是研究性的。因此，其行为的首要目标就是病人的幸福。这种情况下病人与临床医生之间的信任关系与正常临床治疗情况下相同。如果将这种情况看成研究性的，以其对科学和社会的益处为目标，那么，这是对病人与医生之间信任关系的亵渎。

#### 案例分析：医疗专家系统

很多学科都开发了各种专家系统，临床决策系统就是一个例子，这种系统用于模拟医生的决策技能。然而，系统的性能取决于一种公认的知识体系的建立，该知识体



系体现了医生在特定的具体数据情况下所采取的决策途径。临床决策系统作为一种咨询系统，可以给医生提供建议，但最终做决定的还是医生。

假如有一个用于精神病药物治疗监控的系统，该系统在临床医生的协助下由生物医学工程师设计完成。如图 2.6 所示，给系统输入病人的具体诊断结果之后，就可以得到治疗某种精神病的合适的推荐药物。医生选择某种推荐药物，并选定用药剂量，以确定特定病人的药效。治疗期间通过验血确定药物的浓度，并通过其他心理检查来判断药物是否达到了理想的作用效果。

然后，将检查获得的数据输入决策系统，系统会将这些数据与预期的标准结果进行比较，如果数据超出预期的极限，系统就会给出警报信息，提醒医生必须进一步采取措施。

这种临床决策系统的应用存在如下问题：

- 1) 谁将对错误治疗负责，是医生、编程人员，还是系统管理人员？
- 2) 是什么造成了错误治疗？
- 3) 系统设计人员的职责是什么？换言之，成功的设计由什么组成？
- 4) 临床上如何评价使用这种系统的医生的工作，又如何评价这种系统本身？

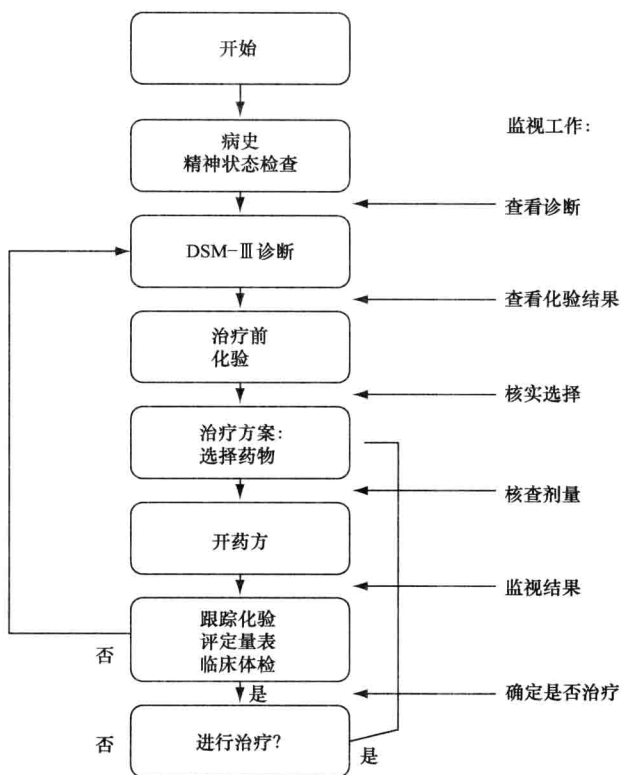


图 2.6 临床医生实施药物治疗的流程图



## 2.13 治疗使用的伦理道德问题

当已批准药物对病人毫无疗效时，FDA 的管理条例允许医生使用正在研究的新药。这种未批准新药的使用并不只限于生命受到威胁时的紧急情况，还可以用于治疗严重疾病。但是，与药品不同，FDA 不允许未批准医疗器械的治疗使用，然而，厂家如果在 IDE 申请书中提供特殊的治疗使用方案议定书，就可能获得这种治疗使用的许可。

未批准医疗器械的治疗使用的准则与研究性新药的治疗使用相似，它包括如下情况：

- 1) 该器械旨在治疗危重疾病或者威胁生命的疾病；
- 2) 没有其他功能相当或者令人满意的产品可供使用；
- 3) 该器械正处于 IDE 审查中或者已获得 IDE 豁免认证或者已完成所有临床试验正在等待批准；
- 4) 厂家正在积极进行该研究性器械的上市销售申请。

治疗使用的方案议定书要作为 IDE 申请中的一部分上交，并要求说明器械的用途、基本原理、现有的替代品、本器械的优势、适应证、器械使用情况的监测方法和降低风险的方法以及有关器械安全性和有效性的技术信息。

那么，FDA 应该允许未批准医疗器械的治疗性使用吗？这会带来什么道德问题呢？首先，这种治疗性使用的前提是现有的已批准治疗方法无法改善病人的状况，其使用是为了病人的治疗，因此，它属于实践，而不是研究。其次，所用器械还未获得批准，因此，这种使用属于无效实践。这样，与紧急使用情况一样，治疗性使用也必须满足 FDA 的要求，这就是必须具有充分的临床前研究和动物实验的结果可以证明对病人有益。与紧急使用相同，虽然这些研究结果并不能排除该产品在利益和风险上的高度不确定性，但它们其实排除了完全不确定性。同样，虽然在绝望的状况下可以采取铤而走险的措施，但这决不能是不计后果的行为。另外，与紧急使用不同，治疗使用的对象是健康受到严重损害的病人，而不是濒临死亡的病人。因此，这里必须考虑的问题是，健康损害达到怎样严重程度才可以求助于这种风险和益处还没有充分确定的治疗方法。

对于紧急使用，FDA 要求医生不能利用这种使用方式来人为“制造”IDE 规程的例外，从而逃避有关审查规程。同理，接受治疗使用的病人也是特别容易受到伤害的病人，虽然他们还不至于面临死亡，但他们面临的是严重的疾病，他们比境况较好的病人更容易被利用。因此，必须让病人了解治疗效果的不确定性，也就是这种治疗可能对病人没什么益处。这一点非常重要。

## 2.14 FDA 认证过程中生物医学工程师的职责

1991 年 11 月 28 日，美国 1990 年医疗器械安全法（Safe Medical Devices Act of 1990）（即公法 101-629）开始生效。该法规要求广大医疗保健机构，包括医院、流动

性外科服务站、疗养院和门诊医疗机构，通报医疗器械引起的病人死亡、严重受伤和严重患病的情况。其中，与医疗器械相关的死亡事件必须同时向 FDA 和器械生产厂家通报；与医疗器械相关的严重患病和受伤事件则必须向厂家通报，万一不知道厂家的联系方式，就向 FDA 通报。此外，上述医疗保健机构每半年必须向 FDA 提交一份这半年期间已上交报告的总结。在这项法规出台之前，这种报告完全是自愿提交的。新法规旨在使 FDA 能够迅速了解与医疗器械相关的问题，它其实是 1984 年颁布的医疗器械报告条例（Medical Device Reporting, MDR）的补充。MDR 只要求厂家和进口商向 FDA 提交与医疗器械相关的死亡和严重受伤事件的报告，而新法规将该要求的范围从厂家和进口商扩大到了医疗器械的用户，也就是，新法规赋予 FDA 管理医疗器械用户的权力。

FDA 的这种管理模式具有深刻的道德意义，通过增进 FDA 对于医疗器械相关问题的了解，可以增强政府机构保护病人福利的能力。对于 FDA 管理政策的主要争议是其功利主义本质。该法规的怀疑者不相信它能够给 FDA 提供更多有用信息，他们担心这一新法规带来的很多信息可能只是复制以前 MDR 法规下的有关信息。如果真是如此，该法规没有给病人带来什么利益。此外，根据那些怀疑者的言论，这些规定很可能增加病人对医院和厂家提出的诉讼，并且，医疗器械用户还需要设立正规的系统来报告设备相关的问题，需要安排人员运行这种系统；显然，这会增加医疗保健的成本，从而加剧就医难的问题，很多人认为就医难已经成为一种危机。总之，对于 FDA 政策的争议焦点是担心病人的利益会被边缘化，而就医成本的负担则会加重。

生物医学工程师必须了解 FDA 有关各种医疗器械和系统使用的规定和审批程序，这些管理政策实际上是控制医疗器械不正当使用的社会机制。

## 2.15 习题

1. 请解释伦理和道德这两个术语之间的区别，并分别举例说明医学中的伦理和道德问题。
2. 请解释行善与不伤害这两个术语之间的区别，并分别列举一个现实生活中的事例。医学伦理学更侧重于哪一个？
3. 请列举 3 个医疗道德评判的例子。
4. 功利主义的支持者们相信怎样的学说？
5. 康德主义所期望的病人的权利和意愿是什么？
6. 请论述如何应用临床工程师的道德准则来指导具体工作。
7. 请论述脑死亡的含义，它与新皮质死亡有什么区别？
8. 对于 Schiavo 和 Houben 的案例分析，如果有，那么，要采取怎样的措施才能够保证正确判定脑死亡？应该设定判决程序吗？
9. 主动安乐死与被动安乐死、自愿安乐死与非自愿安乐死的区别是什么？你认为哪种安乐死应该准许？请说明理由，并说明需要满足的条件。
10. 发生车祸时联邦政府可以要求个人签署遗嘱吗？

11. 如果某位住在重病监护室的病人的家属递交了病人的遗嘱, 那么, 是否应该立即执行遗嘱? 还是医生和家属应该商量一下? 谁应该做出决定? 为什么?

12. 什么是人体试验? 什么情况下允许进行人体试验? 医院应该采取哪些保护措施?

13. 人体试验之前必须进行动物实验吗? 非结果论和功利主义是如何看待动物实验研究的?

14. 请论述病人参与人体试验时的成本 (或者风险) 与利益之间的关系。

15. 如果知情同意的人体试验导致病人承受痛苦, 那么, 谁应该负责, 为什么?

16. 假设生物医学工程师设计了一种新型睡眠呼吸暂停监视仪, 请讨论将其用于临床之前必须经过哪些处理程序。

17. 请论述实践、研究和无效实践之间的区别, 并列举它们在医学领域中的例子。

18. 符合伦理道德的研究需要满足哪两个主要条件?

19. 知情同意是允许人体医学试验的主要条件之一。知情同意满足的是什么道德原则? 怎样才能保证受试者真正的自愿性? 受试者应该知道哪些信息?

20. 可行性研究和紧急使用之间有什么区别?

21. 在医疗实践中, 医务人员需要使用医疗器械进行病人的诊断和治疗; 因此, 他们不仅需要具备人体生理学的知识和经验, 而且还必须能够使用他们所支配的医疗器械。医疗器械事故经常会导致病人的起诉。显然, 这里存在的问题是谁应该对医疗器械事故负责。

假如有这么一个案例, 一位妇女手术时需要使用一块接地板, 给手术中所用电气设备产生的电流提供回路。接地板的尺寸一般为  $8\text{in} \times 11\text{in}^{\ominus}$ 。结果, 这位妇女身上紧贴接地板的皮肤组织被严重烧伤。

(a) 请讨论哪些个人和组织可能对这种事故负有责任;

(b) 除了寻找合理的责任承担者以外, 这里是否存在特殊的伦理道德问题?

## 推荐阅读资料

- N. Abrams, M.D. Buckner (Eds.), *Medical Ethics*, MIT Press, Cambridge, MA, 1983.  
 J.D. Bronzino, V.H. Smith, M.L. Wade, *Medical Technology and Society*, MIT Press, Cambridge, MA, 1990.  
 J.D. Bronzino, *Management of Medical Technology*, Butterworth, Boston, 1992.  
 A.R. Chapman, *Health Care and Information Ethics: Protecting Fundamental Human Rights*, Sheed and Ward, Kansas City, KS, 1997.  
 N. Dubler, D. Nimmons, *Ethics on Call*, Harmony Books, New York, 1992.  
 A.R. Jonsen, *The New Medicine and The Old Ethics*, Harvard University Press, Cambridge, MA, 1990.  
 J.C. Moskop, L. Kopelman (Eds.), *Ethics and Critical Care Medicine*, D. Reidel Publishing Co., Boston, 1985.  
 G.E. Pence, *Classic Cases in Medical Ethics*, McGraw-Hill, New York, 1990.  
 J. Rachels, *Ethics at the End of Life: Euthanasia and Morality*, Oxford University Press, Oxford, 1986.  
 J. Reiss, *Bringing Your Medical Device to Market*, FDLI Publishers, Washington, DC, 2001.  
 E.G. Seebauer, R.L. Barry, *Fundamentals of Ethics for Scientists and Engineers*, Oxford Press, NY, 2001.

$\ominus$  1 in = 25.4mm。——译者注

# 第3章 解剖学与生理学

Susan Blanchard 博士和 Joseph D. Bronzino 博士，策划工程师

## 本章目录

- 3.1 绪论
- 3.2 细胞的结构
- 3.3 组织
- 3.4 人体主要器官系统
- 3.5 内环境的自身平衡
- 3.6 习题

推荐阅读资料

## 本章的主要学习内容：

- 解剖学和生理学的定义，以及它们对于生物医学工程的重要性；
- 重要解剖学术语的定义；
- 细胞理论；
- 细胞中的几种主要有机物等成分；
- 细胞膜保持细胞体积及其内部物质浓度的机理；
- 平衡状态下细胞模型内部渗透浓度和离子浓度的计算方法；
- 哺乳动物细胞内主要细胞器的功能；
- 遗传信息复制、转录和翻译之间的相似点、不同点以及它们的功能；
- 循环系统、呼吸系统、神经系统、骨骼系统和肌肉系统，这五大器官系统的主要组成部分及其功能；
- 自身平衡及其反馈维持机制。

## 3.1 绪论

生物医学工程学是建立在工程学和生命科学基础上的交叉学科，从事生物医学工程的人员必须掌握这两个领域的知识，并能够融会贯通。他们必须充分了解人体的基本组成及其功能，以便与生理学家和生命科学家进行思想交流和信息互通。解剖学和生理学是生命科学最基础的两门学科，其中，解剖学介绍人体内部和外部的结构及其相互之间的物理关系，而生理学则介绍各种人体结构的功能。

图 3.1a 所示是男性人体的解剖学姿势：人体直立，面向前方，双臂自然下垂在身体两侧，手掌向前。该图是前视图（即腹侧图）。而图 3.1c 所示是处于解剖学姿势的男性人体的后视图（即背侧图）。图 3.1b 则是女性人体的侧视图。临床上用方向术语来表示人体各个不同部位之间的相对位置关系。例如，“近端”和“远端”是表示某部位与躯干或相连肢体之间的距离的远近（见图 3.1a）；“上”表示解剖方位中靠近头部的部位，“下”则表示靠近足部的部位（见图 3.1b）；“内侧”表示靠近身体中轴的部位，“外侧”则表示远离中轴的部位（见图 3.1c）。处于头部方向的身体部分称为头侧，处于足部方向的身体部分则称为尾侧（见图 3.2）。

解剖位置也可以用平面来表示。如图 3.2 所示，沿着中线将人体分为左右对称两半的平面称为中矢状面，平行于中矢状面的其他非对称分割身体的平面称为矢状面；垂直于矢状面且前后分割身体的平面被称为冠状面；既垂直于矢状面又垂直于冠状面的横切身体的平面称为横切面。

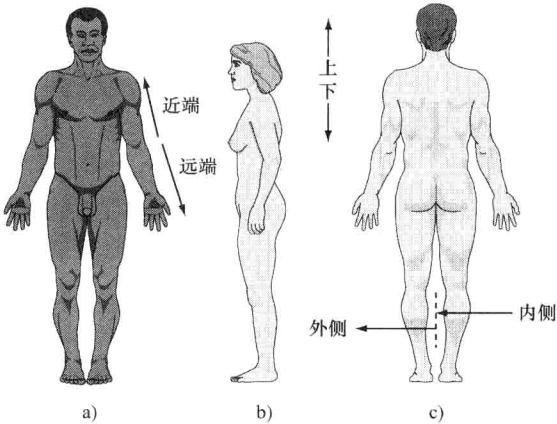


图 3.1 解剖学姿势

a) 男性人体的前视图 b) 女性人体的侧视图 c) 男性人体的后视图（图中显示了近端和远端、上和下，以及内侧和外侧等各种相对方向）

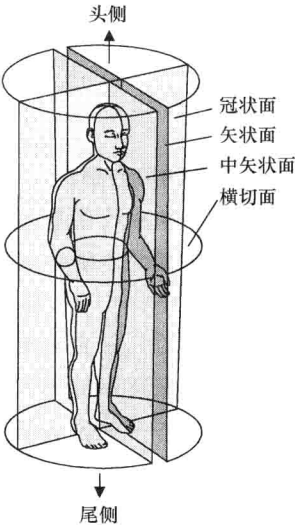


图 3.2 人体的解剖平面

注：人体可以用冠状面、矢状面和横切面来表示，其中，中矢状面经过身体的中轴。

人体分成主干和四肢两大部分，主干包括头、颈、胸、腹和骨盆，四肢则包括上肢和下肢。其中，上肢包括肩、上臂、前臂、腕和手；下肢包括髋、大腿、小腿、踝和足。腹部还可以进一步分为 9 个分区或者 4 个分区。

体腔用于容纳身体内部的各种器官，主要有背侧体腔和腹侧体腔，还有一些较小的腔室，包括鼻腔、口腔、眼窝、中耳鼓室以及活动关节的关节腔等。其中，背侧体腔包括容纳脑的颅腔和容纳脊髓的脊髓腔。腹侧体腔则包括由横膈膜分开的胸腔和大腹腔。胸腔由肺和纵膈组成，纵膈包括心脏及其血管、气管、食道、和除肺以外的该部位的所

有其他器官。大腹腔被人为地分为腹腔和盆腔两个部分。腹腔是身体最大的腔室，容纳胃、小肠、大肠、肝、脾、胰、肾脏和胆囊；盆腔则容纳膀胱、直肠和内生殖器。

医生、生命科学领域的科学家和生物医学工程人员表述人体及其各个主要组成部分时，就要使用这些解剖学术语。正确使用术语是生物医学工程人员与医务人员之间进行交流并了解有关医学问题的基础。除了常用术语之外，生物医学工程人员还必须进一步学习有关人体解剖学和生理学更深入的基础知识。

## 3.2 细胞的结构

虽然很多酶类和细胞器等更小的单元也能够完成某些生理功能，并具有特定的结构，但是，细胞是人体内能够在适合的环境下生存并且完成自我复制的最小的解剖单元和生理单元。早在300多年前，在荷兰光学仪器专家 Antony van Leeuwenhoek 发明显微镜之后不久，人类就发现了细胞。Van Leeuwenhoek 用显微镜曾经看到自己牙垢中刮下来的碎屑中含有“许多非常小的微小动物，它们的运动很有趣”。后来，到了17世纪后期，英国皇家仪器学会的管理员 Robert Hooke 用最早发明的一台显微镜观察到了软木塞中的植物细胞的细胞壁，并描述了细胞的形态。根据这些观察以及其他研究结果，Theodor Schwann 和 Matthias Jakob Schleiden 提出了细胞理论，并在19世纪中期由 Rudolf Virchow 完善了这一理论。细胞理论指出：

- 1) 任何生物体都由一个或多个细胞组成；
- 2) 细胞是生命的最小单位；
- 3) 任何细胞都来自先前存在的细胞。

因此，细胞是生命的基本结构单元。

细胞主要由有机化合物和水组成，人体体重至少有60%是水。碳水化合物、脂类、蛋白质和核酸等细胞合成的有机化合物分子是维持生命的基础，这些分子具有存储能量、传递遗传信息、提供结构材料以及完成代谢等功能。按照所占体重百分比降序的方式排列，人体中最常见的化学元素是氧、碳、氢、氮、钙、磷、钾、钠、氯、镁、硫、铁和碘。其中，碳、氢、氧和氮在所有组成人体的元素中所占的比例超过99%，这些元素大部分存在于有机化合物中，但有一些以磷酸基团等其他离子形式存在。

细胞的各种有机化合物具有不同的特性和功能。碳水化合物不仅在细胞中用作结构材料，而且还用于运输和存储能量，它有3种存在形式：单糖（如葡萄糖等）、双糖（如乳糖、蔗糖、麦芽糖等）和多糖（如糖原等）。脂类是油性化合物，互相之间可以溶解，但却不溶于水。它们是构成细胞的材料，也是体内能量的主要存储形式。蛋白质是生物分子中形式最多样化的物质。酶就是一种特殊的蛋白质，它可以加快新陈代谢的反应速率，使细胞制造出生命所需的各种有机化合物。其他各种蛋白质，有的是细胞的结构元素、有的是跨膜运输通道、有的是改变细胞活动的信号、还有的是对抗携病细菌的化学武器。各种各样的蛋白质都由区区20种基本氨基酸构成。

核苷酸和核酸是这里要介绍的最后一类重要生物分子。核苷酸是一种较小的有机化

合物，它由一个五碳糖（即核糖或脱氧核糖）、一个磷酸基团以及一个含单个或两个碳环结构的含氮碱基组成。三磷酸腺苷（ATP）是一种核苷酸，它是细胞的能量货币，在新陈代谢中起着核心作用。还有一些核苷酸是协助酶发挥功能的辅酶的亚基。核酸有两种，即脱氧核糖核酸（DNA）和核糖核酸（RNA）。如图 3.3 所示，DNA 是一种独特的螺旋状分子，含有两条方向相反的配对核苷酸链，其中，每个核苷酸要么是单环结构的嘧啶碱基——胸腺嘧啶（T）或胞嘧啶（C），要么是双环结构的嘌呤碱基——腺嘌呤（A）或鸟嘌呤（G）。在 DNA 的双螺旋中，胸腺嘧啶总是与腺嘌呤配对，即 T-A；而胞嘧啶总是与鸟嘌呤配对，即 C-G。RNA 与 DNA 相似，但它是单螺旋结构，且组成 RNA 的是核糖而不是脱氧核糖，另外，其嘧啶碱基不用胸腺嘧啶，而用尿嘧啶（U）。

任何细胞都由细胞膜包围着，使其与外界环境分开，但内外环境之间并不是绝对隔离。动物细胞，如人体细胞，都是真核细胞。如图 3.4 所示，真核细胞除了细胞膜之外，还包含有质膜包裹的各种细胞器和一个细胞核。而原核细胞（如细菌等）除了细胞膜之外就没有其他质膜包裹的结构。此外，任何细胞都含有 DNA（携带细胞遗传信息）和细胞质（质膜内除 DNA 之外的所有半流体物质）。

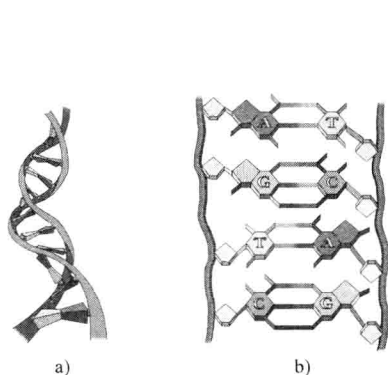


图 3.3 DNA 的结构

a) DNA 由两条方向相反的配对核苷酸链组成，形成螺旋结构 b) 通过碱基之间氢键的结合，胸腺嘧啶与腺嘌呤配对，即 T-A；而胞嘧啶与鸟嘌呤配对，即 C-G

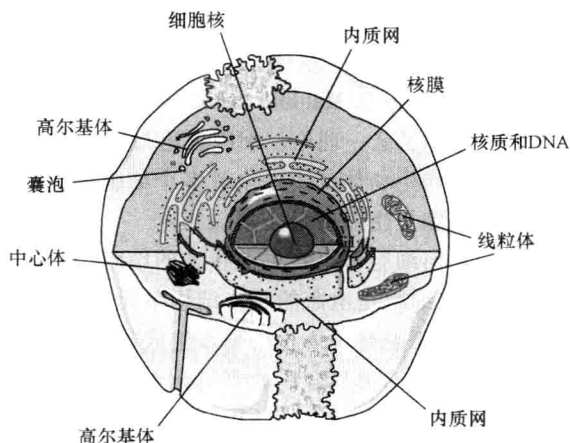


图 3.4 真核细胞的结构

注：动物细胞属于真核细胞，它由细胞膜包围，其中含有一个由质膜包裹的细胞核，核内有 DNA 分子；细胞核外的细胞质中含有具备特殊功能的多种细胞器。

### 3.2.1 细胞膜

细胞膜为细胞提供了许多功能。它具有机械强度，能够支撑细胞的结构，协助细胞运动，并通过调节进出细胞的化学物质来控制细胞的体积及其活性。如图 3.5 所示，细胞膜由磷脂双分子层以及其中结合的蛋白质和胆固醇等组成。哺乳动物细胞的细胞膜蛋白质含有激素的结合位点、区分细胞的识别位点、相邻细胞相互黏附的位点以及跨膜物

质转运通道等。磷脂分子都排列成“亲水”头部向外，“疏水”尾部向内。这种磷脂双分子层上结合了蛋白质通道，可以控制各种物质的跨膜运输，从而维持细胞内环境的稳定。磷脂双分子层上结合的胆固醇分子就像稳定剂，防止脂质分子沿着膜平面的过度侧向运动。

氧、二氧化碳和水等分子可以轻易地穿过细胞膜，而其他大分子和离子等就必须经过蛋白质通道运输。“渗透”是物质穿过细胞膜等选择性通透膜的一种方式，而“扩散”则是分子从相对的高浓度区域进入低浓度区域的过程。对于很容易通过细胞膜扩散的物质，当物质跨膜流动的净通量为零时达到扩散平衡，此时这种物质在细胞内外的浓度相等。主动运输可以从低浓度区域逆浓度梯度将离子和分子跨膜运输到高浓度区域，它需要消耗能量，通常由 ATP 提供。这种输运机制维持了细胞内外的离子浓度差。一般，哺乳动物细胞的胞内钠离子 ( $\text{Na}^+$ ) 浓度是  $12\text{mmol/L}$ ，即每  $1000\text{L}$  溶液中含有  $12\text{mol}$  的  $\text{Na}^+$ ；胞外  $\text{Na}^+$  的浓度则是  $120\text{mmol/L}$ 。细胞内外钾离子 ( $\text{K}^+$ ) 浓度分别为  $125\text{mmol/L}$  和  $5\text{mmol/L}$ 。除了带正电荷的离子（即阳离子）以外，细胞也含有带负电荷的离子（即阴离子）。例如，哺乳动物细胞内外的氯离子 ( $\text{Cl}^-$ ) 浓度分别为  $5\text{mmol/L}$  和  $125\text{mmol/L}$ 。胞内其他阴离子，如蛋白质、带电荷的氨基酸、硫酸根离子和磷酸根离子等，总浓度约为  $108\text{mmol/L}$ 。这些跨膜离子浓度梯度可用于制造 ATP，驱动各种运输过程，并且产生电兴奋信号。

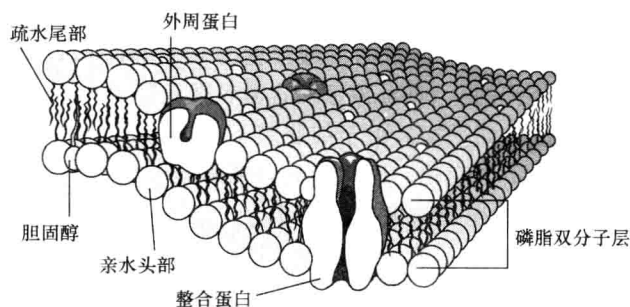


图 3.5 细胞膜的结构

注：任何细胞都由细胞膜包围。细胞膜由结合了蛋白质和胆固醇的磷脂双分子层组成。

### 例 3.1

体积为  $2\text{nL}$  的细胞内含有多少个钠离子和钾离子？

解：

假设细胞内  $\text{Na}^+$  和  $\text{K}^+$  的浓度分别为  $12\text{mmol/L}$  和  $125\text{mmol/L}$ ，则根据细胞的体积和阿伏伽德罗常数，就可以计算出这两种离子的数目，即

$$\text{Na}^+ : \frac{12\text{mol}}{1000\text{L}} \times 6.023 \times 10^{23} \frac{\text{分子}}{\text{mol}} \times 2 \times 10^{-9}\text{L} = 1.45 \times 10^{13} \text{ 分子}$$

$$\text{K}^+ : \frac{125\text{mol}}{1000\text{L}} \times 6.023 \times 10^{23} \frac{\text{分子}}{\text{mol}} \times 2 \times 10^{-9}\text{L} = 1.51 \times 10^{14} \text{ 分子}$$

细胞膜通过控制细胞内的渗透浓度 (Osmolarity) 来调节细胞的体积，渗透浓度是



指溶液中游离微粒的浓度。渗透浓度为  $10\text{Osm}$  的溶液表示  $1\text{L}$  溶液中含有  $1\text{mol}$  微粒，而  $1\text{mOsm}$  渗透浓度则表示  $1000\text{L}$  溶液中含有  $1\text{mol}$  微粒。可见，高渗透浓度的溶液中水等其他溶剂的浓度较低。在生物学中， $0.10\text{Osm}$  葡萄糖和  $0.10\text{Osm}$  尿素溶液中所含的水浓度相同。必须注意， $0.1\text{mol/L}$  氯化钠 ( $\text{NaCl}$ ) 溶液的渗透浓度是  $0.20\text{Osm}$ ，因为  $\text{NaCl}$  在溶液中会分解成  $\text{Na}^+$  和  $\text{Cl}^-$  两种离子，因此其溶液中的微粒要比葡萄糖等不能分解的物质多一倍。如果两种溶液的渗透浓度相等，那么这两种溶液等渗；如果一种溶液的渗透浓度低于另一种溶液，那么这种溶液被称为低渗溶液；反之，则称为高渗溶液。注意，溶液的等渗、低渗和高渗仅取决于那些不能自由跨膜流动的微粒，对于可以自由通过细胞膜的微粒，它们最终会达到平衡，使细胞内外的浓度相等。

设有一个简化细胞模型，由细胞膜和细胞质组成，胞内只含有不能穿过细胞膜的蛋白质和能够跨膜流动的水分子。平衡状态下，细胞内外的总渗透浓度必须相等。因为，如果细胞内外渗透浓度不同，那么，水分子就会从浓度高的一侧流向浓度低的一侧，直到平衡为止。例如，图 3.6 所示的细胞模型含有  $0.2\text{mol/L}$  蛋白质，将它放入含有  $0.1\text{mol/L}$  蔗糖的低渗溶液中。设细胞膜对蛋白质和蔗糖都不通透，但水分子可以自由进出。并且，假设细胞体积为  $1\text{nL}$ ，相对于胞外溶液的体积而言，它非常小，也就是细胞体积的变化对于胞外溶液体积的影响可以忽略不计。那么，达到平衡状态时，细胞的体积将是多少？

平衡时，细胞内外的渗透浓度必须相等。由于蛋白质不能分解，细胞内的起始渗透浓度就是  $0.20\text{Osm}$ ，细胞外蔗糖溶液的渗透浓度为  $0.10\text{Osm}$ 。 $0.20\text{Osm}$  的溶液每升中含有  $0.2\text{mol}$  微粒，而同等体积的  $0.10\text{Osm}$  溶液所含微粒数量要少一半，因此，细胞内的渗透浓度需要降低一半才能达到平衡。由于细胞膜不能通透蛋白质分子，其含量不会变化，因此，只有使细胞体积扩大一倍才能使胞内渗透浓度降低一半。于是，水分子通过细胞膜进入胞内，直至细胞体积增加到  $2\text{nL}$  为止。从而使得胞内渗透浓度降为  $0.10\text{Osm}$ ，与胞外渗透浓度相等。在此过程中，水分子顺着浓度梯度，从胞外含水浓度高的  $0.1\text{mol/L}$  蔗糖溶液扩散到胞内含水浓度低的  $0.2\text{mol/L}$  蛋白质溶液。

### 例 3.2

如果将图 3.6 所示的细胞模型放到纯水中，那么细胞将如何变化？

解：

水分子能够跨膜流动，因此，它会顺着浓度梯度从水浓度高的胞外空间流向水浓度低的胞内空间。而且，只要细胞内存在蛋白质，胞外的水分子浓度总是高于胞内的水分子浓度，因此，水分子一直会进入细胞，直到细胞膜被撑破为止。

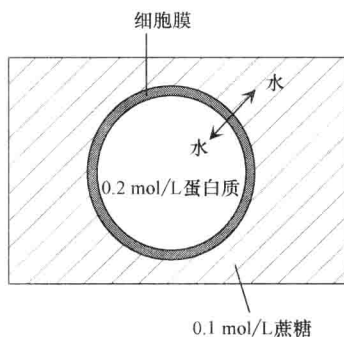


图 3.6 由细胞质和细胞膜组成的简化细胞模型

注：其细胞质中含有  $0.2\text{mol/L}$  蛋白质。细胞置于浓度为  $0.1\text{mol/L}$  的蔗糖溶液中。细胞膜对蛋白质和蔗糖都不通透，只有水可以自由出入。胞外溶液的体积比细胞体积  $1\text{nL}$  大得多，图中只显示了其中的一部分。

## 例 3.3

假设图 3.6 所示细胞模型的初始体积为 2nL, 并且含有 0.2mol/L 蛋白质。细胞置于 0.2mol/L NaCl 的大体积溶液中, 假设  $\text{Na}^+$  和  $\text{Cl}^-$  都不能穿过细胞膜进入细胞。那么, 0.2mol/L NaCl 溶液相对于细胞内部的渗透浓度是低渗、等渗、还是高渗? 并说明细胞在此新环境中达到平衡时会发生什么变化, 细胞最终的渗透浓度和体积分别是多少?

解:

细胞内的渗透浓度为 0.2Osm, 而胞外 0.2mol/L NaCl 溶液的渗透浓度为 0.4Osm, 即  $0.2\text{Osm Na}^+ + 0.2\text{Osm Cl}^-$ 。因此, 相对于细胞内的渗透浓度, NaCl 溶液是高渗的, 也就是胞外渗透浓度大于胞内渗透浓度。由于蛋白质、 $\text{Na}^+$  和  $\text{Cl}^-$  都不能跨膜传输, 因此, 水分子会从胞内流出, 直到胞内渗透浓度达到 0.4Osm 为止, 此时胞内体积将从 2nL 减小到 1nL, 即

$$C_1 V_1 = C_2 V_2$$

$$V_2 = \frac{0.2\text{Osm}}{0.4\text{Osm}} \times 2\text{nL}$$

$$V_2 = 1\text{nL}$$

实际细胞要比上述简化模型复杂得多, 除了要达到渗透平衡以外, 还必须根据细胞内的离子情况, 达到电荷平衡。根据电中性原则, 细胞等生物体的房室中, 阳离子的总浓度必须等于阴离子的总浓度。例如, 如图 3.7 所示的细胞模型, 其细胞内外阴、阳离子的浓度与一般哺乳动物细胞相近。如果细胞膜只允许  $\text{K}^+$  和  $\text{Cl}^-$  自由通过, 但对  $\text{Na}^+$  和胞内其他阴离子不通透, 那么, 这个细胞处于平衡状态吗? 我们来分析一下。细胞内的总渗透浓度为 250mOsm, 即 12mmol/L  $\text{Na}^+$ 、125mmol/L  $\text{K}^+$ 、5mmol/L  $\text{Cl}^-$  与 108mmol/L 其他阴离子的总和; 而细胞外总渗透浓度也是 250mOsm, 即 120mmol/L  $\text{Na}^+$ 、5mmol/L  $\text{K}^+$  与 125mmol/L  $\text{Cl}^-$  的总和, 因此细胞处于渗透平衡, 也就是进出细胞膜的水分子净流量为零。如果胞内除  $\text{Cl}^-$  以外的每个阴离子所带平均电荷为 -1.2, 那么细胞内也基本处于电荷平衡状态, 即  $\text{Na}^+$  和  $\text{K}^+$  的正电荷之和为  $12 + 125$ ;  $\text{Cl}^-$  和其他阴离子的负电荷之和为  $5 + 1.2 \times 108$ , 两者基本相等。不过, 由于实际细胞允许通透少量的  $\text{Na}^+$ , 因此, 细胞要维持这种平衡就必须消耗能量, 逆着  $\text{Na}^+$  的扩散方向和电位梯度, 通过特殊的蛋白质通道将  $\text{Na}^+$  泵出细胞, 哺乳动物细胞就是通过这种方式维持平衡状态, 以防止  $\text{Na}^+$  在胞内不断聚集。由于这种  $\text{Na}^+$  主动泵出细胞的速率等于它从其他通道进入细胞的速率, 因此看起来就像  $\text{Na}^+$  不能穿过细胞膜一样。实际上, 哺乳动物细胞处于一种稳定状态, 而非平衡状态, 细胞必须消耗 ATP 形式的能量以阻

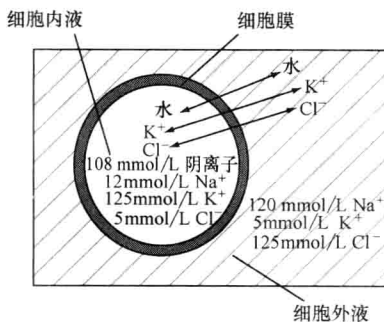


图 3.7 细胞内液和外液中各种离子浓度与普通哺乳动物细胞相似的细胞模型

注: 胞外溶液的体积远大于细胞体积 (图中没有将其全部表示出来)。

止离子的跨膜净流动。

例 3.4

设简化细胞模型如图 3.7 所示，其中各种离子浓度如下所列。请问该细胞是否处于平衡状态，为什么？

离子	胞内浓度/(mmol/L)	胞外浓度/(mmol/L)
K <sup>+</sup>	158	4
Na <sup>+</sup>	20	163
Cl <sup>-</sup>	52	167
A <sup>-</sup>	104	—

解：

细胞是处于平衡状态。由于细胞内的正负电荷量相等，细胞外的正负电荷量也相等，并且胞内渗透浓度等于胞外渗透浓度，因此细胞既处于电荷平衡也处于渗透平衡。具体计算见下表：

	胞内	胞外
正电荷	$158 + 20 = 178\text{mmol/L}$	$4 + 163 = 167\text{mmol/L}$
负电荷	$52 + 1.2 \times 104 = 177\text{mmol/L}$	$167\text{mmol/L}$
	$178\text{mmol/L}_{\text{正}} \approx 177\text{mmol/L}_{\text{负}}$	$167\text{mmol/L}_{\text{正}} = 167\text{mmol/L}_{\text{负}}$
渗透浓度	$158 + 20 + 52 + 104 = 334\text{mmol/L}$	$4 + 163 + 167 = 334\text{mmol/L}$
	$334\text{mmol/L}_{\text{胞内}} = 334\text{mmol/L}_{\text{胞外}}$	

带电微粒在细胞内液和外液中的分布会导致跨膜电位的产生，电位的大小取决于各种可以跨膜流动的离子在细胞内外的浓度，本书第 12 章将详细讨论这个问题。

细胞膜除了能够控制细胞的体积以外，它还是大分子等其他物质进出细胞的途径。各种物质可以通过胞吞作用进入细胞（见图 3.8a），也可以通过胞吐作用离开细胞（见图 3.8b）。胞吞时，细菌等细胞外的物质被小片质膜包裹，形成小囊泡；然后，小囊泡与细胞膜融合，被吞并，囊泡内容物就流入细胞内。胞吐时，细胞内的物质被质膜包裹，也形成小囊泡，然后，小囊泡移向细胞膜，并与细胞膜融合，将其内容物释放到细胞外。

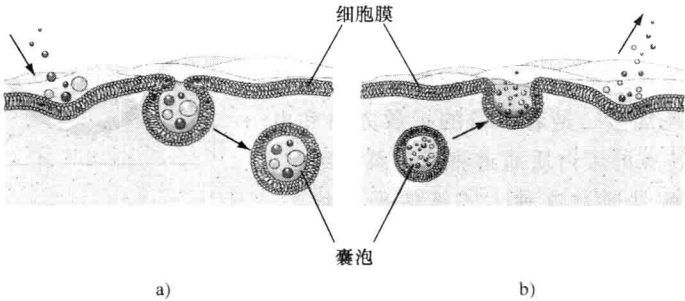


图 3.8 细胞的胞吞（图 a）和胞吐（图 b）作用

注：某些物质由于体积太大，不能穿过细胞膜上的蛋白质通道，但可以通过胞吞和胞吐方式进出细胞。

### 3.2.2 细胞质和细胞器

细胞质包含了细胞液和细胞器,细胞液中含有  $\text{Na}^+$ 、 $\text{K}^+$ 、 $\text{Cl}^-$  等离子和葡萄糖等分子。细胞器有两大类:一类被质膜包裹,有细胞核、粗面内质网、光面内质网、高尔基体、溶酶体和线粒体;另一类无质膜包裹,有核仁、核糖体、中心粒、微绒毛、纤毛、鞭毛以及细胞骨架中的微管、中间丝和微丝等。

如图 3.4 所示,细胞核由核膜(也是双层膜)和核质组成,核质中含有各种离子、酶、核苷酸、蛋白质、DNA 和少量 RNA。细胞核的 DNA 中含有指导生命过程的指令信息。核膜上的核孔是蛋白质通道,允许各种离子和 RNA 通过,但蛋白质和 DNA 一般不能通过。大多数细胞核含有一个或者多个核仁,每个核仁都包含有 DNA、RNA 和蛋白质,并可以合成核糖体的各种成分,供细胞制造蛋白质。

光面内质网和粗面内质网、高尔基体以及各种囊泡组成了细胞的质膜系统(见图 3.4、图 3.9a 和图 3.9b),用于输送构建质膜所需的蛋白质和脂类,并积累和存储某些特殊用途的蛋白质和脂类。内质网还是钙离子的存储部位。粗面内质网与光面内质网的不同之处是前者外表面黏附有核糖体,核糖体是蛋白质合成的场所。粗面内质网外表面上合成的蛋白质通过内质网膜进入内质网内侧,并在那里被加上非蛋白质侧链,然后,这些经过修饰的蛋白质移向光面内质网,并在那里被包装成囊泡。光面内质网还生产脂类并将其包装成囊泡,它也负责释放存储的钙离子。光面内质网生成的囊泡释放后会黏附到高尔基体上,在此,囊泡内容物被释放、修饰并重新包装成新的囊泡。其中有一类囊泡就是溶酶体,内含消化酶,可降解那些通过胞吞作用进入细胞的物质。其他囊泡含有激素和神经递质等蛋白质,通过胞吐作用由细胞分泌到胞外。

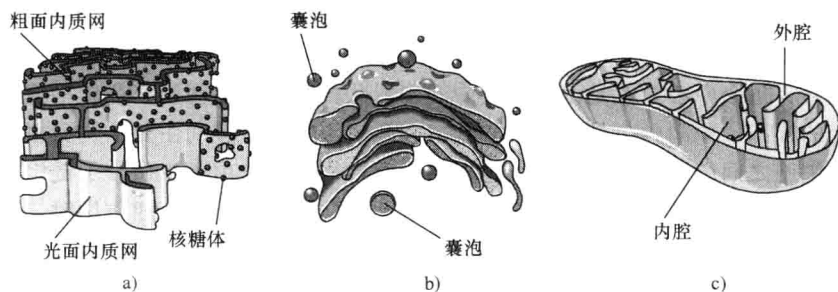


图 3.9 几种细胞器

注:内质网(图 a)、高尔基体和囊泡(图 b)组成了细胞的质膜系统。内质网上的小颗粒是核糖体。附有核糖体的内质网称为粗面内质网,没有核糖体的内质网称为光面内质网。线粒体(图 c)具有两层质膜,其中内膜将线粒体内分成内腔和外腔两个部分,各自含有不同浓度的酶、底物和氢离子。内腔与外腔之间的电压差和化学浓度梯度为制造 ATP 提供了所需的能量。

线粒体(见图 3.9c 和图 3.10)含有两层质膜:外膜包裹整个细胞器,内膜则将线粒体内隔成了两个部分。细胞所需的 ATP 中大约有 95% 是由线粒体通过一系列需氧反

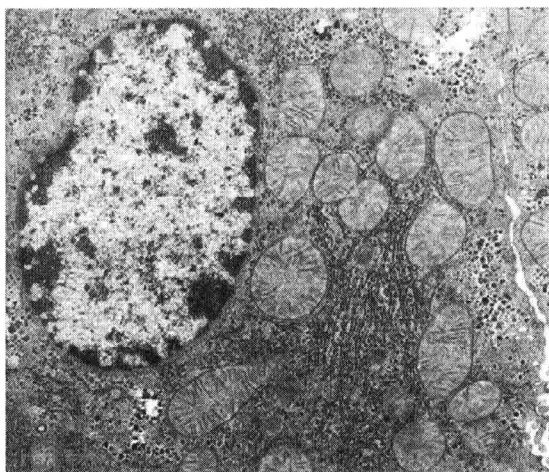


图 3.10 正常小鼠肝细胞放大 8000 倍的电镜扫描图像

注：左边较大的圆形细胞器是细胞核，其他较小的圆形或椭圆形细胞器是线粒体，它们具有不同的切片角度。平行排列的细长的膜结构是内质网，内质网上的小颗粒就是核糖体。

（此照片由 North Carolina State University 电镜中心的 Valerie Knowlton 馈赠。）

应产生的，该反应还同时产生二氧化碳。与其他细胞器不同的是线粒体内含有自身 DNA。有性繁殖生物体，如人类，其主要线粒体来源于母体的卵细胞，因为父体的精子只能为后代提供半套染色体的 DNA。

微管（microtubules）、中间丝（intermediate filaments）和微丝（microfilaments）为细胞提供了结构支持并协助细胞运动。微管由微管蛋白的螺旋亚基组成，是一种中空의长圆柱形结构，它们围绕各个中心呈辐射状排列。在细胞分裂过程中，细胞质中靠近细胞核的一个特殊区域（即中心体）含有两个中心粒（见图 3.4 和图 3.11a），这对中心粒相互垂直，每个中心粒就是由围绕其中心辐射状排列的九组微管三联体构成，形状就像车轮上的辐条。中间丝也是一种空心管，它是细胞膜和核膜的主要结构支撑，同时也辅助形成细胞之间的连接，并维持细胞器的空间结构。微丝由蛋白质分子链组成，在一般细胞中都有。当微丝中的蛋白质亚基，即肌动蛋白和肌球蛋白互相作用时，细胞就可以发生移动。如图 3.11b 所示，微绒毛（microvillus）是细胞膜上微丝的突起部分，它们增加了细胞的表面积，可以促进细胞对胞外物质的吸收。

纤毛（cilia）和鞭毛（flagella）是细胞的骨架成分（见图 3.11c），都是杆状结构，由外周的 9 对微管和中间的 2 根单微管组成，这些杆状结构再锚定在与中心粒结构相似的基座上。鞭毛的作用像一根尾巴，可以推动精子等细胞前行。纤毛通常比鞭毛短，但数量比鞭毛多，如呼吸道管壁上排列的那种特异细胞上就存在纤毛，纤毛的摆动作用有助于将混合在黏液中的细菌和微粒排出肺外。

### 3.2.3 DNA 以及基因表达

DNA（见图 3.3）存在于细胞核和真核生物的线粒体中。在有性繁殖的生物体中，

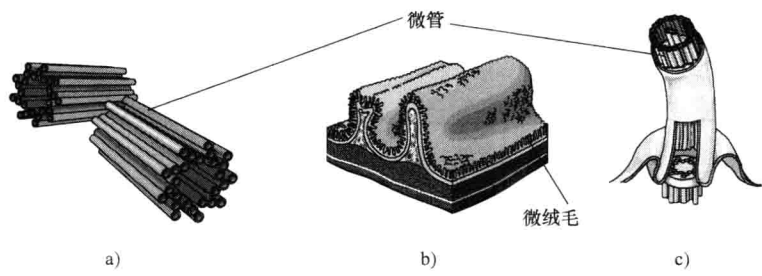


图 3.11 细胞的中心粒、微绒毛和纤毛

注：细胞的中心体含有 2 颗中心粒（图 a），两者之间形成直角。这种中心粒由微管组成，它们在细胞分裂过程中用于固定牵引细胞遗传物质平分的微管，因此具有非常重要的作用。微绒毛（图 b）是细胞膜的突起部分，整齐排列的绒毛在小肠黏膜上就像微小的手指状突起，有助于增加细胞吸收营养物质的表面面积。纤毛（图 c）排列在呼吸道内壁上，其摆动作用有助于将混合在黏液中的细菌和微粒排出肺外。

细胞核 DNA 包含了来自父母双方的遗传信息；而线粒体 DNA 只来源于母体。细胞核 DNA 缠绕在蛋白质柱（即核小体）上，形成染色体对。如图 3.12 所示，人类含有 22 对常染色体和 1 对性染色体，性染色体 XX 表示女性，XY 则表示男性。如果将一个人体细胞（除精子和卵子之外的任何细胞）中的所有 46 条染色体上的 DNA 首尾相连，

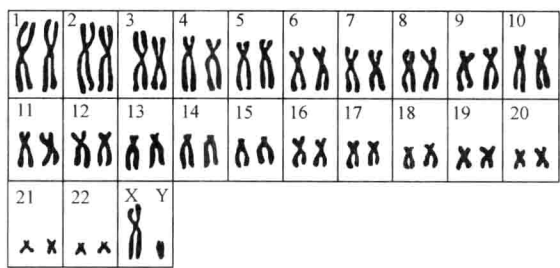


图 3.12 正常男性的染色体组型

注：图中按照从大到小的顺序显示了 22 对常染色体以及 XY 性染色体。

那么，可以形成一条宽 2nm、长 2m 的 DNA 带。每个染色体上都含有成千上万个独立的基因，它们是遗传性状的信息单位。每个基因都位于特定染色体上的特定位置，并且包含 3 种 RNA（即核糖体 RNA、信使 RNA、转运 RNA）之一的编码。人类基因组计划始于 1990 年，其目标是确定人类整个半套染色体（23 对染色体中每对取一条）上 3000 多个基因的位置，并测定它们的核苷酸序列，共约有 300 万对核苷酸！

如图 3.13 所示，细胞分裂时发生 DNA 复制，这是一种半保留复制。首先，解旋酶将双螺旋解链，然后互补碱基被输送到解链的核苷酸链旁，并相互连接形成互补的 DNA 单链。复制完成时，每条解链的 DNA 变成相同的两条，并构成两条 DNA 双螺旋链，每条双螺旋都包含了一条原 DNA 链和一条新合成的 DNA 链。这样，每个子细胞从分裂的母细胞中都获得相同的遗传信息。在复制过程中，有些酶负责检查复制的准确性，还有一些酶负责修正碱基配对的错误，从而使复制错误的发生率降至十亿分之一。

为了保护 DNA 不被细胞质中的酶和蛋白质分解，DNA 一直保存在细胞核内，而蛋白质却是在细胞核外的核糖体上合成，因此，就需要一种转录方法，将 DNA 的遗传信息传递到细胞质中。如图 3.14 所示，转录时，根据互补碱基配对的原则，编码蛋白质

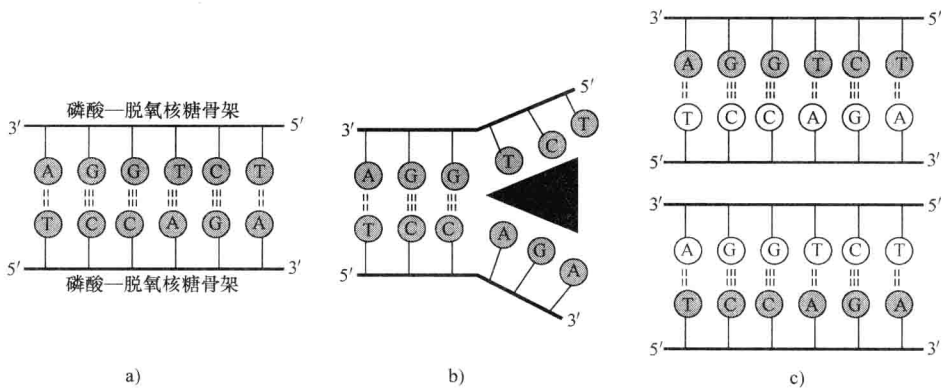


图 3.13 DNA 的复制

注：复制过程中，DNA 双螺旋（图 a）首先由解旋酶解链（图 b 中的黑三角区域所示），然后由另一种酶——DNA 聚合酶，按照从 5' 端到 3' 端的方向，分别复制解链后的每一条单链。其中 5' 到 3' 方向的那条链可以连续复制，而 3' 到 5' 方向的反向链则需要先合成 5' 到 3' 方向的各个小片段，再通过 DNA 连接酶将它们连接起来。复制结束时产生两条相同的 DNA 双链（图 c）。

的基因的核苷酸序列被转录成信使 RNA（即 mRNA）。例如，某段 DNA 序列为 TACGCTCCGATA，则其 mRNA 序列应该是 AUGCGAGGCUAU。实际转录过程还要复杂一些，直接由含有内含子的 DNA 转录生成 mRNA，再经过剪切，才能产生最终的 mRNA。这种最终的 mRNA 还有一条尾巴，称为聚 A 尾，由 100~200 个腺苷酸（A）连接而成；并且在它的另一端连有一个由核苷酸组成的帽子结构，该核苷酸上结合了一个甲基和几个磷酸基团。转录与复制有如下不同之处：①转录只用部分 DNA 链作为模板，而非整条链；②所用的酶不同；③转录只产生单条链。

如图 3.15 所示，转录之后，mRNA 通过细胞核的核孔流出，进入细胞质，并与核糖体上的两个亚基表面的特殊位点结合。细胞质中除了核糖体之外，还含有氨基酸和另一种 RNA，即转运 RNA（tRNA）。每个 tRNA 上含有一个碱基三联体，称为反密码子，并在远离这个三联体的某个部位结合有该反密码子对应的特定的氨基酸。细胞核基因产生的 mRNA 上的碱基也是每三个构成一组，这种碱基三联体称为密码子。密码子中的每一位可以是 A、U、C、G 四种核苷酸的任意一种，因此一共可以排列出  $4^3 = 64$  个密码子，这 64 个密码子组成了遗传密码，每个密码子编码一个特定的氨基酸，但有些氨基酸对应于多个

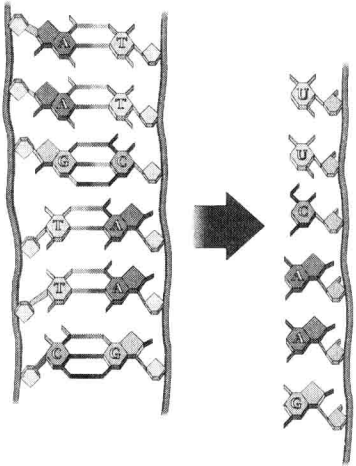


图 3.14 DNA 的转录

注：转录时，通过互补碱基配对，DNA 基因双链之一转录产生 RNA。RNA 中含有尿嘧啶（U），而不是胸腺嘧啶（T），因此，图中 DNA 起始端的两个碱基 T 在转录之后的 RNA 单链中变成了 U。

密码子（见表 3.1）。例如，AUG 是甲硫氨酸唯一的 mRNA 密码子，它通常指示翻译的起始位置（注：根据遗传信息生成蛋白质的过程称为翻译），而 UUA、UUG、CUU、CUC、CUA 和 CUG 却都是亮氨酸的密码子。因此，将甲硫氨酸运送到核糖体的 tRNA 上的反密码子为 UAC，而运送亮氨酸的 tRNA 上的反密码子可以是 AAU、AAC、GAA、GAG、GAU 和 GAC。

翻译过程中，mRNA 与核糖体相结合，tRNA 则根据 mRNA 上的密码子不断地将氨基酸运输到正在生长的肽链上，每个新转运来的氨基酸都与前一个氨基酸之间形成肽键连接。一旦氨基酸结合到增长的肽链上之后，它就与 tRNA 脱离。该 tRNA 重新回到细胞质中并根据其反密码子再结合新的氨基酸分子。这种翻译过程一直持续到遇到 mRNA 上的终止密码子（即 UAA、UAG 或者 UGA）为止。然后，蛋白质脱离核糖体，进入细胞质，或者进入粗面内质网中完成进一步的修饰。

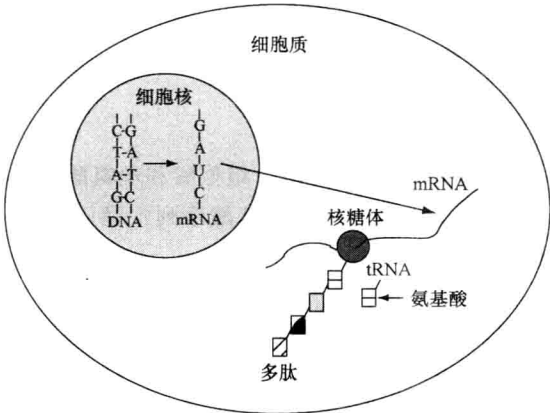


图 3.15 RNA 的翻译

注：在细胞核内完成 DNA 转录和处理之后，mRNA 从细胞核转移到细胞质。在细胞质中，mRNA 与核糖体结合，并开始蛋白质翻译过程。翻译时，tRNA 将氨基酸转运到不断增长的肽链上，转运哪个氨基酸则由 mRNA 上的三联碱基密码子决定，mRNA 的每个密码子与特定的 tRNA 上的反密码子互补。每个 tRNA 都有一个特定的氨基酸结合在与反密码子相对的位点上。例如，mRNA 上的密码子 CUG 与携带亮氨酸的 tRNA 上的反密码子 GAC 互补，于是就将亮氨酸添加到肽链上。

表 3.1 遗传密码

第一位碱基	第二位碱基				第三位碱基
	A	U	G	C	
A	Lys	Ile	Arg	Thr	A
	Asn	Ile	Ser	Thr	U
	Lys	Met-起始子	Arg	Thr	G
	Asn	Ile	Ser	Thr	C
U	终止子	Leu	终止子	Ser	A
	Tyr	Phe	Cys	Ser	U
	终止子	Leu	Trp	Ser	G
	Tyr	Phe	Cys	Ser	C



(续)

第一位碱基	第二位碱基				第三位碱基
	A	U	G	C	
G	Glu	Val	Gly	Ala	A
	Asp	Val	Gly	Ala	U
	Glu	Val	Gly	Ala	G
	Asp	Val	Gly	Ala	C
C	Gln	Leu	Arg	Pro	A
	His	Leu	Arg	Pro	U
	Gln	Leu	Arg	Pro	G
	His	Leu	Arg	Pro	C

注：表中氨基酸三字母和单字母代码为：Ala(A) = 丙氨酸；Arg(R) = 精氨酸；Asn(N) = 天冬酰胺；Asp(D) = 天冬氨酸；Cys(C) = 半胱氨酸；Glu(E) = 谷氨酸；Gln(Q) = 谷氨酰胺；Gly(G) = 甘氨酸；His(H) = 组氨酸；Ile(I) = 异亮氨酸；Leu(L) = 亮氨酸；Lys(K) = 赖氨酸；Met(M) = 甲硫氨酸；Phe(F) = 苯丙氨酸；Pro(P) = 脯氨酸；Ser(S) = 丝氨酸；Thr(T) = 苏氨酸；Trp(W) = 色氨酸；Tyr(Y) = 酪氨酸；Val(V) = 缬氨酸。

例 3.5

设某蛋白质序列为天冬酰胺、苯丙氨酸、组氨酸和丝氨酸。如果不存在内含子，那么，怎样的 DNA 核苷酸序列能够生成这种氨基酸序列？翻译时负责转运这些氨基酸的 tRNA 反密码子又是哪些？

解：

表 3.1 的遗传密码列出了对应于各种氨基酸的 mRNA 密码子序列，根据碱基互补配对的原则，可以利用这些 mRNA 密码子序列确定原始 DNA 序列和 tRNA 的反密码子序列。注意，DNA 用的是胸腺嘧啶 (T)，而不是尿嘧啶 (U)，而 mRNA 和 tRNA 都用 U，而不是 T。碱基配对的例子请参见图 3.3 和图 3.14。本题答案如下：

	天冬酰胺 (Asn)	苯丙氨酸 (Phe)	组氨酸 (His)	色氨酸 (Ser)
mRNA 密码子	AAU 或 AAC	UUU 或 UUC	CAU 或 CAC	UC(A,G,U,或 C)
DNA	TTA 或 TTG	AAA 或 AAG	GTA 或 GTG	AG(T,C,A,或 G)
tRNA 反密码子	UUA 或 UUG	AAA 或 AAG	GUA 或 GUG	AG(U,C,A 或 G) ■

3.3 组织

如图 3.16 所示，组织是由多个细胞群及其周围物质构成并具有一种或多种特定功能的生物体。人体中有 4 种主要的组织：上皮组织 (epithelial tissue)、结缔组织 (connective tissue)、肌肉组织 (muscle tissue) 和神经组织 (nervous tissue)。上皮组织中的细胞要么形成单层或多层的片状结构，要么组成具有分泌功能的腺体。它们的特点是具有游离的表面，例如肠道内表面、皮肤外表面等；还具有基底膜。上皮组织的主要功能包括吸收功能 (如小肠)、分泌功能 (如腺体)、运输功能 (如肾小管)、排泄功能

(如汗腺)、保护功能(如皮肤,见图3.16a)以及感觉器接受功能(如味蕾)。结缔组织最丰富,分布最广泛。它们可以分成不同的种类:有疏松结缔组织,如器官周围和器官之间的疏松的交织纤维;有不规则的致密结缔组织,如包绕各种器官的保护性被膜;还有规则的致密结缔组织,如韧带和肌腱;此外,特异性的结缔组织有血液(见图3.16b)、骨组织、软骨和脂肪组织等。肌肉组织通过其特异化的细胞产生身体的运动,这些细胞受到刺激后可以收缩,然后再回复到原有的舒张状态。图3.16c所示是3种不同的肌肉组织:附着于骨骼上的骨骼肌、组成血管壁的平滑肌、只有心脏才有的心肌。如图3.16d所示,神经组织由神经元和神经胶质细胞组成,其中神经元具有传导电脉冲信号的功能,而胶质细胞则具有保护、支持和营养神经元的功能。

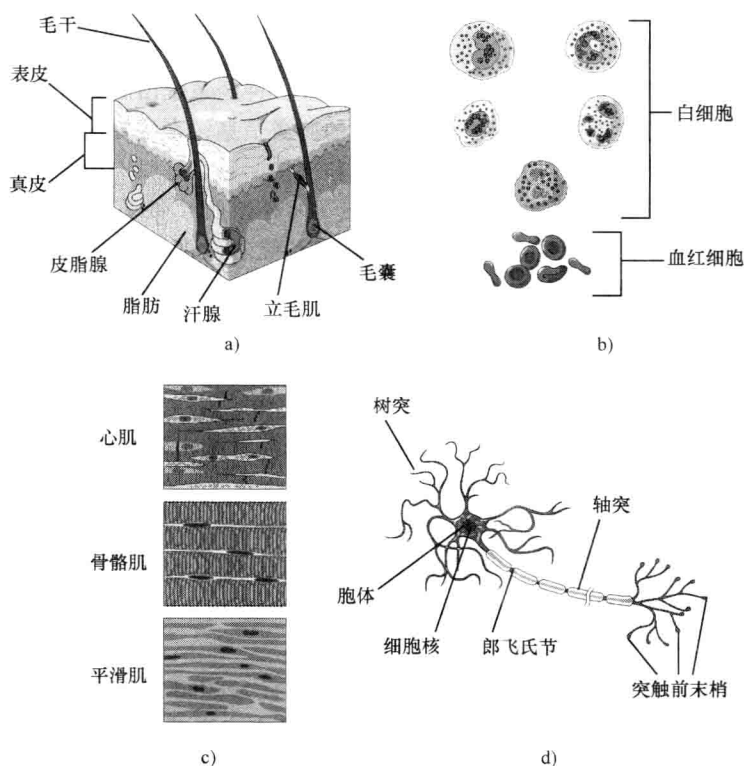


图 3.16 人体的4种组织

注:皮肤(图a)是一种上皮组织,它用于保护人体;血液(图b)是一种特殊的结缔组织;肌肉组织(图c)有3种不同的类型:心肌、骨骼肌和平滑肌;运动神经元(图d)是一种神经组织,它能将中枢神经系统的电脉冲信号传递给肌肉等效器。

### 3.4 人体主要器官系统

几种组织结合在一起所形成的能够完成复杂功能的结构称为器官,共同执行特定任

务的多个器官则组成了器官系统。人体共有 11 个主要器官系统：表皮系统、内分泌系统、淋巴系统、消化系统、泌尿系统、生殖系统、循环系统、呼吸系统、神经系统、骨骼系统和肌肉系统。表皮系统由皮肤、毛发、指甲和各种腺体等组成，它为人提供保护。内分泌系统包括甲状腺和肾上腺等无管腺体，它们分泌激素，用于调控细胞内的各种化学反应。淋巴系统包括腺体、淋巴结、淋巴和淋巴管，它将多余的体液和蛋白质回收入血液中，并协助人体预防感染和组织损伤。消化系统由胃、肠等结构组成，它摄取食物和水，将食物分解成可以被细胞吸收利用的小分子，并排出固体废物。泌尿系统由肾脏、输尿管、膀胱和尿道组成，它维持人体的体液平衡，排出代谢废物，协助调节血压，维持酸碱平衡和盐水平衡。生殖系统由卵巢（或睾丸）、生殖细胞及附件（包括各种腺体和导管）组成，它产生卵子或精子，是后代繁殖和营养供给的场所。循环系统由心脏、血液和血管组成，它是人体内的运输系统。呼吸系统由气管和肺组成，它将空气中的氧气运输到血液中，并将二氧化碳排出体外。神经系统由脑、脊柱、外周神经和感觉器官组成，它通过感知并响应内外环境中的刺激信息，来调控人体的各种活动。骨骼系统由骨骼和软骨组成，它为人提供保护和支持，它也是肌肉附着之处，并且是血细胞生成以及钙和磷酸储存的场所。肌肉系统（即骨骼肌）带动人体及其内部结构的运动，保持人体姿势，并产生热量。在这些器官系统的认识、维护以及修复等各个方面，生物医学工程人员都发挥了巨大的作用，做出了很大的贡献。不过，本章下面只详细介绍上述后 5 个系统。

### 3.4.1 循环系统

如图 3.17 所示，循环系统在整个人体内输送营养物质和激素，带走组织中的废物，并调节体温，排出人体内部器官代谢活动所产生的热量。人体中每个活细胞周围  $10 \sim 100 \mu\text{m}$  距离之内就有毛细血管。毛细血管是很细的血管，其血管壁只有一个细胞的厚度，直径仅为  $8 \mu\text{m}$ ，相当于一个红细胞的大小。细胞与毛细血管之间如此接近，使得氧气、二氧化碳等多数小分子溶质都能够在浓度梯度和压力梯度作用下扩散运输，要么从细胞进入毛细血管，要么从毛细血管进入细胞。

成人体的血液约占体重的  $8\% \pm 1\%$ ，平均约有  $5200\text{mL}$ 。血液是一种复杂的混合物，多种不同的有形成分（即血细胞）悬浮于一种连续流动的淡黄色液体（即血浆）之中。这种混合物的比重为  $1.057\text{g}/\text{cm}^3 \pm 0.007\text{g}/\text{cm}^3$ ；其黏性是水的 6 倍。血细胞可分为 3 种基本类型：红细胞（约占血细胞总数的  $95\%$ ）、白细胞（通常少于血细胞总数的  $0.15\%$ ）和血小板（约占血细胞总数的  $5\%$ ）。血细胞都来源于成人体的活性骨髓（即红骨髓），人体内约有  $1500\text{g}$  红骨髓。红骨髓中的未分化干细胞（即骨髓母细胞）经过造血过程最终转变为成熟的血细胞。

红细胞的主要功能是运输血液中的气体，大约细胞重量的  $30\% \sim 34\%$  是携带着氧分子和二氧化碳分子的血红蛋白（其分子量为  $64000 \sim 68000\text{MW}$ ）。红细胞中含有碳酸酐酶，可以催化可逆反应，将二氧化碳和水变为碳酸氢根离子。白细胞的主要功能是赋予人体识别并清除异物（如传染性病菌等）的能力。其中，无颗粒的白细胞（即淋

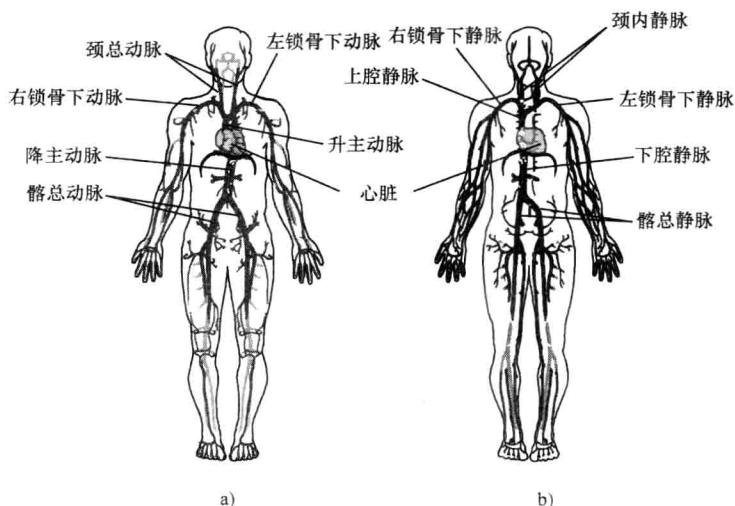


图 3.17 人体的血液循环系统

a) 人体主要动脉分布图，动脉将血液从心脏运输到全身

b) 人体主要静脉分布图，静脉将血液运送回心脏

巴细胞和单核细胞）执行“识别”任务；而有颗粒的白细胞（即嗜中性粒细胞、嗜碱性粒细胞和嗜酸性粒细胞）则完成“清除”任务。血小板的主要功能是参与凝血过程。

使用离心或者其他分离方法可以将血液中的血细胞都去掉，留下的液体就是血浆。其中占 91% 重量的是水（约占 94.8% 体积），NaCl 的浓度约为  $0.15\text{mol/L}$ ，平均比重约为  $1.035\text{g/cm}^3 \pm 0.005\text{g/cm}^3$ ，其黏性是水的 1.5 ~ 2 倍。血浆重量的 6.5% ~ 8% 是血浆蛋白，主要由 3 种蛋白组成：白蛋白、球蛋白和纤维蛋白原。还有其他几种鲜为人知的蛋白。

白蛋白的主要功能，一是保持血管内外渗透压的差别，从而在毛细血管处确保血液与组织液（interstitial fluid）之间的正常物质交换。二是运输作用，白蛋白是几种激素和其他小分子生化成分（如金属离子等）的载体。球蛋白的主要功能是作为大分子生化成分的运输载体（多数为  $\alpha$  和  $\beta$  球蛋白），它运输的有脂肪（形成脂蛋白）、某些碳水化合物（形成糖蛋白）和重金属分子。球蛋白还与白细胞一起参与人体免疫系统的作用，主要是  $\gamma$  免疫球蛋白，它具有抗体的活性。纤维蛋白原的主要功能是与血小板一起产生血凝块。凝血素对于凝血也具有辅助作用，它是鲜为人知的蛋白中最的一种。

剩余的血清成分（大约占 2% 重量）不到一半是矿物质（即无机物）、微量元素以及电解质。电解质中多数是钠、钾、钙、镁等阳离子和氯、碳酸根、磷酸根和硫酸根等阴离子。后 3 种阴离子作为缓冲剂，可以将血清的 pH 值保持在 7.35 ~ 7.45 的范围，平均值为 7.4，略微偏碱性。最后剩余的约为每 100mL 血清中的 1087mg 物质，其中包括：① 3 种主要脂肪——胆固醇（游离的或者酯化的）、磷脂（细胞膜的主要成分）和甘油三酯，还有少量脂溶性维生素（如维生素 A、D、E 和 K 等）、各种游离脂肪酸和其他

脂质。②还剩余的约占0.25%重量的血清成分中大约2/3是葡萄糖等碳水化合物，其余的是水溶性维生素（包括复合维生素B和维生素C等）、酶、不含氮和含氮的新陈代谢产物（包括尿素、肌氨酸和肌氨酸酐等）。还有许多更微量的其他生化组分，似乎可以无限制地罗列下去。不难理解为什么血液常被称为“生命之河”。这条河在2个串联的中央泵站（也就是人体的左心和右心）作用下流过全身的血管网络。

如图3.18所示，心脏就像泵站，促使血液在血管中流动。它由左侧和右侧两个泵组成，每个泵都由一个接收血液的心房和一个将血液泵出心脏的心室组成。右侧的泵接收经全身循环而来的富含二氧化碳的缺氧静脉血，并将其泵入肺部；左侧的泵则接收经肺去除大部分二氧化碳的富氧动脉血，并将其泵入全身。如图3.19所示，由心脏通向肺和由肺返回心脏的血管系统组成了肺循环；同理，由心脏通向全身其他组织和由这些组织返回心脏的血管系统则组成了体循环。将血液从心脏运输到全身各处的血管称为动脉，而将血液输送回心脏的血管称为静脉。含氧少的血液称为静脉血，含氧多的血液称为动脉血。肺动脉是唯一输送静脉血的动脉，而肺静脉是唯一输送动脉血的静脉。成人体内平均约含5L血液，其中约有80%~90%的血量分布在体循环中；体循环的75%血量分布在静脉中，20%在动脉中，还有5%则在毛细血管中。

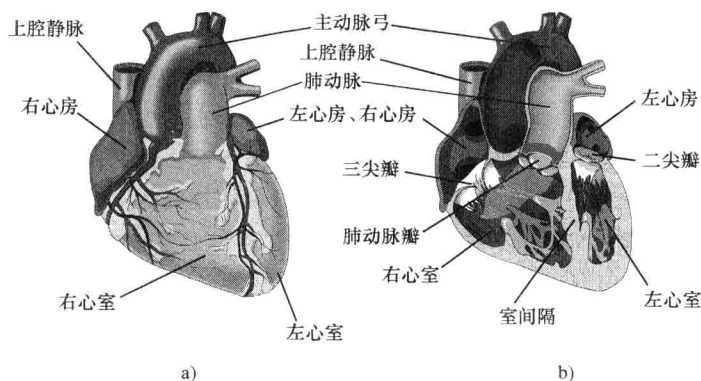


图 3.18 人体的心脏

a) 心脏外表的前视图 b) 切除外表面之后的心脏前视图，其中可见4个内部腔室——左、右心房和左、右心室，以及几个瓣膜

由于心脏的解剖学位置很靠近肺脏，因此，右心无需太用力就可以驱动血液流过肺循环，它的工作血压较低，小于40mmHg。而左心多数时间都工作于较高的血压状态（可达140mmHg以上），才能够驱动血液流过整个体循环系统，使血液到达人体的最末端。

在心脏的4个腔室中，就大小而言，形状有点像球形的左心房是最小的腔室，人体处于安静状态时它仅容纳45mL左右的血液。形状像口袋的右心房是第二大的，约容纳63mL血液；再是圆锥形或者圆柱形的左心室，约容纳100mL血液；最大的是月牙形的右心室，约容纳130mL血液。全部加起来，心脏的腔室一共可以容纳325~350mL血液，约为标准成人血液总体积的6.5%。但是，这些数值只是标称值，心脏工作时反复

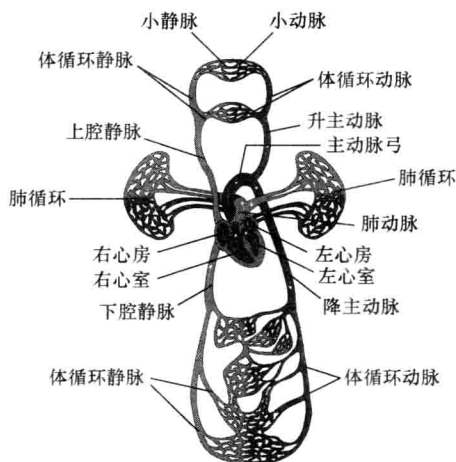


图 3.19 体循环和肺循环示意图

注：体循环中，含氧血液从心脏进入主动脉，一部分被输送到头部、上肢和躯干上部，其余部分则被输送到躯干下部和下肢。血液从主动脉进入其他动脉血管，流经小动脉，进入毛细血管网，在这里血液与其周围细胞交换营养物质、激素、氧气、二氧化碳和废物等。然后，血液从毛细血管网经小静脉进入静脉。身体上部的血液经上腔静脉回到右心房，身体下部的血液则经下腔静脉回到右心房。肺循环中，右心房的血液通过右心室经肺动脉进入肺循环系统，在肺的毛细血管中经过气体交换之后，重新变成含氧血液，并通过肺静脉回到左心房。最后，血液从左心房流入左心室，通过主动脉进入体循环，开始新一轮循环。

舒张和收缩，血液充盈之后又排出。

心脏的循环周期平均为 750ms，其中约 480ms 为舒张期，是血液流入心脏的时期。此时左、右心室入口处的瓣膜打开，其中右心房到右心室的是三尖瓣，直径约为 3.8cm；左心房到左心室的是二尖瓣，直径约为 3.1cm。同时，两个心室出口处的瓣膜关闭，其中一个是肺动脉瓣，直径约为 2.4cm；另一个是主动脉瓣，直径约为 2.25cm。心脏达到舒张末期容量（End Diastolic Volume, EDV）时，左心室的血容量约为 140mL。然后，心脏进入约 270ms 的收缩期，也就是排空期。此时在电信号诱发之下，心脏肌肉强有力地收缩，驱使心室内的血压上升，进而使得单向入口瓣膜关闭，而出口瓣膜打开。同时，心脏收缩至收缩末期容量（End Systolic Volume, ESV），左心室的血容量约剩余 70mL。可见，每一次正常心脏搏动时，心室排出约一半容量的血液，剩余的血液被称为心脏储备容量。通常，实际 EDV 与 ESV 之差就是每搏输出量（Stroke Volume, SV），它是每个心动周期心脏排出的血量。SV 与 EDV 之比是心脏的射血分数，其正常值为 0.5 ~ 0.75。射血分数降为 0.4 ~ 0.5 时表示心脏轻度损伤，0.25 ~ 0.4 时表示中度损伤，0.25 以下则表示心脏的泵血能力严重受损。将 SV 乘以每分钟心动周期数（即心率 HR）得到心输出量（Cardiac Output, CO）：

$$CO = HR \times (EDV - ESV)$$

式中，(EDV - ESV) 就是每搏输出量 SV。

许多研究表明，CO（单位为 mL/min）与体重 W（单位为 kg）之间成比例关系，即

$$CO = 224W^{3/4}$$

而且，正常心率遵循如下关系：

$$HR = 229W^{-1/4}$$

对于体重为 68.7 kg 的标准成人，血容量约为 5200mL。根据以上公式可知：CO = 5345mL/min，HR = 80 次/min，心动周期为 754ms， $SV = CO/HR = 224W^{3/4}/229W^{-1/4} = 0.978W = 67.2\text{mL/次}$ 。这些数据很合理。假设人的寿命为 75 岁，那么，他的一生心脏共搏动 31.536 亿次以上，共泵出 2.107 亿 L 血液（即 55.665 百万 gal，也就是每天 8134quart）。

对于正常心脏，心动周期（cardiac cycle）是指心脏各房室一次收缩和一次舒张构成的活动周期，它起始于心脏窦房结起搏细胞自动产生的电脉冲（见图 3.20）。细胞的这种快速电脉冲变化是各种离子跨膜运动的结果。在此过程中，由于细胞膜对  $\text{Na}^+$  离子的通透性发生了巨大的变化，胞外  $\text{Na}^+$  离子涌入细胞内，于是，跨膜电位由原来的胞内比胞外负（约为 -90mV）变成了胞内比胞外正（约为 20mV），这种电位变化称为去极化。经过小于 0.3s 的短时间之后，膜的其他变化和钠钾离子泵的作用使细胞膜复极化，重新回到原来的平衡状态。这种跨膜电位极性快速逆转后又重新恢复的整个电变化过程称为动作电位。普通成人静息状态下窦房结平均每 0.83 s 去极化一次，对应的静息心率是 72 次/min，其中，大约每个心动周期的 5/8 时间是心脏舒张期，其余 3/8 时间是心脏收缩期。

心肌细胞相互之间紧密偶联，因此动作电位可以沿着一个接一个的细胞传播开来。下面介绍一个心动周期中动作电位兴奋的传播过程。兴奋波大约以 1m/s 的速度传过心房，使心肌细胞去极化，心房收缩。心房收缩时将血液从心房被挤入心室，即从右心房到右心室，从左心房到左心室（见图 3.21）。当兴奋波传到房室结（AVN）时，其传播速度降至约 0.05m/s，使得心室具有足够的时间充盈血液。然后，兴奋波从房室结传导到一种特殊的传导组织——蒲肯野纤维，并以极快的速度（约 3m/s）迅速将兴奋传播到两侧心室的细胞。兴奋波到达心室后，在心室组织中传播的速度大约为 0.5m/s。这样，两个心室就同时收缩，将血液从右心室泵入肺动脉，从左心室泵入主动脉。

如图 3.22 所示，心电图（electrocardiogram，ECG）是测量上述心脏整个电位变化的一种方法。其中，P 波表示心房的去极化，QRS 波表示心室的去极化，T 波表示心室的复极化，心房的复极化则被心室的去极化掩盖了。ECG 各个部分幅值和持续时间变化是医生的重要诊断信息。有很多生物医学工程人员致力于 ECG 记录和分析方法的研究。

### 例 3.6

假设 6.4s 长的 ECG 记录中出现了 10 个 R 波，则其心率是多少？

解：

10 个 R 波之间包含有 9 个 R-R 间期（见图 3.22），也就是 9 次心脏搏动，因此心

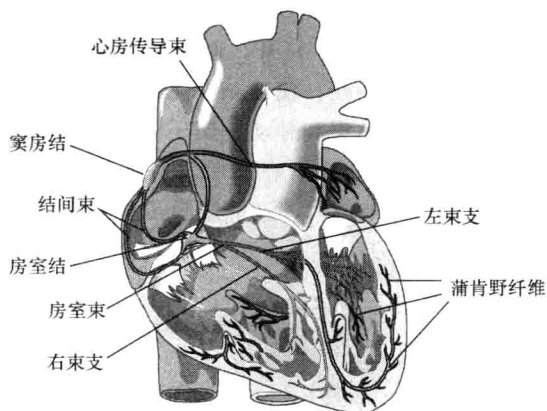


图 3.20 心脏动作电位的传导

注：窦房结（SAN）的自律性起搏细胞首先去极化，然后其动作电位传过心房，当兴奋波传导到房室结（AVN）时，其传播速度减慢，之后又快速通过房室束和蒲肯野纤维，最后到达心室细胞。

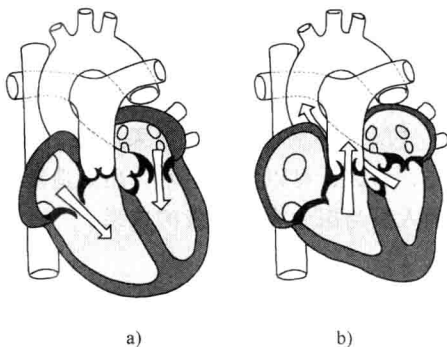


图 3.21 心动周期中动作电位的传播过程

注：图 a 为心动周期的第一阶段，心房收缩，并将血液挤入心室；图 b 为心动周期的第二阶段，心房舒张，心室收缩，并将血液泵入肺部（即进入肺循环）或者泵入身体的其他部分（即进入体循环）。

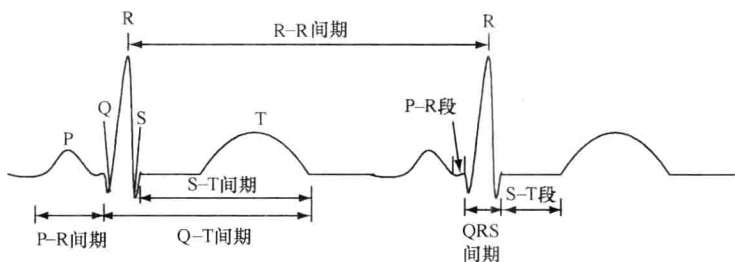


图 3.22 典型 II 导联心电图

注：将正电极放在左腿，负电极放在右臂，就可以测到这种人体体表的典型 ECG 波形。垂直方向表示电压幅值，水平方向表示时间。从图中很容易辨别 P、R、T 波，这些波是心脏不同部位细胞离子活动的结果。各个不同区段的持续时间和波形包含了心脏及其传导系统健康状况的重要信息。其中 R-R 间期可用于计算心率。

率为

$$(9 \text{ 次} / 6.4 \text{ s}) \times (60 \text{ s} / \text{min}) = 84 \text{ 次} / \text{min}$$

### 例 3.7

如果每搏输出量为 75mL，则例 3.6 所述心脏的心输出量为多少？

解：

心输出量（CO）等于心率与每搏输出量的乘积，即

$$\text{CO} = (84 \text{ 次} / \text{min}) \times (75 \text{ mL} / \text{次}) = 6300 \text{ mL} / \text{min} = 6.3 \text{ L} / \text{min}$$



心房和心室收缩时，心脏内包含的特殊的单向瓣膜（见图 3.23a）使血液只能沿正确的方向流动。心房收缩时，房室瓣（即三尖瓣和二尖瓣）打开，血液由心房流向心室。心室收缩时，主动脉瓣和肺动脉瓣（即半月瓣）打开，使血液从心脏泵入动脉；同时房室瓣关闭，以阻止血液从心室倒流回心房。主动脉瓣和肺动脉瓣还分别阻止动脉血液倒流回左右心室。如果心脏的瓣膜发生钙化、病变、或者在胚胎发育期间产生畸变，那么，可以实施手术，用人造瓣膜（见图 3.23b）来替代，这种瓣膜是生物医学工程人员与医生合作开发的成果。

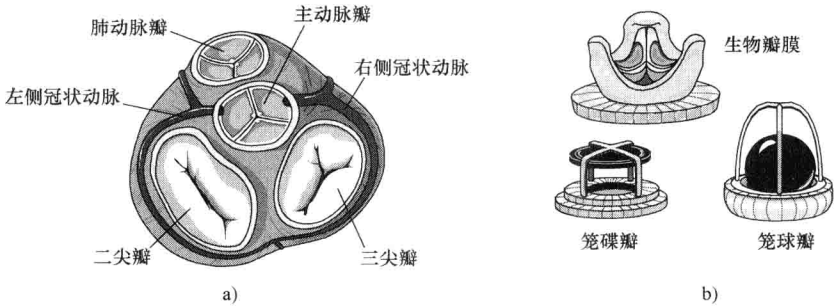


图 3.23 心脏瓣膜

a) 房室瓣（即三尖瓣和二尖瓣）以及肺动脉瓣和主动脉瓣（即半月瓣） b) 三种人造瓣膜：生物瓣膜、笼碟瓣和笼球瓣<sup>⊖</sup>，它们可以用于替代发生病变或畸形的心脏瓣膜

血压可以通过直接或间接（无创）的方法测量。直接测量需要将与压力传感器相连的导管或针插入静脉或动脉中。间接测量有多种方法：第一种常用方法是用血压计测量（sphygmomanometry），也就是用袖带裹住前臂，并将袖带充气，给动脉施加足够大的压力，阻止血流通过动脉，然后再慢慢地释放袖带中的空气，同时用听诊器监听血流的声音变化。当袖带压力降至刚刚低于收缩压（即心室收缩射血时达到的最高血压）时，开始听到科罗特科夫（Korotkoff）音，这表示听诊器下的动脉开始有血液冲过。当袖带压力降低至舒张压（即心室舒张末期最低血压）时，科罗特科夫音变得低沉，并逐渐消失。第二种间接测量法是示波法（oscillometric method），它利用微处理器控制袖带反复进行周期性的充气和缓慢放气。每当血液在袖带施加的阻力下冲过血管时，血流形成的湍流会引起动脉血管壁的轻微振动。振动刚开始出现时的血压就是收缩压，随后，振动的幅值逐渐减小，幅值突然快速下降的那一刻就对应于舒张压。第三种间接测量法是超声法，它根据血流中红细胞对声波反射所产生的多普勒频移来测定血流速度，从而测量血压。

体循环中，正常成人血液离开心脏进入主动脉时的平均血压约为 100mmHg，收缩压约为 120 mm Hg，舒张压约为 80mmHg。然后，血液流入中等大小的动脉和小动脉（见图 3.17a），再由小动脉通向毛细血管，毛细血管内的平均血压约为 30mmHg。随后

⊖ 生物瓣膜是指取自动物或人的瓣膜，笼碟瓣和笼球瓣属于机械瓣膜。——译者注

血液进入小静脉,由小静脉流经中等大小静脉,再进入大静脉,最后汇入腔静脉,腔静脉内的平均血压只有 10mmHg。腔静脉的血液流入右心房返回心脏。肺循环(见图 3.19)中的血液由肺动脉进入小动脉,然后进入肺内的毛细血管网,最后经左心房回到心脏。大动脉和大静脉中的血流速度最快,主动脉的血流速度为 30~40cm/s,腔静脉的血流速度约为 5cm/s;而毛细血管网中的血流速度最慢,只有 1 mm/s,它是营养物质、代谢废物、气体以及激素的交换场所。肺循环的血压比体循环的血压低,其平均收缩压约为 25mmHg,舒张压约为 10mmHg。这是因为右心室比左心室小,其泵血力量也较弱,并且肺血管的阻力也较小。

### 例 3.8

测得某人的血压为 118mmHg/79mmHg(即收缩压/舒张压),请问他的脉搏压和平均动脉压分别是多少?

解:

脉搏压(pulse pressure)等于收缩压(118mmHg)与舒张压(79mmHg)之差,本题应该是 39mmHg。

平均动脉压(mean arterial pressure)是指动脉中的平均血压,通常用舒张压加上 1/3 脉搏压来计算,因此,本题的平均动脉压为 92mmHg。 ■

## 3.4.2 呼吸系统

如图 3.24a 所示,呼吸系统在外界空气和体内气体交换界面之间形成运输通道,体内气体交换界面是循环系统的血液与空气之间进行扩散交换的场所。呼吸系统可分为管道区(conduction zone)和呼吸区(respiratory zone)两大部分。管道区包括口、鼻、鼻窦、咽、气管、支气管和细支气管,当空气通过这些管道进入体内时,空气被加热、湿润、过滤和净化。管道区细胞会分泌黏液,可以吸附空气中大于  $6\text{ }\mu\text{m}$  的小颗粒,阻止它们进入呼吸区。排列在气管和支气管表面的上皮细胞具有纤毛,纤毛协调一致的摆动

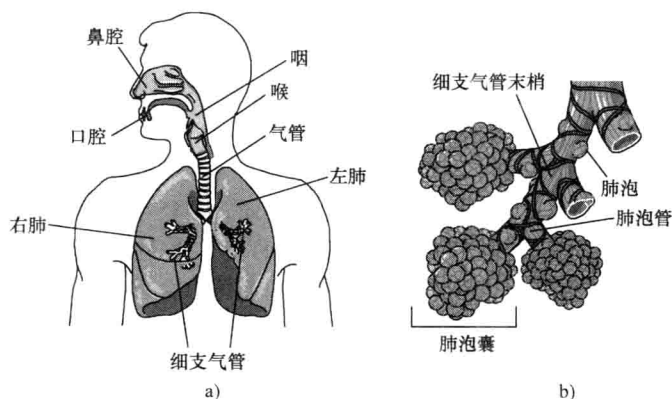


图 3.24 人体的呼吸系统

- a) 呼吸系统由人体内空气进出的各种通道组成    b) 肺内的细支气管末梢和肺泡囊含有许多肺泡,肺内气体与毛细血管血液之间的气体交换就在这些部位完成

可以将黏液运送到咽部,然后被吞咽或者咳出。呼吸区由带有肺泡突起的呼吸性细支气管和肺泡囊末端组成,它是空气与血液之间进行气体交换的场所(见图3.24b)。呼吸区构成了肺的绝大部分重量。

空气进入人体时首先遇到喉部的语音区,然后进入气管。气管是长约10~12cm直径约1.4~2.0cm的肌纤维管道,它止于隆凸处,然后分成左、右支气管。这2根支气管的管壁上都有间隔一定距离的软骨作为支撑,还有能够调节管径的肌纤维,这种肌纤维一直延续至连接肺组织的那些管道。所有细支气管和肺泡导管都含有平滑肌,但是,连接1个或者数个肺泡的终末肺泡导管没有平滑肌。相邻的肺泡共享同一层肺泡壁,肺泡壁由极柔韧且可收缩的鳞状上皮细胞组成。支气管又分成二级支气管,然后分出细支气管,再继续反复分支,直到最终到达肺泡。

在呼吸道中,从口腔、鼻子直到第15级支气管,气体都以团状的形式流动,也就是对流。此后,到了肺泡,气体主要以扩散的方式传输。气体扩散的速度很慢,扩散发生的场所(也就是肺泡)的空间必须很小,才能够将充足的氧气输送至肺泡壁。肺泡越小,输送气体的效率就越高。因此,耗氧量大的动物,其肺泡的直径要小于耗氧量小的动物的肺泡。

通过肺泡的扩散作用,气体进出人体组织。为了确保气体交换的效率,肺泡壁非常薄。从肺泡内到肺毛细血管内血浆之间的总距离只有 $0.4 \times 10^{-6}$  m。因此,气体扩散的主要障碍在血浆和红细胞上,而不是肺泡隔膜。

肺泡内分子的扩散作用使得其中所包含的不同气体均匀混合。由于肺泡很小,不到10ms的时间就可以完成混合,因此,肺泡内气体的混合时间不会影响气体进出血液的交换速度。

肺泡能够正常工作的关键是其表面含有一层很薄的表面活性剂。如果没有这层物质,那么,大的肺泡就会越来越大,而小的肺泡会越来越小,直至塌陷为止。现在的观点是,表面活性剂的作用就像洗涤剂,它可以改变肺泡壁的张力,从而稳定肺泡。

肺的特性可以用顺应性、弹性和表面张力等物理量来描述。其中,顺应性(compliance)是指肺在力的作用下的可扩张程度,正常肺的可扩张性是玩具气球的100倍。弹性(elasticity)是指肺和其他胸腔结构从扩张状态恢复其原始大小的能力,弹性有助于呼气阶段气体从肺中排出。表面张力(surface tension)由肺泡中的液体薄膜产生,可以抵抗扩张。它产生一种内向的力,施加在肺泡上。根据Laplace定律,肺泡内压力的大小与表面张力成正比,与肺泡的半径成反比。因此,半径小的肺泡内的压力要比相邻的半径大的肺泡内的压力大,从而导致小肺泡中的气体进入大肺泡,这会使小肺泡塌陷。但是,正常的肺不会发生这种情况,因为肺泡液体中含有磷脂,它具有表面活性剂的作用。表面活性剂可以降低肺泡的表面张力,使肺泡在呼气阶段变得很小但并不塌陷。未发育成熟的婴儿由于体内缺乏肺表面活性剂,经常会患呼吸窘迫综合症,这时,可以借助机械呼吸机或者表面活性剂喷剂来维持生命,直到他们的肺发育成熟,能够产生足够的表面活性剂为止。

呼吸(即通气)是气体进出肺部的一种力学过程。正常成人每分钟大约呼吸15~

20次。吸气时,呼吸肌收缩,肺所处的胸腔容积扩大,从而导致肺泡增大,气体进入肺泡。随着肺泡的膨胀,呼吸系统内的压力降至比大气压约低3mmHg,根据 Boyle 定律,此时气体就很容易进入肺部。呼气时,呼吸肌放松,胸腔恢复到原来的容积。由于呼吸系统的体积减小,其压力增大,约达到高于大气压3mmHg,于是气体从肺部被排出,进入大气。

呼吸系统的主要功能是交换气体。在此交换过程中,氧气必须穿过肺泡、组织以及血浆,才能进入红细胞,最终与血红蛋白发生化学结合。二氧化碳的排出过程也与此类似。

只要气体中分子之间的相互作用很小,就可以假设生理学所涉及的大多数气体都遵循理想气体定律,即

$$pV = nRT$$

式中  $p$ ——气体的压强,单位为  $\text{N/m}^2$ ;

$V$ ——气体的体积,单位为  $\text{m}^3$ ;

$n$ ——气体的摩尔数,单位为  $\text{mol}$ ;

$R$ ——气体常数,单位为  $(\text{N} \times \text{m})/(\text{mol} \times \text{K})$ ;

$T$ ——绝对温度,单位为  $\text{K}$ 。

压强小于大气压时理想气体定律的应用都不会产生误差。该定律可以用于空气等混合气体,也可用于氧气或者氮气等空气的组分气体。混合气体中的每种气体都被看做是充满整个体积空间,并具有同样的温度,只是压强减小。每种气体产生的压强被称为气体的分压 (partial pressure)。

Dalton 定律表明,混合气体的总压强等于各种组分气体的分压之和,即

$$P = \sum_{i=1}^N p_i$$

式中  $p_i$ ——第  $i$  个组分气体的分压,单位为  $\text{N/m}^2$ ;

$N$ ——组分气体的总个数。

单组分气体的理想气体方程与混合气体的方程之比为

$$\frac{p_i V}{pV} = \frac{n_i R_i T}{nRT}$$

即

$$\frac{p_i}{p} = \frac{n_i R_i}{nR}$$

由此可见,如果混合气体的总压强以及摩尔分数、气体常数之比已知,那么,就可以计算出某种气体的分压。通常,在呼吸系统的计算中, $p$ 取值为1个大气压,即  $101 \text{ kN/m}^2$ ;而且,根据阿伏伽德罗定律,在同样的温度和压强之下,不同气体的摩尔数相等,于是

$$\frac{V_1}{V_2} = \frac{nR_1}{nR_2} = \frac{R_1}{R_2}$$

因此

$$\frac{p_i}{p} = \frac{V_i}{V}$$

式中  $V_i/V$  就是空气中某种成分的体积分数，它没有量纲。表 3.2 列出了空气中各种气体成分的气体常数和体积分数。

表 3.2 空气及其气体成分的分子量、气体常数和体积分数

成分	分子量 /( kg/mol )	气体常数/ [ N · m/( mol · K ) ]	空气中的 体积分数
空气	29.0	286.7	1.0000
氮气	17.0	489.1	0.0000
氩气	39.9	208.4	0.0093
二氧化碳	44.0	189.0	0.0003
一氧化碳	28.0	296.9	0.0000
氦气	4.0	2078.6	0.0000
氢气	2.0	4157.2	0.0000
氧气	28.0	296.9	0.7808
氧气	32.0	259.8	0.2095

肺的工作原理与肺和胸壁的力学特性有关，肺的静力学是指肺容积保持恒定时肺的力学特性。要了解肺的力学特性首先需要知道肺的各种气量和容量，如图 3.25 所示，它们的定义如下：

潮气量（Tidal Volume，TV）——平静呼吸时肺部每次吸入或呼出的气量。

余气量（Residual Volume，RV）——尽力呼气末，肺中残存的气量。

补吸气量（Inspiratory Reserve Volume，IRV）——平静吸气末，再尽力吸气所能吸入的气量。

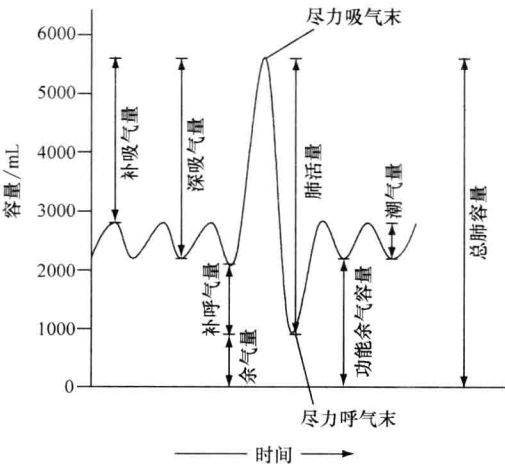


图 3.25 各种肺气量和肺容量

注：除了余气量、功能余气量和肺总容量之外，其他气量和容量都可以用肺量计测量。

补呼气量 (Expiratory Reserve Volume, ERV)——平静呼气末, 再尽力呼气所能呼出的气量。

肺总容量 (Total Lung Capacity, TLC)——尽力吸气末肺内的总气量。

肺活量 (Vital Capacity, VC)——尽力吸气后, 再尽力呼气所能呼出的最大气量。

吸气容量 (Inspiratory Capacity, IC)——平静呼气末, 再尽力吸气所能吸入的气量。

功能余气容量 (Functional Residual Capacity, FRC)——平静呼气末肺内残余的气量。

表 3.3 列出了健康男性成人的典型肺容量数据。

表 3.3 健康男性成人的典型肺容量数据

肺容量	正 常 值	
肺总容量(TLC)	$6.0 \times 10^{-3} \text{ m}^3$	(6000cm <sup>3</sup> )
余气量(RV)	$1.2 \times 10^{-3} \text{ m}^3$	(1200cm <sup>3</sup> )
肺活量(VC)	$4.8 \times 10^{-3} \text{ m}^3$	(4800cm <sup>3</sup> )
补吸气量(IRV)	$3.6 \times 10^{-3} \text{ m}^3$	(3600cm <sup>3</sup> )
补呼气量(ERV)	$1.2 \times 10^{-3} \text{ m}^3$	(1200cm <sup>3</sup> )
功能余气容量(FRC)	$2.4 \times 10^{-3} \text{ m}^3$	(2400cm <sup>3</sup> )
解剖死腔(V <sub>D</sub> )	$1.5 \times 10^{-4} \text{ m}^3$	(150cm <sup>3</sup> )
上呼吸道容量	$8.0 \times 10^{-5} \text{ m}^3$	(80cm <sup>3</sup> )
下呼吸道容量	$7.0 \times 10^{-5} \text{ m}^3$	(70cm <sup>3</sup> )
生理死腔(V <sub>D</sub> )	$1.8 \times 10^{-4} \text{ m}^3$	(180cm <sup>3</sup> )
安静时的每分钟气量(V <sub>e</sub> )	$1.0 \times 10^{-4} \text{ m}^3/\text{s}$	(6000cm <sup>3</sup> /min)
安静时的呼吸周期(T)	4s	
安静时的潮气量(TV)	$4.0 \times 10^{-4} \text{ m}^3$	(400cm <sup>3</sup> )
安静时的肺泡通气量(V <sub>A</sub> )	$2.5 \times 10^{-4} \text{ m}^3$	(250cm <sup>3</sup> )
强烈运动时的每分钟气量	$1.7 \times 10^{-3} \text{ m}^3/\text{s}$	(10000cm <sup>3</sup> /min)
强烈运动时的呼吸周期	1.2 s	
强烈运动时的潮气量	$2.0 \times 10^{-3} \text{ m}^3$	(2000cm <sup>3</sup> )
强烈运动时的肺泡通气量	$1.8 \times 10^{-3} \text{ m}^3$	(1820cm <sup>3</sup> )

除了几个包含余气量的指标以外, 其他肺的各个气量和容量都可以用肺量计 (spirometer) 测得。常用的肺量计是一个充气容器, 由一大一小两个圆桶组成。大圆桶装水, 底部有一根通气管通到水面上; 小圆桶中有空气, 倒过来覆盖在大桶内的通气管出口上, 并浮在大桶的水中。通气管的另一端装有含口器, 供病人使用。病人吸气时, 浮桶内空气减少, 浮桶下降; 病人呼气时, 浮桶就上升。记录浮桶位置的变化量, 就可以计算出病人的各种肺气量。

例 3.9

假设某病人的肺总容量为 5.9L, 如果用肺量计测得的吸气容量为 3.3L, 那么该病人的功能余气容量应该是多少? 如果要计算余气量, 还需要测量什么指标?

解:

由图 3.25 可知, 肺总容量 (TLC) 等于吸气容量 (IC) 与功能余气容量 (FRC) 之和, 即

$$\text{TLC} = \text{IC} + \text{FRC}$$

$$5.9L = 3.3L + FRC$$

$$FRC = 2.6L$$

由于

$$TLC - VC = RV$$

因此,要计算余气量(RV),就必须测出肺活量(VC)。

肺量图(spirogram)可以记录肺容量随时间的变化过程,由此可以根据需要计算各种呼吸流速。例如,人尽力吸气到达肺总容量TCL之后,再尽力呼气到只剩余气量RV。如果用 $FEV_{1.0}$ (Forced Expiratory Volume)来表示开始尽力呼气1s时所呼出的气量,那么,正常 $FEV_{1.0}$ 约为肺活量的80%。患有限制性通气障碍的病人,其肺或胸壁的顺应性减小,或者呼吸肌衰弱,使吸气量减少,导致 $FEV_{1.0}$ 和肺活量都减小,但两者比率保持不变。患有哮喘等阻塞性通气障碍的病人,其 $FEV_{1.0}$ 下降幅度比肺活量的降幅大得多,这种病人的TLC异常大,但是呼气终止过早。还有一个有用的计算指标是尽力呼气流速 $FEF_{25\% \sim 75\%}$ (Forced Expiratory Flow),也就是在呼气中段(即达到肺活量25%~75%阶段)的平均流速。另外,流量-容积环(flow-volume loop)是另一种分析肺功能的方法,它描述了吸气和呼气过程中气体的流速与流过的气体容积之间的关系。

肺总容量TLC可以用气体稀释法来测定。测量时,病人尽力吸入含有氦气等惰性示踪气体的混合气体(其中的氦气含量已知),达到TLC后,屏气10s,使惰性气体在整个呼吸道和肺中分布均匀。根据质量守恒定律,吸入气体中示踪剂的浓度(已知)乘以吸气量(测得)应该等于呼出气体中示踪剂的浓度(从呼气中测得)乘以TLC。注意,惰性气体不会通过肺进入循环系统。

体积描记法(plethysmography)是测量各种肺气量的最准确的方法。病人坐在空气密闭箱内,通过含口器呼吸。这种方法应用了Boyle定律,也就是在等温条件下,箱内气体压力和容积的乘积恒定不变。当病人呼吸时,根据肺容积的变化量和口腔压力的变化,就可以计算出功能余气容量。由于补呼气量可以测得,因此功能余气容量减去补呼气量就可以得到余气量。

### 例 3.10

假设某病人从一个含有2L混合气体的储气罐中呼吸,罐中含有10%惰性气体。呼吸足够长时间之后,储气罐和肺中的惰性气体达到平衡,此时测得罐内惰性气体浓度变为2.7%。那么,该病人的肺总容量是多少?

解:

测量开始和结束时惰性气体的总量保持不变,但储气罐中的浓度由10%( $C_1$ )降到了2.7%( $C_2$ )。起始时,惰性气体只限于2L( $V_1$ )的储气罐内;结束时,储气罐和病人肺内都含有惰性气体,即 $V_2 = V_1 + TLC$ 。由此可得以下方程

$$C_1 V_1 = C_2 V_2$$

即

$$(0.1)(2L) = (0.027)(2L + TLC)$$

$$0.2L - 0.054L = 0.027TLC$$

$$TLC = 5.4L$$

如图 3.26 所示, 血液与肺泡之间进行气体交换的过程称为外呼吸 (external respiration)。每个成人的肺大约含有  $3.5 \times 10^8$  个肺泡, 形成很大的气体交换表面积 ( $60 \sim 70\text{m}^2$ )。每个肺泡只有一层细胞的厚度, 使得气-血屏障总共只有两层细胞的厚度, 即一层肺泡细胞加上一层毛细血管内皮细胞, 约  $2\mu\text{m}$ 。肺泡中的氧分压高于血液中的氧分压, 因此氧气从肺泡向血液扩散。而肺泡中的二氧化碳分压低于血液中的二氧化碳分压, 因此二氧化碳从血液向肺泡扩散。血液与组织之间的气体交换过程称为内呼吸。在内呼吸过程中, 二氧化碳和氧气在血液与体细胞周围的细胞外液之间扩散。气体扩散的方向和速度取决于血液和细胞外液中的气体分压大小、扩散表面积大小、气体需通过的膜的厚度以及扩散常数, 其中扩散常数与气体溶解度和气体分子质量相关 (即 Fick 定律)。

机械呼吸机用于给病人提供空气或氧气, 它们通常由微处理器控制, 可以是电动产生气流, 也可以用压缩空气供气。呼吸机可分为负压和正压两种类型。像铁肺之类的负压呼吸机, 是在胸腔周围产生负压, 迫使气体进入肺部。这类负压呼吸机并不是任何病人都能使用。正压呼吸机则是向病人肺的入口处施加高压气体, 使得气体或氧气沿着压力梯度进入肺部。呼吸机一般有两种通气模式, 在“控制模式”下, 呼吸机自动给病人产生呼吸周期; 在“辅助模式”下, 呼吸周期则由病人的自主呼吸启动, 机器只是辅助通气。这种正压呼吸机在吸气期间会使胸腔内压升高, 从而会影响静脉回流和心输出量。还有一种高频喷气式呼吸机以  $60 \sim 900$  次/min 的极高频率, 将小容量气体脉冲送入肺部。此时, 氧气和二氧化碳通过分子扩散原理进行交换, 而不是通过大的气流进行交换。与正压呼吸机相比, 这种高频呼吸机对心输出量的影响较小。另外, 体外膜肺氧合 (Extracorporeal Membrane Oxygenation, ECMO) 利用体外循环技术, 将病人的血液引入人工肺, 完成氧气和二氧化碳的气体交换, 然后, 将血液加热到体温, 再送回病人体内。这种技术使病人的肺得到休息并自我康复, 它已经成功地用于溺水者和患有可逆性肺病的婴儿的救治。

### 3.4.3 神经系统

人体中最激动人心且充满神秘的部分就是我们颅骨中存放的重约  $3.5\text{lb}^\ominus$  的那团组

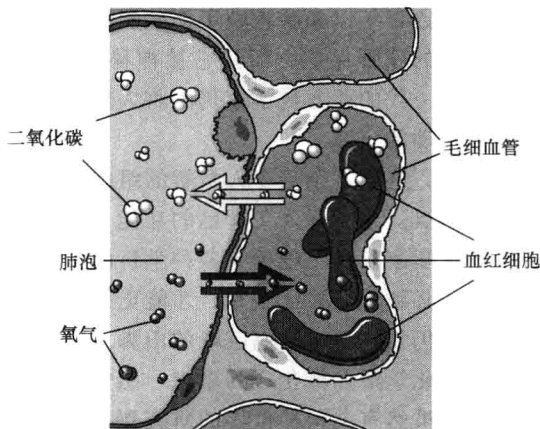


图 3.26 血液与肺泡之间进行气体交换的过程称为外呼吸

注: 外呼吸过程中, 氧气从肺泡进入血液, 二氧化碳则从血液进入肺泡。

$^\ominus$   $1\text{lb} \approx 0.4536\text{kg}$ 。



织——脑。数百年来脑挫败了那些胆敢探究其奥秘的人。研究脑极其困难,这不仅因为它有坚硬的颅骨保护,而且它被神秘所笼罩。即便发明了显微镜,并且有了电学知识,一代又一代的西方科学家仍然将人脑视为人类不朽灵魂的栖息地而产生敬畏,不敢涉足对其活动的研究。

近年来,这团复杂且令人费解的组织——所有思想和情感的起源地——已经成为科学研究的热点。为了深入了解脑的功能,学术界刮起了一股旋风,将生理学家、心理学家、生物化学家以及工程师等各种学科的团队凝聚在一起。对于许多人而言,脑就像珠穆朗玛峰,必须攀登并征服它,才能更好地认识它。然而,时至今日,经过前人的所有努力,我们仍然停留于这座巨峰的山脚。我们还是没能理解脑是如何将其内部发生的各种电活动和化学活动转化成为思想、感觉、梦境和记忆等基本的自我意识。

然而,虽然有关精神世界的研究屡遭挫败,但是,在解码脑内神秘的电“流”活动方面还是取得了重要的进展。通过分析这类电信号,研究人员已经发现,脑的某些活动模式或者节律代表着某种“语言”,脑自身的神经回路能够识别并理解这种语言。神经细胞(即神经元)个体是构成这种神经通信网络的基本单元。图 3.16d 所示就是神经元的示意图。它主要分为 3 部分:细胞胞体(soma);接收信息的部分——树突(dendrite)以及一根长纤维——轴突(axon)。轴突将细胞胞体的电信号传递至各种肌肉、腺体或者其他神经元。人体中有近 200 亿个神经元,它们的大小和形状各式各样。其中,变化最大的是轴突纤维的长度。人体轴突的长短取决于神经元的类型,短的不到 1/10mm,而长的却可以达到 1m 以上。例如,从手足到大脑的神经通路就很长。在这种外周与所谓的脑“中央数据处理器”之间的通信通路上神经元仅有少数几个中转站。因此,即便神经元胞体非常微小,它们的轴突却有  $2 \sim 3\text{ft}^{\ominus}$  长。有些轴突外面包裹着髓鞘,髓鞘由特异性细胞——许旺氏细胞(Schwann cell)构成,它不属于神经元。髓鞘的间隙被称为“郎飞氏结”,它能够使神经元发出的动作电位传播得更快,从一个郎飞氏结直接跳跃至下一个结。

神经元在解剖结构上是独立的个体,相互之间并没有直接的连通。神经元的信息发送部位就是轴突,轴突末梢有许多突触(见图 3.27),从而可以与其他神经元建立联系。在显微镜下,突触呈现为轴突末梢的球状突起。它有多个名称,例如,小结、端脚、突触末端等。这种末端并没有与其他神经元的胞体或者树突直接连接在一起,而是间隔一条狭窄的缝隙,缝隙的平均宽度为  $100 \sim 200\text{\AA}$  ( $1\text{\AA} = 10^{-10}\text{m}$ )。它就是所谓的突触间隙。每个这种突触末端都包含大量的亚显微球状结构,即突触小泡,它们只能在电子显微镜下看到。这种突触小泡实际上是含有神经递质的“化学载体”。被激活之后,突触小泡将神经递质释放到突触间隙。基于这些知识,下面我们来看一下神经元之间通信的过程。

某个神经元被激活之后,它就会沿着轴突将电信号传播至末端的许多细小的纤维分支上。这些轴突末端(即突触)紧贴大量其他神经元的树突和胞体处的“输入端”。当

$\ominus$  1ft = 0.3048m。

电脉冲到达突触时，它会触发微量神经递质的释放。神经递质漂过突触间隙，进而改变接收端神经元的状态。例如，神经递质可以促使接收端神经元进入激活状态，再产生一个类似的电脉冲传播至它的轴突。这样，最初的电信号就可以传向更远处。如果肌肉细胞的外表与大量此类突触末端足够贴近，那么，它们会接收到充足的神经递质，进而使肌肉自身产生电化学反应而收缩，完成某个力学动作。同理，腺体被激活时就可以分泌特定的化学物质。这类可以激活肌肉或者腺体反应的神经元被称为效应器神经元或者运动神经元。

对于我们大多数人而言，最愉悦的感觉来源于我们对于外界世界的感知。这种感知是由另一群被称为感受器细胞的特殊神经元来完成。这类神经元就像输入设备，接收各种感觉信息，并将其转换为神经系统可以正确处理的电脉冲信号。

这些感受器可以测量压力、温度、位移，还可以识别特定的化学物质。鉴于人的一生中大脑分分秒秒都要不停地处理连珠炮般的输入信息，在这种情景下它还能正常工作，真是令人吃惊。

综上所述，神经细胞主要有以下几种基本功能：

1) 接收感觉信息并将其转换为神经系统中其他神经元可以处理的形式。

2) 处理并分析这些信息，从而获得输入数据的“整合结果”。

3) 将该分析过程的最终结果，也就是“决定”，转换成合适的电信号或化学信号，用于激活腺体或者肌肉。

神经系统负责整合和控制全身各种功能，它分成两个主要部分：中枢神经系统（Central Nervous System, CNS）和外周神经系统（Peripheral Nervous System, PNS）（见图 3.28）。前者包括骨头包围着的所有神经组织，也就是脑和脊髓；后者包括无骨头包围的所有神经组织，主要用于感知和响应来自体内和体外的刺激信号。外周神经系统由 12 对脑神经、31 对脊神经以及传入神经元（即感觉神经元）和传出神经元（即运动神经元）组成。

位于 CNS 和 PNS 中的神经细胞集群分别被称为神经核和神经节，位于 CNS 和 PNS 中的神经纤维则分别被称

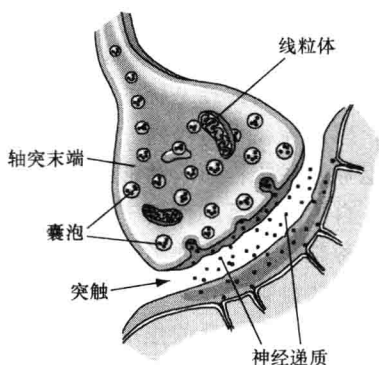


图 3.27 突触的结构

注：在刺激作用下，轴突末梢中的囊泡向突触移动，并通过胞吐方式将神经递质释放到轴突与突触后膜之间的间隙中，这个后膜可以是另一个神经元的树突，或者是肌纤维，或者是腺体细胞。神经递质通过扩散进入突触后膜并引发相应的细胞产生响应。

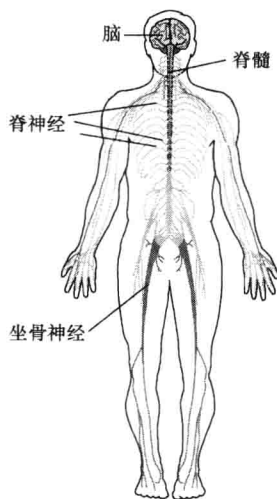


图 3.28 神经系统由中枢神经系统和外周神经系统组成

注：中枢神经系统由骨头包围着的所有神经组织构成，也就是脑和脊髓；而外周神经系统则由无骨头包围的所有神经组织构成。

为纤维束和神经。

神经系统还可以分成躯体神经系统和自主神经系统，两个系统中都含有来自中枢神经系统和外周神经系统的部分。例如，躯体外周神经系统由感觉神经元和运动神经元组成，感觉神经元将疼痛、温度以及皮肤、肌肉和关节上的力学刺激等接受器的信息传给中枢神经系统；而运动神经元则将中枢神经系统的神经脉冲送回到身体的同一个区域。

自主神经系统作用于人体内部，其主要功能包括不受意志支配地调节平滑肌、心肌和各种腺体。自主神经系统又分为交感神经和副交感神经两部分。交感神经可以引起内脏和皮肤血管的收缩，骨骼肌血管的扩张，以及心率的增加；而副交感神经对内脏和皮肤的血管具有相反的作用，对骨骼肌无任何支配作用，并会引起心率减缓。因此，交感神经使人体处于一种“应急”状态，为“迎战”或者“逃避”做准备，而副交感神经则使人体恢复到正常状态。

脑的功能取决于各种神经回路。神经元之间的相互连接有多种不同的类型。辐散式连接中，突触前神经元的轴突的每个分支都与不同的突触后神经元的树突形成突触连接。聚合式连接中，一个突触后神经元的树突上接受来自多个不同突触前神经元的轴突末端并形成突触连接。直接反馈连接中，某个神经元的轴突与一个中间神经元的树突相连，该中间神经元的轴突又反过来与原神经元的树突相连。双神经元回路是指感觉神经元直接与运动神经元形成突触连接；而三神经元回路是指感觉神经元、脊髓中的中间神经元和运动神经元组成的连接。如图 3.29 所示，这两种回路在反射弧中都存在。反射弧（reflex arc）是一种特殊的神经回路，它的起始端是感受器（如指尖的痛觉感受器等）的感觉神经元，终末端是效应器（如骨骼肌等）的运动神经元。撤回反射主要由足以引起疼痛感觉的痛刺激或热刺激引发，也称为保护性反射或回避反射。这种反射使人体能够对危险状况做出快速反应，省去了将信号传递给大脑分析处理后再传回的时间。

脑是一团大而柔软的神组织，它主要包括大脑、间脑、中脑、脑干和小脑。如图 3.30a 所示，大脑分成两个半球，是脑内最大、最显著的部分，它由许多隆起的“回”和狭窄的“沟”组成，使得大脑总的表面积约有  $2.25\text{m}^2$ 。大脑的外层称为大脑皮层，由  $2\sim 4\text{mm}$  厚的灰质组成，灰质是无髓鞘神经元。大脑皮层中约含有超过 500 亿个神经元和 2500 亿个神经胶质细胞。大脑的内层是较厚的白质，由一群群有髓鞘轴突组成，这些轴突形成了皮层到其他脑区或者丘脑（间脑的一部分）到皮层的投射。两个大脑半球之间通过胼胝体相连（见图 3.30b）。左侧大脑皮层控制身体右侧的运动和感觉功能，而右侧大脑皮层则控制身体左侧的运动和感觉。大脑左右两半球各自还含有联合区，联合区与大脑皮层的感觉区和运动区相连，它解释传

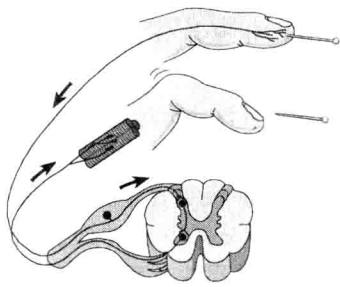


图 3.29 反射弧的一个例子

注：该反射弧的起始端是手指的感受器神经元，当指尖被针扎到时，感觉神经元产生动作电位，并传递给中间神经元，再传给运动神经元。运动神经元与手指肌纤维之间有突触连接，当兴奋刺激到达肌纤维时，肌纤维就会收缩，使指尖脱离针尖。

入信号或者协调运动响应。

大脑皮层的沟裂将每个大脑半球分成了许多具有不同功能的脑叶。其中，额叶（frontal lobes）的功能包括启动骨骼肌的随意运动、分析感受器的信息、产生与个性相关的反应，它还参与调节与记忆、情绪、推理、判断、计划和说话有关的反应。顶叶（parietal lobe）响应全身皮肤和肌肉感受器传上来的刺激信号。颞叶（temporal lobe）分析某些感受器的信息，存储听觉和视觉信息，它还包含了听觉中心，接受来自耳蜗感受器神经元的信息。枕叶（occipital lobe）通过控制眼睛的定向和聚焦来调整眼球的运动，并结合以往的视觉经验和其他感受器信息，修正视觉图像。脑岛（insula）是位于顶叶、额叶和颞叶下面的大脑深部的一部分，其功能目前还不太清楚，似乎与胃肠等内脏活动有关。

间脑是脑的深部组织，它将脑干的中脑区域与大脑半球相连接，主要包括丘脑、下丘脑和上丘脑（见图 3.30b）。丘脑是脑的主要“交换台”，它与感觉系统、运动系统、

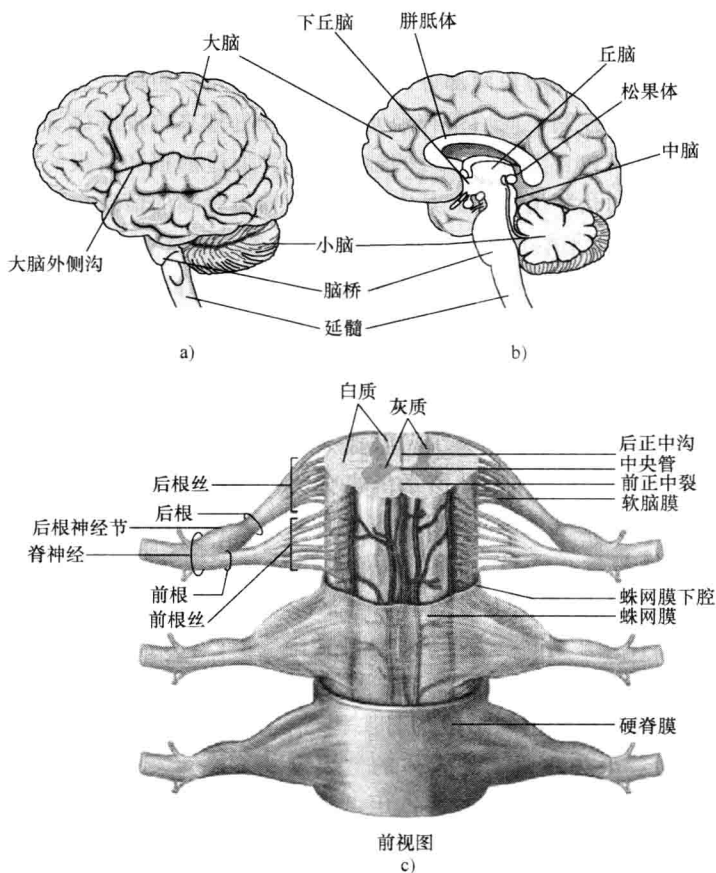


图 3.30 脑和脊髓

a) 脑的外表面 b) 脑的中矢状切面 c) 脊髓的结构

常规神经背景活动、情绪的表达和独特的人类行为等都有关。由于它与大脑皮层区域之间具有双向联系，因此，它与思维、创造力、解释、口语和书面语的理解以及通过触觉识别物体等都有关。下丘脑与如下活动有关：自主神经系统信息的整合、体温的调节、水和电解质的平衡、睡眠-苏醒的模式、食物摄取、与情绪相关的行为反应、内分泌控制和性反应等。上丘脑含有松果体，后者被认为具有神经内分泌功能。

脑干连接脑和脊髓，自动控制呼吸等至关重要的人体功能。它主要包括中脑、脑桥和延髓（见图 3.30b）。中脑将脑桥、小脑与大脑相连，位于脑干的上端，它与视觉反射、眼球运动、晶状体聚焦以及瞳孔放大等有关。脑桥是位于中脑和延髓之间的圆形隆起，它与延髓一起控制呼吸功能，是延髓通向大脑高层结构的中继站，也是第 5 对脑神经的起始位置。延髓是脑干的最下端，它将脑桥与脊髓相连。延髓包含了许多重要的控制中心，调节心率、呼吸频率、血管收缩和扩张、血压、吞咽、呕吐、喷嚏和咳嗽等。

小脑位于脑桥背侧，是脑的第二大部分。它处理用于运动系统的感受器信息，并参与调节骨骼肌收缩和源于大脑皮层的随意肌肉运动信息。因此，小脑是调节平衡、维持身体姿势、保证身体运动的时空准确性的信息处理中心。

脊髓的灰质分成前角和后角两部分。人体直立时前角在腹侧，后角在背侧。前角神经元参与骨骼肌收缩的控制，而后角神经元则接收和处理来自皮肤感觉信息。灰质周围是柱状的白质索，其中包含上行和下行的轴突。脊髓通过前根和后根的神经纤维与外周通信，这些纤维由椎间孔穿出脊柱。其中前根纤维输出脊髓的信息，而后根纤维则向脊髓输入信息（见图 3.30c）。

### 3.4.4 骨骼系统

成人一般共有 206 块骨头，但是骨头的实际数目人与人之间有所不同，并且随着年龄的增长，某些骨头会融合，使骨头的总数减少。就像人体分成主干和四肢两大部分一样，骨骼系统也分为主轴骨和四肢骨两大部分（见图 3.31）。主轴骨共有 80 块骨头，包括颅骨、舌骨、脊柱和胸廓等，四肢骨共有 126 块骨头，包括上肢带骨、下肢带骨、上肢骨和下肢骨等。骨骼系统起保护和支撑身体的作用，并协助运动、制造血细胞、储存重要的矿物质。它由特殊结缔组织形成的骨头构成，骨头很坚硬，承受着人体重量，是人的主要支撑部件。某些软骨也具有一定的支撑作用，软骨是一种光滑、坚固、有弹性、无血管的结缔组织。骨骼上的骨头很坚硬，因此它们对骨骼包围之中的器官（如大脑和各种腹腔器官等）具有保护作用。

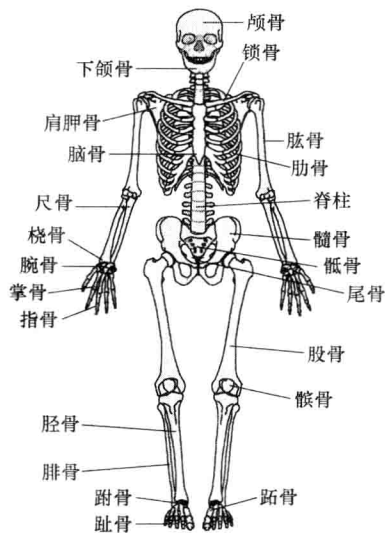


图 3.31 人体骨骼系统

注：颅骨、舌骨（图中未显示）、脊柱和胸廓（包括肋骨、肋软骨和胸骨）构成了主轴骨；上肢带骨（包括肩胛骨和锁骨）、下肢带骨、上肢骨和下肢骨构成了四肢骨。

颅骨共有 29 块。其中大脑后部有 8 块颅骨包围、支撑并保护脑；还有 14 块面颅骨构成面部支架，给面部肌肉提供附着地。这些肌肉主要产生面部皮肤的活动而不是骨骼活动。除了下颌骨以外，其他面颅骨相互之间都紧密相连，并与脑颅骨相连。另外，听小骨共有 6 块，每只耳朵各 3 块，它们负责将外界环境的声波传入内耳。还有一块 U 形的舌骨，它靠近颅骨，但并不是颅骨的一部分，位于下颌之下的颈部，通过肌肉和韧带连接到颅骨和喉部，为重要的颈部和舌部肌肉提供附着。

幼儿的脊柱有 34 块骨，但成人平均只有 26 块独立的脊椎骨。其中，有 7 块颈椎骨，包括作为头部旋转枢纽的枢椎（即第 2 颈椎）、位于枢椎之上的寰椎（即第 1 颈椎，它支持整个头颅）以及紧随其后的 5 块颈椎骨；还有 12 块胸椎骨、5 块腰椎骨；最后是骶椎骨和尾骨各 1 块。骶椎骨和尾骨其实分别由幼年时的 5 块椎骨融合而成。脊柱支持头部和躯干的体重及其运动，保护脊髓，并构成椎间孔，使脊髓中分出的脊神经由此穿出。成人脊柱有 4 个弯曲，即颈曲、胸曲、腰曲和骶曲（也称尾曲），这种结构有利于躯体的弯曲，也可以减少振荡。虽然邻近两节椎骨之间的相对运动非常有限，但脊柱总体的动作范围却很大。胸廓由 12 块胸椎、12 对肋骨及其相应的肋软骨以及胸骨组成，其中胸椎也是脊柱的组成部分。胸廓保护至关重要的器官，并防止呼吸时产生胸腔塌陷。

骨根据其形态可分为长骨、短骨、扁骨和不规则骨。股骨和肱骨等是长骨，其长度大于宽度。脚踝和手腕中的某些骨头是短骨，其长宽相近。胸骨和颅骨等是扁骨，具有相对较薄的平板结构。脊椎骨和髌骨等属于不规则骨，与其他类型骨头的形状都不一样。

骨头重量约占全身体重的 18%，其密度约为  $1.9\text{g}/\text{cm}^3$ 。骨组织有两种不同的类型：松质骨和密质骨。松质骨疏松多孔，构成长骨的末端（即骨髓）和其他骨头的内部结构。密质骨构成骨干和骨头的表层，其抗拉强度为  $120\text{N}/\text{mm}^2$ ，抗压强度为  $170\text{N}/\text{mm}^2$ ，杨氏模数为  $1.8 \times 104\text{N}/\text{mm}^2$ 。骨干中间的空腔（即骨髓腔）内充满脂肪状的黄骨髓或者红骨髓，后者含有造血细胞。

骨是一种一直在更新的活器官，旧的骨组织被一种特殊细胞（即破骨细胞）去除，新的骨头则由成骨细胞沉积形成。骨头的生长过程既可以使骨得到重新塑造，也可以调节人体对钙的需求。人的一生中全身骨骼平均要更新 3 遍。当旧骨降解速度比新骨生成的速度快时，就会导致骨头脆弱，从而容易发生骨折，这就是骨质疏松疾病。

骨骼系统中各个骨头相互之间的连接方式有纤维联结、软骨联结和关节联结（见图 3.32）。纤维联结通过纤维结缔组织将骨紧密地束缚在一起，这种联结刚性较大，骨头之间不能相对活动，或者只有很小幅度的活动，颅骨之间的缝连接就属于这种联结。软骨联结通过软骨将骨头连接起来。这种连接只能允许扭转和压缩等有限的活动，脊柱系统中肋骨与脊柱和胸骨之间的连接就属于这种联结。关节联结是最复杂多变的连接形式，关节腔内含有滑液，关节骨表面覆盖有软骨，还有韧带将各个部分连起来。膝盖就是一个关节联结。

关节联结根据其结构和允许的运动形式分成 6 种类型。如图 3.33 所示，滑动关节

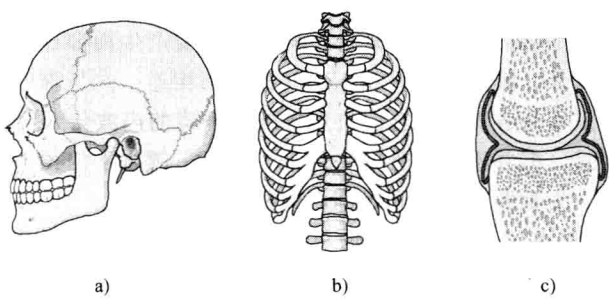


图 3.32 骨骼系统骨头之间的连接方式  
a) 纤维联结 b) 软骨联结 c) 关节联结

是关节联结中最简单的一种，它可以进行前后或左右运动，如手腕的腕关节。肘等铰链关节只允许在一个平面上弯曲，是关节联结中最普遍的一种。寰椎与枢椎之间是轴承式的关节联结，允许旋转活动。踝状关节中，一块骨头的椭圆形凸起表面刚好嵌合在另一块骨头的凹陷处。掌骨关节就属于这种关节联结，它允许弯曲-伸展和旋转，属于一种双轴运动，能绕两个轴转动。拇指基部的联结属于鞍状关节，它是踝状关节的一种变形，可以绕多个轴转动。球-袋状关节允许绕某个固定中心进行多方向的转动，这种关节中，一块骨头的球形头部正好与另一块骨头的杯形凹陷相互吻合。这种多轴关节是最灵活的关节，肩关节和髋关节就属于这种关节。如图 3.34 所示，生物医学工程人员已经开发了各种各样的人造关节，成为病变和受损的髋关节、肩关节和膝关节等关节的常规临床替代品。

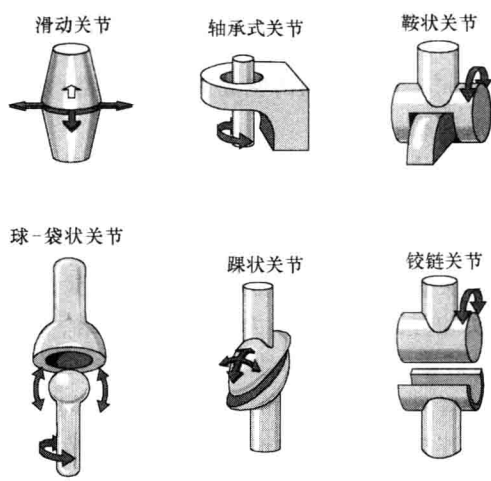


图 3.33 不同关节类型

注：关节中含有充液关节腔，是最复杂多变的一类骨联结，每个关节联结根据其结构和活动形式的不同可分成图中所示的 6 种类型。



### 3.4.5 肌肉系统

如图 3.35 所示, 肌肉系统由 600 ~ 700 块骨骼肌组成, 某些肌肉有时分别计数, 有时成对计数, 因此数目会有所不同。整个肌肉系统的重量占人体总重量的 40% 左右。附着在主轴骨 (见图 3.31) 上的肌肉大约占人体总骨骼肌的 60%, 它们保持头部和脊柱的姿势, 并在呼吸时运动肋骨。四肢骨上附着的肌肉则运动并固定四肢骨的各个组件。

肌肉系统骨骼肌的功能是维持姿势、产热维持体温、并为骨头、关节和脸部皮肤的活动提供驱动力。在完成动作中起主要作用的肌肉称为主动肌, 产生与主动肌相反作用的肌肉称为拮抗肌, 协助主动肌的肌肉称为协同肌。某些骨骼肌的持续收缩可以维持身体的姿势, 如果人发生晕厥, 这些肌肉松弛, 那么, 人就瘫倒在地。

如图 3.36 所示, 骨骼肌的运动依据杠杆原理, 即由绕支点转动的杠杆臂组成, 每个杠杆上有两个作用力: 一是需要移动的重量, 也就是负载; 二是施加的作用力。骨头就像杠杆臂, 关节就是支点, 需要克服的负载就是要移动的人体的某部分重量, 而作用力由附着

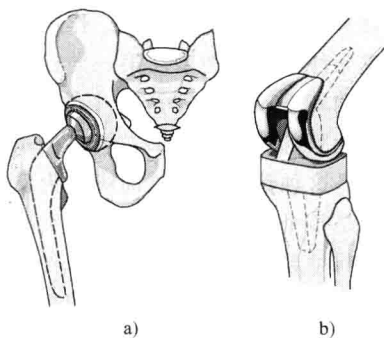


图 3.34 人造髋关节 (图 a) 和膝关节 (图 b)

注: 如果病变或受损的髋关节和膝关节丧失了功能, 或者造成剧烈疼痛, 那么可以用人造关节来代替。人造关节可以用特殊的胶合剂 (即聚甲基丙烯酸甲酯 (polymethylmethacrylate, PMMA)) 或者用骨钉固定。由于材料的弹性模数不同, 如钛为 110 GPa、PMMA 为 2.2 GPa、骨头为 20 GPa, 因此连接界面上会产生一些特殊问题。

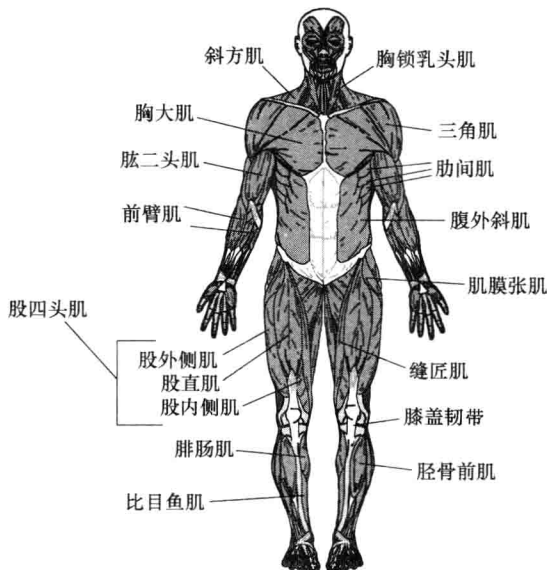


图 3.35 人体前侧的主要骨骼肌示意图



在骨头上的肌肉收缩产生，作用力的作用点就是肌肉在骨头上的附着点。杠杆系统可以分成3种不同的类型。第一类杠杆系统的支点位于作用力与负载之间，例如仰头时头部的运动就是这类杠杆，此时寰椎与颅骨枕骨之间形成支点，头后部的脊柱肌肉产生作用力抬起脸部的重量。第二类杠杆系统的负载位于作用力与支点之间。当人踮起脚尖站立时就是这种情况，此时前脚掌为支点，作用力由腿后部的小腿肌肉产生，需要移动的负载就是整个人体的重量。第三类杠杆系统的作用力位于负载与支点之间。当某人弯肘在身体前举起一个重球时就是这种情况，此时肱二头肌收缩产生作用力，需要移动的负载包括球的重量以及前臂和手的重量，肘关节是支点。

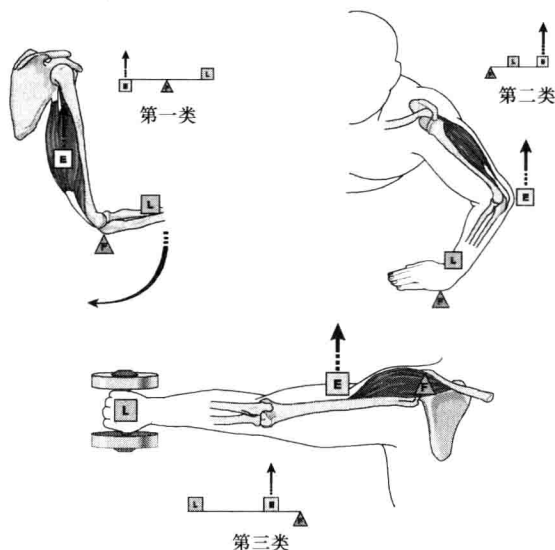


图 3.36 人体手臂构成的杠杆系统

注：根据肌肉作用力位置、负载位置和支点位置的不同，人体手臂可以构成3类不同的杠杆系统。图中E表示作用力，L表示负载。

心肌、平滑肌、骨骼肌是3种不同的肌肉组织，但它们都具有4个重要的特性：收缩性——肌肉缩短的能力；兴奋性——肌肉接受和响应刺激的能力；展长性——肌肉拉伸的能力；弹性——肌肉拉伸或收缩之后恢复原状的能力。心肌只存在于心脏；平滑肌几乎在除了心脏之外的所有其他器官中都有，它们形成片状、束状或鞘状，包裹在其他组织周围；骨骼肌由骨骼肌的肌肉组织、结缔组织、血管和神经组织构成。

每一块骨骼肌外都有一层结缔组织（即胶原纤维）包裹着，它将肌肉与周围的其他组织和器官分开。这种胶原纤维在肌肉末端聚集在一起形成肌腱，骨骼肌就是通过肌腱与骨头、或者脸部皮肤、或者其他肌肉的肌腱（就像手的情况）连接起来。还有一种结缔组织纤维将骨骼肌分成一个个称为肌束的小部分，肌束中含有成束的肌纤维。每个肌束内，有别的结缔组织包裹每条骨骼肌纤维，并将相邻的肌纤维连在一起。每条骨骼肌纤维的细胞膜下包含有数百个细胞核。众多细胞核提供了多份基因备份，能够指导生产肌肉正常收缩所需的各种酶和结构蛋白，由此可以加快收缩速度。

肌纤维的细胞膜和细胞质分别称为肌膜和肌质。如图 3.37 所示,横管(即 T 管)是由肌膜伸入肌质形成的,它垂直于肌膜表面。T 管具有协调收缩的作用,其内部是细胞外液,它在肌纤维中形成许多通道。T 管与肌质网(一种特殊的内质网)末端膨大部分(即终池)紧密接触。终池中包含了肌肉收缩所需的高浓度钙离子。

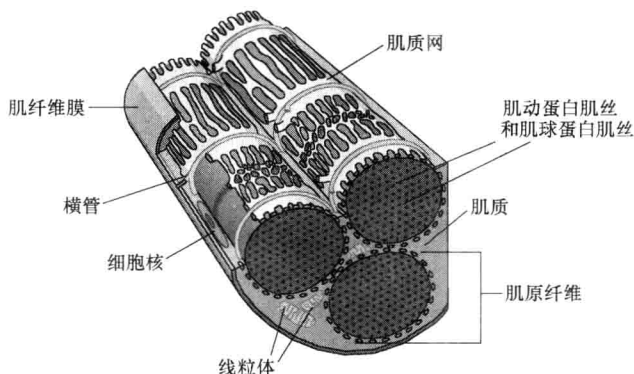


图 3.37 骨骼肌由肌纤维构成的肌束组成

注:肌纤维的细胞膜(即肌膜)下含有数百个细胞核。横管伸入肌纤维的细胞质(即肌质)。横管在肌肉收缩过程中具有非常重要的作用,因为它们可以快速传播动作电位,进而引起钙离子存储的释放。钙离子在肌动蛋白肌丝上形成激活的作用点,由此在肌动蛋白与肌球蛋白之间形成横桥,从而产生肌肉收缩。

肌质中包含了直径为  $1 \sim 2\mu\text{m}$  并与肌纤维细胞等长的圆柱形肌原纤维。肌原纤维与肌细胞末端的肌膜相连,负责肌纤维的收缩。肌原纤维由成束的肌丝构成,而肌丝有细肌丝和粗肌丝两种,细肌丝主要成分是肌动蛋白,粗肌丝主要是肌球蛋白。肌丝上有重复出现的肌节(见图 3.38),即肌小节,它是肌纤维收缩的基本功能单位,其静息长度约为  $2.6\mu\text{m}$ 。其中,细肌丝附着于 Z 线,Z 线构成了肌节的两端。粗肌丝含有双头肌球蛋白,位于细肌丝之间。粗、细肌丝之间有部分重叠,因而使肌纤维呈现明暗交替的条纹。I 带是指放松状态下只包含肌动蛋白细肌丝的部分,H 区是指只含肌球蛋白粗肌丝的部分。H 区以及肌动蛋白与肌球蛋白重叠的部分一起构成了 A 带。

肌肉收缩时,粗肌丝的肌球蛋白分子与细肌丝肌动蛋白上的激活作用点之间形成横桥,将细肌丝拖向肌节中心;然后横桥解离,并在细肌丝的下一个作用点形成新的横桥连接。这就像用双手交替拉一根绳子一样。这种肌丝滑动机制消耗 ATP 能量,可以使肌肉缩短,肌肉的缩短(即肌肉收缩)就会带动其附带的骨头运动(见图 3.38)。

肌纤维与感觉神经元和运动神经元相连。感觉神经元末梢接受肌肉的长度、张力和疼痛等信息,通过脊髓向大脑发送神经脉冲;而运动神经元末梢则接受来自大脑和脊髓的神经脉冲,并引起肌肉兴奋和收缩。每个运动神经元的轴突都有分支,可以支配多个肌纤维。其轴突分支没有髓鞘,并分成数个终端,与肌肉表面形成突触连接。当神经受到刺激时,轴突末端所含的囊泡就会将乙酰胆碱神经递质释放到神经元与肌肉之间的突触间隙中,乙酰胆碱扩散,并与肌膜运动终板上的受体结合,引起肌膜钠离子通道开

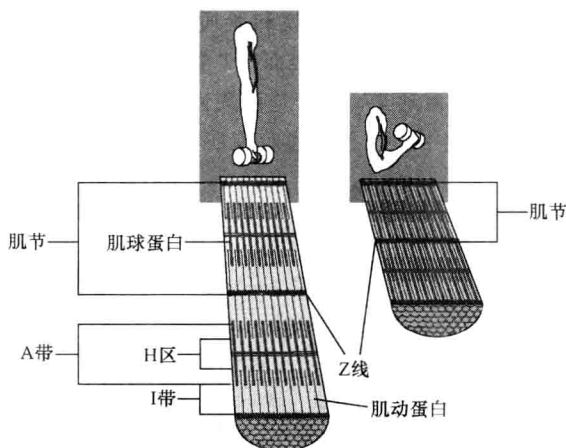


图 3.38 肌节（即肌小节）的结构

注：肌节是两条相邻 Z 线之间的区域，它是骨骼肌的基本功能单位。肌动蛋白肌丝附着于 Z 线，并伸向 A 带，在 A 带中它与较粗的肌球蛋白肌丝重叠。H 区是 A 带中不含肌动蛋白的一部分。当肌肉从伸展的松弛状态（左图）变成收缩状态（右图）时，肌球蛋白肌丝利用横桥拖动肌动蛋白肌丝，带动 Z 线之间相互靠近，从而使肌节缩短，肌肉收缩。

放，肌纤维就产生动作电位。该动作电位沿着整个肌膜表面传播开来，并传到所有 T 管中，触发终池快速释放大量的钙离子。钙离子诱发细肌丝上作用点的产生，并与肌球蛋白之间形成横桥，于是引起肌肉收缩。随着收缩过程的进行，乙酰胆碱酶逐渐分解乙酰胆碱，使得肌膜对钠离子的通透性恢复到原有的低水平，肌肉收缩也就结束了。

运动神经元及其支配的肌纤维组成一个运动单位。一个运动单位中的所有肌纤维都一起收缩，而同一块肌肉中属于不同运动单位的肌纤维的收缩时间可以不同。当收缩的肌肉松弛时，在其他收缩肌肉的牵动下或在重力作用下，肌肉会恢复到原始静息长度。肌肉放松期间，ATP 用于将钙离子泵回终池，横桥形成所需的作用点也被盖住，因此肌动蛋白和肌球蛋白脱离。横桥消失后，肌肉恢复到静息的松弛长度。

人体内有快、慢两类骨骼肌纤维。快肌纤维在接受刺激后 10ms 或更短的时间内就能收缩，人体内绝大多数骨骼肌都属于这种类型。快肌纤维半径大，含有密集的肌原纤维、大量用于生产 ATP 的糖原储备以及较少的线粒体。这种纤维能产生有力的收缩，消耗大量 ATP，因此，会迅速产生疲劳，也就是即使受到不断的神经刺激也无法继续收缩。相反，慢肌纤维产生收缩响应的时间大约是快肌的 3 倍，但慢肌能够长时间持续收缩，其中的原因是：①含有比较丰富的毛细血管网络，可以摄取更多的氧气；②含有一种特殊的氧结合蛋白分子，称为肌红蛋白；③含有较多线粒体，产生的 ATP 比快肌多。各种肌肉中快肌和慢肌的含量各不相同。主要成分是快肌的肌肉（如鸡胸脯肉）看起来比较白，而主要成分是慢肌的肌肉（如鸡腿肉）则比较红。人体肌肉一般是两种肌肉混合物，因此呈粉红色。每块肌肉所含快肌和慢肌的比例由基因决定，但通过运动训练可以提高快肌纤维的抗疲劳能力。

### 3.5 内环境的自身平衡

人体各种器官系统的协同工作维持着体内环境的稳定。内环境的自身平衡（homeostasis）是指外界环境发生变化时，人体内部环境中的物理和化学状态仍能维持在容许范围之内。例如，体温、血压、呼吸频率和心率等都是由自身平衡机制调控的，自身平衡是多个器官系统共同作用的结果。

细胞外液是细胞在体内所处的环境，对于体内自身平衡起着非常重要的作用。它在全身循环，将各种物质输送给细胞或者从细胞带走；它也是维持最佳体温和血压水平、维持体内酸碱平衡以及氧、二氧化碳、水、营养物质等许多化学物质浓度平衡的机制。

如图 3.39 所示，自身平衡由感受器、整合器和效应器 3 部分的相互作用来完成。

感受器可以是细胞或者是细胞的某个部分，它检测环境变化所产生的刺激信号，并将刺激信息传送给整合器。整合器是控制中心，收集各个感受器传来的信息，然后诱发效应器产生响应。大脑就是一个整合器，可以将整合所得信息发送给各个肌肉组织或者腺体，从而引起这些效应器产生特定的反应。大脑的整合功能就是将接收到的人体各个部分的实际运行信息，与人体各部分应该达到的运行状态进行比较，然后输出控制信息。

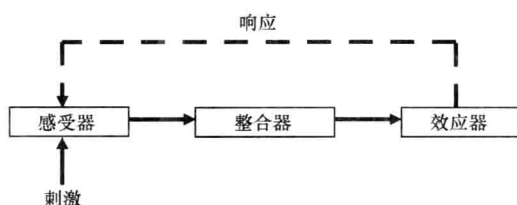


图 3.39 人体通过反馈机制维持自身平衡

注：感受器接收到刺激信号之后，要么直接将信息传送给效应器，要么将信息传送给整合器，再由整合器控制效应器产生响应。效应器的响应反馈到感受器，从而调节刺激对感受器的作用。对于负反馈，其反馈信号是削弱刺激对感受器的作用；而对于正反馈，其反馈信号则增强刺激对感受器的作用。

如果人体对于初始刺激的响应会进一步增强刺激效果，这种机制是正反馈机制，由于这种情况会破坏机体的自身平衡，因此在体内很少见。孕妇分娩过程就是一个正反馈过程，产道内婴儿头部对子宫颈感受器产生压力刺激，感受器将这种信号传送到下丘脑。下丘脑响应刺激，释放催产素，从而增强子宫收缩。子宫收缩强度的增加进一步推动婴儿在产道中前行，这更增强了子宫颈感受器的压力刺激。这种正反馈过程一直要持续到胎儿出生为止，这时，子宫颈感受器上的压力作用消失，下丘脑也就不再受到刺激，不释放催产素。

如果人体对于初始刺激的响应会减弱刺激的效果，引起相反方向的作用，这就是负反馈机制。例如，皮肤等人体各个部位的温度感受器检测体温，并将体温信息传递到脑内的下丘脑部位，在那里与人体应该保持的温度（约  $37^{\circ}\text{C}$ ）进行比较。如果体温过低，下丘脑就发出信息使靠近皮肤的血管平滑肌收缩，从而减小血管直径，减少皮肤的散热；同时控制骨骼肌强烈收缩，即发生战栗，立毛肌（见图 3.16a）使汗毛竖起，形成一个个“鸡皮疙瘩”。这些肌肉收缩的代谢活动能够产生热量，从而温暖身体。相反，如果体温过高，下丘脑就发送信息使邻近皮肤的血管平滑肌松弛，从而使血管直径增

大，皮肤散热增加；同时控制汗腺分泌汗液，由此增加蒸发作用，冷却皮肤。当循环中的血液温度按照某个方向变化到人体内的设定值时，下丘脑就不再向肌肉和腺体等效应器发送信息。

再举一个人体负反馈机制的例子，那就是胰腺的胰岛细胞对血糖水平的调节作用（见图 3.40）。成人胰腺中大约分散着  $2 \times 10^5 \sim 2 \times 10^6$  个胰岛。当葡萄糖浓度升高时，胰岛的  $\beta$  细胞会产生胰岛素，从而促进葡萄糖的跨膜转运，使进入细胞的葡萄糖增加，并且加速葡萄糖转化成为糖原，存储在肝脏内。在饥饿等状态下，当血糖水平降低到低于正常的  $70 \sim 110 \text{ mg/dL}$  水平时，胰岛的  $\alpha$  细胞就产生胰高血糖素，刺激肝脏将糖原转化为葡萄糖，并将其他氨基酸和乳酸等非碳水化合物转化成葡萄糖。当血糖水平恢复正常时，胰岛中的效应细胞就不再产生相应的激素（即胰岛素或胰高血糖素）。生物医学工程人员正在研究一种能够检测血糖水平，并模仿胰岛细胞的响应过程的药物输送系统，他们也在开发一种能有效地维持正常血糖水平的人工胰腺。

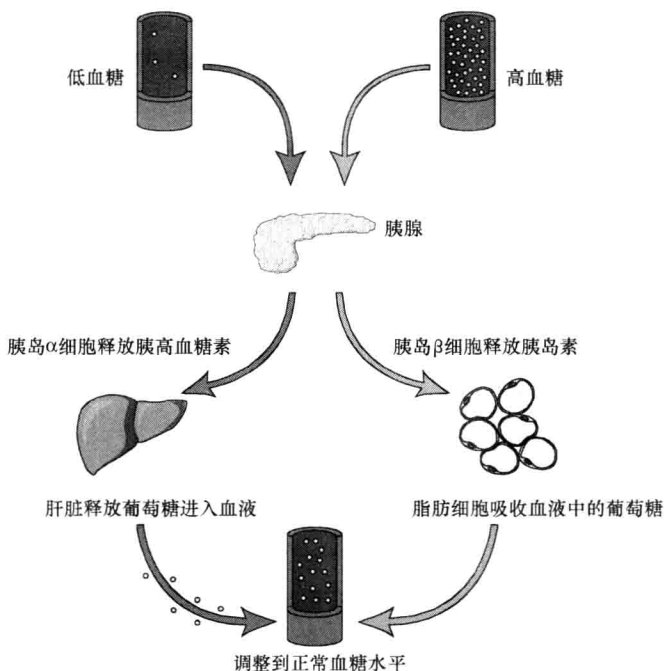


图 3.40 胰岛细胞调控血糖水平的两种负反馈机制

注：当血糖水平高于人体设定值时，产生刺激信号，刺激胰岛中的  $\beta$  细胞（即感受器）产生胰岛素（即信号），从而促进葡萄糖的跨膜转运并加速葡萄糖转化为糖原，存储在肝脏（即效应器）内，由此使得血液中的葡萄糖浓度下降。随着血糖水平降至体内设定值时， $\beta$  细胞就停止产生胰岛素。当血糖水平低于体内设定值时，又产生刺激，胰岛中的  $\alpha$  细胞（即感受器）产生胰高血糖素（即信号），刺激肝脏（即效应器）将糖原转化成葡萄糖，因而使得血糖水平升高。直至血糖水平升至体内设定值时， $\alpha$  细胞就停止产生胰高血糖素。

### 3.6 习题

1. 请运用解剖学术语来描述嘴巴与下列三者之间的位置关系：左耳、鼻子和右脚大脚趾。
2. 请运用解剖学术语来描述胃在人体内的部位，以及它与心脏的相对位置关系。
3. 试在互联网上搜索一幅计算机断层扫描成像（CT）或者核磁共振（MRI）成像技术得到的人体横切面图，打印该图像并标出网址。
4. 试在互联网上搜索一幅 CT 或者 MRI 成像技术得到人体前视图，打印该图像并标出网址。
5. 请说出 4 类重要的生物有机化合物，并给出各类的例子。每类化合物的主要功能是什么？
6. 1L 含有 0.5mol 氯化钙的溶液的摩尔浓度和渗透浓度分别是多少？溶液中含有多少个氯离子？
7. 假设细胞的简化模型如图 3.6 所示，它由细胞质和细胞膜组成。细胞的初始体积为 2nL，胞内含有 0.2mol/L 蛋白质。将细胞放入 0.05mol/L  $\text{CaCl}_2$  的大容积溶液中，且  $\text{Ca}^{2+}$  和  $\text{Cl}^-$  离子都不能通过细胞膜进入细胞。那么，与胞内溶液相比，该  $\text{CaCl}_2$  溶液是低渗、等渗还是高渗？当细胞在这个新环境中达到平衡时会发生怎样的变化，细胞的最终渗透浓度是多少？其最终体积又是多少？
8. 就细胞中的离子浓度而言，电中性原则指的是什么？
9. 假设将习题 7 所述的细胞模型放入 0.2mol/L 尿素溶液中，并且尿素分子可以穿过细胞膜进入细胞。当细胞在这种新环境中达到平衡时会发生怎样的变化？细胞的最终渗透浓度和最终体积分别是多少？
10. 请按顺序简单描述粗面内质网合成的激素等蛋白质是按照怎样的途径到达细胞外的。
11. 细胞中线粒体的主要功能是什么？这种功能具有什么重要意义？
12. 简述 3 种为细胞提供结构支持并协助其运动的细胞器。
13. 试在互联网上搜索有关人类基因组计划的网站，打印其主页并标出网址。在该网站查找并打印含有引起囊性纤维化的基因的染色体组型图。
14. 简述复制和转录的主要区别。
15. 简述细胞 DNA 基因所含遗传信息是如何表达成蛋白质，从而指导细胞活动的。
16. 亮氨酸有 6 个不同的密码子，而蛋氨酸只有一个密码子，这种编码方式对于调控蛋白质的翻译和生产具有什么重要意义？
17. 胰岛素是第一个被测序的蛋白质，其蛋白质序列如图 3.41 所示，假设其中没有内含子，那么产生分子中最后 4 个氨基酸的 DNA 序列可能是怎样的？
18. 请查找 5 篇经过同行评审的学术期刊的论文，内容是有关工程技术在 5 种不同人体器官系统中的应用，一篇论文涉及一个系统。请摘录论文的标题页信息及摘要。不能是综述、会议论文、主题发言讲稿等，也不能是书籍的章节、大众化出版物和报纸、

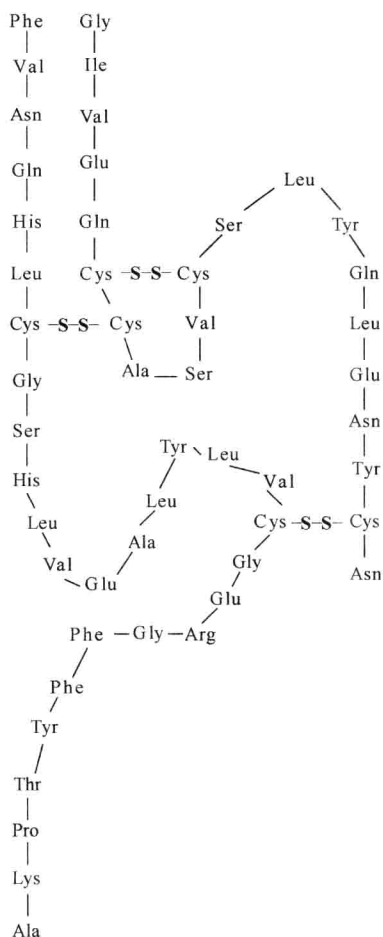


图 3.41 牛胰岛素的蛋白质序列

注：它由两条通过二硫键结合的肽链构成，两条链之间以及同一条链的不同部分之间还存在着氢键结合，其中不同的氨基酸用三字母名称表示（见表 3.1）。

社论等。较合适的查找期刊有《生物医学工程纪事》（Annals of Biomedical Engineering）、《IEEE 生物医学工程汇刊》（IEEE Transactions on Biomedical Engineering）、《IEEE 医学与生物工程杂志》（IEEE Engineering in Medicine and Biology Magazine）以及《医学和生物工程学及计算》（Medical and Biological Engineering and Computing）等。从论文的什么信息可以看出论文是同行评审的？

19. 血红细胞从右手毛细血管网流动到右肺毛细血管网再返回，需要经过哪些途径？在此过程中交换了哪些气体？是在何处交换的？

20. 请画出肺循环和体循环的血流框图，其中包括心脏的各个房室、瓣膜、进出心脏的主要动脉和静脉、肺以及体毛细血管网，并用箭头标出每个部分的血流方向。

21. 试在互联网上搜索一段正常窦性心率的 ECG，并用它说明心率的计算方法。

22. 为什么用 R 波（见图 3.22）而不是 T 波来计算心率？
23. 如果用热稀释法测定心输出量，如何计算？
24. 某高血压患者的收缩压为 145mmHg，舒张压为 98mmHg，那么其脉搏压和平均动脉压应该分别是多少？
25. 某病人的肺总容量为 5.5L，如果其肺活量为 4.2L，潮气量为 500mL，补呼气量为 1.2L，请计算补吸气量。
26. 如果要计算例 3.10 中病人的余气量，还需要测量哪些数据？
27. 请简述中枢神经系统、外周神经系统、躯体神经系统、自主神经系统、交感神经系统以及副交感神经系统的功能和主要组成部分，其中哪些神经系统隶属于其他神经系统？
28. 请解释肌节是如何缩短的，它如何引起肌肉收缩。
29. 肌肉系统和骨骼系统是如何相互作用产生运动的？
30. 请画出框图说明血糖水平调节的负反馈机制，并标出输入、感受器、整合器、效应器和输出。

## 推荐阅读资料

- B.H. Brown, R.H. Smallwood, D.C. Barber, P.V. Lawford, D.R. Hose, Medical Physics and Biomedical Engineering, Institute of Physics Publishing, Bristol and Philadelphia, 1999.
- G.M. Cooper, The Cell—A Molecular Approach, second ed., ASM Press, Washington, D.C., 2000.
- S. Deutsch, A. Deutsch, Understanding the Nervous System: An Engineering Perspective, IEEE Press, New York, 1993.
- S.I. Fox, Human Physiology, eighth ed., McGraw-Hill, Boston, 2004.
- W.J. Germann, C.L. Stanfield, Principles of Human Physiology, second ed., Pearson Benjamin Cummings, San Francisco, 2005.
- A.C. Guyton, Basic Neuroscience. Anatomy & Physiology, W. B. Saunders Company, Philadelphia, 1991.
- A.C. Guyton, J.E. Hall, Textbook of Medical Physiology, tenth ed., W. B. Saunders Company, Philadelphia, 2000.
- F.M. Harold, The Way of the Cell—Molecules, Organisms and the Order of Life, Oxford University Press, Inc., New York, 2001.
- G. Karp, Cell and Molecular Biology—Concepts and Experiments, third ed., John Wiley & Sons, Inc., New York, 2002.
- A.M. Katz, Physiology of the Heart, Raven Press, New York, 1986.
- R.D. Keynes, D.J. Aidley, Nerve & Muscle, second ed., Cambridge University Press, Cambridge, 1991.
- A.R. Leff, P.T. Schumacker, Respiratory Physiology. Basics and Applications, W. B. Saunders Company, Philadelphia, 1993.
- H. Lodish, A. Berk, S.L. Zipursky, P. Matsudaira, D. Baltimore, J. Darnell, Molecular Cell Biology, fourth ed., W. H. Freeman and Company, New York, 2000.
- F.H. Martini, Fundamentals of Anatomy & Physiology, fifth ed., Prentice Hall, Upper Saddle River, NJ, 2001.
- G.G. Matthews, Cellular Physiology of Nerve and Muscle, Blackwell Scientific Publications, Boston, 1991.
- G.H. Pollack, Cells, Gels and the Engines of Life—A New Unifying Approach to Cell Function, Ebner & Sons, Seattle, WA, 2001.
- R. Rhoades, R. Pflanzer, Human Physiology, fourth ed., Thomson Learning, Inc., Pacific Grove, CA, 2003.
- D.U. Silverthorn, Human Physiology—An Integrated Approach, third ed., Pearson Benjamin Cummings, San Francisco, 2004.
- A. Tözeren, S.W. Byers, New Biology for Engineers and Computer Scientists, Pearson Education, Inc., Upper Saddle River, NJ, 2004.
- K.M. Van De Graaff, S.I. Fox, K.M. LaFleur, Synopsis of Human Anatomy & Physiology, Wm. C. Brown Publishers, Dubuque, IA, 1997.
- J.B. West, Respiratory Physiology—The Essentials, fourth ed., Williams & Wilkins, Baltimore, 1990.
- E.P. Widmaier, H. Raff, K.T. Strang, Vander, Sherman, & Luciano's Human Physiology—The Mechanisms of Body Function, McGraw-Hill, Boston, 2004.



# 第4章 生物力学

Joseph L. Palladino 博士和 Roy B. Davis 博士

## 本章目录

- 4.1 绪论
- 4.2 基础力学
- 4.3 材料力学
- 4.4 黏弹性
- 4.5 软骨、韧带、肌腱与肌肉
- 4.6 临床步态分析
- 4.7 心血管动力学
- 4.8 习题

参考文献

推荐阅读资料

## 本章的主要学习内容：

- 运动学理论在生物力学中的应用；
- 动力学理论在生物力学中的应用；
- 材料力学在各种生物结构中的应用；
- 利用 MATLAB 程序求解生物力学中的静力学方程和动力学方程；
- 利用 Simulink 程序研究生物组织的黏弹性；
- 运动学方程在临床步态分析中的应用；
- 动力学方程在临床步态分析中的应用；
- 如何应用生物力学方法定量分析病人步态的病理状况，提出临床治疗方案，并定量分析治疗效果；
- 生物流体的流变学基本理论；
- 描述血管力学特性的模型；
- 心脏力学的基本理论；
- 生物力学在心血管系统中的应用，包括心脏泵血功能的定量分析、心脏与血管之间相互作用的研究以及各种临床应用的开发。

## 4.1 绪论

生物力学将经典力学原理应用于生物系统的研究，它是工程学与生命科学相结合所

产生的一门新兴交叉学科。其研究范围很广，包括生物材料、心血管和呼吸系统的生物流体力学、材料的特性、医用植入物与机体之间的相互作用、生物组织（如肿瘤等）的热传输和物质传输、调节新陈代谢和随意运动的生物控制系统、人体步态分析的运动学和动力学应用等。各种生物机体及其系统的复杂性和特异性使生物力学领域涵盖的研究范围非常广泛。

本章有两个目标：一是介绍基本工程学原理在各种生物结构中的应用；二是介绍各种临床应用的开发。本章4.2节将复习有关静力学和动力学的基本原理；在此基础上，4.3节将介绍材料力学的基本原理，这些都是工程人员应该掌握的基础知识；4.4节将介绍生物材料的黏弹性；4.5节则介绍生物力学原理在软骨、韧带、肌腱和肌肉中的应用。最后两节将综合应用这些基本知识，论述人体步态分析和心血管动力学研究这两大具体的临床研究方向。

人体就像一台非常复杂的机器，其骨骼和韧带系统构成了机架，肌肉和肌腱相当于电动机和电缆。人体的步行在力学上可以看做由杠杆（即骨）和轴承（即关节）组成的结构（即骨骼）在运动，其中的力由成对的主动肌和拮抗肌产生。这种概念早在1680年就已形成，如图4.1所示是Borelli在《论动物的运动》中所绘制的图像。因此，结构的强度和肌肉的作用是人体步行的重要基础。同理，在力学上，心血管系统可以看做一台复杂的泵（即心脏）将一种复杂的流体（即血液）泵入一组复杂的管道（即血管）。本书将只介绍步态分析和心血管动力学方面最基本的知识，读者如果需要深入了解有关的详细内容，请参阅本章末尾所列的参考文献。

力学具有悠久的发展历史，其最早的记载始于公元前384—322年古希腊亚里士多德时代，那时，希腊人创立了正确的静力学理论，但是，描述生命系统的那些基本动力学理论却直到中世纪末新世纪初才开始建立。从16世纪开始，在Kepler、Galileo、Descartes、Huygens和Newton等人的努力下，动力学研究迅速发展。后来，Euler、LaGrange和LaPlace等人将各种动力学定律进一步完善并系统化（参见Dugas所著的《力学发展史》）。

1638年Galileo出版了《关于两门新科学的对话》（Dialogues concerning two new sciences）一书，书的副标题为“关于力学和局部运动”其中介绍了力、运动和材料强度的概念。从此，“力学”就广泛用于描述所有系统的力和运动，包括量子、原子、分子、气体、液体、固体、结构、行星和星系等。生物系统也自然而然地成为力学的研究对象。

尚属新兴学科的生物力学就是应用力学原理研究生命系统的科学。著名的生物力学教授冯元桢（Y. C. Fung）博士这样描述生物力学在生物学、生理学和医学中的作用：

“如果没有生物力学，就不能深入了解生理学；就像没有空气动力学，就不能研制飞机一样。力学使人们能够设计飞机，并预测其性能；同样，生物力学有助于人们了解生理器官的正常功能，预测其变化，并设计人工干预的方法。因此，医学的诊断、手术和修复都离不开生物力学。”<sup>①</sup>

① 摘自 Biomechanics: Mechanical Properties of Living Tissues, Y. C. Fung, 1993。——原书注

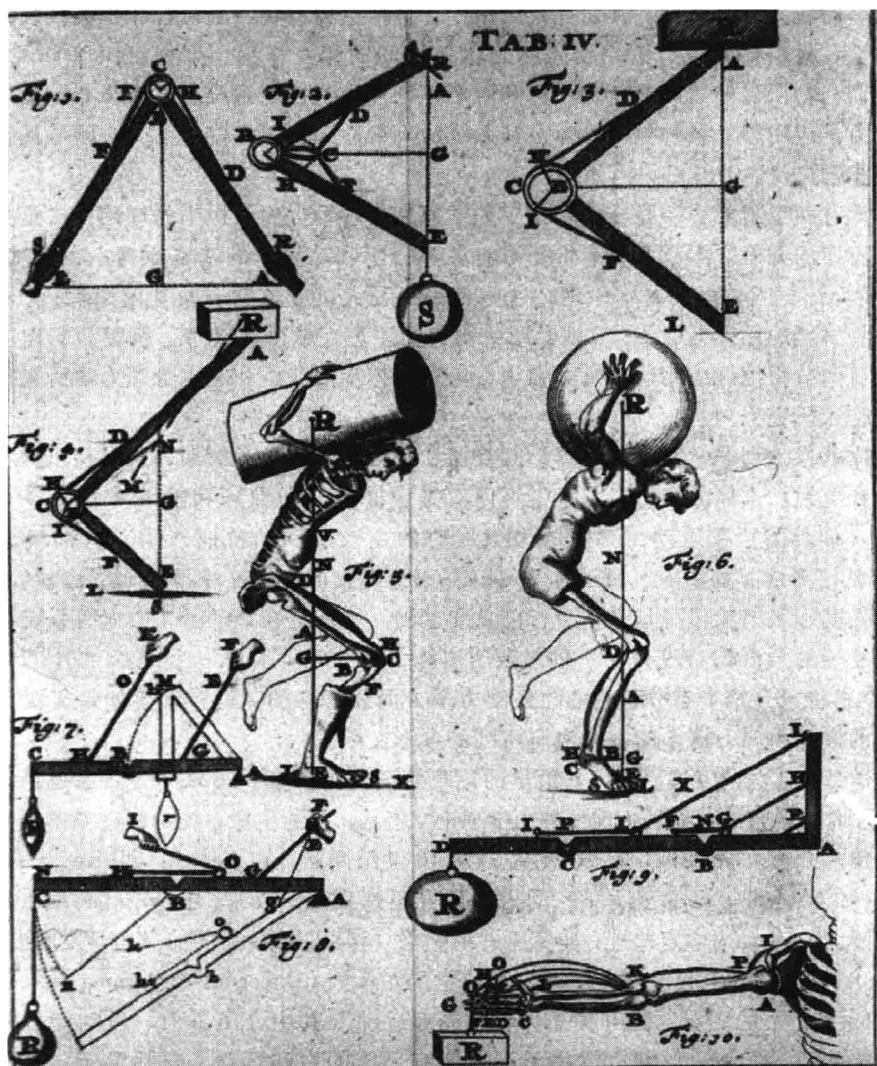


图 4.1 Borelli 在《论动物的运动》中所绘制的图像

注：此图描绘了成对肌肉作用于类似杠杆的骨骼，使关节活动，从而产生人体运动的过程。

（摘自《医学史》，美国卫生研究院的医学图书馆，网址：<http://www.nlm.nih.gov/hmd/ihm/>）

显然，生物力学是评估和改善人体健康的基础。

以下所列是在生物力学发展史上做出重要贡献的人物及其里程碑式的事件，尤其是那些与本章所述内容相关的发展历史：

Galen of Pergamon (129—199) 发表了许多医学著作，包括《论肌肉的运动》（On the Movements of Muscles），他认识到运动需要肌肉的收缩。

Leonardo da Vinci (1452—1519) 最早精确地描述了肩关节和髋关节等球窝关节，并将髋关节称为“人体的支柱”。他作图描绘了沿肌肉纤维方向的机械作用力。

Andreas Vesalius (1514—1564) 撰写了《人体的结构》(The Fabric of the Human Body) 一书。他以尸体解剖为基础, 比 Galen 更精确地描述了人体肌肉组织的解剖结构, 并证明运动来源于肌肉的收缩, 且肌肉收缩时会变粗变短。

Galileo Galilei (1564—1642) 致力于医学和物理学研究, 将测量和观察相结合, 并认为数学是科学的基础。他的研究内容包括: 跳跃运动的生物力学、马和昆虫的步态以及动物骨骼的结构等。

Santorio Santorio (1561—1636) 运用 Galileo 的测量和分析方法, 发现了人的体重会随时产生变化, 并由此开创了新陈代谢的研究。他是医学科学研究的前驱。

William Harvey (1578—1657) 设计了一种实验方法, 论证动脉与静脉之间存在闭合通路, 为现代循环系统理论的建立打下了基础。1661 年, Malpighi 发现了血液循环系统的基本组成部分——毛细血管, 从而证实了 Harvey 的推断。

Giovanni Borelli (1608—1679) 是一位数学家, 研究肌体动力学、肌肉收缩、动物运动以及心脏和肠的运动等, 1680 年他发表了著作《论动物的运动》(On the Motion of Animals)。

Jan Swammerdam (1637—1680) 发明了神经-肌肉实验标本, 并证实通过刺激连接在蛙腿肌肉上的神经, 可以引起肌肉的收缩。他还证明, 肌肉收缩时其体积会有所变化, 驳斥了前人有关“动物灵魂”使肌肉收缩的说法。他的思想曾经引起轰动。

Robert Hooke (1635—1703) 创立了 Hooke 定律, 阐明了弹性材料的应力与应变之间的关系, 并在生物学中最先使用“细胞”这个名词。

Isaac Newton (1642—1727) 虽然在生物力学领域没有什么贡献, 不过, 他建立了微积分学、经典运动定律以及黏性流体的本构方程, 这些都是生物力学的基础。

Nicholas André (1658—1742) 在他 80 岁时创立了整形术, 他认为肌肉的失平衡是导致骨骼畸变的原因。

Stephen Hales (1677—1761) 可能是最早测量血压的人, 在他 1733 年写的著作中包含了关于动物血液和血管压力实验的论述。

Leonard Euler (1707—1783) 将牛顿运动定律推广到连续介质, 并用于描述刚体的运动, 用于动脉中脉搏波的研究。

Thomas Young (1773—1829) 研究了振动与声音、光波理论与视觉, 并提出了弹性力学理论的杨氏模量。

Ernst Weber (1795—1878) 和 Eduard Weber (1806—1871) 兄弟俩在 1836 年发表了《论人体步态力学》(On the Mechanics of the Human Gait Tools), 是最早研究人体步态的人。

Hermann von Helmholtz (1821—1894) 研究的问题非常广泛, 包括光学、声学、热力学、电动力学、生理学和医学, 还包括眼底镜、神经传导速度的测量、肌肉收缩的产热等。

Etienne Marey (1830—1904) 研究了马、鸟、昆虫、鱼和人的运动。他发明了测量地面反作用力的方法, 还发明了电影摄影机。

Wilhelm Braune 和 Otto Fischer 两人在 1895 ~ 1904 年期间发表了著作《人体的步态》(The human gait), 对人体行走进行了数学分析, 他们提出的方法至今仍在使使用。他们还发明了轮转式全景摄影机, 最早应用多部摄影机同时拍摄的方法来重建三维运动模型, 并且应用牛顿力学的原理计算了关节的作用力以及肢体的加速度。

## 4.2 基础力学

本节将复习力学导论课中学过的某些要点, 包括静力学和动力学。这方面的参考书有很多, 如 Merriam 和 Kraige (2002) 所著的《工程力学》(Engineering Mechanics) 就是一本很好的参考书。下面先复习矢量数学, 然后是坐标变换矩阵 (有些同学可能还没学过)、静力学平衡、转动惯量等, 4.2.5 节将介绍的欧拉运动方程对于有些同学可能也是新内容。有关坐标变换和运动方程这两方面的内容可以参考 Greenwood 的著作《动力学原理》(Principles of Dynamics)。

### 4.2.1 矢量数学

力可以用标量和单位矢量来表示, 或者在极坐标中用幅值和方向来表示。如图 4.2 所示, 二维矢量  $\mathbf{F}$  可以分解为  $x$  方向的  $\mathbf{i}$  分量  $F_x$  和  $y$  方向的  $\mathbf{j}$  分量  $F_y$ , 即

$$\mathbf{F} = F_x \mathbf{i} + F_y \mathbf{j} \quad (4.1)$$

如  $20\mathbf{i} + 40\mathbf{j} \text{ lb}^\ominus$ 。本章中的矢量都用黑体字母表示。矢量也可以写成极坐标的形式, 用矢量的幅值  $|\mathbf{F}|$  (也称模) 和矢量角  $\theta$  来表示, 即

$$|\mathbf{F}| = \sqrt{F_x^2 + F_y^2} \quad (4.2)$$

$$\theta = \arctan \frac{F_y}{F_x} \quad (4.3)$$

于是, 矢量  $20\mathbf{i} + 40\mathbf{j} \text{ lb}$  的  $|\mathbf{F}| = 44.7 \text{ lb}$ ,  $\theta = 63.4^\circ$ 。同理, 矢量可以用三维空间的  $\mathbf{i}$ 、 $\mathbf{j}$  和  $\mathbf{k}$  分量来表示, 即

$$\mathbf{F} = F_x \mathbf{i} + F_y \mathbf{j} + F_z \mathbf{k} \quad (4.4)$$

$\mathbf{k}$  为  $z$  方向的分量。

通常, 如果已知矢量的大小及其作用线经过的两个坐标点, 例如, 假设图 4.3 所示矢量  $\mathbf{F}$  的大小为  $10 \text{ lb}$ , 它经过原点  $(0, 0, 0)$  和点  $(2, 6, 4)$ ; 那么,  $\mathbf{F}$  就可以写为其大小  $|\mathbf{F}|$  与单位矢量  $\mathbf{e}_F$  的乘积,  $\mathbf{e}_F$  的方向与  $\mathbf{F}$  的方向相同, 即

$$\begin{aligned} \mathbf{F} &= |\mathbf{F}| \mathbf{e}_F \\ &= 10 \text{ lb} \left( \frac{2\mathbf{i} + 6\mathbf{j} + 4\mathbf{k}}{\sqrt{2^2 + 6^2 + 4^2}} \right) \end{aligned}$$

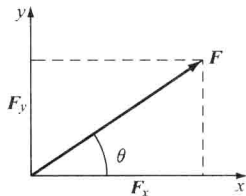


图 4.2 矢量  $\mathbf{F}$  的二维表示法

$\ominus$  “lb” 是单位 “磅”。——译者注

$$\mathbf{F} = 2.67\mathbf{i} + 8.02\mathbf{j} + 5.34\mathbf{k} \text{ lb}$$

圆括号中的量就是  $\mathbf{F}$  的单位矢量  $\mathbf{e}_F$ , 即

$$\mathbf{e}_F = \left( \frac{2\mathbf{i} + 6\mathbf{j} + 4\mathbf{k}}{\sqrt{2^2 + 6^2 + 4^2}} \right) = 0.267\mathbf{i} + 0.802\mathbf{j} + 0.534\mathbf{k}$$

且  $\mathbf{F}$  的大小为

$$\begin{aligned} |\mathbf{F}| &= \sqrt{2.67^2 + 8.02^2 + 5.34^2} \\ &= 10\text{lb} \end{aligned}$$

图 4.3 所示的矢量  $\mathbf{F}$  也可以用三维空间中矢量作用线与各坐标轴之间的夹角来表示。假设矢量  $\mathbf{F}$  与  $x$ 、 $y$  和  $z$  轴之间的夹角 (称为方向角) 分别为  $\theta_x$ 、 $\theta_y$  和  $\theta_z$ , 则

$$\cos\theta_x = \frac{F_x}{|\mathbf{F}|} \quad (4.5)$$

$$\cos\theta_y = \frac{F_y}{|\mathbf{F}|} \quad (4.6)$$

$$\cos\theta_z = \frac{F_z}{|\mathbf{F}|} \quad (4.7)$$

这些比值称为矢量  $\mathbf{F}$  的“方向余弦”。于是, 单位矢量  $\mathbf{e}_F$  就等于

$$\mathbf{e}_F = \cos\theta_x \mathbf{i} + \cos\theta_y \mathbf{j} + \cos\theta_z \mathbf{k} \quad (4.8)$$

也就是

$$\mathbf{e}_F = \left( \frac{F_x \mathbf{i} + F_y \mathbf{j} + F_z \mathbf{k}}{\sqrt{F_x^2 + F_y^2 + F_z^2}} \right) \quad (4.9)$$

方向角  $\theta_x$ 、 $\theta_y$  和  $\theta_z$  则分别为

$$\theta_x = \arccos\left(\frac{2.67}{10}\right) = 74.5^\circ$$

$$\theta_y = \arccos\left(\frac{8.02}{10}\right) = 36.7^\circ$$

$$\theta_z = \arccos\left(\frac{5.34}{10}\right) = 57.7^\circ$$

将各个分量加起来就构成了矢量, 即

$$\mathbf{A} = A_x \mathbf{i} + A_y \mathbf{j} + A_z \mathbf{k}$$

$$\mathbf{B} = B_x \mathbf{i} + B_y \mathbf{j} + B_z \mathbf{k}$$

$$\mathbf{C} = \mathbf{A} + \mathbf{B} = (A_x + B_x) \mathbf{i} + (A_y + B_y) \mathbf{j} + (A_z + B_z) \mathbf{k}$$

一般, 几个力相加可以形成合力  $\mathbf{R}$ , 即

$$\mathbf{R} = \sum F_x \mathbf{i} + \sum F_y \mathbf{j} + \sum F_z \mathbf{k} \quad (4.10)$$

矢量的相减同样也等于各个分量的相减。

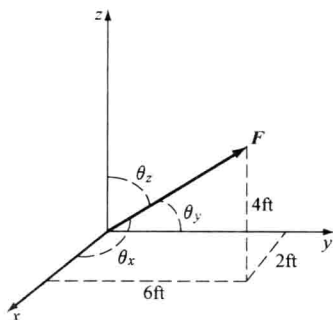


图 4.3 由矢量的大小及其作用线定义的三维矢量

矢量的乘法有两种不同的运算, 即点积和叉积。两个矢量  $\mathbf{A}$  和  $\mathbf{B}$  的点积 (即标量积) 产生一个标量, 即

$$\mathbf{A} \cdot \mathbf{B} = AB \cos \theta \quad (4.11)$$

其中  $\theta$  是两个矢量之间的夹角。对于正交坐标系, 各个坐标轴之间的夹角均为  $90^\circ$ , 因此

$$\begin{aligned} \mathbf{i} \cdot \mathbf{i} = \mathbf{j} \cdot \mathbf{j} = \mathbf{k} \cdot \mathbf{k} &= 1 \\ \mathbf{i} \cdot \mathbf{j} = \mathbf{j} \cdot \mathbf{k} = \mathbf{k} \cdot \mathbf{i} &= \dots = 0 \end{aligned} \quad (4.12)$$

例如

$$\begin{aligned} \mathbf{A} &= 3\mathbf{i} + 2\mathbf{j} + \mathbf{k} \text{ ft} \\ \mathbf{B} &= -2\mathbf{i} + 3\mathbf{j} + 10\mathbf{k} \text{ lb} \\ \mathbf{A} \cdot \mathbf{B} &= 3(-2) + 2(3) + 1(10) = 10 \text{ ft lb} \end{aligned}$$

注意, 点积是可交换的, 即  $\mathbf{A} \cdot \mathbf{B} \equiv \mathbf{B} \cdot \mathbf{A}$ 。

点积  $\mathbf{A} \cdot \mathbf{B}$  的物理意义是  $\mathbf{A}$  在  $\mathbf{B}$  上的投影, 也等于  $\mathbf{B}$  在  $\mathbf{A}$  上的投影。例如, “功”的定义就涉及作用力在物体运动方向上的投影。图 4.4a 所示就是力矢量  $\mathbf{F}$  与运动矢量  $\mathbf{d}$  的点积, 力  $\mathbf{F}$  所做的功等于  $\mathbf{F} \cdot \mathbf{d} \equiv Fd \cos \theta$ ,  $\mathbf{F}$  与  $\mathbf{d}$  的点积等于  $\mathbf{d}$  方向上的  $\mathbf{F}$  分量与  $\mathbf{d}$  的乘积。

力矩表示力相对于某个点或者某个轴的转动趋势, 两个矢量的叉积 (即矢量积) 产生一个方向与转轴一致的新矢量。例如, 图 4.4b 中的力  $\mathbf{F}$  在  $x$ - $y$  平面上作用于某个物体,  $\mathbf{F}$  的作用点与物体坐标中心  $O$  相距一段距离, 矢量  $\mathbf{r}$  从  $O$  点指向  $\mathbf{F}$  的作用线, 叉积  $\mathbf{r} \times \mathbf{F}$  的方向与  $z$  轴相同, 就是物体转轴的方向。如果  $\mathbf{F}$  和  $\mathbf{r}$  是三维矢量, 即存在  $\mathbf{k}$  分量, 那么, 它们的叉积也会产生沿  $x$  轴和  $y$  轴的转动分量。 $\mathbf{r}$  与  $\mathbf{F}$  的力矩  $\mathbf{M}$  记为

$$\mathbf{M} = M_x \mathbf{i} + M_y \mathbf{j} + M_z \mathbf{k} \quad (4.13)$$

式中  $M_x$ 、 $M_y$ 、 $M_z$ ——物体绕  $x$ 、 $y$ 、 $z$  轴转动的分量。

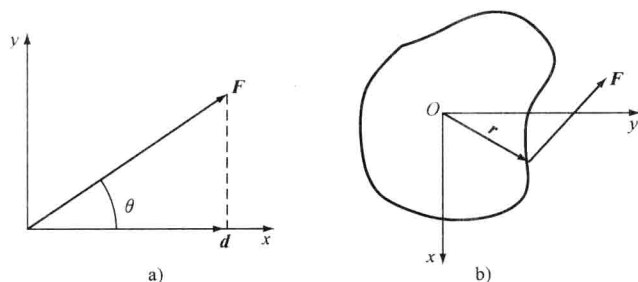


图 4.4 矢量的点积和叉积

- a) 矢量  $\mathbf{F}$  与矢量  $\mathbf{d}$  的点积等于  $\mathbf{F}$  在  $\mathbf{d}$  上的投影 b) 矢量  $\mathbf{r}$  与矢量  $\mathbf{F}$  的叉积仍然是一个矢量, 其方向是转轴方向, 也就是垂直于纸面向外的  $z$  轴方向

矢量的叉积可以通过各个分量的叉积之和来计算, 例如

$$\begin{aligned} \mathbf{A} \times \mathbf{B} &= 3(-2)\mathbf{i} \times \mathbf{i} + 3(3)\mathbf{i} \times \mathbf{j} + 3(10)\mathbf{i} \times \mathbf{k} \\ &\quad + 2(-2)\mathbf{j} \times \mathbf{i} + 2(3)\mathbf{j} \times \mathbf{j} + 2(10)\mathbf{j} \times \mathbf{k} \end{aligned}$$

$$+1(-2)\mathbf{k} \times \mathbf{i} + 1(3)\mathbf{k} \times \mathbf{j} + 1(10)\mathbf{k} \times \mathbf{k}$$

其大小为  $|\mathbf{A} \times \mathbf{B}| = AB\sin\theta$ ,  $\theta$  是  $\mathbf{A}$  与  $\mathbf{B}$  之间的夹角, 因此, 对于正交坐标系, 所有相同坐标轴上分量的叉积都等于 0, 并且  $\mathbf{i} \times \mathbf{j} = \mathbf{k}$ ,  $\mathbf{j} \times \mathbf{k} = \mathbf{i}$ ,  $\mathbf{k} \times \mathbf{i} = \mathbf{j}$ ,  $\mathbf{i} \times \mathbf{k} = -\mathbf{j}$ , 于是上式就成为

$$\begin{aligned}\mathbf{A} \times \mathbf{B} &= 9\mathbf{k} - 30\mathbf{j} + 4\mathbf{k} + 20\mathbf{i} - 2\mathbf{j} - 3\mathbf{i} \\ &= 17\mathbf{i} - 32\mathbf{j} + 13\mathbf{k} \text{ lb} \cdot \text{ft}\end{aligned}$$

注意, 叉积是不可交换的, 即  $\mathbf{A} \times \mathbf{B} \neq \mathbf{B} \times \mathbf{A}$ 。

矢量的叉积通常用行列式来计算, 上述例子的  $\mathbf{A} \times \mathbf{B}$  可以写成如下行列式形式

$$\begin{aligned}\mathbf{A} \times \mathbf{B} &= \begin{vmatrix} \mathbf{i} & \mathbf{j} & \mathbf{k} \\ A_x & A_y & A_z \\ B_x & B_y & B_z \end{vmatrix} \\ &= \begin{vmatrix} \mathbf{i} & \mathbf{j} & \mathbf{k} \\ 3 & 2 & 1 \\ -2 & 3 & 10 \end{vmatrix} \quad (4.14) \\ &= \mathbf{i}[(2)(10) - (1)(3)] - \mathbf{j}[(3)(10) - (1)(-2)] + \mathbf{k}[(3)(3) - (2)(-2)] \\ &= \mathbf{i}(20 - 3) - \mathbf{j}(30 + 2) + \mathbf{k}(9 + 4) \\ &= 17\mathbf{i} - 32\mathbf{j} + 13\mathbf{k} \text{ lb} \cdot \text{ft}\end{aligned}$$

#### 例 4.1

图 4.5 所示的矢量  $\mathbf{F}$  的大小为  $10\text{kN}^\ominus$ , 其方向如虚线所示。(a) 请写出矢量  $\mathbf{F}$  的表达式; (b) 矢量  $\mathbf{F}$  在  $x$ - $z$  平面上的分量为多少? (c) 矢量  $\mathbf{F}$  对于原点  $(0, 0, 0)$  所产生的力矩是多少?

解:

下面用 MATLAB 指令求解本例题, 其中, 提示符“ $\gg$ ”之后是键入的内容, 百分号“%”之后是注释, MATLAB 不执行注释中的内容。不带提示符“ $\gg$ ”的行是 MATLAB 的输出结果。为了节省空间, 某些输出被省略。MATLAB 运行过程如下:

```
 $\gg$ % (a) First write the direction vector d that points along F
 $\gg$ % as a 1D array;
 $\gg$ d = [ 12 - 159]
```

```
d = 12 - 159
```

```
 $\gg$ % Now write the unit vector of F, giving its direction;
```

```
 $\gg$ unit_vector = d/norm(d)
```

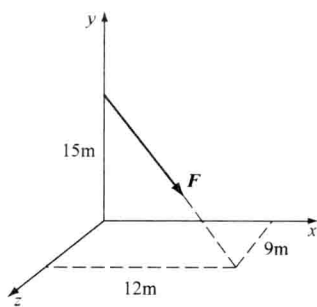


图 4.5 大小为 10 kN 的力矢量  $\mathbf{F}$

$^\ominus$  kN 是单位千牛顿。——译者注



```

unit_vector = 0.5657    -0.7071    0.4243
>>% F consists of the magnitude 10kN times this unit vector
>>F = 10 * unit_vector

F = 5.6569    -7.0711    4.2426

>>% Or, more directly
>>F = 10 * (d/norm(d))

F = 5.6569    -7.0711    4.2426
>>% (b) First write the vector r_xz that points in the xz plane:
>>r_xz = [12 0 9]
r_xz = 12    0    9

>>% The dot product is given by the sum of all the term by term
>>% multiplications of elements of vectors F and r_xz
>>F_dot_r_xz = sum(F * r_xz)
>>% or simply, dot(F, r_xz)

F_dot_r_xz = 106.0660
>>% (c) Cross F with a vector that points from the origin to F.
>>% The cross product is given by the cross function
>>r_xz_cross_F = cross(r_xz, F)

r_xz_cross_F = 63.6396    0    -84.8528

>>% Note that the cross product is not commutative
>>cross(F, r_xz)
ans = -63.6396    0    84.8528

```

#### 例 4.2

生物力学实验室常用指示杆来测量空间某个点的位置。图 4.6 所示的指示杆是一根安装了 2 个反光标记物 A 和 B 的圆棍。一台捕捉人体运动的摄像系统将 2 个标记物的运动轨迹的位置记录下来。假设标记物的位置坐标为  $A = (629, -35, 190) \text{ mm}$ ,  $B = (669, 191, 120) \text{ mm}$ 。并且, 标记物 B 与指示杆顶端 T 之间的距离固定为  $D = 127 \text{ mm}$ 。请计算指示杆顶端 T 的位置。

**解:**

已知 2 个标记物的坐标为

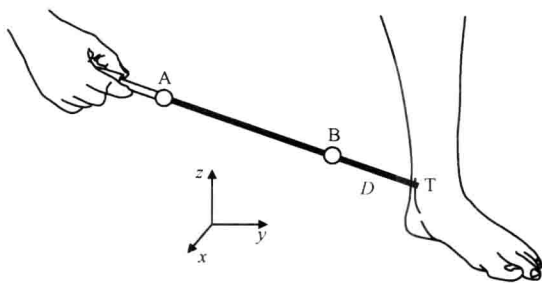


图 4.6 安装有 2 个反光标记物 A 和 B 的指示杆

注：指示杆顶端 T 与标记物 B 之间的距离固定为  $D = 127\text{mm}$

$$A = (629, -35, 190)\text{mm}$$

$$B = (669, 191, 120)\text{mm}$$

于是，A 指向 B 的矢量为

$$\begin{aligned} \mathbf{r}_{B/A} &= \mathbf{r}_B - \mathbf{r}_A \\ &= (669\mathbf{i} + 191\mathbf{j} + 120\mathbf{k}) - (629\mathbf{i} - 35\mathbf{j} + 190\mathbf{k})\text{mm} \\ &= 40\mathbf{i} + 226\mathbf{j} - 70\mathbf{k}\text{mm} \end{aligned}$$

其单位矢量就是

$$\begin{aligned} \mathbf{e}_{B/A} &= \frac{\mathbf{r}_{B/A}}{|\mathbf{r}_{B/A}|} \\ &= \frac{40\mathbf{i} + 226\mathbf{j} - 70\mathbf{k}}{\sqrt{(40)^2 + (226)^2 + (-70)^2}} \\ &= 0.167\mathbf{i} + 0.942\mathbf{j} - 0.292\mathbf{k} \end{aligned}$$

如图 4.7 所示，指示杆顶端 T 的坐标为

$$\begin{aligned} \mathbf{r}_T &= \mathbf{r}_B + \mathbf{r}_{T/B} \\ &= \mathbf{r}_B + D\mathbf{e}_{T/B} = \mathbf{r}_B + D\mathbf{e}_{B/A} \\ &= (669\mathbf{i} + 191\mathbf{j} + 120\mathbf{k}) + 127(0.167\mathbf{i} + 0.942\mathbf{j} - 0.292\mathbf{k})\text{mm} \\ &= 690\mathbf{i} + 311\mathbf{j} + 83\mathbf{k}\text{mm} \end{aligned}$$

## 4.2.2 坐标变换

### 1. 三维空间的方向余弦

研究人体运动时，经常需要把人体或者人体的某个肢体段从一个坐标系转换到另一个坐标系。例如，人体上粘贴的标记物所定义的坐标系是一个活动坐标系，它所定义的坐标点要变换到实验室空间的固定坐标系下。这种三维坐标变换可以通过方向余弦来计算，简介如下。

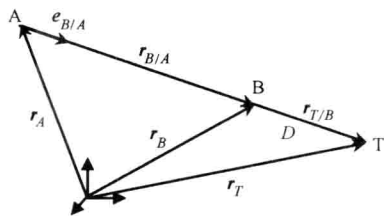


图 4.7 利用矢量  $\mathbf{r}_B$ 、单位矢量  $\mathbf{e}_{B/A}$  以及 B 到 T 的距离  $D$  就可以计算出指示杆顶端 T 的位置

如图 4.8 所示, 假设矢量  $A$  在大写字母表示的坐标系  $XYZ$  下用单位矢量  $I$ 、 $J$ 、 $K$  表示为

$$A = A_x I + A_y J + A_z K \quad (4.15)$$

而单位矢量  $I$ 、 $J$ 、 $K$  在小写字母表示的  $xyz$  坐标系中可以用单位矢量  $i$ 、 $j$ 、 $k$  表示为

$$I = \cos\theta_{xX} i + \cos\theta_{yX} j + \cos\theta_{zX} k \quad (4.16)$$

$$J = \cos\theta_{xY} i + \cos\theta_{yY} j + \cos\theta_{zY} k \quad (4.17)$$

$$K = \cos\theta_{xZ} i + \cos\theta_{yZ} j + \cos\theta_{zZ} k \quad (4.18)$$

式中  $\theta_{xX}$ —— $i$  与  $I$  之间的夹角, 其他夹角类推。

将式 (4.16) ~ 式 (4.18) 代入式 (4.15), 可得

$$\begin{aligned} A = & A_x [\cos\theta_{xX} i + \cos\theta_{yX} j + \cos\theta_{zX} k] \\ & + A_y [\cos\theta_{xY} i + \cos\theta_{yY} j + \cos\theta_{zY} k] \\ & + A_z [\cos\theta_{xZ} i + \cos\theta_{yZ} j + \cos\theta_{zZ} k] \end{aligned} \quad (4.19)$$

也就是

$$\begin{aligned} A = & (A_x \cos\theta_{xX} + A_y \cos\theta_{yX} + A_z \cos\theta_{zX}) i \\ & + (A_x \cos\theta_{xY} + A_y \cos\theta_{yY} + A_z \cos\theta_{zY}) j \\ & + (A_x \cos\theta_{xZ} + A_y \cos\theta_{yZ} + A_z \cos\theta_{zZ}) k \end{aligned} \quad (4.20)$$

于是, 矢量  $A$  既可以用  $I$ 、 $J$ 、 $K$  表示, 也可以用  $i$ 、 $j$ 、 $k$  表示。

## 2. Euler 角

人体在某个正交坐标系下的坐标可以通过欧拉 (Euler) 角变换矩阵转换到另一个正交坐标系下。例如, 某个坐标系由病人骨盆部位的标记物定义, 而另一个坐标系则由病人大腿处的标记物定义, 那么, 经过围绕各个原始坐标轴的一系列旋转之后, 就可以将一个坐标系下的点变换到另一个坐标系下。图 4.9 所示就是  $xyz$  坐标系按照  $y$  轴 -  $x$  轴 -  $z$  轴的顺序依次完成旋转的变换过程。首先, 将  $xyz$  坐标系绕  $y$  轴旋转 (见图 4.9a), 将单位矢量  $i$ 、 $j$ 、 $k$  转变为单位矢量  $i'$ 、 $j'$ 、 $k'$ , 变换方程是

$$i' = \cos\theta_y i - \sin\theta_y k \quad (4.21)$$

$$j' = j \quad (4.22)$$

$$k' = \sin\theta_y i + \cos\theta_y k \quad (4.23)$$

然后, 再将这个新坐标系绕  $x$  轴旋转 (见图 4.9b), 变为

$$i'' = i' \quad (4.24)$$

$$j'' = \cos\theta_x j' + \sin\theta_x k' \quad (4.25)$$

$$k'' = -\sin\theta_x j' + \cos\theta_x k' \quad (4.26)$$

最后, 再绕  $z$  轴旋转 (见图 4.9c), 得到

$$i''' = \cos\theta_z i'' + \sin\theta_z j'' \quad (4.27)$$

$$j''' = -\sin\theta_z i'' + \cos\theta_z j'' \quad (4.28)$$

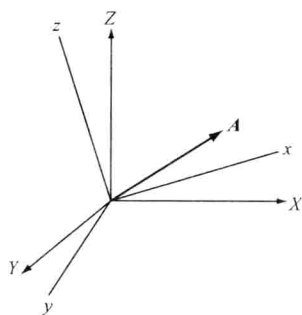


图 4.8 矢量的坐标变换

注: 在  $XYZ$  坐标系中测得的矢量  $A$  可以通过式 (4.20) 的 9 个方向余弦变换到  $xyz$  坐标系中。

$$\mathbf{k}''' = \mathbf{k}''$$

(4.29)

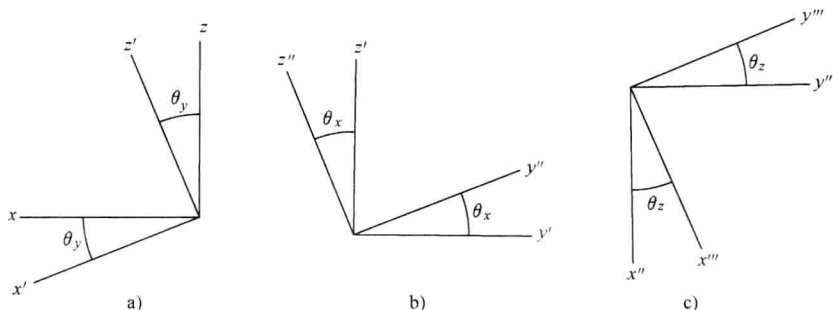


图 4.9 坐标系的变换

a) 绕 y 轴旋转 b) 绕 x 轴旋转 c) 绕 z 轴旋转

注: xyz 原始坐标系经过 3 次旋转之后转变成新坐标系  $x'''y'''z'''$ 。

利用矩阵运算可以完成上述 3 次旋转, 直接将单位矢量  $\mathbf{i}$ 、 $\mathbf{j}$ 、 $\mathbf{k}$  变为单位矢量  $\mathbf{i}'''$ 、 $\mathbf{j}'''$ 、 $\mathbf{k}'''$ , 即

$$\begin{aligned} \begin{bmatrix} \mathbf{i}''' \\ \mathbf{j}''' \\ \mathbf{k}''' \end{bmatrix} &= \begin{bmatrix} \cos\theta_z & \sin\theta_z & 0 \\ -\sin\theta_z & \cos\theta_z & 0 \\ 0 & 0 & 1 \end{bmatrix} \begin{bmatrix} 1 & 0 & 0 \\ 0 & \cos\theta_x & \sin\theta_x \\ 0 & -\sin\theta_x & \cos\theta_x \end{bmatrix} \begin{bmatrix} \cos\theta_y & 0 & -\sin\theta_y \\ 0 & 1 & 0 \\ \sin\theta_y & 0 & \cos\theta_y \end{bmatrix} \begin{bmatrix} \mathbf{i} \\ \mathbf{j} \\ \mathbf{k} \end{bmatrix} \\ &= \begin{bmatrix} \cos\theta_z & \sin\theta_z \cos\theta_x & \sin\theta_z \sin\theta_x \\ -\sin\theta_z & \cos\theta_z \cos\theta_x & \cos\theta_z \sin\theta_x \\ 0 & -\sin\theta_x & \cos\theta_x \end{bmatrix} \begin{bmatrix} \cos\theta_y & 0 & -\sin\theta_y \\ 0 & 1 & 0 \\ \sin\theta_y & 0 & \cos\theta_y \end{bmatrix} \begin{bmatrix} \mathbf{i} \\ \mathbf{j} \\ \mathbf{k} \end{bmatrix} \end{aligned} \quad (4.30)$$

$$\begin{bmatrix} \mathbf{i}''' \\ \mathbf{j}''' \\ \mathbf{k}''' \end{bmatrix} = \begin{bmatrix} \cos\theta_z \cos\theta_y + \sin\theta_z \sin\theta_x \sin\theta_y & \sin\theta_z \cos\theta_x & -\cos\theta_z \sin\theta_y + \sin\theta_z \sin\theta_x \cos\theta_y \\ -\sin\theta_z \cos\theta_y + \cos\theta_z \sin\theta_x \sin\theta_y & \cos\theta_z \cos\theta_x & \sin\theta_z \sin\theta_y + \cos\theta_z \sin\theta_x \cos\theta_y \\ \cos\theta_x \sin\theta_y & -\sin\theta_x & \cos\theta_x \cos\theta_y \end{bmatrix} \begin{bmatrix} \mathbf{i} \\ \mathbf{j} \\ \mathbf{k} \end{bmatrix} \quad (4.31)$$

如果坐标系的旋转角  $\theta_x$ 、 $\theta_y$  和  $\theta_z$  已知, 那么, xyz 坐标系下的坐标值就都可以转换到  $x'''y'''z'''$  坐标系下。反之, 如果这两个坐标系已知, 那么, 这些旋转角就都可以求得, 即

$$\begin{aligned} \mathbf{k}''' \cdot \mathbf{j} &= -\sin\theta_x \\ \theta_x &= -\arcsin(\mathbf{k}''' \cdot \mathbf{j}) \end{aligned} \quad (4.32)$$

$$\begin{aligned} \mathbf{k}''' \cdot \mathbf{i} &= \cos\theta_x \sin\theta_y \\ \theta_y &= \arcsin\left[\frac{\mathbf{k}''' \cdot \mathbf{i}}{\cos\theta_x}\right] \end{aligned} \quad (4.33)$$

$$\begin{aligned} \mathbf{i}''' \cdot \mathbf{j} &= \sin\theta_z \cos\theta_x \\ \theta_z &= \arcsin\left[\frac{\mathbf{i}''' \cdot \mathbf{j}}{\cos\theta_x}\right] \end{aligned} \quad (4.34)$$

人体行走时髋关节、膝关节和踝关节会产生三平面运动: 弯曲-伸展 (flexion/extension, FE), 外展 - 内收 (abduction/adduction, AA) 和内旋-外旋 (internal/external transverse rotation, TR)。利用欧拉角可以定量分析这些坐标化了的运动。依据人体行走时关节活动幅度从大到小的顺序 (参见本章参考文献 [6]), 欧拉角旋转的顺序选择为 FE-AA-TR, 对应于  $y-x-z$  轴的旋转顺序, 也就是“侧斜” - “前倾” - “转动”的顺序。新近的研究结果表明, 对于骨盆的运动,  $z-x-y$  轴的旋转顺序 (相应于“转动” - “前倾” - “侧斜”的顺序) 更符合临床的观察结果 (参见本章参考文献 [1])。

### 例 4.3

请利用 MATLAB 的符号数学工具箱, 编写  $y-x-z$  旋转顺序的欧拉角变换矩阵。

解:

MATLAB 脚本 (即 m 文件) 如下, 在命令行中键入 m 文件的文件名 eulerangles 就可以运行此程序。

```
% eulerangles.m
%
% Euler angles for y-x-z rotation sequence
% using MATLAB symbolic math toolbox
%
% x,y and z are thetax, thetay and thetaz, respectively
% First define them as symbolic variables
syms x y z
```

```
% Writing equations 4. 21-23 as a matrix A
```

```
A = [ cos(y),  0,  -sin(y);
      0,      1,    0;
      sin(y),  0,   cos(y) ]
```

```
% equations 4. 24-26 as matrix B
```

```
B = [ 1,      0,      0;
      0,   cos(x),  sin(x);
      0,  -sin(x),  cos(x) ]
```

```
% and equations 4. 27-29 as matrix C
```

```
C = [ cos(z),  sin(z),  0;
      -sin(z),  cos(z),  0;
      0,      0,      1 ]
```

```
% The matrix equation 4. 30 is created by multiplying matrices C,B
```

% and A

D = C \* B \* A

运行以上 eulerangles. m 文件之后,得到的变换矩阵为

D =

```
[cos(z)*cos(y)+sin(z)*sin(x)*sin(y),sin(z)*cos(x),-cos(z)*sin(y)+sin(z)*sin(x)*cos(y)]
[-sin(z)*cos(y)+cos(z)*sin(x)*sin(y),cos(z)*cos(x),sin(z)*sin(y)+cos(z)*sin(x)*cos(y)]
[cos(x)*sin(y),-sin(x),cos(x)*cos(y)]
```

该输出结果与式(4.31)相同。

已知的数据不同, Euler 变换矩阵的应用方式也不同。例如, 如果物体在两个坐标系中的坐标值都已知, 那么, 就可以计算  $\theta_x$ 、 $\theta_y$  和  $\theta_z$  角, 其中  $y-x-z$  旋转顺序的计算公式就是式(4.32)~式(4.34)。反过来, 如果物体的初始位置坐标和  $\theta_x$ 、 $\theta_y$ 、 $\theta_z$  角已知, 也可以计算物体的最终位置坐标, 下面举例说明。 ■

#### 例 4.4

假设一架飞机先倾斜了  $30^\circ$  (即  $\theta_x$ ), 然后又旋转了  $20^\circ$  (即  $\theta_y$ ), 最后偏斜了  $10^\circ$  (即  $\theta_z$ ), 请编写一个 MATLAB 函数, 计算这一系列旋转的欧拉角变换矩阵。

解:

由于计算机中三角函数的计算单位是弧度, 下面先编写两个简单的 MATLAB 函数 cosd 和 sind, 用于计算以角度 “°” 为单位的余弦和正弦三角函数值, 即

```
function y = cosd(x)
```

```
% COSD(X) cosines of the elements of X measured in degrees.
```

```
y = cos(pi * x/180);
```

```
function y = sind(x)
```

```
% SIND(X) sines of the elements of X measured in degrees.
```

```
y = sin(pi * x/180);
```

然后编写  $x-y-z$  旋转顺序的变换矩阵, 即

```
function D = eulangle(thetax, thetay, thetaz)
```

```
% EULANGLE matrix of rotations by Euler's angles.
```

```
% EULANGLE(thetax, thetay; thetaz) yields the matrix of
```

```
% rotation of a system of coordinates by Euler's
```

```
% angles thetax, thetay and thetaz, measured in degrees.
```

```
% Now the first rotation is about the x axis, so we use eqs. 4.24-26
```

```
A = [ 1          0          0
      0      cosd(thetax)  sind(thetax)
      0     -sind(thetax)  cosd(thetax) ];
```

% Next is the y axis rotation (Eqs. 4.21-23)

```
B = [ cosd(thetay)      0      -sind(thetay)
      0                1       0
      sind(thetay)     0       cosd(thetay) ];
```

% Finally; the z axis rotation (Eqs. 4.27-29)

```
C = [  cosd(thetaz)      sind(thetaz)      0
      -sind(thetaz)      cosd(thetaz)      0
      0                  0                1 ];
```

% Multiplying rotation matrices C, B and A as in Eq. 4.30 gives the solution:

```
D = C * B * A;
```

运行该 MATLAB 函数,得到如下变换矩阵的输出结果:

```
>> eulangle(30,20,10)
```

```
ans =
```

```
0.9254    0.3188    -0.2049
-0.1632    0.8232    0.5438
0.3420    -0.4698    0.8138
```

该矩阵可以将初始坐标系下任意的位点转换到飞机动作之后所达到的位置。 ■

### 4.2.3 静力学平衡

描述静力学平衡结构的牛顿运动方程可以用如下矢量方程表示

$$\sum \mathbf{F} = 0 \quad (4.35)$$

$$\sum \mathbf{M} = 0 \quad (4.36)$$

这两个方程在生物系统中的应用方法与标准力学结构中相同。首先需要画出研究对象分离体的受力图,即在各个受力点上标出外加的负荷和作用力。人体关节可以用铰链关节和球窝关节等理想化的模型来模拟,见第3章的图3.33所示。

#### 例 4.5

图4.10a是 Russell 牵引法的示意图,该装置用于给骨折的股骨施加一个轴向拉力。

(a) 在牵拉绳索的悬空端需要施加多少重量  $w$  才能使腿部保持静态平衡? (b) 请计算图示条件下施加在大腿股骨上的平均拉力。

解:

该系统的分离体受力图如图4.10b所示。假设滑轮无摩擦力,且其半径很小,绳索的拉力  $T$  可以看做是常数,那么,利用式(4.35)可得

$$\mathbf{F}_1 + \mathbf{F}_2 + \mathbf{F}_3 + \mathbf{F}_{\text{femur}} - mg \mathbf{j} = 0$$

将每个作用力写成矢量形式, 即

$$\begin{aligned} \mathbf{F}_1 &= -F_1 \mathbf{i} = -T \mathbf{i} \\ \mathbf{F}_2 &= (-F_2 \cos 30^\circ) \mathbf{i} + (F_2 \sin 30^\circ) \mathbf{j} \\ &= (-T \cos 30^\circ) \mathbf{i} + (T \sin 30^\circ) \mathbf{j} \\ \mathbf{F}_3 &= (F_3 \cos 40^\circ) \mathbf{i} + (F_3 \sin 40^\circ) \mathbf{j} \\ &= (T \cos 40^\circ) \mathbf{i} + (T \sin 40^\circ) \mathbf{j} \\ \mathbf{F}_{\text{femur}} &= (F_{\text{femur}} \cos 20^\circ) \mathbf{i} - (F_{\text{femur}} \sin 20^\circ) \mathbf{j} \end{aligned}$$

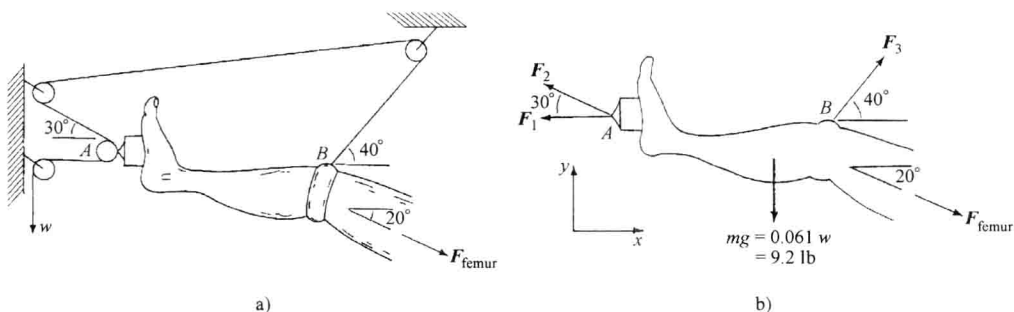


图 4.10 腿部牵引时的受力图

a) 临床上用于给腿部加负荷的 Russell 牵引装置 b) 牵引时腿部的受力图

(此图根据 Davis (1986) 著作第 206 ~ 207 页的图 6.14 和图 6.15 修改)

不计大腿的重量。查表 4.1 可知, 脚和小腿的重量等于总体重 (150lb) 乘以 0.061, 即

$$mg \mathbf{j} = (0.061)(150 \text{ lb}) = 9.2 \text{ lb} \mathbf{j}$$

$x$  分量之和为

$$-T - T \cos 30^\circ + T \cos 40^\circ + F_{\text{femur}} \cos 20^\circ = 0$$

$y$  分量之和为

$$T \sin 30^\circ + T \sin 40^\circ - F_{\text{femur}} \sin 20^\circ - mg = 0$$

将以上两个方程联列求解, 可得  $T$  和轴向拉力

$F_{\text{femur}}$  为

$$T = 12.4 \text{ lb}$$

$$F_{\text{femur}} = 14.5 \text{ lb}$$

$T$  就等于需要外加的重量  $w$ 。

#### 例 4.6

如图 4.11 所示测力平台的 4 个角上分别安装了 1 个传感器。假设这些传感器测得的垂直力分别为  $F_1$ 、 $F_2$ 、 $F_3$  和  $F_4$ , 如果平台是边长为  $l$  的正方形, 且  $F_1 \sim F_4$  已知, 请分别写出合力  $R$  的  $x$  坐标和  $y$  坐标表达式。

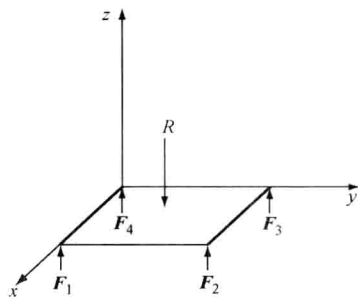


图 4.11 测力平台的受力图

注: 边长为  $l$  的正方形测力平台受到合力  $R$  的作用, 其 4 个角上各安装了 1 个传感器, 分别测量垂直作用力  $F_1 \sim F_4$ 。



解:

合力  $R$  的大小可以由  $z$  方向作用力之和求得, 即

$$\begin{aligned}\sum F_z &= 0 \\ F_1 + F_2 + F_3 + F_4 - R &= 0 \\ R &= F_1 + F_2 + F_3 + F_4\end{aligned}$$

测力平台保持水平, 因此, 绕  $x$  轴和  $y$  轴的力矩之和必须都为 0。绕  $x$  轴的力矩之和为

$$\begin{aligned}\sum M_x &= 0 \\ F_2 l + F_3 l - R y &= 0 \\ y &= \frac{(F_2 + F_3) l}{R}\end{aligned}$$

同理, 绕  $y$  轴的力矩之和为

$$\begin{aligned}\sum M_y &= 0 \\ F_1 l + F_2 l - R x &= 0 \\ x &= \frac{(F_1 + F_2) l}{R}\end{aligned}$$

这就是合力  $R$  的  $x$  坐标和  $y$  坐标计算公式。 ■

#### 4.2.4 转动惯量

物体的质量会阻碍其直线运动, 而其转动惯量则会阻碍其转动。物体转动时所受到的阻力用如下转动惯量来描述:

$$I = \int_m r^2 dm \quad (4.37)$$

式中  $m$ ——物体的质量;

$r$ ——质元到转轴的距离;

$dm$ ——质元, 也可以写成  $\rho dV$ 。

如果物体密度  $\rho$  为常数, 则其转动惯量可以用物体体积  $V$  的积分来计算, 即

$$I = \rho \int_V r^2 dV \quad (4.38)$$

根据这个通式, 可以分别写出如下分别关于  $x$  轴、 $y$  轴和  $z$  轴旋转的转动惯量:

$$\begin{aligned}I_{xx} &= \int_V (y^2 + z^2) \rho dV \\ I_{yy} &= \int_V (x^2 + z^2) \rho dV \\ I_{zz} &= \int_V (x^2 + y^2) \rho dV\end{aligned} \quad (4.39)$$

假设旋转半径  $k$  是转轴与物体质心之间的距离, 那么, 如果用质心来表示物体, 其转动

惯量变为

$$I = mk^2 \quad (4.40)$$

式中  $m$ ——物体的质量。

平行轴定理指出, 物体对任一轴的转动惯量  $I$  等于物体对通过质心并与该轴平行的轴的转动惯量  $I_{\text{cm}}$  加上物体质量与两轴之间距离  $d$  二次方的乘积, 即

$$I = I_{\text{cm}} + md^2 \quad (4.41)$$

表 4.1 列出了人体各个肢体段的数据。

表 4.1 人体结构的数据

肢体段	定义	肢体段重量 与体重之比	质心与肢体 段长度之比		旋转半径与肢体 段长度之比	
			近端	远端	近端	远端
手	腕关节至中指尖	0.006	0.506	0.494	0.587	0.577
前臂	肘关节至尺骨茎突	0.016	0.430	0.570	0.526	0.647
上臂	盂肱关节至肘关节	0.028	0.436	0.564	0.542	0.645
前臂与手	肘关节至中指尖	0.022	0.682	0.318	0.827	0.565
整条手臂	盂肱关节至尺骨茎突	0.050	0.530	0.470	0.645	0.596
脚	外踝至第二跖骨头	0.0145	0.50	0.50	0.690	0.690
小腿	股骨髁至内踝	0.0465	0.433	0.567	0.528	0.643
大腿	股骨大转子至股骨髁	0.100	0.433	0.567	0.540	0.653
脚与小腿	股骨髁至第二跖骨头	0.061	0.606	0.394	0.735	0.572
整条腿	股骨大转子至内踝	0.161	0.447	0.553	0.560	0.650
头与颈	C7-T1 与第一肋骨至耳道	0.081	1.000		1.116	
肩	胸骨锁骨关节至盂肱关节		0.712	0.288		
胸	C7-T1 至 T12-L1 和横隔膜	0.216	0.82	0.18		
腹	T12-L1 至 L4-L5	0.139	0.44	0.56		
臀	L4-L5 至股骨大转子	0.142	0.105	0.895		
胸与腹	C7-T1 至 L4-L5	0.355	0.63	0.37		
腹与臀	T12-L1 至股骨大转子	0.281	0.27	0.73		
躯干	股骨大转子至盂肱关节	0.497	0.50	0.50		
躯干、头、颈		0.578	0.66	0.34	0.830	0.607
头、手臂、躯干		0.678	0.626	0.374	0.798	0.621

注: 本表根据 Winter (1990) 著作第 56 ~ 57 页的表 3.1 修改。

#### 例 4.7

某人体重 150lb, 大腿长为 17in。请计算其大腿相对于质心的转动惯量 (用 SI 国际单位制)。

解:

将大腿的长度换算成 SI 单位制, 即

$$l_{\text{thigh}} = 17\text{in} = 0.432\text{m}$$

表 4.1 列出了人体各肢体段重量与体重之比。将该人体体重换算成 SI 单位制为

$$m_{\text{body}} = (150\text{lb})(0.454\text{kg/lb}) = 68.1\text{kg}$$

于是, 大腿重量为

$$m_{\text{thigh}} = (0.100)(68.1\text{kg}) = 6.81\text{kg}$$

表 4.1 还列出了人体各肢体段相对于其长度的质心比值和旋转半径比值，并分别给出了近端和远端的长度比值。注意，大腿的“近端”是指靠近髋关节的一端，而“远端”则是指靠近膝关节的一端。因此，大腿的“近端”长度是指大腿质心与髋关节之间的距离，而“远端”长度则是指大腿质心与膝关节之间的距离。于是，大腿相对于髋关节的转动惯量为

$$I_{\text{thigh/hip}} = mk^2 = (6.81\text{kg})[(0.540)(0.432\text{m})]^2 = 0.371\text{kg} \cdot \text{m}^2$$

由式 (4.41) 表示的平行轴定理可知，大腿相对于髋关节的转动惯量与大腿相对于其质心的转动惯量之间具有如下关系：

$$I_{\text{thigh/hip}} = I_{\text{thigh/cm}} + md^2$$

因此

$$I_{\text{thigh/cm}} = I_{\text{thigh/hip}} - md^2$$

根据表 4.1 的数据，距离  $d$  可以从大腿质心的近端长度数据求得，即

$$d = (0.432\text{m})(0.433) = 0.187\text{m}$$

于是，大腿相对于其质心的转动惯量为

$$I_{\text{thigh/cm}} = 0.371\text{kg} \cdot \text{m}^2 - (6.81\text{kg})(0.187\text{m})^2 = 0.133\text{kg} \cdot \text{m}^2$$

#### 例 4.8

某人体重为 160lb，如图 4.12a 所示，其手掌上托着 10lb 的重球，肘部呈  $90^\circ$  角。(a) 此时肱二头肌需要产生多大的力才能使前臂保持平衡？(b) 前臂施加在肱骨上的力为多大？

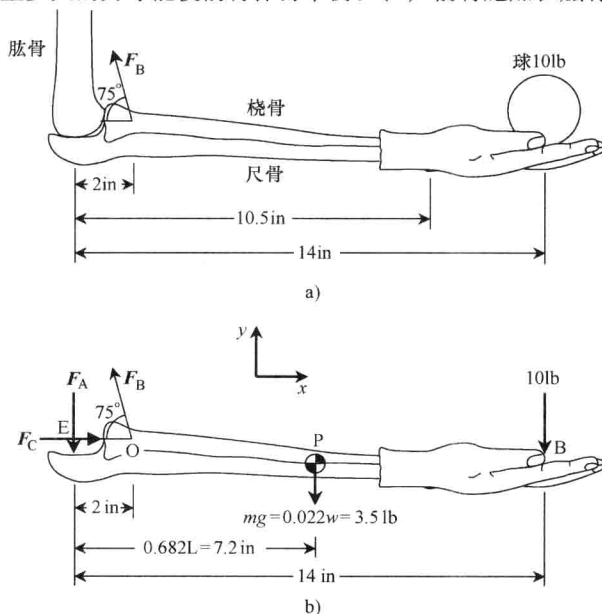


图 4.12 手掌托举重球时的受力图

a) 肘部静止并呈  $90^\circ$  角，手掌上托着 10lb 的重球 b) 前臂的受力图

注：此图根据 Davis (1986) 著作第 208 ~ 209 页的图 6.16 和图 6.17 修改。

解:

图 4.12b 是该系统的分离体受力图, 由于未知数比较多, 因此, 式 (4.35) 和式 (4.36) 都要用上。根据表 4.1 所列出的人体结构数据, 前臂与手合在一起的重量是占体重的 2.2%, 并且该肢体段的质心与肘部中心轴之间的距离是 68.2% 肢体段长度。注意, 表 4.1 所定义的“前臂与手”的长度是指肘部中心轴与尺骨茎突之间的距离。

关于肘部 O 点的力矩之和的平衡方程  $\sum \mathbf{M} = 0$  可以写为

$$\begin{aligned} & \mathbf{r}_{OE} \times \mathbf{F}_A + \mathbf{r}_{OB} \times (-10\text{lb})\mathbf{j} + \mathbf{r}_{OP} \times (-3.5\text{lb})\mathbf{j} = 0 \\ & (-2\text{in})\mathbf{i} \times (-F_A)\mathbf{j} + (12\text{in})\mathbf{i} \times (-10\text{lb})\mathbf{j} + (5.2\text{in})\mathbf{i} \times (-3.5\text{lb})\mathbf{j} = 0 \\ & (2\text{in})F_A\mathbf{k} - (120\text{lb} \cdot \text{in})\mathbf{k} - (18.2\text{lb} \cdot \text{in})\mathbf{k} = 0 \end{aligned}$$

求解以上最后一个方程可得肘部受到的垂直力  $F_A$  为

$$F_A = 69.1\text{lb}$$

为了求得肘部受到的水平力  $F_C$  和肱二头肌所产生的力  $F_B$ , 要再加上平衡方程  $\sum \mathbf{F} = 0$ , 即

$$F_C\mathbf{i} - F_A\mathbf{j} + (-F_B\cos 75^\circ\mathbf{i} + F_B\sin 75^\circ\mathbf{j}) - 10\text{lb}\mathbf{j} - 3.5\text{lb}\mathbf{j} = 0$$

分别求  $x$  和  $y$  分量之和, 可得

$$\begin{aligned} F_C - F_B\cos 75^\circ &= 0 \\ -F_A + F_B\sin 75^\circ - 10\text{lb} - 3.5\text{lb} &= 0 \end{aligned}$$

将  $F_A = 69.1\text{lb}$  代入, 联列求解这两个方程, 可得

$$F_B = 85.5\text{lb}$$

$$F_C = 22.1\text{lb}$$

## 4.2.5 运动方程

物体直线运动和转动的动力学可以用运动矢量方程来描述。

### 1. 牛顿运动方程

牛顿第二定律表明了净作用力  $\mathbf{F}$  及其引起的物体直线运动之间的关系, 即

$$\mathbf{F} = m\mathbf{a} \quad (4.42)$$

式中  $\mathbf{a}$ ——物体质心直线运动的加速度。

对于转动有

$$\mathbf{M} = I\boldsymbol{\alpha} \quad (4.43)$$

式中  $I\boldsymbol{\alpha}$ ——物体的角动量。该式表明物体的角动量等于外界作用于物体的净力矩。

以上两个矢量运动方程一般都可以写成  $x$ 、 $y$  和  $z$  分量组成的 6 个联立方程。

### 2. Euler 运动方程

牛顿运动方程描述了物体质心的运动, 更一般化, 欧拉运动方程则描述了刚体相对于其质心的运动。在  $xyz$  坐标与物体的主轴一致的特殊情况下, 也就是笛卡尔坐标系统的原点位于物体的质心时, 欧拉方程为

$$\Sigma M_x = I_{xx}\alpha_x + (I_{zz} - I_{yy})\omega_y\omega_z \quad (4.44)$$

$$\Sigma M_y = I_{yy}\alpha_y + (I_{xx} - I_{zz})\omega_z\omega_x \quad (4.45)$$

$$\Sigma M_z = I_{zz}\alpha_z + (I_{yy} - I_{xx})\omega_x\omega_y \quad (4.46)$$

式中  $M_i$ ——净力矩;

$I_{ii}$ ——物体相对于主轴的转动惯量;

$\alpha_i$ ——物体的角加速度;

$\omega_i$ ——物体的角速度。

欧拉方程中角度的单位是弧度。本书不详细推导该方程,有关内容在动力学的书籍(如本章参考文献[12])中都可以找到。本章4.6节将利用式(4.44)~式(4.46)计算人体关节所受到的力矩。

### 4.3 材料力学

运动学和动力学用于描述生物体的运动及其相关的作用力,而材料力学则用于定量分析组织的形变,研究整形外科手术中作用力的分布,并预测植入的整形假体的性能以及手术矫正可能达到的效果。材料力学的研究领域非常广阔,下面将举例说明几个具有代表性的应用。

整形外科使用的接骨板是一块不锈钢板,它可以 将断裂的骨头连接起来。如图4.13所示,接骨板用316L型不锈钢制成,其横截面A为4.17mm×12mm的长方形,如果轴向施加500N的负荷力F,则产生的轴向应力 $\sigma$ (即力/面积)为

$$\begin{aligned} \sigma &= \frac{F}{A} \\ &= \frac{500\text{N}}{(4.17 \times 10^{-3}\text{m})(12 \times 10^{-3}\text{m})} = 10\text{MPa} \end{aligned} \quad (4.47)$$

与负荷力方向成45°角的平面上会产生最大剪切应力,其值 $\tau_{\max}$ 为

$$\begin{aligned} \tau_{\max} &= \frac{F_{45^\circ}}{A_{45^\circ}} \\ &= \frac{(500\text{N})\cos 45^\circ}{\left[ \frac{(0.00417\text{m})(0.012\text{m})}{\cos 45^\circ} \right]} = 5\text{MPa} \end{aligned} \quad (4.48)$$

该值等于0.5 $\sigma$ ,这是材料力学的基本原理。如图4.13所示,加负荷之前,钢板的长轴方向相距15mm处打了两个孔。加上500N负荷之后,两孔之间的距离增加了

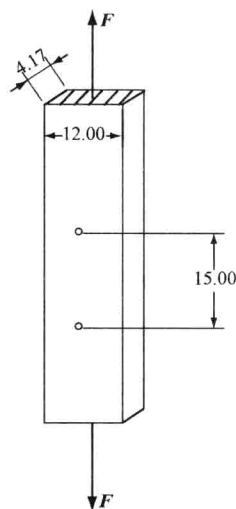


图4.13 用于固定骨折的接骨板  
注:接骨板上施加了轴向负荷。  
图中尺寸的单位为mm(摘自Burststein和Wright(1994)著作第104~108页,并有所改动)。

0.00075mm, 则钢板的长度变化量  $\Delta l$  与原长度  $l$  之比就是应变  $\varepsilon$

$$\begin{aligned}\varepsilon &= \frac{\Delta l}{l} \\ &= \frac{0.00075\text{mm}}{15\text{mm}} = 50 \times 10^{-6}\end{aligned}\quad (4.49)$$

常称为  $50\mu$ 。此处  $\mu$  表示  $10^{-6}$ 。

弹性模量  $E$  表示材料在受到外界拉力或者压力作用时的抗变形能力。线性弹性材料的  $E$  为常数, 这种材料常称为胡克型材料 (Hookean), 其  $\sigma$  随  $\varepsilon$  变化的曲线是一条斜率恒定的直线, 即

$$E = \frac{\sigma}{\varepsilon} \quad (4.50)$$

对于上述接骨板, 有

$$E = \frac{10 \times 10^6 \text{Pa}}{50 \times 10^{-6}} = 200 \text{GPa}$$

金属和塑料等材料都只是在有限的负荷范围内才表现为线性, 生物材料则具有更复杂的弹性性质。图 4.14 显示了在拉力作用下测得的骨组织的纵向和横向应力-应变曲线。先来看纵向应力-应变曲线, 曲线上  $0 \sim 7000\mu$  为弹性区, 此时骨组织表现为纯粹的弹性体,  $E \approx 12 \text{GPa}$ ; 当拉应力接近  $90 \text{MPa}$  时, 应力-应变曲线变成非线性, 进入骨组织变形的塑性区; 最后, 当拉应力达到  $120 \text{MPa}$  时, 骨组织样本被破坏。这三个阶段的特性分别可以用材料的弹性模量 (elastic modulus)、屈服应力 (yield stress) 和极限应力 (ultimate stress) 来表示, 表 4.2 列出了常用整形材料 (包括天然材料和人造材料) 的这三个参数。

表 4.2 某些常用整形材料的屈服应力  $\sigma_{\text{yield}}$ 、极限应力  $\sigma_{\text{ultimate}}$  和弹性模量  $E$

材料	$\sigma_{\text{yield}}/\text{MPa}$	$\sigma_{\text{ultimate}}/\text{MPa}$	$E/\text{GPa}$
不锈钢	700	850	180
钴合金	490	700	200
钛合金	1100	1250	110
骨	85	120	18
PMMA <sup>⊖</sup>		35	5
UHMWPE <sup>⊖</sup>	14	27	1
膝盖韧带		58	

注: 数据取自 Burstein 和 Wright (1994) 著作第 122 页的表 4.2。

图 4.14 还表明骨的纵向和横向弹性性质是不同的, 骨是各向异性的。与纵向相比, 骨在横向上要脆弱得多, 硬度也要小得多, 这从两个方向上的屈服应力、极限应力以及应力-应变曲线的斜率上的差别都可以看出。

图 4.15 表明在负荷的加载和卸载过程中骨所表现的弹性性质也不同, 显示出弹性滞后现象。从热力学观点看, 就是负荷加载过程中传入骨骼的能量与卸载过程中释放出来的能量不相等。并且, 从曲线 A 到 B 再到 C, 随着最大负荷的增加, 这种能量差变得

⊖ PMMA 的化学名称是聚甲基丙烯酸甲酯, UHMWPE 是超高分子量聚乙烯。——译者注

越来越大。“丢失”的能量损耗在骨骼内部摩擦引起的发热上，也损耗在大负荷引起的材料损伤上。

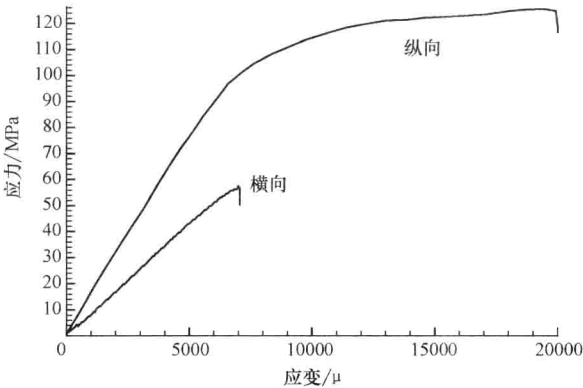


图 4.14 拉应力作用下骨的纵向和横向应力-应变曲线

注：摘自 Burstein 和 Wright（1994）著作第 116 页的图 4.12，有所改动。

骨的各向异性很明显，受压时其极限应力为 200MPa，受拉时极限应力为 140MPa，而弯曲时的剪切极限应力只有 75MPa。剪切作用可以用剪切模量  $G$ （又称刚性模量）来描述，它等于剪切应力与剪切应变之比。泊松比（Poisson's ratio）等于横向应变与纵向应变之比，用  $\nu$  表示，即

$$\nu = \frac{\epsilon_{\text{横向}}}{\epsilon_{\text{纵向}}} \tag{4.51}$$

一般， $\nu \approx 0.3$ ，表示纵向形变约为横向形变的 3 倍。对于线性弹性材料，弹性模量  $E$ 、剪切模量  $G$  和泊松比  $\nu$  之间存在如下关系：

$$G = \frac{E}{2(1 + \nu)} \tag{4.52}$$

生物材料的受损很难预料，其原因之一就是生理负荷的复杂性。例如，骨的抗拉能力比抗压能力要弱得多，滑雪时小腿胫骨在靴子顶端处容易骨折就是这个道理。由于脚被固定，滑雪者的前向冲量在靴子的顶端产生一个力矩，从而在小腿胫骨上形成三点弯曲。在这种弯曲状态下，胫骨前部受压，而后部受拉，很容易造成骨折。此时，小腿的三头肌（即腓肠肌与比目鱼肌）会在胫骨后侧产生高强度压应力，以减轻胫骨的受拉程度。

下面举例说明如何应用静力学和材料力学的方法解决生物力学问题。

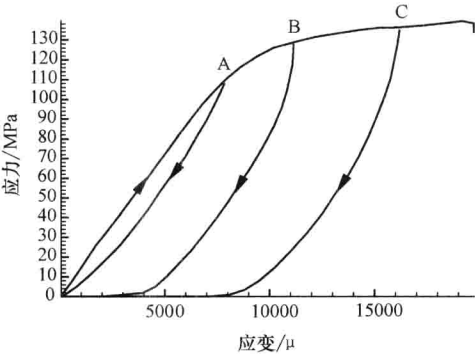


图 4.15 反复加载和卸载过程中骨的应力-应变曲线（即骨的弹性滞后现象）

注：摘自 Burstein 和 Wright（1994）著作第 119 页的图 4.15。

## 例 4.9

图 4.16a 所示是用于固定股骨粗隆骨折的骨钉-骨板结构的植入体。假设人静止站立时臀部施加在植入体上的外力为 400N。植入体的骨钉是长方形不锈钢板，截面尺寸为 10mm × 5mm，用几颗螺钉固定在股骨上，一部分沿  $x$  轴插入转子的头部。请问该植入体所承受的作用力、力矩、应力和应变各为多少？

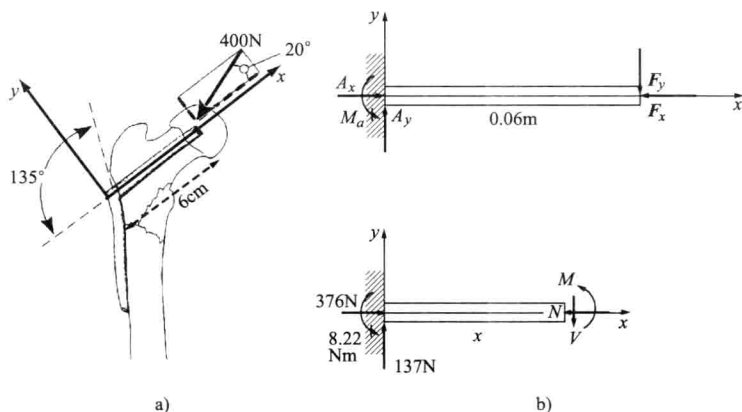


图 4.16 骨钉及其受力图

a) 用于修复股骨粗隆骨折的骨钉 (取自 Burstein 和 Wright (1994) 著作第 141 页的图 5.5)

b) 上图: 骨钉的受力图; 下图: 与左端支撑点相距  $x$  处的截面上的受力图

解:

这是一个静力学问题, 首先作受力图, 画出各个受力点上受到的所有作用力及其力矩, 以及反作用力及其力矩。由于骨折部位的不稳定性, 骨钉-骨板植入体可能要承受整个 400N 负荷, 因此, 可以将骨钉模拟成一根长 0.06m 的悬梁, 其所受负荷如图 4.16b 上图所示。400N 负荷可以分解为轴向  $F_x$  和横向  $F_y$  两个分量, 即

$$F_x = 400 \text{ N} \cos 20^\circ = 376 \text{ N}$$

$$F_y = 400 \text{ N} \sin 20^\circ = 137 \text{ N}$$

轴向负荷分量产生压应力  $\sigma_x$ , 根据式 (4.47), 有

$$\begin{aligned} \sigma_x &= \frac{F_x}{A} \\ &= \frac{376 \text{ N}}{(0.005 \text{ m})(0.01 \text{ m})} = 7.52 \text{ MPa} \end{aligned}$$

该数值大约只有不锈钢屈服应力的 1% (见表 4.2)。轴向负荷引起的最大剪切应力为

$$\tau_{\max} = \frac{\sigma_x}{2} = 3.76 \text{ MPa}$$

其方向与长轴呈  $45^\circ$ 。根据不锈钢的弹性模量可以求得轴向应变为

$$E = \frac{\sigma}{\varepsilon} = \frac{F/A}{\Delta l/l}$$



即

$$\varepsilon = \frac{F}{EA}$$

$$= \frac{376\text{N}}{180 \times 10^9 \text{Pa} (0.005\text{m}) (0.01)\text{m}} = 41.8 \times 10^{-6}$$

由此可以计算轴向变形为

$$\Delta l_{\text{axial}} = \varepsilon l = 2.51 \times 10^{-6} \text{m}$$

该变形很小, 可以忽略不计。

横向负荷分量会引起悬梁弯曲, 有关材料力学的书籍 (如 Roark 1989 年的著作) 都有描述悬梁弯曲的方程式。假设图 4.17a 所示的悬梁左端固定, 右端受到一个向下的负荷, 那么悬梁就会产生弯曲。此时梁的上面部分被拉伸, 而下面部分则被压缩, 中间既不受拉也不受压的转折位置称为中性轴 (neutral axis)。对于厚度为  $h$  的对称长方形悬梁, 中性轴位于中间, 即图中  $c$  等于  $h/2$ 。悬梁的抗弯曲特性可以用截面惯量 (area moment of inertia)  $I$  来表示。如果长方形截面宽为  $b$ , 厚为  $h$ , 如图 4.17b 所示, 则  $I = \frac{1}{12}bh^3$ 。

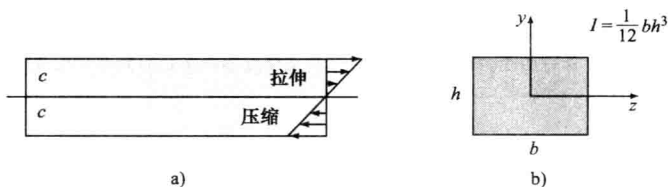


图 4.17 悬梁的静力学分析

a) 左端固定, 右端受到向下作用力的悬梁会产生弯曲, 梁的上部分受到拉伸, 而下部分则受到压缩, 上下两部分的中间转折位置是中性轴 b) 宽为  $b$  厚为  $h$  的长方形截面悬梁的抗弯曲性

可以用截面惯量  $I$  表示, 此处  $I = \frac{1}{12}bh^3$

悬梁末端的偏移量  $\delta y$  为

$$\delta y = \frac{Fx^2}{6EI}(3L - x) \quad (4.53)$$

式中  $x$ ——悬梁的轴向距离;

$L$ ——悬梁总长;

$I$ ——悬梁的截面惯量。

例如:

$$I = \frac{1}{12} (10 \times 10^{-3} \text{m}) (5 \times 10^{-3} \text{m})^3 = 1.042 \times 10^{-10} \text{m}^4$$

悬梁最大的偏移发生在  $x = L$  处, 即

$$\begin{aligned}
 \delta y_{\max} &= \frac{FL^3}{3EI} \\
 &= \frac{137\text{N}(0.06\text{m})^3}{3(180 \times 10^9 \text{N/m}^2)(1.042 \times 10^{-10} \text{m}^4)} \\
 &= 5.26 \times 10^{-4} \text{m} = 0.526 \text{mm}
 \end{aligned} \tag{4.54}$$

该数值也可以忽略不计。

为了计算最大剪应力和弯应力，首先要求得最大剪切力  $V$  和弯矩  $M$ 。下面先列出悬梁整个受力图的静力学平衡方程，即

$$\begin{aligned}
 \sum F_x: A_x - 376\text{N} &= 0 \\
 \sum F_y: A_y - 137\text{N} &= 0 \\
 \sum M_A: M_a - 137\text{N}(0.06\text{m}) &= 0
 \end{aligned}$$

求解该方程组，可得  $A_x = 376\text{N}$ ， $A_y = 137\text{N}$ ， $M_a = 8.22\text{Nm}$ 。如果在左端固定点 A 右边的任意位置  $x$  处将悬梁截断，则悬梁左边部分的受力图如图 4.16b 下方所示。再对其应用静力学平衡方程则有

$$\begin{aligned}
 \sum F_x: 376\text{N} - N &= 0 \\
 N(x) &= 376\text{N} \\
 \sum F_y: 137\text{N} - V &= 0 \\
 V(x) &= 137\text{N} \\
 \sum M_A: 8.22\text{N} \cdot \text{m} - (137\text{N})(x\text{m}) + M &= 0 \\
 M(x) &= (137\text{N} \cdot \text{m})x - 8.22\text{N} \cdot \text{m}
 \end{aligned}$$

以下 MATLAB 程序可以显示这些方程的曲线图。如果轴向作用力和剪切力已知，那么弯矩曲线如图 4.18 所示。

```
% Use MATLAB to plot axial force, shear force, and bending moment diagrams
% for Example Problem 4.8
```

```
X = [0: 0.01: 0.06];
N = x. * 0 + 376;
V = x. * 0 + 137;
M = 137. * x - 8.22;

figure
subplot(3,1,1), plot(x,N,x,N, 'x')
xlabel('x [m]')
ylabel('N [N]')
title('Axial Force N')
```

```

subplot(3,1,2), plot(x,V,x,V,'x')
xlabel('x [m]')
ylabel('V [N]')
title('Shear Force V')
subplot(3,1,3), plot(x,M,x,M,'x')
xlabel('x [m]')
ylabel('M [N·m]')
title('Bending Moment M')

```

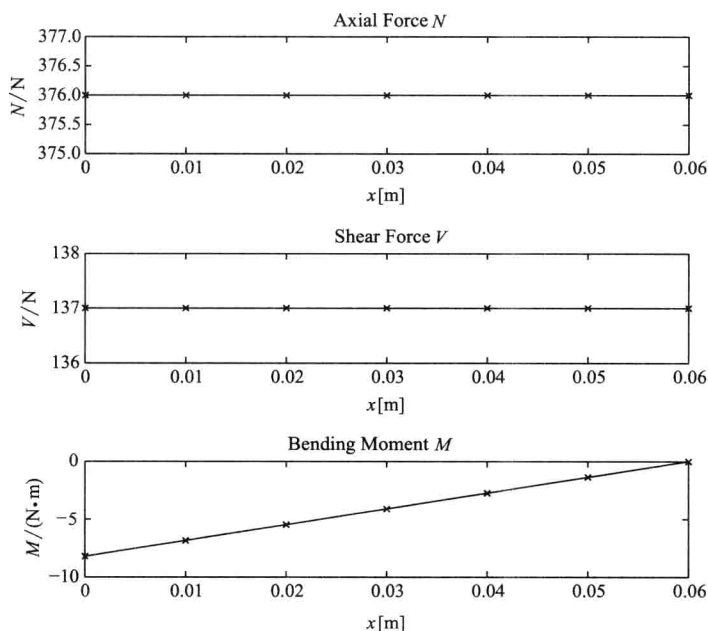


图 4.18 图 4.16 所示骨钉的轴向力  $N$ 、剪切力  $V$  和弯矩  $M$  随距离  $x$  变化的函数

注：它们是 MATLAB 程序的输出曲线。

最大弯应力计算公式为

$$\sigma_{b \max} = \frac{M_{\max} c}{I} \quad (4.55)$$

式中  $c$ ——最大应力处（即悬梁边缘）与中性轴的距离，此处即为  $h/2$ 。

于是，最大弯应力和最大剪应力分别为

$$\begin{aligned}
 \sigma_{b \max} &= \frac{-8.22 (\text{N} \cdot \text{m}) [0.5 (5 \times 10^{-3} \text{m})]}{10.42 \times 10^{-9} \text{m}^4} = -197 \text{MPa} \\
 \tau_{b \max} &= \frac{V_{\max} b^2}{8I} \\
 &= \frac{137 \text{N} (5 \times 10^{-3} \text{m})^2}{8 (10.42 \times 10^{-9} \text{m}^4)} = 4.11 \text{MPa}
 \end{aligned} \quad (4.56)$$

这些应力都比不锈钢的屈服应力  $\sigma_{\text{yield}} = 700\text{MPa}$  小得多。

## 4.4 黏弹性

胡克的固体弹性理论只有在很窄的负荷范围内才能正确描述材料的性质。例如，理想弹簧受到的作用力与弹簧长度的伸长量之间成正比关系，比例系数为常数  $k$ 。但是，对于实际的弹簧，在负荷很小或者很大的情况下，这种关系都不成立。还有，如果这种理想弹簧与一个运动物体相连，那么，由于忽略了阻尼，系统会产生纯粹的谐振，永远振荡下去，而实际上这种情况是不可能发生的。实际系统总是存在黏性，即阻尼性质，因此，系统的能量会通过弹簧的发热以及运动物体与空气之间的摩擦而逐渐损耗。

同理，生物材料都具有黏弹性。描述物体黏弹性的力学模型有很多，它们都有简单的本构方程。图 4.19 就显示了 3 种模型。其中，Maxwell 模型由弹簧和阻尼器串联构成；Voight 模型由弹簧和阻尼器并联构成；而 Kelvin 模型则由弹簧与阻尼器串联之后再与弹簧并联构成。每个模型都包含了阻尼器，阻尼器产生的作用力与伸缩量的导数成正比。这些模型所描述的应力和应变特性都会随时间变化。

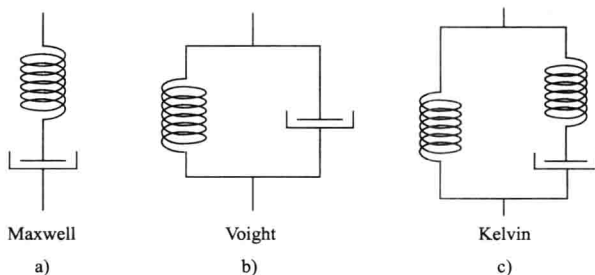


图 4.19 3 种简单的黏弹性模型

a) Maxwell 模型 b) Voight 模型 c) Kelvin 模型（即固体的标准线性模型）

每种模型动态响应的测定方法是：给模型外加一个阶跃变化的作用力  $F$ ，同时检测其所产生的长度变化（即位移  $x$ ）。在恒定的应力作用下，黏性材料的长度会缓慢变化，此过程称为蠕变（creep）。反过来，如果施加一个位移  $x$  的阶跃变化信号，然后检测其引起的应力  $F$  的变化，那么，在位移  $x$  保持恒定的状态下，黏性材料的应力  $F$  会逐渐下降，这个过程称为应力弛豫（stress relaxation），也称应力松弛。通过设计 Simulink 程序很容易计算各种动态模型的蠕变和应力弛豫。图 4.20 所示是没有黏性的纯弹性材料在阶跃作用力  $F$  作用下所产生的位移  $x$  的变化，显然这种材料没有蠕变。图 4.21 所示是纯弹性材料受到位移  $x$  的阶跃输入时所产生的作用力  $F$  的变化，同样， $x$  的变化立即导致  $F$  的阶跃响应，它没有应力弛豫过程。

James Clerk Maxwell (1831—1879) 使用理想弹簧和理想阻尼器的组合描述了空气的黏弹性特性。图 4.22 所示就是 Maxwell 黏弹性模型在阶跃作用力的作用下所产生的蠕变响应，图 4.23 则显示了其应力弛豫响应。从图 4.22 可见，系统的蠕变响应几乎没有位移限制，理想阻尼器可以无限伸长。从图 4.23 可见，阶跃位移立即导致系统产生一个很大的初始应力，然后该应力逐渐弛豫，恢复到原有的应力水平。

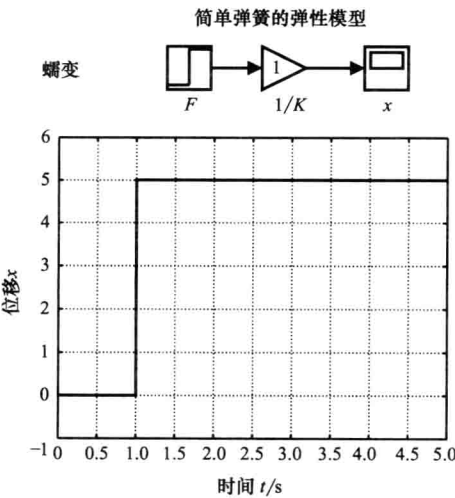


图 4.20 纯弹性材料（即理想弹簧）蠕变测试的 Simulink 仿真模型及其输出结果

注：该模型的方程是  $x = F/K$ ，其中  $x$  为位移， $F$  为作用力， $K$  为弹簧系数。下面的图是  $K=1$  且作用力从 0 阶跃到 5（任意单位）时材料的位移输出响应， $x$  与  $F$  呈线性关系。

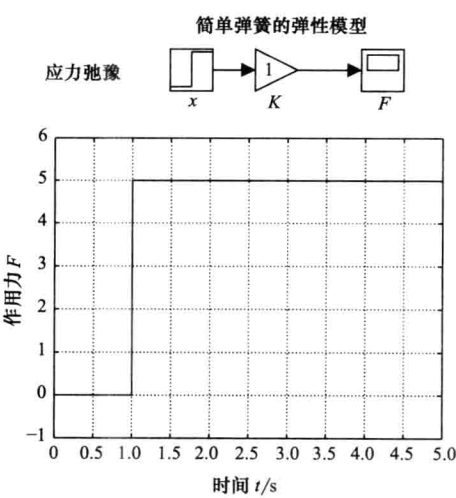


图 4.21 纯弹性模型应力弛豫测试的 Simulink 仿真模型及其输出结果

注：该模型的方程是  $F = Kx$ 。下面的图是弹簧系数  $K=1$  且施加阶跃位移  $x=5$  时的应力响应。其应力与位移呈线性关系。

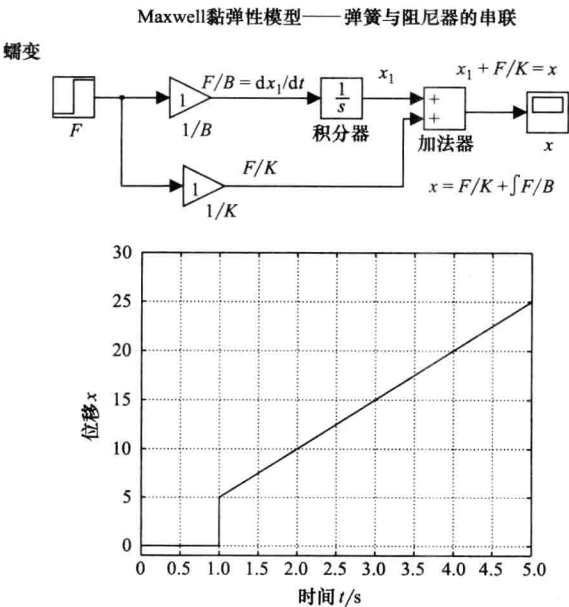


图 4.22 Maxwell 黏弹性模型的蠕变

注：该模型由理想弹簧和理想阻尼器串联组成（参见图 4.19a）。设弹簧系数  $K=1$  且阻尼器的阻尼系数  $B=1$ （单位任意）。系统在阶跃变化力的作用下，位移  $x$  的响应是方程  $x = F/K + \int F/B$  的解。 $x$  响应曲线上首先是弹簧产生的即刻位移变化，紧接着是理想阻尼器的蠕变。只要作用力存在，这种蠕变一直可以延伸下去。

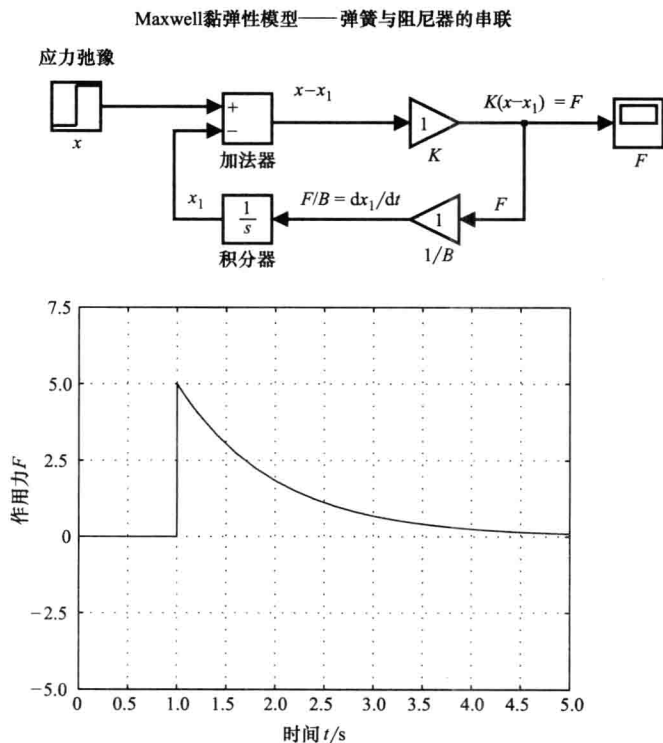


图 4.23 Maxwell 黏弹性模型的应力弛豫响应

注：该响应是方程  $F = K(x - \int F/B)$  的解。设  $K=B=1$ （单位任意），那么，阶跃位移导致的应力响应曲线上首先出现的是理想弹簧的即刻应力增量，紧接着是阻尼器的应力弛豫，使应力逐渐恢复到稳态水平。

Woldemar Voight (1850—1919) 曾经在晶体学研究中使用了理想弹簧与理想阻尼器的并联模型。图 4.24 所示是 Voight 黏弹性模型的蠕变测试结果，图 4.25 的应力弛豫响应则表明该模型的作用力可以无穷大，也就是位移发生阶跃变化时，由于阻尼器不能即刻产生响应，致使系统的作用力变为无穷大。

William Thompson (Lord Kelvin, 1824—1907) 曾经用图 4.19c 所示的 3 个元件组成的 Kelvin 黏弹性模型，描述了各种不同固体材料的扭摆形式的力学特性。图 4.26 所示是 Kelvin 模型的蠕变响应，该响应有一个快速的初始跃变，紧接着是缓慢的蠕变。图 4.27 所示是 Kelvin 模型的应力弛豫响应，初始时，该响应表现出刚性变化，随后由于阻尼器的伸展，应力逐渐衰减到某个非 0 稳态水平。Kelvin 三元件模型是最简单的集中参数黏弹性模型，其位移延伸量和作用力都是有限值。

不过，这种三元件黏弹性模型只描述了应力弛豫和蠕变的基本特性，生物材料的黏弹性往往要复杂得多。例如，利用集中参数黏弹性模型只能计算不同频率的外加应变作

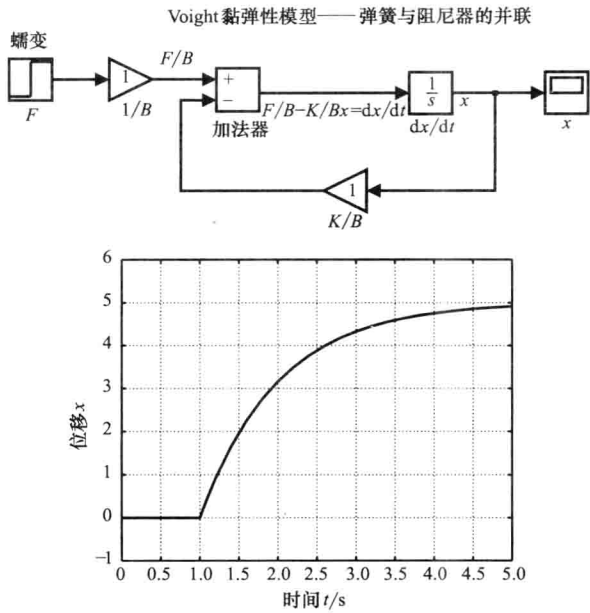


图 4.24 Voight 黏弹性模型的蠕变响应

注：该模型是理想弹簧与理想阻尼器的并联（参见图 4.19b），其方程是  $dx/dt = 1/B (F - Kx)$ 。当  $K = B = 1$ ，且施加阶跃作用力 5（单位任意）时，其蠕变响应如图中曲线所示，位移逐渐蠕变到稳态值。

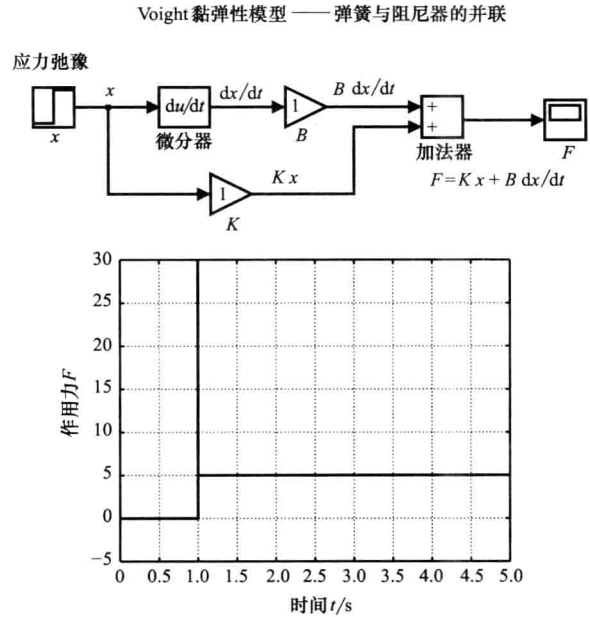


图 4.25 Voight 黏弹性模型的应力弛豫响应

注：该模型的方程是  $F = Kx + Bdx/dt$ 。由于阻尼器与弹簧并联，并且它不能即刻响应位移的阶跃变化，致使模型的作用力瞬时变成无穷大。

用下的离散的滞后曲线，而生物组织却表现出很宽的分布式滞后特性。这个问题的一种解决方法就是用三元件模型的分布式网络来描述生物材料。另一种方法是用 Westerhof 和 Noordergraaf (1970) 提出的通用黏弹性模型来描述血管壁等生物材料的黏弹性特性。也就是根据动脉血管的特性，将弹性模量设计成随频率变化的复杂参量，使模型包含频率依赖性的弹性模量、应力弛豫、蠕变和滞后特性。这样，Maxwell 模型和 Voight 模型就只是这种通用模型的特例。

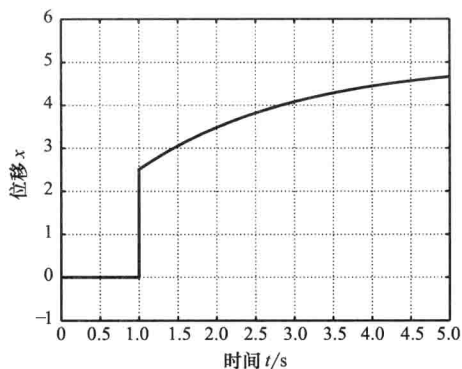


图 4.26 Kelvin 三元件黏弹性模型的蠕变响应

注：模型方程留给读者自己推导。作用力发生阶跃变化之后，模型产生一个瞬间的初始位移增量，接着逐渐蠕变到稳态水平。

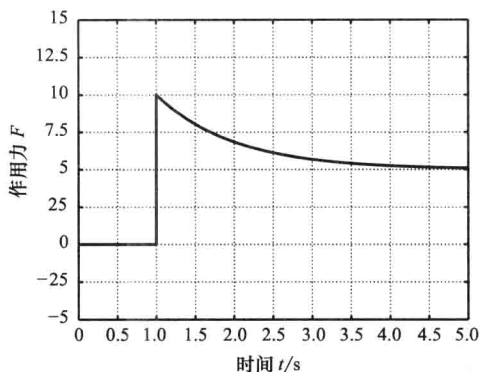


图 4.27 Kelvin 黏弹性模型的应力弛豫响应

注：模型首先产生一个瞬间的初始作用力增量，接着逐渐弛豫到稳态水平。

## 4.5 软骨、韧带、肌腱与肌肉

骨骼关节的表面覆盖着软骨，软骨主要由胶原蛋白组成，胶原蛋白是构成动物体内各种软硬组织的主要材料。分离出来的胶原纤维具有很大的抗拉强度，与尼龙的抗拉强度（50~100MPa）相当，且弹性模量接近 1GPa。还有一种在脊椎动物体内发现的弹性蛋白，它在血管壁和肺中具有特别重要的作用，是所有已知固体生物材料中弹性最好的材料，其弹性模量约为 0.6MPa。弹性蛋白使皮肤和结缔组织具有很好的弹性。

### 4.5.1 软骨

软骨构成了关节的承重表面，它是一种多孔渗水的黏弹性材料。在关节承受负荷的过程中，在应力作用下，体液会在软骨组织中流进流出，从而使软骨表现出复杂的力学特性。这种特性使关节软骨的黏弹性非常强，其受压应力弛豫时间有 1~5s 数量级。软骨是各向异性材料，在加载和卸载的循环周期中存在滞后现象。其极限压应力约在 5MPa 数量级。

### 4.5.2 韧带与肌腱

韧带将骨骼连接在一起，从而构成生物体的骨架。肌腱则将肌肉连接到骨骼上，并



将肌肉收缩产生的力传给骨骼，从而带动肢体的运动。韧带和肌腱的主要作用是传递拉力，它们都由平行的胶原纤维束组成，并具有相似的力学特性。人体肌腱的极限应力为 50 ~ 100 MPa，并具有明显的非线性应力—应变关系曲线。曲线中线性区域内的弹性模量为 1 ~ 2 GPa。韧带和肌腱都具有滞后、黏弹性蠕变以及应力弛豫性质。另外，这两种材料的响应都与初始状态相关，因此，通过预先加载作用力的“预处理”方法可以影响随后的应力—应变响应关系。经过反复加载的处理，这两种生物组织内部的结构会发生变化，从而导致材料特性的偏移。

### 4.5.3 肌肉力学

本书第3章已经介绍过，肌肉是一种主动的可兴奋组织，它通过相互交叉的肌动蛋白丝与肌球蛋白丝之间形成的横桥连接来产生作用力。描述肌肉收缩的定量模型有两种：一是 A. V. Hill 建立的集中参数收缩模型；二是 A. F. Huxley 建立的描述单个肌小节的横桥模型（参见 Palladino 和 Noordergraaf 1998 年的著作）。最早的肌肉模型只是用单纯的弹簧简单描述整块肌肉的力学特性，弹簧受到拉伸时所存储的势能在缩短时就释放出来。Ernst Weber（1846）最先提出肌肉具有顺应性，他认为肌肉是一种弹性材料，在其兴奋过程中，通过化学能的转化，肌肉的状态会发生变化。此后，研究人员都只关注肌肉的弹性特性，却忽视了新陈代谢引起的肌肉刚性的变化。单纯的弹性模型受到质疑，因为它不符合热力学定律。肌肉弹簧拉伸时所存储的势能小于它缩短时所释放的能量，这个释放的能量包括弹簧的做功和发热。于是，人们用传统弹簧与阻尼器的组合来描述肌肉。1922 年 Hill 将弹簧与黏弹性元件组合在一起，这才在肌肉模型中引入了早在 20 世纪 40 年代就曾经提出的黏弹性。

快速拉伸和释放实验表明，肌肉的黏弹性与时间具有很强的相关性。一般，肌肉长度变化发生得越快，其收缩力受到的影响就越大。显然，带阻尼的弹簧系统并不能完整描述肌肉收缩的复杂机制。1935 年，Fenn 和 Marsh 在 Hill 的阻尼弹性模型中添加了一个串联弹性元件，并指出“简单的力学系统不能正确模拟肌肉的特性”。后来，Hill 直接用实验获得的双曲线表示负荷与骨骼肌初始收缩速度之间的关系，并将该双曲线作为模型的一个模块，代表一种收缩元件。Hill 原来的黏弹性模型认为肌肉具有恒定的势能，该势能的释放速率由黏弹性决定。新模型不用摩擦机制，而用一种未明确定义的内部机制控制能量的释放。这种引入随负荷变化的肌肉动力学新特性是一个正确的研究方向；但是，后来的模型（包括用于产热研究的模型）所使用的双曲线都基于骨骼肌强直收缩实验的数据。这种方法有两个缺点：这种单一的力-速度关系曲线使得所有具体应用模型中的收缩元件都具有相同的肌肉能量和作用力特性；这种建模方法不能揭示有关肌肉收缩机制的信息。由于缺乏能够描述特定负荷状态的收缩元件，研究人员在模型中不断增加被动弹簧和阻尼器的数目。到了 20 世纪 60 年代末，肌肉模型中的元件数目至少已经增加到了 9 个。至今，肌肉模型设计中都使用基于 Hill 收缩元件的分布式模型，最新的模型主要用于描述肌肉的强直收缩、等长收缩以及等长痉挛收缩。

另一类肌肉收缩模型的研究工作在超微结构水平进行，这些研究以肌丝滑行理论为

基础。肌丝滑行是公认的肌肉收缩机制,肌肉产生作用力的过程是粗肌丝与细肌丝之间通过横桥的结合将化学能转化为机械能的过程。关于横桥结合和分离的详细模式至今仍然存在争议,特别是肌肉松弛的机制尚不清楚。早在实际观察到横桥之前,1957年 A. F. Huxley 就已经根据有关肌肉结构和能量的假设建立了横桥的模型,他用速率常数  $f$  和  $g$  分别描述粗细肌丝之间结合和分离两个过程。这个模型的主要缺点是不能解释肌肉长度或者负荷快速变化所引起的瞬间突变,就像前面有关蠕动和应力弛豫的 Simulink 仿真结果中所显示的即刻变化。

后来出现了一些改进模型,它们用复杂的速率函数描述横桥的结合和分离过程,这些模型往往只适用于描述单对肌丝。现在,各种肌肉模型都趋向于只描述单纯的一种实验现象,如快速释放实验等。没有一种模型能够广泛适用于各种肌肉收缩情况。描述横桥结合和分离的速率函数则越来越复杂。原来建立肌肉模型是利用简单的横桥机制来描述复杂的肌肉动力学;而现在的趋势却是反过来,变成利用复杂的横桥动力学特性来描述特定的实验结果。

另一方面, Palladino 和 Noordergraaf 在 1998 年提出了一种大规模的分布式肌肉模型,该模型基于横桥连接的基本力学特性来模拟肌肉的收缩和松弛过程,其复杂的肌肉收缩特性来自于肌肉超微结构的动力学特性,也就是结构决定功能。肌丝之间的结合用黏弹性材料来模拟。肌肉收缩用电刺激诱发。电信号在心肌中以一定的速度传播,在肌肉空间中形成了非同步刺激。另外,肌细胞内质网中释放的钙离子需要经过扩散才能到达肌球蛋白头部。这些过程以及肌肉结构的非均匀性都有力地表明收缩在整块肌肉中是非同步的。这种模型抛弃了肌肉收缩的同步假设,使用分布式特性,并考虑肌丝的质量,这样,就可以使粗肌丝相对细肌丝产生很小的移动。这种移动导致横桥结合的分离并产生热量。肌肉的总体收缩由此产生。该模型可以模拟实验中观察到的外加负荷致使肌肉长度发生快速突变的现象。肌肉的松弛则可以由模型的分布特性产生。

这种分布式的肌肉模型具有以下主要特点:肌小节由相互重叠的粗肌丝和细肌丝构成,粗、细肌丝之间通过横桥连接,肌细胞兴奋时横桥将两种肌丝结合在一起,肌细胞松弛时横桥分离,两种肌丝不再相连。图 4.28 显示了由一段段肌小节连接而成的肌细胞模型。其中的每个横桥用三元件固体黏弹性模型描述,肌丝则表示成质量。肌肉产生的作用力由相互交错的肌丝之间的黏弹性横桥连接形成。横桥数目由粗、细肌丝之间重叠的程度决定,它是时间和空间的函数,与电激活和化学激活的速率相关。横桥形成的非同步性、各个肌小节中横桥数目的差别以及肌肉的收缩和外加的长度突变等,都会引起肌丝的微小移动。由于肌丝存在质量,这种移动具有阻尼振荡形式,其振荡频率由分布式系统的特性决定。当横桥结合的作用力降为 0 时,肌丝间的横桥分离。因此,肌丝的运动和横桥应力的弛豫导致了横桥的分离并导致肌肉松弛,这里没有用到横桥分离的速率函数。事实上,肌肉松弛由系统固有的不稳定性产生。虽然这种模型由线性非时变元件(即弹簧、阻尼器和质量)组成,但是,模型的动力学结构却使其力学特性表现出高度的非线性和时变性,这与实际肌纤维的情况一致。

该模型对于机械扰动的灵敏度与实验结果一致。实验的肌张力记录曲线、用水母素

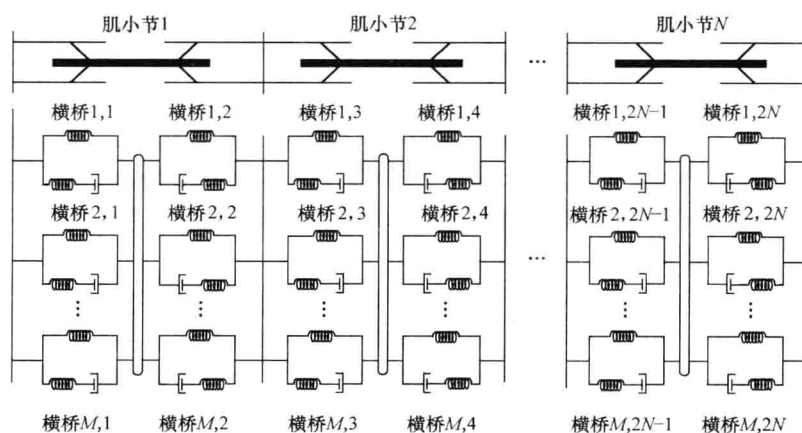


图 4.28 由  $N$  个肌小节的分布式网络构成的肌细胞模型

注：其中每个肌小节包含  $M$  对并列的横桥连接（摘自 Palladino 和 Noordergraaf 1998 年著作第 44 页的图 3.4）。

发光蛋白测定肌细胞内游离钙离子浓度以及高速 X 射线衍射研究都表明了横桥分离的作用。该模型与肌小节长度的反馈研究结果也一致，并可以在实验前预测肌细胞的动力学过程。肌小节长度的反馈可以通过减小内部移动来延缓肌肉的松弛。

该模型提出了肌肉复杂力学特性的结构机制，并且预测了收缩机制的新特点，如肌肉松弛的机制、肌肉发热的估算等。这种新模型将肌肉的复杂力学特性建立在其物理解剖结构上，因此，它将亚细胞结构与组织层次的功能联系起来了。

本章只介绍生物组织力学特性的一些要点，更全面的内容请参阅冯元桢教授的《生物力学：活组织的力学特性》（Biomechanics: Mechanical Properties of Living Tissues）、Nigg 与 Herzog 合著的《肌肉骨骼系统的生物力学》（Biomechanics of the Musculo-Skeletal System）以及 Mow 与 Hayes 合著的《整形外科生物力学基础》（Basic Orthopaedic Biomechanics）等著作。肌肉收缩研究的悠久历史在 Needham 的著作《肉机器》（Machina Carnis）中有详细的论述。有关的医学历史请参阅 Singer 与 Underwood 在 1962 年合著的《医学简史》（A Short History of Medicine）。本章下面两节将介绍以上 4.2 ~ 4.5 节所述的生物力学原理在人体步态分析和心血管系统定量研究中的应用。

## 4.6 临床步态分析

动力学在人体运动分析中的应用之一就是临床步态分析。临床步态分析包括病人步行模式特征参数的测定、数据的解释以及治疗方案的制定。这是一项高度合作性的工作，需要病人与多个领域专家之间的配合，尤其是医生、理疗师、人体运动学专家和工程师（或者技师）。其中，工程师的任务很艰巨，他们要根据现有的仪器条件建立临床步态分析的检测系统。数据测量和采集的根本目标是在不改变病人自然活动的状态下，

准确检测病人的运动,使数据具有足够的精度,可以用于临床分析。虽然临床步态测量的部分仪器设备已有商品化的产品,但是,设备的使用方案至今仍一直在不断改进,测量方案及其相关模型的有效性最终决定了检测数据的意义和质量。可见,工程人员与相关临床伙伴之间的合作会对临床步态分析的过程产生重要的影响。

通常,采集步态数据时,要在病人皮肤表面放置高反光标记物,然后,利用安装在周围环境中的一组视频运动摄像机拍摄这些体表反光标记物。根据两台以上摄像机同时拍摄的图像,可以计算出每个时刻下这些标记物的空间位置。除了空间位置信息以外,步态分析实验中还可以检测其他参数。例如,利用地面下安装的测力平台可以测量地面受到的作用力;用体表电极或者细导线肌电极可以检测肌电图(所用的电极类型由具体的被测肌肉决定)。

为了与本章所述主题一致,我们下面主要介绍临床步态分析的生物力学部分,包括人体各个肢体段和关节的运动学分析和关节动力学分析,以及临床数据含义的简单解释。

#### 4.6.1 临床步态模型

步态模型是指将步行试验中采集的数据转换成临床诊断信息的算法。例如,通过步态模型可以根据病人身上标记点的三维空间位置数据计算出各种角度参数,用于描述病人各肢体段及其末端关节的运动过程。只有充分了解临床诊断的需求,才能设计出合适的步态模型。这里,步态模型的设计既要考虑测量设备的技术条件限制,也要考虑不同的试验对象,以便满足不同病人群体的需要,如具有不同年龄、不同步态疾病、不同步行能力的病人群体。好的模型必须能够广泛适用于各种不同病人,例如,具有不同体格和智力的成人和儿童;并且要有足够的精度,可以解决生物力学的细节问题;还要可重复,具备临床实用性。

#### 4.6.2 运动学分析

步态测试时,测试系统的视频摄像机记录下粘贴在病人皮肤表面的反光标记点的空间和时间运动轨迹,然后这些标记点的轨迹再用于各个坐标系的计算。这些坐标系与所需分析的人体肢体段的解剖位置相对应,是计算人体各个肢体段绝对对空间方位以及段与段之间角位移(如关节角等)的基础。为了完成这些计算,人体的每个肢体段至少需要用3个不在同一直线上的参考标记点来标定,这些标记点形成一个平面,用于推导各个肢体段的坐标系。理论上,通过三标记点的方法可以将人体任意肢体段的运动过程记录下来;但是,实际上,只有当这些标记点与人体的解剖结构具有密切联系时,这些运动学数据才具有临床应用价值。标记要么直接贴在肢体段上骨骼特征明显的部位,要么放在便于摄像机拍摄同时又与体内骨骼具有明确对应关系的部位。下面用人体骨盆和大腿这两个肢体段分别说明这两种情况。

##### 1. 骨盆的解剖坐标系

采集骨盆的运动学数据时,其中两个标记物分别贴在左右两侧髂前上棘(Anterior-

Superior-Iliac-Spine, ASIS) 处, 还有一个标记物可以贴在左或右髂后上棘 (Posterior-Superior-Iliac-Spine, PSIS) 处, 这样, 就可以用拍摄到的标记物的空间位置数据计算骨盆的解剖坐标系。详见例 4.10。

#### 例 4.10

如下是一组骨盆标记点的三维位置数据, 单位为 m, 坐标系是图 4.29 所示的实验室空间固定坐标。

$$\text{右 ASIS: } \text{RASIS} = -0.850i - 0.802j + 0.652k$$

$$\text{左 ASIS: } \text{LASIS} = -0.831i - 0.651j + 0.652k$$

$$\text{PSIS} = -1.015i - 0.704j + 0.686k$$

请计算骨盆的解剖坐标系。

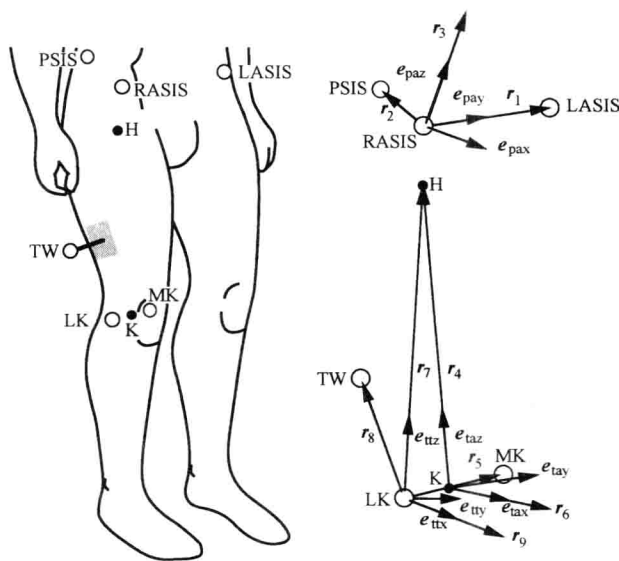


图 4.29 用于定义骨盆和大腿坐标系的标记点

注: 骨盆的标记点中, PSIS 表示髂后上棘, H 表示髋关节旋转中心, LASIS 和 RASIS 分别表示左、右髂前上棘。大腿的标记点中, TW 表示大腿杆, K 表示膝关节中心, MK 和 LK 分别为膝关节 (即股骨髁) 的内、外侧标记点。

解:

题中给出的 3 个标记点构成了一个平面, 左右 ASIS 之间的连线是骨盆坐标系中的一个轴, 另一个坐标轴垂直于骨盆平面, 第三个坐标轴则与前两个坐标轴正交。因此, 骨盆解剖坐标系三个坐标轴的求解步骤如下:

1) 首先计算第一个坐标轴。将矢量 **LASIS** 减去矢量 **RASIS**:

$$\begin{aligned} \text{LASIS} - \text{RASIS} &= [-0.831 - (-0.850)]i + [-0.651 - (-0.802)]j \\ &\quad + (0.652 - 0.652)k \end{aligned}$$

可得矢量

$$\mathbf{r}_1 = 0.0190\mathbf{i} + 0.1510\mathbf{j} + 0.0000\mathbf{k}$$

其单位矢量就是

$$\begin{aligned}\mathbf{e}_{r_1} &= \frac{0.019\mathbf{i} + 0.151\mathbf{j} + 0.000\mathbf{k}}{\sqrt{0.019^2 + 0.151^2 + 0.000^2}} \\ \mathbf{e}_{r_1} &= 0.125\mathbf{i} + 0.992\mathbf{j} + 0.000\mathbf{k}\end{aligned}$$

如图 4.29 所示, 该单位矢量  $\mathbf{e}_{r_1}$  就表示骨盆解剖坐标系的内外侧方向  $\mathbf{e}_{\text{pay}}$  (即  $y$  轴)。

2) 然后计算第二个坐标轴, 即垂直于骨盆平面的矢量。将 **PSIS** 减去 **RASIS**, 可得

$$\mathbf{r}_2 = -0.165\mathbf{i} + 0.098\mathbf{j} + 0.034\mathbf{k}$$

求矢量叉积  $\mathbf{e}_{\text{pay}} \times \mathbf{r}_2$ , 可得

$$\begin{aligned}\mathbf{r}_3 &= \begin{vmatrix} \mathbf{i} & \mathbf{j} & \mathbf{k} \\ 0.125 & 0.992 & 0.000 \\ -0.165 & 0.098 & 0.034 \end{vmatrix} \\ &= [(0.992)(0.034) - (0.000)(0.098)]\mathbf{i} \\ &\quad + [(0.000)(-0.165) - (0.125)(0.034)]\mathbf{j} \\ &\quad + [(0.125)(0.098) - (0.992)(-0.165)]\mathbf{k} \\ &= 0.034\mathbf{i} - 0.004\mathbf{j} + 0.176\mathbf{k}\end{aligned}$$

其单位矢量为

$$\mathbf{e}_{r_3} = \mathbf{e}_{\text{paz}} = 0.188\mathbf{i} - 0.024\mathbf{j} + 0.982\mathbf{k}$$

该单位矢量  $\mathbf{e}_{r_3}$  就表示骨盆解剖坐标系的前上方向  $\mathbf{e}_{\text{pax}}$  (即  $z$  轴)。

3) 最后求第三个坐标轴 (即  $x$  轴), 该坐标轴与前两个轴正交。求矢量叉积  $\mathbf{e}_{\text{pay}} \times \mathbf{e}_{\text{paz}}$  可得  $x$  轴的方向为

$$\mathbf{e}_{\text{pax}} = 0.974\mathbf{i} - 0.123\mathbf{j} - 0.190\mathbf{k}$$

于是, 本例的骨盆解剖坐标系可以表示为

$$\{\mathbf{e}_{\text{pa}}\} = \begin{bmatrix} \mathbf{e}_{\text{pax}} \\ \mathbf{e}_{\text{pay}} \\ \mathbf{e}_{\text{paz}} \end{bmatrix} = \begin{bmatrix} 0.974 & -0.123 & -0.190 \\ 0.125 & 0.992 & 0.000 \\ 0.188 & -0.024 & 0.982 \end{bmatrix} \begin{bmatrix} \mathbf{i} \\ \mathbf{j} \\ \mathbf{k} \end{bmatrix}$$

注意, 这 3 个坐标轴的系数就是定义骨盆坐标系与实验室坐标系之间关系的方向余弦。■

总之, 通过监测 3 个骨盆标记点的运动轨迹, 就可以求得每个时刻下由  $\mathbf{e}_{\text{pax}}$ 、 $\mathbf{e}_{\text{pay}}$  和  $\mathbf{e}_{\text{paz}}$  三个坐标轴构成的骨盆坐标系  $\{\mathbf{e}_{\text{pa}}\}$  的方位。再运用式 (4.32) ~ 式 (4.34) 的欧拉角计算公式, 就可以求出该坐标系的绝对角位移, 并用于分析骨盆的倾斜和旋转。本节后面将举例说明这种计算角位移的方法。

## 2. 大腿的解剖坐标系

要在大腿上找出用作步态检测参考点的 3 个骨骼特征点, 比骨盆要困难。一种看似可行的方法是将标记物贴在股骨髁的内外两侧和大转子处, 但是, 走动时贴在股骨髁内侧的标记并不一定可行, 有些病人行走时两个膝盖之间会摩擦。另外, 文献中经常提到

在大转子处粘贴标记物；其实，由于走动时皮肤会产生明显的移动，外部标记物与皮肤下大转子之间的相对位移很大，因此，实际上也不能用作参考点（参见本章参考文献 [3]）。

一般，定量分析大腿、小腿和脚的活动时，经常在人体某个静止姿势下在肢体段上增加一些解剖位置的标记点，这些标记点称为静态解剖标记点，在走动测试时要去掉，而那些走动时仍带着的标记物则称为运动标记点。并且，这两类标记点之间具有确定的数学对应关系，这些对应关系在步态测试过程中保持不变，也就是假设人体各个肢体段是刚性的。下面举例说明这种方法。

#### 例 4.11

假设病人静止站立时各个标记点的坐标数据如下，单位为 m：

股骨髁外侧标记点  $LK = -0.881i - 0.858j + 0.325k$

股骨髁内侧标记点  $MK = -0.855i - 0.767j + 0.318k$

请计算大腿的解剖坐标系。

解：

大腿平面由以下 3 个解剖标记点构成：髌关节旋转中心和股骨髁内、外侧标记点  $MK$  和  $LK$ 。膝关节中心位置可以用  $LK$  与  $MK$  之间的中点来表示。膝关节中心与髌关节旋转中心这两点形成的矢量就是大腿坐标系的纵轴。第二个坐标轴垂直于大腿平面，第三个坐标轴则与前两个轴正交。

首先计算膝关节中心位置：

$$\begin{aligned}\frac{LK + MK}{2} &= \frac{(-0.881) + (-0.855)}{2}i + \frac{(-0.858) + (-0.767)}{2}j \\ &\quad + \frac{(0.325) + (0.318)}{2}k\end{aligned}$$

可得

$$\text{膝关节中心位置 } K = -0.868i - 0.812j + 0.321k$$

股骨头的中点就是髌关节旋转中心。根据人体测量学的骨盆结构统计模型，可以得到  $H$  位置的近似数据（Davis, 1991），即

$$\text{髌关节旋转中心的位置 } H = -0.906i - 0.763j + 0.593k$$

详细内容这里不作介绍。

现在，就可以按照如下步骤计算大腿的解剖坐标系：

1)  $H$  矢量减  $K$  矢量，可得

$$r_4 = -0.038i + 0.049j + 0.272k$$

其单位矢量为

$$e_{r_4} = e_{\text{taz}} = -0.137i + 0.175j + 0.975k$$

该单位矢量表示坐标系的纵轴方向  $e_{\text{taz}}$ ，即  $z$  轴。

2) 与骨盆坐标系相似，大腿平面的第二个矢量是垂直于该平面的矢量。因此， $MK$  矢量减  $LK$  矢量，可得

$$\mathbf{r}_5 = 0.026\mathbf{i} + 0.091\mathbf{j} - 0.007\mathbf{k}$$

求矢量叉积  $\mathbf{r}_5 \times \mathbf{e}_{\text{tax}}$  可得

$$\mathbf{r}_6 = 0.090\mathbf{i} - 0.024\mathbf{j} + 0.017\mathbf{k}$$

其单位矢量为

$$\mathbf{e}_{r_6} = \mathbf{e}_{\text{tax}} = 0.949\mathbf{i} - 0.258\mathbf{j} + 0.180\mathbf{k}$$

该单位矢量表示坐标系的前后方向  $\mathbf{e}_{\text{tax}}$ ，即  $x$  轴。

3) 再计算与前两个坐标轴正交的第三个坐标轴，即由叉积  $\mathbf{e}_{\text{tax}} \times \mathbf{e}_{\text{tax}}$ ，求坐标系的  $y$  轴矢量  $\mathbf{e}_{\text{tay}}$ ：

$$\mathbf{e}_{\text{tay}} = 0.284\mathbf{i} + 0.950\mathbf{j} - 0.131\mathbf{k}$$

于是，大腿的解剖坐标系可以表示为

$$\{\mathbf{e}_{\text{ta}}\} = \begin{bmatrix} \mathbf{e}_{\text{tax}} \\ \mathbf{e}_{\text{tay}} \\ \mathbf{e}_{\text{taz}} \end{bmatrix} = \begin{bmatrix} 0.949 & -0.258 & 0.180 \\ 0.284 & 0.950 & -0.131 \\ -0.137 & 0.175 & 0.975 \end{bmatrix} \begin{bmatrix} \mathbf{i} \\ \mathbf{j} \\ \mathbf{k} \end{bmatrix}$$

它由  $\mathbf{e}_{\text{tax}}$ 、 $\mathbf{e}_{\text{tay}}$  和  $\mathbf{e}_{\text{taz}}$  三个坐标轴组成。在此坐标系的建立过程中使用了股骨髁内侧的标记点，该标记在行走测试时要去掉。因此，膝关节中心的位置不能按照上述方法计算，解决这个难题的方法是：在大腿表面放置另外一个标记点，使其与髌关节旋转中心和股骨髁外侧标记点一起组成一个平面，这3个参考点就可以用于计算大腿的一个“技术”坐标系，再由这个坐标系计算膝关节中心的位置。具体方法见如下例题。 ■

#### 例 4.12

继续以上例 4.11，给定大腿上另一个标记点的坐标（它不对应于骨骼的特定解剖结构）：

$$\text{大腿标记点 } \mathbf{TW} = -0.890\mathbf{i} - 0.937\mathbf{j} + 0.478\mathbf{k}$$

请计算大腿的“技术”坐标系。

解：

大腿“技术”坐标系的计算步骤如下：

1) 计算坐标系的纵轴方向矢量  $\mathbf{e}_{\text{tz}}$ ，即  $z$  轴，先将髌关节旋转中心  $\mathbf{H}$  矢量减  $\mathbf{LK}$  矢量，可得

$$\mathbf{r}_7 = -0.025\mathbf{i} + 0.094\mathbf{j} + 0.268\mathbf{k}$$

其单位矢量为

$$\mathbf{e}_{r_7} = \mathbf{e}_{\text{tz}} = -0.088\mathbf{i} + 0.330\mathbf{j} + 0.940\mathbf{k}$$

该单位矢量表示坐标系的  $z$  轴  $\mathbf{e}_{\text{tz}}$ 。

2) 计算与  $\mathbf{LK}$ 、 $\mathbf{H}$  和  $\mathbf{TW}$  三点组成的平面相垂直的坐标轴，即  $\mathbf{TW}$  矢量减  $\mathbf{LK}$  矢量，可得

$$\mathbf{r}_8 = -0.009\mathbf{i} - 0.079\mathbf{j} + 0.153\mathbf{k}$$

再计算矢量叉积  $\mathbf{r}_7 \times \mathbf{r}_8$ ，可得



$$\mathbf{r}_g = 0.036\mathbf{i} + 0.001\mathbf{j} + 0.003\mathbf{k}$$

其单位矢量为

$$\mathbf{e}_{r_g} = \mathbf{e}_{\text{ttx}} = 0.996\mathbf{i} + 0.040\mathbf{j} + 0.079\mathbf{k}$$

该单位矢量就表示大腿坐标系的前后方向  $\mathbf{e}_{\text{tx}}$ , 即  $x$  轴。

3) 计算与前两个坐标轴正交的第三个坐标轴, 即由叉积  $\mathbf{e}_{\text{tx}} \times \mathbf{e}_{\text{ty}}$  求坐标系的  $y$  轴矢量  $\mathbf{e}_{\text{ty}}$ :

$$\mathbf{e}_{\text{ty}} = -0.012\mathbf{i} + 0.943\mathbf{j} + 0.332\mathbf{k}$$

于是, 大腿的技术坐标系可以表示为

$$\{\mathbf{e}_{\text{tt}}\} = \begin{bmatrix} \mathbf{e}_{\text{tx}} \\ \mathbf{e}_{\text{ty}} \\ \mathbf{e}_{\text{tz}} \end{bmatrix} = \begin{bmatrix} 0.996 & 0.040 & 0.079 \\ -0.012 & 0.943 & 0.332 \\ -0.088 & 0.330 & 0.940 \end{bmatrix} \begin{bmatrix} \mathbf{i} \\ \mathbf{j} \\ \mathbf{k} \end{bmatrix}$$

注意, 这个在站立校正状态下计算得到的坐标系  $\{\mathbf{e}_{\text{tt}}\}$ , 在每次行走测试之后也可以求得。计算该坐标系用到的股骨髁外侧、大腿杆和髋关节旋转中心这 3 个标记点在站立和行走时都可以获得。然后, 根据坐标系  $\{\mathbf{e}_{\text{tt}}\}$  就可以求得其他实际的解剖坐标系。利用 4.2.2 节所介绍的方向余弦或者欧拉角都可以建立大腿解剖坐标系  $\{\mathbf{e}_{\text{ta}}\}$  与大腿技术坐标系  $\{\mathbf{e}_{\text{tt}}\}$  之间的关系方程。并且, 站立校正之后必须除去的那些标记点 (如股骨髁内侧标记点  $MK$ ) 以及膝关节中心等解剖位置都可以先转换到技术坐标系下, 然后, 在分析步态数据时再还原回来。 ■

### 3. 肢体段与关节夹角

跟踪记录人体各个肢体段的解剖坐标系, 就可以计算各肢体段的空间绝对方位角或者某个肢体段相对于另一个肢体段的夹角。如上述例题 4.12 所示, 利用 4.2.2 节所介绍的欧拉角公式 (4.32) ~ 式 (4.34), 可以计算表示骨盆解剖坐标系  $\{\mathbf{e}_{\text{pa}}\}$  与实验室坐标系 (即固定坐标系) 之间关系的 3 个欧拉角。注意, 在以下计算公式中, 无撇号的矢量表示实验室坐标系, 带 3 个撇号的矢量表示骨盆解剖坐标系  $\{\mathbf{e}_{\text{pa}}\}$ 。由式 (4.32) 可得

$$\theta_x = -\arcsin(\mathbf{k}''' \cdot \mathbf{j})$$

即

$$\begin{aligned} \theta_x &= -\arcsin(\mathbf{e}_{\text{paz}} \cdot \mathbf{j}) \\ &= -\arcsin[(0.188\mathbf{i} - 0.024\mathbf{j} + 0.982\mathbf{k}) \cdot \mathbf{j}] \\ &= -\arcsin(-0.024) \\ &= 1^\circ \text{ 骨盆侧斜角} \end{aligned}$$

同理, 由式 (4.33) 可得

$$\theta_y = \arcsin\left[\frac{(\mathbf{k}''' \cdot \mathbf{i})}{\cos\theta_x}\right]$$

即

$$\begin{aligned}
 \theta_y &= \arcsin \left[ \frac{(\mathbf{e}_{\text{paz}} \cdot \mathbf{i})}{\cos \theta_x} \right] \\
 &= \arcsin \left[ \frac{(0.188\mathbf{i} - 0.024\mathbf{j} + 0.982\mathbf{k}) \cdot \mathbf{i}}{\cos 1^\circ} \right] \\
 &= \arcsin \left( \frac{0.188}{\cos 1^\circ} \right) \\
 &= 11^\circ \text{ 骨盆前倾角}
 \end{aligned}$$

由式 (4.34) 可得

$$\theta_z = \arcsin \left[ \frac{(\mathbf{i}'' \cdot \mathbf{j})}{\cos \theta_x} \right]$$

即

$$\begin{aligned}
 \theta_z &= \arcsin \left[ \frac{(\mathbf{e}_{\text{pax}} \cdot \mathbf{j})}{\cos \theta_x} \right] \\
 &= \arcsin \left[ \frac{(0.974\mathbf{i} - 0.123\mathbf{j} - 0.190\mathbf{k}) \cdot \mathbf{j}}{\cos 1^\circ} \right] \\
 &= \arcsin \left( \frac{-0.123}{\cos 1^\circ} \right) \\
 &= -7^\circ \text{ 骨盆转动角}
 \end{aligned}$$

同样, 用这些欧拉公式也可以计算表示大腿解剖坐标系  $\{\mathbf{e}_{\text{ta}}\}$  与骨盆解剖坐标系  $\{\mathbf{e}_{\text{pa}}\}$  之间关系的三个欧拉角。将例 4.10 和例 4.11 求得的  $\{\mathbf{e}_{\text{pa}}\}$  和  $\{\mathbf{e}_{\text{ta}}\}$  代入式 (4.32) 可得

$$\begin{aligned}
 \theta_x &= -\arcsin(\mathbf{e}_{\text{tax}} \cdot \mathbf{e}_{\text{pay}}) \\
 &= -\arcsin[(-0.137\mathbf{i} + 0.175\mathbf{j} + 0.975\mathbf{k}) \cdot (0.125\mathbf{i} + 0.992\mathbf{j} + 0.000\mathbf{k})] \\
 &= -\arcsin(0.156) \\
 &= -9^\circ \text{ 髋关节外展或内收角}
 \end{aligned}$$

负号是指左大腿的髋关节内收, 或者指右大腿的髋关节外展。

另外, 将  $\{\mathbf{e}_{\text{pa}}\}$  和  $\{\mathbf{e}_{\text{ta}}\}$  的值代入式 (4.33) 和式 (4.34) 可得

$$\text{髋关节前屈或后伸} \quad \theta_y = 20^\circ$$

$$\text{髋关节内旋或外旋} \quad \theta_z = -8^\circ$$

对于髋关节内旋或外旋, 负号是指左大腿的髋关节内旋, 或者指右大腿的髋关节外旋。对于髋关节前屈或后伸, 负号表示后伸, 左右大腿一样。人体其他肢体段, 如胫骨 (即小腿)、脚、躯干、手臂和头等, 只要有正确定义的解剖坐标系, 都可以用这种处理方法。

### 4.6.3 动力学分析

如上所述, 人体活动时标记点的位移轨迹 (即运动数据) 可以用于肢体段和关节的运动学分析。这些运动学数据还可以与地面反作用力和力矩等数据相结合, 力和力矩的作用点称为压力中心点。再利用肢体段的重量和转动惯量的估计值, 就可以计算关节

受到的净作用力和力矩。下面详细介绍计算过程。

如图 4.30 所示, 假设某人体重为 25.2kg, 需要计算其踝关节所受到的作用力和力矩。其步态周期中某个时刻的测量数据如下表所示。

	符号	单位	$x_{lab}^{\ominus}$	$y_{lab}^{\ominus}$	$z_{lab}^{\ominus}$
踝关节中心位置	$A$	m	0.357	0.823	0.056
脚尖标志点位置	$T$	m	0.421	0.819	0.051
压力中心位置	$CP$	m	0.422	0.816	0.000
地面反作用力矢量	$F_g$	N	3.94	-15.21	242.36
地面反作用力的力矩矢量	$T_g$	N · m	0.000	0.000	0.995
脚的解剖坐标系	$e_{fax}$		0.977	-0.0624	-0.202
	$e_{fay}$		0.0815	0.993	0.0877
	$e_{faz}$		0.195	-0.102	0.975
脚的线加速度矢量	$a_{foot}$	m/s <sup>2</sup>	2.09	-0.357	-0.266
脚的角速度矢量	$\omega_{foot}$	rad/s	0.0420	2.22	-0.585
脚的角加速度矢量	$\alpha_{foot}$	rad/s <sup>2</sup>	-0.937	8.85	-5.16
踝关节的角速度矢量	$\omega_{ankle}$	rad/s	-0.000759	1.47	0.0106

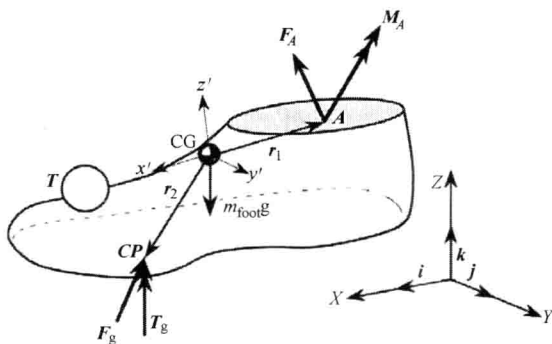


图 4.30 踝关节受力分析

注: 利用踝关节  $A$  和脚尖  $T$  的标记点数据, 并结合地面反作用力数据  $F_g$ 、肢体段的重量和转动惯量, 计算踝关节所受到的净作用力和力矩。

下面利用本章表 4.1 所列的人体数据计算脚 (foot) 的质量和转动惯量及其重心的位置。脚的质量  $m_{foot}$  可以按照体重的 1.45% 来估算, 即为 0.365kg。重心的位置约在 50% 脚长处。脚的长度  $l_{foot}$  可以根据踝关节中心到脚尖标记点之间的距离来估算, 即

$$\begin{aligned} T - A &= (0.421 - 0.357)i + (0.819 - 0.823)j + (0.051 - 0.056)k \\ &= 0.064i - 0.004j - 0.005k \end{aligned}$$

$$l_{foot} = |T - A|$$

$$= \sqrt{(0.064)^2 + (-0.004)^2 + (-0.005)^2} = 0.064m$$

于是, 重心相对于踝关节中心的位置是

$$A + \frac{l_{foot}(T - A)}{2|T - A|} = (0.357i + 0.823j + 0.056k) + \left[\frac{0.064}{2}\right] \left[\frac{0.064i - 0.004j - 0.005k}{0.064}\right]$$

$\ominus x_{lab}$ 、 $y_{lab}$ 、 $z_{lab}$  表示实验室固定坐标——译者注。

即为

$$\mathbf{CG} = 0.389\mathbf{i} + 0.821\mathbf{j} + 0.054\mathbf{k}$$

这样就可以计算图 4.30 所示的位置矢量  $\mathbf{r}_1$  和  $\mathbf{r}_2$ 。现在已知脚的长度为 0.064m，脚的质量为 0.365kg，旋转半径约为肢体段长度的 0.690，应用式 (4.40) 就可以计算相对于踝关节中心 (ankle) 的转动惯量，即

$$\begin{aligned} I_{\text{foot/ankle}} &= (0.365\text{kg}) [(0.690)(0.064\text{m})]^2 \\ &= 7.12 \times 10^{-4} \text{kg} \cdot \text{m}^2 \end{aligned}$$

再利用式 (4.41) 表示的平行轴定理，就可以计算相对于脚的质心的转动惯量为

$$I_{\text{foot/cm}} = I_{\text{foot/ankle}} - m_{\text{foot}} d^2$$

注意，在均匀重力场作用下，质心与重心相同。式中  $d$  为脚的质心与踝关节之间的距离。由表 4.1 可知，脚的质心与其近端之间的距离为脚长的 0.5，因此， $d = 0.5 (l_{\text{foot}}) = 0.032\text{m}$ ，于是

$$\begin{aligned} I_{\text{foot/cm}} &= (7.12 \times 10^{-4} \text{kg} \cdot \text{m}^2) - (0.365\text{kg})(0.032\text{m})^2 \\ &= 3.38 \times 10^{-4} \text{kg} \cdot \text{m}^2 \end{aligned}$$

该值就是绕脚横截面上主轴  $y'$  和  $z'$  (见图 4.30) 的质心转动惯量，即

$$\begin{aligned} I_{y'y'} &= 3.38 \times 10^{-4} \text{kg} \cdot \text{m}^2 \\ I_{z'z'} &= 3.38 \times 10^{-4} \text{kg} \cdot \text{m}^2 \end{aligned}$$

脚可以近似看做长度与半径之比为 6 的圆柱体，并且横向与纵向的转动惯量之比约为 6.5。因此，关于纵轴  $x'$  (见图 4.30) 的转动惯量就是

$$I_{x'x'} = 5.20 \times 10^{-5} \text{kg} \cdot \text{m}^2$$

计算了这些脚的人体数据之后，下面就可以进行动力学分析。应用牛顿第二定律  $\Sigma \mathbf{F} = m\mathbf{a}$ ，可以计算踝关节所受到的反作用力  $\mathbf{F}_A$ ，即

$$\begin{aligned} \mathbf{F}_g + \mathbf{F}_A - m_{\text{foot}}\mathbf{g}\mathbf{k} &= m_{\text{foot}}\mathbf{a}_{\text{foot}} \\ \mathbf{F}_A &= m_{\text{foot}}\mathbf{a}_{\text{foot}} - \mathbf{F}_g + m_{\text{foot}}\mathbf{g}\mathbf{k} \\ &= (0.365\text{kg})(2.09\mathbf{i} - 0.357\mathbf{j} - 0.266\mathbf{k})\text{m/s}^2 \\ &\quad - (3.94\mathbf{i} - 15.21\mathbf{j} + 242.4\mathbf{k})\text{N} \\ &\quad + (0.365\text{kg})(9.81\text{m/s}^2)\mathbf{k} \\ &= -3.18\mathbf{i} + 15.08\mathbf{j} - 238.9\mathbf{k}\text{N} \end{aligned}$$

然后，利用式 (4.44) ~ 式 (4.46) 表示的欧拉运动方程计算踝关节所受到的力矩  $\mathbf{M}_A$ 。欧拉方程是相对于脚的主轴  $x'$ 、 $y'$  和  $z'$  定义的，但是，要注意，这里需要计算的数据 (如  $\boldsymbol{\omega}_{\text{foot}}$  和  $\boldsymbol{\alpha}_{\text{foot}}$ ) 是相对于实验室坐标系 ( $x, y, z$ ) 的数值。因此，首先要把欧拉方程求解所需的矢量转换到脚的解剖坐标系中。根据前面列表中的数据，脚的解剖坐标系为

$$\begin{aligned} \mathbf{e}_{\text{fax}} &= 0.977\mathbf{i} - 0.0624\mathbf{j} - 0.202\mathbf{k} \\ \mathbf{e}_{\text{fay}} &= 0.0815\mathbf{i} + 0.993\mathbf{j} + 0.0877\mathbf{k} \\ \mathbf{e}_{\text{faz}} &= 0.195\mathbf{i} - 0.102\mathbf{j} + 0.975\mathbf{k} \end{aligned}$$

式中  $e_{\text{fax}}, e_{\text{fay}}, e_{\text{faz}}$ ——分别对应于  $x', y'$  和  $z'$ , 即  $i', j'$  和  $k'$ 。

在前面 4.2.2 节已经讲过,  $e_{\text{fax}}$  表达式中的系数分别是  $x'$  对于  $x$ 、 $x'$  对于  $y$  和  $x'$  对于  $z$  的余弦角; 同理,  $e_{\text{fay}}$  表达式中的系数分别是  $y'$  对于  $x$ 、 $y'$  对于  $y$  和  $y'$  对于  $z$  的余弦角;  $e_{\text{faz}}$  表达式中的系数则分别是  $z'$  对于  $x$ 、 $z'$  对于  $y$  和  $z'$  对于  $z$  的余弦角。因此, 将这 3 个表达式进行转置后, 可得

$$\begin{aligned} i &= 0.977i' + 0.0815j' + 0.195k' \\ j &= -0.0624i' + 0.993j' - 0.102k' \\ k &= -0.202i' + 0.0877j' + 0.975k' \end{aligned}$$

这样, 利用这些关系式就可以将实验室坐标下的矢量  $A = A_x i + A_y j + A_z k$  转换成脚坐标系下的矢量  $A = A_x i' + A_y j' + A_z k'$ 。为了说明这个方法, 设脚的角速度矢量为

$$\omega_{\text{foot}} = 0.042i + 2.22j - 0.585k \text{ rad/s}$$

将脚坐标系表示的实验室坐标系代入, 可得

$$\begin{aligned} \omega_{\text{foot}} &= 0.042(0.977i' + 0.0815j' + 0.195k') + 2.22(-0.0624i' + 0.993j' - 0.102k') \\ &\quad - 0.585(-0.202i' + 0.0877j' + 0.975k') \\ &= 0.0210i' + 2.16j' - 0.789k' \text{ rad/s} \end{aligned}$$

同样, 可以将其他几个矢量变换到脚坐标系下, 即

$$\begin{aligned} r_1 &= -0.032i + 0.002j + 0.002k \\ &= -0.032i' - 0.004k'm \\ r_2 &= 0.033i - 0.005j - 0.054k \\ &= 0.0435i' - 0.007j' - 0.0457k'm \\ F_g &= 3.94i - 15.21j + 242.36k \\ &= -44.16i' + 6.47j' + 238.62k'N \\ T_g &= 0.995k \\ &= -0.201i' + 0.0873j' + 0.970k'N \cdot m \\ F_A &= -3.18i + 15.1j - 239k \\ &= 44.2i' - 6.23j' - 235k'N \\ \omega_{\text{foot}} &= 0.0420i + 2.22j - 0.585k \\ &= 0.021i' + 2.16j' - 0.789k' \text{ rad/s} \\ \alpha_{\text{foot}} &= -0.937i + 8.85j - 5.16k \\ &= -0.425i' + 8.26j' - 6.116k' \text{ rad/s}^2 \end{aligned}$$

根据式 (4.44) ~ 式 (4.46) 表示的欧拉运动方程, 有

$$\begin{aligned} M_{Ax'} + (r_1 \times F_A)_{x'} + (r_2 \times F_g)_{x'} + T_{gx'} &= I_{x'x'}\alpha_{x'} + (I_{z'z'} - I_{y'y'})\omega_{y'}\omega_{z'} \\ M_{Ay'} + (r_1 \times F_A)_{y'} + (r_2 \times F_g)_{y'} + T_{gy'} &= I_{y'y'}\alpha_{y'} + (I_{x'x'} - I_{z'z'})\omega_{z'}\omega_{x'} \\ M_{Az'} + (r_1 \times F_A)_{z'} + (r_2 \times F_g)_{z'} + T_{gz'} &= I_{z'z'}\alpha_{z'} + (I_{y'y'} - I_{x'x'})\omega_{x'}\omega_{y'} \end{aligned}$$

式中  $(r_1 \times F_A)_{x'}$ —— $r_1 \times F_A$  的  $x'$  分量;

$(r_2 \times F_g)_{x'}$ —— $r_2 \times F_g$  的  $x'$  分量, 以此类推。

将所需的数值代入，并简化，可得

$$\mathbf{M}_{A'} = 1.50\mathbf{i}' + 15.9\mathbf{j}' - 1.16\mathbf{k}' \text{ N} \cdot \text{m}$$

再将其转换到实验室固定坐标系下，即

$$\mathbf{M}_A = 2.54\mathbf{i} + 15.9\mathbf{j} - 0.037\mathbf{k} \text{ N} \cdot \text{m}$$

将踝关节力矩与踝关节角速度相乘，可得踝关节功率

$$\begin{aligned}\mathbf{M}_A \cdot \boldsymbol{\omega}_{\text{ankle}} &= (2.54\mathbf{i} + 15.9\mathbf{j} - 0.037\mathbf{k} \text{ N} \cdot \text{m}) \cdot (-0.000759\mathbf{i} + 1.47\mathbf{j} + 0.0106\mathbf{k} \text{ rad/s}) \\ &= 23.3 \text{ W}\end{aligned}$$

即

$$\begin{aligned}\mathbf{M}_{A'} \cdot \boldsymbol{\omega}_{\text{ankle}'} &= (1.50\mathbf{i}' + 15.9\mathbf{j}' - 1.16\mathbf{k}' \text{ N} \cdot \text{m}) \cdot (-0.0946\mathbf{i}' + 1.46\mathbf{j}' - 0.140\mathbf{k}' \text{ rad/s}) \\ &= 23.3 \text{ W}\end{aligned}$$

该数值就是踝关节所贡献的步行推进力的定量测定。

#### 4.6.4 临床步态数据的含义

临床步态分析中，用于确定治疗方案的信息和数据不仅包括上述定量数据，即躯干、骨盆、髋关节、膝关节、踝关节和脚等肢体段的角位移等三维运动学数据，以及髋关节、膝关节和踝关节的力矩和功率等三维动力学数据，还包括以下信息：

- 临床体检数据；
- 病人行走的双平面视频记录数据；
- 步幅长度和行走速度等空间和时间上的步态数据；
- 某些下肢肌肉的肌电图记录（Electromyographic, EMG）。

一般，步态数据的分析工作包括畸变的识别、畸变病因的确定、治疗方案的推荐等。结合多方面的数据，通过分析各组数据之间的相关性，化解数据中明显的冲突，就可以形成病人步行能力的正确诊断。病人自身的补偿机制会在某种程度上帮助病人克服步行障碍，医疗组人员根据经验可以将导致病人步行困难的步态异常与补偿机制区分开来。

下面举例说明这些分析过程。图 4.31 ~ 图 4.33 所示是一位患有双侧痉挛性脑瘫的 9 岁女孩的步态测量数据。脑性瘫痪（Cerebral palsy）是一种非进行性脑损伤引起的神经肌肉疾病，常由出生时或出生不久发生的脑损伤引起。最常见的是大脑皮层运动神经受损，使神经对于肌肉的控制减弱，引起肢体各组肌肉运动的不协调或不平衡，如活动过度、活动失调和肌肉痉挛等。治疗方法有理疗、佩戴支具等矫形器、服用肉毒毒素（botulinus toxin）和巴氯芬（Baclofen）等缓解痉挛的药物以及施行整形手术和神经外科手术等。

图 4.31 的病人矢状面左侧运动学数据展示了其髋关节和膝关节的重要信息。在支撑期（stance phase），即步态周期的 0 ~ 60%，在脚接触地面的整个过程中，她的膝关节被有力地“锁”在一个过度弯曲的位置；在摆动期（swing phase），即步态周期的 60% ~ 100%，膝关节的活动仍然受到限制，摆动时膝关节弯曲的最大幅度减小，弯曲时间也推迟。其髋关节的活动也小于正常幅度，在支撑期的末期大腿没能完全伸展。而

骨盆的活动幅度却明显大于正常人，支撑期早期的骨盆前倾与大腿后伸同时发生，摆动期的骨盆后倾与大腿前屈同时发生。

这些数据偏离正常状态的情况显示了这类病人常见的神经肌肉障碍。临床体检中观察到不协调的腿腱紧绷以及图 4.32 肌电图所示的支撑期的肌肉活动不协调，使得膝关节不能正常伸展。这种膝关节弯曲的姿势也阻碍了大腿的正常伸展（临床体检中也观察到了大腿伸肌衰弱的现象）。步行时的支撑期需要大腿后伸，这样在骨盆和上身前移时大腿就可以旋转。为了弥补大腿后伸的不足，她在支撑期的早期就旋转骨盆，以增加大腿的移动幅度。骨盆倾斜角曲线上的两个波峰表明在一定程度上双侧都存在这个问题。

在摆动期，膝关节弯曲受限，再加上踝关节的跖屈姿势，使得足部离地困难。图 4.32 肌电图显示的股直肌在摆动期中期的过度活动说明该肌肉处于痉挛状态，股直肌是膝关节伸肌之一，它的痉挛阻碍了膝关节的弯曲。而且，摆动期后期踝关节的跖屈肌（主要是腓肠肌）的活动增强，超过了胫前肌，导致踝关节处于跖屈位，形成足下垂畸形。

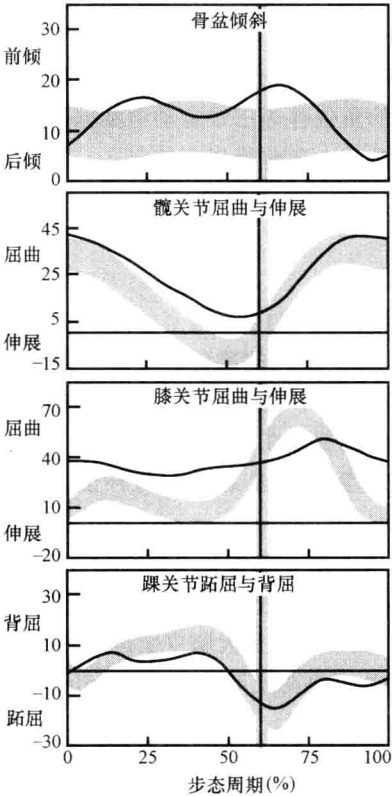


图 4.31 某 9 岁双侧痉挛性脑瘫患儿的

矢状面左侧运动学数据（实线）

注：灰色条带表示正常儿童步态数据的正、负一个标准差范围。图中垂直实线将整个步态周期分为 0 ~ 60% 的支撑期和 60% ~ 100% 的摆动期。

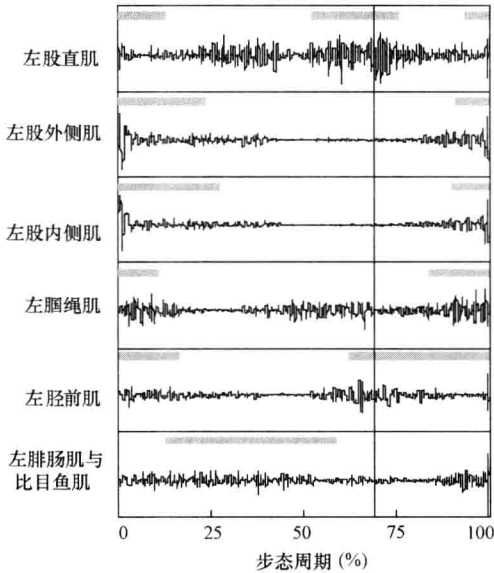


图 4.32 图 4.31 所示脑瘫患儿的肌电图

注：图中所示分别是左下肢 6 块肌肉的肌电图信号。横坐标是步态周期。灰色条带表示正常肌肉的平均激活时间。

图 4.33 所示的病人矢状面关节动力学数据显示了左右两侧活动的不对称。值得注意的是，她在利用右膝关节和右大腿补偿左侧的某些功能障碍。特别是从支撑期开始逐渐增加的右膝关节弯曲（图中第一行中间）一直延续到摆动期，这种弯曲有助于对侧肢体在摆动期的前移。这种补偿的一个潜在不利后果是支撑期后期膝关节伸肌的力矩加大，从而增加了髌骨-股骨的负荷，其长期的作用结果难以预料。髌关节处产生的不对称的功率作用也显而易见，右下肢（特别是连接在右侧髌部上的肌肉）在支撑期早期产生的功率很大，它提供的力拖动身体前移并抬高重心。而且，在足尖离地时髌部大而快的功率发生加速了肢体进入摆动期，并且，不顾膝关节伸肌力矩的增加，促使膝关节弯曲。重要的是要注意双侧跖屈肌的痉挛反应，踝关节的过早发力以及临床牵张反射检查中的痉挛现象都可证实这一点。女孩向前行走时对大腿部位肌肉的利用远远超过踝关节的跖屈肌，这一点右侧比左侧更明显。

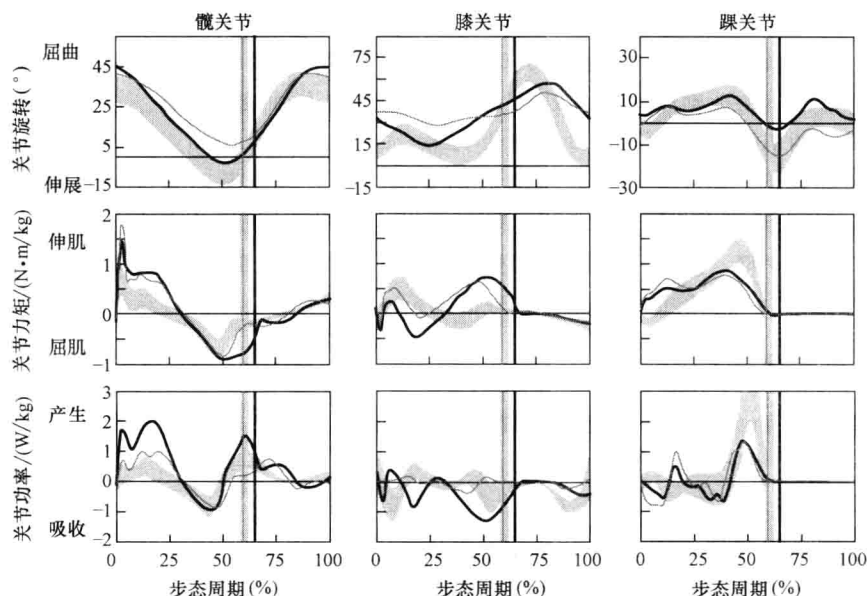


图 4.33 图 4.31 所示脑瘫患儿的矢状面关节动力学数据

注：图中分别是髌关节、膝关节和踝关节的旋转角、力矩和功率随步态周期变化的曲线。粗、细实线分别表示右侧和左侧数据。灰色条带表示正常人群步态数据的正、负一个标准差范围。

从这个简略的病例分析可见，步态分析可以识别病人步行的异常，揭示其中的生物力学病因。上述分析中讨论的是神经肌肉疾病对于病人矢状面上步态数据的某些影响。临床步态分析还可以通过有关静态骨骼旋转畸形资料来揭示步态异常。另外，考察支具、手术等的治疗效果对于临床研究也很有用。不过，应该注意，虽然工程师和应用物理学家早在 100 年之前就已经开始加入这个领域，但是，目前这个领域仍然存在重大机遇，临床步态分析的生物力学方法和工具仍需改进，许多东西还需要研究。



## 4.7 心血管动力学

心血管系统的动力学是力学在人体器官系统中的一个应用，也称为血液动力学（hemodynamics），它研究血液的流动。从功能上看，心血管系统由复杂的泵（即心脏）、复杂的液体（即血液）和复杂的管道网络（即血管）构成。心脏产生血压，使血液能够流过血管。心血管动力学主要研究心血管系统的血压、容积和血流的测量和计算。心血管系统非常复杂，很精致，要用各种力学模型，特别是数学方程表示的模型，才能分析和综合实验数据，剖析和认识其中的生理机制，最终开发出新的心血管功能临床检测方法，用于指导临床治疗。

本书第3章已经介绍过，心脏是一个包含4个腔室的泵，它与体循环和肺循环两套血管系统相连。心泵的运行由电活动触发，受到神经系统和激素系统的调控。心脏的单向阀门（即瓣膜）控制血流方向。人体的总血容量约为5.2L。左心室是心脏最强的腔室，静息状态下每分钟能够泵血5L左右，几乎接近人体血液的总量。心脏每搏动一次，左心室泵血约70mL，每分钟平均心搏约72次。体育锻炼时，左心室的输出量可以增加至静息时的6倍，心率可以超过静息时的2倍。整个血液循环系统的血管总长约为100 000km，大约可以绕地球2.5周。静息时左心室产生的机械功率约为1.7W，剧烈运动时可以增加3倍。还有一个有趣的数字是哺乳动物一生的心搏总数大约为10亿次（Vogel, 1992）。大动物的心率较慢，寿命较长；而小动物心率快，寿命也较短。

### 4.7.1 血液流变学

血液由血浆（plasma）以及其中的细胞组成。血液中的细胞包括红细胞（erythrocyte）、白细胞（leukocyte）和血小板（platelet）。如图4.34所示，流体与固体在力学上的区别是：固体能够通过内部产生的反作用力（图中虚线箭头表示）抗衡外加的两个平行且反向的剪切作用力（图中实线箭头表示）；而流体却不能抗衡这种剪切力的作用，只能流动。

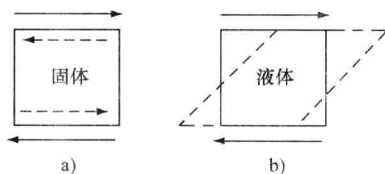


图4.34 流体与固体的力学区别

外加的剪切力会产生剪应力（即单位面积上的作用力），流体在剪应力作用下的流动可以用剪应变率（shear strain rate）定量描述。一般，流体受到的推力越大，也就是剪应力越大，流体流动就越快，剪应变率也越高。剪应力 $\tau$ 与剪应变率 $\dot{\gamma}$ 之间的关系用流体的黏度 $\mu$ （viscosity）来表示，在生物医学应用中常将黏度记为 $\eta$ 。如图4.35所示，水和空气等很多流体的黏度都是常数，具有这种线性特性的流体被称为牛顿流体。具有非线性剪应力与剪应变率关系的流体则称为非牛顿流体。例如，黏度会随着剪应变率的增加而增加的流体称为胀塑性流体（dilatant），它属于非牛顿流体。Dow Corning 3179 化合物就是一种胀塑

性流体，它是硅聚合物，俗称“橡皮泥”。如果慢慢地拉伸橡皮泥，它就会伸长，产生塑性变形；如果快速拉它，那么，橡皮泥就会像固体一样断裂。另外，剪应变率较大、黏度较小的流体被称为假塑性流体（pseudo-plastic）。例如，防滴乳胶涂料用刷子或滚筒涂刷时（即剪应力作用下）会流动，但涂完之后就不流动了。

生物流体一般都是非牛顿流体。但血浆属于牛顿流体，其物理特性与水很相似。全血则像 Bingham 塑性流体，它在某个大于屈服应力的非零剪应力作用下才会开始流动。血液的特性常用如下幂律函数表示：

$$\tau = k \dot{\gamma}^n \quad (4.57)$$

式中的  $k$  和  $n$  为常数，它们可以通过  $\ln \tau$  与  $\ln \dot{\gamma}$  之间的线性拟合来确定，即

$$\ln \tau = \ln k + n \ln \dot{\gamma}$$

另一个常用的血液黏度方程是 Casson 方程：

$$\tau^{\frac{1}{2}} = \tau_0^{\frac{1}{2}} + k \dot{\gamma}^{\frac{1}{2}} \quad (4.58)$$

由 Casson 曲线可以测得血液的屈服应力  $\tau_0$ 。流变学主要研究具有复杂黏性的流体的变形和流动。有关生物流体流变学的教科书有 Fournier 的著作《生物医学工程中的基本传输现象》（Basic Transport Phenomena in Biomedical Engineering）（见参考文献 [9]）和 Chandran 等人的著作《生物流体力学》（Biofluid Mechanics）（见参考文献 [4]）。

#### 例 4.13

以下是某个血液样本的流变学测量数据：

剪应变率/(1/s)	剪应力/(dyn/cm <sup>2</sup> ) <sup>⊖</sup>
1.5	12.5
2.0	16.0
3.2	25.2
6.5	40.0
11.5	62.0
16.0	80.5
25.0	120
50.0	140
100	475

⊖ 1 dyn/cm<sup>2</sup> = 0.1 Pa。

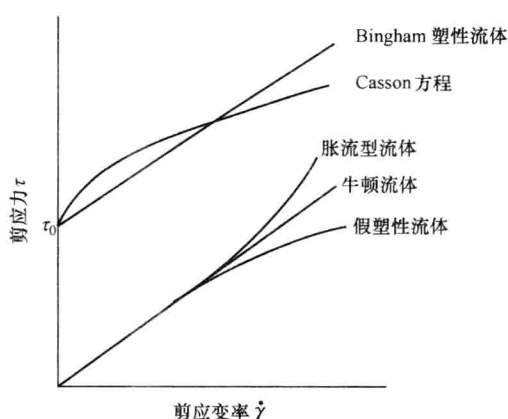


图 4.35 流体的剪应力与剪应变率之间的关系  
注：牛顿流体的黏度为常数，其剪应力与剪应变率之间呈线性关系。而非牛顿流体的剪应力与剪应变率之间呈非线性关系。血液的特性通常用 Casson 方程描述，不过在许多情况下也用牛顿流体来描述。

请编写 MATLAB 程序，用一个幂律函数拟合这些数据。

解：

MATLAB 程序如下：

```
% Power Law Fit of Blood Data
%
% Store shear strain rate and stress data in arrays
alpha = [ 1.5, 2, 3.2, 6.5, 11.5, 16, 25, 50, 100 ];
T = [ 12.5, 16, 25.2, 40, 62, 80.5, 120, 240, 475 ];
% Take natural logs of both
x = log( alpha );
y = log( T );
% Use MATLAB's polyfit function to do linear curve fit
coeff = polyfit( x, y, 1 )
% Write curve fit coefficients as a new x-y function for plotting
x1 = [ 0; 0.01; 5 ]
y1 = polyval( coeff, x1 )
% Plot the original data as 'o' points
plot( x, y, 'o' )
hold on
% Overlay a plot of the curve-fit line
plot( x1, y1 )
grid on
title( ' Power Law Function' )
xlabel( ' ln Strain Rate [ ln(1/s) ]' )
ylabel( ' ln Shear Stress [ ln dyne/cm2 ]' )
```

该程序的输出结果如图 4.36 所示。■

当剪应变率很小时，血液所呈现的黏度要比预期的大，这是红细胞聚集的结果，这种聚集称为红细胞缢钱叠加（rouleaux），这时的剪应变率比一般大血管或者医学仪器中的剪应变率都要小。当剪应变率较高时，直径小于 1mm 的小血管中血液所呈现的黏度要比大血管中的黏度小，这种现象被称为 Fahraeus-Lindquist 效应，它是由血浆与红细胞之间的动力学作用造成的。除了这两种特殊情况以外，血液可以看做牛顿流体，

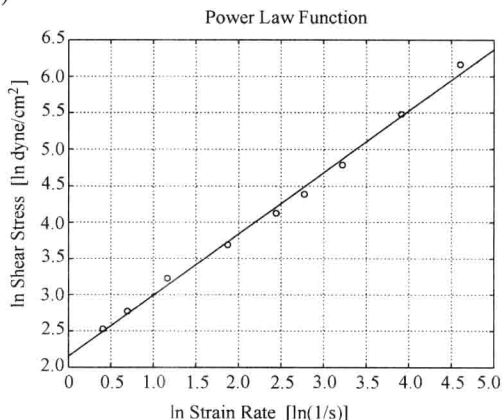


图 4.36 例 4.13 的 MATLAB 程序的输出结果  
(利用幂律函数拟合血液流变学数据)

这已被科学界广泛认可。下面我们将看到牛顿流体的假设可以大大简化人体循环系统的力学分析。

### 4.7.2 动脉血管

血管力学特性的研究具有悠长而复杂的历史,其中所涉及的多数高等数学和应用力学的知识都超出了本书的范围。本节将只概述其主要的发展过程,并介绍本章后面将用到的一种简化的动脉系统模型。有关更深入的内容,请读者参考下列教科书:Noordergraaf 的著作《循环系统动力学》(Circulatory System Dynamics)(见参考文献[21])、Milnor 的著作《血液动力学》(Hemodynamics)(见参考文献[15])和 Mazumdar 的著作《生物流体力学》(Biofluid Mechanics)(见参考文献[4])。有关基础流体力学的著作有 White 的《流体力学》(Fluid Mechanics)(见参考文献[30])。

为了研究心脏泵血功能的力学特性,需要计算心肌作用力和心肌活动引起的血压和血流;因此,心血管系统的通用运动方程一般都利用线动量守恒定律建立。将 Reynold 传输定理(即流体力学的守恒方程)应用于线性动量就可以产生如下适用于任何流体的通用运动方程:

$$\rho g - \nabla p + \nabla \cdot \tau_{ij} = \rho \frac{dV}{dt} \quad (4.59)$$

式中  $\rho$ ——流体密度,即质量/容积;

$g$ ——重力加速度;

$p$ ——压力;

$\tau_{ij}$ ——黏性力;

$V$ ——速度;

$\nabla$ ——微分算子,即  $\nabla = i \frac{\partial}{\partial x} + j \frac{\partial}{\partial y} + k \frac{\partial}{\partial z}$ 。

速度矢量  $V$  是空间位置和时间的函数,可以写为

$$V(x, y, z, t) = u(x, y, z, t)i + v(x, y, z, t)j + w(x, y, z, t)k$$

式中  $u$ 、 $v$  和  $w$ ——分别为  $x$ 、 $y$  和  $z$  方向的局部速度。

方程(4.59)由重力、压力、黏性力和时间变化4部分组成。注意,它是一个矢量方程,可以展开成如下  $x$ 、 $y$  和  $z$  轴3个分量的联立方程:

$$\rho g_x - \frac{\partial p}{\partial x} + \frac{\partial \tau_{xx}}{\partial x} + \frac{\partial \tau_{yx}}{\partial y} + \frac{\partial \tau_{zx}}{\partial z} = \rho \left( \frac{\partial u}{\partial t} + u \frac{\partial u}{\partial x} + v \frac{\partial u}{\partial y} + w \frac{\partial u}{\partial z} \right) \quad (4.60)$$

$$\rho g_y - \frac{\partial p}{\partial y} + \frac{\partial \tau_{xy}}{\partial x} + \frac{\partial \tau_{yy}}{\partial y} + \frac{\partial \tau_{zy}}{\partial z} = \rho \left( \frac{\partial v}{\partial t} + u \frac{\partial v}{\partial x} + v \frac{\partial v}{\partial y} + w \frac{\partial v}{\partial z} \right) \quad (4.61)$$

$$\rho g_z - \frac{\partial p}{\partial z} + \frac{\partial \tau_{xz}}{\partial x} + \frac{\partial \tau_{yz}}{\partial y} + \frac{\partial \tau_{zz}}{\partial z} = \rho \left( \frac{\partial w}{\partial t} + u \frac{\partial w}{\partial x} + v \frac{\partial w}{\partial y} + w \frac{\partial w}{\partial z} \right) \quad (4.62)$$

该非线性偏微分方程组是个通用公式,但它不能直接求解,简化后才能求解。例如,如果忽略流体的黏性力,式(4.59)就可以简化为无黏性流体的欧拉方程。如果再将欧

拉方程沿流线积分,就产生了著名的伯努利方程 (Bernoulli equation),该方程描述了压力与流量之间的关系。在实际应用中,伯努利方程的无黏性条件 (也就是无摩擦力) 经常会被遗忘。

如果流体处于稳态流动状态,那么,式 (4.59) 右边的项就等于 0;另外,对于不可压缩流体,密度  $\rho$  为常数,这样,就可以大大简化包含  $\rho$  的重力项和时变项的积分。同理,对于牛顿流体,黏度  $\mu$  为常数,也可以简化方程。总之,虽然可以写出完整的通用流体运动方程,但是,求解这些方程很困难,必须进行某些合理的简化。

大血管中的血流可以假设为牛顿流体,并且是不可压缩流体。有了这两个假设,式 (4.59) 就可以简化为如下 Navier-Stokes 方程:

$$\rho g_x - \frac{\partial p}{\partial x} + \mu \left( \frac{\partial^2 u}{\partial x^2} + \frac{\partial^2 u}{\partial y^2} + \frac{\partial^2 u}{\partial z^2} \right) = \rho \frac{du}{dt} \quad (4.63)$$

$$\rho g_y - \frac{\partial p}{\partial y} + \mu \left( \frac{\partial^2 v}{\partial x^2} + \frac{\partial^2 v}{\partial y^2} + \frac{\partial^2 v}{\partial z^2} \right) = \rho \frac{dv}{dt} \quad (4.64)$$

$$\rho g_z - \frac{\partial p}{\partial z} + \mu \left( \frac{\partial^2 w}{\partial x^2} + \frac{\partial^2 w}{\partial y^2} + \frac{\partial^2 w}{\partial z^2} \right) = \rho \frac{dw}{dt} \quad (4.65)$$

对于血管,用柱坐标比用直角坐标方便,因此,可以将上式的坐标  $x$ 、 $y$  和  $z$  转化为柱坐标系的半径  $r$ 、角度  $\theta$  和轴向距离  $x$ 。如果流体为无旋流体,即  $\theta = 0$ ,那么,只要用两个 Navier-Stokes 方程就足够了,即

$$-\frac{dP}{dx} = \rho \left( \frac{dw}{dt} + u \frac{dw}{dr} + w \frac{dw}{dx} \right) - \mu \left( \frac{d^2 w}{dr^2} + \frac{1}{r} \frac{dw}{dr} + \frac{d^2 w}{dx^2} \right) \quad (4.66)$$

$$-\frac{dP}{dr} = \rho \left( \frac{du}{dt} + u \frac{du}{dr} + w \frac{du}{dx} \right) - \mu \left( \frac{d^2 u}{dr^2} + \frac{1}{r} \frac{du}{dr} + \frac{d^2 u}{dx^2} - \frac{u}{r^2} \right) \quad (4.67)$$

式中  $w$ ——纵向速度  $dx/dt$ ;

$u$ ——径向速度  $dr/dt$ 。

一般动脉血管模型还使用源自质量守恒定律的连续方程,即

$$\frac{du}{dr} + \frac{u}{r} + \frac{dw}{dx} = 0 \quad (4.68)$$

该方程表明:系统内存储质量的净变化率等于流入质量的净变化率减去流出质量的净变化率。

Noordergraaf 和同事们将式 (4.66) 的 Navier-Stokes 方程改写为

$$-\frac{dP}{dx} = RQ + L \frac{dQ}{dt} \quad (4.69)$$

式中  $P$ ——压力;

$Q$ ——容积流速;

$R$ ——等效阻抗;

$L$ ——流体惯量。

Navier-Stokes 方程描述了血管内血液的流体力学。由于动脉血管壁具有弹性,因此,血管壁也需要用运动方程来描述。描述血管壁的方程从简单发展到复杂,已经有线

性弹性方程、线性黏弹性方程和复杂黏弹性方程等（参见参考文献 [21]）。通用性最强的各向异性的线性动脉血管壁的力学方程用了 21 个参数（参见参考文献 [10]），其中多数参数从来没有测量过。Noordergraaf 等人将动脉血管分成许多小段，并将各小段血管的流体力学方程（即式 (4.69)）与连续方程结合起来。动脉血管壁的弹性使得血管会随着心脏的搏动产生扩张，从而导致血管内存储的血流量随时间发生变化。小段动脉血管的连续方程为

$$-\frac{dQ}{dx} = GP + C \frac{dP}{dt} \quad (4.70)$$

式中  $G$ ——血管壁的渗漏。

Noordergraaf 等人用式 (4.69) 和式 (4.70) 这对方程描述了 125 个小段组成的动脉系统，这是第一个充分描述动脉压和血流反射波的模型。在心血管脉动系统中，动脉分支导致了血压和血流的反射波。物理上的 RLC 电路及其连接形成的大输电网络线路中的电压和电流就好比是液流系统的压力和流量。如果不考虑脉动波反射等分布式动脉特性，那么，从心脏看出去的动脉系统的负荷就可以大为简化，就像电网可以简化成等效电路一样。

图 4.37 所示的三元件模型是应用最广泛的动脉负荷模型。由于该模型早在数字计算机发明之前就已经建立，因此，它是一个电路模型。其中， $Z_0$  表示主动脉的阻抗特性，实际上是主动脉血流阻力； $C_s$  是动脉的横向顺应性，即弹性系数的倒数，用于描述动脉系统的径向扩张能力，它相当于电容； $R_s$  是外周阻抗，用于描述主动脉下游循环系统动脉的血流阻力。这个简单电路模型描述了从左心室看出去的动脉系统的负荷。根据这个模型可以写出如下常微分方程，其左边表示与血压  $p(t)$  相关的项，右边则表示与血流  $Q(t)$  相关的项，它描述了  $p(t)$  与  $Q(t)$  之间的关系：

$$C_s \frac{dp}{dt} + \frac{1}{R_s} p(t) = Q(t) \left( 1 + \frac{Z_0}{R_s} \right) + Z_0 C_s \frac{dQ}{dt} \quad (4.71)$$

#### 例 4.14

请应用基本电路理论，从图 4.37 推导出微分方程 (4.71)。

解：

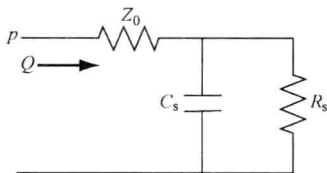


图 4.37 动脉系统负荷的等效电路模型  
(各个电路元件的含义见正文所述)

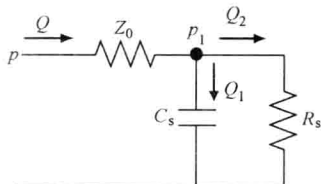


图 4.38 三元件动脉系统负荷  
的电路节点分析

如图 4.38 所示，根据基尔霍夫电流定律，可以写出电路中节点 1 的电流方程

$$Q = Q_1 + Q_2$$

而  $Q_1$  和  $Q_2$  分别为

$$Q_1 = C_s \frac{dp_1}{dt}$$

$$Q_2 = \frac{p_1}{R_s}$$

因此

$$Q = C_s \frac{dp_1}{dt} + \frac{p_1}{R_s}$$

根据欧姆定律, 有

$$p - p_1 = QZ_0$$

由上式求得  $p_1$ , 并将其代入  $Q$  的表达式, 可得

$$\begin{aligned} Q &= C_s \frac{d}{dt}(p - QZ_0) + \frac{1}{R_s}(p - QZ_0) \\ &= C_s \frac{dp}{dt} - Z_0 C_s \frac{dQ}{dt} + \frac{1}{R_s}p - \frac{Z_0}{R_s}Q \end{aligned}$$

将  $Q$  的项集中到等式右边, 并将  $p$  的项放到等式左边, 就得到式 (4.72)。 ■

### 4.7.3 心脏力学

心脏的力学特性, 特别是左心室, 通常用心室的弹性系数 (elastance) 来描述。心脏就像一个有弹性的口袋, 每次心跳都要收缩和舒张。弹性系数是衡量物体刚性的一个指标, 定义为压力对于容积的微分, 即

$$E_v = \frac{dp_v}{dV_v} \quad (4.72)$$

式中  $p_v$ ——心室血压;

$V_v$ ——心室容积;

$E_v$ ——心室的时变弹性系数。

可见,  $E_v$  是血压相对于容积的微分变化。这种关系在数学上很明确, 但是  $E_v$  的实际测量却很困难。

20 世纪 70 年代, Kennish 等人用以下心室血压与容积的有限变化量之比来估算式 (4.72) 的微分:

$$E_v = \frac{\Delta p_v}{\Delta V_v} \quad (4.73)$$

不过, 这种算法会产生实际不可能出现的结果。例如, 在动脉瓣打开之前的心脏等容收缩期, 左心室血压不断上升, 而此时容积却没有任何变化, 由于式 (4.73) 的分母为 0, 得到的弹性系数  $E_v$  就变成无穷大了。为了解决这个问题, Suga 和 Sagawa (参见参考文献 [28]) 不用微分也不用差分, 而是直接用血压与容积的比来估算弹性系数, 即

$$E_v(t) = \frac{p_v(t)}{V_v(t) - V_d} \quad (4.74)$$

式中  $V_d$ ——容积常数，它指固定不变的死腔容积。

此式中的其他项都可以随时间变化。

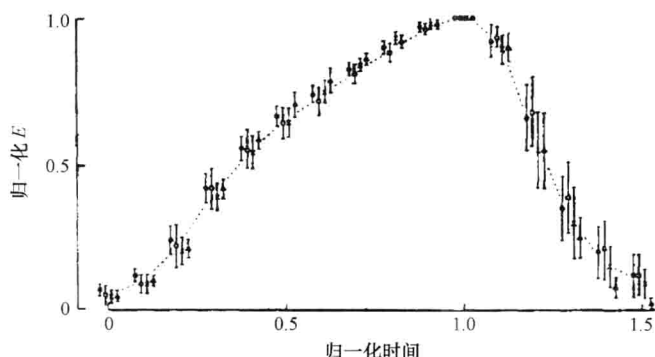


图 4.39 根据式 (4.74) 的定义测量并计算的心室时变弹性系数曲线

注：图中所示弹性曲线形状不对称。（摘自参考文献 [28]）

应用这种算法，从实验数据计算得到的心室弹性曲线如图 4.39 所示，图中的误差线表明曲线的方差很大。显然，图中所示  $E_v$  曲线的形状明显不对称，这与等容心搏实验的结果相矛盾。等容心搏是一种简化实验，实验时将主动脉结扎，不让左心室射血，从而形成等容心搏状态。由式 (4.74) 可知，在等容情况下（即  $V_v$  为常数），心室血压  $p_v$  的波形必定与弹性系数  $E_v$  相同，但是，该实验获得的等容血压曲线都是对称的，不像图 4.39 所示的  $E_v$  的非对称曲线。其原因在于具有射血心搏的  $E_v(t)$  不仅与心脏（即心室）的特性相关，还与循环系统（即血管）有关。因此，图 4.39 的时变弹性曲线实际上反映的是心脏（源）与血管系统（负荷）共同作用的结果，除了心室特性以外，它还受到血管特性的影响。而式 (4.74) 表示的算法并不能单独将心室特性与血管特性分离开来。因此，需要设计新的描述心脏力学特性的方法。

为了解决上述等容特性与射血特性的不一致，以及心脏与血管的耦合特性等问题，有人开发了一种新的左心室力学特性描述方法（见参考文献 [17, 24, 23]）。这种模型既简单又通用，并且与仅仅模拟生理行为的那些仿真不同，这个模型具有直接的生理学意义。如图 4.40 所示，该模型根据狗

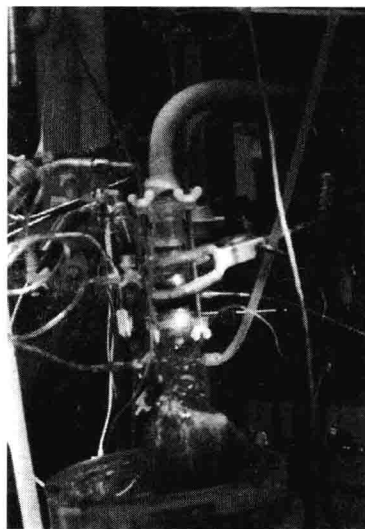


图 4.40 用于建立心脏生物力学新模型的狗离体左心室

（照片由比利时 Leuven 的 Jan Mulier 博士馈赠）



的离体心脏实验数据建立。实验开始时先将左心室充灌不同容积的初始血液, 形成各种不同的负荷状态, 然后刺激心脏, 使其搏动。同时, 测量并记录心室血压, 某些实验中还测量心室流量。

实验中测定等容心室血压曲线时, 每次先将离体左心室充灌一定的初始血容量 (即舒张末期容量), 然后夹住主动脉, 使血液不能流出。再刺激心脏, 使其搏动, 并检测和记录心室所产生的血压。充灌不同的初始血容量, 重复上述实验过程。就像 Otto Frank (1895) 所做的著名实验一样, 此时心室的等容血压直接与血液充灌量相关。图 4.41 显示了正常狗左心室测得的一组等容血压曲线。

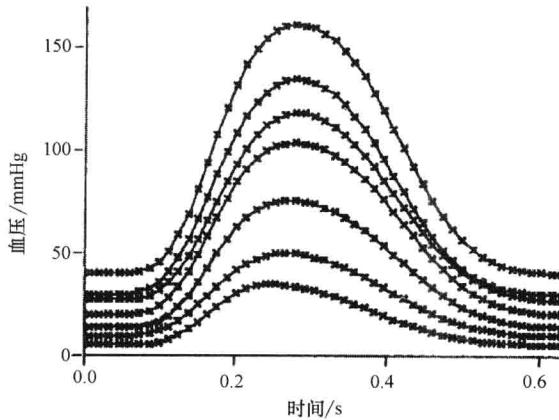


图 4.41 等容心室血压曲线

注: 每一条曲线的记录过程是: 左心室充灌一定的初始血容量之后, 夹住主动脉, 然后刺激心脏, 并测量心室血压随时间的变化。图中每条曲线对应于不同的初始血容量。

这些等容血压曲线可以用如下方程描述, 其中, 心室血压  $p_v$  是时间  $t$  和心室容积  $V_v$  的函数, 即

$$p_v = a(V_v - b)^2 + (cV_v - d) \left[ \frac{(1 - e^{-\left(\frac{t}{\tau_c}\right)^\alpha}) e^{-\left(\frac{t-t_b}{\tau_r}\right)^\alpha}}{(1 - e^{-\left(\frac{t_p}{\tau_c}\right)^\alpha}) e^{-\left(\frac{t_p-t_b}{\tau_r}\right)^\alpha}} \right] \quad (4.75)$$

该方程可以简写为

$$p_v(t, V_v) = a(V_v - b)^2 + (cV_v - d)f(t) \quad (4.76)$$

式中

$f(t)$ ——式 (4.76) 方括号中的激活函数;

$a$ 、 $b$ 、 $c$ 、 $d$ 、 $t_b$ 、 $t_p$ 、 $\tau_c$ 、 $\tau_r$  和  $\alpha$ ——常数, 由离体狗心室实验测得。

从生理学上看, 式 (4.76) 将心室描述成一个压力发生器, 其产生的压力随时间和容积而变化。其中, 包含常数  $a$  和  $b$  的项描述了心室的被动弹性特性, 包含常数  $c$  和  $d$  的项则描述了由心肌作用力所产生的心室的主动弹性特性。表 4.3 列出了狗心室实验中测得的该模型的典型参数, 表中右边还列出了经过修正之后用于描述人体左心室模型的参数 (见本章参考文献 [24, 25])。

表 4.3 动物实验中测得的心室模型参数以及修正之后用于人体心脏分析的模型参数

参数	狗(实验测得)	人(修正所得)
$a/(\text{mmHg/mL}^2)$	0.003	0.0007
$b/\text{mL}$	1.0	20.0
$c/(\text{mmHg/mL})$	3.0	2.5
$d/\text{mmHg}$	20.0	80.0
$\tau_c/\text{s}$	0.164	0.264
$t_p/\text{s}$	0.271	0.371
$\tau_r/\text{s}$	0.199	0.299
$t_b/\text{s}$	0.233	0.258
$\alpha$	2.88	2.88

例 4.15

请编写 MATLAB 程序，求解式 (4.75)，并画出人体心脏一个搏动周期的心室血压曲线  $p_v(t)$ 。假设初始心室容积为 150mL，其他参数值见表 4.3。

解：

以下 MATLAB 程序可以完成所需计算，并作出图 4.42 所示的曲线。

```
% ventricle. m
%
% MATLAB m-file to compute isovolumic pressure using Mulier ventricle model
%
% Initial conditions:
%
delt = 0.001;% The interation time step delta t
a = 7e - 4;
b = 20. ;
c = 2.5;
d = 80. ;
tc = 0.264;
tp = 0.371;
tr = 0.299;
tb = 0.258;
alpha = 2.88;
Vv0 = 150;% Initial( end-diastolic) ventricular volume
%
% Compute an intermediate term denom
% to simplify computations:
%
```

```

denom = ( ( 1. - exp( - ( tp/tc)^alpha ) ) * exp( - ( ( tp - tb)/tr)^alpha ) ) ;
%
% Compute for initial time t = 0 (MATLAB does not allow 0 index)
%
t(1) = 0. ;
Vv(1) = Vv0 ;
edp = a * ( ( Vv0 - b ) )^2 ;
pdp = c * Vv0 - d ;
pp = pdp/denom ;
t1 = 0. ; % Time step for first exponential
t2 = 0. ; % Time step for second exponential
e1 = exp( - ( t1/tc)^alpha ) ;
e2 = exp( - ( t2/tr)^alpha ) ;
pv0 = edp + pp * ( ( 1. - e1 ) * e2 ) ;
%
% Main computation loop :
%
    for j = 2 : 1000
        t(j) = t(j - 1) + delt ;
        Vv(j) = Vv(j - 1) ;
    %
        edp = a * ( ( Vv(j) - b ) )^2 ;
        pdp = c * Vv(j) - d ;
        pp = pdp/denom ;
        t1 = t(j) ;
    % Second exponential begins at t > tb
        t2 = t(j) - tb ;
        if( t2 < 0. ) ;
            t2 = 0. ;
        end
        e1 = exp( - ( t1/tc)^alpha ) ;
        e2 = exp( - ( t2/tr)^alpha ) ;
        pv(j) = edp + pp * ( ( 1. - e1 ) * e2 ) ;
    end
%
plot( t, pv )
grid on

```

```
title('Isovolumic Ventricular Pressure')
xlabel('Time[s]')
ylabel('Ventricular Pressure Pv[mmHg]')
```

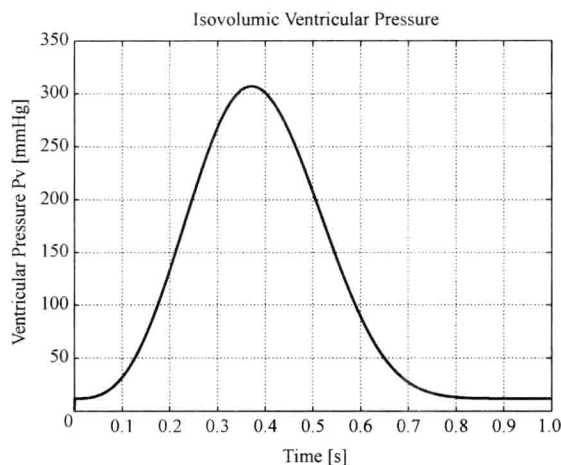


图 4.42 人体心脏一个搏动周期的等容心室血压曲线

#### 4.7.4 心血管系统建模仿真

将上述左心室模型与图 4.37 所示的简化动脉血管负荷模型连接起来, 就可以模拟射血过程。表 4.4 列出了正常动脉血管负荷模型的参数值。图 4.43 显示了正常狗左心室向正常动脉系统射血的过程。其中, 实线 (左侧纵坐标) 描述了心室血压  $p_v$  和主动脉根部血压随时间的变化。临床中动脉血压用两个数据表示, 如 “110/60 mmHg” 分别对应于主动脉根部脉动血压的最大值和最小值, 图 4.43 中这两个值约为 120/65 mmHg。图中虚线 (右侧纵坐标) 表示心室输出流量。心室舒张末期的充盈容积为 45 mL, 每次搏动输出的血量 (即每搏输出量) 为 30 mL, 其射血分数 (即每搏输出量与心室舒张末期容积的百分比) 为 66%, 对于狗这样大小的动物来说, 这是正常值。

表 4.4 动脉系统模型元件的典型参数

模型元件	符号	典型数值
主动脉阻抗	$Z_0$	0.1 mmHg · s/mL
系统动脉顺应性	$C_s$	1.5 mL/mmHg
外周动脉阻抗	$R_s$	1.0 mmHg · s/mL

式 (4.75) 表示的心室模型还可以与病变的动脉系统相连。例如, 可以将动脉系统的外周阻抗  $R_s$  增加一倍, 用于模拟动脉血管的缩窄, 其计算结果如图 4.44 所示。不出所料, 外周阻抗的增加使动脉血压上升 (图中升至 140/95 mmHg), 从而阻碍了心室的射血, 使得射血分数降至 50%。另外, 利用这个模型还可以进行动脉刚度变化等模拟试验。可见, 该模型可以方便地用于阐明心脏的病理以及血管的病变。式 (4.75)

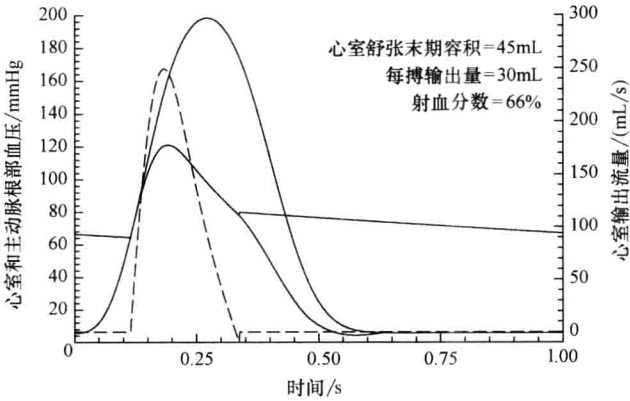


图 4.43 应用式 (4.75) 模型计算的正常狗左心室向正常动脉循环系统泵血时心室血压和动脉根部血压（峰较矮的实线，左纵坐标）以及心室输出流量（虚线，右纵坐标）的曲线注：其中，峰较高的实线曲线是动脉血管夹住时的等容血压曲线。心室的初始充盈容积为 45mL，每搏输出量为 30mL，射血分数为 66%，这些值都属于正常范围。

的心室方程由一组实验测定的参数定义，它可以描述很多种血液动力学实验现象（见本章参考文献 [23, 24]）。

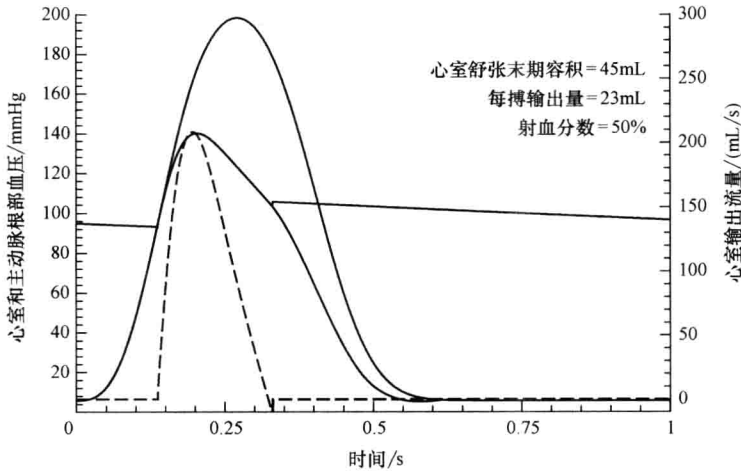


图 4.44 正常狗的心室模型（与图 4.43 相同）与外周阻抗增加一倍的动脉模型相连时的计算结果

注：不出所料，血管缩窄产生的阻抗增加导致了动脉血压的增加，射血分数从 66% 降为 50%。

虽然上述式 (4.73) 和式 (4.74) 定义的心室弹性系数的单位与式 (4.72) 中的定义相同，但它们的数学意义不同。式 (4.75) 将心室血压定义为一个解析函数，于是，根据式 (4.72) 的定义，其心室弹性系数  $E_v$ （此处也就是  $\partial p_v / \partial V_v$ ）可以计算如下：

$$E_v(t, V_v) = 2a(V_v - b) + c \left[ \frac{(1 - e^{-\left(\frac{t}{\tau_c}\right)^a}) e^{-\left(\frac{t-t_b}{\tau_r}\right)^a}}{(1 - e^{-\left(\frac{t_p}{\tau_c}\right)^a}) e^{-\left(\frac{t_p-t_b}{\tau_r}\right)^a}} \right] \quad (4.77)$$

也就是

$$E_v(t, V_v) = 2a(V_v - b) + cf(t) \quad (4.78)$$

利用这个新的解析方程就可以计算各种不同心室和动脉血管状态下的时变弹性系数  $E_v$ ，包括正常和病变的心室和动脉系统，以及等容心搏和射血心搏等。图 4.45 所示就是根据式 (4.77) 计算得到的一组心室弹性系数曲线，图中各条曲线之间的差异相当小，并且聚集成两组；一组属于正常组，另一组则是心脏衰竭组。由此可见，这种新的弹性系数测定法可以有效地单独评价心脏的健康状况，与血管的病变分开。

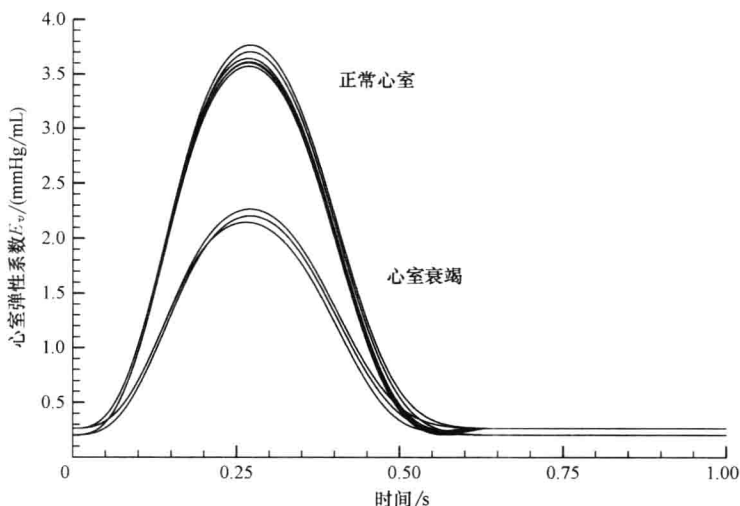


图 4.45 应用新的解析方程 (4.77) 计算得到的心室弹性系数曲线

注：这种方法计算的时变弹性系数可以反映心室的收缩功能，即泵血能力。

本书第 3 章概述了人体的循环系统，它是通过血液的全身循环来输送物质和热量的一个系统。图 3.18 显示了人体心脏的 4 个腔室、大血管以及腔室与血管之间的心脏瓣膜。从力学上来看，心脏腔室收缩时产生压力，迫使血液流向下游血管。下面我们详细介绍心脏最重要的腔室——左心室的收缩过程。如图 4.46 所示是狗的离体左心室血压和主动脉根部血压（上图）、左心室容积（中图）和左心室血流量（下图）随时间的变化曲线。图上方的数字 1~4 以及垂直虚线表示心动周期的四大时相。时间点“1”表示充盈期结束，二尖瓣关闭，心室开始进入等容收缩期，心室的容积保持不变。时间点“2”表示心室血压超过主动脉根部血压，主动脉瓣打开，开始射血。心脏瓣膜是被动的，血流经过瓣膜的方向完全取决于瓣膜两侧的压力之差。当心室血压下降至低于主动脉血压时，主动脉瓣关闭，射血结束，这就是时间点“3”。时间点“1”的起始心室容积被称为舒张末期容积（End-Diastolic Volume, EDV），而射血结束时（即时间点“3”）的容积被称为收缩末期容积（End-Systolic Volume, ESV）。到了时间点“4”，心

室血压下降至低于左心房的血压（图中没有显示），于是，二尖瓣打开，心室得到充盈，准备进入下一个心动周期。EDV 与 ESV 之差（即  $EDV - ESV$ ）被称为每次搏动输出量（Stroke Volume, SV），它是心脏一次搏动所泵出的血量。SV 与 EDV 之比是心脏的射血分数（Ejection Fraction, EF），本例的 EF 值约为 50%。临床上血压测量是指最大动脉压和最小动脉压，本例约为 125/75mmHg。

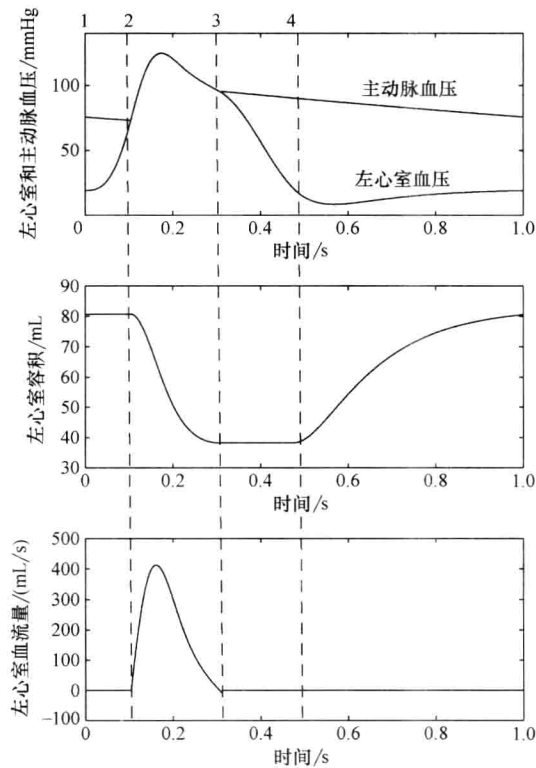


图 4.46 一个心动周期各个时相左心室的典型参数变化

注：上、中、下分别为狗的离体左心室血压和主动脉根部血压曲线、左心室容积曲线以及左心室血流量曲线。图上方的数字 1~4 表示心动周期的四大时相（详见正文）。

临床上常应用血压—容积环来评价心脏的功能。如图 4.47 所示，PV 环是心室血压随心室容积变化的曲线。此图使用的数据与图 4.46 一样，图中标出了上述心动周期的四大时相。“1”与“2”之间是等容收缩期，“2”与“3”之间是射血期，“3”与“4”之间是等容舒张期，“4”与“1”之间是充盈期。图中还标出了 EDV、ESV 和 SV 容积数据。PV 环所包围的面积就是左心室所做的机械功。

图 4.48 所示是利用人体的心室和动脉负荷数据，使用通用的左心室血压模型〔即式 (4.75)〕和三元件动脉负荷模型（见图 4.37），计算获得的左心室 PV 环。左心室由恒压血源充盈，图中显示了正常 PV 环（位于中间的曲线）以及充盈血压分别增、减 10% 时的 PV 环，便于对比。可见，充盈血压的变化直接影响心室的血液充盈量。此充

盈量被称为预负荷。每搏输出量随着预负荷的增加而增加,反之亦然。心室充盈量增大,舒张末期容积就向右移动。根据 Frank-Starling 机制,此时 PV 环的面积也增加。实际上,充盈量的增加使得心肌受到更大的拉伸,从而心肌产生的收缩力更强。因为,根据肌肉作用力与其长度之间的关系,肌肉能够产生的最大收缩力直接取决于肌肉纤维的长度。随着预负荷的增加,收缩末期容积 ESV 也稍向右移动。由于心室的射血量 SV 增加,心室做功时所必须克服的负荷也增加。

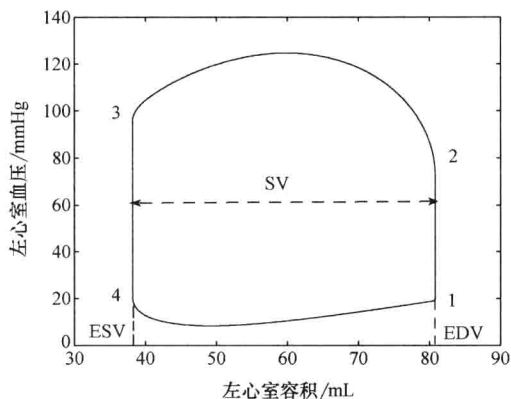


图 4.47 图 4.46 所示左心室数据的  
血压-容积环

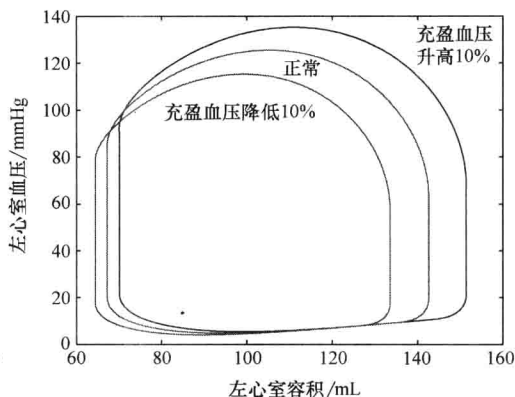


图 4.48 充盈血压变化时人体  
左心室 PV 环的仿真结果

注:左心室模型采用式 (4.75), 动脉负荷模型见图 4.37。位于中间的曲线是正常 PV 环, 另外 2 条曲线是充盈血压分别增、减 10% 时的 PV 环。

图 4.49 所示是心室保持不变, 主动脉的后负荷改变时的 PV 环变化。后负荷是心室射血时需要克服的负荷, 改变主动脉的外周阻抗  $R_s$  的值, 就可以改变后负荷。随着后负荷的增加, SV 减少。这是由于肌肉的作用力与速度之间存在联系, 较高的外周阻抗会降低肌肉缩短的速度, 因而心室射血的时间就减少。由图 4.49 可见, 随着后负荷的增加, 心室的 EDV 稍向右移。这是由于 SV 减少, 下一次心搏之前心室的剩余血量增加。在真实的人体心脏系统中, 这种效果会更明显。下面将模型扩展为整个心血管系统的模型来考察这种效果。

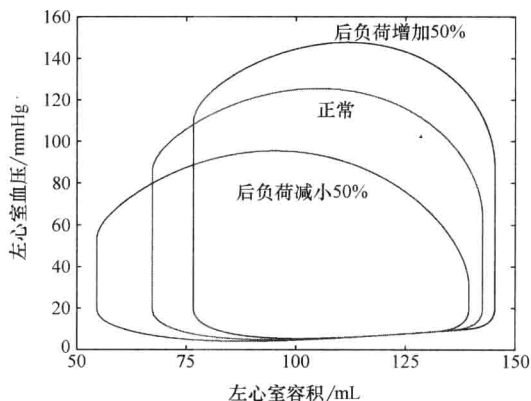


图 4.49 后负荷变化时人体左心室 PV 环的仿真结果

如图 4.50 所示, 将式 (4.75) 注:左心室模型采用式 (4.75), 动脉负荷模型见图 4.37。通过的左心室模型用于人体心脏的 4 调节主动脉的外周阻抗  $R_s$  来改变后负荷的大小。



个腔室（参见本章参考文献 [23, 25]），构成循环系统的整体模型。该模型仅用几组方程和一些参数就描述了心血管生理的主要特性。血管特性的变化可以单独研究，也可以与心脏特性的变化合起来研究。心房等其他循环系统参数的变化也可以研究。该模型的模块化形式便于扩展后应用于循环系统特定部分的进一步深入研究。

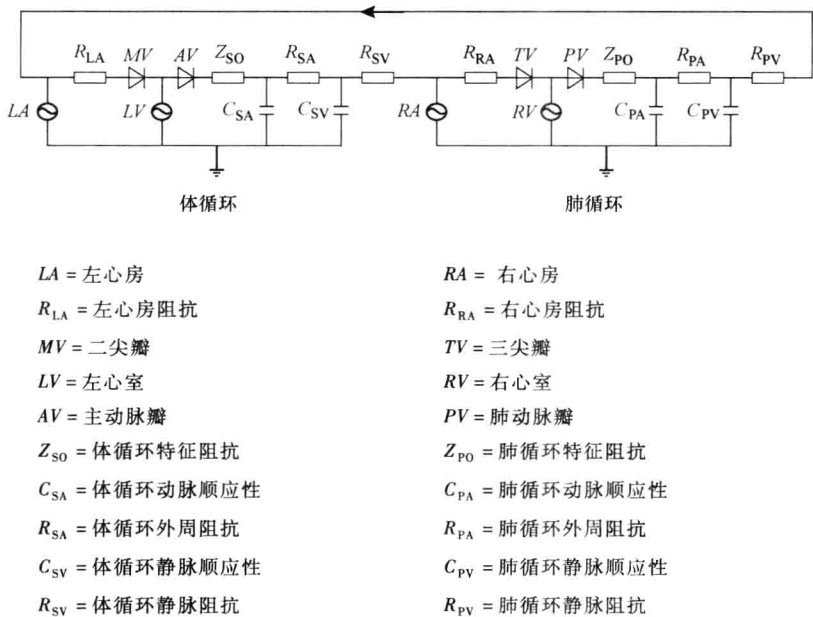


图 4.50 应用狗左心室模型描述整个人体心血管系统的血液动力学特性  
(摘自本章参考文献 [25])

如图 4.51 所示是 3 种不同预负荷下，完整循环系统模型中左心室 PV 环的仿真结果。正常的总血容量设为 5L，分别增、减 10% 作为预负荷的变化量。与前述离体左心室模型相似，根据 Frank-Starling 机制，随着预负荷的增加，SV 也增加。这是由于预负荷的增加引起 ESV 的增加，进而使得 SV 增加。在真实人体循环系统中，中心静脉压升高（如交感神经性的静脉狭窄引起静脉顺应性减小时），或者静脉回流增加（如人体倒立时重力的作用下），都会产生心室预负荷的增加。人体总血容量的变化，例如，大出血直接引发的血容量减少，或者肾脏的调控作用改变了血容量，这些因素也都会导致心室预负荷的变化。

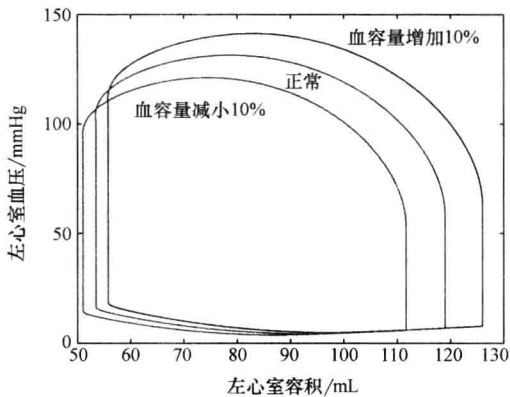


图 4.51 预负荷变化时图 4.50 所示完整人体循环系统模型的左心室 PV 环的仿真结果

注：正常的总血容量设为 5L，分别增、减 10% 作为预负荷的变化量。

图 4.52 所示是 3 种不同后负荷下,完整循环系统模型中左心室 PV 环的仿真结果。通过改变体循环和肺循环的外周阻抗  $R_{SA}$  和  $R_{PA}$  来调节后负荷的大小。SV 的变化与外周阻抗的变化相反,但是,通过 Frank-Starling 机制可以获得部分补偿。当后负荷增加时,减小的 SV 导致后续心搏的心室充盈增加,这种 EDV 的增加部分纠正了 SV 的减小。与离体左心室模型的仿真结果相比较(见图 4.49),在整体循环系统模型中这种补偿机制的作用更明显。在真实人体中,后负荷增加的原因通常是体循环的血管阻抗增加引起主动脉压上升。例如,慢性高血压引起动脉血管直径减小时,就会导致血管阻抗的增加。主动脉瓣狭窄(也就是瓣膜孔径变小)也会引起后负荷增加。

使用血管扩张药物治疗心脏病时,预负荷与后负荷之间会产生相互作用。这种药物可以减小后负荷,根据肌肉的作用力与速度之间的关系,药物会提高心室的射血速度,从而增加 SV。随着 SV 的增加,后续心搏周期启动时心室的剩余血容量较少,但是,这种 EDV 的减少量要小于 ESV 的减少量,因此,SV 获得净增量。

改变式(4.75)模型中参数  $c$  的大小就可以调节心脏的收缩作用。如图 4.53 所示是通过调节心脏 4 个腔室的收缩参数  $c$  来改变心肌收缩力后左心室 PV 环的仿真结果。可见,心肌收缩力的增加会引起 SV 的增加,ESV 减小。EDV 也稍有减小,这是因为强有力的收缩使得心室射血后的剩余容积减小,后续心搏的起始 EDV 也就减小。肌肉的收缩力由自主神经调控,应激反应中所谓的“战或逃”就是这种调控作用之一。循环系统中的肾上腺素等儿茶酚胺类物质的交感神经肾上腺素作用可以增强这种调控。临床上用于刺激心脏的急性和慢性心脏病肌力药物有:异羟基洋地黄毒苷,  $\beta$

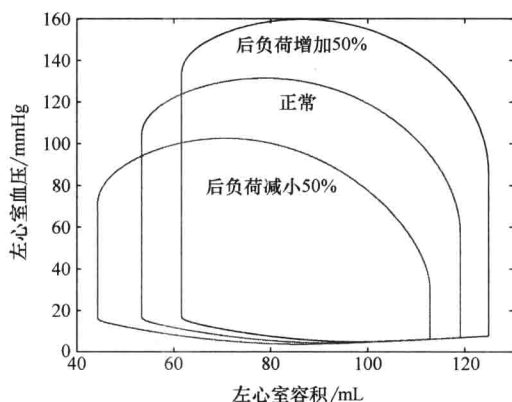


图 4.52 后负荷变化时图 4.50 所示完整人体循环系统模型的左心室 PV 环的仿真结果

注:通过改变体循环和肺循环的外周阻抗  $R_{SA}$  和  $R_{PA}$  来调节后负荷的大小。

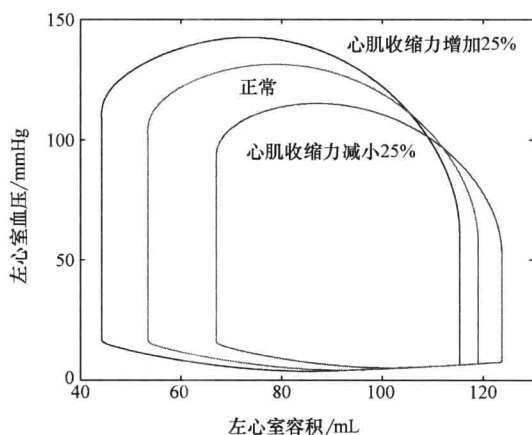


图 4.53 心肌收缩力变化时图 4.50 所示完整人体循环系统模型的左心室 PV 环的仿真结果

注:通过改变式(4.75)中收缩参数  $c$  的值来改变心肌收缩力的大小,心脏每个腔室的心肌收缩力都变化  $\pm 25\%$ 。

肾上腺素受体激动剂多巴胺、多巴酚丁胺、肾上腺素和去甲肾上腺素等。

利用完整的循环系统模型可以研究左心控制的体循环与右心控制的肺循环之间的相互作用。图 4.54 显示了正常心脏向正常循环系统射血时左、右心室的 PV 环 (实线), 不出所料, 右心室的 PV 环比左心室小很多。图中还显示了左心室衰竭时的左、右心室的 PV 环 (虚线)。可见, 此时左心室 PV 环明显减小, 且移向容积坐标轴的右侧。由于心室衰弱时射血量减少, 滞留在心脏中的血液增加, 下一次搏动时心脏中的血液量随之增加, 因此, 图中舒张末期容积 EDV 从 119mL 增加到了 192mL。根据 Starling 定律, 增加心室的 EDV 可以增加心脏射血的压力, 因此, 这种心室充盈量的增加可以部分补偿心室射血量的减少。

表 4.5 列出的数据反映了减小左心室和右心室参数  $c$  的值所产生的心脏充盈不足。如果将左心室的收缩力减小到正常值的  $1/3$ , 则左心室的射血分数就会从 55% 降为 27%, 并且主动脉根部血压会从 131/58mmHg 降到 102/47mmHg, 而左心室每次搏动输出量则从 66mL 减少到 53mL。根据 Starling 定律, 此时左心室的舒张末期容积 EDV 增加到 192mL, 因此, 每次搏动输出量 SV 得到了部分补偿, 其下降量不是太大。减少左心室收缩力与左心充盈不足的效果一样, 因此, 肺静脉容积从 1540mL 增加到 2057mL (表中没有显示此数据), 表明肺部处于充血状态。

当右心室收缩力减为正常值的一半时, 也会产生类似的变化。如表 4.5 所示, 右心室的射血分数从 55% 降为 37%, 并且肺动脉根部血压从 54/18mmHg 降到 40/15mmHg, 而右心室每次搏动输出量从 66mL 减少到 56mL, 右心室舒张末期容积则从 119mL 增加到 153mL。相反, 如果使用影响肌肉收缩力的药物, 可能使心室的  $c$  值增大。这里没有给出详细数据, 不过, 利用此心脏模型可以计算心搏周期任意时刻的血压、流量和容积, 它们都是时间函数。

总之, 左心室可以看做一个压力发生器。利用实验测得的几个参数就足以描述心血管的各种动力学现象。这种建模方法将实验与理论结合在一起, 形成了新的理念和新的实验。它也将肌肉动力学机制与心脏功能相联系。现在有人正在利用这个模型设计新的心血管健康状况测定指标。

生物力学通过数学方法将物理原理应用于生命系统, 其中血液动力学研究的是人体心血管系统, 该系统通过心脏的泵血功能将血液输送到人体复杂的血管网络中。在血液动力学理论的发展过程中, 实验研究始终与理论分析紧密结合。实验保证了理论的正确

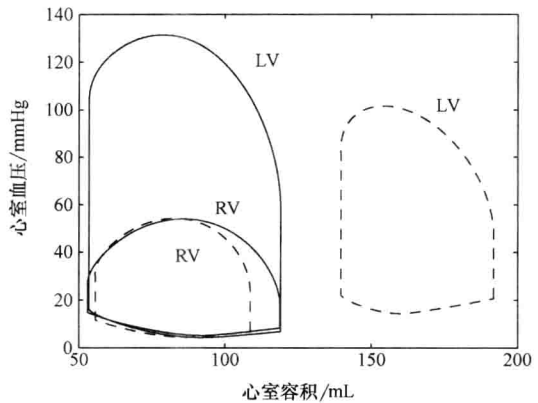


图 4.54 正常状态下左心室 (LV)、右心室 (RV) 的 PV 环 (实线) 以及左心室衰竭时的两个心室的 PV 环 (虚线)

性；而理论分析则阐明了实验现象的机理，并能够给予修正，而且还经常超前于实验研究。人类对于心血管系统的认识就在这种模式下不断进步。

表 4.5 正常心脏、左心衰竭和右心衰竭状况下的心血管功能

	SV/mL		EDV/mL		EF(%)		$P_{A0}$ /mmHg	$P_{PU}$ /mmHg
	LV	RV	LV	RV	LV	RV		
正常	66	66	119	119	55	55	131/58	54/18
左心室衰竭	53	53	192	109	27	49	102/47	54/24
右心室衰竭	56	56	106	153	53	37	117/54	40/15

注：表中 SV——每搏输出量；EDV——舒张末期容积；EF——射血分数；LV——左心室；RV——右心室； $P_{A0}$ 和  $P_{PU}$  分别为主动脉根部和肺动脉根部的血压。注意，在各种状态下，左、右两心室的 SV 都相等。

## 4.8 习题

1. 请写出式 (4.1) ~ 式 (4.14) 的 MATLAB 矢量表达式。
2. 假设例 4.2 中指示杆标记物数据的测量误差在 3 个坐标轴上均为  $\pm 0.5\text{mm}$ ，指示杆的形状与例题中所示一样；那么，指示杆顶端 T 的测量误差为多少？如果要使 T 的测量误差最小，应该如何设置指示杆上标记物 A 与 B 之间的距离以及 B 与 T 之间的距离？
3. 请按照  $z$ - $x$ - $y$  的旋转顺序重新推导例 4.3 的变换公式。
4. 请分别画出图 3.36 所示肱骨的 3 个方位的受力图，对于给定的负荷和受力点位置，写出静力学平衡方程，并求解方程。
5. 假设图 4.11 的测力平台大小为  $70\text{ cm}$  ( $x$  轴)  $\times$   $80\text{ cm}$  ( $y$  轴)，在踏步的某个瞬间，各个力传感器的读数分别为  $F_1 = 150\text{ N}$ ， $F_2 = 180\text{ N}$ ， $F_3 = 220\text{ N}$ ， $F_4 = 210\text{ N}$ 。请计算合力及其作用位置。
6. 设例 4.8 中，前臂与水平线之间形成  $\theta$  角，且  $\theta$  从  $0^\circ \sim 70^\circ$ （水平线向下）以  $5^\circ$  的增量依次变化。请编写 MATLAB 程序，作图表示为了维持静态平衡，肱二头肌所需产生的作用力  $F_B$  随  $\theta$  的变化曲线。在此  $\theta$  角变化范围内该作用力变化了多少？
7. 重做习题 6，作图表示在同样的  $\theta$  角变化范围内作用力  $F_A$ 、 $F_B$  和  $F_C$  的曲线。
8. 分析习题 7 所得到的曲线，解释为什么健身房的 Nautilus 举重机采用不对称的滑轮结构。
9. 请利用大腿相对于膝关节的转动惯量求解例题 4.7。
10. 根据表 4.1 中的数据，计算你自己身上的前臂、整个手臂、大腿、脚和躯干相对于质心的转动惯量。
11. 重做例题 4.9，假设所用的骨钉是圆柱形钴合金棒，圆形横截面的直径为  $10\text{mm}$ 。
12. 请编写 Kelvin 三元件黏弹性模型的 Simulink 程序模型，并进行蠕变和应力弛豫试验，结果如图 4.26 和图 4.27 所示。

13. 应用 Kelvin 三元件黏弹性模型描述一种你所选定的生物材料的应力弛豫曲线, 并利用文献提供的应力响应曲线计算模型的弹性系数  $K_1$ 、 $K_2$  以及黏性阻尼系数  $\beta$ 。

14. 请编写 MATLAB 程序, 求骨盆的解剖坐标系  $\{e_{pa}\}$ 。

15. 请编写 MATLAB 程序, 利用 4.6.3 节所示的运动学数据, 计算体重为 25.2kg 的病人的踝关节功率。

16. 骨盆的侧斜角是从病人正前方可以看到的骨盆的角位移, 根据右髂前上棘至左髂前上棘 (ASIS) 之间连接的矢量与水平线之间的角度可以估计此侧斜角。假设骨盆的位置数据如下所示, 请计算临床医师估计的骨盆侧斜角。注意: 估计骨盆侧斜角时临床医师是在  $y$ - $z$  平面考察全局坐标  $x$  轴的骨盆数据。

$$\text{右 ASIS} = 0.400i + 0.400j + 0.580k\text{m}$$

$$\text{左 ASIS} = 0.390i + 0.435j + 0.600k\text{m}$$

$$\text{PSIS} = 0.100i + 0.418j + 0.820k\text{m}$$

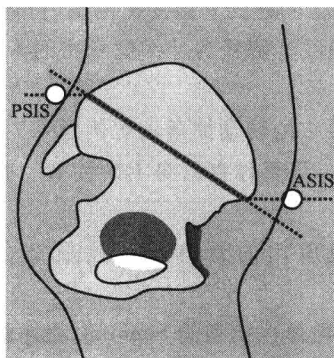
基于  $y$ - $x$ - $z$  的旋转顺序还是基于  $z$ - $x$ - $y$  的旋转顺序, 哪种欧拉角算法给出的数值与临床医师的估计值最符合?

17. 假设骨盆和大腿的解剖坐标系的定义与例 4.10 和例 4.11 相同, 请按照  $z$ - $x$ - $y$  的旋转顺序计算骨盆的前倾角、侧斜角和转动角。

18. 按照  $z$ - $x$ - $y$  的旋转顺序, 重做习题 17, 求解髋关节的屈与伸、内收与外展以及内旋与外旋。提示: 此处  $\{e_{ia}\}$  是带撇的坐标系, 而  $\{e_{pa}\}$  是不带撇的坐标系。

19. 请编写 MATLAB 程序, 计算各个坐标轴方向上的 10 mm 扰动对于踝关节功率大小的影响 (参见 4.6.3 节)。提示: 在脚的解剖坐标系  $\{e_{fa}\}$  的各个方向上增加 0.010m。

20. 在髂前上棘 (ASIS) 和髂后上棘 (PSIS) 处安放反光标记物, 用于定义骨盆的解剖坐标系。如下图所示, 在体重超重的肥胖病人身上安放这些标记物时, 很容易误将 ASIS 标记物放在 ASIS 的水平面上, 而不是放在骨盆平面上。安放 PSIS 标记物时也会产生同样的误差。如果病人骨盆的实际前倾角是  $34^\circ$ , 反光标记物在固定的实验坐标系中安放的位置如下图所示, 那么, 骨盆前倾角的误差会多大?



21. 请用 Casson 模型的方程拟合例 4.13 的血液流变学数据, 并计算血液的屈服应力  $\tau_0$ 。
22. 利用表 4.4 所列的参数值, 解方程 (4.71), 求动脉瓣关闭时的血压  $p(t)$ , 并作出一个心搏周期的  $p(t)$  曲线 (即  $t=0 \sim 1\text{s}$ )。
23. 请计算初始容积分别为  $V_e = 30、40、50、60、70\text{mL}$  时狗心脏的等容心室血压  $p_e(t)$ , 并像图 4.41 那样, 将各条函数曲线重叠显示在一张图中。
24. 请编写 MATLAB 程序, 利用式 (4.77) 计算心室的弹性系数, 按照例 4.15 给定的参数值计算并作图显示  $E_e(t)$ 。
25. 请根据图 4.52 所示的 3 条 PV 环, 测量左心室的舒张末期容积  $EDV$ 、收缩末期容积  $ESV$ 、每搏输出量  $SV$  和射血分数  $EF$ , 并估计心室所做的总机械功 (单位为 W)。

## 参 考 文 献

- [1] R. Baker, Pelvic angles: a mathematically rigorous definition which is consistent with a conventional clinical understanding of the terms, *Gait Posture* 13 (2001) 1–6.
- [2] A.H. Burstein, T.M. Wright, *Fundamentals of Orthopaedic Biomechanics*, Williams & Wilkins, Baltimore, MD, 1994.
- [3] A. Cappozzo, Gait analysis methodology, *Hum. Mov. Sci.* 3 (1984) 27–50.
- [4] K.B. Chandran, S.E. Rittgers, A.P. Yoganathan, *Biofluid Mechanics: The Human Circulation*, CRC Taylor & Francis Group, Boca Raton, FL, 2007.
- [5] R.B.D. Davis III, *Musculoskeletal biomechanics: Fundamental measurements and analysis*, Chpt. 6 in: J.D. Bronzino (Ed.), *Biomedical Engineering and Instrumentation*, PWS Engineering, Boston, MA, 1986.
- [6] R.B. Davis, S. Öunpuu, D.J. Tyburski, J.R. Gage, A gait analysis data collection and reduction technique, *Hum. Mov. Sci.* 10 (1991) 575–587.
- [7] R. Dugas, *A History of Mechanics*, Dover Publications, New York, NY, 1988, reprinted from a 1955 text.
- [8] R.M. Ehrig, W.R. Taylor, G.N. Duda, M.O. Heller, A survey of formal methods for determining functional joint axes, *J. Biomech.* 40 (2007) 2150–2157.
- [9] R.L. Fournier, *Basic Transport Phenomena in Biomedical Engineering*, Taylor & Francis, Philadelphia, PA, 1999.
- [10] Y.C. Fung, *A First Course in Continuum Mechanics*, second ed., Prentice-Hall, Englewood Cliffs, NJ, 1977.
- [11] Y.C. Fung, *Biomechanics: Mechanical properties of living tissues*, second ed., Springer-Verlag, New York, NY, 1993.
- [12] D.T. Greenwood, *Principles of Dynamics*, second ed., Prentice-Hall, Englewood Cliffs, NJ, 1988.
- [13] A.F. Huxley, Muscle structure and theories of contraction, *Prog. Biophys.* 7 (1957) 255–318.
- [14] A. Kennish, E. Yellin, R.W. Frater, Dynamic stiffness profiles in the left ventricle, *J. Appl. Physiol.* 39 (1975) 665.
- [15] W.R. Milnor, *Hemodynamics*, second ed., Williams and Wilkins, Baltimore, MD, 1989.
- [16] V.C. Mow, W.C. Hayes, *Basic Orthopaedic Biomechanics*, second ed., Lippencott-Rave, Philadelphia, PA, 1997.
- [17] J.P. Mulier, *Ventricular pressure as a function of volume and flow*, Ph.D. dissertation, Univ. of Leuven, Belgium, 1994.
- [18] D.M. Needham, *Machina Carnis: The Biochemistry of Muscular Contraction in its Historical Development*, Cambridge University Press, Cambridge, U.K., 1971.
- [19] B.M. Nigg, W. Herzog, *Biomechanics of the Musculo-Skeletal System*, third ed., John-Wiley, New York, NY, 2007.
- [20] A. Noordergraaf, *Hemodynamics*, Chpt. 5 in: H.P. Schwan (Ed.), *Biological Engineering*, McGraw-Hill, New York, NY, 1969.
- [21] A. Noordergraaf, *Circulatory System Dynamics*, Academic Press, New York, NY, 1978.

- [22] J.L. Palladino, A. Noordergraaf, Muscle contraction mechanics from ultrastructural dynamics, Chpt. 3 in: G.M. Drzewiecki, J.K.J. Li (Eds.), *Analysis and Assessment of Cardiovascular Function*, Springer-Verlag, New York, NY, 1998.
- [23] J.L. Palladino, A. Noordergraaf, Functional requirements of a mathematical model of the heart, in: *Proc. IEEE Eng. Med. Biol. Conf.*, Minneapolis, MN, 2009, pp. 4491–4494.
- [24] J.L. Palladino, J.P. Mulier, A. Noordergraaf, Closed-loop circulation model based on the *Frank mechanism*, *Surv. Math. Ind* 7 (1997) 177–186.
- [25] J.L. Palladino, L.C. Ribeiro, A. Noordergraaf, Human circulatory system model based on Frank's mechanism, in: J.T. Ottesen, M. Danielsen (Eds.), *Mathematical Modelling in Medicine*, IOS Press, Amsterdam, Netherlands, 2000, pp. 29–39.
- [26] R.J. Roark, *Formulas for Stress and Strain*, sixth ed., McGraw-Hill, New York, NY, 1989.
- [27] C. Singer, E.A. Underwood, *A Short History of Medicine*, second ed., Oxford Univ. Press, New York, NY, 1962.
- [28] H. Suga, K. Sagawa, Instantaneous pressure-volume relationship under various enddiastolic volume, *Circ. Res.* 35 (1974) 117–126.
- [29] E. Weber, B.R. Wagner (Eds.), *Handwörterbuch der Physiologie*, vol. 3, Vieweg, Braunschweig, 1846.
- [30] F.M. White, *Fluid Mechanics*, sixth ed., McGraw-Hill, New York, NY, 2008.
- [31] S. Vogel, *Vital Circuits: On Pumps, Pipes, and the Workings of Circulatory Systems*, Oxford Univ. Press, New York, NY, 1992.

## 推荐阅读资料

- P. Allard, I.A.F. Stokes, J.P. Blanchi (Eds.), *Three-Dimensional Analysis of Human Movement*, Human Kinetics, Champagne, IL, 1995.
- R. Davis, P. DeLuca, *Clinical Gait Analysis: Current Methods and Future Directions*, in: G. Harris, P. Smith (Eds.), *Human Motion Analysis: Current Applications and Future Directions*, IEEE Press, Piscataway, NJ, 1996, pp. 17–42.
- J.R. Gage, M.H. Schwartz, S.E. Koop, T.F. Novacheck, *The Identification and Treatment of Gait Problems in Cerebral Palsy*, MacKeith Press, London, U.K., 2009.
- W.F. Ganong, *Review of Medical Physiology*, twenty-second ed., McGraw-Hill, New York, NY, 2005.
- J.L. Meriam, L.G. Kraige, *Engineering Mechanics*, sixth ed., John Wiley, New York, NY, 2008.
- W.R. Milnor, *Cardiovascular Physiology*, Oxford Univ. Press, New York, NY, 1990.
- A.D. McCulloch, *Cardiac Biomechanics*, Chpt. 8 in: D.R. Peterson, J.D. Bronzino (Eds.), *Biomechanics Principles and Applications*, CRC Taylor & Francis Group, Boca Raton, FL, 2008.
- W.W. Nichols, M.F. O'Rourke, *McDonald's Blood Flow in Arteries: Theoretical, Experimental and Clinical Principles*, third ed., Edward Arnold, London, U.K., 1990.
- J. Rose, J.G. Gamble, *Human Walking*, Lippincott Williams & Wilkins, Philadelphia, PA, 2006.
- N. Westerhof, A. Noordergraaf, Arterial viscoelasticity: A generalized model, *J. Biomech.* 3 (1970) 357–379.
- D.A. Winter, *Biomechanics and Motor Control of Human Movement*, fourth ed., John Wiley, New York, NY, 2009.

# 第 5 章 生物材料学

Liisa T. Kuhn 博士

Katharine Merritt 博士和 Stanley Brown 工程博士也参与了本章的撰写工作

## 本章目录

- 5.1 医用材料——从修复到再生
- 5.2 生物材料的种类、特性和应用
- 5.3 生物材料设计和选择中的仿生学
- 5.4 生物材料与组织之间的相互作用
- 5.5 诱导组织修复和再生的生物材料处理技术
- 5.6 生物材料的安全性测试与管理
- 5.7 生物材料应用举例
- 5.8 习题

推荐阅读资料

## 本章的主要学习内容：

- 天然组织结构的复杂性；
- 机体对于植入材料的几种不同生物反应；
- 各种医用材料的特性和优势；
- 医疗器械仿生特性的设计；
- 制造组织工程支架的各种方法；
- 各种医学产品应用中特定化学物质和结构的选择方法；
- 如何寻找证明医疗产品安全性的正确测试方法。

## 5.1 医用材料——从修复到再生

多年来，医用材料（又称生物材料）在人体创伤和疾病的治疗过程中发挥着巨大的作用。19 世纪后期以来，尤其是 19 世纪 60 年代 Joseph Lister 医生发明了无菌手术之后，生物材料的应用得到了快速发展。早在 19 世纪末至 20 世纪初就有人用金属器械修复骨折；1938 年首例全髋关节置换手术取得成功；到了 20 世纪 50 ~ 60 年代，又出现了聚合物人造角膜和血管置换术。如图 5.1 所示，如今，生物材料的使用几乎已经遍及人体全身每个部位。据估计，2006 年美国使用的生物材料类医疗器械的数量是：



- 全髋关节置换体 579271 个;
- 膝关节置换体 1349641 个;
- 肩关节置换体 49000 个;
- 牙科移植体 1040172 个;
- 冠状动脉支架 1489980 个;
- 冠状动脉导管 1648235 个。

每年,生物材料的应用拯救了数百万人的生命,同时还改善了另外数百万人的生活质量。但是,这个领域仍然存在着广阔的研究空间和创新空间;因为,没有一种材料可以胜任所有生物材料的各种不同应用要求,并且,随着医学的发展,新的应用需求仍然在不断涌现。而

且,生物机体对生物材料产生的很多反应还没有得到解决,生物材料在组织再生中能够发挥的作用正在研究之中,这些问题都不断激励着生物材料的研究和新产品的开发。

在过去很长的一段历史时期,人们对生物组织的机制缺乏深入的认识,以为生物医学工程技术只要利用简单的生物材料就能够完全替代已经丧失功能的生物组织。随着对生物组织、疾病和创伤的认识不断加深,人们才开始逐渐形成要修复损坏组织的观念。近些年来,随着干细胞研究的发展,医学界相信,通过基于细胞的组织工程技术可以再生病变和损坏的生物组织(参见本书第6章)。于是,随着不断改变的医学理念,有关生物材料的观念已经发生了演变。1987年Williams把生物材料定义为“用于医疗器械并与生物系统具有相互作用的无生命材料”。这个定义如今仍然正确,它既可以包括早期的生物材料替代物,如木头腿、玻璃眼球等;又可以包括目前再生医学中使用的生物可降解支架等材料,这些支架在组织工程中可用于输送细胞。然而,虽然定义没有改变,但是人们对于生物材料与生物系统(即人体)之间相互作用的认识却产生了深刻的变化。原来设想生物材料在体内具有相对惰性的性质,而现在却认为这些材料具有“生物活性”,并且可以辅助生物体再生。生物活性材料植入人体之后能够诱发生物反应,比如细胞黏附、细胞增殖等,更令人惊喜的是干细胞分化还可以导致损毁组织或整个器官的再生。

由于细胞和组织对生物材料会产生各种复杂的反应,因此,在设计、选择、合成和制造生物材料时,应该遵循自然规律办事,这种方法称为仿生学。在生物材料学中,仿生学包括对于天然材料或者活体组织各个方面的模仿,如化学特性、微观结构、制造方法等。不过,由于天然组织的很多性能还没有被彻底了解,因此,仿生学的方法并非总能获得理想的结果。而且,对于不同的生物医学应用场合,生物材料的各种特性会有很大的差异。因此,本章除了讲述通过改变生物材料的化学和结构等特性来引导组织修复的常用方法以外,还将介绍几种主要人体器官修复以及药物输送等特殊应用的生物材料

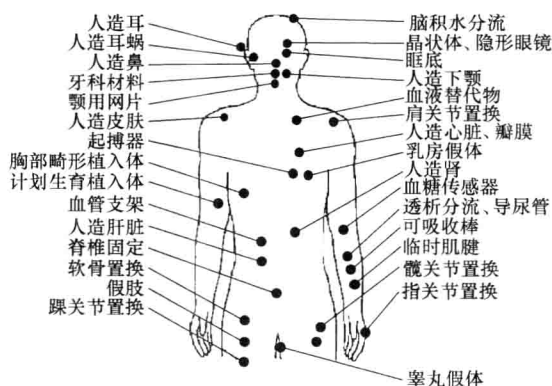


图 5.1 人体中可以被生物材料替换的部位

注:生物材料在创伤和疾病治疗中发挥着巨大的作用,其应用已经遍及人体全身。

设计方法。另外，本章还将介绍医疗产品的各种标准及其管理机构，它们在确保医疗产品的安全性和有效性方面起着重要的作用。

## 5.2 生物材料的种类、特性和应用

对于某种给定的生物医学应用可能有许多种生物材料可以选择，工程师必须首先确定选用哪一大类的材料。材料的基本类型有 4 种：金属、陶瓷/玻璃、聚合物以及复合材料。其中复合材料是前 3 种材料的混合物。动物的心脏瓣膜等天然材料由蛋白质构成，蛋白质具有重复的聚合结构，因此，属于聚合物。每种生物材料都可以归属于 4 种基本材料之一。设计新的医疗器械时，了解材料的类型及其基于分子结构的特性很有用。表 5.1 列出了目前用于医疗器械的各种生物材料，表 5.2 是它们的力学特性。

表 5.1 各种材料及其医学应用

材料类型	用 途
<b>金属</b>	
不锈钢	关节置换体、骨折固定、心脏瓣膜、电极
钛和钛合金	关节置换体、牙桥、牙科植入体、冠状动脉支架
钴铬合金	关节置换体、骨折固定
金	牙科填料、牙冠、电极
银	起搏器导线、缝合线、牙科用汞齐合金
铂	电极、神经刺激器
<b>陶瓷</b>	
氧化铝	髋关节植入体、牙科植入体、耳蜗置换体
氧化锆	髋关节植入体
磷酸钙	骨移植片替代物、全关节置换体表面涂层、细胞支架
硫酸钙	骨移植片替代物
碳	心脏瓣膜涂层、矫形植入体
玻璃	骨移植片替代物、牙科填料
<b>聚合物</b>	
尼龙	手术缝合线、人造肠胃、气管导管
硅胶	指关节、人造皮肤、乳房植入体、人造晶状体、导尿管
聚酯	可吸收缝合线、骨折固定、细胞支架、皮肤创口覆盖物、药物输送载体
聚乙烯 (PE)	髋关节和膝关节植入体、人造肌腱和人造韧带、人造血管、假牙、面部植入体
聚甲基丙烯酸甲酯 (PMMA)	骨水泥、人造晶状体
聚氯乙烯 (PVC)	导管、面部假体
<b>天然材料</b>	
胶原和凝胶	美容外科、创面敷料、组织工程、细胞支架
纤维素	药物输送
甲壳素	创面敷料、细胞支架、药物输送
陶瓷或脱矿陶瓷	骨移植片替代物
藻酸盐	药物输送、细胞封装
透明质酸	术后粘连的防治、药物输送、细胞支架

表 5.2 材料的力学特性（相关文献报道的数据或者标准中的最小值）

	屈服应力 /MPa	极限应力 /MPa	应变 (%)	弹性模量 /GPa
金属				
高强度碳钢	1600	2000	7	206
F138 <sup>①</sup> , 退火	170	480	40	200
F138, 冷处理	690	860	12	200
F138, 金属丝	—	1035	15	200
F75 <sup>②</sup> , 铸造	450	655	8	200
F799 <sup>③</sup> , 锻制	827	1172	12	200
F136 <sup>④</sup> , Ti64	795	860	10	105
金		2 ~ 300	30	97
铝, 2024-T4	303	414	35	73
聚合物				
PEEK		93	50	3.6
PMMA 铸造		45 ~ 75	1.3	2 ~ 3
乙缩醛(POM)		65	40	3.1
UHMWPE		30	200	0.5
硅橡胶		7	800	0.03
陶瓷				
氧化铝		400	0.1	380
氧化锆、氧化镁, 部分稳定		634		200
氧化锆、氧化钇, 稳定		900		200
碳及其化合物				
LTI 热解碳 + 5% ~ 12% 硅		600	2.0	30
PAN AS4 纤维		3980	1.65	240
PEEK, 61% 碳纤维, 长		2130	1.4	125
PEEK, 61% 碳纤维, ±45		300	17.2	47
PEEK-30% 碳纤维, 切断		208	1.3	17
生物组织				
羟基磷灰石(HA)		100	0.001	114 ~ 130
骨		80 ~ 150	1.5	18 ~ 20
胶原		50		1.2

① F138 锻造不锈钢: 17 ~ 19 铬, 13 ~ 15.5 镍, 2 ~ 3 钼, <2 锰, <0.08 或者 <0.03 碳。  
② F75 钴铬钼铸造合金: 27 ~ 30 铬, <1.0 镍, 5 ~ 7 钼, <1 锰。  
③ F799 钴铬钼锻造合金: 26 ~ 30 铬, <1.0 镍, 5 ~ 7 钼, <1.0 锰, <1.5 铁, <1.5 碳。  
④ F136 钛-6 铝-4 钒合金: 5.5 ~ 6.5 铝, 3.5 ~ 4.5 钒, <0.015 氮, <0.13 氧, <0.08 碳。

5.2.1 金属

金属类的生物材料是最常见的。金属的强度很高，不易碎裂，而且经过设计可以具备抗腐蚀性能。如今所使用的金属类生物材料可以分为 3 种：铁合金（即不锈钢）、钴合金和钛合金。很多矫形器都含有金属部分，如髋关节和膝关节置换体等（图 5.2 和图 5.3）。金属具有高强度，反反复复的循环负载都不会被损坏。这些植入体可以减轻疼痛并恢复原始软骨被磨损的关节的功能。如图 5.4 所示，骨折治疗期间用于固定骨头的接骨板和螺钉也都用金属制作。有时康复后金属板和螺钉会被取出，但某些情况下它们

会一直留在体内。牙根植入体也用金属制作（图 5.5）。表 5.1 和表 5.2 列出了医疗器械中的一些常用金属及其力学特性。

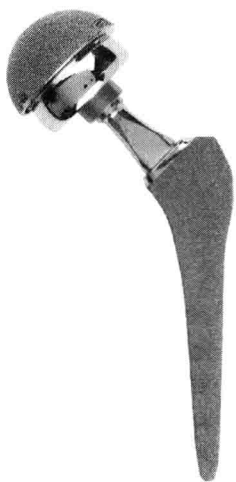


图 5.2 主要由金属制成的常见  
全髋关节置换体

注：股骨柄上的球状股骨头覆盖超高分子量聚乙烯（UHMWPE）衬垫，然后装入髋臼杯内，UHMWPE 衬垫使关节几乎可以无摩擦活动。（照片所示是美国 Wright Medical Technology 公司的 PROFEMUR® Z 产品）

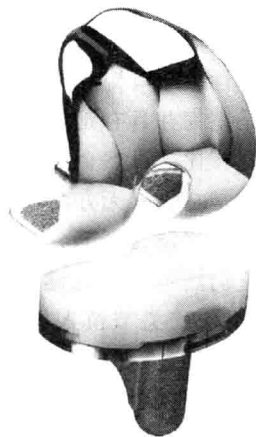
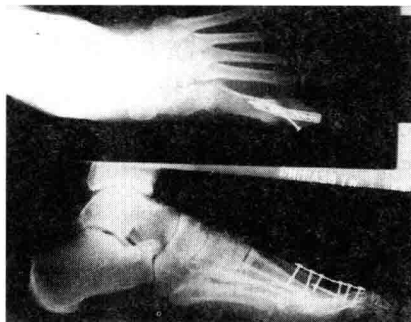


图 5.3 具有超高分子量聚  
乙烯（UHMWPE）承载表面  
的人造金属膝关节

（照片所示是美国 Wright Medical Technology 公司的 ADVANCE® 产品）



a)



b)

图 5.4 金属接骨板和骨钉

注：图 a 是治疗过程中用于固定骨折部位的金属接骨板和螺钉。根据受伤程度的不同，骨头痊愈之后，金属板和螺钉可能可以去除。（照片所示是 NEWDEAL 商标的 HALLU®-FIX MTP 产品）。图 b 所示是病人脚上和手上植入的金属骨板和螺钉的 X 射线图像。（此 X 射线照片由美国 Wright Medical Technology 公司提供）

医疗器械材料的选择很复杂，需要考虑很多因素，包括力学承载的要求、材料本身的化学特性和结构特性以及各种生物需求。金属制成的膝关节和髋关节、接骨板和脊椎融合器等器械之所以能够长期使用，是由于它们具有很高的机械强度，并且具有较好的生物相容性。与陶瓷和聚合物等其他材料相比，金属的优点是坚韧并具有延展性，也就是可塑性强，尤其是与陶瓷相比。虽然金属原子排列成高度有序的晶体结构，但是它含有无方向性的金属键，允许吸收能量的原子产生移位，而不会突然碎裂。金属的缺点是易腐蚀，这仍然是由金属键（即自由电子）引起的。20 世纪初用于髋关节植入体的钢材料在体内腐蚀很快，曾经在康复过程中造成不良后果。因此，后来研究人员喜欢选用钛合金或者钴铬合金作为髋关节、膝关节和牙齿等植入体的材料。另外，与一般被替代的天然材料相比，金属材料具有较高的密度和大得多的刚性，这也造成了一种应力屏蔽的不利效应。金属关节植入之后，周围骨骼由于承受不到正常的作用力负荷会逐渐衰退，这就是所谓的应力屏蔽。骨骼需要不断承受负荷才能保持住它的含量。镍钛合金等一些特殊金属被称为记忆合金，它们在外力作用下会弯曲，但一旦外力撤除，又会恢复到原始形状。这类金属已经被用于制作眼镜架和冠状动脉支架。这种动脉支架可以被压扁推入导管，一旦穿出导管，支架就会弹回原有的圆柱形。

金属器械的制作一般需要精密铸造、计算机辅助设计与制造（CAD/CAM）、研磨或粉末冶金等技术。某种特定医疗器械的制造方式取决于多种因素，如植入体的最终几何形状、金属的成形和制造特性以及各种不同制造方法的成本等。

### 例 5.1

支架是植入到堵塞的血管内用于增加血流量的一种器件。这种血管支架必须是永久性的柔软器件。请问什么材料可以满足此要求？除了利用本章所述内容以外，请在网上用“支架”和“金属”等关键词搜索最新的材料信息。美国国立卫生研究院（National Institutes of Health）的 PUBMED 网站收集了生物学、医学和生物医学工程等方面的学术出版物，其网址是：<http://www.ncbi.nlm.nih.gov/entrez>。许多公司网页也提供有关信息。其中，Guidant 和 Boston Scientific 就是生产冠状动脉支架的两家公司。美国专利局也是一个很有用的网站，可以搜索各种材料在外科和医疗器械中的应用，其网址是：[www.uspto.gov](http://www.uspto.gov)。

解：

制作血管支架较为理想的材料是金属，如铂或钛。这些金属具有很好的惰性，而且可以做成螺旋状的编织器件，折叠起来能够穿进细小的血管，送到植入部位。镍钛合金

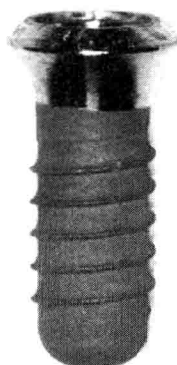


图 5.5 金属牙根植入体

注：取代托牙的种植牙是用金属牙根植入体替代缺损的牙齿，然后再套上陶瓷牙冠。与托牙相比，种植牙的优点是其植入体可以将作用力传给颞骨，从而使颞骨能够继续接受刺激，避免逐渐衰退。（照片由 Connecticut 大学保健中心的 Martin Freilich 博士馈赠）

等记忆合金也可以用于制作支架。这种合金制作的支架具有自展性，它们在体内展开时可以恢复成“记忆”的原有形状，因此，特别适用于弯曲的血管或者粗细有变化的血管。上述金属材料具备血管支架所需的强度，而且植入人体后也已表现出很好的生物相容性。

### 5.2.2 陶瓷和玻璃

陶瓷材料的优点是生物相容性很好，与骨头的相容性尤其好，并且，它具备惰性，磨损率很小，可以抵抗微生物的侵入，抗压性很强。缺点是易碎，可能出现大破坏，且制造困难。这些特性由陶瓷的原子结构决定。它与金属不同，金属原子之间的金属键结合很松散，原子容易移动；而陶瓷一般都由2种不同的原子组成，它们呈离子状态或者通过共价键结合成化合物形式，原子之间不易移动，因此，绝大多数陶瓷的导热和导电性能都很差。没有晶体结构的陶瓷就是玻璃。玻璃的主要成分是二氧化硅。二氧化硅是一种网状结构的氧化物，加热后很容易达到熔点，因此，与陶瓷不同，它比较容易加工。陶瓷在熔点和脆性这两个特性上与金属的差别特别明显。陶瓷具有相当高的熔点，一般高于1000℃，并且易碎。表5.1列出了医疗器械中常用的几种陶瓷材料。图5.6的照片则显示了髋关节植入体的陶瓷股骨头，图5.7所示是颗粒状的硫酸钙骨移植体（即人造骨）。

有些陶瓷、玻璃、玻璃-陶瓷等复合材料的组成成分对于骨头的连接具有直接的刺激作用，这种特性对于髋关节、膝关节和脊椎融合器等医用植入体的稳定性非常重要。这类材料就是所谓的生物活性陶瓷。对于体内取回的植入体的研究结果表明，在体内，植入体材料表面会形成具有生物活性的磷酸钙，这种生成的磷酸钙很像人体骨头的成分。材料表面一旦形成骨样矿物质表层之后，骨细胞就很容易紧密黏附于材料表面。因此，如果在植入体表面覆盖骨质磷酸钙材料，就像图5.7所示的颗粒那样，那么就可以达到同样的效果。深入的研究结果已经表明，这种骨质磷酸钙实际上能够给细胞提供一种直接的信号，使得细胞贴附到磷酸钙上面。

医用磷酸钙有多种不同的分子结构，包括羟基磷灰石、碳酸磷灰石、磷酸二钙或透钙磷石、 $\beta$ 磷酸三钙或磷酸四钙以及无定形磷酸钙等。特定磷酸钙医疗器械的稳定性取决于其晶相、晶体大小及其完整性、处理时的温度、密度和使用环境等。在生理环境的温度和pH值下，羟基磷灰石是很稳定的晶相，一般经过很长时间才会产生生化分解而被吸收。不过，骨细

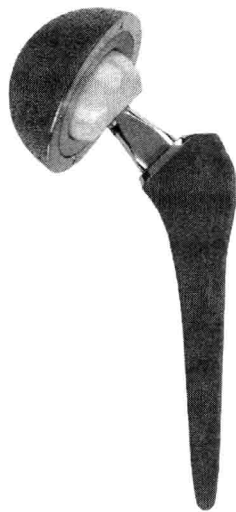


图5.6 含陶瓷材料的人造髋关节

注：该人造髋关节的聚合物承载表面和某些金属部件被陶瓷取代，这样可以增加关节植入体的寿命。陶瓷的股骨头和髋臼杯是这种设计的特点。（照片所示是美国Wright Medical Technology公司的LINEAGE®产品）

胞以及巨噬细胞可以改变局部区域的 pH 值，使局部环境呈酸性，然后启动细胞介导的吸收过程。磷酸钙或者碳酸钙、硫酸钙等非羟基磷灰石相的钙质可以直接溶解于体内，不需要细胞介导的吸收。

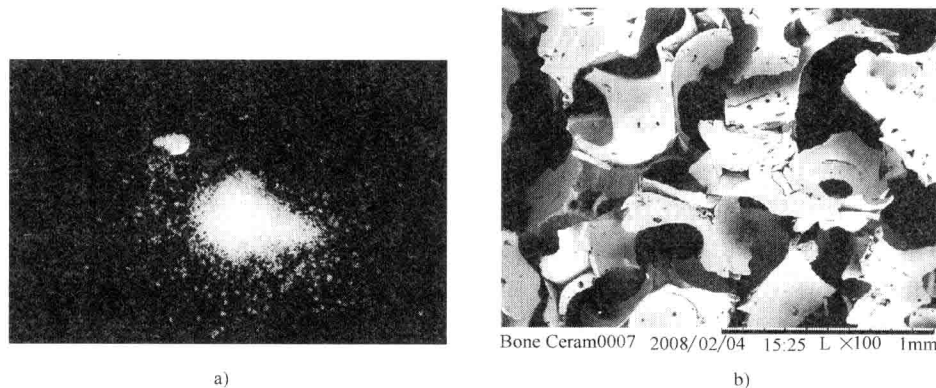


图 5.7 人造骨颗粒

a) 羟基磷灰石和磷酸三钙制成的双相磷酸钙颗粒，它是具有优化孔隙的颗粒，可用于修复下颌骨缺陷（Straumann® BoneCeramic, Institut Straumann AG） b) 人造骨颗粒的扫描电子显微镜照片，其中的孔隙清晰可辨，给血管的再生和骨细胞的进驻预留了最大空间

注：如果病人自身的或者他人捐献的骨头数量不足以填补缺损的骨头，那么就可以使用磷酸钙或者硫酸钙制成的人造骨移植植物。

陶瓷的高熔点使其不能用铸造的方法浇制成型，因此，陶瓷件一般用粉末制作。陶瓷粉末通过湿化学合成法或者通过原材料的研磨制备；然后，通过湿法或者干法制作成型。湿法成型是把陶瓷粉末加入含有黏合剂的溶液中调和成泥浆，再倒入模具制成生坯；干法成型则把陶瓷粉末干压成生坯。陶瓷生坯最后必须经过烧结，以便除去粉末颗粒之间的空隙，使陶瓷件致密。对于承载器械，必须几乎完全去除空隙，否则，残留的空隙会在器械内部形成微小裂纹，削弱其承载能力。而对于人造骨移植和组织工程支架等其他应用，则反而希望材料中含有骨骼的骨小梁或松质骨中存在的那种大孔隙（ $250 \sim 750 \mu\text{m}$ ），使骨细胞能够渗入材料并生长成新生骨。这些空隙一般用聚合物小珠等另一种物质相来形成。陶瓷生坯刚开始烧结时，其中混合的小珠占据一定的空间；到了烧结的最后阶段，小珠被烧掉，就形成了空隙。本章后面还会介绍多孔支架的制作方法。本章后面还会详细介绍多孔支架的制作方法。

### 例 5.2

请问什么材料适合制作髋关节植入体的臼杯？在选材时需要考虑哪些因素？请用“陶瓷”、“髋关节置换”等关键词搜索各个科技网站、公司网站和专利网站，寻找相关信息。

解：

较早的髋关节臼杯由金属支撑结构和聚乙烯杯组成。但是，聚乙烯磨损之后会产生碎屑，为了解决这个问题，研究人员已经开发了氧化铝或氧化锆制作的陶瓷臼杯和股骨

头的新产品。由于要与人造关节的头部直接接触,臼杯必须能够抗磨损、抗变形、且具有低摩擦的表面。在使用过程中,陶瓷材料之间摩擦产生的碎屑要比传统设计中金属与塑料之间摩擦产生的碎屑少得多。因此,理论上,与传统金属结合塑料的产品相比,陶瓷人造全髋关节的损坏几率要小得多,如今常被推荐给年轻患者使用。不过,与金属部件相比,陶瓷部件易碎且疏松性骨头不易承受,因此,如今两种髋关节置换体都在使用。

### 5.2.3 聚合物

聚合物多种多样,而且与蛋白质为主的细胞外基质等天然材料很相似,因此,它很适合作生物材料。例如,稍许改变化学键的结构,聚合物就可以或软或硬;强度也可以或低或高;利用表面修饰技术,聚合物既可以抗蛋白黏附,也可以促进蛋白黏附;而且,聚合物既可以具备生物降解性,也可以持久稳定;还可以用各种方法制作成复杂的形状。聚合物的缺点是:其强度要比金属和陶瓷低,长时间使用后会产生变形;有些品种的聚合物可能在灭菌消毒过程中遭受破坏,而且还可能在体内退化或损毁,或者释放出毒性物质。因此,在开发聚合物制作的医疗植入器件时必须研究其植入前和植入后的特性。表 5.1 和表 5.2 列出了医疗器件中常用的聚合物及其力学特性。

大分子聚合物由小分子通过聚合反应形成,聚合反应有加聚反应和缩聚反应两种。加聚反应通过单体反复加成产生,每次只加一个单体,从而链接形成高分子聚合物;而缩聚反应则是几个单体分子一起缩合生成高分子,这种反应会产生水等小分子产物。聚合反应过程中一般还需要添加填充剂、增塑剂、稳定剂和着色剂等辅料,用于提高聚合物的化学、物理和力学性能。现在已经知道,用于制造塑料水瓶的某些辅料会影响激素的活性或者有致癌作用,因此,在植入人体之前,必须谨慎筛选用于医疗器件的聚合物辅料。

聚合物可以分为热塑性或热固性两类。热塑性聚合物具有线性或分支结构,其固体形式就像意大利细面条,各条多聚链之间可以相对滑动。加热时,链与链之间的滑动就变得比较容易,于是,聚合物就会熔化并产生流动。因此,热塑性聚合物可以反复加热、熔化并成型。通过添加不同的配体可以获得具有不同特性的聚合物。例如,由于氯原子比较大,对分子之间的滑动有阻碍作用,因此,聚氯乙烯(即 PVC)比聚乙烯(即 PE)要硬。如表 5.2 所示,聚甲基丙烯酸甲酯(即 PMMA)与超高分子量聚乙烯(即 UHMWPE)相比,PMMA 的强度较高、更硬、且更脆。其实,PMMA 是将乙烯单体的 4 个氢原子中的 2 个替换掉了,一个换成甲基( $-\text{CH}_3$ ),另外一个换成丙烯酸甲酯( $-\text{COOCH}_3$ )。这些较大的侧基团使分子链之间较难滑动,于是就增加了材料的强度和弹性模量。同时,侧基的存在也使分子难以转向,难以形成规则有序的晶体结构。因此,这种非晶体结构的 PMMA(Plexiglas 或 Lucite 品牌的产品)是透明的。

热塑性聚合物通过水解反应可以在体内降解,水可以断开聚合物的链接。聚乳酸-羟基乙酸共聚物(Poly(D, L-lactide-co-glycolide acid)),即 PLGA,就是一种热塑性聚酯纤维。它广泛用于美国食品药品监督管理局准许的手术缝合线、整形固定螺钉和固定板



等医疗器械中。可吸收缝合线是用羟基乙酸与乳酸的比例为 90:10 的 PLGA 共聚物制成。聚羟基乙酸比聚乳酸吸收得快，改变共聚物中两者的比例，就可以获得具有不同降解速率的缝合线。虽然 PLGA 降解所产生的化合物都属于人体内自然存在的物质，可以排泄出去；但是它会引起局部 pH 值的降低，从而对新生组织有害。

与热塑性聚合物相反，热固性聚合物的多聚链之间存在相互交联。加热时热固性材料不能熔化，而会降解。“热固”是指加热时会发生化学反应，从而形成三维空间上的交联结构。常见的“5min 环氧树脂”就是一种热固性聚合物。如果将该产品提供的催化剂和环氧树脂两种成分混合在一起，催化剂就会使环氧树脂分子链之间形成交联。一旦加工成型后，就不能再受热熔化。材料中形成的交联的多少决定了材料的力学特性，交联较少的环氧树脂可用于制作橡胶手套；多加些硫黄产生较多交联之后，环氧树脂可以制作汽车轮胎；再增加交联数量后，环氧树脂就可以做成汽车电池的坚硬外壳了。

水凝胶是一种交联结构的聚合物，吸水后它会膨胀，它在生物学中的应用引人注目。在水溶液中通过辐射法或者化学法产生充水聚合物网络，就可以制备水凝胶。最常用的水凝胶是聚羟基乙基甲基丙烯酸甲酯（Polyhydroxyethylmethacrylate, PHEMA），其含水量与生物体相似，并具有抗降解性，不会被人体吸收，可以承受加热灭菌处理，并且可以加工成各种不同形状。水凝胶可用于制作隐形眼镜、药物输送载体、创可贴、性器官再造材料、人造肾膜以及声带置换材料等。水凝胶中交联结构的数量是关键指标，它会影响到膨胀率和机械强度。

制作聚合物医疗器械要用到很多技术，需要考虑多种因素。例如，使用热塑性材料还是热固性材料；如果用热塑性材料，那么材料软化的温度是多少，等等。热固性聚合物必须先制备成液态聚合物，然后倒入模子中凝固定型，定型后就不能再熔化。而热塑性聚合物可以多次反复定型，其定型方法有压制、注射、挤出等。用挤出法可以制成纤维或者薄膜，再经过拉伸或者滚压提高其强度等特性。本章后面将介绍许多利用适用于组织工程的可吸收材料构造三维多孔结构的方法。聚合物易于塑造成复杂的形状，易于控制不同尺度下的结构，还可降解，这些特性使得聚合物成为组织工程的首选生物材料。

### 例 5.3

什么材料适用于制作血袋、透析袋？需要考虑哪些指标？

解：

自从 20 世纪 50 年代以来，聚氯乙烯（即 PVC）一直用于制作血袋。由于 PVC 本身是脆性材料，因此，需要添加邻苯二甲酸酯类增塑剂使其变软。但是，长时间使用时这种塑料袋中的增塑剂会逐渐溶解到袋内液体中。实验结果表明，大鼠食用大量增塑剂后，会诱发癌症；因此，研究人员正在开发其他塑料材料。透析袋是用低密度聚乙烯（即 LDPE）制成。选择这类医疗器械材料时需要遵循的原则是：材料必须柔软，化学性质必须稳定，具有相当的惰性。 ■

## 5.2.4 复合材料

复合材料由两种或两种以上不同成分组成。虽然单纯材料内部也会存在不同的亚单

元结构,如不同颗粒或不同分子等,但这种情况不属于复合材料。复合材料是指包含两种或两种以上不同化学组分且相互之间由界面隔开的材料。例如,生物医学复合材料有骨骼愈合治疗中使用的碳纤维增强聚乙烯复合材料、羟基磷灰石颗粒增强聚乳酸复合材料等。材料中所包含的非连续相一般都比连续相坚硬且强度高,因此,称为“增强体”。

复合材料既可以通过两种成分的混合、浇铸、压缩制成,也可以通过化学反应将不同组分合在一起。如果被增强的主体相是纤维,那么,通常在纤维表面涂上第二相材料,或者在纤芯中灌注第二相材料,加热并加压之后制成高密度复合材料。此外,通过化学反应将第二相材料加到第一相材料中也可以制成复合材料。用中空柱状材料作为第一相制作高强度材料时,可以将其盘绕在第二相材料制成的芯体上,然后压实就可以了。

复合材料适用于制作需要同时满足多种性能的器械,如人造全关节、牙科填料和接骨板等。单种材料无法满足这些要求。复合材料的优势是几乎可以根据任何应用需求来设计其性能;然而,要制成一种理想的复合材料结构其实很难。其中主要的问题是,在两种物质相之间,第二物质相的扩散或者较弱的表面键合会导致材料力学特性的削弱,从而降低产品的性能。不过,在很多情况下,复合材料的实际性能仍然要比单一组分的生物材料要好,因此,它在生物医学上的应用范围正在不断扩大。

#### 例 5.4

修复牙齿最好选用什么材料?复合材料与单一组分材料相比有哪些优点?

解:

由汞、银、和锡组成的银汞合金是最常用的牙科填料;另外,还有美观舒适的有色牙科填料,它们用树脂制成,比如用双酚 A-甲基丙烯酸缩水甘油酯(即 BisGMA)大分子加上二氧化硅微米或纳米微粒制成的牙科填料。聚甲基丙烯酸甲酯 PMMA 是制作全牙托和局部牙托的主要材料。铬合金则用于制作活动牙托的框架。牙冠和牙桥用金属支架外套齿色陶瓷制成。现在也有全陶瓷牙齿。最近,有人还开发了用玻璃纤维强化的光固化树脂复合材料,用于制作牙桥,并正在用这种复合材料替代以前用于支撑牙冠的金属牙桩。这主要是为了美观,这种聚合物牙桩不会像金属牙桩那样从牙冠下露出来。■

### 5.2.5 天然材料

天然材料用有机物或者植物合成,它们的化学特性和结构一般都要比人造材料复杂。表 5.1 列出了目前医疗器械中常用的几种天然材料。蛋白质和多糖是天然聚合物,它们可以归属于聚合物。其中蛋白质是生命体的重要分子,没有蛋白质就没有生命。蛋白质长链由为数不多的 20 种不同氨基酸通过肽键构成。人体内的蛋白质几乎具有无数的功能,它们既可以作为酶催化成千上万种维持生命的重要化学反应,也可以成为负责细胞迁移和增殖的细胞信号分子。此外,蛋白质还是各种生物组织细胞外基质的基本结构材料。蛋白质浓度和结构的变化会改变其功能,从而引起人体产生疾病。由于蛋白质能够与细胞通信,移植蛋白质制作的天然制品通常比人造制品要好得多。

蛋白质中的定向键合使其具有很强的力学特性。例如,尼龙是拉力最强的人造聚合

物之一，而蚕丝的极限拉伸强度却比尼龙还要高。而且，蚕丝的弹性模量几乎是尼龙的13倍。就像人造的聚合物一样，蛋白质中交联的多少对于其力学特性的影响很大。例如，人体皮肤中的弹性蛋白由螺旋形蛋白质构成，交联很少，因此，它比骨骼中所含的Ⅰ型胶原蛋白要柔软得多。Ⅰ型胶原蛋白由棒状分子装配成规则的晶体结构，具有很多交联。

生物医学工程中也使用天然的陶瓷材料。天然陶瓷一般都是钙质的，如纯化的磷酸钙骨骼晶体和碳酸钙珊瑚都是整形手术中骨的替代品。完整的骨骼包含天然陶瓷和聚合物，由于它们的多层结构可以防止裂纹的扩展，因此，骨骼比人造陶瓷更加坚韧，不易断裂。骨骼中包含的小陶瓷晶粒具有精密的排列方式，并被有机基质形成的界面分割成许多薄片，这样，其中产生的裂纹只能被迫沿着弯弯曲曲的有机基质延伸。

与人造材料相比，天然材料具有较小的毒性和感染几率（患者的自体移植物更是如此）；不过，其生产或分离的费用一般较高。如果天然材料取自他人身上（即同种异体移植物）或者取自植物和动物，那么，各种天然材料之间的个体差别就会很大，很难保证材料特性的一致性，有时会影响材料的商品化及其推广应用。其中，天然组织取自牛或猪等其他物种时称为异种移植物。

组织的分离或提纯过程中一般要用溶剂提取所需成分，或者用溶剂除去不需要的成分（如细胞等），从而留下完好可用的天然材料。例如，胶原蛋白的制备用这两种方法都可以。如果商品标签上注明胶原是可溶性的，那么，它就是从猪皮等天然组织中通过胃蛋白酶的处理提取出来的。纤维胶原是由肌腱等天然组织制备，通过盐溶液、脂溶液和酸溶液等处理步骤去除其中的非胶原蛋白和其他分子之后，剩余的就是胶原纤维。

生物聚合物也可以利用细菌来生产。聚羟基丁酯（polyhydroxybutyrate, PHB）产品就是通过细菌发酵获得的。用葡萄糖和丙酸的精确配料培养，细菌会在细胞质中合成聚合物颗粒。将细胞破碎，经过冲洗和离心，就可以收集到聚合物，再烘干制成产品。这种聚合物的性质与聚丙烯和聚乙烯相似，但它可以降解成为人体内天然存在的成分。生物聚合物的这种理想的环保特性使其迅速占据了一些非医用小产品的市场，如生物可降解单丝鱼网等。但是，由于生物聚合物的生产成本比石油化工聚合物的生产成本高10倍，因此，它的推广应用比较困难。

利用化学方法聚合天然单体也可以制备生物聚合物。虽然这种聚合物不是生物系统产生的，但它们由生物体的基本材料元素合成，具备生物相容性，无毒且生物可降解。其中乳酸类的聚合物（如L-聚乳酸或者L-聚乙醇酸等聚酯纤维）近年来已经被广泛用于医疗器械，制作生物可降解缝合线、组织工程的支架等。血液和肌肉组织中都含有乳酸。另外，利用微生物发酵也可以将葡萄糖或己糖变成乳酸产品。L-聚乳酸经常与L-聚乙醇酸结合使用。

### 例 5.5

外科医生愿意选用什么材料来修复外科手术或者外伤造成的较大的骨骼损坏？需要考虑哪些因素？请在网上搜索生产骨骼修复产品的公司，并到美国矫形外科医生学会（American Academy of Orthopaedic Surgeons）和美国整形外科医生学会（American Society

of Plastic Surgeons) 的网站寻找答案。

解:

自体移植骨是外科医生修复骨骼缺损的首选, 这种组织具有活性, 含有骨骼再生所需的活细胞和生长因子。同种异体移植骨(即脱钙的异体移植骨基质)是第二选择, 与新鲜移植骨相比, 脱钙骨基质的优点是柔韧性好, 容易整合到骨骼缺损部位, 且再吸收迅速, 只要几个月就能够被吸收, 而非脱钙移植骨却需要数年时间。并且, 脱钙骨基质还会释放一种诱导骨骼形成的物质, 即骨形态发生蛋白, 这种生长因子最早是 M. R. Urist 博士于 20 世纪 70 年代发现的。■

## 5.3 生物材料设计和选择中的仿生学

生物医学工程师负责设计各种医疗器械和系统, 用于人体功能的修复、监测或辅助。仿生学是模仿或复制天然生物机理的科学, 它常常是医疗器械成功的关键。天然组织和器官具有难以想象的复杂机制, 至今仍然远远超出科学家们的复制能力; 而且, 组织和器官的各种精确功能还没有被彻底弄清楚。由于这些原因, 从理论上设计医疗器械非常困难。利用非生物医学工程专用的人造材料, 经过许多试验和失败, 该领域正在不断发展。无论如何, 科学家们已经总结出一些基本原理, 作为致力于组织和器官再生以及生物仿生学的生物材料研究人员的设计策略和指南。

已经证明, 即使在粗略的宏观水平上模仿组织的结构也能够改善生物材料的效用。例如, 用半透凝胶作为临时皮肤; 在骨移植体上制造出大小像骨骼中的孔隙一样的多孔特性等。重要的是要明确天然组织拥有的主要功能是什么; 例如, 骨骼和软骨的力学和结构功能、胰腺胰岛细胞的化学功能、皮肤的屏障功能等。要制造出具备天然组织所有功能的完整人造器官, 这很困难; 因此, 重要的是要确定主要目标并设计材料达到此目标。化学家们要多学习天然组织所拥有的调控方法。天然组织在构成人体时采用的是自下而上的方式: 所有材料都由相当简单的 20 种氨基酸和 4 种核酸组成, 它们通过精巧的方式组装成越来越大的结构, 赋予人体令人叹为观止的各种功能。本节将介绍天然组织装配和组建的一些重要元素。

### 5.3.1 细胞外基质——天然生物材料支架

人体内的所有组织都有细胞外基质 (extracellular matrix, ECM), 它是细胞的物理化学支持环境。从生物材料学上看, 它是纤维蛋白支撑结构和胶状物组成的一种复杂的纳米网状聚合材料, 其中的蛋白聚糖吸水之后会膨胀, 产生一定的抗压强度。本书第 6 章将详细介绍 ECM 的蛋白质和多糖成分及其功能。实质上, ECM 给细胞提供了吸附表面和迁移表面, 它有细胞的蛋白质信号分子的黏附位点; 但是, 没有遇到细胞时这些位点处于隔离状态。ECM 是一种从物理上和力学上将所有细胞连接在一起的三维生物材料支架。细胞通过特异性细胞表面受体黏附在 ECM 上, 这些受体能够控制细胞的增殖、分化以及蛋白质表达。由此可见, 细胞与 ECM 之间的相互作用在组织再生过程中具有

非常重要的意义。

生物材料领域的研究人员正在模仿 ECM 的结构来调控细胞与生物材料之间的相互作用，用于促进组织再生和治疗。ECM 由细胞分泌出来的蛋白质自发折叠构成，主要是各种胶原蛋白（有 10 余种）以及纤粘连蛋白、层粘连蛋白、骨桥蛋白等大分子糖蛋白。ECM 是动态变化的，它不断受到细胞的调节。蛋白质的自发性肽链折叠被称为自组装。胶原蛋白分子由三条  $\alpha$  肽链经过自组装形成相互缠绕的三条螺旋链。这三条肽链的氨基酸组成中每隔两个氨基酸残基就出现一个甘氨酸，它们与肽链中的脯氨酸残基和羟脯氨酸残基一起构成了稳定的三联螺旋结构。然后，这些胶原分子再进一步聚集，每几个分子平行排列成一组，相互重叠  $1/4$ ，形成交错排列的直线束，最后，这些直线束再聚集排列成胶原纤维束（见图 5.8）。各个胶原蛋白分子末端的基团之间留有空隙，为以后的矿化留下空间。本章后面会进一步举例说明骨骼矿化的生物学机制。DNA 分子的组装有点像胶原蛋白，它是两条互补 DNA 链缠绕在一起形成双螺旋结构，然后这些螺旋状物质在正负电荷的相互作用下自己进一步聚合起来。自组装是生物组织构建的关键机理之一，它使生物组织在分子水平上产生高度有序的结构。生物材料领域的科学家们目前正在利用这种原理在纳米尺度上制造高度有序的复杂微观结构。

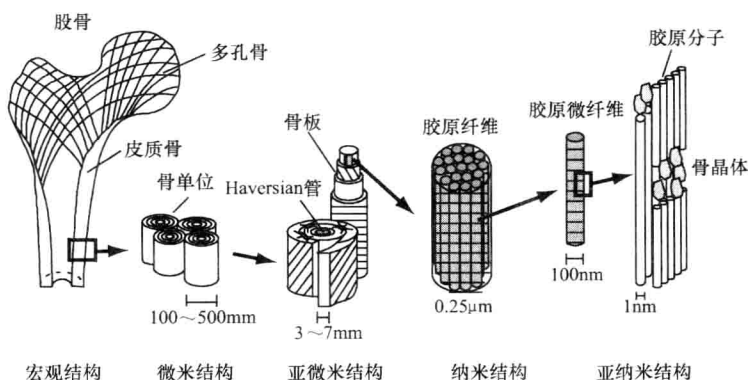


图 5.8 骨骼在各个不同层次上的结构

注：骨骼中至少有如下 5 层微观结构（图中自右向左）：胶原蛋白分子；微原纤维（其中各个分子末端之间存在规则的间隙，这些间隙是骨的矿化成核位点）；由微原纤维组成的胶原纤维；柱状骨单位中的骨板（它们是皮质骨的基本组成结构）；股骨骨髓。

### 5.3.2 天然组织的层次化结构

天然组织具有像鸡蛋或者俄罗斯套娃玩具一样的层次化嵌套结构，当你打开外层时总可以看到里面有更小的一层结构，相似的结构形式在不同尺度下不断重复，生物组织就是这样组装成型，形成自身的特性和功能。在细胞介导的组织构建过程中，最小的组成单元首先实现自组装，然后这些单元再组装成较大的单元，最终完成更大单元的自组装。人体的功能性组织或器官都是这样构成的。组织中的细胞一般都包埋在一层层细胞

外基质中,细胞的生存和活动维护着整个组织的环境。例如,骨骼在纳米、微米和宏观层次上都具有相似的纤维状结构。在骨骼最小的层次上, $\alpha$ 肽链组装成三联螺旋结构的I型胶原蛋白分子,这种胶原分子然后组装成微原纤维,微原纤维再组装成更大的排列成薄板状的纤维,薄板会像夹板一样一圈圈环绕血管形成具有管状或大纤维状的骨单位(见图5.8)。

骨骼肌也有层次结构。肌动蛋白丝和肌球蛋白丝构成肌小节的直线型结构,然后聚集成肌原纤维束,再聚集成肌纤维,这种肌纤维就是含有上百个细胞核的肌细胞,最后多个肌纤维形成所谓的肌肉。本书第3章有肌肉结构的示意图。

染色体的生物结构同样具有层次化。在自然效应作用下,在不同长度范围内经过多次不同尺度上的弯曲和缠绕,7cm长的DNA链竟然能够缩短到原长度的万分之一,从而形成染色体。在纳米水平上,DNA是单股双螺旋结构;然后,每段长约146碱基对的DNA双链盘绕在组蛋白上形成一个个核小体,核小体彼此连成串珠状的染色质细丝;染色质细丝再缠绕成更短更粗的纤维;这种较粗的纤维进一步盘绕后再缩短成为染色单体,两条染色单体最终连接成一条染色体。

层次化是一种非常有效的结构,它使得单位材料的性能最大化。例如,骨骼的多层结构在各层之间形成的界面可以阻止骨折的发生;肌肉中整齐排列的许许多多肌纤维的相互作用可以产生巨大的强度;人体DNA中所包含的信息量更是令人难以置信。由此可见,层次化结构也是生物材料设计中需要模仿的重要原理之一。

### 5.3.3 生物组织的矿化

骨头、鹿角、牙齿、珊瑚、蛋壳和贝壳都是生物组织矿化的例子。虽然从生物材料方面来看这些组织的功能各不相同,而且外形也有很大差别,但是,它们都由大量很小的磷酸钙或者碳酸钙离散晶体颗粒与蛋白基质结合形成。矿质晶体的成核与生长过程受到有机蛋白成分的调控,细胞分泌的有机蛋白分子会通过自组装构成一个模板,给矿物质的生长和成核提供规则的空间。以下3条已经明确的有关各种矿化组织的基本原理对于材料科学家和工程师的工作具有非常重要的指导意义。

1) 生物矿化在特定微环境的亚单元池中进行,这意味着某些功能位点受到诱发晶体形成的刺激信号的作用,而其他某些位点则受到抑制结晶过程的信号的作用。

2) 某种特定的矿化相具有一定的晶体大小(通常在纳米尺度范围)、形状和生长方向。

3) 矿化组织的宏观结构是通过很多逐渐增大的单元组装形成,从而构成层次化的独特的网状复合材料,使材料拥有独特的性能。这又是自然界利用自下而上的方式组装复杂组织的一个例子。

生物矿化还有一个重要特点:大多数组织需要利用原始矿物质结构的重塑过程来优化组织的强度、调节机体的生长、维持矿物质的离子平衡状态、或者修复组织。组织受伤后所形成的原始矿物质结构通常很松散,其功能仅部分恢复,没有达到最优水平,紧接着还会有重塑时期。因此,生物材料科学家们不必制造最终的组织,随着时间的推移

移，可以让细胞去形成最优的终末组织。

骨骼中，受到调控的矿物质的生长和成核过程在胶原蛋白基质构成的微池中进行。骨单位分泌的Ⅰ型胶原蛋白分子经过自组装后形成微原纤维，微原纤维具有独特的结构，它由周期性重复的长约67nm的胶原分子与40nm的间隙排列而成（见图5.8）。这些间隙构成了微环境，其中含有游离的矿物质离子以及附着在胶原分子上的磷蛋白的侧链基团。周期性出现的分子之间的间隙形成了矿化相成核的场所，于是，在胶原纤维这些离散的空间上就形成了薄板状的磷灰石晶体，而且，在这种独特的空间限制下，矿化晶体不可能自由生长，它们被迫成为离散的非连续晶体。在骨骼的正常矿化过程中，即磷酸磷灰石的生成过程中，只有一种磷酸钙物质相会结晶成核，并且矿物质沿着特定的结晶方向生长。仿生陶瓷中的磷酸钙能够促进骨骼的痊愈，并且，纳米尺度的晶粒比高温熔合的大晶粒的效果要好。

## 5.4 生物材料与组织之间的相互作用

### 5.4.1 材料与血液和蛋白质之间的相互作用

生物材料的植入往往会造成创伤，会引起出血，因此，血液一般会首先与植入材料相互接触。血液是一种混合物，其中包含水、各种细胞和细胞碎片（即血小板）、盐类以及蛋白质（即血浆）。蛋白质在决定生物组织与植人体之间界面的活性上具有重要的作用。生物材料可以制作成能够选择性地吸附蛋白质，从而促进细胞和组织在材料上的黏附和活动；也可以制作成能够排斥蛋白质，从而抑制组织与材料之间的相互作用。最重要的是，生物材料的植入会使生物体微环境中的pH值和离子强度等因素发生变化，从而改变附近蛋白质的构象，进而改变其功能。此外，蛋白质在与生物材料的固体表面发生作用时，也会产生结构变化，从而失去其具有的某些生物活性。血液含量最多的蛋白是白蛋白，其次是保护免疫系统的免疫球蛋白，它们都参与细胞的识别和黏附过程；但是，由于被吸附的蛋白质可以发生置换，因此，最终吸附在材料表面上的蛋白层可能并不是这两种蛋白，而是纤维蛋白原。虽然纤维蛋白原在血液中的含量并不高，但是它对生物材料表面的亲和力却较强。重要的是蛋白质会诱导细胞的黏附、增殖和分化，因此，必须了解生物材料植入之后哪些蛋白质会黏附上来。由于血液蛋白质的吸附，材料一旦接触血液之后，植入前预先特意精心地置于材料表面的那些蛋白质可能就被隔离，再也无法作用到细胞了。

血液中的蛋白凝血因子Ⅻ吸附在植入的生物材料表面之后，会导致血液的凝固。这种凝血因子被材料吸附后，血液中的血小板就会跟着吸附到材料上，从而导致纤维蛋白凝块的形成。由此可见，初始的蛋白吸附会引起一系列细胞的级联反应。血液与材料之间的接触会引起各种细胞和细胞因子前来参与其中的生物作用，因此，每种与血液接触并吸附蛋白质的生物材料都会诱发人体的生物反应。例如，使用人造血管时就必须防止血凝块引起的血栓，它会堵塞血管中的血流。在防止与血液接触的聚合物材料表面所诱



发的血栓症时，常用的一种有效方法是用肝素修饰材料表面，也就是通过离子键或者共价键将这种抗凝血剂黏附于材料表面。

### 5.4.2 生物材料植入后创口的愈合反应

生物材料植入时会造成生物组织的断裂，形成创口，并立即由此触发机体高度发达的创伤愈合反应，本书第6章将介绍创伤引起的细胞正常响应过程，这些知识是了解和预测组织与材料之间相互作用的基础，这些相互作用总是包含如下4个阶段（见图5.9），它们在时间上会相互交叠：

1) 止血：在此阶段，血小板细胞通过与生物材料表面附着的蛋白质形成粘连并释放凝血因子，控制出血。凝固的血块形成组织修复的初始基质，填补了植入物周围的空隙。

2) 炎症：血凝块的形成会诱发细胞信号分子（即细胞因子）的产生，细胞因子会将附近血流中的炎性细胞聚集起来。炎性细胞包括嗜中性粒细胞、单核细胞、淋巴细胞和巨噬细胞。它们会通过所谓的吞噬作用，尽可能消化组织碎片和生物材料。同时，炎性细胞在伤口处释放的生长因子开始启动伤口边缘处结缔组织细胞的分裂（即细胞复制）。

3) 增殖与初始修复：在各种炎性细胞所释放的生长因子的作用下，生物材料周围会发生细胞增殖和聚集，从而再生受损组织。于是，位于创伤中心的没被降解的生物材料一般就被纤维组织严密地包裹起来。这层纤维囊把材料与其周围生物环境隔离开来，从而保护了生物机体。炎性异物反应的强烈程度决定了纤维膜的厚度。影响纤维膜厚度的其他因素还有：植入体的化学特性、形状和物理特性，植入体释放药物或腐蚀物质的速率、聚集程度及其生物活性等。如果是永久性植入，植入体不发生生物降解，那么，小膜囊就会一直伴随着植入体。只有骨骼植入体没有膜囊包裹，骨质可以直接附着于磷酸钙植入体的表面，不会生成纤维组织层。

4) 组织重塑：迅速形成的新组织会被细胞重新塑造造成与原始组织比较相近的功能性组织，但一般会留下疤痕。



图 5.9 组织与生物材料之间的相互作用

注：组织与生物材料之间正常的相互作用可以按照时间顺序分成相互交叠且相互依赖的4个阶段（即伤口愈合的4个阶段）：止血、炎症、增殖与初始修复、组织重塑。图中a表示蛋白质在生物材料表面的吸附导致各种细胞作用的发生；b表示血凝块形成，止血结束；c表示血液中包含的细胞以及其他炎性细胞努力处理异物（即植入体材料）并修复其周围的组织；d表示生物体利用纤维组织将植入材料包裹起来，从而保护自身免受侵扰。



5.4.3 金属腐蚀

金属腐蚀的机制有好几种，抗腐蚀是金属植入体必须解决的重要问题之一。在人体内各种盐溶液环境下，金属植入体最主要的腐蚀机制是电偶腐蚀（galvanic corrosion）、缝隙腐蚀（crevice corrosion）和磨损腐蚀（fretting corrosion）。

当浸入电解质的两种不同金属之间存在电气连接时，它们就会发生电偶腐蚀，也称为金属混合物的腐蚀。电偶腐蚀反应必须具备4个基本要素：阳极、阴极、电解质和外电路导体。生物体内环境含有电解质。如果病人身体上植入了不同合金制作的左右两个全髋关节植入体，这并不会引起电偶腐蚀，因为两个髋关节之间没有电气连接。但是，如果同一个髋关节用两种合金制作，或者一种金属制作的接骨板用另一种金属螺钉来固定，那么就很可能发生电偶腐蚀。

当两种不同金属浸入电化学反应池时，其中一个就是阳极，另一个则是阴极。阳极上会发生金属氧化反应（见式（5.1）），产生金属离子。这些从金属表面转移下来的离子要么游离于溶液中，要么形成金属氧化物或者与其他物质形成化合物。生物组织不能接受镍、铬等许多金属元素，它们可能引起有害反应，包括过敏和炎症等反应。而阴极上的化学反应则由环境的pH值决定（见式（5.2）和式（5.3）），该反应抵抗腐蚀、钝化和腐蚀的激活。如表5.3所示，反应的方向由电动势（即电压）的大小决定。表中所列电压值表示1mol/L的离子浓度下，反应平衡时金属的半电池电位，其中氢的电动势定义为零。由表中可见，铁的标准电动势是-0.44V。如果铁与电动势为0.34V的铜连在一起，那么，两者之间的电位差就是0.78V。其中，铁是阳极，会发生式（5.1）表示的氧化反应；铜是阴极，根据溶液pH值的不同，阴极上会发生式（5.2）或者式（5.3）所示的反应。

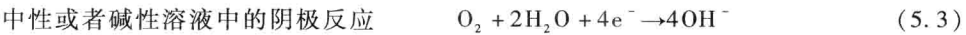
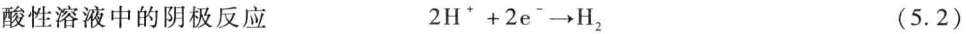
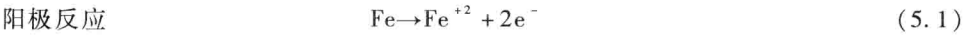


表 5.3 金属电动势大小的排序表（表中所示是25℃水溶液中的标准还原电位）

金 属	标准还原电位/V	
$\text{K} = \text{K}^{+} + \text{e}^{-}$	-2.93	
$\text{Na} = \text{Na}^{+} + \text{e}^{-}$	-2.71	
$\text{Al} = \text{Al}^{+3} + 3\text{e}^{-}$	-1.66	
$\text{Ti} = \text{Ti}^{+2} + 2\text{e}^{-}$	-1.63	
$\text{Zn} = \text{Zn}^{+2} + 2\text{e}^{-}$	-0.76	
$\text{Cr} = \text{Cr}^{+3} + 3\text{e}^{-}$	-0.74	
$\text{Fe} = \text{Fe}^{+2} + 2\text{e}^{-}$	-0.44	
$\text{Co} = \text{Co}^{+2} + 2\text{e}^{-}$	-0.28	
$\text{Ni} = \text{Ni}^{+2} + 2\text{e}^{-}$	-0.25	
$\text{Sn} = \text{Sn}^{+2} + 2\text{e}^{-}$	-0.14	
$\text{H}_2 = 2\text{H}^{+} + 2\text{e}^{-}$	0.000	
$\text{Cu} = \text{Cu}^{+2} + 2\text{e}^{-}$	+0.34	
$\text{Ag} = \text{Ag}^{+} + \text{e}^{-}$	+0.80	
$\text{Pt} = \text{Pt}^{+2} + 2\text{e}^{-}$	+1.20	
$\text{Au} = \text{Au}^{+3} + 3\text{e}^{-}$	+1.50	

由于溶质的单位摩尔溶液的自由能由其浓度决定,因此,电化学反应池的自由能变化和电极电位由电解液的组成决定。于是,反应的方向和速率也取决于溶液的浓度。在铁与铜组成的反应池中,如果增加溶液中的  $\text{Fe}^{+2}$  离子浓度,铁的电动势就会向正方向偏移(即惰性增强);于是,铁与铜之间的电位差就会减小。同理,阴极处的氧浓度也会影响其电动势的大小。增加氧浓度会使其电动势变得更正(即惰性增强),而降低氧浓度则会使其电动势变得更负(即活性增强)。实际上,下面将介绍的缝隙腐蚀就是由氧浓度的变化引起的。

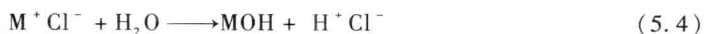
上述原电池反应不仅会发生在不同合金之间,还会发生在同一块合金内部。碳化物等颗粒物的各种界面上以及合金内部不同物质相之间也存在不同的电动势,它们都构成了原电池。金属的冷处理加工还会增加其自由能,使其更容易腐蚀。例如,弯曲金属板或者敲打铁钉头部,都是局部冷处理,会使这些区域相对于其他部分呈现阳极化。

不过,利用电偶腐蚀的原理,通过阴极化的方法可以保护某些部分免遭腐蚀。例如,在钢铁船体上粘贴锌块就可以防止船身生锈,这些锌块其实是作为阳极牺牲物保护了钢铁船身。锌块同时可以保护船上的金属泵等其他金属部件。另外,如果在地下钢铁管道上的某个位置连上电压源,使管道成为阴极;而将另一个容易替换的部件作为阳极,那么,就可以保护管道免受腐蚀。

电极的大小也会影响电化学反应的速率,镀锌铁与镀锡铁之间的区别就是一个典型的例子。如表 5.3 所示,锌比铁的活性高,它与铁组合时是阳极;因此,铁的表面镀上锌之后就是加上了一层阳极材料。如果有小部分锌的镀层被刮擦,露出了铁,那么,由于阴极铁的暴露面积很小,反应很有限,腐蚀就很小。相反,锡相对于铁是阴极。如果锡镀层被刮擦,露出的小面积铁阳极与大面积锡阴极形成电化学反应,刮擦部位阳极腐蚀造成的铁损失就会导致铁的暴露面积不断扩大,腐蚀速率也随之增加。如果在锡阴极上涂上涂料或清漆等非导电材料,那么就可以防止这种自我加速的腐蚀过程的发生。

暴露在氯化溶液中的狭窄空间中会发生所谓的缝隙腐蚀。如金属与非金属之间的垫圈式连接、用螺钉或者夹具固定在一起的两块金属之间等地方都会存在这种狭窄的空间。缝隙腐蚀需要经历数个发展过程,可能需要半年至 2 年,才能形成具有一定浓度的电化学反应池。一些由多个金属部件连接在一起的植入器械会发生缝隙腐蚀,如某些全髋关节置换件、用于固定骨折的接骨板和螺钉以及某些矫正器具等。

缝隙腐蚀的初始阶段,腐蚀在缝隙内部和外表面上均匀发生;也就是,到处都存在阳极和阴极反应,阳极的金属被氧化,阴极的氧气和氢氧化产物则被还原。经过一段时间之后,由于缺乏大分子氧气的流通,缝隙中的氧气几乎耗竭,于是,缝隙内阴极的氧气还原反应就会停止,但其中的金属氧化反应仍然继续。金属氧化释放的电子会通过金属传导到缝隙外的游离表面上,并在那里被还原反应消耗。这会导致缝隙中过量正电荷的聚集,使得带负电荷的氯离子流入缝隙,并与其中的正离子中和。金属氯化物在水中发生水解时会产生不溶于水的金属氢氧化物和游离酸(见式(5.4))。这将导致缝隙中的酸浓度不断增加,从而形成自我加速反应。



如今外科手术使用的合金都涂有一层稳定的氧化膜，正是这层保护膜使各种合金具有抗腐蚀性，这种膜称为钝化膜。例如，表 5.3 中的钛属于一种活性较强的金属，它可以形成黏性很强的氧化物，防止腐蚀。各种不锈钢和钴合金器械上可以形成铬氧化膜。如表 5.3 所示，这些金属的活性都较高，但形成氧化膜之后就成为惰性了。

不锈钢要实现自我钝化，必须至少含有 12% 铬。碳对于铬具有很强的亲和力，碳化铬的平均分子式是  $\text{Cr}_{23}\text{C}_6$ 。不锈钢合金块中的铬原子会移向其中的碳化物，从而形成碳化铬。这使得碳化物具有较高的铬含量，而合金中其他部分的铬却不断减少。如果合金中的铬含量低于 12%，那么就会影响以后的再钝化，不锈钢就容易受到腐蚀。因此，为了安全，外科医用不锈钢一般都含铬 17% ~ 19%，而含碳量则控制在 0.03% ~ 0.08% 的水平。

对于不锈钢焊接部件，尤其要注意碳化物形成的问题。如果钢材被加热到 425 ~ 870℃ 的温度范围内，铬就会在材料中扩散并形成碳化物。如果温度超过 870℃，碳原子晶格就会熔化。如果温度低于 425℃，那么，因铬的流动性太小，就不会形成碳化物。因此，如果焊缝之外金属的最高温度在 425 ~ 870℃ 范围内，那么碳化物就会形成，这就是所谓的金属焊缝两侧的焊接腐蚀。焊接之后如果进行热处理，可以使碳化物重新溶解，然后再迅速淬火，就可以避免碳化物的再形成。

当氧化膜完好无损时，外科医用合金材料表现出惰性。但是，一旦氧化膜破损，如刮伤或磨损，暴露的金属就具有活性。这时，再钝化过程可以恢复惰性。磨损腐蚀就是指保护膜的不断磨损以及由此引起的暴露金属的不断氧化过程。例如，遭受缝隙腐蚀的器械内存在的磨损腐蚀会加速缝隙腐蚀。

患者中金属植入体发生腐蚀的几率有多高呢？有关在体生物材料腐蚀情况的最详细数据多数来自对于患者身上重新取出的植入体的研究。曾经有一项研究共考察了 148 个全髋关节植入体，包括股骨干和股骨头由 Ti-6Al-4V/Co-Cr 混合合金制作的和 Co-Cr/Co-Cr 同种合金制作的。其中，表现为中度至深度腐蚀的有混合合金产品中的 16% 股骨颈和 35% 股骨头，同种合金产品中的 14% 股骨颈和 23% 股骨头。这种腐蚀属于机械作用力助推的缝隙腐蚀。

还有一项研究考察了人体中取出的 316 型不锈钢制作的多种植入体器件，结果发现 91% 植入体存在明显可见的腐蚀，其中缝隙腐蚀占多数。总之，在人体内金属植入体确实会发生腐蚀，从而损坏金属器件。虽然植入前这类器件都经过测试和筛选，但是，都是在简单的理想条件和中性 pH 环境下进行，没有模拟炎症和伤口愈合过程中细胞活动所产生的复杂环境，因此，不能预测体内的实际腐蚀情况。由于金属离子的释放以及腐蚀斑点和缝隙腐蚀产生的其他产物都会导致人体的有害反应，因此，金属器件在人体内的腐蚀情况亟待深入的研究。

#### 例 5.6

美国北部地区的旧汽车往往在车门底部和行李箱盖的底部会生锈，并且无盖货车的后挡板也常常生锈。请列出发生这种情况的五个原因。如果在这些部件上拧上锌块，会有用吗？

解：

1) 车门和行李箱盖的边缘和底部都是通过金属的弯曲形成。弯曲时的冷处理使得受弯曲部位相对于其他部分成为阳极化。

2) 卷曲部分通过点焊来封闭，这会造成不同的微结构，从而形成电偶腐蚀。

3) 冬天，为了防止冰冻，美国北部地区公路上常会撒上盐，飞溅的盐水会滞留在卷曲处，那就是电解质。泥沙也会滞留在卷曲处，有利于维持潮湿的环境。

4) 汽车生产厂家在行李箱盖的底边上装镀铬装饰钢条。铬相对于钢是阴极，于是，就又形成了一种电偶腐蚀。

5) 公路崎岖不平，会导致汽车行驶时行李箱盖不停地蹦跳，箱盖上的油漆会被擦掉，暴露出金属，从而产生磨损腐蚀。

只有当金属腐蚀发生在同一个电解池中时，加上锌块才会有用。因此，在缝隙中加上锌片可以减缓缝隙腐蚀。如果汽车掉进大海，那么锌块就可以保护整个汽车了。 ■

#### 例 5.7

假如你祖母身上已经安装了一个不锈钢全髌关节。现在，她要把另一个髌关节也替换掉，医生想用钴铬合金制成的髌关节。这会有腐蚀问题吗？

解：

不会。因为4个导致电偶腐蚀的基本要素之一不存在。不锈钢髌关节是阳极，钴合金是阴极，人体的盐溶液是电解质，这3个要素都具备了；但是两个髌关节之间缺少电气连接，所以不会有腐蚀问题。如果她跌倒并造成了骨盆骨折，骨折部位加了外部固定器，那么，就可能形成电气连接，从而产生腐蚀问题。不过，这些合金非常耐腐蚀，并且具有类似的电化学特性，因此也许不必担心。 ■

### 5.4.4 细菌定植与生物膜

在水性生态系统、废水处理系统、轮船和海洋建筑等场合使用的仪器和硬件设备上都会生成微生物生物膜；同理，植入人体的医疗器械，即使不是所有，也是绝大部分都会形成这种生物膜。这些植入体包括人造心脏瓣膜、整形植入体、血管、人工心脏、心脏起搏器、导尿管和子宫内避孕器件等。无论植入体的复杂程度如何，简单的导管也好，包含干细胞的生物材料支架也好，所有医疗器械或者组织工程构件上都可能发生细菌定植和感染。

如前所述，一旦植入体进入体内并与血液相接触，植入体表面立即会被覆盖上一层“污秽”的膜，其中含有各种蛋白质和糖蛋白，如纤粘连蛋白、层粘连蛋白、纤维蛋白、白蛋白、免疫球蛋白等。这层膜可以促进细胞的黏附，同时细菌也利用定植其表面的细菌上的受体不断聚积上来。仅需数分钟，这些细菌就开始发送信号分子，导致细菌的集群活动，这种现象被称为细菌的群体感应。这些附着的细菌还会分泌不可溶的胶状聚合物，从而形成一种聚合物基质包裹细菌细胞的结构，这就是所谓的生物膜。在这种受保护的生物膜环境内，细菌得以旺盛地生长。健康人体的肺部和肠道黏液层等部位都存在生物膜，不过，幸运的是多数细菌对人体无害。

虽然抗生素可以有效地抑制游离的细菌,但是,抗生素和宿主的抵御机制对于生长在生物膜内的微生物却没有什麼效果。甚至游离细菌抵御抗生素的能力也在不断提高。以前,耐药菌通常仅出现于重症监护病房,而近来普通病房和住家也出现了耐药的表皮葡萄球菌 (*Staphylococcus epidermidis*) 等细菌。人体抵御细菌感染的主要防御机制是嗜中性粒细胞、巨噬细胞和树突状细胞等免疫细胞提供的天生免疫能力。但是,生物膜属于生物材料中的藻酸盐多聚糖基质,它可以防止免疫细胞分泌的毒性分子进入生物膜。例如,铜绿假单胞菌 (*Pseudomonas aeruginosa*) 的生物膜就可以保护细菌细胞免受  $\gamma$  干扰素介导的白细胞的捕杀。金黄色葡萄球菌 (*Staphylococcus aureus*) 等细菌已经具有抵抗嗜中性粒细胞和巨噬细胞的能力,它们会利用化学物质来阻止免疫细胞的迁移,使得免疫细胞无法将它们吞噬掉。

生物材料研究人员已经尝试了如下几种制造抗感染植入体的方法:在植入体内留置埋入了抗生素的引流导管;通过共价键在材料表面直接键合抗感染药物;或者让植入体向邻近区域释放可溶性有毒药剂(如双氯苯双胍己烷等抗生素)。但是,目前这些方法阻止细菌感染的效果并不佳,反而可能增强细菌的耐药性。

其中,导管设计的成功率很低。键合抗感染药物的设计仅对第一批来袭的细菌有作用,一旦死细胞层堆积起来,药物就不起作用了。此外,无论采用怎样的药物释放方法,当药物耗尽之后,植入体释放可溶性有毒药剂来阻止细菌感染的方法必然就会失效。而且,释放亚致死剂量的抗生素会加速生物膜的生成,诱导恶性因子的表达。

随着有关生物膜形成机制的研究的不断深入,研究人员正在开发新的方法。其中包括,输送人造分子来加速并增强嗜中性粒细胞与细菌之间的结合,进而增强免疫细胞对于细菌的吞噬作用;利用抗体治疗法来分解生物膜;在植入体材料中加入疫苗来提高树突状免疫细胞攻击细菌的能力。

#### 5.4.5 生物材料的降解和重吸收

生物材料可以是永久稳定的,也可以是可降解的。降解过程可能通过化学反应进行,也可能由细胞完成。生物可吸收植入体在体内环境中会随时间的推移逐渐发生降解,并被天然组织所取代,其使用目的是在天然组织的再生过程中暂时提供足够的支持强度和细胞供给。生物材料化学性质和结构的微小变动都可能改变其吸收速率,这个特点可以用于设计各种不同用途的材料,不过,它也可能导致器械的意外损坏。胶原蛋白、聚乳酸(PLLA)、聚乙醇酸(PGA)以及聚乳酸和聚乙醇酸的共聚物(PLGA)等都是常用的可吸收材料。PLLA 和 PGA 通过聚酯键的水解过程降解。小分子量的植入物质的分解会产生小碎片,从而诱发巨噬细胞的免疫反应。PLLA 和 PGA 的降解时间大约在半年至数年不等,由材料的原始分子量和结晶程度决定。PLLA 和 PGA 两者的共聚物一般在几个月内就会降解成碎片,这些乳酸和乙醇酸碎片最终代谢成为二氧化碳和水。磷酸三钙陶瓷材料通过表面溶解过程会降解并变成钙盐和磷盐,而钙盐和磷盐都是人体的天然成分。

生物材料的降解可能导致伤口愈合停留在某个阶段,从而形成未能愈合的慢性创

伤。如果材料降解过快,并释放颗粒物拖延炎症期,就会发生这种情况。持久的炎症会导致多核巨细胞的形成,这些细胞会通过分泌各种酸和酶来不断清除侵入物,它们是异物反应的标志,也会破坏健康组织。这种持续的炎症很可能最终不得不导致外科手术取走植入体。另外,即使愈合过程能够顺利地进行到纤维囊形成阶段,仍有可能产生问题。例如,药物输送植入体的降解作用所导致的纤维囊的形成,会影响药物的释放,最终使药物输送植入体不能正常发挥其作用。组织工程修复过程中纤维囊的形成也意味着失败,因为人体组织无法与植入的工程化组织相结合。

#### 例 5.8

顺利通过伤口愈合的所有4个阶段之后,是否仍然可能产生生物材料的降解,并导致已经愈合的伤口重新恶化,为什么?

解:

这是可能的。某些接受全关节置换的病人已经出现过这种情况。人造髋关节等全关节置换件一般都由两个金属部件组成,中间夹一层聚合物制作的承载表面(通常是超高分子量聚乙烯,即 UHMWPE)。关节弯曲时,金属表面与较软的聚合物表面会摩擦并产生碎屑,从而导致巨噬细胞的会聚。这些细胞识别碎屑颗粒物,将其视作异物清除掉。由于这些人造材料颗粒并不能被细胞含有的酶降解,因此,炎症会无休止地持续下去。过量的炎性细胞因子会不断破坏植入体附近新愈合的骨骼,导致植入体的松动。幸运的是,这种聚乙烯材料已经有了很大改进,如今的髋关节置换体不再像早期产品那样容易产生磨损屑碎。同时,研究人员还开发了陶瓷连接陶瓷的髋关节,它们有更好的耐磨性,且耐腐蚀。不过,陶瓷人造髋关节不适合老年人的骨质疏松骨骼,因为这种材料非常硬。 ■

### 5.4.6 免疫原性

免疫原性是指物质诱发免疫反应的特性,而免疫原是具有免疫原性的物质。食物中的蛋白质是常见的免疫原,它们会引起过敏或者炎症反应。草木的花粉也是免疫原。细菌、生物材料的小颗粒以及异种移植体加工过程中残留的细胞碎屑等也都是免疫原。实质上,保护我们人体的整个免疫系统包括皮肤等构成的物理屏障、酶和抗体等组成的化学屏障以及T细胞等形成的细胞屏障。生物材料植入体内之后,血液中与免疫系统相关的蛋白质就会立即附着到植入体表面,从而引导随后的细胞行为。这里必须再次强调,生物材料表面的化学性质和结构在决定蛋白质附着物的种类和附着程度上具有重要作用,它们决定了组织与生物材料之间的相互作用。各种不同类型的蛋白质都会竞相结合到生物材料表面的黏附位点上。根据所附着蛋白质的不同构象,各种各样信息可能传向附近细胞。本章后面会介绍通过改变生物材料表面来控制组织与生物材料之间相互作用的方法。

同种异体移植时,如果移植体的主要组织相容性复合物(Major Histocompatibility Complex, MHC)蛋白质与受体的类型不同,那么就可能出现急性排斥反应。MHC是一类细胞表面分子,它们为细胞毒性T细胞提供有关已被识别的异物的信息。在不匹配的

两组 MHC 作用下, T 细胞会收到两套有关异物的指令, 从而导致极其强烈的免疫反应。组织配型可以减小这种排斥作用, 虽然患者通常仍然需要长期服药, 用于抑制免疫系统的某些活动。人体对组织工程中使用的生物材料制作的支架也会产生排斥反应。支架中的植入细胞会被识别为异物, 并在巨噬细胞等免疫细胞的直接攻击下遭到破坏。或者在保护寄主的炎症反应过程中, 植入支架外围会生成一层厚厚的纤维囊, 由于这种膜囊阻断了营养的供给, 支架内的植入细胞会被饿死。因此, 某些组织工程器件将植入细胞包在选择性通透膜材料内, 以防止免疫系统的攻击, 例如, 用于释放胰岛素的海藻酸水凝胶颗粒就是如此。

金属植入体的腐蚀会释放出金属离子, 从而可能造成某些人体的金属过敏反应。这种过敏反应会降低骨骼融合的速度, 导致骨骼融合不充分, 或者产生皮炎。一旦发生这两种情况, 通常都必须取走植入体。这又一次说明生物材料并非惰性的。

但是, 有时我们却需要有意设计生物材料来增强免疫系统的反应。例如, 疫苗中一般都加入了一种称为佐剂的生物材料微粒, 以提高并延长其免疫作用。疫苗佐剂可以具有自己的免疫特性, 对免疫系统产生较强的局部刺激。佐剂也可以只是吸附弱毒免疫原的简单微粒, 用于增加弱毒免疫原的效率, 并增强巨噬细胞的吞噬作用; 佐剂还可以是受控的缓释载体, 能够延长局部区域的弱毒免疫原的作用时间, 提高局部免疫反应的几率。选用疫苗佐剂时要权衡其副作用。美国食品与药物管理局 (即 FDA) 已批准的用于人体的材料只有磷酸铝、氢氧化铝和磷酸钙三种, 它们都是矿质盐。科学文献中常将铝化物误认为明矾, 其实明矾是硫酸铝钾。用磷酸铝或氢氧化铝沉淀抗原时, 明矾是初始溶液。其他用于科学研究的生物材料佐剂还有乳化油、细菌脂多糖 (即 LPS) 以及它们的各种合成衍生物 (即脂质体)。

## 5.5 诱导组织修复和再生的生物材料处理技术

### 5.5.1 表面化学修饰 (一维)

细胞和组织与生物材料表面的相互作用是促进新生组织的沉积及其与周围细胞外基质的健康融合的关键。为了获得理想的响应, 人体内原本每个细胞表面的化学组成和胞外基质都受到严格的调控。细胞与胞外基质之间的相互作用由细胞表面的受体 (即整合素) 与细胞黏附蛋白 (即配体) 的作用决定, 其中细胞黏附蛋白与胞外基质相结合。在植入器件应用中, 生物材料取代了胞外基质, 并通过同样的机制向作用于其表面的细胞发送信息 (见图 5.10)。因此, 生物材料表面在决定组织与材料之间的相互作用中具有非常重要的作用, 根据这个概念, 研究人员已经开发了许多表面修饰新技术。

控制细胞与材料表面相互作用的一种表面修饰仿生方法就是预先在植入体表面吸附一些蛋白质分子, 模拟那些参与细胞黏附的分子的作用。现在大家已经知道, 纤维连接蛋白和骨涎蛋白中存在的精氨酸—甘氨酸—天门冬氨酸 (Arg-Gly-Asp, RGD) 三肽序列可以调节细胞与材料表面的黏附性, 因此, 常在材料表面沉积包含 RGD 的多肽分子,



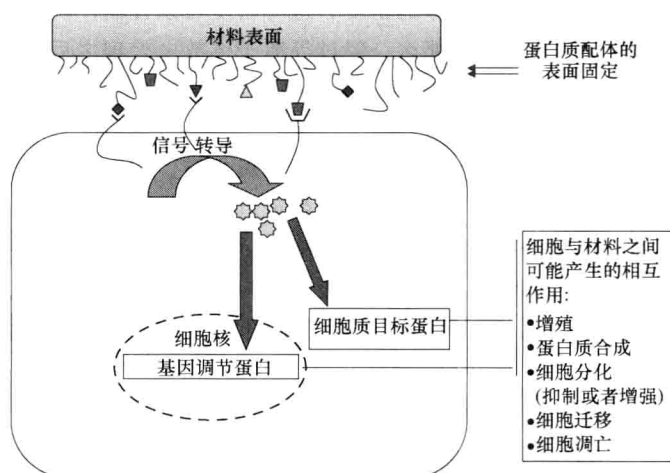


图 5.10 与细胞外基质相似，黏附了蛋白质的生物材料可以通过配体与受体相结合的机制向细胞发送信息

注：第一细胞信使经过多个途经的信号转导得到增强，导致各种细胞内信号分子的合成。这些信号分子通过对细胞核内基因调节蛋白的作用以及对细胞质中其他目标蛋白质的作用，诱导各种基因的表达。理论上，生物材料科学家可以通过材料表面的适当处理来激发理想的细胞活性。

以促进细胞的黏附。此外，在植入体表面吸附生长因子等其他生物分子可以调控组织与材料之间的相互作用，从而增强细胞的活性。与只是单独添加了促细胞黏附分子的表面相比，这种添加了生长因子的表面可以促使更多细胞分化。

在生物材料表面黏附仿生多肽序列的化学方法有好几种。例如，可以通过所谓的有机硅化学法将蛋白质固定到材料表面上（见图 5.11a），这里不详细介绍其中的化学偶联反应和衍生过程。简而言之，这种方法是用硅烷偶联剂在生物材料表面与黏附蛋白质之间建立共价结合，由此形成有序的蛋白质黏附。用于建立偶联基团的固体表面修饰技术有很多种，如光化学修饰、化学衍生物、气体放电等离子体等。利用物理吸附原理还可以产生其他固定蛋白质的方法，如范德华力和静电吸附等方法（见图 5.11b）。静电吸附这种物理方法是最简单的技术，它的特异性最差，且吸附的分子容易脱落。脂质基团和染料分子也可以用于蛋白质的表面固定。

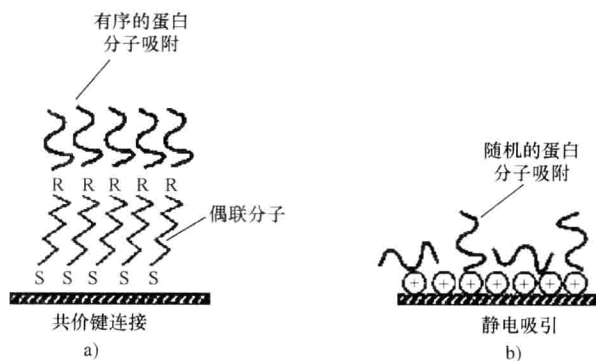


图 5.11 生物材料表面的两种修饰方法

a) 共价键偶联技术，图中 S 表示硅氧键，R 表示黏附在蛋白质上的活性基团 b) 利用静电作用力的物理吸附方法，图中所示是带负电荷的蛋白质黏附于带正电荷的生物材料表面



表面修饰的一个关键指标是配体的密度,这种密度可以控制。例如,如果偏惰性的聚合物表面的蛋白质吸附性太弱,那么,经过等离子体放电处理之后,材料表面就可以黏附较多的功能基团。等离子体处理后,材料表面具有较高的表面能,其反应活性增强,一般就可以增加生物组织的黏附。

利用表面修饰技术还可以产生抗蛋白黏附的材料表面,用于血管支架等与血液接触的移植体。例如,在材料表面贴上聚氧化乙烯就可以减少蛋白质的吸附。细胞在这种处理过的表面上的黏附明显减少。生物材料表面附上抗凝血剂也可以减少不想要的细胞黏附。已经证明,各种亲水材料可以减少血小板的黏附和血栓形成,另外,亲水材料还可以阻止骨骼愈合。由此可见,适用于某些情况的生物材料并不一定适用于其他应用情况。

透明质酸(Hyaluronan)是软骨细胞胞外基质中的一种生物大分子,它负责将蛋白聚糖聚合起来并拴在胶原基质上。研究结果表明,透明质酸可以引导间充质干细胞分化成为软骨细胞。实验时,透明质酸通过化学键黏附在培养皿上,然后加上未分化细胞。结果发现,分子量在200000~400000道尔顿这个特定范围内的透明质酸最容易启动软骨的形成。酶、抗体、抗原、脂质、细胞表面受体、核酸、DNA、抗生素和抗癌药物等生物大分子都可以固定在聚合物、陶瓷或者金属表面,或者固定在这些材料的内部。

此外,材料表面沉积钙离子或者使用含钙材料都可以增强骨细胞在材料表面的吸附。例如,在表面覆有羟基磷灰石涂层的髋关节植入物上,纤维组织的形成会明显减少,而直接的骨骼连接则明显增加。带羟基磷灰石涂层的牙科植入物和脊椎融合笼也具有较好的骨细胞黏附特性。最近的研究还表明,羟基磷灰石陶瓷对于骨髓细胞的吸引具有选择性,这可能是由于其中蛋白质吸附的选择性引起的。

表面修饰可以制作成具有特定大小、形状和规则分布的图案,从而产生一种“二维”特性。下一节的表面拓扑形貌将介绍图案设计的方法。

### 5.5.2 表面拓扑和粗糙度(二维)

表面拓扑是指物体表面在化学上和物理上的不连续性。有证据表明,生物材料表面的拓扑和粗糙度会诱导细胞产生各种各样的反应,包括细胞黏附的调控、细胞形态、细胞凋亡以及基因调控等。因此,生物材料表面的纹理修饰对引导组织的生长会产生巨大的作用。

如图5.12所示,利用光刻技术可以在材料表面印制出各种蛋白质、分子或功能基团的微型图案。其方法简述如下:材料表面先涂上一层光刻胶(即光致抗蚀剂),再盖上掩模,有选择地曝光某些区域之后,就可以获得特定的图案。当光照穿过掩模的空隙,降解了暴露部分的光刻胶之后,这些部位就露出了原生物材料表面。于是,蛋白质等分子就可以黏附到这些暴露的区域上。然后,再去除剩余的光刻胶,就可以得到印制了蛋白质等分子图案的生物材料表面。特种蛋白质的光刻图案可以增强基片上特定区域的细胞黏附性。利用这种技术,研究人员可以使细胞在基片上圆形小区域内的生长密度与方形大区域内的不同。然后加入支持脂肪细胞分化的培养基,于是,只有圆形小区域

内密度较高的细胞变成了脂肪细胞，而那些扩散到方形大区域的细胞则变成了骨细胞。因此，限制或者增强细胞的粘附性可以调控细胞的分化。

除了用蛋白质修饰暴露的区域以外，还可以深深地蚀刻去除暴露区域的材料，形成凹槽或者凹坑。利用凹槽引导细胞活动的方法被称为接触性导航。当细胞遇到凹槽时，它们的形状就会发生改变，变成细长形，嵌入到凹槽之中。这种方法可以引导细胞有序地排列在基片表面，从而模仿肌肉、血管和神经等组织中细胞的排列方式。细胞内的细胞骨架变形之后会向细胞核发出信号，进而导致基因表达的变化。

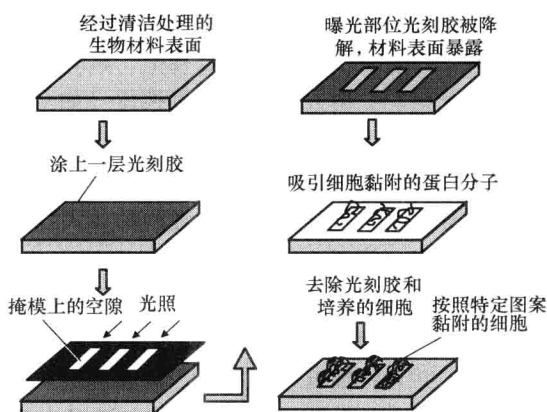


图 5.12 利用光刻技术可以在生物材料表面印制各种蛋白质或者功能基团的微型图案

生物材料表面的修饰方法已有很多，而且新方法仍然在不断产生。据观察，为了对细胞生长和黏附能够产生一定的作用，材料表面的粗糙度必须具有生物学意义，也就是在  $1 \sim 10\mu\text{m}$  的尺度范围内。能够提供这种精度范围的改变材料表面拓扑的其他方法还有激光消融法、使用腐蚀剂的湿法蚀刻、将熔化的生物材料压入刚性模具的铸造成形法等，这些技术都可以使材料表面变粗糙。热浮雕压制或者平版印刷也是一种模具法，适用于热塑材料。微接触印刷法 (Microcontact printing) 是制作细胞基片上化学修饰图案的最常用的方法。它利用人造橡胶制作的“印章”，通过接触传输将蛋白质等生物活性复合物黏附到基片上。金属表面也可以粗糙化，例如，用陶瓷颗粒喷砂，或者放在酸、碱溶液中进行化学蚀刻，在材料表面生成特定尺寸和形状的凹坑。

用于整形手术的金属器件有许多，器件表面涂上磷酸钙可以增强骨细胞的黏附性。钛金属表面涂磷酸钙薄层的方法有很多种，其中有离子溅射法。这种方法用离子束射击一块磷酸钙，使其蒸发成为等离子体，然后在金属植入体表面凝结成镀膜。常用于工业产品制造的等离子体喷雾法的原理与此相似。还有一种方法是模仿生物的沉积过程：将金属器件浸泡在高浓度的磷酸钙饱和溶液中，使磷酸钙逐渐沉积在金属表面，就像人体内实际的骨骼矿化晶体的沉积过程一样。

具有光滑表面的材料，比如能够抗蛋白和细胞黏附的热解碳等，都是制作心脏瓣膜的理想材料。不过，如果用牛或猪的天然生物心脏瓣膜就更好，其理想的表面形貌和表面化学特性可以减少凝血和血栓的形成。但是，生物瓣膜一般会因钙化而失效。与光滑的热解碳表面相比，天然胶原表面比较容易钙化。可见，生物材料研究人员的工作就像厨师，利用几种基本原料要做出许多道菜，只是添加的成分和烹调方法不同而已。该领域有许多不同种类的专用器件。

### 5.5.3 生物材料支架制造技术（三维）

使用支架的目的是重建细胞微环境的要素，使细胞能够增殖、分化，并生成新的细胞外基质。在这些事件的发生过程中，新的组织也就获得再生。临床应用的关键问题是要使得宿主组织黏附并进入人造置换体（如全髋关节置换体），或者从无到有产生新组织。如果创伤很大，体内自身产生的“天然支架”（即血凝块）无法填补伤口，那么，就必须使用人造支架。目前市场上已有人造的生物材料支架产品，包括携带或不携带刺激性生物分子的、包含或不包含细胞的各式各样支架，它们通常都用陶瓷或者聚合物制作。组织工程（详见本书第6章）需要解决的基本问题就是将生长因子、细胞和生物材料支架结合在一起。

生物材料支架最关键的性能是必须能够模拟细胞外基质的功能，能够支撑起空间，支持细胞，并且将细胞组合起来，构成组织。本章前面讲述表面化学修饰时已经介绍过模拟胞外基质中的黏性蛋白可以促进细胞的黏附 and 分化。本节的重点是讲述细胞外基质支架的三维结构和物理特性，它们对于促进细胞生成功能性再生组织具有非常关键的作用。

用于组织再生的生物材料支架中包含的孔隙的大小是一个很重要的参数。经过大量的试验和失败，现在研究人员已经确定了用于不同组织的各种生物材料的最佳孔径范围。根据现有的基本原则，细胞能够通过的孔径至少有  $5 \sim 10\mu\text{m}$  大小；较成功的骨骼支架一般在整个支架厚度上全都布满孔隙，大小为  $100 \sim 250\mu\text{m}$ ；新生血管聚合物支架中的孔隙一般为  $0.8 \sim 8\mu\text{m}$ ，聚合物内的孔隙的孔径不能小于  $0.02\mu\text{m}$ 。通常，聚合物中孔隙的孔径可以比陶瓷或金属材料中的孔径小一些，这可能是由于聚合物在体内的降解和膨胀会引起孔隙的扩张。

支架孔隙的孔径大小决定了其多方面性能，如机械强度，降解率，对气体、液体和营养物质的渗透性，以及细胞向支架内部的生长等。多孔的交织结构是组织工程器械中营养物质扩散和组织细胞生长的基础。图 5.2 和图 5.3 所示的髋关节和膝关节植入体表面就是粗糙多孔的涂层。多孔涂层是通过将金属小球颗粒融合在移植体表面形成的，颗粒之间的空隙就构成了小孔。表面的小孔和沟槽可以诱导骨细胞迁移进来，或者沿着这些结构生长。据观察，沿着这种大于  $5\mu\text{m}$  的表面结构延伸和排列的细胞会诱发骨骼的沉积，从而使骨组织与植入体之间形成机械连锁，增加了两者的连接强度。

组织工程中生产多孔材料的方法有许多种，而且还在迅速发展。早期在细胞支架等的材料中生成孔隙的一种方法是使用致孔剂。也就是，用溶剂将聚合物溶解，并与某种颗粒物质（即致孔剂）混合在一起，此时致孔剂在聚合物溶剂中是稳定的，不会被溶解，但此后可以溶解除去。然后，等到溶剂挥发以后，就留下紧密包裹着致孔剂的一股股聚合物。再用水等其他不会溶解聚合物的溶剂将致孔剂溶解洗脱，聚合物中就形成了孔隙。这种方法称为溶剂浇铸-颗粒沥滤技术（solvent casting/particulate leaching）。与该技术相关的还有凝聚技术（coascervation），这种方法先将聚合物溶解在溶剂中，再加入致孔剂，然后再添加不能溶解聚合物的溶剂。于是，聚合物就会沉淀出来，其中包埋了

致孔剂颗粒。收集沉淀物之后,压实,然后洗去致孔剂,就可以得到多孔材料。图 5.13 所示的骨晶体与聚羟基丁酸-羟基戊酸共聚酯 (polyhydroxybutyrate hydroxyvalerate, PHBHV) 的复合材料就是这么制作的。这些方法中都使用有机溶剂,必须在真空环境下彻底去除溶剂,并且要避免高热,以防杀死细胞。

相分离与乳化技术也可以用于制造多孔的聚合物支架,其方法简介如下:先用溶剂将聚合物溶解,再加入一种不相溶的液体(如水),混合成乳液。然后,将这种聚合物与水的混合液倒入模具,快速冷冻干燥,这种方法称为冻干。这样,原来被水占据的空间就变成了孔隙。再将溶剂蒸发掉,留下的就是固体结构。孔隙率在 95% 以上的高孔率支架就是用这种方法制成的。不过,这种方法产生的孔隙较小,只有  $13 \sim 35 \mu\text{m}$ ,这是一个缺点。还有一种制作多孔材料的方法是纤维粘接法,也就是将纤维一层层排好或者编织起来,然后加热熔化后将

它们粘连在一起,或者用溶剂粘接。这种方法的优点是孔的大小可控制,而且孔隙之间相互联通。缺点是孔道是规则的矩形,不像天然细胞外基质的结构。为了克服这个缺点,如图 5.14 所示,可以将聚合物预先加工成微球状的颗粒,然后烧结在一起,这样形成的三维支架中就包含了不规则的孔隙。

生物材料支架还可以用实体自由成型制造技术 (Solid Freeform Fabrication, SFF) 来制作,这种技术常用于汽车和飞机零部件的快速成型,它其实包含多项技术。其中,光固化立体成型法 (Stereolithography) 是利用一束聚焦激光的扫描,根据计算机辅助设计的指令,有选择地一层层固化聚合物溶液薄层中的某些区域。一层固化完成之后,固化处溶液的底部升高,在计算机控制下,激光束重新沿新的途径固化部件的下一层;如此重复,就可以制造出复杂的三维形状。同样,所谓的三维印刷术可以用于制作多孔支架,也就是一层叠一层地制造出复杂的形状。这种方法根据计算机指令在粉末池中通过“打印头”将“胶水”滴到指定的位置上。当所有的粉末层“打印”完毕之后,提起黏合在一起的部件,没有黏合的颗粒就会掉落,由此获得所需形状的三维部件。根据计算机辅助断层扫描 CT 图像或者 X 射线照片所提供的病人骨骼缺损部位的形状,上述制造方法已经成功地用于制作各种骨骼替代件,并且也用于制备各种聚合物支架和陶瓷支架,这些制造技术能够生产的支架的形貌尺寸为  $10 \sim 1000 \mu\text{m}$ 。

支架制造技术中确实能够生产与细胞外基质相似的纳米纤维聚合物结构的是电纺技术 (Electrospinning),也就是做棉花糖的方法。在电场作用下,熔化的聚合物液体从喷嘴孔中射出,在接地的收集板上形成纳米纤维丝。由于纳米技术迅速发展,而且电纺很

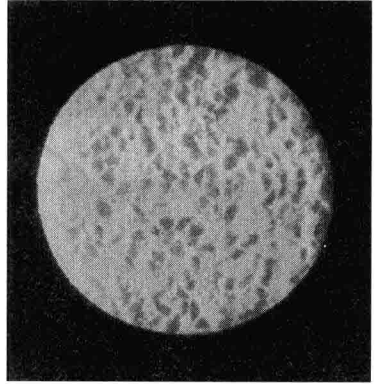


图 5.13 骨晶体与可降解 PHBHV 材料制作的复合生物材料支架

注:生产这种支架时应用了凝聚技术,将聚合物从溶剂中沉淀出来,并使用了可溶性致孔剂形成骨骼修复所需的大孔隙。(该支架由 Marianne Manot 制作,他以前是 Kuhn 博士的学生。)

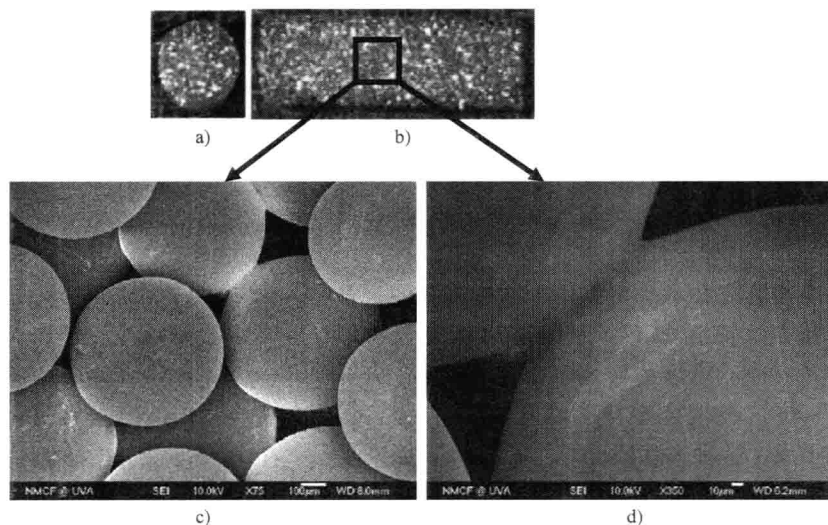


图 5.14 使用聚乳酸-羟基乙酸共聚物 (PLGA) 微球颗粒加热烧结而成的三维支架

支架光学显微镜图像的前视图 (图 a) 和侧视图 (图 b), 电子显微镜照片 (图 c 和图 d) 显示了支架的多孔结构和微球颗粒之间的结合 (由 Connecticut 大学医疗中心的 Cato T. Laurencin 实验室馈赠)

注: 这种 100% 交联的多孔支架的平均孔径为  $100 \sim 150 \mu\text{m}$ , 它的力学特性达到人体骨小梁的中等水平 (骨小梁的孔隙率为  $30\% \sim 35\%$ )。

独特, 制造方法相当简单; 因此, 电纺技术近年来普遍用于组织工程的支架制造。通常, 电纺纳米纤维基质的孔隙率可达  $90\%$  以上, 孔径可达  $100 \mu\text{m}$ 。对于像变形虫一样游动的细胞, 纳米尺度的纤维阻力非常小, 因此, 细胞在基质中迁移时可以推开周围的纤维。电纺技术至少已经能够利用 100 种以上不同的生物可降解聚合物来成功生产纳米纤维, 其中 30 种以上已用于各种各样组织工程产品。其中, 天然聚合物中的胶原蛋白、凝胶、弹性蛋白、蚕丝蛋白、纤维蛋白、透明质酸和甲壳素等都已经可以制造成三维纳米丝支架, 用于整形手术。此外, 如图 5.15 所示, 全人造聚合物也可以制作电纺丝。仿生的纳米结构材料可以促进细胞的黏附, 增强细胞的功能, 这些因素极大地推动了有关纳米结构生物材料的研究。

除了可以将细胞种植于表面的多孔支架以外, 组织工程中传送细胞和生长因子的另一种方法是使用水凝胶支架。这种支架将细胞包起来, 但可以透过液体和气体。水凝胶可以用各种各样天然的或者人造的材料制作, 其中天然材料有胶原蛋白、透明质酸、藻酸盐和甲壳素等, 它们本身都具备生物相容性和生物活性。天然材料中的各种生长因子和细胞因子可以增强许多细胞功能。但是, 所有天然材料都存在个体差异大的缺点, 很难用于研究细胞对于微小化学修饰物的生理反应, 因此, 聚乙烯醇水凝胶等全人造材料更适合用于细胞生理的基础研究。

水凝胶内部的结构特性会影响细胞的活性和功能。这些特性包括交联的数量和类型, 它们决定了水凝胶的力学特性以及物质传输和降解特性。在人体内, 天然的细胞外

基质提供了细胞黏附的键合配体。这些配体会促进细胞的受体-配体反应，进而将基质的力学特性信息传递给细胞，并通过胞内的信号传导途径调控细胞的命运。要利用人造水凝胶实现这些功能，就需要将少量胶原蛋白、层黏连蛋白和纤黏连蛋白等细胞外基质的蛋白质结合到水凝胶网络内。

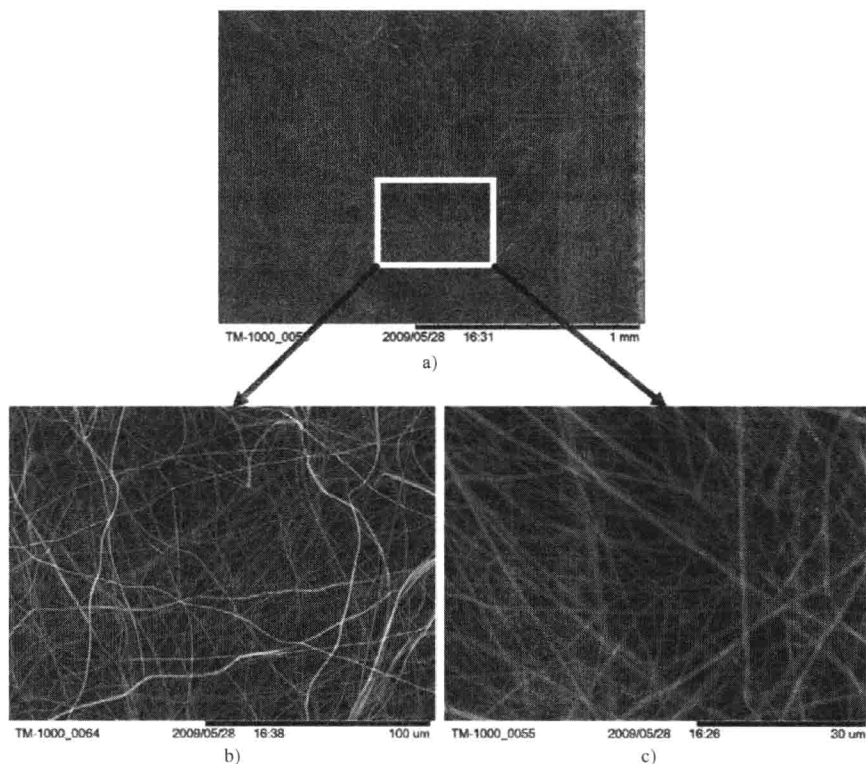


图 5.15 利用聚乳酸-羟基乙酸共聚物制作的电纺纳米纤维基质

(由 Connecticut 大学医疗中心的 Cato T. Laurencin 实验室馈赠)

注：这种人造基质与天然细胞外基质很相似，用于各种软组织的修复和再生有很大的优势。

图中所示是不同放大比例的电镜照片，可见材料的孔隙率很高。

## 5.6 生物材料的安全性测试与管理

### 5.6.1 产品特性的测定

生产安全产品的第一步是首先必须确保产品的纯度和特性。有关各种材料安全性的数据非常多，但是，由于各种加工方法可能引入添加剂，而且最终的灭菌消毒处理也可能改变生物材料的特性，因此，必须对最终产品的纯度和特性进行检验。美国材料与试验协会 (American Society for Testing and Materials, ASTM) 已经颁布了很多标准，医疗



器械生产厂家可以根据这些标准评价产品的纯度和特性,以及产品的安全性。ASTM 的网址是 [www.astm.org](http://www.astm.org)。ASTM 对于用于医疗器械的金属有严格的规定,包括组成成分、微结构、晶粒的大小、杂质的大小、缺损的大小以及宏观孔隙率和微观孔隙率等都有相关的规格,以确保产品的安全。ASTM 有关陶瓷材料的标准规定了材料的化学成分、相位测定、晶粒大小以及可能降低材料抗疲劳性能的烧结辅料等杂质的含量。而且,美国 ASTM 正在编写新的标准,用以确保组织工程支架材料的质量和可靠性。除了规定支架材料化学特性的正确测试方法以外,ASTM 还制定了测试材料孔隙率和渗透性的标准方法。此外,ASTM 对于产品的溶解性、降解性和稳定性等测试也有相关标准。ASTM 的各项标准是在广泛收集意见的基础上撰写的,代表了制造商、用户等广大利益群体的意见和共识。这些标准都有电子版,无论对于新手和有经验的工程师,它们都是很有价值的资料。

评估生物材料的组成和结构的方法虽然有很多,但是,没有一种技术单独能够提供全部所需的信息,只有使用多种分析方法才能获得全面的信息。例如,晶体材料可以用 X 射线衍射技术来鉴定(一般分析样品都呈粉末状)。其原理是:X 射线束穿过一排排原子时会发生衍射,如果用检测器在材料表面不同角度测量反射射线的强度,那么,射线强度随测量角度变化的函数就体现了晶体结构的特征。将测量结果与现有的数据文档进行比较,就可以鉴别产品的晶体结构。

傅里叶变换红外光谱法是 X 射线衍射晶体结构测定的一种补充方法,它可以测量材料的化学基团数据,而且,被测材料不必是晶体,气体、液体或固体都可以。红外光谱法检测的是样品在红外线照射下所产生的分子振动。如果红外辐射的频率与材料中分子的基本振动模式相匹配,那么,红外辐射的能量就会被吸收,使得振动偶极子垂直于材料表面。红外辐射吸收系数随波长变化的测量曲线就构成了所谓的化学“指纹”,将这种指纹与现有的数据库中的各种材料指纹数据进行对比,就可以识别材料的类型。多数未知材料鉴别方法都是利用这种形式,也就是,利用某种能量轰击材料,定量测定材料的作用结果,然后在数据库中搜寻类似的结果。例如,二次离子质谱法(Secondary Ion Mass Spectroscopy, SIMS)和 X 射线光电子能谱法(X-ray Photoelectron Spectroscopy, XPS)等技术都是利用这种基本测定模式,这两种技术常用于生物材料表面化学特性的测定。

扫描电子显微镜(Scanning Electron Microscopy, SEM)对于确定生物材料的二维表面拓扑形貌非常有用。其原理简介如下:用一束高能电子束扫描样品,使材料表面发射二次电子,这种二次电子的强度主要取决于材料表面的微观形貌;因此,通过记录二次电子所产生的电流强度,就可以重建测量表面的图像。SEM 的放大倍数可达 100000 倍,如果需要更高的放大倍数,还可以用原子力显微镜(Atomic Force Microscopy, AFM)。AFM 的原理是:利用固定在悬臂上的原子级的探针扫描物体表面,扫描时探针并不与物体发生实际接触。被测材料表面的原子与探针相互作用,互相之间会产生排斥力或者吸引力,这种作用力使得悬臂高度发生非常微小的变化,通过记录这种高度变化就可以构建材料表面形貌的图像。如果操作正确,AFM 的图像可以显示出单个原子。

计算机辅助 X 射线断层扫描（即显微 CT）和磁共振成像（NMR）技术可用于采集材料的三维图像，图 5.16 所示就是生物可降解多孔支架的显微 CT 图像。这两种三维成像技术需要在样品各个不同方向上进行扫描，然后将所有方向上采集的数据整合起来，通过数学算法重建三维图像。它们可以无损检测固体材料的孔隙率和体积分数，还可以直接测量固体的孔隙尺寸参数（如宽度、直径、厚度等）以及重复性结构的间距等。显微 CT 图像的对比度由 X 射线的衰减决定；因此，具有较高衰减系数的聚合物等支架材料可以产生对比度较高的图像，图像中支架与背景之间的自动分割计算就比较容易实现。目前市场上出售的台式显微 CT 产品的空间分辨率约为  $5\mu\text{m}$ 。

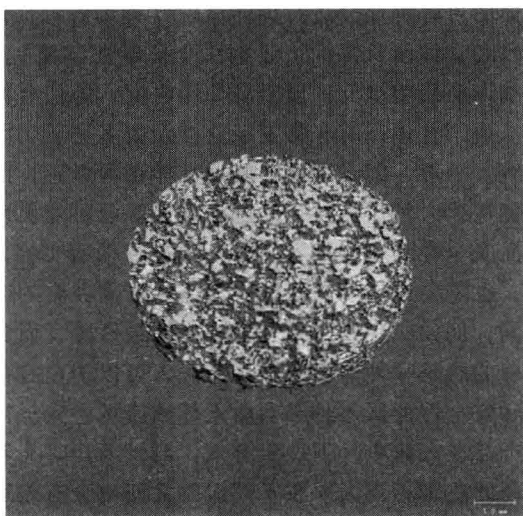


图 5.16 图 5.13 所示支架的显微 CT 图像

（由 Connecticut 大学医疗中心

显微 CT 研究室的 Douglas J. Adams 博士馈赠）

### 5.6.2 产品安全性与生物相容性的测试和评估方法

本章前面已经反复强调组织与生物材料之间的相互作用是双向的：人体内环境会影响植入的生物材料；反过来，生物材料也会影响人体。因此，在生物材料植入人体之前必须研究这两方面的作用，这就是所谓的生物相容性和安全性测试。进行这些测试之前，必须先应用本章前面已经介绍过的方法全面测定材料的结构和化学组成，以便确认材料的纯度和特性，并确保在合成、制造和消毒等各个处理环节中没有无意间引入其他物质。

生物相容性与安全性测试包括细胞和组织的离体实验、动物的在体实验以及最后的人体临床实验，美国 ASTM 和国际标准组织（International Standards Organization, ISO）以及 FDA 等联邦政府的监管机构都对此制定了许多指南和规则。ASTM 的 F-748 标准和 ISO 的 10993 条例都给定了全面的安全性和生物相容性测试的详细方法，医疗植入器械的生产厂商必须遵循这些标准和方法。所需的测试根据产品的不同用途分类，表面器械、外部通信辅助设备、植入器械等产品的测试各不相同。根据与人体接触时间的长短不同，各类产品的测试还进一步分为短期接触、长期接触和永久性接触三类。基本测试包括细胞毒性、致敏性、刺激性（即皮内反应）、急性全身毒性、亚急性全身毒性、遗传毒性、植入实验、血液相容性、慢性毒性以及致癌性等。试验样品最好是完整的医疗器械，并且经过消毒等真正与用于人体时一样的处理过程。不过，由于试验条件的限制，有时不可能使用完整的医疗器械进行测试，因此，经常先将可滤取的成分或者植入



物体的可降解成分进行离体试验（即细胞毒性试验），并且进行初步的在体试验（即致敏性和急性全身毒性、亚急性全身毒性试验）。要完成 F-748 和 ISO 10993 所规定的全部临床应用前试验一般需要 2 年时间，即使合格的、有经历的器械也是如此。

由于在体系统非常复杂，涉及很多变量，因此，离体测试结果与在体测试结果很难一致。一般，细胞培养实验比在体试验敏感；因此，离体试验显示毒性的材料并不一定不能用于人体。另外，细胞培养实验既可能出现假阴性也可能出现假阳性，因此，测定产品安全性和生物相容性时必须进行动物实验，同时为了初步评估产品的功能及其有效性，也需要进行动物实验。但是，不同种类的动物对于各种生物材料和药物的响应各不相同；例如，豚鼠对免疫过敏实验最敏感，而兔子则对在体热原实验最敏感。虽然动物实验的确是一种有用的筛选方法，可以防止有毒成分植入人体；但是，最终的生物相容性和安全性测试还是必须由人体临床试验完成。有时，在小鼠或者狗模型中被证明有效的产品在人体中并不一定有效，测试新药时尤其如此。药物的有效剂量有时在不同物种之间的差别相当大，在不同人群之间也会有差别。因此，在生物相容性、安全性和有效性测试中，要按照逐步增加剂量的方案进行，临床试验需要大量病人的参与。

### 5.6.3 管理规程

在美国，用于人体的新药、生物制品、或者新的植入式医疗器械在实际使用和销售之前都必须获得食品与药物管理局（Food and Drug Administration, FDA）的批准。目前，FDA 共分为六大中心：器械与放射卫生中心（Center for Devices and Radiological Health, CDRH）、药品中心（drugs, CDER）、生物制品研究中心（biologics, CBER）、食品与化妆品中心、兽药中心以及毒理研究中心。FDA 在收到厂商的产品论证申请报告后，首先要确定该产品属于哪种类型，是药物、仪器还是生物制品；然后，再决定由哪个中心主管其审查过程。每个 FDA 中心有不同的处理程序和要求，必须完成这些程序并满足其要求，才能获得 FDA 的批准。有些产品是生物制品与器械的结合，或者是药品与器械的结合，这种产品必须满足两个以上 FDA 中心的相关要求才能取得许可证。例如，组织工程医疗产品就是多种形式组合的产物。这种组合型产品一般最难管理，进入市场之前的处理时间也最长。FDA 通常将不携带细胞和生长因子的单纯生物材料支架归为器械类产品，由 CDRH 负责管理。

由于 FDA 的认证程序太复杂，厂家一般都要聘用专家来处理新产品开发的 FDA 认证事宜。不过，开发人员也应该早就具备产品法规方面的知识，与良好的研究和开发工作一样，这也是医疗产品获得成功的必备条件。下面简单介绍 FDA 的医疗器械与放射卫生中心（即 CDRH）的有关规程。

CDRH 根据医疗器械的分类来确定产品论证的要求和控制程序（参见网址 <http://www.fda.gov/cdrh/devadvice/>）。医疗器械产品分为三大类：Ⅰ类产品是那些与人体接触有限、风险最低的医疗器械；Ⅱ类产品需要某些特殊控制，为了确保其安全性，这类产品通常必须满足某些性能标准；Ⅲ类产品是不能明确那些基本控制或者特殊控制足以提供其安全性和有效性保证的产品。市场上还没有可比性产品的新型医疗器械自动列入第

Ⅲ类产品。Ⅰ类产品有牙线、压舌板、外科医用手套以及妊娠试验等临床生化测试系统等；Ⅱ类产品有血压计袖套、氧气面具、牙科印模材料以及心电图机等；Ⅲ类产品则包括心脏瓣膜、自动血液加热装置以及硅胶乳房假体等。产品分类是FDA认证过程中非常重要的一步，它决定了产品出售并用于人体之前必须接受哪些测试。

厂家至少在新产品或者具有重大改进的产品出售前90天向FDA提交上市前通告申请书。CDRH收到的99%以上申请书都可以通过510(k)条例规定的上市前通告程序进行处理。该上市前通告的目的是请厂家向FDA证明新产品与已被批准销售的某种商品具有实质性的等同，也就是，确认所涉及物质的特性和纯度，然后，根据质量体系法规简要地填写ASTM F-748和/或ISO 10993测试协议表。该法规还要求厂家提交产品的主工艺文件(Device Master Record, DMR)和设计历史文件(Design History File, DHF)。这两个文件中包括设计过程文档、制造细节、所有测试结果(包括校验测试)以及详细的设计原理和检验方法等。

如果新产品不符合510(k)条例的规定范围，也就是目前已经合法上市的产品中不存在与该产品具有实质性等同的产品，那么，厂家就必须提交完整的上市前申请(PMA)，它包括有关产品安全性和有效性的所有要求的临床前测试和临床试验数据。根据产品与人体和/或血液接触时间的长短，ISO的10993条例中有一个决策树，它有助于确定产品需要进行哪些生物相容性和安全性测试。临床试验的管理很严格，以免受试者在不知情的情况下遭受很大的风险。产品在临床试验之前必须已经成功通过动物的离体和在体安全性试验，并具备详细的相关文件。人体临床试验一般分为四个阶段：安全性测试阶段、疗效测试阶段、双盲阳性产品对照的疗效评估阶段(这三个阶段大约需要5年时间才能完成)、最后是上市后的监督管理(也就是FDA批准后普通公众使用产品的情况分析)。开始临床试验之前，厂家必须申请研究性器械豁免认证(Investigational Device Exemption, IDE)，提交的申请报告包括所有的制造程序和质量控制程序、临床研究计划、还有已经评审过该申报计划的审查委员会名单(参见第2章)。FDA会在30天内批准或者否决IDE申请。一旦PMA申请程序完成之后，FDA会在180天时间之内批准或否决该项申请。如果获得批准，产品就可以投入市场，并按照申请中说明的用途用于人体，产品标签上必须注明用途。如果产品要按照其他新的用途销售，那么，在合法出售之前必须向FDA再递交另一份申请，并接受审查。如果读者希望进一步了解FDA各个中心的规程，可以查询网站[www.fda.gov](http://www.fda.gov)上有关FDA认证法规的指南文件。

## 5.7 生物材料应用举例

### 5.7.1 肌骨的修复

植入体生物材料部件的设计和选择应该基于所需恢复的受损或病变组织的生理功能。肌骨(musculoskeletal)组织的主要功能是提供支持器官的构架，并提供肢体运动

所需的力量。骨骼、软骨、肌腱、韧带和肌肉都是肌骨组织的组成部分，它们具有不同的功能和不同的生物特性，在植入体设计和材料选择时这些部分都必须分别考虑。

骨骼是唯一能够自发再生的组织，它一直处于不断重塑的状态，始终在优化自身的结构，以便更好地满足机体的需求。正是由于存在这种持续的细胞重塑活动，因此宇航员会在失重情况下迅速损失骨骼的质量。与骨骼不同，软骨不含细胞，其自我修复功能很有限；因此，软骨损伤往往是永久性且进行性的。软骨覆盖在关节中两块相对骨骼的表面，它的功能是减小关节运动时的摩擦。韧带位于浅表，其功能也比较“简单”，易于更换。不过，韧带不仅仅只有被动的关节约束功能，它还为保持关节稳定的肌肉收缩提供电信号。

修复受损或病变的组织和器官时，最好使用自体移植或同种异体移植的材料作为供体，但是这些材料的来源有限，所以，经常退一步选择仿生的的人造替代物。据证明，仿生磷酸钙材料（即羟基磷灰石）可以显著提高骨细胞的活性，并可以单独使用或者结合胶原蛋白等其他聚合物一起作为骨移植替代物。羟基磷灰石不仅可以促进骨细胞的黏附，而且还可以控制干细胞分化为成骨细胞。这种特性对于组织工程技术非常重要，组织工程的目的不仅要恢复功能，而且还要恢复实际的生物组织。在组织工程产品开发中，其材料选择比传统方法更复杂；一般，其材料必须具有足够的机械强度，并且材料表面的化学成分要有利于细胞的黏附和增殖，还可能需要具备药物输送载体的功能，能够释放生长因子，而且，一旦新生组织形成之后，植入的人造材料必须能够被吸收或产生生物降解。

目前，修复关节软骨的一种方法是将取自自身健康关节的骨骼和软骨的混合物移植到缺损部位；另一种方法是用细胞填充缺损部位，这些细胞能够促进软骨和/或骨组织的生长。后一种方法最近已经获得FDA的准许，它使用的是病人自身的软骨细胞。治疗时，首先采集病人的软骨细胞，经过体外扩增之后，再将细胞注射到由外科手术在缺损部位构建的腔室内。不过，研究结果表明这种方法建立的软骨组织的降解速度比胚胎发育期形成的软骨要快，或许这种人工仿造的生物过程中缺少了某种关键的细胞信号分子。

组织工程软骨重建的研究正在不断发展。例如，有人将软骨细胞或干细胞种植在胶原蛋白、纤维蛋白和聚乳酸等软组织支架中，放在包含外源性生长因子的生物反应器中进行预培养，从而生产新生软骨组织。这种方法利用了生物材料支架，是对只用细胞的方法的一种改进。还有人开发了悬浮在透明质酸中的间充质干细胞混合物，拟用于直接注入到受损膝关节的半月板中。羟基磷灰石可以刺激干细胞分化成骨细胞，非常适合于各种骨应用，与此类似，胚胎细胞外基质中存在的透明质酸具有软骨诱导性和抗血管生成的潜能，表现出作为软骨组织生物材料支架的良好前景。

显然，仿生支架材料的功能不仅仅是为细胞提供惰性的结构支撑，如果选择正确，那么，这些支架还可以通过胞内通信系统诱导细胞沿着特定的分化途径发育（见图5.10）。各种机械作用力确实在多数组织功能中都发挥着重要的作用，细胞培养实验已经证明，包含骨细胞的支架由于拥有仿生的力学特性，它们可以诱导干细胞的分化。有

关生物力学的详细内容见本书第4章。

长骨需要承载负荷,传统上,其修复一般都用金属材料。在目前科学家和工程师们还没有完全了解如何再生全关节及其包含的所有组织成分的情况下,最好选用传统金属和聚合物(或陶瓷)制作的股骨、胫骨和髌骨等部件构成的假体(参见图5.2、图5.3和图5.6)。根据目前科学技术的发展趋势,未来大多数肌骨损伤和缺损很可能都会在早期损伤较小的时候就可以利用组织工程的方法(见第6章)治疗。并且,那些能够传送细胞和生长因子的可吸收性复合材料将成为骨骼、韧带和软骨的首选材料。而传统金属承重材料的作用会逐渐被削弱,它们将来可能只作为临时承载的支撑物。等到生物体内新生组织再生成功之后,金属支撑件就会被撤除。

### 5.7.2 心血管器械

与循环系统的血液直接接触的生物材料器械,如心脏瓣膜、血管置换物或血管支架等,主要必须抗血小板凝聚和血栓沉积,并且具有一定的机械强度和耐久性,具有良好的生物相容性且无毒。这些要求与被替换组织的主要功能相关。例如,动脉由三层不同的功能层构成:内膜、中膜和外膜。内膜是血管的内层,它由内皮细胞组成,具有抗血栓表面,可以防止血液与中膜的凝血酶相接触。血管内膜的细胞可以产生很多种生物大分子,包括各种生长因子、血管活性因子和黏附因子等。血管中膜(即实质组织)由多层有序排列的平滑肌细胞组成,是血管的中间肌肉层,它使血管具有所需的强度并保持血管的弹性。血管外膜就像一层硬护套,它保护中膜层的平滑肌免受过度的拉伸或者压缩负荷的作用。

与大多数组织一样,自体移植是血管组织更换的首选生物材料。例如,病人自身的静脉血管可以取出一段,用于替换堵塞的动脉。不过,静脉移植每年的失败率高达20%。由于大约30%的病人无法进行自体静脉移植,因此,研究人员开发了许多人造移植材料。天然血管完好的内膜不会引起凝血,通过模仿内膜内皮细胞的某些特性,科学家和工程师们制造了具有较好血液相容性的材料。例如,有人设计了表面带有负电荷的非常光滑的材料以及亲水性的生物材料,但这些材料在血液接触性应用中的成功率并不高。常用的材料是针织涤纶(即聚乙烯对苯二甲酸酯)产品Knitted Dacron和膨体聚四氟乙烯Gortex血管移植体。人造血管的移植已经取得了一定的成功,其移植体用于直径小于6 mm的动脉搭桥手术时,6个月形成血栓的概率约为40%。如果在与血液接触的表面涂上肝素等抗凝血剂,可以进一步改善这类血管产品的性能。

正如前面章节介绍伤口愈合过程时所述,多数生物材料都会被人体识别为异物,从而导致血小板的沉积和血栓(即凝血块)的形成,这种人体反应限制了生物材料在血液接触性应用中的发展。因而,组织工程学关于植入和构建多层活细胞结构的方法在心血管应用中展现了广阔的应用前景。根据组织工程的研究结果,科学家最近才开始认识到,选择合适的细胞培养条件和支架材料可以促进平滑肌细胞排列起来,并紧固内皮细胞,从而生成血管。不过,要生产具有一定功效的组织工程动脉血管产品,还需要进行大量的研究工作。例如,虽然这种组织工程人造动脉可以抗血栓形成,但是,其高度细

胞化的血管所具备的机械强度却不足以承受心脏搏动时产生的冲击力。

病变的人体心脏瓣膜目前可以用人造材料制作的机械假体或者用天然生物组织制作的生物假体来替换。图 5.17 所示的 3 种人造瓣膜中, 两种是机械假体, 一种是生物假体。其中, 机械心脏瓣膜包含 4 个基本组成部分: 碟形或者球形阀体; 阀门关闭时抵住阀体的基环; 限制阀体活动范围的瓣笼; 以及可以将人造瓣膜与心脏缝合在一起的缝合环。每次心脏搏动时阀体在基环与瓣笼顶部之间来回弹跳。阀体的活动越灵活, 瓣膜的开关就越有效。因此, 阀体的重量和阀体材料的耐磨性非常重要。早期的心脏瓣膜用较轻的塑料或者空心金属球作为阀体, 现在已经证明硅胶制作的球形阀体很有效。不过, 代替二尖瓣的碟形瓣膜要求材料具有一定的硬度, 而硅胶制作的碟形瓣太软。聚甲醛 (Polyoxymethylene, POM) 要比硅胶坚硬, 因此以前曾经被用于碟形阀体的制作。但是, 其磨损却是一个问题。碟形阀体会在瓣笼中自由旋转, 使碟阀的边缘受到均匀磨损。此外, 碟阀在瓣笼中上下活动时, 其边缘会产生磨损痕迹, 且上下活动会阻止碟阀的旋转, 使磨损痕迹加深, 最终导致阀体失效。热解碳具有很好的耐疲劳强度和耐磨性, 因此, 目前它是制作阀体的主要材料之一。



图 5.17 用于替代人体病变或畸形心脏瓣膜的 3 种人造瓣膜<sup>①</sup>

注: 生物组织瓣膜通常用猪的心脏叶瓣制作, 笼碟瓣和笼球瓣则完全用人工材料制作。

为了保持外形, 瓣笼和基环需要一定的强度和硬度。而且, 在装入阀体时它们还必须能够被撑开。因此, 这些部件一般都用金属制作, 要么通过机械加工而成, 要么将零件焊接而成。早期的人造瓣膜用钴合金制作瓣笼和基环, 因为钴合金的强度和耐腐蚀性都较好。最近, 已经开始用钛合金, 原因之一是由于钛合金比钴合金要轻。另外, 长期

① 为了与正文的叙述一致, 此处仍然采用第 2 版的图 5.17。第 3 版更新的图 5.17 如下所示——译者注

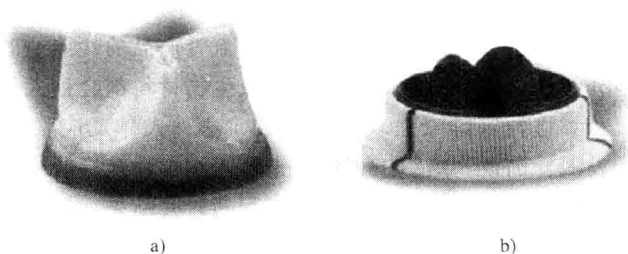


图 5.17 用于替代人体病变或畸形心脏瓣膜的 3 种人造瓣膜

注: 生物组织瓣膜通常用猪的心脏叶瓣制作 (图 a), 人工合成瓣膜则完全用人造材料制作 (图 b)。

使用中也有人反应钴合金瓣笼会引起过敏反应。

人造瓣膜的阀体和瓣笼等都直接与血液接触。与异物材料的接触可能导致血液的凝固,引起血小板聚集和凝血。而且,血液流过瓣膜时会产生漩涡或者停滞,这样,凝血因子就会积累起来,并导致血栓的形成。因此,在选择材料和设计瓣膜结构时都必须考虑血液接触问题和血流问题。至今这些问题还没有完全解决,安装了机械心脏瓣膜的病人都需要服用药物来减小血凝块形成的危险。

生物心脏瓣膜的抗血栓性能明显优于人造材料制作的瓣膜,但它们不耐用。生物瓣膜一般都取自7~12个月大的猪心脏,然后保存在戊二醛固定剂中。这种固定剂会缓慢地使生物瓣膜产生不利的钙化,并最终导致失效。目前研究人员正在开发利用组织工程技术合成的活体心脏瓣膜,但其耐用性还是一个大问题。此外,心脏肌肉至今还从来没有移植过;不过,干细胞有可能在体原位重建受损组织。最近有实验结果表明,直接注入心室壁的间充质干细胞中有一小部分可以与心肌相结合,并启动受损心肌的再生。已有研究人员将整个猪心脏去细胞化之后,重新种植人体细胞,生成一个活的会跳动的心脏。谁知道这些突破性的进展对于子孙后代的预期寿命意味着什么?

### 5.7.3 药物输送

生物材料作为药品和生物大分子的输运载体发挥着重要的作用。制药界长期以来一直使用滑石粉和碳酸钙等粉状材料制作药丸和药片。药物输送(又称药物缓释)的研究目标是制备可以在人体内持续产生药物活性的给药剂型,从而提高药物的疗效。控释制剂就可以实现这个目标,它利用了药物与生物材料融合的各种技术。例如,将成纤维细胞生长因子键合在肝素上进行输运时,其半衰期测量结果表明,药物在血液循环中保留的时间增加了三倍。另外,聚乙二醇(polyethylene glycol, PEG)融合技术已经成为保持体内蛋白质稳定性的一种成功技术。

纳米粒药物输送的研究发展非常迅速。纳米粒可以用金属、陶瓷和聚合物制作。脂质体就是一种纳米粒。通过磷脂在水环境内形成的疏水性和亲水性小室可以制备脂质体。单层脂质体由包围着水质核心的脂质双分子层构成。水溶性药物可以包在这种脂质体的核心内,而脂溶性药物则可以溶解在脂质双分子层中。与普通药物剂型相比,静脉注射给药后脂质体剂型的半衰期明显延长,可以使血浆中药物的浓度升高3~10倍。

高分子聚合物也被广泛用于各种药物输送系统。例如,非降解的疏水聚合物(即硅胶)用得最多,它用于制作包裹药物存储池的半透膜。如图5.18所示,有一种制剂由药物与可吸收聚合物混合制成,当聚合物逐渐降解时,药物也就被缓慢释放出来。增加混合物中蛋白质等药物的含量就可以提高药物的释放速率。根据经验,混合物中聚合物的平均分子量越大,蛋白质等药物释放的速率就越慢。另一种控释制剂的制备方法是用聚合物包裹药物溶液,形成聚合物微球。如果聚合物遭受腐蚀而破裂,那么这种微球中包含的药物就会全部一起释放;如果聚合物缓慢地经受表面腐蚀,那么其中的药物就会缓慢释放。此外,利用细胞特异性配体还可以使药物只作用于特定的靶细胞。经过配体修饰的药物微粒不会在人体内均匀扩散,而是通过受体与配体的相互作用直接输运到

某种细胞部位。例如，携带了叶酸配体的脂质体会被癌细胞优先吸收，因为与其他种类的细胞相比，癌细胞表达的叶酸受体比较多。

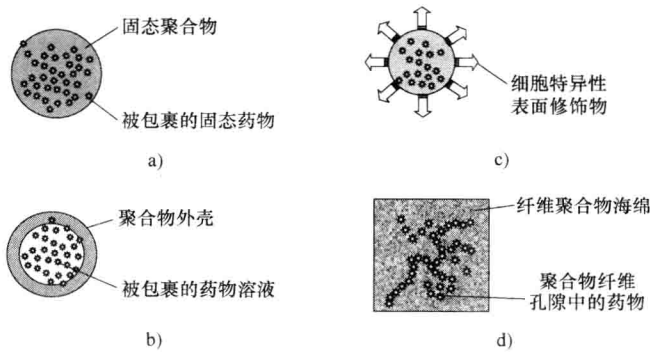


图 5.18 聚合物可以给药物和生物分子的控释提供各种基质

注：药剂可以装载在微粒、微胶囊或者多孔形式的聚合物中，或者与聚合物单链连接在一起。利用细胞特异性配体还可以设定药物的靶标。

将药物直接注射到目标组织中也是一种产生局部高药物浓度的方法。如果将药物与生物材料载体相融合，还可以实现药物在目标部位的控释。尤其当药物具有毒性副作用时，这种方法特别有效，因为此时只是将目标组织暴露在高浓度药物下，可以将副作用减到最小。如图 5.19 所示，这种局部药物输送方法可以降低血液药物浓度的峰值，并可以在较长时间内保持一定的药物活性水平，从而获得较好的疗效。除了局部直接注射以外，研究人员还开发了另一种携带化疗药物的磁性颗粒方法（如磁性脂质体）。静脉注射这种药物之后，在外加磁场的引导下，药物颗粒会聚集到癌症部位，而不会均匀扩散到全身。

有些药物不需要溶解就可以产生生物活性，例如，固定在材料表面的神经生长因子就具有活性。固定时引起的蛋白质构象变化有时甚至还会使表面固定的蛋白质获得更高的活性，这是由于固定之后蛋白质的活性部位暴露更多引起的。但是，相反，固定后也可能使药物的所有生物活性都丧失。因此，在药物固定或融合到生物材料表面之后，必须进行各种测试，以便确定药物的活性。

胶原蛋白常用于骨骼生长因子的输送。这些蛋白质生长因子一般不与胶原蛋白表面形成共价连接，因此其释放速度较快。羟基磷灰石材料也用于运输骨骼生长因子，因为蛋白质等药物通常与羟基磷灰石表面可以形成很强的连接，使得其药物释放速度比胶原

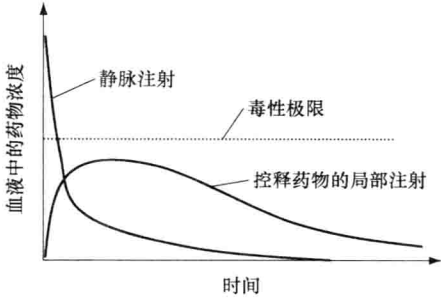


图 5.19 局部药物注射的血药浓度曲线

注：局部药物注射的主要优点是可以降低血液循环系统中的药物浓度，使浓度低于毒性水平，从而减少副作用；而注射部位或者植入部位的高浓度药物则可以增强药物的疗效。这种技术特别适用于化疗药物和激素治疗药物。



蛋白药物载体慢得多。根据不同的药物及其作用模式,释放时间长可能是优点,也可能是缺点。

另外,目前正在开发的药物输送芯片与上述控释药物输运载体不同,它是一种可以通过外部信号打开储药微室的可编程载体。最巧妙的药物输送载体其实就是细胞。与独自发生作用的被动式药物输送装置不同,细胞会根据体内环境的信号产生细胞因子、生长因子以及细胞外基质物质。研究人员现在正在试图利用这种机制开发植入式的异种胰岛细胞封装体。胰岛细胞可以根据血液循环系统中的胰岛素浓度来产生胰岛素。异种细胞必须封装在藻酸盐等生物材料内移植,才能避免毒害移植细胞的机体免疫反应。目前该研究项目的重点是要改变藻酸盐的各种特性,使其具有足够的通透性可以维持其中包含的胰岛细胞的存活,还要能够保护细胞免受免疫作用的侵害,同时要允许胰岛素从植入人体中扩散出去。看起来这对于材料的要求相当苛刻,医用材料的选择总是要面临各种特性之间的权衡。

## 5.8 习题

1. 自从生物材料最早开始应用以来其概念和作用发生了怎样的变化?
2. 请列举4类医疗器械中使用的材料,并说明它们各自的3个优点和3个缺点。
3. 混合材料与单一成分的材料相比有什么优势?
4. 请简述细胞外基质对于调控细胞活动和维护组织功能的重要性。
5. 请解释什么是仿生设计。假设治疗过程中需要将某种生物材料与细胞结合起来,也就是像细胞外基质一样要与细胞紧密接触,请简述仿生材料设计的重要性。
6. 组织与生物材料相互作用的过程通常可以分成哪几个阶段?每个阶段主要有哪几种细胞参与?
7. 请简述3种生物材料的仿生表面修饰方法以及它们的用途,为什么它们属于仿生方法?
8. 材料的生物相容性测试方法主要有2种:一是有细胞或者无细胞的离体测试;二是生物体内的在体测试。这两种方法的区别是什么?为什么第二种优于第一种?
9. 大多数金属合金材料的表面都有一层自发形成的氧化膜,它具有抗腐蚀的作用。请依据此现象来解释为什么机械磨损等作用会促进腐蚀的发生。
10. 制作下列植入器械时你分别会选用哪种生物材料,为什么?请说明需要考虑的重要性质,为什么?同一种器械可以选用多种材料。
  - a. 皮肤替代物;
  - b. 神经再生的导管;
  - c. 髋关节置换体的主干;
  - d. 牙套;
  - e. 导尿管;
  - f. 组织工程骨。



11. 在选择整形外科植入体的生物材料时应该考虑材料的哪些特性?
12. 假设你最近设计了一种新型生物植入材料, 并进行了在体植入实验研究。当取出材料试样之后, 发现材料周围包裹了一层纤维囊。此实验结果说明这种材料具有怎样的生物相容性, 特别是其炎症反应如何?
13. 利用生物材料植入体来输送药物的好处有哪些? 为什么这种方法优于静脉注射给药法?
14. 利用植入体来实现局部输送生物活性分子的优势有哪些?
15. 请简述两种制作多孔生物材料的方法。
16. 植入材料周围出现纤维组织层是不是对于所有应用都是好的迹象, 为什么? 哪些应用中纤维组织层是不希望产生的?

## 推荐阅读资料

- Annual Book of ASTM Standards, vol. 13.01, Medical and Surgical Materials and Devices, American Society of Testing and Materials (ASTM) International, West Conshohocken, Pennsylvania, 2010.
- B. Basu, D.S. Katti, A. Kumar, Advanced Biomaterials, American Ceramic Society, Wiley and Sons, Hoboken, New Jersey, 2009.
- K.C. Dee, D.A. Puleo, R. Bizios, An Introduction to Tissue Biomaterial Interactions, Wiley-Liss, Hoboken, New Jersey, 2002.
- A.K. Dillow, A.M. Lowman, Biomimetics Materials and Design, Marcel Dekker, New York, 2002.
- K.E. Gonsalves, C.R. Halberstadt, C.T. Laurencin, L.S. Nair, Biomedical Nanostructures, Wiley and Sons, Inc., Hoboken, New Jersey, 2008.
- M.N. Helmus, Biomaterials in the Design and Reliability of Medical Devices, Landes Bioscience, Texas and Kluwer Academic, New York, 2003.
- L.L. Hench, J. Wilson, An Introduction to Bioceramics (Advanced Series in Bioceramics, vol. 1), World Scientific, River Edge, New Jersey, 1993.
- P.X. Ma, J. Elisseeff, Scaffolding in Tissue Engineering, CRC Press, Taylor & Francis Group, Boca Raton, Florida, 2006.
- M.A. Meyers, P.Y. Chen, A.Y.M. Lin, Y. Seki, Biological Materials: Structure and Mechanical Properties, Prog. Mater. Sci. 53 (2008) 1–206.
- J.B. Park, J.D. Bronzino, Biomaterials Principles and Applications, CRC Press, Taylor & Francis Group, Boca Raton, Florida, 2003.
- B.D. Ratner, A.S. Hoffman, F.J. Schoen, J.E. Lemons, Biomaterials Science: An Introduction to Materials in Medicine, second ed., Academic Press, San Diego, California, 2004.
- J.Y. Rho, L. Kuhn-Spearing, P. Zioupos, Mechanical properties and the hierarchical structure of bone, Med. Eng. Phys. 20 (1998) 92–102.
- S.W. Shalaby, K.J.L. Burg, Absorbable and Biodegradable Polymers, CRC Press, Boca Raton, Florida, 2004.
- J.S. Temenoff, A.G. Mikos, Biomaterials: The Intersection of Biology and Materials Science, Pearson Prentice Hall, Upper Saddle River, New Jersey, 2008.
- C. van Blitterswijk, Tissue Engineering, Academic Press. Elsevier, San Diego, California, 2008.
- D.F. Williams, The Williams Dictionary of Biomaterials, Liverpool University Press, Liverpool, 1999.

# 第 6 章 组织工程学

Randall E. McClelland, Robert Dennis, Lola M. Reid,  
Jan P. Stegemann, Bernard Palsson, Jeffery M. Macdonald

## 本章目录

- 6.1 组织工程的定义
- 6.2 生物学问题
- 6.3 物理学问题
- 6.4 体外培养的工程学问题
- 6.5 组织工程化产品的临床应用问题
- 6.6 未来的发展方向——功能性组织工程
- 6.7 总结
- 6.8 习题
- 参考文献
- 推荐阅读资料
- 术语表

## 本章的主要学习内容：

- 细胞治疗领域的发展；
- 三类主要体外生物反应器；
- 组织功能的细胞动力学机制；
- 干细胞在组织功能中发挥的重要作用；
- 细胞发育过程的定量描述；
- 三种不同结构中的物质传输分析；
- 表征组织环境的特征参数以及体外模拟组织环境的方法；
- 按比例放大的基本原理；
- 功能性组织工程的定义以及“组学”对于该新兴研究领域的促进作用；
- 细胞疗法和人工生物器官在临床应用中遇到的各种问题。

## 6.1 组织工程的定义

组织工程是生物医学工程的一个学科分支，它是生物学与工程学相结合的产物，其目标是体外（即离体）构建人体组织或者细胞产品，并且利用这些产品更好地进行体

内(即在体)生物组织的修复。这门学科涉及许多生物学领域,包括细胞生物学、分子生物学、生理学、内分泌学等,以及细胞谱系的干细胞增殖与分化、胞外基质化合物等;同时它还涉及许多工程领域,包括生物工程、机械工程、高分子科学、生物反应器的设计与应用、气体和液体代谢物的传输以及生物材料等。要将组织工程的研究成果转化成临床应用,还需要许多其他学科的知识,这样,才能使临床医生乐意接受并使用各种新型的工程化组织材料。这些学科的交叉结合还产生了再生医学,它与组织工程密切相关,仅关注如何利用人体本身拥有的再生机制来修复损伤的组织。组织工程和再生医学的主要目标有2个:一是实现修复受损组织的细胞治疗,包括细胞或细胞悬液的注射和移植,有时植入物中还需结合支架材料;二是离体构建用于移植的生物组织,或者制造体外器官用于辅助体内的病变器官。皮肤、软骨、骨骼、心脏、神经和肝脏等组织的细胞治疗或者体外组织培养的临床试验现在已经起步,过去十年里首批组织工程产品已问世。此外,组织工程的方法还被用于开发新的体外诊断和筛查技术,并用于建立研究疾病机制的组织新模型。不过,这些新型的治疗和诊断模式是否能够取得成功仍有待于科学和经济两方面的评估。

### 6.1.1 组织工程所面临的挑战

图6.1显示了组织工程研究人员在细胞治疗或者植入体和人工器官构建时所面临的基本问题。在组织工程领域向“大尺度”的临床应用发展时,下列问题特别重要:

1) 重构物理微环境和生物微环境,用于组织功能的培养和控制。其中,物理微环境是指物质传输条件,而生物微环境是指可溶性和不溶性信号分子条件。

2) 解决比例放大所引起的各种问题,构建具有临床意义和商业价值的足够尺度的细胞微环境。

3) 在具有临床意义和商业价值的尺度下实现组织工程系统的自动化,提供合适的制造工序和质量控制。

4) 实现组织工程技术的临床应用,包括细胞治疗所需的合适的细胞处理和保存方法以及活组织的移植等。

本章后面将重点介绍前两项研究,6.6节也将简单介绍后两项研究所面临的问题。为了使读者对前两项研究预先有个大概的了解,图6.2从人体内单个细胞的角度描述了生物组织的微环境。

图6.2的中间是一个细胞,然后由内

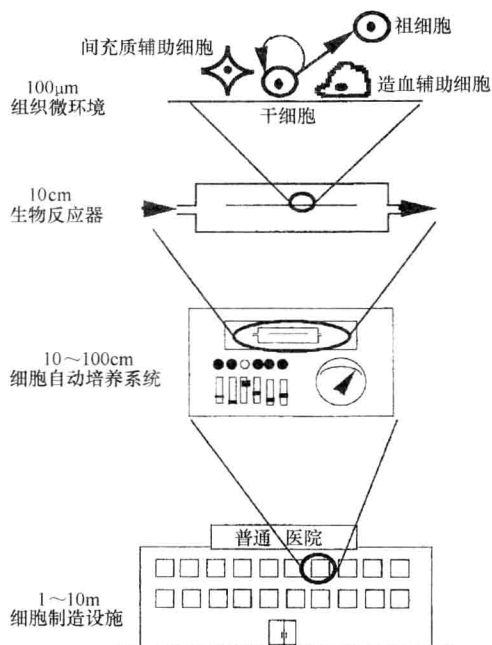


图6.1 组织工程和细胞治疗中的4种主要尺度

向外表示了不同尺度下影响人体每个细胞的环境因素。这些环境因素主要可分为生物学因素（即化学因素）和物理学因素，其中，化学因素包括细胞外基质、激素、趋化因子和细胞因子、营养物质以及各种气体分子；物理学因素则表现为几何结构、呼吸动力学过程以及新陈代谢产物的排泄过程。本章下面将首先详细讲述组织工程学中需要考虑的生物学因素，然后介绍物理学因素，最后，再综合细胞微环境的生物学和物理学因素，展望未来组织工程产品的开发研究与临床应用。

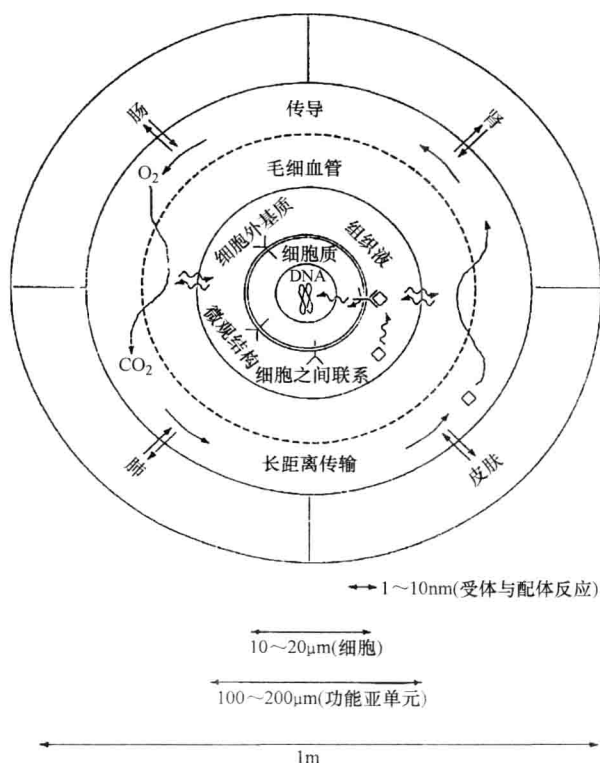


图 6.2 细胞及其与人体其他各部分的通信（摘自参考文献 [11]）

### 6.1.2 细胞治疗、移植物和体外人工器官

细胞治疗的发展最初源于细胞生物学和分子生物学的发展，但是，为了将这些领域的发展成果应用于临床治疗，必须开发一种技术，能够调控细胞培养并利用细胞的代谢产物，因此，细胞治疗的实现需要生物工程、生化工程和生物材料学等许多学科领域的合作。目前组织工程所面临的重大挑战是需要分离和繁殖足够多数量的细胞来制作器件，用于临床和产品生产。例如，历史已经证明，仅靠青霉素的发现并不足以影响人类的医疗保健，大规模生产技术的开发才是促进其临床应用发展的关键因素。抗生素大规模生产的实现无可置疑地说明了工程技术对于人类医疗保健发展的重大贡献。同理，开

发人体细胞分离、扩增和低温贮藏的工业化方法也将使细胞治疗的应用常规化，满足临床需求。要使组织工程在现代医学中发挥重要作用，其治疗技术的发展必须在科学上和商业上都切实可行。

生物组织由多种细胞构成，各种细胞之间存在动态的相互作用；所以，只有将这些不同种类的细胞共同培养在一起，或者将某种特定细胞与来自其他种类细胞的信号因子结合在一起，才能表现出组织的特异性功能。这些信号因子包括细胞外基质中的不可溶因子、细胞与细胞之间直接联系的信号因子以及自分泌、旁分泌和内分泌作用产生的可溶性信号因子等。为了利用这些信号因子，必须认识并定量研究细胞生物学的几个基本原理，包括细胞的分化、增殖、迁移、蛋白合成和死亡（细胞坏死或凋亡）等，它们的总和定义了组织功能。本章将讲述这些细胞生理过程，还将介绍干细胞和成熟细胞谱系的一些生物学基本知识，以及定向干细胞在器官功能的形成和修复中的作用。

这里，必须解决很多生物工程难题。例如，用于细胞治疗的注射针头的设计和注射程序的制定，其中，针头的设计必须尽可能减小细胞膜受到的剪应力。还必须通过分析营养物质的传输模式来计算维持组织存活所需的细胞集群的大小。此外，必须选择移植技术和种植位点，使植入的细胞能够在平衡的内环境中繁殖并发挥其作用。还要尽可能避免栓塞等不利事件的发生。在制造更复杂的植入器件和各种生物反应器时，还必须考虑其他问题，如细胞生长所需生物材料的功能、选材、制作方法和处理方法，以及器件的结构等。流体力学和物质传输在正常生物组织功能中发挥着重要的作用，因此，在体外细胞植入体的设计中也必须考虑这些方面的关键问题。另外，新陈代谢、细胞之间通信等细胞生理过程的系统研究可用于定义人工器官的技术指标。性能良好的体外生物组织培养系统必须具备生物参量和物理化学参量的各种动态平衡状态，从而能够实现生物组织的功能。利用数学模型研究这些平衡作用时，可以采用无量纲参数来描述各个时间常数的特征比值，也就是，建立新的无量纲参数用于表示“物理时间”与“生物时间”之间的比例关系。

最后，要实现细胞治疗和移植体的临床应用，需要解决几大难题，其中包括新鲜组织的获取、细胞处理和分离、安全性试验、细胞活化或分化、培养基的制备、产品保存与稳定性以及产品的质量保证与质量控制等问题。本章将简单介绍这些问题，但不详细讨论。

### 6.1.3 人体细胞和移植物的临床治疗应用

细胞治疗是利用人体细胞作为药剂来减缓病情。必须注意，有些细胞治疗其实已经是成熟的医疗技术。输血就是一种细胞治疗，它已在临床上应用了数十年，并获得了极大的成功和收益。输血治疗可以将红细胞（Red Blood Cells, RBC）作为植入物输入贫血患者体内，红细胞可以存储和运输充足的氧气。同样，血小板也可以成功地输入患者体内，用于治疗血液凝固性疾病。而骨髓移植（Bone Marrow Transplantation, BMT）也已经实践了近20年，成千上万的癌症患者在接受高剂量化疗和放疗之后进行了骨髓移植。最近，造血干细胞的移植也越来越频繁地用于治疗造血功能紊乱疾病。这些细胞治

疗法都与血细胞和血细胞的再生（hematopoiesis）<sup>①</sup>相关。由此可见，众多患者已经享受到了细胞治疗带来的好处。如果利用其他祖细胞开发新的治疗方法，就可以给更多的患者带来福音。

生物体的移植有3种不同类型：一是异种移植，即供体与受体属于不同种系；二是同种异基因移植，即供体与受体属于同一种类但具有不同基因；三是同基因移植，即供体与受体具有相同的基因，如孪生子之间的移植。同基因移植也包括自体移植，即取自患者身上的细胞重新植回自己体内。同种异基因移植很常见，已经广泛用于人体器官的移植。这种移植的主要问题是免疫排斥以及机体对于移植组织的长期负面作用。不过，随着体外细胞培养和细胞操作技术的发展，自体移植也变得越来越普遍。另外，有些实验室正在试图开发“万能供体”细胞源和细胞系，从而缓解许多问题。

体外构建生物组织，生产具有足够数量的临床可用的细胞，这种技术具有广泛的应用前景。表6.1归纳了美国每年各种人体组织和器官损伤手术的需求量。虽然手术量并不是非常大，但是这些手术每年的总费用却高达4000亿美元，因此，细胞治疗的社会经济效益非常大。降低治疗费用的动机会鼓励开发新治疗方法的投资，从而推进医疗新产品的发展，大大改善患者的生活质量和工作能力。

表 6.1 美国各种人体器官和组织损伤的年手术量<sup>①</sup>

适应证	年手术量	适应证	年手术量
皮肤		肌腱修复	33000
烧伤 <sup>②</sup>	2150000	韧带修复	90000
压伤	150000	血管系统	
静脉淤积性溃疡	500000	心脏	754000
糖尿病性溃疡	600000	大小血管	606000
神经肌肉疾病	200000	肝脏	
脊髓和神经系统疾病	40000	代谢疾病	5000
骨骼		肝硬化	175000
关节置换	558200	肝癌	25000
骨移植	275000	胰腺（糖尿病）	728000
内部固定	480000	肠道	100000
面骨重建	30000	肾脏	600000
软骨		膀胱	57200
膝关节表面置换	216000	输尿管	30000
髌骨软骨软化症	103400	尿道	51900
半月板修复	250000	疝	290000
膝关节炎	149900	乳房	261000
髋关节炎	219300	输血	18000000
指关节和小关节	179000	牙科手术	10000000
分离性骨软骨炎	14500		

① 摘自 Langer 和 Vacanti, 1993。  
② 烧伤患者中每年住院治疗的有 150000 人，死亡的有 10000 人。

冯元桢教授于1985年最早提出了将生物组织直接工程化的理念，1988年 Richard Skalak 和 Fred Fox 组织召开了该领域的第一次学术会议。从此以后组织工程领域飞速发

① 英文的“hemato”源于希腊文，意思就是“血液”，而“poiesis”的意思是生长。——原文注

展，发表了成千上万的学术论文，并于1995年创刊同行评议的《组织工程学》（Tissue Engineering）。此后，该期刊已经发展成为A、B和C三本独立的子刊：A刊发表原创性的研究论文；B刊发表综述性论文；C刊发表方法性论文。而且，还涌现出许多其他学术期刊，包括《组织工程杂志》（Journal of Tissue Engineering）和《再生医学》（Regenerative Medicine）。该领域还吸引了非专业出版物的极大关注，因为它呈现了老龄人群医疗变革的机会。

近20年生物学令人瞩目的快速发展促使组织工程出现了实质性进展。细胞治疗技术的发展前沿已经呈现的成果包括：各种免疫疗法，用软骨细胞修复软骨损伤，用肝细胞和肾细胞体外培养辅助器件，用 $\beta$ 胰岛细胞治疗糖尿病，用皮肤细胞治疗溃疡或烧伤患者，用基因修饰成肌细胞治疗肌营养不良症等各种技术。另外，血管、输尿管、尿道等工程化的组织也正在快速进入临床应用。由于生物组织非常复杂，各种不同组织的治疗所面临的问题各不相同，下面几节将分别举例说明。

### 1. 骨髓移植

如图6.3所示，骨髓是人体中增殖能力最强的器官，它每天要产生4000亿数量级的骨髓细胞，这些细胞都来自少量的多能干细胞。骨髓共含有5000~10000亿个细胞，每2~3天自行更新一遍，以保持正常的造血功能。在异常的造血需求情况下，如出现全身性感染或镰刀形红细胞贫血症时，人体血细胞的生成速度还会超过正常水平。骨髓细胞的增殖能力使其特别容易受到放疗和化疗的损伤，因此，骨髓的损伤会限制这些治疗方法的继续使用。超剂量的放疗和化疗还会彻底摧毁骨髓（称为清髓），此时，如果没有其他造血支持，患者就会因丧失造血功能而死亡。

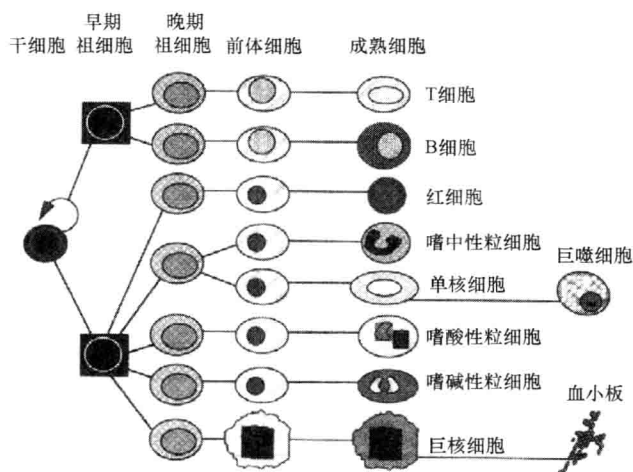


图6.3 造血细胞的产物（摘自参考文献[8]）

注：根据血液循环系统中各种细胞的稳态浓度、总血容量以及各种细胞的半衰期，可以计算整个产物谱系中各种细胞的产生速率。注意，每天四千亿个细胞的产量其实只是来自少量的干细胞。

开发骨髓移植方法就是为了解决这个问题。自体骨髓移植治疗时，在放疗或化疗之前先从患者身上采集骨髓并低温保存。等到患者使用了化疗药物并经过药物的数个半衰

期之后,再将骨髓快速解冻,重新植入患者体内。骨髓细胞直接注入血液循环系统,而骨髓干细胞则送回骨髓腔,用于重建骨髓功能,这些细胞可以在体内重建造血组织。整个自体移植过程需要持续数周,在此期间,患者处于免疫功能受损状态。

目前自体骨髓移植的细胞治疗方法只是采集患者的骨髓细胞并暂时保存在体外。其实,有关细胞增生的研究已经有许多进展,研究人员正在开发基于造血细胞体外培养技术的新型治疗方法。另外,骨髓干细胞的采集也已经有许多新方法。其中有些方法先利用细胞因子或细胞毒素促使干细胞进入血液循环系统,然后再从循环血液中采集造血干细胞和祖细胞,并去除白细胞。

清髓性同种异基因骨髓移植常用于白血病治疗,治疗时,所使用的超剂量药物在去除患者原有骨髓的同时也希望消灭病变组织。然后,将供体细胞植入患者骨髓,并使其增殖,就像自体移植一样。同种异基因移植的主要难题是死亡率较高,有10%~15%。死亡主要由移植与宿主体之间的对抗反应引起,也就是,移植的细胞会将受体组织视为异物而发动免疫攻击。如果能够克服这种排斥作用,那么,同种异基因移植技术就可以在骨髓移植和其他细胞治疗领域快速发展。

骨髓移植是发展较成熟且已被广泛接受的一种细胞治疗技术,它已用于多种适应证,包括治疗白血病等疾病的同种异基因移植以及治疗淋巴瘤、乳腺癌和睾丸癌的自体移植等。自20世纪80年代中期以来,骨髓移植的应用得到了快速发展,现在每年大约有数万患者接受这类治疗。其组织采集、处理和移植的方法正在不断改进,促进了组织工程领域细胞治疗技术的发展。

## 2. 皮肤移植体和血管移植体

皮肤是人体中具有高度增殖和再生功能的组织,如图6.4所示,它主要分为两层:

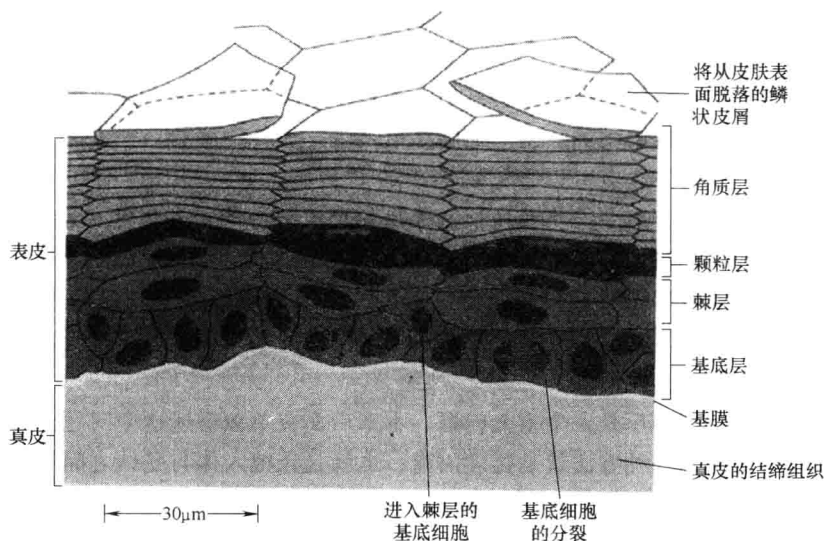


图6.4 皮肤的细胞组成及其分化(摘自参考文献[1])

注:图中显示了皮肤横截面上表皮细胞的排列以及处于不同分化时期的各种细胞。



一是真皮，它主要由成纤维细胞组成；二是表皮，它主要由处于不同分化时期的表皮细胞构成，表皮细胞最终分化成为角化细胞。成纤维细胞和表皮细胞都很容易培养，它们的体外培养已经不成问题。有趣的是，真皮成纤维细胞的移植是非免疫性的，不会引起免疫反应。

皮肤移植和工程化皮肤技术已经用于皮肤严重烧伤的患者或者糖尿病性皮肤病患者。治疗时，先在体外培养皮肤组织，然后用于受损部位。这种皮肤细胞治疗技术已经相当成熟，目前已经有数种“工程化皮肤”产品，包括 Organogenesis 公司的 Apligraf 品牌产品和 Advanced BioHealing 公司的 Dermagraft 品牌产品。图 6.5 所示是 Advanced Tissue Sciences 公司<sup>①</sup>研发的构建皮肤移植体的生物扩增反应器，它可以将人体阴茎包皮组织培养成皮肤移植体。反应器由铰链连接的两个灌注培养室组成（左图）。其移植物产品很像无毛囊的自体移植皮肤，很容易从反应器中取出（右图）。虽然获得了这些成功，但是，要在临床上推广应用这类产品，还存在许多困难。大量试验和处理的高额费用以及这类转基因产品所需的质量控制是主要障碍，它们削弱了这类技术与已有治疗方法的竞争力。不过，无论如何，这类产品将组织工程技术引入了临床，为未来的产品开发铺平了道路。

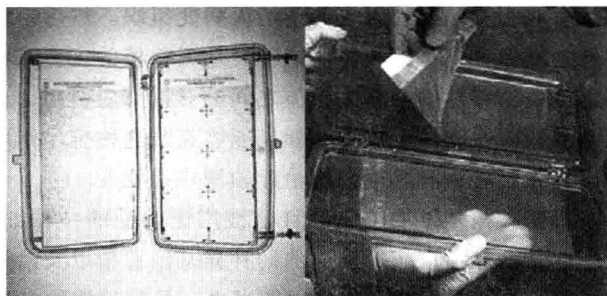


图 6.5 Advanced Tissue Sciences 公司的生物反应器  
（它可利用人体包皮组织培养人体皮肤产品）

### 3. 胰腺的 $\beta$ 胰岛细胞

胰岛素是人体正常葡萄糖代谢所需的一种激素。胰岛素依赖型糖尿病患者的胰腺丧失了合成并分泌胰岛素的功能，胰岛细胞移植是治疗这种疾病的一种方法。胰岛取自供者尸体的胰腺，胰岛中含有可以分泌胰岛素的  $\beta$  细胞。如果将这种细胞注入通往肝脏的门静脉，就可以在肝脏中种植胰岛，这种胰岛可以分泌维持正常生命活动的胰岛素。不幸的是，目前还无法人工培养能够保留基本特性的胰岛  $\beta$  细胞，因此，由于供体的严重缺乏，胰岛移植手术受到很大限制。不过，由于干细胞培养  $\beta$  细胞的技术最近已经取得了令人振奋的进展。这种细胞治疗方法属于同种转基因移植，通过受者的免疫抑制可以延长移植体的存活时间。

细胞治疗的免疫排斥是一个重大问题，本章后面会单独讲述这个问题。如图 6.6 所示，克服排斥反应的一种方法就是物理隔离，也就是让植入体与受体之间通过一层半透膜进行物质交换，避免供体细胞与受体免疫系统的直接接触。这种封装方法具有较好的应用前景，已经用于改善胰岛细胞移植的功效。此外，研究人员也正在努力开发“人

<sup>①</sup> Advanced Tissue Sciences 公司现在已不存在，它早先开发了 Dermagraft 产品。——原文注

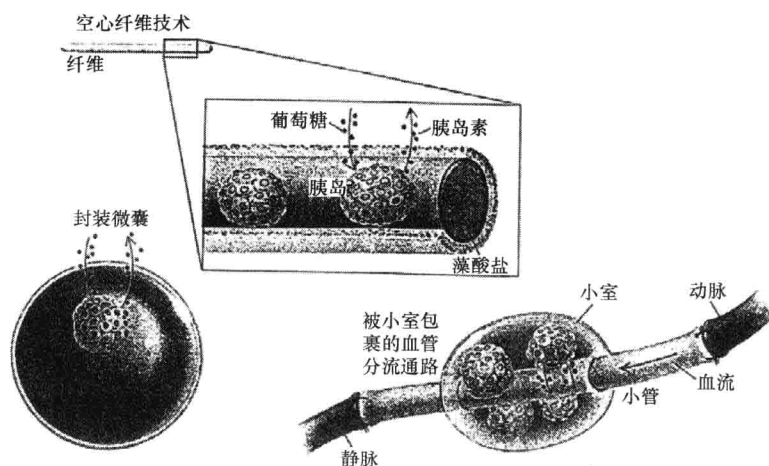


图 6.6 封装在塑料半透膜中的胰岛可以免受免疫系统的攻击 (摘自 Lacey, 2001)

工胰腺”器件，其中的细胞能够分泌胰岛素，却不含免疫系统。

#### 4. 软骨与软骨细胞

软骨是一种特殊的组织，它无血管、无淋巴、也无神经。它的主要成分是细胞外基质，其中散布着密度很低的软骨细胞，每毫升大约只有 100 万个细胞，而一般组织中的细胞密度要比这个数值大几百倍。软骨细胞可以通过体外培养增殖约 10 倍。利用这种技术，膝关节深部的软骨损伤可以通过自体移植的方法治疗。如图 6.7 所示，治疗时，首先在患者膝关节受损区域以外采集健康的软骨活组织；然后，经过酶解处理从基质中分离出软骨细胞，再经过两个阶段的细胞培养；最后，就可以从培养基中提取出细胞，并重新植入膝关节的受损部位。这种治疗有助于软骨损伤部位的愈合。Genzyme 公司的

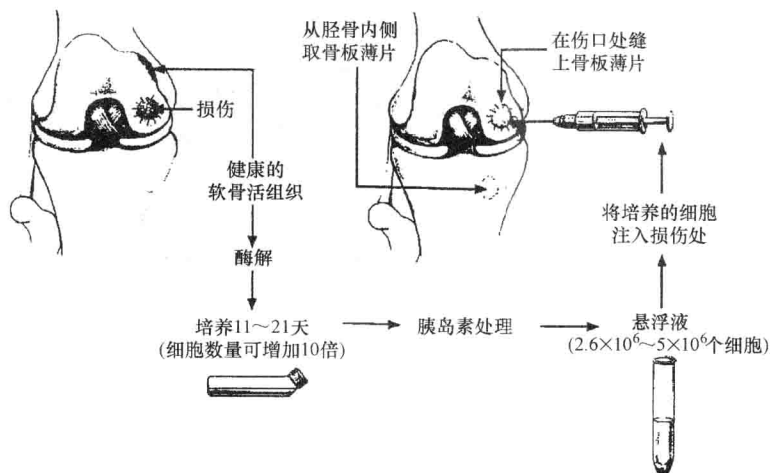


图 6.7 右股骨头部软骨细胞移植技术示意图 (摘自参考文献 [2])

Carticel 品牌细胞治疗产品就可以用于这种治疗。备受膝关节疾病困扰而无法走动的患者有很多，据估计，仅在美国每年就有超过 20 万的患者需要进行这种细胞治疗。

### 5. 肝脏、神经细胞和心血管的细胞治疗

目前正在研究其他形式的细胞治疗技术，用于治疗肝脏、脑、心脏等复杂组织。提取和培养这些组织中的各种主要细胞很困难，因此，正在开展的研究工作都基于祖细胞和干细胞方法。这类方法的临床试验已经启动，使用的是成人间充质干细胞和组织特异性干细胞。利用干细胞培养肝脏细胞具有重要意义，不仅可用于治疗肝脏衰竭，还可以改进体外药物筛选的方法。将骨髓和干细胞移植到心脏，治疗心脏缺血症，防止心脏衰竭的发生，这种方法已展现出很好的临床应用前景。但是，要推广使用，还需要克服许多重要问题。将细胞移植到脑内的方法也已有临床试验，结果各种各样。最近，Geron 公司已获得批准，开始首例人体胚胎干细胞治疗急性脊髓损伤的临床试验。虽然这些治疗方法激动人心并且具有很大的潜力，但是它们还都处于开发的初级阶段。组织工程学上，在细胞的最佳来源、物质传输的限制、输送方法、微环境控制、与宿主组织的结合、所提供的组织功能的可接受程度等方面都仍然存在许多无法解答的问题。

## 6.1.4 组织的调控机制

实验室生产的工程化组织应该具备正常生物组织的功能，因此，在调控细胞功能用于构建组织时要以生物学知识为指导。生物组织的动态调控机制主要有两个：一是上皮细胞与间充质细胞之间的相互作用；二是干细胞与成熟细胞系之间的联系。了解这些生物学机制有助于工程化组织的设计。例如，最小生理学单位的大小决定了物质传输的多少，而构成生理功能所需的细胞数量则决定了工程化产品的总体规模。这些数字有助于临床植入器件（即工程化组织）总体设计规格和目标的制定。

### 1. 上皮细胞与间充质细胞之间的相互作用

上皮细胞与间充质细胞之间的关系是生物组织的基本特性之一。如图 6.8 所示，许多组织的组成都是上皮细胞层覆盖在间充质细胞层之上，间充

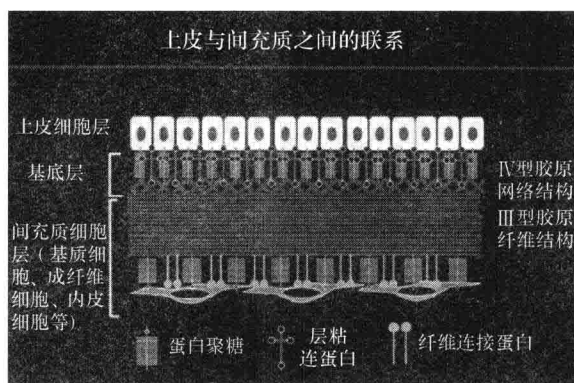


图 6.8 上皮细胞与间充质细胞之间的联系

质细胞可以是成纤维细胞、平滑肌细胞等。正常上皮细胞总是通过可溶性信号分子，与合适的间充质细胞建立稳定的联系。两层细胞之间和层内细胞之间的通信可以调节局部的细胞活动，这种通信受到自分泌、旁分泌和内分泌所产生的可溶性信号因子的影响，而信号因子又会与细胞外基质产生相互作用。

## 2. 可溶性信号分子

可溶性信号分子（包括生长因子、激素和各种小分子）可分成3类：

自分泌因子：由细胞产生，而后作用于细胞自身的因子；

旁分泌因子：由细胞产生，而后作用于同一组织中附近其他细胞的因子；

内分泌因子：是全身因子，它由细胞产生，而后通过血液或淋巴液输运到远距离其他组织的靶细胞部位。

自分泌和旁分泌的信号因子有很多种，根据细胞外基质的不同特性，它们可以促进细胞分裂（即引导细胞生长），也可以驱使细胞分化（即诱导组织特异性功能的表达）。其中已经研究得比较充分的因子有：胰岛素样生长因子（IGF）、表皮生长因子（EGF）、成纤维细胞生长因子（FGF）、集落刺激因子（CSF）、血小板源性生长因子（PDGF）、肿瘤生长因子（TGF）以及白细胞介素等细胞因子。必须注意，这些分子都具备多效性，在许多种细胞上会产生多种作用效果。被称为“生长因子”是因为多数因子最初是在科学家们考察细胞的生长反应时被发现的。

## 3. 细胞外基质

细胞外基质（ExtraCellular Matrix, ECM）是组织中分布在细胞下面或细胞周围的物质。多数组织中都富含各种各样的ECM，它们构成了人体内近半数的蛋白质。其实，ECM蛋白中的胶原蛋白家族就包含25个成员，占人体蛋白总量的2%~30%。过去很长一段时间里，人们一直以为ECM只是起着机械支撑作用，它将细胞按特定的方式结合在一起。但是，近30年以来，我们发现ECM其实是细胞和组织功能的主要调控器。除了提供力学结构的支撑作用以外，它还直接向组织内的细胞发送生化信号，调控组织中的许多可溶性生长因子。

ECM可以分成两种，一种存在于彼此相连的同类细胞之间，如上皮细胞与上皮细胞之间，被称为旁侧ECM；另一种存在于不同种类细胞之间，如上皮细胞与间充质细胞之间，常被称为基底膜。旁侧ECM有两种主要成分：一是具有组织特异性和年龄特异性的细胞黏附分子（Cell Adhesion Molecules, CAM）；二是蛋白聚糖，其分子以蛋白为核心，周围黏附了带负电荷的硫酸化多糖（即糖胺聚糖），糖胺聚糖有硫酸乙酰肝素、肝素、硫酸软骨素和硫酸皮肤素等不同形式。基底膜ECM含有层粘连蛋白和纤维连接蛋白等黏附分子，它们通过基质受体（即整合素）将细胞与一种或多种胶原蛋白支架联合在一起。相邻细胞层中的胶原蛋白互相交联在一起，形成了各个细胞层之间的稳定连接。此外，蛋白聚糖可以与黏附分子、胶原蛋白和基底细胞表面键合在一起。

上皮组织中的上述两种ECM成分都会直接向细胞发送慢性的持续性信号，而且，它们还可以通过如下方式间接地发送信息：调整细胞膜上离子通道、受体、抗原等的构象，以稳定细胞；影响细胞内的各种代谢和调控途径；诱导细胞的形状变化，如扁平化和三维化等。这些反应可以使细胞快速响应来自附近或远处的可溶性信号分子的作用。可溶性因子作用于细胞表面或细胞内的受体分子，它们与受体之间具有很高的亲和力，一旦信号分子与其受体结合之后就会触发信号转导反应。

4. 人体各种细胞的数量

人体组织的细胞密度约为每毫升 10 ~ 30 亿个。重 70kg 的成人的体积大概是 70000mL。因此，人体的细胞总量大约为百万亿个（即  $10^{14}$ ）。人体器官的大小一般为 100 ~ 150mL，因此，每个器官约含有 1000 ~ 15000 亿个细胞（即  $1 \times 10^{10} \sim 15 \times 10^{10}$ ）。器官由许多功能亚单位组成，它们的尺度一般在 100 $\mu$ m 数量级。边长为 100 $\mu$ m 的正方体中所含的细胞估计为 500 ~ 1000 个。表 6.2 归纳了一些有关人体细胞数量的数据。

表 6.2 组织生物学和组织工程中常用的人体细胞数量级的数据

体内细胞数量	
全身	$10^{14}$
人体器官	$10^9 \sim 10^{11}$
功能亚单位	$10^2 \sim 10^3$
体内细胞增殖的产量	
理论上单细胞的最大产量(即 Hayflick 界限)	$2^{30 \sim 50} < 10^{15}$
人一生中骨髓的血细胞产量	$10^{16}$
人一生中小肠上皮细胞的产量	$5 \times 10^{14}$
体外细胞增殖的产量	
一般细胞治疗所需的细胞数量	$10^7 \sim 10^9$
人体组织的扩增潜能 <sup>①</sup>	
造血细胞	
单核细胞	10 倍
CD34 富集细胞	100 倍
抗原富集	$10^6 \sim 10^7$ 倍
T 细胞	$10^3 \sim 10^4$ 倍
软骨细胞	10 ~ 20 倍
肌细胞、真皮成纤维细胞	$> 10^6$ 倍

① 扩增潜能是指体外培养时单个细胞能够生产的细胞数量。

根据表 6.2 所示的估计数据，器官一般含有几亿个功能亚单位，它们非常细小。这个数量是由每个亚单位的性能和人体生理功能的需求决定的。例如，肾脏中肾单位的数量就是由人体排泄毒性产物所需的最大清除率以及单个肾单位的清除能力所决定的。这种估计值揭示了组织的结构和功能。多数人体组织的基本功能亚单位仅包含数百个细胞，而且是各种细胞的混合群体。这是因为多数器官含有辅助细胞，可占细胞总数的 30%。而且，如下文所述，组织特异性细胞可能处于细胞分化的许多不同时期。

为了能够精确地重建生物组织的功能，必须了解组织微环境的性质，以及细胞动力学、细胞通信和各种代谢过程。要生产能够用于临床治疗的细胞数量需要大量微环境，而且，这些微环境必须与各种功能亚单位的运作环境相似。因此，用于细胞培养的装置必须能够均匀地提供营养物质、氧气和生长因子等物质，并且，在 100 $\mu$ m 尺度以上这些物质的浓度必须均匀一致，而小于这个尺度的微环境中应该存在非均一性，这是组织功能亚单位正常运作所必须满足的条件。

6.1.5 临床应用的若干重要问题

1. 具有临床应用价值的细胞数量是多少？

如表 6.2 所示，目前，据估计，临床实践和实验研究中细胞治疗所需的细胞数量在

“几千万”到“几十亿”之间。由于组织培养所需的细胞密度高于每毫升 1000 万个, 因此, 用于细胞治疗的细胞培养装置的体积大约应该为数十到数百毫升。

## 2. 正常细胞的增殖有哪些基本限制?

单个细胞能够经历的分裂次数由其所处的发育阶段决定, 处于不同发育阶段的细胞主要有 3 类: 二倍体的多能干细胞、二倍体的单能体细胞亚群以及多倍体的体细胞亚群。其中, 干细胞可以自我复制, 并且可以经历无数次分裂, 它们是各种永生细胞系和肿瘤细胞的潜在来源。二倍体的体细胞的分裂次数受到所谓的 Hayflick 界限的限制。正常人体的二倍体细胞在体外培养时大约能够分裂 30 ~ 50 次, 因此, 理论上, 单个二倍体的体细胞可以培养出  $10^{10} \sim 10^{15}$  个细胞。对于细胞治疗的要求, 无论是干细胞还是体细胞, Hayflick 界限都不是这些二倍体细胞增殖的苛刻条件。但是, 各种组织中存在的多倍体细胞亚群的数量比较少, 其扩增潜能也很小, 几乎可以忽略不计。相反, 肝脏和心脏等的休眠组织中存在的多倍体细胞比较多。如果细胞在再生信号的刺激下合成了 DNA, 但却没能完成细胞分裂, 那么, 就会形成多倍体细胞。这种细胞的体积较大, 因此也被称为肥大细胞。于是, 组织的再生活动既包括了细胞增生 (即二倍体细胞亚群数量的增加) 也包括细胞肥大 (即多倍体细胞亚群的增加)。

## 3. 正常细胞体外培养时的生长速度有多快?

各种正常细胞体外培养的生长速度各不相同。造血祖细胞的倍增时间为 11 ~ 12h, 它是人体成年细胞的最快增殖周期。包皮真皮层的成纤维细胞的倍增时间约为 15h, 其生长速度较快, 部分原因可能是因为这种细胞来自于细胞和祖细胞比例很高的新生组织。成年软骨细胞体外培养的生长速度较慢, 其倍增时间为 24 ~ 48h。

## 4. 目前如何生产这些细胞?

用于细胞扩增的培养器皿各种各样, 有 T 型瓶、转瓶以及用于 T 细胞的培养袋、用于造血细胞等细胞系的悬浮细胞培养瓶等。已被证明难以培养的种类还可以利用新型支架材料进行体外扩增。如果要达到各种特定种类细胞的最大扩增潜能, 那么就需要精确设定其培养条件, 包括细胞外基质的特殊形式、相应的激素和生长因子混合物、营养物质以及包含特定浓度钙离子、微量元素和气体分子的基质。新近出版的教材和发表的期刊论文中都提供了许多细胞培养的条件。

# 6.2 生物学问题

## 6.2.1 干细胞

现在, 各种组织都被认为含有干细胞池, 可以繁殖细胞, 经过分化后, 变为成熟细胞, 由此表现出各种组织的表型。干细胞的成熟过程包括定型阶段和分化阶段。定型阶段多能干细胞产生子细胞, 这些子细胞具有单能细胞的遗传潜势; 分化阶段细胞中的某几套基因被激活, 产生各种不同的表达水平。以下几个小节将讨论如何利用干细胞的这 2 种发展阶段来修复组织的功能。

### 1. 各种干细胞及其特性

多能干细胞能够产生子细胞，而这些子细胞具有多种发育命运，能够进行自我复制，并且能够再生成与母细胞相同的子细胞。全能干细胞能够产生生物体所有不同种类的细胞。而定向干细胞的遗传潜势则被限定在几种发育命运上，它们只能发育成为若干种类型的细胞，并不能生成机体所有不同种类的细胞。

例如，皮肤的定向干细胞只能产生皮肤中的各种细胞，而不能产生心脏中的细胞。同理，肝脏的定向干细胞则可以产生各种肝脏细胞，而不能产生脑细胞。有些非专业出版物把定向干细胞称为“成年干细胞”，这并不合适，因为定向干细胞其实在胚胎和成人的组织中都存在。定向干细胞可以生成单能祖细胞，也称为定向祖细胞，其遗传潜能只限定于一种细胞命运。这种单能祖细胞能够迅速增殖，产生大量细胞，这些细胞随即分化为成熟细胞。各种干细胞和单能祖细胞都属于正常细胞，而肿瘤细胞和永生细胞系却是异常细胞。目前已经识别的定向干细胞的体积都很小，直径一般为  $6 \sim 10 \mu\text{m}$ ，但其核质比却很大<sup>①</sup>，并且具有某些早期基因的表达（如甲胎蛋白）和抗原的表达（如 CD34、CD117 等）。定向干细胞染色质能够结合的特定染料分子的浓度要比成熟细胞低，因此，可以利用流式细胞仪技术将其分离出来。干细胞表达的端粒酶能够使其染色体的端粒保持恒定的长度，从而使干细胞在体内或者体外能够无限制地进行分裂。任意一种定向干细胞的分离和纯化都需要用到多个参量，如抗原类型、细胞大小、细胞密度等。没有一个参量能够单独用于定义定向干细胞。而且，定向干细胞在体内的生长速度很慢，还可能随机定型并分化。造血干细胞的一阶速率常数约为 1 天，它们的周期是利用延时摄影（time-lapse videography）测得的。体外培养时，造血干细胞可以定型并分化，第 1、2 次倍增大约需要 60h，随后其周期会缩短到 24h，到第 5、6 次倍增时，其最大速度可以达到每 12 ~ 14h 倍增一次。

### 2. 干细胞存在的证据

小鼠接受致死剂量的射线辐射之后会由于造血功能的丧失而死亡，但是，只要使用 20 种选定的干细胞就可以挽救这种小鼠的生命。正如干细胞模型所预测的那样，这些动物可以重建多种造血细胞系。而且，接受了亚致死剂量的动物，经过一段时间之后，其骨髓中的间充质干细胞会生成各种器官组织的细胞。这些研究结果与其他许多研究一起都毫无疑问地证实了干细胞的存在以及它们的多能性，而且表明干细胞在体内可以长期存在。

### 3. 干细胞的微环境

干细胞微环境对于干细胞的命运具有重要的调控作用，因此，该领域的研究发展迅速，其研究目标是定义并解密干细胞池的局部微环境。它还是一个新兴领域，但已形成如下这些知识，它们对于体外干细胞扩增条件的设计具有重要的指导意义。

1) 干细胞不能通过酶反应机制由单一脂质源产生所需的各种脂质衍生物，因此，它们需要复合脂类混合物的支持才能生存并维持正常生理功能。

① 核质比是指细胞核与细胞质的容积之比。——译者注



2) 在决定细胞扩增还是分化时, 钙离子浓度具有非常重要的作用。这种现象的机制还不清楚。

3) 铜等特殊微量元素可以加快某些定向干细胞的分化。目前还不知道这种作用是否适用于所有干细胞种类, 也不清楚其中的机制。

4) 干细胞微环境必须含有各种特殊的激素和生长因子, 其中最常见的是胰岛素和转铁蛋白。增加其他因子还可以导致定型祖细胞的扩增, 使得干细胞向特定的细胞命运发育。

5) 干细胞池的基质中包含有年龄特异性和组织特异性的细胞黏附分子、层粘连蛋白、胚胎胶原蛋白(如Ⅲ型和Ⅳ型胶原)、透明质酸以及胚胎蛋白聚糖等物质。当干细胞逐渐向特定的细胞命运发育成熟时, 基质的化学成分也要以一定的梯度形式向某种成熟细胞的基质转变。虽然每种成熟细胞胞外基质的化学成分是特定的, 但它们都包含年龄特异性细胞黏附分子、各种纤维胶原蛋白(如Ⅰ型和Ⅱ型胶原)、纤维连接蛋白以及年龄特异性蛋白聚糖等。对于包皮细胞和神经细胞, 由于其成熟细胞没有胶原蛋白、纤维连接蛋白和层粘连蛋白的表达, 因此, 这些成熟细胞基质的化学成分以细胞黏附分子和蛋白聚糖为主。

6) 干细胞的活动依赖于基质中的各种年龄特异性和组织特异性的信号分子, 其中包括白血病抑制因子 LIF、各种成纤维细胞生长因子 FGF 以及 IL8 和 IL11 等白细胞介素等。基质的信号分子系统也还没有完全弄清楚。

7) 干细胞微环境信号系统中最缺乏了解的应该是反馈作用信号。这种信号来自成熟细胞, 对于细胞的增殖具有抑制作用。反馈作用的存在似乎表明体外细胞扩增时需要将具有分裂能力的细胞(即二倍体亚群)与成熟的非增殖细胞隔离开来。

#### 4. 含有干细胞的人体组织

以前数十年里, 人们一直认为干细胞池只存在于皮肤、骨髓和肠道等可以快速增殖的组织中。现在, 越来越多的证据表明所有人体组织中都含有干细胞池, 甚至中枢神经系统也含有干细胞。如今有大量报道阐述了组织特异性干细胞的分离和鉴定。作为组织工程潜在的细胞资源, 这些干细胞的研究非常活跃。

#### 5. 干细胞的作用

干细胞池是组织发生转变和再生的基本资源。干细胞的定型可以诱发细胞的替换和组织的生成, 并由此实现组织的修复和组织功能的维护。如果疾病或药物等毒素引起干细胞的缺失, 那么, 最终就会导致人体器官部分或者完全丧失功能。另外, 干细胞的基因突变会导致肿瘤的产生, 因此, 实际上存在正常和异常两种干细胞。于是, 有人把肿瘤看作“转化干细胞”。这种观点最早由 Van Potter、Sell 和 Pierce 提出, 如今干细胞生物学家已经证实了这种假设。

### 6.2.2 组织的成熟细胞系

所有干细胞都是多能的, 可以生成多种不同细胞系的子细胞, 这些子细胞再逐步分化, 变成各种组织的成熟细胞。图 6.9 所示是描述各种组织特异性干细胞产生成熟细胞



的一种通用模型。多能的定向干细胞在体内复制速度缓慢，并且，其复制速度受到各种全身性信号分子的调节。复制所产生的直接子代细胞被定型成为单能祖细胞，这种祖细胞能够快速增殖并形成组织（如皮肤等）。这是组织对于温和的正常再生性刺激的急性响应过程，也就是，单能祖细胞经过多个中间过渡阶段逐步变为完全成熟的细胞。其实，各种不同的组织特异性功能是由整个成熟过程细胞系中的各种细胞共同形成的。通常，根据逐渐变化的表型，可以将祖细胞分为“早期”、“中期”、“晚期”三类。有些特殊基因只在某个特定的时期才表达；另一些基因则在整个细胞系中都有同工型基因表达；而还有一些基因在各个时期的表达水平各不相同。最后，细胞将进入衰老过程，也称为细胞凋亡，这是细胞衰老的特征现象。细胞的成熟过程一方面与染色质的变化等细胞固有机制相关，另一方面还与基质及其微环境中的可溶性信号分子有关。微环境包含了影响细胞生长、分化和凋亡的信号分子。例如，某些生长因子属于生存因子，具有抗衰老作用。

	干细胞	早期祖细胞	晚期祖细胞	前体细胞	成熟细胞
细胞数量	每个细胞的增殖潜能为 $2^{30} \sim 2^{50}$				一生的总需求量为 $10^{16}$
细胞周期	很长 ( $t_d \approx 6$ 周)	长 ( $t_d \approx 60 \sim 100$ h)	短 ( $t_d \approx 12$ h)	长	无(某些特殊情况下可以被激活)
细胞凋亡	无活性	无活性	活性很高 (1/5000存活率)	活性很低	无活性 (可被诱导)
细胞运动	无(除了回归原位)	无	缓慢	较快	与生理功能相关
调控方式	细胞之间接触	细胞之间接触	可溶性生长因子	可溶性生长因子	可溶性生长因子

图 6.9 增殖组织的细胞生产模型

注：该模型根据数十年的血液学研究结果归纳得到。图中每一列表示逐渐分化成熟的各种细胞，每一行则表示细胞的命运和活动等情况（参见图 6.3）。 $t_d$  是倍增时间。

干细胞与成熟细胞系的模型举例

研究最深入的干细胞模型有造血干细胞、肠道干细胞和皮肤干细胞。此外，骨髓间充质干细胞和肝脏干细胞的研究也正在发展。下面介绍这些干细胞体系。

1. 骨髓和血细胞的形成

造血干细胞是最早建立的干细胞模型（见图 6.3）。小鼠干细胞移植实验已经证明，只要用少得惊人的细胞数量就可以重建造血细胞的多种细胞系。一旦细胞到达某个成熟期，它们就会离开骨髓，进入血液循环系统，并行使其成熟细胞的功能。成熟细胞最终

会死亡并被新的细胞替代。成熟细胞的死亡率（包括凋亡和坏死）决定了组织的细胞生产速度，也就是决定了所需的定型干细胞数量。图 6.3 显示了造血细胞系的特殊产物。

## 2. 小肠绒毛

如图 6.10 所示，小肠内壁由吸收营养物质的绒毛构成。小肠上皮细胞层具有高度的动态性，其细胞大约每 5 天就要更换一次，因此，小肠是人体第二大增殖组织。小肠绒毛之间存在管状的上皮凹褶，这些凹褶就是小肠腺。所有小肠上皮细胞都在小肠腺的某个部位产生，一旦上皮细胞成熟，它们就迁移到小肠腺外缘，然后，大约经过 5 天时间的迁移运动，这些细胞会从绒毛的底部移动到顶端，并在绒毛顶端凋亡和脱落。在此过程中，它们作为成熟的实质细胞完成组织特异性功能，也就是吸收和消化小肠腔中的营养物质。每个小肠腺的底部都有一圈缓慢分裂的干细胞，数量约为 20 个。干细胞分裂产生的子细胞会移动到小肠腺上部，然后变成快速增殖的祖细胞，其倍增时间约为 12 小时。这些细胞在移动过程中不断分化，当它们离开小肠腺并进入小肠绒毛的底部时已经成熟。

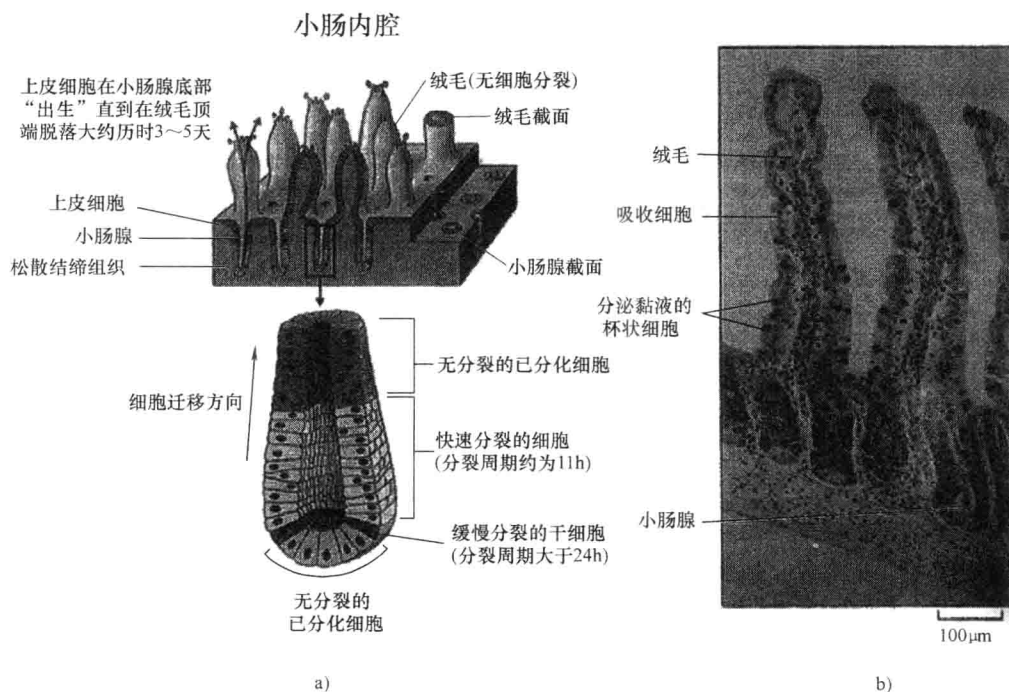


图 6.10 小肠绒毛（摘自参考文献 [1]）

- a) 绒毛和小肠腺示意图，以及小肠腺各部位细胞的分裂状态  
b) 绒毛上的各种小肠上皮细胞，绒毛的直径约为  $80\mu\text{m}$

## 3. 皮肤

如图 6.4 所示，人体皮肤主要分为表皮和真皮两层，两层细胞之间由一层细胞外基

质隔开，称为基膜。Ⅶ型胶原蛋白是基膜的重要成分。两层细胞之间的基膜起伏不平，构成了深浅不同的囊袋结构。人体的躯体、手掌、面部等不同部位的皮肤，其表皮层和真皮层之间存在独特的结构。真皮层是位于基膜下的结缔组织层，主要由成纤维细胞组成。表皮层则由多层上皮细胞组成，这些上皮细胞是处于不同分化时期的角质形成细胞（keratinocyte），其中位于基膜上的角质形成细胞分化程度最轻。表皮最上层是鳞状柱形结构，柱形的直径约为  $30\mu\text{m}$ 。表皮与真皮之间形成的较深的囊袋中存在干细胞，毛囊附近的乳头中也发现有干细胞。干细胞产生定向祖细胞，这些祖细胞会迁移到较浅的囊袋中，并由此进入整个基膜层。只有附着在基膜上的表皮细胞才能够分裂，细胞一旦脱离基膜，就会逐渐向皮肤表面迁移并经历一系列分化阶段，变为颗粒细胞，然后再变为鳞状的角化细胞，最终脱落。角蛋白是已分化皮肤细胞的表征，其表现形式各种各样，从皮肤的保护层到机体的毛发（包括鸟类的羽毛和脊椎动物的鳞片等）中都存在角蛋白。人体不同区域皮肤的净增殖速率有所不同。一般，皮肤的更换周期为几个星期。

#### 4. 肝脏

肝脏是一个成熟细胞谱系组成的系统，与骨髓、皮肤和肠道相似，它也含有干细胞池。肝脏的细胞系构成了肝腺泡的物理结构（参见本章末尾习题 10 的图示），肝腺泡是肝脏的基本结构和功能单位，其横截面呈现为车轮形状，车轮的中轴是中央静脉，外周六个角上是门静脉、肝小动脉和胆管组成的门管三联体，而车轮的辐条则由板状排列的实质细胞构成，细胞板的两边是带窗孔的窦状内皮细胞层。传统上，肝脏被划分成 3 个环带：Ⅰ带是门管周带，Ⅱ带是肝腺泡中带，Ⅲ带是中心周带。血液从门管三联体的门静脉和肝小动脉流出，经过肝细胞板之间的窦状隙，流向中央静脉。干细胞池在门管三联体周围，也就是Ⅰ带内，在解剖学上称为 Hering 小管区。肝脏干细胞是双能的，其子细胞可以分化成为胆细胞（即胆管上皮细胞）或者肝细胞。位于不同区带的肝细胞在形态、生化特性以及功能上都有明显的差别。从Ⅰ带到Ⅲ带，肝细胞的体积逐渐增大，细胞的线粒体、内质网和糖原颗粒的形态特征也随着区带的变化明显不同。而且，不同区带中肝细胞的 DNA 含量截然不同，Ⅰ带的细胞是二倍体，到了Ⅱ带和Ⅲ带则逐渐变为多倍体细胞。中心周带的八倍体细胞表现出衰老迹象。成年啮齿动物（即大鼠和小鼠）的肝脏中 90% ~ 95% 细胞是多倍体；成人肝脏中则有 40% ~ 50% 细胞是多倍体，而胚胎和新生儿的肝脏中全部都是二倍体细胞。大鼠年龄达到 3 ~ 4 周时，其肝细胞开始转变为成年的多倍体形式，而人则在接近 20 岁时才出现这种转变。随着年龄的增长，所有哺乳动物肝细胞中的多倍体细胞都会逐渐增加，这一点可以解释肝脏的再生能力随年龄增长而减弱的现象。

#### 6.2.3 干细胞增殖行为的模型

至此，我们已经知道各种干细胞的复制机制对于人体器官组织功能的形成和维护以及组织工程人工移植产品的开发都至关重要。那么，干细胞是如何分裂的？它们分裂时都发生了什么呢？下面介绍描述干细胞群动态行为的 3 种模型。

### 1. 克隆演替假说

人体的细胞系统由干细胞池维持,干细胞池中的细胞要么处于缓慢生长状态,要么处于休眠状态。在组织的整个生命过程中,这种细胞池始终存在,其中的细胞受到刺激后就会进入复杂的细胞增殖和分化过程。并且,干细胞一旦被激发,单个细胞就能克隆产生大量的成熟细胞。在反馈信号的作用下,克隆细胞群体都只能维持有限的生命周期。一段时间之后,整个克隆群体就会凋亡,根据需要,新的干细胞克隆群体会接替前任的角色。

### 2. 确定性的自我维护与自我更新模型

该模型基于干细胞的自我复制机制,它假设:一个干细胞分裂成为2个子细胞之后,50%的可能性是一个子细胞保持原干细胞的特性,而另一个子细胞则进入分化过程。这个自我更新的几率是可以调控的,不一定精确为50%,它与组织的动态变化相关。

### 3. 随机性模型

这种模型假设一个干细胞分裂之后,其后代子细胞中可能没有一个是干细胞(即克隆演替模型的情况),也可能有1个是干细胞(即确定性模型的情况),或者2个都是干细胞;而这三种情况都有一定的出现概率。

## 6.2.4 干细胞与组织工程

### 1. 干细胞构建各种生物组织

在发育期,人体内各种组织的细胞都源于干细胞。而且,成人体内某些组织含有干细胞的存储小池,需要时其中的干细胞会被动员起来,修复损伤的组织。因此,干细胞在体内能够生成和维护各种组织。这种特性备受关注,因为它提供了利用干细胞在体外生产组织的可能性。由于干细胞具有很强的增殖能力,并且能够分化成为多种细胞,因此,它们在组织工程中的应用迅速发展。

### 2. 干细胞的体外培养

根据经典的定义,干细胞既可以分裂成为新的干细胞(不分化),也可以分化成为特定的细胞类型。这说明干细胞在分化成为特定的组织细胞系之前其数量能够不断扩增,从而为组织工程提供细胞。理论上,这种方法可以产生用之不竭的细胞,用于构建新的组织。不过,虽然体外培养技术发展迅速,但目前的水平还没有达到使任意干细胞家族都能够真正自我复制式地扩增。

### 3. 用于临床和科研的干细胞分离

干细胞的分离方法已经有多种,不过,目前还没有某种标志性参量能够单独地作为权威性的干细胞分离依据。有效的分离方法一般都要用到多个指标。例如,利用免疫选择法可以通过干细胞表面特异性抗原识别细胞类型,再结合细胞直径、密度和粒度(也就是细胞质中线粒体等细胞器的大小)等指标就可以分离干细胞。已发表的干细胞分离方法还有利用磁珠、亲和柱和反向淘洗的流式细胞法和/或者免疫选择法等。分离纯化之后,干细胞身份的确认方法有离体和在体两种。离体方法通常是克隆复制,也就

是在精确的培养条件下使单个细胞增殖,然后观察其生成的子细胞是否具有多种发育命运,如果命运多于一种,那么,原来的细胞就是干细胞。在体方法是将待定的干细胞移植到动物体内,考察其是否能够再生出多种组织。

#### 4. 干细胞的种类

胚胎干细胞是多能细胞中最强的一种,它几乎能够生成人体的任意一种组织。这种细胞通常取自胚胎发育的早期(如胚泡期),它们能够产生大量各种各样的特化细胞。但是,由于存在伦理学问题,它们的应用引起了争议。此外,胚胎干细胞用于细胞移植治疗时还存在问题,因为它们拥有原始胚胎的免疫机制,属于异体移植。这些因素促使科学家们寻找其他替代方法。体细胞核移植技术就是其中一例,它将卵母细胞的细胞核去掉,代之以某个特化体细胞的细胞核物质,从而构成一个被“重新编程”的胚泡细胞,其基因与原来的特化体细胞相同。动物克隆就是使用这种技术。现在还在研究治疗性克隆,也就是建立与体细胞供体的基因相同的细胞库,用于治疗。这种方法也有争议,因为利用原始重编程的细胞有可能克隆出完整的生物体。

最近有一项令人振奋的发现:无需替换整个细胞核,仅需传送几组关键的调控基因就可以将细胞重新编程。这样获得的细胞被称为诱导多能干细胞(inducible pluripotent stem cells),它们被重新设置为多能状态。这种技术将2~6组特定的基因移入体细胞的细胞核,这些被选定的基因组具有将靶细胞重新编程为胚胎细胞的功能。目前已有几种不同的基因组可以实现这个目标。理论上,这样产生的细胞系就可以增殖并分化成为所需的特化细胞类型。这项技术激发了干细胞学界的研究热情,研究人员正在开发其在组织工程中的应用。

近十年里,在组织工程和再生医学领域,研究人员开展了大量寻找、鉴定和应用成人干细胞的研究工作。目前已经知道,在成人的各种组织中有些细胞具备多能性。例如,骨髓的造血干细胞已有深入研究,它们能够产生各种血细胞。骨髓还包含少量的间充质干细胞,它们与培养基的粘附性与骨髓中的其他细胞(如造血干细胞)不同,据此,可以将这种细胞分离出来。间充质干细胞的来源和发育命运是个研究热点,它们有时被称为骨髓基质细胞(bone marrow stromal cells)。其他有些成人组织也包含多能祖细胞和干细胞,如血液中的内皮祖细胞、脂肪组织中的脂肪干细胞、脑组织中的神经干细胞、心脏组织中的心脏干细胞等,脐带的基质和羊水中也可能存在干细胞。并非所有研究人员都认同这些细胞是真正的干细胞,但是,毫无疑问,多能干细胞的潜能对于组织工程的影响是巨大的。

### 6.2.5 干细胞的衰老

细胞的自然衰老与端粒酶和DNA的稳定性相关。

DNA双链复制时产生的两条新生链中,一条称为前导链,另一条称为后随链。后随链的合成是不连续的,它由冈崎片段连接形成,而且,由于最后一个片段不能启动合成,因此,后随链的长度总是比前导链要短。那么,这种DNA链末端短缺部分是否会被填补呢?直线形的染色体两端含有非编码的重复序列,被称为端粒。这种端粒可以通

过端粒酶进行复制。端粒酶是一种核蛋白 DNA 聚合酶, 可以将端粒延长。端粒酶一旦被表达, 就能够使成长中的细胞的染色体端粒长度保持不变。端粒学说认为端粒的长度和端粒酶的激活是细胞获得“永生”的关键因素。在酵母等微生物以及干细胞、还有由干细胞转化而来的肿瘤细胞等衍生物中, 都存在端粒酶活性。但是, 定型的干细胞变成单能后代细胞之后, 就会丧失端粒酶的活性。因此, 正常体细胞并不具有端粒酶活性, 每次细胞分裂之后, 其染色体上的端粒就会被缩短  $50 \sim 200\text{bp}^{\ominus}$ , 这种长度变化被称为“分裂钟”(mitotic clock)。端粒的长度为  $9 \sim 11\text{kbp}$ , 当其长度缩短到  $5 \sim 7\text{kbp}$  时, 染色体就开始变得不稳定, 并会停止复制(图 6.11)。这就是细胞复制存在 Hayflick 界限的机制, 也就是细胞衰老的表现。

造血细胞中存在端粒酶活性, 但其活性很低。体外培养实验表明, 未成熟造血细胞在发育和细胞倍增过程中其端粒确实有所缩短。干细胞的端粒缩短速度很慢, 比体细胞要慢得多。干细胞衰老的数值分析结果表明, 成人干细胞存在一定的自我更新能力(见习题 1)。

### 6.2.6 组织动力学

如图 6.12 所示, 人体组织由具有不同发育来源的多种细胞构成, 细胞的动态行为及其相互作用决定了整个组织的形态、状态和功能, 每个细胞的活性通常都很重要。但是, 由于各种细胞活性的变化都需要经过一段时间之后才能够在组织的功能上体现出来, 因此, 细胞活性的重要性常被忽视。如下是组织功能动态变化过程中细胞水平的活动类型:

- 1) 细胞增殖: 通过完整的细胞分裂过程, 也就是既有 DNA 合成又有细胞质分裂的过程, 实现细胞的复制和增生, 从而使细胞数量增加。
- 2) 细胞肥大: 只有 DNA 合成却无细胞质分裂, 导致细胞体积增大。
- 3) 细胞的成熟和分化: 通过基因表达的变化获得某个成熟细胞系的特定功能。
- 4) 细胞凋亡: 衰老的细胞经历所谓的“程序性死亡”(programmed cell death), 此过程与细胞坏死不同。

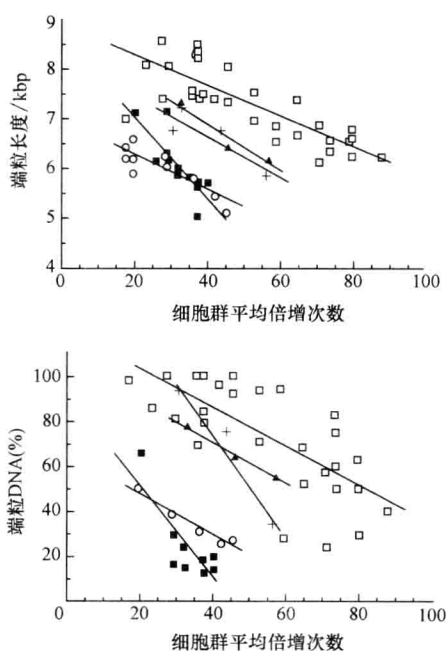


图 6.11 细胞培养过程中随着细胞倍增次数的增加端粒长度缩短(摘自参考文献[5])

$\ominus$  bp 是碱基对——译者注

5) 细胞黏附: 细胞与其邻近物质之间的物理连接, 该物质可以是相邻的细胞、细胞外基质、或者人造表面。

6) 细胞迁移: 细胞向特定微环境 (即某个部位) 的移动。

图 6.13 表示了上述细胞过程。后面会简单介绍目前已了解的有关这些细胞过程的知识, 重点放在动态的定量描述上。这些细胞过程构成了组织水平上的如下 3 个动态过程:

1) 组织功能 (Histogenesis): 成熟细胞系来源于组织的干细胞池, 组织的整体功能是组织成熟细胞系的所有细胞作用的总和。

2) 组织形成 (Tissue formation): 发育生物学等领域的研究结果已经阐明了组织的形成过程。随着年龄的变化, 各种组织中包含的干细胞、二倍体细胞和多倍体细胞的比例也会发生变化。婴儿等年轻供体的组织中所包含的细胞系中的年轻细胞 (即干细胞和二倍体细胞) 相对比较多, 而老年供体的组织中包含细胞系的晚期细胞 (即多倍体细胞) 相对比较多。由此可见, 体外培养时, 取自年轻供体的组织具有较强的扩增潜能, 并且能够用于多种不同的细胞治疗。

3) 组织修复 (Tissue repair): 受损组织的修复过程包括干细胞池的细胞生产、细胞增殖以及细胞分化, 进而产生完全成熟的细胞。根据需要, 修复过程还可能包括细胞向受损部位的迁移过程。

这些动态过程涉及多种不同类型细胞之间的相互作用。如图 6.13 所示, 在几个主要的细胞发育过程中都贯穿了细胞之间的通信与协调。下面详细介绍生物组织的这 3 个动态变化过程的生物学和动力学机制。

### 1. 组织发生

所有人体组织都是动态变化的, 人的一生中某些器官所产生的细胞数量超过人体细胞的总数。如前所述, 在稳态情况下, 人体骨髓每天大约要生产  $4 \times 10^{11}$  个骨髓细胞。如果某人的寿命为 70 岁, 那么, 其一生中骨髓生产的累计细胞数量可达  $10^{16}$  个, 这个

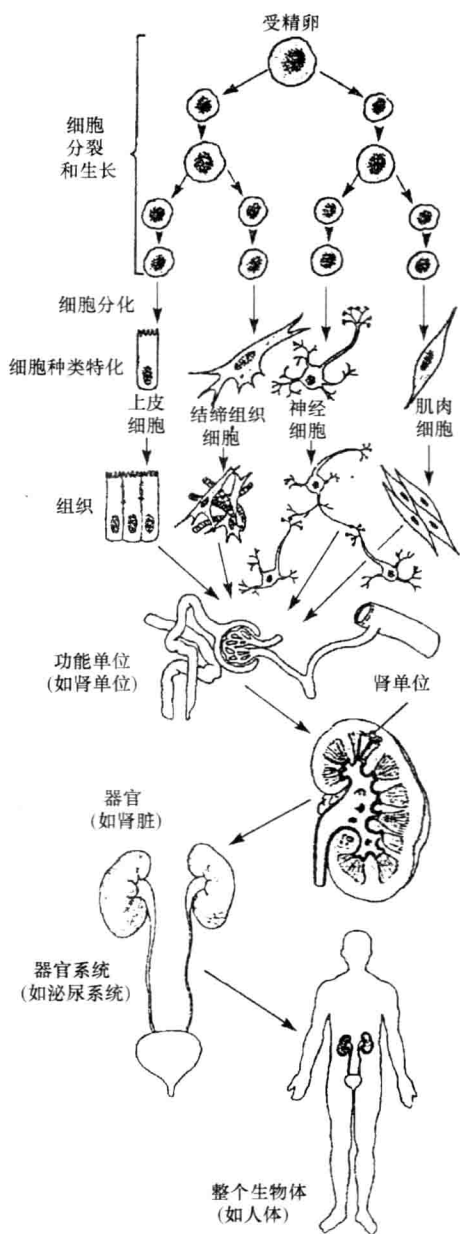


图 6.12 组织的各个细胞层次以及各种细胞的发育来源 (摘自参考文献 [17])

数字是人体任意时刻细胞总数的几百倍！同样，人体第二大增殖组织小肠上皮在人的一生中大约要生产  $5 \times 10^{14}$  个细胞，是人体细胞总数的近十倍。

如表 6.3 所示，各种生物组织的细胞周转时间各不相同。骨髓是人体增殖最快的组织，然后是小肠内皮细胞，再后是表皮细胞。骨髓和小肠内皮细胞的周转时间都仅需数天，表皮细胞为数周。处于休眠期的组织的细胞周转时间为数月甚至数年。例如，啮齿动物肝脏细胞的周转时间大约为一年；人体肝脏细胞的周转时间也很长。现在已被确认，通过脑室内层干细胞池的作用，甚至中枢神经系统组织的细胞也会更新，只是速度非常缓慢。

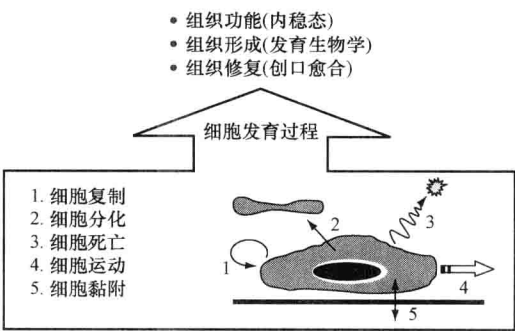


图 6.13 组织的动力学过程包括 3 个动态过程以及各个细胞发育过程

表 6.3 各种生物组织的细胞更新速度

生物组织	物种	周转时间/天
红细胞	大鼠	2.5
骨髓细胞	大鼠	1.4
造血细胞	人	2.5
小肠上皮细胞	人	4~6
	大鼠	1~2
表皮细胞	人	7~100
角膜上皮细胞	人	7
淋巴细胞	大鼠(胸腺)	7
	大鼠(脾)	15
上皮细胞	大鼠(阴道)	3.9
	人(子宫颈)	5.7
精原细胞	人	74
肾间质细胞	小鼠	165
肝细胞	大鼠	400~500

2. 组织形成

前面所述主要是处于稳定状态的生物组织通过干细胞和成熟细胞系所产生的发育和再生过程。经过胚胎发育和器官发生之后生物组织才能逐渐达到稳态，其过程十分复杂，下面就以造血功能的形成过程为例加以说明。脊椎动物发育时，卵黄囊、胎儿肝脏、脾和骨髓中相继出现造血活动，其出现形式在不同脊椎动物物种之间有些差别。造血细胞最早出现在 C4 分裂球的后代 32 细胞胚胎中。当囊胚生长到大约 1000 个细胞时，也就是受精卵经历 10 次倍增之后，囊胚变成球形，然后形成原肠胚，就像用手指捅膨胀的气球一样，内陷部分就是内胚层，它最终将形成消化道。原肠胚形成之后，外胚层与内胚层之间会形成另一层中胚层，它是由细胞之间的相互作用和可溶性生长因子的活动造成的，它将发育成边缘区。很多定型干细胞都起源于中胚层，包括造血细胞、间充质细胞、肌细胞、肾脏细胞和脊索细胞等。其中造血细胞来自腹侧中胚层。某些造血细



胞迁移到卵黄囊形成血岛,血岛细胞大部分是红系细胞(即“原始”造血细胞)。造血细胞的胚胎来源似乎是一种双能细胞,这种细胞既产生管脉系统的内皮组织又产生造血细胞。随着发育的进行,造血干细胞随后出现在胎儿的肝脏。在邻近出生之前,造血干细胞又从肝脏迁移到骨髓,并在胎儿出生后一直位于骨髓中。有趣的是,脐带血中含有造血干细胞,可用于儿童和青少年患者的细胞移植。上述发育过程体现了发育期干细胞分裂的不对称特性及其发育潜能逐渐变窄的过程。此外,发育期干细胞的迁移也非常重要。了解干细胞发育过程的调控机制和动态特性对于组织工程研究至关重要。

### 3. 组织修复

组织受伤时会诱发创伤愈合反应,其过程包括一系列相互协调的细胞活动。并且,不同年龄阶段的创伤愈合过程有所不同。胎儿期伤口愈合的速度很快且不留疤痕。相反,出生后人体的创伤愈合比较慢,且通常会留下疤痕,虽然有时并不能完全恢复正常组织的结构,但一般都可以获得令人满意的组织修复状态。有些疾病的发生过程也很像创伤愈合过程。例如,各种各样的纤维化疾病就与组织修复过程相似,也会留下疤痕。现在,人们对于干细胞及其后代成熟细胞系的认识越来越深入,对于它们随年龄变化的特性也已经有所了解,这些知识都有助于人类对于创伤愈合现象的进一步认识。下面介绍创伤愈合过程中所发生的一系列事件。

人体受伤之后,血液循环系统中的血小板立即就会黏附到受伤处,并开始控制出血。血小板在数秒时间之内就会被激活,分泌它们所存储的颗粒状物质,并传播出去,同时将更多的血小板聚集到正在形成的血栓处。受伤之后数分钟,伤口周围的血管会收缩,从而进一步减少出血。

创伤愈合的下一步是血小板在伤口处释放因子,促使伤口附近的血管舒张、通透性增加。随后,凝血级联反应被启动,纤维蛋白被凝血酶分解,从而形成纤维蛋白凝块。这种纤维蛋白栓与纤维连接蛋白一起将组织固定住,并形成临时基质。这种基质对于创伤愈合早期炎性细胞的聚集和随后的成纤维细胞等附属细胞的迁移,具有重要的作用。

然后,各种炎性细胞迁移到伤口处。嗜中性粒细胞最早从循环血液转移到伤处。随着嗜中性粒细胞的逐渐脱粒和死亡,巨噬细胞数量不断增加。各种生物组织中都含有巨噬细胞,并且循环血液中的巨噬细胞也会转移到伤处,从而使伤处的巨噬细胞数量增加。它们与嗜中性粒细胞一样,能够吞噬细胞碎片,抵抗微生物的入侵,同时产生趋化因子和促细胞分裂素。这些因子将内皮细胞和成纤维细胞引诱到伤处,并刺激它们不断增生。如果伤口处的巨噬细胞受到抑制,那么,创伤的愈合就会受到严重影响。

接着,所谓的肉芽组织形成,它由成纤维原细胞、巨噬细胞和旺盛增生的血管系统组成,增生的血管网嵌在纤维连接蛋白、胶原蛋白和透明质酸组成的基质中。成纤维细胞开始产生胶原蛋白,大部分是Ⅰ型和Ⅲ型。这些胶原蛋白提高了伤口的抗拉强度。并且,成肌纤维细胞此时开始收缩,使伤口缩小,将伤口边缘拉在一起。

在创伤愈合过程中,伤处基质的成分会不断产生变化,包括调控因子的变化和结缔组织蛋白的降解。例如,开始时Ⅲ型胶原蛋白很多,但随着时间的推移它们逐渐被Ⅰ型胶原蛋白取代。这些过程的相互作用决定了伤疤的形态。当表面看起来伤口已经基本愈

合时,其实伤处的化学成分和结构仍然在继续发生变化。创伤愈合的最后一步是疤痕的消退,许多情况下这个过程并不能完成,治愈后会留下疤痕。基质成分的合成和降解过程可能会持续数月。最后,基质成分和各种细胞的空间分布都回复到原有状态时,创伤愈合过程基本结束。了解创伤愈合过程对于组织工程的研究工作非常重要,因为体外组织培养时诱导的反应过程与创伤愈合过程很相似。

## 6.2.7 细胞分化

如图 6.13 所示,细胞发育命运的调节过程决定了组织功能的动态变化,有关调节过程的遗传学、生物化学和动力学上的知识正在不断积累。本章下面将介绍细胞的几个主要发育命运之间相互作用的动力学过程,以及组织工程所面临的挑战。

### 1. 细胞分化的生物学基础

细胞分化是指细胞经历表型变化之后成为一种特化细胞的过程。作为组织和/或者器官的一部分,这种特化细胞具有其生理功能和相应的作用。细胞分化起始于细胞的定型,然后是一系列基因表达的调控过程。

“分化”这个术语是指基因表达的差异性,也就是细胞中基因表达的变化。分化使细胞向某种特定功能的状态发展,这种改变通常是不可逆的,它涉及各种基因家族“开启”和“关闭”的精密控制。经过这些基因调控之后,最终的基因组表达就与成熟细胞的功能密切相关。

#### 例 6.1

如何建模仿真血红细胞的生成过程?

解:

新生成的红细胞会取代衰老的成熟红细胞。人体每天大约需要产生 2 千亿 ( $10^{11}$ ) 个红细胞。如图 6.14 所示,红细胞生成过程中所经历的各种变化基本已研究清楚。细胞的大小、RNA 和 DNA 的合成速度以及蛋白质的组成都逐步受到调控并发生变化。从原红细胞(即早期前体细胞)到完全成熟的去核红细胞,整个分化过程大约需要 180h,也就是约一周时间。其中,在前祖细胞和祖细胞时期,细胞的复制活动最旺盛,但是,一旦到达前体时期,复制活动就立即停止。这些知识可用于推导和求解描述红细胞生成过程的模型方程。 ■

### 2. 细胞分化的实验测定

利用表面荧光标记和光学显微镜观察细胞形态的方法可以直接考察细胞分化的过程。另外,根据细胞超微结构的变化也可以确定细胞的不同分化时期。

流式细胞仪常用于监测细胞的分化过程。在不同分化阶段,细胞表面的特征蛋白会发生变化,如果将这些表面蛋白作为单克隆抗体荧光标记物的结合位点,就可以利用流式细胞仪跟踪数种表面蛋白的表达情况。通过长时间的跟踪记录,就可以监测细胞及其群体的分化状态。

例如,通过监测转铁蛋白受体 CD71 和血型糖蛋白 A 的表达情况就可以跟踪血红细胞的生成过程。血型糖蛋白 A 是一种红系特异性的表面蛋白,它带负电荷,可以防止

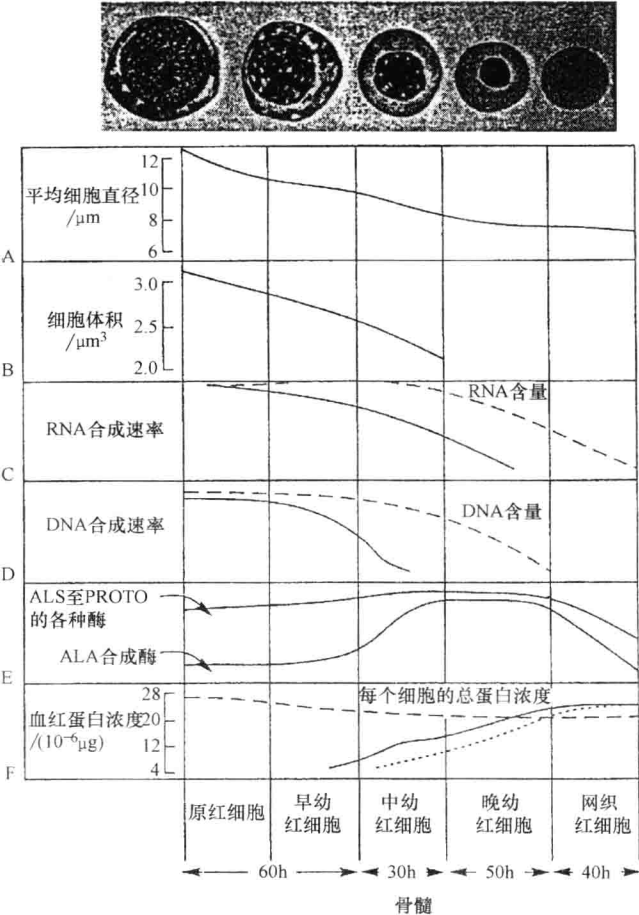


图 6.14 红系血细胞的发育成熟过程（摘自参考文献 [4]）

高密度红细胞悬液发生聚集。而转铁蛋白受体在血红蛋白结合铁离子的过程中发挥着重要的作用。图 6.15 显示了血红细胞生成的监测过程。

3. 细胞分化的动力学模型

细胞分化过程是一个缓慢进行的过程，经常需要几天或者几周才能完成，其复杂的动力学过程可以用如下两种数学方法来描述。

(1) 细胞分化的房室模型

描述细胞生长和分化的传统数学方法就是房室模型。分化过程涉及一系列细胞表型和形态的变化过程，这些变化在分化后期越来越明显，它们可以表示为

$$X_0 \rightarrow X_1 \rightarrow X_2 \rightarrow \dots \rightarrow X_i \rightarrow \dots \rightarrow X_n \rightarrow \text{转分化} \tag{6.1}$$

其中分化阶段数  $n$  的值可以高达 16 ~ 18。

过去的房室模型假设一个分化阶段到下一个阶段的转化代表的是细胞分裂，因此，这种模型将细胞的分化与复制结合在一起，模型的数学方程是如下常微分方程组：

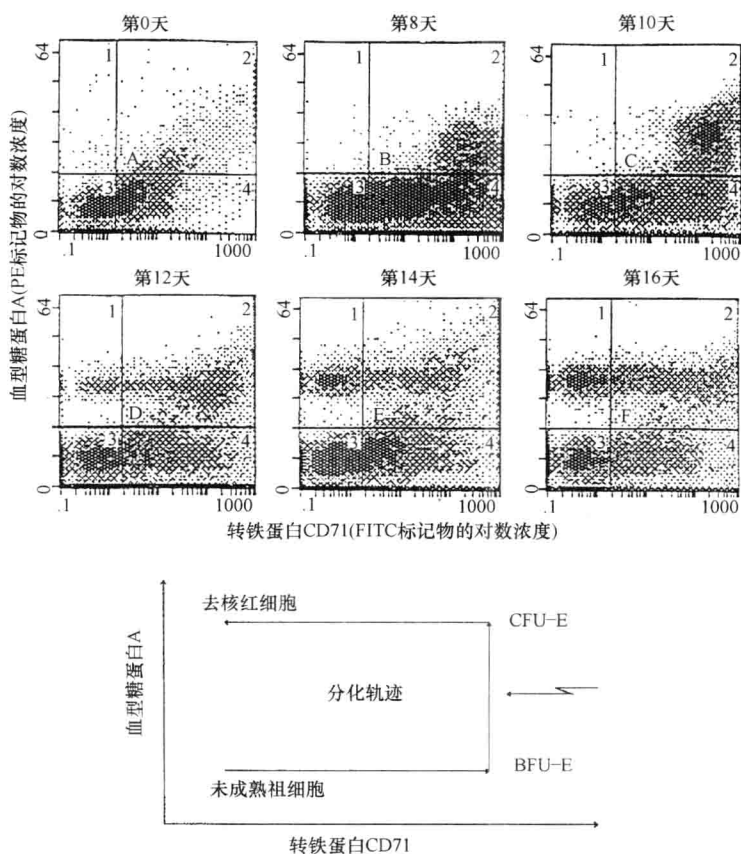


图 6.15 血红细胞的分化过程可以用血型糖蛋白 A 和转铁蛋白 CD71 两个参数来描述 (摘自参考文献 [16])

注: 血型糖蛋白 A 出现在早期红细胞爆式集落形成单位 (Blast-Forming Unit-Erythroid, BFU-E), 而铁蛋白 CD71 则在 BFU-E 和 CFU-E<sup>⊖</sup> 的祖细胞阶段都有表达。利用流式细胞仪同时测量这两个参数, 并绘制双变量散点图, 就可以显示出红细胞分化过程中所呈现的 U 形变化轨迹。

$$\frac{dX_i}{dt} = 2k_{i-1}X_{i-1} - k_iX_i \quad (6.2)$$

并且, 当前阶段向下一阶段转化的速率正比于当前阶段的现有细胞数量。显然, 转化速率是生长因子浓度等变量的函数。

## (2) 细胞分化的连续模型

另一种建模方法是将分化过程看作连续的过程。细胞一旦定型并进入分化之后, 整个分化过程就以恒定的速率进行。这种模型的数学方程是如下一阶偏微分方程组:

⊖ CFU-E 是红细胞集落形成单位 (colony-forming unit-erythroid)。——原文注

$$\frac{dX}{dt} + \delta \frac{dX}{da} = [\mu(a) - \alpha(a)] X \quad (6.3)$$

式中  $\delta$ ——分化速率;

$a$ ——表示细胞分化状态的参数,  $a=0$  表示尚未分化的状态,  $a=1$  表示分化结束的状态;

$\mu$ ——细胞增生速率;

$\alpha$ ——细胞死亡速率。

其中,  $\mu$  和  $\alpha$  取值范围为  $0 \sim 1$ , 且两者都是  $a$  的函数。

#### 4. 细胞迁移

##### (1) 细胞迁移的生物学意义

细胞迁移在各种组织正常生理功能和异常病理过程中都具有重要的作用。例如, 在器官形成和胚胎发育以及伤口愈合和新生血管形成等组织修复过程中都需要细胞迁移。另外, 免疫系统要依靠细胞迁移才能发挥作用, 而癌细胞转移等病态过程也是细胞运动产生的结果。因此, 细胞迁移是普遍存在的一种细胞活动。

动物细胞在迁移时其形状会发生变化, 表面会伸出伪足。细胞伪足有板状伪足和丝状伪足两种, 它们都能够动态形成, 然后收回。伪足的形成主要是细胞质中局部肌动蛋白聚合的结果, 它们由多种蛋白之间相互作用的复杂机制决定。例如, 神经细胞突起中的丝状伪足在突起的延伸过程中具有重要的作用, 它们有助于微管的装配, 而微管是神经细胞的重要组成部分。神经突起中的丝状伪足其实由板状伪足延伸形成, 分布于四周, 并具有传感器的作用。已有研究表明, 神经突起的丝状伪足对于神经生长锥的导向起着关键作用。有人发现神经生长锥上的丝状伪足携带了某种细胞黏附分子的受体 (参见本章末尾习题9)。成熟的白细胞也会伸出伪足。最近就有人发现了 T 淋巴细胞中的尾足 (uropod) 结构, 这种尾足在淋巴细胞与上皮细胞相互作用过程中形成, 它是 ICAM-1、ICAM-3、CD43 和 CD44 等黏附分子在细胞质中重新分布的结果。T 细胞通过这些尾足与其他 T 细胞产生直接接触, 并实现通信。趋化因子等生理因子对于这种尾足的生成具有促进作用。由此可见, 细胞质伪足对于不同的细胞具有不同的功能, 包括细胞迁移和通信功能。

##### (2) 细胞迁移的动力学模型

###### 1) 细胞群体的迁移。

无复制细胞群体的整体迁移可以用如下方程描述:

$$\frac{dX}{dx} = J \quad (6.4)$$

式中  $J$ ——系统边界处的细胞通量矢量, 也就是二维系统中单位时间和单位距离上的细胞数量, 其单位是“细胞数/距离·时间”;

$X$ ——细胞数量;

$x$ ——通量的维。

细胞通量与细胞浓度和趋化因子的浓度有关, 即

$$J = \text{随机运动} + \text{化学增活运动} + \text{趋化运动}$$
$$= \sigma \frac{dX}{dx} - \left(\frac{X}{2}\right) \left(\frac{d\sigma}{da}\right) \left(\frac{da}{dx}\right) + \chi \frac{Xda}{dx}$$

(6.5)

式中  $\sigma$ ——随机运动系数；  
 $\chi$ ——趋化系数；  
 $a$ ——某种趋化因子的浓度。

此式第一项相当于物质传输的扩散项，表示细胞群的随机扩散活动。化学增活项表示细胞运动速度随浓度的变化，一般此项可以忽略不计。如果  $\chi = 0$ ，且化学增活性可以忽略，那么，细胞的运动就是随机游动，类似于分子的自由扩散运动。趋化运动项表示物质浓度梯度引起的细胞运动的偏向，该项相当于物质传输中的对流。

2) 细胞个体的迁移。

如上所述，随机游动的细胞群可以用类似于描述扩散过程的数学方程来表示。另外，处于迁移状态的细胞的运动特性也可以用单个细胞的运动来表示，如图 6.16 所示，这种运动与上述扩散活动不同。

假设细胞的运动速度为  $s$ 、保持时间为  $p$ （即细胞保持某个运动方向不变的时间）、并且在趋化因子作用下的方向偏角为  $\theta$ ；那么，单个细胞的随机运动系数  $\sigma$  可以表示为

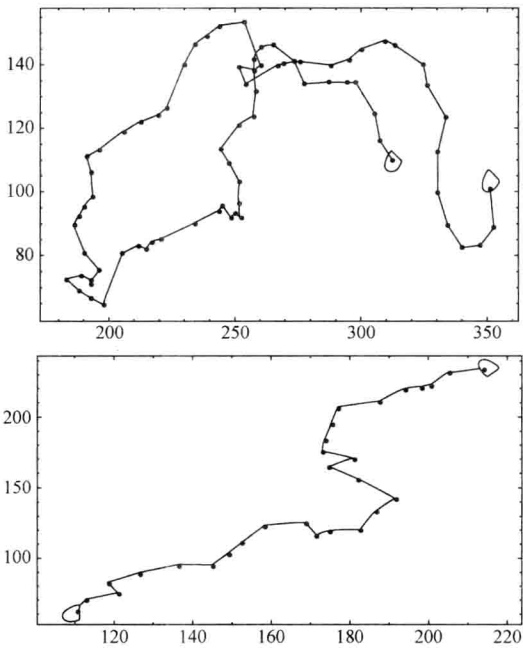


图 6.16 均匀环境中单个嗜中性粒白细胞的随机运动实验记录轨迹（摘自参考文献 [9]）

$$\sigma = s^2 p$$

(6.6)

表 6.4 列出了这些参数的典型数值。

表 6.4 几种细胞的随机运动速度和保持时间

细胞类型	速度	保持时间
兔类嗜中性粒白细胞	20 $\mu\text{m}/\text{min}$	4min
大鼠肺泡巨噬细胞	2 $\mu\text{m}/\text{min}$	30min
小鼠成纤维细胞	30 $\mu\text{m}/\text{h}$	1h
人体毛细血管内皮细胞	25 ~ 30 $\mu\text{m}/\text{h}$	4 ~ 5h

5. 细胞复制

(1) 细胞周期

如图 6.17 所示, 人们对于细胞分裂过程及其分子机制的研究日益深入。细胞分裂周期受到一系列所谓的细胞周期依赖性激酶 (cyclin-dependent kinase) 蛋白质的调控, 这些激酶存在磷酸化和去磷酸化两种形式, 就像双稳态器件一样, 可用于组成一系列紧密编排的开关网络, 其中的开关或“开”或“关”。当蛋白激酶

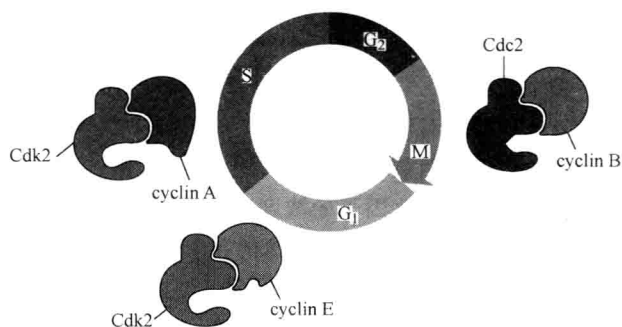


图 6.17 真核细胞的细胞周期 (即  $G_1$ 、S、 $G_2$  和 M 这 4 个阶段) 及其细胞周期依赖性激酶的示意图

处于“开”的状态时, 它们就可以诱导细胞周期所需的生物化学过程。不少综述性文章阐述了哺乳动物细胞周期的各个事件发生顺序。注意, 细胞可以从休眠状态 (也称为  $G_0$  期) 进入分裂周期, 反过来, 也可以从分裂周期转变为休眠状态, 这些进出细胞周期的转变都由某些重要因素调控。另外, 细胞周期的  $G_1$ 、S、 $G_2$  和 M 这 4 个阶段中, S、 $G_2$  和 M 阶段的持续时间比较固定。一旦细胞需要分裂且能够分裂时, 它就开始合成 DNA 并随即产生分裂。整个分裂过程具有零阶动力学特性, 也就是, 一旦启动, 它就以某个恒定的速度进行。人体细胞最短的周期时间约为 12h, 也就是祖细胞的分裂周期, 而分化后细胞的周期会更长。

## (2) 细胞周期的动力学模型

细胞生长的动力学过程可以用以下几种模型来描述。

1) 指数生长模型: 如果细胞的生长过程不受任何限制, 那么, 新生细胞的产生速率直接与当前的细胞数量成正比, 即

$$\frac{dX}{dt} = \mu X_t \Rightarrow X(t) = X_0 e^{\mu t} \quad (6.7)$$

可见, 该模型方程的解是一个指数函数。其中生长速率  $\mu$  等于  $\ln(2)/t_d$ ,  $t_d$  是细胞倍增时间。

2) 细胞状态依赖性模型: 如果要描述细胞周期的各个阶段, 那么, 动态方程中就要结合细胞的状态因素, 于是, 要用如下时间和细胞状态的一阶偏微分方程

$$\frac{dX}{dt} + v \frac{dX}{da} = \alpha(a)x \quad (6.8)$$

式中  $v$ ——细胞经历细胞周期的速率;

$a$ ——描述细胞状态的变量,  $a=0$  表示新生细胞,  $a=1$  表示完成了分裂的细胞;

$\alpha$ ——与细胞周期相关的细胞死亡速率。

在适当的初值条件和边界条件下该平衡方程可以求解。

3) 分子机制模型: 细胞周期依赖性激酶的分子级联反应机制已经研究清楚, 基于这些知识可以建立描述细胞周期的分子机制模型, 这种模型含有很多变量, 必须利用计

计算机仿真求解。

### 6. 细胞发育过程的相互作用决定组织的整体动力学特性

细胞分化过程涉及一系列细胞表型和形态的变化，这些变化一般在分化后期越来越明显。其中关键的一步是环境依赖性分化，也就是基因的差异表达，其实就是器官组织形成过程中某种功能性成熟细胞的产生过程。同样，胚胎发育过程也可以描述为一系列基因差异表达的过程。式 (6.1) 表示了这种过程。

细胞分化过程中的进行性变化一般都与细胞分裂和细胞凋亡等基本“驱动”作用相关。因此，基本细胞过程可以用各个分化阶段上细胞数量的平衡方程来描述，即

细胞数量的变化 = 输入的细胞数 - 分化的细胞数 - 凋亡的细胞数 + 分裂的细胞增量  
其数学方程为

$$\frac{dX}{dt} = I - \delta X - \alpha X + \mu X = I - (\delta + \alpha - \mu) X \quad (6.9)$$

式中  $\delta$ 、 $\alpha$  和  $\mu$  分别为细胞分化速率、凋亡速率和复制速率。该方程可以改写成如下形式：

$$\frac{dX}{dt} + kX = I \quad (6.10)$$

式中  $k = \delta + \alpha - \mu$ ，该参数是时间常数的倒数，表示细胞数量  $X$  的动态变化特征。显然， $\mu/\delta$  和  $\alpha/\mu$  是决定生物组织中细胞群体产量的两个关键的无量纲比值。

### 6.2.8 细胞通信

#### 1. 细胞之间的通信方式

如图 6.18 所示，组织中的细胞相互之间主要通过以下 3 种方式进行通信：

1) 细胞分泌可溶性信号分子，即细胞因子和趋化因子；

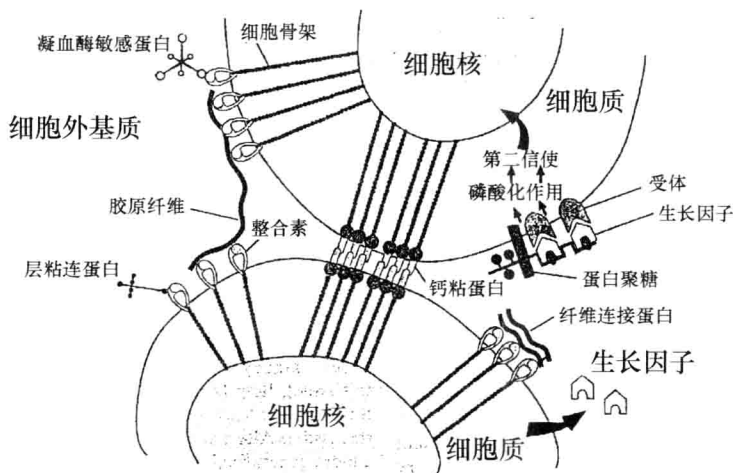


图 6.18 细胞与胞外基质蛋白质之间的相互作用 (摘自参考文献 [13])



2) 细胞之间相互接触, 并通过细胞与细胞的直接连接进行通信;

3) 细胞利用蛋白质改变微环境的化学性质, 即细胞外基质的成分。

这些细胞通信方式的作用时间、作用距离以及特异性都各不相同, 因此, 每种方式只适合于传递某种特定类型的信息。

## 2. 可溶性生长因子

生长因子是分子量为 15000 ~ 20000D 的小蛋白分子<sup>⊖</sup>。它们的化学性质很稳定, 并具有很长的半衰期, 除非遭受特异性降解。生长因子最早发现于各种生物体液。例如, 促红细胞生成素最初是从尿液中分离获得, 而集落刺激因子 (colony stimulating factor) 则从特殊细胞系的培养液中提取得到。这些蛋白因子可以分离、纯化并定性。随着 DNA 技术的发展, 各种生长因子可以作为已知受体的配体直接克隆获得。这种方法已用于分离促血小板生成素 (c-mpl 的配体) 和干细胞因子 (c-kit 的配体)。生长因子都由信号发送细胞生成并分泌, 然后传送给靶细胞。

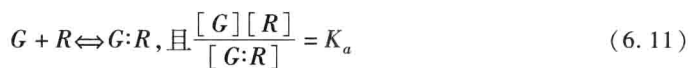
### 例 6.2

蛋白质的最大分泌速度是多少?

解:

通过计算基因转录和翻译的最大速度可以估计细胞中单个基因调控的蛋白质的最大分泌速度。有人用这种方法计算了在高浓度启动子控制下的免疫球蛋白 (分子量为 150000D) 的生产速度, 结果表明, 其最大分泌速度为每个细胞每秒分泌 2000 ~ 8000 个蛋白分子, 相当于每个细胞每小时生产 1pg 蛋白。该计算值与实验测量数据相符。由于生长因子的分子量大约为免疫球蛋白的十分之一, 因此, 单位时间内每个细胞分泌的生长因子分子数量应该比免疫球蛋白多。不过, 由于细胞在任何时候都要同时合成很多种蛋白质, 因此, 细胞分泌蛋白质的实际速度总是要小于最大速度。 ■

各种生长因子依靠高亲和力与细胞膜上的受体相结合, 它们的结合常数很小, 只有 10 ~ 100pM。生长因子与受体的结合可以用如下模型来描述:



式中  $[G]$ 、 $[R]$ 、 $[G \cdot R]$ ——分别为生长因子、受体以及两者的复合物的浓度;

$K_a$ ——结合常数。

由于系统中受体的总量  $R_{\text{tot}}$  是常数, 因此, 根据物质守恒定律有

$$R_{\text{tot}} = [R] + [G \cdot R] \quad (6.12)$$

此等式可以写成

$$R_{\text{tot}} = [G \cdot R] \frac{K_a}{[G]} + [G \cdot R] = [G \cdot R] \left( 1 + \frac{K_a}{[G]} \right) \quad (6.13)$$

即

$$([G \cdot R] / R_{\text{tot}}) = [G] / ([G] + K_a) \quad (6.14)$$

⊖ 道尔顿 (Dalton, D) 是质量单位, 常用于描述分子质量, 氢原子的质量为 1D。——原文注

如图 6.19 所示,要使刺激信号发生作用,受体的占有率  $[G:R]/R_{\text{tot}}$  必须达到 0.25 ~ 0.5 的水平,因此,即使 10pM 这样小的生长因子浓度也足以诱发细胞的响应。

在很多情况下,受体与配体的复合物会被内化,其内化的时间常数一般是 15 ~ 30min。有些生长因子摄入速率的绝对值已被测定。例如,未成熟的造血细胞以每天每百万个细胞 10 ~ 100ng 的速度消耗白细胞介素 3 (即 IL-3) 和干细胞因子 SCF。此外,实验结果表明,在复合的细胞培养基中,消耗 10000 ~ 70000 个生长因子分子才能够刺激细胞分裂。

### 例 6.3

可溶性信号分子的作用距离有多远,其传播需要多长时间?

解:

利用球形物体分泌物质的简单扩散模型就可以计算细胞信号分子可以传播的最远距离。稳态时,距离细胞  $r$  处的分泌物的浓度  $c$  是距离  $r$  的函数,即

$$\frac{c}{K_a} = \alpha \frac{R}{r}, \text{ 其中 } \alpha = \frac{(R^2/D)}{(K_a R/F)} \quad (6.15)$$

式中  $R$ ——细胞半径;

$F$ ——分泌速率;

$D$ ——生长因子的扩散系数。

于是,  $c = K_a$  处的临界距离  $r$  就是

$$r_{\text{临界}}/R = \alpha \quad (6.16)$$

最大分泌速率  $\alpha$  等于两个时间常数之比,即扩散时间常数  $(R^2/D)$  和分泌时间常数  $(K_a R/F)$ 。由于理论上需要无限长时间才能达到稳态,因此,比较合理的一种方法是计算信号分子浓度达到其最终稳态值的一半时的传播距离。这样计算得到的信号传播时间常数约为 20min,最大距离约为 200 $\mu\text{m}$ 。这个距离与分泌速率  $F$  成正比,而与亲和力  $K_a$  则成反比。 ■

如图 6.20 所示,生长因子与其受体结合之后,就会触发复杂的信号转导过程。一般,受体复合物会发生变化,并由此诱导细胞内的一系列酶促反应,很多情况下,这些反应与 Janus 激酶 (即 JAK) 相关。这些激酶通过信号传导和转录激活因子的作用,将信号传送到细胞核内。其中的动力学过程很复杂,表皮生长因子的详细信号传导过程已基本弄清楚。

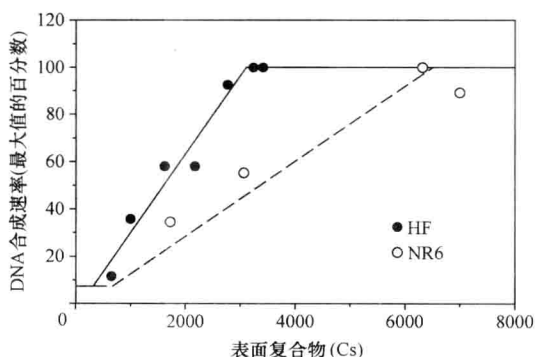


图 6.19 细胞表面表皮生长因子复合物稳态浓度与细胞的 DNA 合成响应之间的关系 (数据取自参考文献 [7])

注: 图中空心圆点表示鼠的成纤维细胞 (即 NR6), 实心圆点表示人的成纤维细胞 (即 HF)。

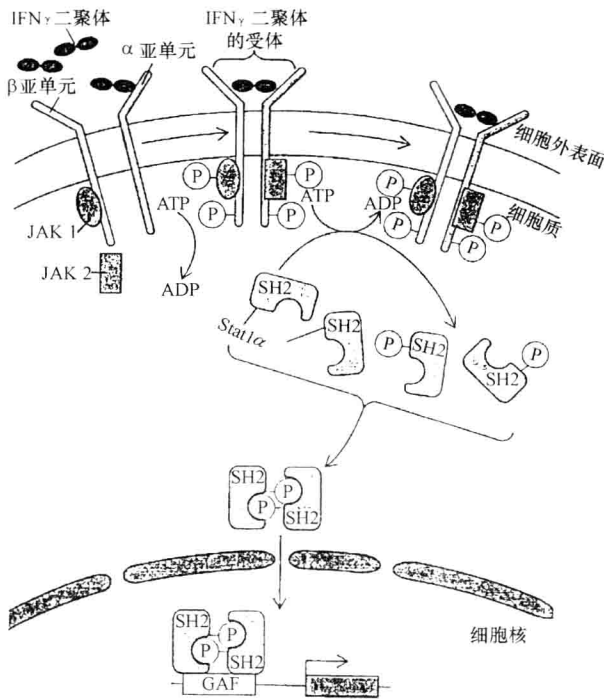


图 6.20 干扰素- $\gamma$  的信号转导途径示意图（摘自参考文献 [10]）

### 3. 细胞之间的直接接触——不可溶因子之一

细胞表面存在一类被称为细胞黏附分子（Cell Adhesion Molecule, CAM）的蛋白质，其中包括构成粘带和桥粒的钙粘蛋白以及构成缝隙连接的连接蛋白等。这些蛋白分子形成了细胞与细胞之间的直接接触。有些 CAM 被称为细胞连接分子，它们在相邻细胞之间形成连接，允许细胞质之间的直接通信。这种连接构成的通道的直径一般约为 1.5nm，可以允许分子量小于 1000D 的分子通过。

最近有越来越多的文章阐述流体力学剪切力对细胞和组织功能的影响。在细胞中，细胞骨架具有重要的力学作用。生长因子与受体结合时会引起细胞的拉伸，从而通过细胞骨架将信号传送到细胞核。因此，细胞表面的整合素受体就是各种重要信号的“力学传感器”。此外，根据各个细胞在组织中所处的特定位置，通过微弱的力学作用，细胞之间还可以进行长距离通信。因此，细胞外微环境的力学特性与细胞本身的力学特性一样重要。力学因素诱导的细胞功能变化和细胞信号的力学传导是迅速发展的研究领域，它与组织工程密切相关。

### 4. 细胞与基质之间的相互作用——不可溶因子之二

细胞外基质 ECM 就像编织物、支撑物和凝胶组成的复合体，它将组织中的各种细胞及其构架连接在一起。ECM 具有很多功能，它为组织提供力学支撑，为细胞提供迁移所依附的基底，还为细胞之间的通信提供信号分子传导的场所。因此，ECM 既具有

结构功能又具有调控功能。而且,它是动态变化的,会不断发生改变。例如,ECM的成分会被金属蛋白酶降解,并通过细胞的生产获得再生。许多组织在某种程度上都会重塑其ECM,心肌的基质每天要更新大约3%。

ECM中含有各种成分,它们的结构和调控功能各不相同。细胞表面有许多可以促进细胞与基质之间通信的黏附分子和ECM受体分子。这些信号分子包含了细胞迁移、复制、分化和凋亡的指令信息,它们的特性受到ECM成分的调控,而ECM成分反过来又受到各种细胞的调控。ECM引领着各种细胞的发育命运,并且是细胞之间通信的工具。ECM中的信号分子比较稳定,与那些通过扩散传递信息的生长因子相比,它们的特异性更强,信号传导能力也较强。表6.5归纳了ECM所包含的各种组成成分及其功能。

表 6.5 细胞外基质的各种组成成分<sup>①</sup>

组分	功能	分布
胶原蛋白	组织构架、拉伸强度、细胞与基质的相互作用、基质之间的相互作用	无处不在
弹性蛋白	组织构架和特性	具有弹性的组织,如肺、血管、心脏、皮肤等
蛋白聚糖	细胞与基质的相互作用、基质之间的相互作用、细胞增殖、各种生长因子的连接与存储	无处不在
透明质酸	细胞与基质的相互作用、基质之间的相互作用、细胞增殖、细胞迁移	无处不在
层粘连蛋白	基底膜的组成成分、细胞迁移	基底膜
表皮整联配体蛋白	上皮细胞基底膜的组成成分	基底膜
副层连蛋白	基底膜的组成成分	基底膜
纤维连接蛋白	组织构架、细胞与基质的相互作用、基质之间的相互作用、细胞增殖、细胞迁移、调理素	无处不在
玻璃连接蛋白	细胞与基质的相互作用、基质之间的相互作用、止血	血液、伤口形成处
纤维蛋白原	细胞增殖、细胞迁移、止血	血液、伤口形成处
微纤维蛋白	弹性纤维的微纤维成分	具有弹性的组织,如肺、血管、心脏、皮肤等
固生蛋白	调控细胞与基质的相互作用	基质重塑过程中瞬时表达
骨连蛋白 SPARC <sup>②</sup>	调控细胞与基质的相互作用、抗粘连、抗增殖	基质重塑过程中瞬时表达
凝血酶敏感蛋白	调控细胞与基质的相互作用	血小板 $\alpha$ 颗粒
各种黏附分子	调控细胞与基质或者细胞与细胞之间黏附能力的细胞表面蛋白、跨膜信号分子的介质	无处不在
假性血友病因子 (即 vWF)	调控血小板的粘附性、凝血因子Ⅷ的载体	血浆蛋白、内皮下膜

① 摘自 Mutsaers 等, 1997。

② SPARC 是富含半胱氨酸的酸性分泌蛋白。

#### 例 6.4

不同细胞功能的实现需要多少受体位点?

解:

将精氨酸－甘氨酸－天门冬氨酸（Arg-Gly-Asp，RGD）三肽序列以不同的密度固定在细胞表面，就可以检测成纤维细胞表面 RGD 结合位点密度对于细胞黏附、伸展和生长的影响。实验结果表明，平均间隔为 440nm 的受体分布密度对于细胞黏附和伸展已经足够，160nm 的分布间隔则可以实现局部位点上的黏附。这种实验研究可用于了解细胞在不同基质上的黏附和迁移机制。

组织工程的研究热点之一是设计和制造仿真细胞外基质 ECM 的材料。人造 ECM 像支架一样可以促进组织的生长。多种自然材料和人工合成材料已被用于制作 ECM。有些材料是生物可降解的，在机体生长过程中它们可以逐渐被新生细胞取代，从而重建组织功能。不过，由于天然 ECM 的大部分功能目前尚不清楚，而且它承担着与细胞之间的双向通信功能，因此，人造 ECM 很难设计。如表 6.6 所示，可能只有细胞自身能够提供完整的 ECM 功能。

表 6.6 调控细胞与细胞外基质之间相互作用的各种黏附分子

黏附分子	配 体
整合素	
$\alpha_1\beta_1$	I、IV、VI 型胶原蛋白,层粘连蛋白
$\alpha_2\beta_1$	I ~ IV、VI 型胶原蛋白,层粘连蛋白
$\alpha_3\beta_1$	I 型胶原蛋白,层粘连蛋白、纤维连接蛋白、副层连蛋白、表皮整联配体蛋白
$\alpha_4\beta_1$	纤维连接蛋白 <sub>ALT</sub> 、VCAM-1、凝血酶敏感蛋白
$\alpha_5\beta_1$	纤维连接蛋白、凝血酶敏感蛋白
$\alpha_6\beta_1$	层粘连蛋白
$\alpha_v\beta_1$	纤维连接蛋白
$\alpha_L\beta_2$	ICAM-1、ICAM-2、ICAM-3
$\alpha_M\beta_2$	ICAM-1、iC3b、纤维蛋白原、X 因子、变性蛋白
$\alpha_x\beta_2$	纤维蛋白原、iC3b、变性蛋白
$\alpha_v\beta_3$	玻璃连接蛋白、纤维蛋白原、纤维连接蛋白、凝血酶敏感蛋白
$\alpha_v\beta_5$	玻璃连接蛋白
$\alpha_v\beta_6$	纤维连接蛋白
$\alpha_0\beta_4$	层粘连蛋白
$\alpha_4\beta_7$	纤维连接蛋白 <sub>ALT</sub> 、VCAM-1、MAdCAM-1
$\alpha_{Ith}\beta_3$	纤维蛋白原、纤维连接蛋白、玻璃连接蛋白、vWF
LRI <sup>b</sup>	纤维蛋白原、纤维连接蛋白、玻璃连接蛋白、vWF、IV 型胶原蛋白、副层连蛋白

6.3 物理学问题

6.3.1 组织功能亚单位的形成

如表 6.7 所示，人体一共有 11 个主要器官系统，其中肌肉与骨骼一般合在一起，称为肌肉骨骼系统。这些器官系统实现呼吸、消化和机械运动等生理机能，每个系统都由多种组织和器官组成，图 6.21 显示了消化系统所包含的主要器官。各个系统及其器官都具有自我平衡功能，这些功能由生理需求决定，它们定义了组织工程设计所需要的器官功能和参数，就像商品的“技术指标”一样。表 6.8 举例说明了男性人体的生理学“技术指标”数据。

表 6.7 人体的主要器官系统

系统名称	组成部分	功能
循环系统	心脏、血管、血液,有时还包括淋巴管和淋巴	向全身组织输送血液
呼吸系统	鼻、咽、喉、气管、支气管、肺	交换二氧化碳和氧气,调节氢离子浓度
消化系统	口、咽、食道、胃、肠、唾液腺、胰腺、肝脏、胆囊	有机营养成分、盐和水的消化与吸收
泌尿系统	肾脏、输尿管、膀胱、尿道	通过盐、水和有机废物的排泄来调控血浆成分
肌肉骨骼系统	软骨、骨骼、韧带、肌腱、关节、骨骼肌	起支撑和保护作用,并实现人体运动和血细胞的生产
免疫系统	脾、胸腺等淋巴组织	抵制异物的侵入,将细胞外液返回血液,生成白细胞
神经系统	脑、脊髓、中枢神经与外周神经、感觉器官	调控机体的各种活动,检测机体内部环境和外部环境的各种变化,实现意识、学习和认知过程
内分泌系统	包括所有分泌激素的腺体:胰腺、睾丸、卵巢、下丘脑、肾脏、垂体、甲状腺、甲状旁腺、肾上腺、肠、心脏、胸腺、松果腺体等	调控机体的各种活动
生殖系统	男性包括睾丸、阴茎、输精管和附属腺;女性包括卵巢、输卵管、子宫、阴道、乳腺。	男性:产生并输送精子; 女性:产生卵子、给胚胎和胎儿的发育生长提供营养环境;给婴儿提供营养
皮肤系统	皮肤	保护机体免受损害和脱水,抵制异物的侵入,调控体温

表 6.8 标准美国男性人体的生理学数据<sup>①</sup>

年龄	30 岁
身高	5ft8in, 即 1.86m
体重	150lb, 即 68kg
体表面积	19.5ft <sup>2</sup> , 即 1.8m <sup>2</sup>
正常体温	37.0℃
正常皮肤平均温度	34℃
热容	0.86cal/g/℃
容量数据	
机体脂肪含量	10.2kg, 或者体重的 15%
皮下脂肪层厚度	5mm
体液	约为 51L, 或者体重的 75%
血容量	5.0L, 其中包括血液的有形成分、各种血细胞、血浆, 红细胞占全血容积的百分比约为 0.43
肺	
总肺容量	6.0L
肺活量	4.2L
潮气量	500mL
死腔	150mL
物质传输面积	90m <sup>2</sup>
静息时的物质平衡与能量平衡	
能量转化速率	72kcal/h, 即 1730kcal/天 (即 40kcal/m <sup>2</sup> /h)
氧气消耗速率	250mL/min (呼吸商为 0.8)
二氧化碳产生速率	200mL/min
心率	65 次/min
心输出量	5.0L/min
体循环血压	120/80mmHg

① 摘自 Lightfoot, 1974。

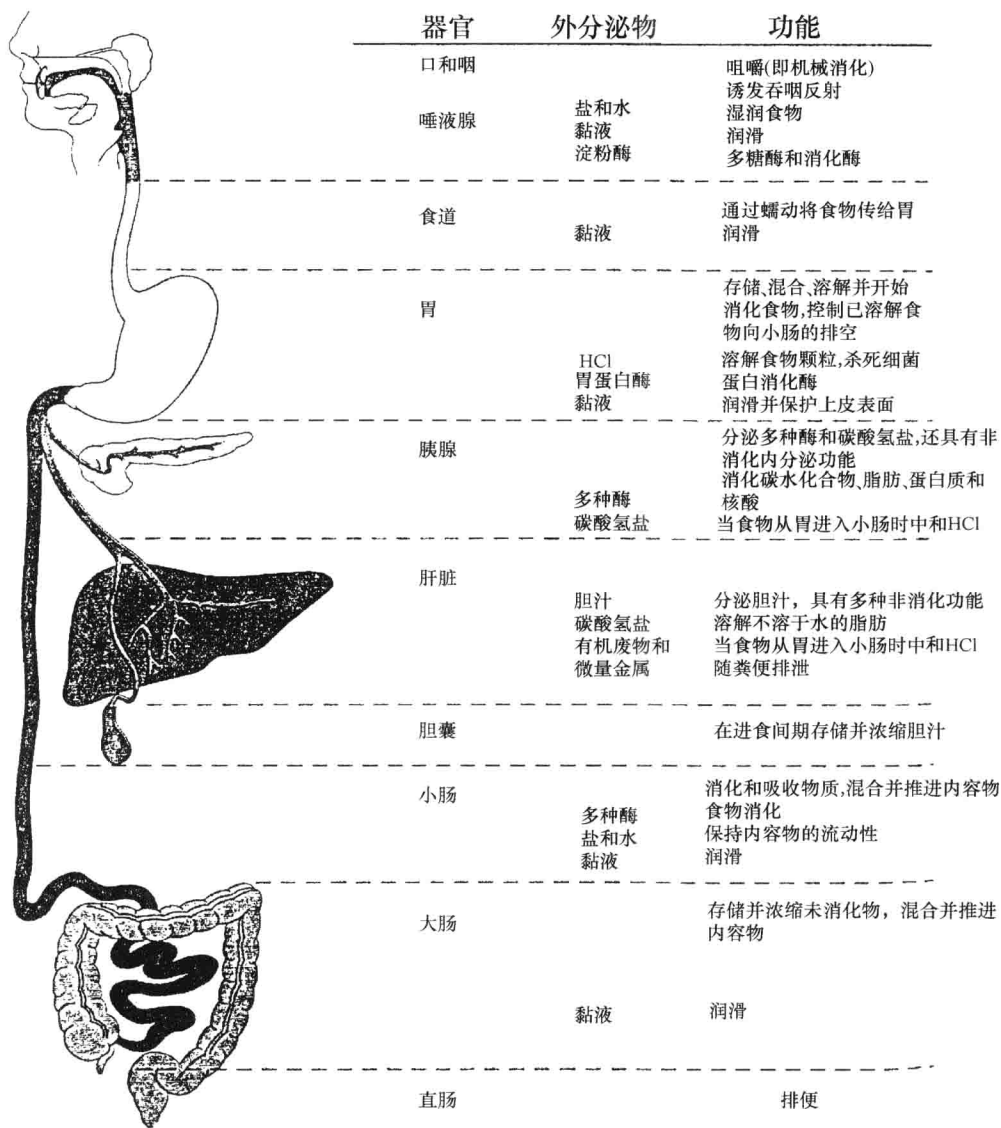


图 6.21 消化系统的结构与功能（摘自参考文献 [17]）

通过分析人体生理学数据大致的数量级，我们可以获得许多重要的信息，这是研究组织功能的重要方法，可以与实验研究相结合，来鉴定和设计器官功能的参数。即使在目前生物学知识的发展水平下，细致的理论分析和计算仍然不能代替深入的实验研究。

正常的器官有能力响应某些变化因素的作用，可以运行于偏离基本数据的某些状态。例如，在剧烈运动时，血液循环的速率和血液在各种器官中的分布都与静息状态有明显差别。同理，在异常的造血需求作用下，如出现感染或者镰刀型红细胞贫血症时，人体的血细胞生成速率会显著超过图 6.3 所示的正常水平。

各种器官都由功能亚单位组成,如肺中的肺泡和肾脏的肾单位(见图6.22)都是功能亚单位。这些亚单位由不同种类的细胞一起构建而成,从而实现特定的组织功能。如果将功能亚单位中的每一种细胞分离出来,那么,组织特异性功能就会随之丧失,不过,这种分离提纯的细胞可用于研究特定细胞的性能。

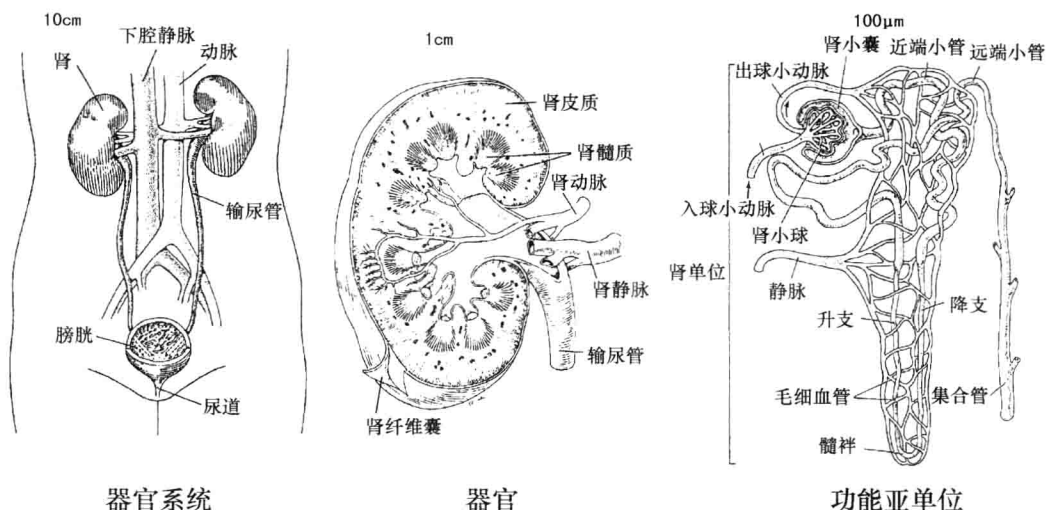


图 6.22 器官系统、器官与功能亚单位

总而言之,组织的功能是细胞之间相互作用的结果;功能亚单位的大小约为  $100\mu\text{m}$  数量级;而细胞的大小为  $10\mu\text{m}$  数量级;每个器官由数千万至数亿的功能亚单位组成。人体各种器官的大小是长期进化的结果,它给组织工程人工器官的制造提出了难题,体外重建的功能性组织必须具有相应的尺寸。

组织和器官的微环境非常复杂。为了实现组织的体外重建,必须精确复制其微环境的动力学特性、化学特性以及几何结构特性,这很困难。本章下面主要将介绍描述微环境的定量方法,利用这些方法可以更好地了解微环境中的关键问题,获得解决问题的方法,并用于指导实验研究。

组织的所有微环境通过微循环与人体的总环境相连。除了极少数例外情况,人体中所有具有代谢活性的细胞基本上都分布在毛细血管周围数百微米距离之内。毛细血管提供的灌流功能将每个细胞与氧气供应源、二氧化碳吸收源(即肺脏)、营养供应源(即小肠)以及废物清除器(即肾脏)等器官相连(见图6.2中间的细胞)。生物反应器的开发就是要在体外实现这些功能。这种培养装置必须正确模拟人体的呼吸功能、肠胃功能和肾功能,而且,还必须满足微环境的条件,也就是在大于  $100\mu\text{m}$  的尺度上提供均匀的灌流特性,这些都是苛刻的设计要求。

### 6.3.2 根据人体生理学数据计算组织功能的参数

组织工程的多数分析结果都是根据生理学 and 细胞生物学的数据(如表6.8所示的人



体数据等) 进行近似计算获得, 这些计算对于解释器官的生理功能并指导实验过程非常有用。下面举例说明分析计算的方法。

### 1. 血液的呼吸功能

有关血液的生理呼吸功能已有详细的计算数据, 根据人体组织的生理学数据可以直接分析组织的基本功能特性和生物设计中所面临的问题。

人体血液每分钟大约需要输送 10mmol 氧气, 人体血流的总循环速率大约为 5L/min, 因此, 血液传送氧气的浓度约需 2mmol/L。刚离开肺部的血液中的氧分压约为 90 ~ 100mmHg。静息状态下, 静脉血的氧分压只有 35 ~ 40mmHg; 剧烈运动时, 静脉血的氧分压甚至会降到 27mmHg。这些数据说明了循环血液必须满足的有关氧气输送的基本要求。

但是, 氧气在水溶液中的溶解度很小, 其浓度计算式为

$$[O_2] = \alpha_{O_2} p_{O_2} \quad (6.17)$$

式中  $\alpha_{O_2}$  —— Henry 常数, 约为 0.0013mmol/L/mmHg。

由此可见, 如果氧分压降为 95 - 40 = 55mmHg, 那么其传输的氧气约为 0.07mmol/L, 远小于所需的 2mmol/L, 相差近 30 倍! 显然, 血液的氧含量必须大大增加, 当氧分压从 95mmHg 降到 40mmHg 时, 必须有 2mmol/L 浓度的氧气能够释放出来。而且, 剧烈运动时人体的需氧量还会增加一倍, 也就是当氧分压从 95mmHg 降至 27mmHg 时, 必须释放 4mmol/L 浓度的氧气。

自然界进化的结果创造了血液循环系统中氧气与蛋白质分子相结合的方法来增加血液的氧含量, 从而解决了上述问题。

血管网络中蛋白质的分子量必须在 50 ~ 100 kD 范围内。如果每个蛋白质分子上只有一个氧分子的结合位点, 那么, 要达到 10mmol/L 的氧浓度所需的蛋白质浓度就是 500 ~ 1000g/L。从渗透压上看, 这个浓度太高, 而且, 此时血液的黏性会达到实际循环系统血液的十倍, 这显然不可行。另外, 循环系统中的蛋白酶会缩短含有这种蛋白质浓度的血浆的半衰期。

如果每个携带氧气的蛋白质分子有 4 个结合位点, 那么, 蛋白质的浓度就可以降至 2.3mmol/L, 再将蛋白质置于红细胞内, 这样就解决了黏性和蛋白质降解这两个问题。注: 血液流过组织时产生的氧浓度变化 (即氧气传输量) 这就是血红蛋白的主要特性。如图

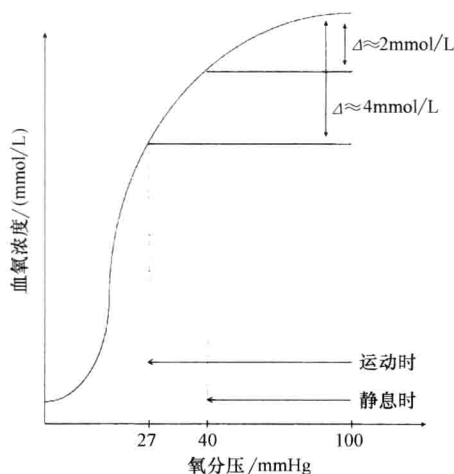


图 6.23 血红蛋白与氧分子结合的曲线以及氧气传输的示意图 (摘自参考文献 [3])

血液氧分压下降量的函数。

6.23 所示, 血红蛋白氧合特性的动力学模型研究结果表明, 其氧合能力可以满足静息状态和剧烈活动状态的人体氧气输送需求。

## 2. 人体骨髓培养的灌流速率

在设定体外培养细胞的条件时, 培养基更新速率的确定至关重要。一般, 刚开始时, 实验设计最好参照体内生长环境的数据, 因此, 我们首先必须了解细胞在体内生长的动力学特性。

在人体内, 每毫升骨髓的血液灌注速率约为  $0.08\text{mL}/\text{min}$ , 而每毫升骨髓约含 5 亿个细胞, 因此, 按照细胞数量计算, 相当于每天每千万个骨髓细胞的血液灌注速率为  $2.3\text{mL}$  (即  $2.3\text{mL}/10^7$  细胞/天)。20 世纪 70 年代中后期, 鼠类骨髓单核细胞的培养就已开发成功, 并且这种细胞培养的存活期很长。但是, 20 世纪 80 年代初, 利用同样的培养方法进行人类骨髓细胞培养时却不成功, 当时采用的方法是每周更换一次培养基。

那么, 这种体外培养的培养基更新速率与体内血液灌注速率是否相当呢? 我们先将体外培养基的更换速率换算成与上述体内计算相同的量, 再比较两者的差别。通常, 体外培养的初始细胞密度约为  $10^6$  个/ $\text{mL}$ , 因此,  $10\text{mL}$  约包含  $10^7$  个细胞, 而  $10\text{mL}$  培养液中含 20% (vol/vol) 血清培养基; 由此可见, 每天更换一次培养基才相当于每天每千万个细胞  $2\text{mL}$  的灌流速度, 才能够与上述体内计算结果相当。

于是, 在 20 世纪 80 年代末, 根据这种灌流速率和细胞密度进行的细胞培养实验就取得了成功, 各种人体骨髓细胞的培养从此迅速发展。经过培养规模的调整, 这些培养实验可以生产适合临床应用的细胞数量, 如今相关临床试验正在进行之中。由此可见, 体内与体外组织之间动力学相似性的分析可以指导具有临床意义的细胞培养方法的开发, 这些分析的依据就是人体组织的生理学数据。

上述血红蛋白氧合特性和骨髓细胞培养的灌流特性这两个例子说明了近似计算在指导组织工程的研究工作中的重要作用, 其中, 数据的正确测量和整理是这些计算的基础。根据这些数据, 可以计算时间常数、距离常数、流量、速率、浓度等参数, 这些特征参数的数量级是组织工程中设计和制造组织的重要依据。

### 6.3.3 三维结构中的物质传输

各种生物系统中物质传输的信息是组织工程的基础, 设计和使用细胞治疗产品 (或体外器官) 时都必须知道物质的传输速率。人体生理学数据只提供了整体的物质传输信息, 而组织工程需要生物组织的最小生理单位的毛细血管床的详细物质传输数据。物质传输包括进出组织的营养物质和废物的扩散和对流以及组织的营养物质消耗和废物的产生等。如表 6.9 所示是血管系统中血液对流速度的典型数据。表 6.12 和图 6.29 则分别给出了人体的耗氧速率和营养物质的扩散速率。对流由血压差产生, 它是血管系统中物质传输的主要方式; 而扩散是由浓度梯度产生, 它是组织中物质传输的主要方式。扩散可以用 Fick 定律来描述, 经过适当的修正, Fick 方程就可以描述矩形、圆柱形和球形三种不同结构物体中的物质传输现象。

表 6.9 血管系统中血液的最大对流速度

血管类型	流速/(cm/s)
主动脉	140 ± 40
颈总动脉	100 ± 20
椎动脉 <sup>①</sup>	36 ± 9
浅表股动脉	90 ± 13
肝脏血窦 <sup>②</sup>	10 <sup>-2</sup> ~ 10 <sup>-3</sup>

数据取自 DeWitt 和 Wechsler (1988)。

① 数据取自 Jager 等 (1985)；

② 数据取自 McCuskey (1984)。

用于干细胞体外扩增的生物反应器设计的关键就在于提供有利于分化的局部环境的同时，要保持足够的物质传输速率。组织或细胞团中氧气和葡萄糖等小分子营养物质的传输机制主要是扩散。扩散传输的距离（例如从血流中扩散出来的氧气在被组织细胞完全消耗之前所能穿透的距离）取决于物流中所含物质的容积浓度  $C_0$ 、细胞消耗该物质的速率  $Q_i$ 、物质在组织中的扩散系数  $D_i$  以及系统的几何形状。细胞消耗物质的速率  $Q_i$  通常是细胞团中该物质浓度  $C$  的函数。最常用的物质消耗速率方程就是 Michaelis-Menton 动力学方程。当物质浓度较高时，即  $C \gg K_m$ ，该方程可以简化为零阶动力学方程；当物质浓度较低时，即  $C \ll K_m$ ，该方程变为一阶动力学方程。在正常生理状态下，许多重要的营养物质都符合  $C \gg K_m$  的条件，因此，可以使用零阶方程。

营养物质在三维细胞团中的扩散距离可以用数学模型来计算。稳态扩散与物质消耗之间的平衡方程为

$$D_i \nabla^2 C = Q_i$$

(6.18)

式中  $C$ ——细胞团中营养物质的浓度。

图 6.24 显示了平板形、圆柱形和球形 3 种简单形状细胞团孵育在浓度为  $C_0$  的培养基物质中时的扩散情况，这 3 种几何形状的扩散方程都有解析解。将式 (6.18) 的梯度算子分别根据 3 种形状展开，可得如下方程：

平板形： $D_i \frac{d^2 C}{dx^2} = Q_i$

(6.19a)

圆柱形：

$$D_i \frac{1}{r} \frac{d}{dr} \left( r \frac{dC}{dr} \right) = Q_i$$

(6.19b)

球形： $D_i \frac{1}{r^2} \frac{d}{dr} \left( r^2 \frac{dC}{dr} \right) = Q_i$

(6.19c)

图 6.24 分别显示了各种形状下的距离变量的定义。求解这些物质传输微分方程的标准方法是将各个变量转化为取值范围为 0 ~ 1 的无量纲变量。这样，方程中的各个量就都成为相对

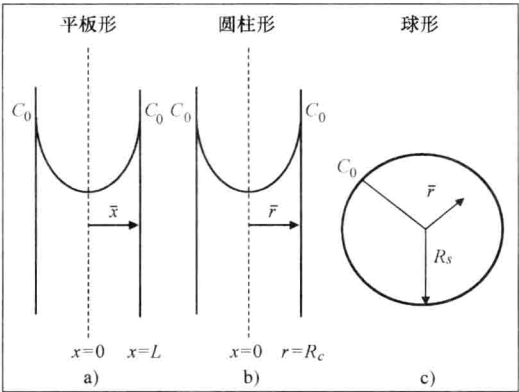


图 6.24 3 种不同形状物体的物质传输方程  
（根据参考文献 [12] 绘制）

值,很容易计算,所得到的解函数具有普遍适用性,可以用一组曲线图来表示。对于每一种几何形状,浓度  $C$  按照其最大值  $C_0$  进行归一化变换,即  $\bar{C} = C/C_0$ 。距离则通过除以扩散路径的长度进行归一化,对于平板形是  $\bar{x} = x/L$ ; 对于圆柱形是  $\bar{r} = r/R_c$ ; 对于球形是  $\bar{r} = r/R_s$ 。这样定义之后,再加上边界条件就可以求解方程。这三种形状方程的边界条件是:中心处的物质流量为 0,即在  $\bar{x} = 0$  和  $\bar{r} = 0$  处有  $d\bar{C}/d\bar{x} = 0$ ,  $d\bar{C}/d\bar{r} = 0$ ; 并且在细胞团的表面,物质浓度为最大值,即在  $\bar{x} = 1$  和  $\bar{r} = 1$  处有  $\bar{C} = 1$ 。

经过变量的无量纲处理之后,3 种形状方程的解可以用同一种通用形式来表示,即

$$\bar{C} = 1 - \frac{\phi^2}{2}(1 - \bar{x}^2)$$

所有的系统参数都集中在一起,并用无量纲参数  $\phi^2$  表示,  $\phi^2$  被称为 Thiele 模数。该模数表示化学反应或者物质扩散的相对速率,对于上述 3 种形状其定义略有不同,即

$$\phi_{\text{平板}}^2 = \frac{Q_i L^2}{C_0 D_t}, \phi_{\text{圆柱}}^2 = \frac{Q_i R_c^2}{C_0 D_t}, \phi_{\text{球形}}^2 = \frac{Q_i R_s^2}{C_0 D_t}$$

### 6.3.4 组织的微环境——细胞治疗和生物反应器设计的原理

组织工程的主要任务之一就是通过构建组织来创建组织功能。这个目标很难实现,它基于如下基本原理:

1) 组织的发育程序和创伤愈合响应都需要 DNA 遗传信息的系统性展开与调控,这些 DNA 信息的展开通过许多遗传“子程序”和“程序”的执行来完成。参与发育和创伤愈合的细胞还需要邻近区域其他细胞等物质的详细活动信息,因此,必须了解细胞之间的通信和干细胞微环境等概念。

2) 器官形成或创伤愈合之后,器官的整体功能与多种类型细胞的功能调控密切相关。生物组织的功能由很多细胞集群共同完成,这些细胞集群被称为组织的功能亚单位。

3) 微环境是每个细胞功能的主要影响因素,微环境的作用距离约为  $100\mu\text{m}$ 。

4) 微环境包含了邻近区域的细胞、化学环境和局部几何形状等特征。其中,邻近的细胞会产生细胞之间的连接、可溶性生长因子等物质;化学环境是指细胞外基质及其营养环境的动态变化。

#### 1. 体内细胞功能——细胞的组织微环境以及与其他器官的通信

组织功能成功实现的关键是必须提供符合生理需求的细胞生长环境,使细胞能够表达所需的组织功能。常见的方法就是模拟体内的生理环境,也就是模拟微环境的各种特性,包括细胞与细胞之间、细胞与基质之间通信,生化和力学环境,以及不同组织之间的通信等。

图 6.25 显示了 3 种组织微环境的例子,其中有些内容已在本章 6.2.2 节介绍过。如图 6.2 所示,每个细胞与其相邻环境以及其他组织之间的通信可以用人体拓扑结构的示意图来描述。该图的中心是 DNA,它包含了组织工程设计人员希望表达和操纵的遗传信息。细胞所处的微环境具有重要的时空特性。

细胞外的信号通过细胞膜传递给细胞，并经历细胞质中的各种信号转导机制之后，才能够传递给细胞核。有些信号由各种可溶性生长因子传送，这些生长因子可以来自循环系统的血液或者来自各种相邻的细胞，它们与适当的受体结合之后就能够传递信息。营养物质、代谢废物和呼吸气体以高度动态的方式进出微环境。微环境的特性与细胞成分、ECM 和局部几何结构相关，而这些因素也同时为细胞提供重要的信息。微环境的尺度范围约为 100 $\mu\text{m}$  数量级。在这种氛围中，细胞在各种调控机制作用下正常运作。如果这种氛围被破坏，那么，细胞就无法行使组织的功能。

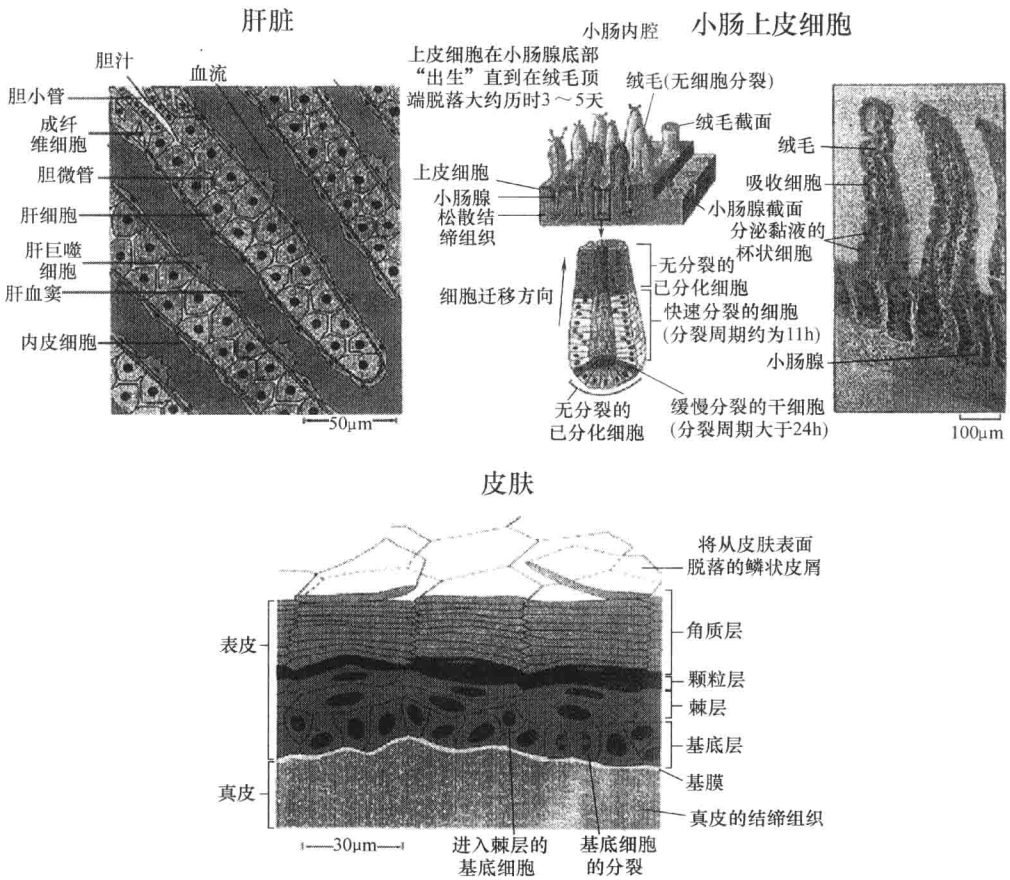


图 6.25 体内的组织微环境举例（摘自参考文献 [1]）

例 6.5

请阐述正常和异常肝组织中肝星状细胞（Hepatic Stellate Cell, HSC）之间的相互作用以及细胞周围的微环境。

解：

如图 6.26 所示，肝星状细胞是一种间充质细胞，位于肝细胞与肝血窦内皮细胞之间的窦周间隙中。正常的肝脏组织中，肝星状细胞紧贴基底膜样的基质，该基质由 IV

型胶原蛋白、层粘连蛋白和硫酸类肝素蛋白聚糖组成。如果肝脏受到损伤,肝星状细胞就会被激活,并开始生产基质蛋白,其中多数是I型和III型胶原蛋白。肝星状细胞的激活会使肝细胞和内皮细胞的表型都发生改变,也就是使肝细胞失去刷状缘,使内皮细胞失去窗孔。如果这种状态持续下去,肝脏就会纤维化。可见,组织微环境细胞功能调控的缺失会导致组织功能的丧失。本例题说明了防治和纠正肝脏功能障碍的可能方法,包括使用组织工程技术。

组织受到微循环系统的灌注,其灌注在大于 $100\mu\text{m}$ 的尺度上具有均一性。微循环系统与长距离的血液对流传输系统相连。对流传输系统连接人体的所有组织,给所有细胞提供营养、交换呼吸气体并排泄废物等。

组织工程的关键问题之一是如何设计微观尺度的环境和宏观尺度的环境。这里需要考虑如下两方面的重要问题:

- 1) 微环境的设计,包括其化学性质、几何特性、细胞结构和扩散特性等;
- 2) 与其他各种组织的相互作用,包括营养的供应、呼吸气体的交换、废物的排泄以及生长因子等可溶性蛋白质分子的传输等。

## 2. 微环境的细胞性

装在容器里的细胞密度约为每毫升10亿细胞的数量级,生物组织的细胞密度一般为该数值的 $1/3 \sim 1/2$ ,也就是每毫升1亿~5亿细胞。微环境的尺度范围为 $100\mu\text{m}$ ,由此可以计算组织微环境中细胞数目的数量级。如果细胞密度为5亿个/mL,那么边长为 $100\mu\text{m}$ 的立方体中约含有500个细胞。作为有趣的对比,在此容积下,简单多细胞微生物线虫(*C. elegans*)大约有1000个细胞。

不同组织微环境中的细胞性有所不同,例如,软骨的细胞性较低。软骨细胞的主要功能是维护细胞外基质。软骨无血管、无淋巴、也无神经。因此,很多其他组织含有的细胞类型在软骨中都不存在。每毫升软骨中大约仅含有100万个细胞,相当于边长为 $100\mu\text{m}$ 的立方体软骨中只有一个细胞。其他多数组织,特别是那些代谢旺盛更新速度快的组织,所含细胞的密度就要高得多,边长为 $100\mu\text{m}$ 的立方体中有数百个细胞。

如表6.10所示,组织的各种微环境中存在很多种不同类型的细胞。除了实质细胞(如

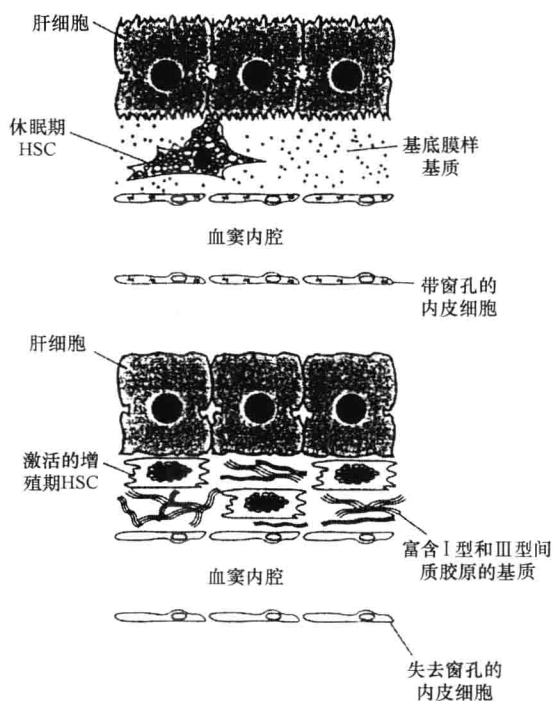


图 6.26 肝星状细胞的激活以及肝脏纤维化过程示意图(摘自参考文献[16])

肝脏的肝细胞等）之外，所有组织中都还包含了大量附属细胞，它们可以分成如下几类：

- 1) 间充质细胞（如成纤维细胞和平滑肌细胞等），它们存在于各种组织中，这种细胞属于结缔组织细胞。
- 2) 单核细胞在各种组织中都存在，它们具有独特的形态（见图 6.27）。单核细胞可以分化成为巨噬细胞，巨噬细胞一旦被激活，就会产生各种细胞因子和趋化因子，这些因子会影响邻近细胞的行为。
- 3) 内皮细胞在所有组织中都与脉管系统相结合。这种细胞在运输细胞进出组织的过程中发挥着重要的作用，并且在组织的新陈代谢中也具有重要作用。
- 4) 淋巴细胞和嗜中性粒细胞在组织中存在的时间很短，它们一般参与宿主的抵御反应或参与其他清除功能。

这些附属细胞一般占组织所有细胞的 30%，为了保持这个比例，实质细胞的数量会作相应的调整。表 6.11 列出了肝脏所包含的各种细胞的数据。

表 6.10 组织微环境中存在的各种细胞

基质细胞：由共同的前体细胞衍生而来		
间充质细胞		
成纤维细胞		
成肌纤维细胞		
成骨细胞/成软骨细胞		
脂肪细胞		
基质附属细胞：它们的产生过程与基质细胞不同，是组织的永久性居住者		
内皮细胞		
巨噬细胞		
移行细胞：为了宿主的抵御反应，在炎性刺激前后迁移进入组织的细胞		
B 淋巴细胞/血浆细胞		
细胞毒性 T 细胞和天然杀伤细胞（即 NK 细胞）		
粒细胞		
实质细胞：占据组织大部分容积的细胞，它们表达组织的功能，并与其他种类的细胞相互作用，以便促进分化功能的表达		

表 6.11 肝脏微环境中  
的各种细胞分布

细胞类型	大小/ $\mu\text{m}$	占总细胞的百分比
基质细胞		
Kupffer 细胞	12 ~ 16	8
血管内皮细胞	11 ~ 12	9
胆管内皮细胞	10 ~ 12	5
贮脂细胞	14 ~ 18	3
成纤维细胞	11 ~ 14	7
陷窝细胞	11 ~ 15	1 ~ 2
实质细胞		
单核细胞（I 型）	17 ~ 22	35
双核细胞（II 型）	20 ~ 27	27
嗜酸性细胞（III 型）	25 ~ 32	5

例 6.6

如果除掉组织中的附属细胞，



图 6.27 巨噬细胞在各种组织中的分布情况  
（摘自参考文献 [6]）

那么会产生什么结果？

解：

有关骨髓培养中附属细胞（又称基质细胞）的作用已经有系统的研究。在体外培养实验中，根据已知的抗原可以将各种未成熟细胞分离开来，从而可以改变实质细胞与附属细胞的组成比例，这就是附属细胞活性的滴定实验。如图 6.28 所示，实验结果表明，去除附属细胞之后，总细胞、祖细胞和前祖细胞等生产指标都急剧下降。补充经辐射预处理过的基质细胞可以恢复总细胞数和祖细胞数，但不能恢复前祖细胞数。该结果与预期结果一致，也就是特异性附属细胞与实质细胞之间的相互作用对于未成熟细胞非常重要。

### 3. 微环境的动力学特性

要获得所需的细胞表型和功能，细胞微环境的时间过程也很重要。微环境具有高度动态性，需要用多个时间常数来描述。下面将介绍几个关键的动力学过程。

#### (1) 氧化

一般，虽然哺乳动物细胞消耗氧气的速度比微生物慢，但是，如表 6.12 所示，就血液或培养基中的氧含量而言，它们摄取氧气的速率却很快。37℃ 温度下，水溶液的氧饱和浓度只有  $210\mu\text{mol/L}$ 。哺乳动物细胞的耗氧速率约为  $0.05 \sim 0.5\mu\text{mol}/10^6$  细胞/h。如果组织的细胞密度为  $5 \times 10^8$  细胞/mL，那么，该耗氧速率所需的氧气输送速率为  $25 \sim 250\mu\text{mol/mL/h}$ 。体外组织培养时的氧气灌流速率和体内血液的氧输送速率都必须满足这个需求。

由此可见，即使细胞密度很低，具有代谢活性的组织和细胞也会很快耗尽培养基中所含的氧气。例如，细胞密度为  $10^6$  个/mL 时，0.4 ~ 4h 内氧气就会被耗尽。因此，体外培养时，氧气必须连续供给。目前，肝细胞、角质形成细胞、软骨细胞和造血细胞等很多细胞都已经实现了体外培养，并用于临床细胞治疗。有人系统地研究了氧气对于肝

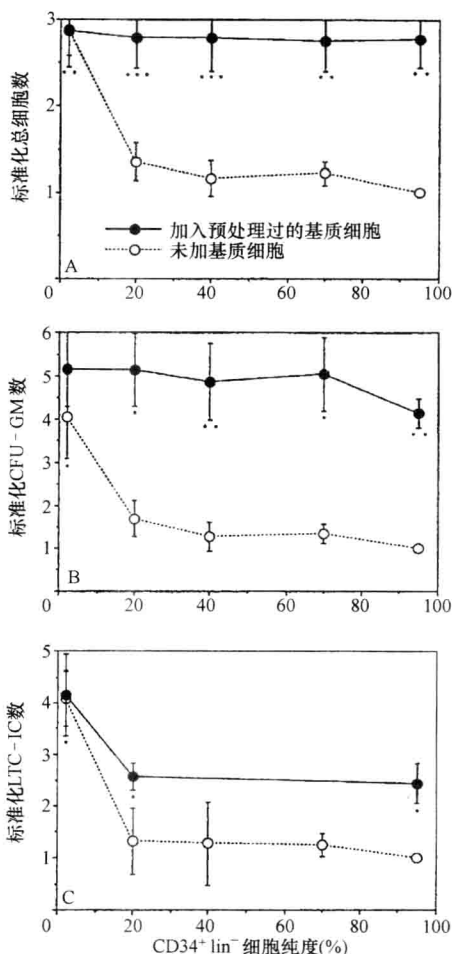


图 6.28 CD34<sup>+</sup> lin<sup>-</sup> 早期造血细胞群的纯化对于细胞培养结果的影响（摘自参考文献 [8]）

注：纯化程度较高时，由于缺乏附属细胞，相关细胞的生产指标会下降。其中，CFU-GM 是粒细胞/巨噬细胞集落生成单位，LTC-IC 是长期培养启动细胞。



细胞培养的影响，结果表明，肝细胞的耗氧速率（Oxygen Uptake Rate, OUR）约为  $1.0\mu\text{mol}/10^6$  细胞/h，在各种哺乳动物细胞中属于较高的水平。相反，大鼠骨髓细胞的耗氧速率要低得多，只有  $0.02\mu\text{mol}/10^6$  细胞/h。

除了氧气的供给以外，细胞附近的氧浓度必须保持在特定的范围内。氧化程度会影响很多生理过程，包括细胞黏附、细胞生长和细胞分化等。如果氧浓度过低，那么细胞的生长就会减慢；反之，如果氧浓度过高，那么，细胞的生长也会受到抑制，甚至会发生细胞中毒。例如，很多研究结果已经表明，5%的氧浓度可以使造血细胞集落的形成显著增加，另外，生物反应器中骨髓细胞的培养也存在最佳氧浓度。由此可见，细胞培养和组织工程研究中氧气供给速率的设定非常重要。

表 6.12 体外培养时各种  
人体组织和细胞的耗氧速率

人体组织或细胞	耗氧速率 /( $\mu\text{mol}/10^6$ 细胞/h)
HeLa 细胞	0.1 ~ 0.0047
HLM(肝脏)	0.37
LIR(肝脏)	0.3
AM-57	0.045 ~ 0.13
皮肤成纤维细胞	0.064
Detroit-6 细胞(骨髓)	0.43
结膜	0.28
白血病 MCN	0.22
成淋巴细胞	0.053
肺	0.24
肠	0.40
二倍体胚胎 WI-38 细胞系	0.15
MAF-E	0.38
FS-4	0.05

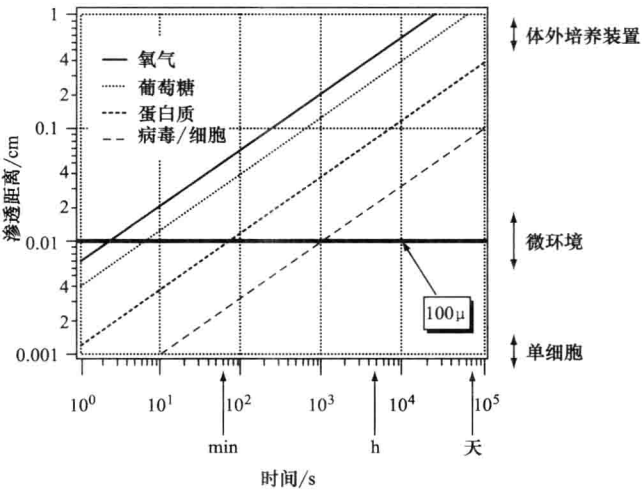


图 6.29 几种生物分子的扩散渗透距离随时间的变化

(2) 新陈代谢与细胞信号转导

通常，虽然细胞对于营养物质的局部浓度有所反应，但是，细胞培养中营养物质的灌注要求并不高，因为培养基中营养物质的浓度可以比氧气浓度高很多，尤其是那些消耗速度较快的营养物质，可以配置高浓度。一般，葡萄糖的消耗速率约为  $0.2\mu\text{mol}/10^6$  细胞/h，氨基酸的消耗速率为  $0.1 \sim 0.5\mu\text{mol}/10^9$  细胞/h。不过，各种生长因子的输送速率和消耗速率却有较严格的要求。图 6.29 显示了几种物质的扩散响应时间。

(3) 灌注

人体循环系统将血流输送到各个器官，然后再分布到组织的微环境之中。人体总的灌注速率约为  $5\text{L}/70\text{kg}/\text{min}$ ，相当于  $0.07\text{mL}/\text{cc}/\text{min}$ 。如果每 cc 组织中含有细胞 5 亿个，那么，该灌注速率就相当于  $0.14\mu\text{L}/10^6$  细胞/min。这些数据只代表整个人体的平均值。不同器官的灌注速率有所不同，它与器官的代谢活性有关。

(4) 细胞迁移

正如前面章节所述，细胞会运动，并且各种细胞的运动速度各不相同。嗜中性粒细胞

胞在一分钟内就可以移动几个细胞直径的距离,而角质形成细胞、成纤维细胞和内皮细胞等黏附细胞却一小时只能移动一个细胞直径的距离。就细胞复制和细胞分化的速度而言,细胞迁移属于一种快速过程。嗜中性粒细胞的迁移是对微生物入侵做出的快速响应,而黏附细胞的迁移则是对组织的动态需求做出的响应。

#### 4. 微环境的几何形状和大小

##### (1) 几何形状

如图 6.25 所示,各种微环境的几何形状各不相同,且它们的维数也不同。许多微环境呈现二维有效维的曲面形态,而骨髓中的细胞排列则表现出分形几何特征,其有效维数为 2.7,大脑的有效维数则是三维。

##### (2) 决定微环境大小的因素

什么因素决定了微环境的大小?这个问题至今仍然没有明确的答案。其最小尺寸应该就是单细胞的大小,约为  $10\mu\text{m}$ ,细胞团的大小应该是这个尺寸的倍数。决定微环境最大尺寸的因素尚不明确;不过,生长因子的有效信号传播距离以及氧气渗透距离的实验数据表明,细胞之间的通信和细胞代谢速率的动态特性在决定微环境尺度上具有重要的作用,而这些距离都取决于物质的扩散过程,它们的估计值为  $100 \sim 200\mu\text{m}$ 。另外,随着细胞数量的增加,各种细胞功能调控的稳定性问题也会凸现出来,可能成为实际应用中的一个限制条件。

### 6.3.5 生物材料

组织工程中的生物材料研究仍然存在一些难题,下面从 3 种基本尺度上进行讨论。最小的尺度在生物化学层次上,这里的问题包括细胞外基质 ECM 的化学特异性及其与各种细胞受体之间的相互作用。可以将完整的 ECM 成分涂在材料表面,以确保细胞与其密切接触的环境之间具有适宜的相互作用;但比较精细的处理方法是合成 ECM 中存在的特异性键合蛋白序列,并通过某种方式呈现给细胞,例如,通过将这种蛋白质制作成微型图案,就可以获得特定的细胞排布。解决这些问题需要材料制造技术、生物化学和遗传学等多个领域的研究人员的共同合作。

第二个尺度在  $100\mu\text{m}$  数量级,也就是器官微环境的尺度。很多器官具有高度特异性的局部几何特征,体外培养系统也应该模拟这些特征,建立具有特定力学特性的微结构。显然,这给生物材料的制造提出了难题。而且,基质支撑材料应该具有生物可降解性,植入体内之后,可以被降解,且降解产物必须无毒性。聚乳酸类和聚乙醇酸类聚合物是发展前景很好的生物降解性材料。另一方面,如果移植之后,植入体不发生什么重塑,那么,基质支撑材料的宏观几何尺寸就很重要。

最大的尺度就是生物反应器本身。组织工程中使用的生物反应器其实都很小,其尺寸只有  $10\text{ cm}$  数量级。这个尺度下的材料问题主要是生物相容性。虽然现在已经有用于组织培养的塑料产品,但是仍然存在一些问题。例如,商品化的塑料培养器皿一般设计成能够促进细胞的黏附、键合以及连续细胞系的传代,这些性质对于连续细胞系的培养比较理想,但对于各种原代细胞培养却不一定有利。

## 6.4 体外培养的工程学问题

### 6.4.1 基本原则

如前所述,生物组织的动力学特性包含了细胞复制、细胞分化以及细胞衰老等一系列细胞发育过程之间的复杂相互作用。在体内环境中这些过程处于平衡状态,体内的动态平衡是各种生物动力学过程和物理化学的制约共同作用的结果,因此,在体外重建生物组织时必须建立生物学和物理化学的动态平衡,这样才能够实现正常的组织功能。

### 6.4.2 关键的设计问题

根据上述原则,我们可以找到许多工程学问题以及相关的组织重建成功的事例。本节介绍组织工程中的工程学问题,讨论人体组织在体外增殖和重建的过程中工程技术可以发挥的作用。

组织工程中重要的设计难题有:

- 1) 氧化,即提供符合生理浓度的氧气流量;
- 2) 提供或者去除细胞因子和趋化因子;
- 3) 各种生理物质的灌流速率和物质分布的均匀性;
- 4) 生物材料的功能、结构和毒性等性质,以及制造技术。

除了这些问题之外,临床细胞治疗中相关的其他问题还有:一次性器械的设计、培养基组成成分的优化、初始细胞排布、满足FDA的要求以及临床操作等方法等。这些问题不在此详细介绍,不过,以下论述中会涉及其中的某些问题。

### 6.4.3 物质传输的时间问题

生物组织和细胞功能的实现中物质传输的重要性经常被忽视。如图6.29所示,如果根据扩散系数做图显示与组织功能相关的各种物质的平均扩散距离随时间变化的曲线,那么,分子扩散的局限性就显而易见。在生理学时间尺度上,物质扩散可以渗透的距离短得惊人,这种渗透特性决定了人体各种器官的结构。体外培养装置面临着同样的物质传输约束条件,具有生理细胞密度的细胞床中很难获得较高的物质传输速率。

微环境的生化特性对于正常组织功能的形成非常重要。有关连续细胞系生长所需的生化条件已有很多现成的数据可以查询,连续细胞系的体外培养始终围绕着营养物质供给和废物排泄的问题。原代细胞培养时,营养物质还有其他作用,会直接影响细胞的生理性能。例如,最近有研究表明,脯氨酸浓度和氧浓度在肝细胞培养中具有重要作用。

在多数情况下,氧气的输送是重点需要考虑的问题。氧气过量会抑制细胞的生长或者引起氧中毒,而过少又会影响细胞的新陈代谢。肝脏、肾脏和脑等组织的需氧量较高,其他组织的需氧量则较低。要将氧浓度控制在理想的水平上,达到所需的均一性,并且还要在高细胞密度下维持所需的氧流量,这确实很困难。而且,在重建包含多种不

同细胞的生物组织时,各种细胞的氧气和营养物质需求量都不同,这使得物质输送变得更加复杂。由此可见,体外培养中微环境生化特性的确定、设计和控制都十分困难,尤其在物质扩散效应和特定的微结构条件限制下,其难度更大。

### 例 6.7

如何测定培养物质的耗氧速率?

解:

多数耗氧速率的数据都是指悬浮细胞培养的耗氧量,它们用标准呼吸计测定。但是,精确的原代细胞培养的耗氧量必须在贴壁生长状态下测定,如图 6.30 所示是一种适用于这种测定的新型呼吸计。用这种呼吸计测得的肝细胞培养的耗氧速率(即 OUR)为  $1.0\mu\text{mol}/10^6$  细胞/h;而类似仪器测得的骨髓细胞培养的 OUR 数值为  $0.03 \sim 0.04\mu\text{mol}/10^6$  细胞/h,这个数值接近体内细胞的耗氧速率。

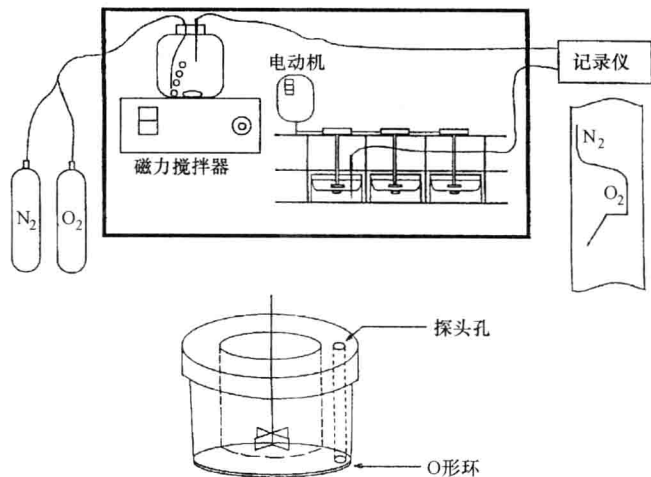


图 6.30 耗氧速率测量装置示意图(摘自参考文献[14])

### 例 6.8

如何输送氧气?

解:

如图 6.31 所示,氧气可以通过氧化膜来输送。当灌流液的流速较慢时,其中所含的氧气在入口附近很快就会被耗尽,因此,细胞孵育床中的供氧主要来自氧化膜中氧气的侧向扩散。这样,只要调节气体相中的氧含量,就可以控制输氧量。这种输氧方式可以独立调控输氧量,与其他参量无关,并且输氧的均匀性很好。这是一个利用工程技术来解决物质传输所存在的某些问题的例子。

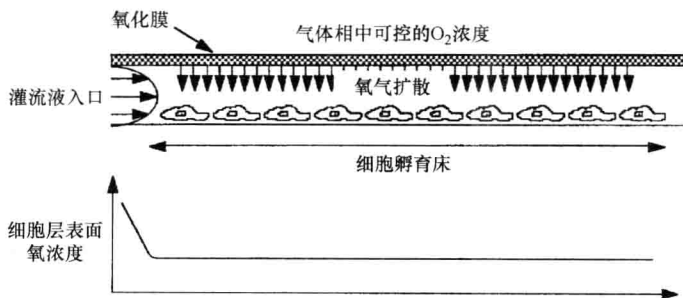


图 6.31 通过氧化膜输送氧气的方法

注:氧化膜覆盖在细胞孵育床灌流液的上方,如果灌流速度较慢,那么,孵育床中的氧气主要来自氧化膜上的氧扩散。这样,只有在灌流液入口处的小范围内氧浓度受到灌流液的影响,孵育床其他区域的氧浓度很稳定。

6.4.4 液流及其均匀性

重建组织和器官的培养装置包含有数千万个微环境，它在输送和排除气体、营养物和生长因子时必须保持均一性，不过，这种均一性很难实现。困难在于液体流过固体表面时会产生无滑移现象，也就是，在生物反应器内壁附近总是存在流速较慢的区域，这些区域的轴向 Graetz 数小于 1，从而导致这些区域的物质扩散量超过其他区域。

图 6.32 说明了上述问题的起因。图中所示是液体顺着狭缝流下的情景，图 6.33 显示了狭缝的剖面图。宽度与高度之比很大的窄缝中的流体可以近似看做 Hele-Shaw 流，除了两侧边缘附近之外，其他区域内的液流基本相同。两侧流速较慢区域的宽度与狭缝的高度相当。因此，如果狭缝的宽度与高度之比为 10，那么，在整个狭缝宽度的 90% 区域内液流都可以看作均匀一致；而在其余 10% 靠近侧壁的区域较慢的液流会产生不同的细胞生长微环境，从而造成不同的细胞生长速度，并促使其他区域的细胞向侧壁迁移。实验结果已经证实了这种内壁附近非均匀细胞生长现象的存在。使用放射状灌流的方法可以解决这个问题。

以上例子只是细胞培养生物反应器的一种结构，其他结构的装置也会面临同样的均一性问题，都必须仔细分析物质的动力学传输过程，以便指导具体装置的设计。

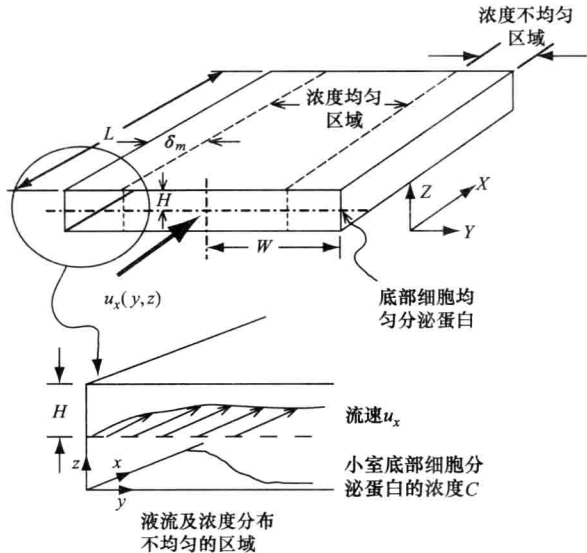


图 6.32 矩形狭缝小室坐标系示意图（摘自参考文献 [15]）

注：图中位于底部的细胞群会分泌蛋白因子。侧壁附近液体的流速较慢，使这些区域的物质浓度与狭缝中间区域的浓度不同，从而在沿壁区域形成了与其他区域完全不同的细胞生长和组织功能发育的微环境。

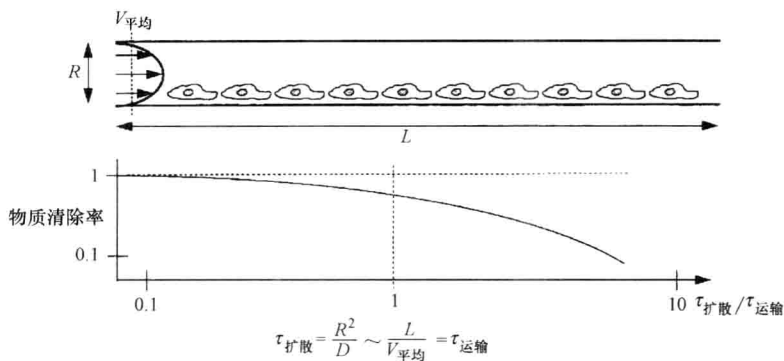


图 6.33 液流中生长因子浓度分布示意图

注：当液体流过细胞孵育床时其中的生长因子会被细胞吸收。下图：液流流过细胞床之后其生长因子清除率随两个时间常数之比而变化的曲线，其中， $\tau_{\text{扩散}}$  为生长因子侧扩散的时间常数； $\tau_{\text{运输}}$  为生长因子随液流运输的时间常数。这两个时间常数之比就是 Graetz 数  $Gz$ 。如果  $Gz > 1$ ，那么，生长因子蛋白分子就没有足够的时间扩散并与细胞结合，大部分生长因子就会从出口处流出；反之，如果  $Gz < 1$ ，也就是扩散时间远小于运输时间，那么，生长因子就有充裕的时间与细胞结合，被细胞吸收，于是，流出孵育床的生长因子就很少。

## 6.5 组织工程化产品的临床应用问题

上一节介绍了在体外培养临床应用所需的细胞数量时组织工程技术人员所面临的设计难题，这些问题只是细胞治疗实施过程中所遇到的诸多问题中的一部分，本节将介绍其他必须解决的一些难题。

### 1. 供体的个体差异

人体的遗传变异性很大，这使得不同供体的体外细胞培养结果差别极大。即使细胞生长的处理过程、使用的材料、培养基的配方等都一样，细胞培养结果仍然会相差很

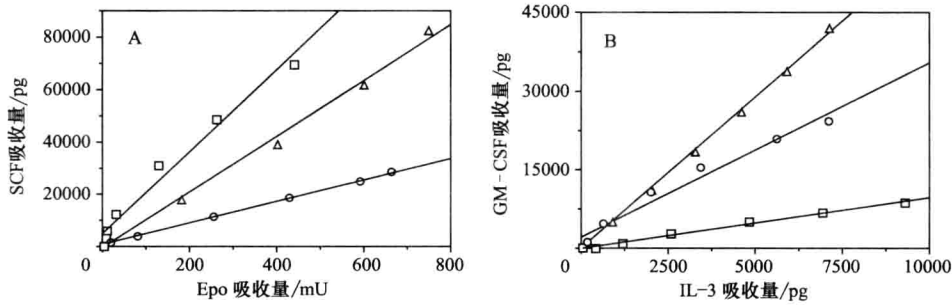


图 6.34 各种生长因子吸收量之间的关系（摘自参考文献 [8]）

注：左图：人体骨髓培养中干细胞因子 SCF 与促红细胞生成素 Epo 吸收量之间的相关性；右图：粒细胞-巨噬细胞集落刺激因子 GM-CSF 与白细胞介素 IL-3 之间的相关性。对于同一个组织样本，这些相关性很强；但是，不同供体样本的拟合直线的斜率差别很大。

大。这种变异性是生物体内在固有因素决定的。补充足够的附属细胞可以调控细胞培养的结果。虽然供体之间存在明显的变异性，但是，相同组织源的行为具有内在的一致性。图 6.34 所示是几种不同供体样本的生长因子吸收速率之间的相对关系，可见，这些生长因子吸收速率之间存在很高的相关性；但是，这种相关性的定量描述在不同供体之间的差别很大，很难建立适用于较大供者群体的关系方程。

## 2. 各种参数之间的密切联系

原代细胞培养对于微环境的许多参数都很敏感，而且，许多参数之间都存在密切的联系。如果细胞培养中的某个参数发生了变化，它就会影响其他参数的最佳数值。利用统计学实验设计方法可以快速搜索实验中所涉及各个参数，从而确定主要参数。图 6.35 显示了一种二维搜索方法，可见，人体细胞培养中祖细胞的最佳产量是细胞接种密度和培养基更新速率的函数。上图所示是细胞生长单位面积上的祖细胞产量，该指标的最优数值可用于指导所需数量细胞培养装置的最小化设计。下图所示是祖细胞的扩增率，也就是输出细胞数与输入细胞数之比。当初始细胞数量有限，且希望获得最大的祖细胞增殖时，可以根据这个指标进行设计。注意，这两个指标的适用情况有所不同，因此，在一开始就必须明确所需分析的计算指标。

## 3. 免疫排斥

异基因移植都会遇到宿主的免疫排斥，不过，排斥情况有所不同。例如，用于治疗皮肤溃疡的真皮成纤维细胞移植没有致免疫性，其原因尚不明确。这样，利用同一供体的原料就可以培养许多移植体，用于多位患者的移植。相反，胰岛  $\beta$  细胞却具有排

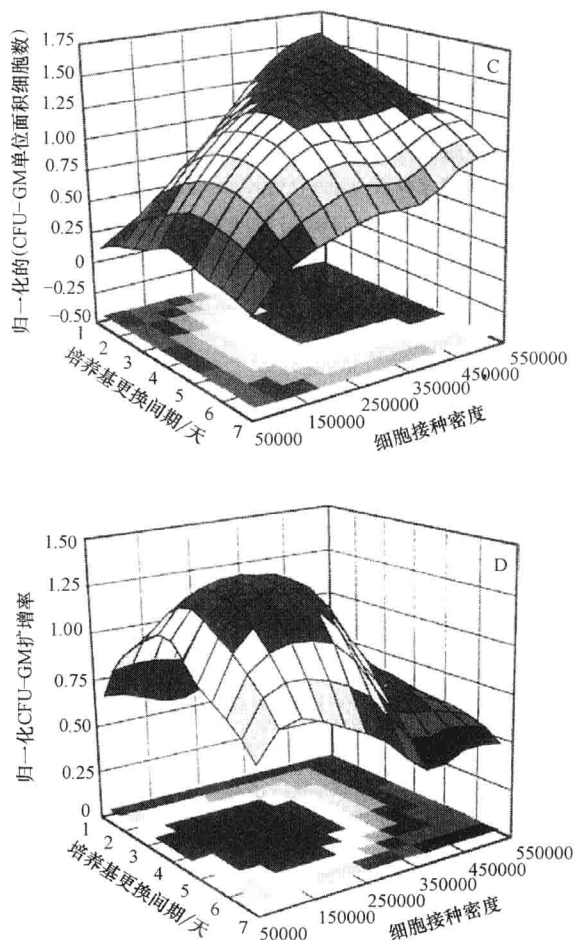


图 6.35 不同细胞接种密度和不同培养基更换间期

下骨髓细胞的培养结果（摘自参考文献 [8]）

注：请注意各个变量之间存在相关性。其中，上图的纵轴表示单位面积的 CFU-GM 祖细胞总数，下图的纵轴则表示细胞的扩增率，也就是输出细胞数与输入细胞数之比。注意，这两个指标最优化所对应的细胞培养状态完全不同。

斥性（见图 6.6）。而且，异基因骨髓移植时，移植体还会排斥免疫缺陷的宿主；这种移植物抗宿主病是引起异基因骨髓移植致死的主要原因。

我们对于免疫反应的细胞机制和分子机制的了解正在不断深入。排斥反应是  $CD4^+$  细胞（ $CD4$  是 T 细胞的一种表面抗原）的两个细胞亚群 Th1 与 Th2 之间相互作用的动态过程，Th1 和 Th2 的细胞因子分泌特性和功能都有所不同。参与免疫调节的各种成分和机制也正在清晰起来。免疫系统的定量分析将有助于制定预防和治疗排斥反应的合理方案。

#### 4. 组织的获取

体外培养的材料来源非常重要。用于皮肤置换的真皮成纤维细胞一般取自人体包皮，通过包皮环切手术获得。这种细胞的增殖能力很强，可用于生产大量移植体。由于来源相同，细胞培养过程中的个体变异性大大减小，这样，最终产品的成本中组织获取的费用就可以降低。相反，成人自体移植材料的获取费用可能会很高，并且，还会表现出很大的变异性。

总之，用于细胞治疗的最理想的材料是组织特异性的干细胞，其自我更新速率和分化的定型都可以调控。而且，如果干细胞移植体可以变成无致免疫性，那么，多数与组织获取相关的问题也就迎刃而解了，组织生产过程中的变异性也可以减小，产品的质量保证和质量控制也就变得很简单。

#### 5. 低温贮藏

低温贮藏技术所涉及的学科有生物物理学、化学和工程学。如今，这种方法在临床上已用于骨髓、血细胞、角膜、生殖细胞和血管组织等的贮藏。但是，最近却有人发现，低温贮藏一般不能用于体外培养的人体细胞，因此，亟待开发新的方法用于这类产品的贮藏。现在，涉及体外培养的细胞治疗中，低温贮藏只能用于细胞培养之前原始组织的冷冻保存。

## 6.6 未来的发展方向——功能性组织工程

### 6.6.1 细胞水平的发展

某些用于移植的细胞群体中可能含有不利的细胞亚群。例如，自体采集的造血细胞中可能含有患者的肿瘤细胞。理论上，移植之前应该清除这些污染细胞。同样，活组织检查时也会受到附属细胞污染的影响，附属细胞的生长速度可能比待检测的实质细胞还要快。例如，许多活检中成纤维细胞就是一种很难清除的污染细胞，在培养过程中，这种细胞的生长速度往往特别快。正是由于这个原因，很多肿瘤组织的原代细胞系很难培养。

### 6.6.2 功能性组织工程

组织工程学与细胞生物学的区别就在于它注重组织功能的实现，也就是将大量细胞



组成高度有序的结构, 根据解剖复杂性和结构的集成性, 形成组织或者器官。肢体和器官系统等复杂的人体解剖结构的重建是一个系统工程问题。虽然有人会辩解说, 组织的所有功能都来自基本的细胞机制, 但是, 支架中的一个细胞或者没有组织性的细胞团不可能产生具有系统水平的各种组织和器官的功能。这就像一堆砖头没有房屋的功能、一箱汽车零件不具有汽车的功能一样。同理, 工程化的生物组织必须在系统水平上进行考察, 工程工作的成功与失败最终要用产品在器官水平上功能的定量评估来决定。显然, 应用分子生物学技术验证一种或多种主要亚细胞组分的存在并不足以证实最终的器官功能。因此, 必须开发必要的工具和方法来定量检测组织工程产品的器官水平的功能。当然, 不同的组织和器官具有不同的功能。由此可见, 在设计组织或器官产品时, 必须制定具有明确定义的产品的技术规格、功能评价的定量指标 (即品质因数) 以及检测这些指标的具体方法。

可以推测, 组织或器官产品在使用之前都要经过一段时间的培养, 以便得到生长发育。很多组织的功能会在发育过程中产生变化, 因此, 最好选定一个或几个能够在组织培养过程中进行非破坏性检测的参量。举一个值得借鉴的例子: 从发育早期到成年, 哺乳动物骨骼肌的收缩性能都一直在变化。肌肉的性能主要取决于构成肌纤维的肌球蛋白重链, 通过肌肉组织的等长收缩实验可以无破坏地测定组织的性能。肌腱也是如此。在发育过程中, 肌肉组织的切线模量、抗拉强度和断裂韧度都会逐渐增加, 而应力应变曲线的斜率却会逐渐减小, 这可能是由于出生前后发育时期胶原蛋白结构的有序性增加的结果。对于体外培养的肌腱样本, 不可能无破坏地测量其抗拉强度和断裂韧度, 但是基本可以无破坏地测量其切线模量和应力应变曲线的斜率。对于肌肉骨骼系统的组织, 进行无破坏定量测定时, 经常需要外加电刺激信号, 这就像组织培养过程中用电刺激诱导和促进肌肉的发育一样。目前已经使用电刺激诱发骨骼肌细胞和心肌细胞收缩的方法来促进其发育。早在 20 世纪 80 年代人们就开始对肌肉骨骼系统的各种组织 (包括肌肉、骨骼、肌腱、软骨和韧带) 和血管组织施加机械应变, 从而促进体外培养组织的发育。

未来亟待解决的难题是开发一种生物反应器系统, 使其既可以用于施加电刺激信号, 同时又可以无破坏地测量和记录组织的各种功能特性。如果生物反应器系统中能够实时监测正在发育的组织的功能特性, 那么, 就可以获得有关组织样本当前发育状态的信息, 并根据这些信息调整刺激参数。这样就可以在组织发育过程中实现刺激信号的反馈控制, 从而显著提高功能性组织培养的工程技术水平。这是目前肌肉骨骼系统和心血管系统功能性组织培养领域的一个重要研究方向。

### 6.6.3 生物人工肝

生物人工肝 (bioartificial liver, BAL) 的发展源于治疗人类肝病的社会需求。人体的肝脏系统没有“后备”部件, 不像肺脏、肾脏等都有 2 个; 因此, 具有维持人体内稳态多种重要功能的“单个”肝脏, 一旦发生暴发性肝功能衰竭 (Fulminant Hepatic Failure, FHF) 等疾病, 就需要用到替代系统。

有关肝病治疗的报道最早出现于 20 世纪 50 年代, 当时提倡用低蛋白饮食缓减精神

障碍和肝性脑病。60年代出现了肝脏辅助器械的新概念,于是,各种替代特异性肝功能的治疗方法从此发展起来了。目前肝脏人工辅助系统(artificial assist systems, Artif-S)有的仍在研究中,有的已具备治疗 FHF 等肝脏疾病的功能,并已进入 FDA 试验初期。其中包括用于氨清除的炭过滤器、用于排毒的机械透析装置以及用于清除血液循环系统中病变物质的血浆置换器等技术。研究结果表明,许多人工辅助系统都能够实现某些特定的功能,但是,由于它们能够完成的功能很少,因此,并不能彻底解决问题,不能完全替代肝脏的功能。根据市场的需求,人工辅助系统一直在不断改进,如肾透析机使用了先进的设计参数等,但是,这些机械装置仍然无法复制健康人体肝脏能够完成的众多功能。

器官移植是能够成功治疗 FHF 疾病的一种方法,它用能够完成所有代谢功能的健康肝脏代替丧失功能的肝脏。成功的移植手术可以使患者摆脱使用机械人工辅助装置的困扰。其缺点是患者必须服用免疫抑制剂来减轻排斥反应,从而降低了生活质量。但是,即使移植手术可以成功,肝源供体却很有限,并且必须满足组织配型条件,这致使肝源需求量大约高于供应量的 300%。因此,急需开发一种能够弥补这个供体缺口的方法。显然,这给组织工程领域提供了一个改进医疗方法、提高患者生活质量的机会。

## 6.7 总结

本章概述了组织工程领域一些关键问题和可能的解决方法。为了深入了解组织的生理功能,就必须定量描述细胞发育过程及其调控机制。这些知识可用于设计和控制组织培养的过程,其中包括各种物理化学参量的设计,使它们能够符合细胞发育的需求,并形成组织功能。组织工程学目前的发展尚处于“胚胎期”,不过,已经证明各种参量的数量级和维数的定量分析对于组织功能的设计和重建具有重要意义。

## 6.8 习题

1. 请根据以下数据判断人体造血干细胞是否确实能够在体内进行自我更新:

- 每天大约生产 4000 亿成熟的造血细胞;
- Hayflick 界限的最佳估计值是 44 ~ 50;
- 大约 1/5000 的祖细胞不发生凋亡;
- 每个祖细胞大约发生 6 ~ 10 次倍增,共生产 50 ~ 1000 个成熟细胞;
- 整个分化途径可以包含 17 ~ 20 次倍增过程;
- 体外培养时单个高度纯化的造血干细胞(或前体祖细胞)最多可以产生 1 ~ 3000 万个细胞。

请给出推算过程,并分析各个参量对于造血过程的调控作用。其中调控端粒酶活性的参量在决定人一生中生产的成熟后代细胞的总量中具有什么重要作用?

2. 假设某种溶液浓度为 1 pmol/L,那么,体积等于细胞大小(半径为 5  $\mu\text{m}$ )的溶

液中含有多少个分子?

3. 请利用式 (6.3) 表示的连续方程, 证明有复制无凋亡 (即  $\alpha = 0$ ) 的细胞分化过程达到稳态时的细胞数目为

$$\frac{X_{\text{out}}}{X_{\text{in}}} = e^{\mu/\delta}$$

可见, 它是比值  $\mu/\delta$  的函数。式 (6.3) 中参数  $a$  表示细胞分化的状态,  $a = 0$  表示尚未分化的状态 (细胞数为  $X_{\text{in}}$ ),  $a = 1$  则表示分化结束的状态 (细胞数为  $X_{\text{out}}$ )。如果细胞生长速率  $\mu$  和分化速率  $\delta$  的数值大小相当, 那么, 分化结束时的细胞数目  $X_{\text{out}}$  会怎样? 如果  $\delta$  比  $\mu$  小 10 倍, 那么,  $X_{\text{out}}$  又会变成怎样? 这两种  $\delta$  与  $\mu$  的比值中哪一个在生理学上更合理? 注意: 如果这两个速率相当, 那么每个原代细胞就只能生产 2 个后代成熟细胞。另一方面, 如果细胞分化速率比增殖速率小 10 倍 (这种情况与很多生理状况相似, 也就是细胞倍增时间约为 20 h, 而细胞分化时间约为 200 h = 8 天), 那么, 每个原代细胞就可以产生大约  $10^6$  个成熟细胞。由此可见, 生物组织的整体动态过程取决于细胞发育的各个速率之间的相对关系。

4. 请按照如下步骤建立描述细胞分化的动力学连续模型:

- 推导描述细胞群体的一阶偏微分平衡方程;
- 利用分化速率  $\delta$  将时间变量无量纲化;
- 利用分化速率  $\delta$  将细胞凋亡速率和细胞增殖速率分别用无量纲参数  $A$  和  $B$  表示;
- 当  $A = 0$  时求方程的稳态解;
- 当  $A$  的取值为  $a_1 \sim a_2$  之间的某个非零值时 (即部分分化时), 求方程的解;
- 当  $A = 0$  时求方程的暂态解。

5. 假设某个平面上有 2 个细胞, 其中一个细胞向另一个细胞分泌趋化因子。请推导如下趋化因子浓度的稳态分布方程:

$$C(r) = \frac{R^2 F}{D} \cdot \frac{1}{r}$$

式中  $R$ ——细胞半径;

$F$ ——分泌速率, 即单位时间单位面积分泌的分子数量;

$D$ ——趋化因子的扩散系数;

$r$ ——离开细胞表面的距离。

如果不存在自由运动 (即  $\mu = 0$ ), 请利用细胞的流量方程计算响应趋化因子的细胞迁移到信号细胞处所需的时间。有关参数值如下:

$$\chi(C) = 20 \text{ cm}^2/\text{s} \cdot \text{M}; D = 10^{-6} \text{ cm}^2/\text{s}; R = 5 \mu\text{m};$$

趋化因子分泌速率 = 5000 个分子/细胞/s。

提示: 将流量  $J$  的方程简化为  $v = \chi dC/dr$ , 其中  $v$  是细胞迁移速度。

6. 假设浓度为  $C$  的某种溶液从容器表面的一个直径为  $d$  的圆形小孔流出, 扩散进入另一种溶液中, 那么, 其分子扩散流量  $F$  可以计算如下:

$$F = 4DdC$$

总的流量就等于单孔流量乘以小孔数目。如果扩散系数  $D = 10^{-6} \text{ cm}^2/\text{s}$ , 浓度  $C = 1 \text{ mmol/L}$ , 小孔直径  $d = 1.5 \text{ nm}$ ; 请计算单个小孔的流量。如果小孔代表两个相邻细胞之间的连接通道, 那么, 要达到有意义的通信, 需要多少小孔? 假设这是两个上皮细胞, 且其形状近似方形, 就像两个并在一起的方盒子, 盒子之间有  $n$  个小孔相连, 那么, 在上述单孔流量下, 请推导代谢物从一个细胞流向另一个细胞的时间常数计算公式。

7. 如果软骨组织中细胞的密度为  $10^6$  个细胞/mL, 请计算细胞之间的平均距离, 并分析这种微环境的特性。

8. 利用一维模型分析氧气向贴壁生长的细胞层的输送量, 请证明例 6.8 中的最大单位面积输氧量为

$$N_{\text{ox}}^{\text{max}} = DC^*/R$$

式中  $C^*$  ——饱和氧浓度;

$R$  ——细胞培养层的厚度。

9. 如下图所示, 假设某个神经细胞的生长锥 (growth cone) 受到某个靶细胞分泌的趋化因子的作用。靶细胞的分泌速率为  $P_r$ , 趋化因子在三维空间中扩散的扩散系数为  $D$ , 那么, 球形扩散源的控制方程是

$$\frac{\partial C}{\partial t} = D \frac{1}{r^2} \frac{\partial}{\partial r} \left( r^2 \frac{\partial C}{\partial r} \right)$$

(a) 该系统的边界条件是什么?

(b) 请推导稳态时趋化因子浓度随距离  $r$  变化的函数。

研究结果表明, 当趋化因子在生长锥上产生的浓度差大于 2% 时, 生长锥就会感应到靶细胞的作用。生长锥上能生出丝状伪足, 并且放射状伸展出去, 以增强其感受化学因子的能力。设  $\beta_1$  表示丝状伪足与中轴线  $R$  之间的夹角,  $\beta_2$  表示反向生长的丝状伪足与中轴线  $R$  之间的夹角。除了图中  $\alpha$  角表示的神经轴突的连接区域以外, 丝状伪足可以从生长锥表面任何其他部位径向生长。

(c)  $\beta_1$  和  $\beta_2$  有何限制?

(d) 请推导  $r_1$  和  $r_2$  随  $\beta_1$  变化的函数。

(e) 请计算生长锥有效直径上 (即  $2(R_{gc} + l)$ ) 的百分比浓度差  $\Delta C = \frac{|C_1 - C_2|}{C_0}$ , 它是  $r_1$  和  $r_2$  的函数, 也就是  $\beta_1$  的函数。其中,  $C_0$ 、 $C_1$  和  $C_2$  分别表示距离  $R$ 、 $r_1$  和  $r_2$  处的浓度。

(f)  $\beta_1$  取何值时  $\Delta C$  为最大? 设此时的  $\beta_1$  为  $\beta_1^{\text{max}}$ 。请分别做出丝状伪足长度为  $0 \mu\text{m}$ 、 $1 \mu\text{m}$ 、 $5 \mu\text{m}$  和  $8 \mu\text{m}$  时  $\Delta C$  随  $\beta_1$  变化的曲线, 并分析结果。

(g) 生长锥能够感应的最小化学因子浓度差为 2%。如果靶细胞与生长锥相距  $500 \mu\text{m}$ , 请计算  $\beta_1^{\text{max}}$  下  $\Delta C$  随丝状伪足长度变化的函数曲线, 并分析丝状伪足如何增强生长锥的化学因子感应能力。

有关计算公式和参数值如下:

$$C_0 = \frac{PrR_l^2}{Dr_0} \quad Pr = \frac{S_r}{4\pi R_l^2}$$

$D = 10^{-6} \text{ cm}^2/\text{s}$ ,  $S_r = 5000 \text{ 个分子/细胞/s}$ ,  
 $R_0 = R - R_{gc}$ ,  $R_t = 20 \mu\text{m}$ ,  $R_{gc} = 2.5 \mu\text{m}$ ,  $\alpha = 30^\circ$ 。

10. 下图所示是一种模拟肝腺泡的同轴型生物反应器。

(a) 如图中所示，根据已知的肝腺泡尺寸，两个同轴纤维管之间的距离应该为多少？

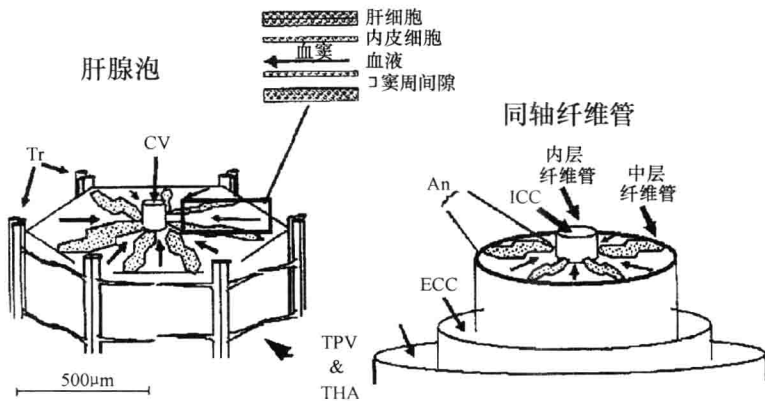
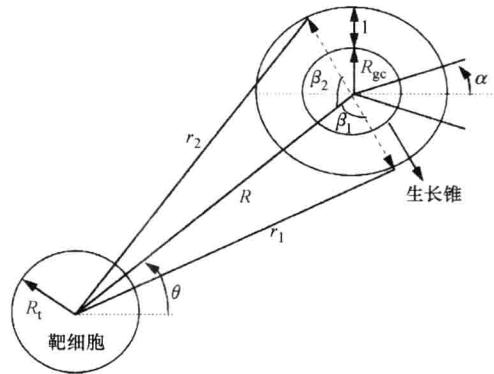
(b) 根据你所了解的生理学知识，请说明建立细胞生长的微环境需要使用哪种细胞以及哪些可溶性和不溶性因子，而建立细胞分化的微环境又需要使用哪些种类的细胞以及哪些可溶性和不溶性因子。

(c) 肝腺泡的结构如图中所示，由表 6.9 的数据可得肝腺泡的液流速度为  $10^{-3} \text{ cm/s}$ ，Darcy 定律的方程为

$$Q_r = AL_p [\Delta P - \Delta \pi]$$

其中， $Q_r$  为径向流速， $A$  为表面积， $L_p$  为液体渗透率（ $L_{p1}$  和  $L_{p2}$  分别为内层和中层纤维管的渗透率）， $P$  为压强， $\pi$  为渗透压。如果生物反应器灌满水，没有细胞。水流方向由内向外，即从内层毛细管房室（inner capillary compartment, ICC）向外流，经过细胞房室到达外层毛细管房室（extracapillary compartment, ECC）。假设  $Q_r = 10^{-2} \text{ cm/s}$ ， $L_{p1} = 10^{-4} \text{ mL/min/mmHg/mm}^2$ ， $L_{p2} = 10^{-6} \text{ mL/min/mmHg/mm}^2$ ；那么，3 个房室的压强分别为多少？如果液体的流向相反，即从 ECC 流向 ICC，压强又是多少？

(d) 假设细胞房室为平板结构，且氧气在细胞基质中的扩散系数为  $10^{-6} \text{ cm}^2/\text{s}^2$ ，请编写 MATLAB 程序，求氧浓度曲线。



11. 利用房室模型计算某个特定单细胞生成的成熟细胞数量。假设细胞倍增时间（即  $\ln 2/\mu$ ）为 24h，成熟细胞的半衰期（即  $\ln 2/k_d$ ）为 8h；并且，自我更新只发生在第一个房室中，且更新概率为 0.5。模型一共有 10 个房室。请计算细胞数量随时间变化

的函数曲线,其初始条件为

$$X_1(0) = 1, \text{其他 } X_i(0) = 0 \quad (i = 2, 3, \dots, 10)$$

将所有  $X_i$  曲线画在同一张图上,并根据计算结果分析细胞移植的意义。

12. 带反馈调控的细胞分化动力学房室模型。

(a) 假设分化过程共包含 6 个阶段,即  $N=6$ ,其中最终的细胞群体  $X_6$  会产生一种细胞因子  $G$ ,并且每个细胞分泌  $G$  的速率为  $q_G$ 。该细胞因子的半衰期  $t_{0.5} = 2\text{h}$ ,它会影响干细胞的生长速率(即  $u_1 = f[G]$ ),其中  $[G]$  为生长因子  $G$  的浓度。请改进细胞分化的基本微分方程组,用于描述  $[G]$  的动态变化过程。

(b) 假设  $u_1([G]) = u/(1 + K[G])$ ,其中  $K$  为生长因子的结合常数。请说明函数  $f[G]$  表示的生理意义。

(c) 请分别用生长速率和  $K$  作为比例因子来转化时间参量和浓度参量,将方程转化为无量纲形式。

(d) 请说明各个无量纲参量的含义,并计算它们的数值。

(e) 请仿真计算由一个干细胞开始的分化过程的各个数值,并考察参数变化对于仿真结果的影响。

(f) 请计算稳态时给  $X_3$  的数值加上 20% 扰动后,各个数值的变化过程,并分析仿真结果。

## 参 考 文 献

- [1] B. Alberts, D. Bray, et al., *Molecular Biology of the Cell*, Garland Publishing, New York, 1995.
- [2] M. Brittberg, Treatment of deep cartilage defects in the knee with autologous chondrocyte transplantation, *N. Engl. J. Med.* 331 (1994) 889–895.
- [3] L. Garby, J. Meldon, *The Respiratory Functions of Blood*, Plenum Medical Book Co, New York, 1977.
- [4] S. Granick, R.D. Levere, Heme Synthesis in Erythroid Cells, *Prog. Hematol.* 4 (1964) 1–47.
- [5] C.B. Harley, A.B. Futcher, C.W. Greider, Telomeres shorten during ageing of human fibroblasts, *Nature* 345 (1990) 458–460.
- [6] A.V. Hoffbrand, J.E. Pettit, *Sandoz Atlas: Clinical Haematology*, Cower Medical Publishing, London, 1988.
- [7] D.J. Knauer, H.S. Wiley, D.D. Cunningham, Relationship between epidermal growth factor receptor occupancy and mitogenic response. Quantitative analysis using a steady state model system, *J. Biol. Chem.* 259 (9) (1984) 5623–5631.
- [8] M.R. Koller, B.O. Palsson, Review: tissue engineering: reconstitution of human hematopoiesis ex vivo, *Biotechnol. Bioeng.* 42 (8) (1993) 909–930.
- [9] Lauffenburger, Linderman, *Receptors: Models for Binding, Trafficking, and Signaling*, Oxford University Press, New York, 1993.
- [10] H. Lodish, J. Darnell, D. Baltimore, *Molecular Cell Biology*, W.H. Freeman & Company, New York, 1995.
- [11] E. Lightfoot, *Transport Phenomenon and Living Systems*, Wiley, New York, 1974.
- [12] J.M. Macdonald, J. Griffin, H. Kubota, L. Griffith, J. Fair, L.M. Reid, Bioartificial Livers, in: W. Kuhtreiber, R.P. Lanza, W.L. Chick (Eds.), *Cell Encapsulation Technology and Therapeutics*, Birkhauser Boston, Cambridge, MA, 1999, pp. 252–286.
- [13] S.E. Mutsaers, J.E. Bishop, G. McGrouther, G.J. Laurent, Mechanisms of tissue repair: from wound healing to fibrosis 29 (1) (1997) 5–17.
- [14] C.A. Peng, B.O. Palsson, Determination of specific oxygen uptake rates in human hematopoietic cultures and implications for bioreactor design, *Ann. Biomed. Eng.* 24 (3) (1996) 373–381.
- [15] C. Peng, B. Palsson, Cell growth and differentiation on feeder layers is predicted to be influenced by bioreactor geometry, *Biotechnol. Bioeng.* 50 (1996) 479–492.
- [16] J.P. Iredale, Tissue inhibitors of metalloproteinases in liver fibrosis, *Int J Biochem Cell Biol* 29 (1) (1997) 43–54.
- [17] A. Vander, J. Sherman, et al., *Human Physiology: The Mechanisms of Body Function*, McGraw-Hill, NY, 1994.

## 推荐阅读资料

- A. Atala, Future Perspective in Bladder Reconstruction, *Adv. Exp. Med. Biol.* 539 (Pt B) (2003) 921–940.
- A. Atala, Tissue Engineering and Regenerative Medicine: Concept for Clinical Application, *Rejuvenation Res.* 7 (1) (2004) 15–31.
- B.M. Baker, A.M. Handorf, L.C. Ionescu, W.J. Li, R.L. Mauck, New directions in nanofibrous scaffolds for soft tissue engineering and regeneration, *Expert. Rev. Med. Devices* 6 (5) (2009) 515–532.
- S.P. Bruder, D.J. Fink, et al., Mesenchymal stem cells in bone development, bone repair, and skeletal regeneration therapy, *J. Cell. Biochem.* 56 (3) (1994) 283–294.
- T. Burg, C.A. Cass, R. Groff, M. Pepper, K.J. Burg, Building off-the-shelf tissue-engineered composites, *Philos. Transact. A Math. Phys. Eng. Sci.* 368 (1917) (2010) 1839–1862.
- D.L. Butler, S.A. Goldstein, R.E. Guldberg, X.E. Guo, R. Kamm, C.T. Laurencin, et al., The impact of biomechanics in tissue engineering and regenerative medicine, *Tissue Eng Part B Rev* 15 (4) (2009) 477–484.
- E. Cattaneo, R. McKay, Identifying and manipulating neuronal stem cells, *Trends Neurosci.* 14 (8) (1991) 338–340.
- E.M. Christenson, K.S. Anseth, J.J. van den Beucken, C.K. Chan, B. Ercan, J.A. Jansen, et al., Nanobiomaterial applications in orthopedics, *J. Orthop. Res.* 25 (1) (2007) 11–22.
- J. Chute, J. Fung, et al., Ex Vivo Culture Rescues Hematopoietic Stem Cells with Long-Term Repopulating Capacity Following Harvest from Lethally Irradiated Mice, *Exp. Hematol.* 32 (3) (2004) 308–316.
- W.P. Daley, S.B. Peters, M. Larsen, Extracellular matrix dynamics in development and regenerative medicine, *J. Cell Sci.* 121 (Pt 3) (2008) 255–264.
- D. Fawcett, *A Textbook of Histology*, Saunders, PA, 1986.
- M. Fröhlich, W.L. Grayson, L.Q. Wan, D. Marolt, M. Drobnic, G. Vunjak-Novakovic, Tissue engineered bone grafts: biological requirements, tissue culture and clinical relevance, *Curr. Stem Cell Res. Ther.* 3 (4) (2008) 254–264.
- F.H. Gage, Neuronal stem cells: their characterization and utilization, *Neurobiol. Aging* 15 (Suppl. 2) (1994) S191.
- D. Greber, M. Fussenegger, Mammalian synthetic biology: engineering of sophisticated gene networks, *J. Biotechnol.* 130 (4) (2007) 329–345.
- R. Langer, J.P. Vacanti, Tissue engineering, *Science* 260 (5110) (1993) 920–926.
- R. Langer, J.P. Vacanti, Artificial organs, *Sci. Am.* 273 (3) (1995) 130–133.
- R.S. Langer, J.P. Vacanti, Tissue engineering: the challenges ahead, *Sci. Am.* 280 (4) (1999) 86–89.
- R. Lanza, R. Langer, et al., *Principles of Tissue Engineering*, Academic Press, 2000.
- K. Lee, C.K. Chan, N. Patil, S.B. Goodman, Cell therapy for bone regeneration—bench to bedside, *J. Biomed. Mater. Res. B Appl. Biomater.* 89 (1) (2009) 252–263.
- H. Liu, F. DiCunto, et al., Citron kinase is a cell cycle-dependent, nuclear protein required for G2/M transition of hepatocytes, *J. Biol. Chem.* 278 (4) (2003) 2541–2548.
- A.W. Lund, B. Yener, J.P. Stegmann, G.E. Plopper, The natural and engineered 3D microenvironment as a regulatory cue during stem cell fate determination, *Tissue Eng. Part B Rev.* 15 (3) (2009) 371–380.
- B. Machalinski, M. Paczkowski, et al., An Optimization of Isolation of Early Hematopoietic Cells from Heparinized Cadaveric Organ Donors, *Transplant. Proc.* 38 (8) (2003) 3096–3100.
- A. Mautes, J. Liu, et al., Regional Energy Metabolism Following Short-Term Neural Stem Cell Transplantation into the Injured Spinal Cord, *J. Mol. Neurosci.* 24 (2) (2004) 227–236.
- T.C. McDevitt, S.P. Palecek, Innovation in the culture and derivation of pluripotent human stem cells, *Curr. Opin. Biotechnol.* 19 (5) (2008) 527–533.
- C.M. Metallo, S.M. Azarin, L. Ji, J.J. de Pablo, S.P. Palecek, Engineering tissue from human embryonic stem cells, *J. Cell. Mol. Med.* 12 (3) (2008) 709–729.
- A.G. Mikos, S.W. Herring, P. Ochareon, J. Elisseeff, H.H. Lu, R. Kandel, et al., Engineering complex tissues, *Tissue Eng.* 12 (12) (2006) 3307–3339.
- B. Naughton, The importance of stroma cells, in: J. Bronzino (Ed.), *CRC Handbook on Biomedical Engineering*, CRC Press, Boca Raton, FL, 1995, pp. 1710–1726.
- B. Palsson, S. Bhatia, *Tissue Engineering*, Pearson Prentice Hall, Upper Saddle River, NJ, 2004.
- C. Paquet, D. Larouche, F. Bisson, S. Proulx, C. Simard-Bisson, M. Gaudreault, et al., Tissue engineering of skin and cornea: Development of new models for in vitro studies, *Ann. N. Y. Acad. Sci.* 1197 (2010) 166–177.
- T. Petersen, L. Niklason, Cellular lifespan and regenerative medicine, *Biomaterials* 28 (26) (2007) 3751–3756.
- J. Polak, L. Hench, Gene therapy progress and prospects: in tissue engineering, *Gene Ther.* 12 (24) (2005) 1725–1733.
- L.M. Reid, Defining hormone and matrix requirements for differentiated epithelia, in: J.W. Pollard, J.M. Walker (Eds.), *Basic Cell Culture Protocols*, vol. 75, Humana Press, Inc., Totowa, New Jersey, 1990 (Chapter 21), pp. 237–262.
- L.S. Sefcik, J.L. Wilson, J.A. Papin, E.A. Botchwey, Harnessing systems biology approaches to engineer functional microvascular networks, *Tissue Eng. Part B Rev.* 16 (3) (2010) 361–370.

- M. Singh, C. Berkland, M.S. Detamore, Strategies and applications for incorporating physical and chemical signal gradients in tissue engineering, *Tissue Eng. Part B Rev.* 14 (4) (2008) 341–366.
- J.P. Stegmann, S.N. Kaszuba, S.L. Rowe, Review: advances in vascular tissue engineering using protein-based biomaterials, *Tissue Eng.* 13 (11) (2007) 2601–2613.
- J.P. Stegmann, H. Hong, R.M. Nerem, Mechanical, biochemical, and extracellular matrix effects on vascular smooth muscle cell phenotype, *J. Appl. Physiol.* 98 (6) (2005) 2321–2326.
- D.L. Stemple, D.J. Anderson, Isolation of a stem cell for neurons and glia from the mammalian neural crest, *Cell* 71 (6) (1992) 973–985.
- S. Stephan, S.G. Ball, M. Williamson, D.V. Bax, A. Lomas, C.A. Shuttleworth, et al., Cell-matrix biology in vascular tissue engineering, *J. Anat.* 209 (4) (2006) 495–502.
- R. Susick, N. Moss, et al., Hepatic progenitors and strategies for liver cell therapies, *Ann. N. Y. Acad. Sci.* (2001), In Press.
- C.T.-K.K. Tateno, C. Yamasaki, H. Sato, K. Yoshizato, Heterogeneity of growth potential of adult rat hepatocytes in vitro, *Hepatology* 31 (2000) 65–74.
- C. Tateno, K. Yoshizato, Growth potential and differentiation capacity of adult rat hepatocytes in vitro, *Wound Repair Regeneration* 7 (1) (1999) 36–44.
- D.A. Taylor, From stem cells and cadaveric matrix to engineered organs, *Curr. Opin. Biotechnol.* 20 (5) (2009) 598–605.
- M.W. Tibbitt, K.S. Anseth, Hydrogels as extracellular matrix mimics for 3D cell culture, *Biotechnol. Bioeng.* 103 (4) (2009) 655–663.
- A. Xu, T. Luntz, et al., Liver stem cells and lineage biology, in: R. Lanza, R. Langer, J. Vacanti (Eds.), *Principles of Tissue Engineering*, Academic Press, San Diego, 2000.

## 术语表

同种异体移植 (Allogeneic): 同一物种但不同血统的供者的细胞或组织移植给受者。

凋亡 (Apoptosis): 细胞衰老并死亡的过程, 这种过程由细胞本身引起。

自体同源移植 (Autologous transplant): 取自生物机体的细胞或组织再植回该生物体的移植。

BMT (Bone Marrow Transplantation): 骨髓移植。

细胞治疗 (Cellular therapies): 利用人体的早期细胞治疗疾病的方法。

软骨细胞 (Chondrocytes): 存在于软骨中的细胞。

集落形成测定法 (Colony-forming assay): 半固体培养基中在生长因子的刺激作用下, 祖细胞产生分裂, 生长出来的后代细胞聚集在一起, 两周后用显微镜就可以识别形成的各个细胞集落。

细胞分裂 (Cytokinesis): 细胞合成 DNA 之后产生的完整分裂, 该过程使一个细胞分为两个。

细胞分化 (Differentiation): 细胞或细胞群体向更成熟状态发展的不可逆过程。在分化过程中, 各个细胞表达的基因及其表达水平各不相同。

移植期 (Engraftment): 骨髓移植后维持血液循环中成熟血细胞安全数量的时期。

细胞外基质 (ExtraCellular Matrix, ECM): 存在于细胞之间的不溶性蛋白质和碳水化合物化合物的复合物, 其作用是: 在细胞群体之间建立物理连接, 并通过特异性方式向细胞传递信号。

流式细胞仪 (Flow cytometry): 通过荧光标记单克隆抗体来识别某些细胞类型的分析技术。较精密的流式细胞仪能够将被分析的细胞分成各种不同的细胞群体。



功能亚单位（Functional subunit）：器官的最小功能单位，如肺脏的肺泡、肾脏的肾单位等。

移植物抗宿主病（Graft-versus-host disease）：移植细胞对抗新宿主组织的免疫反应。异基因骨髓移植时这种反应经常会产生严重的后果，甚至导致死亡（即急性移植物抗宿主病）或终身残疾（即慢性移植物抗宿主病）。

造血（Hematopoiesis）：通过多细胞系的增殖和分化调节成熟血细胞的生产过程。

细胞增殖（Hyperplasia）：完整的细胞分裂生长过程，既包含 DNA 的合成，也包含细胞的有丝分裂。

细胞肥大（Hypertrophy）：只有 DNA 合成而没有细胞分裂的细胞生长过程，其结果是形成多倍体细胞，并使细胞的体积变大。在细胞分化的晚期，很多组织细胞系的细胞在再生刺激的作用下会变成肥大细胞。

细胞谱系（Lineage）：产生某种特定种类的成熟细胞过程中所有分化阶段的各种细胞之间的宗谱关系。

长期培养启动细胞（Long-Term Culture-Initiating Cell, LTC-IC）：在体外 7 ~ 12 周培养后得到的细胞。LTC-IC 被认为是非常早期的细胞，其中包含有干细胞，但不全是干细胞，它是多种不同细胞的混合群体。

间充质细胞（Mesenchymal cell）：成纤维细胞、成骨细胞、软骨细胞、脂肪细胞等结缔组织细胞。

微环境（Microenvironment）：体内细胞周围的环境。

有丝分裂（Mitosis）：导致细胞分裂的过程。

单核细胞（Mononuclear cell）：将骨髓离心之后获得的其中一种细胞，它与无细胞核的血红细胞和具有多形核的粒细胞不同。

骨髓抑制（Myoablation）：红细胞、白细胞和血小板等来自骨髓的各种细胞都死亡的状态，如接受高剂量化疗的患者就会发生这种情况。

实质细胞（Parenchymal cell）：器官组织独特的主细胞，如肝脏的肝细胞、肌肉组织的肌细胞等。

祖细胞（Progenitor cell）：由干细胞演变而来的单能细胞，它将继续分化为成熟细胞。

自我更新（Self-renewal）：产生与母细胞具有相同特性的子细胞的过程。常指干细胞分裂形成新的干细胞的过程。

干细胞（Stem cell）：能够自我复制的多能细胞，它具有无限增殖的潜力。恶性肿瘤细胞就是一种异常干细胞。

基质细胞（Stromal cell）：与上皮细胞在一起的间充质细胞。它们具有年龄特异性和组织特异性，它们的作用是调节上皮细胞的扩增和分化。例如，骨髓培养时所需的所谓骨髓基质层就是各种附属细胞和支持细胞的混合物。

同基因移植（Syngeneic）：遗传物质相同的供者与受者之间的细胞或组织的移植。

异种移植（Xenogeneic）：不同物种供者与受者之间的细胞或组织移植。

# 第7章 房室模型

John D. Enderle 博士

## 本章目录

- 7.1 绪论
- 7.2 溶质、房室和体积
- 7.3 两个房室之间的跨膜物质传输
- 7.4 建立房室模型的基本方法
- 7.5 单室模型
- 7.6 双室模型
- 7.7 三室模型
- 7.8 多室模型
- 7.9 习题

推荐阅读资料和参考文献

## 本章的主要学习内容：

- 房室的概念；
- 跨膜物质传输的定量描述；
- 渗透作用对于细胞体积的影响；
- 应用单室模型分析生理系统；
- 单室模型中溶质半衰期的描述和计算；
- 利用洗脱曲线估计房室模型的参数；
- 药物代谢动力学模型及其应用；
- 重复给药维持体内药物浓度的模型；
- 包含源房室和穴房室的双室模型及其应用；
- 突状结构和单向结构的三室模型以及包含源房室和穴房室的三室模型；
- 突状结构、链状结构、单向结构和通用型多室模型以及包含源房室和穴房室的多室模型。

## 7.1 绪论

房室模型用于描述物质从一个房室传输到另一个房室的现象，它起源于 20 世纪 20 年代的示踪剂标记的化合物代谢研究。下面就会看到，房室模型是一种特殊的生理模

型, 本书第13章将介绍其他生理模型。本章介绍的房室模型主要用于研究如何维持人体内正常的化学物质浓度和正常的体液体积。描述房室有2个常用指标: 体积和物质的含量。本章使用物质含量来描述房室, 并假设每个房室内的物质分布是均匀的, 详见后续内容。物质在房室之间的传输过程遵循扩散原理和质量守恒定律。实际上, 房室分析是一种基本理论, 它可用于描述许多线性和非线性系统。本章房室分析的主要对象是人体, 但其他工程师和科学家们也利用这种方法研究进化、致癌作用、化学反应、疾病传染, 甚至半导体的设计和制造。

在介绍房室模型之前, 下面首先讲述 Fick 扩散定律和渗透压等基本概念; 然后论述细胞的体积和毛细血管的扩散现象; 最后, 从简化模型到逐渐逼近实际情况的复杂模型, 依次介绍房室模型仿真的基本方法。本章的许多内容参考了 Godfrey 的著作。

## 7.2 溶质、房室和体积

在分析人体各个系统(如呼吸系统和循环系统等)之间体液从一个房室(compartment)传输至另一个房室的特性时, 一种简便的方法就是将系统表示为有限个相互连接的房室。

物质呈现的形态可以是气体、液体或固体三态之一。溶液则定义为两种或两种以上物质的均匀混合物; 例如, 固体溶于液体, 气体溶于液体等。因此, 溶液由溶质和溶剂两部分组成。至于哪种成分是溶质, 哪种是溶剂, 这并没有绝对的规定, 通常将量少的物质作为溶质, 剩余的物质就作为溶剂。例如, 血液是一种含有90%水分的液体, 其中悬浮着红细胞、白细胞、血小板、小分子物质(即葡萄糖和二氧化碳等)、大分子的蛋白质以及各种电解质离子(即钠、钙、镁、钾等离子)。如果将血液中包含的某种特定的蛋白质视为溶质, 那么, 除去这种蛋白质以外的血液成分就是溶剂。

人体中较易识别的房室有:

- 1) 细胞核房室, 它与细胞质相互隔离;
- 2) 细胞内的各种细胞器房室, 如线粒体、内质网等, 它们都与细胞质相互隔离;
- 3) 细胞房室, 它通过细胞膜与细胞外空间相隔离;
- 4) 组织液房室<sup>⊙</sup>, 它通过毛细血管壁与血浆<sup>⊙</sup>相隔离;
- 5) 血液中分离出来的血浆房室。

房室分析时跟踪的变量通常包括溶质浓度、溶液温度和压强等。被研究的物质可以是外源性的, 如药物或示踪剂等; 也有内源性的, 如葡萄糖、酶或胰岛素之类的激素等。放射性同位素<sup>⊙</sup>或者稳定同位素易于检测, 常被用作示踪剂, 跟踪房室系统的扩散

⊙ 组织液是指浸浴各种细胞的体液, 它通过毛细血管与血液相隔离。——原文注

⊙ 血浆是血液中去掉血细胞以外的成分, 血浆房室中浸浴了各种血细胞。——原文注

⊙ 同位素原子具有相同原子序数但质量不同。放射性同位素会随时间衰变, 并发射电离辐射。——原文注

过程。放射性同位素示踪剂的剂量通常很小，其发射的辐射很小，不会影响原系统。示踪剂的剂量一般要小于房室溶质总量的1%。高效液相色谱（High-Performance Liquid Chromatography, HPLC）可用于检测蛋白质等大分子物质。放射免疫分析则可用于检测各种激素或蛋白质，这种方法基于机体对于与抗体相结合的抗原所产生的免疫反应。示踪的方式还有在心血管系统的某个位点注射染料（如 Evans 蓝），然后在一个或多个位点测量染料浓度随时间变化的曲线。

人体内的体液可以分为细胞内液和细胞外液两部分。通常，70kg 体重的成年人的体液约有 42L，约占体重的 60%。体液受到严格的调控，因此，其体积能够保持相当恒定。体液中的细胞内液包括人体内约 75 万亿 ( $10^{12}$ ) 个细胞所含的液体，共约 28L，占体重的 40%。细胞外液包括两大主要部分：组织液（interstitial fluid）和血浆（plasma）；还有两个次要部分：跨细胞液（transcellular fluid）和淋巴液（lymph）。组织液和血浆各为 11L 和 3L。跨细胞液包括滑液、腹腔液、心包腔内液、眼内液和脑脊液，这些腔室内液共计 1~2L。淋巴液来源于组织液，是通过淋巴毛细管扩散到淋巴系统内的组织液，它经过淋巴结后返回到静脉血浆中，总体积约为 1L。循环系统中流动的血液包含了细胞内液和细胞外液，共约 5L，占体重的 7%，它主要由血浆（约 3L）和红细胞内液（约 2L）组成。表 7.1 列出了人体内各种液体的体积。

表 7.1 体重为 70kg 的成年人体内各种体液的体积

体液房室	体积/L	体液房室	体积/L
总体液(约占体重的 60%)	42	血液	5
细胞内液	28	血浆	3
细胞外液	14	跨细胞液	1~2
组织液	11	淋巴液	1

一般地，除非研究心血管系统，我们研究的都是血浆房室而不是血液房室。各种体液在人体内不断地从一个房室流向另一房室，其体积几乎保持不变。本章 7.3.5 节对此有更全面的介绍，这里先简述如下：血浆中的液体通过动脉侧的毛细血管网流入组织液，再经过静脉侧的毛细血管网从组织液返回至血浆。不过，其中约有 10% 的组织液并不立即返回血浆，而是经过淋巴毛细管扩散至淋巴系统。淋巴系统就像另一个并行的循环系统，淋巴液经过淋巴结后再回到血浆中。淋巴结中的白细胞会监视淋巴液，并消灭其中所包含的外来物质，以保护人体免受疾病的侵害。图 7.1 说明了各个体液房室

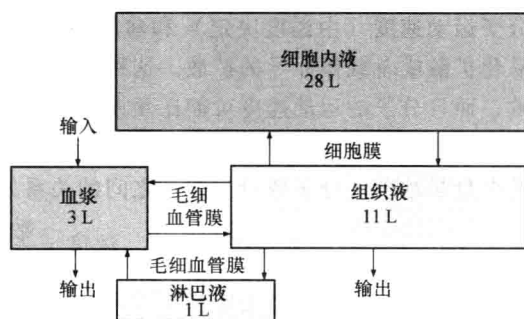


图 7.1 人体内各个体液房室及其体积

注：每个方框表示一个房室。这些房室的体积受到本章将介绍的体内各种机制的严格调控。箭头指示体液从一个房室流向下一个房室的方向（箭头旁的文字说明了液流必须经过的各种膜）。体液的穿膜速率取决于膜的特性。“输入”指人体摄取的液体；“输出”指肾、肺、皮肤和汗水中排出的体液，也包括粪便中排出的少量体液。图中没有显示跨细胞液。

之间的关系。

### 7.3 两个房室之间的跨膜物质传输

#### 7.3.1 扩散与膜

即使物体呈现静止不动的状态，其中的分子和原子也始终不会静止，它们在热能的作用下永不停息地随机运动。分子的运动速度取决于温度，温度越高，运动速度就越快。而且，这种运动完全随机，向各个方向运动的可能性都相等。如果运动被局限于一维的轴上，那么，分子向左或向右运动的概率相等，都为  $p = 0.5$ 。这种运动常被称为随机漫步（random walk）。分子运动时，会与其他分子碰撞或者与室壁碰撞，然后改变运动方向。两个分子之间碰撞时会发生动能的转移。就像本章后面将描述的那样，有时，分子之间的碰撞还会导致化学反应。

如图 7.2 所示，假设有一层通透的薄膜将一根管子内左右两侧的分

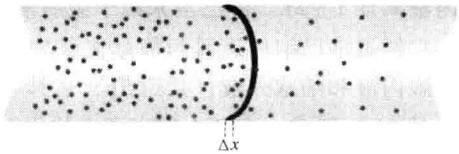


图 7.2 分子在薄膜隔开的管子内的简单扩散运动  
注：这根充满分子的管子在  $t = 0$  时刻被厚度为  $\Delta x$  的薄膜分成左右两个房室。薄膜上含有通道，允许分子通过；并且假设薄膜左右两个房室的体积相等。

子多；因此，分子移动的结果就形成了自左向右的净流量。当  $t = \infty$  时，薄膜两侧

分子数量相等。我们将这种运动过程称为简单扩散（simple diffusion）。简单扩散的速度受到分子运动速度（由温度决定）和薄膜上的通道数量的影响。还有一种扩散方式被称为易化扩散或者载体介导的扩散。这种扩散需要分子与载体蛋白结合之后才能完成跨膜运输，而且分子的运动速度可能比预期的简单扩散速度要更快。

由于测量的数据通常是物质的浓度，而不是分子或离子的数量，因此，我们通常使用的变量是浓度。分子数量与浓度之间的关系如下：

$$\text{浓度} = \frac{\text{数量}}{\text{体积}}$$

粒子的扩散流动沿着浓度梯度进行，从高浓度区域向低浓度区域运动。生理上，各种房室都由膜包围着。例如，细胞膜可以保持细胞的结构，过滤进出细胞的分子和离子，控制细胞的体积。细胞膜允许水、氧气和二氧化碳分子通过，但是，如果不利用蛋白质通道，其他分子和离子就不能通过细胞膜。如图 7.3 所示，神经元的细胞膜由磷脂双分子层、胆固醇和蛋白质构成，膜将细胞内外的各种离子隔开。细胞膜具有选择性通透，仅允许某些离子通过，其他离子则不能通过。如图 7.3 所示，细胞膜上含有不同种类的通道。第一种通道是被动通道，它允许特定的某种离子以扩散方式通过，并阻止其

他离子通过。被动通道始终是开放的，并受浓度梯度的驱动<sup>①</sup>。第二种通道是主动通道，它们利用三磷酸腺苷（ATP）获得能量，使离子可以逆浓度梯度跨膜传输。主动通道可以一直开放，也可以根据跨膜电压的变化而开放或者关闭。

第三种通道就是所谓的离子泵，它们利用 ATP 实现各种离子的细胞内外交换。例如，就像 7.3.4 节和 8.4.4 节将阐述的那样，神经元的细胞膜使用钠钾泵来实现细胞内的  $\text{Na}^+$  离子与细胞外的  $\text{K}^+$  离子之间的交换。离子泵的重要功能之一就是控制细胞的体积。一旦细胞体积失控，那么，它就会被胀破。神经元消耗的能量中约有 60% 用于维持钠钾泵的功能。

被动通道和主动通道使得细胞内外的离子浓度不相同。表 7.2 给出了哺乳动物细胞膜内外几种重要的带正电荷的离子（即阳离子）和带负电荷的离子（即阴离子）的大概浓度值，单位是  $\text{mol/L}$ <sup>②</sup>。细胞内空间（即细胞质）中含有各种细胞器，它们都具有不同的离子成分。我们将在 7.3.4 节再详细论述细胞的跨膜扩散传输。

表 7.2 哺乳动物细胞膜内外几种重要离子的大概浓度值

离子	细胞内/(mmol/L)	细胞外/(mmol/L)
$\text{K}^+$	140	4
$\text{Na}^+$	10	142
$\text{Cl}^-$	4	103
$\text{Ca}^{2+}$	0.0001	2.4

毛细血管壁也是一种膜，它由内皮细胞组成，将组织液与血液隔开。典型的毛细血管长度约为 1mm，直径为  $7\mu\text{m}$ 。由于毛细血管的直径与红细胞的大小相似，因此，红细胞在毛细血管中运动时会与血管壁紧密接触。

毛细血管壁上各个细胞之间存在的微孔在组织液房室与血液房室之间形成通道，水可以自由通过。其实，除了白蛋白之类的某些蛋白质以外，血浆中的所有其他成分也都很容易通过毛细血管壁。虽然组织液与血浆相似，只是有些蛋白质成分不同而已，但是，组织液中的液流速度比血浆中慢得多，这是由组织液的结构决定的。组织液中包含了胶原和蛋白聚糖原纤维构成的网络，体液主要通过扩散的方式在这些纤维网络中流动。本章 7.3.5 节还会详细论述毛细血管中的扩散过程。

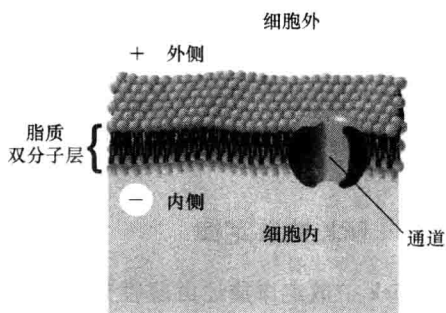


图 7.3 典型细胞膜的示意图

① 或者受第 12 章所述的电场梯度的驱动。

② 一摩尔物质含有  $6.02 \times 10^{23}$  个（Avogadro 常数）粒子。摩尔是国际单位制的单位，符号为 M（中国使用符号 mol——译者注）。对于任何离子或分子，一摩尔的重量就等于其原子的重量；因此，一摩尔水分子的重量为 18g。假设某个细胞的体积是 1nL，其中包含的  $\text{Cl}^-$  浓度为 4mmol/L；那么，细胞内  $\text{Cl}^-$  的数量就等于  $0.004\text{mol/L} \times 6.02 \times 10^{23} \text{个/mol} \times 1 \times 10^{-9} \text{L} = 2.408 \times 10^{12}$  个。

在本节,我们将细胞视为一种静态结构。实际上,细胞是动态的,其中的各种离子浓度可能发生快速变化。每秒钟进出细胞的水量是细胞体积的100倍;但是,这种过程是平衡的,水并没有净流量。例如,本书第12章所述的神经元在传输信号时就伴随着钠离子和钾离子的快速跨膜运动;第4章介绍的肌肉及其收缩机制则涉及钙离子的快速跨膜运动。

### 7.3.2 Fick 扩散定律

Fick 扩散定律描述由薄膜分隔的两个房室之间溶质传输的时间过程,用如下方程描述:

$$\frac{dq}{dt} = -DA \frac{dc}{dx} \quad (7.1)$$

式中  $q$ ——溶质数量;

$A$ ——薄膜的表面积;

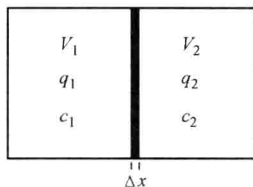
$c$ ——浓度;

$D$ ——扩散系数;

$dx$ ——薄膜的厚度;

$\frac{dc}{dx}$ ——浓度梯度。

如图7.4所示,假设双室系统中: $V_1$ 和 $V_2$ 分别是房室1和房室2的体积; $q_1$ 和 $q_2$ 分别是房室1和房室2的溶质数量; $c_1$ 和 $c_2$ 是房室1和房室2中包含的溶质浓度。并且,初始时房室1中加入了数量为 $Q_{10}$ 的溶质,导数 $\frac{dc}{dx}$ 用 $\frac{c_1 - c_2}{\Delta x}$ 来近似;那么,房室1中溶质的变化速率就是



$$\dot{q}_1 = -DA \frac{dc}{dx} = -DA \frac{(c_1 - c_2)}{\Delta x} \quad (7.2)$$

然后,利用下式将溶质数量转换成为浓度:

$$q_1 = V_1 c_1 \quad (7.3)$$

将上式求导数,可得:

$$\dot{q}_1 = V_1 \dot{c}_1 \quad (7.4)$$

将式(7.4)代入式(7.2),得

$$V_1 \dot{c}_1 = \frac{-DA}{\Delta x} (c_1 - c_2) \quad (7.5)$$

溶质传输速率 $K$ 定义为

$$K = \frac{DA}{\Delta x}$$

将其代入式(7.5),得

图7.4 薄膜分隔的双室模型(膜厚为 $\Delta x = dx$ )

$$\dot{c}_1 = -\frac{K}{V_1}(c_1 - c_2) \quad (7.6)$$

由质量守恒定律可知

$$Q_{10} = q_1 + q_2$$

转换为浓度, 可得

$$V_1 C_{10} = V_1 c_1 + V_2 c_2 \quad (7.7)$$

其中  $C_{10} = \frac{Q_{10}}{V_1}$  是房室 1 的初始溶质浓度。

由式 (7.7) 可求得房室 2 的溶质浓度为

$$c_2 = \frac{C_{10}V_1 - V_1 c_1}{V_2} \quad (7.8)$$

将其代入式 (7.6) 得

$$\dot{c}_1 = \frac{-K}{V_1 V_2} (V_2 c_1 - V_1 C_{10} + V_1 c_1) = \frac{KC_{10}}{V_2} - \frac{Kc_1}{V_1 V_2} (V_1 + V_2)$$

即

$$\dot{c}_1 + K \left( \frac{V_1 + V_2}{V_1 V_2} \right) c_1 = \frac{KC_{10}}{V_2} \quad (7.9)$$

此式是一阶线性微分方程, 其强迫函数为

$$f(t) = \frac{KC_{10}}{V_2} \quad (7.10)$$

初始条件为  $c_1(0) = C_{10}$ 。

为了简化, 假设  $V_1 = V_2$ , 则式 (7.9) 变为

$$\dot{c}_1 + \frac{2K}{V_1} c_1 = \frac{KC_{10}}{V_1} \quad (7.11)$$

求解此方程时, 注意其特征根是  $-\frac{2K}{V_1}$ , 因此, 方程的自由解为

$$c_{1_n} = B_1 e^{\frac{-2Kt}{V_1}} \quad (7.12)$$

其中  $B_1$  为常数, 可由初始条件确定。微分方程的强迫解与式 (7.10) 所示的强迫函数形式相同, 设为  $c_{1_p} = B_2$ , 代入式 (7.11) 可得

$$\frac{2K}{V_1} B_2 = \frac{KC_{10}}{V_1}$$

即

$$B_2 = \frac{C_{10}}{2}$$

于是, 方程的全解为



$$c_1 = c_{1n} + c_{1f} = B_1 e^{-\frac{2Kt}{V_1}} + \frac{C_{10}}{2}$$

利用初始条件可求解  $B_1$ , 即

$$c_1(0) = C_{10} = B_1 e^{-\frac{2Kt}{V_1}} \Big|_{t=0} + \frac{C_{10}}{2} = B_1 + \frac{C_{10}}{2}$$

得

$$B_1 = \frac{C_{10}}{2}$$

当  $t \geq 0$  时, 方程的全解为

$$c_1 = \frac{C_{10}}{2} (e^{-\frac{2Kt}{V_1}} + 1)$$

注意, 利用式 (7.8) 可求得房室 2 的溶质浓度为

$$c_2 = \frac{V_1 C_{10} - V_1 c_1}{V_2} = \frac{C_{10}}{2} (1 - e^{-\frac{2Kt}{V_1}})$$

如果  $V_1 \neq V_2$ , 那么

$$c_1 = \frac{C_{10}}{(V_1 + V_2)} \left[ V_2 e^{-K \frac{(V_1 + V_2)}{V_1 V_2} t} + V_1 \right] u(t)$$

$$c_2 = \frac{V_1 C_{10}}{(V_1 + V_2)} \left[ 1 - e^{-K \frac{(V_1 + V_2)}{V_1 V_2} t} \right] u(t)$$

达到稳态时, 薄膜两侧的溶质浓度相等。实际上, 如果两个房室的体积不相等, 稳态时两个浓度仍然会相等。式 (7.6) 就可以表明这一点: 将式中的微分项设为零, 可得  $c_1(\infty) = c_2(\infty)$ 。但是, 要注意, 体积较大的房室中溶质的摩尔数较大。

### 7.3.3 渗透

无论是细胞内还是细胞外, 人体内的溶质和液体都必须保持在一个严格控制的允许范围内。在细胞膜传输的所有物质中, 水的传输量最大。每秒钟进出细胞的水量约为细胞体积的 100 倍, 但不存在净传输。为了保持细胞膜两侧水的浓度梯度为 0, 渗透 (osmosis) 是驱使水跨膜传输的机制。如果水的浓度梯度不为 0, 那么, 就会引起渗透, 迫使其浓度梯度回到 0。显然, 水的任何跨膜净传输都会导致细胞膨胀或者收缩。

水和溶质在人体内各个房室中的分布是依靠化学和物理作用来调节的, 其中化学势是浓度、压强和温度的函数。就水而言, 纯水的浓度高于混有溶质的水。假设两个房室由薄膜隔开, 初始时薄膜两侧都充满了水和不同浓度的溶质, 并且假设薄膜对于溶质不通透。那么, 渗透作用就会促使水沿着浓度梯度产生净传输, 从水的高浓度一侧流向低浓度一侧, 直至梯度为 0 为止。

压强定义为单位面积上的作用力, 人体内各种气体和液体都会产生压强。我们用“压强” (pressure) 来描述气体和液体所受到的作用力, 而用“应力” (stress) 来描述固体受到的单位面积上的作用力。论及压强时, 我们所指的其实是两个位点之间的压强

差,其单位是 mmHg<sup>⊖</sup>。零压强是真空中测得的压强值,相对于 0 压强的值是绝对压强。除非另有说明,通常所说的压强都是相对于标准大气压的相对值。例如,人体心脏的收缩压(即血压的峰值)相对于标准大气压而言一般约为 120mmHg,而其绝对压强则是 880mmHg。吸气时,人体肺脏内的气压相对于标准大气压是 -4mmHg,它是一个负压,可以让空气进入肺部。

我们可以通过确定相对的压差,来分析人体内驱使各种溶质进出房室的作用力。例如,毛细血管内靠近动脉端的血压约为 30mmHg,靠近静脉端的血压则约为 10mmHg;因此,相对压差约为 20mmHg,它驱使血液从毛细血管的动脉端流向静脉端。在毛细血管动脉端附近,组织液的液压约为 17mmHg,因此约有 13mmHg 的压差驱使血浆穿过毛细血管壁进入组织液。而毛细血管静脉端附近组织液的液压仍然是 17mmHg,于是,7mmHg 的反向相对压差可以驱使组织液穿过毛细血管壁进入血浆。

细胞内外的压差应该为 0,否则,任何跨膜压差都会驱使水从高压侧流向低压侧,直至消除压差(即压强梯度)为止。

正如理想气体定律所描述的那样,压强是温度、体积和原子(分子)数量的函数。理想气体定律假定各个原子(或分子)之间不存在吸引力之类的作用力所产生的能量,唯一存在的能量就是动能。运动时,各原子(或分子)之间相互碰撞或者它们与房室壁之间碰撞时都会产生压强,运动速度越快,压强就越大。温度变化会影响粒子的运动,温度升高时,原子和分子的运动速度加快,压强就会增大。粒子数量增多时,碰撞机会就增加,也会增大压强。压强与体积成反比,体积增大,压强就减小;这是因为粒子运动的空间变大后,相互碰撞的次数就会减少。由于人体的体温受到严格的调控,因此,温度的变化不是影响渗透作用的主要因素。为了更全面地考察渗透作用,下面我们先定性分析渗透的两种情况,然后再做定量分析。

如图 7.5 所示,第一种情况假设薄膜两侧都是水,利用两个活塞对两个房室施加的压强分别为  $p_1$  和  $p_2$ 。如果  $p_1 > p_2$ ,那么,活塞 1 就驱使水穿过薄膜从左侧流向右侧。如果  $p_1 = p_2$ ,并且左侧的水中溶解的溶质较少,而右侧的水中溶解的溶质则较多;那么,在渗透作用下,水会从左侧流向右侧,直至薄膜两侧水的浓度相等为止。

第二种情况,假设在左侧注入纯水,在右侧注入溶解了少量溶质的水,初始时  $p_1 = p_2$ ,并且假定房室的体积不会发生变化。那么,在渗透作用下,水就会从左侧流向右侧。不过,由于左侧没有溶质,仅靠渗透作用本身并不能使系统两侧的水浓度达到相等。随着水不断跨膜运输,右侧的水分子数量增多,压强升高。随着左右两侧压差的增加,水又被迫从右边流向左边。这种压差驱动的水流会持续增加,直至与渗透作用驱动的水流相平衡为止。维持平衡所需的压差就是渗透压。

⊖ 在生理学和医学中,压强的单位是 mmHg,其定义是可以支持住所给定压强的汞柱的高度。海平面上的气压,即标准大气压,为 760mmHg,它常作为压强测量的参考值。在国际单位制(SI)中压强的单位是帕(Pascal, Pa), $1\text{Pa} = 1\text{N}/\text{m}^2$ 。在美国,常用的压强单位是 psi,即  $\text{lb}/\text{in}^2$ 。于是,海平面上的标准大气压是  $760\text{mmHg} = 101.325\text{kPa} = 14.696\text{lb}/\text{in}^2$ 。

现在,我们来定量分析上述两种情况。假设图 7.5 所示的两个房室都装满了水,那么,跨膜水流量  $Q$  与压差之间的关系是

$$p_1 - p_2 = R_m Q \quad (7.13)$$

其中  $R_m$  是薄膜对于水流的阻抗<sup>⊖</sup>。如果  $p_1 > p_2$ , 那么,水

自左向右流动,流量为  $Q = \frac{p_1 - p_2}{R_m}$ 。显然,如果  $p_1 = p_2$ ,

那么,水就没有跨膜的净传输。

然后考虑左侧水中放入少量溶质而右侧仍然是纯水的情况,此时水流量的方程变为

$$(p_1 - p_2) - RTc_1 = R_m Q \quad (7.14)$$

式中  $c_1$ ——溶质浓度;

$R$ ——理想气体常数,即  $R = 62.3637 \text{ L} \cdot \text{mmHg}/(\text{K} \cdot \text{mol})$ ;

$T$ ——绝对温度,单位为开尔文 (K),它等于摄氏温度加 273。

注意,人体的正常体温是  $37^\circ\text{C}$ ,即  $310\text{K}$ 。现在水流量变为  $Q = \frac{(p_1 - p_2) - RTc_1}{R_m}$ 。若要使式 (7.14) 的  $Q = 0$ , 就要有

$$(p_1 - p_2) - RTc_1 = 0 \quad (7.15)$$

此式给出了消除水的净流量所需的压差,该压差被称为渗透压,其值为  $(p_1 - p_2) = RTc_1$ 。渗透压的传统表示符号是  $\pi$ ,即  $\pi = RTc_1$ 。如果不存在压差,那么,水从右侧流

向左侧的流量为  $Q = \frac{RTc_1}{R_m}$ 。

如果薄膜两侧都含有溶质,那么,渗透压就等于

$$\pi = RT(c_1 - c_2) \quad (7.16)$$

其中  $c_1$ 、 $c_2$  分别是薄膜两侧的溶质浓度。式 (7.16) 被称为 van't Hoff 定律。

如果薄膜的两侧存在多种不可通透的不同粒子,则

$$(p_1 - p_2) - RT[(c_{A_1} - c_{A_2}) + (c_{B_1} - c_{B_2}) + \cdots + (c_{Z_1} - c_{Z_2})] = R_m Q \quad (7.17)$$

可见,总的渗透压  $\pi$  取决于薄膜两侧每种粒子 (离子或分子) 浓度差的总和,即

$$\pi = RT[(c_{A_1} - c_{A_2}) + (c_{B_1} - c_{B_2}) + \cdots + (c_{Z_1} - c_{Z_2})]$$

### 例 7.1

如果细胞膜两侧的溶质只有 NaCl,试计算室温下细胞的初始渗透压。假设  $\text{Na}^+$  和  $\text{Cl}^-$  的浓度如表 7.2 所示,并且两种离子都不能透过细胞膜,细胞的体积  $V_i = 2\text{nL}$ 。

解:

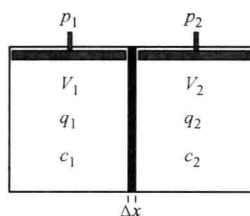


图 7.5 由活塞和薄膜构成的双室模型

注:水可以通过薄膜自由传输,但溶质不行。活塞可以在薄膜两侧施加压力。 $V_i$  表示体积,  $q_i$  为溶质数量,  $c_i$  为溶质浓度,  $i$  表示房室编号。 $\Delta x$  是薄膜的厚度。

⊖ 此方程与欧姆定律相似,压差等价于电压,水流等价于电流,薄膜的阻抗等价于电阻阻抗。

首先要注意, 细胞不能承受跨膜压强梯度, 故  $p_i = p_o$ 。因此, 利用式 (7.17) 就可求得室温下的初始渗透压为

$$\pi = RT([Na^+]_i - [Na^+]_o + [Cl^-]_i - [Cl^-]_o)$$

式中  $[Na^+]$  和  $[Cl^-]$  分别表示细胞膜内外的钠离子和氯离子的浓度<sup>①</sup>。将表 7.2 中的数值代入上式, 可得

$$\pi = 62.3637 \times 310((10 - 142) + (4 - 103)) = -4466 \text{ mmHg}$$

初始时, 在渗透压的驱使下, 水流出细胞, 以平衡膜内外的水浓度, 从而缩小细胞的体积, 直至细胞膜两侧水的浓度相等为止。下面计算细胞的最终体积。要注意, 细胞内  $Na^+$  和  $Cl^-$  的数量保持不变, 它们不能穿越细胞, 于是

$$q_i = ([Na^+]_i + [Cl^-]_i) \times V_i = (10 + 4) \times 2 \times 10^{-9} = 28 \times 10^{-9} \text{ mmol}$$

为了达到稳态时的零渗透压, 必须使膜内的稳态浓度  $c_{i_u}$  等于膜外的稳态浓度  $c_{o_u}$ , 即

$$c_{i_u} = ([Na^+]_o + [Cl^-]_o) = (142 + 103) = c_{o_u} = 245 \text{ mmol/L}$$

可得新的细胞体积为  $V_i = \frac{q_i}{c_{i_u}} = \frac{28 \times 10^{-9}}{245} = 0.114 \text{ nL}$ 。现实中, 细胞不可能收缩到如此小的程度, 细胞内外还存在着其他离子的传输, 可以一起维护零渗透压。 ■

渗透压取决于单位体积所包含的粒子总数, 而不是粒子的大小和原子重量。平均而言, 溶液中各个粒子施加在薄膜上的压强是一样的; 较小的粒子运动速度比较大的粒子要快, 因此, 大小不同的粒子所产生的能量大致相同。

由于渗透压与粒子的重量无关, 仅与粒子的数量有关, 因此, 可以使用渗摩尔 (osmole, Osm) 这个单位来描述。1 Osm 等于 1 mol 溶质粒子。如果 1 个分子分解成 2 个离子, 那么, 它就可以贡献 2 Osm; 如果 1 个分子分解成 3 个离子, 那么它就贡献 3 Osm, 以此类推。例如, 1 mol 葡萄糖贡献 1 Osm, 因为葡萄糖不能分解成多个离子; 而 1 mol 氯化钠 ( $NaCl$ ) 就可以贡献 2 Osm, 因为它可以分解成 2 mol 离子; 1 mol 硫酸钠 ( $Na_2SO_4$ ) 可以分解成 3 mol 离子, 因此, 它贡献 3 Osm。葡萄糖和蔗糖都不能分解成离子, 所以它们的渗透压如果以渗摩尔为单位就等于摩尔数。体液的测量一般以毫渗摩尔为单位, 即 mOsm。

由于渗透压是用浓度计算的, 因此我们常用渗摩尔浓度 (osmolarity), 而不是渗摩尔 (osmole) 来表示渗透压。渗摩尔浓度等于每升溶液中的渗摩尔数。以 mOsm/L 为单位, 哺乳动物细胞内的渗摩尔浓度约为 301.2, 血浆约为 301.8, 组织液约为 300.8。血浆的渗摩尔浓度略高于组织液, 这是因为蛋白质不能通过毛细血管壁扩散出去。血浆和组织液的渗摩尔浓度中 80% 是由  $NaCl$  产生, 细胞内渗摩尔浓度的 50% 由  $KCl$  产生。1 渗摩尔浓度 (即 1 Osm/L) 的溶液中每升含有 1 摩尔不可分解的粒子。如果溶质可以分

① 我们用符号  $[I]$  来表示离子 “I” 的浓度。本例题中是  $[Na^+]$  和  $[Cl^-]$ 。

解成多种粒子, 那么, 其渗摩尔浓度的计算公式是

$$\text{渗摩尔浓度} = \frac{\text{摩尔数} \times \text{分解的粒子数}}{1\text{L 溶液}}$$

用渗摩尔浓度表示的渗透压为

$$\pi = c \left( \frac{\text{Osm}}{\text{L}} \right) \times R \left( \frac{\text{L} \cdot \text{mmHg}}{\text{K} \cdot \text{mol}} \right) \times T(\text{K}) = 62.3637 \times c T \text{mmHg} \quad (7.18)$$

### 例 7.2

1L 溶液中含有 5mmol/L NaCl, 请计算其渗摩尔浓度。

解:

由于 NaCl 在水中会分解成  $\text{Na}^+$  离子和  $\text{Cl}^-$  离子, 因此, 渗摩尔浓度就是 NaCl 摩尔数的 2 倍。于是, 5mmol/L NaCl 溶液的渗摩尔浓度为 10mOsm/L。 ■

### 例 7.3

请计算室温下重量浓度为 0.5% 的葡萄糖溶液的渗摩尔浓度和渗透压。

解:

0.5% 葡萄糖溶液中葡萄糖的含量为  $(0.5/100)\text{g/mL} = 5\text{g/L}$ 。葡萄糖分子的重量为 180g/mol, 因此, 该溶液的摩尔浓度为  $(5\text{g/L})/(180\text{g/mol}) = 0.0278\text{mol/L}$ 。葡萄糖在溶液中不会分解成离子, 其渗摩尔浓度就等于其摩尔浓度, 即 27.8mOsm/L。于是, 渗透压即为

$$\pi = cRT = 0.0278 \times 62.367 \times 310 = 537.5\text{mmHg} \quad \blacksquare$$

### 例 7.4

假设某种细胞内部的渗摩尔浓度为 300mOsm/L, 体积为 2nL, 浸浴在 30nL 渗摩尔浓度为 300mOsm/L 的溶液中。在细胞外溶液中加入 5nL 重量浓度为 2% 的 NaCl 溶液。假设细胞膜对于 NaCl 不通透, 并且细胞内的摩尔数不变。请描述达到稳态之前会发生的变化, 并计算稳态时细胞的体积。

解:

本题求解的第一步是计算  $t=0^-$  时刻细胞内外的渗摩尔数值。细胞内有  $300\text{mOsm/L} \times 2\text{nL} = 600 \times 10^{-9}\text{mOsm}$ ; 细胞外有  $300\text{mOsm/L} \times 30\text{nL} = 9000 \times 10^{-9}\text{mOsm}$ 。

第二步, 计算  $t=0^+$  时刻细胞外的渗摩尔数值。加入了 2% 浓度的 NaCl 溶液, 即  $(2/100)\text{g/mL} = 20\text{g/L}$ , NaCl 的重量是 58.5g/mol, 因此, 2% 浓度 NaCl 的摩尔浓度为  $(20\text{g/L})/(58.5\text{g/mol}) = 0.342\text{mol/L}$ 。5nL NaCl 溶液共含有  $0.342 \times 5 \times 10^{-9} = 1.71 \times 10^{-9}\text{mol}$  的 NaCl。由于 NaCl 分子在溶液中会分解成两个离子, 因此, 有  $3420 \times 10^{-9}\text{mOsm}$  的渗摩尔增加到细胞外溶液, 使得总的渗摩尔达到  $12420 \times 10^{-9}\text{mOsm}$ , 于是, 细胞外的渗摩尔浓度即为  $12420/35 = 355\text{mOsm/L}$ 。细胞膜两侧的渗摩尔浓度之差产生的渗透压为  $\pi = \Delta cRT = (355 - 300) \times 62.367 \times 310 = 1063\text{mmHg}$ 。在室温下, 此渗透压迫使水流出细胞。

达到稳态时, 细胞内外的体积之和为 37nL, 渗摩尔之和为  $13020 \times 10^{-9}\text{mOsm}$ ; 因此, 细胞内外的渗摩尔浓度都为  $13020/37 = 352\text{mOsm/L}$ 。细胞最终的体积为  $600/352 =$

1.7nL。

### 7.3.4 细胞的体积与渗透作用

细胞通过控制其内部的渗摩尔浓度来调控其体积，而渗摩尔浓度的控制则主要通过 ATP 驱动的钠、钾、钙、氯、氢等各种离子泵的原发性主动运输（primary active transport）机制来实现。其中最重要的离子泵是 Na-K 泵。细胞消耗的能量中 60% ~ 70% 都是用于这些 ATP 泵。细胞内的阴离子有  $\text{Cl}^-$ 、蛋白质、核酸、硫酸根离子和磷酸根离子等，阳离子有  $\text{K}^+$ 、 $\text{Ca}^{2+}$  和  $\text{Na}^+$  等。下面我们会讲到，细胞膜对这些离子的通透性各不相同：有些离子可以自由穿过，有些看似不能通透，而其他的则确实不通透。ATP 泵可以跨膜传输各种离子，使许多离子在稳态下能够保持非零的跨膜浓度梯度<sup>⊖</sup>。这种离子的运输通过载体蛋白来实现，其机制与扩散不同。这些离子泵能够使细胞内外的渗摩尔浓度保持相等，从而维持细胞体积不变。离子的继发性主动运输（secondary active transport）机制不涉及 ATP 驱动的离子泵，它是原发性主动运输所造成的离子浓度梯度的一种副作用。

稳态离子浓度的任何变化都会通过渗透作用引起水流入或流出细胞。大多数哺乳动物细胞内部的渗摩尔浓度与血浆相等，约为 300mOsm。细胞膜很脆弱，细胞内外很小的压差它都不能承受。而 ATP 离子泵可以使压差保持为 0，从而控制细胞的体积。

具有相同渗摩尔浓度的两种溶液被称为等渗溶液。两种溶液中具有较小渗摩尔浓度的溶液被称为低渗溶液，而另一种则为高渗溶液。如果渗摩尔浓度不相等，水就会从低渗溶液流向高渗溶液，直至两者的渗摩尔浓度相等为止。如果相对于细胞外而言，细胞内是低渗溶液，那么，水就会流出细胞，使细胞的体积缩小，直至到达等渗状态为止。如果胞内相对于胞外是高渗的，那么，水就会流入细胞，细胞的体积膨大，直至等渗状态。不过，通过 ATP 离子泵的作用可以使细胞体积恢复其原始状态。

当细胞外的渗摩尔浓度发生变化时，细胞一般通过调节胞内的渗摩尔浓度来维持其体积。如果相对于胞内而言，胞外是低渗的，那么，就会发生如下调控过程：

- 1) 由于渗透作用，细胞体积立即增大；
- 2) ATP 离子泵将离子转运出细胞，从而恢复细胞体积并达到渗透平衡。

如果相对于胞内而言，胞外是高渗的，则会发生以下过程：

- 1) 由于渗透作用，细胞体积立即缩小；
- 2) ATP 离子泵将离子转运入细胞，从而恢复细胞体积并达到渗透平衡。

稳态时，ATP 离子泵维持细胞膜两侧的各种离子浓度，从而形成电场梯度和浓度梯度。电场梯度将在本书第 12 章讲述，这里我们主要介绍浓度梯度。对于普通哺乳动物细胞而言，表 7.2 列出了其细胞内外的典型离子浓度，其中研究较多的是  $\text{K}^+$  和  $\text{Na}^+$ 。为了维持稳态时的离子浓度，每个流入细胞的离子都必须用一个相同离子的流出来平衡。先看  $\text{Na}^+$  离子，浓度梯度驱使  $\text{Na}^+$  进入细胞；而对  $\text{K}^+$  而言，浓度梯度则会驱使  $\text{K}^+$

⊖ 注意，此时系统并不平衡，因为离子泵在消耗能量以维持各种离子浓度。我们将这种状态称为稳态。

流出细胞。从渗透的角度来看,只要流失的  $K^+$  与得到的  $Na^+$  相等,那么,细胞就仍然保持等渗状态。但是,如果这种离子的得失任其发展下去,那么,膜两侧的离子浓度就无法维持。为了保持  $K^+$  和  $Na^+$  的离子浓度,细胞膜利用 ATP 驱动的 Na-K 泵,将  $Na^+$  排出细胞同时将  $K^+$  收回胞内。在 Na-K 泵的作用下,  $Na^+$  表现得就好像对细胞膜不通透一样。

Na-K 泵同时还调控了细胞的体积。细胞内含有大量对膜不通透的带负电荷的各种蛋白质和分子,它们吸引着带正电荷的  $K^+$  和  $Na^+$ ; 于是在渗透作用下水就流入细胞。如果没有 Na-K 泵,细胞最终会胀破。Na-K 泵每次吸收 2 个  $K^+$  进入细胞的同时会排出 3 个  $Na^+$ , 从而在胞内形成低渗状态,水在渗透作用驱使下就流出细胞。如果细胞的体积发生了变化,Na-K 泵就会细调进出细胞的水流量。

如图 7.6 所示,假设细胞膜上含有  $Na^+$  和  $K^+$  的被动运输通道,还有 Na-K 泵,胞内含有对膜不通透的阴离子  $A^-$ 。并设细胞内外没有压差(哺乳动物细胞必须如此)。于是,根据式 (7.17) 可得如下流量计算公式:

$$-RT([K^+]_i - [K^+]_o + [Na^+]_i - [Na^+]_o + [A^-]) = R_m Q \quad (7.19)$$

此外,每种可通透离子的流量<sup>①</sup>公式如下:

$$\begin{aligned} \bar{J}_K &= P_K([K^+]_i - [K^+]_o) - \bar{J}_p \\ \bar{J}_{Na} &= P_{Na}([Na^+]_i - [Na^+]_o) + \bar{J}_p \end{aligned} \quad (7.20)$$

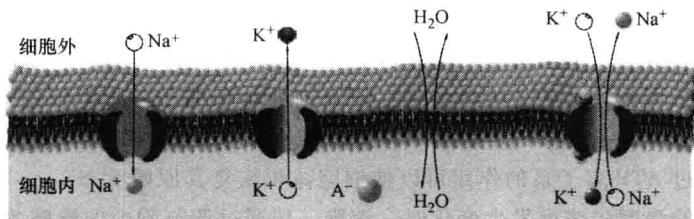


图 7.6 含有 2 种被动通道和 1 种离子泵的细胞膜

注:  $Na^+$  和  $K^+$  可以通过扩散作用跨膜传输,而阴离子  $A^-$  对膜不通透。

如图中所示,水可以轻易穿越细胞膜。

其中  $P_K$  和  $P_{Na}$  分别是  $K^+$  和  $Na^+$  的通透率(permeability),  $\bar{J}_p$  是离子泵的流量。通透率与膜的特性相关,它表示粒子穿过细胞膜的难易程度,在本书第 12 章还会详细讲解。 $K^+$  的通透率较大,而  $Na^+$  的较小。为了计算细胞的体积,我们用  $a/V$  来代替式 (7.19) 中的浓度  $[A^-]$ ,其中  $a$  是阴离子  $A^-$  的数量,  $V$  是细胞体积。于是有

$$-RT\left([K^+]_i - [K^+]_o + [Na^+]_i - [Na^+]_o + \frac{a}{V}\right) = R_m Q \quad (7.21)$$

稳态时,离子的净流量  $Q$  和水的净流量都为 0,故式 (7.20) 和式 (7.21) 可以简化为

① 流量是指单位时间内流过单位面积的粒子(离子或分子)数量,它是一个向量,用符号  $\bar{J}$  表示。

$$\begin{aligned} 0 &= P_K ([K^+]_i - [K^+]_o) - \bar{J}_p \\ 0 &= P_{Na} ([Na^+]_i - [Na^+]_o) + \bar{J}_p \end{aligned} \quad (7.22)$$

和

$$[K^+]_i - [K^+]_o + [Na^+]_i - [Na^+]_o + \frac{a}{V} = 0 \quad (7.23)$$

求解式 (7.22) 就可得如下浓度值:

$$[K^+]_i - [K^+]_o = \frac{\bar{J}_p}{P_K}$$

和

$$[Na^+]_i - [Na^+]_o = -\frac{\bar{J}_p}{P_{Na}}$$

将以上 2 式代入式 (7.23), 可得

$$\frac{\bar{J}_p}{P_K} - \frac{\bar{J}_p}{P_{Na}} + \frac{a}{V} = \bar{J}_p \left( \frac{P_{Na} - P_K}{P_{Na} P_K} \right) + \frac{a}{V} = 0 \quad (7.24)$$

求解此式很容易得到体积

$$V = \frac{a P_{Na} P_K}{\bar{J}_p (P_K - P_{Na})} \quad (7.25)$$

当  $P_K > P_{Na}$  时, 此式计算得到的细胞体积为正值, 哺乳动物细胞膜就是如此。注意, 细胞体积与离子泵的流量成反比, 泵的流量增加时, 细胞体积缩小。细胞能够严密地调控泵的流量, 从而保持细胞体积不变。还要注意, 有证据表明, 随着细胞的生长, 不通透的各种蛋白质和分子的数量会增加, 也就是式 (7.25) 中的  $a$  值会增加, 由该式可知细胞的体积也增大。最后, 要注意, 当泵的流量变为 0 (即细胞死亡) 时, 细胞体积将趋于无穷大, 也就是细胞膜会爆破。

### 7.3.5 毛细血管的扩散作用

在渗透压和静水压 (hydrostatic pressure) 的作用下, 水、营养物质、电解质和其他粒子都会穿过毛细血管壁。下面我们会看到, 这些压强促使液体在靠近动脉端流出毛细血管, 而在靠近静脉端流入毛细血管。

图 7.7 所示是毛细血管网络。血液在流入毛细血管之前, 首先在很高的压强作用下从心脏流入主动脉; 然后离开主动脉, 进入其他动脉, 再到达动脉系统最小的血管分支——微动脉 (arteriole); 最后才从微动脉流入毛细血管, 并在图 7.7 下半部分所

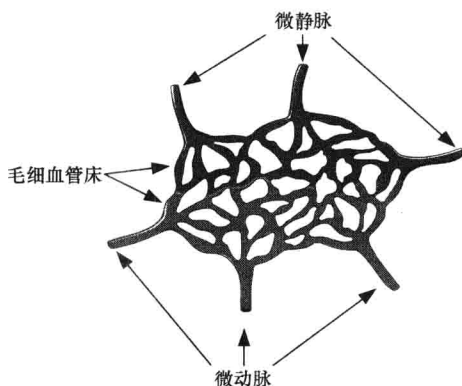


图 7.7 毛细血管网络

注: 微动脉至毛细血管的入口处通常有括约肌, 用于控制血流量。并非所有毛细血管都一直含有血流, 周围组织需要时才有血液流通。例如, 休息时, 肌肉中含有血流的毛细血管不超过 10%。



示部位通过扩散进入组织液。在图 7.7 的上半部分, 扩散的方向是从组织液进入毛细血管, 然后随血浆流入静脉系统最小的血管分支——微静脉 (venule); 血液再汇入越来越大的静脉直至到达心脏为止。表 7.3 所示是循环系统各个房室所占的体积百分比。成年人血浆的总体积约为 3L, 组织液总体积约为 11L。

表 7.3 循环系统各房室血浆体积的百分比值

房室	百分比值 (%)	房室	百分比值 (%)
心脏	7	微动脉和毛细血管	7
肺循环系统	9	静脉和微静脉	64
动脉	13		

血浆蛋白是唯一不能通过<sup>⊖</sup>毛细血管壁的物质, 从而形成了一定的渗透压。血浆蛋白所产生的渗透压被称为胶体渗透压 (colloid osmotic pressure), 以便区别于跨膜渗透压。血浆蛋白质的浓度为 7.5g/dL, 组织液蛋白质的浓度为 3g/dL。在毛细血管血浆形成的胶体渗透压中, 贡献最大的是白蛋白 (21.8mmHg), 其次是球蛋白 (6mmHg), 再次是纤维蛋白原 (0.2mmHg); 于是, 胶体渗透压的总和约为 28mmHg。组织液中所有蛋白质产生的胶体渗透压仅为 8mmHg。因此, 毛细血管血浆与组织液之间的胶体渗透压之差约为 20mmHg, 它构成了促使液体流入毛细血管的合力。

与细胞膜不同, 从毛细血管的动脉端到静脉端, 血管壁两侧存在的流体静水压是变化的: 动脉端是 30mmHg, 静脉端则是 10mmHg。而且, 从动脉端到静脉端, 这种压强几乎呈线性下降。

综上所述, 毛细血管动脉端的各种压强有:

压强	单位 mmHg
静水压	+30
组织液胶体渗透压	+8
血浆胶体渗透压	-28
外向净压差	+10

可见, 在动脉端存在 10mmHg 的外向净压差, 它促使液体从毛细血管流入组织液。这种压差被称为滤过压 (filtration pressure)。此处运输的液流量约为血浆总量的 5%。

毛细血管静脉端受到的各种压强有:

压强	单位 mmHg
静水压	+10
组织液胶体渗透压	+8
血浆胶体渗透压	-28
外向净压差	-10

可见, 静脉端存在 10mmHg 的内向净压差, 它促使液体由组织液流入毛细血管。这种压差被称为重吸收压 (reabsorption pressure)。多数从毛细血管流入组织液的液体都

⊖ 实际上, 某些血浆蛋白能够慢慢地漏出毛细血管壁, 进入组织液, 然后, 再通过淋巴循环回到血浆。

会流回毛细血管中。其余残留的会流入淋巴液，而后再回到血浆。

毛细血管两端液体流量的计算公式为

$$Q_A = \frac{\Delta p_A - RTc_C + RTc_I}{R_m} \quad (7.26)$$

$$Q_V = \frac{\Delta p_V - RTc_C + RTc_I}{R_m} \quad (7.27)$$

式中  $Q_A$ ——毛细血管动脉端流入的液体流量；

$Q_V$ ——毛细血管静脉端的液体流量；

$\Delta p_A$ ——毛细血管动脉端的静水压；

$\Delta p_V$ ——毛细血管静脉端的静水压；

$c_C$ ——毛细血管血浆的蛋白质浓度；

$c_I$ ——组织液的蛋白质浓度。

设毛细血管中漏入组织液的血浆蛋白流量为  $\dot{V}_P$ ，组织液流入淋巴液的流量为  $\dot{V}_L$ ，那么，组织液房室的变化  $\dot{V}_I$  为

$$\begin{aligned} \dot{V}_I &= Q_A - Q_V + \dot{V}_P - \dot{V}_L \\ &= \frac{\Delta p_A - RTc_C + RTc_I}{R_m} - \frac{\Delta p_V - RTc_C + RTc_I}{R_m} + \dot{V}_P - \dot{V}_L \end{aligned} \quad (7.28)$$

此式对于研究病理状态造成的影响很有用。某些类型的创伤会使毛细血管动脉端的静水压  $\Delta p_A$  升高，从而引起组织液增加（即发生肿胀）。如果血浆蛋白的浓度  $c_C$  升高，那么，进入组织液的液体流量就会减少。

## 7.4 建立房室模型的基本方法

上一节我们介绍了扩散作用和渗透作用的基本原理，本节将应用房室模型来描述系统中溶质的运输过程。建立房室模型时要用有限数量的房室来描述系统。溶质从一个房室流入下一个房室，将各个房室联系起来。溶质的流动路径有如下几种：

- 1) 细胞的各个细胞器之间；
- 2) 细胞与胞外空间之间；
- 3) 器官与组织液之间；
- 4) 通过循环系统在各个器官之间。

本章用房室模型来仿真生理系统时，假设系统具有集总参数而不是分布参数；这样，就可以使用常微分方程。分布式系统更精确，但求解时需要使用偏微分方程。不过，在许多情况下，复杂的分布式系统模型可以用包含大量房室的模型很精确地描述出来。

用房室模型仿真人体时，通常要对体内固有的各种基本过程进行简化，这使得模型

与真实系统之间的解剖学联系很有限。例如,如图 7.1 所示,我们将人体的房室定义为:血浆房室(包括血管中所有非细胞液体)、细胞内液房室(包括 75 万亿个细胞内的液体)、组织液房室和淋巴液房室。当然,细胞内液房室还可以进一步区分各个器官,血浆房室也可以再分为动脉、静脉和越来越细的血管。无论如何,房室建模对于描述溶质在人体中的流动过程很有用,在考察稳态附近的小扰动时尤其如此。房室分析在药物动力学研究中有许多重要的应用。

如果不使用房室模型,那么,仿真时就要使用流体模型来模拟人体的血液和淋巴系统,以及每个器官中溶质的传输过程。这种方法所需解决的问题是建立一个时变的三维分布式模型。由于溶质在器官中的分布是不均匀的,我们缺乏有关这种模型参数的详细数据。

与常见的生理系统仿真一样,建模时确定房室数量和房室之间的相互联系是最困难的事,还需要获取正确的数据。无论模型如何简化,模型与被仿真的系统之间总是应该具有某种基于先验知识的联系。而且,获得仿真数据之后,还应该可以检验模型的准确性,将模型的行为与真实系统进行比较。检验之后,通常要对模型进行修正,而各种修正往往使得模型变得越来越复杂。将模型复杂化就是添加各种参数,要利用参数估计法,基于已获得的数据来估计新添加的参数。

多房室系统的各个房室之间会通过扩散来交换溶质,溶质可以是放射性示踪剂、葡萄糖或胰岛素之类的分子、氧气或二氧化碳之类的气体等。根据质量守恒定律,即积累量等于输入量减去输出量,可以预测每个房室内被研究的溶质的数量或者浓度随时间的变化。模型可能是线性的或者非线性的,连续的或者离散的,甚至可能含有时变参数或者随机参数。如果模型是连续的且线性的,那么溶质浓度的变化就可以用指数项和三角函数项之和来表示。

描述任意两个房室之间溶质的扩散传输时,需要如下假设条件:

- 1) 每个房室的体积保持恒定不变;
- 2) 进入房室的任何溶质  $q$  都瞬间就与整个房室的溶液混合在一起,均匀分布;
- 3) 房室中溶质流失的速率正比于房室的溶质含量与传输速率  $K$  的乘积,即  $Kq$ 。传输速率的单位通常是  $L/min$ 。

如果需要跟踪系统内的两种溶质,那么,整个模型可以用 2 个相似的模型构成。例如,如果两种溶质都要进出血浆,那么,它们各自的模型可以包含相互独立的血浆房室。以此类推,可以考察  $n$  种溶质,每一种溶质都有它自己的模型,都独立拥有血浆房室。此原理对于组织和血管都适用。

从建模角度来看,比较困难的一步是确定系统所含的房室及其数量。由于某些房室的数据无法直接测量,因此,根据测量数据来简化模型也是很难的一步。这两步工作都不是本书所要介绍的内容,感兴趣的读者可以参阅本章末尾列出的参考资料。

### 7.4.1 房室系统的输入

人体房室系统的常用输入方式如下:

### 1. 团注

团注是将溶质非常快速地注入房室，并假设注入的溶质瞬间就与房室中的溶液均匀混合在一起。数学上，团注可以用初始条件的改变或者用冲激函数  $\delta(t)$  来近似。

### 2. 恒量持续注入

恒量持续注入是用注射泵或者静脉滴注将溶质输入房室内，同样假设注入的溶质瞬间就与房室中的溶液均匀混合。数学上，这种输入可以用阶跃函数  $u(t)$  来近似。

### 3. 胶囊药丸或皮下注射

胶囊药丸或皮下注射可以在一段时间内提供恒量持续注入，并假设药丸扩散的溶质或注射针注入的溶质瞬间就与房室中的溶液均匀混合。数学上，这种输入可以用脉冲函数来近似，即  $u(t) - u(t - t_1)$ ，其中  $t_1$  为脉冲的宽度。

溶质输入之后就借助循环系统传输到全身各处。我们假设，在心脏的作用下，溶质进入循环系统后瞬间完成混合。有些情况下，溶质通过消化系统进入体内，而后进入血浆。溶质还会从循环系统扩散出来，进入体内其他房室。通常，人体排泄溶质的途径有肾脏、肠道、肺脏、皮肤、汗液，以及肝脏等器官中的生物转化（即转化为其他形式的物质）和组织的新陈代谢。

## 7.5 单室模型

最简单的房室模型只有一个房室，如图 7.8 所示，房室用一只箱子表示，溶质的流动用箭头表示。溶质的输入可以是 7.4 节中所述的任何一种函数，也可以是其他函数类型。输出传输速率  $K_{10}$  表示溶质从房室 1 流向环境空间“0”的流量。传输速率的惯用符号是  $K_{ij}$ ，表示溶质从房室  $i$  流出，并流入房室  $j$ ，所有传输速率都有  $K_{ij} \geq 0$ 。虽然图 7.8 仅显示了一个输出，但可以有多输出，例如输出至尿液、肝脏等不同空间。如果合理的话，可以将多个输出的传输速率加起来，合并成为单个传输速率。当然，房室模型也可以有多输入，如果这样，利用叠加原理，每个输入可以独立求解。设初始条件为 0，可以求得模型的自由解。

分析图 7.8 所示的系统时，利用质量守恒定律，写出描述房室中溶质含量变化率的微分方程，即累积量 = 输入量 - 输出量。其中

$$\begin{aligned} \text{累积量} &= \dot{q}_1, \\ \text{输入量} &= f(t), \\ \text{输出量} &= K_{10}q_1. \end{aligned}$$

于是

$$\dot{q}_1 = f(t) - K_{10}q_1 \quad (7.29)$$

此方程的解由自由解和强迫解两部分组成。自由解的形式为  $q_{1n} = B_1 e^{-K_{10}t}$ ，其特

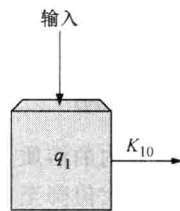


图 7.8 单室模型

注：设房室的体积为  $V_1$ ，  
输入为  $f(t)$ 。

征根是  $-K_{10}$ 。强迫解的形式与输入一致。例如, 如果输入是恒量持续注入  $u(t)$ , 那么, 强迫解就是  $q_{1_f} = \frac{1}{K_{10}}$ 。于是, 单位阶跃输入的全解就是

$$q_{1_u} = q_{1_n} + q_{1_f} = \left( B_1 e^{-K_{10}t} + \frac{1}{K_{10}} \right) u(t)$$

式中  $B_1$  由系统的初始条件决定。如果初始条件为 0, 那么  $q_{1_n} = \frac{1}{K_{10}} (1 - e^{-K_{10}t}) u(t)$ 。

如果初始条件不为 0, 那么  $B_1 = q_1(0) - \frac{1}{K_{10}}$ 。如果阶跃输入的幅值为  $\zeta$ , 那么, 零初始

条件下的解就是  $q_{1_u} = \frac{\zeta}{K_{10}} (1 - e^{-K_{10}t}) u(t)$ ; 初始条件为  $q_1(0)$  时的解是  $q_{1_u} = \left\{ \frac{\zeta}{K_{10}} - \left[ \frac{\zeta}{K_{10}} - q_1(0) \right] e^{-K_{10}t} \right\} u(t)$ 。

如果输入是团注  $\delta(t)$ , 其求解方法与零初始条件时的单位阶跃输入求解的前半部分一样, 团注输入的解是  $q_{1_\delta} = \frac{dq_{1_u}}{dt} = e^{-K_{10}t} u(t)$ 。如果输入是  $\zeta\delta(t)$ , 那么, 解就是  $q_{1_\delta} = \zeta e^{-K_{10}t} u(t)$ 。

如果输入是皮下注射  $u(t) - u(t - t_1)$ , 初始条件为 0, 那么, 根据叠加原理, 其解为  $q_{1_p} = \frac{1}{K_{10}} (1 - e^{-K_{10}t}) u(t) - \frac{1}{K_{10}} [1 - e^{-K_{10}(t-t_1)}] u(t - t_1)$ 。如果输入是  $\zeta(u(t) - u(t - t_1))$ , 其解为

$$q_{1_p} = \frac{\zeta}{K_{10}} (1 - e^{-K_{10}t}) u(t) - \frac{\zeta}{K_{10}} [1 - e^{-K_{10}(t-t_1)}] u(t - t_1)$$

### 7.5.1 半衰期

跟踪体内的溶质变化时, 溶质浓度的半衰期 (half life) 是一个重要指标, 它定义为浓度从最大值降至 50% 所需的时间。假设图 7.8 所示系统的输入是团注  $\zeta\delta(t)$ , 求得

的解是  $q_{1_\delta} = \zeta e^{-K_{10}t} u(t)$ 。为了计算半衰期  $t_{\frac{1}{2}}$ , 将溶质的质量转化为浓度, 即  $c_1 = \frac{q_{1_\delta}}{V_1} =$

$\frac{\zeta}{V_1} e^{-K_{10}t} u(t)$ 。然后令  $c_1(t_{\frac{1}{2}}) = \frac{\zeta}{2V_1}$ , 再求  $t_{\frac{1}{2}}$ 。于是有

$$\frac{\zeta}{2V_1} = \frac{\zeta}{V_1} e^{-K_{10}t_{\frac{1}{2}}}$$

将此式两边同时取自然对数得

$$\ln\left(\frac{1}{2}\right) = -K_{10}t_{\frac{1}{2}}$$

也就是

$$t_{\frac{1}{2}} = \frac{\ln(2)}{K_{10}} = \frac{0.693}{K_{10}} \quad (7.30)$$

### 7.5.2 洗脱曲线

测量洗脱曲线 (washout curve) 是一种很有用的参数估计实验方法。实验开始时, 连续注入溶质, 直至浓度达到稳态为止, 随即停止输入。然后, 让溶质浓度从最大值开始逐渐衰减, 回到 0 为止。衰减过程中测得的浓度曲线就是洗脱曲线。实际上, 该实验的输入为脉冲输入  $\zeta[u(t) - u(t - t_1)]$ , 只是时间  $t_1$  要足够长, 比  $\frac{5}{K_{10}}$  要长得多。其响应为

$$c_1 = \frac{q_{1p}}{V_1} = \frac{\zeta}{V_1 K_{10}} (1 - e^{-K_{10}t}) u(t) - \frac{\zeta}{V_1 K_{10}} [1 - e^{-K_{10}(t-t_1)}] u(t-t_1) \quad (7.31)$$

其中洗脱曲线是响应中  $t_1 \sim \infty$  那部分, 实际上就是  $t_1$  时刻开始的冲激响应。去掉响应中  $0 \sim t_1$  部分, 并将时间  $t_1$  设为 0, 那么, 洗脱曲线就可以改写为

$$c_{1_{wo}} = \frac{\zeta}{V_1 K_{10}} e^{-K_{10}t} u(t) \quad (7.32)$$

利用实验测量数据和式 (7.32), 我们可以从实验数据的时间常数求得  $K_{10}$  的值, 再从初始值和时间常数求得  $V_1$ 。注意, 这种洗脱曲线的方法仅适用于单室模型。

下面的例 7.5 利用图 7.9 所示的简化模型来考察甲状腺摄入放射性碘  $I^{131}$  的过程。(在 7.7.4 节我们还会重新仿真甲状腺系统。) 此例中的房室代表血浆。甲状腺位于颈部, 它会吸收血液中的碘用于合成含碘激素 (主要是甲状腺素), 然后将激素分泌到血液中。甲状腺素会加快细胞内部的化学反应速率, 从而加快人体全身的代谢速率。甲状腺素的水平 (即浓度) 受到下丘脑和脑垂体的严格控制。下丘脑会根据血液中甲状腺素的水平来释放促甲状腺素释放激素 (Thyroid Releasing Hormone, TRH), TRH 会刺激脑垂体释放促甲状腺素 (Thyroid-Stimulating Hormone, TSH), TSH 再诱发甲状腺产生反应。这样, 甲状腺就能够调控人体的新陈代谢。如果甲状腺素的水平太低, 脑垂体就会释放 TSH, 从而增加甲状腺的甲状腺素释放量。如果甲状腺素的水平过高, TSH 的释放就会减少, 进而减少甲状腺产生甲状腺素的量。在检查甲状腺病变时, 给病人注射放射性碘  $I^{131}$ , 然后测量甲状腺摄入碘的量。简而言之, 如果摄入的碘太多, 就意味着甲状腺机能亢进, 会产生过多的甲状腺素; 反之, 如果摄入的碘太少, 就意味着甲状腺机能减退, 产生的甲状腺素会太少。血浆  $I^{131}$  的清除途径有两条: 通过肾脏从尿液排出或者被甲状腺吸收。

#### 例 7.5

考察图 7.9 所示血浆房室中  $I^{131}$  的清除过程。假设  $I^{131}$  被困注进入血浆, 随后它从血浆传输到甲状腺, 或者经尿液排出体外。设注入血浆的  $I^{131}$  量为  $q_1(0)$ , 试求该输入的解  $q_1(t)$ 。

解:

将困注看作  $t=0$  时刻系统初始条件的变化, 并设输入为 0, 就很容易求解本题。根据质量守恒定律, 描述血浆房室中  $I^{131}$  含量变化率的微分方程为

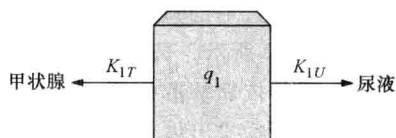


图 7.9 例 7.5 的图示 (其中  $q_1$  为血浆房室中  $I^{131}$  的含量)

$$\dot{q}_1 = -(K_{1T} + K_{1U})q_1$$

其解是

$$q_1 = q_1(0)e^{-(K_{1T} + K_{1U})t}u(t)$$

注意, 血浆  $I^{131}$  清除的效果用单个传输率  $K_{10} = K_{1T} + K_{1U}$  就可以描述, 其分析结果不会改变。不过, 如果需要监测甲状腺摄取  $I^{131}$  的量, 那么, 就要将具有不同传输速率的两种清除途径区分开来。

另外, 本例也可以将输入看作  $q_1(0)\delta(t)$ , 而初始条件为 0。先求解系统对于单位阶跃输入  $u(t)$  的解  $q_{1u}(t)$ ; 然后求该解的微分, 就得到系统对于  $\delta(t)$  的响应  $q_{1\delta}(t)$ ; 再加上比例因子  $q_1(0)$ , 就得到  $q_1(t)$ 。这种方法的求解过程如下。

根据质量守恒定律, 写出微分方程

$$\dot{q}_1 = u(t) - (K_{1T} + K_{1U})q_1$$

其解为

$$q_{1u} = \left[ \frac{1 - e^{-(K_{1T} + K_{1U})t}}{K_{1T} + K_{1U}} \right] u(t)$$

冲激响应为

$$q_{1\delta} = \dot{q}_{1u} = e^{-(K_{1T} + K_{1U})t}u(t)$$

加上比例因子  $q_1(0)$ , 就得到解  $q_1 = q_1(0)e^{-(K_{1T} + K_{1U})t}u(t)$ 。注意, 将团注看做初始条件的变化, 求解要容易得多。 ■

### 7.5.3 药物代谢动力学模型

如图 7.10 所示, 药物代谢动力学模型 (简称药代学模型) 用于描述药物或者麻醉剂传输到全身各个部位的过程。这种模型主要关注药物的吸收、分布、代谢和排泄, 通常有 3 个或少于 3 个房室。而新陈代谢模型的房室较多, 一般有 6 个或更多。药代学模型通常是线性的, 而新陈代谢模型为了能够充分表达系统的特性, 往往是非线性的。药物在人体中不能自然生成, 因此, 很容易监测。而新陈代谢的物质是人体自然生成的, 只有使用同位素才能监测这类物质的传输过程。

假设药物的吸收发生于胃肠道 (GI tract), 经肝脏后再进入血液。药物分子很小, 它们很容易穿过毛细血管壁进入组织液; 然后, 药物经组织液传输至靶器官和其他组织。如图 7.10 所示, 药物经肾脏、GI 途径、肝脏的生物转化作用和其他部位之后, 排出体外。药物依靠扩散作用在各个房室之间传输, 每个房室的移动速度由传输速率决定。一般, 药物排出体外的速度要小于药物在血浆、体液和组织之间的移动速度。灌注较充分的组织和器官 (如甲状腺、肝脏和肾脏等) 的传输速率较大; 灌注较少的组织的传输速率就较小。如果药物排出体外的清除率远小于血浆、体液和组织的传输速率, 那么模型中的排泄部分就可以忽略不计。

将图 7.10 中的药物排泄部位去掉, 并且合并其他房室, 就可以将模型简化为图 7.8 所示的单室模型, 该系统的输入就在药物吸收部位。所有排泄速率可以合并成单个清除

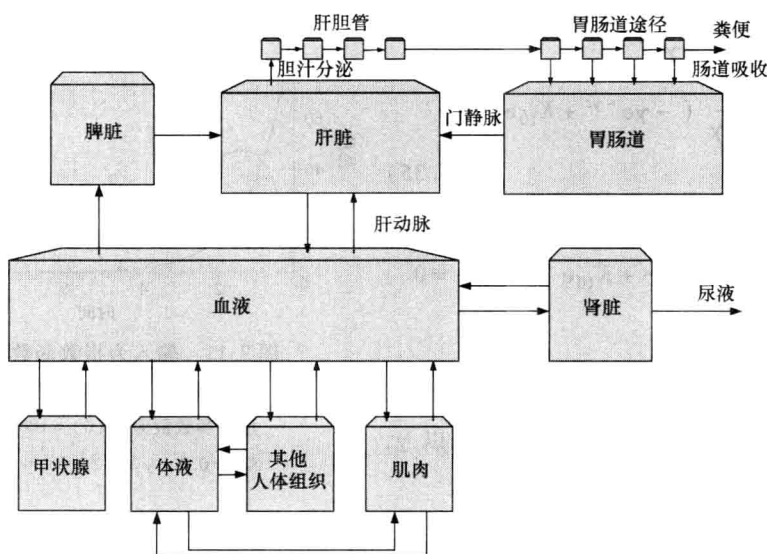


图 7.10 用于描述溶质在人体内传输的药物代谢动力学模型

率。虽然这种模型很简单，但仍然可用于判断药物的疗效和毒性、体内药物的滞留以及药物剂量是否过高或者过低等情况。

药物吸收部位的输出就是单室模型的输入，可以用指数函数表示为  $f(t) = q_2(0)e^{-\gamma t}u(t)$ 。当  $t \geq 0$  时，模型的方程为

$$\dot{q}_1 = q_2(0)e^{-\gamma t} - K_{10}q_1 \quad (7.33)$$

与前述一样，其自由解为  $q_{1_n} = B_1e^{-K_{10}t}$ ；强迫解的形式和输入相同，为  $q_{1_f} = B_2e^{-\gamma t}$ 。将  $q_{1_f}$  和  $\dot{q}_{1_f} = -\gamma B_2e^{-\gamma t}$  代入式 (7.33)，可得  $B_2 = \frac{q_2(0)}{K_{10} - \gamma}$  和  $q_{1_f} = \frac{q_2(0)}{K_{10} - \gamma}e^{-\gamma t}$ 。于是，全解为

$$q_1 = q_{1_n} + q_{1_f} = \left[ B_1e^{-K_{10}t} + \frac{q_2(0)}{K_{10} - \gamma}e^{-\gamma t} \right] u(t)$$

其中  $B_1$  由系统的初始条件决定。初始条件为 0 时，可得

$$B_1 = -\frac{q_2(0)}{K_{10} - \gamma}$$

和

$$q_1 = \frac{q_2(0)}{K_{10} - \gamma} (e^{-\gamma t} - e^{-K_{10}t}) u(t) \quad (7.34)$$

如图 7.11 所示就是输入为指数函数时药量随时间的变化曲线。

为了计算房室中药量达到最大值时的时间，将式 (7.34) 对时间  $t$  求导数，可得



$$\begin{aligned}\dot{q}_1 &= \frac{d}{dt} \left[ \frac{q_2(0)}{K_{10} - \gamma} (e^{-\gamma t} - e^{-K_{10}t}) \right] \\ &= \frac{q_2(0)}{K_{10} - \gamma} (-\gamma e^{-\gamma t} + K_{10} e^{-K_{10}t})\end{aligned}\quad (7.35)$$

令此式等于 0, 且令  $t = t_{\max}$ , 可得

$$\frac{q_2(0)}{K_{10} - \gamma} (-\gamma e^{-\gamma t_{\max}} + K_{10} e^{-K_{10}t_{\max}}) = 0$$

即

$$\gamma e^{-\gamma t_{\max}} = K_{10} e^{-K_{10}t_{\max}} \quad (7.36)$$

将此式两边同乘以  $e^{K_{10}t_{\max}}$ , 并除以  $\gamma$ , 得到

$$e^{K_{10}t_{\max}} e^{-\gamma t_{\max}} = e^{(K_{10} - \gamma)t_{\max}} = \frac{K_{10}}{\gamma} \quad (7.37)$$

再两边取对数, 就有

$$(K_{10} - \gamma)t_{\max} = \ln\left(\frac{K_{10}}{\gamma}\right)$$

于是解得  $t_{\max}$  为

$$t_{\max} = \frac{\ln\left(\frac{K_{10}}{\gamma}\right)}{K_{10} - \gamma} \quad (7.38)$$

房室中药量的最大值是

$$\begin{aligned}q_1(t_{\max}) &= \frac{q_2(0)}{K_{10} - \gamma} (e^{-\gamma t_{\max}} - e^{-K_{10}t_{\max}}) \Big|_{t_{\max} = \frac{\ln\left(\frac{K_{10}}{\gamma}\right)}{K_{10} - \gamma}} \\ &= \frac{q_2(0)}{K_{10} - \gamma} \left[ e^{-\frac{\gamma}{K_{10} - \gamma} \ln\left(\frac{K_{10}}{\gamma}\right)} - e^{-\frac{K_{10}}{K_{10} - \gamma} \ln\left(\frac{K_{10}}{\gamma}\right)} \right] \\ &= \frac{q_2(0)}{K_{10} - \gamma} \left\{ e^{\ln\left[\left(\frac{K_{10}}{\gamma}\right)^{-\frac{\gamma}{K_{10} - \gamma}}\right]} - e^{\ln\left[\left(\frac{K_{10}}{\gamma}\right)^{-\frac{K_{10}}{K_{10} - \gamma}}\right]} \right\} \\ &= \frac{q_2(0)}{K_{10} - \gamma} \left[ \left(\frac{K_{10}}{\gamma}\right)^{-\frac{\gamma}{K_{10} - \gamma}} - \left(\frac{K_{10}}{\gamma}\right)^{-\frac{K_{10}}{K_{10} - \gamma}} \right] \\ &= \frac{q_2(0)}{K_{10} - \gamma} \left[ \left(\frac{\gamma}{K_{10}}\right)^{\frac{\gamma}{K_{10} - \gamma}} - \left(\frac{\gamma}{K_{10}}\right)^{\frac{K_{10}}{K_{10} - \gamma}} \right] \\ &= \frac{q_2(0)}{K_{10} - \gamma} \left(\frac{\gamma}{K_{10}}\right)^{\frac{K_{10}}{K_{10} - \gamma}} \left[ \left(\frac{\gamma}{K_{10}}\right)^{\frac{\gamma - K_{10}}{K_{10} - \gamma}} - 1 \right] \\ &= \frac{q_2(0)}{K_{10} - \gamma} \left(\frac{\gamma}{K_{10}}\right)^{\frac{K_{10}}{K_{10} - \gamma}} \left[ \left(\frac{K_{10}}{\gamma}\right) - 1 \right]\end{aligned}$$

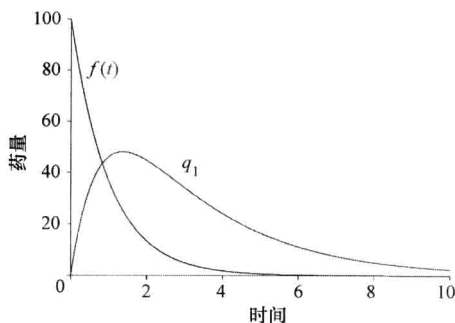


图 7.11 输入为指数函数时  
药量随时间的变化曲线

注: 参数值为  $q_2(0) = 100$ ,  
 $K_{10} = 0.4$ ,  $\gamma = 1.2$ 。

$$\begin{aligned}
 &= \frac{q_2(0)}{K_{10} - \gamma} \left( \frac{\gamma}{K_{10}} \right)^{\frac{K_{10}}{K_{10} - \gamma}} \left( \frac{K_{10} - \gamma}{\gamma} \right) \\
 &= \frac{q_2(0)}{\gamma} \left( \frac{\gamma}{K_{10}} \right)^{\frac{K_{10}}{K_{10} - \gamma}}
 \end{aligned} \quad (7.39)$$

药物的最大浓度为

$$c_1(t_{\max}) = \frac{q_2(0)}{V_1 \gamma} \left( \frac{\gamma}{K_{10}} \right)^{\frac{K_{10}}{K_{10} - \gamma}} \quad (7.40)$$

根据式 (7.38) 和式 (7.40) 可知, 输入为指数函数时, 最大药物浓度出现的时间

是  $t_{\max} = \ln \left( \frac{K_{10}}{\gamma} \right)$ , 其浓度为  $\frac{q_2(0)}{V_1 \gamma} \left( \frac{\gamma}{K_{10}} \right)^{\frac{K_{10}}{K_{10} - \gamma}}$ 。如果输入是团注, 那么, 由例 7.5 可知, 在  $t=0$  时刻药物浓度为最大, 其值为  $\frac{q_2(0)}{V_1}$ 。因此, 与指数函数的输入相比, 团注时药物在血浆中达到的浓度更高且更快。

用药时, 体内药物的含量是评价临床药效、确定用药剂量和疗程的重要依据。为了达到治疗效果, 药物在血浆中的浓度必须达到某个最小值, 这样药物才能够扩散至目标部位。但是, 最大药物浓度也是一个重要指标, 剂量过高会引起中毒。因此, 体内药物的含量必须控制在一个合适的范围内, 下一节讲述维持体内药物含量的方法。

### 7.5.4 重复剂量

为了维持体内的药物浓度, 必须定时用药才能够保持药物浓度高于最小值。为了简化, 以图 7.8 的模型和式 (7.29) 为例, 假设输入是一组幅值为  $\zeta$  的团注, 两次注射之间的时间间隔为  $T$ 。初始条件为 0, 第一次注射于  $t=0$  时刻, 则  $0 < t < T$  时有

$$q_1(t) = \zeta e^{-K_{10}t}$$

其中,  $t=0$  时, 房室中的药量达到最大值;  $t=T^-$  时为最小值;  $t=T$  时第二次注射。根据叠加原理,  $T \leq t < 2T$  时的药量为

$$q_1(t) = \zeta e^{-K_{10}t} + \zeta e^{-K_{10}(t-T)}$$

$t=T$  时有最大值  $\zeta e^{-K_{10}T} + \zeta$ ;  $t=2T^-$  时有最小值  $\zeta e^{-K_{10}2T^-} + \zeta e^{-K_{10}T^-} = \zeta e^{-K_{10}T^-} (1 + \zeta e^{-K_{10}T^-})$ 。

一般地, 对于任意一段用药间期  $(n-1)T \leq t < nT$ , 有

$$q_1(t) = \zeta e^{-K_{10}t} + \zeta e^{-K_{10}(t-T)} + \cdots + \zeta e^{-K_{10}[t-(n-2)T]} + \zeta e^{-K_{10}[t-(n-1)T]}$$

期间的药量最大值出现于  $t=(n-1)T$  时刻, 其值为

$$q_{1\max}[(n-1)T] = \zeta e^{-K_{10}(n-1)T} + \zeta e^{-K_{10}(n-2)T} + \cdots + \zeta e^{-K_{10}T} + \zeta \quad (7.41)$$

将此式写成封闭形式, 为

$$q_{1\max}[(n-1)T] = \zeta \left( \frac{1 - e^{-K_{10}nT}}{1 - e^{-K_{10}T}} \right) \quad (7.42)$$

而  $t = nT^-$  时刻的最小值为

$$q_{1\min}(nT^-) = \zeta e^{-K_{10}nT^-} + \zeta e^{-K_{10}(n-1)T^-} + \cdots + \zeta e^{-K_{10}2T^-} + \zeta e^{-K_{10}T^-} \quad (7.43)$$

此式的封闭形式为

$$q_{1\min}(nT^-) = \zeta e^{-K_{10}T^-} \left( \frac{1 - e^{-K_{10}nT^-}}{1 - e^{-K_{10}T^-}} \right) \quad (7.44)$$

当  $n \rightarrow \infty$  时, 式 (7.42) 趋于

$$q_{1\max} = \frac{\zeta}{1 - e^{-K_{10}T}} \quad (7.45)$$

而式 (7.43) 则趋于

$$q_{1\min} = \frac{\zeta e^{-K_{10}T}}{1 - e^{-K_{10}T}} \quad (7.46)$$

代入图 7.12 所示的参数值, 可得药量最大值约为

$$q_{1\max} = \frac{\zeta}{1 - e^{-K_{10}T}} = 3.86$$

最小值约为

$$q_{1\min} = \frac{\zeta e^{-K_{10}T}}{1 - e^{-K_{10}T}} = 2.86$$

将药量除以房室的体积, 可得浓度值。

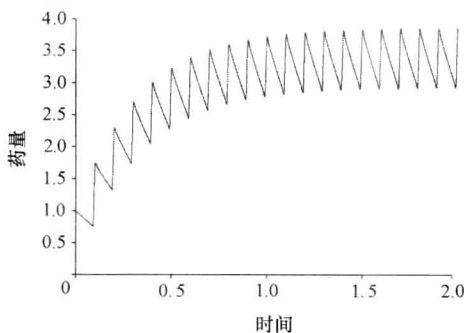


图 7.12 利用单室模型仿真的重复团注引起的药量变化曲线

注: 参数值为  $\zeta = 1$ ,  $K_{10} = 3$ ,  $T = 0.1$ 。

### 例 7.6

将 3g 抗生素团注至血浆体积为 3L 的人体中, 此药物的平均冲激响应如图 7.13 所示。假设为单室模型, 请计算其传输速率。如果要维持稳态时的药物浓度不低于初始剂量的 30%, 那么, 需要每隔多少时间注射一次药物?

解:

为了计算传输率  $K_{10}$ , 需要利用图 7.13 所示的曲线求得半衰期, 约为  $t_{1/2} = 1.4$ 。代入式 (7.30),  $t_{1/2} = 1.4 = \ln(2)/K_{10}$ , 可得  $K_{10}$  为

$$K_{10} = \frac{\ln(2)}{1.4} \approx 0.5$$

在第一次用药间期有  $c_1 = \frac{q_1(0)e^{-\frac{t}{2}}}{V_1} = e^{-\frac{t}{2}}$ , 并且设  $c_{1\min}$  等于初始值的 30%, 即  $c_{1\min} = 0.3$ 。稳态时, 由式 (7.46) 可得药物浓度的最小值为

$$c_{1\min} = 0.3 = \frac{\zeta e^{-K_{10}T}}{V_1(1 - e^{-K_{10}T})} = \frac{e^{-\frac{T}{2}}}{(1 - e^{-\frac{T}{2}})}$$

求解此式, 可得  $T \approx 3\text{h}$ 。因此, 如图 7.14 所示, 每隔 3h 就需要注射一次抗生素。 ■

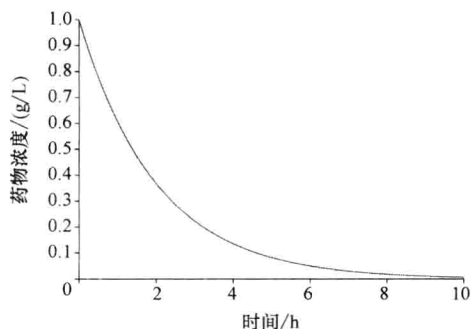


图 7.13 例 7.6 中将 3g 药物团注至 3L 血浆房室后得到的药物浓度变化曲线

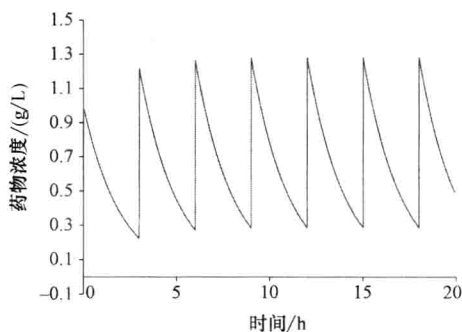


图 7.14 每隔 3h 重复注射抗生素所产生的药物浓度变化曲线

## 7.6 双室模型

图 7.15 所示是通用型双室模型, 此处我们假设所有传速率  $K_{ij}$  都为常数, 且  $K_{ij} \geq 0$ 。

下面首先介绍双室模型的通用形式, 然后再考察某些传输速率或者输入为 0 时的特殊情况。分析图 7.15 所示系统时, 要根据质量守恒定律写出每个房室的微分方程, 用于描述房室中溶质含量的变化率。质量守恒定律的形式为: 累积量 = 输入量 - 输出量。其中两个房室的各个参量分别如下:

房室 1

累积量 =  $\dot{q}_1$

输入量 =  $f_1(t) + K_{21}q_2$

输出量 =  $(K_{10} + K_{12})q_1$

房室 2

累积量 =  $\dot{q}_2$

输入量 =  $f_2(t) + K_{12}q_1$

输出量 =  $(K_{20} + K_{21})q_2$

于是

$$\begin{aligned} \dot{q}_1 &= f_1(t) + K_{21}q_2 - (K_{10} + K_{12})q_1 \\ \dot{q}_2 &= f_2(t) + K_{12}q_1 - (K_{20} + K_{21})q_2 \end{aligned} \quad (7.47)$$

求解式 (7.47) 的最简单方法是利用 D 算子或者其等价算法——拉普拉斯变换。

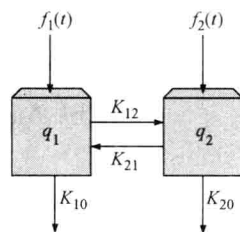


图 7.15 通用型双室模型  
注: 房室 1 和房室 2 的体积分别为  $V_1$  和  $V_2$ 。

此微分方程组的矩阵表示为

$$DIQ = AQ + F \quad (7.48)$$

其中

$$Q = \begin{bmatrix} q_1 \\ q_2 \end{bmatrix}, A = \begin{bmatrix} -(K_{10} + K_{12}) & K_{21} \\ K_{12} & -(K_{20} + K_{21}) \end{bmatrix}, F = \begin{bmatrix} f_1(t) \\ f_2(t) \end{bmatrix}$$

求解式 (7.48) 可得

$$Q = (DI - A)^{-1} F = \frac{1}{\det(DI - A)} \text{adj}(DI - A) F$$

即

$$\det^{\ominus}(DI - A) Q = \text{adj}^{\ominus}(DI - A) F \quad (7.49)$$

利用 MATLAB 编程求解如下:

```
> > syms D q1 q2 K10 K20 K12 K21
> > A = [ -(K10 + K12) K21; K12 - (K20 + K21) ]
> > det(D * eye(2) - A)
ans =
D^2 + D * K20 + D * K21 + K10 * D + K10 * K20 + K10 * K21 + K12 * D + K12 * K20
> > adj = det(D * eye(2) - A) * inv(D * eye(2) - A)
adj =
[ D + K20 + K21, K21 ]
[ K12, D + K10 + K12 ]
```

将求得的变量值代入式 (7.49) 可得

$$\begin{aligned} & [D^2 + D(K_{10} + K_{12} + K_{20} + K_{21}) + (K_{10}K_{20} + K_{10}K_{21} + K_{12}K_{20})] Q \\ & = \begin{bmatrix} D + (K_{20} + K_{21}) & K_{21} \\ K_{12} & D + (K_{10} + K_{12}) \end{bmatrix} F \end{aligned} \quad (7.50)$$

再返回到时域, 可得如下独立的微分方程:

$$\begin{aligned} \ddot{q}_1 + (K_{10} + K_{12} + K_{20} + K_{21}) \dot{q}_1 + (K_{10}K_{20} + K_{10}K_{21} + K_{12}K_{20}) q_1 \\ = \frac{df_1(t)}{dt} + (K_{20} + K_{21}) f_1(t) + K_{21} f_2(t) \\ \ddot{q}_2 + (K_{10} + K_{12} + K_{20} + K_{21}) \dot{q}_2 + (K_{10}K_{20} + K_{10}K_{21} + K_{12}K_{20}) q_2 \\ = K_{12} f_1(t) + \frac{df_2(t)}{dt} + (K_{10} + K_{12}) f_2(t) \end{aligned} \quad (7.51)$$

注意, 变量  $q_1$  和  $q_2$  的特征方程相同, 都为  $\det(DI - A)$ , 而且两个变量的自由解的形式也相同。不过, 要注意,  $q_1$  和  $q_2$  的自由解的系数不同, 它们取决于房室的输入和初始条件。

⊖  $\det$  表示矩阵的行列式。

⊖  $\text{adj}$  表示矩阵的伴随矩阵。

利用如下 MATLAB 指令可以求解特征方程的根:

```
>> eig(A)
```

```
ans =
```

```
-1/2 * K10 - 1/2 * K12 - 1/2 * K20 - 1/2 * K21 + 1/2 * (K10^2 + 2 * K10 * K12 -  
2 * K10 * K20 - 2 * K10 * K21 + K12^2 - 2 * K12 * K20 + 2 * K21 * K12 + K20^2 +  
2 * K20 * K21 + K21^2)^(1/2)
```

```
-1/2 * K10 - 1/2 * K12 - 1/2 * K20 - 1/2 * K21 - 1/2 * (K10^2 + 2 * K10 * K12 -  
2 * K10 * K20 - 2 * K10 * K21 + K12^2 - 2 * K12 * K20 + 2 * K21 * K12 + K20^2 +  
2 * K20 * K21 + K21^2)^(1/2)
```

简化之后的表达式就是

$$s_{1,2} = -\frac{(K_{10} + K_{12} + K_{20} + K_{21})}{2} \pm \frac{1}{2} \sqrt{(K_{20} + K_{21} - K_{10} - K_{12})^2 + 4K_{21}K_{12}} \quad (7.52)$$

由此式可知, 如果所有传输速率  $K_{ij} \geq 0$ ; 那么, 就不可能有正的实根, 也没有虚根。如果  $(K_{20} + K_{21} - K_{10} - K_{12})^2 + 4K_{21}K_{12} = 0$ ; 那么, 可得两个相同的重根  $s_{1,2} = -\frac{(K_{10} + K_{12} + K_{20} + K_{21})}{2}$ 。要产生重根, 必须有  $(K_{20} + K_{21}) = (K_{10} + K_{12})$ , 而且  $K_{21}$  与  $K_{12}$  中必须有一个为 0。如果  $K_{21}$  和  $K_{12}$  都为 0, 那么, 两个房室之间就没有溶质流动。

如例题 7.7 中, 我们将利用房室模型来回顾 7.3.2 节所述的 Fick 扩散定律的问题, 计算溶质的浓度。不同之处在于此例的传输速率是房室体积的函数, 也就是,  $K_{12} = \frac{K}{V_1}$ ,  $K_{21} = \frac{K}{V_2}$ , 其中  $K = \frac{DA}{\Delta x}$ 。此例题所示的系统被称为封闭房室, 因为系统对环境没有输出。

### 例 7.7

某个双室模型如图 7.16 所示, 其中  $q_1(0) = \zeta$  且  $q_2(0) = 0$ 。试求解每个房室中溶质的浓度。

解:

两个房室的质量守恒方程如下:

$$\dot{q}_1 = K_{21}q_2 - K_{12}q_1$$

$$\dot{q}_2 = K_{12}q_1 - K_{21}q_2$$

利用 D 算子的方法, 可得

$$\dot{q}_1 + (K_{12} + K_{21})\dot{q}_1 = 0$$

$$\dot{q}_2 + (K_{12} + K_{21})\dot{q}_2 = 0$$

特征方程的根为  $s_1 = 0$  和  $s_2 = -(K_{12} + K_{21})$ , 于是

$$q_1(t) = B_1 + B_2 e^{-(K_{12} + K_{21})t}$$

$$q_2(t) = B_3 + B_4 e^{-(K_{12} + K_{21})t}$$

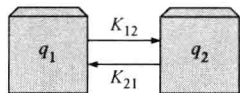


图 7.16 例 7.7 双室模型的示意图

下面利用初始条件求解  $B_i$ , 即

$$q_1(0) = \zeta = B_1 + B_2 e^{-(K_{12} + K_{21})t} \Big|_{t=0} = B_1 + B_2$$

求  $\dot{q}_1(0)$ , 在  $t=0$  时刻对于  $\dot{q}_1$  应用质量守恒定律, 有

$$\dot{q}_1(0) = K_{21}q_2(0) - K_{12}q_1(0) = -K_{12}\zeta$$

从  $q_1(t)$  的解可得

$$\dot{q}_1 = \frac{d[B_1 + B_2 e^{-(K_{12} + K_{21})t}]}{dt} = -(K_{12} + K_{21})B_2 e^{-(K_{12} + K_{21})t}$$

$$\dot{q}_1(0) = -K_{12}\zeta = -(K_{12} + K_{21})B_2$$

为了求  $B_1$  和  $B_2$ , 计算如下

$$\begin{bmatrix} 1 & 1 \\ 0 & -(K_{12} + K_{21}) \end{bmatrix} \begin{bmatrix} B_1 \\ B_2 \end{bmatrix} = \begin{bmatrix} \zeta \\ -K_{12}\zeta \end{bmatrix}$$

可得

$$\begin{bmatrix} B_1 \\ B_2 \end{bmatrix} = \begin{bmatrix} \frac{\zeta K_{21}}{(K_{12} + K_{21})} \\ \frac{\zeta K_{12}}{(K_{12} + K_{21})} \end{bmatrix}$$

于是

$$q_1(t) = \frac{\zeta}{(K_{12} + K_{21})} [K_{12} + K_{12} e^{-(K_{12} + K_{21})t}] u(t)$$

其浓度为

$$c_1(t) = \frac{\zeta}{V_1(K_{12} + K_{21})} [K_{12} + K_{12} e^{-(K_{12} + K_{21})t}] u(t)$$

对  $q_2$  重复以上同样的步骤, 可得

$$q_2(t) = \frac{K_{12}\zeta}{(K_{12} + K_{21})} [1 - e^{-(K_{12} + K_{21})t}] u(t)$$

和

$$c_2(t) = \frac{K_{12}\zeta}{V_2(K_{12} + K_{21})} [1 - e^{-(K_{12} + K_{21})t}] u(t)$$

或者利用  $q_2 = \zeta - q_1$  也可以得到同样的结果。

更直接的求解方法是: 将  $q_2 = \zeta - q_1$  代入  $\dot{q}_1 = K_{21}q_2 - K_{12}q_1$  中, 求解  $\dot{q}_1 = K_{21}(\zeta - q_1) - K_{12}q_1 = K_{21}\zeta - (K_{12} + K_{21})q_1$ 。

如果  $K_{12} = \frac{K}{V_1}$ ,  $K_{21} = \frac{K}{V_2}$ , 且  $V_1 = V_2 = V$ , 那么, 以上计算结果与 7.3.2 节中利用 Fick 扩散定律计算的结果相同, 即

$$c_1 = \frac{\zeta}{2} (e^{\frac{-Kt}{V}} + 1) u(t)$$

和

$$c_2 = \frac{\xi}{2} \left( 1 - e^{-\frac{-K_1}{V}} \right) u(t)$$

双室模型的半衰期有两项, 它们由特征方程的两个根决定。由数值较小的根决定的半衰期被称为清除半衰期, 而数值较大的根决定的半衰期则被称为分布半衰期。

### 7.6.1 源房室

如果某个房室只有向其他房室的输出, 而没有从任何其他房室获得输入, 那么, 它就被称为源房室。注意, 源房室有输入  $f(t)$ 。这种房室其实就是单室模型, 它可以与系统中的其他房室分开, 独立求解。正如 7.5 节所述, 源房室的输出是一个指数衰减函数。虽然在许多情况下, 源房室并不向环境释放溶质, 但是, 如果有释放也完全可以。

对于图 7.15 所示的双室模型, 如果  $K_{12}$  与  $K_{21}$  中有一个为 0, 那么, 模型中就存在源房室。如果此双室模型的特征方程具有两个相同的重根, 那么, 其中必有一个房室是源房室, 而且  $(K_{20} + K_{21})$  必须等于  $(K_{10} + K_{12})$ 。

以下例题 7.8 将消化系统作为源房室。有了这个房室, 溶质不再是即刻进入血浆, 而是以团注的方式进入消化系统, 然后再从消化系统逐渐释放到血浆中。

#### 例 7.8

双室模型如图 7.17 所示, 溶质以团注方式进入消化系统, 并经过新陈代谢和尿液排出体外。试求解血浆中溶质的浓度。

解:

该模型含有一个源房室。本例不将团注作为输入来求解, 而是将输入设为 0, 将初始条件变为  $q_2(0)$ 。于是, 两个房室的质量守恒方程为

$$\dot{q}_1 = K_{21}q_2 - (K_{1M} + K_{1U})q_1 \quad (7.53)$$

$$\dot{q}_2 = -K_{21}q_2 \quad (7.54)$$

其中式 (7.54) 仅含一个变量  $q_2$ , 很容易求得解  $q_2 = q_2(0)e^{-K_{21}t}u(t)$ 。再将  $q_2$  的解代入式 (7.53), 可得方程

$$\dot{q}_1 = q_2(0)K_{21}e^{-K_{21}t} - (K_{1M} + K_{1U})q_1$$

重排此方程, 得

$$\dot{q}_1 + (K_{1M} + K_{1U})q_1 = q_2(0)K_{21}e^{-K_{21}t} \quad (7.55)$$

它是一阶常微分方程, 其强迫函数为  $q_2(0)K_{21}e^{-K_{21}t}$ 。因此, 自由解为  $q_{1n} = B_1e^{-(K_{1M} + K_{1U})t}$ , 强迫解为  $q_{1f} = B_2e^{-K_{21}t}$ 。为了求  $B_2$ , 将强迫解代入式 (7.55), 可得

$$-K_{21}B_2e^{-K_{21}t} + (K_{1M} + K_{1U})B_2e^{-K_{21}t} = q_2(0)K_{21}e^{-K_{21}t}$$

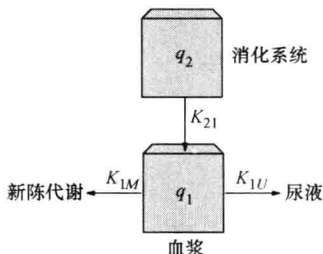


图 7.17 一种双室模型

注: 此模型描述了物质经过消化系统再由血浆通过新陈代谢和尿液排出体外的过程。通常物质经过消化系统需要 30min。



求得  $B_2$  为

$$B_2 = \frac{q_2(0)K_{21}}{K_{1M} + K_{1U} - K_{21}}$$

于是得到全解

$$\begin{aligned} q_1 &= q_{1n} + q_{1f} = B_1 e^{-(K_{1M} + K_{1U})t} + B_2 e^{-K_{21}t} \\ &= B_1 e^{-(K_{1M} + K_{1U})t} + \frac{q_2(0)K_{21}}{K_{1M} + K_{1U} - K_{21}} e^{-K_{21}t} \end{aligned} \quad (7.56)$$

利用初始条件  $q_1(0) = 0$  求  $B_1$  如下:

$$q_1(0) = 0 = \left[ B_1 e^{-(K_{1M} + K_{1U})t} + \frac{q_2(0)K_{21}}{K_{1M} + K_{1U} - K_{21}} e^{-K_{21}t} \right]_{t=0} = B_1 + \frac{q_2(0)K_{21}}{K_{1M} + K_{1U} - K_{21}}$$

可得

$$B_1 = -\frac{q_2(0)K_{21}}{K_{1M} + K_{1U} - K_{21}}$$

并且

$$q_1 = \frac{q_2(0)K_{21}}{K_{1M} + K_{1U} - K_{21}} \left[ e^{-K_{21}t} - e^{-(K_{1M} + K_{1U})t} \right] u(t) \quad (7.57)$$

变换成浓度, 有

$$c_1 = \frac{1}{V_1} \frac{q_2(0)K_{21}}{(K_{1M} + K_{1U} - K_{21})} \left[ e^{-K_{21}t} - e^{-(K_{1M} + K_{1U})t} \right] u(t) \quad (7.58) \blacksquare$$

为了计算以上例 7.8 中房室 1 达到最大溶质浓度的时间, 将式 (7.57) 对  $t$  求导数, 并使其等于 0。求解如下:

$$\begin{aligned} \dot{q}_1 &= \frac{d}{dt} \left\{ \frac{q_2(0)K_{21}}{K_{1M} + K_{1U} - K_{21}} \left[ e^{-K_{21}t} - e^{-(K_{1M} + K_{1U})t} \right] \right\} \\ &= \frac{q_2(0)K_{21}}{K_{1M} + K_{1U} - K_{21}} \left[ -K_{21}e^{-K_{21}t} + (K_{1M} + K_{1U})e^{-(K_{1M} + K_{1U})t} \right] \end{aligned} \quad (7.59)$$

令此式等于 0, 且  $t = t_{\max}$ , 可得

$$\frac{q_2(0)K_{21}}{K_{1M} + K_{1U} - K_{21}} \left[ -K_{21}e^{-K_{21}t_{\max}} + (K_{1M} + K_{1U})e^{-(K_{1M} + K_{1U})t_{\max}} \right] = 0$$

也就是

$$K_{21}e^{-K_{21}t_{\max}} = (K_{1M} + K_{1U})e^{-(K_{1M} + K_{1U})t_{\max}}$$

上式两边同乘以  $e^{(K_{1M} + K_{1U})t_{\max}}$ , 再除以  $K_{21}$ , 可得

$$e^{(K_{1M} + K_{1U})t_{\max}} e^{-K_{21}t_{\max}} = e^{(K_{1M} + K_{1U} - K_{21})t_{\max}} = \frac{K_{1M} + K_{1U}}{K_{21}}$$

两边同取自然对数, 得

$$(K_{1M} + K_{1U} - K_{21})t_{\max} = \ln \left( \frac{K_{1M} + K_{1U}}{K_{21}} \right)$$

于是求得  $t_{\max}$  为

$$t_{\max} = \frac{\ln\left(\frac{K_{1M} + K_{1U}}{K_{21}}\right)}{(K_{1M} + K_{1U} - K_{21})} \quad (7.60)$$

由此可见,  $(K_{1M} + K_{1U})$  比  $K_{21}$  小得越多, 血浆房室中溶质达到最大浓度 (或者最大含量) 所需的时间就越长。

### 例 7.9

应用图 7.17 所示房室模型, 假设消化吸收的溶质为 50g, 请计算血浆中能够达到的溶质最大值。其中  $(K_{1M} + K_{1U}) = 0.005 \text{ min}^{-1}$ ,  $K_{21} = 0.02 \text{ min}^{-1}$ 。

解:

由式 (7.60) 可得

$$t_{\max} = \frac{\ln\left(\frac{K_{1M} + K_{1U}}{K_{21}}\right)}{(K_{1M} + K_{1U} - K_{21})} = \frac{\ln\left(\frac{0.005}{0.02}\right)}{0.005 - 0.02} = \frac{\ln(0.25)}{-0.015} = 92.42 \text{ min}$$

于是,  $t_{\max}$  时刻房室 1 中溶质的最大含量为

$$\begin{aligned} q_1(t_{\max}) &= \frac{q_2(0)K_{21}}{K_{1M} + K_{1U} - K_{21}} \left[ e^{-K_{21}t} - e^{-(K_{1M} + K_{1U})t} \right] \Big|_{t=92.42} \\ &= \frac{50 \times 0.02}{0.005 - 0.02} (e^{-0.02 \times 92.42} - e^{-0.005 \times 92.42}) = 31.5 \text{ g} \end{aligned}$$

以下例题 7.10 以胶囊药剂作为输入, 它即刻释放的药量仅有一部分, 剩余的药量则持续释放, 直至药丸完全溶解为止。数学上, 这种输入可以表示为  $\zeta\delta(t) + (1 - \zeta)[u(t) - u(t - t_0)]$ 。为了通过实验来估计胃部的传输速率以及即刻释放药量所占的比例, 可将药物溶解于类似胃液的溶液中, 并测量其浓度。根据获得的实验数据就可以确定模型所需参数的数值。

### 例 7.10

假设图 7.15 所示双室模型中  $K_{12} = K_{20} = 0$ ,  $K_{21} = K_{10} = 0.2$ ,  $f_1(t) = 0$ ,  $f_2(t) = 20\delta(t) + 80[u(t) - u(t - 30)]$ ; 并设初始条件为 0 (不包括输入中  $20\delta(t)$  所引起的变化)。试求解两个房室的溶质含量。

解:

由  $K_{12} = 0$  可知, 该模型含有一个源房室。下面应用叠加原理来求解, 将输入  $f_2(t)$  分解为  $20\delta(t)$ 、 $80u(t)$  和  $80u(t - 30)$ , 求它们各自的响应之后, 再求和即可得到全响应。

两个房室的质量守恒方程为

$$\dot{q}_1 = 0.2q_2 - 0.2q_1 \quad (7.61)$$

$$\dot{q}_2 = f_2 - 0.2q_2 \quad (7.62)$$

解题步骤如下:

(1) 求输入  $20\delta(t)$  的响应

与例 7.8 一样, 将冲激函数的输入作为初始条件的变化, 即可得  $q_{2\delta} = 20e^{-0.2t}u(t)$ 。将其代入式 (7.61), 可得

$$\dot{q}_{1\delta} = 4e^{-0.2t} - 0.2q_{1\delta} \quad (7.63)$$

此式的特征根为  $s = 0.2$ , 自由解为  $q_{1_n} = B_1 e^{-0.2t}$ 。由于  $(K_{20} + K_{21}) = (K_{10} + K_{12})$  且  $K_{12} = 0$ , 因此, 可以推测式 (7.63) 的输入项的形式与自由解相同; 于是, 其强迫响应为  $q_{1_f} = B_2 t e^{-0.2t}$ 。将此  $q_{1_f}$  代入式 (7.63), 可得  $B_2 = 4$ 。全响应即为

$$q_{1\delta} = q_{1_n} + q_{1_f} = B_1 e^{-0.2t} + 4te^{-0.2t} \quad (7.64)$$

利用初始条件  $q_1(0) = 0$  求  $B_1$  如下

$$q_{1\delta}(0) = 0 = [B_1 e^{-0.2t} + 4te^{-0.2t}]_{t=0} = B_1$$

于是

$$q_{1\delta} = 4te^{-0.2t}u(t) \quad (7.65)$$

(2) 求输入  $80u(t)$  的响应

两个房室的质量守恒方程为

$$\dot{q}_{1_u} = 0.2q_{2_u} - 0.2q_{1_u} \quad (7.66)$$

$$\dot{q}_{2_u} = 80 - 0.2q_{2_u} \quad (7.67)$$

求解式 (7.67) 可得  $q_{2_u} = 400(1 - e^{-0.2t})$ 。将其代入式 (7.66) 得

$$\dot{q}_{1_u} = 80(1 - e^{-0.2t}) - 0.2q_{1_u} \quad (7.68)$$

此式的特征根为  $s = -0.2$ , 其自由解为  $q_{1_n} = B_1 e^{-0.2t}$ 。式 (7.66) 的输入项与自由解相同, 因此, 其强迫响应为  $q_{1_f} = B_3 + B_2 t e^{-0.2t}$ , 将其代入式 (7.68), 解得  $B_2 = -80$ ,  $B_3 = 400$ 。全解为

$$q_{1_u} = q_{1_n} + q_{1_f} = B_1 e^{-0.2t} + 400 - 80te^{-0.2t} \quad (7.69)$$

利用初始条件  $q_1(0) = 0$  求  $B_1$  如下

$$q_{1_u}(0) = 0 = [B_1 e^{-0.2t} + 400 - 80te^{-0.2t}]_{t=0} = B_1 + 400$$

得  $B_1 = -400$ 。于是有

$$q_{1_u} = (400 - 400e^{-0.2t} - 80te^{-0.2t})u(t) \quad (7.70)$$

(3) 求输入  $-80u(t-30)$  的响应

根据线性系统的性质可得

$$q_{1_{u-30}} = -[400 - 400e^{-0.2(t-30)} - 80(t-30)e^{-0.2(t-30)}]u(t-30)$$

$$q_{2_{u-30}} = -400[1 - e^{-0.2(t-30)}]u(t-30)$$

(4) 求全解

模型的全响应为

$$\begin{aligned}
 q_1 &= q_{1s} + q_{1u} + q_{1u-30} = 4te^{-0.2t}u(t) + (400 - 400e^{-0.2t} - 80te^{-0.2t})u(t) \\
 &\quad - [400 - 400e^{-0.2(t-30)} - 80(t-30)e^{-0.2(t-30)}]u(t-30) \\
 q_2 &= q_{2s} + q_{2u} + q_{2u-30} = 20e^{-0.2t}u(t) + 400(1 - e^{-0.2t})u(t) \\
 &\quad - 400[1 - e^{-0.2(t-30)}]u(t-30)
 \end{aligned}$$

它们的曲线如图 7.18 所示。 ■

麻醉剂的注入情况与例 7.10 所示的输入相似, 也就是, 一次团注再加上持续注射。因为团注可以将体内麻醉剂的含量快速提升到所需水平, 而后的阶跃函数式的持续输入就可以在手术过程中保持麻醉水平。

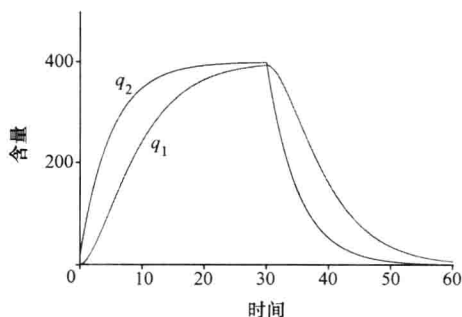


图 7.18 例 7.10 的溶质含量变化曲线

穴房室只有输入没有输出。与源房室相似, 穴房室的作用就像积分器, 其特征根为 0。而且, 在双室模型中, 另一个房室的求解与穴房室无关。一旦求得该房室的解之后, 就可以用于求解穴房室。在图 7.15 所示模型中, 如果  $K_{12}$  和  $K_{10}$  都为 0, 或者  $K_{21}$  和  $K_{20}$  都为 0, 那么, 就存在穴房室。

#### 例 7.11

假设图 7.15 所示双室模型中  $K_{12} = K_{10} = 0$ ,  $K_{21} = 0.2$ ,  $K_{20} = 1$ ,  $f_1(t) = 0$ ,  $f_2(t) = 10\delta(t)$ ; 并设初始条件都为 0。试求解两个房室中的溶质含量。

解:

因  $K_{21} = 0.2$ ,  $K_{12} = 0$ , 此模型中的房室 1 为穴房室。与前述方法一样, 将团注输入作为初始条件的变化, 也就是房室 2 的初始条件为  $q_2(0) = 10$ , 而将输入设为 0。两个房室的质量守恒方程为

$$\dot{q}_1 = K_{21}q_2 = 0.2q_2 \quad (7.71)$$

$$\dot{q}_2 = -(K_{21} + K_{20})q_2 = -1.2q_2 \quad (7.72)$$

式 (7.72) 仅含有变量  $q_2$ , 可直接求解, 得  $q_2 = 10e^{-1.2t}u(t)$ 。然后, 将此  $q_2$  代入式 (7.71), 求得

$$\dot{q}_1 = 0.2q_2 = 2e^{-1.2t} \quad (7.73)$$

此式只有单个特征根  $s = 0$ , 其自由响应为  $q_{1n} = B_1$ 。强迫响应是  $q_{1f} = B_2e^{-1.2t}$ , 将其代入式 (7.71) 可得  $B_2 = -1.67$ 。于是, 全响应为

$$q_1 = q_{1n} + q_{1f} = B_1 - 1.667e^{-1.2t} \quad (7.74)$$

利用  $q_1(0) = 0$ , 由式 (7.74) 可得  $B_1 = 1.667$ , 全响应为

$$q_1 = 1.667(1 - e^{-1.2t})u(t)$$

该结果表明, 超过 80% 的溶质从系统流入环境中。如果  $K_{20} = 0$ , 可得  $q_2 = 10e^{-0.2t}u(t)$

和  $q_1 = 10(1 - e^{-0.2t})u(t)$ 。不出所料, 所有溶质都以指数衰减的方式从房室 2 传输至房室 1。

### 例 7.12

图 7.19 所示是描述人体内肌酐分布的双室模型, 其中房室 1 代表血浆, 房室 2 代表肌肉。肌酐是肌肉新陈代谢所产生的废物, 通过尿液排出体外 (传输速率设为  $K_{10}$ )。假设肌肉产生的肌酐为  $f_2(t)$ , 用阶跃输入函数来表示。试求解血浆中的肌酐浓度。

解:

根据质量守恒定律, 描述房室 1 和房室 2 中肌酐变化速率的微分方程为

$$\dot{q}_1 = K_{21}q_2 - (K_{10} + K_{12})q_1 \quad (7.75)$$

$$\dot{q}_2 = K_{12}q_1 - K_{21}q_2 + f_2 = K_{12}q_1 - K_{21}q_2 + 1 \quad (7.76)$$

利用 D 算子消去变量  $q_2$ , 可得

$$\ddot{q}_1 + (K_{10} + K_{12} + K_{21})\dot{q}_1 + K_{10}K_{21}q_1 = K_{21} \quad (7.77)$$

其特征方程的根为

$$s_{1,2} = -\frac{(K_{10} + K_{12} + K_{21})}{2} \pm \frac{1}{2}\sqrt{(K_{21} - K_{10} - K_{12})^2 - 4K_{21}K_{10}}$$

其自由响应是如下过阻尼响应:

$$q_{1n} = B_1 e^{s_1 t} + B_2 e^{s_2 t}$$

强迫响应为常数  $B_3$ , 代入微分方程可求得  $B_3 = 1/K_{10}$ 。于是,  $t \geq 0$  时的全响应为

$$q_1 = B_1 e^{s_1 t} + B_2 e^{s_2 t} + \frac{1}{K_{10}}$$

和

$$c_1 = \frac{1}{V_1} \left( B_1 e^{s_1 t} + B_2 e^{s_2 t} + \frac{1}{K_{10}} \right)$$

利用初始条件可求得常数  $B_1$  和  $B_2$ 。

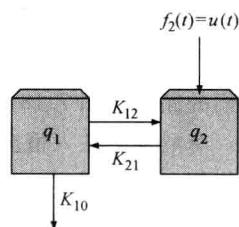


图 7.19 例 7.12 房室模型的示意图

## 7.7 三室模型

图 7.20 所示是三室模型的通用形式。与前面双室模型的安排一样, 下面我们先介绍三室模型的通用形式, 然后再考察几种特殊情况。分析模型系统时, 还是利用质量守恒定律写出每个房室的微分方程, 用于描述房室中溶质的变化速率, 即累积量 = 输入量 - 输出量。

其中三个房室的各个参量分别如下

房室 1

累积量 =  $q_1$

输入量 =  $f_1(t) + K_{21}q_2 + K_{31}q_3$

输出量 =  $(K_{10} + K_{12} + K_{13})q_1$

房室 2

累积量 =  $q_2$

输入量 =  $f_2(t) + K_{12}q_1 + K_{32}q_3$

输出量 =  $(K_{20} + K_{21} + K_{23})q_2$

房室 3

累积量 =  $q_3$

输入量 =  $f_3(t) + K_{13}q_1 + K_{23}q_2$

输出量 =  $(K_{30} + K_{31} + K_{32})q_3$

于是, 微分方程为

$$\begin{aligned}\dot{q}_1 &= f_1(t) + K_{21}q_2 + K_{31}q_3 - (K_{10} + K_{12} + K_{13})q_1 \\ \dot{q}_2 &= f_2(t) + K_{12}q_1 + K_{32}q_3 - (K_{20} + K_{21} + K_{23})q_2 \\ \dot{q}_3 &= f_3(t) + K_{13}q_1 + K_{23}q_2 - (K_{30} + K_{31} + K_{32})q_3\end{aligned}\quad (7.78)$$

下面利用 D 算子简化此方程组。将式 (7.78) 写成矩阵形式

$$DIQ = AQ + F \quad (7.79)$$

其中

$$Q = \begin{bmatrix} q_1 \\ q_2 \\ q_3 \end{bmatrix}, A = \begin{bmatrix} -(K_{10} + K_{12} + K_{13}) & K_{21} & K_{31} \\ K_{12} & -(K_{20} + K_{21} + K_{23}) & K_{32} \\ K_{13} & K_{23} & -(K_{30} + K_{31} + K_{32}) \end{bmatrix}, F = \begin{bmatrix} f_1(t) \\ f_2(t) \\ f_3(t) \end{bmatrix}$$

为了便于阅读求解结果, 将矩阵 A 写为

$$A = \begin{bmatrix} a_{11} & a_{12} & a_{13} \\ a_{21} & a_{22} & a_{23} \\ a_{31} & a_{32} & a_{33} \end{bmatrix}$$

求解式 (7.79) 可得

$$Q = (DI - A)^{-1}F = \frac{1}{\det(DI - A)} \text{adj}(DI - A)F \quad (7.80)$$

也就是

$$\det(DI - A)Q = \text{adj}(DI - A)F$$

利用 MATLAB 求解如下:

```
>> syms D q1 q2 q3 a11 a12 a13 a21 a22 a23 a31 a32 a33
```

```
>> A = [a11 a12 a13; a21 a22 a23; a31 a32 a33];
```

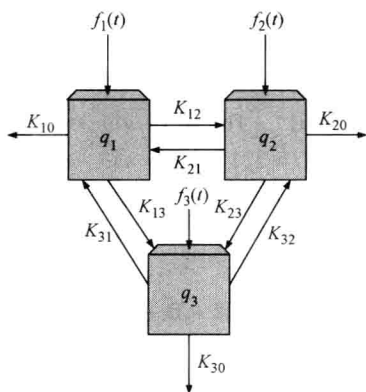


图 7.20 普通三室模型

注: 房室 1、房室 2 和房室 3 的体积分别为  $V_1$ 、 $V_2$  和  $V_3$ 。

$$> \det(D * \text{eye}(3) - A)$$

ans =

$$\begin{aligned} & D^3 - D^2 * a_{33} - a_{22} * D^2 + D * a_{22} * a_{33} - D * a_{23} * a_{32} - \\ & a_{11} * D^2 + a_{11} * D * a_{33} + a_{11} * a_{22} * D - a_{11} * a_{22} * a_{33} + a_{11} * a_{23} * a_{32} - \\ & a_{21} * a_{12} * D + a_{21} * a_{12} * a_{33} - a_{21} * a_{13} * a_{32} - a_{31} * a_{12} * a_{23} - \\ & a_{31} * a_{13} * D + a_{31} * a_{13} * a_{22} \end{aligned}$$

$$> \text{adj} = \det(D * \text{eye}(3) - A) * \text{inv}(D * \text{eye}(3) - A)$$

adj =

$$\begin{aligned} & [D^2 - D * a_{33} - a_{22} * D + a_{22} * a_{33} - a_{23} * a_{32}, a_{12} * D - a_{12} * a_{33} + a_{13} * a_{32}, \\ & a_{12} * a_{23} + a_{13} * D - a_{13} * a_{22}] \\ & [a_{21} * D - a_{21} * a_{33} + a_{23} * a_{31}, D^2 - D * a_{33} - a_{11} * D + a_{11} * a_{33} - a_{13} * a_{31}, \\ & a_{23} * D - a_{23} * a_{11} + a_{13} * a_{21}] \\ & [a_{21} * a_{32} + a_{31} * D - a_{31} * a_{22}, a_{32} * D - a_{32} * a_{11} + a_{12} * a_{31}, D^2 - a_{22} * D - \\ & a_{11} * D + a_{11} * a_{22} - a_{12} * a_{21}] \end{aligned}$$

将求得的值代入式 (7.80) 可得

$$\begin{aligned} & \left( D^3 - (a_{11} + a_{22} + a_{33})D^2 + (a_{11}a_{22} + a_{22}a_{33} + a_{33}a_{11} - a_{12}a_{21} - a_{13}a_{31} - a_{23}a_{32})D \right. \\ & \left. - a_{11}a_{22}a_{33} + a_{11}a_{23}a_{32} + a_{22}a_{13}a_{31} + a_{33}a_{12}a_{21} - a_{12}a_{23}a_{31} - a_{13}a_{32}a_{21} \right) Q = \\ & \begin{bmatrix} D^2 - (a_{33} + a_{22})D + a_{22}a_{33} - a_{23}a_{32} & a_{12}D - a_{12}a_{33} + a_{13}a_{32} & a_{13}D + a_{12}a_{23} - a_{13}a_{22} \\ a_{21}D - a_{21}a_{33} + a_{23}a_{31} & D^2 - (a_{33} + a_{11})D + a_{11}a_{33} - a_{13}a_{31} & a_{23}D - a_{23}a_{11} + a_{13}a_{21} \\ a_{31}D + a_{21}a_{32} - a_{31}a_{22} & a_{32}D - a_{32}a_{11} + a_{12}a_{31} & D^2 - (a_{22} + a_{11})D + a_{11}a_{22} - a_{12}a_{21} \end{bmatrix} F \end{aligned} \quad (7.81)$$

再转换到时域, 可得到如下 3 个独立的微分方程:

$$\begin{aligned} & \ddot{q}_1 - (a_{11} + a_{22} + a_{33})\ddot{q}_1 + (a_{11}a_{22} + a_{22}a_{33} + a_{33}a_{11} - a_{12}a_{21} - a_{13}a_{31} - a_{23}a_{32})\dot{q}_1 \\ & + (a_{11}a_{23}a_{32} - a_{11}a_{22}a_{33} + a_{22}a_{13}a_{31} + a_{33}a_{12}a_{21} - a_{12}a_{23}a_{31} - a_{13}a_{32}a_{21})q_1 \\ & = \ddot{f}_1(a_{33} + a_{22})\dot{f}_1 + (a_{22}a_{33} - a_{23}a_{32})f_1 + a_{12}\dot{f}_2 - (a_{12}a_{33} - a_{13}a_{32})f_2 \\ & + a_{13}\dot{f}_3 + (a_{12}a_{23} - a_{13}a_{22})f_3 \end{aligned} \quad (7.82)$$

$$\begin{aligned} & \ddot{q}_2 - (a_{11} + a_{22} + a_{33})\ddot{q}_2 + (a_{11}a_{22} + a_{22}a_{33} + a_{33}a_{11} - a_{12}a_{21} - a_{13}a_{31} - a_{23}a_{32})\dot{q}_2 \\ & + (a_{11}a_{23}a_{32} - a_{11}a_{22}a_{33} + a_{22}a_{13}a_{31} + a_{33}a_{12}a_{21} - a_{12}a_{23}a_{31} - a_{13}a_{32}a_{21})q_2 \\ & = a_{21}\dot{f}_1 - (a_{21}a_{33} - a_{23}a_{31})f_1 + \ddot{f}_2 - (a_{33} + a_{11})\dot{f}_2 + (a_{11}a_{33} - a_{13}a_{31})f_2 \\ & + a_{23}\dot{f}_3 - (a_{23}a_{11} - a_{13}a_{21})f_3 \end{aligned} \quad (7.83)$$

$$\begin{aligned} & \ddot{q}_3 - (a_{11} + a_{22} + a_{33})\ddot{q}_3 + (a_{11}a_{22} + a_{22}a_{33} + a_{33}a_{11} - a_{12}a_{21} - a_{13}a_{31} - a_{23}a_{32})\dot{q}_3 \\ & + (a_{11}a_{23}a_{32} - a_{11}a_{22}a_{33} + a_{22}a_{13}a_{31} + a_{33}a_{12}a_{21} - a_{12}a_{23}a_{31} - a_{13}a_{32}a_{21})q_3 \\ & = a_{31}\dot{f}_1 + (a_{21}a_{32} - a_{31}a_{22})f_1 + a_{32}\dot{f}_2 - (a_{32}a_{11} - a_{12}a_{31})f_2 \\ & + \ddot{f}_3 - (a_{22} + a_{11})\dot{f}_3 + (a_{11}a_{22} - a_{12}a_{21})f_3 \end{aligned} \quad (7.84)$$

变量  $q_1$ 、 $q_2$  和  $q_3$  的特征方程  $\det(DI - A)$  都一样，它们的自由响应的形式也一样。但是，要注意，各个自由响应的系数不同，它们取决于各个房室的输入和初始条件。特征方程为

$$s^3 - (a_{11} + a_{22} + a_{33})s^2 + (a_{11}a_{22} + a_{22}a_{33} + a_{33}a_{11} - a_{12}a_{21} - a_{13}a_{31} - a_{23}a_{32})s - a_{11}a_{22}a_{33} + a_{11}a_{23}a_{32} + a_{22}a_{13}a_{31} + a_{33}a_{12}a_{21} - a_{12}a_{23}a_{31} - a_{13}a_{32}a_{21} = 0 \quad (7.85)$$

利用 MATLAB 的 “eig” 指令可以求解特征方程的根，系统可能是欠阻尼、过阻尼或者临界阻尼的，与传输速率有关。这些根的表达式太复杂，无法使用，这里就不写出来了。对于双室系统，只有一种情况可以产生重根；但对于三室系统，有很多情况可以产生重根。7.7.2 节还会介绍，某些情况下会产生复数根。

多室模型可以有突状结构、链状结构和单向结构等特殊类型。每种类型的模型都可能是封闭的，也可能含有源房室和穴房室。下面介绍突状结构和单向结构的三室模型以及包含源房室和穴房室的三室模型。

### 7.7.1 突状结构三室模型

图 7.21 所示是突状结构的三室模型示意图，它的特征是一个中央房室连接两个外周房室。溶质的所有交换都必须经过中央房室，两个外周房室 1 与 3 之间没有直接的溶质交换。每个房室与环境之间都可以有输入和输出。

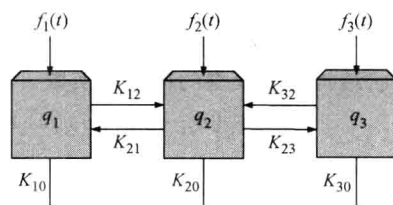


图 7.21 突状结构的三室模型

突状结构三室模型可以用如下微分方程组来描述

$$\begin{aligned} \dot{q}_1 &= f_1(t) + K_{21}q_2 - (K_{10} + K_{12})q_1 \\ \dot{q}_2 &= f_2(t) + K_{12}q_1 - (K_{20} + K_{21} + K_{23})q_2 + K_{32}q_3 \\ \dot{q}_3 &= f_3(t) + K_{23}q_2 - (K_{30} + K_{32})q_3 \end{aligned} \quad (7.86)$$

利用

$$A = \begin{bmatrix} a_{11} & a_{12} & a_{13} \\ a_{21} & a_{22} & a_{23} \\ a_{31} & a_{32} & a_{33} \end{bmatrix} = \begin{bmatrix} -(K_{10} + K_{12}) & K_{21} & 0 \\ K_{12} & -(K_{20} + K_{21} + K_{23}) & K_{32} \\ 0 & K_{23} & -(K_{30} + K_{32}) \end{bmatrix}$$

和式 (7.81)，可得

$$\begin{bmatrix} D^3 - (a_{11} + a_{22} + a_{33})D^2 + (a_{11}a_{22} + a_{22}a_{33} + a_{33}a_{11} - a_{12}a_{21} - a_{23}a_{32})D \\ - a_{11}a_{22}a_{33} + a_{11}a_{23}a_{32} + a_{33}a_{12}a_{21} - a_{12}a_{23}a_{31} \\ D^2 - (a_{33} + a_{22})D + a_{22}a_{33} - a_{23}a_{32} & a_{12}D - a_{12}a_{33} & a_{12}a_{23} \\ a_{21}D - a_{21}a_{33} & D^2 - (a_{33} + a_{11})D + a_{11}a_{33} & a_{23}D - a_{23}a_{11} \\ a_{21}a_{32} & a_{32}D - a_{32}a_{11} & D^2 - (a_{22} + a_{11})D + a_{11}a_{22} - a_{12}a_{21} \end{bmatrix} Q = F \quad (7.87)$$



变换到时域, 得到如下相互独立的微分方程:

$$\begin{aligned} \ddot{q}_1 - (a_{11} + a_{22} + a_{33}) \dot{q}_1 + (a_{11}a_{22} + a_{22}a_{33} + a_{33}a_{11} - a_{12}a_{21} - a_{23}a_{32}) \dot{q}_1 \\ + (a_{11}a_{23}a_{32} + a_{33}a_{12}a_{21} - a_{11}a_{22}a_{33}) q_1 \\ = \ddot{f}_1 - (a_{33} + a_{22}) \dot{f}_1 + (a_{22}a_{33} - a_{23}a_{32}) f_1 + a_{12} \dot{f}_2 - a_{12}a_{33} f_2 \end{aligned} \quad (7.88)$$

$$\begin{aligned} \ddot{q}_2 - (a_{11} + a_{22} + a_{33}) \dot{q}_2 + (a_{11}a_{22} + a_{22}a_{33} + a_{33}a_{11} - a_{12}a_{21} - a_{23}a_{32}) \dot{q}_2 \\ + (a_{11}a_{23}a_{32} + a_{33}a_{12}a_{21} - a_{11}a_{22}a_{33}) q_2 \\ = a_{21} \dot{f}_1 - (a_{21}a_{33} - a_{23}a_{31}) f_1 + \ddot{f}_2 - (a_{33} + a_{11}) \dot{f}_2 + a_{11}a_{33} f_2 + a_{23} \dot{f}_3 - a_{23}a_{11} f_3 \end{aligned} \quad (7.89)$$

$$\begin{aligned} \ddot{q}_3 - (a_{11} + a_{22} + a_{33}) \dot{q}_3 + (a_{11}a_{22} + a_{22}a_{33} + a_{33}a_{11} - a_{12}a_{21} - a_{23}a_{32}) \dot{q}_3 \\ + (a_{11}a_{23}a_{32} + a_{33}a_{12}a_{21} - a_{11}a_{22}a_{33}) q_3 \\ = a_{21}a_{32} \dot{f}_1 + a_{32} \dot{f}_2 - a_{32}a_{11} f_2 + \ddot{f}_3 - (a_{22} + a_{11}) \dot{f}_3 + (a_{11}a_{22} - a_{12}a_{21}) f_3 \end{aligned} \quad (7.90)$$

突状结构三室模型的根都是实数, 由如下特征方程给出

$$\begin{aligned} s^3 - (a_{11} + a_{22} + a_{33}) s^2 + (a_{11}a_{22} + a_{22}a_{33} + a_{33}a_{11} - a_{12}a_{21} - a_{23}a_{32}) s \\ + a_{11}a_{23}a_{32} + a_{33}a_{12}a_{21} - a_{11}a_{22}a_{33} = 0 \end{aligned}$$

### 例 7.13

假设图 7.21 所示的突状结构三室模型中, 溶质只能从房室 1 释放至环境, 并且只能从房室 2 输入溶质。参数为  $K_{12} = 2$ ,  $K_{21} = 1.5$ ,  $K_{10} = 0.5$ ,  $K_{23} = 1.3$ ,  $K_{32} = 0.4$ ,  $f_2(t) = 10\delta(t)$ 。设初始条件都为 0, 试求解每个房室的溶质含量。

解:

将输入  $f_2(t) = 10\delta(t)$  转变为房室 2 的初始条件  $q_2(0) = 10$ , 并设输入为 0, 则各房室的质量守恒方程为

$$\begin{aligned} \dot{q}_1 &= K_{21}q_2 - (K_{10} + K_{12})q_1 = -2.5q_1 + 1.5q_2 \\ \dot{q}_2 &= K_{12}q_1 - (K_{21} + K_{23})q_2 + K_{32}q_3 = 2q_1 - 2.8q_2 + 0.4q_3 \\ \dot{q}_3 &= K_{23}q_2 - (K_{30} + K_{32})q_3 = 1.3q_2 - 0.4q_3 \end{aligned} \quad (7.91)$$

利用 MATLAB 实现 D 算子运算, 可得

```
> > syms D
> > A = [-2.5 1.5 0; 2 -2.8 0.4; 0 1.3 -0.4];
> > det(D * eye(3) - A)
```

ans =

$$D^3 + 57/10 * D^2 + 28/5 * D + 3/10$$

也就是

$$\ddot{q}_1 + 5.7 \dot{q}_1 + \frac{28}{5} q_1 + 0.3 q_1 = 0$$

$$\ddot{q}_2 + 5.7 \dot{q}_2 + \frac{28}{5} q_2 + 0.3 q_2 = 0$$

$$\ddot{q}_3 + 5.7 \dot{q}_3 + \frac{28}{5} q_3 + 0.3 q_3 = 0$$

再用 MATLAB 指令 “eig (A)” 求得特征方程的 3 个根为 -4.46、-1.18 和 -0.06。于是, 可得

$$q_1 = B_1 e^{-4.46t} + B_2 e^{-1.18t} + B_3 e^{-0.06t}$$

$$q_2 = B_4 e^{-4.46t} + B_5 e^{-1.18t} + B_6 e^{-0.06t}$$

$$q_3 = B_7 e^{-4.46t} + B_8 e^{-1.18t} + B_9 e^{-0.06t}$$

其中强迫响应为 0。注意, 由于没有输入, 因此只需写出矩阵 A, 然后用 “eig (A)” 指令即可, 不必使用 “det” 指令。不过, 如果使用 “det” 指令, 就可以得到中间的计算结果。

初始条件为  $q_1(0) = 0$ ,  $q_2(0) = 0$ ,  $q_3(0) = 0$ 。为了计算导数项的初始条件, 由式 (7.91) 得

$$\dot{q}_1(0) = -2.5 q_1(0) + 1.5 q_2(0) = 15$$

$$\dot{q}_2(0) = 2 q_1(0) - 2.8 q_2(0) + 0.4 q_3(0) = -28$$

$$\dot{q}_3(0) = 1.3 q_2(0) - 0.4 q_3(0) = 13$$

再计算二阶导数项的初始条件, 求式 (7.91) 的导数并令  $t = 0$ , 可得

$$\ddot{q}_1(0) = -2.5 \dot{q}_1(0) + 1.5 \dot{q}_2(0) = -79.5$$

$$\ddot{q}_2(0) = 2 \dot{q}_1(0) - 2.8 \dot{q}_2(0) + 0.4 \dot{q}_3(0) = 113.6$$

$$\ddot{q}_3(0) = 1.3 \dot{q}_2(0) - 0.4 \dot{q}_3(0) = -41.6$$

下面只给出变量  $q_1$  的详细求解过程, 变量  $q_2$  和  $q_3$  直接写出最终解。根据初始条件, 求  $B_1$ 、 $B_2$  和  $B_3$  如下

$$q_1(0) = 0 = B_1 + B_2 + B_3$$

$$\dot{q}_1(0) = 15 = -4.46 B_1 - 1.18 B_2 - 0.06 B_3$$

$$\ddot{q}_1(0) = -79.5 = 19.9 B_1 + 1.4 B_2 + 0.0036 B_3$$

得到

$$B_1 = -4.219, B_2 = 3.1818, B_3 = 1.0372$$

于是

$$q_1 = (-4.219 e^{-4.46t} + 3.1818 e^{-1.18t} + 1.0372 e^{-0.06t}) u(t)$$

对变量  $q_2$  和  $q_3$  重复以上求解过程, 就可以得到

$$q_2 = (5.51e^{-4.46t} + 2.8179e^{-1.18t} + 1.6721e^{-0.06t})u(t)$$

$$q_3 = (-1.762e^{-4.46t} - 4.6849e^{-1.18t} + 6.4469e^{-0.06t})u(t)$$

### 7.7.2 单向结构三室模型

图 7.22 所示是单向结构三室模型, 其特征是 3 个房室相互连接成一个闭合的环状, 溶质沿着环状结构只能单方向循环。每个房室都可以从环境输入和输出溶质。

一般地, 单向结构三室模型可用如下微分方程组来表示

$$\begin{aligned}\dot{q}_1 &= f_1(t) + K_{31}q_3 - (K_{10} + K_{12})q_1 \\ \dot{q}_2 &= f_2(t) + K_{12}q_1 - (K_{20} + K_{23})q_2 \\ \dot{q}_3 &= f_3(t) + K_{23}q_2 - (K_{30} + K_{31})q_3 \quad (7.92)\end{aligned}$$

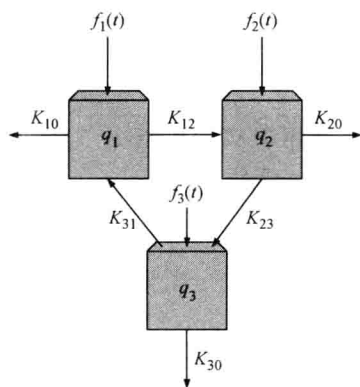


图 7.22 单向结构三室模型

为了简化带复数根的单向结构三室模型, 假设系统是封闭式的, 也就是  $K_{10} = K_{20} = K_{30} = 0$ 。根据式 (7.85) 的特征方程, 求根如下

$$s^3 + (K_{12} + K_{23} + K_{31})s^2 + (K_{12}K_{23} + K_{23}K_{31} + K_{31}K_{12})s = 0 \quad (7.93)$$

可得  $s_1 = 0$ ,

$$s_{2,3} = -\frac{(K_{12} + K_{23} + K_{31})}{2} \pm \frac{1}{2}\sqrt{(K_{12} + K_{23} + K_{31})^2 - 4(K_{12}K_{23} + K_{23}K_{31} + K_{31}K_{12})}$$

可见, 当  $4(K_{12}K_{23} + K_{23}K_{31} + K_{31}K_{12}) > (K_{12} + K_{23} + K_{31})^2$  时, 存在复数根; 当  $4(K_{12}K_{23} + K_{23}K_{31} + K_{31}K_{12}) = (K_{12} + K_{23} + K_{31})^2$  时, 存在相同的重根。

在复数根和 0 根的情况下, 其自由解的形式为

$$q_i = B_1 + e^{-\alpha t}(B_2 \cos \omega_d t + B_3 \sin \omega_d t) = B_1 + B_4 e^{-\alpha t} \cos(\omega_d t + \phi)$$

其中  $\alpha$  和  $\omega_d$  分别是复数根的实部和虚部。确定强迫解之后可以由初始条件计算  $B_i$  的值。

将复数根写成标准形式  $s_{2,3} = -\zeta\omega_0 \pm \omega_0 \sqrt{\zeta^2 - 1}$ , 其特征方程为

$$s^2 + 2\zeta\omega_0 s + \omega_0^2 = 0 \quad (7.94)$$

当  $\zeta = 0$  时, 系统振荡最强, 是单纯的正弦波。

为了更好地了解这种系统, 找到获得最大振荡行为 (即  $\zeta$  值最小化) 的最优传输速率, 就可以确定系统的振荡程度。为了得到  $\zeta$  的表达式, 将式 (7.93) 特征方程的系数与式 (7.94) 的各个项对应起来, 即

$$\begin{aligned}2\zeta\omega_0 &= (K_{12} + K_{23} + K_{31}) \\ \omega_0^2 &= (K_{12}K_{23} + K_{23}K_{31} + K_{31}K_{12})\end{aligned}$$

于是有

$$\omega_0 = \sqrt{(K_{12}K_{23} + K_{23}K_{31} + K_{31}K_{12})}$$

$$\zeta = \frac{1}{2\omega_0} = \frac{(K_{12} + K_{23} + K_{31})}{2\sqrt{(K_{12}K_{23} + K_{23}K_{31} + K_{31}K_{12})}} \quad (7.95)$$

为了求解  $\zeta$  的最小值, 令  $\frac{\partial \zeta}{\partial K_{12}} = 0$ ,  $\frac{\partial \zeta}{\partial K_{23}} = 0$ ,  $\frac{\partial \zeta}{\partial K_{31}} = 0$ ; 从而可以获得  $\zeta$  最小化的条件。首先利用微积分的链式法则得到

$$\begin{aligned} \frac{\partial \zeta}{\partial K_{12}} &= \frac{2(K_{12}K_{23} + K_{23}K_{31} + K_{31}K_{12})^{\frac{1}{2}} - (K_{23} + K_{31})(K_{12} + K_{23} + K_{31})(K_{12}K_{23} + K_{23}K_{31} + K_{31}K_{12})^{-\frac{1}{2}}}{4(K_{12}K_{23} + K_{23}K_{31} + K_{31}K_{12})} \\ &= \frac{2(K_{12}K_{23} + K_{23}K_{31} + K_{31}K_{12}) - (K_{23} + K_{31})(K_{12} + K_{23} + K_{31})}{4(K_{12}K_{23} + K_{23}K_{31} + K_{31}K_{12})^{\frac{3}{2}}} = 0 \end{aligned}$$

当分子为 0 时有最小值, 即

$$\begin{aligned} 2(K_{12}K_{23} + K_{23}K_{31} + K_{31}K_{12}) &= (K_{23} + K_{31})(K_{12} + K_{23} + K_{31}) \\ &= K_{23}K_{12} + K_{23}^2 + K_{23}K_{31} + K_{31}K_{12} + K_{31}K_{23} + K_{31}^2 \end{aligned}$$

此式简化后可得

$$K_{12}(K_{23} + K_{31}) = K_{23}^2 + K_{31}^2$$

也就是

$$K_{12} = \frac{K_{23}^2 + K_{31}^2}{K_{23} + K_{31}}$$

对  $\frac{\partial \zeta}{\partial K_{23}} = 0$  重复以上步骤, 可得  $K_{23} = \frac{K_{12}^2 + K_{31}^2}{K_{12} + K_{31}}$ ; 对于  $\frac{\partial \zeta}{\partial K_{31}} = 0$ , 则可得  $K_{31} = \frac{K_{12}^2 + K_{23}^2}{K_{12} + K_{23}}$ 。

唯有  $K_{12} = K_{23} = K_{31} = K$  时, 这些等式才能同时成立。由式 (7.95) 可得此时

$$\zeta = \frac{3}{2\sqrt{3}} = 0.866, \text{ 它没有明显的振荡特性。下一节我们将看到模型多于 3 个房室时, 就}$$

有可能产生更明显的振荡响应。

#### 例 7.14

假设图 7.22 所示单向结构三室模型中, 3 个房室都没有向环境释放溶质, 并且只有房室 3 有输入。参数为  $K_{12} = K_{23} = K_{31} = 2$ ,  $f_3(t) = 5\delta(t)$ 。设初始条件都为 0, 试求解每个房室的溶质含量。

解:

与前述方法一样, 将输入  $f_3(t) = 5\delta(t)$  变换为房室 3 的初始条件, 即  $q_3(0) = 5$ , 令输入为 0。则 3 个房室的质量守恒方程为

$$\begin{aligned} \dot{q}_1 &= K_{31}q_3 - (K_{10} + K_{12})q_1 = -2q_1 + 2q_3 \\ \dot{q}_2 &= K_{12}q_1 - (K_{20} + K_{23})q_2 = 2q_1 - 2q_2 \\ \dot{q}_3 &= K_{23}q_2 - (K_{30} + K_{31})q_3 = 2q_2 - 2q_3 \end{aligned} \quad (7.96)$$

利用 MATLAB 实现 D 算子的运算:

```
> > syms D
> > A = [-2 0 2; 2 -2 0; 0 2 -2];
> > det(D * eye(3) - A)
ans =
D^3 + 6 * D^2 + 12 * D
可得
```

$$\begin{aligned}\ddot{q}_1 + 6\dot{q}_1 + 12q_1 &= 0 \\ \ddot{q}_2 + 6\dot{q}_2 + 12q_2 &= 0 \\ \ddot{q}_3 + 6\dot{q}_3 + 12q_3 &= 0\end{aligned}$$

特征方程的3个根是0、 $-3 \pm j1.7321$ 。由于强迫响应为0，全响应就是自然响应，为

$$\begin{aligned}q_1 &= B_1 + e^{-3t}(B_2 \cos 1.7321t + B_3 \sin 1.7321t) \\ q_2 &= B_4 + e^{-3t}(B_5 \cos 1.7321t + B_6 \sin 1.7321t) \\ q_3 &= B_7 + e^{-3t}(B_8 \cos 1.7321t + B_9 \sin 1.7321t)\end{aligned}$$

初始条件为  $q_1(0) = 0, q_2(0) = 0, q_3(0) = 5$ 。为了计算导数项的初始条件，由式(7.96)可得

$$\begin{aligned}\dot{q}_1(0) &= -2q_1(0) + 2q_3(0) = 10 \\ \dot{q}_2(0) &= 2q_1(0) - 2q_2(0) = 0 \\ \dot{q}_3(0) &= 2q_2(0) - 2q_3(0) = -10\end{aligned}$$

再计算二阶导数项的初始条件。求式(7.96)的导数并令  $t = 0$ ，可得

$$\begin{aligned}\ddot{q}_1(0) &= -2\dot{q}_1(0) + 2\dot{q}_3(0) = -40 \\ \ddot{q}_2(0) &= 2\dot{q}_1(0) - 2\dot{q}_2(0) = 20 \\ \ddot{q}_3(0) &= 2\dot{q}_2(0) - 2\dot{q}_3(0) = 20\end{aligned}$$

对于变量  $q_1$ ，有

$$\begin{aligned}q_1(0) &= 0 = B_1 + B_2 \\ \dot{q}_1(0) &= 10 = -3B_2 + 1.7321B_3 \\ \ddot{q}_1(0) &= -40 = 6B_2 - 10.4B_3\end{aligned}$$

可得  $B_1 = 5/3, B_2 = -5/3, B_3 = 2.9$ 。于是

$$q_1 = \left[ \frac{5}{3} - e^{-3t} \left( \frac{5}{3} \cos 1.7321t - 2.9 \sin 1.7321t \right) \right] u(t)$$

对于变量  $q_2$  和  $q_3$  重复以上步骤, 可得

$$q_2 = \left[ \frac{5}{3} - e^{-3t} \left( \frac{5}{3} \cos 1.7321t + 2.9 \sin 1.7321t \right) \right] u(t)$$

$$q_3 = \frac{5}{3} (1 + 2e^{-3t} \cos 1.7321t) u(t)$$

图 7.23 所示是 3 个房室的溶质变化曲线。虽然很难看出曲线的振荡, 但是明显可见超射 (overshoot) 的第一个波峰或者回射 (undershoot) 的第一个波谷。为了计算  $q_3$  曲线上回射波谷的时间, 可以利用本书其他章节介绍的方法, 找出满足  $\frac{\partial q_3}{\partial t} = 0$  的时间值, 得到  $T_{p3} = 1.21$ 。同理可得  $q_1$  和  $q_2$  曲线上超射波峰的时间均为  $T_p = 1.81$ 。 ■

### 7.7.3 三室模型中的源房室

本章 7.6.1 节已介绍过双室模型中的源房室, 它只有传输至其他房室的输出而不接收来自其他房室的任何输入。三室系统中也有源房室, 与双室系统一样, 它也可以独立求解, 与其他房室无关。

如图 7.24 所示, 以下例题 7.15 描述的是一个突状结构三室模型, 它含有一个源房室。这个模型将人体分为消化系统、血浆和组织, 能够更精确地描述人体各部分的特性。

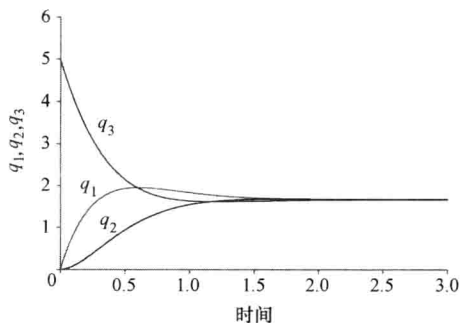


图 7.23 例 7.14 模型中 3 个房室  
溶质含量的变化曲线

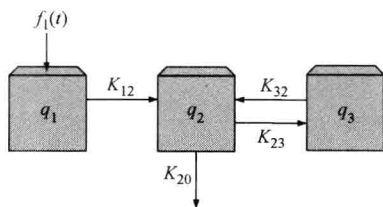


图 7.24 例 7.15 的三室模型示意图  
注: 其中房室 1、2 和 3 分别  
表示消化系统、血浆和组织。

#### 例 7.15

假设图 7.24 所示包含源房室的突状结构三室模型中, 输入  $f_1(t) = \delta(t)$ 。设初始条件均为 0, 试求解每个房室的溶质含量。

解:

还是将输入转变为房室 1 的初始条件, 即  $q_1(0) = 1$ 。该模型的微分方程组为

$$\dot{q}_1 = -K_{12}q_1 \quad (7.97)$$

$$\dot{q}_2 = K_{12}q_1 - (K_{20} + K_{23})q_2 + K_{32}q_3 \quad (7.98)$$

$$\dot{q}_3 = K_{23}q_2 - K_{32}q_3 \quad (7.99)$$

式 (7.97) 只含有变量  $q_1$ , 很容易解得  $q_1 = q_1(0)e^{-K_{12}t}u(t) = e^{-K_{12}t}u(t)$ 。再将  $q_1$  代入式 (7.98) 和式 (7.99), 得到如下两个方程

$$\dot{q}_2 = K_{12}e^{-K_{12}t}u(t) - (K_{20} + K_{23})q_2 + K_{32}q_3 \quad (7.100)$$

$$\dot{q}_3 = K_{23}q_2 - K_{32}q_3 \quad (7.101)$$

在 MATLAB 中利用 D 算子重建变量  $q_2$  和  $q_3$  的微分方程, 即

```
> > syms D K20 K23 K32
> > A = [ -(K20 + K23) K32; K23 - K32 ];
> > det(D * eye(2) - A)
ans =
D^2 + D * K32 + K20 * D + K20 * K32 + K23 * D
> > adj = det(D * eye(2) - A) * inv(D * eye(2) - A)
adj =
[ D + K32, K32 ]
[ K23, D + K20 + K23 ]
```

得到

$$\ddot{q}_2 + (K_{32} + K_{20} + K_{23})\dot{q}_2 + K_{20}K_{32}q_2 = K_{12}(K_{32} - K_{12})e^{-K_{12}t} \quad (7.102)$$

$$\ddot{q}_3 + (K_{32} + K_{20} + K_{23})\dot{q}_3 + K_{20}K_{32}q_3 = K_{23}K_{12}e^{-K_{12}t} \quad (7.103)$$

求其特征根如下

```
> > eig(A)
```

```
ans =
```

$$\begin{aligned} & -1/2 * K20 - 1/2 * K23 - 1/2 * K32 + 1/2 * (K20^2 + 2 * K20 * K23 - \\ & 2 * K20 * K32 + K23^2 + 2 * K32 * K23 + K32^2)^{(1/2)} \\ & -1/2 * K20 - 1/2 * K23 - 1/2 * K32 - 1/2 * (K20^2 + 2 * K20 * K23 - \\ & 2 * K20 * K32 + K23^2 + 2 * K32 * K23 + K32^2)^{(1/2)} \end{aligned}$$

简化后得到

$$s_{1,2} = -\frac{(K_{20} + K_{23} + K_{32})}{2} \pm \frac{1}{2}\sqrt{(K_{32} + K_{20} + K_{23})^2 - 4K_{32}K_{23}} \quad (7.104)$$

当  $K_{ij} \geq 0$  时只存在实根。 $q_2$  的自然响应为

$$q_{2_n} = B_1 e^{s_1 t} + B_2 e^{s_2 t}$$

其强迫响应为  $q_{2_f} = B_3 e^{-K_{12}t}$ , 代入式 (7.103) 后可得

$$B_3 = \frac{K_{23}K_{12}}{K_{12}^2 - K_{12}(K_{32} + K_{20} + K_{23}) + K_{20}K_{32}}$$

全响应就是

$$q_2 = B_1 e^{s_1 t} + B_2 e^{s_2 t} + B_3 e^{-K_{12} t}$$

利用初始条件  $q_2(0) = 0$  和  $\dot{q}_2(0) = K_{12} q_1(0)$ , 求  $B_1$  和  $B_2$  如下:

$$q_2(0) = B_1 + B_2 + B_3 = 0$$

并且

$$\dot{q}_2 = s_1 B_1 e^{s_1 t} + s_2 B_2 e^{s_2 t} - K_{12} B_3 e^{-K_{12} t}$$

可得

$$\dot{q}_2(0) = K_{12} = s_1 B_1 + s_2 B_2 - K_{12} B_3$$

为了求  $B_1$  和  $B_2$ , 计算如下

$$\begin{bmatrix} 1 & 1 \\ s_1 & s_2 \end{bmatrix} \begin{bmatrix} B_1 \\ B_2 \end{bmatrix} = \begin{bmatrix} -B_3 \\ K_{12}(1 + B_3) \end{bmatrix}$$

可得

$$\begin{bmatrix} B_1 \\ B_2 \end{bmatrix} = \begin{bmatrix} \frac{K_{12} B_3 + K_{12} + B_3 s_2}{(s_1 - s_2)} \\ -\frac{K_{12} B_3 + K_{12} + B_3 s_1}{(s_1 - s_2)} \end{bmatrix}$$

$q_2$  的最终解为

$$q_2(t) = \left[ \frac{K_{12} B_3 + K_{12} + B_3 s_2}{(s_1 - s_2)} e^{s_1 t} - \frac{K_{12} B_3 + K_{12} + B_3 s_1}{(s_1 - s_2)} e^{s_2 t} + \frac{K_{23} K_{12}}{K_{12}^2 - K_{12}(K_{32} + K_{20} + K_{23}) + K_{20} K_{32}} e^{-K_{12} t} \right] u(t)$$

对变量  $q_3$  重复以上步骤, 可得

$$q_3(t) = \left( \frac{B_3(K_{12} + s_2)}{(s_1 - s_2)} e^{s_1 t} - \frac{B_3(K_{12} + s_1)}{(s_1 - s_2)} e^{s_2 t} + \frac{K_{23} K_{12}}{K_{12}^2 - K_{12}(K_{32} + K_{20} + K_{23}) + K_{20} K_{32}} e^{-K_{12} t} \right) u(t) \quad \blacksquare$$

#### 7.7.4 三室模型中的穴房室

三室模型中的穴房室会产生一个值为 0 的特征根, 它只接收来自其他房室的输入, 而没有传输给其他房室的输出, 但对于环境可以有输出。如前所述, 利用 D 算子的方法, 根据其他两个房室的溶质含量数据, 可以求出穴房室的解。

以下例题 7.16 说明了三室模型中的穴房室。该模型用于描述甲状腺素向肝胆管 (即穴房室) 的传输过程<sup>①</sup>。本章前面的例 7.5 已讲述过甲状腺系统, 例 7.16 将有所扩展。后面 7.8.4 节还会进一步扩展该模型。在讲述例 7.16 的模型之前, 我们再多了解

① 原始资料请见参考文献中列出的 Haddad 等人的著作 (2003)。——原文注



一些有关甲状腺系统的背景知识。

甲状腺素有甲状腺原氨酸 T4 和三碘甲状腺原氨酸 T3 两种, 它们都由甲状腺产生, 用于维持体温、调节能量代谢, 对于人体的生长和发育都具有重要的作用。甲状腺细胞中没有游离的甲状腺素, 甲状腺素是甲状腺球蛋白大分子的组成部分, 这种球蛋白包含了约 70 个酪氨酸。如果没有甲状腺素, 人体的新陈代谢速率大约会降至正常值的 50%; 如果这种激素太多, 则新陈代谢速率会升高至正常值的两倍。脑垂体可以通过释放促甲状腺素 TSH 来控制 T3 和 T4 的分泌。如前面 7.5.2 节所述, 下丘脑可以通过释放促甲状腺素释放激素 TRH 来控制脑垂体的 TSH 释放。

以碘化物形式吸收的碘是合成甲状腺素的重要成分。甲状腺是人体中血液流速最快的器官之一, 这使得它可以快速摄取碘化物。一般情况下, 人体消化吸收的 80% 碘化物被肾脏快速排出体外, 其余 20% 则被甲状腺吸收。

碘化物一旦进入甲状腺, 就会参与一系列酶促反应, 进而合成甲状腺素。首先, 在钠/碘转运体的作用下, 碘化物穿过细胞膜进入甲状腺细胞。该转运体是一种传输泵, 这种泵可以使甲状腺内的碘化物浓度远高于血浆。进入甲状腺细胞之后, 碘化物随即被过氧化物酶氧化成碘离子, 碘离子迅速与甲状腺球蛋白分子中的酪氨酸相结合, 首先生成一碘酪氨酸 (monoiodotyrosine, MIT), 再生成二碘酪氨酸 (diiodotyrosine, DIT)。然后, 在甲状腺过氧化物酶的催化下两个 DIT 分子偶联形成 T4 (它是包含在碘化甲状腺球蛋白分子内的一个二苯环结构, 由一个内酪氨酸环和一个外酚环组成); 或者有少量的 MIT 分子与 DIT 分子结合生成 T3。另外, T4 还会脱碘, 生成反三碘甲状腺原氨酸 (reverse T3, rT3), 本文不考虑这种情况。

虽然碘化甲状腺球蛋白分子的生成速度很快, 但是, 甲状腺中还是会储备大约 60 天的供应量。当甲状腺受到 TSH 的刺激作用时, 碘化甲状腺球蛋白自身并不会进入血浆, 但它在溶酶体蛋白酶的作用下会释放 T3 和 T4。甲状腺分泌的大多数都是 T4, 占 90% 以上。另外, 当 T3 和 T4 被释放时, MIT 和 DIT 也会从碘化甲状腺球蛋白中分解出来; 不过, MIT 和 DIT 并不离开细胞, 而是会去碘, 释放出碘离子。这些碘离子再在细胞中被重新利用, 重复产生甲状腺素的一系列酶促反应。

甲状腺素进入血浆之后, 即与蛋白质形成可逆性结合物。这种结合状态下的 T3 和 T4 处于非激活状态, 这样, 它们可以得到保护, 以免被迅速代谢和排泄掉。T4 主要与甲状腺素结合球蛋白 (Thyroid Binding Globulin, TBG) 结合, 也有少量的与甲状腺素结合前白蛋白 (Thyroxine-Binding Prealbumin, TBPA) 和白蛋白相结合。TBG 在血浆中的浓度很低, 但它与 T4 的亲合力很强; 通常它会结合大约 70% 的 T4。而 TBPA 在血浆中的浓度却很高, 但它与 T4 的亲合力很弱。人体每天大约会消耗掉 10% 与血浆结合的 T4, 因此, 半衰期约为 7 天。T4 的 7 天半衰期使得血浆中的甲状腺素浓度能够保持稳定。正常情况下, 血浆中约有 0.04% 的 T4 不会与蛋白质结合, 这些 T4 被称为游离 T4。

T3 与血浆蛋白的亲合力较弱, 而且主要与 TBPA 和白蛋白相结合。T3 的半衰期只有 1 天, 会迅速从血浆中清除出去。正常情况下, 血浆中约有 10% 的 T3 不与蛋白质结合。

甲状腺释放到血浆中的 T3 很少, 血浆中的 T3 几乎都来自肝脏, 也有少量来自肾脏。肝脏和肾脏的脱碘酶可以去掉 T4 的一个碘分子, 将其转化成 T3。T4 主要也是由肝脏清除, 少量由肾脏清除。清除时, T4 外酚环的羟基与硫酸盐或葡萄糖醛酸盐相结合, 就可将 T4 转化为 T3。T4 还会在肝脏中发生脱氨基反应和脱羧基反应, 从而转化为 T3。

进入血浆后, 游离的 T3 就会流入组织液, 并很容易穿过各种组织的细胞膜。进入细胞后, 游离的 T3 会进入细胞核, 与甲状腺素受体相结合, 然后通过基因转录合成新的蛋白质。这些蛋白质与人体的能量代谢、体温和体重的调控有关, 还参与细胞生长、繁殖和分化的调控。虽然 T4 也可以进入细胞并与甲状腺素受体结合, 但是, 要在基因转录中达到与 T3 相同的作用, T4 却要花费比 T3 多 10 倍的时间。

以下例题 7.16 是一个描述人体内 T4 传输过程的三室模型。仿真时, 假设将放射性碘标记的 T4 以团注方式注入血浆。使用这种 T4 可以跟踪其传输过程, 与人体内自然产生的 T4 相区别。图 7.25 所示是例 7.16 模型的示意图, 其中显示了 T4 传输的途径, 包括血浆、肝脏和肝胆管。在肝脏中, 一部分 T4 被转化为 T3 和  $I^{131}$ 。这些  $I^{131}$  进入肝胆管并被吸入胆汁。本例题不考虑脑垂体的反馈控制和肾脏的作用。

### 例 7.16

假设甲状腺素传输的三室模型如图 7.25 所示。

其中输入为  $f_1(t) = 0.1 \times 10^{-3} \delta(t)$  g 的放射性碘

-T4, 参数为  $K_{12} = 0.6, K_{21} = 0.5, K_{23} = 0.3$ 。设初始条件都为 0。试求解血浆房室中放射性碘-T4 的含量。

解:

房室 3 对其他房室没有输出, 因此它是模型中的穴房室。与前述方法一样, 团注不作为输入, 而是作为房室 1 的初始条件, 即  $q_1(0) = 0.1 \times 10^{-3}$ ; 同时令输入为 0。各房室的质量守恒方程为

$$\begin{aligned} \dot{q}_1 &= K_{21}q_2 - K_{12}q_1 = -0.6q_1 + 0.5q_2 \\ \dot{q}_2 &= K_{12}q_1 - (K_{21} + K_{23})q_2 = 0.6q_1 - 0.8q_2 \\ \dot{q}_3 &= K_{23}q_2 = 0.3q_2 \end{aligned} \quad (7.105)$$

在 MATLAB 中进行 D 算子运算:

```
> > syms D
> > A = [-0.6 0.5 0; 0.6 -0.8 0; 0 0.3 0];
> > det (D * eye (3) - A)
ans =
D^3 + 7/5 * D^2 + 9/50 * D
```

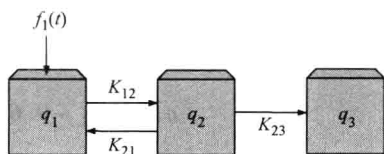


图 7.25 例 7.16 模型的示意图

注: 其中房室 1、2 和 3 分别是血浆、肝脏和肝胆管的单室简化模型。输入  $f_1(t)$  为团注的放射性碘标记的 T4。

得到

$$\ddot{q}_1 + \frac{7}{5} \dot{q}_1 + \frac{9}{50} q_1 = 0$$

再用“eig(A)”指令,求得3个特征根为0、-1.26和-0.14。强迫响应为0,于是有

$$q_1 = B_1 + B_2 e^{-1.26t} + B_3 e^{-0.14t}$$

初始条件为  $q_1(0) = 0.1 \times 10^{-3}$ ,  $q_2(0) = 0$ ,  $q_3(0) = 0$ 。下面计算导数项的初始条件,由式(7.105)可得

$$\dot{q}_1(0) = -0.6q_1(0) + 0.5q_2(0) = -0.06 \times 10^{-3}$$

$$\dot{q}_2(0) = 0.6q_1(0) - 0.8q_2(0) = 0.06 \times 10^{-3}$$

再计算二阶导数项的初始条件。求式(7.105)的导数并令  $t = 0$ , 可得

$$\ddot{q}_1(0) = -0.6\dot{q}_1(0) + 0.5\dot{q}_2(0) = 6.6 \times 10^{-5}$$

$$\ddot{q}_2(0) = 0.6\dot{q}_1(0) - 0.8\dot{q}_2(0) = -8.4 \times 10^{-5}$$

利用初始条件求  $B_1$ 、 $B_2$  和  $B_3$ :

$$q_1(0) = 0.1 \times 10^{-3} = B_1 + B_2 + B_3$$

$$\dot{q}_1(0) = -0.06 \times 10^{-3} = -1.26B_2 - 0.14B_3$$

$$\ddot{q}_1(0) = 6.6 \times 10^{-5} = 1.4B_2 + 0.02B_3$$

可得  $B_1 = 0.48 \times 10^{-4}$ ,  $B_2 = 0.47 \times 10^{-4}$  和  $B_3 = 0.05 \times 10^{-4}$ 。于是

$$q_1 = (0.48 + 0.47e^{-1.26t} + 0.05e^{-0.14t}) \times 10^{-4} u(t) \quad \blacksquare$$

此例题所使用的模型太简单,不能很好地反映真实的甲状腺素动态传输过程。有些研究人员将肝胆管分成多个房室,并添加了其他房室;有些还在模型中加入化学反应。本书后面的第8章会讲述这些模型。

## 7.8 多室模型

实际人体模型中的房室数量一般都会超过3个。本章前面几节所述的基本原理都可以用于任意数量的房室模型,其中每个房室都用其质量守恒微分方程来描述溶质变化的速率。于是,对  $n$  个房室就有  $n$  个如下形式的方程

$$\frac{dq_i}{dt} = \text{输入} - \text{输出}$$

其中  $q_i$  是房室  $i$  的溶质含量。系统的通式为

$$DIQ = AQ + F \quad (7.106)$$

其中

$$\mathbf{Q} = \begin{bmatrix} q_1 \\ q_2 \\ \vdots \\ q_n \end{bmatrix}, \mathbf{A} = \begin{bmatrix} a_{11} & a_{12} & \cdots & a_{1n} \\ a_{21} & a_{22} & \cdots & a_{2n} \\ \vdots & \vdots & \ddots & \vdots \\ a_{n1} & a_{n2} & \cdots & a_{nn} \end{bmatrix}, \mathbf{F} = \begin{bmatrix} f_1(t) \\ f_2(t) \\ \vdots \\ f_n(t) \end{bmatrix}$$

对于矩阵  $\mathbf{A}$  的第一行, 有

$$\begin{aligned} a_{11} &= -(K_{10} + K_{12} + K_{13} + \cdots + K_{1n}) \\ a_{12} &= K_{12} \\ &\vdots \\ a_{1n} &= K_{1n} \end{aligned}$$

以此类推, 可以得到矩阵  $\mathbf{A}$  的其他行。方程 (7.106) 的求解与前述方法一样, 即

$$\mathbf{Q} = (\mathbf{D}\mathbf{I} - \mathbf{A})^{-1} \mathbf{F} = \frac{1}{\det(\mathbf{D}\mathbf{I} - \mathbf{A})} \text{adj}(\mathbf{D}\mathbf{I} - \mathbf{A}) \mathbf{F} \quad (7.107)$$

也就是

$$\det(\mathbf{D}\mathbf{I} - \mathbf{A}) \mathbf{Q} = \text{adj}(\mathbf{D}\mathbf{I} - \mathbf{A}) \mathbf{F}$$

再利用 MATLAB 重建微分方程组, 使得其中每个方程都只包含单个变量和输入。各个变量  $q_1$ 、 $q_2$ 、 $\cdots$ 、 $q_n$  的特征方程  $\det(\mathbf{D}\mathbf{I} - \mathbf{A})$  都一样, 它们的自由响应也都具有相同的形式。利用 MATLAB 的 “eig(A)” 指令可以求得特征方程的根, 这些根可能是欠阻尼的、过阻尼或者临界阻尼的, 取决于各个传输速率。多室模型特征根的表达式太复杂, 没什么用处, 这里就不写出来了。多数模型的  $\mathbf{A}$  矩阵含有多个 0 元素, 这样就比较容易求解。

本节剩余的部分将讲述几种特殊结构的多室模型: 突状结构、链状结构和单向结构。每种模型都可能是封闭的, 也可能包含源房室和穴房室。

### 7.8.1 突状结构多室模型

图 7.26 所示是突状结构的  $n$  室模型, 其特点是一个中央房室连接着  $(n-1)$  个外周房室。所有溶质交换都必须经过中央房室, 其他房室之间没有直接的溶质交换。每个房室相对于环境都可以有输入和输出。

此时, 方程 (7.106) 中矩阵  $\mathbf{A}$  所包含的非 0 元素有:

$$\begin{aligned} a_{11} &= -(K_{10} + K_{12} + K_{13} + \cdots + K_{1n}) \\ a_{ii} &= -(K_{i1} + K_{i0}), 2 \leq i \leq n \\ a_{1i} &= K_{i1}, 2 \leq i \leq n \\ a_{i1} &= K_{1i}, 2 \leq i \leq n \end{aligned} \quad (7.108)$$

该系统只有实根。

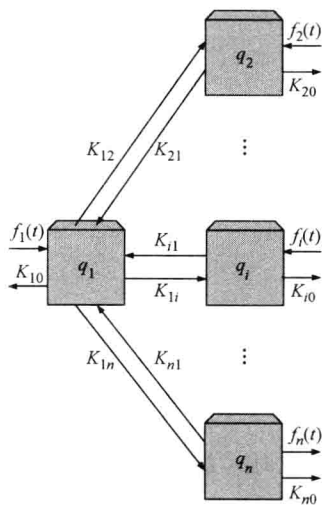


图 7.26 突状结构的  $n$  室模型

### 7.8.2 链状结构多室模型

图 7.27 所示是链状结构的  $n$  室模型, 其特点是各个房室串联在一起, 除了链上的第一个和最后一个房室以外, 其他房室都只能与邻近的两个房室进行溶质交换。每个房室对于环境都可以有输入和输出。

此时, 方程 (7.106) 中矩阵  $A$  所包含的非 0 元素有

$$\begin{aligned}
 a_{11} &= -(K_{10} + K_{12}) \\
 a_{i,i-1} &= K_{i-1,i}, & 2 \leq i \leq n \\
 a_{ii} &= -(K_{i0} + K_{i,(i-1)} + K_{i,(i+1)}), & 2 \leq i \leq n-1 \\
 a_{i,i+1} &= K_{i+1,i}, & 2 \leq i \leq n-1 \\
 a_{nn} &= -(K_{n0} + K_{n,(n-1)})
 \end{aligned} \tag{7.109}$$

该系统也只有实根。

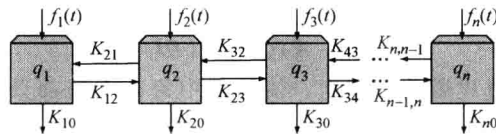


图 7.27 链状结构的  $n$  室模型

### 7.8.3 单向结构多室模型

图 7.28 所示是单向结构的  $n$  室模型, 其特点是各个房室连接成一个闭合的环, 溶质在环内只能沿着一个方向循环流动。每个房室对于环境都可以有输入和输出。

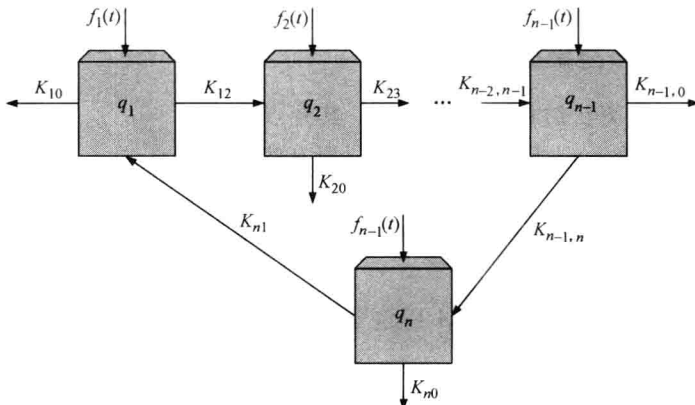


图 7.28 单向结构的  $n$  室模型

此时, 方程 (7.106) 中矩阵  $A$  所包含的非 0 元素有

$$\begin{aligned}
 a_{ii} &= -(K_{i0} + K_{i,i+1}), & 1 \leq i \leq n-1 \\
 a_{nn} &= -(K_{n0} + K_{n1})
 \end{aligned}$$

$$\begin{aligned} a_{1n} &= K_{n1} \\ a_{i,i-1} &= K_{i-1,i} \quad 2 \leq i \leq n \end{aligned} \quad (7.110)$$

在前面 7.7.2 节, 我们已研究过单向三室模型的复数根, 并且计算了响应曲线振荡最大时特征根的值, 此时所有传输速率都取同一个值。下面我们继续研究封闭系统单向结构的  $n$  室模型的振荡特性。设各个传输速率都等于  $K$ , 且输入为冲激函数 (即团注)。系统的  $A$  矩阵为

$$A = \begin{bmatrix} -K & 0 & 0 & \cdots & 0 & K \\ K & -K & 0 & \cdots & 0 & 0 \\ 0 & K & -K & \cdots & 0 & 0 \\ & & \vdots & & & \\ 0 & 0 & 0 & \cdots & K & -K \end{bmatrix}$$

其行列式 ( $D I - A$ ) 为

$$\begin{vmatrix} D-K & 0 & 0 & \cdots & 0 & K \\ K & D-K & 0 & \cdots & 0 & 0 \\ 0 & K & D-K & \cdots & 0 & 0 \\ & & \vdots & & & \\ 0 & 0 & 0 & \cdots & K & D-K \end{vmatrix} = (D+K)^n - K^n$$

正如 Godfrey 所述, 该系统的特征根为

$$-K + K \left( \cos \frac{2\pi m}{n} + j \sin \frac{2\pi m}{n} \right), m = 1, 2, \dots, n \quad (7.111)$$

它们在复平面上均匀分布于圆心为  $(K, 0)$ 、半径为  $K$  的圆上。对于封闭系统, 其中有一个根为 0; 并且, 当  $n$  为偶数时, 还有一个根为  $-2K$ 。其他根都为复数, 可由式 (7.111) 求得。当  $m=1$  和  $m=n-1$  时, Godfrey 得到的阻尼系数为

$$\zeta = \sin \frac{\pi}{n} \quad (7.112)$$

随着  $n$  趋于无穷大, 阻尼系数趋于 0。由于房室中的溶质含量绝不可能小于 0; 因此, 当  $n$  趋于无穷大时, 正弦曲线的幅值就趋近于 0。

下面利用前面所采用的方法来解决单向  $n$  室模型, 也就是利用 MATLAB 求解, 见例 7.17。

#### 例 7.17

假设某个单向 5 室系统, 没有任何房室向环境释放溶质, 而且只有房室 3 有输入; 此外, 所有传输速率都等于 2, 且输入为  $f_3(t) = 5\delta(t)$ ; 设初始条件都为 0。试求解房室 3 的溶质含量。

解:

与以前的方法一样, 将输入  $f_3(t) = 5\delta(t)$  转换成房室 3 的初始条件, 即  $q_3(0) = 5$ , 并令输入为 0。各房室的质量守恒方程为

$$\begin{aligned}\dot{q}_1 &= -2q_1 + 2q_5 \\ \dot{q}_2 &= -2q_1 - 2q_2 \\ \dot{q}_3 &= 2q_2 - 2q_3 \\ \dot{q}_4 &= 2q_3 - 2q_4 \\ \dot{q}_5 &= 2q_4 - 2q_5\end{aligned}$$

在 MATLAB 中可得

```
> > syms D
> > A = [-2 0 0 0 2; 2 -2 0 0 0; 0 2 -2 0 0; 0 0 2 -2 0; 0 0 0 2 -2];
> > det(D * eye(5) - A)
```

ans =

$$D^5 + 10 * D^4 + 40 * D^3 + 80 * D^2 + 80 * D$$

也就是

$$\frac{d^5 q_3}{dt^5} + 10 \frac{d^4 q_3}{dt^4} + 40 \frac{d^3 q_3}{dt^3} + 80 \frac{d^2 q_3}{dt^2} + 80 \frac{dq_3}{dt} = 0$$

求 eig (A), 得特征方程的根为 0,  $-3.6180 \pm j1.1756$  和  $-1.3820 \pm j1.9021$ 。由于强迫响应为 0,  $q_3$  的全响应就是自由响应, 即

$$q_3 = B_1 + e^{-3.618t} (B_2 \cos 1.1756t + B_3 \sin 1.1756t) + e^{-1.382t} (B_4 \cos 1.9021t + B_5 \sin 1.9021t)$$

利用质量守恒方程和连续求导, 可以求得  $q_3$  的各个初始条件为  $q_3(0) = 5$ ,  $\dot{q}_3(0) = -10$ ,  $\ddot{q}_3(0) = 20$ ,  $\dddot{q}_3(0) = -40$ ,  $\dots q_3(0) = 80$ 。下面利用这些初始条件求各个未知系数:

$$q_3(0) = 5 = B_1 + B_2 + B_4$$

$$\dot{q}_3(0) = -10 = -3.61B_2 + 1.1756B_3 - 1.382B_4 + 1.9021B_5$$

$$\ddot{q}_3(0) = 20 = 11.72B_2 - 8.51B_3 - 1.71B_4 - 5.26B_5$$

$$\dddot{q}_3(0) = -40 = -32.4B_2 + 44.58B_3 + 7.64B_4 + 4.02B_5$$

$$\dots q_3(0) = 80 = 64.79B_2 - 199.4B_3 - 18.18B_4 + 9.02B_5$$

利用 MATLAB 求得  $B_1 = 1.0$ ,  $B_2 = 2.0$ ,  $B_3 = 0.0$ ,  $B_4 = 2.0$ ,  $B_5 = 0.0$ 。于是, 当  $t \geq 0$  时有

$$q_3 = 1 + 2e^{-3.618t} \cos 1.1756t + 2.00e^{-1.382t} \cos 1.9021t$$

同理, 可求解其他房室的溶质含量, 结果如图 7.29 所示。注意, 围绕稳态值 1 的振荡中,  $q_4$  比  $q_3$  更明显。实际上, 这种振荡依次减小的顺序是:  $q_4$ 、 $q_5$ 、 $q_1$ 、 $q_2$ 、 $q_3$ 。通常, 振荡最明显的房室是接收冲激输入的房室传输溶质所到达的下一个房室。还要注

意, 每个房室的稳态值都等于 1。

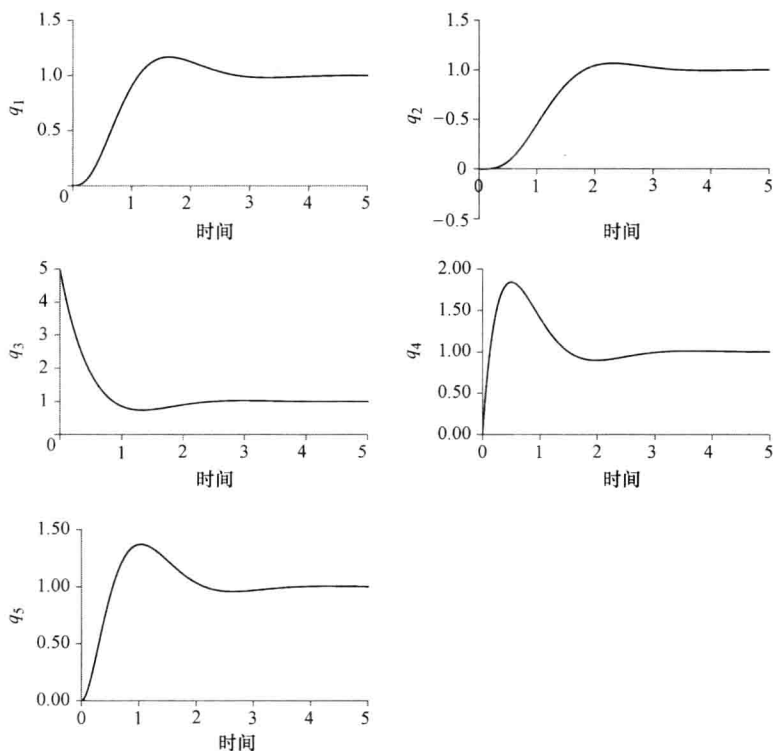


图 7.29 例 7.17 模型中 5 个房室的溶质含量响应曲线

一般地, 封闭式单向系统中的房室数量越多, 响应的振荡就越明显。有些情况下, 振荡很明显, 但持续时间却很短; 另一些情况下, 振荡不太明显, 但却能延续很长时间。假设图 7.28 所示封闭式单向系统的输入为  $f_3(t) = 5\delta(t)$ , 初始条件均为 0, 且传输率都为  $K=2$ ; 那么, 含有 10、20、40、80 个房室的系统中房室 4 的响应曲线分别如图 7.30 所示 (注意各个曲线图的时间坐标有变化)。可见, 随着房室数量的增多, 振荡也加剧, 但稳态值却减小, 而且溶质流过整个系统所需的传输时间也增加。当房室数量大于等于 20 时, 曲线上第一个振荡结束时, 溶质含量降为 0, 也就是房室 4 中根本就没有留下溶质。直到溶质流过整个系统之后再重新循环回来。

如果系统是开放的, 溶质可以流向环境, 那么, 振荡就会减小。假设图 7.28 所示的模型在房室 4 中添加一个向环境的输出, 其传输速率为  $K_{40}=0.2$  (是各个房室之间传输速率的 10%), 模型其他部分都保持不变。那么, 含有 40 个和 80 个房室时的  $q_4$  响应曲线如图 7.31 所示。可见, 响应中仍然有振荡, 但相对于没有输出时的情况, 此时的振荡明显减弱。还要注意, 第一个振荡的峰值比之前要小很多。最后, 要注意现在的稳态值变为 0。



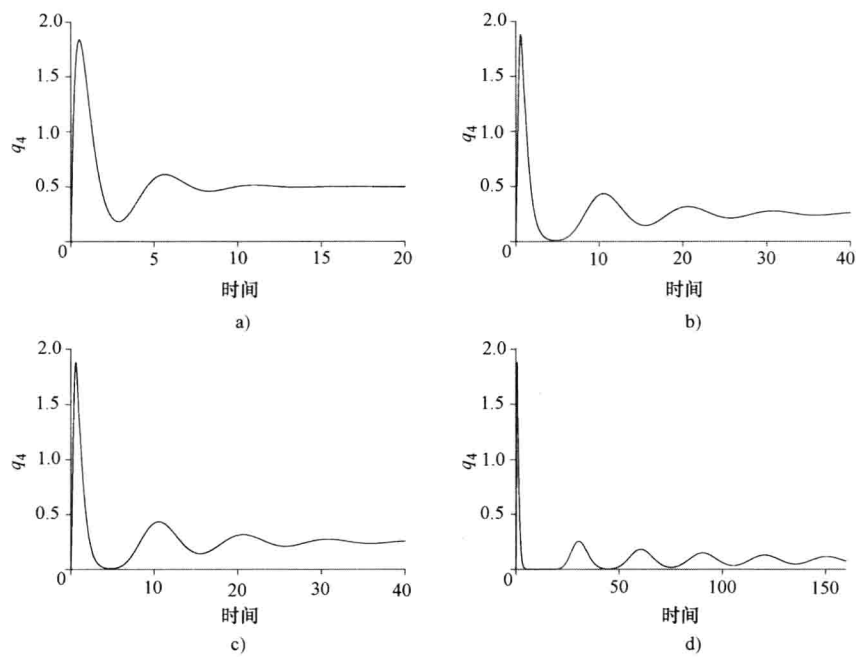


图 7.30 图 7.28 所示封闭式单向系统的  $q_4$  响应曲线

注：房室数量分别为 10 个（图 a）、20 个（图 b）、40 个（图 c）和 80 个（图 d）。  
整个系统唯一的输入是房室 3 的幅值为 5 的冲激函数。

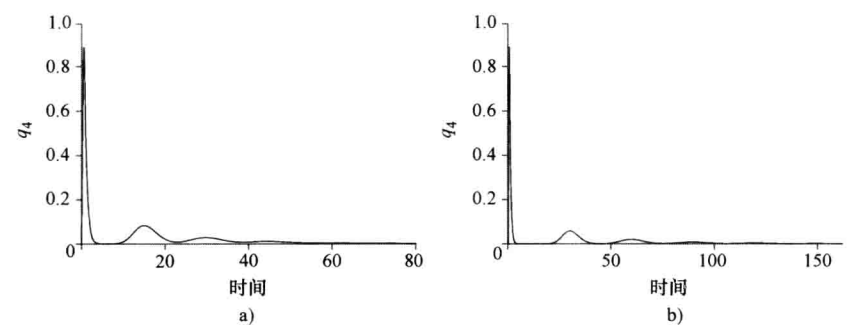


图 7.31 图 7.28 所示模型的开放式单向系统的  $q_4$  响应曲线

注：图 a 和图 b 的房室数量分别为 40 个和 80 个。除了  $K_{40} = 0.2$  之外，  
该模型的其他部分与图 7.30 所使用的模型相同。

### 7.8.4 通用型多室模型

虽然本节前面所述的几种特殊多室模型都很重要，但是许多系统更复杂，具有更普遍的形式。有些系统由 7.8.1 ~ 7.8.3 节中所述的各种子系统组成，通过子系统之间的

物质传输相互连接在一起。例如,图 7.32 所示的模型<sup>①</sup>将 2 个突状结构的三室模型连在一起,用于描述甲状腺素的分布和代谢。其中,房室 1~3 描述 T3,房室 4~6 描述 T4;房室 1 和 4、2 和 5、3 和 6 其实描述的都是同一个部位。房室 2 和 5 表示血浆,房室 1 和 4 表示快组织(肝、肾、肺、心脏和消化道等),房室 3 和 6 表示慢组织(肌肉、皮肤和脑组织等)。“快”和“慢”是指激素合成和传输的速度,用传输速率  $K_0$  表示。传输速率  $K_{41}$  和  $K_{63}$  用于表示 T4 向 T3 的转化。系统通过血浆(即房室 2 或 5)接收输入。

假设药物在人体内传输的过程可以用图 7.10 所示的药物代谢动力学模型来描述。药物被吸收之后,随即进入血液,扩散至血浆内,分布于血浆中的水和各种蛋白质之中。相对而言,药物分子很小,它们很容易穿过毛细血管壁进入各种体液和器官。另外,药物还很容易进入人体组织的细胞内液。图 7.10 中的各个箭头上需要给出传输速率,但是,获取这些传输速率的数值通常很难,有时甚至不太可能。

### 例 7.18

图 7.33 所示模型<sup>②</sup>描述了口服甲状腺素的替代疗法,这种方法用于治疗体内不能生成甲状腺素的患者。虽然该模型对于 T3 和 T4 都适用,但为了简化,本例只跟踪 T3 而忽略 T4。假设 T3 在房室 1(消化道)中时呈固体状,进入房室 2(仍属于消化道)后呈液体状。房室 3 表示血浆,房室 4 和 5 分别表示快组织和慢组织。此外,假设输入是团注方式,设为  $f_1(t) = 25\delta(t)$ ,且初始条件都为 0。各个传输速率如下:  $K_{12} = 1.1$ ,  $K_{20} = 0.01$ ,  $K_{23} = 0.9$ ,  $K_{34} = 15$ ,  $K_{43} = 30$ ,  $K_{40} = 1.0$ ,  $K_{35} = 0.5$ ,  $K_{53} = 0.4$ ,  $K_{50} = 0.05$ 。要注意,  $K_{40}$  和  $K_{50}$  表示 T3 的代谢。试求解房室 3 的 T3 含量。

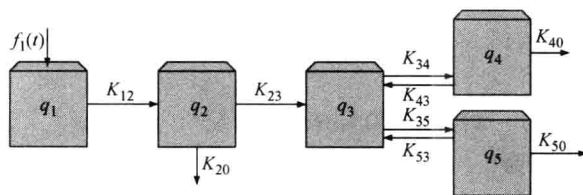


图 7.33 例 7.18 模型的示意图

注:房室 1 和 2 表示消化系统,房室 3 表示血浆,房室 4 和 5 分别表示快组织和慢组织。

① 原始资料请见参考文献中列出的 DiStefano 和 Mori 的论著(1977)——原文注。

② 原始资料请见参考文献中列出的 DiStefano 和 Mak 的论著(1979)——原文注。

解:

将输入转化为初始条件  $q_1(0)$ , 各房室的质量守恒方程如下:

$$\dot{q}_1 = -K_{12}q_1 = -1.1q_1 \quad (7.113)$$

$$\dot{q}_2 = K_{12}q_1 - (K_{20} + K_{23})q_2 = 1.1q_1 - 0.91q_2 \quad (7.114)$$

$$\dot{q}_3 = K_{23}q_2 - (K_{34} + K_{35})q_3 + K_{43}q_4 + K_{53}q_5 = 0.9q_2 - 15.5q_3 + 30q_4 + 0.4q_5 \quad (7.115)$$

$$\dot{q}_4 = K_{34}q_3 - (K_{40} + K_{43})q_4 = 15q_3 - 31q_4 \quad (7.116)$$

$$\dot{q}_5 = K_{35}q_3 - (K_{50} + K_{53})q_5 = 0.5q_3 - 0.45q_5 \quad (7.117)$$

房室1的质量守恒方程只有变量  $q_1$ , 很容易求得解  $q_1 = 25e^{-1.1t}u(t)$ 。将此  $q_1$  代入式 (7.114) 可得

$$\dot{q}_2 = 27.5e^{-1.1t} - 0.91q_2 \quad (7.118)$$

此式仅包含输入和变量  $q_2$ , 可以独立求解, 得

$$q_2 = \frac{K_{12}q_1(0)}{K_{12} - (K_{20} + K_{23})} [e^{-(K_{20} + K_{23})t} - e^{-K_{12}t}] = 144.74(e^{-0.91t} - e^{-1.1t})u(t) \quad (7.119)$$

再将此  $q_2$  的解代入式 (7.115), 求得

$$\begin{aligned} \dot{q}_3 &= K_{23} \frac{K_{12}q_1(0)}{K_{12} - (K_{20} + K_{23})} [e^{-(K_{20} + K_{23})t} - e^{-K_{12}t}] - 15.5q_3 + 30q_4 + 0.4q_5 \\ &= 130.27(e^{-0.91t} - e^{-1.1t}) - 15.5q_3 + 30q_4 + 0.4q_5 \end{aligned} \quad (7.120)$$

在 MATLAB 中利用 D 算子将式 (7.120)、式 (7.116) 和式 (7.117) 联列求解如下:

```
> > syms D
> > A = [-15.5 30 0.4; 15 -31 0; 0.5 0 -0.45];
> > det(D * eye(3) - A)
> > adj = det(D * eye(3) - A) * inv(D * eye(3) - A)
```

可得重建的  $q_3$  微分方程为

$$\ddot{q}_3 + 46.95\dot{q}_3 + 51.225q_3 + 7.525q_3 = 2531.8e^{-1.1t} - 1803.12e^{-0.91t} \quad (7.121)$$

其3个特征根为  $-45.84$ 、 $-0.94$  和  $-0.18$ , 自由响应为

$$q_{3n} = B_1e^{-45.84t} + B_2e^{-0.94t} + B_3e^{-0.18t}$$

强迫响应为  $q_{3f} = B_4e^{-1.1t} + B_5e^{-0.91t}$ , 代入式 (7.113) 可得  $B_4 = 380.39$ ,  $B_5 = 1870.41$ 。于是, 全解为

$$q_3 = B_1e^{-45.84t} + B_2e^{-0.94t} + B_3e^{-0.18t} + 380.39e^{-1.1t} + 1870.41e^{-0.91t}$$

利用初始条件  $q_3(0) = 0$ ,  $\dot{q}_3(0) = 0$ ,  $\ddot{q}_3(0) = 24.75$ , 计算  $B_1$ 、 $B_2$  和  $B_3$  如下:

$$q_3(0) = 0 = B_1 + B_2 + B_3 + 380.39 + 1870.41$$

由  $\dot{q}_3 = -45.84B_1e^{-45.84t} - 0.94B_2e^{-0.94t} - 0.18B_3e^{-0.18t} - 418.39e^{-1.1t} - 1701.97e^{-0.91t}$ , 可得

$$\dot{q}_3(0) = 0 = 45.84B_1 - 0.94B_2 - 0.18B_3 - 418.39 - 1701.97$$

由  $\ddot{q}_3 = 2101B_1e^{-45.84t} + 0.88B_2e^{-0.94t} + 0.031B_3e^{-0.18t} + 460.23e^{-1.1t} + 1548.80e^{-0.91t}$ , 可得

$$\ddot{q}_3(0) = 24.75 = 2101B_1 + 0.88B_2 + 0.031B_3 + 460.23 + 1548.80$$

为了求得  $B_1$ 、 $B_2$  和  $B_3$  这些未知常数, 计算

$$\begin{bmatrix} 1 & 1 & 1 \\ -45.84 & -0.94 & -0.18 \\ 2101 & 0.88 & 0.031 \end{bmatrix} \begin{bmatrix} B_1 \\ B_2 \\ B_3 \end{bmatrix} = \begin{bmatrix} -2250.7 \\ 2120.3 \\ -1984.3 \end{bmatrix}$$

得

$$\begin{bmatrix} B_1 \\ B_2 \\ B_3 \end{bmatrix} = \begin{bmatrix} 0.004 \\ -2259.51 \\ 8.844 \end{bmatrix}$$

于是

$$q_3 = (0.004e^{-45.84t} - 2259.51e^{-0.94t} + 8.84e^{-0.18t} + 380.39e^{-1.1t} + 1870.41e^{-0.91t})u(t) \quad (7.122)$$

其曲线如图 7.34 所述。注意, 如果口服药剂是 T4 而不是 T3, 就需要修改此模型, 为 T4 增加 3 个房室 (如图 7.32 下半部分所示)。T3 的 3 个房室仍需保留, 因为 T4 会转化为 T3。

此例的另一种求解方法是直接利用 D 算子矩阵来求解式 (7.113) ~ 式 (7.117) 的方程组, 由于输入为 0, 没有强迫响应, 因此, 这种方法似乎更简单。不过, 为了求解自由响应中增加的两项, 还需要计算另外两个初始条件  $\ddot{q}_3(0)$  和  $\ddot{\ddot{q}}_3(0)$ , 这并不简单, 会增加不少工作量。求解过程如下:

```
> > syms D
> > A = [-1.1 0 0 0 0; 1.1 -0.91 0 0 0; 0.9 -15.5 30.4; 0 0 15 -31 0; 0 0.5 0 -0.45];
> > det(D * eye(5) - A)
```

ans =

$$D^5 + (1224 * D^4)/25 + (293191 * D^3)/2000 + (787421 * D^2)/5000 +$$

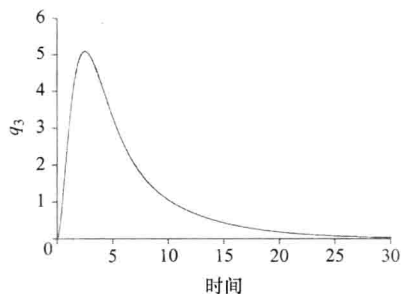


图 7.34 例 7.18 模型中房室 3 的药物含量变化曲线

$$(2656059 * D) / 40000 + 301301 / 40000$$

> eig(A)

ans =

-0.1748

-0.9392

-45.8360

-0.9100

-1.1000

重建的  $q_3$  微分方程为

$$\ddot{q}_3 + 48.92 \dot{q}_3 + 146.6 q_3 + 157.5 \ddot{q}_3 + 66.4 \dot{q}_3 + 7.53 q_3 = 0$$

根据特征根, 可以写出自由响应为

$$q_3 = B_1 e^{-0.18t} + B_2 e^{-0.94t} + B_3 e^{-45.84t} + B_4 e^{-0.91t} + B_5 e^{-1.1t} \quad (7.123)$$

其形式与式 (7.122) 一样。为了计算  $B_1 \sim B_5$  的数值, 需要使用初始条件  $q_1(0) = 25$ ,  $q_2(0) = 0$ ,  $q_3(0) = 0$ ,  $q_4(0) = 0$ ,  $q_5(0) = 0$ ; 经过大量计算, 再求得  $\dot{q}_3(0) = 0$ ,  $\ddot{q}_3(0) = 24.75$ ,  $\ddot{q}_3(0) = -433.3752$ ,  $\ddot{q}_3(0) = 17935$ 。

利用这些初始条件和式 (7.123) 可得

$$q_3(0) = 0 = B_1 + B_2 + B_3 + B_4 + B_5$$

$$\dot{q}_3(0) = 0 = -0.18B_1 - 0.94B_2 - 45.84B_3 - 0.91B_4 - 1.1B_5$$

$$\ddot{q}_3(0) = 24.75 = (-0.18)^2 B_1 + (-0.94)^2 B_2 + (-45.84)^2 B_3 + (-0.91)^2 B_4 + (-1.1)^2 B_5$$

$$\ddot{q}_3(0) = -433.3725 = (-0.18)^3 B_1 + (-0.94)^3 B_2 + (-45.84)^3 B_3 + (-0.91)^3 B_4 + (-1.1)^3 B_5$$

$$\ddot{q}_3(0) = 17935 = (-0.18)^4 B_1 + (-0.94)^4 B_2 + (-45.84)^4 B_3 + (-0.91)^4 B_4 + (-1.1)^4 B_5$$

然后, 在 MATLAB 中计算未知常数  $B_1 \sim B_5$ :

$$\begin{bmatrix} 1 & 1 & 1 & 1 & 1 \\ -0.18 & -0.94 & -45.84 & -0.91 & -1.1 \\ 0.031 & 0.88 & 2101 & 0.83 & 1.21 \\ -0.005 & -0.83 & -96298 & -0.75 & -1.33 \\ 0.0009 & 0.78 & 44139948 & 0.69 & 1.46 \end{bmatrix} \begin{bmatrix} B_1 \\ B_2 \\ B_3 \\ B_4 \\ B_5 \end{bmatrix} = \begin{bmatrix} 0 \\ 0 \\ 24.75 \\ -433.3725 \\ 17934 \end{bmatrix}$$

可得

$$\begin{bmatrix} B_1 \\ B_2 \\ B_3 \\ B_4 \\ B_5 \end{bmatrix} = \begin{bmatrix} 8.84 \\ -2259.15 \\ 0.004 \\ 1870 \\ 380.3 \end{bmatrix}$$

和

$$q_3 = (0.004e^{-45.84t} - 2259.15e^{-0.94t} + 8.84e^{-0.18t} + 380.3e^{-1.1t} + 1870e^{-0.91t})u(t) \quad \blacksquare$$

## 7.9 习题

1. 设细胞的体积为 1nL, 胞内的离子浓度见表 7.2。试计算细胞内  $\text{Na}^+$  和  $\text{K}^+$  的离子个数。
2. 设细胞内  $\text{Na}^+$ 、 $\text{Cl}^-$  和  $\text{K}^+$  的离子浓度分别为 20mmol/L、52mmol/L 和 158mmol/L。试计算体积为 2nL 的细胞内这 3 种离子的个数。
3. 体积为 1.5nL 的细胞内含有  $2 \times 10^{14}$  个  $\text{K}^+$  离子和  $1.5 \times 10^{13}$  个  $\text{Na}^+$  离子, 试计算这两种离子的浓度。
4. 两个房室的体积分别为  $V_1$  和  $V_2$ , 由一层薄膜隔开, 溶质可通过扩散在两个房室之间传输。如果在  $t=0$  时刻将质量为  $\zeta$  的溶质注入房室 1, 试求两个房室内的溶质浓度。
5. 两个房室的体积分别为  $V_1$  和  $V_2$ , 由一层薄膜隔开, 溶质可通过扩散在两个房室之间传输。如果在  $t=0$  时刻将质量为  $\zeta$  的溶质注入房室 2, 试求两个房室内的溶质浓度。
6. 两个房室的体积相等, 均为  $0.0572\text{cm}^3$ , 由一层薄膜隔开, 溶质可通过扩散在两个房室之间传输。如果起始时将所有溶质都注入其中一个房室, 当时间常数为  $27 \times 10^3 \text{s}^{-1}$  时, 试求溶质的传输速率。
7. 某系统由薄膜隔开的两个房室组成, 溶质可通过扩散在两个房室之间传输。其中, 房室 1 和房室 2 的体积分别为  $0.1$  和  $0.3\text{cm}^3$ , 溶质的传输速率为  $2.0 \times 10^{-3} \text{s}^{-1}$ 。假设将 3 g 溶质注入房室 2, 试求解两个房室中的溶质浓度。
8. 某系统由薄膜隔开的两个房室组成, 溶质可通过扩散在两个房室之间传输。假设房室 1 的体积为  $0.0572\text{cm}^3$ , 是房室 2 体积的两倍。如果将 100g 溶质倒入房室 2, 试求任意传输速率  $K$  下两个房室的溶质浓度 (也就是用  $K$  来表示解)。
9. 某系统由薄膜隔开的两个房室组成, 溶质可以通过扩散在两个房室之间传输。其中, 房室 1 和房室 2 的体积分别为  $0.0572$  和  $0.0286\text{cm}^3$ 。假设将 100mol 溶质倒入房室 2 时, 房室 2 的浓度响应为  $c_2(t) = (1165.67 + 2331.3e^{-0.015t})u(t) \text{mol/cm}^3$ 。(a) 求溶质的传输速率; (b) 求房室 1 中的溶质浓度。
10. 某系统由薄膜隔开的两个房室组成, 溶质可通过扩散在两个房室之间传输。其中, 房室 1 和房室 2 的体积分别为  $0.03$  和  $0.01 \text{cm}^3$ 。假设将 50 mol 溶质倒入房室 2 时, 房室 1 的浓度响应为  $c_1(t) = 1250(1 - e^{-0.01t})u(t) \text{mol/cm}^3$ 。(a) 求溶质的传输速率; (b) 求房室 2 中的溶质浓度。
11. 如果细胞膜两侧只有 KCl, 试求室温下的初始渗透压。假设  $\text{K}^+$  和  $\text{Cl}^-$  离子都不能穿过细胞膜, 且两种离子的浓度如表 7.2 所示; 细胞的初始体积为 2nL。试求细胞的最终体积。

12. 如果细胞膜两侧只有  $\text{CaCl}_2$ , 试求室温下的初始渗透压。假设  $\text{Ca}^{2+}$  和  $\text{Cl}^-$  离子都不能穿过细胞膜, 且两种离子的浓度如表 7.2 所示; 细胞的初始体积为 2 nL。试求细胞的最终体积。

13. 细胞膜两侧各种离子的浓度如表 7.2 所示, 试求室温下的初始渗透压。假设离子都不能穿过细胞膜, 细胞的初始体积为 2 nL。试求细胞的最终体积。

14. 如果细胞膜两侧只有 KCl 和 NaCl, 试求室温下的初始渗透压。假设  $\text{K}^+$ 、 $\text{Na}^+$  和  $\text{Cl}^-$  离子的浓度如表 7.2 所示, 并且只有  $\text{K}^+$  离子能够穿过细胞膜, 细胞的初始体积为 2 nL。请描述这几种离子的运动情况, 并计算细胞的最终体积。

15. 如果细胞膜两侧的离子只有 KCl 和 NaCl, 细胞内还有  $0.2 \times 10^{-9}$  mol 蛋白质。试求室温下的初始渗透压。假设  $\text{K}^+$ 、 $\text{Na}^+$  和  $\text{Cl}^-$  离子的浓度如表 7.2 所示, 且只有  $\text{K}^+$  离子能够穿过细胞膜, 细胞的初始体积为 2 nL。请描述这几种离子的运动情况, 并计算细胞的最终体积。

16. 试计算室温下 2mmol  $\text{Na}_2\text{SO}_4$  的渗摩尔浓度和渗透压。

17. 试计算室温下 0.9% NaCl 溶液的渗摩尔浓度和渗透压。

18. 细胞内外各种离子的浓度如表 7.2 所示, 试求室温下细胞的渗透压。

19. 假设某细胞内部的渗摩尔浓度为 300mOsm, 体积为 2nL, 浸浴在渗摩尔浓度也是 300mOsm 的 30nL 溶液中。将 3nL 质量浓度为 5% 的 NaCl 溶液注入细胞外溶液中。假设 NaCl 不能穿过细胞膜且细胞内的摩尔数不变。请描述该系统到达稳态前的变化过程。细胞内的最终渗摩尔浓度是多少? 稳态时的细胞体积又是多少?

20. 假设某细胞内部的渗摩尔浓度为 300mOsm, 体积为 2nL, 浸浴在渗摩尔浓度也是 300mOsm 的 30nL 溶液中。将 3mmol  $\text{CaCl}_2$  加到细胞外溶液中。假设  $\text{CaCl}_2$  不能穿过细胞膜且细胞内的摩尔数不变。请描述该系统到达稳态前的变化过程。细胞内的最终渗摩尔浓度是多少? 稳态时的细胞体积又是多少?

21. 假设某细胞内部的渗摩尔浓度为 300mOsm, 体积为 2nL, 浸浴在渗摩尔浓度也是 300mOsm 的 30nL 溶液中。将 5mmol 尿素加到细胞外溶液中。假设尿素可以穿过细胞膜但细胞内原有的溶质不能。请描述该系统到达稳态前的变化过程。

22. 某细胞如图 7.7 所示, 假设稳态时  $a = 500\text{mmol}$ ,  $P_K = 1.0$ ,  $P_{Na} = 0.04$ 。请作出  $\bar{J}_p$  与  $V$  之间的关系曲线。

23. 将 500mg 的染料注入血浆房室, 到达稳态后血液中测得的浓度为  $0.0893\text{mg}/\text{cm}^3$ 。请计算血浆房室的体积。

24. 将 1g 溶质团注至 3L 血浆房室中, 溶质流出房室的传输速率为  $0.7\text{h}^{-1}$ 。求房室中溶质的浓度及其半衰期。

25. 将质量未知的放射性碘  $\text{I}^{131}$  瞬间注入血浆中。血浆中  $\text{I}^{131}$  含量由 100mg 开始随时间呈指数式衰减, 其时间常数为 1 天; 尿液中的  $\text{I}^{131}$  含量则从 0 ~ 75mg 呈指数式上升, 时间常数也为 1 天。假设房室模型与例 7.5 所示相同, 请计算各个传输速率和半衰期。

26. 假设某患者吸收了少量放射性碘  $\text{I}^{131}$ , 利用例 7.5 所示的简化模型可以描述  $\text{I}^{131}$  从血液进入尿液和甲状腺的排出过程。(a) 请画出系统的响应曲线。(b) 假设甲状腺

功能丧失,不能吸收  $I^{131}$ , 请画出此异常系统的响应曲线, 并与 (a) 的结果进行比较。

27. 将放射性碘  $I^{131}$  团注进入血浆房室, 血浆中  $I^{131}$  的浓度随时间变化的关系是  $c_1 = 143e^{-1.6t}$  mg/100mL。  $I^{131}$  的质量为 10mg。假设房室模型如例 7.5 所示, 试求 (a) 血浆房室的体积; (b)  $K = K_1 + K_2$ ; (c) 半衰期。

28. 求式 (7.33) 和图 7.8 所示模型的半衰期。

29. 请编写 Simulink 程序来仿真式 (7.33) 和图 7.8 所示的模型, 参数见图 7.11。

30. 请证明: 7.5.3 节中式 (7.33) 和图 7.8 所示的药物代谢动力学单室模型中, 当  $\gamma$  增大时,  $t_{max}$  和  $q_1(t_{max})$  都会减小。

31. 将抗生素以指数形式减少的方式注入人体内, 输入函数为  $f(t) = 75e^{-2t}u(t)$ 。假设模型如图 7.8 所示, 且  $K_{10} = 0.3$ 。(a) 求解血浆中抗生素含量的解析表达式; (b) 利用 Simulink 来仿真血浆中抗生素含量的变化; (c) 求血浆中抗生素浓度达到最大值的时间以及此时的含量。

32. 对于 7.5.4 节所述的单室重复剂量模型, 请由式 (7.41) 推导式 (7.42), 并由式 (7.43) 推导式 (7.44)。

33. 将 2g 抗生素团注进入某人的 3L 血浆中, 该药物的平均冲激响应如图 7.35 所示。请利用单室模型求解传输速率。如果要维持该药物稳定时的浓度不低于初始剂量的 10%, 用药的最长时间间隔为多少?

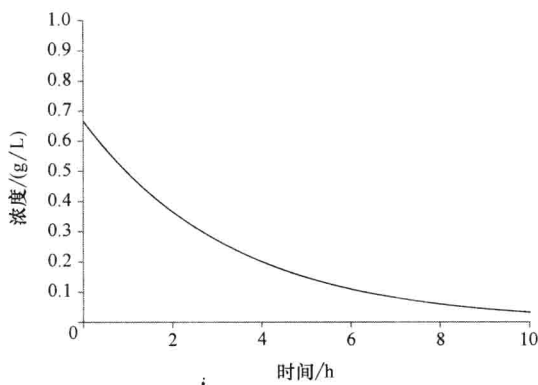


图 7.35 习题 33 的药物冲激响应曲线

34. 将 2g 抗生素团注进入某人的 3L 血浆中, 该药物在 3L 血浆中的平均洗脱曲线如图 7.36 所示。请利用单室模型求解传输速率。如果要维持该药物稳定时的浓度不低于初始剂量的 25%, 用药的最长时间间隔为多少?

35. 某双室模型如图 7.16 所示, 其中  $q_1(0) = 0$ ,  $q_2(0) = \zeta$ 。试求解房室 2 的溶质浓度。

36. 某双室模型如图 7.16 所示, 其中  $q_1(0) = \alpha$ ,  $q_2(0) = \zeta$ 。试求两个房室的溶质浓度。

37. 某双室模型如图 7.17 所示, 溶质以脉冲方式进入消化系统, 并通过代谢和尿



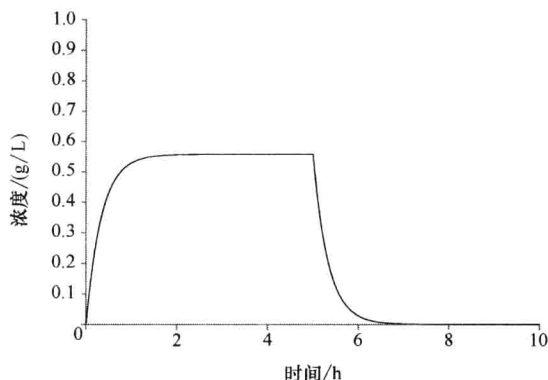


图 7.36 习题 34 的药物洗脱曲线

液排泄的方式清除。试求血浆的溶质浓度。

38. 某双室模型如图 7.17 所示, 消化系统吸收的溶质可表示为  $\zeta\delta(t) + (1 - \zeta)[u(t) - u(t - t_0)]$ , 溶质通过代谢和尿液排泄的方式清除。试求血浆的溶质浓度。

39. 某双室模型如图 7.15 所示, 其中  $K_{12} = 0$ ,  $K_{10} = 0.5$ ,  $K_{21} = 0.3$ ,  $K_{20} = 0.9$ ,  $f_1(t) = 0$ ,  $f_2(t) = 5\delta(t)$ 。假设初始条件都为 0。(a) 求两个房室的溶质含量; (b) 求房室 1 的溶质最大值。

40. 某双室模型如图 7.15 所示, 其中  $K_{12} = 0.2$ ,  $K_{10} = 0.7$ ,  $K_{21} = 0$ ,  $K_{20} = 1$ ,  $f_1(t) = 2u(t)$ ,  $f_2(t) = 0$ 。假设初始条件都为 0, 试求两个房室的溶质含量。

41. 某双室模型如图 7.15 所示, 其中  $K_{12} = 0$ ,  $K_{10} = 0.6$ ,  $K_{21} = 0.1$ ,  $K_{20} = 0.8$ ,  $f_1(t) = 0$ ,  $f_2(t) = \delta(t) + 5u(t)$ 。假设初始条件都为 0, 求两个房室的溶质含量。

42. 某双室模型如图 7.15 所示, 其中  $K_{12} = 0.3$ ,  $K_{10} = 0.2$ ,  $K_{21} = 0$ ,  $K_{20} = 0.4$ ,  $f_1(t) = 4u(t)$ ,  $f_2(t) = 5\delta(t)$ 。假设初始条件都为 0, 求两个房室的溶质含量。

43. 某双室模型如图 7.15 所示, 其中  $K_{12} = 0.3$ ,  $K_{10} = 0.5$ ,  $K_{21} = 0$ ,  $K_{20} = 1$ ,  $f_1(t) = 2u(t)$ ,  $f_2(t) = 3\delta(t)$ 。假设初始条件都为 0, 求两个房室的溶质含量。

44. 某双室模型如图 7.15 所示, 其中  $K_{12} = 0$ ,  $K_{10} = 0.6$ ,  $K_{21} = 0.1$ ,  $K_{20} = 0.5$ ,  $f_1(t) = 0$ ,  $f_2(t) = \delta(t) + 5u(t)$ 。假设初始条件都为 0, 求两个房室的溶质含量。

45. 某双室模型如图 7.15 所示, 其中  $K_{12} = 0.3$ ,  $K_{10} = 0.7$ ,  $K_{21} = 0$ ,  $K_{20} = 0.1$ ,  $f_1(t) = 3\delta(t)$ ,  $f_2(t) = 0$ 。假设初始条件都为 0, 求两个房室的溶质含量。

46. 某双室模型如图 7.15 所示, 其中  $K_{12} = 0.4$ ,  $K_{10} = 1.0$ ,  $K_{21} = 0$ ,  $K_{20} = 0.3$ ,  $f_1(t) = 2u(t)$ ,  $f_2(t) = 0$ 。假设初始条件都为 0, 求两个房室的溶质含量。

47. 某双室模型如图 7.15 所示, 其中  $K_{12} = 0.2$ ,  $K_{10} = 0.8$ ,  $K_{21} = 0$ ,  $K_{20} = 0.3$ ,  $f_1(t) = \delta(t) + 2u(t)$ ,  $f_2(t) = 0$ 。假设初始条件都为 0, 求两个房室的溶质含量。

48. 双室模型如图 7.15 所示, 其中  $K_{12} = 0.3$ ,  $K_{10} = 0.5$ ,  $K_{21} = 0.1$ ,  $K_{20} = 0.4$ ,  $f_1(t) = 2u(t)$ ,  $f_2(t) = 5\delta(t)$ 。假设初始条件都为 0, 求每个房室的溶质含量。

49. 某双室模型如图 7.15 所示, 其中  $K_{12} = 0.3$ ,  $K_{10} = 0.7$ ,  $K_{21} = 3$ ,  $K_{20} = 1$ ,

$f_1(t) = 2\delta(t)$ ,  $f_2(t) = 5u(t)$ 。假设初始条件为 0, 求两个房室的溶质含量。

50. 某双室模型如图 7.15 所示, 其中  $K_{12} = 0.2$ ,  $K_{10} = 0.6$ ,  $K_{21} = 0.1$ ,  $K_{20} = 0.5$ ,  $f_1(t) = 3$ ,  $f_2(t) = \delta(t) + 5u(t)$ 。假设初始条件都为 0, 求两个房室的溶质含量。

51. 设消化系统吸收了 1g 溶质, 它进入血浆的传输速率为  $1.4\text{h}^{-1}$ 。血浆房室的体积为 3L, 溶质从血浆输出至环境的传输速率为  $0.7\text{h}^{-1}$ 。(a) 求解血浆的溶质浓度; (b) 求血浆房室的溶质浓度达到最大值的时刻; (c) 求血浆房室的溶质最大浓度。

52. 某房室模型如图 7.37 所示, 将 10g 放射性标记溶质以团注方式注入血浆中, 其浓度随时间变化的关系为

$$c_1(t) = 143e^{-1.6t} + 57e^{-2.8t} \frac{\text{mg}}{100\text{mL}}$$

(a) 求血浆房室的体积; (b) 求传输速率  $K_{12}$ 、 $K_{21}$  和  $K_{13}$ ; (c) 假设输入变为  $5u(t)\text{mg}/100\text{mL}$ , 求  $c_1(t)$  和  $c_2(t)$ ; (d) 假设输入变为  $5[u(t) - u(t-2)]\text{mg}/100\text{mL}$ , 求  $c_1(t)$  和  $c_2(t)$ 。

53. 在如图 7.38 所示的房室系统中施加一个单位阶跃输入, 其中各个传输速率为  $K_{20} = 0.3$ ,  $K_{21} = 1.0$ ,  $K_{12} = 0.6$ 。初始条件为  $q_1(0) = 2$ ,  $q_2(0) = 1$ 。请分别写出包含输入和单个变量 (a)  $q_1$  和 (b)  $q_2$  的微分方程。求解  $t > 0$  时的 (c)  $q_1$  和 (d)  $q_2$ 。(e) 利用 Simulink 从原始微分方程组开始仿真该系统, 并画出  $q_1$  和  $q_2$  的曲线。

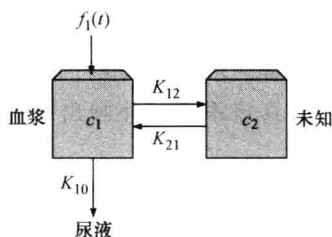


图 7.37 习题 52 的房室模型示意图

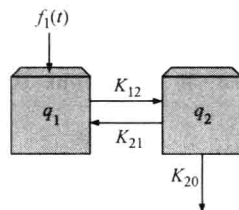


图 7.38 习题 53 ~ 68 的房室模型示意图

54. 在如图 7.38 所示的房室系统中施加一个单位阶跃输入, 其中各个传输速率为  $K_{20} = 0.3$ ,  $K_{21} = 1.0$ ,  $K_{12} = 0.6$ 。初始条件为  $q_1(0) = 0$ ,  $q_2(0) = 2$ 。请分别写出包含输入和单个变量 (a)  $q_1$  和 (b)  $q_2$  的微分方程。求解  $t > 0$  时的 (c)  $q_1$  和 (d)  $q_2$ 。(e) 利用 Simulink 从原始微分方程组开始仿真该系统, 并画出  $q_1$  和  $q_2$  的曲线。

55. 假设图 7.38 所示房室系统的输入为  $2u(t) - 2u(t-1)$ , 其中各个传输速率为  $K_{20} = 0.3$ ,  $K_{21} = 1.0$ ,  $K_{12} = 0.6$ 。初始条件为  $q_1(0) = 2$ ,  $q_2(0) = 0$ 。请分别写出包含输入和单个变量 (a)  $q_1$  和 (b)  $q_2$  的微分方程。求解  $t > 0$  时的 (c)  $q_1$  和 (d)  $q_2$ 。(e) 利用 Simulink 从原始微分方程组开始仿真该系统, 并画出  $q_1$  和  $q_2$  的曲线。

56. 假设图 7.38 所示房室系统的输入为  $2u(t-1)$ , 其中各个传输速率为  $K_{20} = 0.3$ ,  $K_{21} = 1.0$ ,  $K_{12} = 0.6$ 。初始条件为  $q_1(0) = 0$ ,  $q_2(0) = 0$ 。请分别写出包含输入和单个变量 (a)  $q_1$  和 (b)  $q_2$  的微分方程。求解  $t > 0$  时的 (c)  $q_1$  和 (d)  $q_2$ 。(e) 利用 Simulink 从原始微分方程组开始仿真该系统, 并画出  $q_1$  和  $q_2$  的曲线。

57. 假设图 7.38 所示房室系统的输入为  $2e^{-0.5562t}u(t)$ , 其中各个传输速率为  $K_{20} = 0.2$ ,  $K_{21} = 0.1$ ,  $K_{12} = 0.4$ 。初始条件为  $q_1(0) = 0$ ,  $q_2(0) = 0$ 。请分别写出包含输入和单个变量 (a)  $q_1$  和 (b)  $q_2$  的微分方程。求解  $t > 0$  时的 (c)  $q_1$  和 (d)  $q_2$ 。(e) 利用 Simulink 从原始微分方程组开始仿真该系统, 并画出  $q_1$  和  $q_2$  的曲线。

58. 假设图 7.38 所示房室系统的输入为  $2e^{-0.5562t}u(t)$ , 其中各个传输速率为  $K_{20} = 0.2$ ,  $K_{21} = 0.1$ ,  $K_{12} = 0.4$ 。初始条件为  $q_1(0) = 0$ ,  $q_2(0) = 1$ 。请分别写出包含输入和单个变量 (a)  $q_1$  和 (b)  $q_2$  的微分方程。求解  $t > 0$  时的 (c)  $q_1$  和 (d)  $q_2$ 。(e) 利用 Simulink 从原始微分方程组开始仿真该系统, 并画出  $q_1$  和  $q_2$  的曲线。

59. 假设图 7.38 所示房室系统的输入为  $2e^{-0.1438t}u(t)$ , 其中各个传输速率为  $K_{20} = 0.2$ ,  $K_{21} = 0.1$ ,  $K_{12} = 0.4$ 。初始条件为  $q_1(0) = 0$ ,  $q_2(0) = 0$ 。请分别写出包含输入和单个变量 (a)  $q_1$  和 (b)  $q_2$  的微分方程。求解  $t > 0$  时的 (c)  $q_1$  和 (d)  $q_2$ 。(e) 利用 Simulink 从原始微分方程组开始仿真该系统, 并画出  $q_1$  和  $q_2$  的曲线。

60. 假设图 7.38 所示房室系统的输入为  $2e^{-0.1438t}u(t)$ , 其中各个传输速率为  $K_{20} = 0.2$ ,  $K_{21} = 0.1$ ,  $K_{12} = 0.4$ 。初始条件为  $q_1(0) = 2$ ,  $q_2(0) = 0$ 。请分别写出包含输入和单个变量 (a)  $q_1$  和 (b)  $q_2$  的微分方程。求解  $t > 0$  时的 (c)  $q_1$  和 (d)  $q_2$ 。(e) 利用 Simulink 从原始微分方程组开始仿真该系统, 并画出  $q_1$  和  $q_2$  的曲线。

61. 假设图 7.38 所示房室系统的输入为  $2e^{-0.1438t}u(t) - 2e^{-0.1438t-10}u(t-10)$ , 其中各个传输速率为  $K_{20} = 0.2$ ,  $K_{21} = 0.1$ ,  $K_{12} = 0.4$ 。初始条件为  $q_1(0) = 0$ ,  $q_2(0) = 0$ 。请分别写出包含输入和单个变量 (a)  $q_1$  和 (b)  $q_2$  的微分方程。求解  $t > 0$  时的 (c)  $q_1$  和 (d)  $q_2$ 。(e) 利用 Simulink 从原始微分方程组开始仿真该系统, 并画出  $q_1$  和  $q_2$  的曲线。

62. 假设图 7.38 所示房室系统的输入为  $3e^{-t}u(t)$ , 其中各个传输速率为  $K_{20} = 0.2$ ,  $K_{21} = 0.1$ ,  $K_{12} = 0.4$ 。初始条件为  $q_1(0) = 2$ ,  $q_2(0) = 0$ 。请分别写出包含输入和单个变量 (a)  $q_1$  和 (b)  $q_2$  的微分方程。求解  $t > 0$  时的 (c)  $q_1$  和 (d)  $q_2$ 。(e) 利用 Simulink 从原始微分方程组开始仿真该系统, 并画出  $q_1$  和  $q_2$  的曲线。

63. 假设图 7.38 所示房室系统的输入为  $3e^{-t}u(t) - 3e^{-(t-3)}u(t-3)$ , 其中各个传输速率为  $K_{20} = 0.2$ ,  $K_{21} = 0.1$ ,  $K_{12} = 0.4$ 。初始条件为  $q_1(0) = 0$ ,  $q_2(0) = 0$ 。请分别写出包含输入和单个变量 (a)  $q_1$  和 (b)  $q_2$  的微分方程。求解  $t > 0$  时的 (c)  $q_1$  和 (d)  $q_2$ 。(e) 利用 Simulink 从原始微分方程组开始仿真该系统, 并画出  $q_1$  和  $q_2$  的曲线。

64. 假设图 7.38 所示房室系统的输入为  $0.5e^{-2t}u(t)$ , 其中各个传输速率为  $K_{20} = 0.3$ ,  $K_{21} = 1.0$ ,  $K_{12} = 0.6$ 。初始条件为  $q_1(0) = 0$ ,  $q_2(0) = 4$ 。请分别写出包含输入和单个变量 (a)  $q_1$  和 (b)  $q_2$  的微分方程。求解  $t > 0$  时的 (c)  $q_1$  和 (d)  $q_2$ 。(e) 利用 Simulink 从原始微分方程组开始仿真该系统, 并画出  $q_1$  和  $q_2$  的曲线。

65. 假设图 7.38 所示房室系统的输入为  $0.5e^{-2(t-2)}u(t-2)$ , 其中各个传输速率为  $K_{20} = 0.3$ ,  $K_{21} = 1.0$ ,  $K_{12} = 0.6$ 。初始条件为  $q_1(0) = 0$ ,  $q_2(0) = 0$ 。请分别写出包含输入和单个变量 (a)  $q_1$  和 (b)  $q_2$  的微分方程。求解  $t > 0$  时的 (c)  $q_1$  和 (d)  $q_2$ 。(e)

利用 Simulink 从原始微分方程组开始仿真该系统, 并画出  $q_1$  和  $q_2$  的曲线。

66. 假设图 7.38 所示房室系统的输入为  $0.5e^{-2t}u(t) - 0.5e^{-2(t-1.5)}u(t-1.5)$ , 其中各个传输速率为  $K_{20}=0.3$ ,  $K_{21}=1.0$ ,  $K_{12}=0.6$ 。初始条件为  $q_1(0)=0$ ,  $q_2(0)=0$ 。请分别写出包含输入和单个变量 (a)  $q_1$  和 (b)  $q_2$  的微分方程。求解  $t>0$  时的 (c)  $q_1$  和 (d)  $q_2$ 。(e) 利用 Simulink 从原始微分方程组开始仿真该系统, 并画出  $q_1$  和  $q_2$  的曲线。

67. 假设图 7.38 所示房室系统的输入为  $3\cos 4tu(t)$ , 其中各个传输速率为  $K_{20}=0.3$ ,  $K_{21}=1.0$ ,  $K_{12}=0.6$ 。初始条件为  $q_1(0)=0$ ,  $q_2(0)=0$ 。请分别写出包含输入和单个变量 (a)  $q_1$  和 (b)  $q_2$  的微分方程。求解  $t>0$  时的 (c)  $q_1$  和 (d)  $q_2$ 。(e) 利用 Simulink 从原始微分方程组开始仿真该系统, 并画出  $q_1$  和  $q_2$  的曲线。

68. 假设图 7.38 所示房室系统的输入为  $3\sin 2tu(t)$ , 其中各个传输速率为  $K_{20}=3$ ,  $K_{21}=5$ ,  $K_{12}=7$ 。初始条件为  $q_1(0)=1$ ,  $q_2(0)=0$ 。请分别写出包含输入和单个变量 (a)  $q_1$  和 (b)  $q_2$  的微分方程。求解  $t>0$  时的 (c)  $q_1$  和 (d)  $q_2$ 。(e) 利用 Simulink 从原始微分方程组开始仿真该系统, 并画出  $q_1$  和  $q_2$  的曲线。

69. 某房室系统如图 7.39 所示, 输入  $f_3(t)=\delta(t)$  以团注方式注入消化系统 (即房室 3)。其中传输速率  $K_{20}=3$ ,  $K_{21}=5$ ,  $K_{12}=7$ 。假设初始条件都为 0。请分别写出只包含单个变量 (a)  $q_1$  和 (b)  $q_2$  的微分方程。求解  $t>0$  时的 (c)  $q_1$  和 (d)  $q_2$ 。

70. 图 7.20 所示的三室模型中, 各个非 0 参数和非 0 输入如下:  $K_{12}=0.4$ ,  $K_{10}=0.5$ ,  $K_{21}=0.6$ ,  $K_{31}=0.9$ ,  $K_{32}=0.7$ ,  $K_{23}=0.2$ ,  $K_{13}=0.8$ ,  $f_1(t)=3u(t)$ ,  $f_2(t)=5\delta(t)$ 。假设初始条件都为 0。请分别写出包含输入和单个变量 (a)  $q_1$ 、(b)  $q_2$  和 (c)  $q_3$  的微分方程。求解  $t>0$  时的 (d)  $q_1$ 、(e)  $q_2$  和 (f)  $q_3$ 。(g) 利用 Simulink 从原始微分方程组开始仿真该系统, 并画出  $q_1$ 、 $q_2$  和  $q_3$  的曲线。

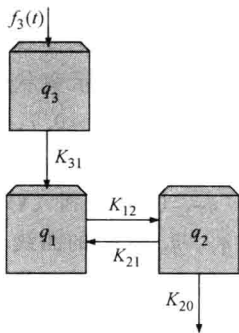


图 7.39 习题 69 的房室模型示意图

71. 图 7.20 所示的三室模型中, 各个非 0 参数和非 0 输入如下:  $K_{12}=0.5$ ,  $K_{10}=0.3$ ,  $K_{21}=0.6$ ,  $K_{31}=0.9$ ,  $K_{32}=0.7$ ,  $K_{23}=0.2$ ,  $K_{13}=0.8$ ,  $f_3(t)=3\delta(t)$ 。假设初始条件都为 0。请分别写出包含输入和单个变量 (a)  $q_1$ 、(b)  $q_2$  和 (c)  $q_3$  的微分方程。求解  $t>0$  时的 (d)  $q_1$ 、(e)  $q_2$  和 (f)  $q_3$ 。(g) 利用 Simulink 从原始微分方程组开始仿真该系统, 并画出  $q_1$ 、 $q_2$  和  $q_3$  的曲线。

72. 图 7.20 所示的三室模型中, 各个非 0 参数和非 0 输入如下:  $K_{12}=0.4$ ,  $K_{10}=0.5$ ,  $K_{21}=0.6$ ,  $K_{31}=0.9$ ,  $K_{32}=0.7$ ,  $K_{23}=0.2$ ,  $K_{13}=0.8$ ,  $f_2(t)=5u(t)$ 。假设初始条件都为 0。请分别写出包含输入和单个变量 (a)  $q_1$ 、(b)  $q_2$  和 (c)  $q_3$  的微分方程。求解  $t>0$  时的 (d)  $q_1$ 、(e)  $q_2$  和 (f)  $q_3$ 。(g) 利用 Simulink 从原始微分方程组开始仿真该系统, 并画出  $q_1$ 、 $q_2$  和  $q_3$  的曲线。

73. 图 7.20 所示的三室模型中, 各个非 0 参数和非 0 输入如下:  $K_{12}=0.6$ ,  $K_{20}=$

0.2,  $K_{21}=0.3$ ,  $K_{31}=0.5$ ,  $K_{32}=0.6$ ,  $K_{23}=0.4$ ,  $K_{13}=0.8$ ,  $f_1(t)=2u(t)$ 。假设初始条件都为0。请分别写出包含输入和单个变量 (a)  $q_1$ 、(b)  $q_2$  和 (c)  $q_3$  的微分方程。求解  $t>0$  时的 (d)  $q_1$ 、(e)  $q_2$  和 (f)  $q_3$ 。(g) 利用 Simulink 从原始微分方程组开始仿真该系统,并画出  $q_1$ 、 $q_2$  和  $q_3$  的曲线。

74. 图 7.20 所示的三室模型中,各个非0参数和非0输入如下:  $K_{12}=0.3$ ,  $K_{20}=0.4$ ,  $K_{21}=0.8$ ,  $K_{31}=0.5$ ,  $K_{32}=0.3$ ,  $K_{23}=0.4$ ,  $K_{13}=0.8$ ,  $f_1(t)=3\delta(t)$ ,  $f_3(t)=3u(t)$ 。假设初始条件都为0。请分别写出包含输入和单个变量 (a)  $q_1$ 、(b)  $q_2$  和 (c)  $q_3$  的微分方程。求解  $t>0$  时的 (d)  $q_1$ 、(e)  $q_2$  和 (f)  $q_3$ 。(g) 利用 Simulink 从原始微分方程组开始仿真该系统,并画出  $q_1$ 、 $q_2$  和  $q_3$  的曲线。

75. 图 7.20 所示的三室模型中,各个非0参数和非0输入如下:  $K_{12}=0.6$ ,  $K_{20}=0.2$ ,  $K_{21}=0.3$ ,  $K_{31}=0.5$ ,  $K_{32}=0.6$ ,  $K_{23}=0.4$ ,  $K_{13}=0.8$ ,  $f_2(t)=\delta(t)+5u(t)$ 。假设初始条件都为0。请分别写出包含输入和单个变量 (a)  $q_1$ 、(b)  $q_2$  和 (c)  $q_3$  的微分方程。求解  $t>0$  时的 (d)  $q_1$ 、(e)  $q_2$  和 (f)  $q_3$ 。(g) 利用 Simulink 从原始微分方程组开始仿真该系统,并画出  $q_1$ 、 $q_2$  和  $q_3$  的曲线。

76. 图 7.21 所示突状结构的三室模型中,各个非0参数和非0输入如下:  $K_{12}=0.3$ ,  $K_{10}=0.5$ ,  $K_{21}=0.2$ ,  $K_{23}=0.4$ ,  $K_{32}=0.6$ ,  $f_2(t)=5\delta(t)$ 。假设初始条件都为0。请分别写出包含输入和单个变量 (a)  $q_1$ 、(b)  $q_2$  和 (c)  $q_3$  的微分方程。求解  $t>0$  时的 (d)  $q_1$ 、(e)  $q_2$  和 (f)  $q_3$ 。(g) 利用 Simulink 从原始微分方程组开始仿真该系统,并画出  $q_1$ 、 $q_2$  和  $q_3$  的曲线。

77. 图 7.21 所示突状结构的三室模型中,各个非0参数和非0输入如下:  $K_{12}=0.4$ ,  $K_{30}=0.5$ ,  $K_{21}=0.7$ ,  $K_{23}=0.8$ ,  $K_{32}=0.2$ ,  $f_3(t)=5\delta(t)$ 。假设初始条件都为0。请分别写出包含输入和单个变量 (a)  $q_1$ 、(b)  $q_2$  和 (c)  $q_3$  的微分方程。求解  $t>0$  时的 (d)  $q_1$ 、(e)  $q_2$  和 (f)  $q_3$ 。(g) 利用 Simulink 从原始微分方程组开始仿真该系统,并画出  $q_1$ 、 $q_2$  和  $q_3$  的曲线。

78. 图 7.21 所示突状结构的三室模型中,各个非0参数和非0输入如下:  $K_{12}=0.3$ ,  $K_{20}=0.2$ ,  $K_{21}=0.3$ ,  $K_{23}=0.4$ ,  $K_{32}=0.6$ ,  $f_1(t)=2u(t)$ 。假设初始条件都为0。请分别写出包含输入和单个变量 (a)  $q_1$ 、(b)  $q_2$  和 (c)  $q_3$  的微分方程。求解  $t>0$  时的 (d)  $q_1$ 、(e)  $q_2$  和 (f)  $q_3$ 。(g) 利用 Simulink 从原始微分方程组开始仿真该系统,并画出  $q_1$ 、 $q_2$  和  $q_3$  的曲线。

79. 图 7.21 所示突状结构的三室模型中,各个非0参数和非0输入如下:  $K_{12}=0.7$ ,  $K_{10}=0.3$ ,  $K_{21}=0.4$ ,  $K_{23}=0.5$ ,  $K_{32}=0.6$ ,  $f_2(t)=\delta(t)+5u(t)$ 。假设初始条件都为0。请分别写出包含输入和单个变量 (a)  $q_1$ 、(b)  $q_2$  和 (c)  $q_3$  的微分方程。求解  $t>0$  时的 (d)  $q_1$ 、(e)  $q_2$  和 (f)  $q_3$ 。(g) 利用 Simulink 从原始微分方程组开始仿真该系统,并画出  $q_1$ 、 $q_2$  和  $q_3$  的曲线。

80. 图 7.22 所示单向结构的三室模型中,各个非0参数和非0输入如下:  $K_{12}=0.1$ ,  $K_{10}=0.2$ ,  $K_{23}=4.0$ ,  $K_{31}=0.4$ ,  $f_3(t)=5\delta(t)$ 。假设初始条件都为0。请分别写出包含输入和单个变量 (a)  $q_1$ 、(b)  $q_2$  和 (c)  $q_3$  的微分方程。求解  $t>0$  时的 (d)  $q_1$ 、(e)  $q_2$

和 (f)  $q_3$ 。(g) 利用 Simulink 从原始微分方程组开始仿真该系统, 并画出  $q_1$ 、 $q_2$  和  $q_3$  的曲线。

81. 图 7.22 所示单向结构的三室模型中, 各个非 0 参数和非 0 输入如下:  $K_{12} = 0.3$ ,  $K_{20} = 0.2$ ,  $K_{23} = 2.0$ ,  $K_{31} = 0.6$ ,  $f_2(t) = 4\delta(t)$ 。假设初始条件都为 0。请分别写出包含输入和单个变量 (a)  $q_1$ 、(b)  $q_2$  和 (c)  $q_3$  的微分方程。求解  $t > 0$  时的 (d)  $q_1$ 、(e)  $q_2$  和 (f)  $q_3$ 。(g) 利用 Simulink 从原始微分方程组开始仿真该系统, 并画出  $q_1$ 、 $q_2$  和  $q_3$  的曲线。

82. 图 7.22 所示单向结构的三室模型中, 各个非 0 参数和非 0 输入如下:  $K_{12} = 0.4$ ,  $K_{10} = 0.2$ ,  $K_{23} = 5.0$ ,  $K_{31} = 1.0$ ,  $f_3(t) = 2u(t)$ 。假设初始条件都为 0。请分别写出包含输入和单个变量 (a)  $q_1$ 、(b)  $q_2$  和 (c)  $q_3$  的微分方程。求解  $t > 0$  时的 (d)  $q_1$ 、(e)  $q_2$  和 (f)  $q_3$ 。(g) 利用 Simulink 从原始微分方程组开始仿真该系统, 并画出  $q_1$ 、 $q_2$  和  $q_3$  的曲线。

83. 图 7.22 所示单向结构的三室模型中, 各个非 0 参数和非 0 输入如下:  $K_{12} = 0.6$ ,  $K_{30} = 0.2$ ,  $K_{23} = 5.0$ ,  $K_{31} = 1.0$ ,  $f_1(t) = u(t)$ 。假设初始条件都为 0。请分别写出包含输入和单个变量 (a)  $q_1$ 、(b)  $q_2$  和 (c)  $q_3$  的微分方程。求解  $t > 0$  时的 (d)  $q_1$ 、(e)  $q_2$  和 (f)  $q_3$ 。(g) 利用 Simulink 从原始微分方程组开始仿真该系统, 并画出  $q_1$ 、 $q_2$  和  $q_3$  的曲线。

84. 图 7.22 所示单向结构的三室模型中, 各个非 0 参数和非 0 输入如下:  $K_{12} = 0.3$ ,  $K_{10} = 0.1$ ,  $K_{23} = 0.4$ ,  $K_{31} = 0.6$ ,  $f_1(t) = 3\delta(t)$ 。假设初始条件都为 0。请分别写出包含输入和单个变量 (a)  $q_1$ 、(b)  $q_2$  和 (c)  $q_3$  的微分方程。求解  $t > 0$  时的 (d)  $q_1$ 、(e)  $q_2$  和 (f)  $q_3$ 。(g) 利用 Simulink 从原始微分方程组开始仿真该系统, 并画出  $q_1$ 、 $q_2$  和  $q_3$  的曲线。

85. 图 7.22 所示单向结构的三室模型中, 各个非 0 参数和非 0 输入如下:  $K_{12} = 0.3$ ,  $K_{20} = 0.1$ ,  $K_{23} = 0.2$ ,  $K_{31} = 0.4$ ,  $f_2(t) = 4\delta(t)$ 。假设初始条件都为 0。请分别写出包含输入和单个变量 (a)  $q_1$ 、(b)  $q_2$  和 (c)  $q_3$  的微分方程。求解  $t > 0$  时的 (d)  $q_1$ 、(e)  $q_2$  和 (f)  $q_3$ 。(g) 利用 Simulink 从原始微分方程组开始仿真该系统, 并画出  $q_1$ 、 $q_2$  和  $q_3$  的曲线。

86. 图 7.22 所示单向结构的三室模型中, 各个非 0 参数和非 0 输入如下:  $K_{12} = 0.4$ ,  $K_{10} = 0.2$ ,  $K_{23} = 0.5$ ,  $K_{31} = 1.0$ ,  $f_3(t) = 8u(t)$ 。假设初始条件都为 0。请分别写出包含输入和单个变量 (a)  $q_1$ 、(b)  $q_2$  和 (c)  $q_3$  的微分方程。求解  $t > 0$  时的 (d)  $q_1$ 、(e)  $q_2$  和 (f)  $q_3$ 。(g) 利用 Simulink 从原始微分方程组开始仿真该系统, 并画出  $q_1$ 、 $q_2$  和  $q_3$  的曲线。

87. 图 7.22 所示单向结构的三室模型中, 各个非 0 参数和非 0 输入如下:  $K_{12} = 0.6$ ,  $K_{30} = 0.2$ ,  $K_{23} = 0.8$ ,  $K_{31} = 0.3$ ,  $f_1(t) = 4u(t)$ 。假设初始条件都为 0。请分别写出包含输入和单个变量 (a)  $q_1$ 、(b)  $q_2$  和 (c)  $q_3$  的微分方程。求解  $t > 0$  时的 (d)  $q_1$ 、(e)  $q_2$  和 (f)  $q_3$ 。(g) 利用 Simulink 从原始微分方程组开始仿真该系统, 并画出  $q_1$ 、 $q_2$  和  $q_3$  的曲线。

88. 图 7.21 所示突状结构的三室模型中, 各个非 0 参数和非 0 输入如下:  $K_{12} = 0.3$ ,  $K_{10} = 0.5$ ,  $K_{21} = 0.2$ ,  $K_{23} = 0.4$ ,  $f_2(t) = 5\delta(t)$ 。假设初始条件都为 0。请分别写出包含输入和单个变量 (a)  $q_1$ 、(b)  $q_2$  和 (c)  $q_3$  的微分方程。求解  $t > 0$  时的 (d)  $q_1$ 、(e)  $q_2$  和 (f)  $q_3$ 。(g) 利用 Simulink 从原始微分方程组开始仿真该系统, 并画出  $q_1$ 、 $q_2$  和  $q_3$  的曲线。

89. 图 7.21 所示突状结构的三室模型中, 各个非 0 参数和非 0 输入如下:  $K_{30} = 0.5$ ,  $K_{21} = 0.7$ ,  $K_{23} = 0.8$ ,  $K_{32} = 0.2$ ,  $f_3(t) = 5\delta(t)$ 。假设初始条件都为 0。请分别写出包含输入和单个变量 (a)  $q_1$ 、(b)  $q_2$  和 (c)  $q_3$  的微分方程。求解  $t > 0$  时的 (d)  $q_1$ 、(e)  $q_2$  和 (f)  $q_3$ 。(g) 利用 Simulink 从原始微分方程组开始仿真该系统, 并画出  $q_1$ 、 $q_2$  和  $q_3$  的曲线。

90. 图 7.21 所示突状结构的三室模型中, 各个非 0 参数和非 0 输入如下:  $K_{12} = 0.3$ ,  $K_{20} = 0.2$ ,  $K_{23} = 0.4$ ,  $K_{32} = 0.6$ ,  $f_1(t) = 2u(t)$ 。假设初始条件都为 0。请分别写出包含输入和单个变量 (a)  $q_1$ 、(b)  $q_2$  和 (c)  $q_3$  的微分方程。求解  $t > 0$  时的 (d)  $q_1$ 、(e)  $q_2$  和 (f)  $q_3$ 。(g) 利用 Simulink 从原始微分方程组开始仿真该系统, 并画出  $q_1$ 、 $q_2$  和  $q_3$  的曲线。

91. 图 7.21 所示突状结构的三室模型中, 各个非 0 参数和非 0 输入如下:  $K_{12} = 0.7$ ,  $K_{10} = 0.3$ ,  $K_{21} = 0.4$ ,  $K_{32} = 0.6$ ,  $f_3(t) = 3\delta(t) + 5u(t)$ 。假设初始条件都为 0。请分别写出包含输入和单个变量 (a)  $q_1$ 、(b)  $q_2$  和 (c)  $q_3$  的微分方程。求解  $t > 0$  时的 (d)  $q_1$ 、(e)  $q_2$  和 (f)  $q_3$ 。(g) 利用 Simulink 从原始微分方程组开始仿真该系统, 并画出  $q_1$ 、 $q_2$  和  $q_3$  的曲线。

92. 图 7.20 所示三室模型中, 各个非 0 参数和非 0 输入如下:  $K_{12} = 0.4$ ,  $K_{10} = 0.5$ ,  $K_{21} = 0.6$ ,  $K_{31} = 0.9$ ,  $K_{32} = 0.7$ ,  $K_{23} = 0.2$ ,  $K_{13} = 0.8$ ,  $f_2(t) = 3e^{-t}u(t)$ 。假设初始条件都为 0。请分别写出包含输入和单个变量 (a)  $q_1$ 、(b)  $q_2$  和 (c)  $q_3$  的微分方程。求解  $t > 0$  时的 (d)  $q_1$ 、(e)  $q_2$  和 (f)  $q_3$ 。(g) 利用 Simulink 从原始微分方程组开始仿真该系统, 并画出  $q_1$ 、 $q_2$  和  $q_3$  的曲线。

93. 图 7.20 所示三室模型中, 各个非 0 参数和非 0 输入如下:  $K_{12} = 0.4$ ,  $K_{10} = 0.5$ ,  $K_{21} = 0.6$ ,  $K_{31} = 0.9$ ,  $K_{32} = 0.7$ ,  $K_{23} = 0.2$ ,  $K_{13} = 0.8$ ,  $f_2(t) = 3e^{-(t-1)}u(t-1)$ 。假设初始条件都为 0。请分别写出包含输入和单个变量 (a)  $q_1$ 、(b)  $q_2$  和 (c)  $q_3$  的微分方程。求解  $t > 0$  时的 (d)  $q_1$ 、(e)  $q_2$  和 (f)  $q_3$ 。(g) 利用 Simulink 从原始微分方程组开始仿真该系统, 并画出  $q_1$ 、 $q_2$  和  $q_3$  的曲线。

94. 某三室模型如图 7.40 所示, 将 5g 放射性标记药物以团注的方式注入房室 2。房室 2 中药物浓度随时间变化的方程为

$$c_2(t) = -6.6271e^{-3.1069t} + 106.6271e^{-0.1931t} \frac{\text{mg}}{100\text{mL}}$$

(a) 房室 2 的体积是多大? (b) 请计算传输速率  $K_{21}$ ,  $K_{23}$  和  $K_{32}$ 。

95. 某突状结构的四室模型如图 7.26 所示, 其中非 0 参数和非 0 输入如下:  $K_{12} = 0.3$ ,  $K_{10} = 0.2$ ,  $K_{21} = 0.4$ ,  $K_{31} = 0.8$ ,  $K_{13} = 0.7$ ,  $K_{14} = 0.2$ ,  $K_{41} = 0.5$ ,  $f_2(t) = 5\delta(t)$ 。

假设初始条件都为 0。请分别写出包含输入和单个变量 (a)  $q_1$ 、(b)  $q_2$ 、(c)  $q_3$  和 (d)  $q_4$  的微分方程。求解  $t > 0$  时的 (e)  $q_1$ 、(f)  $q_2$ 、(g)  $q_3$  和 (h)  $q_4$ 。(i) 利用 Simulink 从原始微分方程组开始仿真该系统,并画出各房室的溶质含量曲线。

96. 某突状结构的四室模型如图 7.26 所示,其中非 0 参数和非 0 输入如下:  $K_{12} = 0.5$ ,  $K_{10} = 0.1$ ,  $K_{21} = 0.3$ ,  $K_{20} = 0.3$ ,  $K_{31} = 0.2$ ,  $K_{13} = 0.5$ ,  $K_{14} = 0.7$ ,  $K_{41} = 0.2$ ,  $f_1(t) = 5u(t)$ 。假设初始条件都为 0。请分别写出包含输入和单个

变量 (a)  $q_1$ 、(b)  $q_2$ 、(c)  $q_3$  和 (d)  $q_4$  的微分方程。求解  $t > 0$  时的 (e)  $q_1$ 、(f)  $q_2$ 、(g)  $q_3$  和 (h)  $q_4$ 。(i) 利用 Simulink 从原始微分方程组开始仿真该系统,并画出各房室的溶质含量曲线。

97. 某链状结构的四室模型如图 7.27 所示,其中非 0 参数和非 0 输入如下:  $K_{12} = 0.3$ ,  $K_{10} = 0.1$ ,  $K_{21} = 0.5$ ,  $K_{30} = 0.4$ ;  $K_{32} = 0.6$ ,  $K_{23} = 0.4$ ,  $K_{34} = 0.2$ ,  $K_{43} = 0.7$ ,  $f_1(t) = 10\delta(t)$ 。假设初始条件都为 0。请分别写出包含输入和单个变量 (a)  $q_1$ 、(b)  $q_2$ 、(c)  $q_3$  和 (d)  $q_4$  的微分方程。求解  $t > 0$  时的 (e)  $q_1$ 、(f)  $q_2$ 、(g)  $q_3$  和 (h)  $q_4$ 。(i) 利用 Simulink 从原始微分方程组开始仿真该系统,并画出各房室的溶质含量曲线。

98. 某链状结构的四室模型如图 7.27 所示,其中非 0 参数和非 0 输入如下:  $K_{12} = 0.7$ ,  $K_{10} = 0.2$ ,  $K_{21} = 0.4$ ,  $K_{32} = 0.2$ ,  $K_{23} = 0.7$ ,  $K_{34} = 0.3$ ,  $K_{43} = 0.5$ ,  $f_3(t) = 20u(t)$ 。假设初始条件都为 0。请分别写出包含输入和单个变量 (a)  $q_1$ 、(b)  $q_2$ 、(c)  $q_3$  和 (d)  $q_4$  的微分方程。求解  $t > 0$  时的 (e)  $q_1$ 、(f)  $q_2$ 、(g)  $q_3$  和 (h)  $q_4$ 。(i) 利用 Simulink 从原始微分方程组开始仿真该系统,并画出各房室的溶质含量曲线。

99. 某单向结构的四室模型如图 7.28 所示,其中非 0 参数和非 0 输入如下:  $K_{12} = 0.4$ ,  $K_{10} = 0.1$ ,  $K_{23} = 0.6$ ,  $K_{34} = 0.7$ ,  $K_{41} = 0.4$ ,  $K_{40} = 0.2$ ,  $f_3(t) = 20\delta(t)$ 。假设初始条件都为 0。请分别写出包含输入和单个变量 (a)  $q_1$ 、(b)  $q_2$ 、(c)  $q_3$  和 (d)  $q_4$  的微分方程。求解  $t > 0$  时的 (e)  $q_1$ 、(f)  $q_2$ 、(g)  $q_3$  和 (h)  $q_4$ 。(i) 利用 Simulink 从原始微分方程组开始仿真该系统,并画出各房室的溶质含量曲线。

100. 某单向结构的四室模型如图 7.28 所示,其中非 0 参数和非 0 输入如下:  $K_{12} = 0.4$ ,  $K_{10} = 0.1$ ,  $K_{23} = 0.6$ ,  $K_{34} = 0.7$ ,  $K_{41} = 0.4$ ,  $K_{40} = 0.2$ ,  $f_3(t) = 15\delta(t)$ 。假设初始条件都为 0。请分别写出包含输入和单个变量 (a)  $q_1$ 、(b)  $q_2$ 、(c)  $q_3$  和 (d)  $q_4$  的微分方程。求解  $t > 0$  时的 (e)  $q_1$ 、(f)  $q_2$ 、(g)  $q_3$  和 (h)  $q_4$ 。(i) 利用 Simulink 从原始微分方程组开始仿真该系统,并画出各房室的溶质含量曲线。

101. 某单向结构的四室模型如图 7.28 所示,其中非 0 参数和非 0 输入如下:  $K_{12} = 0.4$ ,  $K_{23} = 0.4$ ,  $K_{34} = 0.4$ ,  $K_{41} = 0.4$ ,  $f_3(t) = 10\delta(t)$ 。假设初始条件都为 0。请分别写出包含输入和单个变量 (a)  $q_1$ 、(b)  $q_2$ 、(c)  $q_3$  和 (d)  $q_4$  的微分方程。求解  $t > 0$  时的 (e)  $q_1$ 、(f)  $q_2$ 、(g)  $q_3$  和 (h)  $q_4$ 。(i) 利用 Simulink 从原始微分方程组开始仿真

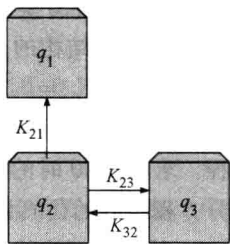


图 7.40 习题 94 的三室模型示意图



该系统,并画出各房室的溶质含量曲线。

102. 某单向结构的五室模型如图 7.28 所示,其中非 0 参数和非 0 输入如下:  $K_{12} = 0.5$ ,  $K_{23} = 0.5$ ,  $K_{34} = 0.5$ ,  $K_{45} = 0.5$ ,  $K_{51} = 0.5$ ,  $K_{40} = 0.1$ ,  $f_2(t) = 10\delta(t)$ 。假设初始条件都为 0。请分别写出包含输入和单个变量 (a)  $q_1$ 、(b)  $q_2$ 、(c)  $q_3$  和 (d)  $q_4$  的微分方程。求解  $t > 0$  时的 (e)  $q_1$ 、(f)  $q_2$ 、(g)  $q_3$  和 (h)  $q_4$ 。(i) 利用 Simulink 从原始微分方程组开始仿真该系统,并画出各房室的溶质含量曲线。

103. 某单向结构的五室模型如图 7.28 所示,其中非 0 参数和非 0 输入如下:  $K_{12} = 0.5$ ,  $K_{23} = 0.5$ ,  $K_{34} = 0.5$ ,  $K_{45} = 0.5$ ,  $K_{51} = 0.5$ ,  $f_1(t) = 5\delta(t)$ 。假设初始条件都为 0。请分别写出包含输入和单个变量 (a)  $q_1$ 、(b)  $q_2$ 、(c)  $q_3$  和 (d)  $q_4$  的微分方程。求解  $t > 0$  时的 (e)  $q_1$ 、(f)  $q_2$ 、(g)  $q_3$  和 (h)  $q_4$ 。(i) 利用 Simulink 从原始微分方程组开始仿真该系统,并画出各房室的溶质含量曲线。

104. 将 1g 溶质倒入图 7.41 所示系统的房室 1 中,设各个传输速率为  $K_{12} = 0.4$ ,  $K_{23} = 0.6$ ,  $K_{24} = 0.3$ ,  $K_{32} = 1.2$ ,  $K_{34} = 0.8$ ,  $K_{42} = 0.7$ 。请分别写出仅包含单个变量 (a)  $q_1$ 、(b)  $q_2$ 、(c)  $q_3$  和 (d)  $q_4$  的微分方程。求解  $t > 0$  时的 (e)  $q_1$ 、(f)  $q_2$ 、(g)  $q_3$  和 (h)  $q_4$ 。(i) 利用 Simulink 从原始微分方程组开始仿真该系统的每个变量。

105. 某房室系统如图 7.42 所示,将放射性标记的溶质以团注的方式注入房室 3,其幅值为 1。设  $K_{21} = 0.2$ ,  $K_{32} = 0.3$ ,  $K_{31} = 0.7$ ,  $K_{13} = 0.4$ ,  $K_{34} = 0.9$ ,  $K_{43} = 0.1$ ,  $K_{14} = 0.6$ 。请分别写出仅包含单个变量 (a)  $q_1$ 、(b)  $q_2$ 、(c)  $q_3$  和 (d)  $q_4$  的微分方程。求解  $t > 0$  时的 (e)  $q_1$ 、(f)  $q_2$ 、(g)  $q_3$  和 (h)  $q_4$ 。(i) 利用 Simulink 从原始微分方程组开始仿真该系统,并作出变量  $q_1$ 、 $q_2$ 、 $q_3$  和  $q_4$  的曲线。

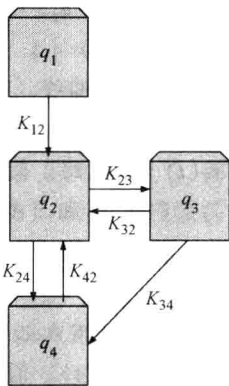


图 7.41 习题 104 的系统模型示意图

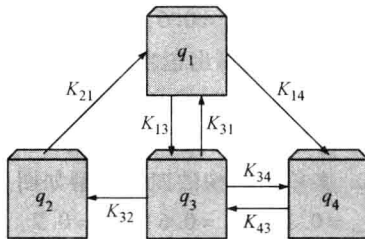


图 7.42 习题 105 的系统模型示意图

106. 利用图 7.33 所示的模型来仿真口服 T3 的甲状腺素替代疗法。假设 T3 在房室 1 (消化道) 中呈固体状,而进入房室 2 (仍属于消化道) 后呈液体状。房室 3 表示血浆,房室 4 和房室 5 分别表示快组织和慢组织。假设输入是胶囊药丸的团注方式,设为  $f_1(t) = 5\delta(t)$ ,且初始条件都为 0。各个传输速率如下:  $K_{12} = 1.1$ ,  $K_{20} = 0.01$ ,  $K_{23} = 0.9$ ,  $K_{34} = 7.0$ ,  $K_{43} = 30$ ,  $K_{40} = 0.8$ ,  $K_{35} = 2.0$ ,  $K_{53} = 0.3$ ,  $K_{50} = 0.1$ 。要注意,  $K_{40}$  和  $K_{50}$

表示 T3 的代谢。试求解房室 3 的 T3 含量。

107. 利用图 7.43 所示的模型来仿真口服 T4 的甲状腺素替代疗法。假设 T4 在房室 7 (消化道) 中呈固体状, 而进入房室 8 (仍属于消化道) 后呈液体状。房室 2 和 5 都表示血浆, 它们分别针对 T3 和 T4。房室 1 和 4 表示快组织, 房室 3 和 6 表示慢组织。假设输入是胶囊药丸的团注方式, 设为  $f_7(t) = 25\delta(t)$ , 初始条件都为 0。各个传输速率如下:  $K_{63} = 0.9$ ,  $K_{41} = 0.7$ ,  $K_{78} = 1.1$ ,  $K_{80} = 0.01$ ,  $K_{85} = 0.62$ ,  $K_{21} = 15$ ,  $K_{12} = 30$ ,  $K_{10} = 1.0$ ,  $K_{23} = 0.5$ ,  $K_{32} = 0.4$ ,  $K_{30} = 0.05$ ,  $K_{40} = 0.08$ ,  $K_{45} = 0.45$ ,  $K_{54} = 0.28$ ,  $K_{56} = 0.05$ ,  $K_{65} = 0.017$ ,  $K_{60} = 0.018$ 。要注意,  $K_{10}$ 、 $K_{30}$ 、 $K_{40}$  和  $K_{60}$  都表示 T3 和 T4 的代谢。试求房室 2 的 T3 含量。

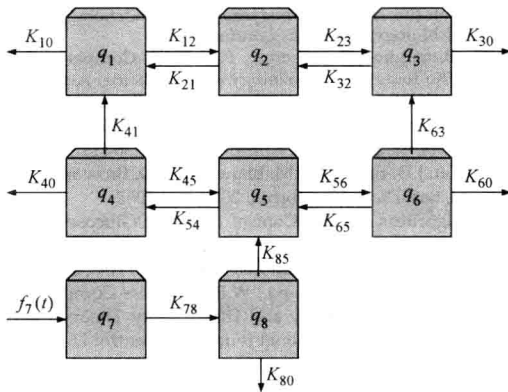


图 7.43 习题 107 的房室模型示意图

108. 利用图 7.43 所示的模型来仿真口服 T4 的甲状腺素替代疗法。假设 T4 在房室 7 (消化道) 中呈固体状, 而进入房室 8 (仍属于消化道) 后呈液体状。房室 2 和 5 都表示血浆, 它们分别针对 T3 和 T4。房室 1 和 4 表示快组织, 房室 3 和 6 表示慢组织。假设输入是胶囊药丸的团注方式, 设为  $f_7(t) = 25\delta(t)$ , 初始条件都为 0。各个传输速率如下:  $K_{63} = 0.9$ ,  $K_{41} = 0.7$ ,  $K_{78} = 1.1$ ,  $K_{80} = 0.01$ ,  $K_{85} = 0.62$ ,  $K_{21} = 7.0$ ,  $K_{12} = 10$ ,  $K_{10} = 0.8$ ,  $K_{23} = 2.0$ ,  $K_{32} = 0.3$ ,  $K_{30} = 0.1$ ,  $K_{40} = 0.06$ ,  $K_{45} = 1.0$ ,  $K_{54} = 0.3$ ,  $K_{56} = 0.0$ ,  $K_{65} = 0.03$ ,  $K_{60} = 0.02$ 。要注意,  $K_{10}$ 、 $K_{30}$ 、 $K_{40}$  和  $K_{60}$  都表示 T3 和 T4 的代谢。试求房室 2 的 T3 含量。

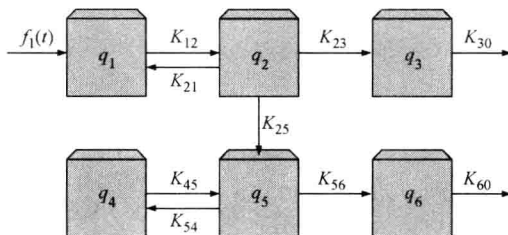


图 7.44 习题 108 和 109 的房室模型示意图

109. 试求解图 7.44 所示模型中每个房室的溶质含量。其中各个参数为:  $K_{12} = 1.6$ ,  $K_{21} = 0.5$ ,  $K_{23} = 2.0$ ,  $K_{30} = 0.5$ ,  $K_{25} = 2.5$ ,  $K_{45} = 0.4$ ,  $K_{54} = 1.5$ ,  $K_{60} = 0.5$ ,  $K_{56} = 0.4$ ,  $f_1(t) = 10\delta(t)$ 。

## 推荐阅读资料和参考文献

- E. Ackerman, L.C. Gatewood, *Mathematical Models in the Health Sciences*, University of Minnesota Press, Minneapolis, 1979.
- E.S. Allman, J.A. Rhodes, *Mathematical Models in Biology, An Introduction*, Cambridge University Press, Cambridge, UK, 2004.
- S.A. Berger, W. Goldsmith, E.R. Lewis, *Bioengineering*, Oxford University Press, Oxford, UK, 1996.
- G.E. Briggs, J.B.S. Haldane, A note on the kinetics of enzyme action, *Biochem. J.* 19 (1925) 338–339.
- N.F. Britton, *Essential Mathematical Biology*, Springer, London, 2003.
- J.H.U. Brown, J.E. Jacobs, L. Stark, *Biomedical Engineering*, F.A. Davis Company, Philadelphia, 1971.
- E. Carson, C. Cobelli, *Modeling Methodology for Physiology and Medicine*, Academic Press, London, 2001.
- J.R. Cameron, J.G. Skofronick, R. Grant, *Physics of the Body*, Medical Physics Publishing, Madison, WI, 1999.
- J.J. DiStefano, F. Mori, *Am. J. Physiol. Regul. Integr. Comp. Physiol.* 233 (1977) 134–144.
- J.J. DiStefano, P.H. Mak, *Am. J. Physiol. Regul. Integr. Comp. Physiol.* 236 (1979) 137–141.
- R. Fisher, *Compartmental Analysis*, in: J.D. Enderle, S.M. Blanchard, J.D. Bronzino (Eds.), *Introduction to Biomedical Engineering*, Academic Press, San Diego, California, 2000, pp. 1062.
- M.E. Fisher, A Semiclosed-Loop Algorithm for the Control of Blood Glucose Levels in Diabetics, *IEEE Trans. Biomed. Eng.* 38 (1) (1991).
- K. Godfrey, *Compartmental Models and Their Applications*, Academic Press, San Diego, California, 1983.
- A.C. Guyton, *Textbook of Medical Physiology*, eighth ed., W.B. Saunders Company, Philadelphia, 1991.
- W.M. Haddad, V.S. Chellaboina, E. August, *Stability and Dissipativity Theory for Discrete-Time Non-Negative and Compartmental Dynamical Systems*, *International Journal of Control* 76 (18) (2003) 1845–1861.
- V. Henri, *Lois Générales de l'Action des Diastases*, Hermann, Paris, 1903.
- F.C. Hoppensteadt, C.S. Peskin, *Mathematics in Medicine and the Life Sciences*, Springer-Verlag, New York, 1990.
- J.A. Jacquez, *Modeling with Compartments*, BioMedware, Ann Arbor, MI, 1999.
- J.A. Jacquez, *Compartmental Analysis in Biology and Medicine*, third ed, BioMedware, Ann Arbor, MI, 1996.
- J. Keener, J. Sneyd, *Mathematical Physiology*, Springer, New York, 1998.
- L. Michaelis, M. Menten, *Die Kinetik der Invertinwirkung*, *Biochem. Z.* 49 (1913) 333–369.
- J.D. Murray, *Mathematical Biology*, third ed., Springer, New York, 2001.
- R.B. Northrop, *Endogenous and Exogenous Regulation and Control of Physiological Systems*, CRC Press, 1999.
- A. Ritter, S. Reisman, B. Michniak, *Biomedical Engineering Principles*, CRC Press, Boca Raton, FL, 2005.
- S. Schnell, C. Mendoza, Closed form solution for time-dependent enzyme kinetics, *J. Theor. Biol.* 187 (1997) 207–212.

# 第 8 章 生化反应和酶动力学

John D. Enderle 博士

## 本章目录

- 8.1 化学反应
- 8.2 酶动力学
- 8.3 利用准稳态近似值的其他模型
- 8.4 扩散、生化反应和酶动力学
- 8.5 细胞呼吸：葡萄糖代谢和 ATP 的生成
- 8.6 酶的抑制、变构调节和协同反应
- 8.7 习题

## 推荐阅读资料

## 本章的主要学习内容：

- 根据质量作用定律，利用微分方程组定量分析化学反应；
- 根据质量作用定律，利用微分方程组定量分析酶动力学；
- 分析和计算化学反应的准稳态近似曲线；
- 利用 Simulink 仿真化学反应和酶动力学；
- 利用准稳态近似方法分析新陈代谢的房室模型；
- 建模仿真生理系统的生化反应、酶动力学、扩散、载体介导的物质运输和主动运输；
- 定量分析 Na-K 泵；
- 定量分析细胞呼吸；
- 建模仿真化学反应的催化剂和抑制剂的作用过程。

本章主要讲述细胞内外所发生的那些遵循质量作用定律的化学反应。质量作用定律指出：反应速率与各反应物浓度的乘积成正比。本章所述化学反应是维持生命的所有功能的基础，它们包括激素和蛋白质的合成、肌肉收缩、呼吸、繁殖、神经信号的产生以及许多其他反应。虽然质量作用定律很有用，但它并非适用于所有化学反应。有些情况下，我们不了解确切的化学反应机制，就不能使用质量作用定律。

根据质量作用定律所建立的模型是非线性的，还可能是时变的。而且，反应速率受温度的影响很大，温度升高时反应速率会增加。假定反应物在房室中均匀分布，那么，反应物分子之间发生碰撞的概率取决于反应物的浓度，而且，这些碰撞足以导致产物的

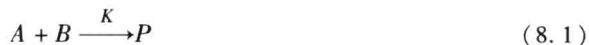
合成。由于这类模型是非线性的,我们通常需要利用 Simulink 软件来仿真求解模型的方程。不过,对于本章所列举的某些特殊非线性方程\*,我们会给出解析解。

催化剂是能够显著改变反应速率的物质,它们的数量一般很少,并且在反应中无损耗。催化剂的功能是缩短化学反应达到稳态所需的时间。例如,有两种反应物在室温下自发反应生成产物的速度非常慢,一旦有合适的催化剂,该化学反应的速度就会显著加快,大大缩短达到稳态所需的时间。酶就是各种生物反应的蛋白质类催化剂,它们可以调控生物体内绝大多数反应过程,能够将反应速率提高数千倍甚至数万亿倍,并且具有特异性。通常,酶的浓度远小于反应物的浓度。还要注意,虽然在酶的作用下反应速率显著提高,但生成产物时所消耗的化学反应总能量并没有改变。

本章下面首先介绍简单化学反应和酶动力学;然后讲述准稳态近似方法、米氏反应的底物消耗过程以及酶作用的调控;最后分析几种重要的生理过程,包括循环系统向细胞运输氧气和二氧化碳、Na-K 泵和细胞呼吸。

## 8.1 化学反应

化学物质  $A$  与  $B$  相互作用变成产物  $P$  的单级化学反应如下:



其中,  $K$  为反应的速率常数。式 (8.1) 被称为化学计量方程 (stoichiometric equation), 其左边列出反应所需的反应物及其数量, 右边列出反应产物。根据质量守恒定律,  $A$  的总量必须等于反应物  $A$  与产物中所含  $A$  之和; 同理,  $B$  也是如此。化学计量方程不能描述化学反应的动态过程 (即动力学), 不同的化学反应的时间过程可能非常快, 也可能非常慢。根据质量作用定律可以写出化学反应的动力学方程。式 (8.1) 中的箭头表示自发反应的方向, 速率常数  $K$  则描述反应的快慢, 它是温度的函数, 温度上升时反应速率通常会增加。本章的分析模型都假设温度恒定不变, 因此, 反应速率为常数。

### 8.1.1 化学键

游离的原子在自然界很少见, 它们一般都呈现为分子的形式。分子中, 多个原子通过强有力的化学键结合在一起, 而化学键是由原子之间的电子共享或者电子转移形成的。分子与分子之间的作用力很弱, 这使得分子能够各自独立活动。分子可以仅包含一种原子, 但化合物分子至少包含两种不同的原子。例如, 氢气分子  $H_2$  和氧气分子  $O_2$  等不是化合物, 它们仅由一种原子组成。为了简化表述, 本章所称的分子包括化合物分子。

原子是由数量相等的质子和电子组成的粒子, 它呈电中性。如果原子中的质子数和电子数不相等, 那么, 它就是离子。离子是带正电荷或者负电荷的粒子。钠原子和钾原子失去一个电子之后变成  $Na^+$  离子和  $K^+$  离子; 钙原子失去两个电子之后变成  $Ca^{2+}$  离子。这些离子带正电荷, 被称为阳离子。氯原子得到一个电子之后变成  $Cl^-$  离子, 它带

负电荷,被称为阴离子。

将各种原子和分子结合在一起的化学键有许多种,它们的作用强度各不相同。其中,离子键和共价键是最强的化学键,氢键则是最弱的化学键。

许多分子是由带正电荷和带负电荷的离子通过离子键结合在一起组成的。由于正、负离子之间的静电吸引力很强,这种化学键极强。构成离子键的两种原子中,通常一种原子的外层电子很少,而另一种原子的外层就快被电子占满了。这样,其中一种原子的电子就会转移到另一种原子上,从而形成离子键。以氯化钠为例,钠原子最外层只有1个电子,而氯原子最外层有7个电子,钠原子将1个电子转移给氯原子就形成了由 $\text{Na}^+$ 离子和 $\text{Cl}^-$ 离子组成的 $\text{NaCl}$ 分子。再以氧化镁为例,镁原子有2个外层电子,它将这2个外层电子都转移给氧原子就形成了 $\text{Mg}^{2+}$ 离子与 $\text{O}^{2-}$ 离子之间的离子键,从而组成 $\text{MgO}$ 分子。

共价键是由两个原子共享电子对形成的,它可以增强分子的稳定性。形成共价键的两个原子不必是同种原子,但必须具有相同的电负性。例如, $\text{H}_2$ 分子就是由共价键形成的。 $\text{CO}_2$ 分子由1个碳原子和2个氧原子组成,碳原子有4个外层电子,氧原子有6个外层电子。两种原子通过共享外层电子形成共价键,碳的4个外层电子被分享于2个氧原子的外层。

氢键是一个分子中的氢原子与另一个分子中的电负性原子之间形成的作用力。典型的电负性原子有 $\text{H}_2\text{O}$ 中的氧原子、 $\text{NH}_3$ 中的氮原子和 $\text{HF}$ 中的氟原子等。注意,氢键不存在于分子内部,而是作用于分子之间。氢原子非常小,因此,它可以充分靠近其他分子中半径很小的原子,如刚提到过的氧、氮、氟等原子。水分子之间就存在氢键。水分子中的氧原子带负电荷,它可以与其他2个水分子中带正电荷的氢原子相结合。这种氢键将水分子结合在一起,从而使水具有与众不同的特性,例如,水的表面张力和黏度都很大。但是,必须记住,与水分子内部的化学键相比,氢键的作用力非常弱。当水被加热到沸点时,所有氢键都断开,水就变成气体;当水结成冰时,氢键的密度较小,并排列成一定的结构;在沸点与冰点之间,水中氢键的密度很大,并随机分布。氢键在蛋白质和核酸分子内部也具有重要作用,它们可以使这些分子呈现不同的形状。

分子失去电子的化学反应被称为氧化反应,反之,分子获得电子的化学反应被称为还原反应。有些多级化学反应中即有氧化反应也有还原反应。化学键形成时会释放能量,其大小与断开化学键所需的能量相同。因此,化学键存储能量。化学反应的第一步是消耗能量来断开反应物分子内部的化学键,使得其中的原子可以重新组合成不稳定的高能量中间产物(即活化的复合物);然后再生成产物,并释放能量。如果产物的化学键中所存储的能量少于反应物中所存储的总能量,那么,该化学反应就有净能量释放出来。化学反应所需的能量与反应的速率常数成反比。

### 8.1.2 单级化学反应的动力学

根据质量作用定律,如图8.1所示,可利用房室模型将式(8.1)可视化。图中两个房室的体积相同,也就是说化学反应在体积恒定的单个容器内进行。描述式(8.1)

和图 8.1 所示化学反应的微分方程为

$$\dot{q}_A = -Kq_Aq_B \quad (8.2)$$

式中  $q_A$  和  $q_B$ ——反应物 A 和 B 的质量;

$K$ ——传输速率或者反应速率常数。将浓度转换成式 (8.2) 所使用的质量时, 传输速率要包括体积因素。

注意, 式 (8.2) 的右边是  $q_A$  与  $q_B$  的乘积, 而不是单个变量。此外, 式 (8.2) 也可以写成  $\dot{q}_B = -Kq_Aq_B$ , 或者写成  $\dot{q}_P = Kq_Aq_B$ 。写化学反应的动力学微分方程时并不一定要画出房室模型, 因此, 下面我们就根据化学计量方程直接写微分方程。当然, 用浓度乘以体积来代替式 (8.2) 中的质量, 就可以写成用浓度表示的微分方程。

式 (8.2) 是非线性微分方程。通常, 非线性方程不能直接求解, 必须使用 Simulink 等程序进行仿真才能求解。要记住, 只有少数特殊非线性微分方程可以直接求解, 而且, 这类方程的数量极少, 本章后面会介绍一些。对于式 (8.2), 由于

有  $\dot{q}_A = \dot{q}_B$ , 将其两边同时求积分, 即  $\int_0^t dq_A = \int_0^t dq_B$ , 可得  $q_A - q_A(0) = q_B - q_B(0)$ , 再代入式 (8.2) 得到

$$\dot{q}_A = -Kq_Aq_B = -Kq_A[q_A - q_A(0) + q_B(0)] \quad (8.3)$$

重排此式, 有

$$\frac{dq_A}{q_A[q_A - q_A(0) + q_B(0)]} = -Kdt \quad (8.4)$$

将上式左边进行部分分式展开<sup>⊙</sup>, 改写为

⊙ 部分分式展开法简述如下:

如果

$$\frac{1}{s^n + a_{n-1}s^{n-1} + \cdots + a_1s + a_0} = \frac{1}{(s-s_1) \cdots (s-s_n)}$$

并且根  $S_i$  都是实数, 则

$$\frac{1}{(s-s_1) \cdots (s-s_n)} = \frac{B_1}{s-s_1} + \cdots + \frac{B_n}{s-s_n}$$

其中

$$B_i = \left[ (s-s_i) \frac{1}{(s-s_1) \cdots (s-s_n)} \right] \Big|_{s=S_i}$$

利用上式计算系数  $B_i$  时要注意, 因子  $(s-S_i)$  要与分母中相同的项一起消去。

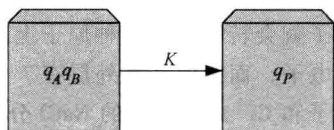


图 8.1 式 (8.1) 所示单级化学反应的房室模型

注: 此系统还有另一种表示方式是将图中左边的两个反应物之一去掉, 将其包含在反应速率中; 例如, 将反应速率  $K$  改成  $K_{q_B}$ 。

$$\left\{ \frac{B_1 dq_A}{[q_A - q_A(0) + q_B(0)]} + \frac{B_2 dq_A}{q_A} \right\} = -Kdt \quad (8.5)$$

$$\left[ \frac{1}{q_A(0) - q_B(0)} \right] \left\{ \frac{dq_A}{[q_A - q_A(0) + q_B(0)]} - \frac{dq_A}{q_A} \right\} = -Kdt$$

其中

$$B_1 = \left\{ [q_A - q_A(0) + q_B(0)] \frac{1}{q_A [q_A - q_A(0) + q_B(0)]} \right\}$$

$$\left|_{q_A = q_A(0) - q_B(0)} = \left[ \frac{1}{q_A} \right] \right|_{q_A = q_A(0) - q_B(0)} = \frac{1}{q_A(0) - q_B(0)}$$

$$B_2 = \left\{ q_A \frac{1}{q_A [q_A - q_A(0) + q_B(0)]} \right\} \Big|_{q_A=0}$$

$$= \left\{ \frac{1}{[q_A - q_A(0) + q_B(0)]} \right\} \Big|_{q_A=0} = -\frac{1}{q_A(0) - q_B(0)}$$

将式(8.5)两边同时求积分, 可得

$$\left[ \frac{1}{q_A(0) - q_B(0)} \right] \left\{ \ln \left[ \frac{q_A - q_A(0) + q_B(0)}{q_B(0)} \right] - \ln \left[ \frac{q_A}{q_A(0)} \right] \right\} = -Kt \quad (8.6)$$

经过代数运算, 可得

$$q_A = \frac{[q_A(0) - q_B(0)]}{\left( 1 - \left\{ \frac{q_B(0) e^{-K[q_A(0) - q_B(0)]t}}{q_A(0)} \right\} \right)} \quad (8.7)$$

最后要注意, 当  $q_B(0) \gg q_A(0)$  时, 由于  $q_B$  的变化量要比初始值  $q_B(0)$  小得多, 因此,  $q_B$  可以看作常数, 即  $q_B = q_B(0)$ 。于是, 式(8.2)可以近似为

$$\dot{q}_A = -Kq_B q_A = -Kq_B(0)q_A \quad (8.8)$$

该方程可以直接求解, 得

$$q_A = q_A(0) e^{-Kq_B(0)t} u(t) \quad (8.9)$$

利用上式可得

$$\dot{q}_P = Kq_B q_A = Kq_B(0)q_A = Kq_B(0)q_A(0) e^{-Kq_B(0)t}$$

将其两边求积分, 得

$$q_P = q_A(0) [1 - e^{-Kq_B(0)t}] u(t) \quad (8.10)$$

要注意,  $q_P$  的稳态值等于  $q_A(0)$ 。

再来看前面用于求解  $q_A$  的式(8.6)。在  $q_B(0) \gg q_A(0)$  的条件下有  $q_B = q_B(0)$ , 于是,  $q_A - q_A(0) = q_B - q_B(0) = 0$ 。由此可得

$$\ln \left[ \frac{q_A - q_A(0) + q_B(0)}{q_B(0)} \right] = \ln \left[ \frac{q_B(0)}{q_B(0)} \right] = 0$$



因此式 (8.6) 变成

$$\left[ \frac{1}{q_B(0) - q_A(0)^{q_B(0)}} \right] \left\{ \ln \left[ \frac{q_A}{q_A(0)} \right] \right\} = \frac{1}{q_B(0)} \ln \left[ \frac{q_A}{q_A(0)} \right] = -Kt \quad (8.11)$$

重排此式, 然后两边同取指数, 可得

$$q_A = q_A(0) e^{-Kq_B(0)t} u(t) \quad (8.12)$$

它就是式 (8.9)。在人体中, 与其他反应物相比, 葡萄糖等小分子营养物质的含量非常大, 因此, 应用上述这种简化方法通常很合理。

### 8.1.3 单级可逆化学反应

单级可逆化学反应如下:



其中, 化学物质  $A$  与  $B$  反应生成产物  $P$ , 同时  $P$  又会反过来变成  $A$  和  $B$ 。根据质量作用定律可以得到此系统的微分方程组为

$$\begin{aligned} \dot{q}_P &= K_1 q_A q_B - K_{-1} q_P \\ \dot{q}_A &= -K_1 q_A q_B + K_{-1} q_P \\ \dot{q}_B &= -K_1 q_A q_B + K_{-1} q_P \end{aligned} \quad (8.14)$$

它是非线性方程组。下面举例说明这种方程组的 Simulink 仿真求解方法和数学解析求解方法。

#### 例 8.1

假设式 (8.14) 给定的反应系统中,  $q_A(0) = 10$ ,  $q_B(0) = 15$ ,  $q_P(0) = 0$ ,  $K_1 = 2$ ,  $K_{-1} = 3$ 。试求解  $q_P$ 。

解:

由式 (8.14) 可知  $\dot{q}_P = -\dot{q}_A = -\dot{q}_B$ , 求积分之后可得

$$q_P - q_P(0) = q_A(0) - q_A = q_B(0) - q_B \quad (8.15)$$

为了求解  $q_P$ , 将  $q_A = q_A(0) + q_P(0) - q_P$  和  $q_B = q_B(0) + q_P(0) - q_P$  代入式 (8.14), 消去  $q_A$  和  $q_B$ , 得到

$$\dot{q}_P = K_1 q_A q_B - K_{-1} q_P = K_1 (q_P(0) + q_A(0) - q_P) (q_P(0) + q_B(0) - q_P) - K_{-1} q_P \quad (8.16)$$

应用  $q_P(0) = 0$ , 可得

$$\begin{aligned} \dot{q}_P &= K_1 [q_A(0) - q_P] [q_B(0) - q_P] - K_{-1} q_P \\ &= 2(10 - q_P)(15 - q_P) - 3q_P \\ &= 2 \left( q_P^2 - \frac{53}{2} q_P + 150 \right) \end{aligned} \quad (8.17)$$

重排此式, 可得

$$\frac{dq_p}{q_p^2 - \frac{53}{2}q_p + 150} = \frac{dq_p}{(q_p - 18.3)(q_p - 8.2)} = 2dt \quad (8.18)$$

再进行部分分式展开, 得到

$$0.0989 \left[ \frac{dq_p}{(q_p - 18.3)} - \frac{dq_p}{(q_p - 8.2)} \right] = 2dt \quad (8.19)$$

其中

$$B_1 = \left[ (q_p - 18.3) \frac{1}{(q_p - 18.3)(q_p - 8.2)} \right] \Big|_{q_p=18.3} = \left[ \frac{1}{(q_p - 8.2)} \right] \Big|_{q_p=18.3} = 0.0989$$

$$B_2 = \left[ (q_p - 8.2) \frac{1}{(q_p - 18.3)(q_p - 8.2)} \right] \Big|_{q_p=8.2} = \left[ \frac{1}{(q_p - 18.3)} \right] \Big|_{q_p=8.2} = -0.0989$$

将式 (8.19) 两边同时求积分, 并化简, 可得

$$\ln \left[ 2.2 \frac{(q_p - 8.2)}{(q_p - 18.3)} \right] = -20.2t$$

再求解  $q_p$  为

$$q_p = \left[ \frac{8.2(1 - e^{-20.2t})}{1 - 0.45e^{-20.2t}} \right] u(t) \quad (8.20)$$

利用  $q_A = q_A(0) + q_p(0) - q_p$  和  $q_B = q_B(0) + q_p(0) - q_p$  即可以求得两种反应物的含量为

$$q_A = \left( \frac{1.8059 + 3.7e^{-20.2t}}{1 - 0.45e^{-20.2t}} \right) u(t)$$

$$q_B = \left( \frac{6.8059 + 1.4798e^{-20.2t}}{1 - 0.4476e^{-20.2t}} \right) u(t)$$

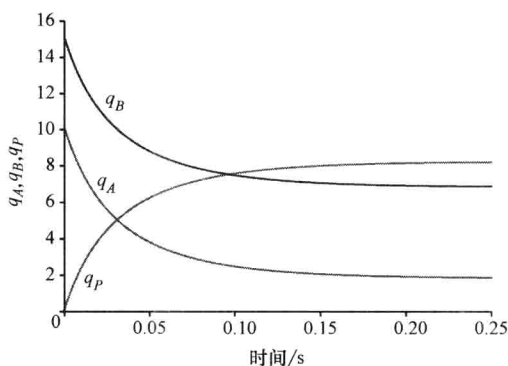


图 8.2 所示是上述求解结果。注意,  $q_p$  图 8.2 例 8.1 的反应物和产物的质量变化曲线中包含  $q_A$  和  $q_B$ ,  $q_A + q_B + 2q_p = 25$ , 因此, 整个反应过程满足质量守恒定律。

一般地, 方程组 (8.14) 中变量  $q_p$  的解是

$$q_p = \left\{ \frac{\beta[1 - e^{-K_1(\alpha - \beta)t}]}{1 - \frac{\beta}{\alpha}e^{-K_1(\alpha - \beta)t}} \right\} u(t) \quad (8.21)$$

其中

$$\lambda = \sqrt{\left[ [q_A(0) + q_B(0) + 2q_p(0)] + \frac{K_2}{K_1} \right]^2 - 4[q_A(0) + q_p(0)][q_B(0) + q_p(0)]}$$

$$\alpha = \frac{q_A(0) + q_B(0) + 2q_P(0) + \frac{K_2}{K_1} + \lambda}{2}$$

$$\beta = \frac{q_A(0) + q_B(0) + 2q_P(0) + \frac{K_2}{K_1} - \lambda}{2}$$

在  $q_B(0) \gg q_A(0)$  的条件下,  $q_B$  的变化量很小, 可以忽略不计, 因此, 可近似为  $q_B = q_B(0)$ , 为常数。于是, 式 (8.14) 可近似为

$$\dot{q}_P = K_1 q_B(0) q_A - K_{-1} q_P \quad (8.22)$$

然后, 利用  $q_A = q_P(0) + q_A(0) - q_P$  消去式 (8.22) 中的  $q_A$ , 得到

$$\dot{q}_P = K_1 q_B(0) [q_A(0) + q_P(0)] - [K_1 q_B(0) + K_{-1}] q_P \quad (8.23)$$

此式可以直接求解, 得

$$q_P = \left( \frac{[K_{-1} q_P(0) - K_1 q_B(0) q_A(0)]}{[K_1 q_B(0) + K_{-1}]} e^{-[K_1 q_B(0) + K_{-1}]t} + \frac{\{K_1 q_B(0) [q_A(0) + q_P(0)]\}}{[K_1 q_B(0) + K_{-1}]} \right) u(t) \quad (8.24)$$

### 8.1.4 高阶化学反应和级联化学反应

设高阶化学反应如下



其中, 反应物  $A$  的  $\alpha$  个分子与反应物  $B$  的  $\beta$  个分子反应生成产物  $P$ , 同时产物  $P$  可以逆向反应生成  $\alpha$  个  $A$  和  $\beta$  个  $B$ 。根据质量作用定律可得如下微分方程组

$$\begin{aligned} \dot{q}_P &= K_1 q_A^\alpha q_B^\beta - K_{-1} q_P \\ \dot{q}_A &= -K_1 q_A^\alpha q_B^\beta + K_{-1} q_P \\ \dot{q}_B &= -K_1 q_A^\alpha q_B^\beta + K_{-1} q_P \end{aligned} \quad (8.26)$$

注意, 由于有  $\alpha$  个  $A$  分子参与反应, 因此, 方程组中  $q_A$  项的幂次变为  $\alpha$ ; 同理, 有  $\beta$  个  $B$  分子参与反应, 方程组中  $q_B$  项的幂次变为  $\beta$ 。我们可利用 Simulink 求解这种方程组。

假设级联化学反应如下



其中, 反应物  $A$  生成中间产物  $B$ , 然后  $B$  再作为反应物生成终产物  $P$ 。根据质量作用定律可得其微分方程组为

$$\begin{aligned}
 \dot{q}_A &= -K_1 q_A \\
 \dot{q}_B &= K_1 q_A - K_2 q_B \\
 \dot{q}_P &= K_2 q_B
 \end{aligned}
 \quad (8.28)$$

此方程组很容易求解。假设反应物  $A$  的初始质量为  $q_A(0)$ ，而  $B$  和  $P$  的初始质量均为 0，则方程组的解就是

$$\begin{aligned}
 q_A &= q_A(0) e^{-K_1 t} u(t) \\
 q_B &= \frac{K_1 q_A(0)}{K_2 - K_1} (e^{-K_1 t} - e^{-K_2 t}) u(t) \\
 q_P &= \frac{K_1 K_2 q_A(0)}{K_2 - K_1} \left( \frac{1 - e^{-K_1 t}}{K_1} - \frac{1 - e^{-K_2 t}}{K_2} \right) u(t)
 \end{aligned}
 \quad (8.29)$$

正如本章 8.4 ~ 8.6 节将要讲述的那样，级联反应在人体内很常见，而且可能非常复杂，反应物可能是高阶的。有些级联反应包含许多级反应，有些反应的分支还可能重新返回到前级反应。酶在这类反应中具有十分重要的作用。

级联反应中各级反应的速率可能差别很大，据此可以简化反应的分析。例如，如果式 (8.27) 给定的反应中  $K_2 \gg K_1$ ，也就是第二级反应要比第一级快得多，反应物  $B$  即刻就变成了产物  $P$ ；那么，第一级反应就会拖后腿，降低产物  $P$  的生成速度。这一级反应常被称为限速反应 (rate-limiting reaction)。

如果存在这种限速反应，那么，式 (8.29) 的  $q_B$  和  $q_P$  表达式中包含  $e^{-K_2 t}$  的项就可以去掉。因为与  $e^{-K_1 t}$  项相比，这些项几乎瞬间就衰减为 0 了。这样， $q_B$  和  $q_P$  的解就简化为

$$\begin{aligned}
 q_B &\approx \frac{K_1 q_A(0)}{K_2 - K_1} (e^{-K_1 t} - \cancel{e^{-K_2 t}}) = \frac{K_1 q_A(0) e^{-K_1 t}}{K_2} = \frac{K_1}{K_2} q_A \\
 q_P &\approx \frac{K_1 K_2 q_A(0)}{K_2 - K_1} \left( \frac{1 - e^{-K_1 t}}{K_1} - \cancel{\frac{1 - e^{-K_2 t}}{K_2}} \right) = q_A(0) (1 - e^{-K_1 t})
 \end{aligned}
 \quad (8.30)$$

### 8.1.5 准稳态

限速反应还有另一种分析方法是假设中间产物  $B$  处于准稳态，也就是  $\dot{q}_B = 0$ 。将其代入式 (8.28)，可得  $0 = K_1 q_A - K_2 q_B$ ，于是有  $q_B = \frac{K_1}{K_2} q_A$ 。由于  $\dot{q}_P = K_1 q_B$ ，消去  $q_B$  可得  $\dot{q}_P = K_1 q_A$  和  $q_P = q_A(0) (1 - e^{-K_1 t})$ 。

虽然准稳态假设中间产物  $B$  立刻就进入稳态，相当于反应物  $A$  直接生成产物  $P$ ；但是，中间产物  $B$  的质量  $q_B$  从 0 增加到稳态值  $\frac{K_1}{K_2} q_A$  还是需要一段时间的，此段时间长为

( $5/K_2$ )。要注意, 中间产物  $B$  的稳态值非常小。

图 8.3 所示是  $q_A(0) = 10$ ,  $q_B(0) = 0$ ,  $q_P(0) = 0$ ,  $K_1 = 2$ ,  $K_2 = 500$  时, 式 (8.30) 所表示的近似解和式 (8.29) 所表示的精确解曲线。从  $q_B$  曲线可见, 当  $q_B$  到达准稳态之后 (即  $t > (5/K_2) = 0.01\text{s}$ ), 近似解与精确解十分接近。而  $q_P$  的近似解和精确解两条曲线在整个反应期间几乎都重叠在一起。

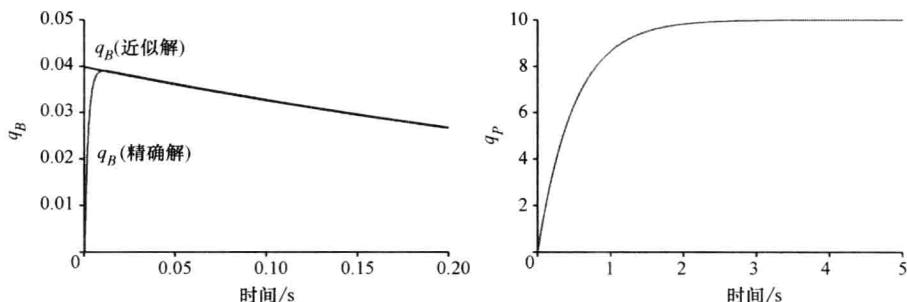


图 8.3 受到  $K_1$  限速的级联反应曲线

注: 右图中画出的  $q_P$  近似解和精确解两条曲线重叠在一起。

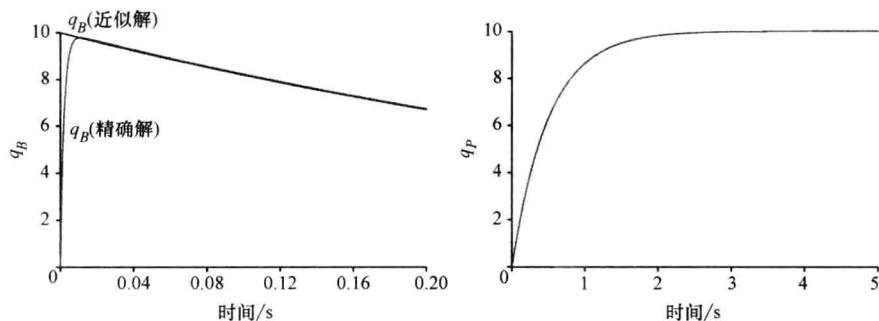
现在假设  $K_1 \gg K_2$ , 也就是反过来, 第二级反应要比第一级反应慢得多, 成为限速反应。同理, 此时式 (8.29) 的  $q_B$  和  $q_P$  表达式中包含  $e^{-K_1 t}$  的项就可以去掉。因为与  $e^{-K_1 t}$  项相比, 这些项几乎瞬间就衰减为 0 了。这样, 式 (8.29) 就简化为

$$\begin{aligned}
 q_A &= q_A(0) e^{-K_1 t} \\
 q_B &\approx \frac{K_1 q_A(0)}{K_2 - K_1} (e^{-K_1 t} - e^{-K_2 t}) = q_A(0) e^{-K_2 t} \\
 q_P &\approx \frac{K_1 K_2 q_A(0)}{K_2 - K_1} \left( \frac{1 - e^{-K_1 t}}{K_1} - \frac{1 - e^{-K_2 t}}{K_2} \right) = q_A(0) (1 - e^{-K_2 t})
 \end{aligned} \quad (8.31)$$

由此可见, 反应物  $A$  几乎立即耗竭, 同时中间产物  $B$  的含量立即达到稳定量  $q_A(0)$ 。

这种限速反应的另一种分析方法是假设反应物  $A$  处于准稳态, 也就是  $\dot{q}_A = 0$ 。将其代入式 (8.28), 可得  $q_A = 0$  且  $\dot{q}_B = -K_2 q_B$ , 于是求得解  $q_B = q_A(0) e^{-K_2 t}$ 。再由  $\dot{q}_P = K_2 q_B = q_A(0) K_2 e^{-K_2 t}$ , 得到解  $q_P = q_A(0) (1 - e^{-K_2 t})$ 。虽然准稳态假设反应物  $A$  瞬间耗竭, 而中间产物  $B$  也瞬间上升至  $q_A(0)$ ; 但是, 这个过程仍然需要一段长为  $(5/K_1)$  的时间。

图 8.4 所示是  $q_A(0) = 10$ ,  $q_B(0) = 0$ ,  $q_P(0) = 0$ ,  $K_1 = 500$ ,  $K_2 = 2$  时式 (8.31) 所表示的近似解和式 (8.29) 所表示的精确解曲线。从  $q_B$  曲线可见, 当  $q_B$  到达准稳态之后 (即  $t > (5/K_1) = 0.01\text{s}$ ), 近似解与精确解十分接近。而  $q_P$  的近似解和精确解两条曲线在整个反应期间几乎都重叠在一起。

图 8.4 受到  $K_2$  限速的级联反应曲线

注：右图中画出的  $q_p$  近似解和精确解两条曲线重叠在一起。

## 8.2 酶动力学

如前所述，催化剂能够加快化学反应的速度，它在反应中既无损耗也不改变。如果无催化剂，人体内的大多数化学反应仍然可以进行，但它们的反应速度极慢。酶是大分子蛋白质，它们可以催化人体内的各种生化反应。在酶的作用下，通过降低活化自由能，这些反应能够将反应物转化成为产物。在酶促反应中反应物被称为底物。酶可以将反应速度提高数千至数万亿倍。每种酶都具有高度的特异性，只有特定的底物才能够与酶的活性位点相结合。人体内有許多酶参与机体各种功能的调控。

一般地，酶促反应包含一系列反应过程。其中，第一步是酶与底物结合生成中间产物（即底物-酶复合物），以增强底物与其他分子反应的能力；第二步是底物-酶复合物分解，释放出游离的酶并生成产物。这两步反应都是可逆的，但第二步的逆向反应很弱，可以忽略不计。

单底物酶促反应的总反应速率取决于酶含量和底物含量，其计算公式为

$$\text{反应速率} = \frac{K_2 \times \text{酶浓度} \times \text{底物浓度}}{K_M + \text{底物浓度}} \quad (8.32)$$

式中  $K_2$  和  $K_M$ ——反应速率常数， $K_M$  被称为米氏常数。

本节后面会详细推导并解释此方程。

酶促反应的底物浓度远大于酶浓度时，底物浓度可视为常数，由式 (8.32) 可知，此时反应速率与酶浓度呈线性关系。当酶浓度远大于底物浓度时，只有一小部分酶与底物相结合，此时反应速率由酶浓度和底物浓度共同决定。典型的酶促反应由一系列反应组成，每一步反应都有其自己的反应速率。整个反应链的总反应速率取决于其中最慢的反应，因此，最慢的反应被称为限能反应（capacity-limited reaction）。

酶促反应在生物体中具有调控作用，可以加速各种生化反应。下面以细胞内二磷酸腺苷（adenosine diphosphate, ADP）和三磷酸腺苷 ATP 之间的关系为例来说明人体中的

酶促反应。ATP 产生于线粒体。碳水化合物、蛋白质和脂肪等各种营养物质在线粒体中氧化并生成二氧化碳、水和能量,氧化过程中产生的能量将 ADP 转化为 ATP。ATP 几乎是人体内所有活动的燃料,为 Na-K 泵、动作电位、分子合成、激素生成、肌肉收缩等活动提供能量。人体平静时,细胞内的 ADP 含量很低,因此线粒体中的 ATP 生成速率也很低;当细胞活动增强时会消耗 ATP,也就是 ATP 脱去一个磷酸根变成 ADP,同时释放能量。细胞内 ADP 浓度的增加会引起线粒体内营养物质的氧化反应增强,从而产生更多的 ATP。这样,根据细胞需求的变化,ADP-ATP 循环就达到了新的平衡。本章第 8.5 节将会详细讲述 ATP 合成所需的各种生化反应。

酶促反应看起来似乎并不遵循质量作用定律,反应速率不能随着底物浓度的增加而一直增加,而是达到某个饱和水平(即限能水平)就不增加了。在人体内限能反应的存在相当普遍,大多数代谢反应和机体功能的实现过程都属于限能反应,如各种分子的跨膜运输、代谢产物通过肾脏排出体外的过程等。

## 8.2.1 米氏动力学理论和准稳态近似法

1903 年 Victor Henri 首先发现了底物与酶之间的关系,后来,Michaelis 和 Menten 于 1913 年,Briggs 和 Haldane 于 1925 年先后提出了化学反应的限能速率的概念。其中主要的假设是,酶与底物迅速反应,生成底物-酶复合物并快速达到稳态,然后复合物再缓慢地分解成产物和酶。同时还假设酶的浓度远小于底物的浓度。这些理论合在一起被称为米氏动力学(Michaelis-Menten kinetics)。除非另加说明,本章使用的动力学模型都假定温度等其他条件保持不变。

本节将介绍一种标准近似法,它可以极大地简化生化反应的求解,可用于预测反应速度。它就是准稳态近似法。这种方法可以很好地求解酶促反应系统的微分方程组。由于这类系统包含刚性微分方程,如果不使用准稳态近似法就很难求解。应用准稳态近似之后,微分方程组就可以简化成代数方程组。我们的先驱们虽然建立了酶促反应的理论,但是,无论是仿真还是直接求解,要获得系统微分方程组的解都很困难甚至不可能。而准稳态近似法则能够给出相当完整的解(除了形成复合物的初始反应阶段以外);而且,利用该方法提供的代数方程组还可以测得酶促反应的参数。

仿真求解刚性微分方程组时,所使用的标准积分器的步长要很小。从图 8.4 所示的  $q_b$  曲线可见,在初始的  $0 \sim 0.02\text{s}$  时间段内,  $q_b$  变化很快,之后的变化却很慢。如果使用标准积分器进行仿真计算,那么,就必须使用极小的步长。但是,除了初始阶段以外这种步长没有必要,它会使仿真时间变得极长。如果步长太大,仿真就会出错,因为小误差会不断被放大,进入稳态时仿真结果就完全不对了。Simulink 软件默认的积分器是 ode45,它的效率很低,并不适用于刚性微分方程的仿真求解。对于刚性微分方程使用 ode23tb 积分器比较好,它使用了一种变步长的有效算法。本节后面会详细讨论这个问题。

限能反应可以用如下两步反应来模拟:



其中, 酶介导的反应首先将底物  $S$  与酶  $E$  结合成为不稳定的复合物  $ES$ , 然后  $ES$  再分解成为酶  $E$  和产物  $P$ 。

根据质量作用定律可以写出式 (8.33) 系统的微分方程组:

$$\begin{aligned} \dot{q}_S &= -K_1 q_S q_E + K_{-1} q_{ES} \\ \dot{q}_{ES} &= K_1 q_S q_E - (K_{-1} + K_2) q_{ES} \\ \dot{q}_P &= K_2 q_{ES} \end{aligned} \quad (8.34)$$

由  $q_E(0) = q_E + q_{ES}$  [即  $q_E = q_E(0) - q_{ES}$ ], 可得  $\dot{q}_E = -\dot{q}_{ES}$ 。于是

$$\dot{q}_E = -K_1 q_S q_E + (K_{-1} + K_2) q_{ES} \quad (8.35)$$

假设系统是封闭的, 也就是  $q_S(0) = q_S + q_{ES} + q_P$ ,  $q_E(0) = q_E + q_{ES}$ 。要注意, 反应中酶  $E$  无损耗。同时, 假设复合物  $ES$  在反应初期很快就达到最大值  $q_{ES_{\max}}$ , 而后的变化就非常缓慢。因此, 我们可以假设反应开始后不久复合物  $ES$  就进入准稳态, 即  $\dot{q}_{ES} = 0$ 。最后, 再假设酶的浓度远小于底物和产物的浓度, 且  $K_2 \gg K_{-1}$ 。这样, 由  $\dot{q}_{ES} = 0$  和式 (8.34) 可得

$$0 = K_1 q_S q_E - (K_{-1} + K_2) q_{ES} \quad (8.36)$$

由于  $q_E(0) = q_E + q_{ES}$ , 将  $q_E = q_E(0) - q_{ES}$  代入式 (8.36), 可得

$$0 = K_1 q_S [q_E(0) - q_{ES}] - (K_{-1} + K_2) q_{ES} \quad (8.37)$$

重排此式, 可得

$$q_{ES} = \frac{K_1 q_S q_E(0)}{(K_1 q_S + K_{-1} + K_2)} = \frac{q_S q_E(0)}{\left(q_S + \frac{K_{-1} + K_2}{K_1}\right)} = \frac{q_S q_E(0)}{(q_S + K_M)} = \frac{q_E(0)}{\left(1 + \frac{K_M}{q_S}\right)} \quad (8.38)$$

其中  $K_M = \frac{K_{-1} + K_2}{K_1}$  就是本章开始时提及的米氏常数。

令  $q_S = q_S(0)$ , 由式 (8.38) 可以近似求得复合物  $ES$  的最大值为

$$q_{ES_{\max}} \approx \frac{q_E(0)}{\left(1 + \frac{K_M}{q_S}\right)} \bigg|_{q_S = q_S(0)} = \frac{q_E(0)}{\left[1 + \frac{K_M}{q_S(0)}\right]} \quad (8.39)$$

而且, 由  $q_E = q_E(0) - q_{ES}$  可得

$$q_E = q_E(0) - \frac{q_E(0)}{\left(1 + \frac{K_M}{q_S}\right)} = \frac{q_E(0)}{\left(1 + \frac{q_S}{K_M}\right)} \quad (8.40)$$



下面计算  $q_s$  的准稳态近似值。从式 (8.34) 可得  $\dot{q}_s = -K_1 q_s q_E + K_{-1} q_{ES} = -(\dot{q}_{ES} + K_2 q_{ES})$ 。将  $\dot{q}_{ES} = 0$  和式 (8.38) 的  $q_{ES}$  代入, 可得

$$\dot{q}_s = -K_2 q_{ES} = -\frac{K_2 q_E(0)}{\left(1 + \frac{K_M}{q_s}\right)} \quad (8.41)$$

上式描述底物的变化, 可以替代式 (8.34) 的微分方程组, 式中仅剩下 2 个未知参数。而且, 后面的 8.2.2 节将会说明, 这 2 个参数可以直接从实验测量数据中估计出来。

重排式 (8.41) 可得

$$\left(1 + \frac{K_M}{q_s}\right) dq_s = -K_2 q_E(0) dt \quad (8.42)$$

两边同时求积分得到

$$[q_s(0) - q_s] + K_M \ln \left[ \frac{q_s(0)}{q_s} \right] = K_2 q_E(0) t$$

也就是

$$t = \frac{1}{K_2 q_E(0)} \left\{ [q_s(0) - q_s] + K_M \ln \left[ \frac{q_s(0)}{q_s} \right] \right\} \quad (8.43)$$

要注意, 式 (8.43) 是时间  $t$  随  $q_s$  变化的非线性函数。以前, 人们都认为不可能写出  $q_s$  随时间  $t$  变化的函数。直到 1997 年, Schnell 和 Mendoza 利用计算机代数求解式 (8.43), 用朗伯 W 函数 (Lambert W function) 描述了  $q_s$  随  $t$  变化的函数。虽然逐个代入  $q_s$  从  $q_s(0)$  变化到 0 的数值以后, 可以由式 (8.43) 求解  $t$  的值; 但是利用式 (8.41) 的仿真来求解  $q_s$  要容易得多。

描述产物的微分方程如下

$$\dot{q}_P = K_2 q_{ES} = \frac{K_2 q_E(0)}{\left(1 + \frac{K_M}{q_s}\right)} \quad (8.44)$$

利用  $q_s = q_s(0) - q_{ES} - q_P$  可以消去上式中的  $q_s$ 。除了反应的初始阶段以外,  $q_{ES}$  比  $q_s(0)$  和  $q_P$  都要小得多, 因此,  $q_s = q_s(0) - q_P$ , 于是

$$\dot{q}_P = \frac{K_2 q_E(0)}{\left(1 + \frac{K_M}{q_s}\right)} = \frac{K_2 q_E(0)}{\left[1 + \frac{K_M}{q_s(0) - q_P}\right]} \quad (8.45)$$

利用推导式 (8.43) 时的同样方法, 由式 (8.45) 可得

$$t = \frac{1}{K_2 q_E(0)} \left\{ q_P - K_M \ln \left[ \frac{q_s(0) - q_P}{q_s(0)} \right] \right\} \quad (8.46)$$

除了反应初期  $q_{ES}$  和  $q_P$  都很小的阶段以外, 此近似方程能够很好地描述酶促反应。

生化反应的反应速率要么定义为底物的消耗速率, 要么定义为产物的生成速率。如果使用米氏近似法, 这两种反应速率相等, 都等于  $V = -\dot{q}_s = \dot{q}_p$ 。但是, 如果使用式 (8.34) 的精确微分方程组, 那么, 这两种反应速率就不相等。由式 (8.41) 所示的近似方程可得

$$V = -\dot{q}_s = \frac{K_2 q_s q_E(0)}{(q_s + K_M)} = \frac{V_{\max} q_s}{(q_s + K_M)} = \frac{V_{\max}}{\left(1 + \frac{K_M}{q_s}\right)} \quad (8.47)$$

其中  $V_{\max} = K_2 q_E(0)$  是底物消耗的最大速率。图 8.5 所示是式 (8.47) 的变化曲线。可见, 底物浓度较高时, 反应速率  $V$  接近  $V_{\max}$ , 这是因为所有的酶都参与反应, 反应已达到饱和状态, 在此区域反应速率与  $q_s$  几乎无关。底物浓度较低时, 反应速率与底物浓度近似呈线性关系, 即  $V = \frac{V_{\max}}{K_M} q_s$ 。

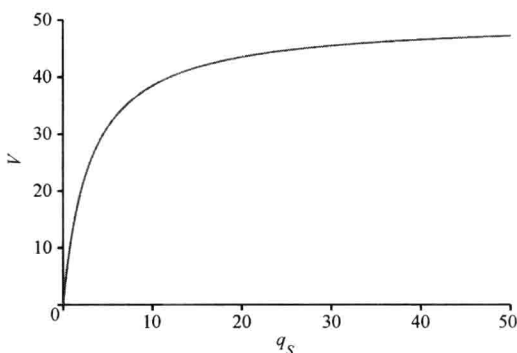


图 8.5 底物消耗的速率曲线

注: 反应速率  $V$  是  $t=0$  时刻的值,  $q_s$  是底物的初始值。图中所示曲线的  $V_{\max} = 50$ ,  $K_M = 3$ 。

当  $V = \frac{V_{\max}}{2}$  时, 式 (8.47) 变为

$$\frac{V_{\max}}{2} = \frac{V_{\max} q_s}{(q_s + K_M)}$$

消去方程两边的  $V_{\max}$ , 得到

$$\frac{1}{2} = \frac{q_s}{(q_s + K_M)}$$

化简后可得  $q_s = K_M$ 。这就是  $V = \frac{V_{\max}}{2}$  时的底物含量。

早在 20 世纪初期, 由于没有计算机仿真技术, 准稳态近似法为酶动力学分析提供了有效的求解方法。但是, 如今随着计算机功能的增强和刚性微分方程仿真器的发展, 利用计算机仿真求解酶动力学方程远比求解代数方程组要容易得多。

### 例 8.2

请利用计算机仿真求解式 (8.34) 的微分方程组, 并将得到的  $q_s$ 、 $q_E$ 、 $q_{ES}$  和  $q_p$  曲线与准稳态近似曲线进行比较。设  $K_1 = 8$ ,  $K_{-1} = 0.01$ ,  $K_2 = 5$ ,  $q_s(0) = 1$ ,  $q_E(0) = 0.08$ ,  $q_{ES}(0) = 0$ ,  $q_p(0) = 0$ 。

解:

如图 8.6 和图 8.7 所示是 Simulink 仿真模型, 精确模型和近似模型都使用 ode23tb 积分器。其中,  $q_s$ 、 $q_E$ 、 $q_{ES}$  和  $q_p$  的准稳态近似解  $q_{sMM}$ 、 $q_{EMM}$ 、 $q_{ESMM}$  和  $q_{pMM}$  (见图 8.7) 是利用微分方程 (8.41)、代数方程 (8.38) 和 (8.40) 以及  $q_p = q_s(0) - q_s - q_{ES}$  求得。如图 8.8 所示是两种模型的仿真结果。可见, 0.5s 初始阶段的快速反应结束之后, 两种

解相当接近。注意,  $q_E$  与  $q_{ESMM}$  以及  $q_{ES}$  与  $q_{ESMM}$  在初始阶段存在预期的误差。还要注意, 准稳态近似解  $q_{PMM}$  的初始值 (即初始产物含量) 为负数。

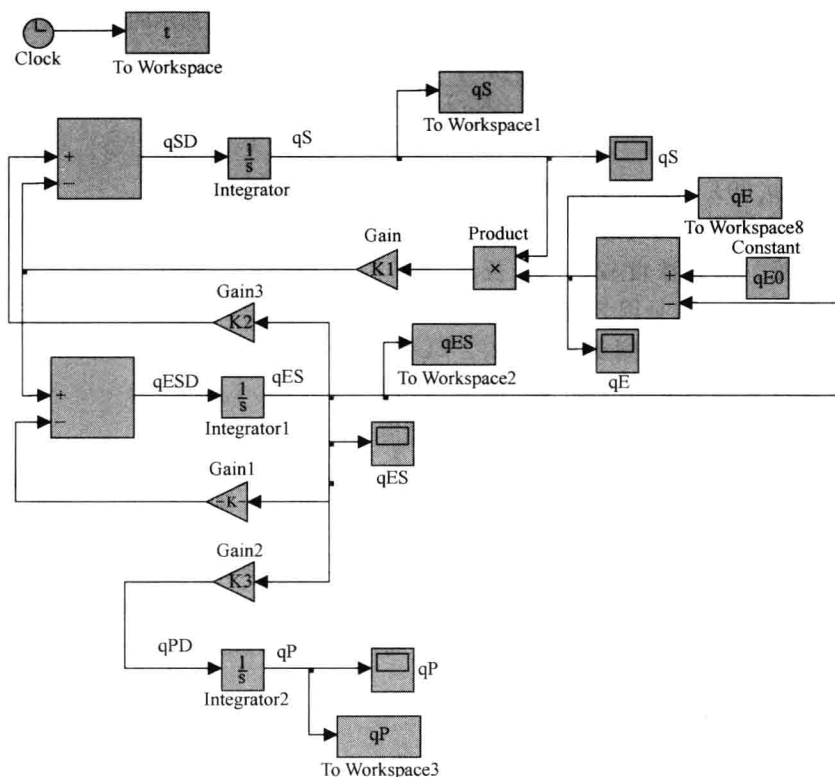


图 8.6 例 8.2 使用的式 (8.34) 方程组的 Simulink 仿真模型

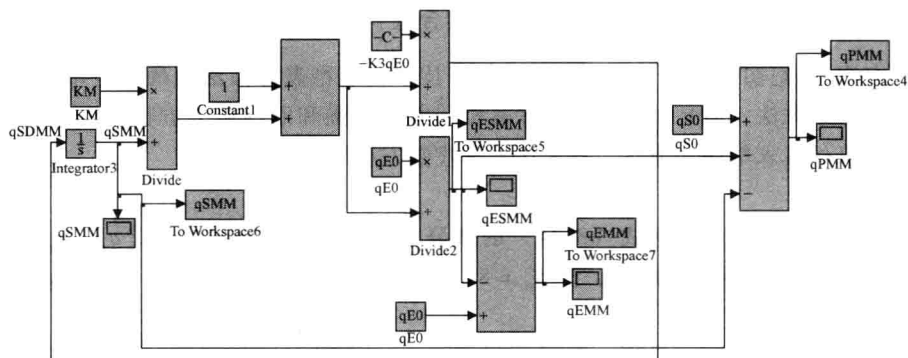


图 8.7 例 8.2 使用的准稳态近似法的 Simulink 仿真模型

### 8.2.2 米氏动力学方程参数的估计

式 (8.47) 给出的反应速率计算公式中包含 2 个参数  $V_{\max}$  和  $K_M$ , 此式重写如下

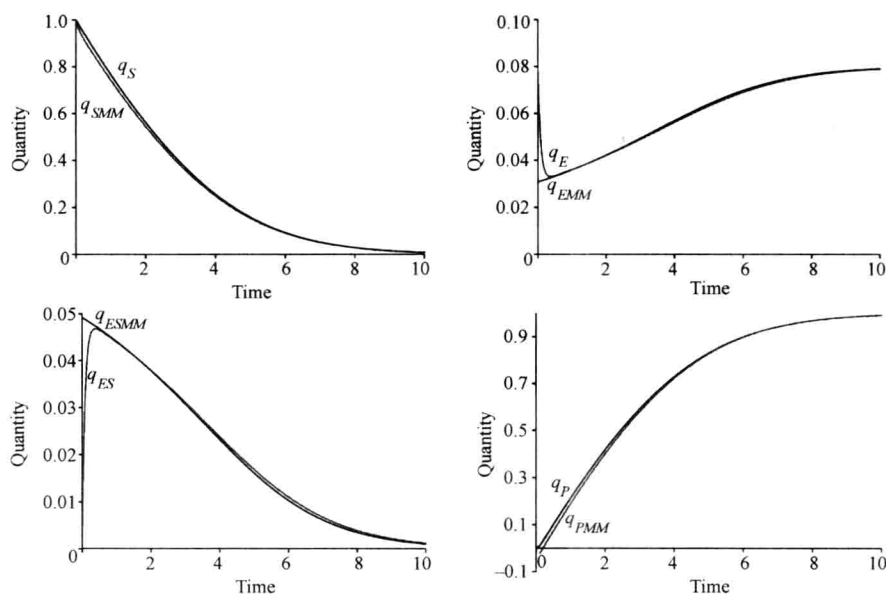


图 8.8 例 8.2 的仿真结果

注:  $q_S$ 、 $q_E$ 、 $q_{ES}$  和  $q_P$  为精确解,  $q_{SMM}$ 、 $q_{EMM}$ 、 $q_{ESMM}$  和  $q_{PMM}$  为准稳态近似解。

$$V = \frac{V_{\max} q_S}{(q_S + K_M)} = \frac{V_{\max}}{\left(1 + \frac{K_M}{q_S}\right)} \quad (8.48)$$

下面来估计  $V_{\max}$  和  $K_M$  的值。首先对式 (8.48) 求倒数, 可得

$$\left(\frac{1}{V}\right) = \frac{K_M}{V_{\max}} \left(\frac{1}{q_S}\right) + \frac{1}{V_{\max}} \quad (8.49)$$

该方程被称为 Lineweaver-Burk 方程。如图 8.9 所示,  $\frac{1}{V}$  随  $\frac{1}{q_S}$  变化的关系是一条直线, 其中纵坐标截距为  $\frac{1}{V_{\max}}$ , 斜率为  $K_M$ ; 因此, 从该直线图上可以估计  $V_{\max}$  和  $K_M$  的值。由于底物浓度会随时间发生变化, 通常采用底物的初始数值  $q_S(0)$  来画 Lineweaver-Burk 直线, 即

$$\frac{1}{V(0)} = \frac{K_M}{V_{\max}} \left[\frac{1}{q_S(0)}\right] + \frac{1}{V_{\max}} \quad (8.50)$$

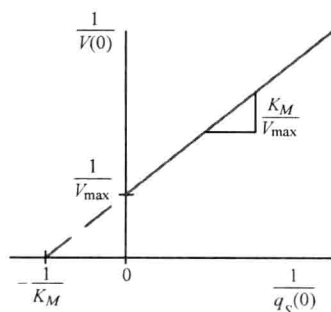


图 8.9 Lineweaver-Burk 直线图

估计参数时, 做一组实验, 保持酶浓度不变, 逐渐增加底物浓度; 这样, 就可以获得 Lineweaver-Burk

直线的数据。注意, 前文已证明, 当  $q_S = K_M$  时,  $V = \frac{V_{\max}}{2}$ ; 当  $q_S \gg K_M$  时,  $V = V_{\max}$ 。虽然

根据 Lineweaver-Burk 直线图估计参数的方法看起来不错;但是,求倒数的变换会将实验数据的测量误差放大,因此,这种参数估计的精确度并不高。

## 8.3 利用准稳态近似值的其他模型

前述米氏动力学方程的准稳态近似法不仅可以用于酶促反应<sup>①</sup>,还可用于分析人体内存在限能速率的底物消耗过程,比如肾脏的新陈代谢和排泄过程,甚至可用于 Hill 方程描述的肌肉的线性化模型。前面我们已利用准稳态近似值求解了酶促反应的  $q_s$ 、 $q_E$ 、 $q_{ES}$  和  $q_P$  变量,下面将它用作房室模型的非线性传输速率,所以式 (8.47) 中的底物  $q_s$  就是房室中的溶质含量。本节首先讲述具有各种不同输入的单室模型,然后再讨论双室模型。

### 8.3.1 单室模型

假设描述溶质含量  $q_s$  的清除过程单室模型如下

$$\dot{q}_s = -\frac{V_{\max}}{(q_s + K_M)}q_s + f(t) \quad (8.51)$$

式中利用准稳态近似值作为模型的非线性传输速率。下面分析输入  $f(t)$  为不同函数时的微分方程求解方法。

#### 1. 输入为冲激函数时

本书前面第7章的例题中曾经使用过冲激函数  $f(t) = \zeta\delta(t)$ , 其中  $\zeta$  是冲激函数的幅值。求解式 (8.51) 的微分方程时,将冲激函数的输入改成初始条件更便于处理;这样,式 (8.51) 就变成

$$\dot{q}_s = -\frac{V_{\max}}{(q_s + K_M)}q_s \quad (8.52)$$

初始条件为  $q_s(0) = \zeta$ 。重排此式可得

$$\left(1 + \frac{K_M}{q_s}\right)dq_s = -V_{\max}dt$$

两边同时求积分,可得

$$t = \frac{1}{V_{\max}} \left[ \zeta - q_s + K_M \ln \left( \frac{\zeta}{q_s} \right) \right] \quad (8.53)$$

此方程的求解方法与式 (8.43) 相同。

#### 2. 输入为阶跃函数时

假设式 (8.51) 给定系统的输入为阶跃函数  $f(t) = \zeta u(t)$ , 初始条件为  $q_s = q_s(0)$ ; 那么,当  $t \geq 0$  时有

① 本节的材料取自 Godfrey 的著作。——原文注

$$\dot{q}_s = -\frac{V_{\max}}{(q_s + K_M)}q_s + \zeta = \frac{(\zeta - V_{\max})q_s + \zeta K_M}{(q_s + K_M)} \quad (8.54)$$

将上式中的  $q_s$  和  $t$  分离到等式两边, 可得

$$\begin{aligned} dt &= \frac{K_M dq_s}{(\zeta - V_{\max})q_s + \zeta K_M} + \frac{q_s dq_s}{(\zeta - V_{\max})q_s + \zeta K_M} \\ &= \frac{K_M dq_s}{(\zeta - V_{\max})q_s + \zeta K_M} + \left[ \frac{1}{(\zeta - V_{\max})} \right] \left[ \frac{q_s dq_s}{q_s + \frac{\zeta K_M}{(\zeta - V_{\max})}} \right] \\ &= \frac{K_M dq_s}{(\zeta - V_{\max})q_s + \zeta K_M} + \left[ \frac{1}{(\zeta - V_{\max})} \right] \left[ 1 - \frac{\frac{\zeta K_M}{(\zeta - V_{\max})}}{q_s + \frac{\zeta K_M}{(\zeta - V_{\max})}} \right] dq_s \end{aligned} \quad (8.55)$$

再两边同时求积分

$$\int_0^t dt = \int_{q_s(0)}^{q_s} \left[ \frac{K_M dq_s}{(\zeta - V_{\max})q_s + \zeta K_M} + \left( \frac{1}{\zeta - V_{\max}} \right) \left( 1 - \frac{\frac{\zeta K_M}{(\zeta - V_{\max})}}{q_s + \frac{\zeta K_M}{(\zeta - V_{\max})}} \right) \right] dq_s \quad (8.56)$$

可得

$$\begin{aligned} t &= \left\{ \left[ \frac{K_M}{(\zeta - V_{\max})} \right] \ln \left[ \frac{(\zeta - V_{\max})q_s + \zeta K_M}{(\zeta - V_{\max})q_s(0) + \zeta K_M} \right] + \left[ \frac{q_s - q_s(0)}{\zeta - V_{\max}} \right] \right. \\ &\quad \left. - \frac{\zeta K_M}{(\zeta - V_{\max})^2} \ln \left[ \frac{q_s + \frac{\zeta K_M}{(\zeta - V_{\max})}}{q_s(0) + \frac{\zeta K_M}{(\zeta - V_{\max})}} \right] \right\} \\ &= \frac{q_s - q_s(0)}{\zeta - V_{\max}} - \frac{V_{\max} K_M}{(\zeta - V_{\max})^2} \ln \left[ \frac{(\zeta - V_{\max})q_s + \zeta K_M}{(\zeta - V_{\max})q_s(0) + \zeta K_M} \right] \end{aligned} \quad (8.57)$$

下面计算此单室模型的  $q_s$  稳态值。令  $\dot{q}_s = 0$ , 由式 (8.54) 可得

$$q_s(\infty) = \frac{\zeta K_M}{V_{\max} - \zeta} \quad (8.58)$$

$q_s$  的值必须为正数, 因此有  $V_{\max} > \zeta$ 。于是, 要避免  $q_s$  的值无限增加, 房室的最大清除率必须大于阶跃输入函数的幅值。

当  $V_{\max} = \zeta$  时, 由式 (8.54) 可得

$$\dot{q}_s = \frac{\zeta K_M}{(q_s + K_M)} \quad (8.59)$$

将  $q_s$  和  $t$  分离到等式的两边, 有

$$dt = \frac{1}{\zeta K_M} (q_s + K_M) dq_s$$

两边同时求积分可得

$$t = \frac{1}{2\zeta K_M} [q_s^2 - q_s^2(0)] + \frac{1}{\zeta} [q_s - q_s(0)] \quad (8.60)$$

此时  $q_s$  会无限增加,  $q_s \rightarrow \infty$ 。如果  $\zeta \geq V_{\max}$ , 那么, 底物就会积累起来, 不停地增加, 同样有  $q_s \rightarrow \infty$ 。

### 3. 输入为指数函数时

假设式 (8.51) 给定系统的输入为指数函数, 就如同第7章例7.8血浆房室从消化系统接收的输入那样。当  $t \geq 0$  时, 系统的微分方程为

$$\dot{q}_s = -\frac{V_{\max}}{(q_s + K_M)} q_s + q_2(0) K_{21} e^{-K_{21}t} \quad (8.61)$$

式中  $q_2(0)$ ——消化系统底物的初始值;

$K_{21}$ ——从消化系统到血浆房室的传输速率。

式 (8.61) 只能用仿真方法求解。

以前, 在仿真计算还不容易实现时, 将式 (8.61) 的准稳态近似方程线性化之后分别求出上限和下限曲线, 使得实际解包含在这个上、下限范围之内。求下限曲线时, 准稳态近似值为  $\frac{V_{\max}}{K_M}$ , 它是常数。下面我们就会看到, 对于较小的  $q_s$  值, 下限曲线

的近似效果较好。求上限曲线时, 准稳态近似值为  $\frac{V_{\max}}{q_{s\max} + K_M}$  (其中  $q_{s\max}$  是  $q_s$  的最大值); 同样, 它也是常数。对于较大的  $q_s$  值, 上限曲线的近似效果较好。这种求上、下限的方法适用于任意输入函数。例如, 假设输入为指数函数, 且  $q_s(0) = 0$ ; 那么, 求下限曲线的方程为

$$\dot{q}_s = -\frac{V_{\max}}{K_M} q_s + q_2(0) K_{21} e^{-K_{21}t} \quad (8.62)$$

其解是

$$q_s = \left[ \frac{q_2(0) K_{21}}{\frac{V_{\max}}{K_M} - K_{21}} \right] (e^{-K_{21}t} - e^{-\frac{V_{\max}}{K_M}t}) \quad (8.63)$$

求上限曲线的方程为

$$\dot{q}_s = -\frac{V_{\max}}{(q_{s\max} + K_M)} q_s + q_2(0) K_{21} e^{-K_{21}t} \quad (8.64)$$

其解是

$$q_s = \left[ \frac{q_2(0)K_{21}}{\left( \frac{V_{\max}}{q_{s\max} + K_M} \right) - K_{21}} \right] \left[ e^{-K_{21}t} - e^{-\left( \frac{V_{\max}}{q_{s\max} + K_M} \right)t} \right] \quad (8.65)$$

图 8.10 同时画出了式 (8.61) 的仿真结果以及式 (8.63) 和式 (8.65) 所表示的上、下限曲线的解析解。当  $q_s$  较小时，下限的近似效果较好；当  $q_s$  较大时，上限的近似效果较好。上限和下限近似曲线的精度很大程度上取决于  $K_M$  与  $q_{s\max}$  的接近程度，两者差距越大，则近似曲线的精度就越差。

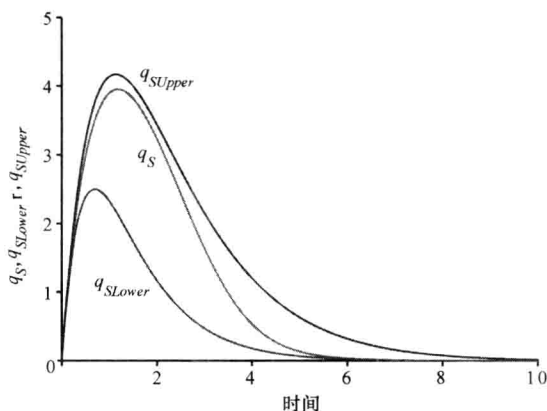


图 8.10 输入为指数函数的单室模型的响应曲线  
注:  $q_s$  为准稳态近似方程 (8.61) 的仿真曲线,  $q_{sLower}$  为式 (8.63) 表示的下限曲线,  $q_{sUpper}$  为式 (8.65) 表示的下限曲线。其中各个参数值分别为  $V_{\max} = 3$ ,  $K_M = 2.5$ ,  $K_{21} = 1.0$ ,  $q_s(0) = 0$ ,  $q_{s\max} = 4.0$ ,  $q_2(0) = 10.0$ 。

### 8.3.2 双室模型

如图 8.11 所示是传输速率为准稳态近似值的双室模型。这种模型在分析限能反应时很有用，这些反应的模型要比单室模型复杂。注意，只有房室 1 的传输速率使用了准稳态近似值，其他传输速率仍然为常数。描述图示系统的微分方程组为

$$\dot{q}_1 = - \left[ K_{10} + K_{12} + \frac{V_{\max}}{(q_1 + K_M)} \right] q_1 + K_{21} q_2 + f_1(t)$$

$$\dot{q}_2 = K_{12} q_1 - (K_{20} + K_{21}) q_2 + f_2(t) \quad (8.66)$$

#### 例 8.3

请仿真求解式 (8.66) 给定的系统，设  $K_{12} = 1$ ,  $K_{21} = 2$ ,  $V_{\max} = 3$ ,  $K_M = 0.5$ ,  $q_1(0) = 0$ ,  $q_2(0) = 0$ ,  $K_{10} = 0$ ,  $K_{20} = 0$ 。输入为  $f_1(t) = u(t) - u(t-4)$ ,  $f_2(t) = 0$ 。

解：

系统的微分方程组为

$$\dot{q}_1 = - \left( 3 + \frac{1}{(q_1 + 0.5)} \right) q_1 + 2q_2 + u(t) - u(t-4)$$

$$\dot{q}_2 = 3q_1 - 2q_2$$

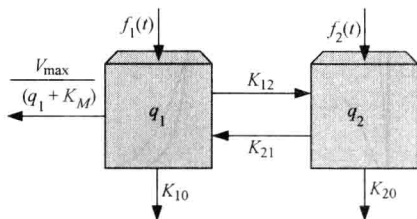


图 8.11 以准稳态近似值作为传输速率的双室模型

其 Simulink 仿真模型如图 8.12 所示，采用的积分器是 ode23tb，得到的仿真曲线如图 8.13 所示。

图 8.14 所示的模型包含准稳态近似的传输速率和常规生化反应传输速率，而且，房室



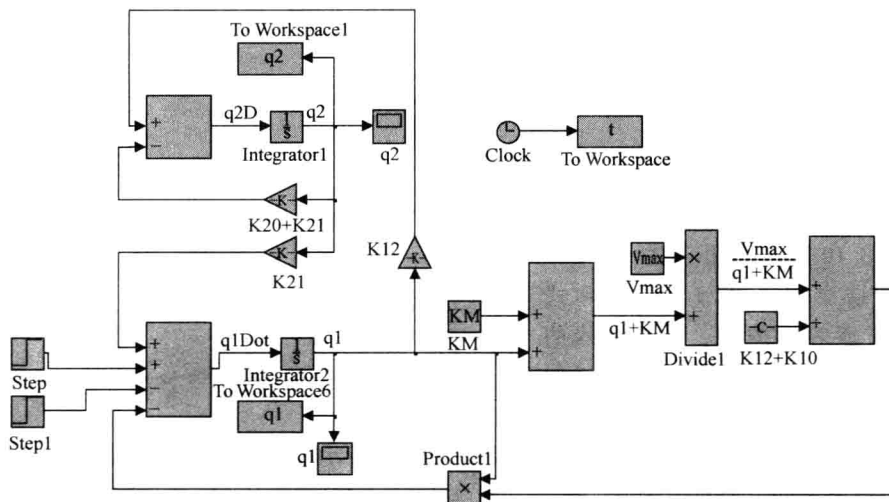


图 8.12 例 8.3 的 Simulink 仿真模型

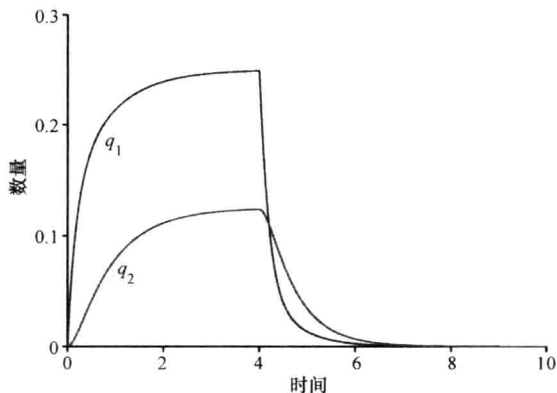


图 8.13 例 8.3 的双室模型的响应曲线

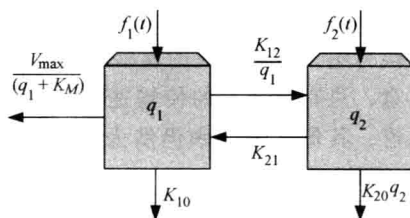


图 8.14 包含准稳态近似的传输速率和

常规生化反应传输速率的双室模型

注: 房室 1 至房室 2 有一个恒量传输,

其传输率为  $\frac{K_{12}}{q_1}$ 。

1 至房室 2 的物质传输速率为  $\frac{K_{12}}{q_1}$ , 意味着该传输量为恒量。此系统的微分方程组为

$$\begin{aligned}\dot{q}_1 &= -K_{12} - \left[ K_{10} + \frac{V_{\max}}{(q_1 + K_M)} \right] q_1 + K_{21} q_2 + f_1(t) \\ \dot{q}_2 &= K_{12} - K_{20} q_2^2 - K_{21} q_2 + f_2(t)\end{aligned}\quad (8.67)$$

注意, 从房室 1 至房室 2 的恒量传输可用于描述一种主动泵。还要注意, 房室 2 中的化学反应以速率  $K_{20}$  消耗物质。下一节将把这 2 点用于包含扩散的多室模型中。

## 8.4 扩散、生化反应和酶动力学

本书第7章已经讲述了离子沿浓度梯度的扩散，而本章前面处理的是均匀容积中发生的生化反应和酶动力学过程。现在，我们要将来自其他房室的扩散与生化反应和酶动力学过程结合起来分析。当底物或者酶通过扩散进入细胞后就会生成产物；然后，这种产物就在细胞内发挥其作用，或者再扩散到细胞外，被其他细胞或者组织利用。此外，细胞内的细胞器中也会发生类似的情况。这类反应通常具有调控作用，可以加速生化反应。例如，前面提到过线粒体中的ADP与ATP的反应就是如此，ADP的含量可以调节ATP的合成。

### 8.4.1 扩散和生化反应

如图8.15所示，假设某种底物A通过扩散进入细胞后与底物B反应，生成产物P；然后，产物P再通过扩散到达细胞外。并假设细胞内B的含量 $B_i$ 受到另一个系统的调控。我们用下标*i*表示细胞内，下标*o*表示细胞外。上述化学反应的表达式及其微分方程组为

$$A_i + B_i \xrightleftharpoons[K_{-1}]{K_1} P_i$$

$$\dot{q}_{A_i} = -K_1 q_{A_i} q_{B_i} + K_{-1} q_{P_i} \quad (8.68)$$

$$\dot{q}_{P_i} = K_1 q_{A_i} q_{B_i} - K_{-1} q_{P_i}$$

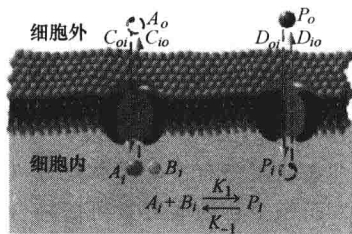


图 8.15 扩散和生化反应

式中  $K_1$ 、 $K_{-1}$ ——反应速率；

$q_{A_i}$ 、 $q_{A_o}$ ——分别为底物A在细胞内外的含量；

$q_{B_i}$ ——底物B在细胞内的含量；

$q_{P_i}$ 、 $q_{P_o}$ ——分别为产物P在细胞内外的含量。

描述物质跨膜扩散的方程为

$$\dot{q}_{A_i} = C_{oi} q_{A_o} - C_{io} q_{A_i}$$

$$\dot{q}_{P_i} = D_{oi} q_{P_o} - D_{io} q_{P_i} \quad (8.69)$$

式中  $C_{oi}$ 、 $C_{io}$ 、 $D_{oi}$ 、 $D_{io}$ ——扩散速率，正如第7章例7.5所述，它们与体积相关。

描述整个过程（包括生化反应和扩散过程）的微分方程组为

$$\dot{q}_{A_o} = -C_{oi} q_{A_o} + C_{io} q_{A_i}$$

$$\dot{q}_{A_i} = -K_1 q_{A_i} q_{B_i} + K_{-1} q_{P_i} + C_{oi} q_{A_o} - C_{io} q_{A_i}$$

$$\dot{q}_{P_o} = -D_{oi} q_{P_o} + D_{io} q_{P_i}$$

$$\dot{q}_{P_i} = -K_1 q_{A_i} q_{B_i} - K_{-1} q_{P_i} + D_{oi} q_{P_o} - D_{io} q_{P_i} \quad (8.70)$$

下面分析氧气进入慢肌纤维的运输过程。如图 8.16 所示, 从肺部开始, 首先吸入肺中的氧气通过扩散穿过肺泡膜进入毛细血管, 再从毛细血管进入红细胞。设  $q_{O_A}$  为肺泡的  $O_2$  含量,  $q_{O_C}$  为毛细血管的  $O_2$  含量, 而  $q_{O_R}$  为红细胞的  $O_2$  含量; 那么, 描述该氧气运输过程的微分方程组为

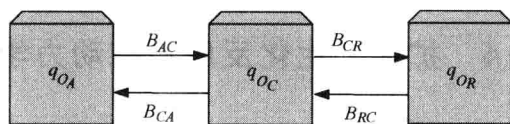
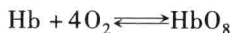


图 8.16 氧气从肺泡扩散至血红细胞的过程

$$\begin{aligned}\dot{q}_{O_A} &= B_{CA}q_{O_C} - B_{AC}q_{O_A} \\ \dot{q}_{O_C} &= B_{AC}q_{O_A} + B_{RC}q_{O_R} - B_{CA}q_{O_C} - B_{CR}q_{O_C} \\ \dot{q}_{O_R} &= B_{CR}q_{O_C} - B_{RC}q_{O_R}\end{aligned}\quad (8.71)$$

氧气一旦进入红细胞就会与血红蛋白 (hemoglobin, Hb) 结合形成氧合血红蛋白 ( $HbO_8$ )。这是一种可逆反应, 使得红细胞可以将摄取的  $O_2$  带给组织。  $O_2$  与血红蛋白的结合可以使血液中的氧含量比仅靠溶解获得的量要高 100 倍。该化学反应的表达式为



血红蛋白有 4 个多肽亚基 (即蛋白质分子), 每个多肽亚基包含一个亚铁血红素分子, 而每个亚铁血红素可以结合一个  $O_2$  分子。与血红蛋白结合的 4 个  $O_2$  分子并不同时与亚铁血红素发生反应, 而是分成 4 步逐渐完全结合过程, 并且每一步反应都会促进下一步反应的发生。图 8.17 所示是血红蛋白与  $O_2$  结合的 5 种状态, 数字 0~4 表示与血红蛋白结合的  $O_2$  的个数。设  $q_{H_0}$  为 Hb 的含量,  $q_{H_1}$  为  $HbO_2$  的含量, 以此类推, 直到  $q_{H_4}$  为  $HbO_8$  的含量。描述氧合血红蛋白合成过程的微分方程组为

$$\begin{aligned}\dot{q}_{H_0} &= K_{10}q_{H_1} - K_{01}q_{H_0}q_{O_R} \\ \dot{q}_{H_1} &= K_{01}q_{H_0}q_{O_R} + K_{21}q_{H_2} - K_{10}q_{H_1} - K_{12}q_{H_1}q_{O_R} \\ \dot{q}_{H_2} &= K_{12}q_{H_1}q_{O_R} + K_{32}q_{H_3} - K_{21}q_{H_2} - K_{23}q_{H_2}q_{O_R} \\ \dot{q}_{H_3} &= K_{23}q_{H_2}q_{O_R} + K_{43}q_{H_4} - K_{32}q_{H_3} - K_{34}q_{H_3}q_{O_R} \\ \dot{q}_{H_4} &= K_{34}q_{H_3}q_{O_R} - K_{43}q_{H_4}\end{aligned}\quad (8.72)$$

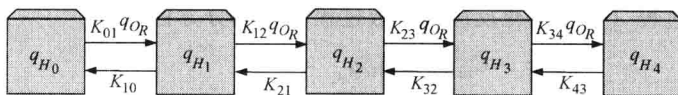


图 8.17 血红蛋白的 5 种状态

注意, 我们假设各步逆向反应不涉及  $O_2$ ; 而且这里的  $O_2$  作为分子看待而不是 2 个氧原子, 否则式 (8.72) 中就会出现  $q_o^2$  的项。

如图 8.18 所示, 氧分子通过动脉系统运输至毛细血管, 然后脱离红细胞, 扩散至组织液, 再进入慢肌纤维的胞浆 (即细胞质中除了细胞器以外的部分)。图中  $q_{O_I}$  为组织液的氧含量,  $q_{O_M}$  为慢肌纤维胞浆中的氧含量, 其他参量与之前的定义一致。描述该扩散和反应过程的微分方程组为

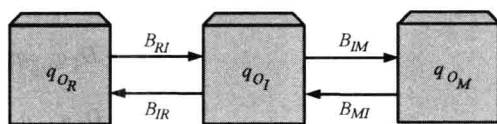


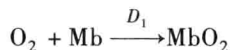
图 8.18 氧气从红细胞扩散至慢肌纤维胞浆的过程

$$\begin{aligned}
 \dot{q}_{O_R} &= B_{IR}q_{O_C} - B_{RI}q_{O_R} + K_{10}q_{H_1} - K_{01}q_{H_0}q_{O_R} + K_{21}q_{H_2} - K_{12}q_{H_1}q_{O_R} \\
 &\quad + K_{32}q_{H_3} - K_{23}q_{H_2}q_{O_R} + K_{43}q_{H_4} - K_{34}q_{H_3}q_{O_R} \\
 \dot{q}_{O_I} &= B_{RI}q_{O_R} + B_{MI}q_{O_M} - B_{IR}q_{O_I} - B_{IM}q_{O_I} \\
 \dot{q}_{O_M} &= B_{IM}q_{O_I} - B_{MI}q_{O_M}
 \end{aligned} \quad (8.73)$$

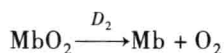
在毛细血管的动脉端, 氧分压  $P_{O_2}$  约为 100mmHg, 氧饱和度约为 98%。在毛细血管静脉端,  $P_{O_2}$  约为 40mmHg, 氧饱和度约为 75%。 $P_{O_2}$  升高时, 氧分子就会迅速与血红蛋白结合; 而  $P_{O_2}$  降低时, 氧分子又能够迅速从血红蛋白中脱离出来。红细胞在毛细血管内从动脉端流向静脉端的过程中,  $P_{O_2}$  梯度的变化促使氧分子被释放出来并进入组织液。

氧分子一旦进入慢肌纤维内 (与在其他细胞内的情况不同), 它会以特有的方式运输至线粒体。此过程如下: 氧分子通过扩散进入细胞膜之后, 很快就与肌红蛋白 (myoglobin, Mb) 结合, 形成氧合肌红蛋白 (oxymyoglobin,  $MbO_2$ )。Mb 与血红蛋白相似, 其功能也是运输和存储氧。肌细胞内的游离氧分子被 Mb 吸收后, 胞外的氧分子在浓度大梯度驱使下就不断进入肌细胞内, 直至所有可用的 Mb 都结合了氧分子为止。此时, 细胞膜内外的氧浓度达到平衡。慢肌纤维细胞内的线粒体数量比其他细胞要多, 其氧化代谢水平较高。因此, 肌纤维内的肌红蛋白能够存储大量氧分子, 一旦有需要时, 它就可以提供给线粒体用于制造 ATP。这种方式极大地增强了细胞向线粒体输送氧分子的能力。而没有肌红蛋白的细胞只能通过扩散来输送氧分子, 其效率就要低得多。

在胞浆中, 当氧分子与肌红蛋白结合形成氧合肌红蛋白之后, 随即就会进入线粒体, 并在线粒体中产生逆向反应, 释放出氧分子和 Mb。在细胞呼吸期间, 线粒体内的氧分子与糖共同作用产生 ATP, 详细内容下一节还将介绍。线粒体内的肌红蛋白则返回至胞浆, 又将重新开始新一轮输送氧分子的过程。它在胞浆内的反应如下



在线粒体内的反应如下



描述这 2 个反应以及扩散过程的微分方程组为

$$\begin{aligned}
 \dot{q}_{O_M} &= -D_1 q_{O_M} q_{Mb_M} + B_{IM} q_{O_I} \\
 \dot{q}_{MbO_M} &= D_1 q_{O_M} q_{Mb_M} - K_{MT} q_{MbO_M} \\
 \dot{q}_{Mb_M} &= -D_1 q_{O_M} q_{Mb_M} + K_{TM} q_{Mb_T} \\
 \dot{q}_{Mb_T} &= D_2 q_{MbO_T} - K_{TM} q_{Mb_T} \\
 \dot{q}_{MbO_T} &= -D_2 q_{MbO_T} + K_{MT} q_{MbO_M}
 \end{aligned} \tag{8.74}$$

式中  $K_{MT}$  和  $K_{TM}$ ——分别是物质从胞浆至线粒体和从线粒体至胞浆的扩散系数;

$q_{O_M}$ ——胞浆的氧含量;

$q_{Mb_M}$ ——胞浆的肌红蛋白 Mb 含量;

$q_{MbO_M}$ ——胞浆的氧合肌红蛋白  $MbO_2$  含量;

$q_{MbO_T}$ ——线粒体内  $MbO_2$  含量;

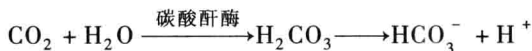
$q_{Mb_T}$ ——线粒体内 Mb 含量。

式 (8.74) 的假设条件是: 胞内的  $MbO_2$  和 Mb 不会离开细胞, 并且胞内的氧分子也不会离开细胞, 也没有 Mb 进入线粒体。

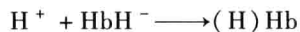
细胞呼吸时会产生  $CO_2$ , 它通过扩散穿出细胞进入组织液, 然后再进入毛细血管。一旦进入毛细血管之后, 90% 的  $CO_2$  都会进入红细胞, 余下的 10% 则溶解于血液。接着, 通过血液循环,  $CO_2$  被输运至肺部。

$CO_2$  进入红细胞后几乎瞬间就可以完成下列反应:

1) 约 70% 的  $CO_2$  在碳酸酐酶作用下与水反应生成碳酸  $H_2CO_3$ , 然后再分解成氢离子  $H^+$  和碳酸氢根离子  $HCO_3^-$ 。这种反应不到 1s 就可以完成, 反应式如下

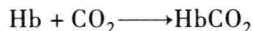


2)  $H^+$  离子与血红蛋白结合, 反应式如下



3) 通过细胞膜上的一种  $HCO_3^- - Cl^-$  载体蛋白质,  $HCO_3^-$  离子穿出红细胞膜, 同时将  $Cl^-$  离子交换进来。

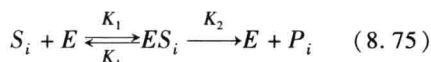
4) 红细胞中剩余的 20%  $CO_2$  与血红蛋白结合生成碳酸血红蛋白, 这种键合很弱, 很容易断开。其反应式为



红细胞到达肺部之后, 经过肺泡膜扩散进入血液的  $O_2$  会与血红蛋白结合, 替换出  $CO_2$ 。随后  $CO_2$  扩散进入肺泡并被呼出人体。上述过程不断循环往复。

## 8.4.2 扩散和酶动力学

如图 8.19 所示, 假设某种底物通过扩散进入细胞, 然后在酶的作用下反应, 最终生成产物, 再以扩散的方式离开细胞。其化学反应式如下



进出细胞 2 个扩散过程可以用如下微分方程组来描述

$$\begin{aligned} \dot{q}_{S_i} &= B_{oi}q_{S_o} - B_{io}q_{S_i} \\ \dot{q}_{P_i} &= D_{oi}q_{P_o} - D_{io}q_{P_i} \end{aligned} \quad (8.76)$$

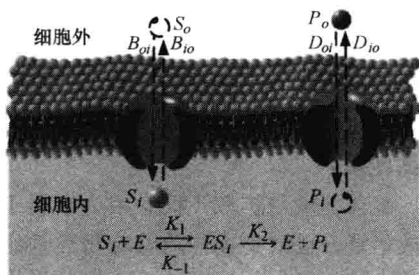


图 8.19 扩散和酶动力学

式中  $B_{oi}$ 、 $B_{io}$ 、 $D_{oi}$  和  $D_{io}$ ——扩散系数。

整个系统的微分方程组如下

$$\begin{aligned} \dot{q}_{S_i} &= -K_1q_{S_i}q_E + K_{-1}q_{ES_i} + B_{oi}q_{S_o} - B_{io}q_{S_i} \\ \dot{q}_{ES_i} &= K_1q_{S_i}q_E - (K_{-1} + K_2)q_{ES_i} \\ \dot{q}_{P_i} &= K_2q_{ES_i} + D_{oi}q_{P_o} - D_{io}q_{P_i} \end{aligned} \quad (8.77)$$

为了消去式 (8.77) 中的  $q_{S_o}$ , 设恒定不变的底物总量为  $q_{ST} = q_{S_i} + q_{S_o}$ , 即  $q_{S_o} = q_{ST} - q_{S_i}$ , 于是

$$\begin{aligned} \dot{q}_{S_i} &= -K_1q_{S_i}q_E + K_{-1}q_{ES_i} + B_{oi}(q_{ST} - q_{S_i}) - B_{io}q_{S_i} \\ &= -K_1q_{S_i}q_E + K_{-1}q_{ES_i} - (B_{oi} + B_{io})q_{S_i} + B_{oi}q_{ST} \\ \dot{q}_{ES_i} &= K_1q_{S_i}q_E - (K_{-1} + K_2)q_{ES_i} \\ \dot{q}_{P_i} &= K_2q_{ES_i} + D_{oi}q_{P_o} - D_{io}q_{P_i} \end{aligned} \quad (8.78)$$

再代入准稳态近似方程  $-K_1q_{S_i}q_E + K_{-1}q_{ES_i} = -\frac{V_{\max}}{(q_{S_i} + K_M)}q_{S_i}$  (由式 (8.47) 得到), 可得

$$\begin{aligned} \dot{q}_{S_i} &= -\frac{V_{\max}}{(q_{S_i} + K_M)}q_{S_i} - (B_{oi} + B_{io})q_{S_i} + B_{oi}q_{ST} \\ &= -\left(\frac{V_{\max}}{(q_{S_i} + K_M)} + B_{oi} + B_{io}\right)q_{S_i} + B_{oi}q_{ST} \end{aligned} \quad (8.79)$$

其中  $q_{ES_i} = \frac{q_E(0)}{\left(1 + \frac{K_M}{q_{S_i}}\right)}$ ,  $q_{P_i} = q_{S_i}(0) - q_{S_i} - q_{ES_i}$

### 8.4.3 载体介导的物质运输

下面介绍载体介导的物质运输 (以下简称载体运输)。细胞膜上的载体蛋白质含有选择性的结合位点, 能够与特定的底物相结合, 将底物传送至细胞外。此过程也常被称为易化扩散。载体运输并不消耗能量, 而是依靠浓度梯度完成运输。但是, 如果没有载体介导, 这种底物就无法穿过细胞膜。

载体运输与扩散不同, 因为它属于限能反应, 而扩散不是。也就是说, 随着底物数量的增加, 载体运输速率也会增加, 但不能一直增加, 会饱和; 而普通扩散则会一直线性增加, 没有限制 (见图 8.20)。

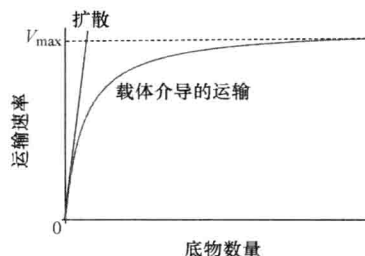
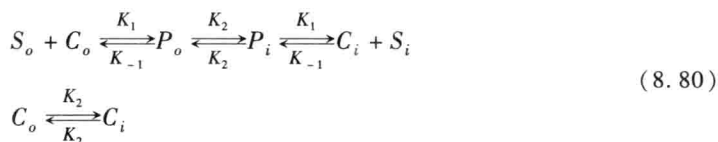


图 8.20 底物数量对于扩散速率和载体运输速率的影响

图 8.21 所示的载体运输的反应式如下



式中  $S_i$  和  $S_o$  ——分别是细胞内和细胞外的底物;

$C_i$  ——细胞膜内侧的载体;

$C_o$  ——细胞膜外侧的载体;

$P_i$  ——细胞膜内侧的底物-载体复合物;

$P_o$  ——细胞膜外侧的底物-载体复合物。

如图 8.21 所示, 首先, 底物移向载体在细胞膜外侧的结合位点, 并与载体结合形

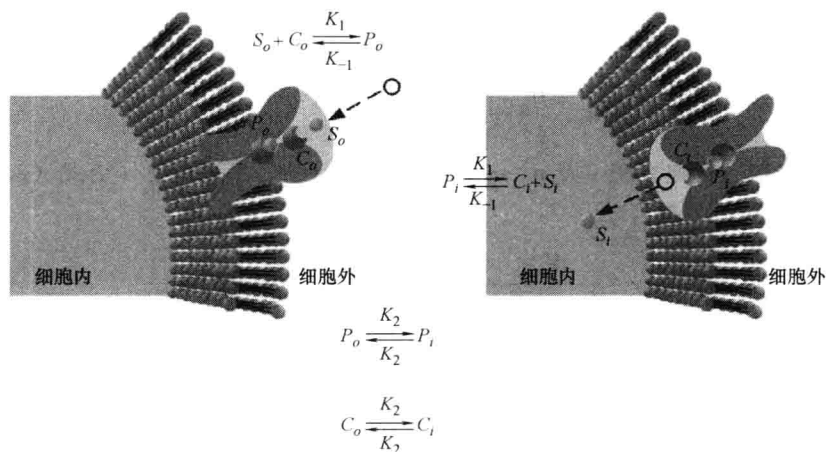


图 8.21 细胞膜上载体介导的物质运输

注: 左图表示细胞外的底物与载体结合的过程, 右图表示底物从结合位点脱离出来进入细胞的过程。

成底物-载体复合物  $P_o$  (见左图); 然后,  $P_o$  从细胞膜外侧移至细胞膜内侧, 成为  $P_i$  (见右图)。目前尚不清楚底物-载体复合物是如何从膜外移至膜内的, 但它肯定发生了。最后, 在细胞内, 底物-载体复合物  $P_i$  分解成底物  $S_i$  和载体  $C_i$ 。

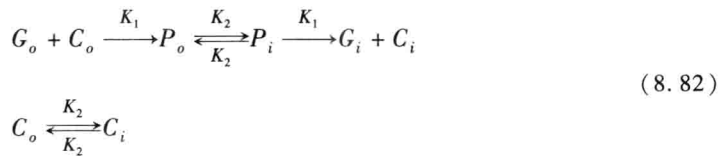
假设底物-载体复合物的合成速率和分解速率相同, 均为  $K_2$ ; 而且, 它们从细胞外移至细胞内的反应速率也为  $K_2$ ; 那么, 根据质量作用定律, 可得

$$\begin{aligned}
 \dot{q}_{S_o} &= -K_1 q_{S_o} q_{C_o} + K_{-1} q_{P_o} \\
 \dot{q}_{C_o} &= -K_1 q_{S_o} q_{C_o} + K_{-1} q_{P_o} + K_2 q_{C_i} - K_2 q_{C_o} \\
 \dot{q}_{P_o} &= K_1 q_{S_o} q_{C_o} - (K_{-1} + K_2) q_{P_o} + K_2 q_{P_i} \\
 \dot{q}_{P_i} &= -(K_1 + K_2) q_{P_i} + K_2 q_{P_o} + K_{-1} q_{S_i} q_{C_i} \\
 \dot{q}_{S_i} &= -K_{-1} q_{S_i} q_{C_i} + K_1 q_{P_i} \\
 \dot{q}_{C_i} &= -K_{-1} q_{S_i} q_{C_i} + K_1 q_{P_i} + K_2 q_{C_o} - K_2 q_{C_i}
 \end{aligned} \tag{8.81}$$

反应过程中载体无损耗, 载体总量为常数, 因此有  $q_{C_o} + q_{C_i} + q_{P_o} + q_{P_i} = \zeta$ 。

显然, 式 (8.81) 给定的系统中可以添加输入。或者向前面所述那样, 利用准稳态近似值来简化系统方程。此外, 底物在细胞内还可以参与其他反应, 例如, 通过扩散进入线粒体等细胞器, 继而发生酶促反应。

下面介绍葡萄糖的跨膜运输。我们已经知道, 葡萄糖不能通过扩散穿越细胞膜, 只能通过细胞膜上的载体蛋白质来完成跨膜运输。蛋白质与葡萄糖结合后将其转送至细胞膜内, 使其进入胞浆。此过程不消耗能量。利用图 8.21 所示模型, 可以写出此过程的反应式为



式中  $G_i$  和  $G_o$ ——分别是细胞内和细胞外的葡萄糖含量;

$C_i$ ——细胞膜内侧的载体;

$C_o$ ——细胞膜外侧的载体;

$P_i$ ——细胞膜内侧的底物-载体复合物;

$P_o$ ——细胞膜外侧的底物-载体复合物。

注意, 式 (8.82) 的系统没有逆向反应, 因为没有葡萄糖从细胞内跑出来。假设细胞呼吸时 (下一节将详细描述), 胞内葡萄糖的消耗速率恒定, 为  $J_i$ ; 并且, 葡萄糖在组织液中生成的速率为  $J_o$ ; 那么, 该系统的微分方程组如下



$$\begin{aligned}
 \dot{q}_{G_o} &= -K_1 q_{G_o} q_{C_o} + J_o \\
 \dot{q}_{C_o} &= -K_1 q_{G_o} q_{C_o} + K_2 q_{C_i} - K_2 q_{C_o} \\
 \dot{q}_{P_o} &= K_1 q_{G_o} q_{C_o} - K_2 q_{P_o} + K_2 q_{P_i} \\
 \dot{q}_{G_i} &= K_1 q_{P_i} - J_i \\
 \dot{q}_{C_i} &= K_1 q_{P_i} + K_2 q_{C_o} - K_2 q_{C_i} \\
 \dot{q}_{P_i} &= K_2 q_{P_o} - K_1 q_{P_i}
 \end{aligned} \tag{8.83}$$

如前所述, 葡萄糖的跨膜运输需要载体蛋白质的参与, 因此, 它是一种受限于载体数量的限能反应。血液中的葡萄糖浓度一般约为  $90 \frac{\text{mg}}{100\text{mL}}$ , 进食后可达  $200 \frac{\text{mg}}{100\text{mL}}$ , 而 3h 不进食又会降至  $40 \frac{\text{mg}}{100\text{mL}}$ 。因此, 式 (8.83) 所示系统的输入  $J_o$  会随着进食而发生改变。人体调控血糖浓度的机制有以下 2 种: 通过胰腺分泌的胰岛素实现自动反馈控制; 或者通过肝脏控制。

胰腺除了具有消化功能以外, 还具有直接向血液分泌胰岛素的功能。胰岛素可以促进葡萄糖的跨膜运输。胰岛素的分泌速度受到调控, 从而使血糖能够维持恒定的水平。

肝脏就像一个贮存葡萄糖的仓库。当血液中葡萄糖过量时, 多余葡萄糖中的  $2/3$  立刻就会被贮存至肝脏中。反之, 当血液的葡萄糖水平下降时, 贮存在肝脏中的葡萄糖就会补充血糖的量。胰岛素对于肝脏的功能具有一定的影响。载体蛋白与葡萄糖的结合量会随传输速率  $K_1$  的改变而变化, 而且  $K_1$  又会随胰岛素水平的升高而增加; 因此, 胰岛素可以增加葡萄糖的传输速率, 可以使传输速率达到没有胰岛素时的基础速率的 20 倍。不过, 我们的模型中不考虑胰岛素和肝脏的作用。

#### 8.4.4 主动运输

主动运输与载体运输相似, 不同的是主动运输是逆着浓度梯度跨膜运输底物, 它需要消耗能量。其运输过程是: 细胞膜上载体蛋白上的选择性结合位点与特定的底物相结合, 将底物运过细胞膜并释放到细胞内。

主动运输需要能量, 它通常通过水解 ATP 来获得能量。ATP 水解时, 将能量用于底物的运输, 同时在胞浆内留下 ADP 和无机磷酸根离子  $\text{PO}_4^{-2}$ 。ADP 重新被线粒体吸收, 在葡萄糖的参与下再制造出 ATP, 此反应在下一节还会详细介绍。与载体运输一样, 主动运输属于限能反应; 当底物数量增加时, 运输速率提高, 但会饱和 (见图 8.20)。

Na-K 泵是最重要的主动运输工具, 它可以逆浓度梯度将细胞内的  $\text{Na}^+$  离子排出胞

外,同时也逆浓度梯度将细胞外的  $K^+$  离子交换进来。正如本书第12章所述,Na-K泵用于维持这两种离子的跨膜梯度以及细胞膜的静息电位。也如前面第7章所述,它也用于保持细胞的体积。

还有一种重要的主动运输工具是Na-Ca ATP酶离子泵,它使细胞内能够保持极低的  $Ca^{2+}$  离子浓度。这极其重要!细胞内的  $Ca^{2+}$  浓度仅约为  $10^{-7} \text{ mol/L}$ ,而细胞外却约为  $10^{-3} \text{ mol/L}$ 。这种浓度梯度会驱使细胞外的  $Ca^{2+}$  进入细胞,而Na-Ca ATP酶离子泵会将  $Ca^{2+}$  排出细胞外。

下面分析Na-K泵

Na-K泵是一种整合在细胞膜上的蛋白质,它在人体各种细胞上都存在。细胞静息时,神经元的约70% ATP、其他细胞的约25% ATP能量都用于Na-K泵。这种泵在维持细胞膜的静息电位上具有极其重要的作用。本节主要分析其中的酶促反应。Na-K泵是Jens Skou于1957年发现的,凭借此项工作他于1997年获得了诺贝尔奖。利用放射性离子,Skou发现  $Na^+$  和  $K^+$  两种离子的浓度之间有联系,说明存在着一种共享ATP酶载体的机制。

Na-K泵的总反应式如下



与前述一致,下标  $i$  表示细胞内,下标  $o$  表示细胞外。

Na-K泵的2个亚基中含有3个  $Na^+$  结合位点和2个  $K^+$  结合位点。 $Na^+$  在细胞外的浓度高于细胞内,而  $K^+$  在细胞内的浓度高于细胞外。如果没有离子泵的作用,这些浓度梯度会驱使  $Na^+$  进入细胞、 $K^+$  排出细胞,因而改变细胞膜的静息电位。但是,Na-K泵会阻止  $Na^+$  和  $K^+$  浓度梯度的任何变化。该离子泵的运输保持了一种稳定的内向  $Na^+$  离子流和外向  $K^+$  离子流。

Na-K泵以消耗1个ATP分子为代价,分6步将3个  $Na^+$  离子运出细胞,同时将2个  $K^+$  离子换入细胞。此过程不断重复,发生频率约为每秒100次。如图8.22所示,6个步骤如下:

- 1) 胞浆内3个  $Na_i^+$  移向离子泵的载体并与之结合,形成  $(Na_3C)_i$ 。注意,此时离子泵结合了一个ATP分子。
- 2) ATP水解并释放出ADP和无机磷P, P与  $(Na_3C)_i$  结合,生成  $(Na_3CP)_i$ 。
- 3) 利用ATP水解所产生的能量,离子泵的构象发生变化,将  $(Na_3CP)_i$  移向细胞外,成为  $(Na_3CP)_o$ , 并将3个  $Na^+$  释放在细胞外。
- 4) 在细胞膜外侧,2个  $K_o^+$  离子与载体和无机磷相结合,生成  $(K_2CP)_o$ 。
- 5) 离子泵发生去磷酸化,释放无机磷,并随即发生构象变化,将  $(K_2C)_o$  移至细胞膜内侧,成为  $(K_2C)_i$ , 从而将2个  $K^+$  离子暴露在细胞内侧。
- 6) 一个ATP分子重新与离子泵结合,2个  $K_i^+$  进入细胞内。

Na-K泵的反应式如下。其中,  $C$  为载体,  $P$  为无机磷。注意,由于逆向反应很少,此处忽略不计。

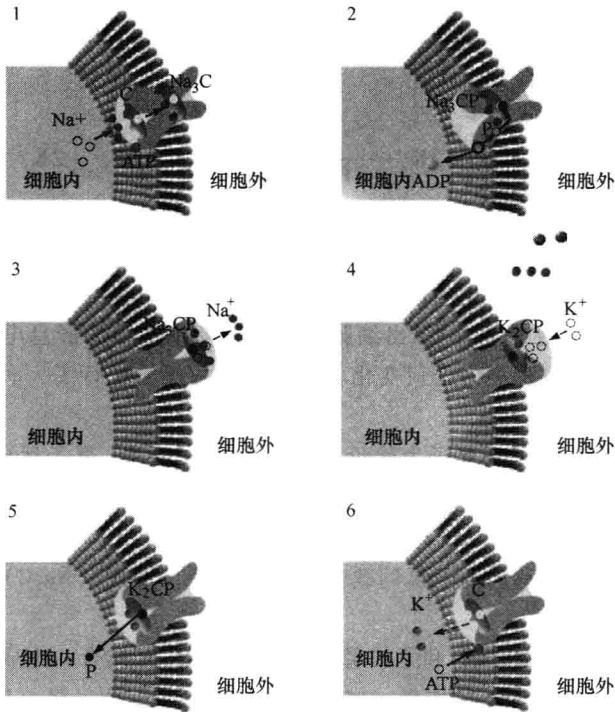
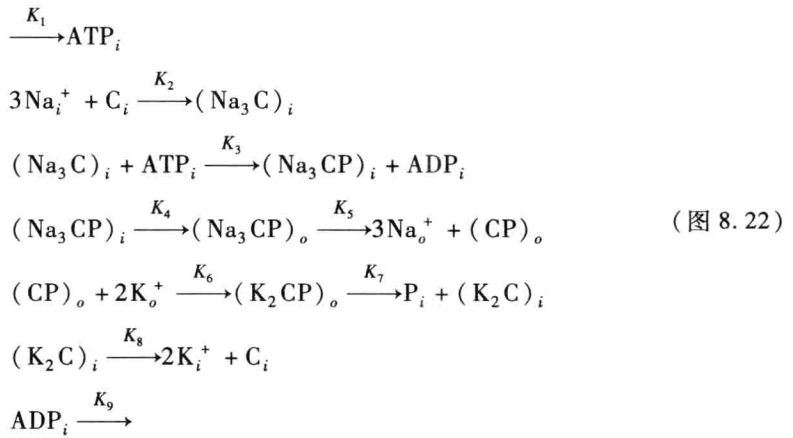


图 8.22 Na-K 泵运作的 6 个步骤

根据质量作用定律, 可以写出如下描述 Na-K 泵的微分方程组

$$\begin{aligned}
 \dot{q}_{\text{Na}_i^+} &= J_{\text{Na}_D} - K_2 q_{\text{Na}_i^+}^3 q_{\text{C}_i} \\
 \dot{q}_{(\text{Na}_3\text{C})_i} &= K_2 q_{\text{Na}_i^+}^3 q_{\text{C}_i} - K_3 q_{(\text{Na}_3\text{C})_i} q_{\text{ATP}_i} \\
 \dot{q}_{\text{ATP}_i} &= K_1 - K_3 q_{(\text{Na}_3\text{C})_i} q_{\text{ATP}_i}
 \end{aligned}$$

$$\begin{aligned}
\dot{q}_{(\text{Na}_3\text{CP})_i} &= K_3 q_{(\text{Na}_3\text{C})_i} q_{\text{ATP}_i} - K_4 q_{(\text{Na}_3\text{CP})_i} \\
\dot{q}_{(\text{Na}_3\text{CP})_o} &= K_4 q_{(\text{Na}_3\text{CP})_i} - K_5 q_{(\text{Na}_3\text{CP})_o} \\
\dot{q}_{\text{Na}_o^+} &= K_5 q_{(\text{Na}_3\text{CP})_o} - J_{\text{Na}_D} \\
\dot{q}_{(\text{CP})_o} &= K_5 q_{(\text{Na}_3\text{CP})_o} - K_6 q_{\text{K}_o^+}^2 q_{(\text{CP})_o} \\
\dot{q}_{\text{K}_o^+} &= J_{\text{K}_D} - K_6 q_{\text{K}_o^+}^2 q_{(\text{CP})_o} \\
\dot{q}_{(\text{K}_2\text{CP})_o} &= K_7 q_{(\text{K}_2\text{CP})_o} \\
\dot{q}_{\text{P}_i} &= K_7 p_{(\text{K}_2\text{CP})_o} \\
\dot{q}_{(\text{K}_2\text{C})_i} &= K_7 q_{(\text{K}_2\text{CP})_o} - K_8 q_{(\text{K}_2\text{C})_i} \\
\dot{q}_{\text{ADP}_i} &= -K_9 q_{\text{ADP}_i} \\
\dot{q}_{\text{C}_i} &= K_8 q_{(\text{K}_2\text{C})_i} - K_2 q_{\text{C}_i} q_{\text{Na}_i^+}^3 \\
\dot{q}_{\text{K}_i^+} &= K_8 q_{(\text{K}_2\text{C})_i} - J_{\text{K}_D}
\end{aligned} \tag{8.84}$$

式中假设  $J_{\text{K}_D}$ ——扩散引起的胞内流向胞外的  $\text{K}^+$  离子流量；

$J_{\text{Na}_D}$ ——扩散引起的胞外流向胞内的  $\text{Na}^+$  离子流量；

$K_1$ ——ATP 从线粒体进入胞浆的速率；

$K_9$ ——ADP 从胞浆进入线粒体的速率。

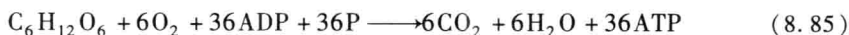
注意，还有其他基于不同假设的 Na-K 泵模型。

## 8.5 细胞呼吸：葡萄糖代谢和 ATP 的生成

下面详细介绍包含葡萄糖新陈代谢的细胞呼吸，以阐明人体以 ATP 形式产生能量的各种化学反应。如前所述，ATP 是支撑人体各种生命活动的燃料，其能量贮存于无机磷酸盐的化学键中。形成这些化学键需要能量，而当这些化学键断开时又会释放能量。

细胞呼吸是研究最深入的新陈代谢途径之一，早在 20 世纪 60 年代它就有详细的模型。虽然其中的许多过程已被研究清楚，但仍然存在许多未知的机理，大量的研究工作仍在进行中。下面我们应用本章前面所介绍的方法来分析细胞呼吸，主要讲述线粒体利用氧分子制造 ATP 的有氧呼吸。

如图 8.23 所示，细胞呼吸主要分成 3 步：糖酵解、三羧酸循环以及电子传递链。第一步在胞浆中进行，其他两步都在线粒体中进行。每一步反应都非常复杂，总的反应式如下：



其中包括葡萄糖 ( $\text{C}_6\text{H}_{12}\text{O}_6$ ) 氧化产生  $\text{CO}_2$  和  $\text{O}_2$ ，以及  $\text{O}_2$  还原形成  $\text{H}_2\text{O}$ 。在细胞内，

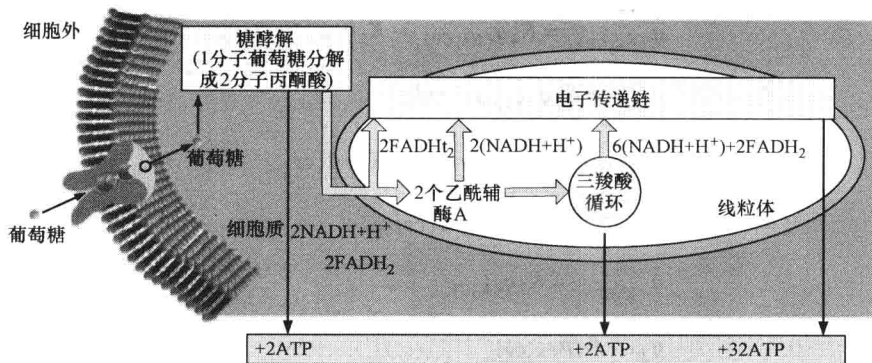


图 8.23 细胞呼吸包含的糖酵解、三羧酸循环和电子传递链 3 个步骤

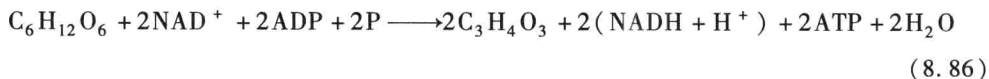
注: 图中下方所示是每一步中生成的 ATP 数量, 1 分子葡萄糖共生产 36 分子 ATP。

通过在每个 ADP 分子上连接 1 个无机磷, 1mol/L 葡萄糖可用于生产 36mol/L 的 ATP。也有一些单磷酸腺苷 (Adenosine Monophosphate, AMP) 与 2 个无机磷结合之后生成 ATP, 此处忽略不计。

线粒体是细胞的发电厂, 给细胞提供 ATP。线粒体有两层磷脂双分子膜。外膜光滑, 与一般质膜相同; 内膜有许多内褶, 其中包含多种氧化酶。内膜包裹的是线粒体的基质腔, 其中包含由 DNA、核糖体和水解酶组成的核。基质酶与氧化酶共同作用生产 ATP。线粒体的核使其能够根据细胞对于 ATP 的需求来进行自我复制。ATP 的需求量增加时, 细胞内线粒体的数量也会增加。

分子上增添无机磷的过程被称为磷酸化, 使用  $O_2$  分子的磷酸化过程被称为氧化磷酸化。式 (8.85) 的总体反应式看似很简单, 却包含了多种酶促反应。

其中, 将葡萄糖从组织液移入细胞内的机制可能是载体运输。而胞浆中发生的糖酵解<sup>①</sup>包含 10 种酶促反应, 期间 1 个葡萄糖分子分解成 2 个丙酮酸  $C_3H_4O_3$  分子, 同时消耗并产生能量。糖酵解的总体反应式为

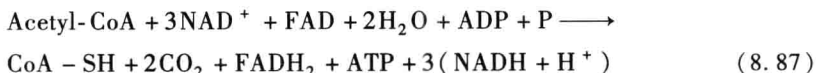


其中  $NAD^+$  为烟酰胺腺嘌呤二核苷酸, 它与 2 个氢原子结合形成  $NADH + H^+$ 。在电子传递链阶段, 每个  $NADH + H^+$  分子可用于生成 3 个 ATP 分子。

除了糖酵解以外, 接下来的两步都在线粒体中进行。第二步开始时丙酮酸  $C_3H_4O_3$  转变成乙酰辅酶 A, 随后是 8 个主要酶促反应, 总称为三羧酸循环<sup>②</sup>。三羧酸循环的最终结果是将丙酮酸转变为  $CO_2$  和  $NADH + H^+$ , 其总反应式为

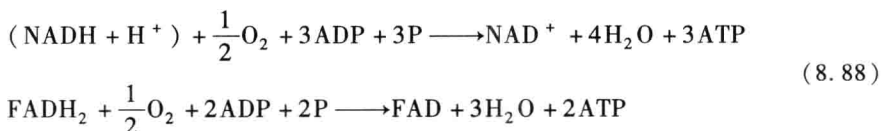
① 糖酵解也被称为 Embden-Meyerhoff 途径。——原文注

② 三羧酸循环也被称为 Krebs 循环或者柠檬酸循环。——原文注



其中 FAD 为黄素腺嘌呤二核苷酸, 它与 2 个氢原子结合后形成  $\text{FADH}_2$ 。在电子传递链阶段, 每个  $\text{FADH}_2$  分子能够产生 2 个 ATP 分子。

细胞呼吸的最后第三步就是电子传递链<sup>①</sup>。进入这一步之前, 在线粒体中的一系列酶促反应总共只产生 2 个 ATP 分子、4 个  $\text{FADH}_2$  分子和 8 个  $\text{NADH} + \text{H}^+$  分子。在电子传递链阶段, 通过氢原子的氧化作用,  $\text{NADH} + \text{H}^+$  和  $\text{FADH}_2$  用于产生 ATP。细胞呼吸所产生的大部分能量都在葡萄糖代谢的电子传递链阶段形成, 1 分子葡萄糖可以产生 32 分子 ATP。电子传递链的总体反应式如下:



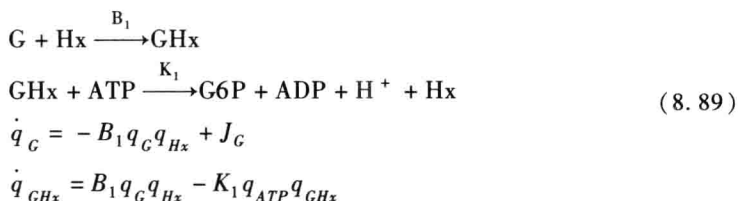
本节分析了葡萄糖转化成为 ATP 的主要步骤。为了将葡萄糖产生的能量最大化, 细胞进行了一系列反应, 而不是直接将 1 分子葡萄糖反应生成 1 分子 ATP、水和二氧化碳。通过胞浆和线粒体中的一系列反应, 1 分子葡萄糖总共可以产生 36 分子 ATP。下面详细讲述糖酵解和三羧酸循环, 对于电子传递链仅做简单介绍。假设葡萄糖通过载体运输进入细胞内, 从而在胞浆中开始糖酵解反应。

### 8.5.1 糖酵解

如图 8.24 所示, 糖酵解包括胞浆中发生的 10 种酶促反应, 它将 1 个葡萄糖分解成 2 个丙酮酸。为了简化, 图中没有显示酶与底物作用生成的各种中间产物。不过, 这些中间产物在模型的微分方程组中都用  $B_i$  表示出来, 相应的反应速率用  $K_i$  表示。从图 8.23 可见, 糖酵解阶段每个葡萄糖分子共产生 2 个 ATP 分子和 2 个  $\text{NADH} + \text{H}^+$ , 但糖酵解的主产物是每个葡萄糖分子产生的 2 个丙酮酸分子。

注意, 第 6~10 步, 每种物质均为 2 个分子, 因为每个葡萄糖分子产生 2 个 3-磷酸甘油醛分子。还要注意, 图中没有显示糖酵解过程中的中间产物及其反应, 但在模型的微分方程组中有表示。另外, 每个分子名称后的括号内是其缩写。

糖酵解的第一步反应是葡萄糖与被称为己糖激酶的磷酸化酶相结合, 产生 6-磷酸葡萄糖。葡萄糖的这种快速磷酸化反应是必须的, 否则葡萄糖就会离开细胞。该反应消耗 ATP, 反应式及其微分方程组如下:



① 电子传递链也被称为化学渗透机制。——原文注

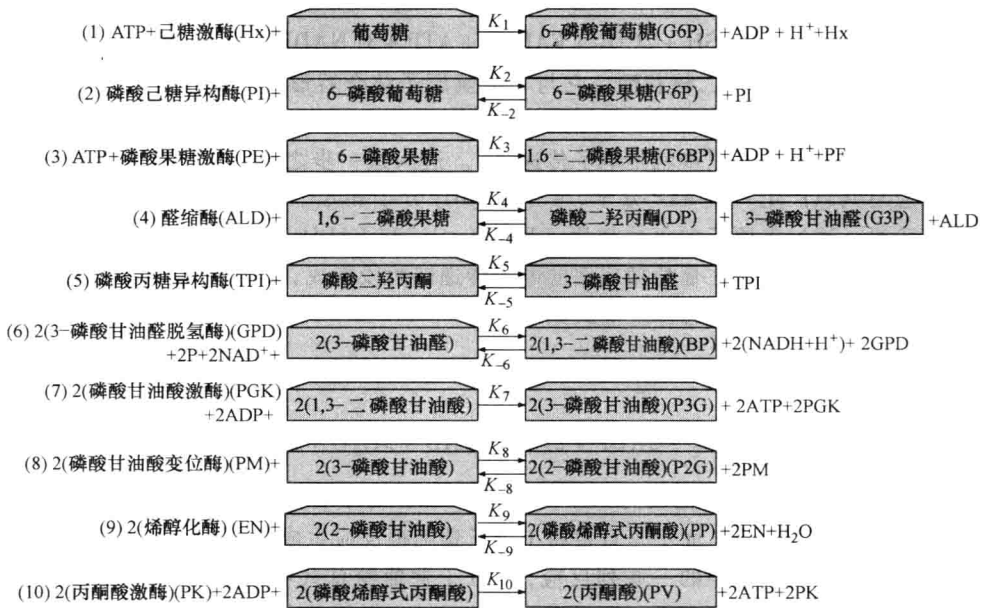


图 8.24 糖酵解的 10 步酶促反应

其中,与 8.4.3 节一致,  $J_c$  表示进入细胞的葡萄糖流量。

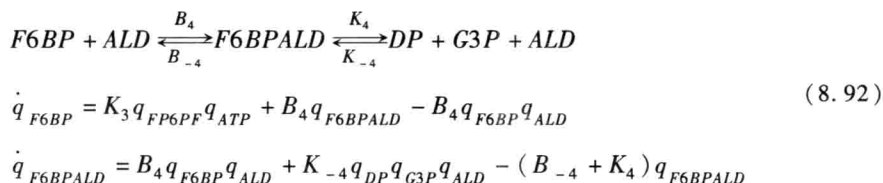
第 2 步是 6-磷酸葡萄糖在磷酸己糖异构酶作用下生成 6-磷酸果糖。反应式及其微分方程组如下:

$$\begin{aligned}
 G6P + PI &\xrightleftharpoons[B_{-2}]{B_2} G6PPI \xrightleftharpoons[K_{-2}]{K_2} FP6 + PI \\
 \dot{q}_{GP6} &= K_1 q_{ATP} q_{GHx} + B_{-2} q_{G6PPI} - B_2 q_{GP6} q_{PI} \\
 \dot{q}_{G6PPI} &= B_2 q_{GP6} q_{PI} + K_{-2} q_{FP6} q_{PI} - (B_{-2} + K_2) q_{G6PPI}
 \end{aligned} \quad (8.90)$$

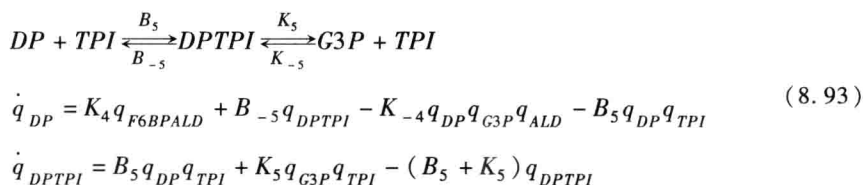
第 3 步是 6-磷酸果糖与 ATP 以及磷酸果糖激酶反应,生成 1,6-二磷酸果糖。反应式及其微分方程组如下:

$$\begin{aligned}
 F6P + PF &\xrightarrow{B_3} F6PPF \\
 F6PPF + ATP &\xrightarrow{K_3} F6BP + ADP + H^+ + PF \\
 \dot{q}_{F6P} &= K_2 q_{G6PPI} - K_{-2} q_{F6P} q_{PI} - B_3 q_{F6P} q_{PF} \\
 \dot{q}_{F6PPF} &= B_3 q_{F6P} q_{PF} - K_3 q_{F6PPF} q_{ATP}
 \end{aligned} \quad (8.91)$$

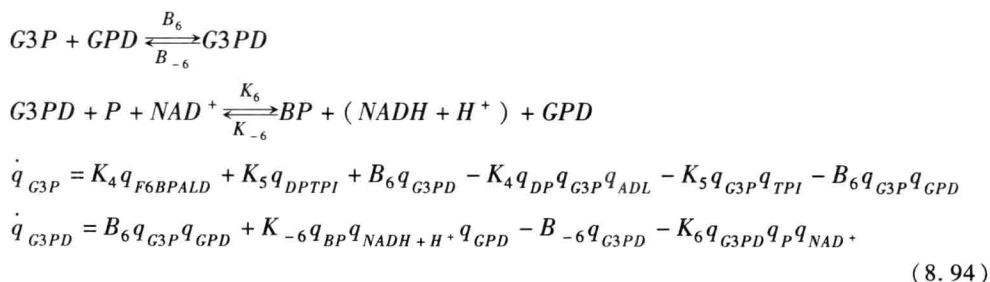
第 4 步是 1,6-二磷酸果糖与醛缩酶反应,生成磷酸二羟丙酮和 3-磷酸甘油醛。反应式及其微分方程组如下:



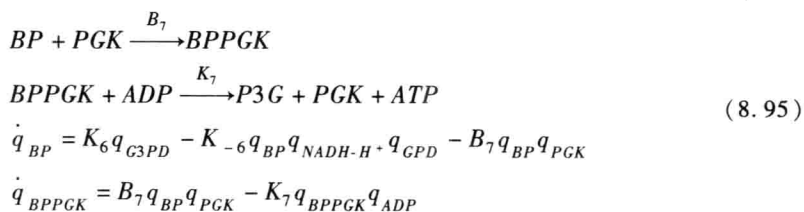
第5步是磷酸二羟丙酮在磷酸丙糖异构酶作用下生成3-磷酸甘油醛。反应式及其微分方程组如下：



第6步是3-磷酸甘油醛在3-磷酸甘油醛脱氢酶作用下，与1个无机磷和NAD<sup>+</sup>反应生成1,3-二磷酸甘油酸。反应式及其微分方程组如下：

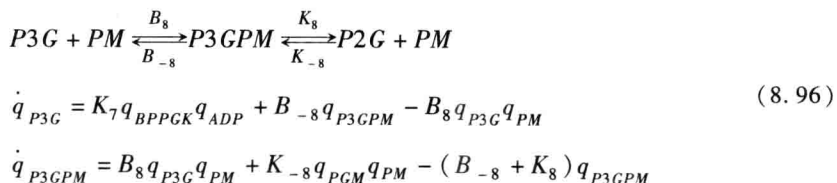


第7步是1,3-二磷酸甘油酸在磷酸甘油酸激酶作用下与ADP反应生成3-磷酸甘油酸和ATP。反应式及其微分方程组如下：



注意，我们假定这一步只有正向反应，没有逆向反应。

第8步是3-磷酸甘油酸在磷酸甘油酸变位酶的作用下，重排生成2-磷酸甘油酸。反应式及其微分方程组如下：





第9步是2-磷酸甘油酸在烯醇化酶作用下,脱水生成磷酸烯醇式丙酮酸。反应式及其微分方程组如下:

$$\begin{aligned}
 P2G + EN &\xrightleftharpoons[B_{-9}]{B_9} P2GEN \xrightleftharpoons[K_{-9}]{K_9} PP + EN + H_2O \\
 \dot{q}_{P2G} &= K_8 q_{P3CPM} + B_9 q_{P2GEN} - K_8 q_{P2G} q_{PM} - B_9 q_{P2G} q_{EN} \\
 \dot{q}_{P2GEN} &= B_9 q_{P2G} q_{EN} + K_9 q_{PP} q_{EN} q_{H_2O} - (B_9 + K_9) q_{P2GEN}
 \end{aligned} \quad (8.97)$$

最后的第10步是磷酸烯醇式丙酮酸在丙酮酸激酶作用下,与ADP和 $H^+$ 反应生成丙酮酸和ATP。反应式及其微分方程组如下:

$$\begin{aligned}
 PP + PK &\xrightarrow{B_{10}} PPPK \\
 PPPK + ADP &\xrightarrow{K_{10}} PV + ATP + PK \\
 \dot{q}_{PP} &= K_9 q_{P2GEN} - K_{-9} q_{PP} q_{EN} q_{H_2O} - B_{10} q_{PP} q_{PK} \\
 \dot{q}_{PPPK} &= B_{10} q_{PP} q_{PK} - K_{10} q_{PPPK} q_{ADP} \\
 \dot{q}_{PV} &= K_{10} q_{PPPK} q_{ADP}
 \end{aligned} \quad (8.98)$$

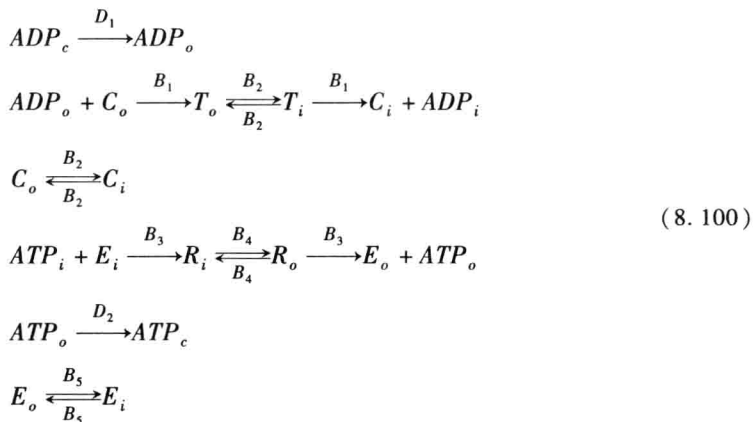
胞浆中ATP和ADP的质量守恒微分方程为

$$\begin{aligned}
 \dot{q}_{ATP} &= -K_1 q_{ATP} q_{CHx} - K_3 q_{F6PPF} q_{ATP} + K_7 q_{BPPGK} q_{ADP} + K_{10} q_{PPPK} q_{ADP} + J_{ATP} \\
 \dot{q}_{ADP} &= K_1 q_{ATP} q_{CHx} + K_3 q_{F6PPF} q_{ATP} - K_7 q_{BPPGK} q_{ADP} - K_{10} q_{PPPK} q_{ADP} + J_{ADP}
 \end{aligned} \quad (8.99)$$

其中, $J_{ATP}$ 和 $J_{ADP}$ 分别表示其他反应过程中的ATP和ADP消耗量,比如8.5.2节和8.8.3节讲述的线粒体内产生的各种反应以及8.4.4节讲述的Na-K泵。

下面分析ADP和ATP进出线粒体的过程。

假设ATP和ADP穿过线粒体膜的方式为:先以扩散方式从胞浆穿过线粒体的外膜,再以载体运输方式穿过内膜。为了简化,我们还假设ADP只能进入线粒体,而ATP则只能出线粒体。那么,描述线粒体膜上ATP和ADP运输过程的反应式为



式中 下标  $c$ ——胞浆；

下标  $i$ ——线粒体内基质；

下标  $o$ ——线粒体外膜；

$D$ ——扩散系数；

$B$ ——反应速率；

$C$  和  $E$ ——酶；

$R$  和  $T$ ——中间产物。

系统的微分方程组如下

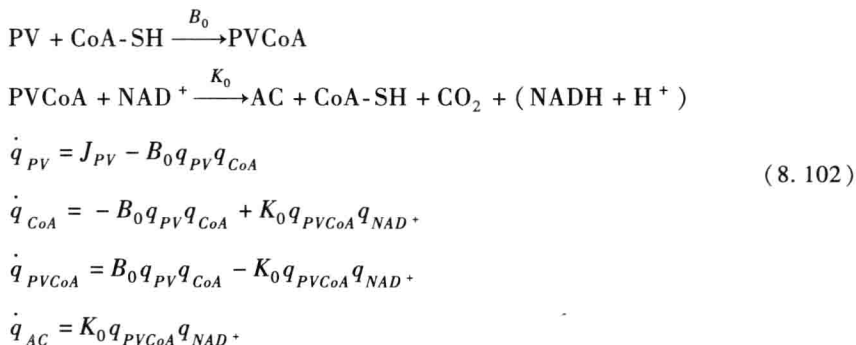
$$\begin{aligned}
 \dot{q}_{ADP_c} &= -D_1 q_{ADP_c} + J_{ADP_c} \\
 \dot{q}_{ADP_o} &= D_1 q_{ADP_c} - B_1 q_{ADP_o} q_{C_o} \\
 \dot{q}_{ADP_i} &= B_1 T_i - J_{ADP_i} \\
 \dot{q}_{T_o} &= B_1 q_{ADP_o} q_{C_o} - B_2 q_{T_o} + B_2 q_{T_i} \\
 \dot{q}_{T_i} &= B_2 q_{T_o} - (B_2 + B_1) q_{T_i} \\
 \dot{q}_{C_o} &= -B_1 q_{ADP_o} q_{C_o} + B_2 q_{C_i} - B_2 q_{C_o} \\
 \dot{q}_{C_i} &= B_1 q_{T_i} + B_2 q_{C_o} - B_2 q_{C_i} \\
 \dot{q}_{ATP_i} &= -B_3 q_{ATP_i} q_{E_i} + J_{ATP_i} \\
 \dot{q}_{R_i} &= B_3 q_{ATP_i} q_{E_i} + B_4 R_o - B_4 R_i \\
 \dot{q}_{R_o} &= B_4 q_{R_i} - (B_4 + B_3) q_{R_o} \\
 \dot{q}_{ATP_o} &= B_3 q_{R_o} - D_2 q_{ATP_o} \\
 \dot{q}_{ATP_c} &= D_2 q_{ATP_o} - J_{ATP_c} \\
 \dot{q}_{E_i} &= -B_3 q_{ATP_i} q_{E_i} + B_5 q_{E_o} - B_5 q_{E_i} \\
 \dot{q}_{E_o} &= B_3 q_{R_o} + B_5 q_{E_i} - B_5 q_{E_o}
 \end{aligned} \tag{8.101}$$

式中  $J_{ATP_c}$  和  $J_{ATP_i}$ ——分别是胞浆和线粒体基质中消耗或者生成的 ATP 量；

$J_{ADP_c}$  和  $J_{ADP_i}$ ——分别是胞浆和线粒体基质中消耗或者生成的 ADP 量。

下面分析丙酮酸转变为乙酰辅酶 A 的模型。

丙酮酸 (pyruvate, PV) 以扩散方式进入线粒体。一旦进入线粒体, 它就会被一种酶促反应转变成成为乙酰辅酶 A。反应式及其微分方程组如下:



式中 CoA-SH (即 CoA) —— 辅酶 A;

PVCoA —— 丙酮酸脱氢酶复合物;

$J_{\text{PV}}$  —— 式 (8.98) 所示糖酵解反应产生的丙酮酸产量。

要记住, 1 个葡萄糖分子产生 2 个丙酮酸分子并进入线粒体。还要注意, 2 个  $\text{NADH} + \text{H}^+$  转化成 2 个  $\text{FADH}_2$  并将乙酰辅酶 A 跨膜转送进入线粒体, 由此消耗 2 个 ATP。

### 8.5.2 三羧酸循环

如图 8.25 所示, 三羧酸循环包括一系列酶促反应, 它们将线粒体基质中的乙酰辅酶 A 的乙酰基还原。三羧酸循环不断重复进行, 重复使用底物和酶, 其总体反应式为

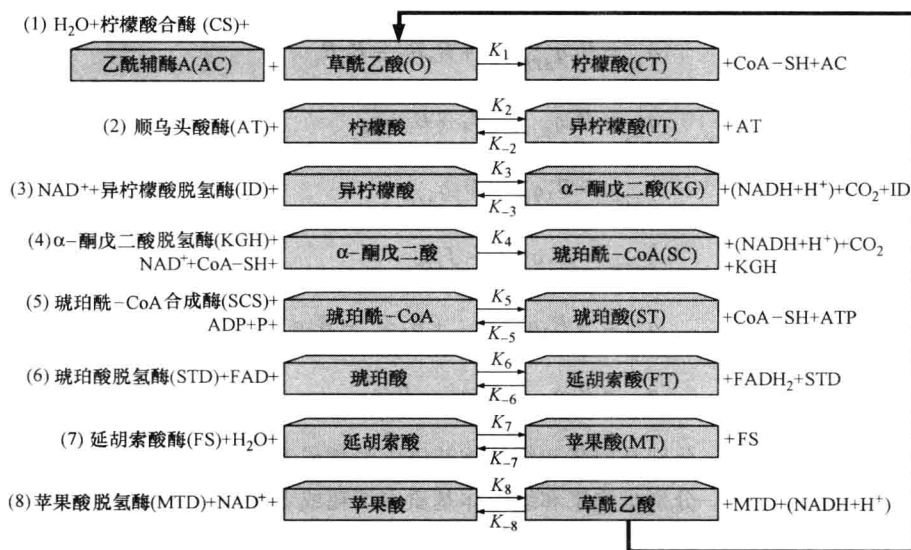
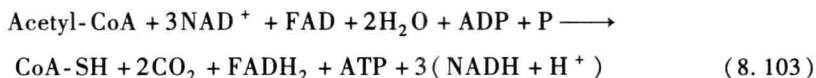


图 8.25 三羧酸循环的 8 步酶促反应



三羧酸循环开始时的第1步是乙酰辅酶A与草酰乙酸和水反应,生成柠檬酸。反应式及其微分方程组为

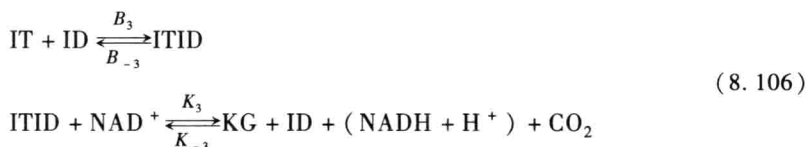
$$\begin{aligned} \text{AC} + \text{H}_2\text{O} + \text{CS} + \text{O} &\xrightarrow{B_1} \text{ACOCs} \xrightarrow{K_1} \text{CT} + \text{CoA-SH} + \text{CS} \\ \dot{q}_{\text{AC}} &= -B_1 q_{\text{AC}} q_{\text{H}_2\text{O}} q_{\text{CS}} q_{\text{O}} + J_{\text{AC}} \\ \dot{q}_{\text{ACOCs}} &= B_1 q_{\text{AC}} q_{\text{H}_2\text{O}} q_{\text{CS}} q_{\text{O}} - K_1 q_{\text{ACOCs}} \end{aligned} \quad (8.104)$$

式中  $J_{\text{AC}}$ ——式(8.102)所示反应产生的乙酰辅酶A产量。

第2步是柠檬酸在顺乌头酸酶作用下生成异柠檬酸。反应式及其微分方程组为

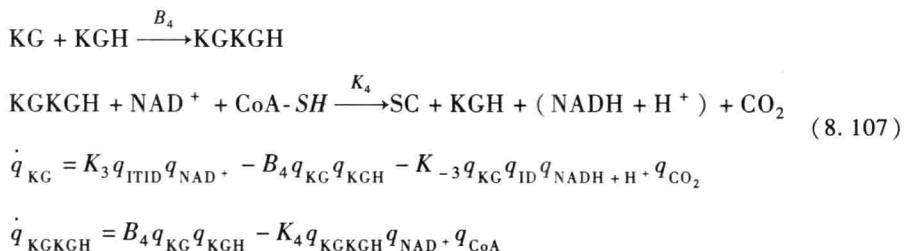
$$\begin{aligned} \text{CT} + \text{AT} &\xrightleftharpoons[B_{-2}]{B_2} \text{CTAT} \xrightleftharpoons[K_{-2}]{K_2} \text{IT} + \text{AT} \\ \dot{q}_{\text{CT}} &= K_1 q_{\text{ACOCs}} + B_{-2} q_{\text{CTAT}} - B_2 q_{\text{CT}} q_{\text{AT}} \\ \dot{q}_{\text{CTAT}} &= B_2 q_{\text{CT}} q_{\text{AT}} + K_{-2} q_{\text{IT}} q_{\text{AT}} - (B_{-2} + K_2) q_{\text{CTAT}} \end{aligned} \quad (8.105)$$

第3步是异柠檬酸在异柠檬酸脱氢酶作用下与  $\text{NAD}^+$  反应,生成  $\alpha$ -酮戊二酸、 $\text{NADH} + \text{H}^+$  和  $\text{CO}_2$ 。反应式及其微分方程组为



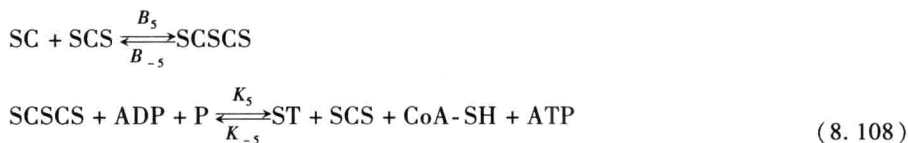
$$\begin{aligned} \dot{q}_{\text{IT}} &= K_2 q_{\text{CTAT}} + B_{-3} q_{\text{ITID}} - K_{-2} q_{\text{IT}} q_{\text{AT}} - B_3 q_{\text{IT}} q_{\text{ID}} \\ \dot{q}_{\text{ITID}} &= B_3 q_{\text{IT}} q_{\text{ID}} + K_{-3} q_{\text{KG}} q_{\text{ID}} q_{\text{NADH} + \text{H}^+} q_{\text{CO}_2} - B_{-3} q_{\text{ITID}} - K_3 q_{\text{ITID}} q_{\text{NAD}^+} \end{aligned}$$

第4步是  $\alpha$ -酮戊二酸在  $\alpha$ -酮戊二酸脱氢酶作用下与  $\text{NAD}^+$  和 CoA 反应,生成琥珀酰-CoA、 $\text{NADH} + \text{H}^+$  和  $\text{CO}_2$ 。反应式及其微分方程组为



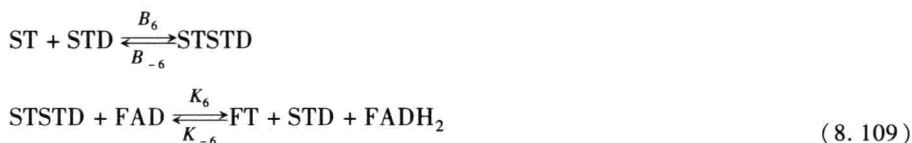
第5步是琥珀酰-CoA在琥珀酰-CoA合成酶作用下与ADP和P反应,生成琥珀酸、

CoA 和 ATP。反应式及其微分方程组为



$$\begin{aligned} \dot{q}_{\text{SC}} &= K_4 q_{\text{KGKGH}} q_{\text{NAD}^+} q_{\text{CoA}} + B_{-5} q_{\text{SCSCS}} - B_5 q_{\text{SC}} q_{\text{SCS}} \\ \dot{q}_{\text{SCSCS}} &= B_5 q_{\text{SC}} q_{\text{SCS}} + K_5 q_{\text{ST}} q_{\text{SCS}} q_{\text{CoA}} q_{\text{ATP}} - B_5 q_{\text{SCSCS}} - K_5 q_{\text{SCSCS}} q_{\text{ADP}} q_{\text{P}} \end{aligned}$$

第6步是琥珀酸在琥珀酸脱氢酶的作用下与 FAD 反应,生成延胡索酸和 FADH<sub>2</sub>。反应式及其微分方程组为



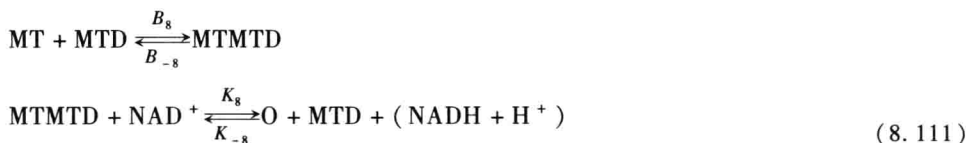
$$\begin{aligned} \dot{q}_{\text{ST}} &= K_5 q_{\text{SCSCS}} q_{\text{ADP}} q_{\text{P}} + B_{-6} q_{\text{STSTD}} - K_{-5} q_{\text{ST}} q_{\text{SCS}} q_{\text{CoA}} q_{\text{ATP}} - B_6 q_{\text{ST}} q_{\text{STD}} \\ \dot{q}_{\text{STSTD}} &= B_6 q_{\text{ST}} q_{\text{STD}} + K_{-6} q_{\text{FT}} q_{\text{STD}} q_{\text{FADH}_2} - B_{-6} q_{\text{STSTD}} - K_6 q_{\text{STSTD}} q_{\text{FAD}} \end{aligned}$$

第7步是延胡索酸在延胡索酸酶的作用下与 H<sub>2</sub>O 反应,生成苹果酸。反应式及其微分方程组为



$$\begin{aligned} \dot{q}_{\text{FT}} &= K_6 q_{\text{STSTD}} q_{\text{FAD}} + B_{-7} q_{\text{FTFS}} - K_{-6} q_{\text{FT}} q_{\text{STD}} q_{\text{FADH}_2} - B_7 q_{\text{FT}} q_{\text{FS}} \\ \dot{q}_{\text{FTFS}} &= B_7 q_{\text{FT}} q_{\text{FS}} + K_{-7} q_{\text{MT}} q_{\text{FS}} - B_{-7} q_{\text{STSTD}} - K_7 q_{\text{FTFS}} q_{\text{H}_2\text{O}} \end{aligned}$$

最后第8步是苹果酸在苹果酸脱氢酶作用下与 NAD<sup>+</sup> 反应,生成草酰乙酸和 NADH + H<sup>+</sup>。反应式及其微分方程组为



$$\begin{aligned} \dot{q}_{\text{MT}} &= K_7 q_{\text{FTFS}} q_{\text{H}_2\text{O}} + B_{-8} q_{\text{FTFS}} - K_{-7} q_{\text{MT}} q_{\text{TS}} - B_8 q_{\text{MT}} q_{\text{MTD}} \\ \dot{q}_{\text{MTMTD}} &= B_8 q_{\text{MT}} q_{\text{MTD}} + K_8 q_{\text{O}} q_{\text{MTD}} q_{\text{NADH} + \text{H}^+} - B_8 q_{\text{MTMTD}} - K_8 q_{\text{MTMTD}} q_{\text{NAD}^+} \end{aligned}$$

最后,将第1步反应中消耗的草酰乙酸与第8步反应再生的草酰乙酸合在一起,其质量守恒方程为

$$\dot{q}_O = K_8 q_{\text{MTMTD}} q_{\text{NAD}^+} - K_{-8} q_O q_{\text{MTD}} q_{\text{NADH} + \text{H}^+} - B_1 q_O \quad (8.112)$$

显然, 该反应会不断循环。处理 1 个葡萄糖分子需要 2 轮这样的循环才能完成。

### 8.5.3 电子传递链

电子传递链是将葡萄糖转化为 ATP 的最后阶段, 如图 8.26 所示, 它通过一系列酶促反应, 将电子从两种供体分子  $\text{NADH} + \text{H}^+$  和  $\text{FADH}_2$  传递至受体分子。最终电子传递链通过氢原子的氧化, 产生 32 个 ATP 分子, 并再生 NAD 和 FAD, 重新用于糖酵解。总反应式如下:

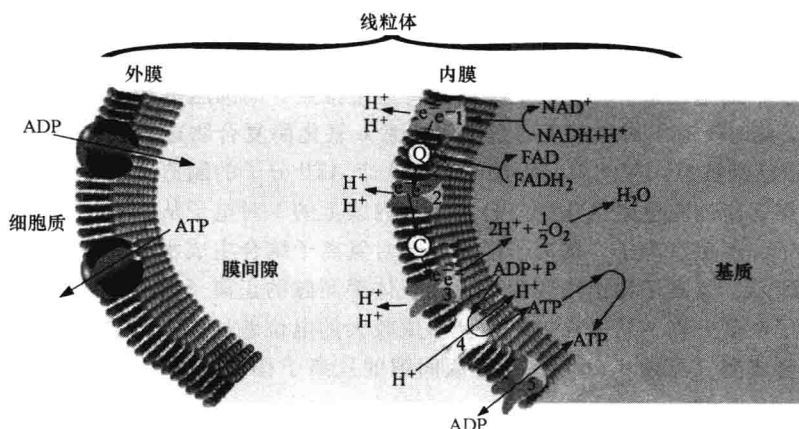
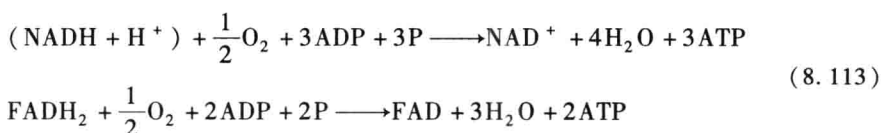


图 8.26 线粒体中电子传递链的简化示意图

注: 图中内膜上位点 1~3 分别表示 3 种氢离子泵: 位点 1 为 NADH 脱氢酶复合物, 位点 2 为细胞色素  $\text{bc}_1$  复合物, 位点 3 为细胞色素 c 氧化酶复合物。内膜上的“Q”和“C”分别表示两种电子载体: 辅酶 Q 和细胞色素 c。位点 4 的蛋白质通道为 ATP 合成酶, 它将  $\text{ADP} + \text{P}$  转化为 ATP, 并将氢离子送回线粒体基质中, 重新被位点 1~3 利用。位点 5 是载体运输, 它负责基质与膜间隙之间的 ADP 和 ATP 跨内膜交换。在线粒体外膜上, ADP 和 ATP 通过扩散完成跨膜传输。

电子传递链的生化反应发生于线粒体的内膜以及内膜和外膜之间 (被称为膜间隙)。在线粒体基质中, 三羧酸循环除了产生 1 个 ATP 分子以外, 还会释放 4 对氢原子。其中 3 对氢原子与 3 个  $\text{NAD}^+$  结合产生 3 个  $\text{NADH} + \text{H}^+$ , 另外 1 对氢原子与 FAD 结合产生  $\text{FADH}_2$ 。如前所述, 需要经过 2 轮三羧酸循环才能完全 1 个葡萄糖分子的彻底氧化, 因此, 此期间共会产生 6 个  $\text{NADH} + \text{H}^+$  和 2 个  $\text{FADH}_2$ 。

贮存在  $\text{NADH} + \text{H}^+$  和  $\text{FADH}_2$  分子中的能量用于生产 ATP, 期间线粒体内的这两种分子将氢离子送出内膜而将电子留在内膜中。 $\text{NADH} + \text{H}^+$  和  $\text{FADH}_2$  每传递 1 对电子所

释放的能量用于将 1 对氢离子泵入膜间隙。电子的传递是通过一条受体组成的链一环接一环依次进行，每传递一次所产生的能量又将另 1 对氢离子送出内膜。直至受体链的末端，2 个电子将 1 个氧原子还原成为氧离子，该氧离子与 1 对氢离子结合生成  $\text{H}_2\text{O}$ 。

氢离子不断移出内膜使得线粒体膜间隙中正离子浓度升高，而线粒体内基质中负离子浓度升高，从而在内膜两侧形成较大的电位差。ATP 合成酶利用这个电位差将氢离子送入线粒体基质并用于生产 ATP。所生成的 ATP 再通过载体运输穿出内膜并以扩散方式穿出外膜。在下面的模型中，我们假设所有氢原子和电子都被用于这些反应。实际上存在损失，有些不能用于生产 ATP。除了图 8.26 模型所示的位点以外，其他电子传递链模型可能还包含更多的位点，为了简化，此处忽略不计。

下面首先考察电子传递链中  $\text{NADH} + \text{H}^+$  的作用。如图 8.26 所示，第 1 步， $\text{NADH} + \text{H}^+$  的 1 对电子通过位点 1 的 NADH 脱氢酶传递给电子载体——辅酶 Q，所释放的能量将 1 对氢离子泵入膜间隙。

第 2 步，辅酶 Q 将这对电子传递给位点 2 的细胞色素  $\text{bc}_1$  复合物（见图 8.26）。当这对电子再从位点 2 传递到细胞色素 c 时，所释放的能量通过细胞色素  $\text{bc}_1$  复合物将另 1 对氢离子泵入膜间隙。

第 3 步，细胞色素 c 将这对电子继续传递至位点 3 的细胞色素 c 氧化酶复合物（见图 8.26），此时又有 1 对氢离子通过细胞色素 c 氧化酶复合物进入膜间隙。这样，共计 6 个氢离子已经被泵入膜间隙，可用于后续 3 个 ATP 分子的制造。

在此第 3 步细胞色素氧化酶复合物还将内膜上的 1 对电子从细胞色素 c 传递给基质中的氧原子，产生氧离子，氧离子随即与 1 对氢离子结合生成水。

如前所示，氢离子移出内膜后使得线粒体膜间隙的正离子浓度升高，而线粒体内基质的负离子浓度升高，从而在内膜两侧形成较大的电位差。该电位差提供的能量被位点 4 的 ATP 合成酶（见图 8.26）用于将膜间隙的氢离子移入基质，从而使用 ADP 和 P 合成 ATP。

通过位点 5 的载体运输（见图 8.26），基质中的 ATP 随即被送入膜间隙，同时 ADP 被送入基质。膜间隙中的 ATP 再经外膜扩散至胞浆，而胞浆中的 ADP 也由扩散经过外膜进入膜间隙。

与  $\text{NADH} + \text{H}^+$  相似， $\text{FADH}_2$  也经历类似的反应过程，只不过它的起点是在辅酶 Q（见图 8.26），辅酶 Q 直接提供 1 对电子。因此， $\text{FADH}_2$  比  $\text{NADH} + \text{H}^+$  少提供 2 个氢离子。

本节主要讲述 ATP 的合成；实际上，糖酵解和三羧酸循环在氨基酸和核苷酸等小分子以及蛋白质、DNA 和 RNA 等大分子的合成中也具有重要的作用。此外，人体内还存在其他贮存和释放能量的新陈代谢途径，这里不再介绍。有兴趣的读者可以参考本章末尾列出的参考文献和网站 <http://www.genome.jp> 进一步学习其他代谢途径。

## 8.6 酶的抑制、变构调节和协同反应

本章前面所述是酶与一种底物结合生成产物的过程。下面我们来分析酶可以与多种

分子自由结合时的情况, 这种反应能够调控产物合成的数量, 改变总反应速率。

首先, 本节将介绍酶的抑制剂, 它们可以分为竞争性和变构性两种。竞争性酶抑制剂与酶的活性位点相结合之后, 可以阻止底物与酶结合。这样, 抑制剂与底物一起竞争酶的活性位点, 会减少产物的合成, 降低总反应速率。

然后, 本节将介绍变构酶。有些具有一个以上结合位点的酶被称为变构酶。其中, 与底物结合的位点被称为活性位点, 与调节剂或者效应剂分子结合的其他位点被称为变构位点或者调节位点。调节剂与酶的调节位点相结合, 它并不直接阻止底物与酶的活性位点之间的结合。效应剂要么是变构激活剂, 可以增强酶的活性; 要么是变构抑制剂, 可以减弱酶的活性。其中变构抑制剂也被称为非竞争性抑制剂。

最后, 本节将讲述协同反应。这种反应由一系列连锁反应组成, 具有 S 形的反应速率曲线。

### 8.6.1 竞争性酶抑制剂

假设某种酶促反应是底物  $S$  与酶  $E$  合成产物  $P_1$ , 反应式为



另一种酶促反应是酶抑制剂  $I$  与  $E$  反应生成产物  $P_2$ , 反应式为



其中,  $C_1$  和  $C_2$  为中间产物。注意, 终产物  $P_1$  和  $P_2$  转变成中间产物的逆向反应忽略不计。此外, 还有一种形式的竞争性酶抑制剂的反应不生成产物  $P_2$ , 即  $K_4 = 0$ 。

式 (8.114) 和式 (8.115) 给定系统的微分方程组如下:

$$\begin{aligned} \dot{q}_S &= K_{-1}q_{C_1} - K_1q_Sq_E \\ \dot{q}_{C_1} &= K_1q_Sq_E - (K_{-1} + K_2)q_{C_1} \\ \dot{q}_I &= K_{-3}q_{C_2} - K_3q_Iq_E \\ \dot{q}_{C_2} &= K_3q_Iq_E - (K_{-3} + K_4)q_{C_2} \end{aligned} \quad (8.116)$$

利用  $q_E = E_0 - q_{C_1} - q_{C_2}$  消去方程组中的  $q_E$ , 可得

$$\begin{aligned} \dot{q}_S &= (K_1q_S + K_{-1})q_{C_1} + K_1q_Sq_{C_2} - K_1E_0q_S \\ \dot{q}_{C_1} &= K_1E_0q_S - (K_1q_S + K_{-1} + K_2)q_{C_1} - K_1q_Sq_{C_2} \\ \dot{q}_I &= (K_3q_I + K_{-3})q_{C_2} + K_3q_Iq_{C_1} - K_3E_0q_I \\ \dot{q}_{C_2} &= K_3E_0q_I - (K_3q_I + K_{-3} + K_4)q_{C_2} - K_3q_Iq_{C_1} \end{aligned} \quad (8.117)$$

假设系统的非零初始条件为  $q_S(0) = S_0$ ,  $q_I(0) = I_0$ ,  $q_E(0) = E_0$ 。



令  $\dot{q}_{c_1} = \dot{q}_{c_2} = 0$ , 可得式 (8.117) 的准稳态近似方程为

$$\begin{aligned} 0 &= K_1 E_0 q_s - (K_1 q_s + K_{-1} + K_2) q_{c_1} - K_1 q_s q_{c_2} \\ 0 &= K_3 E_0 q_I - (K_3 q_I + K_{-3} + K_4) q_{c_2} - K_3 q_I q_{c_1} \end{aligned} \quad (8.118)$$

由此可求得  $q_{c_2}$  为

$$q_{c_2} = \frac{K_3 q_I (E_0 - q_{c_1})}{K_3 q_I + K_{-3} + K_4} \quad (8.119)$$

再求解  $q_{c_1}$  为

$$q_{c_1} = \frac{E_0 q_s}{q_s + K_M^s \left( 1 + \frac{q_I}{K_M^i} \right)} \quad (8.120)$$

其中,  $K_M^s = \frac{K_{-1} + K_2}{K_1}$ ,  $K_M^i = \frac{K_{-3} + K_4}{K_3}$ 。

反应速率为

$$V = K_2 q_{c_1} = \frac{K_2 E_0 q_s}{q_s + K_M^s \left( 1 + \frac{q_I}{K_M^i} \right)} = \frac{V_{\max}}{1 + \frac{K_M^s}{q_s} \left( 1 + \frac{q_I}{K_M^i} \right)} \quad (8.121)$$

其中  $V_{\max} = K_2 E_0$ 。

将式 (8.121) 与式 (8.47) 相比较可知, 酶抑制剂的存在不会改变  $V_{\max}$ 。此外, 酶抑制剂存在时, 式 (8.47) 中的  $K_M$  变成了式 (8.121) 中的  $K_M^s \left( 1 + \frac{q_I}{K_M^i} \right)$ , 从而使得反应速率降低。图 8.27 的左图所示是不同的抑制剂含量  $q_I$  下反应速率随底物含量的变化曲线。可见, 酶抑制剂含量增加时产物  $P_1$  的合成速度减慢。要记住, 所有底物最终仍然会变成产物  $P_1$ , 只是合成速度要慢得多。

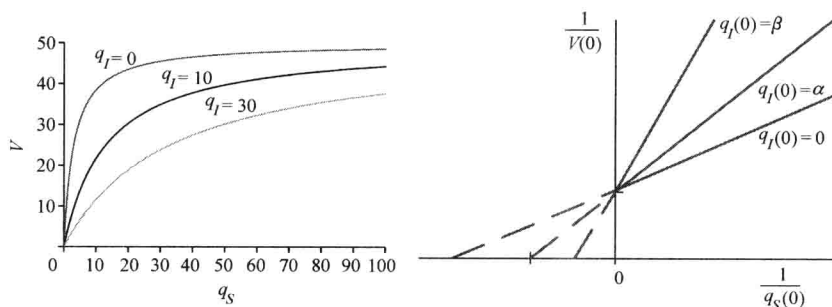


图 8.27 式 (8.121) 给出的产物生成速率曲线 (左图), 其中  $V_{\max} = 50$ ,  $K_M^s = 3$ ,  $K_M^i = 3$ ,  $\beta > \alpha$  时的 Lineweaver-Burk 曲线 (右图)

为了得到系统的 Lineweaver-Burk 方程, 将式 (8.121) 取倒数, 即

$$\frac{1}{V} = \frac{1}{V_{\max}} \left[ 1 + \left( \frac{1}{q_S} \right) K_M^S \left( 1 + \frac{q_I}{K_M^i} \right) \right] \quad (8.122)$$

当  $t=0$  时, 有

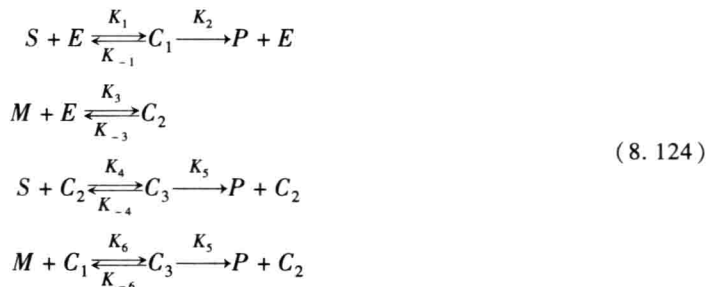
$$\frac{1}{V(0)} = \frac{1}{V_{\max}} \left[ 1 + \left( \frac{1}{q_S(0)} \right) K_M^S \left( 1 + \frac{q_I(0)}{K_M^i} \right) \right] \quad (8.123)$$

图 8.27 右图所示是 3 种不同抑制剂含量下的 Lineweaver-Burk 曲线。可见,  $\frac{1}{V(0)}$  与  $\frac{1}{q_S(0)}$  之间是直线关系。而且, 要注意,  $\frac{1}{V(0)}$  轴上的截距为常数, 它不随酶抑制剂的增加而变化。此外, 随着酶抑制剂的增加, 直线的斜率也随之增加, 说明反应速率减慢。

### 8.6.2 变构激活剂和变构抑制剂

现在假设某种酶含有调节位点和活性位点, 非竞争性变构调节剂可以与酶的调节位点结合, 而底物可以与酶的活性位点结合。调节剂对于酶的活性可能具有增加作用, 也可能具有减弱作用。

设底物  $S$ 、调节剂  $M$  与酶  $E$  一起合成产物  $P$  的酶促反应如下



其中  $C_1 = SE$ ,  $C_2 = ME$ ,  $C_3 = SME$ ; 它们都是中间产物<sup>⊖</sup>。注意, 终产物到中间产物的逆向反应忽略不计。此外, 变构反应还有另一种形式是  $C_3$  不再继续反应生成产物, 即  $K_5 = 0$ 。

式 (8.124) 所示系统的微分方程组为

$$\begin{aligned} \dot{q}_S &= K_{-1}q_{C_1} + K_{-4}q_{C_3} - K_1q_Sq_E - K_4q_Sq_{C_2} \\ \dot{q}_M &= K_{-3}q_{C_2} + K_{-6}q_{C_3} - K_3q_Mq_E - K_6q_Mq_{C_1} \\ \dot{q}_{C_1} &= K_1q_Sq_E + K_{-6}q_{C_3} - (K_{-1} + K_2)q_{C_1} - K_6q_Mq_{C_1} \\ \dot{q}_{C_2} &= K_3q_Mq_E + (K_{-4} + K_5)q_{C_3} - K_{-3}q_{C_2} - K_4q_Sq_{C_2} \\ \dot{q}_{C_3} &= K_4q_Sq_{C_2} + K_6q_Mq_{C_1} - (K_{-4} + K_5 + K_{-6})q_{C_3} \\ \dot{q}_P &= K_2q_{C_1} + K_5q_{C_3} \end{aligned} \quad (8.125)$$

⊖ 此模型取自 Rubinow 论著的第89页。——原文注

利用  $q_E = E_0 - q_{C_1} - q_{C_2}$  消去方程组中的  $q_E$ , 可得

$$\begin{aligned}\dot{q}_S &= (K_{-1} + K_1 q_S) q_{C_1} + (K_{-4} + K_1 q_S) q_{C_3} - K_1 q_S E_0 - (K_4 - K_1) q_S q_{C_2} \\ \dot{q}_M &= (K_{-3} + K_3 q_M) q_{C_2} + (K_{-6} + K_3 q_M) q_{C_3} - K_3 q_M E_0 - (K_6 - K_3) q_M q_{C_1} \\ \dot{q}_{C_1} &= K_1 q_S E_0 - K_1 q_S q_{C_2} + (K_{-6} - K_1 q_S) q_{C_3} - (K_{-1} + K_2 + K_6 q_M + K_1 q_S) q_{C_1} \\ \dot{q}_{C_2} &= K_3 q_M E_0 - K_3 q_M q_{C_1} + (K_{-4} + K_5 - K_3 q_M) q_{C_3} - (K_3 q_M + K_{-3} + K_4 q_S) q_{C_2} \\ \dot{q}_{C_3} &= K_4 q_S q_{C_2} + K_6 q_M q_{C_1} - (K_{-4} + K_5 + K_{-6}) q_{C_3} \\ \dot{q}_P &= K_2 q_{C_1} + K_5 q_{C_3}\end{aligned}\quad (8.126)$$

其中非零初始条件为  $q_S(0) = S_0$ ,  $q_M(0) = M_0$ ,  $q_E(0) = E_0$ 。

(1) 反应速率的准稳态近似方程

令  $\dot{q}_{C_1} = \dot{q}_{C_2} = \dot{q}_{C_3} = 0$  可得式 (8.126) 的准稳态近似方程如下

$$\begin{aligned}0 &= K_1 q_S E_0 - K_1 q_S q_{C_2} + (K_{-6} - K_1 q_S) q_{C_3} - (K_{-1} + K_2 + K_6 q_M + K_1 q_S) q_{C_1} \\ 0 &= K_3 q_M E_0 - K_3 q_M q_{C_1} + (K_{-4} + K_5 - K_3 q_M) q_{C_3} - (K_3 q_M + K_{-3} + K_4 q_S) q_{C_2} \\ 0 &= K_4 q_S q_{C_2} + K_6 q_M q_{C_1} - (K_{-4} + K_5 + K_{-6}) q_{C_3}\end{aligned}\quad (8.127)$$

利用 D 算子或者 Rubinow 的作图法可以求解式 (8.127) 的方程组, 得到如下  $q_{C_1}$  和  $q_{C_3}$  的表达式

$$\begin{aligned}q_{C_1} &= \frac{q_S E_0 \left\{ \frac{K_1}{K_3} K_6^i q_S + K_3^i \left( \frac{K_1}{K_4} K_6^i + \frac{K_1}{K_6} K_M^i \right) + K_6^i q_M \right\}}{D} \\ q_{C_3} &= \frac{E_0 q_M q_S \left\{ \frac{K_1}{K_3} q_S + \frac{K_1}{K_4} K_3^i + \frac{K_1}{K_6} K_M^S + q_M \right\}}{D}\end{aligned}\quad (8.128)$$

其中

$$\begin{aligned}D &= q_S^2 \frac{K_1}{K_3} (K_6^i + q_M) \\ &\quad + q_S \left\{ \frac{K_1}{K_3} K_6^i K_M^S + K_3^i \left( \frac{K_1}{K_4} K_6^i + \frac{K_1}{K_6} K_M^i \right) \right. \\ &\quad \left. + q_M \left( K_6^i + \frac{K_1}{K_3} K_M^i + \frac{K_1}{K_4} K_3^i + \frac{K_1}{K_6} K_M^S \right) + q_M^2 \right\} \\ &\quad + K_M^S K_3^i \left( \frac{K_1}{K_4} K_6^i + \frac{K_1}{K_6} K_M^i \right) \\ &\quad + q_M \left\{ K_M^S \left( \frac{K_1}{K_4} K_6^i + \frac{K_1}{K_6} K_3^i \right) + K_3^i K_M^i \right\} \\ &\quad + K_M^i q_M^2\end{aligned}$$

$$K_M^S = \frac{K_{-1} + K_2}{K_1}$$

$$K_M^i = \frac{K_{-4} + K_5}{K_4}$$

$$K_3^i = \frac{K_{-3}}{K_3}$$

$$K_6^i = \frac{K_{-6}}{K_6}$$

反应速率为

$$V = \dot{q}_P = K_2 q_{C_1} + K_5 q_{C_3}$$

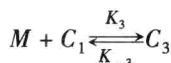
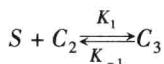
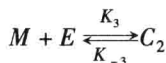
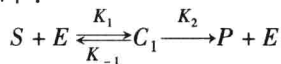
$$q_S \left[ \begin{array}{l} K_2 E_0 \left\{ \frac{K_1}{K_3} K_6^i q_S + K_3^i \left( \frac{K_1}{K_4} K_6^i + \frac{K_1}{K_6} K_M^i \right) + K_6^i q_M \right\} \\ + K_5 E_0 q_M \left\{ \frac{K_1}{K_3} q_S + \frac{K_1}{K_4} K_3^i + \frac{K_1}{K_6} K_M^S + q_M \right\} \end{array} \right] \quad (8.129)$$

$$= \frac{\quad}{D}$$

该反应速率比之前推导的其他反应速率要复杂得多。图 8.28 所示是不同调节剂含量下式 (8.129) 的反应速率曲线。可见, 随着变构调节剂含量的增加,  $V_{\max}$  和反应速率都会减小。

## (2) 反应速率的精确稳态解

下面我们利用一种较简单的变构调节剂模型<sup>①</sup>来进一步分析酶促反应速率的变化。而且, 不再使用准稳态近似方程, 而是使用精确的稳态方程。假设反应时只有中间产物  $C_1$  合成产物  $P$ , 而且, 底物  $S$  和调节剂  $M$  分别只有单一的反应速率; 那么, 反应式如下:



(8.130)

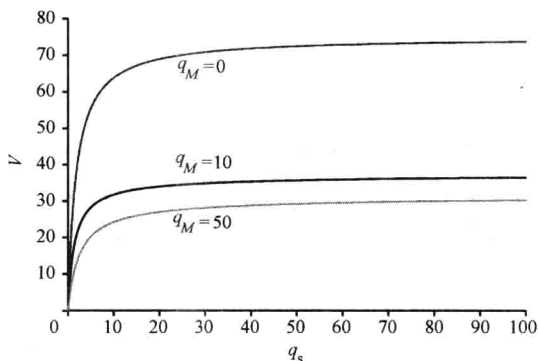


图 8.28 式 (8.129) 给出的产物生成速率曲线

注: 其中参数值为:  $K_1 = 4$ ,  $K_{-1} = 2$ ,  $K_2 = 5$ ,  $K_3 = 1$ ,  $K_{-3} = 10$ ,  $K_4 = 0.3$ ,  $K_{-4} = 0.03$ ,  $K_5 = 2$ ,  $K_6 = 2$ ,  $K_{-6} = 4$ ,  $E_0 = 15$

① 此模型取自 Keener 和 Smeyd 论著的第11页。——原文注

该系统的微分方程组如下:

$$\begin{aligned}
 \dot{q}_S &= K_{-1}(q_{C_1} + q_{C_3}) - K_1 q_S (q_E + q_{C_2}) \\
 \dot{q}_M &= K_{-3}(q_{C_2} + q_{C_3}) - K_3 q_M (q_E + q_{C_1}) \\
 \dot{q}_{C_1} &= K_{-3} q_{C_3} + K_1 q_S q_E - (K_{-1} + K_2 + K_3 q_M) q_{C_1} \\
 \dot{q}_{C_2} &= K_3 q_M q_E + K_{-1} q_{C_3} - (K_{-3} + K_1 q_S) q_{C_2} \\
 \dot{q}_{C_3} &= K_1 q_S q_{C_2} + K_3 q_M q_{C_1} - (K_{-1} + K_{-3}) q_{C_3} \\
 \dot{q}_P &= K_2 q_{C_1}
 \end{aligned} \quad (8.131)$$

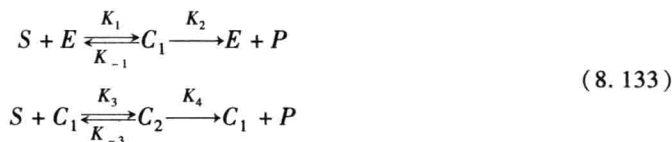
其中变量和初始条件与之前一致。如前所述, 利用  $q_E = E_0 - q_{C_1} - q_{C_2} - q_{C_3}$  可以将式 (8.131) 中的  $q_E$  消去。然后, 令  $\dot{q}_S = \dot{q}_M = \dot{q}_{C_1} = \dot{q}_{C_2} = \dot{q}_{C_3} = 0$ , 求稳态解, 进而再求反应速率。Keener 和 Sneyd 给出的反应速率为

$$V = \frac{V_{\max}}{\left(1 + \frac{K_3 q_M}{K_{-3}}\right) \left(1 + \frac{K_{-1}}{K_1 q_S}\right)} \quad (8.132)$$

### 8.6.3 协同反应

本章最后介绍包含一系列生化反应的协同反应。这种反应中的酶能够与多个底物分子相结合, 但是, 每结合一个底物分子, 就会影响酶与下一个底物分子的结合, 也就是影响下一级反应。这种反应可能有 S 形的反应速率曲线, 可以更精确地调控整个反应过程, 使反应得到增强或者减弱。血红蛋白的反应就是典型的协同反应, 它在红细胞中起着贮存氧的作用。

简单协同反应的模型如下:



其中变量的定义与之前一致。该系统的微分方程组为

$$\begin{aligned}
 \dot{q}_S &= K_{-1} q_{C_1} + K_{-3} q_{C_2} - K_1 q_S q_E - K_3 q_S q_{C_1} \\
 \dot{q}_{C_1} &= K_1 q_S q_E + K_{-3} q_{C_2} + K_4 q_{C_2} - (K_{-1} + K_2) q_{C_1} - K_3 q_S q_{C_1} \\
 \dot{q}_{C_2} &= K_3 q_S q_{C_1} - K_{-3} + K_4 q_{C_2} \\
 \dot{q}_P &= K_2 q_{C_1} + K_4 q_{C_2}
 \end{aligned} \quad (8.134)$$

变量和参数的定义也与之前一致。利用  $q_E = E_0 - q_{C_1} - q_{C_2}$  消去方程组中的  $q_E$ , 可得

$$\dot{q}_S = (K_{-1} + K_1 q_S) q_{C_1} + (K_{-3} + K_1 q_S) q_{C_2} - K_1 E_0 q_S - K_3 q_S q_{C_1}$$

$$\begin{aligned}
 \dot{q}_{C_1} &= K_1 E_0 q_S + K_{-3} q_{C_2} + (K_4 - K_1 q_S) q_{C_2} - (K_{-1} + K_2 - K_1 q_S) q_{C_1} - K_3 q_S q_{C_1} \\
 \dot{q}_{C_2} &= K_3 q_S q_{C_1} - K_{-3} q_{C_2} \\
 \dot{q}_P &= K_2 q_{C_1} + K_4 q_{C_2}
 \end{aligned} \quad (8.135)$$

设非零初始条件为  $q_S(0) = S_0$ ,  $q_E(0) = E_0$ 。令  $\dot{q}_{C_1} = \dot{q}_{C_2} = 0$  可得式 (8.135) 的准稳态近似方程为

$$\begin{aligned}
 0 &= K_1 E_0 q_S + K_{-3} q_{C_2} + (K_4 - K_1 q_S) q_{C_2} - (K_{-1} + K_2 - K_1 q_S) q_{C_1} - K_3 q_S q_{C_1} \\
 0 &= K_3 q_S q_{C_1} - K_{-3} q_{C_2}
 \end{aligned} \quad (8.136)$$

求解此方程组可得  $q_{C_1}$  和  $q_{C_2}$  如下

$$\begin{aligned}
 q_{C_1} &= \frac{K_M^i E_0 q_S}{K_M^i K_M^S + K_M^i q_S + q_S^2} \\
 q_{C_2} &= \frac{E_0 q_S^2}{K_M^i K_M^S + K_M^i q_S + q_S^2}
 \end{aligned} \quad (8.137)$$

其中  $K_M^S = \frac{K_{-1} + K_2}{K_1}$ ,  $K_M^i = \frac{K_{-3} + K_4}{K_3}$ 。

反应速率为

$$\begin{aligned}
 V &= K_2 q_{C_1} + K_4 q_{C_2} = \frac{K_2 K_M^i E_0 q_S}{K_M^i K_M^S + K_M^i q_S + q_S^2} + \frac{K_4 E_0 q_S^2}{K_M^i K_M^S + K_M^i q_S + q_S^2} \\
 &= \frac{E_0 q_S (K_2 K_M^i + K_4 q_S)}{K_M^i K_M^S + K_M^i q_S + q_S^2}
 \end{aligned} \quad (8.138)$$

根据参数值的不同, 整个反应可以呈现为正协同反应或者负协同反应。例如, 正协同反应的一种情况是:  $S$  与  $E$  结合生成  $C_1$  的速度较慢, 即  $K_1$  较小; 而  $S$  与  $C_1$  结合生成  $C_2$  的速度却很快, 即  $K_3$  较大; 这样, 整个反应就被加速了。负协同作用的一种情况是:  $S$  与  $E$  结合生成  $C_1$  (即  $K_1$  较大) 后会降低  $S$  与  $C_1$  结合生成  $C_2$  的速度 (即  $K_3$  较小), 从而降低了整个反应的速度。图 8.29 显示了正、负协同反应的速率曲线。注意, 图中所示正协同反应的速率曲线呈 S 形, 而负协同反应的速率曲线则与之前的其他反应相似,

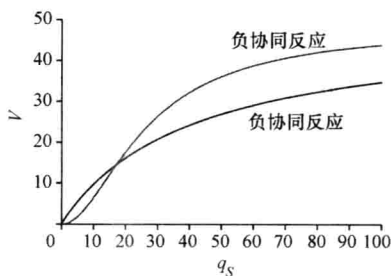


图 8.29 式 (8.138) 给出的协同反应的速率曲线

注: 其中, 正协同反应的参数为:  $K_1 = 0.001$ ,  $K_{-1} = 0.00001$ ,  $K_2 = 0.1$ ,  $K_3 = 0.05$ ,  $K_{-3} = 0.00002$ ,  $K_4 = 0.3$ ,  $E_0 = 7$ 。负协同反应的参数为:  $K_1 = 1$ ,  $K_{-1} = 0.2$ ,  $K_2 = 0.1$ ,  $K_3 = 0.01$ ,  $K_{-3} = 0.4$ ,  $K_4 = 0.02$ ,  $E_0 = 7$ 。

呈双曲线形状。

## 8.7 习题

1. 假设式 (8.1) 给定的反应中  $q_A(0) = 15$ ,  $q_B(0) = 8$ ,  $q_P(0) = 0$ ,  $K = 3$ ; 试求解并仿真  $q_P$  曲线。
2. 假设式 (8.1) 给定的反应中  $q_A(0) = 10$ ,  $q_B(0) = 20$ ,  $q_P(0) = 0$ ,  $K = 5$ ; 试求解并仿真  $q_A$  曲线。
3. 假设式 (8.13) 给定的反应中  $q_A(0) = 10$ ,  $q_B(0) = 20$ ,  $q_P(0) = 0$ ,  $K_1 = 7$ ,  $K_{-1} = 5$ ; 试求解并仿真  $q_A$  曲线。
4. 假设式 (8.13) 给定的反应中  $q_A(0) = 18$ ,  $q_B(0) = 5$ ,  $q_P(0) = 0$ ,  $K_1 = 10$ ,  $K_{-1} = 4$ ; 试求解并仿真  $q_P$  曲线。
5. 假设式 (8.13) 给定的反应中  $q_A(0) = 30$ ,  $q_B(0) = 10$ ,  $q_P(0) = 0$ ,  $K_1 = 1$ ,  $K_{-1} = 0.1$ ; 试求解并仿真  $q_B$  曲线。
6. 请从式 (8.23) 推导式 (8.24)。
7. 假设式 (8.25) 给定的反应中  $q_A(0) = 10$ ,  $q_B(0) = 20$ ,  $q_P(0) = 0$ ,  $K_1 = 4$ ,  $K_{-1} = 2$ ,  $\alpha = 2$ ,  $\beta = 1$ ; 试仿真  $q_A$  的变化曲线。
8. 假设式 (8.25) 给定的反应中  $q_A(0) = 30$ ,  $q_B(0) = 10$ ,  $q_P(0) = 0$ ,  $K_1 = 8$ ,  $K_{-1} = 3$ ,  $\alpha = 1$ ,  $\beta = 3$ ; 试仿真  $q_P$  的变化曲线。
9. 假设式 (8.25) 给定的反应中  $q_A(0) = 10$ ,  $q_B(0) = 10$ ,  $q_P(0) = 0$ ,  $K_1 = 0.5$ ,  $K_{-1} = 0.3$ ,  $\alpha = 3$ ,  $\beta = 2$ ; 试仿真  $q_P$  的变化曲线。
10. 假设式 (8.27) 给定的反应中  $q_A(0) = 15$ ,  $q_B(0) = 0$ ,  $q_P(0) = 0$ ,  $K_1 = 8$ ,  $K_2 = 3$ ; 试求解并仿真  $q_A$ 、 $q_B$  和  $q_P$  曲线, 并将它们与准稳态近似解进行比较。
11. 假设式 (8.27) 给定的反应中  $q_A(0) = 25$ ,  $q_B(0) = 0$ ,  $q_P(0) = 0$ ,  $K_1 = 2$ ,  $K_2 = 10$ ; 试求解并仿真  $q_A$ 、 $q_B$  和  $q_P$  曲线, 并将它们与准稳态近似解进行比较。
12. 假设式 (8.27) 给定的反应中  $q_A(0) = 10$ ,  $q_B(0) = 0$ ,  $q_P(0) = 0$ ,  $K_1 = 5$ ,  $K_2 = 20$ ; 试求解并仿真  $q_A$ 、 $q_B$  和  $q_P$  曲线, 并将它们与准稳态近似解进行比较。
13. 请作出图 8.3 和图 8.4 所示的曲线。
14. 请仿真式 (8.33) 给定的反应, 并与  $q_S$ 、 $q_E$ 、 $q_{ES}$  和  $q_P$  的准稳态近似解进行比较。假设  $K_1 = 5$ ,  $K_{-1} = 0.3$ ,  $K_2 = 1$ ,  $q_S(0) = 9$ ,  $q_E(0) = 0.01$ ,  $q_{ES}(0) = 0$ ,  $q_P(0) = 0$ 。
15. 请仿真式 (8.33) 给定的反应, 并与  $q_S$ 、 $q_E$ 、 $q_{ES}$  和  $q_P$  的准稳态近似解进行比较。假设  $K_1 = 1$ ,  $K_{-1} = 0.1$ ,  $K_2 = 5$ ,  $q_S(0) = 20$ ,  $q_E(0) = 0.008$ ,  $q_{ES}(0) = 0$ ,  $q_P(0) = 0$ 。
16. 请仿真式 (8.33) 给定的反应, 并与  $q_S$ 、 $q_E$ 、 $q_{ES}$  和  $q_P$  的准稳态近似解进行比较。假设  $K_1 = 10$ ,  $K_{-1} = 1$ ,  $K_2 = 3$ ,  $q_S(0) = 30$ ,  $q_E(0) = 1$ ,  $q_{ES}(0) = 0$ ,  $q_P(0) = 0$ 。
17. 假设式 (8.51) 给定的模型中  $q_S(0) = 10$ ,  $V_{\max} = 25$ ,  $K_M = 5$ ,  $f(t) = 5\delta(t - 1)$ ; 试仿真  $q_S$  的变化曲线。
18. 假设式 (8.51) 给定的模型中  $q_S(0) = 50$ ,  $V_{\max} = 5$ ,  $K_M = 1$ ,  $f(t) = u(t) - u(t - 1)$ ;

试求仿真  $q_s$  的变化曲线。

19. 假设式 (8.51) 给定的模型中  $q_s(0) = 25$ ,  $V_{\max} = 10$ ,  $K_M = 3$ ,  $f(t) = 5e^{-t}$ ; 试求仿真  $q_s$  的变化曲线。

20. 假设式 (8.51) 给定的模型中  $q_s(0) = 10$ ,  $V_{\max} = 25$ ,  $K_M = 5$ , 以及  $f(t) = 5\delta(t - 1)$ ; 试仿真  $q_s$  的变化曲线。

21. 请仿真式 (8.66) 给定的模型, 其中  $K_{12} = 3$ ,  $K_{21} = 1$ ,  $V_{\max} = 10$ ,  $K_M = 1$ ,  $K_{10} = 0$ ,  $K_{20} = 0.02$ 。输入为  $f_1(t) = 4\delta(t)$  和  $f_2(t) = 0$ 。初始条件均为 0。

22. 请仿真式 (8.66) 给定的模型, 其中  $K_{12} = 3$ ,  $K_{21} = 2$ ,  $V_{\max} = 20$ ,  $K_M = 2$ ,  $K_{10} = 0$ ,  $K_{20} = 0$ 。输入为  $f_1(t) = 4[u(t) - u(t - 10)]$  和  $f_2(t) = 3[u(t - 1) - u(t - 6)]$ 。初始条件均为 0。

23. 请仿真式 (8.67) 给定的模型, 其中  $K_{12} = 0.25$ ,  $K_{21} = 3$ ,  $V_{\max} = 30$ ,  $K_M = 5$ ,  $K_{10} = 0$ ,  $K_{20} = 0.2$ 。输入为  $f_1(t) = 2u(t)$  和  $f_2(t) = 3u(t)$ 。初始条件均为 0。

24. 请仿真式 (8.67) 给定的模型, 其中  $K_{12} = 2$ ,  $K_{21} = 3$ ,  $V_{\max} = 40$ ,  $K_M = 8$ ,  $K_{10} = 0$ ,  $K_{20} = 0.2$ 。输入为  $f_1(t) = 5u(t)$  和  $f_2(t) = 3e^{-0.03t}u(t)$ 。初始条件均为 0。

25. 请仿真式 (8.67) 给定的模型, 其中  $K_{12} = 3$ ,  $K_{21} = 2$ ,  $V_{\max} = 10$ ,  $K_M = 0.8$ ,  $K_{10} = 0.1$ ,  $K_{20} = 0.3$ 。输入为  $f_1(t) = 4u(t)$  和  $f_2(t) = 0$ 。初始条件均为 0。

26. 假设图 8.15 给定的模型中  $q_{A_i}(0) = 30$ ,  $q_{B_i}(0) = 15$ ,  $q_{A_o}(0) = 20$ ,  $C_{oi} = 3$ ,  $C_{io} = 0.2$ ,  $D_{io} = 2$ ,  $D_{oi} = 0.1$ ,  $K_1 = 2$ ,  $K_{-1} = 0.5$ 。并假设  $q_A$  流出细胞外的量为  $3u(t)$ ,  $q_{B_i}$  在细胞内生成的产量为  $u(t)$ 。其他初始条件均为 0。请仿真模型中的所有变量。

27. 假设图 8.15 给定的模型中  $q_{A_i}(0) = 10$ ,  $q_{B_i}(0) = 25$ ,  $q_{A_o}(0) = 10$ ,  $C_{oi} = 5$ ,  $C_{io} = 1$ ,  $D_{io} = 4$ ,  $D_{oi} = 0.1$ ,  $K_1 = 3$ ,  $K_{-1} = 1$ 。并假设  $q_A$  流出细胞外的量为  $5u(t)$ ,  $q_{B_i}$  在细胞内生成的产量为  $2u(t)$ 。其他初始条件均为 0。请仿真模型中的所有变量。

28. 假设图 8.15 给定的模型中  $q_{A_i}(0) = 20$ ,  $q_{B_i}(0) = 5$ ,  $q_{A_o}(0) = 30$ ,  $C_{oi} = 10$ ,  $C_{io} = 0.2$ ,  $D_{io} = 6$ ,  $D_{oi} = 0.1$ ,  $K_1 = 5$ ,  $K_{-1} = 0.2$ 。并假设  $q_A$  流出细胞外的量为  $5u(t)$ ,  $q_{B_i}$  在细胞内生成的产量为  $2u(t)$ 。其他初始条件均为 0。请仿真模型中的所有变量。

29. 假设图 8.19 给定的模型中  $q_{S_i}(0) = 10$ ,  $q_E(0) = 0.25$ ,  $q_{S_o}(0) = 10$ ,  $B_{oi} = 4$ ,  $B_{io} = 0.5$ ,  $D_{io} = 5$ ,  $D_{oi} = 0.05$ ,  $K_2 = 0.5$ ,  $K_1 = 5$ ,  $K_{-1} = 0.5$ 。并假设  $q_S$  流出细胞外的量为  $5u(t)$ 。其他初始条件均为 0。请仿真模型中的所有变量。

30. 假设图 8.19 给定的模型中  $q_{S_i}(0) = 50$ ,  $q_E(0) = 2$ ,  $q_{S_o}(0) = 70$ ,  $B_{oi} = 2$ ,  $B_{io} = 0.1$ ,  $D_{io} = 4$ ,  $D_{oi} = 0.1$ ,  $K_2 = 5$ ,  $K_1 = 8$ ,  $K_{-1} = 0.1$ 。并假设  $q_S$  流出细胞外的量为  $8u(t)$ 。其他初始条件均为 0。请仿真模型中的所有变量。

31. 假设图 8.19 给定的模型中  $q_{S_i}(0) = 25$ ,  $q_E(0) = 0.25$ ,  $q_{S_o}(0) = 10$ ,  $B_{oi} = 10$ ,  $B_{io} = 0.5$ ,  $D_{io} = 10$ ,  $D_{oi} = 1$ ,  $K_2 = 10$ ,  $K_1 = 3$ ,  $K_{-1} = 0.5$ 。并假设  $q_S$  流出细胞外的量为  $10u(t)$ 。其他初始条件均为 0。请仿真模型中的所有变量。

32. 假设图 8.21 给定的模型中  $q_{S_i}(0) = 15$ ,  $q_{C_o}(0) = q_{C_i}(0) = 5$ ,  $q_{S_o}(0) = 10$ ,  $K_2 = 4$ ,  $K_1 = 2$ ,  $K_{-1} = 0.5$ 。并假设  $q_S$  流出细胞外的量为  $4u(t)$ 。其他初始条件均为 0。请仿真模型中的所有变量。



33. 假设图 8.21 给定的模型中  $q_{S_i}(0) = 25$ ,  $q_{C_o}(0) = q_{C_i}(0) = 8$ ,  $q_{S_o}(0) = 20$ ,  $K_2 = 7$ ,  $K_1 = 5$ ,  $K_{-1} = 0.1$ ; 并假设  $q_S$  流出细胞外的量为  $10u(t)$ 。其他初始条件均为 0。请仿真模型中的所有变量。

34. 假设图 8.21 给定的模型中  $q_{S_i}(0) = 35$ ,  $q_{C_o}(0) = q_{C_i}(0) = 4$ ,  $q_{S_o}(0) = 50$ ,  $q_{P_o}(0) = 0$ ,  $K_2 = 3$ ,  $K_1 = 1$ ,  $K_{-1} = 0.01$ ; 并假设  $q_S$  流出细胞外的量为  $15u(t)$ 。请仿真模型中的所有变量。

35. 请仿真式 (8.114) 和式 (8.115) 给定的模型, 其中  $q_S(0) = 10$ ,  $q_E(0) = 0.1$ ,  $K_1 = 4$ ,  $K_{-1} = 0.2$ ,  $K_2 = 3$ ,  $K_3 = 2$ ,  $K_{-3} = 0.01$ ,  $K_4 = 1$ ,  $q_I(0) = 3$ 。其他初始条件均为 0。

36. 请仿真式 (8.114) 和式 (8.115) 给定的模型, 其中  $q_S(0) = 20$ ,  $q_E(0) = 0.01$ ,  $K_1 = 6$ ,  $K_{-1} = 0.1$ ,  $K_2 = 10$ ,  $K_3 = 5$ ,  $K_{-3} = 0.05$ ,  $K_4 = 7$ ,  $q_I(0) = 5$ 。其他初始条件均为 0。

37. 请仿真式 (8.114) 和式 (8.115) 给定的模型, 其中  $q_S(0) = 30$ ,  $q_E(0) = 0.1$ ,  $K_1 = 10$ ,  $K_{-1} = 0.1$ ,  $K_2 = 3$ ,  $K_3 = 7$ ,  $K_{-3} = 0.09$ ,  $K_4 = 9$ ,  $q_I(0) = 8$ 。其他初始条件均为 0。

38. 请仿真式 (8.124) 给定的模型, 其中  $q_S(0) = 30$ ,  $q_E(0) = 0.1$ ,  $q_M(0) = 10$ ,  $K_1 = 10$ ,  $K_{-1} = 0.1$ ,  $K_2 = 3$ ,  $K_3 = 3$ ,  $K_{-3} = 0.1$ ,  $K_4 = 2$ ,  $K_{-4} = 0.1$ ,  $K_5 = 5$ ,  $K_6 = 1$ ,  $K_{-6} = 5$ 。其他初始条件均为 0。

39. 请仿真式 (8.124) 给定的模型, 其中  $q_S(0) = 20$ ,  $q_E(0) = 0.01$ ,  $q_M(0) = 20$ ,  $K_1 = 5$ ,  $K_{-1} = 1$ ,  $K_2 = 7$ ,  $K_3 = 3$ ,  $K_{-3} = 10$ ,  $K_4 = 0.2$ ,  $K_{-4} = 0.001$ ,  $K_5 = 1$ ,  $K_6 = 6$ ,  $K_{-6} = 0.5$ 。其他初始条件均为 0。

40. 请仿真式 (8.124) 给定的模型, 其中  $q_S(0) = 10$ ,  $q_E(0) = 0.1$ ,  $q_M(0) = 40$ ,  $K_1 = 7$ ,  $K_{-1} = 1$ ,  $K_2 = 5$ ,  $K_3 = 1$ ,  $K_{-3} = 5$ ,  $K_4 = 2$ ,  $K_{-4} = 0.1$ ,  $K_5 = 2$ ,  $K_6 = 2$ ,  $K_{-6} = 5$ 。其他初始条件均为 0。

41. 请仿真式 (8.133) 给定的模型, 其中  $q_S(0) = 50$ ,  $q_E(0) = 7$ ,  $K_1 = 0.001$ ,  $K_{-1} = 0.00001$ ,  $K_2 = 0.1$ ,  $K_3 = 0.05$ ,  $K_{-3} = 0.00002$ ,  $K_4 = 3$ 。其他初始条件均为 0。

42. 请仿真式 (8.133) 给定的模型, 其中  $q_S(0) = 50$ ,  $q_E(0) = 7$ ,  $K_1 = 1$ ,  $K_{-1} = 0.2$ ,  $K_2 = 0.1$ ,  $K_3 = 0.01$ ,  $K_{-3} = 0.4$ ,  $K_4 = 0.02$ 。其他初始条件均为 0。

## 推荐阅读资料

- E. Ackerman, L.C. Gatewood, *Mathematical Models in the Health Sciences*, University of Minnesota Press, Minneapolis, 1979.
- E.S. Allman, J.A. Rhodes, *Mathematical Models in Biology, An Introduction*, Cambridge University Press, Cambridge, UK, 2004.
- J.E. Bailey, D.F. Ollis, *Biochemical Engineering Fundamentals*, McGraw-Hill, Singapore, 1986.
- G.E. Briggs, J.B.S. Haldane, A note on the kinetics of enzyme action, *Biochem. J.* 19 (1925) 338-339.
- N.F. Britton, *Essential Mathematical Biology*, Springer, London, 2003.
- M.B. Cutlip, M. Shacham, *Problem Solving in Chemical and Biochemical Engineering with POLYMATH, Excel, and MATLAB*, second ed., Prentice Hall, Upper Saddle River, NJ, 2008.
- L. Edelstein-Keshet, *Mathematical Models in Biology*, SIAM, New York, 2005.
- K. Godfrey, *Compartmental Models and Their Applications*, Academic Press, San Diego, California, 1983.
- A.C. Guyton, *Textbook of Medical Physiology*, eighth ed., W.B. Saunders Company, Philadelphia, 1991.
- V. Henri, *Lois Générales de l'Action des Diastases*, Hermann, Paris, 1903.
- J. Keener, J. Sneyd, *Mathematical Physiology*, Springer, New York, 1998.

- L. Michaelis, M. Menten, Die Kinetik der Invertinwirkung, *Biochem. Z.* 49 (1913) 333–369.
- J.D. Murray, *Mathematical Biology*, third ed., Springer, New York, 2001.
- R.B. Northrop, A.N. Connor, *Introduction to Molecular Biology, Genomics and Proteomics for Biomedical Engineers*, CRC Press, Boca Raton, FL, 2009.
- R.B. Northrop, *Endogenous and Exogenous Regulation and Control of Physiological Systems*, CRC Press, Boca Raton, FL, 1999.
- S.I. Rubinow, *Introduction to Mathematical Biology*, Dover Publications, Mineola, NY, 2002.
- W.M. Saltzman, *Biomedical Engineering, Bridging Medicine and Technology*, Cambridge University Press, NY, 2009.
- S. Schnell, C. Mendoza, Closed form solution for time-dependent enzyme kinetics, *J. Theor. Biol.* 187 (1997) 207–212.
- M.L. Shuler, F. Kargi, *Bioprocess Engineering, Basic Concepts*, second ed., Prentice Hall, Upper Saddle River, NJ, 2008.
- G.A. Truskey, F. Yuan, D.F. Katz, *Transport Phenomena in Biological Systems*, Pearson, Prentice Hall, Upper Saddle River, NJ, 2004.

# 第9章 生物医学仪器

John D. Enderle 博士

## 本章目录

- 9.1 绪论
  - 9.2 基本生物医学仪器系统
  - 9.3 电荷、电流、电压、电功率和电能量
  - 9.4 电阻
  - 9.5 线性电路网络分析法
  - 9.6 线性特性与叠加原理
  - 9.7 戴维南定理
  - 9.8 电感
  - 9.9 电容
  - 9.10 电阻、电容和电感组成电路的通用求解方法
  - 9.11 运算放大器
  - 9.12 时变信号
  - 9.13 有源模拟滤波器
  - 9.14 生物医学仪器的设计
  - 9.15 习题
- 推荐阅读资料

## 本章的主要学习内容：

- 基本生物医学仪器系统的组成；
- 利用节点电压法分析线性电路；
- 利用戴维南（Thevenin）等效电路简化复杂电路；
- 包含电阻、电容和电感的任意阶电路的求解方法；
- 运算放大器电路的分析方法；
- 在相量域中计算正弦输入的稳态响应；
- 模拟滤波器及其设计的基本原理；
- 低通、高通和带通滤波器的设计；
- 生物医学仪器系统中的各种噪声分析。

## 9.1 绪论

本章介绍其他章节要用到的生物医学仪器和电子电路理论的基本内容。许多生物医

学仪器都利用传感器将生物体所产生的各种信号转化为电信号,本章的目的是介绍仪器中应用的电路理论和技术。首先讲述电路理论所涉及的电荷、电流、电压、功率和能量等变量;然后介绍基尔霍夫电流定律和电压定律,以及电阻、电阻电路的简化方法、电压和电流的计算等;再讲解电路分析方法、电感和电容以及利用微分方程求解电路的方法。最后,介绍运算放大器和时变信号。

20世纪前,医学很少服务于普通市民,其资源主要限于教学和医生小小的行医箱。普通市民很少接触医学,当时的医学资源主要用于教学,是医生的秘密。最早的医学革命源于科学技术应用的几项重大发展。19世纪初,医学诊断还只是基于体格检查,治疗只是处理器质性病变。直到19世纪末,医学界才开始根据实验室的化验结果来进行医学诊断,并针对病因进行治疗。整个20世纪医疗领域的应用技术迅速发展,医院变成了科学研究和技术开发的机构。化学、物理、机械工程以及电子工程等领域的从业人员开始融入医学界,产生了生物医学工程这一职业。如图9.1所示,这使得20世纪医学技术的发展超过了之前其他历史阶段的总和。

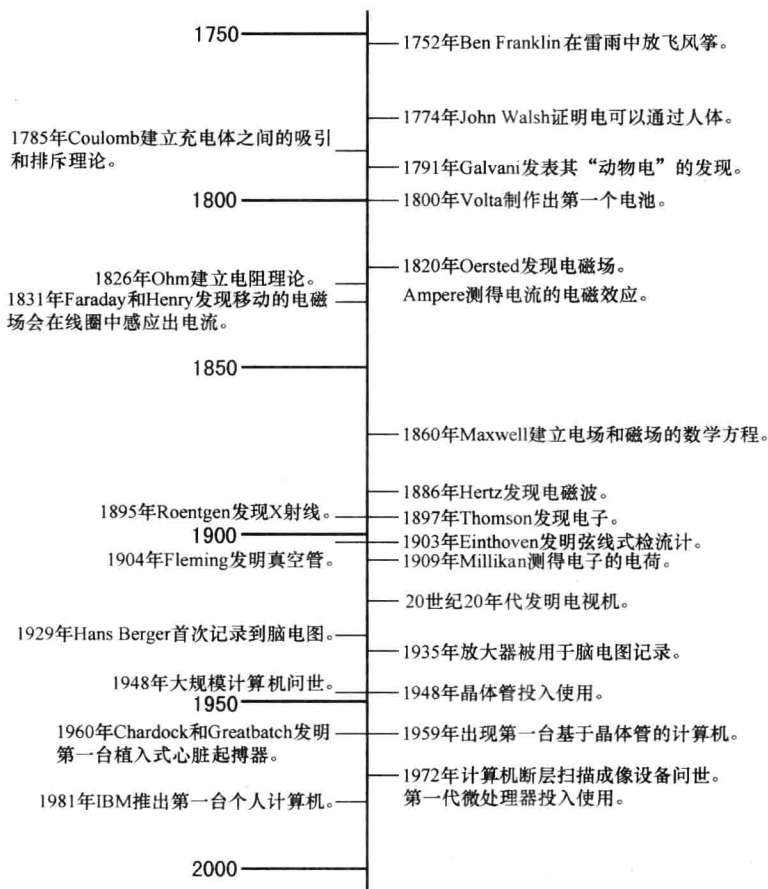


图9.1 现代医学仪器发展历程中主要发明和发现的时间表

20 世纪电子技术的发展对于新型医学技术的发明产生了巨大的影响。Richard Caton 和 Augustus Desire 等人证明了人的大脑和心脏的活动都与生物电密切相关。1903 年, William Einthoven 在发明了第一台弦线式检流计之后, 利用它发展了这种思想。他在人体皮肤上放了两个电极, 并将电极的输出连接到一根银导线的两端, 这根银导线穿过一大块永磁铁两端钻出的孔, 悬空挂着, 导线会随着人体心脏的跳动有节律地抖动。通过银导线反射一小束光线的方法, Einthoven 在滚动的感光筒纸上记录到了导线的运动轨迹。于是, 这种弦线式检流计的发明就创造了最早的心电图 (electrocardiogram, ECG) 记录仪。如今, ECG 已经是临床的常规检查方法, 用于检测和记录病人心脏的电活动, 并与正常心脏进行比较。

1929 年, Hans Berger 发明了第一台脑电图 (electroencephalogram, EEG) 机, 用于检测和记录大脑的电活动。1935 年, 人们利用电子放大器证实了大脑皮层的电活动具有特定的节律。到了 20 世纪 60 年代, 电子放大器已用于各种仪器设备, 如 William Chardack 和 Wilson Greatbatch 发明的第一台植入式心脏起搏器就是其中之一。上述只是少数几个例子, 电子技术的应用长期以来极大地推动了医学技术的发展。

还有很多其他医学技术的发展都源于基础物理学和应用物理学的研究成果。例如, 1895 年 W. K. Roentgen 发现了 X 射线可以用于摄取人体内部结构的图像, 从而诞生了医学领域最重要的技术发明之一, 即 X 射线摄影机, 它是历史上第一种医学成像设备。本书第 15 章将详细介绍这种放射成像技术。

计算机的发明又给医学带来了一项重要的技术, 利用计算机可以更快速地完成各种复杂的分析等功能。例如, 医学领域最早出现的基于计算机的仪器之一就是连续多通道自动分析仪 (Sequential Multiple Analyzer, SMA), 它可以存储大量临床化验的相关数据, 并且提高检测和分析的速度和准确度。

最早的大型计算机化医学设备是 1972 年诞生的 X 射线计算机轴向断层扫描机 (Computerized Axial Tomography, CAT)。CAT 可以建立并显示人体某个断层平面上所有内部结构的图像。这种新型的图像精度很高, 并且是无创的, 可用于肿瘤的早期诊断和出血部位等体内病变的检查, 有关这方面的详细内容将在第 15 章介绍。

目前, 通过计算机技术将医学信息从某处传送到另一处的远程医疗也正在迅速发展, 它使得偏远地区的病人可以享受医疗保健服务。大医院的专家利用此项技术可以接收乡村地区病人的资料, 并将病人的医疗方案发送回去。

如今, 已经有各种各样的医学仪器和设备系统。有些用于监测病人的身体状况, 采集诊断信息, 如心电图机和脑电图机等; 还有一些则用于调控生理功能, 如心脏起搏器和呼吸机等。其中, 心脏起搏器等装置是植入式的, 而其他许多仪器则是无创的。本章将着重介绍用于采集和处理生理数据的医学仪器的共同特性。

## 9.2 基本生物医学仪器系统

如图 9.2 所示, 仪器系统所测量的参量、特性和状态等都称为被测量。这些被测量

可以是肌肉或大脑等产生的生物电信号，也可以是由化学量或者机械量等转换而来的电信号。本书第10章将阐述，传感器可以将各种其他物理量转变成电信号，并且传感器输出的电信号是模拟信号，也就是连续信号，可以传输给模拟处理器和模-数转换器，再由这些器件对信号进行放大、滤波并转换成数字信号。本章后面将介绍模拟信号的处理方法，如心电图信号的放大和滤波等。模拟信号经过数字化之后，就可以用数字计算机进行存储和处理，本书第11章将详细介绍数字信号处理的各种方法。

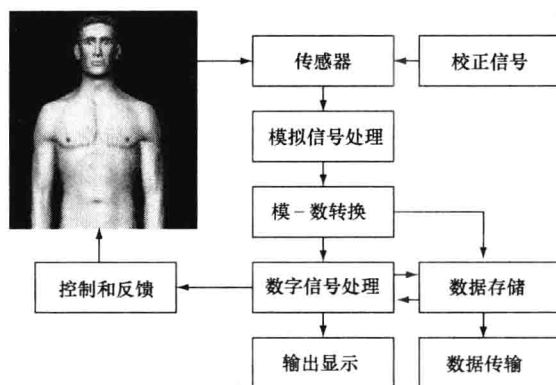


图 9.2 带传感器的基本生物医学仪器系统

(它具有数据采集、存储和显示功能，还有控制和反馈功能。)

仪器系统还包括输出显示装置，它使用户可以观察到易于理解的信号形式。显示有很多种不同的方式：如数值或图形、离散的或连续的、永久的或暂时的。一般输出装置都显示视觉信息，但有些也提供听觉信息，如表示每次心跳的蜂鸣声等。

除了显示数据之外，许多仪器还具有存储数据的功能。有些仪器只是暂时存储数据，以便于进一步处理，或者便于用户查看数据。但有些仪器则永久保存数据，便于事后用于各种不同的信号处理。例如，Holter 监护仪可以采集并存储 24h 的心电图数据，事后再计算心率等重要的特征参数用于诊断。

随着电话的发明，以及如今互联网的发明，病人家中等地方的仪器采集的信号也可以方便地传输到远方的其他仪器设备上进行处理和存储。这样，如果病人在家里发生了心率失常，也可以很快获得诊断的反馈意见。这也使得处于偏远乡村的医疗机构可以将病人图像传输给地区医院，让那里的专家帮助乡村普通医务人员做出更准确的诊断。

仪器系统还有另外两个重要的部分。一个是校正信号，它是具有已知幅值和频率的标准信号。将其施加在仪器传感器的输入端，就可以调整系统的各个部件，使输出与输入之间保持已知的正确测量关系。如果没有这种关系，仪器的输出结果就不能表示被测参量的有用信息。

另一个重要部件是反馈元件，它并不是所有仪器都具备的，刺激心脏的起搏器或者给肺通气的呼吸机等仪器具有反馈部件。其中，有些反馈部件可以根据所采集的生理数据，按需提供触发心跳或者呼吸等事件的信号；有些反馈则作为生物反馈的一部分，如血压测量。病人知道这种生理参数的测量结果之后，会有意识地控制和调节生理状态，

这就是生物反馈。

## 9.3 电荷、电流、电压、电功率和电能

### 9.3.1 电荷

电荷有正、负两种,质子和电子分别带有正电荷和负电荷。电荷的单位是库仑(C),电子所带的负电荷 $q_e$ 是最小的电荷量,即

$$q_e = -1.602 \times 10^{-19} \text{ C}$$

符号 $q(t)$ 用于表示随时间变化的电荷, $Q$ 则表示电荷常量。质子所带电荷与电子所带电荷的极性相反。

### 9.3.2 电流

电流 $i(t)$ 定义为单位时间内通过某个点或者某个截面的电荷量。电流的单位是安培(A)。根据定义,1 A等于1C/s,即

$$i(t) = \frac{dq}{dt} \quad (9.1)$$

并且

$$q(t) = \int_{t_0}^t i(\lambda) d\lambda + q(t_0) \quad (9.2)$$

如图9.3的电路所示,式(9.1)定义的电流还具有方向。如果正电荷沿着箭头所示方向运动,负电荷沿反方向运动,那么,此电流为正。由于这两种电荷反方向流动所产生的效果相同,因此,无需关心电流是由哪种电荷形成的。实际上,电子电路中的电流是由金属导体中的电子形成的。

由式(9.1)可知,电流是时间的函数。例如,图9.4所示的电流曲线在0~1.5s时间段上,电流为正,它从电路的端口1流入;而在1.5~3s时间段上,电流为负,它从电路的端口2流入。恒定不变的电流称为直流电流(DC),用大写字母 $I$ 表示,其值不随时间变化。随时间变化的电流则用小写字母 $i(t)$ 或 $i$ 表示。

下面介绍基尔霍夫电流定律。

如图9.3所示,闭合电路中才有电流流动。电路元件不能吸收净电荷,因此,电路中流动的电流没有损耗,电荷是守恒的,流入电路一端的电流必须在另一端流出。由于电荷不能产生或消失,必定守恒,因此,电路的任何节点上的电流之和必为零,没有净电荷聚集。这里,节点是指两个或两个以上电路元件的连接点。上述原理称为基尔霍夫电流定律(Kirchhoff's Current Law, KCL),可以表示为

$$\sum_{n=1}^N i_n(t) = 0 \quad (9.3)$$

其中, $N$ 为流出节点的电流数目。例如,对于图9.5所示的电路,应用式(9.3),流出

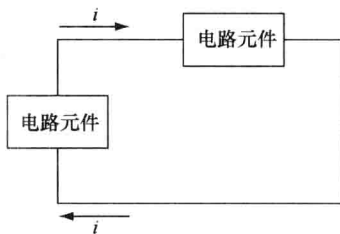


图9.3 电流在闭合电路中流动

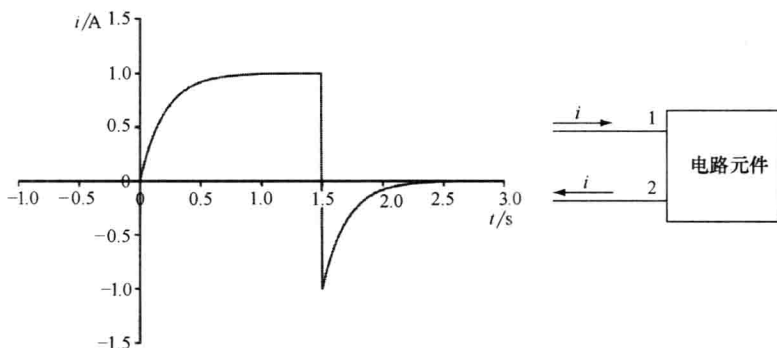


图 9.4 左图：电流波形示例；右图：某电路元件，电流自端口 1 流入，从端口 2 流出（电阻、电容、电感等无源电路元件都具有两个端口，并且它们的电压—电流曲线已知）

节点的电流之和为

$$-i_1 - i_2 + i_4 + i_3 = 0$$

该式也可以写为流入节点的电流之和，即

$$i_1 + i_2 - i_4 - i_3 = 0$$

注意，无论对于流出还是流入节点，KCL 必须包括所有电流。

电路可以用节点、支路、路径、回路和网孔等术语来描述，它们的定义如下：

1) 节点 (node)：指两个或两个以上电路元件相互连接的共同点。

2) 支路 (branch)：电路中通过同一电流的各个分支，由一个或者一组电路元件构成。支路将各个电路节点连接起来。

3) 路径 (path)：任意两节点之间的一条无重复通路，它由支路构成。

4) 回路 (closed path)：起点和终点在同一个节点上的闭合路径。

5) 网孔 (mesh)：内部不包含其他任何回路的闭合路径。

6) 基本节点 (Essential node)：三个或者三个以上电路元件的连接点。

7) 基本支路 (Essential branch)：连接两个基本节点的支路。

例如，图 9.6 所示的电路有 A、B、C、D、E 共 5 个节点，它们都是基本节点。对于这 5 个节点分别应用 KCL 可得

$$\text{节点 A: } -i_1 + i_2 - i_3 = 0$$

$$\text{节点 B: } i_3 + i_4 + i_5 - i_6 = 0$$

$$\text{节点 C: } i_1 - i_4 - i_8 = 0$$

$$\text{节点 D: } -i_7 - i_5 + i_8 = 0$$

$$\text{节点 E: } -i_2 + i_6 + i_7 = 0$$

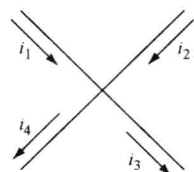


图 9.5 包含 4 路电流的电路节点



KCL 还可以推广到包围了一部分电路的封闭面。当然, 封闭面不能与电路元件相交。例如, 对于图 9.6 中虚线所示的封闭面应用 KCL, 可得

$$-i_1 + i_4 + i_5 + i_7 = 0$$

### 9.3.3 电压

将单位正电荷从一点转移至另一点时电场力所做的功就是电压, 即

$$v = \frac{dw}{dq} \quad (9.4)$$

电压的单位是伏特 (V)。不随时间变化的直流电压 (DC) 用  $V$  表示, 随时间变化的电压用  $v(t)$  或  $v$  表示。图 9.7 中 A 与 B 两点之间的电压  $v$  就是将单位电荷从 A 点移动到 B 点所需做的功。

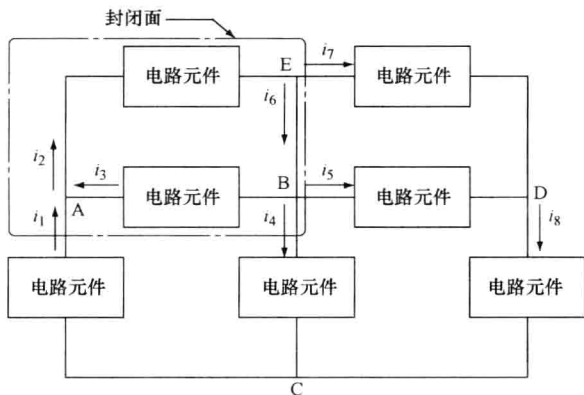


图 9.6 带封闭面的电路

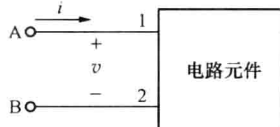


图 9.7 电压和电流的定义

下面介绍基尔霍夫电压定律。

基尔霍夫电压定律 (Kirchhoff's Voltage Law, KVL) 表明任一闭合回路中所有电压之和为零, 即

$$\sum_{n=1}^N v_n(t) = 0 \quad (9.5)$$

式中  $N$ ——沿闭合回路的电压数;

$v_n(t)$ ——各个电压值, 电压的正负号是绕行回路时首先遇到的那个极性符号。

例如, 设图 9.8 所示电路中的各个电路元件两端的电压为  $v_n$  并带有极性, 该电路共有  $CP_1$ 、 $CP_2$  和  $CP_3$  这 3 个回路。对这 3 个回路分别应用 KVL, 可得

$$CP_1: -v_3 + v_1 + v_4 = 0$$

$$CP_2: -v_4 + v_2 + v_5 = 0$$

$$CP_3: -v_3 + v_1 + v_2 + v_5 = 0$$

将上述两个基尔霍夫定律用于电路分析, 可以计算电路中未知的电压和电流。首先, 对各个未知量建立电路方程, 组成一个方程组; 再将其表示成矩阵形式; 然后, 就

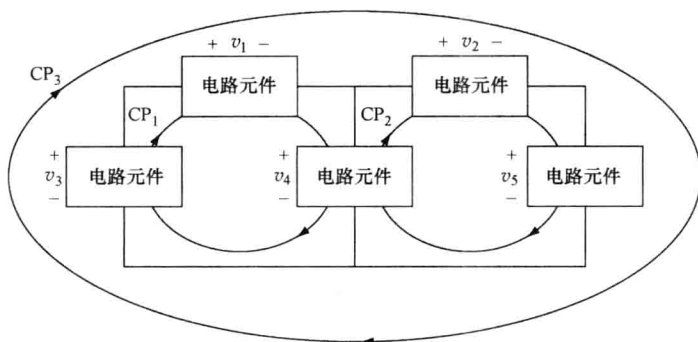


图 9.8 基尔霍夫电压定律的电路示意图 (其中  $CP_1$ 、 $CP_2$  和  $CP_3$  表示回路)

可以用本书附录所述的方法, 编写 MATLAB 程序求解方程组的未知量。本章下面所述的许多例题都会用到这种方法。

### 9.3.4 电功率和电能量

电功率是电能消耗的速率, 即

$$p = \frac{dw}{dt} = \frac{dw}{dq} \frac{dq}{dt} = vi \quad (9.6)$$

式中  $p$ ——电功率, 单位是瓦特 (W);

$w$ ——电能量, 单位是焦耳 (J)。

可见, 功率等于电路元件两端的电压与通过该电路元件的电流的乘积。按照惯例, 功率为正时, 表示电路元件吸收或损耗功率; 功率为负时, 表示电路元件释放或产生功率, 它是电源。

图 9.9 显示了电路元件上电流和电压 4 种可能的组合情况。根据规定, 如果如图 9.9a 的箭头和极性所示,  $i$  和  $v$  都为正, 则电路吸收能量, 要么发热损耗掉, 要么存储起来; 如果如图 9.9b 和 c 所示, 把电流的方向反过来, 或者把电压的极性反过来, 则电路就是提供能量; 但是, 如果如图 9.9d 所示, 把电流的方向和电压的极性都一起反过来, 那么电路仍然是吸收能量。

电路元件分为无源的和有源的。无源电路元件的功率总是正值或者零, 其能量或者被电阻的发热消耗, 或者被电容存储在电场中, 或者被电感存储于磁场中。有源电路元件能够产生能量, 因此其功率为负值。

电能量的计算公式为

$$w(t) = \int_{-\infty}^t p dt \quad (9.7)$$

### 9.3.5 电源

电源是一种双端口器件, 可以给电路提供电能。它没有固定不变的电压-电流关系, 即使已知电压和电流两个变量中的某一个, 如果不知道电路其余部分的信息, 也不能求

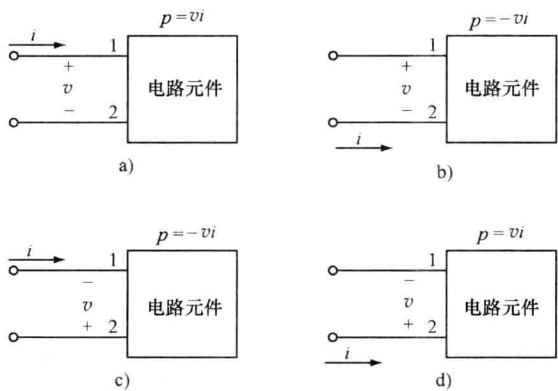


图 9.9 电流和电压的 4 种极性组合

注：图 a 和图 d 产生正功率，电路元件消耗能量；图 b 和图 c 产生负功率，电路元件提供能量。

得另一个变量。电源可分为独立电源和受控电源两类。独立电源（independent source）不管电路的其余部分如何，都能够保持一定的输出电压或者输出电流。其中，理想电压源无论通过的电流有多大都可以在输出端产生固定的标称电压。图 9.10a 和 b 所示是理想电压源的通用符号。理想电流源则可以给外接电路提供标称电流，图 9.10c 所示是其表示符号，它所产生的电压则由电路其余部分决定。

图 9.11 所示是受控电压源和受控电流源的表示符号。受控电源（controlled source）也称非独立电源（dependent source），其输出值是电路中其他电压或者电流的已知函数。我们用菱形符号表示受控电源。受控电压源所产生的电流和受控电流源所产生的电压都由电路其余部分的元件决定。受控电源在电子学中具有非常重要的作用。本章后面所述的运算放大器就是基于受控电压源的原理。

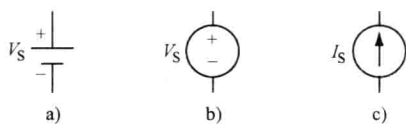


图 9.10 独立电源的表示符号

a) 电池 b) 理想电压源，其电压  $V_s$  可以是直流电压（即电池），也可以是随时间变化的电压 c) 理想电流源  $I_s$

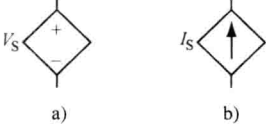


图 9.11 受控电源的符号表示

a) 受控电压源，其电压  $V_s$  是电路中其他某个电压或者电流的已知函数   
b) 受控电流源，其电流  $I_s$  是电路中其他某个电压或者电流的已知函数

## 9.4 电阻

### 9.4.1 电阻的定义

电阻是阻碍电流流过的一种电路元件，用符号  $\sim$  表示。电阻可以用各种不同的材

料制作, 其阻抗值  $R$  决定它阻止电流的能力。电阻的单位是欧姆 ( $\Omega$ ),  $1 \Omega = 1 \text{ V/A}$ 。理论上, 连接电路元件的导线的电阻为零; 而断裂的电路元件两端之间的电阻为无穷大。理想电阻遵循欧姆定律, 该定律描述了电压与电流之间的线性关系, 其斜率就等于电阻值。

根据电流的方向和电压的极性, 欧姆定律有两种写法: 图 9.12a 的欧姆定律为

$$v = iR \quad (9.8)$$

而图 9.12b 的欧姆定律为

$$v = -iR \quad (9.9)$$

本书使用图 9.12a 所示的方式表示电阻上的电压降。可见, 电阻两端的电压等于流通过其中的电流  $i$  与阻抗  $R$  的乘积。但是, 在高电压和大电流的情况下, 这种线性关系可能不成立。某些导电材料只在非常小的电流和电压范围内才具备线性特性。许多生理模型也是如此, 只有在一定的数值范围内才是线性的, 超出这个范围, 模型就是非线性的。图 9.13a 所示的短路电路定义为  $R=0$ , 其电压降为  $0\text{V}$ ; 而图 9.13b 所示的开路电路则定义为  $R=\infty$ , 通过的电流为  $0\text{A}$ 。

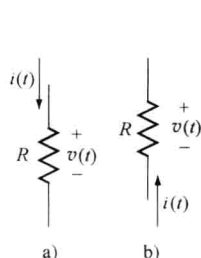


图 9.12 阻值为  $R$  的理想电阻

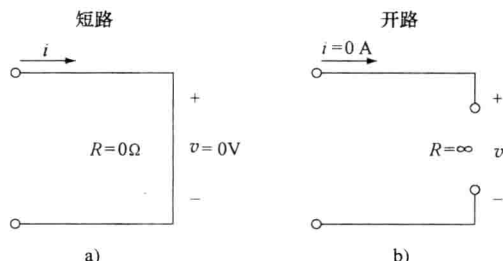


图 9.13 短路电路 (图 a) 和开路电路 (图 b)

每种材料都具有体现其阻抗的电阻率  $\rho$  (resistivity)。电导率  $\sigma$  (conductivity) 为电阻率的倒数, 电导  $G$  则是电阻的倒数。电导的单位是西门子 (S), 也就是  $\text{A/V}$ 。因此, 欧姆定律也可以写成电导的形式, 即

$$i = Gv \quad (9.10)$$

### 例 9.1

请计算以下电路中的电流  $I_2$ 、 $I_3$  和电压  $V_1$ 。

解:

首先, 对电路左上方的节点应用 KCL, 求  $I_2$ , 即

$$-5 + I_2 + 8 = 0$$

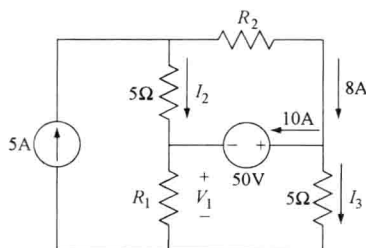
则

$$I_2 = -3\text{A}$$

然后, 对电路右边的节点应用 KCL, 求  $I_3$ , 即

$$10 + I_3 - 8 = 0$$

则



$$I_3 = -2\text{A}$$

最后，对电路右下方回路应用 KVL 和欧姆定律，求  $V_1$ ，即

$$\begin{aligned} -V_1 - 50 + 5I_3 &= 0 \\ V_1 &= -50 + 5 \times (-2) = -60\text{V} \end{aligned}$$



9.4.2 电阻的功率

将式 (9.8) 或者式 (9.9) 代入式 (9.6) 可以得到电阻上消耗的功率的计算公式，即

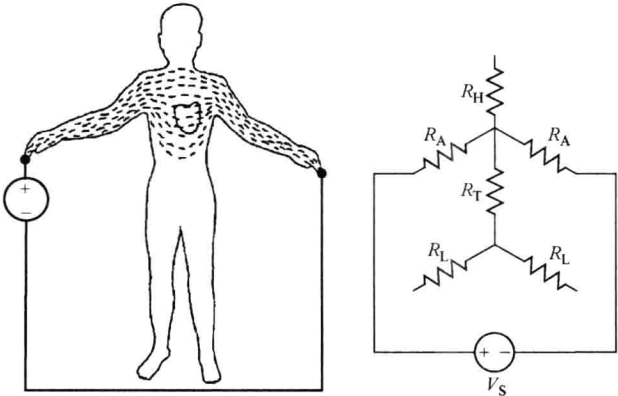
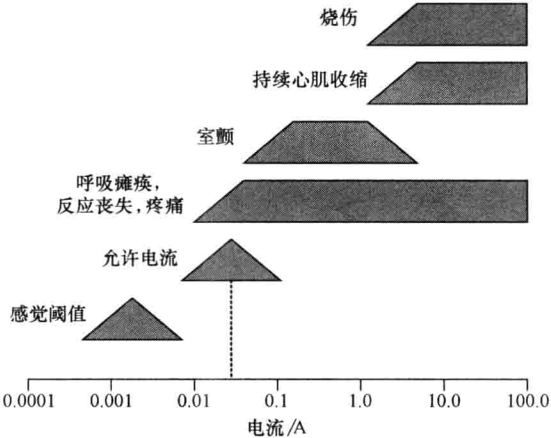
$$p = vi = \frac{v^2}{R} = i^2 R \tag{9.11}$$

该功率以发热的形式耗散出去。由此计算公式可见，电阻所消耗的功率与电压极性和电流方向都无关，电阻的功率总是正的，任何其他无源元件也都是如此。

例 9.2

医院临床环境下的电气安全极其重要。如右图所示，如果流过人体的电流比较大，就会导致严重的伤害。例如，50 mA 的电流（图中虚线所示）就可能引起室颤等症状。

下面这张图的左边显示了人体两手之间受到电击时人体中的电流分布。右边显示了其粗略的电路模型，包括阻抗各为  $R_A$  的两条手臂，阻抗各为  $R_L$  的两条腿，阻抗为  $R_T$  的躯干，以及阻抗为  $R_H$  的头部。



可见，电源与两条手臂串联并形成了唯一的闭合回路，因此，该人体电路模型可以

简化为右图所示。

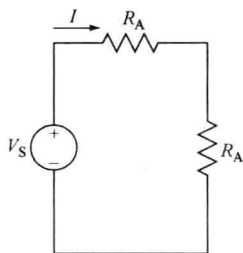
如果  $R_A = 400\Omega$ ,  $V_S = 120V$ , 请计算电流  $I$  的值。

解:

利用欧姆定律, 有

$$I = \frac{V_S}{R_A + R_A} = \frac{120}{800} = 0.15A$$

$I$  就是流过心脏的电流, 该电流的大小会导致室颤。 ■



### 9.4.3 等效电阻

复杂电路经常可以简化为简单的等效电路 (equivalent circuit)。如果两个电路的电压和电流没有区别, 也就是两个电路的行为一样, 那么, 就可以认为两个电路等效。例如, 图 9.14 的电路 A 和电路 B 都由电阻组成, 外加同样的直流电压  $V_S$ , 如果  $I_A = I_B$ , 那么两个电路就等效。根据欧姆定律, 两个电路的阻抗均为

$$R_{EQ} = \frac{V_S}{I_A} = \frac{V_S}{I_B} \quad (9.12)$$

由此可知, 任何电阻组成的电路都可以用图 9.15 所示的等效电路来代替。在下面讲到戴维南等效电路 (Thevenin equivalent circuit) 时, 还可以将这种方法推广到电源和电阻组成的任何电路。

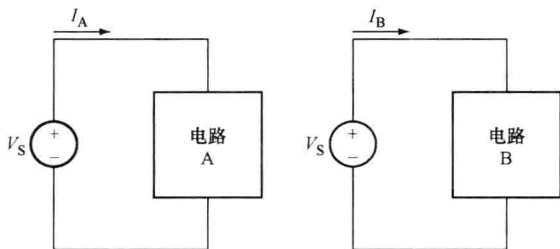


图 9.14 两个电路

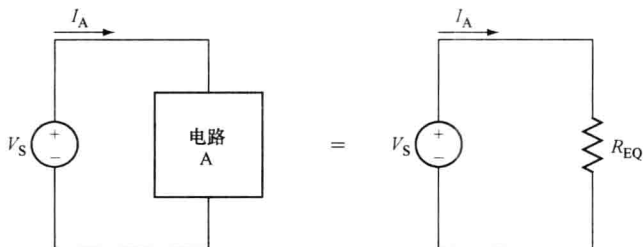


图 9.15 等效电路

### 9.4.4 电阻的串联和并联

#### 1. 串联电阻

如果两个电阻上流过的是同一个电流, 那么这两个电阻就是串联; 如果这两个电阻

再与第三个电阻相连, 而且通过 3 个电阻的电流都相同, 那么这 3 个电阻是串联。一般, 如果同一个电流流过  $N$  个电阻, 那么这  $N$  个电阻就是串联的。例如, 图 9.16 是 3 个电阻串联, 利用 KVL 可以求其等效电阻, 即

$$-V_S + IR_1 + IR_2 + IR_3 = 0$$

等效电阻  $R_{EQ}$  即为

$$R_{EQ} = \frac{V_S}{I} = R_1 + R_2 + R_3$$

一般,  $N$  个串联电阻的等效电阻  $R_{EQ}$  为

$$R_{EQ} = \sum_{i=1}^N R_i \quad (9.13)$$

## 2. 并联电阻

如果两个或两个以上电阻中每个电阻两端的电压都是同一个, 那么这些电阻就是并联。如图 9.17 所示是 3 个电阻并联。我们用符号 “ $\parallel$ ” 表示并联, 于是, 图 9.17 可以表示为  $R_{EQ} = R_1 \parallel R_2 \parallel R_3$ 。利用 KCL 可以求出其等效电阻, 即

$$-I + \frac{V_S}{R_1} + \frac{V_S}{R_2} + \frac{V_S}{R_3} = 0$$

等效电阻  $R_{EQ}$  即为

$$R_{EQ} = \frac{V_S}{I} = \frac{1}{\frac{1}{R_1} + \frac{1}{R_2} + \frac{1}{R_3}}$$

一般,  $N$  个并联电阻的等效电阻  $R_{EQ}$  为

$$R_{EQ} = \frac{1}{\frac{1}{R_1} + \frac{1}{R_2} + \cdots + \frac{1}{R_N}} \quad (9.14)$$

对于两个并联电阻, 上式变为

$$R_{EQ} = R_1 \parallel R_2 = \frac{R_1 R_2}{R_1 + R_2} \quad (9.15)$$

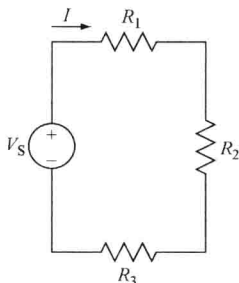


图 9.16 串联电路

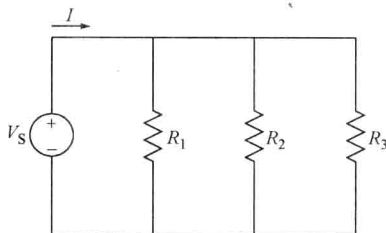
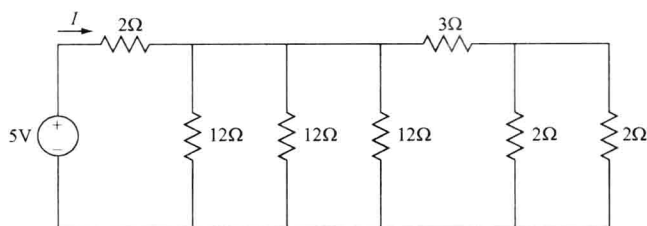


图 9.17 并联电路

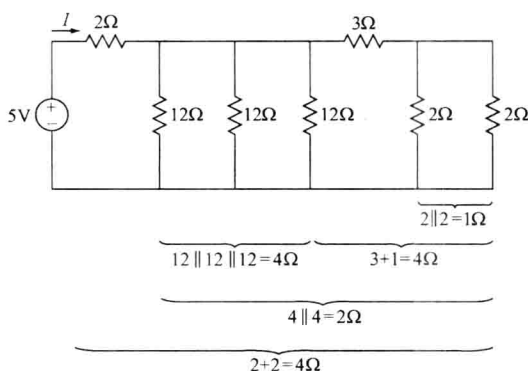
### 例 9.3

请计算以下电路的等效电阻  $R_{EQ}$  和电源所提供的功率。



解:

从右到左分析电阻的并联和串联关系, 可以求得  $R_{EQ}$ 。首先是两个  $2\Omega$  电阻并联, 再与一个  $3\Omega$  电阻串联; 然后, 这组电阻与 3 个  $12\Omega$  电阻并联; 最后, 再与一个  $2\Omega$  电阻串联。下图表示了这些组合关系及其计算结果。



$$\begin{aligned}
 R_{EQ} &= 2\Omega + \{ (12\Omega \parallel 12\Omega \parallel 12\Omega) \parallel [3\Omega + (2\Omega \parallel 2\Omega)] \} \\
 &= 2 + \left[ \left( \frac{1}{\frac{1}{12} + \frac{1}{12} + \frac{1}{12}} \right) \parallel \left( 3 + \frac{1}{\frac{1}{2} + \frac{1}{2}} \right) \right] \\
 &= 2 + [(4) \parallel (3 + 1)] = 2 + 2 = 4\Omega
 \end{aligned}$$

于是, 电源的输出电流为

$$I = \frac{5}{R_{EQ}} = \frac{5}{4} = 1.25 \text{ A}$$

功率为

$$p = 5 \times I = 6.25 \text{ W}$$

#### 9.4.5 分压器和分流器

将上述等效电阻  $R_{EQ} = \frac{V}{I}$  的概念加以推广, 就可以快速计算串联电路中的电阻电压或者并联电路中的电阻电流。

##### 1. 分压器原理

根据分压器原理可以方便地计算串联电路中指定电阻两端的电压。例如, 要计算图 9.18 所示串联电路中的  $V_2$ , 电路的等效电阻为  $R_{EQ} = R_1 + R_2$ , 因此



$$I = \frac{V_s}{R_{EQ}} = \frac{V_s}{R_1 + R_2}$$

于是

$$V_2 = IR_2 = V_s \frac{R_2}{R_1 + R_2}$$

同理, 可以求得  $V_1$  为

$$V_1 = V_s \frac{R_1}{R_1 + R_2}$$

一般, 如果电路中含有  $N$  个串联电阻, 则由分压器原理可以计算其中任意一个电阻  $R_i$  两端的电压为

$$V_i = V_s \frac{R_i}{R_1 + R_2 + \cdots R_N} \quad (9.16)$$

## 2. 分流器原理

根据分流器原理可以方便地计算并联电路中任意一个电阻上流过的电流。例如, 要计算图 9.19 所示并联电路中的  $I_2$ , 电路的等效电阻为  $R_{EQ} = \frac{R_1 R_2}{R_1 + R_2}$ , 因此

$$I_2 = \frac{V_s}{R_2}$$

并且

$$V_s = I \frac{R_1 R_2}{R_1 + R_2}$$

将  $V_s$  代换掉以后可得

$$I_2 = I \frac{\frac{1}{R_2}}{\frac{1}{R_1} + \frac{1}{R_2}}$$

一般, 如果电路中含有  $N$  个并联电阻, 则由分流器原理可以计算其中任意一个电阻  $R_i$  的电流为

$$I_i = I \frac{\frac{1}{R_i}}{\frac{1}{R_1} + \frac{1}{R_2} \cdots + \frac{1}{R_N}} \quad (9.17)$$

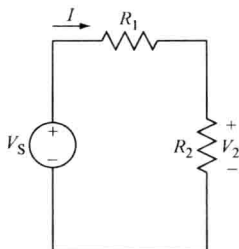


图 9.18 分压器电路

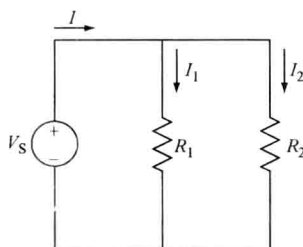
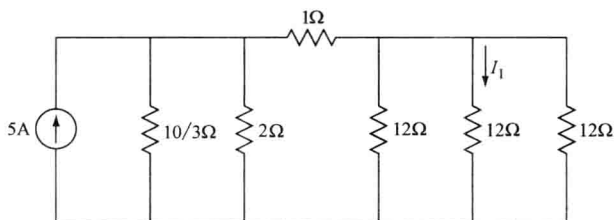


图 9.19 分流器电路

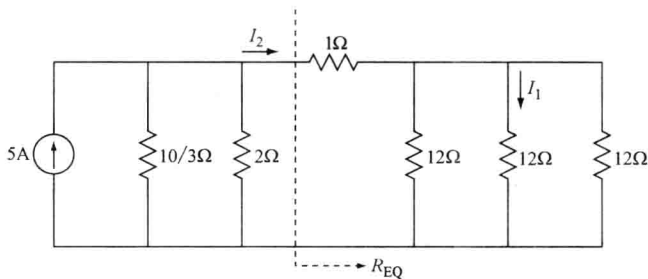
## 例 9.4

请计算以下电路中的电流  $I_1$ 。



解：

该问题需要分两步求解，将电路重新画成如下形式就很清楚了。先求电流  $I_2$ ，再求电流  $I_1$ 。



首先计算出图中所示的  $R_{EQ}$ ，将其代入电路之后，就可以将电路简化为 3 个电阻的并联，从而求得  $I_2$ 。等效电阻  $R_{EQ}$  为

$$R_{EQ} = 1 + (12 \parallel 12 \parallel 12) = 1 + \frac{1}{\frac{1}{12} + \frac{1}{12} + \frac{1}{12}} = 5\Omega$$

将分流器原理用于 3 个并联电阻  $\frac{10}{3} \parallel 2 \parallel R_{EQ}$ ，可得

$$I_2 = 5 \left( \frac{\frac{1}{5}}{\frac{3}{10} + \frac{1}{2} + \frac{1}{5}} \right) = 1\text{ A}$$

该电流  $I_2$  流过  $1\Omega$  电阻，然后分成三等分（即  $1/3\text{ A}$ ），流过每个  $12\Omega$  电阻。因此，应用分流器原理就可以求得电流  $I_1$ ，即

$$I_1 = I_2 \left( \frac{\frac{1}{12}}{\frac{1}{12} + \frac{1}{12} + \frac{1}{12}} \right) = \frac{\frac{1}{12}}{\frac{1}{12} + \frac{1}{12} + \frac{1}{12}} = \frac{1}{3}\text{ A}$$

■

## 9.5 线性电路网络分析法

至此，我们已经学习的电路求解方法有：欧姆定律、基尔霍夫定律、等效电路简化

以及分压器和分流器原理。这些方法可以用于任何电路问题的求解。不过,电路越复杂,求解就越困难。本节将介绍的节点电压法 (node-voltage method) 提供了一种方便的、系统的电路问题求解方法。该方法将支路电流用一个或多个节点电压来表示,并且对电路中每个节点应用 KCL, 建立一组方程来求解电路。它是一种能够有效可靠地求解电路问题的系统方法, 所产生的联立方程数目最少, 可以减少工作量并节省计算时间。

节点电压法可以分为如下两个求解步骤:

1) 设定一个参考节点, 也就是“地”, 电路中其他各个节点 (称为基本节点) 的电压就是相对于参考节点的电压。通常取电路中与其相连支路最多的节点作为参考节点, 并用符号 “ $\perp$ ” 表示。

2) 对电路中参考节点以外的每个节点 (即  $N-1$  个节点) 应用 KCL 写出节点电流方程。

如图 9.20 所示, 应用欧姆定律写出流过电阻的电流, 其中所用的电压就是电阻两端相对于参考节点的两个电压之差。节点电压方程中的电流表示为离开节点的电流。对于两个相邻节点, 一个节点的电流向右 (见图 9.20a), 而另一个节点的电流则向左 (见图 9.20b)。于是, 图 9.20a 的电流为  $I_A = \frac{V}{R} = \frac{V_1 - V_2}{R}$ , 而图 9.20b 的电流为  $I_B = \frac{V}{R} = \frac{V_2 - V_1}{R}$ 。

利用 KVL 很容易证明图 9.20a 中  $V = V_1 - V_2$ 。

如果在基本节点和参考节点之间的某条支路上含有独立电压源或者受控电压源, 那么, 该节点的电压已知, 就不用写节点方程了。这可以减少独立的节点方程数目, 从而减少求解节点电压的工作量。而且, 在写其他节点方程时可以直接使用独立电压源的数值。例如, 假设图 9.20a 中的电压  $V_2$

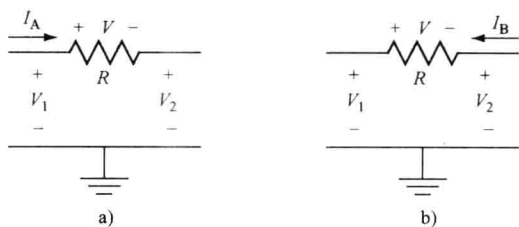


图 9.20 用节点电压写出欧姆定律方程

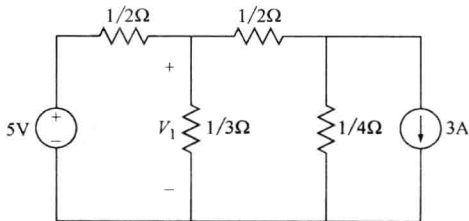
是一个 5 V 独立电压源。由于图中右边节点的电压已知, 该节点就不要写节点方程了, 在写左边节点的方程时, 电流  $I_A$  就等于  $I_A = \frac{V_1 - 5}{R}$ 。下面的例 9.5 将进一步说明这种情况。

### 例 9.5

请使用节点电压法计算如下电路中的电压  $V_1$ 。

解:

将电路图重画如下。可见该电路有两个基本节点, 分别用“1”、“2”标出, 并且用  $V_1$  和  $V_2$  表示这两个节点与参考节点之间的电压。图中另一个含有 5 V 电源的节点因电压已知, 不必写节点方程。



流出节点 1 的电流之和为

$$2(V_1 - 5) + 3V_1 + 2(V_1 - V_2) = 0$$

可以简化为

$$7V_1 - 2V_2 = 10$$

流出节点 2 的电流之和为

$$2(V_2 - V_1) + 4V_2 + 3 = 0$$

可以简化为

$$-2V_1 + 6V_2 = -3$$

将这两个节点方程写成矩阵形式, 即

$$\begin{bmatrix} 7 & -2 \\ -2 & 6 \end{bmatrix} \begin{bmatrix} V_1 \\ V_2 \end{bmatrix} = \begin{bmatrix} 10 \\ -3 \end{bmatrix}$$

再用如下 MATLAB 程序求解该方程组, 即

```
>> A = [7 -2; -2 6];
```

```
>> F = [10; -3];
```

```
>> V = A \ F
```

V =

1.4211

-0.0263

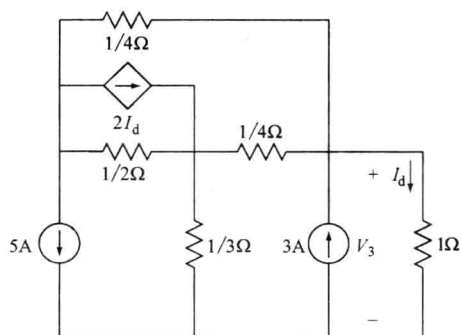
可得  $V_1 = 1.4211\text{V}$ 。

### 例 9.6

请使用节点电压法计算如下电路 (左图) 中的电压  $V_3$ 。

解:

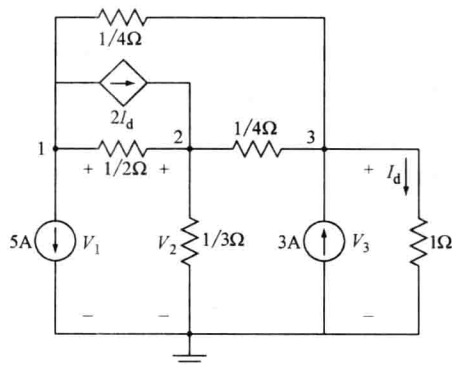
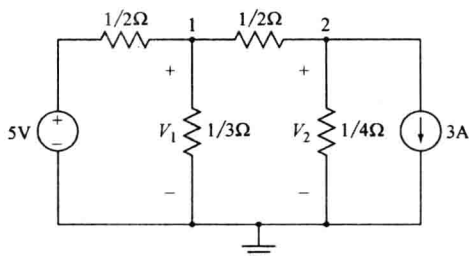
注意, 该电路有 3 个基本节点和一个受控电流源。在重画的电路图 (右图) 中, 分别用 “1”、“2” 和 “3” 标出了 3 个基本节点, 并且标出了电路底部的参考节点, 以及 3 个节点电压  $V_1$ 、 $V_2$  和  $V_3$ 。



注意, 根据欧姆定律,  $I_d = V_3$ 。

流出节点 1 的电流之和为

$$5 + 2(V_1 - V_2) + 2I_d + 4(V_1 - V_3) = 0$$



可以简化为

$$6V_1 - 2V_2 - 2V_3 = -5$$

流出节点 2 的电流之和为

$$-2I_d + 2(V_2 - V_1) + 3V_2 + 4(V_2 - V_3) = 0$$

可以简化为

$$-2V_1 + 9V_2 - 6V_3 = 0$$

流出节点 3 的电流之和为

$$4(V_3 - V_2) - 3 + V_3 + 4(V_3 - V_1) = 0$$

可以简化为

$$-4V_1 - 4V_2 + 9V_3 = 3$$

将这 3 个节点方程写成矩阵形式, 即

$$\begin{bmatrix} 6 & -2 & -2 \\ -2 & 9 & -6 \\ -4 & -4 & 9 \end{bmatrix} \begin{bmatrix} V_1 \\ V_2 \\ V_3 \end{bmatrix} = \begin{bmatrix} -5 \\ 0 \\ 3 \end{bmatrix}$$

注意, 由于存在受控电流源, 该电路的矩阵不再对称。而且, 3 个节点方程中有 2 个存在电流源, 使得矩阵方程的右边成为非 0 项。

用如下 MATLAB 程序求解该方程组, 即

```
>> A = [6 -2 -2; -2 9 -6; -4 -4 9];
```

```
>> F = [-5; 0; 3];
```

```
>> V = A \ F
```

```
V =
```

```
-1.1471
```

```
-0.5294
```

```
-0.4118
```

可得  $V_3 = -0.4118\text{V}$ 。

如图 9.21 所示, 如果在两个基本节点之间的某条支路含有独立电压源或者受控电压源, 那么, 流经电源的电流就不能用节点电压来表示。此时, 可以将这两个节点合成一个超节点, 只要写出这个超节点的方程, 用流出节点 2 的电流来表示流过电源的电流  $I_A$  就可以了。也就是, 用节点电压写出  $I_B + I_C + I_D$  来代替  $I_A$ 。由于有两个未知数, 只有一个超节点方程, 因此, 需要对两个节点和电源应用 KVL, 再写出一个方程, 即

$$-V_1 - V_\Delta + V_2 = 0$$

也就是

$$V_\Delta = V_2 - V_1$$

### 例 9.7

请计算如下电路中的电压  $V_3$ 。

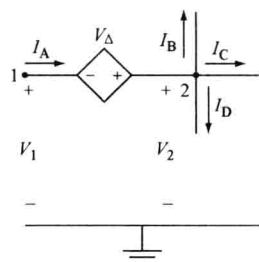
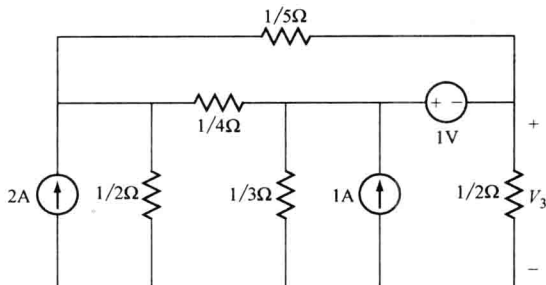
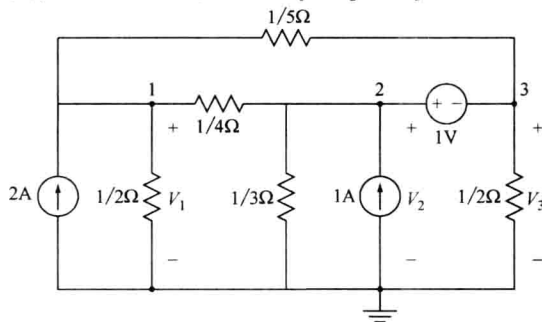


图 9.21 节点 1 和节点 2 之间存在受控电压源



解:

该电路有3个基本节点,其中两个节点之间连接着一个独立电压源,形成超节点。在如下重画的电路图中,分别用“1”、“2”和“3”标出了这3个基本节点,并且标出了电路底部的参考节点,以及3个节点电压  $V_1$ 、 $V_2$  和  $V_3$ 。



流出节点1的电流之和为

$$-2 + 2V_1 + 5(V_1 - V_3) + 4(V_1 - V_2) = 0$$

简化之后为

$$11V_1 - 4V_2 - 5V_3 = 2$$

节点2与节点3之间连接了一个独立电压源,因此形成一个超节点2+3。流出这个超节点的电流之和为

$$4(V_2 - V_1) + 3V_2 - 1 + 2V_3 + 5(V_3 - V_1) = 0$$

简化之后为

$$-9V_1 + 7V_2 + 7V_3 = 1$$

对2、3两个节点电压和独立电压源应用KVL写出超节点的另一个方程

$$-V_2 + 1 + V_3 = 0$$

也就是

$$-V_2 + V_3 = -1$$

将以上3个简化方程写成矩阵形式,即

$$\begin{bmatrix} 11 & -4 & -5 \\ -9 & 7 & 7 \\ 0 & -1 & 1 \end{bmatrix} \begin{bmatrix} V_1 \\ V_2 \\ V_3 \end{bmatrix} = \begin{bmatrix} 2 \\ 1 \\ -1 \end{bmatrix}$$

用如下 MATLAB 程序求解该方程组

```
>> A = [11 -4 -5; -9 7 7; 0 -1 1];
```

```
>> F = [2; 1; -1]
```

```
>> V = A \ F
```

```
V =
```

```
0.4110
```

```
0.8356
```

```
-0.1644
```

可得  $V_3 = -0.1644$ 。

## 9.6 线性特性与叠加原理

如果有两个或两个以上独立电源同时激励一个线性系统, 那么, 系统总的响应等于系统对于各个输入的响应之和。这种性质称为叠加原理。根据叠加原理, 电路系统对于几个独立电源的总响应就等于每个独立电源引起的响应之和。在求解各个独立电源的响应时, 要去掉其他独立电源, 也就是

- 1) 将其他电压源短路;
- 2) 将其他电流源开路。

这样, 在求某个独立电源的响应时, 去掉其他独立电源的作用; 然后用同样的方法求下一个独立电源的响应。每个独立电源的响应都得到之后, 将这些响应求和即可。但是, 必须注意, 叠加原理只适用于独立电源。在求各个独立电源的响应时, 受控电源不能去掉, 都必须保留, 它们的值由相应的电流或者电压决定。显然, 在求各个独立电源的响应时, 电路不同, 控制受控电源的那些电流和电压也不同, 不能相互混用。

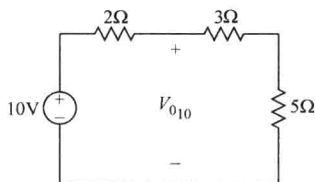
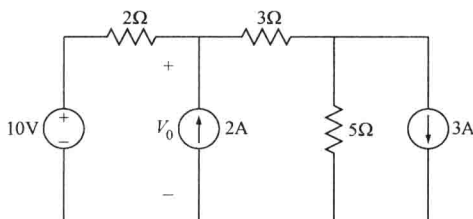
一般, 与直接求取所有电源的总响应相比, 利用叠加原理求解电路要简单得多。特别对于输入源为脉冲信号或者具有延时的信号, 叠加原理很有用。在下面的章节中会介绍有关内容。

### 例 9.8

请应用叠加原理计算如下电路 (左图) 中的电压  $V_0$ 。

解:

首先将两个电流源去掉, 计算只有 10 V 电压源作用下的响应, 其电路如下 (右图):



根据分压器原理, 可以方便地求得 10V 电压源所产生的  $V_{010}$ , 即

$$V_{010} = 10 \left( \frac{8}{2+8} \right) = 8 \text{ V}$$

然后, 求 2 A 电流源作用下的响应, 其电路如下左图:

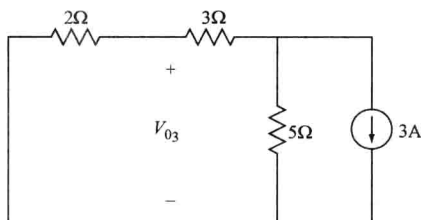
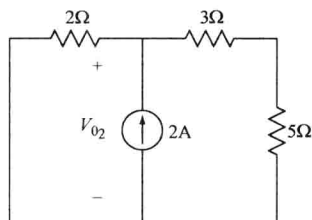
计算该电路的等效电阻, 即

$$R_{EQ} = 2 \parallel (3+5) = \frac{2 \times 8}{2+8} = 1.6 \Omega$$

再应用欧姆定律, 可得

$$V_{02} = 2 \times 1.6 = 3.2 \text{ V}$$

最后, 求 3 A 电流源作用下的响应, 其电路如下右图:



在该电路中, 3 A 电流源被两条支路 ( $2 + 3\Omega$  和  $5\Omega$ ) 均分流成两个 1.5 A 电流, 于是

$$V_{03} = -1.5 \times 2 = -3 \text{ V}$$

将以上各个响应求和, 就得到总的  $V_0$  值为

$$V_0 = V_{010} + V_{02} + V_{03} = 8 + 3.2 - 3 = 8.2 \text{ V}$$

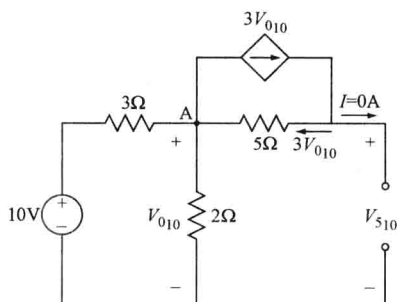
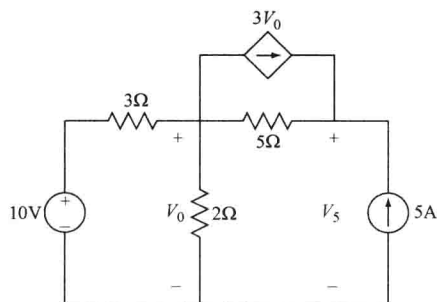
如果直接应用节点电压法分析原始电路, 得到的结果相同。 ■

### 例 9.9

请应用叠加原理计算如下左图电路中 5 A 电流源两端的电压  $V_5$ 。

解:

首先, 如右图所示, 去掉 5 A 电流源, 计算 10 V 电压源的响应  $V_{010}$ 。注意, 受控电流源不能去掉, 要保留。



该电路中去掉电流源的开路支路上没有电流, 流过  $5\Omega$  电阻的电流为  $3V_0$ , 因此, 在节点 A 处应用 KCL, 可得

$$\frac{V_{010} - 10}{3} + \frac{V_{010}}{2} + 3V_{010} - 3V_{010} = 0$$



于是

$$V_{010} = 4V$$

再应用 KVL, 可得

$$-V_{010} - 5 \times 3V_{010} + V_{s10} = 0$$

于是

$$V_{s10} = 64V$$

然后, 如下图所示, 去掉 10V 电压源, 计算 5A 电流源作用下的响应  $V_{0s}$ 。

两个并联电阻 ( $3\Omega \parallel 2\Omega$ ) 组合之后的等效电阻是  $1.2\Omega$ , 由欧姆定律计算得到  $V_{0s} = 5 \times 1.2 = 6V$ 。再在节点 B 处应用 KCL 计算  $I_5$ , 即

$$-3V_{0s} + I_5 - 5 = 0$$

将  $V_{0s} = 6V$  代入, 可得  $I_5 = 3 \times 6 + 5 = 23A$ 。最后, 应用 KVL, 有

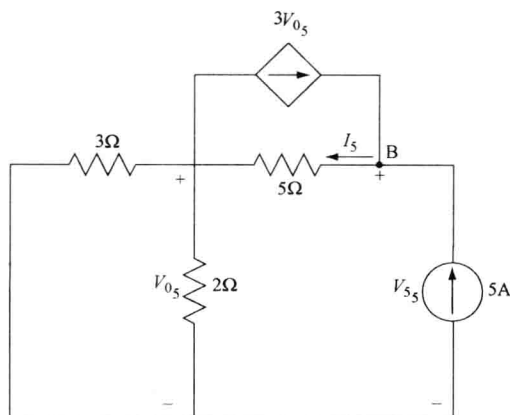
$$-V_{0s} - 5I_5 + V_{s5} = 0$$

于是

$$V_{s5} = V_{0s} + 5I_5 = 6 + 5 \times 23 = 121V$$

再将各个响应求和, 就得到总的响应

$$V_s = V_{s10} + V_{s5} = 64 + 121 = 185V$$



## 9.7 戴维南定理

任何具有两个外接端 A 和 B 并由电阻、受控电源和独立电源组成的电路, 都可以用单个电阻和一个独立电源来代替。如图 9.22 所示, 由原电路简化得到的一个电压源和一个电阻串联的电路称为戴维南等效电路 (Thevenin equivalent circuit)。连接在外接端 A 和 B 上的外接电路元件称为负载 (图中没有显示)。戴维南等效电路提供给任何外接负载的电压和电流都与原电路相同, 利用此原理可以简化复杂电路。负载一般不包含在简化的等效电路之内, 因为通常需要计算负载消耗的最大功率等参数。虽然这里涉及的电路元件主要是电源和电阻, 不过, 戴维南定理适用于任何由双端线性元件组成的电路。

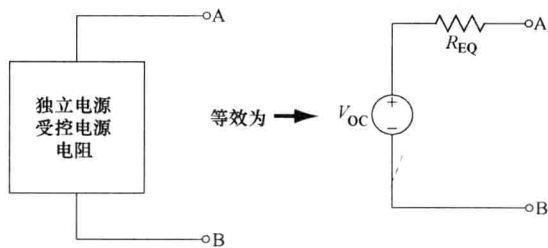


图 9.22 包含独立电源和受控电源的普通电路都可以等效为一个电压源  $V_{OC}$  与一个电阻  $R_{EQ}$  的串联

戴维南定理指出：由一个理想电压源  $V_{oc}$  和一个等效电阻  $R_{eq}$  串联组成的等效电路可以代替任何由独立（或受控）电压源和电流源与电阻组成的电路。如图 9.23 所示， $V_{oc}$  等于 A、B 两端之间的开路电压，可以用节点电压法等标准方法计算其数值。电阻  $R_{eq}$  是去掉所有电源之后从 A、B 两端看进去的等效电阻。记住，去掉电压源是用短路代替，去掉电流源则是用开路代替。

### 例 9.10

试求出以下电路（左图）相对于 A、B 两端的戴维南等效电路。

解：

戴维南等效电路分两步计算：先求  $V_{oc}$ ；再求  $R_{eq}$ 。从以下右图电路可以方便地应用节点电压法计算得到开路电压  $V_{oc}$ 。即离开节点的电流之和为

$$\frac{V_{oc} - 10}{2} + \frac{V_{oc}}{2} - 4 = 0$$

因此， $V_{oc} = 9V$ 。

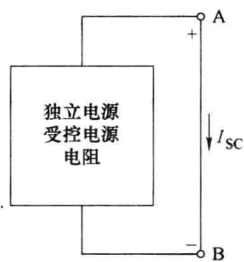
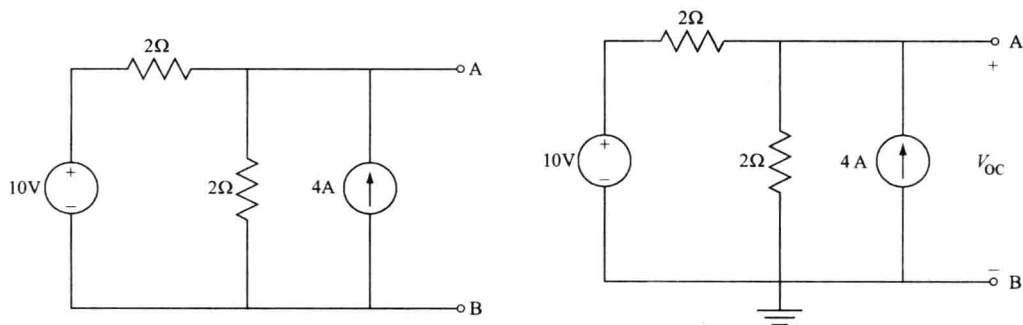
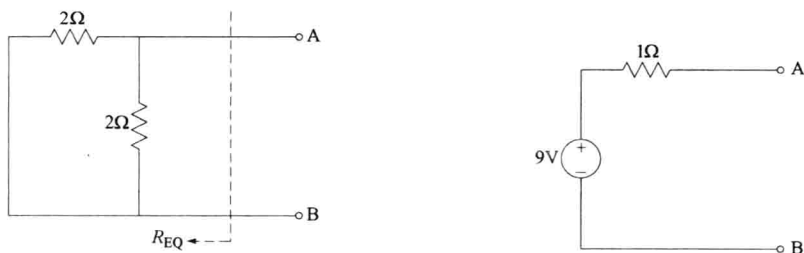


图 9.23 利用节点电压法等标准方法可以计算 A、B 两端之间的开路电压  $V_{oc}$



然后，如下左图所示，去掉所有电源，也就是将电压源短路，将电流源开路。计算从 A、B 两端看进去的电阻  $R_{eq}$ 。显然， $R_{eq}$  等于 1（即  $2\Omega \parallel 2\Omega$ ）。

因此，戴维南等效电路如下右图所示。




必须注意, 用于计算  $V_{oc}$  的电路不能用于计算  $R_{EQ}$ , 两个计算电路是不同的, 不能混淆。

如图 9.24 所示, 如果将 A、B 两端短路, 短路电流为  $I_{sc}$ , 则以下关系成立:

$$R_{EQ} = \frac{V_{oc}}{I_{sc}} \quad (9.18)$$

## 9.8 电感

本章前几节介绍了可以用代数方程描述的包含电源和电阻的电路, 这些电路中的任何电源变化都即刻产生响应。本节将介绍的电感也是一种无源元件, 但其电压-电流关系需要用微分方程来描述。因此, 含有电感的电路方程要用到导数和积分, 电路中电源的任何变化 (如阶跃输入) 所产生的响应不是即刻的, 而是由两部分组成, 一是按照指数变化的自由响应 (natural response), 二是与电源具有相同形式的强迫响应 (forced response)。

电感是无源元件, 它由绕在绝缘体或铁磁体心上的导线线圈构成, 可以将电能存储在磁场中。线圈中有电流流过时就产生了磁场。电路中的电感用符号  表示。电感的单位是亨利 (H),  $1\text{H} = 1\text{V} \cdot \text{s}/\text{A}$ 。电感的电压-电流关系是

$$v = L \frac{di}{dt} \quad (9.19)$$

如图 9.25 所示, 电感上电压降的表示方式通常与电阻相同。

由式 (9.19) 可知, 实际电感电流不可能即刻发生变化, 因为电流的瞬间变化会使其导数变成无穷大, 从而产生无穷大的电压。但是, 在数学上, 使用  $\delta$  函数 (Dirac delta function) 的电压就可以在电感上产生阶跃电流。按照惯例, 如果电路中只存在直流电流或直流电压, 那么, 电感就可以看作短路, 因为此时电感两端的电压差为 0。

### 例 9.11

请计算以下电路中的电压  $v$ 。

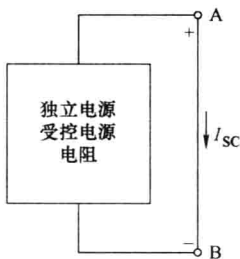
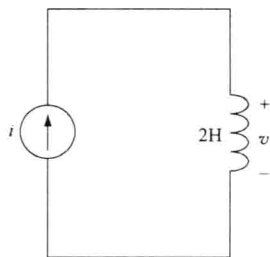
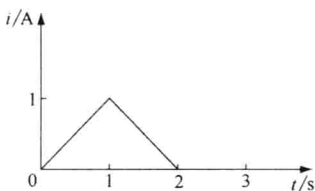


图 9.24 将 A、B 两端短路, 并应用节点电压法等标准方法, 可以计算短路电流  $I_{sc}$



图 9.25 电感

解:

求解本题时, 最好根据输入电流的变化将时间分段。显然, 当  $t < 0$  和  $t > 2$  时, 电流为 0, 因此,  $v = 0$ 。下面利用式 (9.19) 求其他两个时间段上的电压值。

当  $0 < t < 1$  时, 输入电流为  $i = t$ , 则

$$v = L \frac{di}{dt} = 2 \frac{d(t)}{dt} = 2 \text{ V}$$

当  $1 \leq t \leq 2$  时, 输入电流为  $i = -(t-2)$ , 则

$$v = L \frac{di}{dt} = 2 \frac{d[-(t-2)]}{dt} = -2 \text{ V}$$

式 (9.19) 是根据给定电流计算电感两端电压, 如果反过来, 给定电感两端的电压, 需要计算电流, 那么, 将该方程两边同乘以  $dt$ , 得到

$$v(t) dt = L di$$

再两边求积分, 即

$$\int_{t_0}^t v(\lambda) d\lambda = L \int_{i(t_0)}^{i(t)} d\alpha \quad (9.20)$$

也就是

$$i(t) = \frac{1}{L} \int_{t_0}^t v(\lambda) d\lambda + i(t_0)$$

通常设  $t_0 = 0$ , 于是, 上式可以简化为

$$i(t) = \frac{1}{L} \int_0^t v(\lambda) d\lambda + i(0) \quad (9.21)$$

如果设  $t_0 = -\infty$ , 且初始电流为 0, 则式 (9.20) 可以简化为

$$i(t) = \frac{1}{L} \int_{-\infty}^t v(\lambda) d\lambda \quad (9.22)$$

式 (9.20) 中的初始电流  $i(t_0)$  通常定义为与  $i$  的方向相同, 也就是  $i(t_0)$  为正值。如果  $i(t_0)$  的方向与  $i$  的方向相反 (写节点方程时会遇到这种情况), 那么,  $i(t_0)$  就是负值。

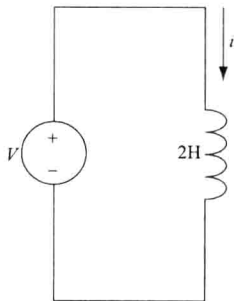
### 例 9.12

假设以下电路中  $i(0) = 2 \text{ A}$ , 并且  $v(t) = 4e^{-3t}u(t)$ , 请计算  $t \geq 0$  时的  $i$ 。

解:

由式 (9.20) 可得

$$\begin{aligned} i(t) &= \frac{1}{L} \int_{t_0}^t v d\lambda + i(t_0) = \frac{1}{2} \int_0^t 4e^{-3\lambda} d\lambda + i(0) = \frac{1}{2} \int_0^t 4e^{-3\lambda} d\lambda + 2 \\ &= 2 \left. \frac{e^{-3\lambda}}{-3} \right|_{\lambda=0}^t + 2 \\ &= \frac{2}{3} (4 - e^{-3t}) u(t) \text{ V} \end{aligned}$$




## 9.9 电容

电容是一种利用电场存储电能的器件,将电压加在电容上就可以使它极化,产生电荷分离,从而存储能量。简单的电容由两块导电材料制成的平行极板组成,极板之间填充了电介质。电介质可以是空气、云母、聚四氟乙烯等材料,这些材料含有很多电偶极子,在电场作用下会发生极化。电介质极化引起的电荷分离与外加电压成正比,即

$$q(t) = Cv(t) \quad (9.23)$$

式中  $C$ ——电容,单位是法拉(F), $1\text{F} = 1\text{C}/\text{V}$ 。

本书用符号  表示电容。一般电容的大小用微法( $1\mu\text{F} = 10^{-6}\text{F}$ )或者皮法( $1\text{pF} = 10^{-12}\text{F}$ )为单位来表示。图9.26就是一个包含电容的电路。

由式(9.23)可得如下更有利于电路分析的电流—电压关系式

$$i = \frac{dq}{dt} = C \frac{dv}{dt} \quad (9.24)$$

电容值的大小与两块极板之间的电介质的介电常数有关(例如空气的介电常数为  $\epsilon = 8.854 \times 10^{-12}\text{F}/\text{m}$ ),并且与极板之间的距离  $d$  和极板的截面积  $A$  有关,即

$$C = \frac{\epsilon A}{d} \quad (9.25)$$

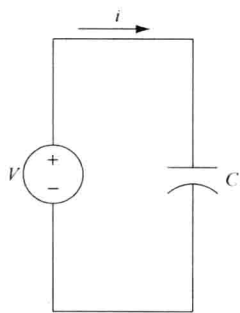
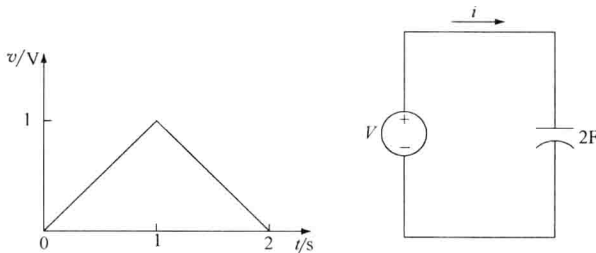


图9.26 包含电容的电路

如上所述,实际的电容由两块存储电荷的导电极板组成,两块极板之间由阻抗很大的绝缘材料薄层隔开,因此,电容极板之间实际上并没有电流流过。就像麦克斯韦(James Clerk Maxwell)在描述均匀电磁场时所提出的假说那样,在电容极板之间存在一种内部电流转移,这种电流与流入和流出电容的电流相等,于是,KCL仍然成立。显然,由式(9.24)可知电介质材料不传导直流电流。对于直流电,电容相当于开路。

### 例9.13

请计算以下电路中的电流  $i$ 。



解:

当  $t < 0$  和  $t > 2$  时,  $v = 0\text{V}$ , 因此,  $i = 0$ 。

当  $0 \leq t \leq 1$  时,  $v = t$ ; 当  $1 < t \leq 2$  时,  $v = -(t-2)$ , 利用式 (9.24) 可以计算这两个电压不为 0 的时间段上的电流。

当  $0 \leq t \leq 1$  时, 有

$$i = C \frac{dv}{dt} = 2 \times \frac{d}{dt}(t) = 2 \text{ A}$$

当  $1 < t \leq 2$  时, 有

$$i = C \frac{dv}{dt} = 2 \times \frac{d}{dt}[-(t-2)] = -2 \text{ A}$$

电容上的电压不能即刻变化, 要在电容上产生一个阶跃电压需要无限大的电流, 这在实际电路中是不可能的。不过, 在数学上可以利用  $\delta$  函数来实现。

式 (9.24) 定义了给定电压下电容电流的计算公式, 如果反过来, 给定电容电流, 需要计算电压, 那么, 将式 (9.24) 两边同乘以  $dt$ , 可得

$$i(t) dt = C dv$$

此式两边求积分, 可得

$$\int_{t_0}^t i(\lambda) d\lambda = C \int_{v(t_0)}^{v(t)} dv$$

也就是

$$v(t) = \frac{1}{C} \int_{t_0}^t i(\lambda) d\lambda + v(t_0) \quad (9.26)$$

如果设  $t_0 = 0$ , 此式可以简化为

$$v(t) = \frac{1}{C} \int_0^t i(\lambda) d\lambda + v(0) \quad (9.27)$$

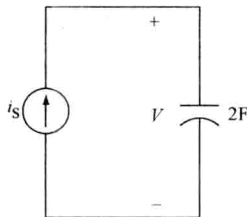
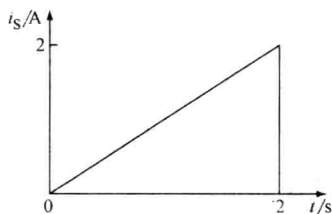
如果设  $t_0 = -\infty$ , 则可以简化为

$$v(t) = \frac{1}{C} \int_{-\infty}^t i(\lambda) d\lambda \quad (9.28)$$

式 (9.26) 中的初始电压  $v(t_0)$  通常定义为与  $v$  的极性相同, 也就是  $v(t_0)$  为正值。如果  $v(t_0)$  的极性与  $v$  的极性相反, 那么,  $v(t_0)$  就是负值。

### 例 9.14

请计算以下电路中的电压  $v$ 。



解:

本题的电流波形可以分成 3 个时间段:  $t \leq 0$ ,  $0 < t \leq 2$  和  $t > 2$ 。应用式 (9.28)

可以求出各个时间段的电压。

当  $t \leq 0$  时

$$v(t) = \frac{1}{C} \int_{-\infty}^t i dt = \frac{1}{2} \int_{-\infty}^0 0 dt = 0V$$

当  $0 < t \leq 2$  时

$$v(t) = \frac{1}{C} \int_0^t i dt + v(0)$$

如果设  $v(0) = 0$ , 则

$$v(t) = \frac{1}{2} \int_0^t \lambda d\lambda = \frac{1}{2} \left( \frac{\lambda^2}{2} \right) \Big|_0^t = \frac{t^2}{4} V$$

$t=2$  时的电压值为 (此值是下一步计算的初始值)

$$v(2) = \frac{t^2}{4} \Big|_{t=2} = 1V$$

当  $t > 2$  时

$$v(t) = \frac{1}{C} \int_2^t i dt + v(2) = \frac{1}{2} \int_2^t 0 dt + v(2) = 1V$$

## 9.10 电阻、电容和电感组成电路的通用求解方法

有时, 由电阻、电容和电感组成的电路不能用串联组合和并联组合的方式进行简化。如图 9.27 所示的电路就没有电阻、电容或电感的串联和并联, 不能通过简化电路来求解。本节将通过节点电压法, 利用电阻、电容和电感的电压—电流关系式, 写出包含积分和微分的电路方程, 并用标准微分方程求解法来计算各个未知的电压和电流。

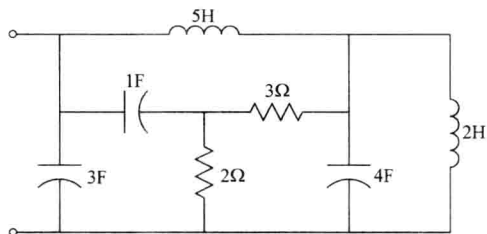


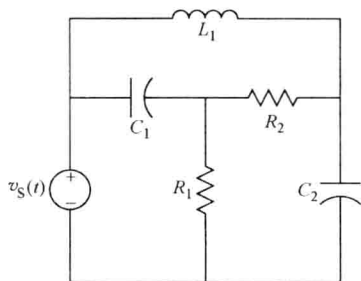
图 9.27 不能简化的电路

### 例 9.15

假设初始条件为 0, 请写出以下电路在  $t \geq 0$  时的节点方程。

解:

在如下重画的电路图中, 将电路底部的节点设为参考节点, 另外有“1”和“2”两个基本节点。记住, 与电压源相连的节点电压已知, 不需要写节点方程。在写节点方程时, 电容电流为  $i_c = C\Delta\dot{v}$ , 其中  $\Delta\dot{v}$  为电容两端电压的导数; 电感电流为  $i_L = \frac{1}{L} \int_0^t \Delta v d\lambda + i_L(0)$ , 其中  $\Delta v$  为电感两端的电压。由于初始值为 0, 因此,  $i_L(0) = 0$ 。



流出节点1的电流之和为

$$C_1(\dot{v}_1 - \dot{v}_s) + \frac{v_1}{R_1} + \frac{v_1 - v_2}{R_2} = 0$$

可以简化为

$$C_1 \dot{v}_1 + \left( \frac{1}{R_1} + \frac{1}{R_2} \right) v_1 - \frac{1}{R_2} v_2 = C_1 \dot{v}_s$$

流出节点2的电流之和为

$$\frac{v_2 - v_1}{R_2} + C_2 \dot{v}_2 + \frac{1}{L_1} \int_0^t (v_2 - v_s) d\lambda = 0$$

通过微分可以将上式节点方程中的积分去掉, 变成

$$\frac{1}{R_2} \dot{v}_2 - \frac{1}{R_2} \dot{v}_1 + C_2 \ddot{v}_2 + \frac{1}{L_1} v_2 - \frac{1}{L_1} v_s = 0$$

重排此式, 可得

$$\ddot{v}_2 + \frac{1}{C_2 R_2} \dot{v}_2 + \frac{1}{C_2 L_1} v_2 - \frac{1}{C_2 R_2} \dot{v}_1 = \frac{1}{C_2 L_1} v_s$$

使用节点电压法时, 每个基本节点产生一个方程。我们可以利用其他节点方程, 通过微分以及各种代换, 将目标节点的方程转化为只包含输入函数和一个未知节点电压的单变量微分方程。最简单的情况是节点方程中只包含一个未知节点的电压而没有其导数。此外, 利用  $D$  算子或者拉普拉斯变换也可以建立单变量微分方程, 详见后面的例 9.17。

例如, 对于例 9.15 的电路, 要求写出节点电压  $v_1$  及其导数和输入项一起组成的单变量微分方程。为了便于分析, 假设各个电路元件的值为:  $R_1 = R_2 = 1\Omega$ ,  $C_1 = C_2 = 1F$ ,  $L_1 = 1H$ , 则有如下两个方程:

$$\dot{v}_1 + 2v_1 - v_2 = \dot{v}_s$$

和

$$\ddot{v}_2 + \dot{v}_2 + v_2 - \dot{v}_1 = v_s$$

从第一个方程求得  $v_2$ , 并计算  $\dot{v}_2$  和  $\ddot{v}_2$ , 即

$$v_2 = \dot{v}_1 + 2v_1 - \dot{v}_s$$

$$\dot{v}_2 = \ddot{v}_1 + 2\dot{v}_1 - \ddot{v}_s$$

$$\ddot{v}_2 = \ddot{\ddot{v}}_1 + 2\ddot{\dot{v}}_1 - \ddot{\ddot{v}}_s$$

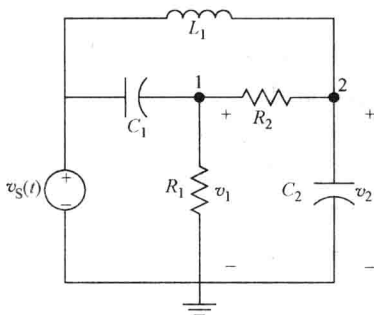
然后代入第二个方程, 则有

$$\ddot{\ddot{v}}_1 + 2\ddot{\dot{v}}_1 - \ddot{\ddot{v}}_s + \ddot{v}_1 + 2\dot{v}_1 - \ddot{v}_s + \dot{v}_1 + 2v_1 - \dot{v}_s - \dot{v}_1 = v_s$$

简化后, 得到

$$\ddot{\ddot{v}}_1 + 3\ddot{\dot{v}}_1 + 2\dot{v}_1 + 2v_1 = \ddot{\ddot{v}}_s + \ddot{\dot{v}}_s + \dot{v}_s - v_s$$

一般, 由单个输出变量和各个输入项组成的微分方程的阶数等于电路中储能元件 (即电容和电感) 的个数。但是, 如果电容电压和电感电流不独立, 也就是电容电压或



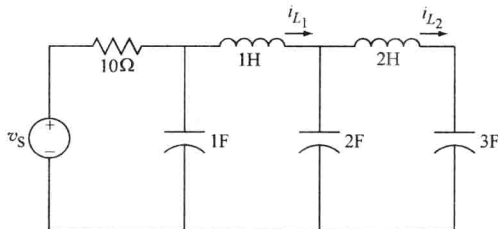


者电感电流与输入之间存在特定的代数运算关系,那么,电路微分方程的阶数就小于电路中电容和电感的个数。当电容直接与电压源相连或者电感直接与电流源相连时就会出现这种情况。

上述例题 9.15 有一个条件,就是假设电路的初始值为 0。如果电路有非 0 初始值,那么,用同样的方法也可以求解。这时只要在节点电压方程中加上电感的初始电流即可,如下例所示。

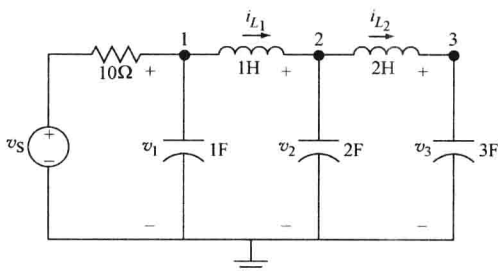
### 例 9.16

假设初始条件为  $i_{L_1}(0) = 8\text{A}$  和  $i_{L_2}(0) = -4\text{A}$ , 请写出以下电路  $t \geq 0$  时的节点方程。



解:

如下重画电路图中,将电路底部的节点设为参考节点,另外有“1”、“2”和“3”3个基本节点。



流出节点 1 的电流之和为

$$\frac{(v_1 - v_s)}{10} + \dot{v}_1 + \int_0^t (v_1 - v_2) d\lambda + 8 = 0$$

其中  $i_{L_1}(0) = 8\text{A}$ 。

流出节点 2 的电流之和为

$$\int_0^t (v_2 - v_1) d\lambda - 8 + 2\dot{v}_2 + \frac{1}{2} \int_0^t (v_2 - v_3) d\lambda - 4 = 0$$

其中  $i_{L_2}(0) = -4\text{A}$ 。注意,由于该初始电感电流的方向是自右向左,与电路图中定义的方向相反,因此,电流为负值。

流出节点 3 的电流之和为

$$\frac{1}{2} \int_0^t (v_3 - v_2) d\lambda + 4 + 3\dot{v}_3 = 0$$

本例题没有通过微分来去除方程中所包含的积分,从而简化各个节点方程,因为这

样会消去方程中的初始电感电流。如果需要写出只包含一个节点电压以及输入的单变量微分方程, 由于电路中共有 5 个储能元件, 因此会产生 5 阶微分方程。要求解这个 5 阶微分方程, 就需要 5 个初始条件, 也就是所选定节点电压在  $t=0$  时的初始值及其 1~4 阶导数值。

### 9.10.1 电路的突变和初始条件

电路中有阶跃输入或者有开关动作时, 就会产生电压和电流的突变。我们已经知道, 求解  $n$  阶微分方程必须有  $n$  个初始条件, 这些初始条件一般就是阶跃输入时或者开关动作时输出变量及其  $n-1$  个导数的值。如果整个时间段上电路的各个输入都已知, 那么, 基于储能元件的能量不能瞬时突变的条件, 就可以直接求得各个初始值, 而不需要在题目中事先给定。几乎所有电路问题都可以假设输入发生在  $t=0$  时刻, 因此, 下面主要讨论  $t=0$  时的输入。不过, 这些方法很容易推广到任意时刻的输入。

储能元件的能量不能瞬间突变, 所以, 电感的电流或者电容的电压不会突变, 在  $t=0^-$  和  $t=0^+$  时这些变量保持同样的值。例如, 例 9.16 中, 给定电感和电容的初始条件时, 就意味着  $i_{L1}(0^-) = i_{L1}(0^+)$ 、 $i_{L2}(0^-) = i_{L2}(0^+)$ ; 以及  $v_1(0^-) = v_1(0^+)$ 、 $v_2(0^-) = v_2(0^+)$ 、 $v_3(0^-) = v_3(0^+)$ 。除了与电感电流和电容电压有关的变量以外, 其他变量在阶跃输入或者开关动作时可以发生突变; 但是, 这些变量的变化必须遵循 KVL 和 KCL。

虽然不是一眼就可以看得出来, 但是, 在  $t=0^-$  和  $t=0^+$  时, 电感电流和电容电压的导数可以发生突变, 因为既然  $v_L(0^+)$  和  $i_C(0^+)$  可以突变, 就有

$$\frac{di_L(0^+)}{dt} = \frac{v_L(0^+)}{L}, \quad \frac{dv_C(0^+)}{dt} = \frac{i_C(0^+)}{C}$$

记住, 要在这些表达式求导之后, 再求导数在  $t=0$  时刻的值, 也就是

$$\left. \frac{di_L(0^+)}{dt} = \frac{di_L(t)}{dt} \right|_{t=0^+}, \quad \left. \frac{dv_C(0^+)}{dt} = \frac{dv_C(t)}{dt} \right|_{t=0^+}$$

在计算与电感电流和电容电压无关的那些变量的导数时, 可能需要用到阶跃输入的导数值, 这里假设  $t=0^+$  时阶跃输入的导数为 0。

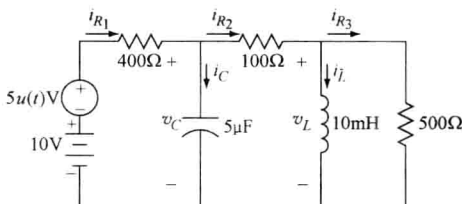
与电感电流和电容电压无关的那些变量在突变时刻的初始条件完全由与电感电流和电容电压相关的变量以及所施加的输入电源决定, 利用 KCL 和 KVL, 或者利用节点电压法, 这些初始值的计算可以分为如下两步:

1) 分析  $t=0^-$  时的电路。记住, 电路处于稳态时, 电感相当于短路, 电容相当于开路。因此, 在稳态的  $t=0^-$  时刻, 将电路中所有电感短路, 将所有电容开路。然后, 计算流过电感的电流和电容两端的电压。

2) 分析  $t=0^+$  时的电路。从  $t=0^-$  到  $t=0^+$  时, 由于电感电流不变, 因此, 可以用电流值为  $t=0^-$  时值的电流源来代替电感。同理, 从  $t=0^-$  到  $t=0^+$  时, 由于电容电压不变, 可以用电压值为  $t=0^-$  时值的电压源来代替电容。于是, 利用这样的电路, 就可以计算出所有求解微分方程所需要的初始条件。

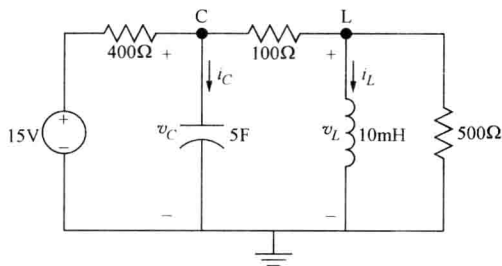
## 例 9.17

请利用节点电压法计算以下电路在  $t \geq 0$  时的电压  $v_C$ 。



解:

将  $t \geq 0$  时的电路重画如下



流出节点 C 的电流之和为

$$\frac{v_C - 15}{400} + 5 \times 10^{-6} \dot{v}_C + \frac{v_C - v_L}{100} = 0$$

可以简化为

$$\dot{v}_C + 2500v_C - 2000v_L = 7500$$

流出节点 L 的电流之和为

$$\frac{v_L - v_C}{100} + \frac{1}{10 \times 10^{-3}} \int_0^t v_L d\lambda + i_L(0^+) + \frac{v_L}{500} = 0$$

将其乘以 500 并微分, 可得

$$6\dot{v}_L + 50 \times 10^3 v_L - 5\dot{v}_C = 0$$

利用  $D$  算子, 将两个微分方程写成

$$Dv_C + 2500v_C - 2000v_L = 7500, \text{ 即 } (D + 2500)v_C - 2000v_L = 7500$$

$$6Dv_L + 50 \times 10^3 v_L - 5Dv_C = 0, \text{ 即 } (6D + 50 \times 10^3)v_L - 5Dv_C = 0$$

于是, 由第一个方程可以解得  $v_L$

$$v_L = (0.5 \times 10^{-3} D + 1.25)v_C - 3.75$$

将此  $v_L$  代入第二个方程, 可得

$$(6D + 50 \times 10^3)v_L - 5Dv_C = (6D + 50 \times 10^3)[(0.5 \times 10^{-3} D + 1.25)v_C - 3.75] - 5Dv_C = 0$$

简化之后, 可得

$$D^2 v_C + 10.417 \times 10^3 D v_C + 20.83 \times 10^6 v_C = 62.5 \times 10^6$$

再将此式转换回时域, 即

$$\ddot{v}_C + 10.417 \times 10^3 \dot{v}_C + 20.83 \times 10^6 v_C = 62.5 \times 10^6$$

该微分方程的特征方程为

$$s^2 + 10.417 \times 10^3 s + 20.833 \times 10^6 = 0$$

其根是  $-7.718 \times 10^3$  和  $-2.7 \times 10^3$ , 于是, 微分方程的自由解是

$$v_{C_n}(t) = K_1 e^{-7.718 \times 10^3 t} + K_2 e^{-2.7 \times 10^3 t} V$$

下面求微分方程的强迫响应。假设  $v_{C_f}(t) = K_3$ , 将其代入微分方程, 有

$$20.833 \times 10^6 K_3 = 62.5 \times 10^6$$

即  $K_3 = 3$ 。于是, 方程的解就是

$$v_C(t) = v_{C_n}(t) + v_{C_f}(t) = K_1 e^{-7.718 \times 10^3 t} + K_2 e^{-2.7 \times 10^3 t} + 3V$$

求  $K_1$  和  $K_2$  时需要初始条件  $v_C(0^+)$  和  $\dot{v}_C(0^+)$ , 它们的值求解如下。当  $t=0^-$  时, 将电路中的电容开路并将电感短路, 得到如下电路:

注意, 由于电感短路, 此时  $v_L(0^-) = 0$ 。并且  $500\Omega$  的电阻也被短路 (图中已省略), 因此  $i_{R_3}(0^-) = 0$ 。利用分压器原理, 有

$$v_C(0^-) = 10 \times \frac{100}{400 + 100} = 2V$$

由欧姆定律可得

$$i_L(0^-) = \frac{10}{100 + 400} = 0.02A$$

由此可知  $i_{R_1}(0^-) = i_{R_2}(0^-) = i_L(0^-) = 0.02A$ 。从  $t=0^-$  到  $t=0^+$  时, 电容电压和电感电流不能突变, 因此,  $v_C(0^+) = v_C(0^-) = 2V$ ,  $i_L(0^+) = i_L(0^-) = 0.02A$ 。

当  $t=0^+$  时, 如下图所示, 将原电路中的电感用电流源代替, 其数值等于  $t=0^-$  时的电感电流; 将电容用电压源代替, 其数值等于  $t=0^-$  时的电容电压。图中标出了参考节点以及 2 个基本节点 C 和 L。还要注意, 此时的输入是  $10 + 5u(t) = 15V$ 。

流出节点 L 的电流之和为

$$\frac{v_L - 2}{100} + 0.02 + \frac{v_L}{500} = 0$$

可得  $v_L(0^+) = 0V$ 。

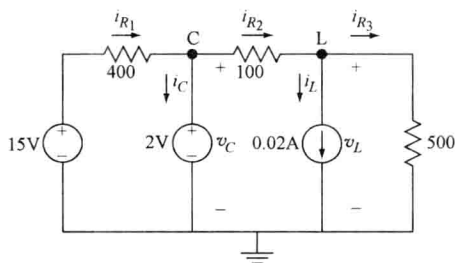
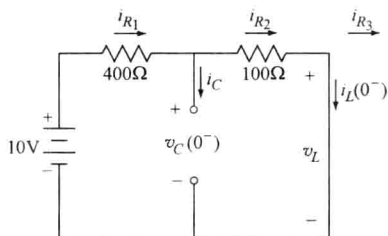
现在, 已知

$$i_{R_3}(0^+) = \frac{v_L(0^+)}{500} = 0A,$$

$$i_{R_2}(0^+) = 0.02 + i_{R_3}(0^+) = 0.02A,$$

$$i_{R_1}(0^+) = \frac{15 - 2}{400} = 0.0325A。$$

要计算  $i_C(0^+)$ , 对节点 C 应用 KCL, 可得



$$-i_{R_1}(0^+) + i_C(0^+) + i_{R_2}(0^+) = 0$$

也就是

$$i_C(0^+) = i_{R_1}(0^+) - i_{R_2}(0^+) = 0.0325 - 0.02 = 0.125\text{ A}$$

下面计算  $\dot{v}_C(0^+)$ 。注意  $i_C(0^+) = C\dot{v}_C(0^+)$ ，也就是

$$\dot{v}_C(0^+) = \frac{i_C(0^+)}{C} = \frac{0.0125}{5 \times 10^{-6}} = 2.5 \times 10^3 \frac{\text{V}}{\text{s}}$$

利用初始条件，求常数  $K_1$  和  $K_2$  如下：

$$v_C(0) = 2 = K_1 + K_2 + 3$$

然后

$$\dot{v}_C(t) = -7.718 \times 10^3 K_1 e^{-7.718 \times 10^3 t} - 2.7 \times 10^3 K_2 e^{-2.7 \times 10^3 t}$$

并且当  $t=0$  时有

$$\dot{v}_C(0) = 2.5 \times 10^3 = -7.718 \times 10^3 K_1 - 2.7 \times 10^3 K_2$$

由此可得  $K_1 = 0.04$ ， $K_2 = -1.04$ 。将这些值代入，可得  $t \geq 0$  时方程的解为

$$v_C(t) = 0.04e^{-7.718 \times 10^3 t} - 1.04e^{-2.7 \times 10^3 t} + 3\text{ V}$$

9.11 运算放大器

前面 9.3 节曾经介绍过依赖于电路中其他电压或者电流的受控电压源和受控电流源，它们都是双端器件。本节将介绍的运算放大器（operational amplifier），通常简称为运放，是一种多端电子器件，它由许多晶体管、电阻和电容构成。其详细工作原理涉及二极管和晶体管的基本知识，本书不做介绍。不过，运算放大器在电路中的工作方式其实就像已经讲过的受控电压源。在生物医学仪器中，从放大器到滤波器，运放电路都是基础。用于生物医学信号检测的放大器必须具有非常高的输入阻抗，这样从被测系统中分流的测量电流才会很少，从而减小对被测系统的影响。生物体的信号一般都很微弱，例如，心电图（ECG）的幅值为 mV 级，而脑电图（EEG）的幅值只有  $\mu\text{V}$  级。另外，仪器中一般都要用模拟滤波器去除信号中的噪声，这种滤波器通常用频域法来设计。

顾名思义，运算放大器就是一个放大器。但是，当它与其他电路元件组合在一起时，却能构成积分器、微分器、加法器和减法器 等电路。图 9.28 所示是一种具有 8 个端口引线的双列封装（Dual-In-line Package，DIP）的运算放大器早期产品。

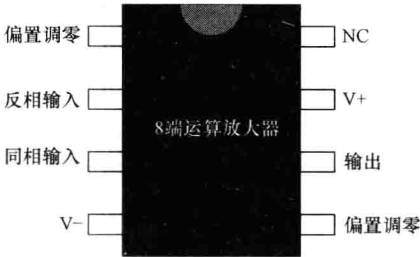


图 9.28 一种 8 端运算放大器元件  
注：NC 端是空的，没有连接。两个偏置调零用于器件的校正（一般不用），V+ 和 V- 是给电路供电的电源端。记住，V+ 和 V- 都是相对于电路的共用接地点的电压。新型运算放大器元件有 10 个或者更多的连接端。

与前面所介绍的电路元件不同, 每个运放有两个输入端和一个输出端, 其符号表示如图 9.29 所示, 两个输入端分别为同相输入端 (+) 和反相输入端 (-), 两个电源端分别标为  $V+$  和  $V-$ 。不过, 运放符号的电源端通常被省略, 因为, 除非运放工作于饱和状态, 否则其电源一般不会影响运放电路的行为。

图 9.30 所示是表示运放输入端和输出端内部特性的模型, 其输入与输出之间的关系为

$$v_o = A(v_p - v_n) \quad (9.29)$$

由于运放输入阻抗很大, 为了便于分析, 可以将输入端视为开路, 这样, 就有了图 9.31 所示的运放模型。

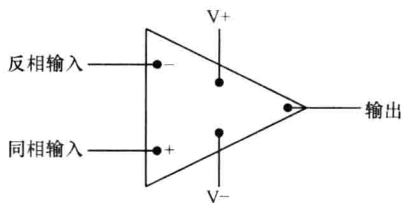


图 9.29 运算放大器的表示符号

运放输入端的内阻  $R$  用开路代替之后, 就有电流  $i_n = i_p = 0\text{A}$ 。但是, 流出运放的电流  $i_A$  并不为 0。由于  $i_A$  未知, 输出节点上一般不能用 KCL, 因此, 在运放电路求解中 KCL 总是用于输入端, 详见以下例题。

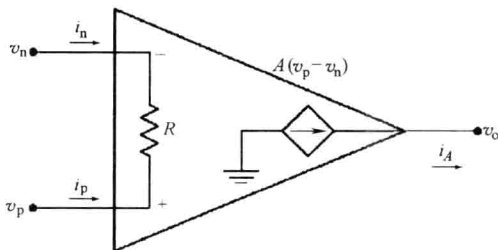


图 9.30 运放内部模型

注: 两个输入端之间的内阻  $R$  非常大, 超过  $1\text{M}\Omega$ 。放大器的增益  $A$  也很大, 超过  $10^4$ 。为了简化, 图中省略了电源端。

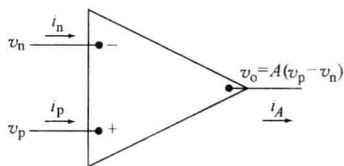


图 9.31 内阻  $R$  视为开路的理想运放模型

### 例 9.18

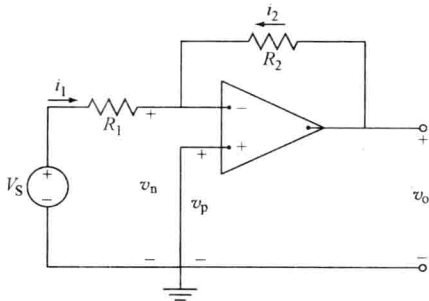
请计算以下电路中的输出电压  $v_o$ 。

解:

由图 9.31 的运放模型可知, 运放输入端没有电流流过, 因此, 在反相输入端应用 KCL, 可得

$$-i_1 - i_2 = 0$$

根据欧姆定律求得电流  $i_1$  和  $i_2$  的表达式



并代入上式, 即得

$$\frac{V_S - v_n}{R_1} + \frac{v_o - v_n}{R_2} = 0$$

将此式两边同乘以  $R_1 R_2$ , 并且合并同类项之后, 可得

$$R_2 V_S = (R_1 + R_2) v_n - R_1 v_o$$

而  $v_o = A(v_p - v_n)$ , 并且运放的同相输入端接地, 即  $v_p = 0$ , 因此

$$v_o = -A v_n$$

也就是

$$v_n = -\frac{v_o}{A}$$

将此  $v_n$  代入以上反相输入端的 KCL 方程, 可得

$$\begin{aligned} R_S V_S &= (R_1 + R_2) \left( -\frac{v_o}{A} \right) - R_1 v_o \\ &= \left( \frac{R_1 + R_2}{A} + R_1 \right) v_o \end{aligned}$$

即

$$v_o = \frac{-R_2 V_S}{\left( R_1 + \frac{R_1 + R_2}{A} \right)}$$

当  $A$  趋于无穷大时, 此式变成

$$v_o = -\frac{R_2}{R_1} V_S$$

有趣的是, 由于电阻  $R_2$  的作用, 即使  $A$  趋于无穷大,  $v_o$  仍然为有限值。这是由于电阻  $R_2$  在输出端与反相输入端之间建立了一条负反馈通路, 这种运放电路称为反相放大器,

其总增益等于  $-\frac{R_2}{R_1}$ 。 ■

具有无穷大增益的运放称为理想运放。由于增益无穷大, 因此, 在运放的输出端和输入端之间必须有反馈通路, 不能直接将输入电压连接在同相和反相两个输入端之间。分析理想运放电路时, 假设  $v_n = v_p$  可以简化电路的分析计算。例如, 对于以上例题 9.18, 由于  $v_p = 0$ ,  $v_n = 0$ , 在反相输入端应用 KCL, 可得

$$-\frac{V_S}{R_1} + \frac{-v_o}{R_2} = 0$$

也就是

$$v_o = -\frac{R_2}{R_1} V_S$$

看,有了假设  $v_n = v_p$ , 电路的分析变得多么简单啊!记住,只要增益  $A$  足够大,并且存在反馈通路,那么,这种假设就成立。

### 例 9.19

请计算以下电路的总增益。

解:

假设运放是理想的,即  $v_n = v_p$ 。由于运放的同相端与输入电压相连,  $v_n = v_p = V_S$ , 运放输入端无电流流过,因此,由 KCL 可得

$$i_1 + i_2 = 0$$

也就是

$$\frac{V_S}{R_1} + \frac{V_S - v_o}{R_2} = 0$$

即

$$v_o = \left( \frac{R_1 + R_2}{R_1} \right) V_S$$

因此,该电路的总增益为

$$\frac{v_o}{V_S} = \frac{R_1 + R_2}{R_1}$$

这是一个用于放大输入信号的同相放大电路,心电图、脑电图、眼电图等临床检测仪器中都要用到这类放大器。下面举例说明加法运放电路。

### 例 9.20

请计算以下电路的总增益。

解:

仍然从  $v_n = v_p$  开始。注意,该运放的同相输入端与地相连,因此,  $v_n = v_p = 0V$ 。在反相输入端节点处应用 KCL, 可得

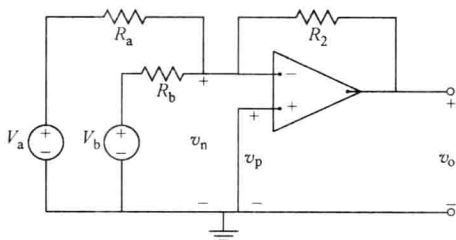
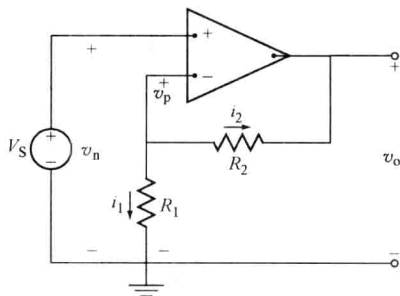
$$-\frac{v_a}{R_a} - \frac{v_b}{R_b} - \frac{v_o}{R_2} = 0$$

也就是

$$v_o = - \left( \frac{R_2}{R_a} V_a + \frac{R_2}{R_b} V_b \right)$$

可见,该电路是各个输入电压的加权求和。这种加法器的一般计算公式是

$$v_o = - \left( \frac{R_2}{R_a} V_a + \frac{R_2}{R_b} V_b + \cdots + \frac{R_2}{R_m} V_m \right)$$





下面例题 9.21 中的运放电路的输出与两个输入电压之差成正比, 这种运放电路称为差动放大器。

### 例 9.21

请计算以下电路的总增益。

解:

假设这是理想运放, 没有电流流入运放的输入端, 并且  $v_n = v_p$ 。在反相输入端节点处应用 KCL, 可得

$$i_a = -i_2$$

也就是

$$\frac{v_n - v_a}{R_1} + \frac{v_n - v_o}{R_2} = 0$$

即

$$(R_1 + R_2)v_n - R_2v_a = R_1v_o$$

该方程有两个未知数, 需要另加一个方程才能求解。在同相输入端应用分压器原理可得

$$v_p = \frac{R_2}{R_1 + R_2}v_b = v_n$$

将其代入以上反相输入端的 KCL 方程, 可得

$$R_2v_b - R_2v_a = R_1v_o$$

即

$$v_o = \frac{R_2}{R_1}(v_b - v_a)$$

可见, 该运放电路作为差动放大器, 它将两个输入信号相减之后, 再乘以权重系数。这种放大器常用于心电图和脑电图等信号的双电极检测, 这种检测方式有两个输入信号。理论上, 差动放大器只检测所需信号, 可以去除环境噪声。因为, 由照明、60Hz 电力线路<sup>⊙</sup>、接地不良以及电源漏电流等因素引起的噪声一般都同时出现在两个输入端上, 是共模信号, 而差动放大器可以抑制共模信号的影响。 ■

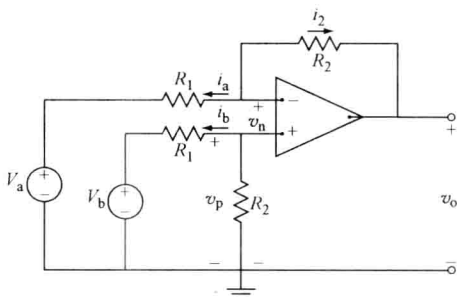
差动放大器的输出响应可以分成差模 (differential-mode) 和共模 (common-mode) 两种成分, 它们的定义分别是

$$v_{dm} = V_b - V_a$$

和

$$v_{cm} = \frac{(V_a + V_b)}{2}$$

⊙ 美国供电系统采用 60Hz 交流电, 而中国和欧洲国家采用 50Hz 交流电。——译者注



可见, 共模信号  $v_{cm}$  是两个输入端信号的平均。如果用  $v_{dm}$  和  $v_{cm}$  来表示两个输入端的电压  $v_a$  和  $v_b$ , 则

$$v_a = v_{cm} - \frac{v_{dm}}{2}$$

且

$$v_b = v_{cm} + \frac{v_{dm}}{2}$$

将它们代入以上例 9.21 的输出响应方程中, 则

$$v_o = \left[ \frac{R_1 R_2 - R_1 R_2}{R_1 (R_1 + R_2)} \right] v_{cm} + \left[ \frac{R_2 (R_1 + R_2) + R_2 (R_1 + R_2)}{2 R_1 (R_1 + R_2)} \right] v_{dm} = A_{cm} v_{cm} + A_{dm} v_{dm}$$

注意, 由于理想运放只放大差模信号, 其共模增益  $A_{cm}$  为 0, 此式中的共模信号项  $A_{cm} v_{cm}$  也为 0。但是, 实际使用的运放是非理想的, 并且电路中各个电阻的实际值也存在误差, 因此, 其共模增益  $A_{cm}$  并不等于 0。所以, 设计差动放大器时, 要尽可能减小共模增益  $A_{cm}$ , 加大差模增益  $A_{dm}$ 。

上述共模信号的抑制称为共模抑制 (common-mode rejection), 共模抑制比 (Common-Mode Rejection Ratio, CMRR) 是差动放大器的一个技术指标, 其计算公式为

$$\text{CMRR} = 20 \lg \left| \frac{A_{dm}}{A_{cm}} \right|$$

CMRR 的值越大越好。用于脑电、心电和肌电等信号检测的差动放大器的共模抑制比一般为 100 ~ 120dB。

总之, 运放电路求解的一般方法是: 先假设运放是理想的, 即  $v_n = v_p$ ; 然后, 在两个输入端应用 KCL 或者 KVL。如果电路比较复杂, 那么, 还要使用其他电路分析方法, 下面举例说明。

### 例 9.22

请计算以下电路的输出电压  $v_o$ 。

解:

利用  $v_n = v_p$ , 在反相输入端应用 KCL 定律, 可得

$$\frac{v_n - v_1}{R_2} + \frac{v_n - v_o}{R_2} = 0$$

即

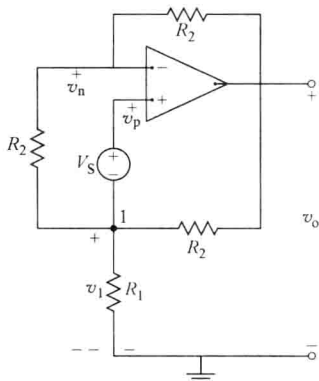
$$2v_n - v_1 - v_o = 0$$

然后, 在“地→节点 1→同相输入端→地”这个回路中应用 KVL, 可得

$$-v_1 - V_S + v_p = 0$$

由于  $v_n = v_p$ , 因此,  $v_n - v_1 = V_S$ 。

现在再对节点 1 应用 KCL, 注意同相输入端没有电流流入, 因此



$$\frac{v_1}{R_1} + \frac{v_1 - v_o}{R_2} + \frac{v_1 - v_n}{R_2} = 0$$

合并式中的同类项之后, 此式变为

$$-R_1 v_n + (2R_1 + R_2) v_1 - R_1 v_o = 0$$

以上3个方程共包含3个未知数, 可以求解。首先, 由反相输入端的 KCL 方程与 KVL 方程求得  $v_1$ :

$$v_1 = v_o - 2V_S$$

然后, 将此  $v_1$  代入反相输入端的 KCL 方程, 得到  $v_n$ :

$$\begin{aligned} v_n &= \frac{1}{2}(v_1 + v_o) \\ &= \frac{1}{2}(V_o - 2V_S + v_o) \\ &= V_o - V_S \end{aligned}$$

最后, 将  $v_1$  和  $v_n$  代入节点 1 的 KCL 方程, 可得

$$\begin{aligned} -R_1 v_n + (2R_1 + R_2) v_1 - R_1 v_o &= 0 \\ -R_1 (v_o - V_S) + (2R_1 + R_2) (v_o - 2V_S) - R_1 v_o &= 0 \end{aligned}$$

简化之后, 有

$$v_o = \frac{(3R_1 + 2R_2)}{R_2} V_S$$

下面两个例题 9.23 和 9.24 分别说明如何利用电容构成微分和积分的运放电路。

### 例 9.23

请计算以下电路的输出电压  $v_o$ 。

**解:**

由于运放同相输入端与地相连, 因此,

$v_p = 0 = v_n$ 。由 KVL 可得

$$v_C = V_S$$

于是

$$i_C = C \frac{dv_C}{dt} = C \frac{dV_S}{dt}$$

没有电流流入运放, 因此,  $i_C = i_R$ 。并且

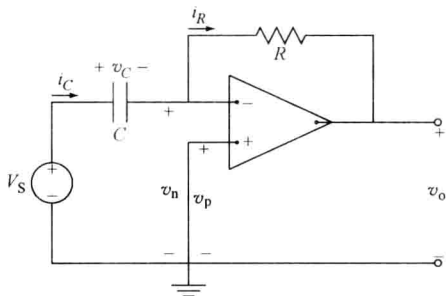
$$i_R = \frac{v_n - v_o}{R} = -\frac{v_o}{R}$$

结合

$$i_C = C \frac{dV_S}{dt} = i_R = -\frac{v_o}{R}$$

可得

$$v_o = -RC \frac{dV_S}{dt}$$



如果  $R = \frac{1}{C}$ , 本电路的输出就是输入的微分, 即  $v_o = -\frac{dV_S}{dt}$ 。 ■

### 例 9.24

请计算以下电路的输出电压  $v_o$ 。

解:

由前述可知,

$$v_n = v_p = 0$$

并且

$$i_C = i_R = \frac{V_S}{R}$$

因此, 有

$$v_C = \frac{1}{C} \int_{-\infty}^t i_C d\lambda = \frac{1}{C} \int_{-\infty}^t \frac{V_S}{R} d\lambda$$

由 KVL 可得

$$v_C + v_o = 0$$

和

$$v_o = -\frac{1}{RC} \int_{-\infty}^t V_S d\lambda$$

如果  $R = \frac{1}{C}$ , 则本电路就是一个积分器, 即

$$v_o = - \int_{-\infty}^t V_S d\lambda$$

下面介绍运算放大器的电压特性

上述几个介绍运放应用的例题中都省略了图 9.29 所示的电源电压, 实际上理想运放的输出电压受到电源电压的限制, 只能处于  $V^-$  与  $V^+$  之间。如果计算出来的输出电压  $v_o$  大于  $V^+$ , 那么,  $v_o$  就会在  $V^+$  处饱和; 如果计算出来的  $v_o$  小于  $V^-$ , 那么,  $v_o$  在  $V^-$  处饱和。如图 9.32 所示是运放的输出电压特性曲线。

### 例 9.25

对于例 9.22 所示的电路, 如果  $V^+ = +10\text{V}$ ,  $V^- = -10\text{V}$ 。请画出电路的输出电压特性曲线。

解:

例 9.22 的解是

$$v_o = \left( \frac{3R_1 + 2R_2}{R_2} \right) V_S$$

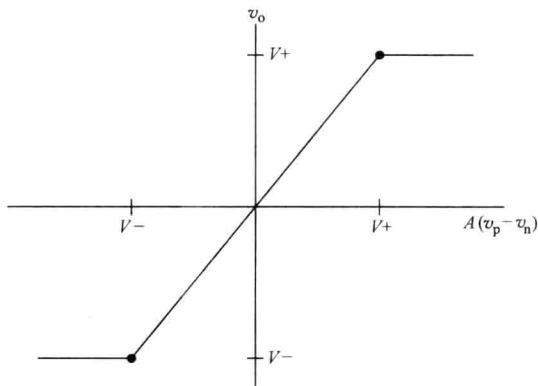
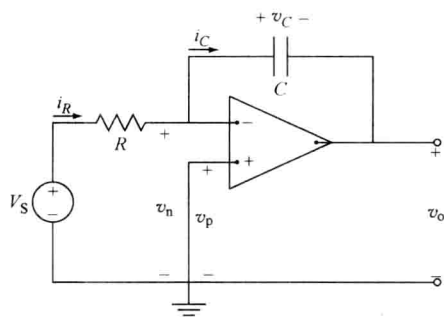
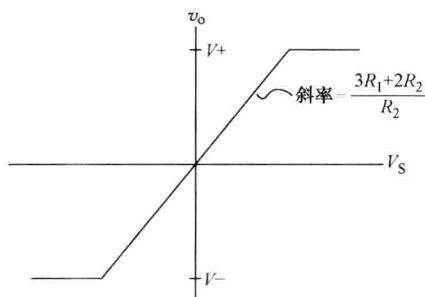


图 9.32 运放的电压特性

其输出电压特性曲线如下, 当  $v_o$  小于  $V^-$  或者大于  $V^+$  时输出饱和。



## 9.12 时变信号

一般仪器设备都采用 50Hz 或者 60Hz 的正弦交流电源供电, 本章后面所述内容多数涉及暂态响应, 不过, 现在讲正弦波电源时, 需要介绍稳态响应, 即强迫响应。它是生物医学仪器实际运行时的状态, 因此, 分析稳态响应可以简化仪器的设计。正弦电压源是一个时变信号, 即

$$v_s = V_m \cos(\omega t + \phi) \quad (9.30)$$

式中  $\omega$ ——角频率, 单位是弧度/秒, 即 rad/s;

$\phi$ ——相角, 单位是弧度或者度;

$V_m$ ——振幅。

正弦波周期  $T$ 、频率  $f$  (单位是 Hz) 和角频率  $\omega$  之间的关系为

$$\omega = 2\pi f = \frac{2\pi}{T} \quad (9.31)$$

方均根 (root mean square, rms) 是正弦波的一个重要指标, 其计算公式为

$$V_{\text{rms}} = \sqrt{\frac{1}{T} \int_0^T V_m^2 \cos^2(\omega t + \phi) dt} \quad (9.32)$$

可以简化为  $V_{\text{rms}} = \frac{V_m}{\sqrt{2}}$ 。

为了考察时变输入  $v_s = V_m \cos(\omega t + \phi)$  产生的输出响应, 如图 9.33 所示, 假设在  $t=0$  时刻电路的开关关闭, 并且电感中没有初始储能。那么, 对该电路应用 KVL, 有

$$L \frac{di}{dt} + iR = V_m \cos(\omega t + \phi)$$

求解此方程可得

$$i = i_n + i_f \\ = \frac{-V_m}{\sqrt{R^2 + \omega^2 L^2}} \cos\left(\phi - \frac{\omega L}{R}\right) e^{-\frac{R}{L}t} + \frac{V_m}{\sqrt{R^2 + \omega^2 L^2}} \cos\left(\omega t + \phi - \frac{\omega L}{R}\right)$$

此式第一项  $i_n$  是自由响应, 当  $t$  趋于无穷大时, 该项趋于 0; 第二项  $i_f$  是强迫响应, 它与输入信号具有同样的形式, 也是一个具有相同角频率  $\omega$  的正弦波, 但是其相角和振幅与输入信号不同。生物医学仪器应用中一般只要求解电路的稳态响应, 在这里也就是只求幅值和相角两个未知量。本节下面就介绍利用相量

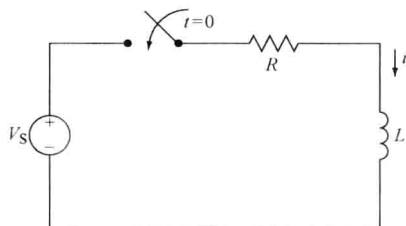


图 9.33 含正弦波输入信号的 RL 电路

(phasor) 求解这两个未知量的方法。

### 9.12.1 相量

相量是一个复数, 它包括正弦波的振幅和相角, 式 (9.30) 的正弦电压信号用相量表示就是

$$V = V_m e^{j\phi} = V_m \angle \phi \quad (9.33)$$

在实际应用中, 此式指数中相角的单位是弧度, 而符号  $\angle \phi$  中的相角单位是 $^\circ$ 。在时域和相量域之间进行信号变换时, 要用到复数代数, 也要用到直角坐标形式的相量表示, 即

$$V = V_m (\cos \phi + j \sin \phi) \quad (9.34)$$

### 9.12.2 无源电路元件的相量表示法

要使用相量法求无源电路元件的稳态解, 首先必须建立电阻、电感和电容这些无源元件的电压和电流公式的相量表示。假设正弦波电流为

$$i = I_m \cos(\omega t + \theta)$$

其相量表示为

$$I = I_m \angle \theta = I_m e^{j\theta}$$

对于电阻, 其电压就是

$$v = IR = RI_m \cos(\omega t + \theta)$$

$v$  的相量表示就是

$$V = RI_m \angle \theta = RI \quad (9.35)$$

注意, 电阻的相量电流和相量电压之间没有相移。

对于电感, 则有

$$v = L \frac{di}{dt} = -\omega LI_m \sin(\omega t + \theta) = -\omega LI_m \cos(\omega t + \theta - 90^\circ)$$

该电压  $v$  的相量就是

$$\begin{aligned} V &= -\omega LI_m \angle \theta - 90^\circ = -\omega LI_m e^{j(\theta - 90^\circ)} \\ &= -\omega LI_m e^{j\theta} e^{-j90^\circ} = -\omega LI_m e^{j\theta} (-j) \\ &= j\omega LI_m e^{j\theta} \\ &= j\omega LI \end{aligned} \quad (9.36)$$

注意, 电感的电流与电压之间有  $90^\circ$  的相移, 即电流滞后电压  $90^\circ$ 。

对于电容, 假设正弦波电压为  $v = V_m \cos(\omega t + \theta)$ , 其相量为  $V = V_m \angle \theta$ , 则电流为

$$\begin{aligned} i &= C \frac{dv}{dt} = C \frac{d}{dt} [V_m \cos(\omega t + \theta)] \\ &= -CV_m \omega \sin(\omega t + \theta) = -CV_m \omega \cos(\omega t + \theta - 90^\circ) \end{aligned}$$

该电流  $i$  的相量就是

$$\begin{aligned}
 I &= -\omega CV_m \angle \theta - 90^\circ = -\omega CV_m e^{j\theta} e^{-j90^\circ} \\
 &= -\omega CV_m e^{j\theta} [\cos(90^\circ) - j\sin(90^\circ)] \\
 &= j\omega CV_m e^{j\theta} \\
 &= j\omega CV
 \end{aligned}$$

于是, 电压与电流关系的相量表示为

$$V = \frac{1}{j\omega C} I = \frac{-j}{\omega C} I \quad (9.37)$$

注意, 电容的电流与电压之间也有  $90^\circ$  的相移, 是电压滞后电流  $90^\circ$ 。

式 (9.35) ~ 式 (9.37) 都有  $V = ZI$  的形式, 其中  $Z$  代表电路元件的阻抗, 通常是一个复数, 单位为  $\Omega$ 。电阻的阻抗是  $R$ , 电感的阻抗是  $j\omega L$ , 电容的阻抗则是  $\frac{-j}{\omega C}$ 。阻抗是个复数, 它不是相量, 虽然看起来像相量。阻抗的虚部称为电抗。

现在可以将整个电路图从时域转换到相量域了。例如, 图 9.34 所示的电路转换到相量域就是图 9.35, 也就是把每个无源元件用阻抗表示, 电源用相量表示。其中, 电压源的转换为

$$V_S = 100\sin 500t = 100\cos(500t - 90^\circ) \text{ mV} \leftrightarrow 500 \angle -90^\circ$$

电容的转换为

$$0.5\mu\text{F} \leftrightarrow \frac{-j}{\omega C} = -j4000\Omega$$

电阻的转换为

$$1000\Omega \leftrightarrow 1000\Omega$$

电感的转换为

$$200\text{mH} \leftrightarrow j\omega L = j100\Omega$$

将每个元件用相量和阻抗等效就形成了图 9.35 所示的相量电路。

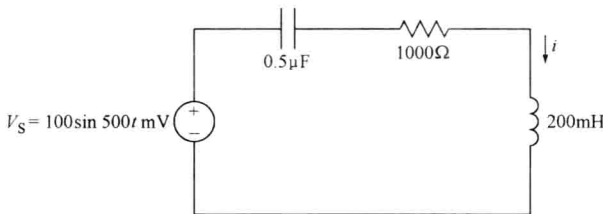


图 9.34 电路图

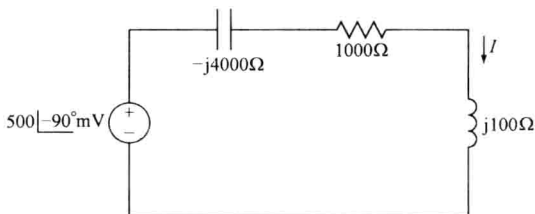


图 9.35 图 9.34 的相量和阻抗等效电路

### 9.12.3 基尔霍夫定律等电路分析法的相量形式

所有本章前面所述的基尔霍夫电流定律和电压定律以及其他方法都可以用于相量域。在相量域中, KVL 就是任意闭合回路的相量电压之和为 0, 即

$$\sum V_i = 0 \quad (9.38)$$

KCL 就是流出任意节点的电流之和为 0, 即

$$\sum I = 0 \quad (9.39)$$

串联阻抗为

$$Z = Z_1 + \cdots + Z_n \quad (9.40)$$

并联阻抗为

$$Z = \frac{1}{\frac{1}{Z_1} + \cdots + \frac{1}{Z_n}} \quad (9.41)$$

节点电压法、叠加原理以及戴维南等效电路也都可以用于相量域。下面两个例题 9.26 和 9.27 说明了这些方法的应用, 最困难的是需要使用复数代数。

#### 例 9.26

请计算图 9.35 所示电路的稳态响应电流  $i_o$ 。

解:

该电路的阻抗为

$$Z = -j4000 + 1000 + j100 = 1000 - j3900\Omega$$

应用欧姆定律, 可得

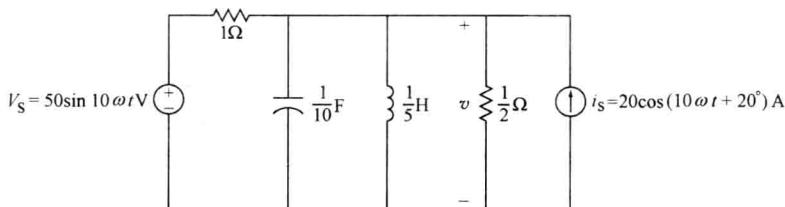
$$I = \frac{V}{Z} = \frac{0.5 \angle -90^\circ}{1000 - j3900} = \frac{0.5 \angle -90^\circ}{4026 \angle -76^\circ} = 124 \angle -14^\circ \mu\text{A}$$

将其变换到时域, 可得稳态电流为

$$i = 124 \cos(500t - 14^\circ) \mu\text{A}$$

#### 例 9.27

请利用节点电压法计算以下电路的稳态响应电压  $v_o$ 。



解:

首先将电路元件转化为相量表示的阻抗。其中, 电容和电感的阻抗分别为

$$\frac{1}{10}\text{F} \leftrightarrow \frac{-j}{\omega C} = -j\Omega$$



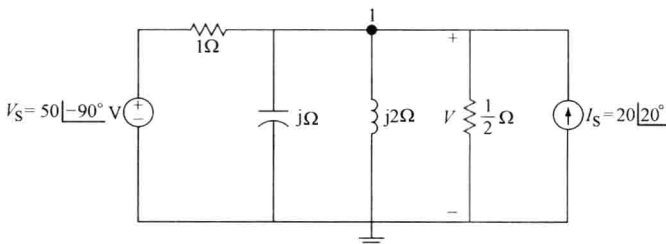
$$\frac{1}{5}H \leftrightarrow j\omega L = j2\Omega$$

电压源  $v_s$  和电流源  $i_s$  的相量表示为

$$v_s = 50\sin\omega t V \leftrightarrow V_s = 50\angle -90^\circ V$$

$$i_s = 20\cos(\omega t + 20^\circ) A \leftrightarrow I_s = 20\angle 20^\circ$$

两个电阻保持原值。于是, 电路的相量图如下所示, 电路下方节点为地。



写出节点 1 的节点电压方程, 即

$$V - 50\angle -90^\circ + \frac{V}{-j} + \frac{V}{j2} + 2V - 20\angle 20^\circ = 0$$

合并其同类项, 转化成直角坐标形式, 再转化成极坐标形式, 有

$$V\left(3 + \frac{j}{2}\right) = 50\angle -90^\circ + 20\angle 20^\circ$$

$$V\left(3 + \frac{j}{2}\right) = -50j + 18.8 + j6.8 = 18.8 - j43.2$$

$$V \times 3.04\angle 9.5^\circ = 47.1\angle -66.5^\circ$$

$$V = \frac{47.1\angle -66.5^\circ}{3.04\angle 9.5^\circ} = 15.5\angle -76^\circ$$

于是, 电压  $v$  的稳态解就是

$$v = 15.6\cos(10t - 76^\circ) V$$

## 9.13 有源模拟滤波器

本节将介绍几种运算放大器构成的有源模拟滤波器。只用电阻、电容和电感这些无源元件构成的滤波器称为无源滤波器, 用运放构成的滤波器则称为有源滤波器。为了改善无源模拟滤波器的性能, 通常需要在滤波器的输出端增加负载阻抗。但是, 如果用了运放, 那么, 不增加滤波器输出端的负载就能够很好地调控滤波器的性能。滤波器用于去除测量信号中所含的噪声, 在频域中设计滤波器可以去除噪声, 同时保留所需的被测信号。

图 9.36 所示是理想低通、高通、带通和陷波 4 种滤波器的频域特性, 其中, 信号可以通过的频率范围称为通带, 被滤波器去除的频率范围称为阻带。滤波器的幅值

(即  $|H(j\omega)|$ ) 在通带内为 1, 在阻带内为 0。低通滤波器允许频率小于  $\omega_1$  的缓慢变化的信号通过滤波器, 而任何频率大于  $\omega_1$  的信号和噪声则被去除。高通滤波器允许频率大于  $\omega_2$  的快速变化信号通过滤波器, 任何频率小于  $\omega_2$  的信号和噪声则被去除。带通滤波器则允许频率大于  $\omega_1$  且小于  $\omega_2$  的信号通过, 此范围之外的任何信号和噪声被去除。陷波滤波器则允许频率小于  $\omega_1$  或者大于  $\omega_2$  的信号通过, 其他频率的信号和噪声被去除。频率  $\omega_1$  和  $\omega_2$  通常称为滤波器的截止频率。

但是, 实际使用的滤波器不可能有这样的理想特性, 如图 9.37 所示, 滤波器在通带到阻带之间都有过渡阶段, 并不是突变的, 本书第 11 章会介绍其中的原因。此外, 有时使用同一个电路同时实现放大和滤波两种功能是很方便的, 因此, 滤波器的最大幅值并不一定是 1, 可以根据需要设定为任意值  $M$ 。

测定滤波器的性能时, 在滤波器输入端接入正弦信号, 并在整个需要测试的频率范围内, 逐渐改变正弦波的频率, 同时测量各个离散频率点

上的滤波器输出幅值。 $|H(j\omega)| = \frac{M}{\sqrt{2}}$  时的频率即为截止频率。

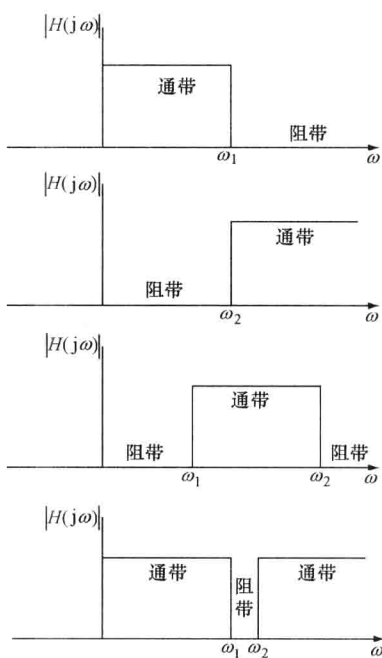


图 9.36 4 种理想滤波器的幅频特性  
注: 从上到下为低通、高通、带通和陷波滤波器。

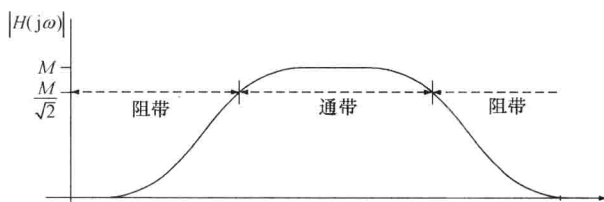


图 9.37 实际带通滤波器的幅频特性

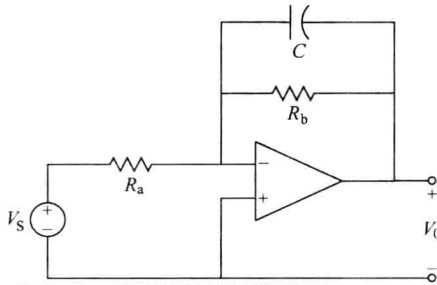
注: 幅值  $M$  并不一定为 1, 通带定义为幅值大于  $\frac{M}{\sqrt{2}}$  的频率范围

### 例 9.28

请将下图所示低通滤波器电路的增益设计为 5, 截止频率设计为  $500\text{rad/s}$ 。

解:

将电路中的运放看做理想的, 注意, 其同相端接地, 所以, 反相端也相当于接地。可见该滤波器的工作原理是: 对于低频信号, 电容相当于开路, 电路简化为反相放大器, 可以通过低频信号; 对于高频信号, 电容相当于短路, 将运放输出端与反相输入端



相连,也就是与地相连,因此,不能通过高频信号。

如右图所示,先将电路转换到相量域,再用相量法求解。

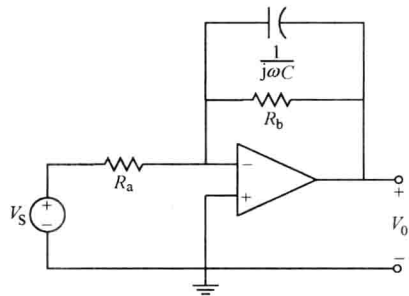
此电路中,流出反相输入端节点的电流之和为

$$-\frac{V_s}{R_a} - \frac{V_0}{\frac{1}{j\omega C}} - \frac{V_0}{R_b} = 0$$

重排该方程并合并同类项,可得

$$-V_0 \left( \frac{1}{\frac{1}{j\omega C}} + \frac{1}{R_b} \right) = \frac{V_s}{R_a}$$

也就是



$$\begin{aligned} \frac{V_0}{V_s} &= -\frac{1}{R_a} \left( \frac{1}{\frac{1}{j\omega C} + \frac{1}{R_b}} \right) = -\frac{1}{R_a} \left( \frac{1}{j\omega C + \frac{1}{R_b}} \right) \\ \frac{V_0}{V_s} &= -\frac{1}{R_a C} \left( \frac{1}{j\omega + \frac{1}{R_b C}} \right) \end{aligned}$$

与微分方程的特征方程原理相似,截止频率定义为  $\omega_c = \frac{1}{R_b C}$  (也就是上式括号内的分母设为0),因此,要使  $\omega_c = 500 \frac{\text{rad}}{\text{s}}$ ,那么  $\frac{1}{R_b C} = 500$ 。另一方面,截止频率也定义为

$|H(j\omega)| = \frac{M}{\sqrt{2}}$ , 本题要求  $M=5$ , 而  $V_0/V_s$  的幅值为

$$\left| \frac{V_0}{V_s} \right| = \frac{\frac{1}{R_a C}}{\sqrt{\omega^2 + \left( \frac{1}{R_b C} \right)^2}}$$

在截止频率处有

$$\frac{5}{\sqrt{2}} = \frac{\frac{1}{R_a C}}{\sqrt{\omega_c^2 + \left( \frac{1}{R_b C} \right)^2}}$$

代入  $\omega_c = 500 \frac{\text{rad}}{\text{s}}$  和  $\frac{1}{R_b C} = 500$ , 该式变为

$$\frac{5}{\sqrt{2}} = \frac{\frac{1}{R_a C}}{\sqrt{\omega_c^2 + \left(\frac{1}{R_b C}\right)^2}} = \frac{\frac{1}{R_a C}}{\sqrt{500^2 + 500^2}} = \frac{\frac{1}{R_a C}}{500\sqrt{2}}$$

由此可得

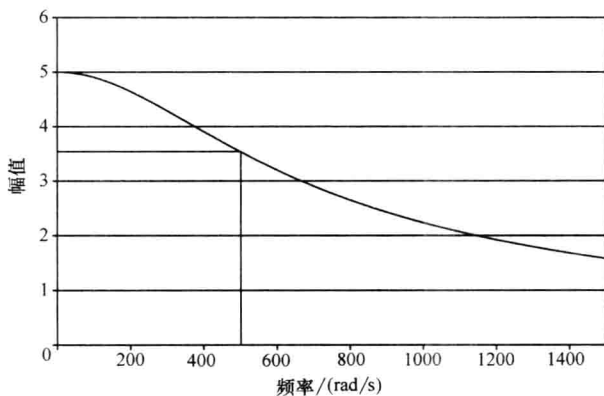
$$R_a C = \frac{1}{2500}$$

由于两个方程 ( $R_a C = \frac{1}{2500}$  和  $\frac{1}{R_b C} = 500$ ) 中包含了 3 个未知量, 因此, 本题有无穷多个解。可以选择便利的元件值, 例如选  $R_a = 20\text{k}\Omega$ , 则其他两个元件的值就是

$$C = \frac{1}{2500 \times R_a} = \frac{1}{2500 \times 20000} = 20\text{nF}$$

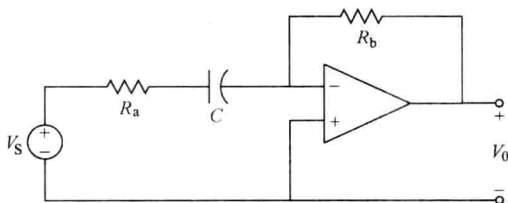
$$R_b = \frac{1}{500 \times C} = \frac{1}{500 \times 20 \times 10^{-9}} = 100\text{k}\Omega$$

下图显示了该电路的幅值随频率变化的曲线。可见, 截止频率  $500\text{rad/s}$  处的幅值等于 3.53, 符合设计要求。



### 例 9.29

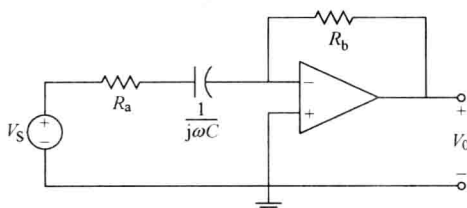
请将下图所示高通滤波器电路的增益设计为 5, 截止频率设计为  $100\text{rad/s}$ 。



解:

假设运放是理想的, 由于其同相端接地, 反相端也相当于接地。可见该滤波器的工

作原理是：对于低频信号，电容相当于开路，输入电压与反相输入端相当于断开，没有输入，输出也就为0；对于高频信号，电容相当于短路，于是电路简化为反相放大器，因此高频信号可以通过。与前面的例9.28相似，如下图所示，先将电路转换到相量域，再用相量法求解。



此电路中，流出反相输入端节点的电流之和为

$$-\frac{V_s}{R_a + \frac{1}{j\omega C}} - \frac{V_0}{R_b} = 0$$

重排方程可得

$$\frac{V_0}{V_s} = -\frac{R_b}{R_a + \frac{1}{j\omega C}} = -\frac{R_b}{R_a} \frac{j\omega}{j\omega + \frac{1}{R_a C}}$$

$\frac{V_0}{V_s}$  的幅值为

$$\left| \frac{V_0}{V_s} \right| = \frac{R_b}{R_a} \frac{\omega}{\sqrt{\omega^2 + \left( \frac{1}{R_a C} \right)^2}}$$

在截止频率  $\omega_c = 100 \text{ rad/s} = \frac{1}{R_a C}$  处，有

$$\frac{5}{\sqrt{2}} = \frac{R_b}{R_a} \frac{\omega_c}{\sqrt{\omega_c^2 + \left( \frac{1}{R_a C} \right)^2}}$$

将  $\frac{1}{R_a C} = 100$  和  $\omega_c = 100 \text{ rad/s}$  代入，可得

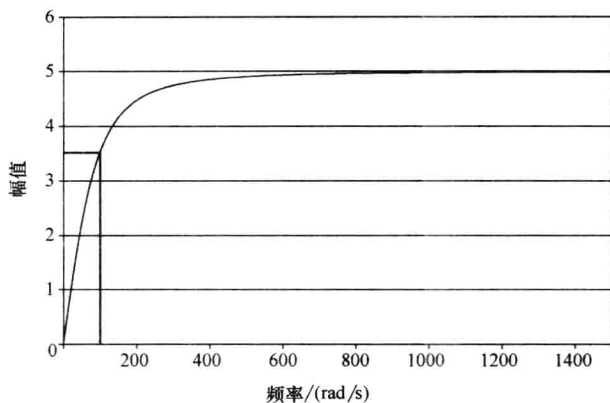
$$\frac{5}{\sqrt{2}} = \frac{R_b}{R_a} \frac{\omega_c}{\sqrt{\omega_c^2 + \left( \frac{1}{R_a C} \right)^2}} = \frac{R_b}{R_a} \frac{\frac{1}{R_a C}}{\sqrt{100^2 + 100^2}} = \frac{R_b}{R_a} \frac{100}{100} = \frac{R_b}{\sqrt{2} R_a}$$

于是  $\frac{R_b}{R_a} = 5$ 。由于两个方程中包含了2个未知量，因此，如果选定其中一个元件的值，例如  $R_b = 20 \text{ k}\Omega$ ，就可以计算其他两个元件的值，即

$$R_a = \frac{R_b}{5} = \frac{20000}{5} = 4 \text{ k}\Omega$$

$$C = \frac{1}{100R_a} = \frac{1}{100 \times 4000} = 2.5 \mu\text{F}$$

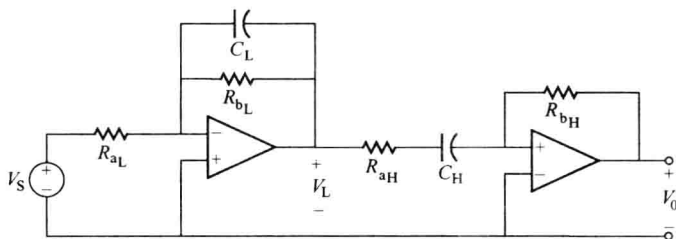
下图显示了此电路的幅值特性随频率变化的曲线。可见，截止频率  $100\text{rad/s}$  处的幅值等于 3.53，符合设计要求。



下面的例题 9.30 说明了具有两个截止频率的带通滤波器的设计方法。

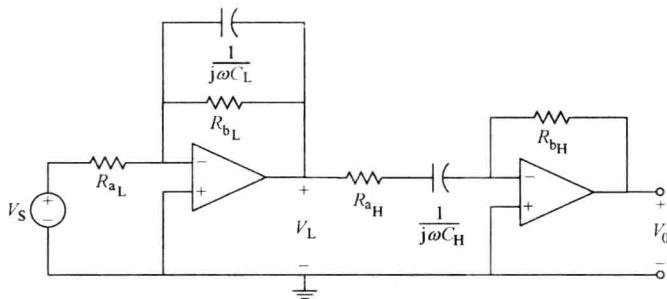
### 例 9.30

请将下图所示带通滤波器电路的增益设计为 5，通带频率范围设计为  $100 \sim 500\text{rad/s}$ 。



解：

该滤波器的设计也在相量域进行，并且可以利用前两个例题的计算结果。注意，左边的运放组成了一个低通滤波器电路，右边的运放则组成了一个高通滤波器，两个滤波器级联形成一个带通滤波器。实际上，通过运放的级联可以设计各种不同类型的滤波器。下图是相量域的电路图。



与前两个例题一样, 本电路两个运放的同相端都接地, 这意味着两个反相端也相当于接地。流出这两个反相输入端节点的电流之和分别为

$$-\frac{V_S}{R_{a_L}} - \frac{V_L}{\frac{1}{j\omega C_L}} - \frac{V_L}{R_{b_L}} = 0$$

和

$$-\frac{V_L}{R_{a_H} + \frac{1}{j\omega C_H}} - \frac{V_0}{R_{b_H}} = 0$$

求解第一个方程, 可得  $V_L$  为

$$V_L = -\frac{1}{R_{a_L} C_L} \left( \frac{1}{j\omega + \frac{1}{R_{b_L} C_L}} \right) V_S$$

求解第二个方程, 可得  $V_0$  为

$$V_0 = -\frac{R_{b_H}}{R_{a_H}} \frac{j\omega}{j\omega + \frac{1}{R_{a_H} C_H}} V_L$$

将  $V_L$  代入此方程, 可得

$$V_0 = \frac{R_{b_H}}{R_{a_H}} \frac{j\omega}{j\omega + \frac{1}{R_{a_H} C_H}} \times \frac{1}{R_{a_L} C_L} \left( \frac{1}{j\omega + \frac{1}{R_{b_L} C_L}} \right) V_S$$

这个解其实是两个滤波器各自解的乘积。滤波器的幅值为

$$\left| \frac{V_0}{V_S} \right| = \frac{R_{b_H}}{R_{a_H}} \frac{\omega}{\sqrt{\omega^2 + \left( \frac{1}{R_{a_H} C_H} \right)^2}} \frac{\frac{1}{R_{a_L} C_L}}{\sqrt{\omega^2 + \left( \frac{1}{R_{b_L} C_L} \right)^2}}$$

根据给定的两个截止频率可以产生如下两个方程

$$\omega_{c_H} = \frac{1}{R_{a_H} C_H} = 100 \text{ rad/s}$$

和

$$\omega_{c_L} = \frac{1}{R_{b_L} C_L} = 500 \text{ rad/s}$$

每个截止频率处幅值都是  $\frac{5}{\sqrt{2}}$ , 因此, 在  $\omega_{c_H} = 100 \text{ rad/s}$  处有

$$\frac{5}{\sqrt{2}} = \frac{R_{b_H}}{R_{a_H}} \frac{\omega_{c_H}}{\sqrt{\omega_{c_H}^2 + \left( \frac{1}{R_{a_H} C_H} \right)^2}} \frac{\frac{1}{R_{a_L} C_L}}{\sqrt{\omega_{c_H}^2 + \left( \frac{1}{R_{b_L} C_L} \right)^2}}$$

$$= \frac{R_{b_H}}{R_{a_H}} \frac{100}{\sqrt{100^2 + 100^2}} \frac{\frac{1}{R_{a_L} C_L}}{\sqrt{100^2 + 500^2}}$$

也就是

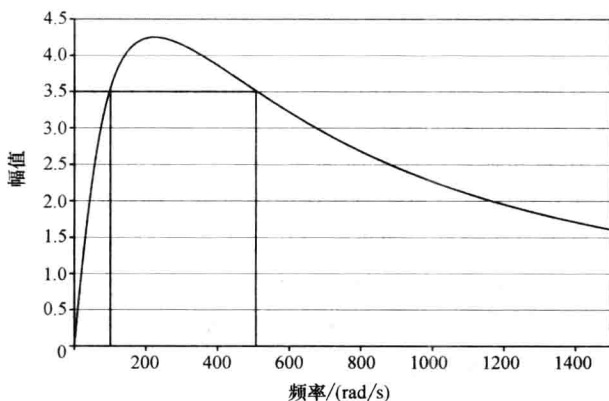
$$500 \sqrt{26} = \frac{R_{b_H}}{R_{a_H} R_{a_L} C_L}$$

由另一个截止频率可以得到同样的方程。现在共有如下3个方程： $\frac{1}{R_{a_H} C_H} = 100$ 、 $\frac{1}{R_{b_L} C_L} = 500$  和  $500 \sqrt{26} = \frac{R_{b_H}}{R_{a_H} R_{a_L} C_L}$ ；但有6个未知量。如果选定  $R_{b_L} = 100\text{k}\Omega$  且  $R_{a_H} = 100\text{k}\Omega$ ，就可以求得  $C_L = \frac{1}{500 R_{b_L}} = 20\text{nF}$  和  $C_H = \frac{1}{100 R_{a_H}} = 0.1\mu\text{F}$ 。然后，由  $500 \sqrt{26} = \frac{R_{b_H}}{R_{a_H} R_{a_L} C_L}$  可得

$$\frac{R_{b_H}}{R_{a_L}} = 500 \sqrt{26} C_L R_{a_H} = 5.099$$

因此，如果再选定一个电阻值，例如  $R_{a_L} = 10\text{k}\Omega$ ，就可得  $R_{b_H} = 50.099\text{k}\Omega$ 。

下图显示了此电路的幅频特性曲线。可见，截止频率  $100\text{ rad/s}$  和  $500\text{ rad/s}$  处的幅值都等于 3.53，符合设计要求。



由此可见，例 9.28 ~ 例 9.30 中没有一个滤波器具有图 9.36 所示的理想特性。如果将同样的滤波器级联起来，也就是把前一个滤波器的输出连接到后一个滤波器的输入上，以此类推，那么，可以使低通滤波器通带到阻带的过渡期变得较为陡峭，改善滤波器的特性。级联的滤波器越多，过渡期的特性就越好。此时，整个级联滤波器的幅值就等于各个滤波器的幅值之积。

虽然级联的方法可以有效地改善滤波器的特性，但是，这种滤波器通带内的幅值不再是恒定不变的常量。除了这种简单的级联滤波器以外，还有性能更好的滤波器，例如巴特沃斯滤波器 (Butterworth filter)。图 9.38 所示就是两个巴特沃斯滤波器，有关这两



个滤波器的分析计算作为习题 54 和 55 留给读者。

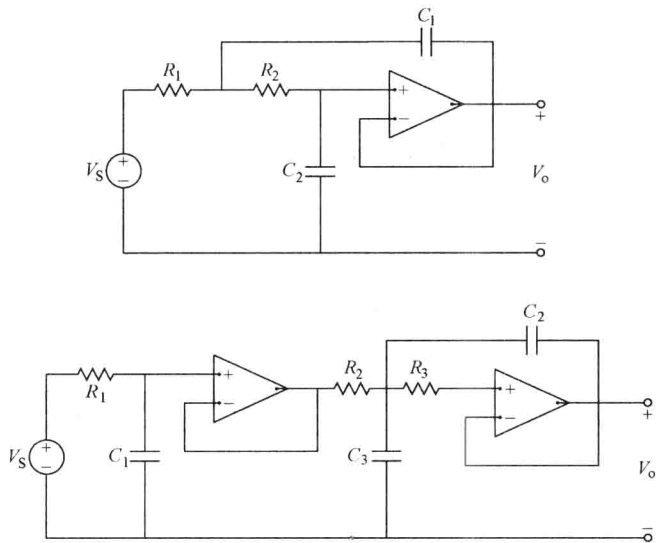


图 9.38 上图和下图分别是二阶和三阶巴特沃斯低通滤波器

## 9.14 生物医学仪器的设计

图 9.2 显示了生物医学仪器系统的各个主要组成部分，这类仪器的用途是监测传感器的输出信号并提取其中的有用信息。

仪器系统中的模-数转换器将连续时间信号转化成离散时间信号，并将数据存储在计算机内存中。也就是将连续时间波形采样成为每隔  $t_k$  秒获取一个的数据序列，同时也将波形幅值的模拟量变成数字量，即将数据的幅值变成  $2^n$  个离散值之一<sup>⊖</sup>。这样，连续时间波形就转化成了一个计算机字节，存放在内存中。要完整地采集连续时间信号，就必须谨慎选择采样时间间隔  $t_k$ ，以免丢失信息。根据通信理论中的采样定理，最小采样频率必须是信号所含最高频率的 2 倍。实际应用中，通常使用信号最高频率的 5 ~ 10 倍作为采样频率，以便减少混叠引起的误差，获得更高的采样精度。

### 9.14.1 噪声

生物医学系统的测量信号中不可避免地总是含有噪声，电源线路、无线电发射信号和电视机的电磁波等外界噪声源都会带来干扰噪声。通过仔细设计电路的连接结构，减小耦合效应，可以有效地减少这些噪声干扰。

噪声的来源有很多，电力线（50Hz 或 60Hz）、荧光灯、AM/FM 无线电广播、计算

⊖  $n$  为数字量的二进制位数。——译者注

机的时钟振荡器、实验室设备、手机等都会引入干扰噪声。噪声源的电磁辐射通过电容和电感的耦合进入放大器电路或者进入人体,甚至人体神经纤维上传导的动作电位也会在传感器和放大器的接口处产生噪声。在 A-D 转换器的输入端使用滤波器可以减少这些噪声,提高信噪比 (Signal-to-Noise Ratio, SNR)。

在滤波器设计中,放大器的直流偏置、传感器的漂移、温漂等产生的低频噪声可以用截止频率高于噪声频率但低于生物信号频率的高通滤波器来消除。神经传导、无线电广播、计算机、手机等产生的高频噪声则可以用截止频率低于噪声频率但高于生物信号频率的低通滤波器来消除。不过,电力线噪声在生物信号监测中却是一个令人头痛的问题,因为 50Hz 或 60Hz 频率通常在被测生物信号的频率范围之内。一般需要使用陷波滤波器来消除这种噪声,陷波频率设定为 50Hz 或者 60Hz,截止频率则位于陷波频率两边数 Hz 处。

还有另一类噪声被称为固有噪声,它来自电路元器件的随机过程,这种随机过程是元器件的工作基础。如果电路设计得比较好,可以减小这种噪声。但是,固有噪声只能减小,不可能彻底消除。低通滤波器可以减少高频噪声,但是,在生物信号频率范围内的噪声成分就很难用滤波方法去除。

### 9.14.2 计算机

计算机有 3 个基本组成部件:中央处理器 (Central Processing Unit, CPU)、算术逻辑运算器 (Arithmetic and Logic Unit, ALU) 和内存 (memory)。CPU 通过执行程序指令,指挥计算机中所有其他部件的运行,并且控制运行过程中各部件之间的信息流通;ALU 则完成数据之间的加、减、乘、除等各种算术运算以及与、或、非等逻辑运算。

计算机内存有只读存储器 (Read Only Memory, ROM) 和随机存取存储器 (Random Access Memory, RAM) 两种。ROM 是一种永久性保存编程内容的集成电路,它存储 CPU 运行所需的最基本程序,用户不能改变其内容;RAM 则用于信息的暂时保存,用户可以改变其内容。用户编写的程序、输入数据、处理结果等都保存在 RAM 中。

计算机使用二进制数,它用“1”表示高电平信号,用“0”表示低电平信号。数据都组合成 8 位二进制数的形式,称为“字节”,用于编码各种信息。两个字节的组合被称为“字”。如今使用的多数台式计算机都是 32 位系统,也就是总共可以组合产生约  $4.29 \times 10^9$  个地址编码,用于访问内存空间。目前的新型计算机则是 64 位系统,可以编码  $1.8447 \times 10^{19}$  个内存地址。而最早的计算机却只是 8 位系统,仅能访问 256 个内存地址。

计算机程序设计语言将指令和数据与特定的一组二进制码联系起来,每种特定排列的编码只表示一种含义。字母和其他符号 (如标点符号等) 也用特定的编码来表示,如 ASCII 码就是其中一种编码字符的方法,其全称是“美国标准信息交换码” (American Standard Code for Information Exchange)。ASCII 码提供了一种不同计算机类型之间信息交换的通用标准。将文字处理文件保存为文本文件 (即 txt 文件) 时使用的就是 ASCII 码。通常,不同的软件使用不同的二进制格式保存文字处理文件,但是,几乎所

有数据处理软件都可以导入或者导出 ASCII 码格式的数据文件。

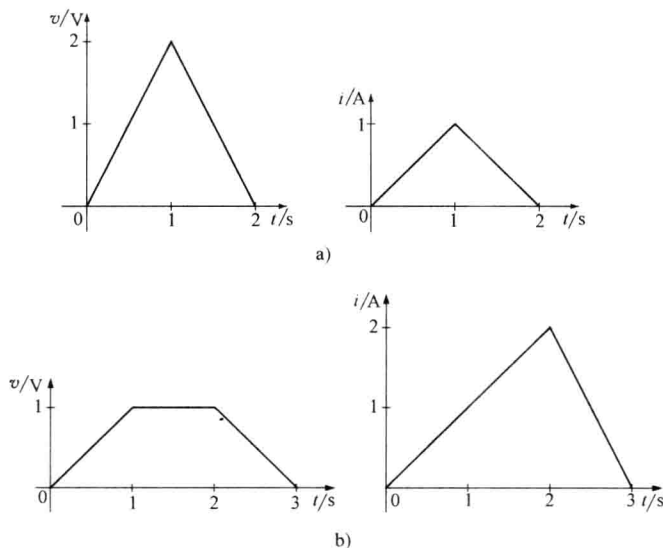
最低级的计算机语言是机器语言,它由计算机可以理解的“0”和“1”组成,机器语言是计算机的自然语言。其上一级语言是汇编语言,它将英文缩写词与二进制码对应起来,以便于阅读。用汇编语言编写的程序可以直接操作内存空间,并且,这种程序的运行速度很快,常用于需要快速采样大量数据的采集系统。例如,用很高的采样频率从一组传感器采集数据时就需要用汇编语言编写的程序来实现。

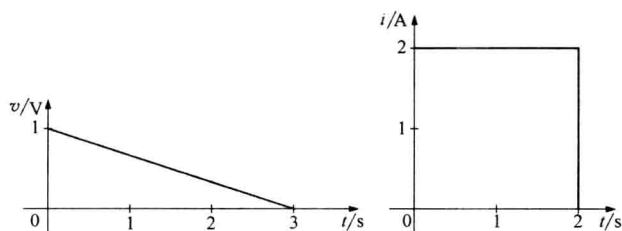
高级计算机语言 FORTRAN、PERL 和 C++ 等由语句组成,每条语句的执行其实需要许多条机器语言指令或者汇编语言指令才能完成。高级语言的语句很像英语,还包含通用的数学符号,它们比机器语言和汇编语言容易学习和掌握。编写程序指令是为了告诉计算机何时并且如何利用各种硬件完成特定的工作,因此,这些指令必须按照正确的顺序传递给计算机的 CPU 才能获得预期的结果。MATLAB 和 LabView 等更新型的编程语言就更容易使用,用户界面也更友好。

例如,使用计算机采集生理数据时,就必须编写程序,告诉计算机什么时候开始采集数据、从哪些传感器以怎样的频率采集数据、需要连续采集多长的数据段以及采集的数据存放在何处等信息。系统可以提供的最高采样频率决定于计算机时钟(如 233MHz)限定的速度以及完成每个数据采样所需执行的计算机指令数目。有些计算机还可以控制输入放大器的增益,在采样时自动调节信号的大小,而另一些系统的输入放大器增益只能手工调节。

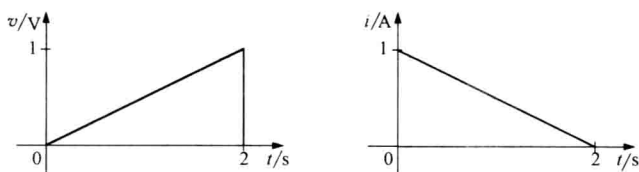
## 9.15 习题

1. 请分别计算如下 (a) ~ (e) 各种电压  $v$  和电流  $i$  波形下图 9.7 所示电路元件吸收的功率。

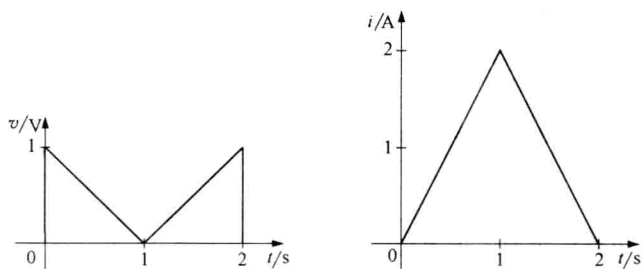




c)



d)



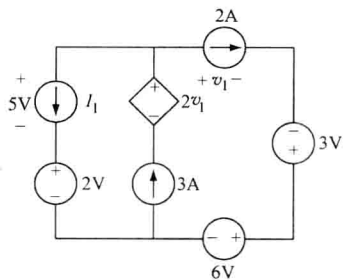
e)

2. 假设图 9.7 所示电路两个端口之间的电压  $v$  和电流  $i$  如下

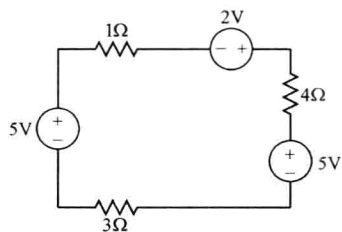
$$v = te^{-10000t} u(t) \text{ V}$$

$$i = (t + 10)e^{-10000t} u(t) \text{ A}$$

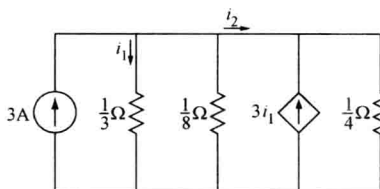
- 求最大功率的时刻；
  - 求最大功率值；
  - 计算  $t = 1 \times 10^{-4}$  s 时电路接收的能量；
  - 计算电路接收到的总能量。
3. 试计算以下电路的电压  $v_1$  以及各电路元件吸收或输送的功率。



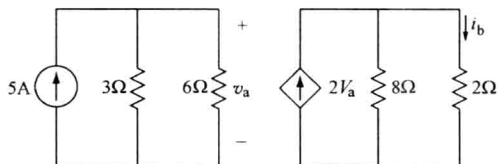
4. 试计算以下电路中每个元件的功率。



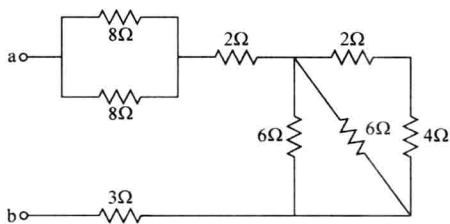
5. 试计算以下电路的电流  $i_2$ 。



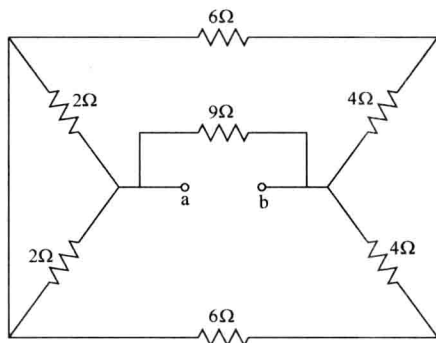
6. 试计算以下电路的电流  $i_b$ 。



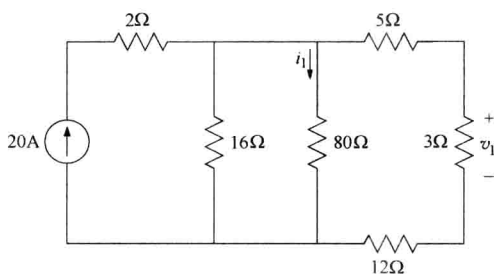
7. 试计算以下电路的等效阻抗  $R_{ab}$ 。



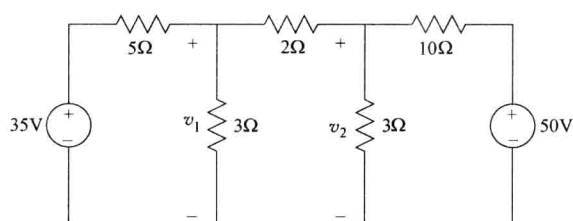
8. 试计算以下电路的等效阻抗  $R_{ab}$ 。



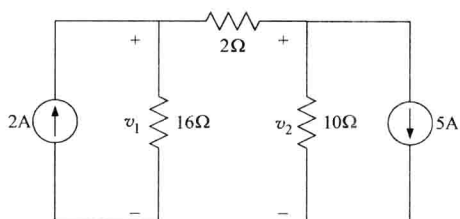
9. 试计算以下电路的电流  $i_1$  和电压  $v_1$ 。



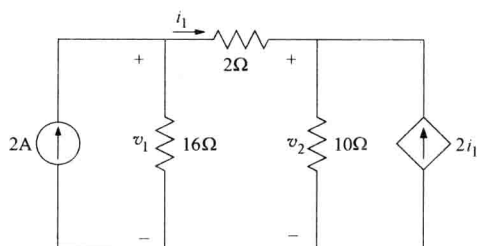
10. 请使用节点电压法计算以下电路的电压  $v_1$  和  $v_2$ 。



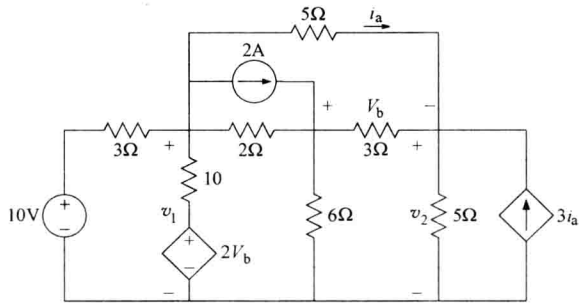
11. 请使用节点电压法计算以下电路的电压  $v_1$  和  $v_2$ 。



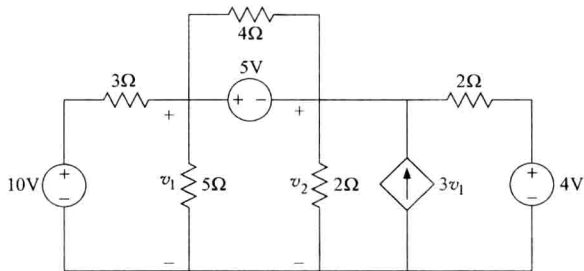
12. 请使用节点电压法计算以下电路的电压  $v_1$  和  $v_2$ 。



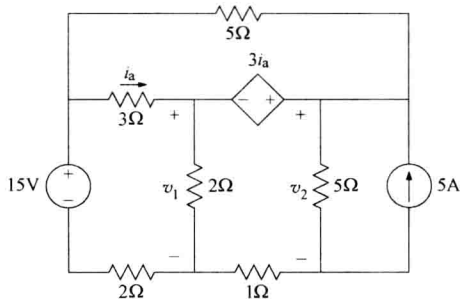
13. 请使用节点电压法计算以下电路的电压  $v_1$  和  $v_2$ 。



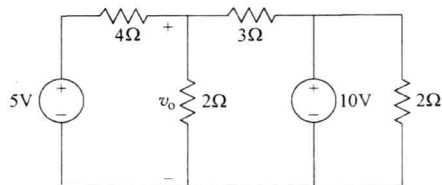
14. 请使用节点电压法计算以下电路的电压  $v_1$  和  $v_2$ 。



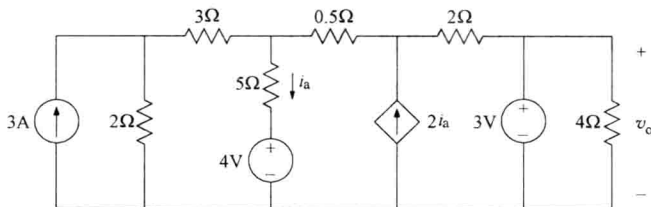
15. 请使用节点电压法计算以下电路的电压  $v_1$  和  $v_2$ 。



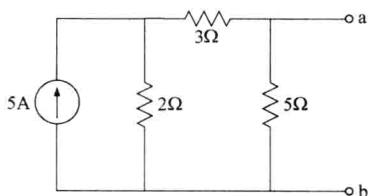
16. 请利用叠加原理计算以下电路的电压  $v_o$ 。



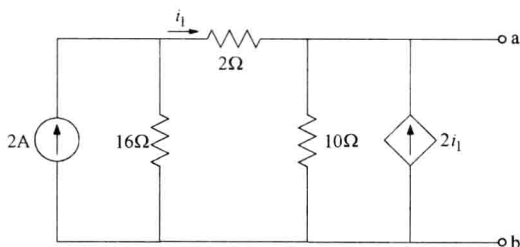
17. 请利用叠加原理计算以下电路的电压  $v_o$ 。



18. 试求出以下电路 a、b 两端之间的戴维南等效电路。

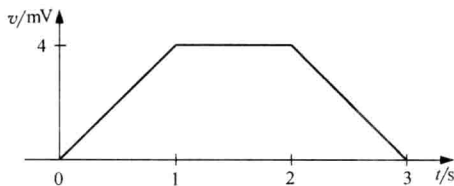


19. 试求出以下电路 a、b 两端之间的戴维南等效电路。



20. 某个 10mH 的电感上施加电流脉冲  $i(t) = (2 + 10e^{-2t})u(t)$ , (a) 试计算电感两端的电压; (b) 请画出电流和电压曲线图; (c) 请计算功率的时间函数。

21. 某电感两端的电压如下图所示, 如果  $L = 30\text{mH}$ ,  $i(0) = 0\text{A}$ , 试求  $t \geq 0$  时的电流变化曲线  $i(t)$ 。



22. 某个  $4\mu\text{F}$  电容两端的电压为  $v(t) = (200000t - 50000)e^{-2000t}u(t)\text{V}$ , 试计算电容的 (a) 电流; (b) 功率的时间函数; (c) 电能。

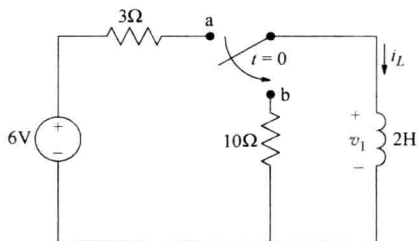
23. 某个  $5\mu\text{F}$  电容上流过的电流为

$$i(t) = \begin{cases} 0\text{mA} & t < 0\text{ms} \\ 5t^2\text{mA} & 0 \leq t < 1\text{ms} \\ 5(2 - t^2)\text{mA} & t \geq 1\text{ms} \end{cases}$$

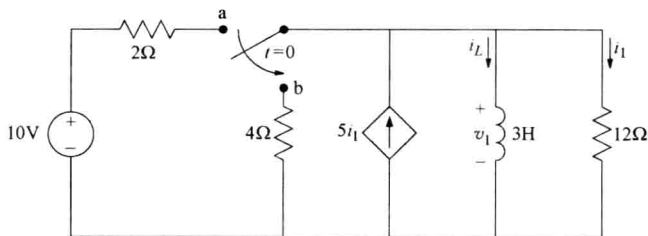


请计算电容两端的电压。

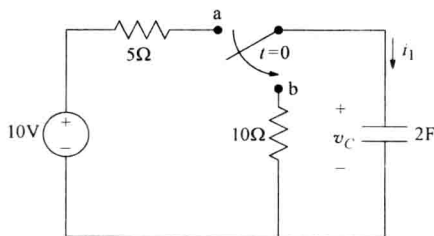
24. 如下图所示, 假设开关置于触点 a 已有足够长的时间。在  $t=0$  时刻, 开关被瞬间切换到触点 b, 请计算  $t>0$  时的电流  $i_L$  和电压  $v_1$ 。



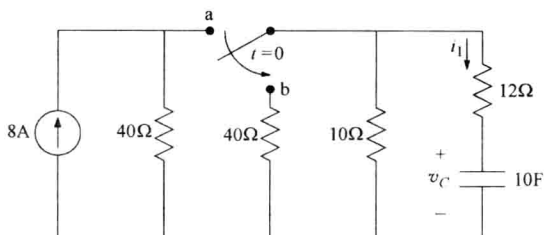
25. 如下图所示, 假设开关置于触点 a 已有足够长的时间。在  $t=0$  时刻, 开关被瞬间切换到触点 b, 请计算  $t>0$  时的电流  $i_L$ 、 $i_1$  和电压  $v_1$ 。



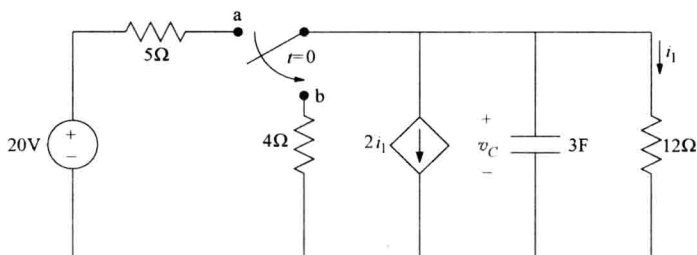
26. 如下图所示, 假设开关置于触点 a 已有足够长的时间。在  $t=0$  时刻, 开关被瞬间切换到触点 b, 请计算  $t>0$  时的电压  $v_C$  和电流  $i_1$ 。



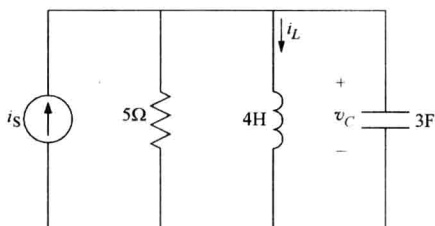
27. 如下图所示, 假设开关置于触点 a 已有足够长的时间。在  $t=0$  时刻, 开关被瞬间切换到触点 b, 请计算  $t>0$  时的电压  $v_C$  和电流  $i_1$ 。



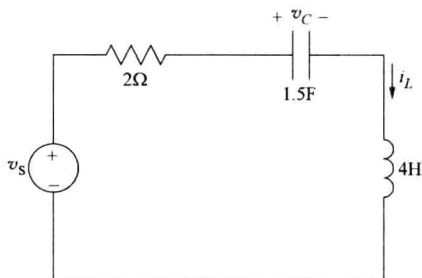
28. 如下图所示, 假设开关置于触点 a 已有足够长的时间。在  $t=0$  时刻, 开关被瞬间切换到触点 b, 请计算  $t>0$  时的电压  $v_c$  和电流  $i_1$ 。



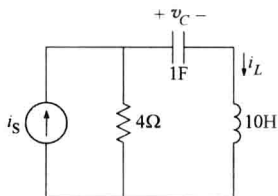
29. 假设 (a)  $i_s = 3u(t)$  A; (b)  $i_s = 1 + 3u(t)$  A, 请分别计算  $t>0$  时如下电路的电流  $i_L$  和电压  $v_c$ 。



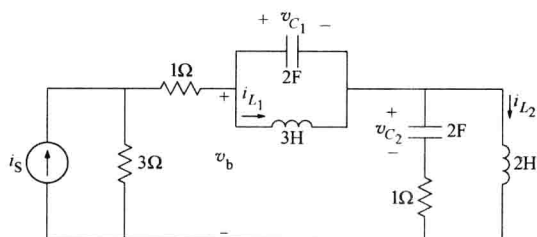
30. 假设 (a)  $v_s = 5u(t)$  V; (b)  $v_s = 5u(t) + 3$  V, 请分别计算  $t>0$  时如下电路的电流  $i_L$  和电压  $v_c$ 。



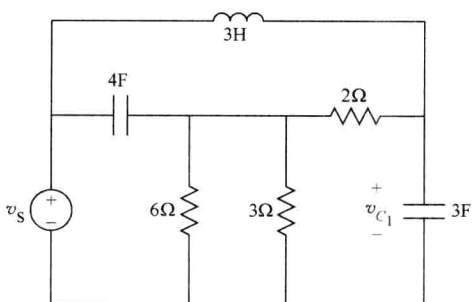
31. 假设 (a)  $i_s = 3u(t)$  A; (b)  $i_s = 3u(t) - 1$  A, 请分别计算  $t>0$  时如下电路的电流  $i_L$  和电压  $v_c$ 。



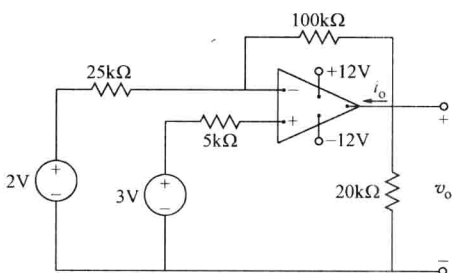
32. 假设以下电路中,  $i_{L_1}(0) = 2$  A,  $i_{L_2}(0) = 5$  A,  $v_{C_1}(0) = 2$  V,  $v_{C_2}(0) = -3$  V,  $i_s = 2e^{-2t}u(t)$  A。请使用节点电压法计算  $t>0$  时的  $v_b$ 。



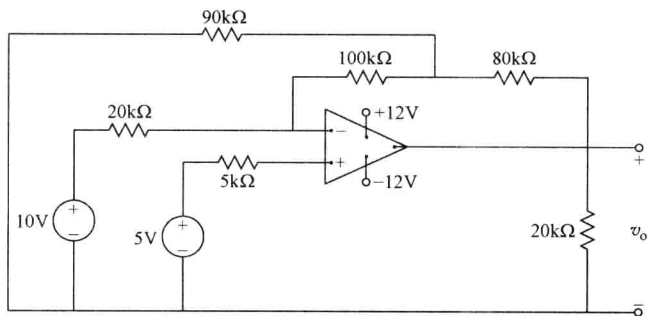
33. 假设以下电路中 (a)  $v_s = 2e^{-3t}u(t)$  V; (b)  $v_s = 3\cos(2t)u(t)$  V; (c)  $v_s = 3u(t) - 1$  V。请分别使用节点电压法计算  $t > 0$  时的  $v_{C1}$ 。



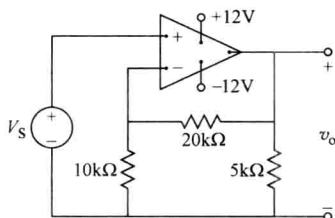
34. 假设以下电路中的运算放大器是理想的，试计算电压  $v_o$  和电流  $i_o$ 。



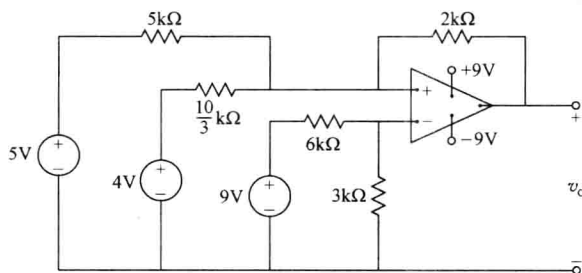
35. 假设以下电路中的运算放大器是理想的，试计算电压  $v_o$ 。



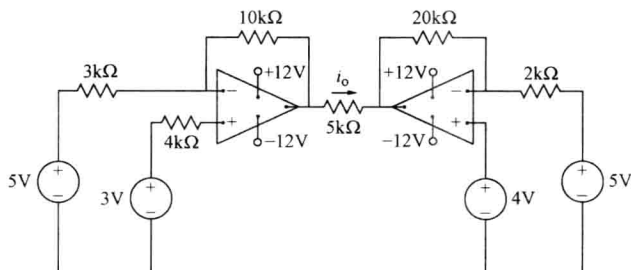
36. 如果以下电路中的运算放大器是理想的，试计算电路的总增益，并画出输出电压  $v_o$  随输入电压  $V_s$  变化的曲线。其中  $V_s$  的取值范围是  $0 \sim 10V$ 。



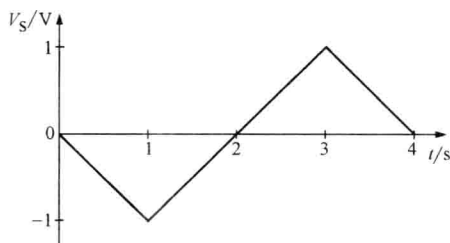
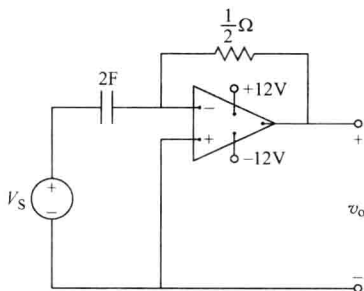
37. 假设以下电路中的运算放大器是理想的，试计算其输出电压  $v_o$ 。



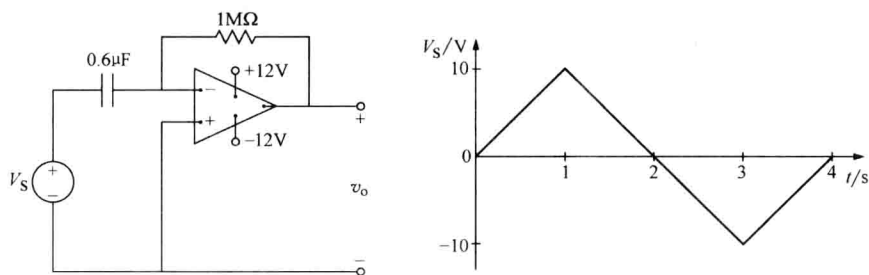
38. 假设以下电路中的运算放大器是理想的，试计算电流  $i_o$ 。



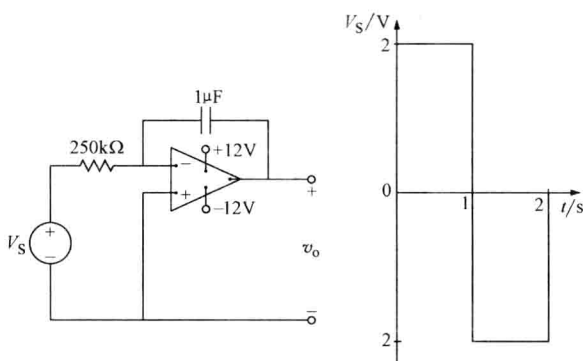
39. 设以下电路的输入  $V_s$  为如图所示的三角波，如果电路的初始存储电能为零，并且运算放大器是理想的，请计算其输出电压  $v_o$ 。



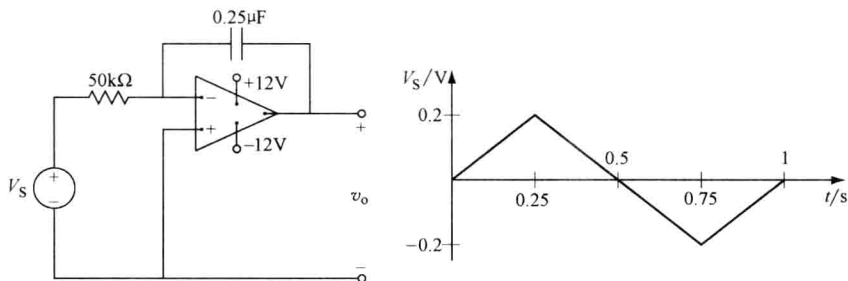
40. 设以下电路的输入电压  $V_s$  如图所示，如果电路的初始存储电能为零，并且运算放大器是理想的，请计算其输出电压  $v_o$ 。



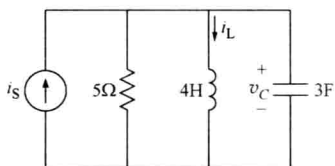
41. 设以下电路的输入电压  $V_s$  如图所示, 如果电路的初始存储电能为零, 并且运算放大器是理想的, 请计算其输出电压  $v_o$ 。



42. 设以下电路的输入电压  $V_s$  如图所示, 如果电路的初始存储电能为零, 并且运算放大器是理想的, 请计算其输出电压  $v_o$ 。

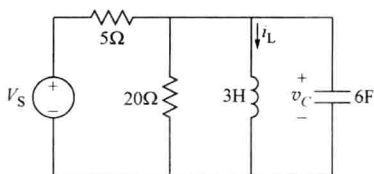


43. 假设以下电路运行于正弦激励的稳态期, 如果  $i_s = 30\cos 20t\text{A}$ , 试求电流  $i_L$  的稳态方程。

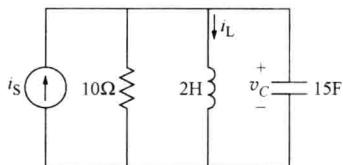


44. 假设以下电路运行于正弦激励的稳态期, 如果  $v_s = 10\sin 1000t\text{V}$ , 试求电压  $v_c$  的

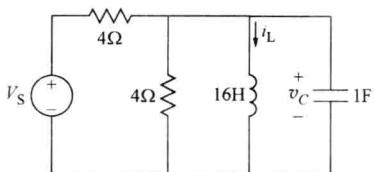
稳态方程。



45. 假设以下电路运行于正弦激励的稳态期, 如果  $i_s = 5\cos 500t\text{A}$ , 试求电流  $i_L$  的稳态方程。



46. 假设以下电路运行于正弦激励的稳态期, 如果  $i_s = 25\cos 4000t\text{V}$ , 试求电压  $v_C$  的稳态方程。



47. 试设计一个低通滤波器, 使其幅值增益为 10, 截止频率为  $250\text{rad/s}$ 。

48. 试设计一个高通滤波器, 使其幅值增益为 20, 截止频率为  $300\text{rad/s}$ 。

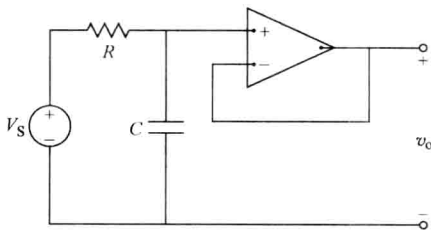
49. 试设计一个带通滤波器, 使其幅值增益为 15, 通频带为  $50 \sim 200\text{rad/s}$ 。

50. 试设计一个低通滤波器, 使其幅值增益为 5, 截止频率为  $200\text{rad/s}$ 。

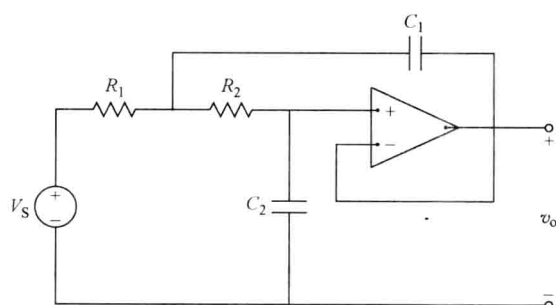
51. 试设计一个高通滤波器, 使其幅值增益为 10, 截止频率为  $500\text{rad/s}$ 。

52. 试设计一个带通滤波器, 使其幅值增益为 10, 通频带为  $20 \sim 100\text{rad/s}$ 。

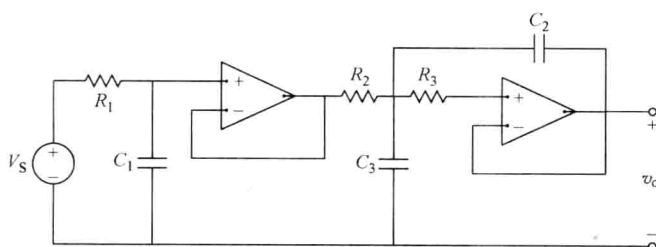
53. 如下电路是个一阶巴特沃斯低通滤波器。假设电路中的运算放大器是理想的, 试计算输出电压  $v_o$  随频率变化的幅值特性。



54. 如下电路是个二阶巴特沃斯低通滤波器。假设电路中的运算放大器是理想的, 试计算输出电压  $v_o$  随频率变化的幅值特性。



55. 如下电路是个三阶巴特沃思低通滤波器。假设电路中的运算放大器是理想的, 试计算输出电压  $v_o$  随频率变化的幅值特性。



## 推荐阅读资料

- R. Aston, Principles of Biomedical Instrumentation and Measurement, Macmillan Publishing Co., New York, 1990.
- J.D. Bronzino, Biomedical Engineering and Instrumentation: Basic Concepts and Applications, PWS Engineering, Boston, 1986.
- J.D. Bronzino, V.H. Smith, M.L. Wade, Medical Technology and Society: An Interdisciplinary Perspective, The MIT Press, Cambridge, MA, 1990.
- J.J. Carr, J.M. Brown, Introduction to Biomedical Equipment Technology, fourth ed., Prentice Hall, Upper Saddle River, NJ, 2000.
- J. Dempster, Computer Analysis of Electrophysiological Signals, Academic Press, London, 1993.
- D.A. Johns, K. Martin, Analog Integrated Circuit Design, John Wiley & Sons, New York, 1997.
- J.W. Nilsson, S. Riedel, Electric Circuits, seventh ed., Prentice Hall, Upper Saddle River, NJ, 2004.
- R.B. Northrop, Noninvasive Instrumentation and Measurement in Medical Diagnosis, CRC Press, Boca Raton, 2001.
- R.B. Northrop, Introduction to Instrumentation and Measurements, CRC Press, Boca Raton, 1997.
- R. Perez, Design of Medical Electronic Devices, Academic Press, San Diego, 2002.
- A. Rosen, H.D. Rosen (Eds.), New Frontiers in Medical Device Technology, John Wiley & Sons, Inc., New York, 1995.
- J.G. Webster (Ed.), Bioinstrumentation, John Wiley & Sons, New York, 2003.
- J.G. Webster (Ed.), Medical Instrumentation: Application and Design, third ed., John Wiley & Sons, New York, 1997.
- W. Welkowitz, S. Deutsch, M. Akay, Biomedical Instruments—Theory and Design, second ed., Academic Press, Inc., San Diego, 1992.
- D.E. Wise (Ed.), Bioinstrumentation and Biosensors, Marcel Dekker Inc., New York, 1991.
- D.E. Wise (Ed.), Bioinstrumentation: Research, Developments, and Applications, Butterworth Publishers, Stoneham, MA, 1990.

# 第 10 章 生物医学传感器

Yitzhak Mendelson 博士

## 本章目录

- 10.1 绪论
- 10.2 生物电的测量
- 10.3 物理量的测量
- 10.4 血气传感器
- 10.5 生物分析传感器
- 10.6 光学传感器
- 10.7 习题
- 推荐阅读资料

## 本章的主要学习内容：

- 生物医学传感器的种类；
- 生物医学传感器封装材料所需具备的重要特性；
- 各种不同电极在电解液中所产生的半电池电位的计算；
- 心电图（ECG）、脑电图（EEG）和肌电图（EMG）记录电极以及细胞内信号的记录电极；
- 位移传感器、气体流量传感器和温度传感器测量物理量的原理；
- 血气测量原理；
- 酶传感器和微生物传感器的工作原理及其应用；
- 光学传感器的工作原理及其应用。

## 10.1 绪论

临床医学和生物医学研究中广泛使用诊断类生物仪器来测量各种生理参数。通常，测量数据来自传感器或者换能器，然后经过仪器的处理，形成具有诊断价值的信息。其中，生物医学传感器是医疗诊所、临床实验室和医院中各种医疗诊断仪器的重要组成部分。这类传感器常用于在体侵入式或非侵入式连续监测各种重要的生理参数，也可以用于离体检测，辅助医生作出临床诊断。类似的传感器还用于其他非医学领域，如环境监测、农业、生物加工、食品生产、石油化工和制药等领域。

在确保医疗保健服务质量的前提下，未来临床医学的发展方向是降低费用、提高效



率、尽可能提供低成本高质量服务。在这种趋势下，大量新型检测技术的不断引进，正在快速改变着临床检测的各个方面，使医生诊断和治疗疾病的方法不断革新。其中，发展速度最快的两个领域是病人的自我检查技术和医生的筛查技术，这是因为病人和医生都非常希望能够在病人身边实现即时诊断，希望检测仪器和设备能够走出临床实验室中心，来到治疗现场。

通常，各种医学诊断仪器都从传感器、电极或换能器获取输入信号。这类仪器的输入信号是模拟电信号，可以直接利用生物电电极采集。例如，监测心脏、肌肉或者大脑所产生的电信号时就使用电极采集信号。输入信号还可以利用传感器间接地由非电的物理量转换而来，例如，压力、流量、温度或生物化学量等。将各种气体的分压或各种离子的浓度转换成电信号就需要使用传感器。生物量的测量常被称为传感，因此，电极和传感器经常合在一起，统称为传感器（sensor）。

生物医学传感器在各种医学诊断中具有极其重要的作用。根据不同的需求，有些传感器主要用于临床化验室，离体检测各种生理量，如血液中的电解质、酶和其他生化代谢物；有些传感器则用于在体连续跟踪病人的生理状态，如监测血压、血流量，或者氧气和二氧化碳等气体浓度等。当目标分析物的变化速度非常快且难以预料时，还需要在体的实时连续监测。

### 10.1.1 传感器的分类

生物医学传感器通常根据特定的应用要求，按照被测参量来分类，一般可以分为物理传感器、电学传感器和化学传感器。另外，还有生物传感器，它可以看做一类特殊的生物医学传感器，具有两个独特的组成部分：一是生物识别元件，如纯化的酶、抗体或者受体等。它们作为中介物，对于特定的化学成分（即被测物）具有很强的选择性。二是支撑部件，它们也是换能部件，与生物识别元件检测出来的生物成分紧密接触，并将其转变成可测量的量。这类生物传感器的功能就是将生化反应的结果转换为与特定化学物质浓度成正比的光、电等物理信号。根据这种分类方法，血液 pH 值传感器所检测的虽然是重要的生物量，但它并不属于生物传感器，而只是可以测量生物量的一种化学传感器。

### 10.1.2 传感器的封装

对于某些生物医学传感器（主要是在体测量的传感器），封装是其设计、制作和使用过程中必须重视的问题。当然，传感器首先必须安全可靠。但是，开发植入式传感器时，还有一个关键问题就是使用寿命和生物相容性。当传感器植入人体并与体液接触时，人体环境就会影响传感器的工作，同时，传感器也会影响植入部位的生理功能。例如，蛋白质的吸收和细胞沉积会改变传感器封装的渗透性，而根据设计要求，这种渗透性既要能够保护传感器，又要允许被测化学物质在体液与传感器之间的自由扩散。一方面，如果植入式传感器的封装不合适，则传感器的灵敏度和稳定性就会随着时间的流逝发生变化，性能会逐渐下降。另一方面，传感器植入所引起的组织炎症、感染、血管中的凝血等都会对人体造成损害。因此，传感器外表面所用的材料对于植入式传感器的整体

性能和寿命起着决定性的作用, 这些材料必须具备良好的生物相容性。一种比较容易的解决方法是使用各种各样聚合物涂料构成隔离层, 尽可能减少传感器中潜在的有害成分进入人体。还必须记住, 传感器制作成产品之后, 在常规的蒸汽、环氧乙烷和  $\gamma$  射线等消毒处理过程中, 其封装材料的化学扩散性质绝对不能发生改变。

本章将介绍临床和科研中使用的各种生物医学传感器的工作原理, 包括测量生物电和其他各种物理、化学参量的侵入式传感器和非侵入式传感器。

### 10.1.3 传感器的技术指标

为了正确有效地用于医学诊断, 传感器的设计和使用必须满足严格的要求。根据所给定的要求, 生物医学传感器的性能指标可以用离体和在体的方式来评价, 从而确保其测量结果能够满足设计要求。

为了了解传感器的性能和特性, 首先必须熟悉传感器技术指标的常用术语, 下列术语常用于描述传感器的特性, 在选择传感器时需要使用这些术语。

#### (1) 灵敏度 (Sensitivity)

灵敏度通常定义为输出变化量与给定的输入变化量之比, 也可以定义为输入—输出校准曲线的斜率 (见图 10.1)。灵敏度高意味着很小的输入变化量就能够引起很大的输出变化量。例如, 某个温度传感器的灵敏度为  $20\mu\text{V}/^\circ\text{C}$ , 也就是, 对于  $1^\circ\text{C}$  的输入温度的变化, 传感器的输出会产生  $20\mu\text{V}$  的变化量。注意, 如果校准曲线是线性的, 那么, 灵敏度就是一个常数。如图 10.1 所示, 如果校准曲线是非线性的, 那么, 灵敏度会随着输入的变化而变化。除此之外, 还可以将灵敏度定义为引起传感器输出端可测输出变化量的最小输入变化量。

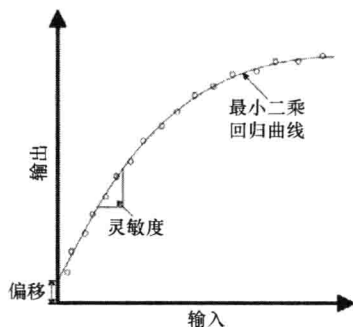


图 10.1 典型传感器的输入—输出校准曲线

#### (2) 量程 (Range)

量程是指传感器能够正确测量的最小值到最大值所形成的工作区域。例如, 某种温度传感器的标称工作量程是  $-200 \sim 500^\circ\text{C}$ 。

#### (3) 准确度 (Accuracy)

准确度是指真实值与传感器测量值之差, 通常计算该差值与真实值之比, 并且用满量程读数的百分数来表示。注意, 真实值应该取自最高参考标准<sup>①</sup>。

#### (4) 精确度 (Precision)

精确度是传感器测量值的可重复性, 重复性好的读数表明精确度高。精确度不能与准确度相混淆, 例如, 精度高的测量准确度却不一定高。

① 最高参考标准是经过独立校正的标准值, 由最高质量的绝对测量获得, 然后用于校正同类测量值。——原文注

### (5) 分辨率 (Resolution)

当传感器的输入量增加任意一个非零值时, 其输出可能不会产生变化; 直到输入增量超过某个值时, 才能够引起输出量的改变。分辨率就定义为能够明确测定的最小可分辨的输入变化量。

### (6) 重复性 (Reproducibility)

重复性描述长时间重复测量同一个输入量时各个测量值的接近程度。如果所有测量值之间的差别很小, 则重复性就很高。例如, 在  $20 \sim 80^{\circ}\text{C}$  量程内某个温度传感器的重复性为  $\pm 0.1^{\circ}\text{C}$ 。注意, 重复性会随着测量范围的不同而变化, 这意味着, 在某个量程内读数的重复性很好, 而在另一个不同的量程中就可能很差。

### (7) 偏移 (Offset)

如图 10.1 所示, 偏移是指输入为 0 时的输出值。

### (8) 线性度 (Linearity)

线性度是指测量读数偏离校准直线的最大数值, 校准直线通常利用最小二乘法回归拟合输入—输出关系来获得。通常, 传感器的线性度要么表示为实际读数的百分比, 要么表示为满量程读数的百分比。

如果输入—输出校准方程呈线性关系, 那么, 将传感器的输入未知量转换成标定尺度的输出读数是最方便的。这可以简化测量, 只要将输入值乘以一个常数就可以。但是, 如果校准方程呈非线性关系, 那么, 就需要根据输入量的大小“查表”来确定乘数的值。注意, 虽然线性响应是理想的, 但是, 即使传感器的响应是非线性的, 只要输入—输出关系完全确定, 就可以获得准确的测量值。

### (9) 响应时间 (ResponseTime)

响应时间是指输入发生变化时传感器的输出达到最终稳态值的某个百分值 (如 95%) 时所需的时间。例如, 当被测温度变化  $1^{\circ}\text{C}$  时, 某个温度传感器需要 20s 时间才能够达到其最终值的 95%。理论上, 响应时间短表示传感器能够快速响应输入量的变化。

### (10) 漂移 (Drift)

漂移是指输入保持不变时传感器的输出读数随时间的变化。长时间多次重复校准测试, 确定相应校准直线的截距和斜率的变化, 就可以计算出漂移的大小。如图 10.2 所示, 有时, 传感器的输入—输出曲线会随着时间发生变化, 或者与另一个会改变输出读数的自变量相关; 如果这样, 就会导致零点的漂移 (即偏移) 或者灵敏度的漂移。测量零点漂移时, 将输入置于 0, 记录输出读数。例如, 压力传感器的输出可能不仅与压力相关, 还与温度相关。因此, 即使输入压力保持为 0, 输出读数也会随温度变化。测量灵敏度漂移时, 将输入分别置于不同的非 0 常数值, 记录输出读数的变化。还是以压力传感器为例, 在某个温度量程内重复测量, 就可以显示输入—输出校准曲线的斜率随温度的变化情况。实际应用中, 零点漂移和灵敏度漂移一起决定了漂移引起的总误差。测定这两种漂移的数值有助于补偿和校正传感器的读数。

### (11) 迟滞 (Hysteresis)

某些传感器的输入—输出特性遵循另一种非线性趋势, 如图 10.3 所示, 它们与输

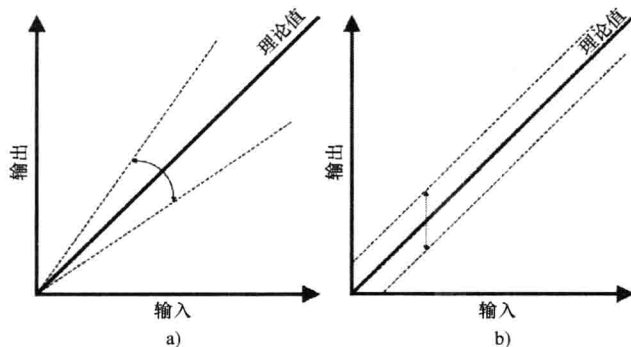


图 10.2 a) 灵敏度误差和 b) 偏移误差引起的传感器输入—输出响应的改变

入量的变化是增加还是减小有关。例如，当输入压力从 0 增加到满量程，然后再回到 0 时，压力计的输出电压值会不同。如果测量不是完全可逆的，那么，传感器就具有所谓的迟滞特性，其输入—输出关系就不是唯一的，而是与输入量变化的方向有关。

本章下面几节将介绍各种不同生物医学传感器的工作原理，包括临床和科研中常用的测量生物电和其他物理量、化学量的各种侵入式传感器和非侵入式传感器。

### 例 10.1

某台新的温度传感器的输出读数如表 10.1 所示。

- (1) 请画出该传感器的输入—输出校准曲线；(2) 请计算 0 ~ 70℃ 范围内的偏移和灵敏度；(3) 请估算 70 ~ 100℃ 范围的平均灵敏度。

表 10.1 某台温度传感器的校准数据

温度/℃	读数/mV	温度/℃	读数/mV	温度/℃	读数/mV
0	12.3	40	43.6	80	70.4
10	18.2	50	55.8	90	72.1
20	25.4	60	62.0	100	73.0
30	37.0	70	67.8		

解：

(1) 传感器的输入—输出校准曲线如图 10-4 所示：

(2) 描述该输入—输出校准数据的线性回归方程可以写为

$$\text{读数} = a(\text{标准温度}) + b$$

式中， $a$  和  $b$  分别是回归线的斜率和截距，也就是灵敏度和偏移。据此，可求得偏移  $b$  和灵敏度  $a$  分别等于 10.87 mV

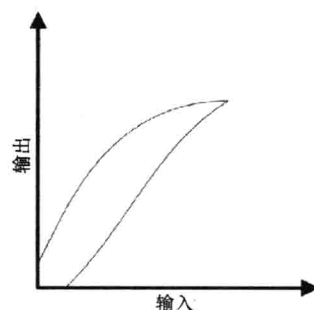


图 10.3 具有迟滞特性的传感器的输入—输出响应

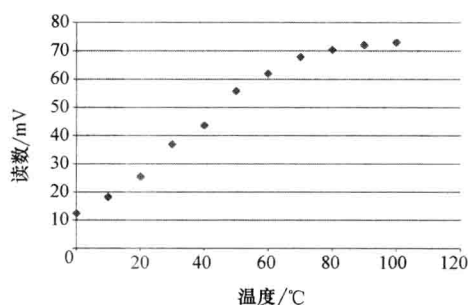


图 10.4 某台温度传感器的输入—输出校准曲线

和 0.84mV/℃。

(3) 根据线性回归方程，70 ~ 100℃ 范围的平均灵敏度为 0.17mV/℃。

10.2 生物电的测量

生物电可以用各种各样记录电极来检测，电极的功能就是通过耦合将生物体产生的离子电位传给电子仪器。这类生物电电极可以分为非侵入式（如体表电极）和侵入式（如微电极、金属丝电极等）两类。

测量生物电必须使用高质量电极，从而尽可能减少运动伪迹，确保测量信号准确、稳定、无失真。人体的体液对于金属具有很强的腐蚀性，因此，并非任何金属都可用于生物电测量。而且，有些金属对活体组织有毒性。植入式电极通常用相当硬的金属制作，如不锈钢、金等贵金属，或者铂钨、铂铱、钛氮化物、铱氧化物等合金。这些电极与组织的电解液不会发生化学反应，因此，对于生物组织的毒性很小。不幸的是，它们的界面阻抗很大，且测量电压不稳定。体外监测电极的生物相容性要求较低，可以用银等非贵金属制作，但是，必须解决皮肤界面阻抗大和电压不稳定的问题。除此之外，设计和选用生物电电极时，还需要考虑的是价格、保存期限和机械强度等特性。

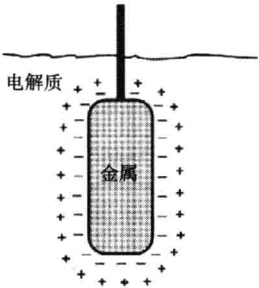


图 10.5 金属与电解质界面上的电荷分布

10.2.1 电解质与金属电极之间的接触界面

如果将金属放入电解质溶液，其表面就会形成如图 10.5 所示的电荷分布界面。这种局部电荷分布会产生一个电压差，该电压差就是建立在金属与电解质溶液之间的半电池电位。

表 10.2 列出了几种重要金属材料的半电池电位，注意，氢电极是一种标准电极，其他金属的半电池电位都以它为标准测得。

表 10.2 几种重要金属材料的半电池电位

金属及其化学反应	半电池电位/V	金属及其化学反应	半电池电位/V
$\text{Al} \rightarrow \text{Al}^{3+} + 3\text{e}^-$	-1.706	$\text{Pb} \rightarrow \text{Pb}^{2+} + 2\text{e}^-$	-0.126
$\text{Cr} \rightarrow \text{Cr}^{3+} + 3\text{e}^-$	-0.744	$\text{H}_2 \rightarrow 2\text{H}^+ + 2\text{e}^-$	0.000 (定为标准)
$\text{Cd} \rightarrow \text{Cd}^{2+} + 2\text{e}^-$	-0.401	$\text{Ag} \rightarrow \text{Ag}^+ + \text{e}^-$	+0.799
$\text{Zn} \rightarrow \text{Zn}^{2+} + 2\text{e}^-$	-0.763	$\text{Au} \rightarrow \text{Au}^{3+} + 3\text{e}^-$	+1.420
$\text{Fe} \rightarrow \text{Fe}^{2+} + 2\text{e}^-$	-0.409	$\text{Cu} \rightarrow \text{Cu}^{2+} + 2\text{e}^-$	+0.340
$\text{Ni} \rightarrow \text{Ni}^{2+} + 2\text{e}^-$	-0.230	$\text{Ag} + \text{Cl}^- \rightarrow \text{AgCl} + 2\text{e}^-$	+0.223

例 10.2

将银电极和锌电极同时浸入电解质溶液中，请计算两个电极之间的电压差。

解：

电流就可以流过电极尖端处的液接界面,从细胞内到达微电极内部的 Ag/AgCl 细丝,从而构成闭合电路。

图 10.8b 所示是另一种微电极,它由极细的钨丝或者不锈钢丝等硬金属丝制作,电极的尖端通过电化学腐蚀技术做得非常尖锐,直径只有几微米。尖端之外的金属丝用绝缘层包裹。

利用集成电路的固态微加工技术还可以制作多通道微电极阵列,用于大脑和脊髓神经元的电信号记录或者电刺激。图 10.8c 所示就是这种电极的一种,电极包括一块精细微加工制成的硅基底薄片,上面有 4 个暴露的记录位点。这种微加工制作技术的主要优点是能批量生产直径非常小的、电特性和物理特性的重复性很好的高质量精密微电极。

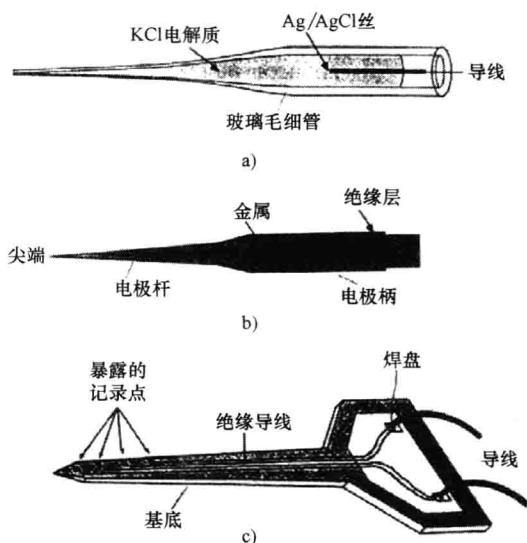


图 10.8 记录生物电的微电极

- a) 玻璃毛细管微电极 b) 绝缘金属丝微电极  
c) 固态多通道记录微电极

## 10.3 物理量的测量

### 10.3.1 位移传感器

位移传感器通常用于测量物体或者介质的位置变化,常用于检测长度、压力或者作用力的变化,这些参量的变化可用于定量诊断生理功能的异常。本节将介绍可用于测量血压的电感式位移传感器,用于测量血流量的电磁式传感器,用于测量位置的线性变化和角度变化的电位器传感器,以及其他弹力、张力、电容和压电式传感器。

#### (1) 电感式位移传感器

电感式位移传感器的基本原理基于线圈的电感  $L$ , 其计算公式如下:

$$L = \mu n^2 l A \quad (10.1)$$

式中  $\mu$ ——线圈内部磁心材料的磁导率,单位为 H/m;

$n$ ——线圈匝数,单位为匝/m;

$l$ ——线圈长度,单位为 m;

$A$ ——线圈的横截面积,单位为  $\text{m}^2$ 。

这类传感器一般通过装在线圈内的铁氧体铁心的移动,引起单个线圈的自感变化,或者引起两个以上固定线圈之间互感耦合的变化,来检测物体的位移。图 10.9 所示的

线性可变差动变压器（Linear Variable Differential Transformer, LVDT）就是一种应用广泛的电感式位移传感器。

LVDT 其实是一个一次绕组 P 和两个串联的二次绕组 S<sub>1</sub> 和 S<sub>2</sub> 构成的三绕组互感式传感器。为了获得更宽的线性输出量程，两个二次绕组串联连接时极性相反。LVDT 中的铁心具有较高的磁导率，铁心移动时，几个绕组之间的互感耦合就会变化。工作时，在一次绕组上施加交流电流。当铁心所处位置相对于两个二次绕组对称相等时，一次绕组通过交变磁场在两个二次绕组中感应产生的电压大小相等，方向相反，两者相互抵消，净输出电压为 0。当铁心移向某个次级线圈时，该绕组的感应电压就随铁心的位移量成比例增大，而另一个二次绕组中的感应电压则按比例减小，从而形成如图 10.10 所示的电压-位移关系曲线。由于两个二次绕组的感应电压相位相反，所以必须采用专用的相位敏感放大器电路才能同时检测出铁心位移的大小和方向。

(2) 电磁式流量传感器

电磁式流量传感器可用于测量暴露的血管中的血流量。在科研中，它可用于测量心脏附近大血管中的血流量，如心脏主动脉出口处的血流量等。

假设血管直径为  $l$ ，血流速度均匀，且为  $\vec{u}$ 。如果将血管放置在磁场方向与血流方向垂直的均匀磁场  $\vec{B}$  中（ $\vec{B}$  的单位是 Wb），那么，血液中带正电荷的阳离子和带负电荷的阴离子

就会受到与磁场方向和血流方向都垂直的作用力  $\vec{F}$ （单位是 N），其计算公式为

$$\vec{F} = q(\vec{u} \times \vec{B}) \tag{10.2}$$

式中  $q$ ——单位电荷量，即  $1.6 \times 10^{-19} \text{C}$ 。

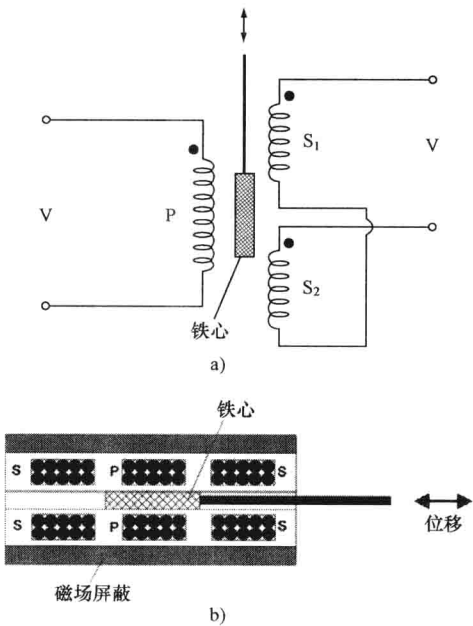


图 10.9 线性可变差动变压器（LVDT）位移传感器  
a) 电路示意图 b) 截面图

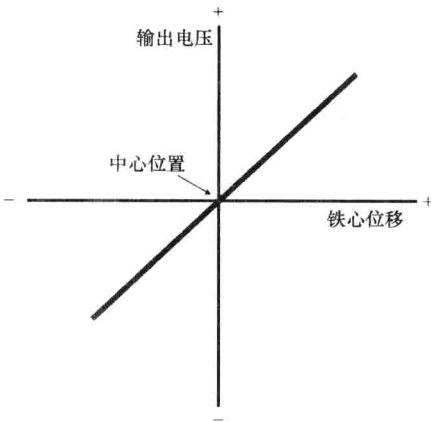


图 10.10 典型 LVDT 传感器输出  
电压与铁心位移之间的关系

由表 10.2 可知, 银电极和锌电极的半电池电位分别为 0.799V 和 -0.763V。因此, 这两种金属电极之间的电压差为

$$0.799 - (-0.763) = 1.562\text{V}$$

通常, 生物电的测量都采用同一种金属制作的相同电极, 这样, 两个电极产生的半电池电位的大小就相等。例如, 在胸前贴上两个相同的电极就可以测量心脏所产生的电压信号, 也就是心电图 (electrocardiogram, ECG)。理论上, 假设两个电极上产生的皮肤与电极界面处的电位相等, 那么, 连接在两个电极上的差动放大器就只放大大心电图信号, 而半电池电位则被消除。但是, 实际测量时, 由于电极材料的差异性和皮肤接触阻抗的不同, 从而会造成一个明显的直流偏置电压, 并在两个电极之间形成电流, 该电流流过人体时会产生电压降, 叠加在放大器的输出信号上, 造成记录信号的不稳定和基线漂移。

### 例 10.3

将银电极和铝电极同时浸入电解质, 如果电解质溶液的等效阻抗为  $2\text{k}\Omega$ , 请计算流过两个电极的电流。

解: 计算如下:

$$0.799 - (-1.706) = 2.505\text{V}$$

$$2.505\text{V}/2\text{k}\Omega = 1.252\text{mA}$$

## 10.2.2 心电图记录电极

图 10.6 所示是两种典型的非侵入式 ECG 记录电极。其中一种柔软的 ECG 电极用弹性橡胶聚合物制作, 聚合物中加入了极细的碳粉和金属粉末, 使其具有良好的导电性。如图 10.6a 所示, 这种电极产品都涂有 AgCl 导电膏, 用双面胶固定在皮肤上就可以测量, 既快速又方便。

最常用的生物电记录电极是银/氯化银电极 (即 Ag/AgCl), 它是在银电极表面通过电化学反应镀上一层很薄的氯化银薄膜制作而成

(见图 10.6b)。为了使电极与皮肤之间形成良好的电接触, 这种电极通常嵌在吸盘内, 并浸没在吸有电解质导电液的塑料泡沫中。饱浸电解质溶液的泡沫材料还可以减少运动伪迹, 如运动负荷试验 (stress testing) 时皮肤与电极表面相对运动引起的伪迹。这种伪迹可以造成很大的干扰信号, 甚至会破坏检测信号。

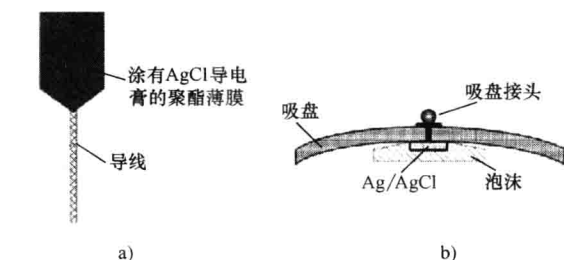


图 10.6 体表 ECG 电极

a) 柔软的聚酯薄膜电极片 b) 一次性吸盘式 Ag/AgCl 电极

## 10.2.3 肌电图记录电极

记录人体不同肌肉组织肌电图 (electromyographic, EMG) 的电极有很多种, 电极



的电特性和记录部位不同，所记录的 EMG 信号波形和大小也不同。对于非侵入式记录，皮肤表面的预处理很重要，通常要用酒精清洁皮肤，或者使用少量电解质导电膏，有助于尽量减小皮肤与电极表面之间的接触阻抗，显著改善记录信号的质量。利用体表 EMG 记录信号来测试神经传导功能时，最常用的电极呈圆盘状，直径约 1cm，用银或铂制作。

如图 10.7 所示，各种经皮穿刺的电极针用于神经纤维和肌肉纤维电信号的直接测量。最常见的电极针是图 10.7a 所示的双极电极，它由安装在套管或注射器针头内的两根细金属丝构成，这两根金属丝分别作为记录电极和参考电极。还有一种经皮穿刺的 EMG 电极是图 10.7b 所示的单极电极针。这种电极只有一根外包特氟纶（即聚四氟乙烯）绝缘薄层的细金属丝，针尖约暴露 0.3mm。与双极电极不同，单极电极使用时还需要另外加一根单极的参考电极，从而在两根电极之间构成闭合回路。这根参考电极要么放在记录电极附近，要么贴在皮肤表面上。

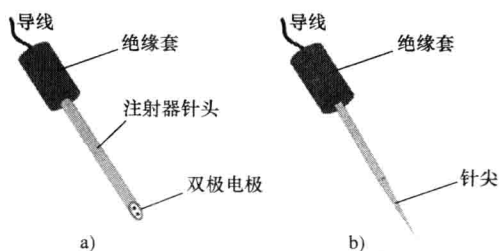


图 10.7 插入肌肉的肌肉纤维电信号记录电极  
a) 双极电极 b) 单极电极

## 10.2.4 脑电图记录电极

最常用的脑电图（electroencephalographic, EEG）记录电极是杯状电极和皮下针状电极。杯状电极由铂或锡制成，直径为 5 ~ 10mm。电极杯内充满电解质导电膏，使用时用胶带固定在头皮上。

由于头发和皮肤有油脂，容易造成电极与皮肤之间的接触不良，头皮上记录 EEG 比较困难，因此，医生有时不用皮肤表面的金属电极，而是喜欢用皮下针状 EEG 电极。这种电极用细铂丝或者不锈钢针制作，长约 10mm，直径约 0.5mm，可以插入皮肤，获得较好的电接触。

## 10.2.5 微电极

微电极是具有极细锥形尖端的生物电记录电极，可以插入细胞内，在记录单细胞动作电位中起着重要作用，常用于神经生理学研究。为了避免损伤细胞，电极尖端必须比细胞小很多，另一方面其尖端还必须具有足够的强度，能够刺穿细胞膜。图 10.8 显示了 3 种常见的微电极：玻璃微电极、金属微电极和固态微电极阵列。

图 10.8a 所示玻璃微电极的制作过程是：将一根玻璃毛细管（通常直径为 1mm）放在微型电加热器中加热，将其中段软化，然后在两端施加拉力，快速将毛细管拉断。这样就可以得到两根同样的电极，电极尖端开口处的直径仅为 0.1 ~ 10 $\mu$ m。再从玻璃管较粗的一端（即电极柄）通常注入浓度为 3mol/L 的 KCl 溶液，并插入一小段 Ag/AgCl 导线，与电解质溶液形成电接触。当微电极尖端插入电解质溶液，如细胞质中时，离子

这样,血液中的两种带电粒子就会按照作用力 $\vec{F}$ 的方向,沿着血管的径向分别向两个相反方向运动。这种运动会产生一个反作用力 $\vec{F}_0$ ,即

$$\vec{F}_0 = q \vec{E} = q \frac{V}{l} \quad (10.3)$$

式中  $\vec{E}$ ——带电粒子移动时产生的净电场;

$V$ ——血管上产生的电压差;

$l$ ——血管直径。

平衡时,以上两个作用力相等,因此,电压差 $V$ 正比于血管中血流的速度,它等于

$$V = Blu \quad (10.4)$$

#### 例 10.4

如果用电磁流量计的探头测量血管中血流的速度,请计算探头中感应的电压差。假设血管直径为 $5 \times 10^{-3} \text{ m}$ ,血流速度为 $5 \times 10^{-2} \text{ m/s}$ ,磁场强度 $B$ 为 $1.5 \times 10^{-5} \text{ Wb/m}^2$ 。

解:

由式(10.4)可得

$$V = Blu = (1.5 \times 10^{-5} \text{ Wb/m}^2) \times (5 \times 10^{-3} \text{ m}) \times (5 \times 10^{-2} \text{ m/s}) = 37.5 \times 10^{-10} \text{ V}$$

注意:  $[\text{Wb}] = [\text{V} \times \text{s}]$

如图 10.11 所示,实际的电磁流量计配有夹持式探头,可以紧贴血管外周。探头中的线圈接通交流电时,所产生的磁场与血流方向垂直。探头上装有一对很小的电极,紧贴血管外壁,用于记录血管上感应的电压。这种流量感应的电压是交流电压,它与线圈激励电压的频率相同。使用交流激励电压,而不是直流激励电压,是因为交流电有助于消除电极与血管壁之间接触阻抗引起的偏置电压误差。

#### (3) 电位器传感器

电位器是一种电阻式传感器,通过电阻元件表面滑动触点的移动,它可以将线性位移或者角位移转换成输出电压信号。图 10.12 显示了这种电位器传感器的原理。在电阻 $R$ 上施加电压 $V_i$ ,滑动触点与电阻某个末端之间的电压 $V_o$ 与该两点之间的距离成正比。一般,该可变电阻上流过的电流保持恒定,则输出电压 $V_o$ 的微小变化就可以根据欧姆定律(即 $I = V/R$ ),用高灵敏度电压表测得。

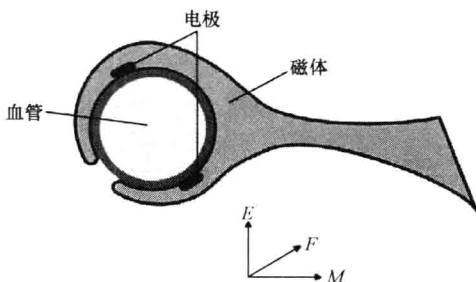


图 10.11 电磁式流量计

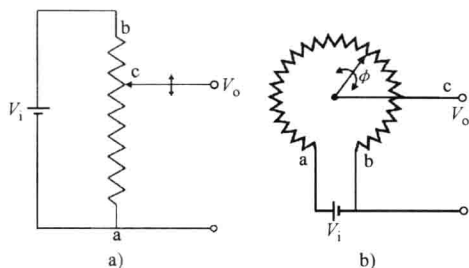


图 10.12 电位器传感器原理

a) 线性位移传感器 b) 角位移传感器

例 10.5

假设位移的变化量为 20%，请计算线性电位器传感器的输出电压变化量。

解：

假设传感器中的电流恒定不变，由欧姆定律可得

$$\Delta V = I \Delta R$$

可见，滑动触点与电阻某个末端之间的电阻与距离成正比，因此，20% 的位移变化也会产生 20% 的输出电压变化。 ■

（4）弹性电阻式传感器

临床上，有时需要用血压袖袋暂时阻断某条腿的静脉血流回流，来测定这条腿的外周血容量的变化。这种血容量测量方法称为体积描记法（plethysmography），它能够检查腿部静脉中是否存在较大的血栓。测量时用弹性电阻式传感器裹住大腿，然后测量传感器电阻随时间的变化率，该变化率对应于腿部血容量的相对变化。如果血管中存在血凝块，那么解除袖袋的阻断之后，存积在腿部的血液通过静脉回流所需的时间就会加长。同理，如果用传感器的弹性软带裹住胸部，就可以检测病人的呼吸模式。

如图 10.13 所示，弹性电阻式传感器由一条充满导电材料的细弹性软管构成，软管导体的电阻可用下式计算：

$$R = \rho \frac{l}{A} \tag{10.5}$$

式中  $\rho$ ——导体的电阻率，单位是  $\Omega \cdot \text{m}$ ；

$l$ ——导体的长度；

$A$ ——导体的截面积。

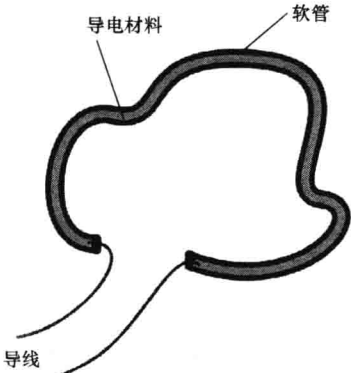


图 10.13 弹性电阻式传感器

例 10.6

一根长 0.1m 直径为 0.005m 的弹性电阻式传感器的电阻为 1k $\Omega$ 。（1）请计算传感器中导电材料的阻抗；（2）将其围住胸围为 1.2m 的病人的胸部，请计算此时传感器的电阻。假设传感器的截面积保持不变。

解：

1) 传感器的截面积  $A$  为

$$A = \pi (0.0025)^2 \text{m}^2 = 1.96 \times 10^{-5} \text{m}^2$$

由式（10.5）可得

$$\rho = \frac{RA}{l} = \frac{1 \times 10^3 \Omega \times 1.96 \times 10^{-5} \text{m}^2}{0.1 \text{m}} = 0.196 \Omega \cdot \text{m}$$

2)

$$R_{\text{拉长后}} = 0.196 (\Omega \cdot \text{m}) \times \left( \frac{1.2 \text{m}}{1.96 \times 10^{-5} \text{m}^2} \right) = 12 \text{k}\Omega \quad \blacksquare$$

例 10.7

假设正常呼吸时胸围长度的变化为 10%，且传感器上施加的恒流电流为 0.5mA，

请计算例 10.6 的弹性传感器上所产生的电压变化。

解：

根据欧姆定律  $V = IR$ ，有  $V = 0.5\text{mA} \times 12\text{k}\Omega = 6\text{V}$ 。如果  $R$  增加了 10%，那么， $\Delta V = 0.6\text{V}$ 。 ■

#### (5) 应变计传感器

应变计是一种位移传感器，可用于测量物体受力后的长度变化。这种传感器所产生的电阻变化与物体长度的变化率成正比。长度变化率称为应变  $S$ ，定义为

$$S = \frac{\Delta l}{l} \quad (10.6)$$

式中  $\Delta l$ ——物体长度的微小变化量；

$l$ ——物体的初始长度。

电阻丝和某些半导体材料都可以用作应变计。

下面解释应变计的工作原理。假设有一根细导线，长为  $l$ ，截面积为  $A$ ，电阻率为  $\rho$ ；那么，根据式 (10.5) 可以求得其未拉伸时的初始电阻。再假设在弹性限度内将其稍拉长  $\Delta l$ ，则其长度变为  $(l + \Delta l)$ 。由于拉长后导线的体积仍然保持不变，因此，长度的增加必然导致截面积的减小，即

$$lA = (l + \Delta l)A_{(\text{拉长后})} \quad (10.7)$$

则拉长后导线的电阻为

$$R_{(\text{拉长后})} = \rho \frac{l + \Delta l}{A_{(\text{拉长后})}} \quad (10.8)$$

电阻的增量为

$$\Delta R = R_{(\text{拉长后})} - \rho \frac{l}{A} \quad (10.9)$$

将式 (10.7) 和式 (10.9) 代入式 (10.8)，可得

$$\Delta R = \rho \frac{(l + \Delta l)^2}{lA} - \rho \frac{l}{A} = \frac{\rho(l^2 + 2l\Delta l + \Delta l^2 - l^2)}{lA} \quad (10.10)$$

假设长度的变化量很小，即  $\Delta l \ll l$ ，则上式可简化为

$$\Delta R = \rho \frac{2\Delta l}{A} = \frac{2\Delta l}{l} R \quad (10.11)$$

电阻变化率 ( $\Delta R/R$ ) 与长度变化率 ( $\Delta l/l$ ) 之比称为应变系数  $G$ 。注意， $G$  无量纲，显然，它表示了一种灵敏度信息，也就是，对于给定的应变计长度变化所预期产生的电阻变化。 $G$  随温度和材料类型的不同而变化，因此，必须选择应变系数大且温度系数小的材料制作应变计。普通金属丝应变计用康铜（一种铜镍合金）制作，其应变系数  $G$  约为 2；而硅材料制作的半导体应变计的灵敏度要高得多，其应变系数是金属丝的 70 ~ 100 倍。

#### 例 10.8

请计算电阻变化 10% 时，金属丝应变计的应变大小。

解：

由式 (10.6) 和式 (10.11) 可得

$$\frac{\Delta R}{R} = \frac{2\Delta l}{l} = 2S$$

即

$$0.1 = 2S$$

$$S = 0.05$$

应变计通常可分为粘贴式和非粘贴式两种。如图 10.14 所示, 粘贴式应变计由一根折叠的细电阻丝粘贴在半柔性基片上构成。

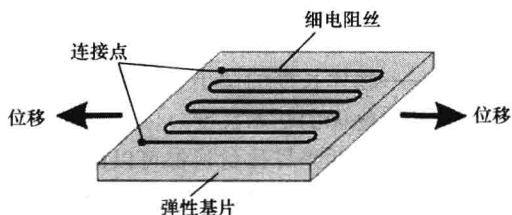


图 10.14 粘贴式应变计传感器

非粘贴式应变计由多根电阻丝构成 (一般是 4 根), 这些电阻丝跨接在刚性的固定支架与活动支架之间。当应变计受到外力作用而变形时, 4 根电阻丝中总是有 2 根被拉伸, 而另 2 根则被压缩。如图 10.15 所示, 用这种应变计可以制作血压传感器, 传感器中有一片弹性膜片通过枢轴直接连接在活动支架上。

外周血管中的血液通过一根灌满生理盐水的细导管与一次性弹性帽相连, 弹性帽的底部就是作为封口的弹性膜片。心脏搏动时的血压变化在膜片上产生作用力, 使得与膜片相连的活动支架偏离静息位置, 这个位移引起应变片的伸缩, 从而产生与血压脉动成比例的周期性电阻变化。

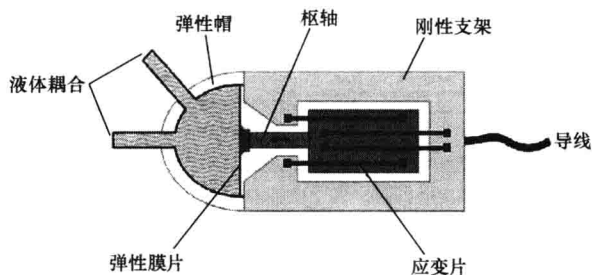


图 10.15 电阻应变式 (非粘贴式) 血压传感器

应变计的电阻变化一般非常小, 而且, 温度变化也会造成电阻丝的热膨胀, 引起应变计产生很大的电阻变化。因此, 应变式传感器通常需要配置具有温度补偿电路的高灵敏度放大器。

#### (6) 电容式传感器

两块大小相等的平行极板构成一个电容, 其电容值  $C$  等于

$$C = \epsilon_0 \epsilon_r \frac{A}{d} \quad (10.12)$$

式中  $A$ ——平行极板的截面积;

$d$ ——两块平行极板的间距;

$\epsilon_0$ ——真空介电常数,  $8.85 \times 10^{-12} \text{ F/m}$ ;

$\epsilon_r$ ——极板间绝缘介质的相对介电常数。

如图 10.16a 所示, 电容式传感器测量位移的最常用方法是检测固定极板与活动极

板之间的距离变化。这种传感器还可用于测量作用力、压力和加速度。另外,如图 10.16b 所示,还可以在这种结构中再加入第 3 块极板,构成差动电容式传感器。其外侧的两块极板是固定的,中间一块极板则是活动的,它可以相对于两块固定极板自由移动,从而构成了两个可变电容器。显然,中间极板的位移将使其与两块固定极板的间距分别变化  $+\Delta d$  和  $-\Delta d$ ,从而使其中一个电容的值增加,而使另一个电容的值减小。这种双电容结构可以提高传感器的灵敏度,并且可以组成惠斯登电桥。利用制造集成电路的固态微加工技术很容易批量生产电容式传感器。

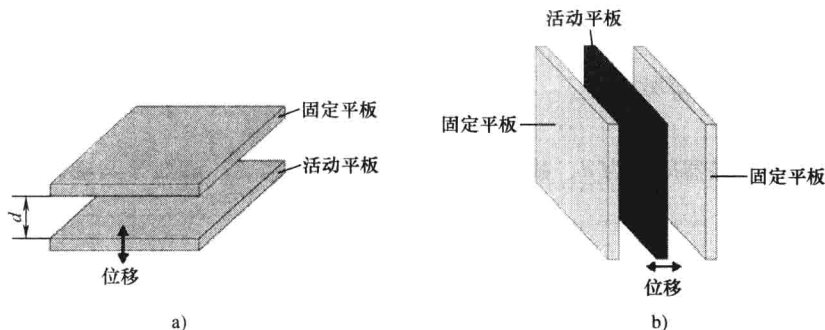


图 10.16 电容式位移传感器

a) 单电容 b) 差动式双电容

### 例 10.9

假设某电容式传感器的两块金属极板的面积均为  $0.4 \times 10^{-3} \text{ m}^2$ , 间距为  $1 \times 10^{-4} \text{ m}$ , 板间介质的介电常数为  $\epsilon_r = 2.5$ , 请计算该传感器的电容值。

解:

$$C = \epsilon_0 \epsilon_r \frac{A}{d} = 8.85 \times 10^{-12} \text{ F/m} \times 2.5 \times 4 \times 10^{-4} \text{ m}^2 / (1 \times 10^{-4} \text{ m}) = 0.885 \text{ fF}$$

如果将多个电容式位移传感器安装在床垫里, 那么就可以测量人体的呼吸或者活动。如果将传感器的活动极板与接触液体或气体的薄膜相连, 还可以制作成压力传感器, 这时只要在电容上加上电压, 并用放大器放大薄膜移动时所产生的微小交变信号, 就可以获得与被测压力成正比的输出电压信号。

### (7) 压电式传感器

压电传感器用于心音和血压等各种作用力和加速度的生理参数测量, 也常用于产生超声波 (即频率超过 20kHz 的高频声波), 超声波可用于血流测量以及人体内部软组织成像。

压电传感器中有一块很小的石英晶体, 如图 10.17 所示, 如果在晶体的两块极板上外加一个电场, 通常是一个窄脉冲电压, 那么, 晶体就会收缩。反过来, 如果通过机械作用使晶体产生应变, 则其两极板之间会产生微弱的电压信号。除了石英

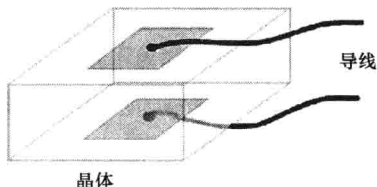


图 10.17 压电晶体传感器

晶体以外, 钛酸钡和锆钛酸铅等许多陶瓷材料也会产生这种压电效应。

压电效应的产生机理是: 晶体在外力  $F$  作用下, 其不对称晶格产生变形, 内部正、负电荷方向发生变化, 重新排布, 从而使晶体两个相对表面上产生电荷  $Q$ , 此电荷的量与作用力大小成正比, 即

$$Q = kF \quad (10.13)$$

式中  $k$ ——压电材料的比例系数。

如果将压电晶体看作平行板电容器, 那么, 晶体两端的电压  $\Delta V$  等于

$$\Delta V = \frac{\Delta Q}{C} \quad (10.14)$$

式中  $C$ ——晶体的等效电容。

#### 例 10.10

假设压电传感器厚度为  $d$ , 截面积为  $A$ , 所受外力为  $F$ , 请推导其输出电压的计算公式。

解:

压电传感器的电容可以用式 (10.12) 计算。将式 (10.13) 代入式 (10.14), 可得

$$\Delta V = \frac{\Delta Q}{C} = \frac{kF}{C} = \frac{kFd}{\epsilon_0 \epsilon_r A} \quad \blacksquare$$

由于晶体内部总是存在漏电阻, 因此, 其两个端面上产生的稳态电荷最终必然会逐渐消失, 所以, 这种压电传感器不能用于测量恒定的或者频率很低的直流型外力。但是, 它们可以测量交变作用力, 也可以作为机械式共振器, 发出  $1 \sim 10\text{MHz}$  的高频信号, 用作晶体振荡器或者超声脉冲发生器。

在生物医学工程中, 压电传感器常用于测量物体的厚度, 或者非侵入式监测血压等生理参数。例如, 将两块相同的晶体放在血管两侧, 并在其中一块晶体上施加激励电源, 使其产生一小段超声波窄脉冲信号, 超声波脉冲传播到另一块晶体上并被接收。这样, 通过测量超声波在两个传感器之间的传播时间, 就可以计算出血管的管径。假设超声在软组织中的传播速度  $c_t$  已知 (一般为  $1500\text{m/s}$ ), 并且测得的超声波传播时间为  $t$ , 那么, 就可以利用下式计算出两个传感器之间的距离  $d$ :

$$d = c_t t \quad (10.15)$$

#### (8) 微机电系统传感器

微机电系统 (Microelectromechanical system, MEMS) 传感器是利用半导体行业制造集成电路的固态微加工技术制作。基于 MEMS 技术的压力传感器的原理是: 外加压力使得安装在压阻传感器上的微加工制成的硅膜片产生微量偏移, 从而使得传感器的输出电压能够随着外加压力的变化而变化。MEMS 传感器产品常用于汽车的安全气囊限制器和燃料注入系统。

至今, 在医学上 MEMS 技术最成功的应用是开发了用于侵入式血压监测的一次性传感器 (见图 10.18)。这种 MEMS 传感器通过一种硅介凝胶体测量血压, 凝胶体置

于传感元件与插入血管的导管中灌注的生理盐水之间。凝胶体的作用是在 MEMS 传感器与生理盐水之间提供电气隔离，从而保护高灵敏度的检测电路。

MEMS 医学传感器的应用还有：分娩期监测宫缩情况的子宫内压测量仪、自动化无创血压计袖袋、呼吸监护仪、输液泵和肾脏微透析仪等。MEMS 传感器还在植入式心脏起搏器中用作加速度计，监测人体的运动，从而确定病人的耗能水平，正确调节起搏速率来匹配人体代谢的需求变化。



图 10.18 一种 MEMS 压力传感器（图片由 Measurement Specialties, Inc. 公司馈赠）

### 10.3.2 气体流量传感器

最常见的医用气体流量传感器是 Fleish 呼吸气体流量计（Fleish pneumotachometer）。如图 10.19 所示，它由一小段短直管构成，管道中间部位装有一个固定的筛状隔离网。当气流穿过直管时，会在隔离网上产生微小的气压降。用差动压力传感器测量这个压降，所得到的输出信号就与气流速度成正比。管道两端通常做成锥形，这样可以使气流以层流形式穿过管道。长时间使用时水汽在隔离网上冷凝聚集，会产生气压降过大的伪信号。为了避免这种情况，需要用一个小型加热器加热隔离网。病人使用机械呼吸机通气时，常用这种 Fleish 呼吸流量计监测病人的呼吸容量、流量和呼吸频率。

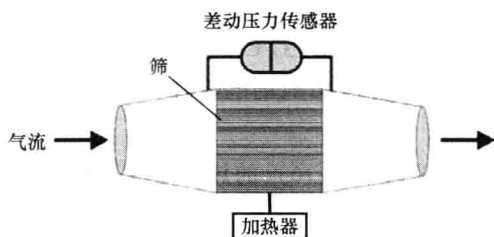


图 10.19 Fleish 呼吸气体流量计

### 10.3.3 温度测量

体温是人体调控最严密的生理参数之一，也是日常生活中衡量病人健康状况的四大基本指标之一。人体深部温度非常稳定，健康人大约为  $37^{\circ}\text{C}$ ，变化范围一般在  $\pm 0.5^{\circ}\text{C}$  之内。因此，体温升高往往就意味着患病或者感染，而皮肤温度明显下降可能是休克的临床征兆。

人体的体温通常在两个不同部位测量：体表或者体腔内。如腋下体表测量，口腔或者肛门等体腔内测量。下面介绍几种测量体温的传感器。

#### (1) 热敏电阻

热敏电阻（Thermistor）是温度敏感传感器，它们用压缩烧结的镍、锰、钴等金属氧化物制成，其电阻值会随温度的变化而变化。如图 10.20 所示，市场上出售的热敏电



阻有多种形状,从较小的珠形到较大的盘形等。

热敏电阻的温度-电阻特性曲线可以用如下数学公式表示

$$R_T = R_0 \exp \left[ \beta \left( \frac{1}{T} - \frac{1}{T_0} \right) \right] \quad (10.16)$$



图 10.20 常见热敏电阻的形状

式中  $R_0$ ——参考温度  $T_0$  (是热力学温度,单位为 K) 时的电阻值;

$R_T$ ——温度  $T$  (是热力学温度,单位为 K) 时的电阻值;

$\beta$ ——热敏电阻系数,一般取值为 2500 ~ 5500K。

图 10.21 显示了热敏电阻典型的温度-电阻特性曲线。注意,热敏电阻具有非线性的温度-电阻关系,并且其温度系数为负值,也就是,温度升高时,其阻值反而减小。而普通金属和常规电阻的温度系数则为正值,也就是,温度升高时,元件的电阻值也增大。

#### 例 10.11

某热敏电阻式温度计的热敏系数  $\beta$  为 4500K,假设其在 37℃ 体温下的电阻值为 85Ω,请计算 25℃ 时的电阻值。

解:

利用式 (10.16) 的热敏电阻的温度-电阻特性公式,可得

$$R_T = 85 \times \exp \left[ 4500 \times \left( \frac{1}{298} - \frac{1}{310} \right) \right] = 152.5 \Omega$$

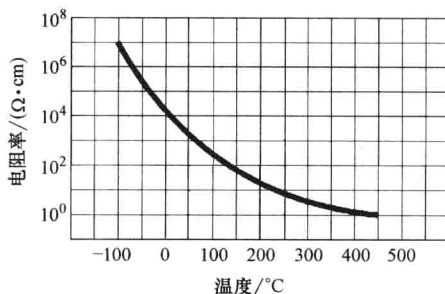


图 10.21 典型热敏电阻的电阻率随温度变化的曲线

医用温度计的热敏电阻探头必须做得很小且很轻,这样它对温度变化的响应速度就很快。使用时,探头要用很薄的一次性灭菌弹性膜包住,以防止病人之间的交叉感染。

热敏电阻传感器可用于 Swan-Ganz 导管的热稀释法测定心输出量 (即每分钟从心脏泵出的血容量),从而评价心室功能。这种测量通常在手术室或重症监护室进行。如图 10.22 所示,测量时需要通过 (肺动脉) 软导管向右心房快速团注低温示踪剂冷溶液,一般是 3 ~ 5mL 经过灭菌的零度生理盐水或者葡萄糖溶液。

如图 10.22 所示,Swan-Ganz 导管有 5 号或 7 号大小,靠近导管头部有一个小气囊,可以引导导管经股静脉或颈内静脉进入心脏。导管一般用 X 射线不能透过的材料制成,这样,就很容易在 X 射线影像上观察导管的位置。常用的 Swan-Ganz 导管是三腔管:气囊腔用于引导导管的头部进入正确的位置,另外还有开口在近端的中心静脉腔和开口在远端的肺动脉腔。充胀后的气囊可以引导导管头部穿过三尖瓣进入右心室,然后再穿过肺动脉瓣,进入肺动脉。如果将导管的近端腔和远端腔连接到压力传感器上,那么,当导管进入正确的位置之后,就可以监测肺动脉和右心房的血压。

导管插好后,导管近端腔的开口应该位于右心房,因此,通过近端腔可以向右心房团注冷溶液。注射的溶液随即混入右心房血液中,使血液温度有所下降。然后,这些降

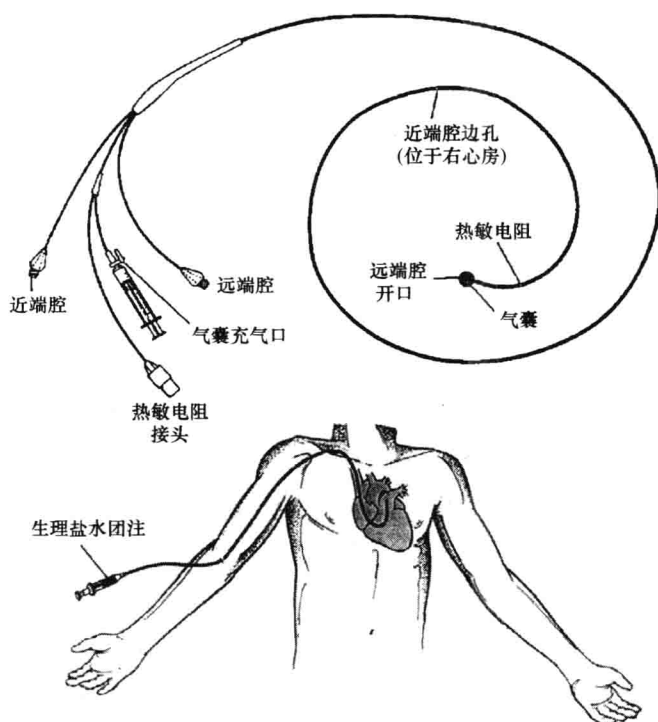


图 10.22 Swan-Ganz 热稀释导管

温的血液被右心室射入肺动脉，位于肺动脉的导管远端腔的管壁上装有热敏电阻，可以监测血液的温度变化。紧随团注之后，仪器会自动计算血液温度变化曲线的积分值，并由此求出心输出量。血液温度变化的积分值与心输出量成反比。

## (2) 热电偶

热电偶 (Thermocouple) 是连接在一起的两种不同金属构成的温度传感器，它基于 1821 年 Seebeck 发现的热电势效应：当两种不同金属的 2 个连接端点分别置于不同温度下时，就会产生电动势 (electromotive force, EMF)。EMF 的大小取决于两端的温度差以及金属材料的特性。这意味着热电偶只能识别两端之间的温度差，而不能直接测量热力学温度。如果要测量被测物体的热力学温度，就必须先独立确定参考端的温度，从而获取计算热力学温度的系数。根据其原理，可以将热电偶的一端置于恒定的参考温度下 (例如，置于绝热的冰水池中就得到  $0^{\circ}\text{C}$ )，另一端则用于测量未知的温度。不过，使用冰水池会增加测量系统的复杂性，不实用。为了简化这种温度测量方法，有人开发了专用集成电路产品来实现“冷端补偿”。如图 10.23 所示，在热电

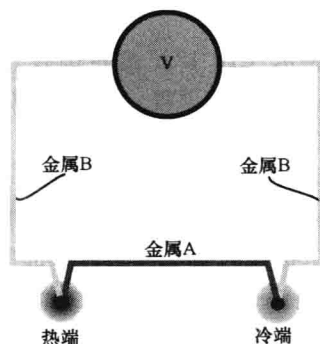


图 10.23 热电偶温度传感器的原理

偶形成的闭合回路中，在合理的温度量程范围内，回路电流的大小正比于两端的温度差。

假设热电偶测量端（热端）两侧的 EMF 为  $E$ ，被测温度为  $T$ ，参考端（冷端）的温度保持  $0^{\circ}\text{C}$ ；那么， $E$  与  $T$  之间的关系可以用如下幂级数展开式的前 3 项来表示：

$$E = c_0 + c_1 T + c_2 T^2 + \cdots \tag{10.17}$$

其中  $c_i$  为经验校正系数； $T$  的单位为  $^{\circ}\text{C}$ ， $E$  的单位为  $\text{mV}$ 。

Seebeck 系数  $\alpha$  用于表示热电偶的温度灵敏度，它与  $T$  之间的关系可由式（10.17）得到

$$\alpha = \frac{\text{d}E}{\text{d}T} = c_1 + 2c_2 T + \cdots \tag{10.18}$$

注意： $\alpha$  是温度的函数。表 10.3 列出了几种常用热电偶材料的特性参数。

表 10.3 几种热电偶材料的特性参数

热 电 偶	灵敏度/ $(\mu\text{V}/^{\circ}\text{C})$ ( $25^{\circ}\text{C}$ 下)	工作量程/ $^{\circ}\text{C}$
镍铬/镍	40.6	$-270 \sim 1300$
铜/铜镍	40.9	$-270 \sim 600$
铁/铜镍	51.7	$-270 \sim 1000$
镍铬/铜镍	60.9	$-270 \sim 1000$

热电偶体积小，响应快，结构设计灵活可靠，非常适用于在体测量。通过皮下注射器或者导管就可以将热电偶插入人体。在许多医疗仪器、深部组织温度监测、低温治疗等医学领域都有热电偶的应用。

例 10.12

镍铬/镍热电偶的经验校正系数如下： $c_0 = -1.76004 \times 10^{-2}$ ， $c_1 = 3.89212 \times 10^{-2}$ ， $c_2 = 1.85587 \times 10^{-5}$ 。请计算该热电偶在  $500^{\circ}\text{C}$  温度下产生的 EMF。

解：

将校正系数直接代入式（10.17）即得  $E \approx 24.1 \text{ mV}$ 。

例 10.13

请计算  $500^{\circ}\text{C}$  温度下镍铬/镍热电偶的 Seebeck 系数。

解：

将例（10.12）给定的校正系数代入式（10.18）即得  $\alpha \approx 57 \mu\text{V}/^{\circ}\text{C}$ 。

（3）鼓膜体温计

非接触式鼓膜体温计（Tympanic Thermometer）可以测量耳道鼓膜附近的温度，该处的温度与人体深部的温度之间保持  $0.5 \sim 1.0^{\circ}\text{C}$  的恒定温差。如图 10.24 所示，这种体温计的原理是：鼓膜发出的红外辐射经过具有高反射率镀

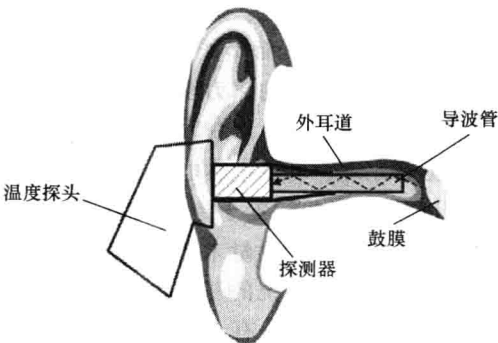


图 10.24 非接触式红外耳道体温计

金内表面的金属导波管，传导给热敏探测器。热敏探测器可以是热电堆，也可以是热电传感器，它将热流转化为电流。探测器一般置于恒温环境中，以减少环境温度波动引起的误差。鼓膜体温计的探头上使用一次性耳镜，以防止病人之间的交叉感染。

(4) 太阳穴动脉体温计

Exergen 公司开发了另一种测量人体核心温度的非侵入式的太阳穴扫描温度计（见图 10.25）。它可以替代鼓膜体温计，而且，没有口腔体温计、耳道体温计和肛门体温计引起的不适感。太阳穴温度计是利用红外传感器扫描太阳穴动脉外皮肤表面区域来测量体温，这种传感器与鼓膜体温计所使用的红外温度探测器一样。浅表太阳穴动脉是由浅表颈动脉穿过耳朵前侧，直接延伸而来。根据解剖学数据，该动脉位于皮肤下约 1mm 处，很容易找到，而且血流很畅通。如果忽略体温向外环境的散热损耗，那么，太阳穴动脉上皮肤表面的温度就与动脉血液的温度一样，几乎与人体核心温度相等。由于正常外周体温低于核心体温，因此，人体向体外空气的散热损耗使得皮肤表面具有冷却作用。为了消除这种自然散热损耗产生的误差，可以在测量太阳穴体表绝对温度的同时，用手握式扫描温度计测量外周温度，然后利用热平衡方程计算动脉血液的温度。

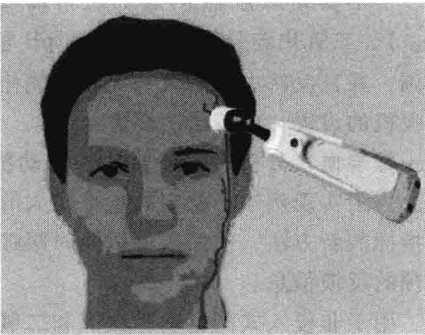


图 10.25 太阳穴动脉体温计

(5) 可吞食的体温药丸

如果人体不能充分地释放体核温度上升所产生的热量，那么，就会导致热衰竭（又称体温过高或者中暑）。过度暴露于热环境或者脱水都会引起热衰竭，特别是比赛中的足球运动员、在太空飞行的宇航员或者战场上的士兵，热衰竭最终会导致威胁生命的脑损伤，甚至死亡。为了防止中暑，在美国国家航空航天局（National Aeronautics and Space Administration, NASA）的协助下，20 世纪 80 年代中期出现了一种可吞食的体温药丸（见图 10.26），用于实时监测人体深部的温度，其精度可达 0.1℃。它是一颗 3/4in 长的电池供能药丸，被吞入体内之后就会穿过胃肠道，期间它会测量体内温度并通过无线技术发射出来，对人体毫无损害。药丸内的一种小晶振所产生的振荡频率与

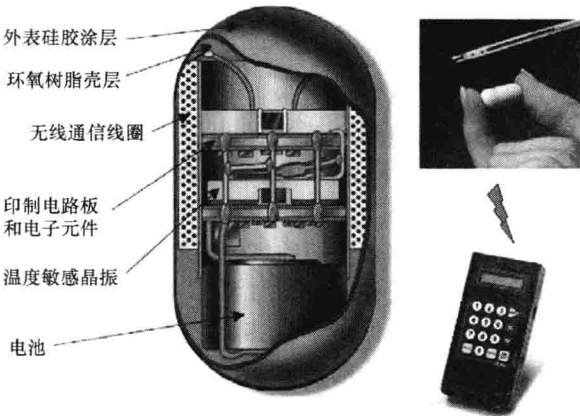


图 10.26 可吞食的体温药丸（由美国佛罗里达州 Palmetto 的 HQ 公司馈赠）

体温成正比，晶振频率的变化被转换成磁场，磁场的半径约为 1m，可由体外数据记录仪无线接收。这种涂有硅胶层的药丸可以在体内滞留 24 ~ 36h，最后被排出体外。

## 10.4 血气传感器

手术室和重症监护室中经常需要监测危重病人动脉血的血气指标，即氧分压 ( $p_{O_2}$ )、二氧化碳分压 ( $p_{CO_2}$ ) 和 pH 值，这些指标可以反映人体呼吸系统问题和代谢失调，并且反映血液的氧补充和二氧化碳排出是否正常。医生根据这些指标来调整机械呼吸机的设置，或者给出药方。

常规血气分析一般都要从外周动脉抽取血样，然后将血样送到医院化验室进行分析。为了实现病情不稳定的危重病患者的快速检测，人们开发了各种非侵入式连续监测血气指标的新方法，使医生可以及时跟踪病人的病情变化趋势，并能够即刻获得某种治疗干预的反馈信息。

用于非侵入式测量动脉血氧和二氧化碳的传感器的原理是，这两种分子都很容易穿过皮肤扩散到体外。由于皮肤下浅表血管中血液的气体分压与皮肤外表的气体分压之间存在压差，因此，就会产生扩散。基于此原理，人们已经研制出两种非侵入式经皮监测  $p_{O_2}$  和  $p_{CO_2}$  的电化学传感器。另外，血液呈现的颜色与红细胞中血红蛋白化学结合的氧分子数量相关，根据这一现象，人们还开发了多种测量血氧饱和度的光学方法。

### 10.4.1 氧的测量

血氧的定量监测对于评价病人血液循环系统和呼吸系统的状况非常重要。通过血液循环系统，肺部的氧被运输到全身各个组织。在血液中，氧有两种不同的存在形式。正常生理状态下，血液携带的总氧量中大约只有 2% 溶解于血浆，这个比值与血氧分压  $p_{O_2}$  成正比。其余 98% 的氧则存在于红细胞中，并通过可逆化学键与还原血红蛋白 Hb 结合成为氧合血红蛋白  $HbO_2$ 。因此，可以用两种方法测量血氧含量：一种是氧分压的极谱分析法，另一种是血氧饱和度的光电检测法。血氧饱和度  $SO_2$  是指血液中  $HbO_2$  的相对含量。

Clark 氧电极就是一种氧分压传感器，可用于测量空气样本或血液样本中的氧气分压。它是一种安培传感器，也就是将电压施加于 2 个电极之间时测量所产生的电流，因此，使用时需要外接极化偏压电源。如图 10.27 所示，其测量原理基于极谱分析法，也就是，在富含电子

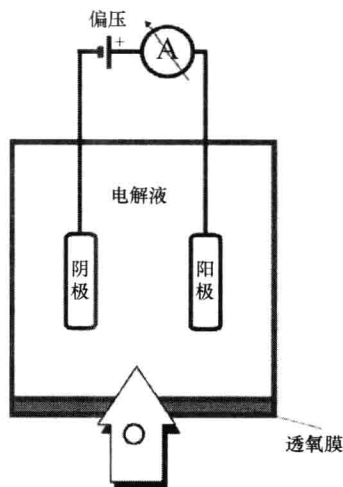
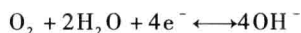


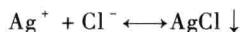
图 10.27 Clark 氧分压传感器的极谱分析原理

的情况下, 氧分子  $O_2$  与水分子  $H_2O$  之间会产生化学反应, 生成氢氧根离子  $OH^-$ 。这种电化学反应称为氧化还原反应, 反应过程中需要外加 0.6V 左右的恒压极化电源, 会产生一个小电流。

氧化还原反应中, 氧气在铂或金等贵金属制成的阴极电极 (即连接于电压源负极的电极) 表面被不断还原而消耗, 其化学反应式为



该还原反应中, 每个氧分子获得 4 个电子, 并与 2 个水分子起作用, 生成 4 个氢氧根离子  $OH^-$ 。 $OH^-$  离子流向 Ag/AgCl 参考电极, 也就是与电压源正极相连的阳极, 在那里发生如下两步氧化反应:



该氧化反应过程中, 首先电极上的银被氧化成为银离子, 电子则释放到阳极上; 然后, 银离子又立刻与氯离子结合, 形成氯化银沉积于阳极表面。氧化还原反应在外电路的阴极与阳极之间产生的电流大小直接与阴极表面不断还原的氧分子数量成正比。Clark 氧电极中的 2 个电极都浸在极谱池的氯化钾电解液中, 并用透氧聚四氟乙烯塑料薄膜或者聚丙烯薄膜将小池封住, 使气体分子可以缓慢扩散到电极上。这样, 只要测得外电路上阴极与阳极之间的电流, 就可以计算出溶液中溶解的氧含量。

略微改变一下极谱氧分压传感器的结构, 就可以用它测量经皮氧分压。图 10.28 所示是这种 Clark 式经皮氧分压传感器的截面图, 其实它是一个用双面胶贴在皮肤表面的标准 Clark 氧电极。与测量血样中的氧分压方法一样, 它测量从皮肤下血液中扩散出来的氧分压。不过, 皮肤的氧扩散率一般非常小, 因此, 传感器中安装了一个微型加热线圈, 能够使皮肤毛细血管扩张, 加快局部血流速度。当局部皮肤温度升至  $43^\circ\text{C}$  左右时, 经皮传感器测得的氧分压就接近皮下动脉血的氧分压了。这种传感器广泛用于新生儿的重症监护。成年人由于皮肤较厚, 皮肤的气体扩散特性变化极大, 测量误差很大, 难以获得一致的测量读数。

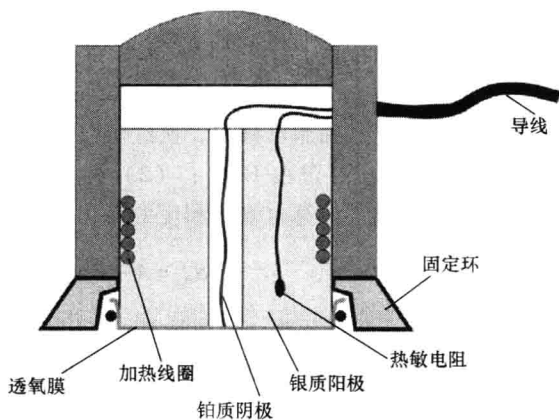


图 10.28 经皮氧分压传感器

血氧饱和度  $S_{O_2}$  是指红细胞血红蛋白的相对携氧量, 离体或者在体测量动脉血氧饱和度  $S_{aO_2}$  或者静脉血氧饱和度  $S_{vO_2}$  的方法有很多种。这里将介绍的是基于血液光吸收特性的血氧测定法。由于无氧血液呈现蓝色, 而含氧血液则呈现亮红色, 因此, 从光吸收特性上可以计算出血液中还原血红蛋白 Hb 和氧合血红蛋白  $HbO_2$  的相对浓度。

测量时采用两种特定波长的光: 一是波长为  $\lambda_1$  的红光, 如 660nm, 此波长下两种血红蛋白 Hb 与 HbO<sub>2</sub> 之间的吸光率差别很大; 二是波长为  $\lambda_2$  的近红外光, 可以选择 805nm 左右的等吸光点的波长, 此波长下 Hb 与 HbO<sub>2</sub> 的吸光率几乎相等。也可以选择 940 ~ 960nm 的波长, 此范围内 Hb 的吸光率略小于 HbO<sub>2</sub>。图 10.29 所示是可见光和近红外区域血液的吸收光谱。

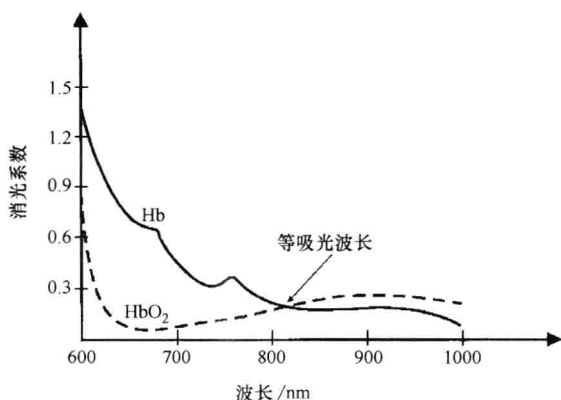


图 10.29 两种血红蛋白 Hb 和 HbO<sub>2</sub> 的光吸收特性

这种测量方法的依据就是下式表示的比尔-朗伯定律 (Beer-Lambert's law):

$$P_t = P_0 \times 10^{-abc} \quad (10.19)$$

式中  $P_0$ ——入射光功率;

$P_t$ ——透射光功率;

$a$ ——样品的消光系数, 即摩尔吸收系数, 是与波长相关的常数;

$b$ ——样品的光程长度;

$c$ ——样品浓度。

为了简化, 假设  $\lambda_1 = 660\text{nm}$ ,  $\lambda_2 = 805\text{nm}$  (即等吸光波长); 并且, (1) 血样经过溶血处理, 也就是红细胞已破碎, 血红蛋白被释放并与血浆均匀混合, 其中含有还原血红蛋白 Hb 和氧合血红蛋白 HbO<sub>2</sub>; (2) 两种蛋白混合物的总吸光系数符合加法原理。那么, 可以得到如下计算血氧饱和度的简化数学公式:

$$S_{O_2} = A - B \times \left[ \frac{OD(\lambda_1)}{OD(\lambda_2)} \right] \quad (10.20)$$

式中  $A$  和  $B$ ——两个系数, 分别是 Hb 和 HbO<sub>2</sub> 各自吸光系数的函数;

$OD$ ——光密度, 即吸光率, 定义为  $\lg(1/T)$ , 其中  $T$  是被测样品的透光率, 等于  $P_t/P_0$ ;

$S_{O_2}$ ——血氧饱和度, 定义为  $C_{Hb} / (C_{Hb} + C_{HbO_2})$ , 其中  $C$  表示浓度。

血液  $S_{O_2}$  的测量有离体和在体两种方式。离体测量用台式光电血氧计, 通常需要从外周动脉采集血样, 然后将血样移入比色皿 (即杯壁平行的玻璃样品杯), 先溶血, 再依次用两种波长的单色光进行测量。单色光是用窄带滤光片从强白光光源滤光获得。在体  $S_{O_2}$  测量使用非侵入式光电血氧计。例如, 测量动脉血氧饱和度  $S_{aO_2}$  的脉搏血氧计由 2 个廉价的小发光二极管 LED 和一个高灵敏度的硅光电管构成。其中一个 LED 发射 660nm 左右的红光 R, 另一个 LED 则发射 940 ~ 960nm 的红外光 IR。如图 10.30 所示, 这几个元件一般安装在可重复使用的弹簧夹内, 或者安装在一次性护套内。血氧计的电子电路会产生数字切换信号, 控制两个 LED 交替点亮和熄灭, 同时记录对应于每个 LED

发光时的光电管输出信号。使用时，通常将血氧计的传感器夹在指尖或耳垂上，使被测人体组织处于光源与光电管之间。

如图 10.31 所示，脉搏血氧计测量的是光电容积描记信号 ( photoplethysmographic, PPG )，该信号反映了心脏周期性收缩引起的动脉血容量的变化。与信号幅值相关的参量有：每次心搏周期心脏射入外周血管网的血容量、血液的吸光系数、皮肤和皮下组织的构成和颜色以及测量采用的照射光波长。通过分析光电管测得的 PPG 信号中红光和红外光的幅值大小，可以求得  $S_{aO_2}$ 。电子电路可以将红光和红外光两种 PPG 信号中所包含的脉动量（即交流分量 AC）和直流分量 DC 分开。其中，DC 分量主要反映非血液组织、心脏舒张期剩余动脉血、静脉血以及皮肤色素的光吸收量；

而 AC 分量则被认为仅仅与动脉血的搏动变化有关。血氧计用一种归一化算法，将每个波长下测得的 AC 分量除以 DC 分量，然后，再计算红光与红外光的归一化比率  $R$ 。该  $R$  值与动脉血的颜色密切相关，也就是与  $S_{aO_2}$  相关，而与心脏搏动时射入人体组织的动脉血流量、皮肤色素和皮肤厚度等因素基本无关。因此，这种血氧计用于不同病人时无需校准。 $S_{aO_2}$  与  $R$  之间的数学方程由生产厂家设置于仪器的程序中。

#### 10.4.2 pH 电极

pH 值可以指示溶液的酸碱平衡状况。酸性溶液含有大量氢离子  $H^+$ ，而碱性溶液则含有大量氢氧根离子  $OH^-$ 。并且，在稀溶液中，这两种离子浓度的乘积是常数，等于  $1.0 \times 10^{-14}$ 。因此，两种离子中任意一个浓度都可以用来表示溶液的酸性或碱性。中性

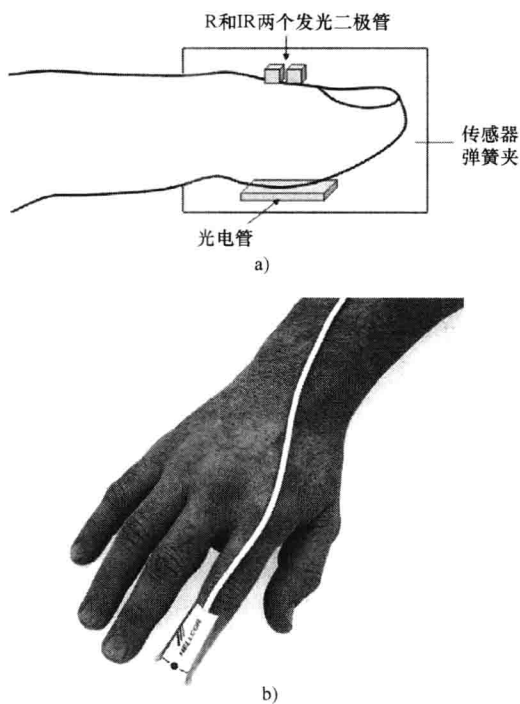


图 10.30 脉搏血氧计

a) 透射型光电式脉搏血氧计的指尖探头 b) 一次性指尖传感器  
(由美国加利福尼亚州 Pleasanton 的 Nellcor Puritan Bennett 公司提供)

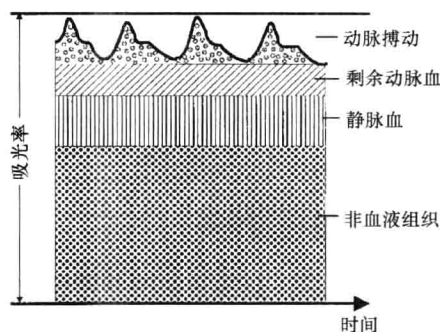


图 10.31 动脉搏动作用下外周组织血管网的吸光系数随时间的变化



溶液的 pH 值都等于 7.0。

血液 pH 值的测量是许多医学诊断的基础。人体正常血液的 pH 值受到严密的调控,一般保持于 7.40 左右,稍偏碱性。通过测量血液的 pH 值,可以判断肺部排除体内  $\text{CO}_2$  是否充分,还可以诊断肾脏调节酸碱平衡的功能是否正常。

pH 电极属于电位计式的传感器,是能够产生电压的电化学传感器,这类传感器无需极化电化学小池就能够产生微小的电压差。如图 10.32 所示, pH 电极主要由独立的参比电极和测量电极构成。两个电极一般都用 Ag/AgCl 丝制作,并且浸于 KCl 电解液之中,分别封装于各自的玻璃管内。参比电极是一个盐桥,其实就是装有电解液的一支玻璃管,其头部用允许通过各种离子的通透膜封住,这样,就可以将参比电极的电压保持在某个恒定值下,不会随被测溶液而变化。而测量电极除了尖端以外都被不能通透氢离子的玻璃膜封住。这两个电极可以再一起封装于一根玻璃套管内。

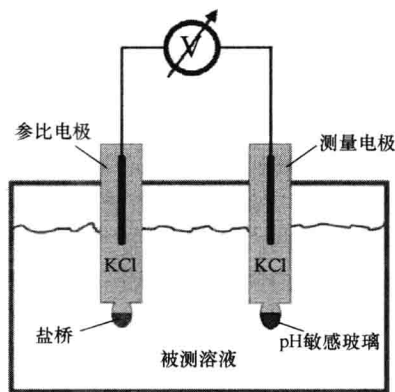


图 10.32 pH 电极的原理

在 KCl 溶液与被测溶液的接触界面上会产生一个正比于被测溶液氢离子浓度的电压差, 25℃ 恒温下, 此电压的计算公式是

$$V = -59\text{mV} \times \lg[\text{H}^+] + C \quad (10.21)$$

式中  $C$ ——常数。

由于 pH 的定义是

$$\text{pH} = -\lg[\text{H}^+] \quad (10.22)$$

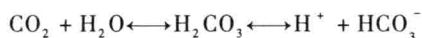
因此, 测量电极上的电压  $V$  与被测溶液的 pH 值成正比, 即

$$V = 59\text{mV} \times \text{pH} + C \quad (10.23)$$

常数  $C$  的值一般要用多种已知 pH 值的缓冲液进行标定, 也就是将电极放入不同的缓冲液中, 调节仪器进行电子补偿并校准。

### 10.4.3 二氧化碳电极

图 10.33 所示是测量血液等液体中  $\text{CO}_2$  分压的电极, 其原理与 pH 电极相同。因为  $\text{CO}_2$  溶于水后会形成弱电解质碳酸  $\text{H}_2\text{CO}_3$ , 使水中含有游离的氢离子和碳酸氢根离子, 其化学反应式为



从而使溶液的 pH 值发生变化, 在 pH 计玻璃电极与参比电极 (如 Ag/AgCl 电极) 之间产生电压

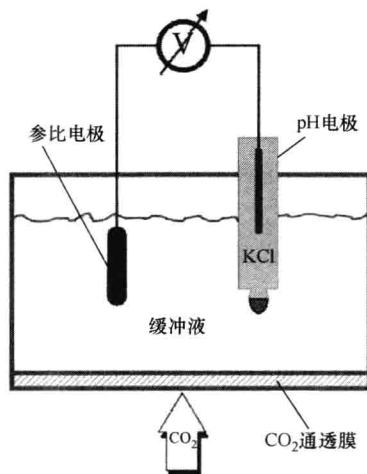


图 10.33  $\text{CO}_2$  分压电极的原理

差, 该电压与  $\text{CO}_2$  分压的负对数值成正比。

## 10.5 生物分析传感器

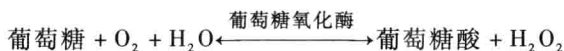
酶、抗体和微生物等生物分子以及动物和植物细胞都已经被用作生物传感器的元件。其中微生物具备独特的优势, 它们能够检测的化学物质范围很广, 并且易于实现基因改造, 具有很宽的 pH 工作区间和温度范围, 因此是理想的生物传感材料。

在电化学传感器的半透膜中加入反应物或者催化剂等生物特异性物质, 就可以显著扩大传感器的检测范围, 增加可分析物质的种类。如今, 人们已经利用各种不同的酶和细菌作为主要传感元件, 开发成功了多种传感器, 不过, 目前主要还是用于实验室研究。虽然这些传感器已成功地应用于离体检测, 并且展现出独特的医学和工业领域的应用前景, 但是, 在技术上尚需进一步改进, 以提高其稳定性和可靠性, 才能满足常规临床检验的要求。下面介绍几种主要生物传感器的设计原理。

### 10.5.1 酶传感器

酶是各种生物传感器中使用最多的生物传感元件, 是具有生物催化特性的一类蛋白质, 大约包括 2000 多种蛋白质, 它们在加速细胞化学反应方面具有独特且强大的功能。通常, 酶具有很强的特异性, 只对特定的底物产生作用, 即使这些底物与其他物质混合在一起, 酶也可以将它们识别出来。但是, 必须记住, 可溶性酶对于温度和 pH 值都非常敏感, 并且可以被许多化学物质抑制, 使酶失去活性。在实际生物传感器产品中, 游离酶通常被包埋而固定于淀粉凝胶、硅胶凝胶或者聚丙烯酰胺凝胶等稳定的惰性基质中, 这样才能确保酶的催化活性, 且可以重复使用。

利用不同酶的特异性可以做成各种不同的传感器。例如, 葡萄糖传感器是一种常用的酶传感器, 它使用葡萄糖氧化酶。葡萄糖对于人体新陈代谢非常重要, 糖尿病患者由于胰腺分泌的胰岛素不足, 无法调控血液中的血糖含量, 这时, 就需要监测血糖浓度, 并通过注射胰岛素药物, 将血糖浓度控制在正常范围内。目前的葡萄糖传感器采用葡萄糖氧化酶等固定化酶作为催化剂, 通过电化学方法检测葡萄糖氧化过程中生成的葡萄糖酸、过氧化氢  $\text{H}_2\text{O}_2$  或者耗氧量, 就可以计算出葡萄糖含量。其化学反应式为



如图 10.34 所示, 葡萄糖传感器的结构与氧分压传感器很相似。葡萄糖和氧气穿过外层透氧薄膜, 进入传感器, 并与葡萄糖氧化酶产生反应; 反应剩余的氧气再继续穿过内层透氧薄膜, 到达内部的氧电极, 从而测得氧浓度。

生物酶传感器通常包含一个电化学气体敏感传感器, 也就是离子选择电极, 电极上附有一层固定化酶薄膜, 作为生物催化剂。样品溶液中的被测物质通过扩散进入催化层, 进而发生酶促反应, 反应过程中产生或者消耗的电活性物质就由离子选择电极检测。如果反应中需要消耗  $\text{O}_2$  等气体, 或者会产生  $\text{CO}_2$ 、 $\text{NH}_3$  等气体; 那么, 电极与酶

之间还有一层薄膜隔开。显然,随着反应的进行,底物浓度会不断减小,但通常这种损耗可以忽略不计。只有当被测样品的量很少或者包含酶的膜面积很大时,才需考虑底物浓度的损耗。因此,通常可以认为这种电化学检测方法不会损坏被测样品,样品可以重复使用。检测时一般需要保持 pH 值和温度恒定不变,样品可以是搅拌均匀的溶液,也可以是处于流动状态的液体。

### 10.5.2 微生物传感器

微生物传感器包括固定化微生物(作为特异性识别元件)和电化学或光学换能器(用于将生物化学信号转换成为可处理的电信号)两部分,它的基础就是这两部分之间的紧密结合。

制作微生物传感器时需要利用化学或者物理方法将微生物固定至换能器上。由于这种传感器的响应特性、稳定性和使用寿命等都与所采用的微生物固定技术密切相关,因此,固定技术对于传感器的成功设计具有非常重要的作用,固定技术的选择是关键。

微生物固定的化学方法包括共价结合法和交联法等。共价结合法是利用微生物细胞膜上的官能基团与换能器表面之间形成稳定的化学共价键来固定微生物细胞。这种方法实现时细胞需要经历剧烈的化学反应,会破坏细胞膜,降低细胞的生物活性。要克服这个缺陷目前仍然很困难。而交联法则利用多功能固定剂(如戊二醛)将微生物细胞膜外侧的官能基团相互连接起来,形成网状结构。这种方法快速且简便,已广泛用于各种微生物的固定。细胞可以直接交联到换能器表面,也可以先交联于可移动的基膜上,再放到换能器上。虽然交联法优于共价结合法,但交联剂可能会影响细胞的活性。因此,交联法适用于构建细胞活性不太重要,需要检测的只是胞内酶的那类微生物传感器。

微生物固定的物理方法包括吸附法和包埋法等。这类方法不在细胞上形成共价键,因此,对于微生物的自然结构和功能的干扰很小,适用于细胞活性要求较高的场合。其中,物理吸附法是最简单的微生物固定方法,通常就是将微生物悬浮液与电极或固定基质(如玻璃珠等)放在一起培养。吸附作用(即离子键或者极性键)和水合作用会驱使微生物固定下来。不过,由于存在微生物的解吸附,仅仅利用吸附形成的固定一般不能长时间保持稳定。微生物包埋固定的一种实现方法是用透析膜将细胞收留在紧贴换能器表面的空间中。这种方法的主要缺点是包埋材料会增加物质的扩散阻力,从而降低检测灵敏度,减小测量范围。

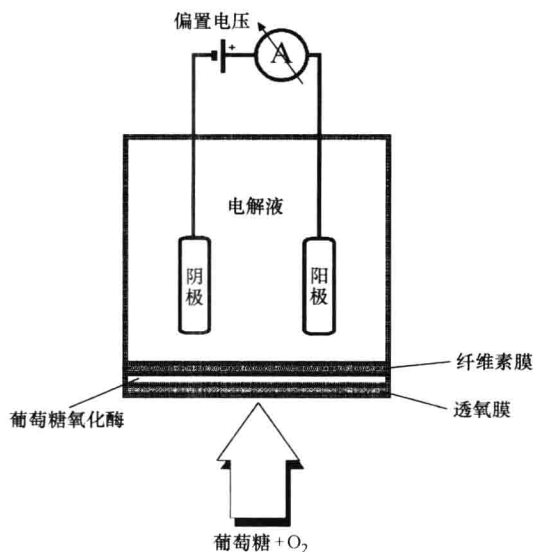
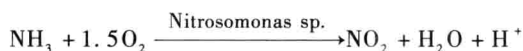


图 10.34 葡萄糖传感器的基本原理

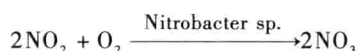
微生物传感器产品已有许多种,主要用于环境工程、农业、食品和医药等领域,在线控制各种生化反应。其检测基础是微生物同化有机化合物的反应,以及反应后的新陈代谢产物的变化,也就是微生物分泌的  $\text{H}_2$ 、 $\text{O}_2$ 、 $\text{NH}_3$  等具有特定电化学活性的代谢产物的变化。

例如,氨气 ( $\text{NH}_3$ ) 和二氧化氮 ( $\text{NO}_2$ ) 传感器就属于微生物传感器,两者都利用硝化细菌作为生物敏感元件。氨气传感器用亚硝化单胞菌 (*Nitrosomonas sp.*) 等硝化细菌制作。硝化细菌能够将氨气作为能源,产生如下氨的氧化反应:



该氧化反应的速度很快,固定化细菌的耗氧量可以直接用安装在细菌薄膜后面的极谱氧分压电极测得。

一氧化氮 ( $\text{NO}$ ) 和二氧化氮 ( $\text{NO}_2$ ) 是大气的两种主要氮污染源。图 10.35 所示是  $\text{NO}_2$  传感器的基本原理:  $\text{NO}_2$  气体经扩散穿过透气膜之后,在硝化杆菌 (*Nitrobacter sp.*) 的作用下发生如下氧化反应:



与氨气传感器一样,用极谱氧电极就可以测得反应膜周围的耗氧量。

与酶电极相比,电化学传感器中使用微生物细胞的主要优点是可将电极的使用寿命延长至数周。但是,在特异性和响应时间上,微生物传感器就不如酶电极。

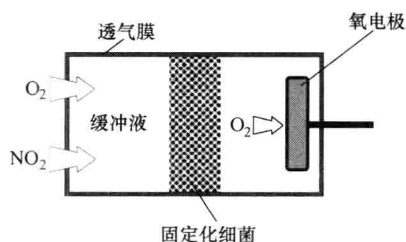


图 10.35  $\text{NO}_2$  微生物传感器的基本原理

## 10.6 光学传感器

光学传感器对于开发高灵敏度、高选择性生化检测方法具有重要的作用。其基础是物质光特性的变化,包括吸光率、反射率、折射率、散射率、荧光特性、偏振特性等本征变化。

### 10.6.1 光纤

光纤可以将光从一个地方传导至另一个地方,其衰减最小,而且没有来自光源的热传输;因此,它们适用于生物医学领域的所有微型传感器。光纤又细又软,而且其本身不受电磁场和射频干扰的影响,并且能够对其周围微环境的细微变化产生即刻响应。因此,光纤可用于实现小血管或者脑组织等脆弱人体组织的在体测量。

如图 10.36 所示,光纤一般是透明玻璃或塑料制成的双层同心结构,内层称为纤芯,外层称为包层。纤芯和包层的折射率不一样。

折射率等于光在真空中的传播速度与光在某种特定材料中的传播速度之比。例如,空气的折射率为 1.0,而水的折射率为 1.33。假设纤芯材料的折

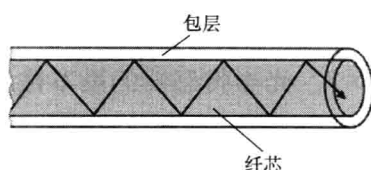


图 10.36 光纤的结构

射率为  $n_1$ ，包层的折射率为  $n_2$ ，且  $n_1 > n_2$ ，那么，根据 Snell 定律有

$$n_1 \sin \phi_1 = n_2 \sin \phi_2 \tag{10.24}$$

式中  $\phi_1$ ——光的入射角；  
 $\phi_2$ ——光的折射角。

由此可见，当光线从折射率较小的介质射向折射率较大的介质时，其传播方向会向两种介质交界面的垂直线偏转。如图

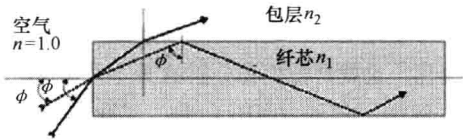


图 10.37 光纤的入射光和折射光  
注：实线表示从纤芯逸漏到包层的光线，  
虚线表示在纤芯内全反射的光线。

10.37 所示，在光纤的输入端，当对于芯轴的入射角  $\phi$  较小时，光线会进入纤芯，并在第一次遇到纤芯与包层交界面时产生全反射；但是，当入射角  $\phi$  较大时，如果此  $\phi$  角超过了光线到达纤芯与包层交界面时能够产生全反射所需的临界角，那么，光线就会逸漏到包层中去。

在式 (10.24) 中，令  $\sin \phi_2 = 1.0$ ，可求得全反射的临界角  $\phi_{cr}$  为

$$\sin \phi_{cr} = \frac{n_2}{n_1} \tag{10.25}$$

任何进入光纤的光线，如果在纤芯与包层界面上的入射角大于  $\phi_{cr}$ ，都会被外层包层全反射回纤芯；反之，如果入射角小于  $\phi_{cr}$ ，则光线会穿过包层逸漏出去，不能在纤芯中传播。

例 10.14

假设一束光线从折射率  $n_1 = 1.47$  的玻璃层射入折射率  $n_2 = 1.44$  的玻璃层，请应用 Snell 定律计算这两层玻璃交界面上的全反射临界角。

解：

$$\begin{aligned} \phi_{cr} &= \arcsin\left(\frac{n_2}{n_1}\right) = \arcsin(0.9796) \\ \phi_{cr} &= 78.4^\circ \end{aligned}$$

因此，光线从第一层玻璃射向第二层玻璃时，如果其入射角大于  $78.4^\circ$ ，就会被全反射回第一层玻璃。

其实，即使光线在光纤中全反射传播，其传播也并不是仅仅局限于纤芯之内，它会短距离越出纤芯表面，进入光密度较小的包层内大约一个波长数量级的极小深度。这种效应会激发出一种与入射角和入射光波长相关的电磁场，被称为渐逝波（evanescent wave）。渐逝波起始于纤芯与包层的交界面，并延伸到包层内，其强度变化遵循比尔-朗伯定律，也就是，随着深入包层的距离的增长按指数衰减。

10.6.2 光学传感器的基本检测原理

如图 10.38 所示，光学传感器一般都连接着一个光学模块，由它提供激发光。激发光可以来自激光二极管等单色光源，也可以来自石英卤素灯等宽带光源，再经过滤光形成窄带激发光。检测时，通常要用到两个波长的单色光，其中一个波长的光对于被测样

品的浓度变化较敏感,而另一个波长的光则几乎不受被测样品浓度变化的影响。这样,用第二个波长的测量数据作为参照,可以补偿光源和检测器等不稳定因素引起的干扰。光学模块输出的光束需要经过一组透镜和光学接口之后,才能进入光纤,再由光纤传送至被测样品。

检测生物传感器界面上光特性变化的常用光学方法有很多种,主要有渐逝波光谱法(它在光纤传感器中起着重要的作用),还有表面等离子体共振法等。

在荧光传感器中,由光纤传送的人射光激发被测溶液发射荧光,此荧光的强度与被测物浓度之间存在一定的函数关系。当光纤将所发射的荧光回传给检测器时,光电探测器就可以检测出荧光的强度。另一类光纤传感器则是测量与被测物相关联的某种化学敏感物质的吸光特性。这种吸收型传感器通过装在光纤头部的反射镜,或者利用敏感物质本身含有的散射材料,将光线返回到原光纤中回传。还有的传感器利用渐逝波与其穿透深度范围内所含被测分子之间的相互作用,这种作用会减小纤芯的光反射率,而且,反射率的减小与渐逝波穿透层内被测分子的浓度相关。由于渐逝波穿透层的深度很小,而且渐逝波的强度随距离按指数迅速衰减,因此,吸收渐逝波的被测物必须紧贴纤芯表面,光纤的包层要去掉。这种检测原理已被用于测定纤芯表面附着的受体与附近溶液中的配体之间的特异性反应。

渐逝波光纤检测法的关键是纤芯表面附着的某种生物介质层,其中的受体必须能够保持其原有的结构和活性,并且要有足够多的结合位点能与被测样品中的配体相结合。如果被测物的吸光特性很弱,那么,就需要利用多重内反射原理;也就是,沿着除去包层的光纤末端,光线要发生多次内反射,这样,就可以提高检测的灵敏度。另外,除了利用物质的吸光特性以外,还可以利用荧光特性,也就是检测在光照作用下会发射荧光的物质。荧光物质吸收激发光以后,会发射出波长比激发光长的可测荧光,这样也能提高检测的灵敏度。

### 10.6.3 血管内光纤血气传感器

近 30 年来,一次性体外传感器和血管内光纤传感器领域发展迅速。血管内光纤传感器可以在体插入动脉管路中,用于连续跟踪动脉血的血气参数。有了这种连续监测方法,治疗就能够先发制人。这对于重症监护病人的治疗干预特别重要,这些病人体内的酸碱状态随时可能发生出乎意料的变化。

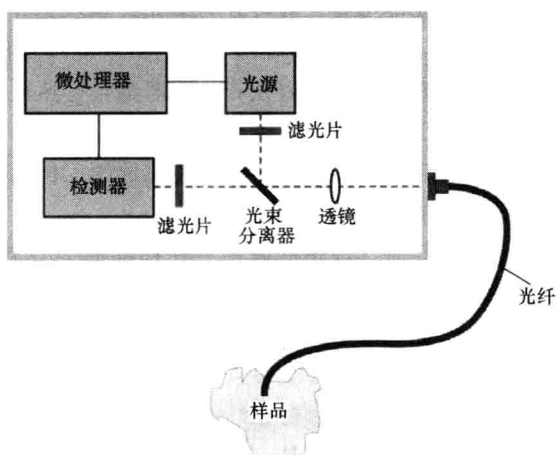


图 10.38 光纤传感器的基本原理

动脉内血气传感器一般可分为单光纤和双光纤两种结构, 光纤末端通常黏附了含有指示剂的基质。由于  $O_2$  和  $CO_2$  气体的溶解度以及指示剂自身的光学特性都会受到温度变化的影响, 因此, 血管内光纤传感器都含有热电偶或者热敏电阻, 它们的导线与光纤并排行走, 用于监测并校正传感器头部的温度波动。多数使用化学指示剂的传感器都具有非线性的响应特性, 因此, 这些传感器的工作量程都需要优化处理, 以便匹配不同应用所需的各种浓度测量范围。

动脉内光纤血气传感器通常穿在标准的 20G 规格大小的动脉留置针内, 这种针管足够细, 而且在传感器与针管壁之间留有充足的空间, 足以用于抽取血样, 用于连续或者间歇地注入抗凝血剂 (如肝素), 或者用于记录血压波形。另外, 光纤外装有保护套管, 万一光纤破碎, 套管就可以接住碎片。与血液接触的材料通常都经过处理, 通过共价键结合了一层肝素, 以防止纤维蛋白的沉积。与血气分析仪相比, 虽然动脉留置针插入的位置可以很精确, 但是, 当这种多参数探头刚开始进入血管系统时, 其读数 (主要是  $p_{O_2}$ ) 立刻不停地变动且不可预测。主要原因是传感器头部断断续续与血管壁触碰, 并且动脉痉挛会引起血流间歇性减少。

图 10.39 所示是一种更先进的一次性多参数检测探头, 它包含  $p_{O_2}$ 、 $p_{CO_2}$  和 pH 传感器, 是 Diametrics Medical 公司开发的产品。这种探头的直径为 0.5mm, 可以通过 20G 的留置针插入血管内。临床研究已经证明该系统能够很好地监测血气参数, 无需抽取血样, 同时可以减小分析误差, 避免出结果太慢而导致治疗的延误。否则, 这些因素都可能影响治疗。该产品已经进行了临床评估, 用于连续监测神经外科患者脑的状态和危重小儿患者的状态。

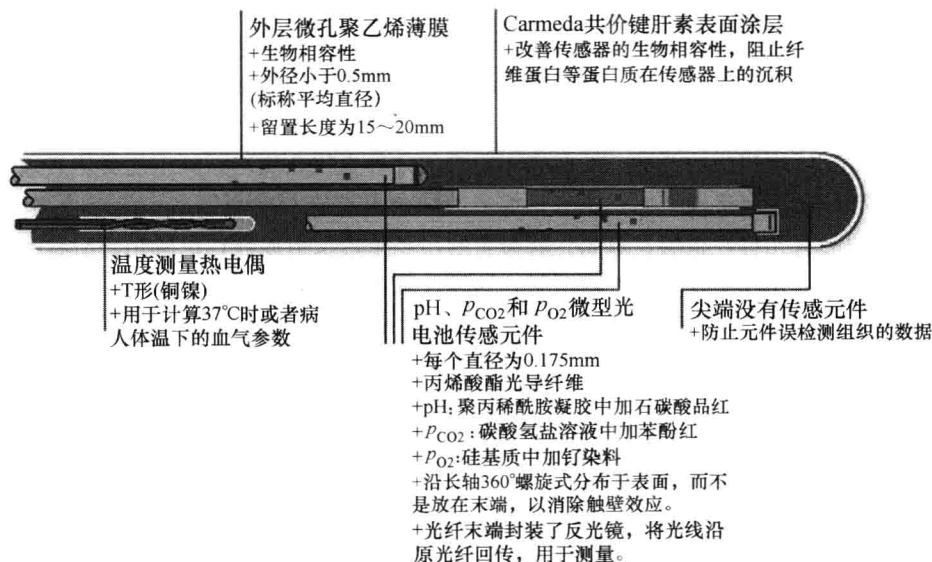


图 10.39 动脉血管内光纤血气传感器的原理

注: 外涂肝素层的微孔聚乙烯薄膜包裹多根光纤和一个热电偶。(由美国 Diametrics 公司 (St. Paul, MN) 馈赠)



### (1) 光纤氧分压传感器

测量血氧分压 ( $p_{O_2}$ ) 的各种光纤传感器是基于荧光淬灭原理开发的。荧光淬灭就是物质所发射荧光强度的减小, 它与淬灭剂分子的浓度相关。例如, 荧光物质与淬灭剂之间发生碰撞就会导致荧光淬灭。因此, 要产生淬灭, 就必须让荧光物质与淬灭剂相互接触。

物质分子吸收光能后, 就将吸收的能量贮存于电子的激发态之中。然后, 能量可以通过不同途径释放出来, 包括分子的机械运动 (即发热), 以 10ns 的平均寿命重发射 (即荧光发射), 或者转变成其他具有更长平均寿命的电子激发态之后再发射 (即磷光发射)。许多物质可作为荧光淬灭剂, 其中最常用的是氧分子。

基于荧光淬灭原理的典型光纤  $p_{O_2}$  传感器中含有一种染料, 它在 470nm 波长 (蓝色) 激光的激发下能够产生 515nm 波长的绿色荧光, 荧光强度取决于  $p_{O_2}$ 。如果激发态的染料分子与氧分子相遇, 那么, 它就会将多余的能量转移给氧分子, 从而减少荧光发射, 也就是产生荧光淬灭。荧光淬灭的程度取决于氧浓度。计算光强时, 将蓝色激发光作为内部参考信号, 计算的是绿色荧光与蓝色激发光的比率, 该光强比率与  $p_{O_2}$  之间的关系可用如下 Stern-Volmer 方程描述:

$$I_0/I = 1 + Kp_{O_2} \quad (10.26)$$

式中  $I_0$  和  $I$ ——分别是无氧 (即  $p_{O_2} = 0$ ) 和有氧时的荧光发射强度;

$K$ ——Stern-Volmer 淬灭系数, 它与温度相关。

在 0 ~ 150mmHg (即 0 ~ 20kPa) 量程内, 这种测量方法可以给出近似线性的  $p_{O_2}$  读数, 精度约为 1mmHg (即 0.13kPa)。式 (10.26) 方程的斜率就是传感器测量氧浓度的灵敏度。注意, 氧浓度较低时这种传感器的灵敏度较高。

### (2) 光纤 pH 传感器

将一种可逆的变色染料放在两根光纤的末端作为指示剂, 就可以制作成光纤 pH 传感器。例如, 常用的苯酚红 (Phenol red) 就可以用作指示剂。当酸性增加时, 这种染料的吸光位点会从光谱的绿色区域向红色区域移动。这种染料可以通过共价键与制作成透水微珠形式的亲水聚合物结合在一起, 这样, 可以保持稳定的指示剂浓度。将指示剂微珠封装在中空纤维管制成的通透氢离子的囊袋中, 放在两根光纤的末端就可以制作成一种微型分光光度计。

苯酚红指示剂是一种弱有机酸, 其溶液中存在的未解离的酸和碱两种形式的浓度之比由解离常数和溶液的 pH 值决定, pH 值由著名的 Henderson-Hasselbach 方程决定, 即  $pH = 6.1 + \lg (HCO_3^- / CO_2)$ 。指示剂的酸式和碱式具有不同的吸收光谱, 因此, 可利用光学方法测得其中一种形式的相对浓度, 该浓度随 pH 值变化。用这种传感器测量 pH 值时, 绿光和红光沿着其中一根光纤传至染料, 然后经过散光小珠的作用, 将背向散射光通过另一根光纤回传。碱式指示剂会吸收绿光, 红光则不被吸收, 仅作为参考光。绿光与红光的光强之比与溶液的 pH 值相关。

同理, 也可以用可逆荧光指示剂来实现这种测量原理, 此时测量的是所发射的荧光强度, 而不是吸收光的强度。采用的光通常是蓝光或者紫外波长的光, 用于激发荧光染



料发射出更长波长的荧光。其原理是:弱酸荧光染料中的酸式和碱式成分具有不同的激发光波长,但所发射出来的荧光波长却相同。将封装在通透氢离子的小袋中的染料放入样品小池,分别测量染料受到两种不同波长激发光照射时所产生的荧光,两个荧光强度之比就可用于计算与染料小袋相接触的溶液的 pH 值。

#### 光纤 $p_{\text{CO}_2}$ 传感器

$p_{\text{CO}_2}$  的测定通常由测量碳酸氢盐溶液的 pH 值变化来获得。碳酸氢盐溶液与被测样品之间用  $\text{CO}_2$  通透膜隔开,但仍然能够保持膜两侧  $\text{CO}_2$  的平衡。碳酸氢盐与  $\text{CO}_2$  形成一种 pH 缓冲液,根据 Henderson-Hasselbach 方程,氢离子浓度正比于样品的  $p_{\text{CO}_2}$ 。使用 pH 电极或者染料指示剂就可以完成这种测量。

#### 混合静脉血的氧饱和度传感器

光纤导管可用于在体测量肺动脉中的混合静脉血的氧饱和度 ( $S_{\text{vO}_2}$ ),此静脉血来自全身所有组织的血管网。正常状态下,肺动脉血氧饱和度约为 75%,氧的消耗量小于等于输送量。但是,重症病人氧的输送量往往不能满足组织需氧量的增加,因为这些病人的补偿机制常被削弱。如果组织的需氧量增加,而人体的补偿机制却丧失;那么,静脉血中保留的氧气就会减少,从而反映为  $S_{\text{vO}_2}$  下降。因此,  $S_{\text{vO}_2}$  可作为组织需氧的可靠指示,用于监视心脏手术和重症监护过程中人体心肺系统的功能是否正常。

光纤  $S_{\text{vO}_2}$  导管内包含两根独立的光纤;一根将入射光传至血流,另一根则直接将背向散射光传至光电探测器。使用时,借助导管顶端的一个小气囊,将导管插入腔静脉,然后穿过心脏进入肺动脉。具有血流量测量功能的导管还装有一个小型热敏电阻,可以通过热稀释法来测量心输出量。

假设从血液中红细胞背向散射回来的红外光与红光的光强比率为  $IR/R$ ,那么,  $S_{\text{vO}_2}$  与该比率之间的关系为

$$S_{\text{vO}_2} = A - B(IR/R) \quad (10.27)$$

式中  $A$  和  $B$  都是由校正得到的经验系数。这就是光纤  $S_{\text{vO}_2}$  传感器的测量原理。

然而,这种血管内光纤血氧计存在一些问题,限制了其在临床上的广泛应用。例如,导管头部“鞭打”血管壁引起的运动伪迹会影响光学测量的读数。而且,将导管插入心脏是有创手术,有时会导致心率失常。

### 10.6.4 血管内光纤压力传感器

压力是重要的诊断指标,例如,心脏、颅腔、肾脏和膀胱中的压力测量都可用于诊断异常的生理状况,而医学成像等其他诊断技术却无法提供压力信息。而且,监测创伤等引起的颅内高压可用于评价治疗的必要性和有效性。同样,监测心脏、子宫和膀胱内部压力的动态变化有助于评估这些器官的收缩功能。

利用微型侵入式传感器测量压力的方法有很多种,最常用的技术是使用光纤导管。从 20 世纪 60 年代早期开始,光纤压力传感器就广为人知,并进行了许多研究。主要的困难在于开发具有高灵敏度、高可靠性和快速动态响应的体积足够小的传感器,可以通过注射器的针管或者导管插入人体。另外,对于常规临床应用,器件的成本必须合理,

并且是一次性的。

将光纤中的光信号变化与压力相联系的设计思路已有很多,大多数设计要么应用干涉原理,要么测量光强变化。基于干涉原理的压力传感器具有高灵敏度,但它们需要复杂的校准操作,并且结构复杂。而基于光强调制的光纤压力传感器灵敏度较低但结构简单。

基于光强调制的光纤压力传感器的基本工作原理是:白光或者发光二极管 LED 发出的光,经光纤传至安装在压力敏感元件内的软镜面上,该镜面是一块活动膜片的一部分,膜片将光纤末端与流体小室隔开。流体静水压的变化会按比例产生膜片相对于光纤末端的位移,从而调制了返回光纤的耦合光的强度。利用灵敏的光电探测器检测反射光的光强,再转化成压力读数。

如图 10.40 所示是 Fiso 技术公司开发的一种基于干涉原理的在体测量光纤压力传感器。它使用白光,传感元件的设计基于 Fabry-Pérot 原理。微小的 Fabry-Pérot 空腔位于传感器顶端,由一块硅膜片粘在一个杯状玻璃基底上构成。玻璃基底与光纤相对。硅膜片就是压力敏感元件。



图 10.40 在体测量的光纤压力传感器  
(由加拿大 Quebec 的 Fiso 技术公司馈赠)

当外部压力作用于膜片上时,膜片的偏移导致空腔长度发生变化,进而转换成压力读数。由于体积极小,直径仅  $550\text{ }\mu\text{m}$ ,因此,这种传感器可以插入注射器的针管。

### 10.6.5 血管内光纤温度传感器

如上所述,利用 Fabry-Pérot 原理可以制造微型光纤压力传感器,基于类似的原理,Fiso 技术公司还开发了微型光纤温度传感器。此设计的 Fabry-Pérot 空腔由 2 根光纤构成,它们安装在一根毛细玻璃管或者透明半导体材质的管子内。由于毛细玻璃管与光纤的热膨胀系数不同,空腔的长度会随温度变化。由于体积很小,直径仅为  $210\sim 800\text{ }\mu\text{m}$ ;因此,热惯性几乎为 0,使得传感器的温度响应极快。将这种微型传感器集成到微型侵入式医疗器件中,可用于直接在体测量狭小腔室内的温度。

### 10.6.6 使用指示剂的光纤传感器

通过标准光谱法就能够直接检测到本征光吸收和荧光发射的生物物质很有限,只有少数几种,因此,人们开发了利用指示剂作为中介物的光学传感器。这种传感器的光纤表面或者头部附近固定有特定的试剂,当光源发出的光束传播到光纤末端时,就会与这些特定的试剂(即生物识别元素)发生作用。试剂可以是指示剂、离子键聚合物(即离子载体)以及各种具有选择性的聚合物。入射光与被测物作用之后,返回的光通过原光纤(单光纤结构)或者通过另一根独立的光纤(双光纤结构)回到探测器,再由探测器检测光的衰减程度,并由此计算被测物的浓度。

图 10.41 所示是几种指示剂中介型传感器的典型结构。传感器的检测元件就是光纤头部的一层化学试剂,它与被测溶液之间用一层选择性通透膜隔开。化学试剂能够将入

射光转换成回传的光信号，回传光的强度与被测物浓度成正比。传感器的稳定性取决于所用试剂的光敏特性的稳定性，也与探头上试剂封装的可靠性相关，试剂不能被浸出。图 10.41a 所示的结构中，试剂被直接固定在光纤头部的薄膜上。如果试剂是一种粉末，那么，可以用特殊的通透膜（见图 10.41b）或者空心毛细管（见图 10.41c）将其封装在光纤头部。

### 10.6.7 免疫传感器

免疫传感器设计的基础是被测物与高特异性试剂之间存在配位键反应。这种传感器的关键是生物识别元件，一般是抗体或者抗体片段。抗体与抗原相结合的免疫识别机制使得免疫传感器具有极好的选择性和极高的灵敏度。这种重要的识别机制使得人体免疫系统能够检测并抵抗入侵的异物，因而也使得传感器能够从复杂的生物样品中检测出微摩尔甚至皮摩尔级浓度的重要化合物。

渐逝波免疫传感器可以用于免疫诊断，检测抗体与抗原的结合状况。图 10.42 所示是这种传感器的原理图。被测样品溶液通常被注入一个流动小室，小室内装有光纤探头，抗体就固定在除去包层的光纤头部表面，这些抗体能够捕获样品溶液中的抗原。当抗体与抗原反应结束之后，清除小室内的样品溶液，再加入带标记的抗体。这些标记的抗体与已经被捕获在光纤头部的抗原结合之后，就会被激发出荧光。传感器检测此荧光信号，并由此计算出被测样品中的抗原浓度。

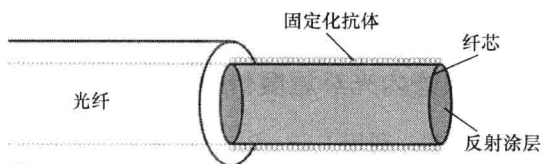


图 10.42 光纤免疫传感器的原理

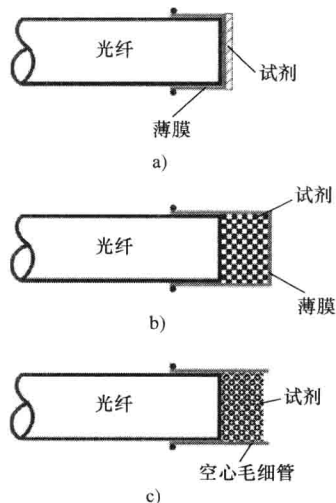


图 10.41 使用指示剂的光纤传感器的 3 种结构

### 10.6.8 表面等离子体共振传感器

如果将一束单色偏振光（如激光）射入某透明绝缘体，其底面涂有金属导体（如银、金等），那么，界面处就会产生一种电荷密度振荡。如图 10.43 所示，如果适当波长的入射光以某个被称为共振角的特定入射角，照射到绝缘体与金属的交界面上，光子能量与金属电子能量之间就会发生共振匹配，结果使光子能量以

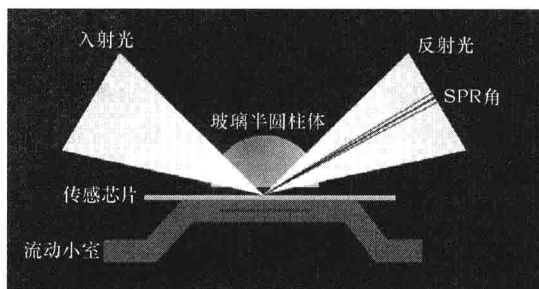


图 10.43 表面等离子体共振 SPR 的检测原理  
(由瑞典乌普萨拉市 Biacore AB 馈赠)

电子束（即等离子体）的形式转移到金属表面，同时减少金属层的反射光。这种现象被称为表面等离子体共振（Surface Plasmon Resonance, SPR）。在随着入射角变化的反射光强度曲线上，这种共振表现为光强的骤然下降。共振角取决于入射光的波长、金属的种类和入射光的偏振状态，还取决于直接与金属膜相接触的介质的特性。介质折射率的任何变化都会引起共振角的偏移，因此，根据这个原理可以设计一种灵敏度极高的方法，用于监测金属膜上所发生的反应。

SPR 通常用于测量紧贴金属膜的介质折射率的微小变化。例如，在其他参数都保持不变的情况下，即使金属膜上只黏附了一个抗体分子，其折射率的变化就足以引起可测量的共振角的明显变化。这是一种表面测量法，其优点是能够直接检测抗体与抗原的反应。

## 10.7 习题

1. 请列举一个在重症监护病房（Intensive Care Unit, ICU）中用于病人监测的生物医学传感器。

2. 请讨论选择植入式生物传感器封装材料时需要考虑的重要因素。

3. 请估计用于监测呼吸速率变化的气体流量传感器所需的响应时间。

4. 请解释为什么植入式传感器的漂移必须很小。

5. 表 10.4 所示是一个新的压力传感器的校正试验读数。

a) 作出该传感器的输入—输出校正曲线；

b) 计算读数为 0 ~ 200mmHg 时的偏移量；

c) 计算读数为 0 ~ 200mmHg 时的灵敏度；

d) 估计读数范围为 200 ~ 300mmHg 时的平均灵敏度；

e) 请说明在整个测量范围内传感器的响应是线性还是非线性。

表 10.4 某个压力传感器的校正数据

压力/mmHg	读数/ $\mu$ V	压力/mmHg	读数/ $\mu$ V	压力/mmHg	读数/ $\mu$ V
20	0	180	150	340	230
40	20	200	165	360	235
60	40	220	180	380	237
80	60	240	190	400	239
100	80	260	200	420	240
120	100	280	210	440	240
140	120	300	220		
160	135	320	225		

6. 请提出一种测量血流传感器滞后作用的方法。

7. 请讨论使用具有滞后作用的压力传感器监测血压时会出现的问题。

8. 请解释如何确定新的温度传感器的精确度。

9. 将两个相同的银电极插入电解质溶液中，请计算两电极之间的电压差。

10. 将镉电极和锌电极插入电解质溶液中, 假设溶液的等效电阻为  $8\text{k}\Omega$ , 请计算流过两个电极的电流。

11. 如果长时间监测 ICU 病人 ECG 时  $\text{Ag}/\text{AgCl}$  电极膏变干, 那么, 会出现什么现象?

12. 如果将电感式位移传感器的线圈匝数减少到原来的  $1/6$ , 那么线圈的电感将变化多少?

13. 假设用同样的电磁流量计探头测得两条血管的感应电压之比为  $2:3$ , 且两条血管的血流速度之比为  $1:5$ , 请计算这两条血管的截面积之比。

14. 用一个  $4.5\text{k}\Omega$  的旋转式线性角位移传感器测量膝关节的角度变化, 假设传感器上施加的恒流源电流为  $14\text{mA}$ , 请计算膝关节转动  $165^\circ$  时传感器的输出电压变化。

15. 请写出式 (10.11) 的推导过程。

16. 某弹性电阻式传感器的初始电阻为  $R_0$ , 初始长度为  $l_0$ , 将其拉伸。假设拉伸过程中传感器的截面积产生变化。请推导传感器电阻变化量  $\Delta R$  的数学计算公式, 并用  $l_0$ 、长度变化量  $\Delta l$ 、体积  $V$  和电阻率  $\rho$  来表示。

17. 差动式电容传感器的每块电容极板面积均为  $5.6\text{cm}^2$ , 假设传感器处于平衡位置时, 两个电容的极板间距均为  $3\text{mm}$ , 请计算板间介质为空气时各电容的平衡值。

18. 请作出电容传感器的电容值 ( $y$  轴) 随位移 ( $x$  轴) 变化的曲线图。

19. 请计算小位移变化下电容传感器的灵敏度, 即  $\Delta C/\Delta d$ 。

20. 将电容传感器安装在床垫中, 用于监测婴儿的呼吸状况。假设呼吸过程中, 电容的电压变化率 (即  $dV/dt$ ) 为  $\pm 1\text{V/s}$ , 并且电压变化曲线可以用三角波来模拟。请作出该传感器的电流变化曲线图。

21. 请推导压电晶体等效电容中流过的电流与电压  $V$  和电容  $C$  之间的关系式。

22. 如图 10.44 所示, 将两个相同的超声波传感器放在血管两侧, 如果超声波从一个传感器传到另一个传感器所需的时间为  $380\text{ns}$ , 请计算血管的直径。

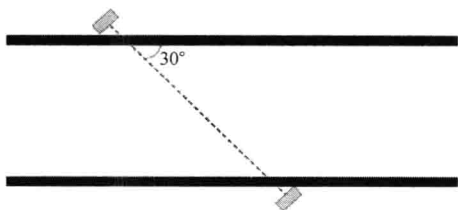


图 10.44 两个相同的超声波传感器放在血管两侧

23. 请讨论 MEMS 型传感器的优点。

24. 假设某热敏电阻在  $12^\circ\text{C}$  时的电阻值为  $7.0\text{k}\Omega$ , 并且  $\beta = 4600$ , 请计算其在  $98^\circ\text{F}$  时的电阻值。

25. 某个热敏电阻的  $\beta = 5500$ ,  $18^\circ\text{C}$  时测得的电阻值为  $250\text{k}\Omega$ , 请问当其电阻值增加 1 倍时的温度是多少?

26. 已知某热敏电阻在  $21^\circ\text{C}$  室温时的电阻值为  $4.4\text{k}\Omega$ , 当室温上升 20% 时, 其电阻值变为  $2.85\text{k}\Omega$ 。请计算该热敏电阻的  $\beta$  值。

27. 某个镍铬/铜镍热电偶的经验系数如下:  $c_0 = -2.340 \times 10^{-2}$ ,  $c_1 = 4.221 \times 10^{-2}$ ,  $c_2 = 3.284 \times 10^{-5}$ 。请计算该热电偶在  $250^\circ\text{C}$  温度下所产生的 EMF。

28. 请计算镍铬/镍热电偶在  $200^\circ\text{C}$  温度下的 Seebeck 系数。

29. 请解释太阳穴动脉温度计为什么不放在辐射状动脉上面测量人体核心温度?
30. 请比较太阳穴动脉温度计与鼓膜温度计。
31. 请比较体温药丸与太阳穴动脉温度计。
32. 请作出典型 Clark 极谱氧电极的电流 ( $y$  轴) 随氧分压 ( $x$  轴) 变化的特征曲线。
33. 请解释脉搏血氧计的归一化比率  $R$  的值为什么与心脏收缩时进入人体组织的动脉血容量大小无关。
34. 请解释脉搏血氧计的归一化比率  $R$  的值为什么与皮肤色素无关。
35. 请说明电压传感器与电流传感器之间的区别。
36. 请说明血管内光纤氧分压  $p_{O_2}$  传感器与静脉血氧饱和度  $S_{vO_2}$  传感器之间的区别。
37. 将某个 pH 电极连接在高灵敏度的电压计上, 当电极浸入 pH 值为 6.7 的缓冲液时, 电压计的读数为 0.652V; 再将电极移到另一种缓冲液时, 电压计读数降低了 20%。请计算第二种缓冲液的 pH 值。
38. 请作出某溶液的光密度 OD ( $y$  轴) 随溶液浓度 ( $x$  轴) 变化的曲线, 并求其斜率。
39. 某样品溶液的浓度为  $1.55 \times 10^{-3} \text{ g/L}$ , 将其置于光程为 1cm 的比色皿中, 其透光率为 44%。改变样品溶液的浓度后, 其透光率上升到 57%, 请计算此时溶液的浓度。
40. 如果某光束从空气入射到水面, 入射光与界面法线成  $75^\circ$  角, 请计算其在水中的折射角。
41. 请说明为什么光纤传感器一般都需要同时进行双波长测量。
42. 请作出光纤  $p_{O_2}$  传感器的荧光强度 ( $y$  轴) 随氧浓度 ( $x$  轴) 变化的曲线。
43. 某种染料的吸收光谱如图 10.45 所示, 拟用化学传感器测量染料的 pH 值。假设染料在各种酸碱性条件下的吸光度与其 pH 值呈线性关系。请设计一种计算染料 pH 值的方法。
44. 请说明基于吸收光谱与基于荧光光谱测量方法之间的区别。

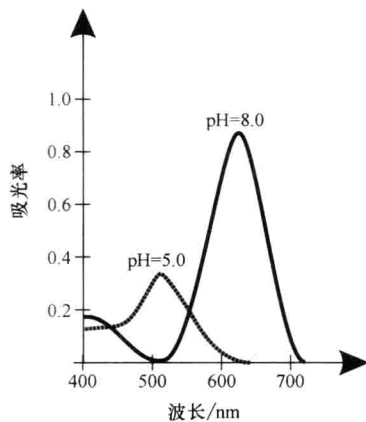


图 10.45 某种染料在酸性 ( $\text{pH}=5.0$ ) 和碱性 ( $\text{pH}=8.0$ ) 下的吸收光谱

## 推荐阅读资料

- J.A. Allocca, A. Stuart, *Transducers: Theory and Applications*, Reston Publishing, Reston, VA, 1984.  
 R. Aston, *Principles of Biomedical Instrumentation and Measurement*, Macmillan, New York, 1990.  
 D. Buerk, *Biosensors: Theory and Applications*, CRC Press, Boca Raton, FL, 1995.  
 R.S.C. Cobbold, *Transducers for Biomedical Measurement: Principles and Applications*, Wiley, New York, 1974.

- L. Cromwell, F.J. Weibell, E.J. Pfeiffer, *Biomedical Instrumentation and Measurements*, Prentice Hall, Englewood Cliffs, NJ, 1980.
- B. Eggins, *Biosensors: An Introduction*, Wiley, New York, 1997.
- B.R. Eggins, *Chemical Sensors and Biosensors for Medical and Biological Applications*, John Wiley, New York, 2002.
- L.A. Geddes, L.E. Baker, *Principles of Applied Biomedical Instrumentation*, third ed., Wiley-Interscience, New York, 1989.
- E.A.H. Hall, *Biosensors*, Prentice Hall, Englewood Cliffs, NJ, 1991.
- G. Harsanyi, *Sensors in Biomedical Applications: Fundamental, Technology and Applications*, CRC Press, Boca Raton, FL, 2000.
- M.R. Neuman, *Biomedical Sensors*, in: J.D. Bronzino (Ed.), *The Biomedical Engineering Handbook*, second ed., CRC/IEEE Press, Boca Raton, FL, 1999.
- T. Togawa, T. Tamura, P.A. Oberg, *Biomedical Transducers and Instruments*, CRC Press, Boca Raton, FL, 1997.
- J.G. Webster, *Encyclopedia of Medical Devices and Instrumentation*, John Wiley, New York, 1988.
- J.G. Webster, *Medical Instrumentation: Application and Design*, third ed., John Wiley, New York, 1998.
- D.L. Wise, *Bioinstrumentation and Biosensors*, Marcel Dekker, New York, 1991.
- J. Cooper, A.E.G. Cass, *Biosensors*, Oxford University Press, 2004.

# 第 11 章 生物信号处理

Monty Escabí, 博士

## 本章目录

- 11.1 绪论
- 11.2 生物信号的生理基础
- 11.3 生物信号的特性
- 11.4 信号采集
- 11.5 生物信号的频域表示
- 11.6 线性系统
- 11.7 信号平均
- 11.8 小波变换和短时傅里叶变换
- 11.9 人工智能技术
- 11.10 习题
- 推荐阅读资料

## 本章的主要学习内容：

- 各种生物信号及其不同来源；
- 周期信号与暂态信号、确定性信号与随机信号之间的区别；
- 模-数转换原理；
- 采样定理；
- 傅里叶变换及其应用；
- Z 变换；
- 线性系统的基本性质；
- 滤波和信号平均的基本原理；
- 模糊逻辑的基本原理和特点；
- 神经网络的基本原理。

## 11.1 绪论

生物的电学、化学和力学活动会产生各种可以测量和分析的信号，这就是生物信号，它们是空间、时间或者时空上的记录信号，如心脏搏动、肌肉收缩等活动产生的信号。生物信号包含了许多有用的信息，可以用于了解特定生物现象或生物系统的生理机



制，也可以用于医学诊断。

生物信号的采集方法有很多种。例如，医生用简单的听诊器就可以听到病人的心音。如果借助先进的高技术生物医学仪器，那么就可以获得更多生物信号。采集到数据之后，为了提取其中的有用信息，要对生物信号进行分析。最基本的方法有放大、滤波、数字化、信号处理和存储等，它们通常可以用简单的电子电路或者计算机来实现。除这些基本方法以外，还有信号平均、小波分析和人工智能等常用的高级数字信号处理方法，它们对于改善提取数据的质量具有重要的作用。

11.2 生物信号的生理基础

11.2.1 生物电信号

神经细胞和肌肉细胞都会产生电信号，这种电信号是细胞内部和细胞之间电化学变化引起的（详见本书第12章）。如果神经细胞或者肌肉细胞受到足够强的刺激，达到了所需的阈值，那么，细胞就会产生动作电位。动作电位由短促的细胞膜跨膜离子流形成，可以用胞内或胞外电极检测。神经细胞产生的动作电位可以通过轴突从一个细胞传导到其他细胞。大量细胞同时产生动作电位时会在细胞外形成一个电场，此电场可以通过生物组织传播出去。因此，这种胞外的电位变化可以在组织表面或者生物体表面用表面电极测量。例如，心电图（electrocardiogram, ECG）、胃电图（electrogastrogram, EGG）、脑电图（electroencephalogram, EEG）和肌电图（electromyogram, EMG）等都是这类生物电信号（见图11.1）。

11.2.2 生物磁信号

心脏、大脑和肺等各种器官也会产生微弱的磁场，可以用磁场传感器测量。一般，磁场强度

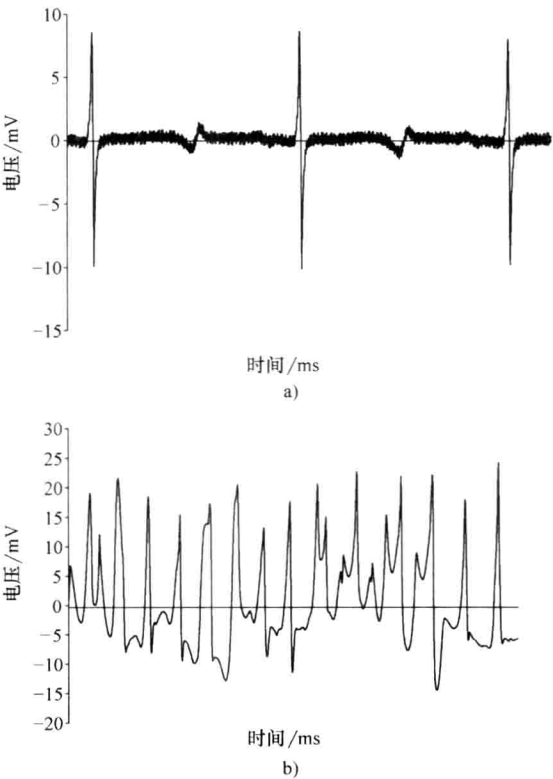


图 11.1 猪心脏表面测得的正常窦性心律心电图（图 a）及其心室颤动（Ventricular Fibrillation, VF）心电图（图 b）（采样频率为 1000Hz）

比相应的生物电信号要弱得多。生物磁学 (biomagnetism) 研究的就是与特定生理活动相关的磁信号, 这种磁信号通常都与特定的组织或器官所产生的电场具有密切的联系。利用非常精密的磁场传感器, 如超导量子干涉计 (Superconducting Quantum Interference Device, SQUID), 就可以直接监测大脑、外周神经、胃肠道和心脏等的磁活动, 这些测量分别称为脑磁图 (magnetoencephalography, MEG)、神经磁图 (magnetoneurography, MNG)、胃肠磁图 (gastrointestinal tract, MGG) 和心磁图 (magnetocardiography, MCG)。

### 11.2.3 生物化学信号

生物化学信号反映了体内各种化学物质浓度变化的信息。例如, 细胞内钙、钾等各种离子的浓度都可以检测和记录; 呼吸系统或者血液中的氧分压 ( $p_{O_2}$ ) 和二氧化碳分压 ( $p_{CO_2}$ ) 等测量数据常用于检查血氧浓度是否正常, 这些都是生物化学信号。生化信号有很多用途, 比如通过测定血糖、乳酸和各种代谢物的浓度, 就可以了解各种生理系统的状况。

### 11.2.4 生物力学信号

生物系统的力学参量, 包括运动、位移、张力、压强和流量等, 也都是生物信号。例如, 血压就是血液对血管壁的作用力的测量, 如图 11.2 所示, 血压的变化可以用记录曲线来表示。曲线的上升相表示心室的收缩期, 此时血液从心脏射出, 流向身体其他部位, 血压攀升到收缩压, 即血压的最高值 (详见本书第 3 章); 曲线的下降相则对应于心室的舒张期, 此时血压跌落至最低值, 也就是所谓的舒张压。

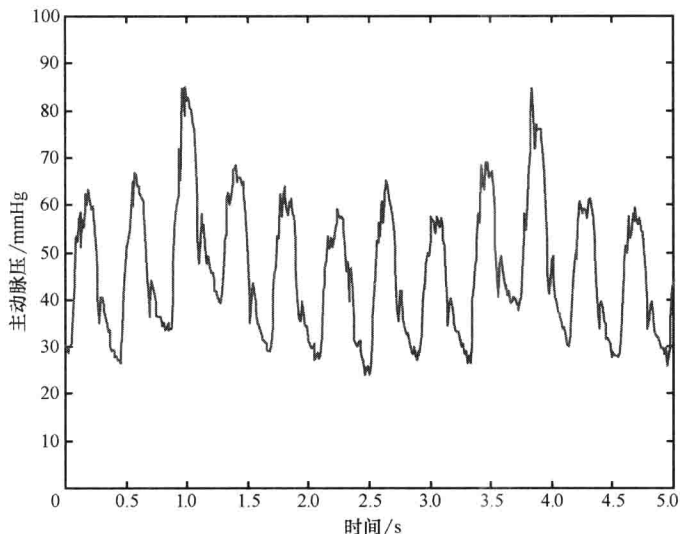


图 11.2 某 4 岁儿童的主动脉弓血压波形 (采样频率为 200Hz)

### 11.2.5 生物声信号

生物声信号是涉及振动的一种特殊生物力学信号，很多生物现象会产生声音。例如，血液流过心脏瓣膜时会产生一种独特的声音，通过测量这种声音信号就可以判断心脏瓣膜的功能是否正常。此外，呼吸系统、关节和肌肉也都会产生声音信号，而且这些信号可以经过生物组织传播出来，通常使用放在皮肤表面的扩音器或者机械振动仪等声音传感器就可以检测。

### 11.2.6 生物光信号

生物光信号是由生物系统的光学特性或者光诱导特性产生的，也就是，这种信号可以是生物体自发产生的，也可以是为了测量某种生物参量由外界导入的光信号。例如，通过测量羊水的荧光特性，可以判断胎儿的健康状况；用染料稀释法，也就是监测染料进入血液循环系统之后的浓度，可以估计心输出量。此外，红光和红外光有各种各样的应用，例如，通过检测皮肤等特定组织对这种光的吸收量可以精确测量组织的血氧浓度。

#### 例 11.1

当你快速跑过人行道时，你的小腿肌肉会产生哪些生物信号？

解：

脚踩在路面时，肌肉的运动和外力的作用会产生生物力学信号；神经对肌肉的刺激和肌细胞的收缩会产生生物电信号；肌肉组织的代谢过程则会产生生物化学信号。 ■

## 11.3 生物信号的特性

生物信号可以按照波形、统计特性和时域特性的不同进行分类。最常见的是分成连续信号和离散信号两大类。连续信号（continuous signal）定义在连续的时间或空间上，用连续变量的函数来描述。符号  $x(t)$  用于表示随连续时间  $t$  变化的连续信号  $x$ 。生物现象所产生的信号几乎都是连续信号，例如，图 11.1 所示的心电图信号、图 11.2 所示的动脉压信号以及大脑的脑电活动信号等都是连续信号。

离散信号（discrete signal）也是如今临床应用中常见的一类信号，它与连续信号不同。连续信号定义在连续的时间或空间上；而离散信号只定义在按一定规律分布的一部分时间或空间点上。因此，离散信号可以用数组，也就是数的序列来表示。符号  $x(n)$  用于表示只在离散时间点  $n$  上存在的离散序列  $x$ ，其中  $n=0, 1, 2, 3\cdots$ ，它总是一个整数，表示离散序列的第  $n$  个元素。虽然多数生物信号本身并不是离散信号，但是，如今数字技术迅速发展，离散信号具有非常重要的作用。高级医学仪器通常都将人体的连续信号转变成计算机可以分析和处理的离散数字序列。例如，从不同观察角度摄取病人的 X 射线图像（连续信号）之后，CT 扫描机的计算机断层成像技术就可以从中提取数字化的采样数据，然后，对这些离散化的断层图像进行增强、运算和重建等各种数字化的处理，形成完整的病人体内器官的三维计算机模型（详见本书第 15 章）。这种技术

已经成为必不可少的临床诊断工具。

生物信号还可以分成确定性信号和随机信号两大类。确定性信号 (deterministic signal) 可以用数学函数来描述, 周期信号和暂态信号就属于确定性信号。周期信号通常由不同的正弦分量构成, 可以表示为

$$x(t) = x(t + kT) \quad (11.1)$$

式中  $x(t)$ ——信号;

$k$ ——整数;

$T$ ——周期。

周期  $T$  表示信号上前后两个相邻的重复波形在时间轴上的距离。周期信号其实是持续时间为  $T$  的基本波形的无限重复信号。暂态信号只在有限的一段时间内存在不等于零的变化值, 以后, 随着时间的推移就逐渐衰减为某个常数值。图 11.3a 所示的正弦波就是周期信号的简单例子, 它以 1s 为间隔不断重复出现。图 11.3b 所示是指数衰减信号

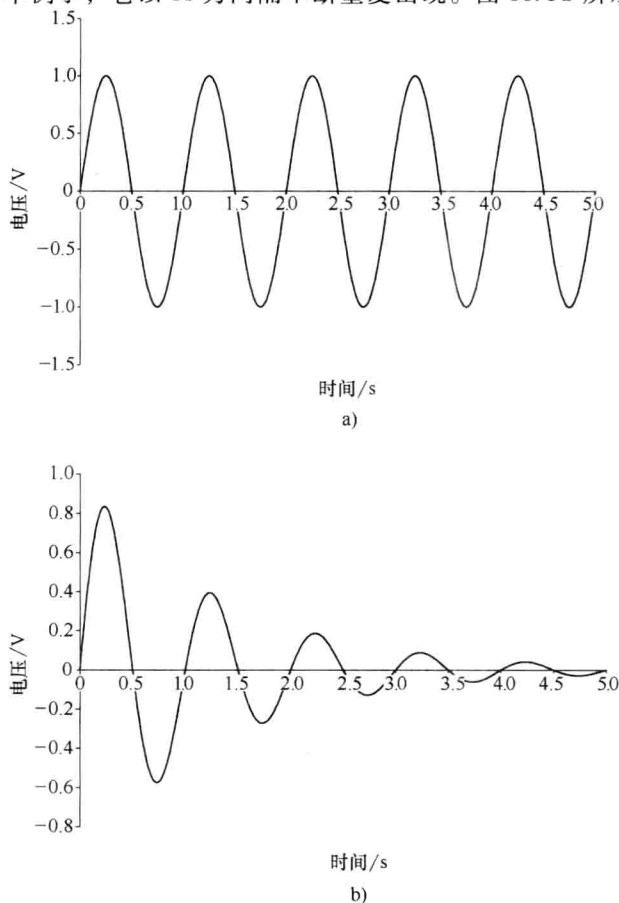


图 11.3 a) 周期为 1s 的正弦波信号  $x(t) = \sin(\omega t)$

b) 暂态信号  $y(t) = e^{-0.75t} \sin(\omega t)$  (其中包含的正弦波周期也是 1s)

与正弦信号的乘积，它是一个暂态信号，随着时间的推移，其信号幅值逐渐趋于零。

实际的生物信号几乎总是含有不可预测的噪声或参数变化，因此不完全是确定性信号。例如，处于安静状态的正常心脏的 ECG 看上去几乎是周期性信号，但其实含有一些不可预测的成分。ECG 的基本波形由 P 波、QRS 复合波和 T 波组成，并不断重复出现（参见图 3.22）。但是，每次心跳周期中 P 波、QRS 复合波和 T 波都会有一些不规则的变化。各个 QRS 复合波之间的时间间隔，也就是常说的 R-R 间期，也会随时间发生变化，从而产生心率变异（Heart Rate Variability, HRV）。HRV 是一个诊断指标，可以用于心脏病发作之后的预后诊断，HRV 降低病人的预后往往比 HRV 升高病人的糟糕。

随机信号的参数中包含了不确定因素。由于这种不确定性，随机信号不能用数学函数精确表述，而要用统计学方法分析，也就是用信号的概率分布或者均值和标准差等统计量来描述。例如，肌电图（EMG）就是一种随机信号，它是骨骼肌电活动的记录信号，可以用于神经肌肉疾病的诊断。稳态随机信号的统计特性和频谱特性不随时间变化；相反，非稳态随机信号的统计特性和频谱则随时间变化。在很多情况下，识别随机信号中的各个稳态期对于正确进行信号处理、模式识别和临床诊断具有重要意义。

#### 例 11.2

心室颤动（VF）是一种心率失常，它表现为 QRS 复合波和 T 波的无规律出现，也就是无规律的心肌收缩（见图 11.1b）。VF 常会导致猝死，在美国是死亡率最高的疾病之一。请问 VF 发生期间，ECG 记录信号最可能呈现出哪种类型的生物信号？

解：

心室颤动时 ECG 记录信号将是随机的连续生物电信号。 ■

## 11.4 信号采集

### 11.4.1 生物信号数据采集概述

生物信号通常很微弱，且一般都含有噪声，噪声会干扰测量信号中的有用信息。它可以是外源性的，来自体外噪声源，如传感器的热噪声、数据采集系统的电子器件中由供电系统引起的 60Hz 噪声等。噪声也可以是生物体内部产生的，来自被测对象附近的各种组织和器官。例如，心脏的 ECG 测量会受到周围肌肉组织电活动的影响。

为了从生物信号中提取有用的信息，通常必须使用先进的数据采集技术和仪器设备，需要用高精度低噪声的仪器尽可能减小噪声的干扰。图 11.4 所示是生物仪器系统的基本结构示意图。

数据采集的整个过程中，关键是要真实地保留感兴趣的原始生物信号的信息和结构，因为这些信号将用于辅助疾病的诊断，因此，信号的放大、模拟滤波以及 A-D 转换等处理过程都不应该产生容易误解或者难以理解的失真。测量信号的失真会导致误诊。

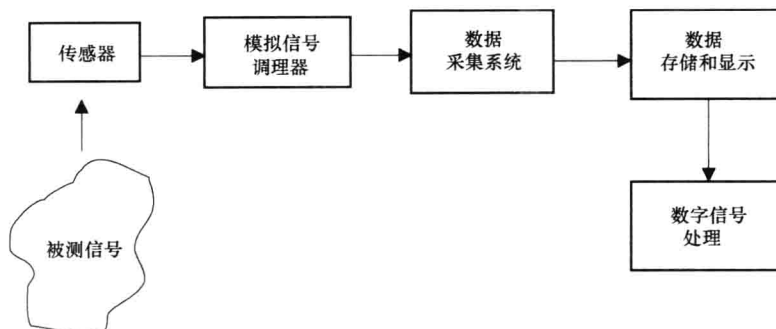


图 11.4 生物仪器系统的基本结构示意图

注：被测信号经过传感器转换成可测的模拟电信号，随后由数据采集系统转化为可以存储和校正的数字信号，再用数字信号处理技术去除记录信号中的噪声，并提取出原始信号中能够反映特定生理含义的有用信息。

### 11.4.2 传感器、放大器和模拟滤波器

无论是体内细胞的生物信号还是皮肤表面的生物信号，都要先用传感器检测（参见本书第 10 章）。传感器可以将物理量转变为电量，它是生物系统与电信号记录仪器之间的接口。生物信号的类型决定了所需使用的传感器的类型。例如，ECG 用粘贴在体表的电极测量，这种电极的银/氯化银（ $\text{Ag}/\text{AgCl}$ ）界面可以检测离子的转移；而动脉压则用压力传感器测量。利用传感器检测信号时必须注意的重要问题是传感器本身不能反过来影响被测生物信号的特性。

传感器测得生物信号之后，信号通常需要放大和滤波。常用的运算放大器电路的主要功能就是增加生物信号的幅值。例如，生物电信号通常很微弱，有时需要使用运放电路放大上千倍，然后再用模拟滤波器去除噪声或者补偿传感器引起的失真。另外，为了满足数据采集系统的硬件要求，也必须进行生物信号的放大和滤波，因为只有将连续信号限制在一定的频率范围之内，才可以使用模-数转换器进行数字化采样并将数据存储到计算机中。

### 11.4.3 模-数转换

模-数（A-D）转换器用于将连续的模拟信号转换为数字序列。它其实是一种计算机控制的电压表，测量模拟输入信号并给出数字形式的输出结果。图 11.5a 所示是一个模拟信号，图 11.5b 则是其相应的数字序列。由传感器检测并经过放大和滤波的模拟信号是一种连续波形，A-D 转换器将这种连续的模拟信号转换成为离散的数字信号。离散信号由数字序列组成，很容易用数字计算机存储和处理。A-D 转换特别重要，因为随着计算机技术的发展，生物信号的存储和分析越来越依赖于计算机。

经过 A-D 转换之后，原始模拟信号就可以用一系列数字信号来表示。但是，这种

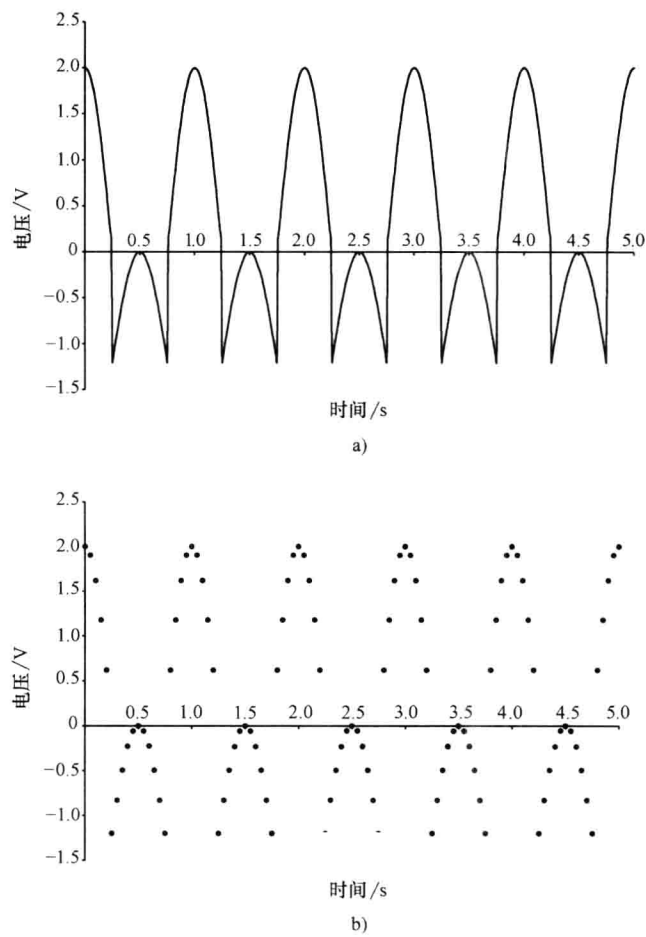


图 11.5 周期性模拟信号（图 a）及其数字采样信号（图 b）

数字化的信号并不能完全重现原始信号，离散的数字信号只是原始模拟信号在固定时间间隔上的幅值的采样，是原始信号的数字化近似值。

A-D 转换包括采样和量化两个主要过程。采样是第一步，它把连续信号转换成时间上离散的序列。假设  $x(t)$  为模拟信号，采样就是每隔  $T$  秒时间记录一个  $x(t)$  幅值。该幅值用  $x(kT)$  表示，其中  $k=0, 1, 2, 3\cdots$ ，为整数，表示采样数据序列中数据的位置或序号； $T$  表示采样间隔，也就是两个相邻采样点之间的时间。实际应用中，数字信号处理一般只使用有限长的数据序列，因此，数据点的范围为  $k=0, 1, \cdots, N-1$ ，其中  $N$  是离散采样点的总数。采样频率  $f_s$  等于采样周期的倒数，即  $1/T$ ，其单位是赫兹 (Hz)，即  $s^{-1}$ 。

以下是几个特别重要的离散数字序列：

- 1) 单位冲激脉冲序列：

$$\delta(k) = \begin{cases} 1 & k=0 \\ 0 & k \neq 0 \end{cases}$$

2) 单位阶跃序列:

$$u(k) = \begin{cases} 1 & k \geq 0 \\ 0 & k < 0 \end{cases}$$

3) 指数序列:

$$a^k u(k) = \begin{cases} a^k & k \geq 0 \\ 0 & k < 0 \end{cases}$$

要使离散的采样结果能够精确逼近连续信号, 必须正确地选择采样频率。如果采样频率太低, 数字信号就会产生失真。奈奎斯特定理 (Nyquist's theorem) 指出: 如果要保留模拟信号的全部信息, 那么, 最小采样频率至少应该是原始信号所含最大频率的两倍。即 Nyquist 采样频率为

$$f_{\text{nyquist}} = 2f_{\text{max}} \quad (11.2)$$

其中  $f_{\text{max}}$  表示模拟信号中含有的最高频率成分。因此, 采样频率  $f_s$  必须大于等于  $2f_{\text{max}}$ , 才能用数字序列完整地表达模拟信号。实际使用时, 采样频率通常为最高频率  $f_{\text{max}}$  的 5 ~ 10 倍。

A-D 转换的第二步是信号的量化。量化是将离散信号的连续幅值转化为计算机数字量。理论上, 连续信号的幅值很可能要用无限长的数字才能表示。而计算机内存的容量有限, 不可能储存任意数值。量化就是把信号幅值的取值限定在计算机可以处理的有限个数的数值上。

计算机里储存和处理的数字化数据通常都用二进制数字来表示, 因此, 采样过程中所产生的每个采样值都必须量化, 也就是, 离散的采样序列都要转化为二进制数字。A-D 转换器的分辨率决定了存储的采样数据的位数。一般, A-D 转换器有 8 位、12 位或 16 位 (即二进制位数) 等分辨率。如果位数不够多, 那么数字化逼近就可能出现明显的误差。

A-D 转换器能够产生的二进制数的位数是其重要的性能指标。 $N$  位 A-D 转换器一共可以表示  $2^N$  个可能的幅值。二进制位数越多, A-D 转换器的分辨率就越高。16 位 A-D 转换器能够表示 65536 个不同的幅值, 其分辨率高于只能表示 256 个幅值的 8 位 A-D 转换器。用模拟输入信号的电压范围除以 A-D 转换器可能取值的个数就可以计算出 A-D 转换器的分辨率。

### 例 11.3

假设输入信号的电压范围为 10V, 请计算 8 位 A-D 转换器的分辨率。

解:

$$\frac{\text{输入电压范围}}{2^N} = \frac{10\text{V}}{256} = 0.0391\text{V/位} = 39.1\text{mV/位}$$

### 例 11.4

EEG 模拟信号的频率范围是 0.5 ~ 100Hz。要获得正确的数字信号, 则其采样频率至少为多少?



解：

该模拟信号的最高频率 = 100Hz，因此

$$f_{\text{nyquist}} = 2f_{\text{max}} = 2 \times 100\text{Hz} = 200\text{采样数/s}$$
 ■

如果信号的采样频率不够高，那么，会产生怎样的结果呢？根据采样定理可以直接得到的结果是：假设  $-\infty \leq k \leq \infty$  且采样频率  $f_s = 1/T$ ，那么，采样之后各个  $[f - kf_s]$  频率上的值就都相同。由此不难看出上述问题的答案。

例 11.5

假设某个 360Hz 信号的采样频率为 200Hz，那么，采样得到的这种“混叠”数字信号的频率会是多少？

解：

这里  $f_s = 200\text{Hz}$ ，因此，采样之后，数值都相同的频率应该是  $[360 - k200] = [\dots 360 \quad 160 \quad -40 \quad -240 \dots]$ 。在这组信号中只有 40Hz 的信号是 200Hz 采样频率可以正确表示的，因为此时采样频率大于信号频率的两倍。注意，对于实数信号， $-40\text{Hz}$  和  $+40\text{Hz}$  的信号是等价的，即  $\cos(-\omega t) = \cos(\omega t)$ ，而  $\sin(-\omega t) = -\sin(\omega t)$ 。因此，本题中采样得到的信号看起来会是 40Hz 的周期信号。图 11.6 显示了这个采样过程。

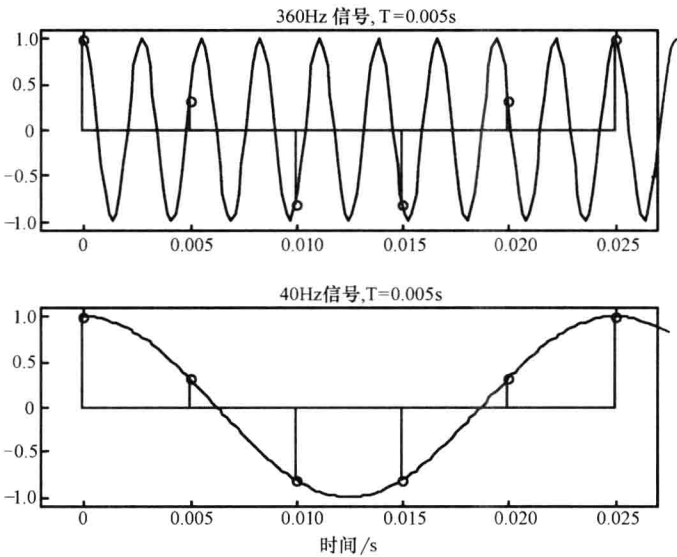


图 11.6 每隔 5ms 采样一次 360Hz 的正弦波得到的却是 40Hz 的正弦波  
注：200Hz 采样频率仅足以采样 40Hz 的正弦波，但不能采样 360Hz 的正弦波。 ■

### 11.5 生物信号的频域表示

19 世纪初，傅里叶（Joseph Fourier）提出了函数近似领域最重要的一个数学定理。当时该定理应用于固体的热传导问题，但随即就被迅速推广。如今，傅里叶的这个发明

已成为简单函数近似复杂波形的通用理论,在数学、物理学和工程技术中都得到了广泛的应用。本节将综述傅里叶变换及其各种不同的表达形式,它们对于生物信号的分析 and 处理具有重要的作用。

### 11.5.1 周期信号的表示方法——三角傅里叶级数

画家在帆布上画油画时,总是先用颜料在调色板上精心配制出各种不同的颜色,再涂刷到画面上表现不同的色彩。众所周知,红绿蓝(RGB)三原色以适当的比例简单组合之后,就可以显示出彩色色谱上的所有颜色。电视机和计算机的显示就是将信号转换成 RGB 形式,从而组合产生各种颜色,很像画家在画布上所做的工作。实际上,人眼视觉系统的处理过程恰恰与此相反。视网膜将外界的图像和场景的颜色分解成单纯的红、绿、蓝 3 种信号,然后由大脑对这些信号分别进行分析和处理。不过,尽管如此,我们还是能够辨识很多种颜色及其不同的亮暗程度。

这种简单的调色原理其实就是傅里叶定理的核心,该定理表明任何复杂波形可以用简单函数来近似,并达到所需的任意精度。傅里叶在 1807 年指出,任意一个周期为  $T$  的周期信号在数学上都可以表示成一组三角函数之和。图 11.7 就显示了方波函数的这种形成过程。理论上,通过同时调节各个正弦波的振幅和频率,就可以实现这种组合。

如果振幅和频率选择合适,三角函数的相加就可以组合成任意周期信号。这就像按照精确的比例组合三原色来产生任意颜色和任意亮暗的原理一样。RGB 三原色是构成各种精细颜色的基本元素,同理,具有不同频率的正弦波是构成各种复杂信号的基本元素。各种颜色及其所需比例,或者各种正弦波频率及其振幅,都必须精确地调节才能获得理想的结果。例如,用频率和振幅合适的单个正弦波可以实现方波信号的一阶近似,在其中加入高频正弦波成分(即谐波)可以改善其近似的效果。如果不断重复这个过程,增加更高频率的正弦波,就可以无限逼近方波信号(见图 11.7)。

如下傅里叶级数表示了上述近似的求和计算:

$$x(t) = a_0 + \sum_{m=1}^{\infty} (a_m \cos m\omega_0 t + b_m \sin m\omega_0 t) \quad (11.3a)$$

式中  $x(t)$ ——被近似的周期信号;

$\omega_0 = 2\pi/T$ —— $x(t)$  的基频,单位为弧度/秒,即 rad/s;

$a_m$  和  $b_m$ ——分别是频率为  $\omega_m = m\omega_0$  的余弦项和正弦项的振幅。

式(11.3a)表明,周期信号  $x(t)$  可以用无限个正弦波之和精确地重建出来。正弦函数的频率总是  $\omega_0$  的整数倍, $\omega_0$  被称为基频,各个正弦函数被称为基频的“谐波”。如果每个正弦和余弦项的系数  $a_m$  和  $b_m$  已知,那么,计算傅里叶级数就可以完全复原信号  $x(t)$ 。然而,如何确定任意信号的  $a_m$  和  $b_m$  呢?

傅里叶级数的系数对应于每个正弦和余弦的振幅,可以计算如下:

$$a_0 = \frac{1}{T} \int_T x(t) dt \quad (11.3b)$$

$$a_m = \frac{2}{T} \int_T x(t) \cos(m\omega_0 t) dt \quad (11.3c)$$

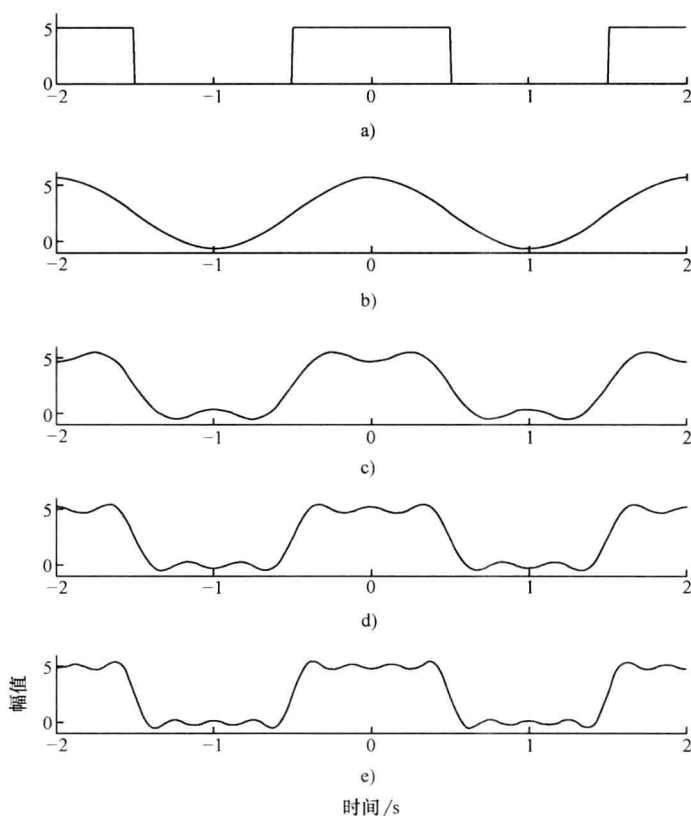


图 11.7 方波信号可以用不同数目正弦波的叠加来近似

a) 方波信号 b) 1 个正弦波 c) 2 个正弦波 d) 3 个正弦波 e) 4 个正弦波

注: 随着正弦波数目的增加, 近似曲线的质量越来越高。

$$b_m = \frac{2}{T} \int_T x(t) \sin(m\omega_0 t) dt \quad (11.3d)$$

式中积分区间均为波形的单个周期  $T$ 。

### 例 11.6

请写出图 11.7a 所示方波信号的傅里叶三角级数, 并用 MATLAB 程序计算前 10 项的组合结果, 画出时间波形图和傅里叶系数图。

解:

首先

$$T = 2, \omega_0 = \frac{2\pi}{T} = \pi$$

为了简化计算,  $a_m$  和  $b_m$  的积分区间设为方波周期的  $-1 \sim 1$  区间, 于是

$$a_0 = \frac{1}{T} \int_{-1}^1 x(t) dt = \frac{1}{2} \int_{-1/2}^{1/2} 5 dt = \frac{5}{2}$$

$$\begin{aligned}
 a_m &= \frac{2}{T} \int_{-1}^1 x(t) \cos(m\omega_0 t) dt = \int_{-1/2}^{1/2} 5 \cos(m\pi t) dt \\
 &= -5 \frac{\sin(m\pi t)}{m\pi} \Big|_{-1/2}^{1/2} = -5 \frac{\sin(m\pi/2)}{m\pi/2} = 5 \operatorname{sinc}(m\pi/2) \\
 b_m &= \frac{2}{T} \int_{-1}^1 x(t) \sin(m\omega_0 t) dt = \int_{-1/2}^{1/2} 5 \sin(m\pi t) dt = -5 \frac{\cos(m\pi t)}{m\pi} \Big|_{-1/2}^{1/2} = 0
 \end{aligned}$$

其中,  $\operatorname{sinc}(x)$  的定义是  $\operatorname{sinc}(x) = \sin(x)/x$ 。将  $a_0$ 、 $a_m$  和  $b_m$  的值代入式 (11.3a), 可得

$$x(t) = \frac{5}{2} + 5 \sum_{m=1}^{\infty} \frac{\sin(m\pi/2)}{m\pi/2} \cos(m\pi t)$$

MATLAB 程序如下:

```

% Plotting Fourier Series Approximation
subplot(2 1 1)
time = -2:0.01:2;% Time Axis
x = 5/2;% Initializing Signal
for m = 1:10
    x = x + 5 * sin(m * pi/2)/m/pi * 2*cos(m * pi * time);
end
plot(time,x,'k')% Plotting and Labels
xlabel('Time(sec)')
ylabel('Amplitude')
set(gca,'Xtick',[-2:2])
set(gca,'Ytick',[0 5])
set(gca,'Box','off')

% Plotting Fourier Magnitudes
subplot(2 1 2)
m = 1:10;
Am = [5/2 5 * sin(m * pi/2)./m/pi * 2];% Fourier Magnitudes
Faxis = (0:10) * .5;% Frequency Axis
plot(Faxis,Am,'k'.)% Plotting
axis([0 5 -2 4])
set(gca,'Box','off')
xlabel('Frequency (Hz)')
ylabel('Fourier Amplitudes')

```

运行该程序时输出的结果见图 11.8。

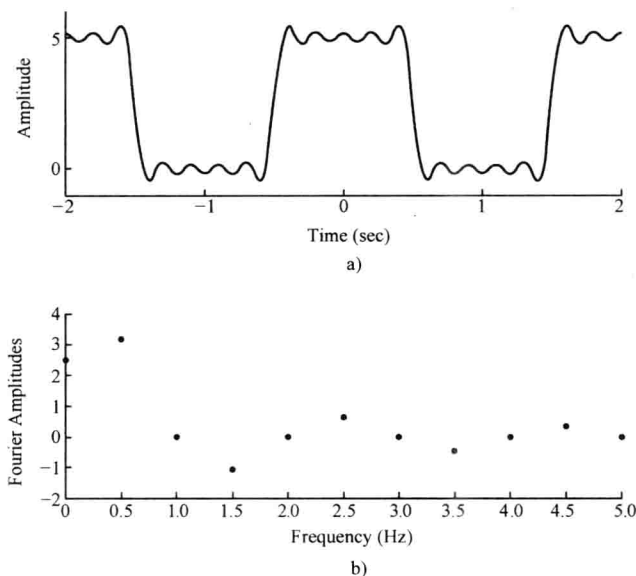


图 11.8 MATLAB 程序输出的方波信号的傅里叶级数近似曲线

a) 前 10 项傅里叶级数的近似结果 b) 各个谐波频率的傅里叶系数

注意, 图 11.8a 所示的前 10 个谐波的求和结果已经很接近理想方波信号。图 11.8b 显示了前 10 个谐波的傅里叶系数  $a_m$ 。如果要完全重现方波信号快速变化的上升沿和下降沿, 那就需要无限个谐波。

### 11.5.2 简化傅里叶级数

傅里叶级数的三角函数形式提供了一种直接近似拟合和分析各种生物信号的方法, 如心脏的重复搏动、人说话时声带所产生的周期性振动等, 都可以拟合。傅里叶级数还有其他形式, 对于各种不同的应用场合, 不同的形式可能更有利于数学处理和信号分析。其中, 生物信号拟合和建模中最常用的形式是简化傅里叶级数和指数傅里叶级数。

简化傅里叶级数是标准傅里叶级数的孪生兄弟。由于正弦函数和余弦函数之和可以写成单个包含相位常数的余弦函数, 即  $a_m \cos m\omega_0 t + b_m \sin m\omega_0 t = A_m \cos(m\omega_0 t + \phi_m)$ , 因此, 可以导出傅里叶级数的简化形式为

$$x(t) = \frac{A_0}{2} + \sum_{m=1}^{\infty} A_m \cos(m\omega_0 t + \phi_m) \quad (11.4a)$$

各个余弦函数的振幅  $A_m$  与傅里叶系数之间的关系为

$$A_m = \sqrt{a_m^2 + b_m^2} \quad (11.4b)$$

余弦函数的相位也可以用  $a_m$  和  $b_m$  求得, 即

$$\phi_m = \arctan\left(\frac{-b_m}{a_m}\right) \quad (11.4c)$$

## 例 11.7

请将例 11.6 方波函数的标准傅里叶级数转化成简化形式, 并编写相应的 MATLAB 程序。

解:

首先, 需要计算简化傅里叶级数的振幅  $A_m$  和相位  $\phi_m$ , 振幅为

$$A_m = \sqrt{a_m^2 + b_m^2} = \sqrt{[5 \operatorname{sinc}(m\pi/2)]^2 + 0^2} = 5 \frac{|\sin(m\pi/2)|}{\pi m/2}$$

由于

$$|\sin(m\pi/2)| = \begin{cases} 1 & m = \text{奇数} \\ 0 & m = \text{偶数} \end{cases}$$

因此

$$A_m = \begin{cases} 10/m\pi & m = \text{奇数} \\ 0 & m = \text{偶数} \end{cases}$$

注意, 与标准傅里叶级数的  $a_m$  和  $b_m$  不同, 对于所有  $m$ ,  $A_m$  都是正值。相位计算如下:

$$\phi_m = \arctan\left(\frac{-b_m}{a_m}\right) = \arctan\left[\frac{0}{5 \operatorname{sinc}(m\pi/2)}\right] = \begin{cases} 0 & m = 0, 1, 4, 5, 8, 9 \dots \\ \pi & m = 2, 3, 6, 7, 10, 11 \dots \end{cases}$$

于是, 整个简化傅里叶级数的表达式为

$$x(t) = \frac{5}{2} + \sum_{m=1}^{\infty} \frac{10}{m\pi} \cos(m\omega_0 t + \phi_m)$$

其中,  $\phi_m$  已在前面定义过。方波的标准傅里叶级数及其简化形式其实很相似。标准形式的系数  $a_m$  交替取正值和负值, 而简化形式的傅里叶系数  $A_m$  的大小与  $a_m$  相同, 但它总是正值。标准傅里叶系数的正、负在简化形式中表现为相位交替取 0 和  $\pi$ 。由于  $-\cos(x) = \cos(x + \pi)$ , 就使得余弦函数的值交替变换正、负号。由此可见, 两个方程在数学上其实是相同的, 只是三角函数的表示方法不同。

MATLAB 实现程序如下:

```
% Plotting Fourier Series Approximation
time = -2:0.01:2; % Time Axis
x = 5/2; % Initializing Signal
m = 1:10;
A = (10 * sin * (m * pi/2) ./ m/pi); % Fourier Coefficients
P = angle(A); % Phase Angle
A = abs(A); % Fourier Magnitude
for m = 1:10
    x = x + A(m) * cos(m * pi * time + P(m));
end
subplot(2 1 1)
plot(time, x, 'k') % Plotting and Labels
xlabel('Time(sec)')
```

```

ylabel('Amplitude')
set(gca,'Xtick',[-2:2])
set(gca,'Ytick',[0 5])
set(gca,'Box','off')

% Plotting Fourier Magnitudes
subplot(2 1 2)
m = 1:10;
A = [5/2A]; % Fourier Magnitudes
Faxis = (0:10) * .5; % Frequency Axis
plot(Faxis,A,'k.') % Plotting
axis([0 5 -2 4])
set(gca,'Box','off')
xlabel('Frequency(Hz)')
ylabel('Fourier Amplitudes')

```

该程序的输出结果与图 11.8a 和 11.8b 所示相同。 ■

### 11.5.3 指数傅里叶级数

傅里叶级数分析的主要结论是任意周期信号都可以用具有特定振幅和相位的一系列余弦函数之和来近似拟合。该结论构成了信号分析的基本原理和理论体系。在实际应用中,傅里叶级数是各种准周期信号建模的非常有用的工具。

傅里叶级数还有一种更简便的形式。根据欧拉恒等式  $\cos(\theta) = (e^{j\theta} + e^{-j\theta})/2$  和  $\sin(\theta) = (e^{j\theta} - e^{-j\theta})/2j$  (其中  $j = \sqrt{-1}$ ), 正弦函数和余弦函数都可以用复指数函数来表示。于是,应用欧拉公式来简化傅里叶三角级数,任意周期信号就可以用如下复指数函数之和来表示:

$$x(t) = \sum_{m=-\infty}^{+\infty} c_m e^{jm\omega_0 t} \quad (11.5a)$$

该式就是周期信号的指数傅里叶级数。系数  $c_m$  为复数,它与三角傅里叶级数的系数之间存在如下关系

$$c_m = \frac{a_m - jb_m}{2} = \frac{A_m}{2} e^{j\phi_m} \quad (11.5b)$$

该式的证明已超出本书的范围。重要的是要知道傅里叶级数的三角形式与指数形式密切相关,比较它们的系数就可以看到这一点。直接由周期信号  $x(t)$  在一个周期上的积分也可以求得指数系数,即

$$c_m = \frac{1}{T} \int_T x(t) e^{-jm\omega_0 t} dt \quad (11.5c)$$

与三角傅里叶级数一样,只要求取足够数量的复指数函数之和,就可以利用傅里叶级数

的指数形式以任意精度近似周期信号。不过,指数傅里叶级数具有一个独特的优点,它只需要计算式(11.5c)这一个积分式,而三角形式的傅里叶级数则需要计算 3 个不同的积分式。

### 例 11.8

请写出图 11.7a 所示方波信号的指数傅里叶级数,并用 MATLAB 程序计算其前 10 项的组合结果,画出时间波形图和傅里叶系数图。

解:

与例 11.6 相同,傅里叶系数的积分区间取  $-1 \sim 1$ 。由于这个周期的方波信号仅在  $-1/2 \sim +1/2$  有非零值,积分的上下限就可以缩小为  $-1/2$  和  $+1/2$ ,即

$$c_m = \frac{1}{T} \int_T x(t) e^{-jm\omega_0 t} dt = \frac{1}{2} \int_{-1/2}^{1/2} 5e^{-jm\pi t} dt = \frac{5}{2} \left. \frac{e^{-jm\pi t}}{-jm\pi} \right|_{-1/2}^{1/2}$$

$$\frac{5}{2} \frac{e^{+jm\pi/2} - e^{-jm\pi/2}}{jm\pi} = \frac{5}{2} \frac{\sin(m\pi/2)}{m\pi/2}$$

因此

$$x(t) = \sum_{m=-\infty}^{+\infty} c_m e^{jk\omega_0 t} = \sum_{m=-\infty}^{\infty} \frac{5}{2} \frac{\sin(m\pi/2)}{m\pi/2} e^{jm\pi t}$$

MATLAB 的程序如下:

```
% Plotting Fourier Series Approximation
subplot(2 1 1)
time = -2:0.01:2;% Time Axis
x = 0;% Initialize Signal
for m = -10:10
    if m == 0
        x = x + 5/2;% Term for m = 0
    else
        x = x + 5/2 * sin(m * pi/2)/m/pi * 2 * exp(j * m * pi * time);
    end
end
plot(time,x,'k')% Plotting and Labels
xlabel('Time(sec)')
ylabel('Amplitude')
set(gca,'Xtick',[-2:2])
set(gca,'Ytick',[0 5])
set(gca,'Box','off')

% Plotting Fourier Magnitudes
subplot(2 1 2)
```



```

m = (-10:10) + 1E-10;
A = [5/2 * sin(m * pi/2) ./ m/pi * 2]; % Fourier Magnitudes
Faxis = (-10:10) * .5; % Frequency Axis
plot(Faxis, A, 'k'.) % Plotting
axis([-5 5 -2 4])
set(gca, 'Box', 'off')
xlabel('Frequency (Hz)')
ylabel('Fourier Amplitudes')

```

注意, 该 MATLAB 程序的输出结果如图 11.9 所示, 这里需要用正、负频率来近似方波信号。

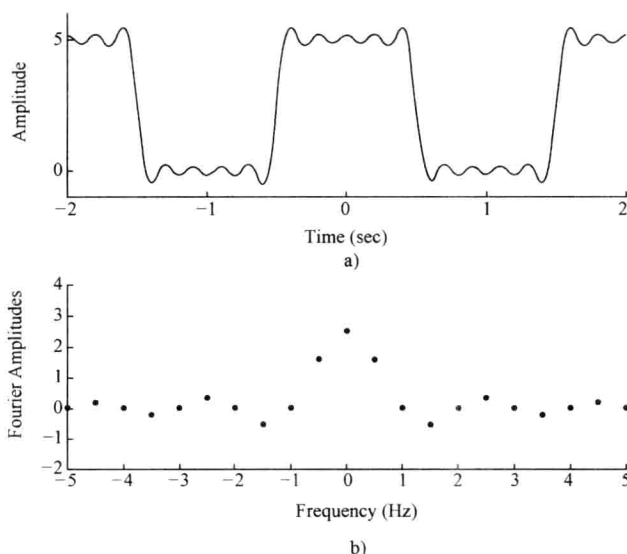


图 11.9 MATLAB 程序输出的方波信号的指数傅里叶级数的近似曲线

a) 方波信号前 10 项指数傅里叶级数的近似结果 b) 各个谐波频率上的简化傅里叶系数

注: 正、负频率分量合起来才能拟合方波信号。 ■

实际应用中, 很多周期信号和准周期信号都只需要用几个谐波分量就可以达到很精确的近似。图 11.10 和图 11.11 显示了应用傅里叶级数重建主动脉血压波形所需的谐波分量。其中, 图 11.10 是一系列余弦级数谐波的系数图。注意, 低频振幅系数的值较大, 而高频振幅系数的值较小, 也就是它们包含的能量较少, 对于波形重建不起什么作用。图中振幅系数  $A_m$  的坐标是以 10 为基底的对数, 即  $\lg$ , 因此, 小振幅的数值被放大, 也能看得见。图 11.11 显示了几种谐波重建信号。其中, 均值加上一次和二次谐波就可以描述心脏收缩和舒张的基本波形, 这两个谐波的振幅很大, 因此, 对波形重建起了主要作用。其他谐波分量只是添加了波形的一些细节, 它们对于原始波形的贡献很小。

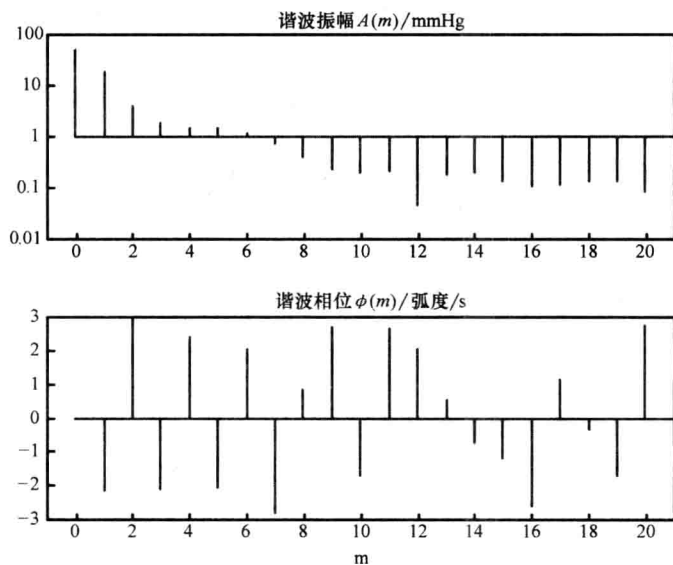


图 11.10 图 11.2 所示主动脉血压波形的谐波系数

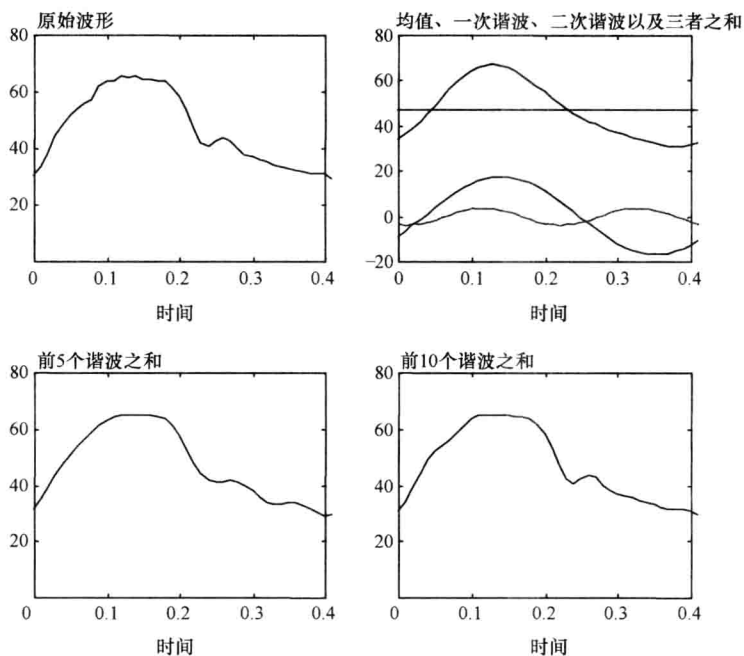


图 11.11 图 11.2 所示主动脉血压波形的谐波重建

#### 11.5.4 傅里叶变换

很多情况下,用余弦函数或正弦函数来表示信号具有很多优势,于是,频域,这个

来自周期信号傅里叶级数表达的抽象概念,就应运而生。信号可以用“时域”的时间函数  $x(t)$  来表示;也可以用“频域”的谐波频率  $\omega_m = m\omega_0$  的函数——傅里叶系数  $A_m$  和相位  $\phi_m$  来表示。因此,如果已知信号各个频率分量的傅里叶系数和相位,那么,就完全可以复原周期信号  $x(t)$ 。

傅里叶级数的一个不足之处就是它只适用于周期信号,而多数生物信号并不是周期信号。实际上,常见的生物信号都是时间的连续函数,且绝不会重复。幸运的是,傅里叶级数的原理也可以扩展到非周期信号。傅里叶积分,也称为傅里叶变换 (Fourier Transform, FT),就是用于将连续的非周期信号分解成不同频率分量的组合,即

$$X(\omega) = \int_{-\infty}^{\infty} x(t) e^{-j\omega t} dt \quad (11.6)$$

这种方法很像傅里叶级数将周期信号分解成其相应的三角函数分量。其中,  $X(\omega)$  是连续频率  $\omega$  的复数函数,与复数傅里叶级数的系数  $c_m$  类似。该公式的严格推导和证明超出了本书的范围,但要注意,傅里叶积分可以由指数傅里叶级数直接推导得到,只要将其周期  $T$  趋于无穷大就可以了。当  $T \rightarrow \infty$  时,三角函数级数的系数  $c_m$  就趋于  $X(\omega)$ 。理论上,周期无穷大的函数就可以看作非周期函数,因为你永远看不到其重复。有关信号与系统,或者数字信号处理的教科书中都可以查到常见信号的傅里叶变换计算公式。

与傅里叶级数一样,这里也需要将频域信号  $X(\omega)$  转换为其对应的时域信号。用傅里叶逆变换 (Inverse Fourier Transform, IFT) 就可以从傅里叶变换中完全恢复出时域信号  $x(t)$ , 即

$$x(t) = \frac{1}{2\pi} \int_{-\infty}^{\infty} X(\omega) e^{j\omega t} d\omega \quad (11.7)$$

这两种信号的表达可以互换,也就是时域信号  $x(t)$  与频域信号  $X(\omega)$  之间总是可以变来变去。因此,频域信号其实包含了信号的所有信息,使我们可以从另一个不同的角度来分析和处理生物信号。

### 例 11.9

请计算如下方波脉冲信号的傅里叶变换 (FT)

$$x(t) = \begin{cases} 1, & |t| \leq a \\ 0, & |t| > a \end{cases}$$

解:

应用式 (11.6), 可得

$$X(\omega) = \int_{-a}^a e^{-j\omega t} dt = \left. \frac{e^{-j\omega t}}{-j\omega} \right|_{-a}^a = \frac{2\sin\omega a}{\omega} = 2a \operatorname{sinc}(\omega a)$$

就像用傅里叶级数表示信号一样,幅值和相位是傅里叶变换的重要特性。如前所述,  $X(\omega)$  是一个复函数,由实部  $\operatorname{Re}\{X(\omega)\}$  和虚部  $\operatorname{Im}\{X(\omega)\}$  构成,可以表示为

$$X(\omega) = \operatorname{Re}\{X(\omega)\} + j\operatorname{Im}\{X(\omega)\} \quad (11.8) \blacksquare$$

与傅里叶级数相似, 式 (11.8) 的幅值决定了从其傅里叶变换重建原信号  $x(t)$  所需要的每个复指数函数 (即等价于余弦函数) 的幅值, 即

$$|X(\omega)| = \sqrt{\operatorname{Re}\{X(\omega)\}^2 + \operatorname{Im}\{X(\omega)\}^2} \quad (11.9)$$

并且, 相位决定了每个余弦信号相对于零时间参考点的时间偏移, 其计算如下:

$$\theta(\omega) = \arctan\left[\frac{\operatorname{Im}\{X(\omega)\}}{\operatorname{Re}\{X(\omega)\}}\right] \quad (11.10)$$

注意, 这里的幅值和相位计算公式与简化傅里叶三角级数的振幅和相位的计算公式 (即式 11.4a、b、c) 很相似, 其中, 傅里叶变换的幅值  $|X(\omega)|$  与  $A_m$  类似, 而  $a_m$  和  $b_m$  则分别与  $\operatorname{Re}\{X(\omega)\}$  和  $\operatorname{Im}\{X(\omega)\}$  类似。这些公式的其他方面也一样。

### 例 11.10

请计算如下傅里叶变换信号的幅值和相位

$$X(\omega) = \frac{1}{1 + j\omega}$$

解:

先将信号转化为与式 (11.8) 相似的形式, 即

$$X(\omega) = \frac{1}{1 + j\omega} \cdot \frac{1 - j\omega}{1 - j\omega} = \frac{1 - j\omega}{1 + \omega^2} = \frac{1}{1 + \omega^2} - j \frac{\omega}{1 + \omega^2}$$

于是

$$\operatorname{Re}\{X(\omega)\} = \frac{1}{1 + \omega^2}, \quad \operatorname{Im}\{X(\omega)\} = -\frac{\omega}{1 + \omega^2}$$

应用式 (11.9) 和式 (11.10), 其幅值即为

$$|X(\omega)| = \frac{1}{1 + \omega^2}$$

相位为

$$\theta(\omega) = \arctan(-\omega) = -\arctan(\omega) \quad \blacksquare$$

## 11.5.5 傅里叶变换的性质

实际应用中, 计算复杂信号的傅里叶变换 (FT) 既繁琐又费时, 需要借助某些方法简化计算过程。利用 FT 所具有的几个特性就可以简化时域信号与频域信号之间的转换, 简介如下。

设  $x_1(t)$  和  $x_2(t)$  是两个时域信号, 它们的 FT 分别为  $X_1(\omega) = F\{x_1(t)\}$  和  $X_2(\omega) = F\{x_2(t)\}$ 。

### 1. 线性性质

傅里叶变换是一个线性算子, 因此, 对于任意常数  $a_1$  和  $a_2$ , 有

$$F\{a_1 x_1(t) + a_2 x_2(t)\} = a_1 X_1(\omega) + a_2 X_2(\omega) \quad (11.11)$$

该式说明, 线性系统的比例运算和求和运算性质同样适用于傅里叶变换。

### 2. 时移 (即延时) 性质

如果  $x_1(t - t_0)$  是具时移  $t_0$  的一个时域信号, 则其傅里叶变换为

$$F\{x_1(t-t_0)\} = X_1(\omega)e^{-j\omega t_0} \quad (11.12)$$

也就是, 信号在时间上的位移对应于其傅里叶变换乘以一个相位因子  $e^{-j\omega t_0}$ 。

### 3. 频移性质

如果  $X_1(\omega - \omega_0)$  是在频域上具有位移  $\omega_0$  的某信号的傅里叶变换, 那么, 其傅里叶反变换为

$$F^{-1}\{X_1(\omega - \omega_0)\} = x_1(t)e^{-j\omega_0 t} \quad (11.13)$$

### 4. 卷积定理

两个时域信号  $x_1(t)$  和  $x_2(t)$  的卷积定义为

$$c(t) = \int_{-\infty}^{\infty} x_1(\tau)x_2(t-\tau)d\tau = x_1(t) * x_2(t) \quad (11.14)$$

其中星号 “\*” 表示卷积算子。其频域的等价运算为

$$C(\omega) = F\{c(t)\} = F\{x_1(t) * x_2(t)\} = X_1(\omega)X_2(\omega) \quad (11.15)$$

由此可见, 在时域中难以计算的卷积运算在频域中就是乘积运算。

下面再来看两个频域信号  $X_1(\omega)$  和  $X_2(\omega)$  在频域中的卷积积分, 即

$$X(\omega) = \int_{-\infty}^{\infty} X_1(v)X_2(\omega-v)dv = X_1(\omega) * X_2(\omega) \quad (11.16)$$

$X(\omega)$  的 IFT 为

$$x(t) = F^{-1}\{X(\omega)\} = F^{-1}\{X_1(\omega) * X_2(\omega)\} = 2\pi x_1(t)x_2(t) \quad (11.17)$$

因此, 频域中两个信号的卷积对应于时域中这两个信号的乘积的  $2\pi$  倍。后面我们将会看到, 卷积是完整描述线性系统输入与输出之间关系的重要数学运算。

#### 例 11.11

请计算  $3\sin(25t) + 4\cos(50t)$  的傅里叶变换, 只要用符号表达式表示即可, 不必计算其结果。

解:

$$F\{3\sin(25t) + 4\cos(50t)\} = 3F\{\sin(25t)\} + 4F\{\cos(50t)\} \quad \blacksquare$$

## 11.5.6 离散傅里叶变换

在数字信号应用中, 连续的生物信号首先要用模-数转换器采样 (参见图 11.4), 然后由计算机读入, 再进行分析和处理。上述傅里叶变换只适用于连续时间信号, 如果要用它分析离散信号的频域特性, 那么, 就先要改变傅里叶变换公式, 使其能够用于数字化采样数据。

离散傅里叶变换 (Discrete Fourier Transform, DFT) 的计算公式为

$$X(m) = \sum_{k=0}^{N-1} x(k)e^{-j\frac{2\pi mk}{N}}; m = 0, 1, \dots, N/2 \quad (11.18)$$

它是频域上描述和分析离散信号必不可少的工具。DFT 其实是傅里叶变换的数字化形式。下标  $m$  表示数字频率的序号,  $x(k)$  是  $x(t)$  的采样逼近,  $k$  是离散时间变量,  $N$  是一个偶数, 它是  $x(k)$  的采样点数,  $X(m)$  就是  $x(k)$  的 DFT。

同理, 离散傅里叶逆变换 (Inverse Discrete Fourier Transform, IDFT) 是傅里叶逆变换的离散形式, 其计算公式为

$$x(k) = \frac{1}{N} \sum_{m=0}^{N-1} X(m) e^{j\frac{2\pi mk}{N}}; k = 0, 1, \dots, N-1 \quad (11.19)$$

与 FT 和 IFT 之间的关系一样, DFT 和 IDFT 是离散域的傅里叶变换对。DFT 可以将一系列离散时间点上的采样数据转换成其频域表示形式。相反, IDFT 则实现 DFT 的逆过程, 可以从信号的频域形式  $X(m)$  重建采样信号  $x(k)$ 。这两个公式可以互换, 每个都包含了离散信号的所有信息。

### 例 11.12

请计算信号  $x(k) = 0.25^k$  的离散傅里叶变换, 其中  $k = 0 \sim 15$ 。

解:

$$X(m) = \sum_{k=0}^{N-1} x(k) e^{-j\frac{2\pi mk}{N}} = \sum_{k=0}^{15} 0.25^k e^{-j\frac{2\pi mk}{16}} = \sum_{k=0}^{15} (0.25 e^{-j\frac{2\pi m}{16}})^k = \sum_{k=0}^{15} a^k$$

注意, 该式是一个几何级数的求和, 其中  $a = 0.25 e^{-j\frac{2\pi m}{16}}$ 。于是有

$$\sum_{k=0}^{N-1} a^k = \frac{a^N - 1}{a - 1}$$

可得

$$X(m) = \frac{a^{16} - 1}{a - 1} = \frac{0.25^{16} e^{-j\frac{32\pi m}{16}} - 1}{0.25 e^{-j\frac{2\pi m}{16}} - 1}$$

快速傅里叶变换 (Fast Fourier Transform, FFT) 是求取 DFT 的一种有效的计算机算法。FFT 算法的输出结果与 DFT 算法相同, 只是 FFT 的运算速度比 DFT 快得多。两种算法的运算时间分别相当于  $N \log_2(N)$  数量级和  $N^2$  数量级, 因此, 两者的计算时间之比为

$$\frac{\text{DFT 计算时间}}{\text{FFT 计算时间}} = \frac{N^2}{N \log_2 N} = \frac{N}{\log_2 N} \quad (11.20)$$

不过, 只有当采样数  $N$  为 2 的整数次幂时, FFT 才有效。如果  $N = 1024$  个采样点, 则 FFT 算法比直接用 DFT 快大约 10 倍 [即  $1024/\log_2(1024) = 10$ ]。如果  $N$  不是 2 的整数次幂, 则通常采用 DFT 算法。■

图 11.12 和图 11.13 分别显示了两个信号以及利用 FFT 计算的相应的 DFT。图 11.12a 所示是频率为 100Hz 的正弦波信号, 图 11.12b 是该信号的 FFT。注意, FFT 的峰值就在 100Hz 频率处, 表明信号的所有能量都限于该频率上。图 11.13a 所示是叠加了随机噪声的 100Hz 正弦波, 该正弦波在时域中几乎看不出来。但是, 将信号转换到频域之后 (见图 11.13b), 100Hz 处的频率分量就突显出来了, 其 FFT 的计算结果中存在一个大峰值。

### 例 11.13

请编写 MATLAB 程序, 计算信号  $x[n] = \sin(n\pi/4) + 2\cos(n\pi/3)$  的离散傅里叶变换的幅值, 并做图。

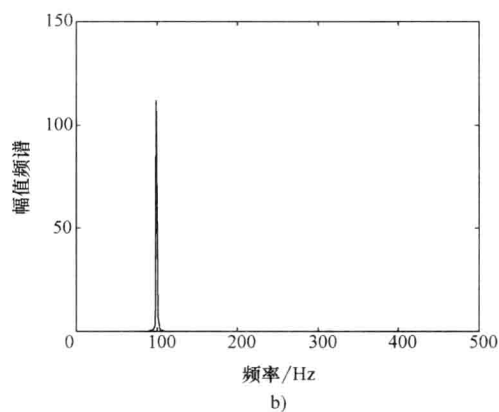
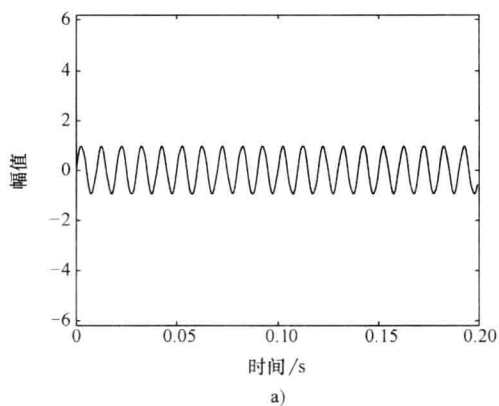


图 11.12 100Hz 正弦波（图 a）  
及其 FFT 变换（图 b）

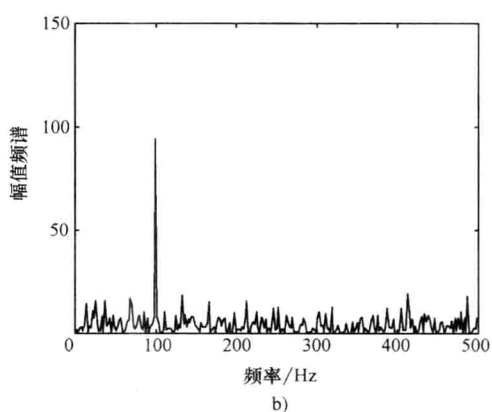
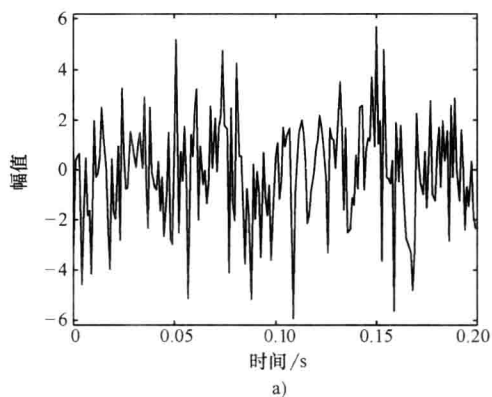


图 11.13 含随机噪声的 100Hz 正  
弦波（图 a）及其 FFT 变换（图 b）

解：

MATLAB 程序如下：

```
n = 1:1024; % Discrete Time Axis
x = sin(pi/4 * n) + 2 * cos(pi/3 * n); % Generating the signal
X = fft(x, 1024 * 16) / 1024; % Computing 16k point Fast Fourier Transform
Freq = (1:1024 * 16) / (1024 * 16) * 2 * pi; % Normalizing Frequencies between 0 - 2 * pi
plot(Freq, abs(X), 'k') % Plotting
axis([0.7 1.15 0 1.2])
xlabel('Frequency(rad/s)')
ylabel('Fourier Magnitude')
```

该程序的输出结果如图 11.14 所示。



### 11.5.7 z 变换

$z$  变换是离散信号的另一种频域分析方法。该变换其实是由 DFT 衍变而来, 就是设  $z = e^{-j\frac{2\pi m}{N}}$ 。在多数应用情况下,  $z$  变换比 DFT 容易操作, 因为它不直接使用复数。 $z$  变换对于数字信号的作用相当于拉普拉斯变换对于连续信号的作用。

如果用  $x_k$  表示离散序列  $x(k)$ , 那么, 该离散序列的 (单边)  $z$  变换计算公式就是

$$X(z) = \sum_{k=0}^{\infty} x_k z^{-k} = x_0 + x_1 z^{-1} + x_2 z^{-2} + \cdots + x_k z^{-k} \quad (11.21)$$

注意,  $z$  变换可以直接从 DFT 得到, 令式 (11.18) 的  $N \rightarrow \infty$  并且使  $z = e^{-j\frac{2\pi m}{N}}$  即可。实际应用中, 采样所得的生物信号都表示为具有  $N$  个数据点的序列, 因此,  $z$  变换只要计算  $k=0 \cdots N-1$  就可以了。有关数字信号处理的教科书中都可以找到常见  $z$  变换及其逆变换的计算公式。

连续信号采样得到离散数据序列之后, 其  $z$  变换就很容易求得。设采样信号的数据序列为

$$x = [x(0), x(T), x(2T), \cdots, x(kT)] \quad (11.22)$$

应用式 (11.21) 就可以求得其  $z$  变换, 即

$$X(z) = x(0) + x(T)z^{-1} + x(2T)z^{-2} + \cdots + x(kT)z^{-k} \quad (11.23)$$

式中  $T$ ——采样周期, 也就是采样时间间隔。

采样信号是一个数据序列, 其中每个采样点与它相邻采样点之间的间隔就是严格的一个采样周期。在  $z$  变换中, 乘数  $x(kT)$  是采样数据点的幅值。 $z^{-k}$  项具有直观的含义, 幂  $k$  对应于采样起始的零时间点之后已经过去的采样周期数; 因此,  $z^{-k}$  可以看做“时移算子”, 它将采样点延迟  $k$  个采样周期, 也就是  $kT$ 。例如, 变量  $z^{-1}$  与零时刻有一个周期的延时。式 (11.23) 中,  $x(0)$  是  $t=0$  时刻采样点的值,  $x(T)$  是第一个采样周期之后的采样点的值。因此,  $z$  变换其实是描述模拟信号采样过程的一种重要方法。

#### 例 11.14

离散的单位冲激函数可以用序列  $x = [1, 0, 0, 0, \cdots, 0]$  来表示。请计算该序列的  $z$  变换。

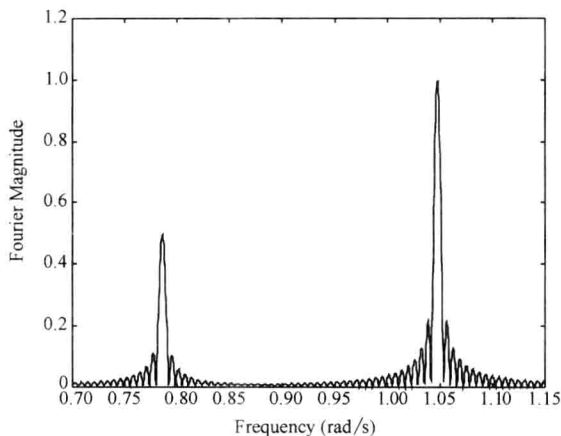


图 11.14 两个正弦波之和的 FFT 幅值

注: 其主要能量集中在  $\pi/3$  和  $\pi/4$  rad/s 两个频率处。



解:

$$X(z) = 1 + 0z^{-1} + 0z^{-2} + \cdots + 0z^{-k} = 1 + 0 + 0 + \cdots + 0 = 1$$

### 例 11.15

神经纤维中记录的电信号用 A-D 转换器转换成数字信号。假设该信号前 5 个采样点的值为  $[-60.0, -49.0, -36.0, -23.0, -14.0]$  mV。请计算该数据序列的  $z$  变换。采样开始之后经过几个采样周期才是  $-23.0$  mV 这个数据点?

解:

$$Y(z) = -60.0 - 49.0z^{-1} - 36.0z^{-2} - 23.0z^{-3} - 14.0z^{-4}$$

$-23.0$  mV 这个数据点的  $z$  变量的负指数值是 3, 因此该数据点是在采样开始 3 个采样周期之后记录的点。

## 11.5.8 $z$ 变换的性质

$z$  变换具有许多上述傅立叶变换中已经介绍过的性质, 这些性质可用于简化复杂信号的  $z$  变换计算, 介绍如下。注意, 这些性质与式 (11.11)、式 (11.12) 和式 (11.14) 所述性质很相似。

假设  $x_1(k)$  和  $x_2(k)$  是两个数字信号, 它们的  $z$  变换分别为  $X_1(z)$  和  $X_2(z)$ 。

### 1. 线性性质

$z$  变换是线性算子, 因此, 对于任意常数  $a_1$  和  $a_2$  有

$$Z\{a_1x_1(k) + a_2x_2(k)\} = \sum_{k=0}^{\infty} [a_1x_1(k) + a_2x_2(k)]z^{-k} = a_1X_1(z) + a_2X_2(z) \quad (11.24)$$

### 2. 延时性质

假设  $x_1(k-n)$  是原始信号延迟了  $n$  个采样点的信号, 则该延时信号的  $z$  变换是

$$Z\{x_1(k-n)\} = \sum_{k=0}^{\infty} x_1(k-n)z^{-k} = \sum_{k=0}^{\infty} x_1(k)z^{-(k+n)} = z^{-n}X_1(z) \quad (11.25)$$

注意, 如前所述, 算子  $z^{-n}$  表示  $n$  个采样点的时移, 也就是严格的  $nT$  秒时间。

### 3. 卷积

设  $x(k)$  是  $x_1(k)$  与  $x_2(k)$  的离散卷积, 即

$$x(k) = x_1(k) * x_2(k)$$

则  $x(k)$  的  $z$  变换  $X(z)$  为

$$X(z) = Z\{x(k)\} = X_1(z)X_2(z) \quad (11.26)$$

与傅里叶变换一样, 此结果说明两个数据序列之间的卷积在  $z$  域中也是简单的乘积。

## 11.6 线性系统

系统可以是一种处理方法、一台机器或者一个装置。它接收输入信号, 经过一定的处理之后产生输出信号。其输出与输入相关, 却又有明显的区别。图 11.15 所示是系统的框图表示法。

生物体的各种器官和结构经常用不同的系统来模拟。例如,心脏就是一个大型系统,它吸收缺氧的静脉血(也就是输入),并将血液泵入肺部;然后将肺部产生的含氧丰富的血液收回心脏,再经过主动脉送出(也就是输出)。大脑神经元也可以简化为一个微型系统,它接收来自其他神经元的电脉冲输入信号,将这些输入信号整合之后,产生动作电位作为输出响应信号。线性系统是一类特殊的系统,它所具有的性质使得系统的分析变得很容易。

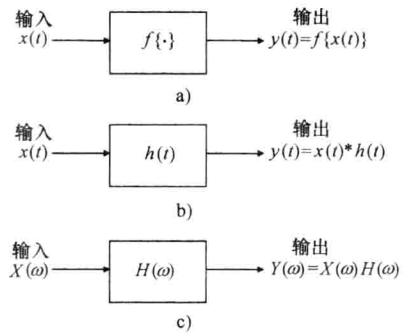


图 11.15 系统的框图表示法

- a) 输入信号  $x(t)$  经过系统变换函数  $f\{\cdot\}$  的处理之后产生输出  $y(t)$  b) 线性系统的时域表示(其输出等于输入信号与系统冲激响应的卷积) c) 线性系统的频域表示(其输出等于输入与系统传递函数的乘积)

### 11.6.1 线性系统的性质

尽管生物系统本质上并不是线性系统,但是,通常可以用线性系统模型来近似,因为这样可以使系统的分析和处理比较容易进行。

所有线性系统都遵循叠加原理和比例特性。

叠加原理表明,两个独立输入之和所产生的输出等于每个输入各自的输出之和。比例特性则表明,输入大小的变化会引起输出的同比例变化。数学上,如果已知两个独立输入信号各自的输出,即

$$\begin{array}{ll} \text{输入} & \text{输出} \\ x_1(t) & \rightarrow y_1(t) \\ x_2(t) & \rightarrow y_2(t) \end{array}$$

那么,就可以方便地计算出这两个输入的任意组合信号所产生的输出,即,输入信号的线性叠加和比例变化所产生的输出信号也是线性叠加和同比例变化,即

$$\begin{array}{ll} \text{输入} & \text{输出} \\ k_1 x_1(t) + k_2 x_2(t) & \rightarrow k_1 y_1(t) + k_2 y_2(t) \end{array} \quad (11.27)$$

其中,  $k_1$  和  $k_2$  是任意的幅值比例系数。这些系数使输入的幅值放大 ( $k > 1$ ) 或缩小 ( $k < 1$ ), 并使得净输出也产生相应的变化,以相同的比例系数缩放。

#### 例 11.16

以下是一个线性系统的输入和输出所对应的信号:

$$\begin{array}{ll} \text{输入} & \text{输出} \\ x_1(t) = \cos(t) & \rightarrow y_1(t) = \cos(t + \pi/2) \\ x_2(t) = \cos(t) + \sin(2t) & \rightarrow y_2(t) = \cos(t + \pi/2) + 5\sin(2t) \\ x_3(t) = \cos(3t) & \rightarrow y_3(t) = 2\cos(3t) \end{array}$$

如果输入信号变为  $x(t) = 3\sin(2t) + 1/2\cos(3t)$ , 请推导其输出。

解:

首先将该输入信号表示为  $x_1$ 、 $x_2$  和  $x_3$  的叠加, 即

$$x(t) = 3[x_2(t) - x_1(t)] + 1/2x_3(t) = 3x_2(t) - 3x_1(t) + 1/2x_3(t)$$

然后, 应用叠加原理和比例特性, 可得其输出为

$$\begin{aligned} y(t) &= 3y_2(t) - 3y_1(t) + 1/2y_3(t) = 3[\cos(t + \pi/2) + 5\sin(2t)] - 3[\cos(t + \pi/2)] \\ &\quad + 1/2[2\cos(3t)] = 15\sin(2t) + \cos(3t) \end{aligned}$$

### 例 11.17

假设系统的表达式如下

$$y(t) = f\{x(t)\} = Ax(t) + B$$

请判断该系统是不是线性系统。

解:

为了回答这个问题, 假设有两个独立的输入信号  $x_1(t)$  和  $x_2(t)$ , 它们各自的输出分别为  $y_1(t)$  和  $y_2(t)$ 。将这两个输入信号的叠加  $x(t) = k_1x_1(t) + k_2x_2(t)$  输入系统, 如果系统是线性的, 则其输出应该是

$$\begin{aligned} y_{Lin}(t) &= k_1y_1(t) + k_2y_2(t) = k_1[Ax_1(t) + B] + k_2[Ax_2(t) + B] \\ &= A[k_1x_1(t) + k_2x_2(t)] + (k_1 + k_2)B \end{aligned}$$

但是, 本题系统的实际输出是

$$y(t) = f\{x(t)\} = f\{k_1x_1(t) + k_2x_2(t)\} = A[k_1x_1(t) + k_2x_2(t)] + B$$

仔细比较预期的线性系统输出  $y_{Lin}(t)$  与实际输出  $y(t)$ , 可见,  $y(t) \neq y_{Lin}(t)$ , 因此该系统不是线性的。

叠加原理对于周期信号具有特殊的意义。由于任何周期信号都可以利用傅里叶级数表示为余弦或者复指数函数之和, 因此, 满足叠加原理的系统的输出也一定是余弦函数或者复指数函数之和。于是, 如果线性系统的输入为周期信号, 那么, 其输出也是具有相同谐波频率的周期信号, 即线性系统的周期性输入信号  $x(t)$  与其输出  $y(t)$  之间的关系为

$$\begin{array}{ccc} \text{输入} & & \text{输出} \\ x(t) = \frac{A_0}{2} + \sum_{m=-\infty}^{+\infty} A_m \cos(m\omega_0 t + \phi_m) & \Rightarrow & y(t) = \frac{B_0}{2} + \sum_{m=-\infty}^{+\infty} B_m \cos(m\omega_0 t + \theta_m) \end{array} \quad (11.28)$$

输入和输出都包含同样频率  $m\omega_0$  的余弦函数, 两者的表达式也相似。指数傅里叶级数也是如此, 即:

$$\begin{array}{ccc} \text{输入} & & \text{输出} \\ x(t) = \sum_{m=-\infty}^{+\infty} c_m e^{jm\omega_0 t} & \Rightarrow & y(t) = \sum_{m=-\infty}^{+\infty} b_m e^{jm\omega_0 t} \end{array} \quad (11.29)$$

此式中的输入系数  $c_m$  和输出系数  $b_m$  显然与式 (11.28) 的  $A_m$  和  $B_m$  相关 (参见式 (11.5b))。

由式 (11.28) 和式 (11.29) 可见, 线性系统周期信号的输入与输出之间存在两个区别。第一, 每个余弦函数的振幅系数不同, 输入是  $A_m$  而输出是  $B_m$ 。这些系数完全由

线性系统的性质决定。第二, 输入分量的相角  $\phi_m$  与输出分量的相角  $\theta_m$  不同, 这意味着输入分量与输出分量之间存在时移。与振幅一样, 输入与输出之间的相位差也是由线性系统决定的。因此, 如果已知输入转化为输出时输入信号振幅变化和相位变化的数学关系式, 那么, 就可以完整地描述线性系统。这个数学关系就是系统的传递函数  $H_m$ , 它完全可以描述线性系统通过振幅和相位的变化将输入转化为特定输出的过程, 这种转化只要用两个独立的参数——幅值和相位就可以表示。

$H_m$  的幅值就是第  $m$  个分量的输出与输入之比, 即

$$|H_m| = \frac{B_m}{A_m} \quad (11.30)$$

注意, 如果第  $m$  个分量的输入振幅  $A_m$  已知, 那么, 将传递函数的幅值乘以该傅里叶系数就可以得到输出的傅里叶系数, 即  $B_m = |H_m| A_m$ 。传递函数的相位角则描述了第  $m$  个频率分量的输入与输出之间的相位关系, 即

$$\angle H_m = \theta_m - \phi_m \quad (11.31)$$

如果输入相位已知, 就可以求得输出相位, 即  $\theta_m = \angle H_m + \phi_m$ 。式 (11.30) 和式 (11.31) 表示了描述线性系统的两个必不可少的关键参数, 如果这两个参数已知, 就可以计算对应于任意输入的系统输出响应。

## 11.6.2 线性系统的时域表示

线性系统输入与输出之间的关系可以用其时域特性来描述, 冲激响应函数  $h(t)$  可以完整地描述线性系统的行为 (见图 11.15b)。下面我们就会看到, 线性系统的冲激响应与上述周期信号的传递函数直接相关。

如果系统的  $h(t)$  已知, 就可以利用如下卷积积分直接计算任何输入信号  $x(t)$  的输出响应  $y(t)$ :

$$y(t) = h(t) * x(t) = \int_{-\infty}^{\infty} h(\tau) x(t - \tau) d\tau \quad (11.32)$$

式中, 符号 “\*” 表示输入信号与系统冲激响应的卷积, 积分变量是虚拟变量  $\tau$ 。对于离散信号, 离散线性系统的输出用如下卷积求和公式来计算:

$$y(k) = h(k) * x(k) = \sum_{m=-\infty}^{\infty} h(m) x(k - m) \quad (11.33)$$

式中  $h(m)$ ——离散系统的冲激响应。

有关卷积积分的详细内容在很多信号处理教科书中都有介绍, 本书不做深入的论述。本章下一节将介绍的线性系统输入与输出关系的频域分析会更简单。

### 例 11.18

向细胞内施加单位阶跃电流  $i(t) = u(t)$  会引起细胞膜跨膜电压  $v(t)$  的变化。假设细胞膜为线性系统, 其冲激响应是  $h(t) = Ae^{-t/\tau}u(t)$ , 其中  $A$  是常数, 单位是  $V/s/A$ ;  $\tau$  是细胞膜的时间常数, 单位是  $s$ 。求细胞膜输出电压的封闭解。设  $A = 100$  且  $\tau = 0.01s$ , 请编写 MATLAB 程序进行仿真, 并比较仿真结果与封闭解。

解:

根据式 (11.32), 输入  $i(t)$  与输出  $v(t)$  之间的关系是如下卷积积分:

$$v(t) = h(t) * i(t) = \int_{-\infty}^{\infty} h(\zeta) i(t - \zeta) d\zeta = \int_{-\infty}^{\infty} A e^{-\zeta/\tau} u(\zeta) u(t - \zeta) d\zeta$$

式中积分变量用  $\zeta$  表示, 以便与细胞时间常数  $\tau$  区别开来。积分号内的单位阶跃函数取值为 1 或 0, 为 0 时对积分没有贡献。当  $\zeta > 0$  时,  $u(\zeta) = 1$ ; 当  $t - \zeta > 0$  时,  $u(t - \zeta) = 1$ 。结合这两个不等式, 可知  $0 < \zeta < t$  时,  $u(t - \zeta) u(\zeta) = 1$ 。于是, 可以将积分区间定为  $0 \sim t$ , 并将单位阶跃函数用 1 来代替, 即

$$v(t) = \int_0^t A e^{-\zeta/\tau} d\zeta = A\tau(1 - e^{-t/\tau})$$

MATLAB 仿真程序如下:

```
% Theoretical Result
dt=0.0001;% Sampling Resolution
Fs=1/dt;% Sampling Rate
time=0:dt:5;% 5-second time-axis
Tau=0.1;% Cell Membrane Time Constant
A=10;
y=A*Tau*(1-exp(-time/Tau));% Closed Form Output Equation
plot(time,y,'color',[.75 .75 .75],'linewidth',3)% Plotting Theoretical Output
hold on

% Simulated Output
h=A*exp(-time/Tau);% Impulse Response
x=[zeros(1,Fs) ones(1,Fs*4)];% Step Input
y=conv(h,x)*dt;% Step Response, obtained by convolving: y=h*x

% Plotting Simulated Results
time=(0:length(x)-1)*dt-1;
plot(time,x,'k-.')% Plotting Input
hold on
time=(0:length(y)-1)*dt-1;
plot(time,y,'k')% Plotting Output
axis([-1 1 0 1.2])
xlabel('Time(sec)','fontsize',14)
ylabel('Amplitude','fontsize',14)
set(gca,'XTick',[-1 -0.5 0 0.5 1])
set(gca,'YTick',[0:.2:1.2])
```

图 11.16 所示是该程序显示的细胞膜阶跃响应的结果。注意, 仿真结果 (黑色曲线) 与理论结果 (灰色曲线) 精确符合。

### 11.6.3 线性系统的频域表示

前面已经提到过线性系统周期性输入信号频域分析的特殊情况, 即线性系统周期输入信号的输出响应完全可以用频域的系统传递函数来描述。同时, 线性系统的输出也可以用时域的冲激响应的卷积积分来表示 (见图 11.15b), 冲激响应是时域上描述线性系统的数学模型。线性系统频域和时域上的这两种输入输出关系的描述方法相互之间存在联系。显然, 对

于非周期信号, 传递函数是冲激响应的傅里叶变换, 即

$$\begin{array}{cc} \text{时域} & \text{频域} \\ h(t) \Leftrightarrow H(\omega) \end{array} \quad (11.34)$$

其中,  $h(t)$  是系统的冲激响应,  $H(\omega)$  是系统的传递函数。由于冲激响应是线性系统的完整描述, 并且傅里叶变换是可逆的, 总是可以在  $h(t)$  与  $H(\omega)$  之间变来变去, 因此, 传递函数同样包含了描述系统所需的全部信息。传递函数的优点是容易使用。在很多应用中, 卷积积分很难计算。而线性系统在频域上的输出可以用系统的输入与其传递函数的乘积来计算, 即  $Y(\omega) = X(\omega)H(\omega)$ , 不必计算卷积积分。这个结果很像式 (11.30) 和式 (11.31) 的傅里叶级数。特别是, 傅里叶变换的卷积性质表明, 时域的卷积对应于频域的乘积, 即

$$\begin{array}{cc} \text{时域} & \text{频域} \\ y(t) = x(t) * h(t) \Leftrightarrow Y(\omega) = X(\omega)H(\omega) \end{array} \quad (11.35)$$

因此, 线性系统的输出  $Y(\omega)$  在频域中就等于  $X(\omega)$  与  $H(\omega)$  的乘积 (见图 11.15c)。注意, 这个结果其实就是式 (11.14) 和式 (11.15) 表示的卷积定理在线性系统中的应用 (式 (11.32)), 其证明参见例题 11.19。在很多情况下, 这比直接计算时域的卷积要简单得多。

#### 例 11.19

请证明傅里叶变换的卷积特性。

解:

$$Y(\omega) = FT\{y(t)\} = \int y(t) e^{-j\omega t} dt = \iint x(\tau) h(t - \tau) d\tau e^{-j\omega t} dt$$

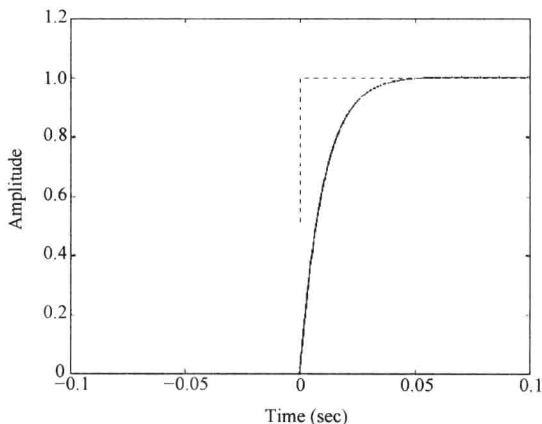


图 11.16 MATLAB 程序显示的细胞膜线性系统的阶跃响应

注: 虚线表示阶跃输入, 灰色实线表示理论阶跃响应, 黑色实线表示仿真的阶跃响应。可见理论解与仿真结果重叠。

进行变量代换, 即  $u = t - \tau$ ,  $du = d\tau$ , 可得

$$Y(\omega) = \iint x(\tau)h(u)d\tau e^{-j\omega(u+\tau)}du = \int x(\tau)e^{-j\omega\tau}d\tau \int h(u)e^{-j\omega u}du = X(\omega)H(\omega) \quad \blacksquare$$

### 11.6.4 模拟滤波器

滤波器是一类特殊的线性系统, 广泛用于生物信号的处理。理论上, 滤波器能够选择性地去除不想要的信号成分, 保留或增强某些感兴趣的信号成分。尽管很少有人留意, 但是, 日常生活中其实到处存在各种各样的滤波器。例如, 太阳镜就是一种滤波器, 它可以滤除太阳光中的紫外线, 以便尽可能减小晒伤和患皮肤癌的危险。音响设备中也有很多滤波器, 其高音控制和低音控制就是特殊的滤波器, 用户可以用它们来增强或者抑制高频声音 (高音) 和低频声音 (低音) 的含量, 从而获得所需的音质。

滤波器在生物信号分析中具有重要的作用, 其原因之一是生物医学仪器所测得的信号往往包含了不想要的噪声, 这些噪声会使我们所感兴趣的信号波形产生失真, 致使我们很难做出可靠的诊断。如果可以去除这些噪声, 那么, 就可以显著提高信号的质量, 从而使误诊的可能性降为最小。

根据频谱特性的不同, 滤波器可以分为低通、高通和带通三大类。低通滤波器可以将信号中的高频分量去除, 有选择地让低频分量通过, 因此称为“低通” (见图 11.17a)。有时, 这种滤波器在去除高频分量的同时还可以进一步放大低频分量。高通滤波器则与低通滤波器恰好相反 (见图 11.17b), 它可以有选择地通过高频分量而去除低频分量。音响系统中的高音控制就是一种增强高频分量的高通滤波器, 因此会产生尖脆而饱满的声音。相反, 低音控制则是一种选择性地增强低频分量的低通滤波器, 从而产生一种“温暖”的音质。带通滤波器可以看做低通滤波器和高通滤波器的结合, 它同时把低频和低频分量都去掉, 只留下一部分“窄带”频率分量 (见图 11.17c), 因此称为“带通”。简单地把低通滤波器和高通滤波器级联起来, 就可以构成带通滤波器, 详见下面的论述。

滤波器是线性系统, 因此, 在时域上, 其输出等于输入与滤波器冲激响应的卷积 (参见式 (11.32)); 在频域上, 其输出就等于滤波器传递函数与输入的傅里叶变换的乘积 (参见式 (11.35))。图 11.18 所示是理想低通滤波器的冲激响应及其传递函数, 该传递函数在通带内的值为 1, 在阻带内的值为

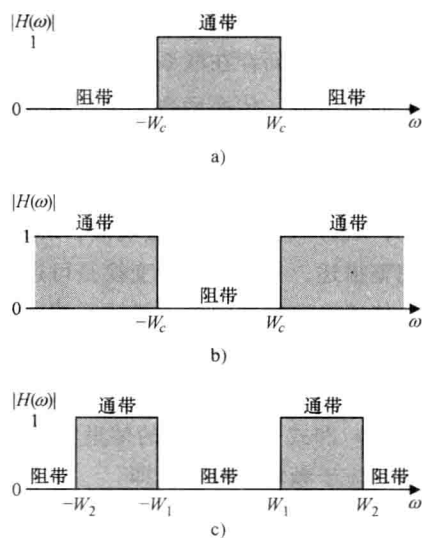


图 11.17 各种理想滤波器的频域

幅值响应特性  $|H(\omega)|$

a) 低通滤波器 b) 高通滤波器 c) 带通滤波器

注: 输出信号中保留了阴影区域的通带信号, 同时有选择地去除阻带内的信号。

0。由于线性系统的输出在频域上等于输入的傅里叶变换与传递函数的乘积, 即  $Y(\omega) = X(\omega)H(\omega)$ , 因此, 该滤波器通带内的频率分量都乘以 1, 也就是通带内的信号都可以毫无改变地通过, 直接成为输出。相反, 阻带内的频率分量乘以 0, 因此, 在滤波器的输出中这些分量都被去除。

在时域中, 理想低通模拟滤波器的冲激响应是

$$h_{LP}(t) = \frac{W_c}{\pi} \text{sinc}(W_c t) \quad (11.36)$$

式中  $W_c = 2\pi f_c$  是滤波器的截止频率。在频域中, 理想低通滤波器的传递函数是

$$H_{LP}(\omega) = \begin{cases} 1 & |\omega| < W_c \\ 0 & |\omega| > W_c \end{cases} \quad (11.37)$$

图 11.18 显示了这种理想低通滤波器的时域和频域的两种表示法。注意, 传递函数只在通带内取值为 1, 在截止频率处, 滤波器的传递函数从通带的 1 变为阻带的 0。

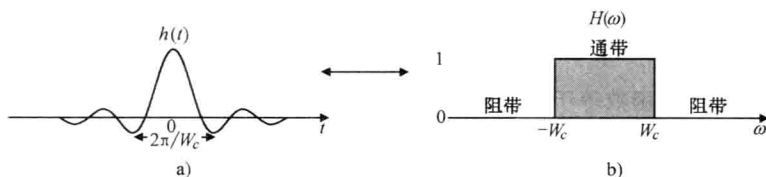


图 11.18 理想低通滤波器的时域和频域表示  
a) 时域的冲激响应  $h(t)$  b) 频域的传递函数  $H(\omega)$

在频域中, 理想高通滤波器的性能恰好与低通滤波器相反, 即

$$H_{HP}(\omega) = \begin{cases} 0 & |\omega| < W_c \\ 1 & |\omega| > W_c \end{cases} \quad (11.38)$$

也就是说, 通带在截止频率以上, 而阻带在截止频率以下。因此, 这种滤波器保留信号的高频分量, 有选择地去除低频分量。理想高通滤波器的传递函数很容易从理想低通滤波器导出, 即

$$H_{HP}(\omega) = 1 - H_{LP}(\omega) \quad (11.39)$$

在时域, 理想高通滤波器的冲击响应就是

$$h_{HP}(t) = \delta(t) - h_{LP}(t) = \delta(t) - \frac{W_c}{\pi} \text{sinc}(W_c t) \quad (11.40)$$

图 11.17b 所示就是理想高通滤波器的传递函数。

这里要介绍的最后一类滤波器是带通滤波器, 它比低通和高通滤波器都要复杂, 有低频截止频率  $W_1$  和 高频截止频率  $W_2$ 。图 11.17c 所示是理想带通滤波器传递函数的幅值。只有处于两个截止频率之间的信号才能够通过滤波器, 所有其他信号都被去除。理想带通滤波器的传递函数是

$$H_{BP}(\omega) = \begin{cases} 1 & W_1 < |\omega| < W_2 \\ 0 & \text{其他} \end{cases} \quad (11.41)$$



在频域上, 将截止频率为  $W_1$  的高通滤波器和截止频率为  $W_2$  的低通滤波器联合起来, 就可以得到理想带通滤波器。因此, 带通滤波器的传递函数可以表示为低通和高通两个滤波器传递函数的乘积, 即

$$H_{BP}(\omega) = H_{HP}(\omega) H_{LP}(\omega) \quad (11.42)$$

该传递函数的傅里叶逆变换就是带通滤波器在时域上的冲激响应, 即

$$h_{BP}(t) = h_{HP}(t) * h_{LP}(t) \quad (11.43)$$

将表示卷积定理的式 (11.14) 和式 (11.15) 用于式 (11.42) 就可以得到式 (11.43)。

### 例 11.20

与例 11.18 相同, 向细胞内施加阶跃刺激电流, 请计算频域中的细胞膜输出电压, 编写 MATLAB 程序来计算并作出细胞膜传递函数的幅值曲线, 它属于哪类滤波器?

解:

阶跃电流输入函数的傅里叶变换为

$$I(\omega) = \int i(t) e^{-j\omega t} dt = \int_0^{\infty} 1 \cdot e^{-\omega t} dt = \left. \frac{e^{-\omega t}}{-j\omega} \right|_0^{\infty} = \frac{1}{j\omega}$$

并且, 细胞膜的传递函数等于其冲激响应的傅里叶变换, 即

$$H(\omega) = FT\{h(t)\} = \int A e^{-t/\tau} u(t) dt = \int_0^{\infty} A e^{-t/\tau} e^{-j\omega t} dt = \frac{A}{j\omega + 1/\tau}$$

因此, 频域的细胞膜输出电压是

$$V(\omega) = H(\omega) I(\omega) = \frac{A}{j\omega + 1/\tau} \frac{1}{j\omega} = \frac{A}{j\omega} - \frac{A}{j\omega + 1/\tau}$$

由传递函数可得其幅值为

$$|H(\omega)| = \sqrt{H(\omega) H(\omega)^*} = \sqrt{\frac{A}{j\omega + 1/\tau} \cdot \frac{A}{-j\omega + 1/\tau}} = \frac{A}{\sqrt{\omega^2 + 1/\tau^2}}$$

式中  $H(\omega)^*$  ——传递函数的共轭复数。

作出传递函数幅值曲线的 MATLAB 程序如下:

```
% Cell Membrane Magnitude Response
tau = 0.01;
A = 1/tau^2;
w = 0:0.1:500;
H = A ./ (w.^2 + 1/tau^2);
plot(w/2/pi, H, 'k')
axis([0 500/2/pi 0 1.2])
xlabel('Frequency (Hz)')
ylabel('Magnitude')
```

此程序的运行结果如图 11.19 所示。注意, 该传递函数趋向于保留低频分量而去除高频分量, 因此, 细胞膜的特性相当于低通滤波器。 ■

**例 11.21**

肌电图 (EMG) 信号所包含的频率范围为 25 ~ 100Hz, 请设计一个滤波器去除 EMG 中其他不想要的噪声。

**解:**

本例题需要设计一个通带为 25 ~ 100Hz 的带通滤波器。首先计算滤波器的两个截止频率, 单位为 rad/s。由于  $W_c = 2\pi f_c$ , 因此

$$W_1 = 50\pi$$

$$W_2 = 200\pi$$

然后, 确定相应的低通滤波器和高通滤波器的冲激响应, 即

$$h_{HP}(t) = \delta(t) - \frac{W_1}{\pi} \text{sinc}(W_1 t) = \delta(t) - 50 \text{sinc}(50\pi t)$$

$$h_{LP}(t) = \frac{W_2}{\pi} \text{sinc}(W_2 t) = 200 \text{sinc}(200\pi t)$$

于是, 带通滤波器的冲激响应就是

$$h_{BP}(t) = h_{HP}(t) * h_{LP}(t) = [\delta(t) - 50 \text{sinc}(50\pi t)] * 200 \text{sinc}(200\pi t) \quad \blacksquare$$

上述理想模拟滤波器是各种实际滤波器设计的理论基础。由于理想滤波器的冲激响应是无限长的 ( $-\infty \sim +\infty$ ), 其输出的形成需要无限长时间, 因此, 实际的模拟滤波器不可能严格达到理想滤波器的性能指标。通常, 模拟滤波器都使用简单的电子电路来制作, 它们可以设计成各种接近理想低通、高通和带通的滤波器来满足不同的应用需求, 包括处理各种生物医学信号。

**11.6.5 数字滤波器**

就像模拟系统要用微分方程来描述一样, 数字系统要用差分方程来描述。差分方程实质上是微分方程以一定的采样频率采样得到的离散化形式。实时数字滤波器的差分方程的一般形式是

$$y(k) = \sum_{m=0}^M b_m x(k-m) - \sum_{m=1}^N a_m y(k-m) \quad (11.44)$$

其中  $x(k)$  和  $y(k)$  分别是离散化的输入序列和输出序列。例如, 如果  $M=2$  且  $N=2$ , 那么

$$y(k) = b_0 x(k) + b_1 x(k-1) + b_2 x(k-2) - a_1 y(k-1) - a_2 y(k-2)$$

其中  $x(k)$  和  $y(k)$  分别为  $k$  时刻的输入和输出,  $x(k-1)$  和  $y(k-1)$  分别为前一个采样点时刻的输入和输出, 同理,  $x(k-2)$  和  $y(k-2)$  分别为前两个采样点时刻的输入

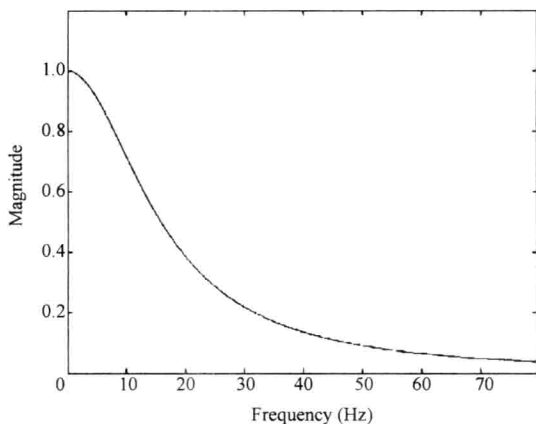


图 11.19 细胞膜传递函数的幅值曲线

(注: 该细胞膜相当于低通滤波器)

和输出。

数字系统与模拟系统一样,也可以用冲激响应  $h(k)$  和卷积来定义(参见式(11.33))。如果冲激响应具有有限个非零数据点,则该滤波器被称为有限冲激响应(Finite Impulse Response, FIR)滤波器。如果冲激响应有无限多个非零数据点,则该滤波器被称为无限冲激响应(Infinite Impulse Response, IIR)滤波器。数字滤波器的一个优点是方便地计算任意输入所对应的输出响应。

### 例 11.22

请计算如下数字滤波器的冲激响应

$$y(k) = \frac{1}{2}x(k) + \frac{1}{2}y(k-1)$$

解:

假设开始输入之前系统的输出均为0,即对于  $n < 0$ ,  $y(n) = 0$ , 则

$$y(-2) = \frac{1}{2}\delta(-2) + \frac{1}{2}y(-3) = 0 + 0 = 0$$

$$y(-1) = \frac{1}{2}\delta(-1) + \frac{1}{2}y(-2) = 0 + 0 = 0$$

$$y(0) = \frac{1}{2}\delta(0) + \frac{1}{2}y(-1) = \frac{1}{2} + 0 = \frac{1}{2}$$

$$y(1) = \frac{1}{2}\delta(1) + \frac{1}{2}y(0) = 0 + \frac{1}{2}\left(\frac{1}{2}\right) = \left(\frac{1}{2}\right)^2$$

$$y(2) = \frac{1}{2}\delta(2) + \frac{1}{2}y(1) = 0 + \frac{1}{2}\left(\frac{1}{2}\right)^2 = \left(\frac{1}{2}\right)^3$$

$$y(3) = \frac{1}{2}\delta(3) + \frac{1}{2}y(2) = 0 + \frac{1}{2}\left(\frac{1}{2}\right)^3 = \left(\frac{1}{2}\right)^4$$

...

$$y(k) = \left(\frac{1}{2}\right)^{k+1} u(k)$$

可见,该滤波器的冲激响应是一个指数序列,由于其冲激响应无限长,它是一个 IIR 滤波器。 ■

### 例 11.23

请计算如下数字滤波器的冲激响应

$$y(k) = \frac{1}{3}x(k) + \frac{1}{3}x(k-1) + \frac{1}{3}x(k-2)$$

解:

假设开始输入之前系统的输出均为0,即对于  $n < 0$ ,  $y(n) = 0$ , 则

$$y(-2) = \frac{1}{3}\delta(-2) + \frac{1}{3}\delta(-3) + \frac{1}{3}\delta(-4) = 0 + 0 + 0 = 0$$

$$y(-1) = \frac{1}{3}\delta(-1) + \frac{1}{3}\delta(-2) + \frac{1}{3}\delta(-3) = 0 + 0 + 0 = 0$$

$$\begin{aligned}
 y(0) &= \frac{1}{3}\delta(0) + \frac{1}{3}\delta(-1) + \frac{1}{3}\delta(-2) = \frac{1}{3} + 0 + 0 = \frac{1}{3} \\
 y(1) &= \frac{1}{3}\delta(1) + \frac{1}{3}\delta(0) + \frac{1}{3}\delta(-1) = 0 + \frac{1}{3} + 0 = \frac{1}{3} \\
 y(2) &= \frac{1}{3}\delta(2) + \frac{1}{3}\delta(1) + \frac{1}{3}\delta(0) = 0 + 0 + \frac{1}{3} = \frac{1}{3} \\
 y(3) &= \frac{1}{3}\delta(3) + \frac{1}{3}\delta(2) + \frac{1}{3}\delta(1) = 0 + 0 + 0 = 0 \\
 y(4) &= \frac{1}{3}\delta(4) + \frac{1}{3}\delta(3) + \frac{1}{3}\delta(2) = 0 + 0 + 0 = 0 \\
 &\vdots \\
 y(k) &= 0; k \geq 3
 \end{aligned}$$

这是一个只有 3 个非零数值的 FIR 滤波器。 ■

IIR 滤波器在仿真模拟系统时特别有用，它的主要优点是实现滤波所需的滤波器系数比 FIR 滤波器少，也就是 IIR 滤波器通常效率更高。IIR 滤波器的主要缺点是信号可能会变形。而 FIR 滤波器可以设计成对称的，从而防止信号的变形。变形问题的处理方法本书不做介绍。

顾名思义，数字滤波器常用于实现特定的滤波功能，如低通滤波器、高通滤波器、带通滤波器、带阻滤波器等。不过，数字滤波器也可以用于仿真大多数模拟系统，如微分系统和积分系统等。有关数字滤波器设计的教科书有很多，本书下面只介绍其中的主要内容。

#### (1) 从数字滤波器到传递函数

通过重组差分方程 (11.44)，并应用式 (11.21)，可以得到数字系统的传递函数  $H(z)$ 。 $H(z)$  是输出信号的  $z$  变换  $Y(z)$  除以输入信号的  $z$  变换  $X(z)$  所得到的商，即

$$\begin{aligned}
 y(k) + a_1 y(k-1) + a_2 y(k-2) \cdots + a_N y(k-N) &= b_0 x(k) + b_1 x(k-1) + \cdots + b_M x(k-M) \\
 Y(z) + a_1 z^{-1} Y(z) + a_2 z^{-2} Y(z) \cdots + a_N z^{-N} Y(z) &= b_0 X(z) + b_1 z^{-1} X(z) + b_2 z^{-2} X(z) \cdots + b_M z^{-M} X(z) \\
 Y(z) (1 + a_1 z^{-1} + a_2 z^{-2} \cdots + a_N z^{-N}) &= X(z) (b_0 + b_1 z^{-1} + b_2 z^{-2} \cdots + b_M z^{-M}) \\
 H(z) = \frac{Y(z)}{X(z)} &= \frac{b_0 + b_1 z^{-1} + b_2 z^{-2} \cdots + b_M z^{-M}}{1 + a_1 z^{-1} + a_2 z^{-2} \cdots + a_N z^{-N}} \quad (11.45)
 \end{aligned}$$

#### (2) 从传递函数到频率响应

数字系统的频率响应  $H'(\Omega)$  可以直接由  $H(z)$  计算得到，其中  $\Omega$  的单位是弧度 (rad)。如前所述，如果数据是由模拟信号采样得到，那么， $\omega$  与  $\Omega$  之间的关系是  $\Omega = \omega T$ ，则

$$H'(\Omega) = H(z) \big|_{z=e^{j\Omega T}} \quad (11.46)$$

对于线性系统，以下输入信号的序列

$$x(k) = A \sin(\Omega_0 k + \Phi)$$

所产生的输出稳态序列将为

$$y(k) = B \sin(\Omega_0 k + \phi)$$

其中， $B$  和  $\phi$  的值可以直接计算，即

$$B = A | H'(\Omega_0) |$$

$$\phi = \Phi + \text{相位角}(H'(\Omega_0))$$

**例 11.24**

假设例 11.22 所示数字滤波器的输入序列为

$$x(k) = 100 \sin\left(\frac{\pi}{2}k\right)$$

那么, 其稳态输出序列是什么?

解:

首先将例 11.22 滤波器的如下差分方程

$$y(k) - \frac{1}{2}y(k-1) = \frac{1}{2}x(k)$$

变换到  $z$  域, 即

$$Y(z) - \frac{1}{2}Y(z)z^{-1} = Y(z)\left[1 - \frac{1}{2}z^{-1}\right] = \frac{1}{2}X(z)$$

求解  $H(z)$ , 得到滤波器的传递函数, 即

$$H(z) = \frac{Y(z)}{X(z)} = \frac{\frac{1}{2}}{1 - \frac{1}{2}z^{-1}}$$

然后, 为了求取输出信号, 就要计算输入正弦波的频率  $z = e^{j\frac{\pi}{2}}$  上的传递函数, 即

$$H'\left(\frac{\pi}{2}\right) = H(e^{j\frac{\pi}{2}}) = \frac{\frac{1}{2}}{1 - \frac{1}{2}e^{-j\frac{\pi}{2}}} = \frac{\frac{1}{2}}{1 + \frac{1}{2}j}$$

$$= 0.4 - j0.2 = 0.45e^{-j0.15\pi}$$

由该传递函数可知, 将输入信号的幅值乘以 0.45 并加上一个相位因子  $-0.15\pi$  弧度, 就可以得到所需的输出。因此, 输出为

$$y(k) = 45 \sin\left(\frac{\pi}{2}k - 0.15\pi\right) \quad \blacksquare$$

设计滤波器时, 首先要确定信号中需要保留的频率分量和需要去除的频率分量。对于理想滤波器,  $|H'(\Omega_{\text{保留}})| = 1$  且  $|H'(\Omega_{\text{去除}})| = 0$ 。例 11.22 和例 11.23 所示的两个实际滤波器都属于低通滤波器, 不过,

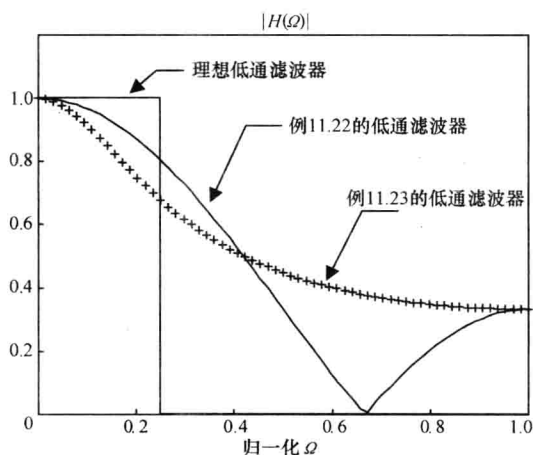


图 11.20 例 11.22 和例 11.23 所述两个低通滤波器的频域特性

注: 图中添加了截止频率为  $\pi/4$  弧度 (以  $\pi$  弧度归一化之后为 0.25) 的理想低通滤波器作为对比。低通滤波器的截止频率通常定义为归一化幅值等于  $1/\sqrt{2}$  (即约为 0.71) 处的频率。两个数字滤波器在  $f_{\text{max}}$  (即归一化的  $\Omega = 1$ ) 处的幅值相等。

如图 11.20 所示, 它们的频率响应都不太好。图中添加了截止频率为  $\pi/4$  的理想低通滤波器作为比较, 其频率响应为  $|\Omega| < \pi/4$  时  $|H'(\Omega)| = 1$ , 而  $\pi/4 < |\Omega| < \pi$  时  $|H'(\Omega)| = 0$ 。

### FIR 滤波器的窗函数设计法

本章 11.6.4 节介绍的理想滤波器指明了一种设计不同滤波器函数来满足模拟系统和离散系统的特定需求的方向; 但是, 下面我们就看到, 在实际应用中无法实现理想滤波器。不过, 将理想滤波器的冲激响应作为参考, 可以开发出修正的滤波器函数。下面以低通滤波器为例介绍 FIR 滤波器的窗函数设计法, 这种方法的设计原理同样适用于高通和带通滤波器的设计。

理想低通滤波器的实现存在两个限制: 第一, 它的冲激响应是无限长的, 范围为  $-\infty \sim +\infty$ ; 也就是, 其实现需要无限长时间。克服这个限制的最简单方法就是截取有限时间段  $-T \sim T$  上的冲激响应, 例如, 如图 11.21a 所示, 取  $T = 0.01\text{s}$ 。但是, 这种截取会产生副作用。由于所选时间段两端的冲激响应被突然切断, 使得傅里叶积分不能收敛, 这就是所谓的 Gibbs 现象。图 11.21b 所示是冲激响应被截断的低通滤波器在频域上的传递函数的幅度特性, 其通带和阻带上的幅度都出现了误差, 这些误差会引起不良后果, 它们会使通带内的信号产生失真, 同时会使阻带内的成分不能彻底去除。

克服这个缺点的一种方法是使用一个幅值逐渐平滑减小的窗函数  $w(t)$  来截取滤波器的冲激响应; 这样, 用  $w(t)$  修正之后的低通滤波器响应就可以表示为理想滤波器与窗函数的乘积, 即

$$h(t) = h_{LP}(t) \omega(t) = \frac{W_c}{\pi} \text{sinc}(W_c t) \omega(t) \quad (11.47)$$

其中  $w(t)$  的取值范围为  $-T \sim T$  (见图 11.21c)。加窗处理的结果如图 11.21d 所示, 它就是窗函数与理想滤波器冲激响应的乘积。窗函数使得被截断的冲激响应两端缓慢减小至 0, 从而使傅里叶积分能够收敛。与图 11.21b 所示的直接截取方法相比较, 图 11.21e 所示的加窗滤波器的通带和阻带的误差明显减小。本书不深入介绍窗函数的设计方法, 这种方法在许多信号处理教科书中都有详细论述。为了满足不同的应用需求, 已经开发了许多窗函数, 最著名的有 Kaiser、Hanning 和 Hamming 等窗函数。

上述是连续滤波器的窗函数设计法, 这种方法同样可以用于开发离散 FIR 滤波器。只要在  $t = k/F_s$  ( $k$  为整数) 的时间点上采样连续冲激响应, 得到离散冲激响应:

$$h[k] = \frac{W_c}{\pi} \text{sinc}\left(\frac{W_c}{F_s} k\right) \omega(k) = \frac{W_c}{\pi} \text{sinc}(\Omega_c k) \omega(k) \quad (11.48)$$

式中  $\Omega_c = W_c/F_s$  是滤波器的数字化截止频率。注意, 根据奈奎斯特采样定理,  $0 < W_c < F_s/2$ , 因此,  $0 < \Omega_c < \pi$ 。

### 例 11.25

请编写 MATLAB 程序, 利用 Hanning 窗函数设计 201 个采样点的数字低通滤波器和高通滤波器, 两个滤波器的截止频率都为 1000Hz, 画出冲激响应和传递函数的幅值曲线。

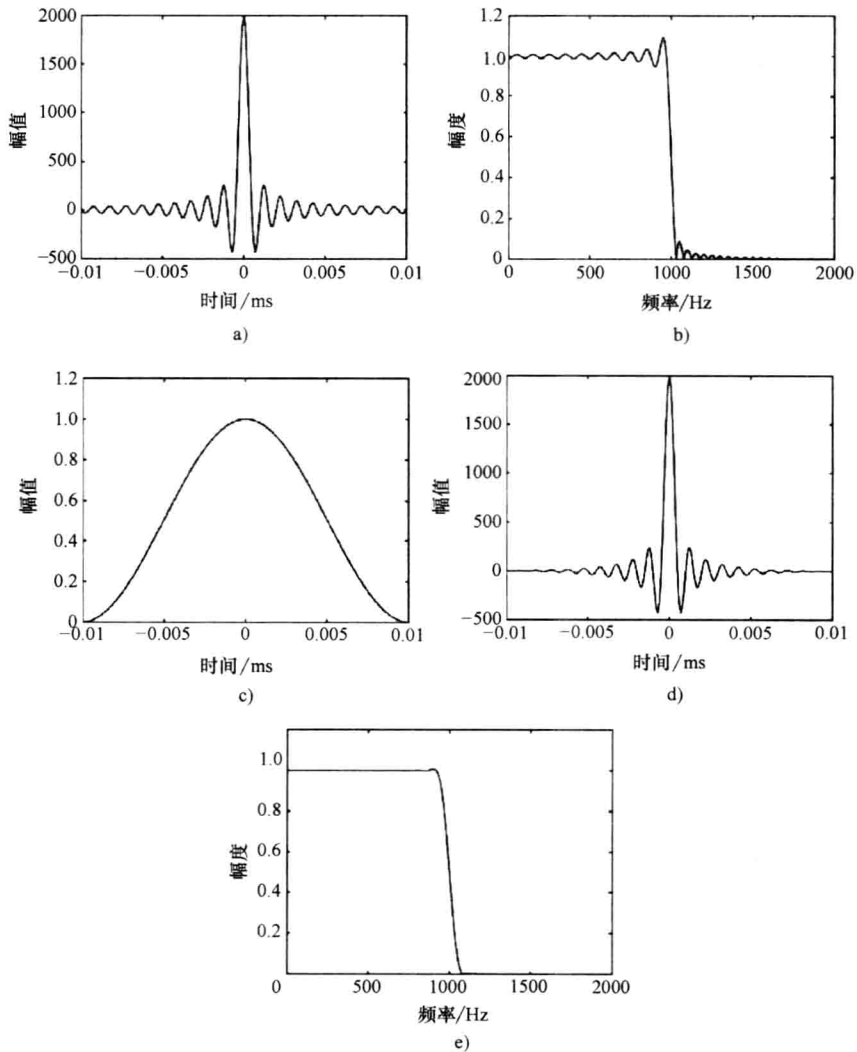


图 11.21 滤波器的窗函数设计法

- a) 直接截断的理想低通滤波器的冲激响应 b) 截断的理想滤波器的传递函数幅度特性 (通带和阻带都产生了误差) c) 窗函数 d) 加窗之后的冲激响应 e) 加窗滤波器的传递函数幅度特性 (可见通带和阻带的误差都明显减小)

解:

MATLAB 程序如下:

```
Wc = 2 * pi * 1000; % Cutoff Frequency in Radians/Sec
```

```
Fs = 10000; % Sampling Rate in Hz
```

```
T = 1/Fs;
```

```
% Ideal Filters
```

```

N = 100; % Filter Order
t = ( - N : N ) / Fs; % Time Axis Sampled at Fs
h_lp = Wc / pi * sinc( 1 / Pi * Wc * t ); % Sampled Ideal Low-pass Filter Impulse Response
Impulse Response
delta = [ zeros( 1 , N ) Fs zeros( 1 , N ) ]; % Discrete Diract ImpulseFunction
h_hp = ( delta - h_lp ); % Sampled Ideal High-pass Filter Impulse Response

% Hanning Filters
W = hanning( 2 * N + 1 )'; % Hanning Window
h_lp = h_lp . * W; % Hanning Low - pass Filter Impulse Response
h_hp = h_hp . * W; % Hanning High - pass Filter Impulse Response
NFFT = 1024 * 8; % FFT number of samples
faxis = ( 0 : NFFT - 1 ) / NFFT * Fs; % Frequency Axis
H_lp = abs( fft( h_lp , NFFT ) ) / Fs; % Hanning Low - pass Filter Transfer Function Magni-
tude
H_hp = abs( fft( h_hp , NFFT ) ) / Fs; % Hanning High - pass Filter Transfer Function Mag-
nitude

% Plotting Results
subplot( 2 2 1 )
plot( t , h_lp , ' k ' )
xlabel( ' Time( sec ) ' )
ylabel( ' Amplitude ' )

subplot( 2 2 2 )
plot( faxis , H_lp , ' k ' );
axis( [ 0 Fs/2 0 1.2 ] )
xlabel( ' Frequency( Hz ) ' )
ylabel( ' Magnitude ' )

subplot( 2 2 3 )
plot( t , h_hp , ' k ' )
xlabel( ' Time( sec ) ' )
ylabel( ' Amplitude ' )

subplot( 2 2 4 )
plot( faxis , H_hp , ' k ' )
axis( [ 0 Fs/2 0 1.2 ] )
xlabel( ' Frequency( Hz ) ' )
ylabel( ' Magnitude ' )

```



程序的运行结果如图 11.22 所示。

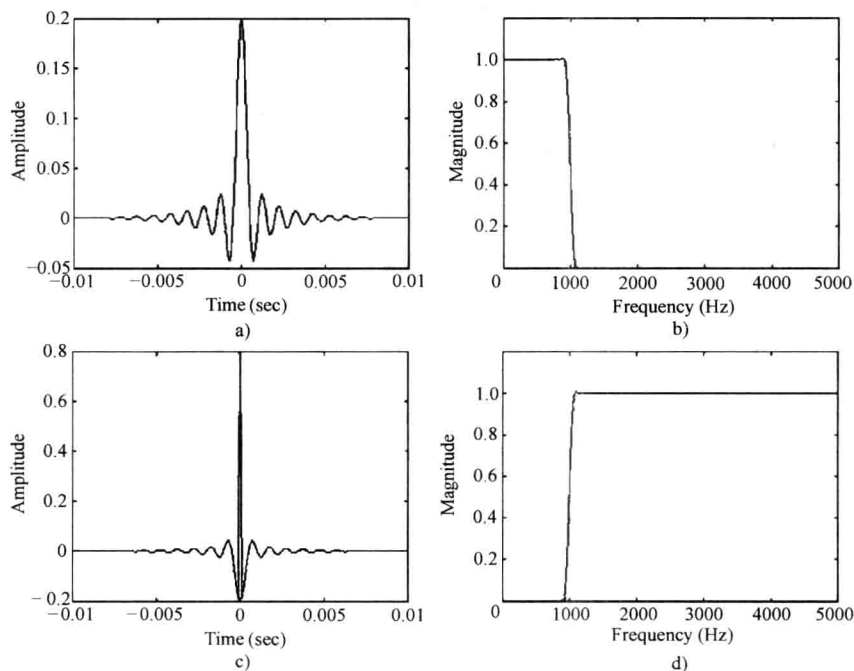


图 11.22 MATLAB 仿真的低通和高通 FIR 滤波器

- a) Hanning 窗低通滤波器的冲激响应   b) Hanning 窗低通滤波器  
传递函数的幅度特性   c) Hanning 窗高通滤波器的冲激响应  
d) Hanning 窗高通滤波器传递函数的幅度特性

### 例 11.26

请编写 MATLAB 程序, 利用例 11.25 所示的数字低通滤波器和高通滤波器处理白噪声信号 (其频谱为常数), 画出输入信号和输出信号的幅值频谱曲线。

解:

MATLAB 程序如下:

```
% Filtering the Random Noise Signal
```

```
X = randn(1, Fs); % 1 second of Random Noise
```

```
Y_lp = conv(X, h_lp); % Low-pass Filtered Noise
```

```
Y_hp = conv(X, h_hp); % High-pass Filtered Noise
```

```
% Plotting Results
```

```
subplot(2 2 1)
```

```
psd(X, 1024, Fs); % Input Power spectrum Magnitude
```

```
hold on
```

```

psd(Y_lp,1024,Fs);% Low-pass Output Power spectrum Magnitude
ch = get(gca,'children')
set(ch(1),'color','k')
set(ch(2),'color',[0.5 0.5 0.5])

subplot(2 2 2)
psd(X,1024,Fs);% Input Power spectrum Magnitude
hold on
psd(Y_hp,1024,Fs);% High-pass Output Power spectrum Magnitude
ch = get(gca,'children')
ch = get(gca,'children')
set(ch(1),'color','k')
set(ch(2),'color',[0.5 0.5 0.5])

```

程序的运行结果如图 11.23 所示。

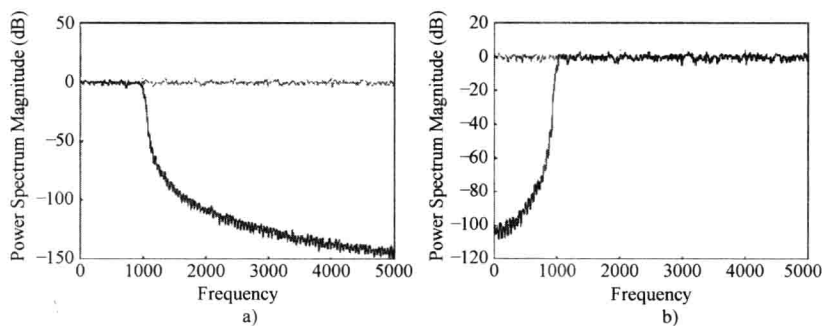


图 11.23 经过低通和高通滤波的白噪声信号 (两图中灰色曲线为输入信号的功率谱)

a) 经过低通滤波的噪声功率谱 (黑色曲线) b) 经过高通滤波的噪声功率谱 (黑色曲线)

## 11.7 信号平均

生物信号的测量经常会受到噪声的干扰,使信号的特征难以识别,以至于难以获得可靠的临床诊断信息。

许多生物信号可以用理想的无噪声信号  $x(t)$  与独立的噪声  $n(t)$  之和来表示,即:

$$x_i(t) = x(t) + n_i(t) \quad (11.49)$$

式中  $x_i(t)$ ——第  $i$  次实验或测量所记录的信号。

注意,第  $i$  次记录中既包含确定性信号  $x(t)$  也包含随机噪声  $n_i(t)$ 。其中,确定性信号在每次实验记录中固定不变,而噪声却具有内在的变化,它可能由多个不同的噪声源产生。由于各次实验记录中随机噪声  $n_i(t)$  都不同,因此,每次重复记录的信号都有明显的变化。例如,心电图 (ECG) 测量电极会同时记录到来自肌肉和肺部呼吸的信

号, 还会记录到仪器内部电子噪声等干扰, 如来自电源的 60Hz 工频噪声等。这些信号与心脏搏动无关, 都是测量信号中的噪声。其他某些难以预料的心脏搏动变化, 比如喝过浓咖啡之后兴奋引起的心搏变化, 也可能被误认为是噪声。

我们已经知道, 设计合适的滤波器有可能滤除噪声, 分离出所需信号, 使信号变得比较干净, 从而提高信号质量和临床诊断的可靠性。如果在频域上噪声分量和信号分量不重叠, 那么, 只要设计一个滤波器, 保留或增强想要的信号  $x(t)$ , 同时去除不想要的噪声  $n(t)$  就可以了。这种去噪方法简单有效。但是, 在很多情况下生物信号和噪声的频谱是重叠的, 这种方法不能用。

很多生物信号本质上接近周期信号, 例如, 与心脏搏动相关的血压、血流速度、心电图等都属于这类信号。但是, 由于信号自身固有的变化、噪声以及呼吸等其他功能的影响, 每次心跳总会有所变动。图 11.2 所示的血压信号就包含了上述各种变化因素。

血压信号含有很多特征, 医生和研究人员利用这些特征可以确定病人的健康状况。常用的血压测量参数有: 心脏射血期 (即收缩期) 的最高血压、主动脉瓣关闭时 (即舒张期) 达到的最低血压、收缩期早期的最大血压变化率 (它表示心脏收缩的强度) 以及舒张期血压按指数衰减的时间常数 (它可以反映血管阻抗和顺应性)。求取这些参数的一种方法就是先计算一连串心脏搏动中每次心跳的参数值, 然后求它们的平均值。这种方法通常不可行, 因为单次测量中所含的噪声会使某些参数的计算不够精确。还有一种方法是先计算所有记录的叠加平均信号, 得到典型的心脏搏动信号之后, 再根据这个平均波形计算各个参数值。求平均信号的公式为

$$\bar{x}(t) = \frac{1}{N} \sum_{i=1}^N x_i(t) \quad (11.50)$$

如果信号是离散的, 那么上式变为

$$\bar{x}(k) = \frac{1}{N} \sum_{i=1}^N x_i(k) \quad (11.51)$$

其中, 连续信号  $x_i(t)$  和离散信号  $x_i(k)$  表示总共  $N$  次记录中的第  $i$  次心脏搏动数据。信号  $\bar{x}(t)$  和  $\bar{x}(k)$  则是平均值, 也就是叠加平均计算之后的平均波形。将式 (11.50) 代入式 (11.49) 可得

$$\bar{x}(t) = x(t) + \frac{1}{N} \sum_{i=1}^N n_i(t) = x(t) + \varepsilon(t) \quad (11.52)$$

如果噪声  $n_i(t)$  是随机信号, 每次测量得到的  $n_i(t)$  相互独立, 那么上式所包含的测量误差  $\varepsilon(t)$  在  $N \rightarrow \infty$  时趋于 0。也就是, 对于非常大的  $N$  值,  $\varepsilon(t)$  变得很小, 从而使  $\bar{x}(t) \approx x(t)$ 。这是一种很有用的方法! 它意味着多次测量信号进行简单平均就可以有效地去除噪声。实际上, 如果记录次数足够多, 平均信号就能够接近真正的无噪声信号波形。

许多生物信号采集系统都具备式 (11.50) 和式 (11.52) 所示的信号平均计算功能, 每次叠加求和过程由某个信号或者与信号相关的特征量来触发, 例如, 含有尖锐波峰的心电图 (ECG) 信号就常用作与心搏相关的数据叠加平均的触发信号。图 11.24 所

示是图 11.2 血压数据的叠加平均波形。图 11.25 显示了脑干听觉反应 (Auditory Brain-stem Response, ABR) EEG 记录信号的平均过程。这两个例子中, 平均处理都有助于保留有用的信号特征, 同时去除不想要的噪声干扰。

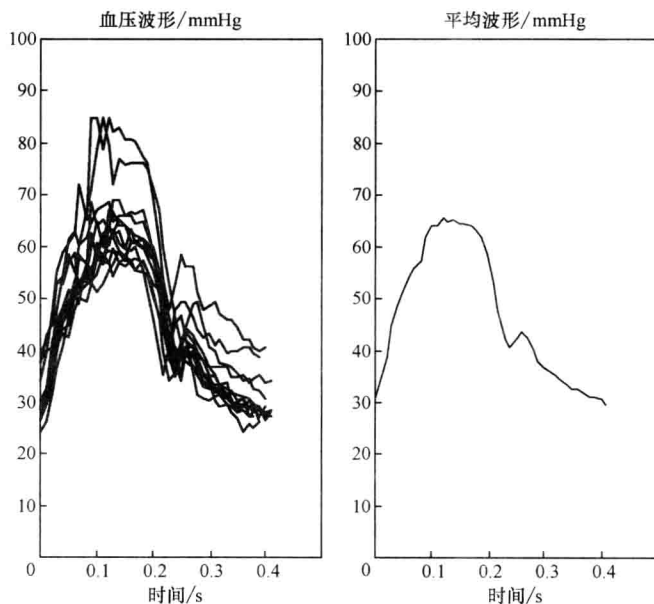


图 11.24 图 11.2 所示血压波形记录数据的叠加平均

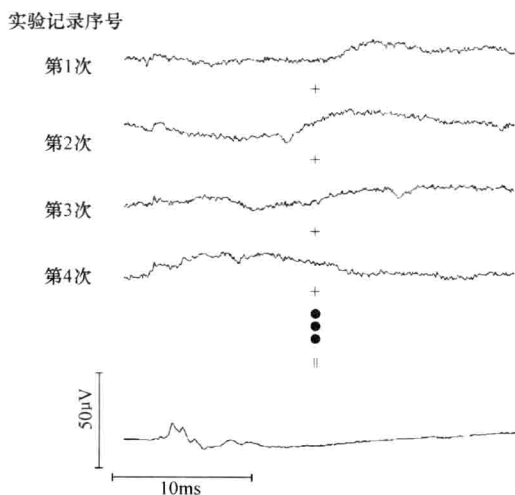


图 11.25 在颞叶上测得的 0 时刻发生的短声音脉冲引起的听觉诱发响应重复实验记录信号

注: 每个单次记录信号中的听觉响应被随机噪声淹没 (图中只显示了 1000 次重复实验中的前 4 次记录)。从图下方显示的 1000 次记录的叠加平均波形上清晰可见听觉响应信号。

上述血压和 ABR 的例子都是时域信号的叠加平均。对于随机信号有时最好使用频域的叠加平均。例如, 图 11.26 所示是病人头部枕叶上采集的一段脑电图 (EEG) 信号, 采样频率为 16kHz。人在睡眠、静息和清醒等不同状态下, 大脑 EEG 信号具有不同的频率含量, 因此, EEG 的分析通常在频域进行。其中常用的一种分析方法是利用傅里叶变换的二次方来估计不同频率段上 EEG 的功率。

如果用 DFT 来计算 EEG 信号各个频率分量上的功率, 那

么, 所得到的结果中噪声与被测信号的大小相当。为了减小噪声引起的方差, 就必须采用统计学的方法。一种常用的信号功率谱估计方法是 Welch 法, 又称为周期图平均法。这种方法先将信号分为  $L$  段 (尽可能不要交叠), 每段包含  $N$  个数据点; 然后对  $L$  段中的每一段进行 DFT 功率计算; 最后, 将这  $L$  段的功率数据求平均, 所得结果就是  $N$  个频率点上的平均功率谱估计值。算法如下。

设第  $i$  段的  $N$  个数据点为

$$x_i(k) = x[k + (i-1)N] \quad 0 \leq k \leq N-1, 1 \leq i \leq L$$

如果各段信号之间连续且不交叠, 那么, 单个第  $i$  段数据经过 DFT 计算得到的功率估计值为

$$\hat{P}_i(m) = \frac{1}{N} \left| \sum_{k=0}^{N-1} x_i(k) e^{-j \frac{2\pi mk}{N}} \right|^2 \quad \text{其中 } 0 \leq m \leq N-1 \quad (11.53)$$

这里用  $m$  表示频率为  $\Omega = 2\pi m/N$  (弧度) 时的功率值。信号的平均功率谱就是每个频率点上的平均, 即

$$\hat{P}(m) = \frac{1}{L} \sum_{i=1}^L \hat{P}_i(m) \quad (11.54)$$

由于  $N$  决定了频域的分辨率, 因此  $N$  的选择非常重要。例如, 如果数据的采样频率为 500Hz, 并且所需频率分辨率为 1Hz, 那么,  $L$  段数据的每段长度至少要 1s, 也就是包含 500 个采样点 (即  $N=500$ )。如果频率分辨率只要 10Hz 就足够了, 那么, 每段长度只要 0.1s, 也就是 50 个数据采样点。注意, 由于减小频率分辨率可以增加用于平均的数据段的数量, 因此, 这样有利于提高测量的准确性。这种平均处理可以将方差降为原来的  $1/L$ 。图 11.27 显示了 EEG 信号的平均处理结果。该方法还有很多改进形式, 例如, 如果所需  $L$  值比较大, 但是可用的采样数据点却不够多, 那么, 数据段之间可以交叠; 另外, 还可以将每个数据段乘

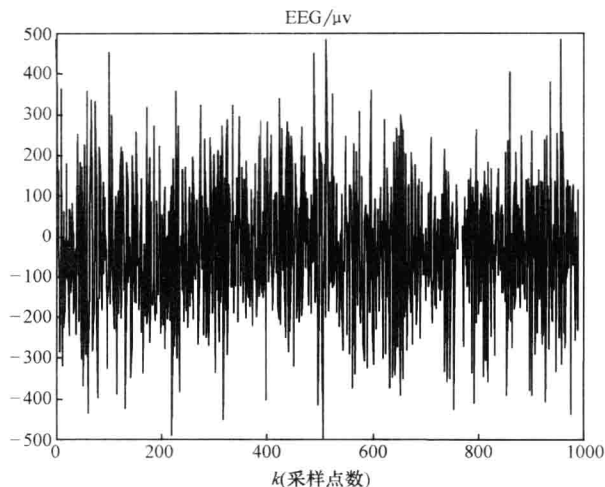


图 11.26 头部枕叶上记录的包含 1000 个采样点的 EEG 信号 (采样频率为 16kHz)

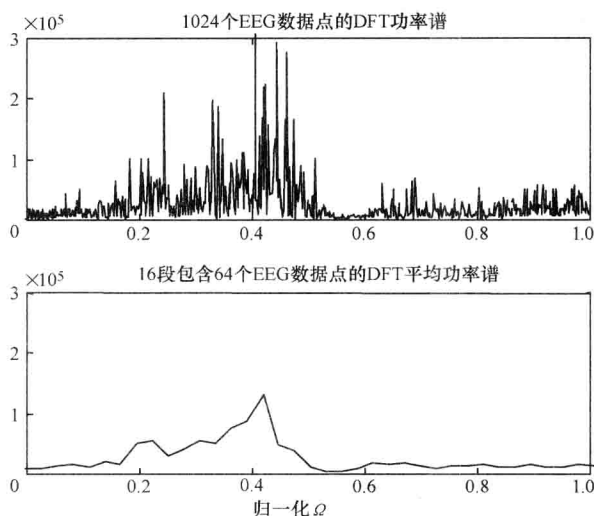


图 11.27 EEG 信号的 DFT 平均功率谱

注：上图是用整个原始记录信号计算得到的 DFT 功率谱；下图是将记录信号分为包含 64 个数据点的 16 段数据之后计算得到的周期图平均 DFT 功率谱。

以一个窗函数，以避免数据段起始和末尾两端数值的突变。

### 例 11.27

假设某个受到随机噪声  $n(k)$  干扰的正弦信号是

$$x(k) = \sin(\pi/4k) + n(k)$$

请编写 MATLAB 程序，说明叠加平均法可以去除噪声并显示出其中包含的确定性信号。请分别作图表示 1 段、10 段、100 段数据的平均结果。

解：

MATLAB 程序如下：

```
k = 1:64;% Discrete Time Axis
for i = 1:100 % Generating 100 signal Trials
    x(i,:) = sin(pi/4 * k) + randn(1,64);% i - th trial
end
X1 = x(1,:);% 1 Averages
X10 = mean(x(1:10,:));% 10 Averages
X100 = mean(x);% 100 Averages
subplot(3 1 1)% Plotting Results, 1 Average
plot(k,X1,'k')
axis([1 64 -3 3])
title('1 Average')
ylabel('Amplitude')
```

```
subplot(3 1 2)% Plotting Results,10 Averages
plot(k,X10,'k')

axis([ 1 64 -3 3])
title('10 Averages')
ylabel('Amplitude')
subplot(3 1 3)% Plotting Results,100 Averages
plot(k,X100,'k')
axis([ 1 64 -3 3])
title('100 Averages')
xlabel('Discrete Time')
ylabel('Amplitude')
```

该程序的运行结果如图 11.28 所示。

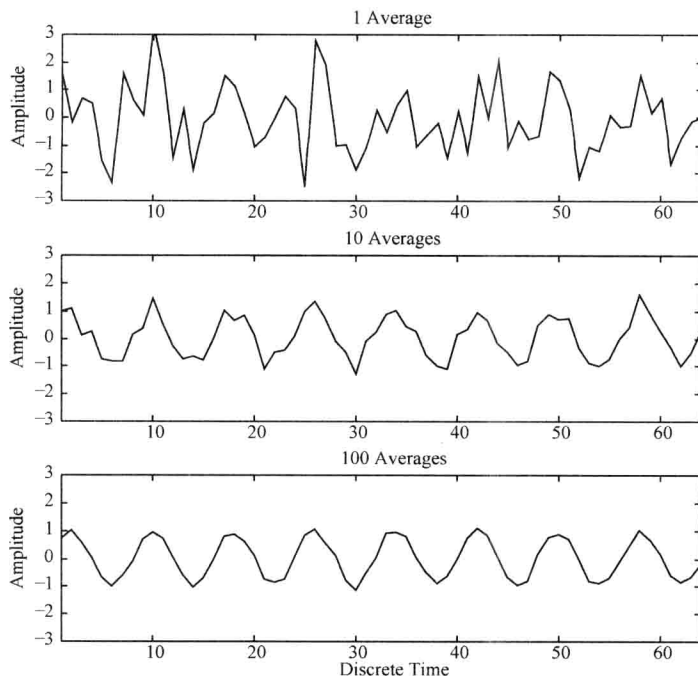


图 11.28 例 11.27 的 MATLAB 程序运行结果

注：用叠加平均法去除正弦波信号中所含的噪声，图中所示分别是 1 段、10 段和 100 段数据的平均。 ■

## 11.8 小波变换和短时傅里叶变换

式 (11.6) 表示的傅里叶变换是一种常用的信号处理方法，它将信号分解为不同

频率的正弦波分量。很多应用中，特别是对于那些随时间变化不大的平稳信号，由傅里叶变换求得的整个信号的频率分布基本上包含了所需的信息。但是，傅里叶变换不能描述信号随时间变化的过程。

短时傅里叶变换（Short-Time Fourier Transform, STFT）和小波变换（Wavelet Transform, WT）在求取信号频域特性的同时还可以保留信号的时域信息。STFT 每次只对一小段数据（即窗内的数据）进行傅里叶变换，这样，就可以在时间和频率构成的二维空间中描述信号的时频特性。该变换的数学公式是

$$X(\omega, a) = \int_{-\infty}^{\infty} x(t)g(t-a)e^{-j\omega t}dt \quad (11.55)$$

其中  $g(t)$  是窗函数，它可以是简单的方波函数。STFT 的逆变换是

$$x(t) = K_g \iint X(\omega, a)g(t-a)e^{j\omega t}d\omega da \quad (11.56)$$

其中  $K_g$  与所使用的窗函数相关。

为了避免截取数据时数据段两端突变引起的频谱的旁瓣振荡效应，矩形截取窗可以改为两端渐变的截取窗。图 11.29 显示了这两种截取窗，两个窗叠加在严格重复的主动脉血压周期信号上。为了能够看得清楚，窗的幅值放大了 100 倍。

图 11.30 所示是利用 3 种不同窗宽的矩形窗截取图 11.29 所示周期信号计算得到的 STFT 幅值频谱，这 3 种窗宽分别为 1/2 个周期、1 个周期和 2 个周期。其中，上图中的垂直线条反映了信号中含有比窗宽更大的周期信息。下面两个图中的彩色水平实线表示在所用窗宽下这些频率成分与时间都完全无关。由于此时窗宽包含了 1 个或者 2 个完整的周期，应该出现这样的结果。下图水平暗线与亮线交替出现，表明窗宽内包含多个重复周期，其中暗线表示频率分量很小或者没有。

作为对比，图 11.31 所示是图 11.2 的非周期血压波形的 STFT 幅值频谱，所用的窗宽尽可能接近心率周期。信号中的均值已去除，因此最下面“0”频率水平线附近的数值变化反映的是呼吸引起的变化。心率频率处（即“1”频率水平线处）的频谱随时间变化最小，以后，随着频率的增大，变化也增大。

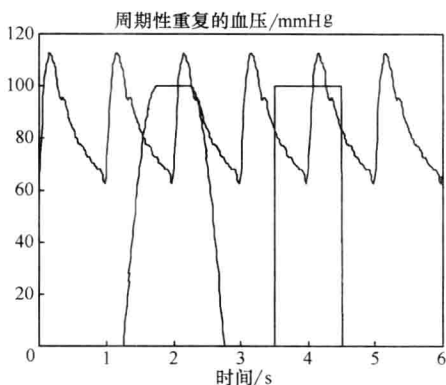


图 11.29 严格周期性重复的主动脉血压波形以及可以用于 STFT 计算的两种窗函数  
注：两个窗宽都约为一个血压周期的宽度。两端渐变的窗（左）有利于避免两端突变的窗（右）所引起的频谱旁瓣振荡效应。为了能够看得清楚，窗的幅值放大了 100 倍。



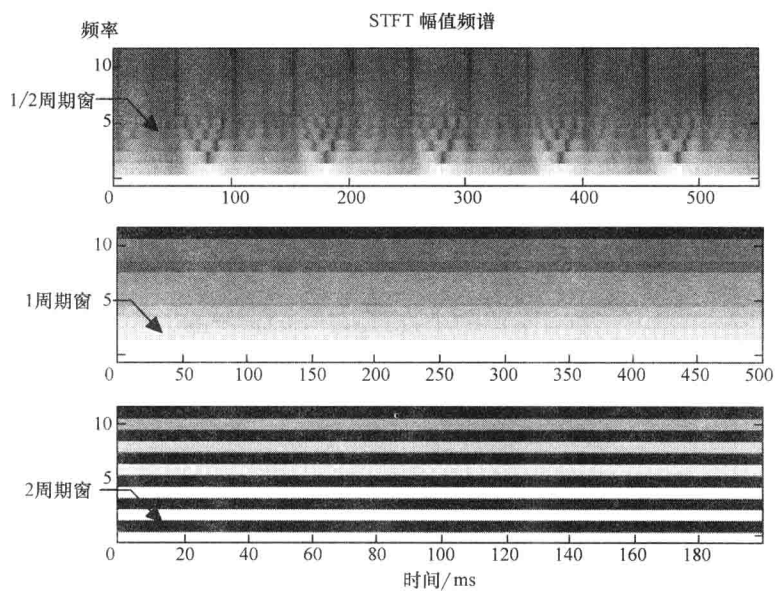


图 11.30 图 11.29 中严格重复的周期信号的 STFT 二维幅值频谱  
(其中 3 个图所用的窗宽分别为 1/2 个周期、1 个周期和 2 个周期。颜色越亮表示频谱幅值越大。例如，位于 0 频率的横条带对应于均值，在 3 个图中其幅值都是最大。0 以上的条带对应于数据中的谐波分量，通常随着频率的增大而减小。)

STFT 主要的缺点是在整个信号计算过程中窗的宽度固定不变。小波分析法与 FT 和 STFT 的区别就在于：其信号的分解不再限于正弦波，并且窗宽是可变的。在小波分析中，信号被分解为带位移因子和尺度因子的各个基小波  $\Psi(t)$  的组合，基小波也称为“母”小波。图 11.32 所示是两个基小波的例子，左边是 Haar 小波，右边是 Daubechies 系列小波之一的 db2 小波。理论上，这些基小波函数都与带通滤波器的冲激响应类似，尖锐的转角使得小波变换可以与信号的局部细节相匹配，而用傅里叶变换就无法考察这种细节。

二维小波变换表示为

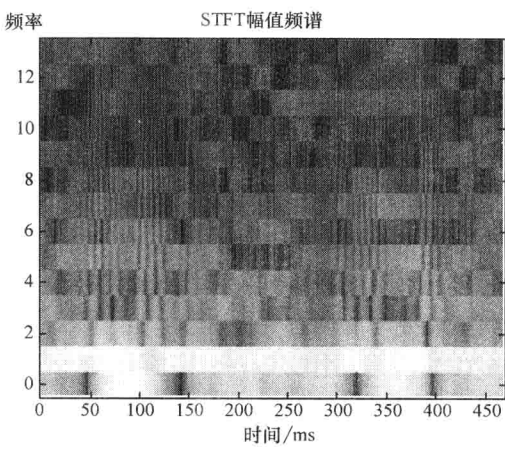


图 11.31 图 11.2 的非周期血压波形的 STFT 二维幅值频谱

注：所采用的窗宽约等于心率周期，信号中的均值已去除，因此最下面“0”频率附近的变化反映了呼吸引起的变化。

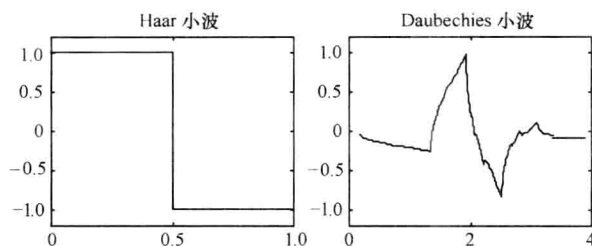


图 11.32 小波分析中常用的两种基小波波形

注：尖锐的转角使得小波变换可以与信号的局部细节相匹配，而傅里叶变换只能匹配正弦波，无法考察这种细节。

$$C(a, s) = \int_{-\infty}^{\infty} x(t) \varphi(a, s, t) dt \quad (11.57)$$

式中  $a$ ——尺度因子；

$s$ ——位移因子；

$C$ ——可以理解为带尺度因子和位移因子的各种小波与信号数据之间的相关系数。

图 11.33 所示是具有不同尺度和不同位移的 db2 小波函数  $\varphi(t)$ ，例如， $\varphi(2, -100, t) = \varphi(2t - 100)$ 。

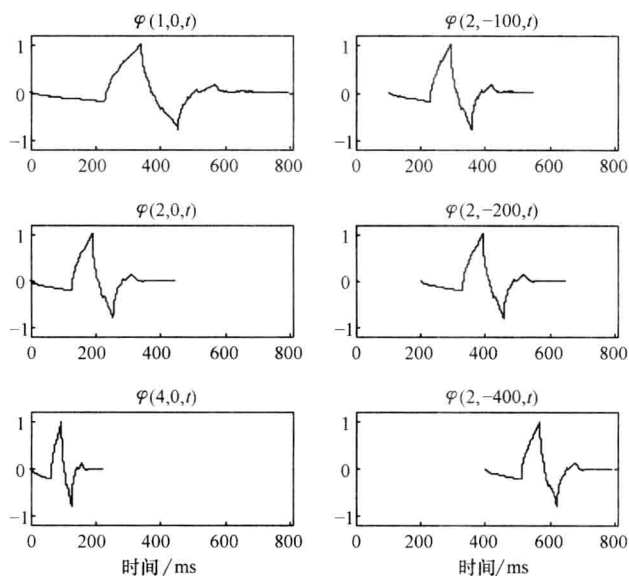


图 11.33 具有不同尺度和位移的 db2 小波

注：左上方是基小波  $\varphi(t)$ 。各图上方标志符的格式是  $\varphi(\text{尺度}, \text{位移}, t)$ 。

因此  $\varphi(1, 0, t) = \varphi(t)$ ， $\varphi(2, -100, t) = \varphi(2t - 100)$ ，依此类推。

二维小波逆变换为

$$x(t) = K_{\varphi} \iint C(a, s) \varphi(a, s, t) dt ds \quad (11.58)$$

它可以利用小波系数  $C(a, s)$  重建原信号  $x(t)$ , 其中  $K_{\varphi}$  与所使用的小波函数相关。

实际应用中, 小波分析只是计算某一组离散尺度和位移下的变换, 这称为离散小波变换 (参见 MATLAB 的小波工具箱)。其中一种算法是反复用数字低通滤波器和高通滤波器将信号分解为低频分量 (即“大尺度”下的“近似”分量) 和低频分量 (即“小尺度”下的“细节”分量), 这些滤波器都是基小波的函数。每个滤波器的输出数据点数与输入相同。为了使最后得到的不同尺度下的数据总数保持不变, 每个滤波器的输出序列都每隔一个数据点保留一个数据, 另一个数据则被删除, 这个过程称为降采样。然后, 再利用“升采样”方法和另一组所谓的“重建”滤波器, 就可以求得小波逆变换, 重建原信号。奇妙的是, 离散小波变换的逆变换确实存在!

利用上述算法可以快速求得小波变换系数。离散小波分析的重要作用是在不同尺度的分辨率下考察信号波形, 从而能够挑选信号中有用的“近似”分量和“细节”分量来重建所需的波形。其应用包括: 检测信号中的不连续点和断点, 检测长时程的信号变化, 检测自相似性 (如分形树等), 识别单纯频率成分 (这与傅里叶变换相似), 以及滤波、去噪和信号压缩等。

作为比较, 下面用离散傅里叶变换和离散小波变换分别处理图 11.2 所示的血压波形。图 11.34 所示是整个数据段的 DFT 频谱, 各个心率谐波处具有一定宽度的波峰以及不规则的频谱幅值, 反映了心脏搏动之间的差异, 较低的频率处还可以看到呼吸节律。

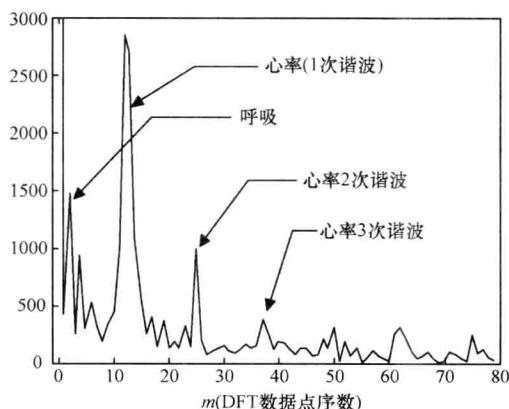


图 11.34 图 11.2 所示血压波形的 DFT 频谱  
(心率的 1 次、2 次和 3 次谐波清晰可见)

再来看利用 MATLAB 工具箱的小波变换函数处理上述血压数据的结果。图 11.35 所示是小波变换系数的二维图, 其中  $x$  轴是位移,  $y$  轴是尺度, 小尺度在下, 大尺度在

上。最大尺度处明显可见信号中所包含的两个呼吸周期。除了关注小波变换系数的大小之外,更重要的是可以选择信号的不同细节分量和近似分量。当尺度从  $a_1$  变化到  $a_7$  时,近似分量从心率成分为主变化到呼吸成分为主。从接近心率的小尺度细节分量上可以看出,噪声是随机变化的;但在较大尺度下,噪声却变得很规则,因为此时心率信号变成了噪声(参见图 11.36)。

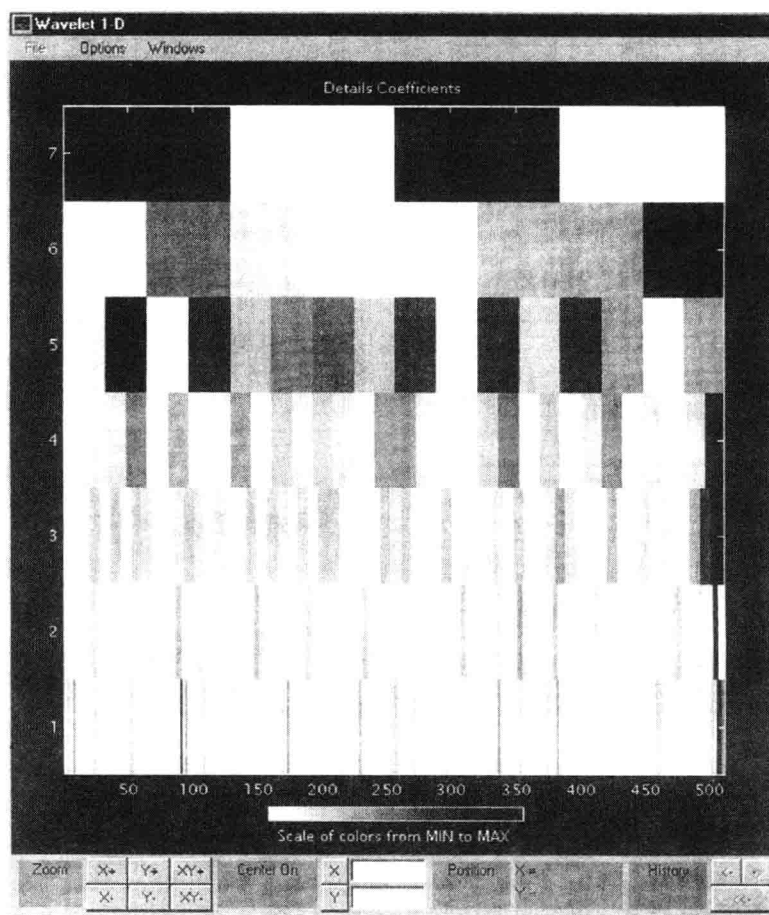


图 11.35 利用 MATLAB 工具箱作出的小波变换系数的二维图形

注:所用的基小波为 Daubechies 小波(相应的波形参见图 11.33)分析的是图 11.2 所示的主动脉血压数据。其中,  $x$  轴是位移,  $y$  轴是尺度(小尺度在下方,大尺度在上方)。

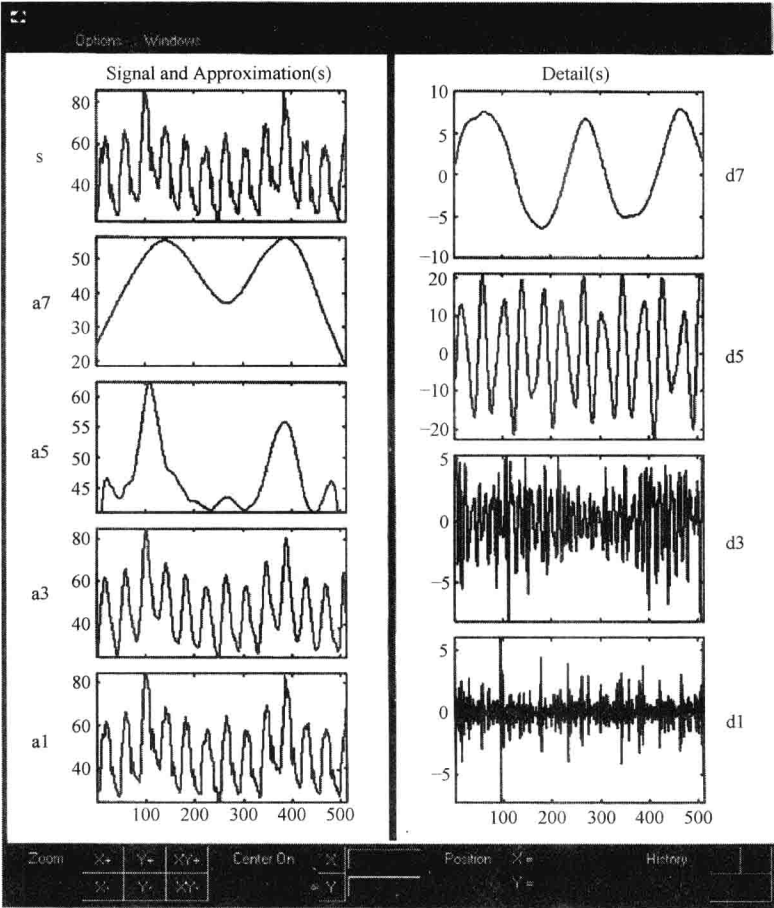


图 11.36 利用 MATLAB 工具箱产生的小波变换的  
几个细节分量和近似分量的波形

11.9 人工智能技术

人工智能（Artificial Intelligence，AI）是应用计算机系统实现智能的一个广阔领域。AI 系统有多种不同的实现方法，包括模糊逻辑、神经网络和专家系统等。它的主要目标是制造智能机器，用于不利的或者不可预测的工作环境。“智能”这个术语用于机器时，是指基于计算机的系统，它们可以与环境产生相互作用，并能够适应环境的变化。而适应算法的实现必须基于对环境的定性和定量模拟。总之，AI 技术的基本目标是制造出更加具备人类推理能力、决策能力和适应能力的机器。

机器智商（Machine Intelligence Quotient，MIQ）是机器智能水平的一个衡量指标，

其值越高, 机器自动推理和决策的能力就越强。这几年各种各样机器的 MIQ 都显著提高。很多基于计算机的消费品、工业机器以及生物医学仪器等系统都应用了尖端的人工智能技术, 模糊逻辑、神经网络等许多软计算技术的发展为促进各种 MIQ 的提高做出了重要的贡献。

软计算 (soft computing) 并不是指某种单一的算法, 而是多种算法相互结合形成的综合性方法。这些算法包括模糊逻辑、神经网络、概率推理和遗传算法等。各种软计算方法可以联合使用, 形成高级智能系统。由于机器必须评估的许多参数没有精确的数值, 因此, 软计算的主要目标就是允许不精确。生物系统的各种参数尤其难以精确测量和计算。

### 11.9.1 模糊逻辑

模糊逻辑的计算基于词语而不是数字, 词语描述往往不如数字精确。传统计算都用精确的数值, 而人类推理一般都用词语。模糊逻辑就是用语言变量 (linguistic variables) 来模拟人类的推理过程。语言变量就是用于描述参量的词语。例如, 用语言变量描述体温时, 可以有“高烧”、“高于正常值”、“正常”、“低于正常值”、“冰冷”等词。这些语言变量比 105.0、98.9、98.6、97.0、27.5 等华氏温度数值要模糊。

经典数学定义的数字集合称为分明集, 而模糊系统的基本元素被称为模糊集。 $A = [0, 20]$  是分明集的一个例子。分明集具有精确定义的数值边界, 而模糊集则没有明确的边界。例如根据人的年龄进行分类, 如果用分明集, 不同的年龄组可以分为  $A = [0, 20]$ 、 $B = [30, 50]$  和  $C = [60, 80]$  等。图 11.37a 所示是 A、B 和 C 集合的特征函数, 该函数值要么是 0, 要么是 1, 取决于某人的年龄是否在集合 A、B 或 C 的界限之内。分明集缺乏灵活性, 如果某人 25 岁, 或者 57 岁, 那么这个人就不能被归类了。

如果年龄组用模糊集来表示, 那么各组之间就不存在精确划分, 而是用“青年”、“中年”、“老年”等语言变量来分类。图 11.37b 所示是年龄分类的模糊集。注意, 各个类别之间有重叠。词语是大概描述而不是精确描述, 例如, 30 岁女人看上去比 6 岁男孩要老, 但比 80 岁老人要年轻得多。对于模糊集, 数值 1 表示 100% 隶属于某个集合; 数值 0 表示不属于某个集合; 0 与 1 之间的所有数值表示隶属某个组的不同程度。例如, 35 岁的人, 50% 隶属于“青年”集, 50% 隶属于“中年”集。

与经典数学的分明集一样, 模糊集上也定义了运算。图 11.38a 所示是模糊集的交集运算, 图 11.38b 是其并集运算, 而图 11.38c 则是其补集运算, 图中的实线表示运算结果。

虽然上述按年龄分类的简单例子很容易构建模糊集, 但是对于比较复杂的应用, 模糊集的建立就需要利用高级定标技术。语言变量可以用数学式表示并用计算机处理。模糊集一旦建立, 相应的规则也就形成了。模糊逻辑是基于规则的逻辑。模糊系统由很多条规则组成, 常用的规则都是语言变量组成的“if/then”语句。例如, 按年龄分类的模糊集的两条简单规则是

if 病人是“青年”, then 用“治疗方案 A”。

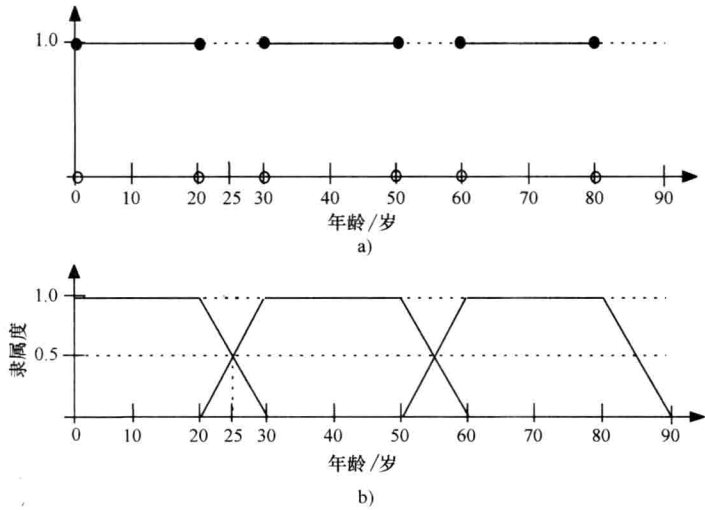


图 11.37 根据人年龄分类的分明集（图 a）和模糊集（图 b）

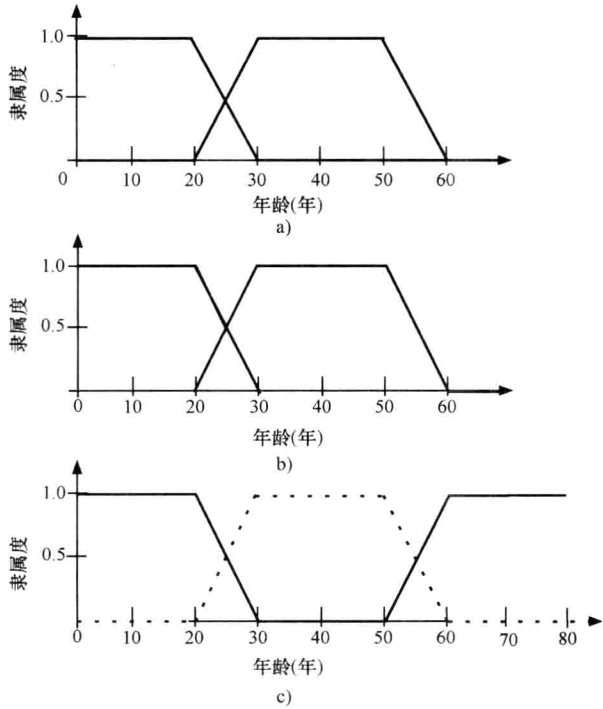


图 11.38 模糊集的运算

a) 交集运算：“青年”与“中年” b) 并集运算：  
“青年”或“中年” c) 补集运算：非“中年”

if 病人是“中年”或“老年”，then 用“治疗方案 B”。

变量在某个组别的隶属度用来确定使用哪条规则并采取哪类措施，如采用哪种治疗方案。所谓的“去模糊”法就是确定选用哪条规则来产生模糊系统的最终输出结果。

在很多应用中，模糊逻辑比传统的数值计算有明显的优势。如果信息量很有限或者很复杂，不能进行精确的数值计算，那么，模糊逻辑就特别有用，因为它允许不精确。如果不能建立精确的数学模型，模糊逻辑也有应用价值。但是，如果某个系统可以用数学模型精确描述，那么模糊逻辑方法通常不会比传统方法好。

在生物医学工程领域的各种信号分析和计算中经常会遇到某些信号的特性很难使用传统计算方法，但却很适合使用模糊逻辑来处理。因为许多生物现象还没有完全弄清楚，并且极其复杂，各个生物系统之间的差别也非常大。此外，现有的传感器等生物检测仪器存在局限性，很多生物系统的关键参量还不能精确测量。例如，传感器只能断断续续地测量某些生物量，或者测量时包含了其他参量的影响而不能只单独测量某个参量。如血糖传感器不仅对血糖敏感，而且对血液中的尿素等其他成分也敏感。模糊逻辑有助于补偿传感器的这些缺陷。

模糊逻辑在生物医学工程的许多领域都有应用。例如，自动给药的闭环药物输送控制系统就是用模糊逻辑开发的。特别在麻醉剂药物输送系统的给药控制中，模糊逻辑很有用，因为用传统计算方法很难精确计算不同病人应该注射的麻醉药物剂量。另外，模糊逻辑还用于开发瘫痪病人神经修复的新方法。运动神经修复术利用模糊逻辑系统控制的传感器，根据需要在腿部肌肉上施加电刺激，可以使瘫痪病人恢复行走能力。

#### 例 11.28

利用模糊系统可以根据心率的变化将病人分类，该系统有助于确定病人是否具有正常静息心率，还是心动过缓或者心动过速。心动过缓是指静息心率小于 60 次/min 的心律失常，而心动过速则是指静息心率大于 100 次/min 的心律失常。正常静息心率的范围是 70 ~ 80 次/min。请问描述人体静息心率可以用哪 3 个语言变量？

解：

可以用的语言变量名称有很多，关键是要选择可以较好地描述类别和所述对象的名称。例如，可以用“慢”、“正常”和“快”，或者直接用“心动过缓”、“正常”和“心动过速”。 ■

### 11.9.2 人工神经网络

人工神经网络 (Artificial Neural Networks, ANN) 是真实生物神经网络的理论模型。人类大脑是最高级的生物神经网络，它由高度关联的数十亿个脑细胞 (即神经元) 组成。如此高度关联的神经元结构具备极强的计算能力，远远超过最高级的计算机。人、哺乳动物、甚至简单的无脊椎动物 (如苍蝇) 的大脑都很容易根据经验学会识别相关的感官信号 (如声音和图像等)，并对周围环境的变化做出反应。人工神经网络的设计就是要模仿并复制出真实大脑的功能。

ANN 要比生物神经网络简单得多，高级 ANN 也仅包含数千个神经元和数百个连



接。虽然比较简单，但是，ANN的目标是要使计算机系统具有与真实大脑类似的学习、概括和适应能力。ANN可以通过学习来识别某些输入信号，并针对给定的输入产生特定的输出；因此，这种技术常用于生物信号的模式识别和分类。

ANN由多个相互连接的神经元组成，各种不同的神经元都可以在ANN中表示出来。并且各个神经元分层排列，各层神经元可以与其他神经元包括处于其他层的神经元相联系，神经元之间相互联系的方式决定了ANN的结构。ANN的结构有很多种，适用于不同的应用需求。图11.39所示是一种简单的结构，它共有6个神经元，分成3层。其中，“输入层”是第一层，有2个神经元，它们接收神经网络的输入信号；“中间隐层”有3个神经元，用于处理信息；“输出层”有1个神经元，它提供ANN的输出。

神经元之间的关联用数学方程来描述，图11.40的示意图就表示了单个神经元及其输出的数学计算方法。计算该神经元总输入的方程是

$$x = (\text{输入1} \times \text{权重1}) + (\text{输入2} \times \text{权重2}) + \text{偏置}$$

(11.59)

神经元的输出由数学方程 $g(x)$ 给定，最常用的 $g(x)$ 是阈值函数和非线性Sigmoid函数（即S型函数）。利用S型函数的神经元输出 $y$ 可以用以下简单公式来计算：

$$y = 1 / (1 + e^{-x})$$

(11.60)

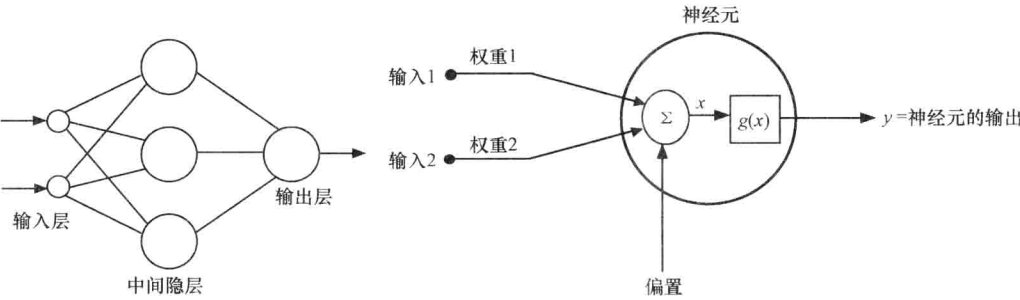


图 11.39 包含 3 层共 6 个神经元的简单人工神经网络示意图

图 11.40 神经元输入与输出之间的数学关系

在生物信号处理的应用中，ANN输入层接收的输入信号可以是原始数据，也可以是经过预处理的信号，或者是从生物信号中提取出来的某些特征量。原始数据通常是采样得到的数字化信号。预处理过的信号是指在输入神经网络之前已经经过变换、滤波等处理的信号。此外，某些特征量也可以作为神经网络的输入，例如，阈值、重复出现的特定波形或者各种波形之间的时间间隔等。

ANN必须学会识别输入信号中所包含的各种特征或者模式，但并不是一开始就会，而是必须经过训练才能学会。训练过程中，用户给ANN输入各种不同的重要样本事例，每个样本都需要重复输入多次。等到所有样本都试过多次之后，ANN就具备了对特定输入产生特定输出的能力。

ANN有各种各样学习模式，大致可以分为两大类：无监督学习和监督学习。在无监督学习中，给定训练样本集的输出是未知的，ANN必须进行一种自组织，从而学会识别输入样本的共性，并对各种不同类型的输入产生特定的输出。生物信号处理用到的

无监督学习 ANN 包括 Hopfield 神经网络和自组织特征映射网络。

在监督学习中,训练样本集的理想输出是已知的。特定输入的 ANN 输出与理想输出进行比较。理想输出作为目标,对于每个给定输入样本都计算目标与实际 ANN 输出之间的差别。监督学习的一种常用训练方法是反向传播 (Back Propagation, BP) 算法,应用这种算法训练的多层感知器已被用于生物信号处理。

反向传播算法可以使 ANN 的误差最小化。ANN 的误差就是 ANN 对于某输入所产生的实际输出与其目标输出之间的差别。反向传播使用梯度法使网络误差最小化,也就是,沿着误差斜率下降的方向进行计算,逐渐逼近目标,就像球体滚下山坡一样。“反向传播”这个名称是指改变 ANN 参数以减小误差的一种方式。首先给网络中的每个神经元设定一个误差值,然后计算每个神经元的相对误差,并改变神经元之间的连接强度使误差最小化。神经元之间的连接强度就是图 11.40 中所示的权重。神经元的误差计算和权重变化从输出神经元通过 ANN 反向传播到输入神经元。反向传播是求取产生最小网络误差的最优权重数值的一种方法。

ANN 适用于各种生物信号处理,它也是一种非线性统计分析的方法,经常用于模式识别和分类。此外,对于具有高度复杂性或者包含高噪声水平的信号,已经证明 ANN 比传统方法执行速度更快且更准确。而且,ANN 还可以求解没有算法解的问题,也就是不能用传统计算机编程解决的问题。这是因为 ANN 会学习,所以不需要用算法来解题。

随着人工智能技术的发展,ANN 在生物信号处理以及生物医学仪器中的应用越来越广泛。从 ECG 和 EEG 的信号分析到医学图像的识别以及各种疾病的诊断都已经有 ANN 的应用研究。在神经系统疾病中,ANN 已被用于研究癫痫、帕金森症和老年痴呆症等大脑疾病所产生的脑部特征变化。ANN 也用于心律失常 ECG 信号的特征提取和分类。有人曾经将 ANN 用于急救病人心脏病发作的诊断,研究结果表明,总体而言,ANN 能够比急救室医生更好地诊断心脏病发作状况。ANN 的优点是不会受到疲劳、注意力分散、情绪压力等的影响。随着人工智能技术的发展,ANN 将成为许多生物信号处理的一种高级工具。

### 例 11.29

某神经网络中的一个神经元有 3 个输入,并用 S 型函数计算其输出。设 3 个输入值分别是 0.1、0.9 和 0.1;训练之后,3 个输入所对应的权重分别是 0.39、0.72 和 0.23,偏置是 0.48。请问神经元的输出是多少?

解:

首先,利用式 (11.59) 计算输入之和,即

$$\begin{aligned} x &= (\text{输入}1 \times \text{权重}1) + (\text{输入}2 \times \text{权重}2) + (\text{输入}3 \times \text{权重}3) + \text{偏置} \\ &= 0.1 \times 0.39 + 0.9 \times 0.72 + 0.1 \times 0.23 + 0.48 \\ &= 1.19 \end{aligned}$$

然后,利用式 (11.60) 计算神经元的输出,即

$$y = 1/(1 + e^{-x}) = 1/(1 + e^{-1.19}) = 0.77$$



## 11.10 习题

1. 当你快速跑过人行道时, 你腿部的神经会产生哪些类型的生物信号?
2. EEG 记录的是什么生物信号? 请说明信号的来源和特征。
3. 请说明在自行车比赛中正常人体心脏 ECG 可能产生的变化。
4. 用 16 位 A-D 转换器采样某个生物信号的模拟量, 其最小电压为  $-30\text{mV}$ , 最大电压为  $90\text{mV}$ , 则 A-D 转换的分辨率为多少?
5. 用  $200 \sim 250\text{Hz}$  采样频率可以正确采集某块骨骼肌活动所产生的 EMG 信号, 请问原始 EMG 记录信号中的最高频率是多少?
6. 有两个信号  $x_1(t)$  和  $x_2(t)$ , 其幅值频谱如图 11.41 所示。请计算以下信号的奈奎斯特频率:
  - a)  $x_1(t)$ ;
  - b)  $x_2(t)$ ;
  - c)  $x(t) = x_1(t) * x_2(t)$  (提示: 应用卷积定理)。

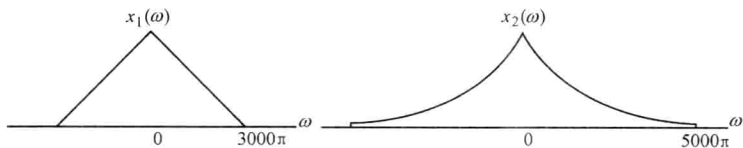


图 11.41

7. 假设信号为  $x(t) = 3 + \sin(2\pi 100t) + \cos(2\pi 250t + \pi/3)$ , 请计算其奈奎斯特频率。
8. 频率为  $125\text{kHz}$  的正弦波信号用  $70\text{kHz}$  的采样频率, 请问采样所得信号的频率是多少?
9. 脑电图 (EEG) 信号的最高频率是  $300\text{Hz}$ , 用 A-D 转换器将其采样并转化为二进制数据序列。
  - a) 如果信号采样频率要求比奈奎斯特频率高  $50\%$ , 请计算该采样频率;
  - b) 采样数据的量化要求有  $2048$  个水平, 请问每个采样数据要用几位二进制数来表示?
10. 请写出图 11.42a 所示信号的指数傅里叶级数。
11. 请写出图 11.42b 所示信号的指数傅里叶级数。
12. 图 11.43 所示信号  $f(t)$  是一个周期信号, 请写出其三角傅里叶级数。
13. 请写出如下三角傅里叶级数  $f(t)$  的简化三角傅里叶级数:
 
$$f(t) = 3 + 3\cos(t) + 2\cos(2t) + 4\sin(2t) - 4\left(\frac{e^{j4t} + e^{-j4t}}{2}\right)$$
14. 请解释为什么指数傅里叶级数要用到负频率。

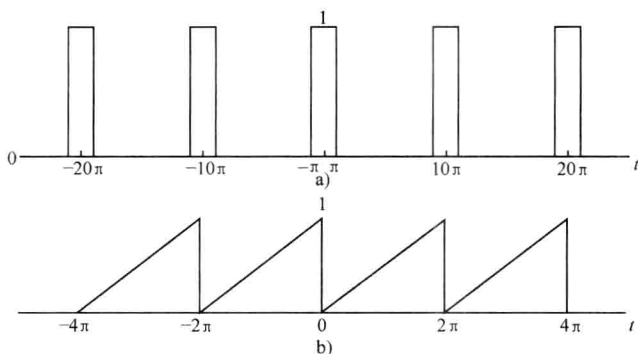


图 11.42

15. 请写出以下函数的傅里叶变换

a)  $u(t)$ ;

b)  $e^{-at}u(t)$ ;

c)  $\cos(at)u(t)$ 。

16. 请写出  $f_1(t) = e^{-3t}u(t)$  的傅里叶变换。

17. 请写出  $f(t) = e^{-3|t|}$  的傅里叶变换，并做出

其时域和频域曲线。提示：将变量代换成某些具体数值，并计算出曲线上这些点的值，再作曲线。

18. 请证明傅里叶变换的时移性质。

19. 假设  $x(t) = e^{-at}u(t)$ ，且  $h(t) = e^{-bt}u(t)$ ，其中  $a$  和  $b$  为大于 0 的常数，请解释为什么在频域计算卷积  $x(t) * h(t)$  更容易。

20. 用一个持续时间为 50ms，幅值为 1mA 的窄电流脉冲刺激细胞膜，假设细胞膜的时间常数为 10ms，请计算细胞膜的电压变化曲线。

21. 某细胞的离子交换过程可以用冲激响应  $h(t) = e^{-4t}u(t)$  来模拟，

a) 如果这个  $h(t)$  的估计是准确的，那么研究人员可以从中获得什么启示？

b) 如果钠离子以  $x(t) = 3u(t) - 3u(t - 2)$  的短脉冲形式注入细胞，即脉冲持续时间为 2 s，那么，细胞将会如何反应（如泵出离子等）？请求解时域的输出响应。提示：将该输入信号与冲激响应进行卷积。

22. 将心室颤动时记录的某段心电图信号进行数字化，信号的起始几个数据点的值为： $-90.0$ 、 $10.0$ 、 $-12.0$ 、 $-63.0$ 、 $7.0$ 、 $-22.0$ ，单位为 mV。该数据序列的  $z$  变换是什么？

23. 以下方程描述的系统中，哪些是线性的，哪些不是？

a)  $\frac{dy}{dt} + 2y(t) = f^2(t)$ ;

b)  $\frac{dy}{dt} + 3ty(t) = t^2f(t)$ ;

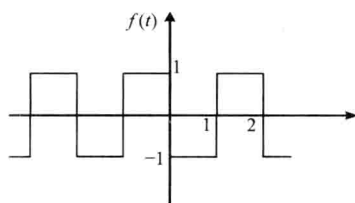


图 11.43

$$c) \frac{dy}{dt} + 2y(t) = f(t) \frac{df}{dt};$$

$$d) y(t) = \int_{-\infty}^t f(\tau) d\tau.$$

24. 请分析以下数字滤波器的特性

$$y(k) = \frac{1}{4}x(k) + \frac{1}{4}x(k-1) + \frac{1}{2}y(k-2)$$

写出其冲激响应、 $H(z)$  和  $H'(\Omega)$ , 用 MATLAB 程序计算  $|H'(\Omega)|$  (其中  $0 < \Omega < \pi$ ) 并做图显示。分析该滤波器与例 11.23 所示滤波器之间的不同之处。为什么这是一个更好的低通滤波器? 如果输入序列为  $x(k) = 100\sin\left(\frac{\pi}{2}k + \frac{\pi}{8}\right)$ , 则输出是什么? 如果输入序列为  $x(k) = 100u(k)$ , 输出又是什么?

25. 请写出以下函数的  $z$  变换:

$$a) x(k) = u(k);$$

$$b) x(k) = a^k u(k);$$

$$c) x(k) = \cos(bk) u(k).$$

26. 请写出以下数据序列的  $z$  变换

$$a) x[k] = (1/2)^k u(k);$$

$$b) x[k] = \cos(\Omega k) u[k].$$

27. 请计算以下离散系统的前 4 个输出:

$$y[k] - 3y[k-1] + 2y[k-2] = f[k-1]$$

假设  $y[-1] = 2$ ,  $y[-2] = 3$ , 且  $f[k] = 3^k u[k]$ 。

28. 请计算以下离散系统的前 4 个输出:

$$y[k] - 2y[k-1] + 2y[k-2] = f[k-2]$$

假设  $y[-1] = 1$ ,  $y[-2] = 0$ , 且  $f[k] = u[k]$ 。

29. 请编写 MATLAB 程序, 证明随着重复实验次数的增加, 多次实验结果叠加平均之后, 随机噪声会趋于零。

30. 糖尿病的正确治疗需要以准确的血糖测量作为依据。葡萄糖是人体内的一种主要碳水化合物, 它在体内循环, 给细胞提供能源。正常人体内的胰岛素可以促进葡萄糖从血液到肌肉和脂肪组织的输送, 从而调节血液中的葡萄糖浓度。糖尿病患者由于不能适当调节葡萄糖水平, 血糖浓度会变得过高。请说明如何在测量血糖浓度的系统中应用模糊逻辑实现控制? 与传统系统相比, 模糊逻辑系统的优点是什么?

31. 请说出 3 种可以应用人工神经网络处理的不同生物信号, 并针对你所列举的应用, 至少说出两点人工神经网络优于传统信号处理方法的特点。

32. 假设例 11.28 中的模糊集已经确定, 静息心率为 95 次/min 的人归于正常集合的隶属度为 75%, 归于心动过速集合的隶属度为 25%。而静息心率为 65 次/min 的人归于正常集合的隶属度为 95%, 归于心动过缓集合的隶属度为 5%。请作图表示该模糊集。

## 推荐阅读资料

- M. Akay, *Biomedical Signal Processing*, Academic Press, Inc., San Diego, CA, 1994.
- M. Akay (Ed.), *Time Frequency and Wavelets in Biomedical Signal Processing*, IEEE Press, New York, NY, 1998.
- P. Bauer, S. Nouak, R. Winkler, *A Brief Course in Fuzzy Logic and Fuzzy Control*, Fuzzy Logic Laboratorium Linz-Hagenberg, Linz, Austria, 1996. <http://www.flll.uni-linz.ac.at/fuzzy>.
- C.M. Bishop, *Neural Networks for Pattern Recognition*, Oxford University Press Inc., New York, NY, 1995.
- E.N. Bruce, *Biomedical Signal Processing and Signal Modeling*, Wiley-Interscience, New York, NY, 2000.
- E.J. Ciaccio, S.M. Dunn, M. Akay, *Biosignal Pattern Recognition and Interpretation Systems: Part 1 of 4: Fundamental Concepts*, IEEE Eng. Med. Biol. Mag. 12 (1993) 810–897.
- E.J. Ciaccio, S.M. Dunn, M. Akay, *Biosignal Pattern Recognition and Interpretation Systems: Part 2 of 4: Methods for Feature Extraction and Selection*, IEEE Eng. Med. Biol. Mag. 12 (1993) 106–113.
- E.J. Ciaccio, S.M. Dunn, M. Akay, *Biosignal Pattern Recognition and Interpretation Systems: Part 3 of 4: Methods of Classification*, IEEE Eng. Med. Biol. Mag. 12 (1994) 269–279.
- E.J. Ciaccio, S.M. Dunn, M. Akay, *Biosignal Pattern Recognition and Interpretation Systems: Part 4 of 4: Review of Applications*, IEEE Eng. Med. Biol. Mag. 13 (1994) 269–273.
- A. Cohen, *Biomedical Signal Processing: Volume I Time and Frequency Domain Analysis*, CRC Press, Boca Raton, FL, 1986.
- A. Cohen, *Biomedical Signal Processing: Volume II Compression and Automatic Recognition*, CRC Press, Boca Raton, FL, 1986.
- J. Dempster, *Computer Analysis of Electrophysiological Signals*, Academic Press Inc., San Diego, CA, 1993.
- S.R. Devasahayam, *Signals and Systems in Biomedical Engineering: Signal Processing and Physiological Systems Modeling*, Kluwer Academic, New York, NY, 2000.
- S. Haykin, *Neural Networks—A Comprehensive Foundation*, Macmillan College Publishing Co., Inc., New York, NY, 1994.
- R.B. Northrop, *Signals and Systems Analysis in Biomedical Engineering*, CRC Press, Boca Raton, FL, 2003.
- B. Onaral (Ed.), VI. Biomedical signal analysis, in: J.D. Bronzino (Ed.), *The Biomedical Engineering Handbook*, CRC Press, Boca Raton, FL, 1995.
- A.V. Oppenheim, R.W. Schaffer, *Digital Signal Processing*, Prentice-Hall, Inc., Englewood Cliffs, NJ, 1975.
- A.V. Oppenheim, A.S. Willsky, I.T. Young, *Signals and Systems*, Prentice-Hall, Inc., Englewood Cliffs, NJ, 1983.
- R.A. Roberts, C.T. Mullis, *Digital Signal Processing*, Addison-Wesley Publishing Co., Reading, MA, 1987.
- M. Smith, *Neural Networks for Statistical Modeling*, International Thomson Computer Press, Boston, MA, 1996.
- S.D. Stearns, R.A. David, *Signal Processing Algorithms in Fortran and C*, P T R Prentice-Hall, Inc., Englewood Cliffs, NJ, 1993.
- W.J. Thompson, *Biomedical Digital Signal Processing*, P T R Prentice-Hall, Inc., Englewood Cliffs, NJ, 1993.
- C.S. Williams, *Designing Digital Filters*, Prentice-Hall, Inc., Englewood Cliffs, NJ, 1993.
- L.A. Zadeh, *Fuzzy Sets and Applications*, John Wiley & Sons, New York, NY, 1987.
- R.E. Ziemer, W.H. Tranter, D.R. Fannin, *Signals and Systems: Continuous and Discrete*, third ed., Macmillan Publishing Co., New York, NY, 1993.

# 第 12 章 生物电现象

John D. Enderle 博士

## 本章目录

- 12.1 绪论
- 12.2 生物电的发现历史
- 12.3 神经元
- 12.4 生物物理学基本定律和方程
- 12.5 细胞膜的等效电路模型
- 12.6 动作电位的 Hodgkin-Huxley 模型
- 12.7 神经元整体模型
- 12.8 化学突触
- 12.9 习题
- 参考文献
- 推荐阅读资料

## 本章的主要学习内容：

- 阐述生物电现象的发现历史；
- 定性描述神经元之间的信号传导；
- 计算一种或多种离子所产生的细胞膜电压；
- 计算跨膜电流脉冲引起的细胞膜电压变化；
- 阐明刺激后膜电压随距离的变化；
- 讲解电压钳实验技术和动作电位；
- 应用 Hodgkin-Huxley 模型仿真动作电位；
- 论述神经元之间信息交流的过程。

## 12.1 绪论

本书第 3 章已经简要介绍了神经系统和神经元的基本概念，本章将深入讲解神经元静息时和兴奋时的特性。基于这些知识，可以利用神经元通用仿真软件 GENESIS（详见参考资料中 J. M. Bower 和 D. Beeman 的著作）建立比较完整的单神经元模型和多神经元模型，或者根据更精确的离子通道机制和神经网络来扩展 Hodgkin-Huxley 基本模型。

这些模型是了解神经系统及其功能的重要基础。

本章所介绍的神经元模型具有悠久的发展历史，并且，如今的新发现仍然在不断更新已有的理论和模型。神经元模型的主要生理学意义在于研究神经元的信息传递和存储机制，其主要的工程学意义则是将神经元作为计算机结构和人工神经网络设计的模板。脑机接口的最新进展使得了解神经元在如今变得更为重要（详见参考文献 [1] 和 [4]）。为了全面了解神经元的工作机理，首先必须应用生物物理学、生物化学以及电路理论等方法，认识静息时细胞膜的特性；然后才能进一步从本质上了解神经元通过产生动作电位来实现的信息发送过程。

1952 年 Hodgkin 和 Huxley 两人发表的论文描述了一系列实验，并在实验基础上建立了动作电位模型。这项工作的成功使得两位作者和 John Eccles 一起共同获得了 1963 年诺贝尔奖，本章 12.6 节将介绍他们的工作。很可能有人会问：1952 年之后已经出现了那么多的发展和变化，如今还有必要在教科书中讲述那时的 Hodgkin-Huxley 模型吗？答案很简单，首先，这个模型是少见的不会过时的经典之作，值得介绍；其次，目前已有的所有其他模型其实都源于此模型，并且将来新出现的模型可能也是如此。

本章的内容安排如下：第 12.2 节简单介绍生物电的发现历史，初次阅读本章时可以跳过这一节；第 12.3 节定性描述神经元及其结构；第 12.4 节介绍生物物理学和生物化学的一些基本方法，用于阐述神经元的静息特性；第 12.5 节讲解由电阻、电容以及电压源组成的静息细胞膜的等效电路模型；第 12.6 节讲述神经元的 Hodgkin-Huxley 模型，包括相关实验以及动作电位的数学模型；最后，第 12.7 节讲解一个神经元整体模型。

## 12.2 生物电的发现历史

### 12.2.1 学科发展史：Galvani 与 Volta 之争

1791 年，《Proceedings of the Bologna Academy》杂志刊登了一篇论文，用实验结果证明了动物身上存在电，这篇论文如今闻名遐迩，其作者就是 Luigi Galvani。当时，该论文引起了科学界的轰动，并且引发了一场争议，就论文中的实验结果产生了两种不同的解释，最终导致了电生理学和电气工程两个不同学科的创立。那时，Galvani 确信他所观察到的蛙腿肌肉收缩现象是由于动物身上发出的某种形式的电引起的；但是，时任 Padua 大学物理学教授的 Alessandro Volta 却认为这种“电”并不是源于动物自身，而是来自实验所使用的两种不同金属。其实，这两种截然相反的观点都很重要。下面就详细介绍当时所具备的科学知识体系、这两种观点的理论基础以及这场争论的最终结果。

### 12.2.2 18 世纪的电学

19 世纪以前，人们已经积累了大量有关普通电学和生物电的详细记载。例如，埃



及人和希腊人早就知道某些鱼能够释放出很高的电压，电击水中其他生物；希腊人还发现，用猫皮摩擦树脂（即琥珀，希腊语称为“elektron”），或者用丝绸摩擦玻璃，都可以产生静电现象。小亚细亚人 Thales 在公元前 600 年就指出，用布猛烈摩擦琥珀时，琥珀就会具有某种“吸引力”，可以把一定距离范围内的谷壳、纸屑和丝线等碎小物体吸到琥珀上。当时静电被看成一种神秘莫测的事物。

与 Thales 时隔两千多年之后，英国医师 Willian Gilbert 重新拾起了 Thales 中断的研究工作。他发现，除了琥珀之外，玻璃、玛瑙、钻石、蓝宝石以及其他很多材料，经过摩擦之后都可以具有希腊人所说的那种吸引力。但是，Gilbert 没有报道小物体也可能被排斥。直到一个世纪之后，法国人 Charles DuFay（1698—1739）才发现静电排斥现象。

后来，在电学的进程中，摩擦起电进一步发展，人们发明了旋转摩擦机器来持续不断地产生大量静电荷。第一台摩擦发电机是德国人 Otto von Guericke（1602—1685）发明的。于是，电学在 18 世纪成为热门科学，人们通过各种实验揭示了许多新的电学特性。例如，英国人 Stephen Gray（1666—1736）证明电可以沿着用丝线悬挂起来的普通麻绳流到几百英尺之外。于是，他推测电是一种“流体”。但是，如果将丝线换成金属线来悬挂麻绳，他发现电荷很快就会消失。从此，人们开始认识到某些材料可以导电、而另一些材料则是绝缘体；并且认为丝绸、玻璃、树脂之类的“电体”可以携带电荷，而金属和水之类的“非电体”可以传导电荷。Gray 还发现，不需要直接接触，电就可以从相邻的一个充电物体传导到另一个物体上，这就是感应起电现象，根据此原理，后来很快发明了产生静电荷的机器。

法国科学院的 Charles F. DuFay 当时对 Gray 的实验很感兴趣，他用大量的测试证明，除了金属、太软的物体或者流体之类的材料不能用来摩擦生电之外，实际上几乎所有其他材料都能够生电。但是，他后来又发现，如果把金属绝缘，那么金属可以携带的电荷其实最多。他还发现，摩擦过的玻璃会排斥小金片，而摩擦过的琥珀、树胶和蜡却会吸引小金片。由此他认为实际存在两种电“流”，并把它们分别称为“玻璃性”的和“树脂性”的电。他还指出，不同种类的电荷可以互相吸引，同种电荷则互相排斥。这一研究结果表明了两种“电”的存在。

英国美洲殖民地的 Benjamin Franklin（1706—1790）也对电很感兴趣，并通过实验提出了“单种电流”的假说。他认为只存在一种电，摩擦生电只不过使这种电产生了分离，从而使得其中一个物体带电过剩，而另一个物体则缺电。他指出，“电”是所有物体都具有的元素，并且通常处于平衡的中性状态。物体之间相互摩擦等作用会引起电荷的过量或者缺失，从而导致了不平衡。因此，摩擦起电只是分离电荷，并不创造新的电荷。Franklin 的这种假说其实隐含了电荷守恒定律的思想，也就是得到的电荷与失去的电荷是相等的。他还推测，玻璃被摩擦之后会带上过剩的电荷，他称之为“正”电，并由此建立了一直使用至今的从正到负的电流动方向。现在大家都知道产生电流的电子流动的方向其实与这种传统电流方向正好相反。

直到 18 世纪末，有关静电的知识主要局限于定性的描述。实验检测方法虽然不少，但都不是定量测定方法，因而一直没有建立电荷之间的数学关系。不过，这些实验为后

来有关电学定律的建立打下了基础，导致了静电场电荷力的定量描述。

科学发展的下一剧幕又重新回到法国，有关静电力的定律就出现在那里，主要贡献者是工程师出身的物理学家 Charles A. Coulomb (1726—1806)。他证明，当两个带电物体放在一起，相互靠近时，两者之间存在一种作用力。在这种实验现象的基础上，他进一步推导了可以完整地描述力的大小的通用公式，提出带电物体之间的吸引力或者排斥力与距离的二次方成反比关系。这个定律成为认识物质电荷效应的主要理论基础。至此，虽然已经有了上述这么多一连串的新发现，但值得注意的是，在 Galvani 和 Volta 之前还没有人发现能够输送持续流动电“流”的物体。我们现在知道，这种所谓的电“流”其实包括电荷和电流。

Franklin 既是政治家、外交官、出版商以及美国独立宣言和宪法的起草人之一，也是一位狂热的实验家和发明家。1743 年 37 岁的他在波士顿满怀强烈的兴趣看完一场静电表演之后，就下定决心要亲自研究这种奇怪的现象。于是，他立即购买、设计了各种各样的仪器装置，成为一名电学爱好者，花了好几年时间进行静电效应的实验研究。

科学家 Franklin 家喻户晓的故事可能就是 1752 年 6 月的一天他在美国费城暴风雨中放飞风筝的实验。虽然那时很多欧洲研究人员都已经推测到电和闪电是一回事，但是，Franklin 最早用实验证明了闪电是一种巨型放电。根据金属尖端容易吸引电火花的特点，他发明了“避雷针”。垂直安装在房顶上的避雷针可以把云层中的电荷安全地引导到大地中去。这是静电学最早的实际应用。

伦敦皇家学会 (Royal Society) 非常赞赏 Franklin 的工作成果。在遥远的美洲殖民地能够做出如此卓越的成就使得 Franklin 名声大震，他多次以政治家和实验家的身份访问欧洲，成为欧洲社交界的名人和科学界的豪杰。

### 12.2.3 Galvani 的实验

基于上述这些电“流”的知识背景，还有很多有关电可以激活肌肉和神经的有力证据，不难理解为什么当时生物学家会开始推测 Galen 曾经提出的调节肌肉收缩和所有神经功能的“神经流”（即当时所谓的“动物灵魂”），其本质就是电。身为产科医生和解剖学家的 Galvani 绝不是第一位持有这种观点的人，但是，他完成的证明电就是“神经流”的实验却取得了关键性的突破。

当时普遍认为肌肉收缩可以用某种形式的动物电来解释。到了 18 世纪，人和动物的肌肉在静电装置的放电刺激下会产生痉挛现象，这在实验室已经习以为常。因此，触电被认为是一种肌肉刺激。为了解释肌肉为什么会收缩，人们进行了各种各样的解剖实验，研究“金属接触”与动物组织活动之间可能存在的关系。1750 年，苏黎世 (Zurich) 的生理学教授 Johann Sulzer (1720—1779) 报道了偶然发现的一种现象，当他把舌头放在两片不同的金属条（如锌和铜）之间时，会感觉到一种恶心的酸味。两片金属条的末端要接触在一起才能产生这种现象；如果分开，就没有这种感觉了。Sulzer 认为金属片产生的振动刺激了舌头，从而产生这种味觉现象。他用其他异种金属也得到了同样的结果。但是，Sulzer 的发现当时并没有引起人们的关注，半个世纪之后随着新的发

现，人们才开始注意到他的实验结果。

接下来发生的事就是前面提到的 Galvani (1737—1798) 的那个幸运且非常重要的发现。Galvani 是意大利城市 Bologna 一个大家族的后裔，25 岁就成为 Bologna 大学的解剖学教授。他对电及其与肌肉、神经活动之间可能的关联具有强烈的兴趣。肢解的蛙腿标本当时是一种常用的实验材料，Galvani 在实验中就是用蛙腿研究肌肉和神经活动。他和同事们观察了动物组织对于各种刺激的反应，并注意到，在用手术刀探查新鲜制备的蛙腿标本时，只要放在近旁的摩擦起电静电仪一放电，蛙腿就会强烈抽搐。

Galvani 对实验描述如下：

“我解剖了一只青蛙标本，把它放在桌上，桌上还有一台静电仪。我的一位助手碰巧将手术刀刀尖搭在蛙小腿内神经上，小腿的肌肉突然猛抽了一下。另一位做电学实验的助手注意到，只有在静电仪放电的瞬间，才会发生这种肌肉收缩，他对此现象很是惊奇。当时我正在忙其他事，得知此事后，我立即重复了这个实验，用手术刀刀尖触碰小腿神经的另一端，同时助手转动静电仪使其放电。每次一放电，肌肉都会抽搐。”

凭着敏锐的洞察力和训练有素的思维，Galvani 进一步设计了一系列实验来研究这种神秘的肌肉收缩现象。经过反复实验，他发现诱发肌肉收缩所需的条件是，将标本放在金属盘中，同时用金属物体接触肌肉。

Galvani 当时已经知道 Franklin 用实验证明了闪电与静电仪所产生的电具有相同的性质，于是他设计了一个实验，证明利用大气中的电也可以像静电仪那样产生同样的结果。他把蛙腿神经搭在天线上，而把蛙脚放在电的接地点上。在暴风雨中他看到蛙腿肌肉的反应与使用静电仪时一样。但是，实验中的另一个偶然现象却引发了更深入的问题、发现和争议。

Galvani 还注意到，用铜钩穿过蛙腿标本的骨髓，并将标本挂在铁架子上。无论天气情况如何，蛙腿肌肉都会时不时地产生抽搐。在操作标本时，每当他将铜钩挂到铁架子上，两种金属一接触，肌肉就会抽搐。为了确定这种收缩是否仍然与某种大气效应有关，他在实验室房间里重复了实验。结果发现，每当穿在骨髓上的铜钩与铁盘接触时，放在铁盘中的标本就会抽搐。他感到这种现象反映了新的机理，于是就设计新实验来寻找真正的起因。他发现用玻璃代替铁盘，就不会产生这种肌肉反应，而用银盘则又可以观察到这种反应。于是他把长度相同的两片异种金属条连接在一起，并弯成一个弓形，用这种双金属弓的两端接触蛙腿标本时，就又看到了同样的肌肉抽搐反应。由此，他得出结论：金属接触是肌肉收缩的作用因素，而且制作双金属弓的金属种类不同，肌肉收缩的强度也不同。

现在 Galvani 面临的问题是如何解释所观察到的现象。实验标本作为指示器，他看到的可能有两种电效应：一种来自电器的放电，另一种则来自两种不同金属的接触。引起肌肉活动的电，要么原来就存在于肌肉标本内，金属只是起到了释放这种电的作用；要么来源于两种不同金属的接触效应，肌肉标本只是一个指示器而已。

Galvani 是一位解剖学家，因此他抓住的是第一种解释，将实验现象归因于生物体本身肌肉和神经中存在的“动物电”。他建立了一个生理学模型，把生物体比作“莱顿

瓶”(Leyden jar)<sup>⊙</sup>，体内不同的组织会产生相反的电荷。这些电荷通过神经从大脑流向肌肉，当电荷通过金属连接释放出来时，就会引起肌肉抽搐。他这样写道：“思路清楚了，动物体内自身存在一种内在的电。我们很有把握地推测，肌肉收缩现象发生时有一股很细的‘神经流’通过神经流向肌肉，就像莱顿瓶中的电流一样。”Galvani 的假说反映了他那个时代盛行的观点，就是将生物体的活动看成是体内各个部位“灵魂”流动的结果。

1791 年，Galvani 在 Bologna 科学院学报上发表了题为“静电力与肌肉运动之间的关系”(De Viribus Electricitatis In Motu Musculari) 的论文，阐述了他的实验现象和推论。这一报道引起了轰动，它暗示着生命力量之谜的新发现。不论是科学界行内人士还是行外人士，不管是意大利还是欧洲其他地方，人们都为这些发现而激动。但是，没有人比得上 Alessandro Volta，他专心致志地跟踪 Galvani 的发现，而且以这些发现为基础获得了更伟大的发明。

#### 12.2.4 Volta 的解释

Galvani 的研究激发了人们巨大的兴趣。不管在哪里，只要能拿到青蛙，科学家们就重复他的实验，并都取得了成功。开始时，人们毫无疑问地接受了 Galvani 关于肌肉收缩的解释，甚至连杰出的物理学家 Alessandro Volta 也同意这种观点，他得到 Galvani 的论文之后，就立即验证了这种现象。

Volta 是一位受人尊敬的科学家，他 24 岁就发表了第一篇科学论文“论电的吸引力”(On the Attractive Force of the Electric Fire)，推测了电场力与重力的相似性。Volta 致力于物理学和数学研究，也忙于实验研究。他具有杰出的才能，不到 30 岁就已经成为 Como 皇家学院(Royal School of Como)的物理学教授，并在那里完成了他的第一项重大科学创造，发明了起电盘(electrophorus)，其实是一种电的“搬运”工具，是第一台利用感应方式而不是摩擦方式可以反复产生电荷的装置。

1782 年，Volta 被聘为 Padua 大学的物理学教授。在那里他做出了第二项发明，就是电容起电盘，它是一台灵敏度很高的检测电荷的仪器。在此之前人们用验电器检测电荷的存在。验电器由一根绝缘金属棒以及悬挂在其末端的一对丝线、或者一对小木髓球、或者两片金箔组成。如果金属棒的一端遇到电荷，那么，悬挂在另一端的这对小物体就会因排斥力而相互分开，分开的距离就反映了电荷的强度。因此，它其实是库仑定律的应用。

Volta 将这种验电器与他发明的起电盘结合起来，组成了一种用于科学研究的微量电荷检测器，就是电容式验电器。他还进一步将这种装置变成机械天平的一部分，通过重力来测量电荷所产生的力，这种仪器称为静电计(electrometer)。在 Volta 后来进行异种金属的连接产生电的研究中，静电计发挥了重要的作用。

Volta 看到 Galvani 1791 年在 Bologna 科学院学报上发表的“静电力与肌肉运动之间

⊙ 莱顿瓶是一种早期的电容器，可用于充放电。——译者注

的关系”一文之后，立刻产生了浓厚的兴趣。他很快重复了 Galvani 的实验，并且，最初也肯定了 Galvani 关于“动物电”引起肌肉反应的结论。与 Galvani 一样，他将肌肉活动归因于肌肉电与神经电之间的不平衡。金属接触之后，平衡又重新恢复。不过，在后续的深入研究过程中，Volta 开始怀疑“动物电”观点的正确性，他发现了这种电平衡学说的破绽。实验中，只有通过金属连接使神经处于电路回路中时，肌肉才会收缩。

为了研究肌肉活动的真正起因，Volta 重新捡起了 Sulzer 曾经做过的实验。当他把一片锡箔放在舌尖上面，把一块银币放在舌尖下面，并用铜线将两者连起来时，他尝到了一股酸味。用银汤匙替换银币，省去铜线，直接用汤匙的柄接触锡箔，也会产生同样的效果。而当他用异种金属在舌头和前额之间形成连接时，他感觉到了一种亮光。基于这些结果，Volta 得出结论，认为他体验到的这些感觉不可能是由金属传导过来的，而一定是不同金属自身能够产生电。

经过两年的实验研究，1792 年 Volta 发表了结论，在赞扬了 Galvani 的惊人新发现之后，他对于这种效应的起因提出了不同的观点。1794 年，Volta 与 Galvani 彻底决裂，他直言不讳地反对“动物电”理论，提出了“金属电”理论。Galvani 本性谦和，他并不与 Volta 直接对抗，而是埋头继续做动物实验。

Volta 的论述指出 Galvani 的实验并没有证明动物电的存在，这对 Galvani 是巨大的打击，使他再也没有重新占据上风。不过，Galvani 一直坚持动物电的观点，并且设计了第三个实验，彻底证明了生物电的存在。在这个实验中，他将青蛙一条腿的神经—肌肉标本扭转过来，使其脊柱和坐骨神经可以接触到另一条腿的肌肉。每当脊柱和坐骨神经接触大腿时，肌肉就会猛烈收缩。根据多数历史学家的说法，当时是支持他的侄子 Giovanni Aldini（1762—1834）说出了这个重要的实验，他侄子可能就是实验参与者之一。这个实验确凿地证明没有金属导体也可以诱发肌肉收缩。根据 Fulton 和 Cushing 的论著，Aldini 是这样写的：

“有些哲学家确实已经想到诱发青蛙肌肉收缩时不要用金属，我叔叔 Galvani 就想出了巧妙的方法，并要我关注这个课题，为的是我能够进一步简化方法。他使我感到这个实验的重要性。因此我很早就开始有愿望，要研究这种有意义的实验。就像在第 21 期《米兰文集》（Opuscoli of Milan）中将发表的那样，早在 1794 年，我就在 Bologna 科学院公开演示过实验，不借助金属就可以诱发蛙腿肌肉收缩。实验是这样的：我将蛙腿标本浸入浓氯化钠溶液中，然后取出，用手捏住一端，使另一端悬空，自然下垂；再用玻璃小棒挑起神经，不让神经接触到肌肉；然后突然撤出玻璃棒。每当脊髓神经碰到肌肉时，肌肉就会收缩。某些说法，如刺激来自于盐溶液的作用、或者来自于神经坠落时产生的撞击等，都很容易被排除。只要在其他没有形成这种 Galvani 回路的青蛙标本上，用同样的神经去触碰肌肉，就可以得到证实，因为在那些情况下，盐溶液或者更强烈的碰撞都不会引起肌肉活动。”

Volta 和 Galvani 都拥有支持者和反对者，科学家们的观点在两种推论之间摇摆不定。这个论题很复杂，当时还没有被完全解决，不过，眼看距离真相大白已经为期不远。Carlo Matteucci 就在此时做出了一个伟大贡献，他肯定了 Galvani 的第三个实验，同

时又有了新发现,证明骨骼肌收缩之前会先产生动作电位。Galvani 的第三个实验证实了损伤电位的存在,与此一致,Matteucci 写到:

“我将活体动物的肌肉切开一个伤口,然后往伤口深处插入蛙腿神经,神经用玻璃管挑住,以绝缘。当神经纤维在伤口内部移动时,蛙腿立刻强烈收缩起来。必须将同一根神经纤维上的一点接触伤口深部,另一点接触伤口边缘完好处,这样,就很容易诱发肌肉收缩。”

利用电流计,Matteucci 发现肌肉强直收缩期间,损伤处与非损伤处之间的电位差减小了。这个现象吸引了所有电生理学家的关注。此外,Matteucci 还完成了另一项重大发现,那就是伴随着骨骼肌收缩所产生的瞬间生物电变化,也就是现在所谓的动作电位。实验表明,收缩中的肌肉可以刺激神经,反过来,神经又引起其所支配肌肉的收缩。他据此证明了动作电位的存在。至此,Galvani 和 Matteucci 的实验已经完全确定了生物电的存在。不久,人们也在心肌及其神经中发现了动作电位。

另一方面,Volta 坚持电只是来源于不同金属的接触这个观点,他认为动物组织只不过起了指示器的作用。他用不同的双金属片配对进行了大量实验,得到了不同的实验结果,例如,他发现,有些金属配对可以增强肌肉的反应。

为了获得比较精确的定量测定数据,Volta 不再用肌肉和神经作指示器,而是改用他的“电容式验电器”进行测量。幸亏他用了这种高级仪器,否则,由于不同金属之间接触所产生的电势非常小,一般的金箔片验电器根本检测不出来。Volta 的电容式验电器有一个固定圆盘和一个活动圆盘,两者之间用绝缘清漆薄层隔开。清漆涂层很薄,因此这种结构就形成了一个大容量电容器,可以聚集电荷。电容充电后活动圆盘上升,释放的电荷就会使验电器的金箔片产生偏转。

Volta 系统地测试了各种不同金属的连接结果,用不同的金属做圆盘,通过电容式验电器金箔片偏转的角度来测量各种金属盘的组合所产生的电荷量。他还用摩擦过的玻璃棒或者树脂棒靠近验电器,来甄别电荷的正负。根据这些棒对于金箔片偏转的影响,可以判断电荷的极性。

通过实验,Volta 逐步形成了电场力(即“电势”)的概念,他推测这种力存在于不同金属的接触之中。在不断用不同的组合进行试验时,他还发现,金属与某些液体接触时也会产生电势。于是,Volta 就向导体系统中添加了盐水和稀释的酸溶液等液体,并且将金属连接称为“第一类起电体”,而将这些液体称为“第二类起电体”。

Volta 发现在纯粹由不同金属组成的电路中只存在瞬间即逝的电势,而在两片不同金属片之间夹一层浸过盐水或者酸溶液的隔离层之后,电势指示就很稳定了。其实,Volta 当时是做了一个简单的电池——两种不同的金属加上液体隔离层,这是电池的最基本结构。而且,他还发现,将多个这种基本单元组合起来,总体的电效应就可以放大。于是,他就把金属盘和浸湿的隔离层一个接一个地垂直叠在一起,构成一个“电堆”,这就是历史上最早的电池,也是 Volta 一生中最重要的实用型发明。

### 12.2.5 最终结果

过了相当长的时间之后,人们才对 Galvani 和 Volta 所做的实验工作有了正确的认

识。显然，他们两人都证明了电势差的存在，只是不清楚它的起因。Galvani 当时认为动物体内中存在着一种生理电容，这种电容由神经（内导体）和肌肉表面（外导体）构成。他在实验中释放了电容中存储的动物电，从而触发了肌肉收缩。现在，大家知道，是动作电位构成的刺激引起了肌肉收缩。

有趣的是，神经系统的基本单元——神经元，即使在静息时其细胞内外之间也存在电位。这种细胞膜的静息电位不断地受到各种输入信号的影响，当膜电位的变化达到某个阈值时，神经元就产生动作电位并沿着轴突传向远端。这是神经系统信息传导的基本机制。

Volta 发明的电池为科学界提供了第一个稳定的电压源，将它接入由导电金属或者导电液体组成的电路中，就会产生电荷的流动，即电流。这种装置的发明开创了电气工程学学科。

## 12.3 神经元

根据合理的估计，人脑大约包含有  $10^{12}$  个神经元，可以分成近千种不同的类型，它们所呈现的形态都比较一致。虽然在本章并不重要，但必须注意，大脑中其实存在两大类神经元：神经细胞和神经胶质细胞。神经胶质细胞的数量是神经细胞数量的 10 ~ 50 倍，但是，由于神经胶质细胞不参与信号的传递，主要起支持神经元的作用，因此，本章关注的重点是神经细胞。并且，本章注重于更好地了解神经元的信息产生特性，所以，不区分神经元和神经细胞这两个术语。总之，神经元之间以及神经元与外周之间互相连接的特性决定了大脑复杂的功能，神经元的个体差异并不起作用。

图 12.1 所示是一个典型的神经元（neuron），它由 4 个主要部分组成：胞体、树突、轴突和突触前末梢。与其他细胞类似，神经元胞体含有细胞核以及其他给细胞提供营养的各种细胞器。与其他细胞不同的是，神经元胞体上连接了很多被称为树突（dendrite）的短分支和一条被称为轴突（axon）的长分支。轴突连接胞体和突触前末梢，有些神经元具有多条轴突。

树突是神经元的信号接收部位，它没有信号放大功能，只是被动地接收来自成千上万个其他神经元的信号。树突和胞体上都分布有受体位点（即突触位点），接收来自相邻神经元突触前末梢的信号。

每个神经元一般有  $10^4 \sim 10^5$  个突触。神经元之间的信息传递通过化学突触来完成。正如第 3 章所述，化学突触利用神经递质（neurotransmitter）来改变相邻神经元的膜电位。其他细胞，如肌细胞和心脏细胞，使用的是电突触。电突触利用缝

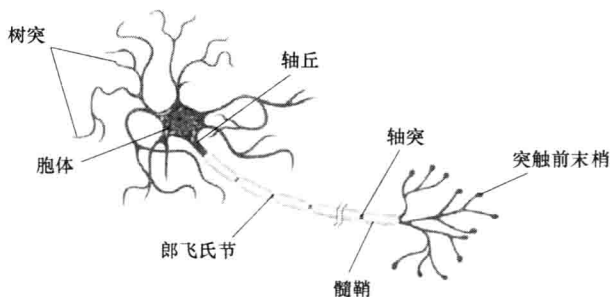


图 12.1 神经元结构示意图



隙连接 (gap junction)，直接将两个细胞通过微孔连通在一起。

除了树突之外，与胞体相连的还有一条轴突，其长度从 1m（如人体脊髓）到几毫米（如大脑内部神经）不等；其直径变化也很大，有的不到  $1\mu\text{m}$ ，有的却有  $500\mu\text{m}$ 。一般，轴突直径越大，信号传导速度越快。轴突的信号传递速度范围为  $0.5 \sim 120\text{m/s}$ 。轴突的功能就是作为传输线在神经元之间或者神经元与肌细胞之间高速传送信号。有些轴突由一层称为髓鞘 (myelin sheath) 的脂质绝缘物质包裹，髓鞘上有规律地分布着间隙，称为郎飞氏节 (nodes of Ranvier)。动作电位沿着轴突传播时，从一个节跳到下一个节，就像幅值不会衰减的脉冲信号传播到轴突末端。

本章下面的大部分篇幅将用于详细介绍这种传播过程。轴突末端是一个网络结构，其分支可达 10000 个，各个分支末端被称为突触前末梢 (presynaptic terminal)。图 3.27 显示了突触前末梢的结构。沿轴突传导过来的所有动作电位都通过每个分支到达突触前末梢。这些末梢是神经元的发送单元，它们在动作电位的刺激下会释放神经递质，神经递质经过大约 20nm 的突触间隙扩散到相邻细胞上，并与其突触后膜产生作用，使突触后膜的电位产生变化。

### 12.3.1 膜电位

与体内其他细胞一样，神经元细胞膜内外也存在分离的电荷。如图 12.2 所示，膜外侧带正电荷，膜内侧带负电荷。细胞膜对于离子的选择性通透形成了这种电荷分离，并由此产生了膜电位。神经元跨膜电位差为  $60 \sim 90\text{mV}$ ，与细胞种类有关。通常将胞外电位定义为  $0\text{mV}$ ，也就是接地电位，于是，静息膜电位就是  $V_m = v_i - v_o = -60\text{mV}$ 。由于多数神经信号都体现在这种跨膜电位的变化上，动作电位等信号就是膜电位变化的结果，因此这种细胞膜内外的电位差特别重要。根据定义，如果膜电位变得比静息电位更负（如  $-60\text{mV}$  变成  $-70\text{mV}$ ），则称为超极化；如果膜电位比静息电位高（如  $-60\text{mV}$  变成  $-50\text{mV}$ ），则称为去极化。本章后面将会讲述，各种离子通过不同的选择性离子通道进出细胞膜。

要建立  $-60\text{mV}$  的膜电位，并不需要在细胞膜两侧分离很多正、负电荷。根据电容

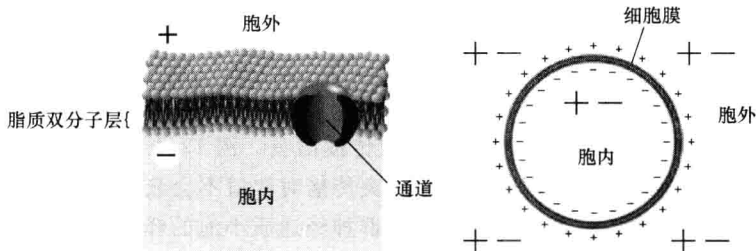


图 12.2 细胞膜两侧的电荷分布示意图

注：左图表示细胞膜上正离子分布于外表面，负离子分布于内表面。右图进一步表明只有紧贴细胞膜内外表面的正负离子才对膜电位的形成产生作用，其他地方的正负离子几乎均匀分布（图中用大符号“+”和“-”表示）。总之，细胞内侧存在净负离子，而紧靠细胞膜外侧存在净正离子。为了简化，右图的细胞膜画成圆形，并省略了轴突和树突。



公式  $Cdv = dq$ , 或者  $C\Delta v = \Delta q$ , 可以计算出所需的电荷量, 式中  $\Delta q = \text{电荷数} \times \text{电子电荷量}$  (即  $1.6022 \times 10^{-19} \text{C}$ )。如果膜电容  $C = 1 \mu\text{F}/\text{cm}^2$ , 并且膜电位  $\Delta v = 60 \times 10^{-3} \text{V}$ ; 那么, 所需的电荷数约为  $3.7 \times 10^{11} \text{个}/\text{cm}^2$ 。这些电荷分布在膜两侧  $1 \mu\text{m}$  范围之内。

下面介绍分级应答和动作电位。

利用突触所释放的神经递质, 神经元可以改变与其相连的其他神经元的膜电位。如图 12.3 所示, 神经递质穿过突触间隙, 与相邻细胞的树突或者胞体上的突触后膜上的受体分子发生作用, 从而改变突触后神经元的膜电位。

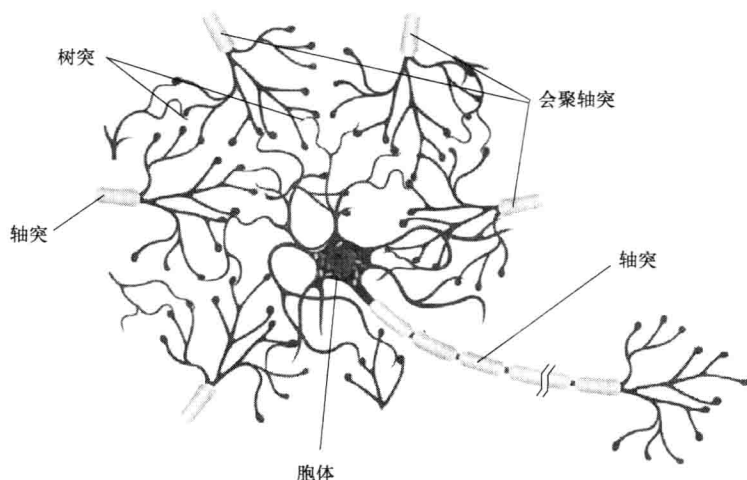


图 12.3 相邻神经元的突触前末梢在神经元树突上形成突触连接的示意图

神经递质的化学能转化为电能从而引起突触后膜电位的变化, 该变化的大小取决于突触后膜所接收的神经递质的数量, 并且, 可以是去极化或者超极化变化, 因此, 这种电位变化通常称为分级应答 (graded response)。突触电位的分级应答也可以看做是突触上神经递质聚集和积累的结果。注意, 来自神经元的信号不是兴奋性的就是抑制性的, 而有些突触是兴奋性的, 另一些则是抑制性的, 这样, 神经系统就能够完成各种复杂的任务。

神经细胞激活的最终效应是产生动作电位。动作电位是一个近  $100 \text{mV}$  的大去极化电位, 其持续时间为  $1 \sim 5 \text{ms}$ , 可以沿着轴突传播出去。图 12.4 所示是一个典型的动作电位波形, 它是一种全或无式的信号, 沿轴突传播时幅值不会衰减。当信号到达轴突末端的突触前末梢时, 膜电位的变化会引起一群神经递质小泡的释放。这是一种非常有效的长距离信号传输方法。本章下面在介绍一些基础知识之后, 将详细讲解动作电位。

### 12.3.2 静息电位、离子浓度和离子通道

神经细胞膜上存在的静息膜电位是由于离子在细胞膜内外分布不均产生的。细胞通过选择性渗透膜, 以及后面将介绍的主动离子泵, 来维持这些离子浓度的不均匀分布。

图 12.2 显示了包含各种离子通道的选择性渗透膜。神经细胞膜厚约 10nm，其中的脂质双分子层绝缘性相当好，其作用就像两块导电板中间隔了一层绝缘体一样，因此，细胞膜具有电容特性。细胞外液的主要成分是  $\text{Na}^+$  离子和  $\text{Cl}^-$  离子，内液（细胞质）的主要成分是  $\text{K}^+$  离子和有机负离子  $\text{A}^-$ 。 $\text{A}^-$  主要是氨基酸和蛋白质，它们的体积较大，不能穿过细胞膜。其实，如果没有离子通道，各种离子几乎都不能穿过细胞膜。

离子通道可以通过主动方式或者被动方式选择性地允许离子穿过细胞膜。被动通道总是开放的，并且具有离子选择性。图 12.5 所示是细胞膜的截面图，其中只包含了被动离子通道。如图所示，一种通道只允许一种离子通过，不允许其他离子通过。 $\text{Cl}^-$ 、 $\text{K}^+$ 、 $\text{Na}^+$  等离子都有被动通道。另外， $\text{Ca}^{2+}$  离子也有被动通道，它在突触部位细胞膜的激活中起着重要的作用（详见 12.8 节）。主动通道也称“门”（gate），在外部电刺激或者化学刺激的作用下，或者开放或者关闭。主动通道也具有离子选择性，仅允许特定的离子通过。一般，神经递质和合适的膜电位变化可以引起主动通道的开放。图 12.6 所示是包含主动通道

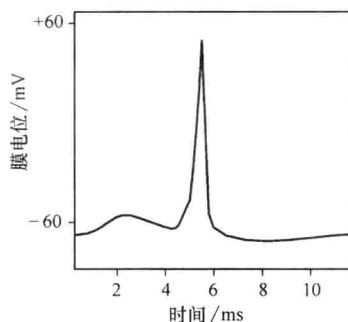


图 12.4 动作电位波形

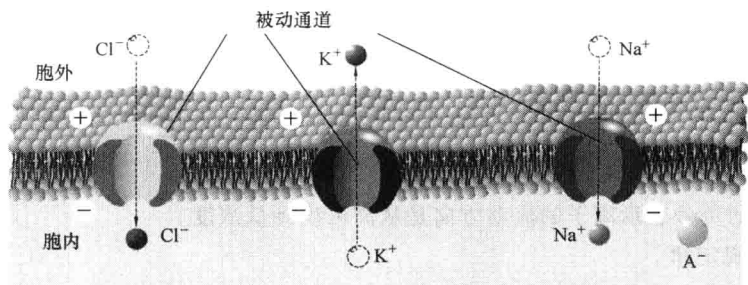


图 12.5 包含离子通道的选择性渗透膜的理想化截面图

注：膜的厚度以及通道的大小没有按照实际比例画。根据实际比例，细胞膜的厚度大约是离子大小的 20 倍，是通道大小的 10 倍，而各个通道之间的距离大约是细胞膜厚度的 10 倍。注意，图中用“+”、“-”符号表示膜内外存在的电位差。通过离子特异性通道，膜对离子具有选择性通透；即图中所示的每个通道都只允许一种特定的离子通过。

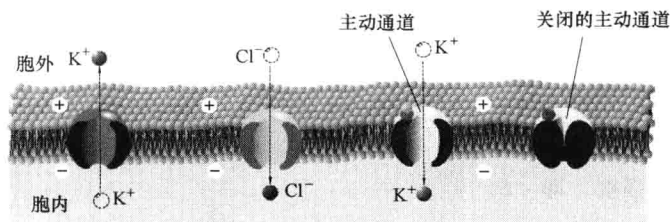


图 12.6 被动通道和主动通道是离子跨膜传输的机制

注：每种通道都是离子特异性的。图中右边的两个主动通道中左边一个处于开放状态，且只允许  $\text{K}^+$  通过，而右边一个则处于关闭状态，不能通过任何离子。另外，图中还画出了一个被动  $\text{Cl}^-$  通道。

的细胞膜示意图。其中,  $K^+$  通道是主动通道, 而  $Cl^-$  通道是被动通道。下面我们将会看到, 被动通道是静息膜电位形成的机制, 而主动通道是分级应答和动作电位形成的机制。

## 12.4 生物物理学基本定律和方程

### 12.4.1 基本定律

膜静息电位可以用两个物理学基本定律和一个方程来描述, 它们定量描述了离子梯度和电场的作用。

#### (1) Fick 定律

由扩散引起的粒子流动总是沿着浓度梯度, 从高浓度区域走向低浓度区域。对于细胞膜而言, 扩散引起的离子的跨膜流动可以用如下方程描述:

$$J(\text{扩散}) = -D \frac{d[I]}{dx} \quad (12.1)$$

式中  $J$ ——扩散引起的离子流量;

$[I]$ ——离子浓度;

$dx$ ——膜的厚度;

$D$ ——扩散系数, 单位为  $m^2/s$ ;

$\frac{d[I]}{dx}$ ——浓度梯度。

方程中的负号表示离子的流动方向是从高浓度到低浓度。

#### (2) 欧姆定律

溶液中的带电粒子会受到其他带电粒子和电场力的作用, 这些作用引起的跨膜离子迁移可以用如下方程描述:

$$J(\text{迁移}) = -\mu Z[I] \frac{dv}{dx} \quad (12.2)$$

式中  $J$ ——在电场 $\vec{E}$ 作用下离子的迁移通量;

$\mu$ ——迁移率, 单位为  $m^2/sV$ ;

$Z$ ——离子价;

$[I]$ ——离子浓度;

$v$ ——膜电位;

$\frac{dv}{dx}$ ——电场强度, 即  $-\vec{E}$ 。

注意, 对于带正电荷的离子,  $Z$  为正, 例如,  $Na^+$  离子的  $Z = 1$ ,  $Ca^{2+}$  离子的  $Z = 2$ ; 对于带负电荷的离子,  $Z$  为负, 例如,  $Cl^-$  离子的  $Z = -1$ 。正离子顺着电场方向迁移, 而负离子则逆电场方向迁移。

图 12.7 所示是只对  $K^+$  通透的细胞膜，图中显示了作用于  $K^+$  离子的各种作用力。假设神经元细胞膜内的  $K^+$  浓度高于膜外，并且膜静息电位为外正内负；那么，显然只有  $K^+$  离子可以穿过细胞膜，而  $Na^+$ 、 $Cl^-$  和  $A^-$  等离子由于膜上不存在对它们通透的通道，因此都不能穿过细胞膜。在这种情况下，根据  $K^+$  离子浓度和膜电位的具体数值，当迁移力和扩散力达到平衡时， $K^+$  的跨膜净流动才会结束。也就是，随着细胞膜内的  $K^+$  离子不断流向膜外，扩散引起的由内向外的化学势将减小；同时由于  $K^+$  离子在胞外的不断聚集，由外向内的电场力不断增加，直到这两种作用力达到平衡时， $K^+$  离子的净通透也就为 0。

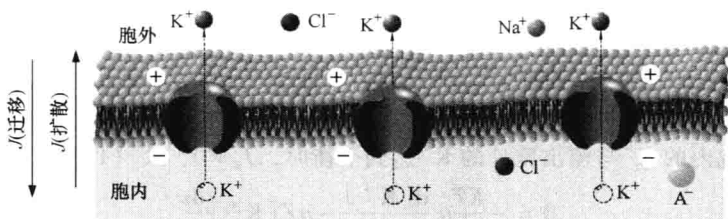


图 12.7 细胞膜上  $K^+$  离子迁移方向和扩散方向示意图

(图中细胞膜只对  $K^+$  具有通透性)

### (3) 爱因斯坦方程

在渗透压作用下带电粒子在电场中的运动特性，也就是扩散和迁移之间的关系，可以用爱因斯坦 1905 年建立的如下方程来描述：

$$D = \frac{KT\mu}{q} \quad (12.3)$$

式中  $D$ ——扩散系数；

$\mu$ ——迁移率；

$K$ ——Boltzmann 气体常数；

$T$ ——热力学温度（旧称绝对温度），单位为开尔文（K）；

$q$ ——单位电荷量，即  $1.60186 \times 10^{-19} \text{C}$ 。

## 12.4.2 单种离子通透膜的静息电位

浓度梯度作用下的离子流动受到神经细胞膜的选择性通透以及由此形成的电场的影响。如前所述，离子只能穿过对它具有选择性通透的通道。为了简化，下面先考察只对一种离子具有通透性的细胞膜，然后再来考察对多种离子具有通透性的细胞膜。有趣的是，神经胶质细胞只对  $K^+$  离子通透，而神经细胞对  $K^+$ 、 $Na^+$  和  $Cl^-$  离子都有通透。我们将会看到，如果细胞膜像神经胶质细胞那样，只对  $K^+$  离子通透，那么，就可以维持正常的离子浓度梯度。

假设图 12.7 所示的细胞膜只对  $K^+$  通透，并且胞内  $K^+$  浓度高于胞外，那么，浓度梯度作用下的  $K^+$  离子扩散方向是由内向外，即

$$J_K(\text{扩散}) = -D \frac{d[K^+]}{dx} \quad (12.4)$$

而电场作用下的  $K^+$  离子迁移方向则是由外向内, 即

$$J_K(\text{迁移}) = -\mu Z[K^+] \frac{dv}{dx} \quad (12.5)$$

这两个方向离子流动形成的净流量为

$$J_K = J_K(\text{扩散}) + J_K(\text{迁移}) = -D \frac{d[K^+]}{dx} - \mu Z[K^+] \frac{dv}{dx} \quad (12.6)$$

代入爱因斯坦方程  $D = \frac{KT\mu}{q}$ , 则上式变为

$$J_K = -\frac{KT}{q} \mu \frac{d[K^+]}{dx} - \mu Z[K^+] \frac{dv}{dx} \quad (12.7)$$

根据此式可以计算任意时刻、任意给定起始条件下的  $K^+$  离子流量。特别是在稳态时, 也就是流进胞内的  $K^+$  与流出胞外的  $K^+$  达到平衡时,  $J_K = 0$ , 式 (12.7) 可以简化为

$$0 = -\frac{KT}{q} \mu \frac{d[K^+]}{dx} - \mu Z[K^+] \frac{dv}{dx} \quad (12.8)$$

由于  $Z = +1$ , 该式可以简化为

$$dv = -\frac{KT}{q[K^+]} d[K^+] \quad (12.9)$$

上式从膜外到膜内求积分, 可得

$$\int_{v_o}^{v_i} dv = -\frac{KT}{q} \int_{[K^+]_o}^{[K^+]_i} \frac{d[K^+]}{[K^+]} \quad (12.10)$$

式中  $v_i$ 、 $v_o$ ——分别是膜内、膜外的电压;

$[K^+]_i$ 、 $[K^+]_o$ ——分别是膜内、膜外的  $K^+$  离子浓度。

于是

$$v_i - v_o = -\frac{KT}{q} \ln \frac{[K^+]_i}{[K^+]_o} = \frac{KT}{q} \ln \frac{[K^+]_o}{[K^+]_i} \quad (12.11)$$

这就是以德国物理化学家 Walter Nernst 命名的 Nernst 方程, 而  $E_K = v_i - v_o$  是  $K^+$  的 Nernst 电位。室温下,  $\frac{KT}{q} = 26\text{mV}$ , 因此  $K^+$  离子的 Nernst 方程变为

$$E_K = v_i - v_o = 26 \ln \frac{[K^+]_o}{[K^+]_i} \text{mV} \quad (12.12)$$

虽然该方程是针对  $K^+$  离子导出的, 但是, 很容易由此推导出其他可通透离子的电位方程。例如, 室温下,  $\text{Na}^+$  离子的 Nernst 电位为

$$E_{\text{Na}} = v_i - v_o = 26 \ln \frac{[\text{Na}^+]_o}{[\text{Na}^+]_i} \text{mV} \quad (12.13)$$

$\text{Cl}^-$  离子的 Nernst 电位则为

$$E_{\text{Cl}} = v_i - v_o = -26 \ln \frac{[\text{Cl}^-]_o}{[\text{Cl}^-]_i} = 26 \ln \frac{[\text{Cl}^-]_i}{[\text{Cl}^-]_o} \text{mV} \quad (12.14)$$

此方程中的负号是由于  $\text{Cl}^-$  的  $Z = -1$ 。

### 12.4.3 Donnan 平衡

如果细胞膜对于多种离子都具有通透性, 如  $\text{K}^+$ 、 $\text{Na}^+$  和  $\text{Cl}^-$  离子都可以通过, 那么, 在稳态的平衡状态下, 各种离子的 Nernst 电位可以分别用式 (12.12) ~ 式 (12.14) 计算。不过, 膜电位  $V_m = v_i - v_o$  是由所有离子共同形成的, 并且受到各种离子浓度和通透性的影响。本节先介绍两种离子通透的计算方法, 下一节再介绍任意数目离子通透的情况。

假设细胞膜对  $\text{K}^+$  和  $\text{Cl}^-$  两种离子都具有通透性, 但是对体积较大的阳离子  $\text{R}^+$  不通透。如图 12.8 所示, 在平衡状态下,  $\text{K}^+$  和  $\text{Cl}^-$  这两种离子的 Nernst 电位必须相等, 即  $E_K = E_{\text{Cl}}$ , 也就是

$$E_K = \frac{KT}{q} \ln \frac{[\text{K}^+]_o}{[\text{K}^+]_i} = E_{\text{Cl}} = \frac{KT}{q} \ln \frac{[\text{Cl}^-]_o}{[\text{Cl}^-]_i} \quad (12.15)$$

简化后, 可得

$$\frac{[\text{K}^+]_o}{[\text{K}^+]_i} = \frac{[\text{Cl}^-]_i}{[\text{Cl}^-]_o} \quad (12.16)$$

此方程就是著名的 Donnan 平衡方程。这里还需要应用空间电荷平衡原则, 也就是在给空间中阳离子数目与阴离子数目相等, 呈电中性。这样, 在平衡状态下, 离子的跨膜扩散仍然存在, 只是每个跨膜流动的  $\text{K}^+$  离子必须伴随着一个  $\text{Cl}^-$  离子, 从而满足空间电荷呈中性的要求。如果图 12.8 中不存在  $\text{R}^+$  离子, 那么, 平衡时, 膜内外两侧的  $\text{K}^+$  离子和  $\text{Cl}^-$  离子的浓度将相等。如果存在  $\text{R}^+$  离子, 那么, 细胞膜两侧的  $\text{KCl}$  浓度就不相等, 如下面的例 12.1 所示, 此例中  $\text{R}^+$  离子处于细胞内液。

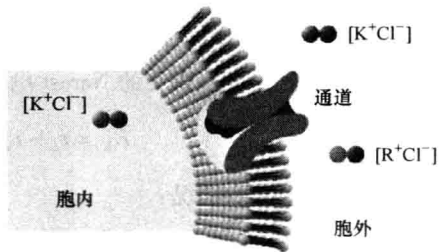
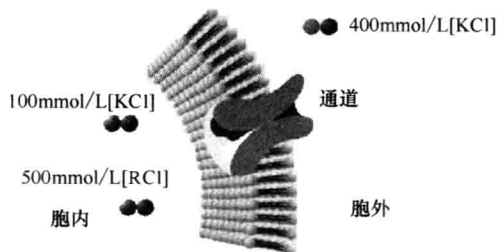


图 12.8 细胞膜对  $\text{K}^+$  和  $\text{Cl}^-$  都具有通透性, 但是对较大的阳离子  $\text{R}^+$  不通透

#### 例 12.1

如下图所示, 假设细胞膜对  $\text{K}^+$  和  $\text{Cl}^-$  通透, 但对较大的阳离子  $\text{R}^+$  不通透。请计算下列初始条件下稳态时的平衡离子浓度。



解:

由质量守恒定律可得

$$[K^+]_i + [K^+]_o = 500$$

$$[Cl^-]_i + [Cl^-]_o = 1000$$

再由空间电荷平衡原则可得

$$[K^+]_i + 500 = [Cl^-]_i$$

$$[K^+]_o = [Cl^-]_o$$

根据 Donnan 平衡方程, 有

$$\frac{[K^+]_o}{[K^+]_i} = \frac{[Cl^-]_i}{[Cl^-]_o}$$

将质量守恒方程中求得的  $[K^+]_o$  和  $[Cl^-]_o$  代入 Donnan 平衡方程可得

$$\frac{500 - [K^+]_i}{[K^+]_i} = \frac{[Cl^-]_i}{1000 - [Cl^-]_i}$$

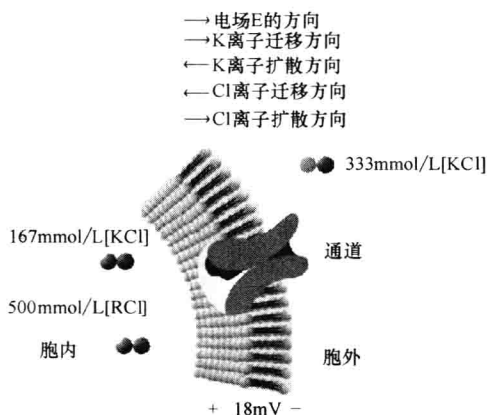
然后将电荷平衡方程中求得的  $[Cl^-]_i$  代入上式, 得到

$$\frac{500 - [K^+]_i}{[K^+]_i} = \frac{[K^+]_i + 500}{1000 - [K^+]_i - 500} = \frac{[K^+]_i + 500}{500 - [K^+]_i}$$

求解此方程可以得到, 稳态时  $[K^+]_i = 167\text{mmol/L}$ 。再由质量守恒方程和电荷平衡方程求得稳态时  $[K^+]_o = 333\text{mmol/L}$ ,  $[Cl^-]_i = 667\text{mmol/L}$ ,  $[Cl^-]_o = 333\text{mmol/L}$ 。在稳态和室温条件下, 两种离子的 Nernst 电位都是  $18\text{mV}$ , 以  $[K^+]$  为例, 即

$$E_K = v_i - v_o = 26\ln \frac{333}{167} = 18\text{mV}$$

下图总结了稳态时的情况:



#### 12.4.4 Goldman 方程

枪乌贼巨神经纤维轴突的静息电位是  $-60\text{mV}$ , 这个电位与  $\text{Na}^+$  或  $\text{K}^+$  的 Nernst 电位

都不一样。一般，如果膜电位  $V_m$  由两种或者两种以上离子共同形成，那么，每种离子对  $V_m$  的贡献由其浓度和细胞膜的通透性决定。Goldman 方程定量描述了  $V_m$  与各种可通透离子之间的关系，但该方程只适用于膜电位（即电场）恒定的情况，细胞膜静息电位基本符合这个条件。

本节首先推导只包含  $K^+$  和  $Cl^-$  两种离子的 Goldman 方程，然后再扩展到  $K^+$ 、 $Cl^-$  和  $Na^+$  三种离子的情况。生理学家将 Goldman 方程广泛用于计算各种细胞的膜电位，实际上，Hodgkin、Huxley 和 Katz 当年在研究枪乌贼巨神经纤维轴突时就使用了这个方程。

假设细胞膜如图 12.9 所示。为了计算  $K^+$  和  $Cl^-$  两种离子所形成的膜电位  $V_m$ ，首先独立推导每种离子在恒定电场作用下的流量方程，然后再应用空间电荷平衡原则，就可以求得 Goldman 方程。

### (1) 钾离子

设  $K^+$  的迁移率为  $\mu_K$ ，则流量方程为

$$J_K = -\frac{KT}{q}\mu_K \frac{d[K^+]}{dx} - \mu_K Z_K [K^+] \frac{dv}{dx} \quad (12.17)$$

在恒定电场下，有

$$\frac{dv}{dx} = \frac{\Delta v}{\Delta x} = \frac{V}{\delta} \quad (12.18)$$

将此式代入式 (12.17)，且  $Z_K = 1$ ，可得

$$J_K = -\frac{KT}{q}\mu_K \frac{d[K^+]}{dx} - \mu_K [K^+] \frac{V}{\delta} \quad (12.19)$$

令  $K^+$  的通透率为  $P_K$ ，则

$$P_K = \frac{\mu_K KT}{\delta q} = \frac{D_K}{\delta} \quad (12.20)$$

于是，将上式代入式 (12.19) 可得

$$J_K = \frac{-P_K q}{KT} V [K^+] - P_K \delta \frac{d[K^+]}{dx} \quad (12.21)$$

重组该方程可得

$$dx = \frac{d[K^+]}{\frac{-J_K}{P_K \delta} - \frac{qV[K^+]}{KT\delta}} \quad (12.22)$$

此式两边同时求积分，并假设  $J_K$  与  $x$  无关，可得

$$\int_0^\delta dx = \int_{[K^+]_i}^{[K^+]_o} \frac{d[K^+]}{\frac{-J_K}{P_K \delta} - \frac{qV[K^+]}{KT\delta}} \quad (12.23)$$

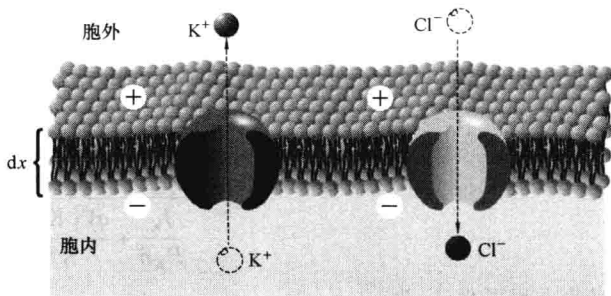


图 12.9 对  $K^+$  和  $Cl^-$  两种离子通透的细胞膜示意图（膜的厚度为  $dx = \delta$ ）



结果是

$$x \Big|_0^\delta = -\frac{KT\delta}{qV} \ln \left( \frac{J_K}{P_K\delta} + \frac{qV[K^+]_o}{KT\delta} \right) \Big|_{[K^+]_i}^{[K^+]_o} \quad (12.24)$$

即

$$\delta = -\frac{KT\delta}{qV} \ln \left( \frac{\frac{J_K}{P_K\delta} + \frac{qV[K^+]_o}{KT\delta}}{\frac{J_K}{P_K\delta} + \frac{qV[K^+]_i}{KT\delta}} \right) \quad (12.25)$$

将该方程两边的  $\delta$  消去, 并将  $-\frac{KT}{qV}$  移到方程的另一边, 然后两边同时取指数可得

$$e^{-\frac{qV}{KT}} = \frac{\frac{J_K}{P_K\delta} + \frac{qV[K^+]_o}{KT\delta}}{\frac{J_K}{P_K\delta} + \frac{qV[K^+]_i}{KT\delta}} \quad (12.26)$$

求解此方程可得  $J_K$  为

$$J_K = \frac{qVP_K}{KT} \left( \frac{[K^+]_o - [K^+]_i e^{-\frac{qV}{KT}}}{e^{-\frac{qV}{KT}} - 1} \right) \quad (12.27)$$

## (2) 氯离子

$Cl^-$  离子的推导过程与  $K^+$  离子一样, 最终可得

$$J_{Cl} = \frac{qVP_{Cl}}{KT} \left( \frac{[Cl^-]_o e^{-\frac{qV}{KT}} - [Cl^-]_i}{e^{-\frac{qV}{KT}} - 1} \right) \quad (12.28)$$

式中  $P_{Cl}$ —— $Cl^-$  的通透率。

## (3) 钾离子和氯离子的总和效应

由电荷平衡原则可知  $J_K = J_{Cl}$ , 联合方程 (12.27) 和 (12.28) 可得

$$P_K ([K^+]_o - [K^+]_i e^{-\frac{qV}{KT}}) = P_{Cl} ([Cl^-]_o e^{-\frac{qV}{KT}} - [Cl^-]_i) \quad (12.29)$$

求解其中的指数项可得

$$e^{-\frac{qV}{KT}} = \frac{P_K [K^+]_o + P_{Cl} [Cl^-]_i}{P_K [K^+]_i + P_{Cl} [Cl^-]_o} \quad (12.30)$$

再求解  $V$  可得

$$V = v_o - v_i = -\frac{KT}{q} \ln \left( \frac{P_K [K^+]_o + P_{Cl} [Cl^-]_i}{P_K [K^+]_i + P_{Cl} [Cl^-]_o} \right) \quad (12.31)$$

写为膜电位  $V_m$ , 即

$$V_m = \frac{KT}{q} \ln \left( \frac{P_K [K^+]_o + P_{Cl} [Cl^-]_i}{P_K [K^+]_i + P_{Cl} [Cl^-]_o} \right) \quad (12.32)$$

该方程就是 Goldman 方程。由于  $Na^+$  对膜电位也很重要, 因此, 同理可以推导出包含  $K^+$ 、 $Cl^-$  和  $Na^+$  三种离子的 Goldman 方程为

$$V_m = \frac{KT}{q} \ln \left( \frac{P_K [K^+]_o + P_{Na} [Na^+]_o + P_{Cl} [Cl^-]_i}{P_K [K^+]_i + P_{Na} [Na^+]_i + P_{Cl} [Cl^-]_o} \right) \quad (12.33)$$

式中  $P_{Na}$ —— $Na^+$  的通透率。

为了推导方程 (12.33)，首先求  $J_{Na}$ ，然后利用电荷平衡原则，即  $J_K + J_{Na} = J_{Cl}$ ，就可以得到此方程。一般，如果某种离子的通透率比其他离子都要大得多，那么，由 Goldman 方程计算得到的膜电位  $V_m$  就很接近这种离子的 Nernst 电位。

表 12.1 和表 12.2 分别列出了枪乌贼巨神经纤维和蛙骨骼肌细胞内外的几种主要离子浓度、它们的相对通透率和 Nernst 电位。由于枪乌贼巨神经纤维比较粗大，并且没有髓鞘，实验操作比较容易，因此实验研究中用得很多。通常，脊椎动物神经元胞内和胞外的离子浓度是枪乌贼巨神经纤维的  $1/4 \sim 1/3$ 。

表 12.1 枪乌贼巨神经纤维几种重要离子的细胞内外大致浓度、相对通透率和 Nernst 电位

离子	胞内浓度/(mmol/L)	胞外浓度/(mmol/L)	相对通透率	Nernst 电位/mV
$K^+$	400	20	1	-74
$Na^+$	50	440	0.04	55
$Cl^-$	52	560	0.45	-60

注：此处的通透率是相对值，即  $P_K : P_{Na} : P_{Cl}$ ，而不是绝对值。表中数据都在  $6.3^\circ\text{C}$  下测得， $KT/q$  的值约等于  $25.3\text{mV}$ 。

表 12.2 蛙骨骼肌几种重要离子的细胞内外大致浓度、相对通透率和 Nernst 电位

离子	胞内浓度/(mmol/L)	胞外浓度/(mmol/L)	相对通透率	Nernst 电位/mV
$K^+$	140	2.5	1.0	-105
$Na^+$	13	110	0.019	56
$Cl^-$	3	90	0.381	-89

注：表中数据在室温下测得， $KT/q$  的值约等于  $26\text{mV}$ 。

### 例 12.2

请计算枪乌贼巨神经纤维在  $6.3^\circ\text{C}$  时的跨膜电位  $V_m$ 。

解：

利用方程 (12.33) 以及表 12.1 所提供的数据，可得

$$V_m = 25.3 \times \ln \left( \frac{1 \times 20 + 0.04 \times 440 + 0.45 \times 52}{1 \times 400 + 0.04 \times 50 + 0.45 \times 560} \right) \text{mV} = -60\text{mV} \quad \blacksquare$$

## 12.4.5 离子泵

静息时，细胞膜两侧各种电荷和离子浓度必须保持恒定不变，也就是说，流进细胞的电荷量必须与流出细胞的电荷量相等，否则跨膜电位  $V_m$  就会产生变化。此时，在浓度梯度和电场梯度的共同作用下， $Na^+$  离子会流向胞内；而  $K^+$  离子的扩散作用力大于迁移作用力，因而  $K^+$  离子会流向胞外。空间电荷平衡原则要求  $Na^+$  的内流量等于  $K^+$  的外流量。虽然这些离子流量能够相互抵消从而维持电荷平衡，但是，不可能一直只有这种单方向的离子流动。否则， $[K^+]_i$  最终会趋于 0，而  $[Na^+]_i$  则会持续增加，根据

Goldman 方程, 也就导致  $V_m$  的变化。

细胞膜上的 Na-K 泵可以防止  $K^+$  和  $Na^+$  离子的浓度梯度发生变化, 这种离子泵以恒定的速度将  $Na^+$  泵出细胞并将  $K^+$  泵入细胞。将  $Na^+$  泵出细胞是逆浓度梯度和电场梯度进行的, 是一种需要消耗代谢能量的主动运输。本书第 8 章给出了调控 Na-K 泵的生化反应。Na-K 泵还具有维持细胞体积的作用。图 12.10 是 Na-K 泵以及被动离子通道的示意图。

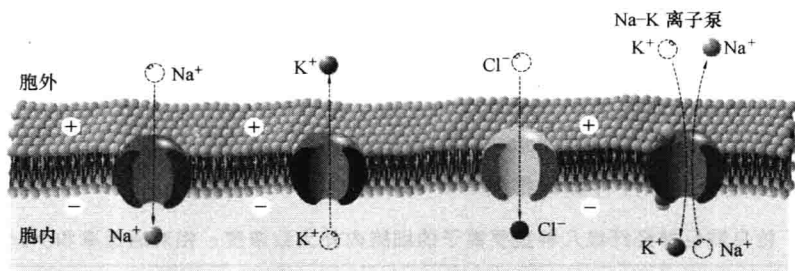


图 12.10 Na-K 泵以及被动离子通道示意图

Na-K 泵其实会产生电, 也就是它会跨膜传输净电荷。不产生电的离子泵运行时不会导致净电荷的传输。但是, 很多神经元的 Na-K 离子泵每次从胞外移入 2 个  $K^+$  时就会从胞内移出 3 个  $Na^+$ , 这使得  $V_m$  比仅存在被动通道时计算所得的值要稍微负一些。

一般, 当细胞膜处于静息状态时, 主动离子流量与被动离子流量相平衡, 并且膜两侧可以维持稳定的电位, 但必须满足以下 2 个条件:

- 1) 细胞膜对某些离子不通透;
- 2) 细胞膜上存在主动离子泵。

Na-K 主动离子泵的存在决定了  $K^+$  和  $Na^+$  离子的浓度, 从而迫使  $V_m$  处于某个特定的电位值。其他离子的浓度则由  $V_m$  决定。例如, 由于  $Cl^-$  离子只能通过被动通道穿越细胞膜, 因此, 静息时细胞内外  $Cl^-$  离子浓度之比就可以用 Nernst 方程来计算, 此时  $E_{Cl} = V_m$ , 即

$$\frac{[Cl^-]_i}{[Cl^-]_o} = e^{\frac{qV_m}{KT}} \quad (12.34)$$

### 例 12.3

假设细胞膜上存在主动  $K^+$  离子泵以及  $K^+$  和  $Cl^-$  的被动离子通道, 并且初始时膜两侧的 KCl 浓度处于非稳态。请写出主动  $K^+$  离子泵流量的表达式。

解:

根据空间电荷平衡原则,  $J_{Cl} = J_K$ , 而

$$J_K = J_p - \mu_K Z_K [K^+] \frac{dv}{dx} - \frac{KT}{q} \mu_K \frac{d[K^+]}{dx}$$

$$J_{Cl} = -\mu_{Cl} Z_{Cl} [Cl^-] \frac{dv}{dx} - \frac{KT}{q} \mu_{Cl} \frac{d[Cl^-]}{dx}$$

式中  $J_p$ ——主动  $K^+$  离子泵的流量。

由  $J_{\text{Cl}}$  方程求解  $\frac{dv}{dx}$ , 且  $Z_{\text{Cl}} = -1$ , 可得

$$\frac{dv}{dx} = \frac{KT}{q[\text{Cl}^-]} \frac{d[\text{Cl}^-]}{dx}$$

根据空间电荷平衡原则, 有  $[\text{Cl}^-] = [\text{K}^+]$ , 代入以上方程可得

$$\frac{dv}{dx} = \frac{KT}{q[\text{K}^+]} \frac{d[\text{K}^+]}{dx}$$

稳态时, 两种离子流量都为 0, 并且  $Z_{\text{K}} = 1$ , 将  $\frac{dv}{dx}$  代入  $J_{\text{K}}$  方程可得

$$\begin{aligned} J_{\text{K}} = 0 &= J_p - \mu_{\text{K}}[\text{K}^+] \frac{dv}{dx} - \frac{KT\mu_{\text{K}}}{q} \frac{d[\text{K}^+]}{dx} = J_p - \mu_{\text{K}}[\text{K}^+] \frac{KT}{q[\text{K}^+]} \frac{d[\text{K}^+]}{dx} - \frac{KT\mu_{\text{K}}}{q} \frac{d[\text{K}^+]}{dx} \\ &= J_p - \frac{2KT\mu_{\text{K}}}{q} \frac{d[\text{K}^+]}{dx} \end{aligned}$$

将  $J_p$  移到方程左边, 并且两边同乘以  $dx$ , 然后求积分, 可得

$$- \int_0^{\delta} J_p dx = - \frac{2KT\mu_{\text{K}}}{q} \int_{[\text{K}^+]_i}^{[\text{K}^+]_o} d[\text{K}^+]$$

即

$$J_p = \frac{2KT\mu_{\text{K}}}{q\delta} ([\text{K}^+]_o - [\text{K}^+]_i)$$

注意: 本例中如果没有离子泵, 那么, 稳态时细胞膜两侧的离子浓度将相等。

## 12.5 细胞膜的等效电路模型

本节将利用前面所介绍的原理和方法建立细胞膜的等效电路模型, 它是下一节将要讲述的 Hodgkin-Huxley 动作电位模型的基础, 该模型加入了电压依赖性和时间依赖性的离子通道。正如前面所述, 神经元具有 3 种被动电特性: 即电动势、电阻和电容。神经细胞膜是脂质双分子层, 其上穿插着各种各样的离子通道。这些离子通道要么是一直开放的被动通道; 要么是门控的主动通道, 可以开放和关闭。每种离子通道都具有选择性的通透。另外, 细胞膜上还有维持稳态跨膜电位  $V_m$  的 Na-K 主动离子泵。

### 12.5.1 细胞膜的电动势、电阻和电容特性

#### (1) 电动势特性

如图 12.5 所示, 静息时, 3 种主要离子  $\text{K}^+$ 、 $\text{Na}^+$  和  $\text{Cl}^-$  在细胞膜两侧的分布不均匀, 它们通过被动离子通道跨膜流动。膜两侧电荷分离, 并形成了可由 Goldman 方程 (12.33) 计算的膜电位  $V_m$ 。

在每种离子特异性通道两侧都存在着离子的浓度梯度, 从而产生了电动势, 驱使离子以恒定的速度穿越通道。该离子的 Nernst 电位就是通道两侧的电位差, 很容易用电池来模拟这个电位差, 图 12.11 显示了  $\text{K}^+$  离子通道的模型。 $\text{Na}^+$  和  $\text{Cl}^-$  离子通道也可以用类似的模型来模拟, 只是电池的电动势要用它们自己的 Nernst 电位。

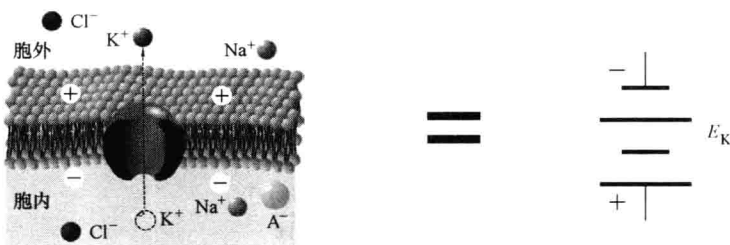


图 12.11 用电池模拟  $K^+$  离子通道的模型 (其值等于  $K^+$  离子的 Nernst 电位)

注: 根据常规定义, 胞外作为接地电位。由表 12.1 可知,  $K^+$  的 Nernst 电位为负, 与图中所示电池的极性相反, 驱使  $K^+$  流出细胞。

## (2) 电阻特性

除了电动势之外, 细胞膜上的每个离子通道都存在电阻, 它会阻碍离子穿越通道, 这主要是由于离子通过通道时与通道壁产生碰撞, 使能量转化为热能。通道电阻一般用电导  $G$  来表示, 单位为西门子 S, 其含义是离子通过时的容易程度。由于各个通道的电导是并联的, 因此总的细胞膜电导就是离子通道总数  $N$  乘以每个离子通道的电导  $G'$ , 即

$$G = N \times G'$$

有时把电导写成电阻  $R = \frac{1}{G}$  更方便,

其单位是欧姆 ( $\Omega$ )。如图 12.12 所示, 现在可以用 1 个电阻与 1 个电池的串联作为一种离子通道的等效电路。

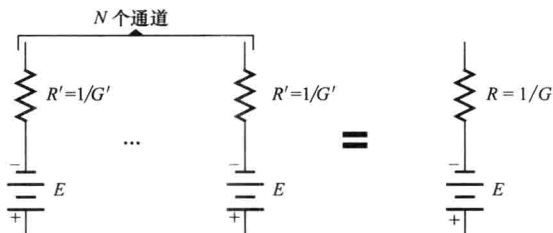


图 12.12  $N$  个离子通道的等效电路可以组合成 1 个电阻与 1 个电池的串联电路

细胞膜电导的大小与其通透性有关, 但是在生理学意义上, 两者并不能相互替代。电导与细胞膜

的状态有关, 并且随着离子浓度的变化而变化, 与跨膜离子流量成正比。通透性则描述了细胞膜对于某种特定离子的开放状态。例如, 如果细胞膜两侧没有任何离子存在; 那么, 无论细胞膜上有多少离子通道开放, 在电压差作用下都没有离子流过细胞膜, 电导都是  $G = 0$ 。而此时离子通透性却保持不变, 它由细胞膜的状态决定。

## (3) 三种离子的等效电路

如图 12.12 所示,  $K^+$ 、 $Na^+$  和  $Cl^-$  中每一种离子通道都可以用各自的 Nernst 电位和电阻串联的等效电路来表示, 将这 3 个等效电路合成 1 个电路, 然后将细胞外液和细胞内液都用短路线表示, 就形成了细胞膜静息状态下的电路模型 (见图 12.13)。

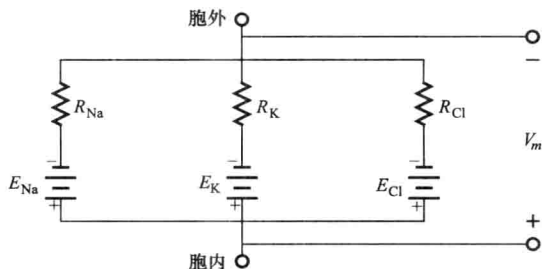


图 12.13 静息时小块神经纤维细胞膜上的被动离子通道模型

注: 其中每种离子通道等效为 1 个电阻与 1 个电池的串联。

**例 12.4**

请计算蛙骨骼肌细胞膜（参见表 12.2）的膜电位  $V_m$ 。假设  $\text{Cl}^-$  通道忽略不计，并且  $R_K = 1.7\text{k}\Omega$ ， $R_{\text{Na}} = 15.67\text{k}\Omega$ 。

**解：**

细胞膜等效电路如下，假设  $I$  为回路电流， $I_{\text{Na}}$  为通过钠离子通道的电流， $I_K$  为通过钾离子通道的电流。根据电路分析理论可得：

$$E_{\text{Na}} + IR_{\text{Na}} + IR_K - E_K = 0$$

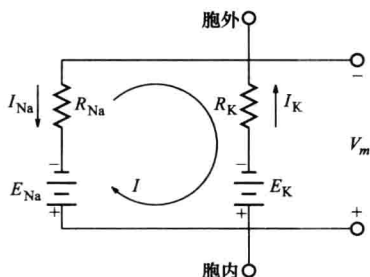
求解  $I$ ，即

$$I = \frac{E_K - E_{\text{Na}}}{R_{\text{Na}} + R_K} = \frac{(-105 - 56) \times 10^{-3}}{(15.67 + 1.7) \times 10^3} = -9.27\mu\text{A}$$

于是

$$V_m = E_{\text{Na}} + IR_{\text{Na}} = -89\text{mV}$$

注意，应该有  $I = -I_{\text{Na}}$ ， $I = -I_K$ ，即  $I_{\text{Na}} = I_K$ 。生理学上，这表示内向的  $\text{Na}^+$  电流恰好与外向的  $\text{K}^+$  电流相等。

**例 12.5**

请计算蛙骨骼肌细胞膜的膜电位  $V_m$ ，假设  $R_{\text{Cl}} = 3.125\text{k}\Omega$ 。

**解：**

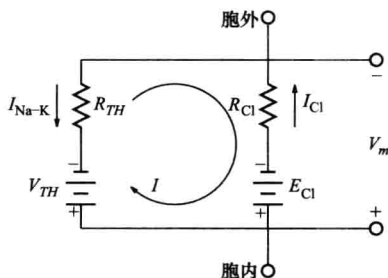
为了求解本题，首先求出例 12.4 所示电路的戴维南等效电路。由于

$$V_{TH} = V_m = -89\text{mV}$$

并且

$$R_{TH} = \frac{R_{\text{Na}} \times R_K}{R_{\text{Na}} + R_K} = 1.534\text{k}\Omega$$

于是戴维南等效电路如下图所示



由表 12.2 可知  $E_{Cl} = V_{TH}$ , 因此没有电流流过  $Cl^-$  离子通道。这是一般神经元的真实情况, 其膜电压由  $K^+$  离子和  $Na^+$  离子的相对电导以及它们的 Nernst 电位决定。Nernst 电位则由维持离子浓度梯度的 Na-K 主动离子泵确定。 $Cl^-$  离子通常只是被动地分布于膜两侧。

#### (4) Na-K 泵

在上述例 12.4 和前面 12.4 节中已经介绍过, 即使在静息状态下细胞膜也会有稳定的外向  $K^+$  电流和内向  $Na^+$  电流。如果没有任何其他措施, 任其一直流下去, 那么, 最终就会使得  $E_K$  和  $E_{Na}$  都趋于 0。为了防止这种情况发生, 要用“电流源”Na-K 泵产生的电流来抵消这些被动电流。加入 Na-K 泵的电路模型如图 12.14 所示。

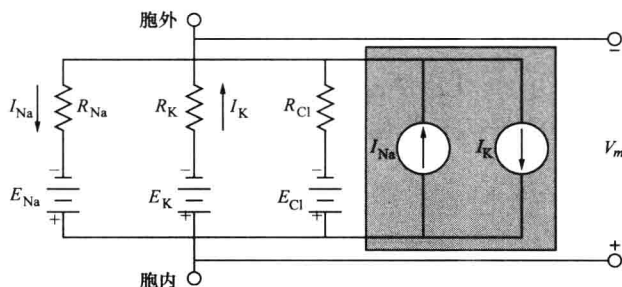


图 12.14 静息时小块神经纤维上的 3 种被动离子通道的电路模型

注: 各种离子通道等效为 1 个电阻和 1 个电池的串联电路。Na-K 主动离子泵则用阴影框内的两个电流源来模拟。

### 12.5.2 电容特性

任何由绝缘材料隔开的两个导体之间都会产生电容。神经元的细胞内液和细胞外液就是导体, 而脂质双分子层是绝缘材料, 神经元细胞膜的电容约为  $1\mu F/cm^2$ 。膜电容的存在表明, 除非通过离子通道传输, 否则离子不可能通过细胞膜。

将细胞膜的膜电容与电动势、电阻结合起来, 其电路模型就变成图 12.15 所示。加入膜电容之后, 膜电压的变化就不再是瞬间的变化, 而是具有一阶时间常数效应的指数变化。为了考察电容的影响, 利用戴维南等效电路将图 12.15 的电路简化为图 12.16 的电路, 其中等效电阻  $R_{TH}$  和电压  $V_{TH}$  分别为

$$R_{TH} = \frac{1}{\frac{1}{R_K} + \frac{1}{R_{Na}} + \frac{1}{R_{Cl}}} \quad (12.35)$$

$$V_{TH} = \frac{R_{Na}R_{Cl}E_K + R_KR_{Cl}E_{Na} + R_KR_{Na}E_{Cl}}{R_{Na}R_{Cl} + R_KR_{Cl} + R_KR_{Na}} \quad (12.36)$$

该细胞膜电路模型的时间常数就是  $\tau = R_{TH} \times C_m$ , 在  $5\tau$  时间之后响应可以达到稳态值的 99% 以上。一般神经元的  $\tau$  值范围为  $1 \sim 20ms$ 。另外, 稳态时, 电容相当于开路, 于是  $V_{TH} = V_m$ 。

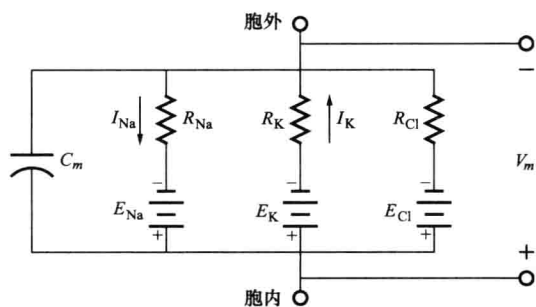


图 12.15 静息时小块神经纤维细胞膜的电路模型

注：模型中包含了所有被动电特性。图 12.14 中的 Na-K 主动离子泵被去除，因为它对电路没有作用。

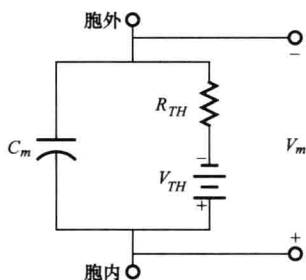
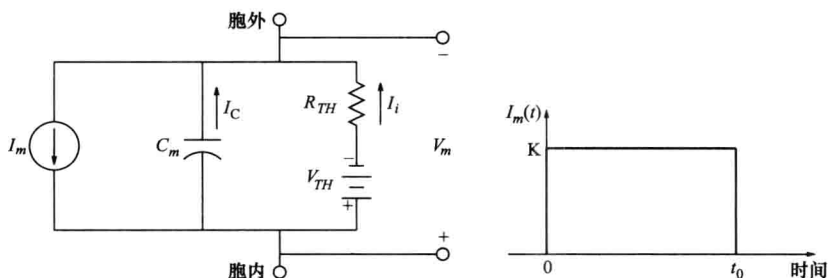


图 12.16 图 12.15 所示电路模型的戴维南等效电路

### 例 12.6

请计算由如下跨膜电流脉冲引起的膜电压  $V_m$  的变化。



解：

实际实验操作时，如上图所示，刺激电流脉冲通过胞内电极和胞外电极施加在细胞膜上。设电流脉冲  $I_m$  的幅值为  $K$ ，持续时间为  $t_0$ ，并在  $t=0$  时刻发生，那么，由此引起的膜电压  $V_m$  可以利用基尔霍夫电流定律来计算，即

$$-I_m + \frac{V_m - V_{TH}}{R_{TH}} + C_m \frac{dV_m}{dt} = 0$$

该节点电流方程的拉普拉斯变换为

$$-I_m(s) + \frac{V_m(s)}{R_{TH}} - \frac{V_{TH}}{sR_{TH}} + sC_m V_m(s) - C_m V_m(0^+) = 0$$

合并同类项之后可得

$$\left(s + \frac{1}{C_m R_{TH}}\right) V_m(s) = V_m(0^+) + \frac{I_m(s)}{C_m} + \frac{V_{TH}}{sC_m R_{TH}}$$

电流脉冲的拉普拉斯变换为  $I_m(s) = \frac{K}{s}(1 - e^{-t_0 s})$ ，将此  $I_m(s)$  代入以上节点方程并重



组各项, 可得

$$V_m(s) = \frac{V_m(0^+)}{\left(s + \frac{1}{C_m R_{TH}}\right)} + \frac{K(1 - e^{-t_0 s})}{s C_m \left(s + \frac{1}{C_m R_{TH}}\right)} + \frac{V_{TH}}{s C_m R_{TH} \left(s + \frac{1}{C_m R_{TH}}\right)}$$

将上式进行部分分式展开, 并注意  $V_m(0^+) = V_{TH}$ , 可得

$$V_m(s) = K R_{TH} \left[ \frac{1}{s} - \frac{1}{\left(s + \frac{1}{C_m R_{TH}}\right)} \right] (1 - e^{-t_0 s}) + \frac{V_{TH}}{s}$$

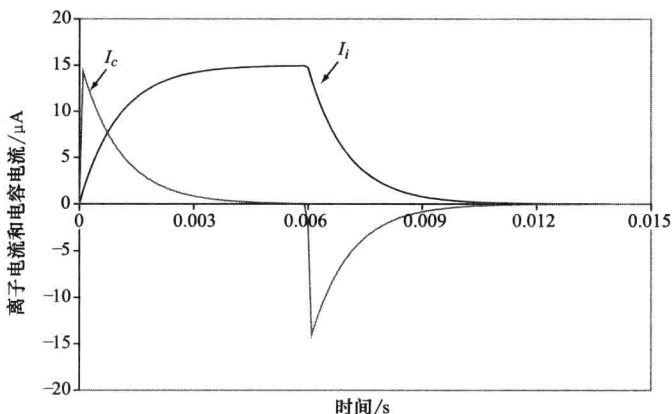
将上式变换到时域, 可得

$$V_m(t) = V_{TH} + R_{TH} K (1 - e^{-\frac{t}{R_{TH} C_m}}) u(t) - R_{TH} K (1 - e^{-\frac{t-t_0}{R_{TH} C_m}}) u(t-t_0)$$

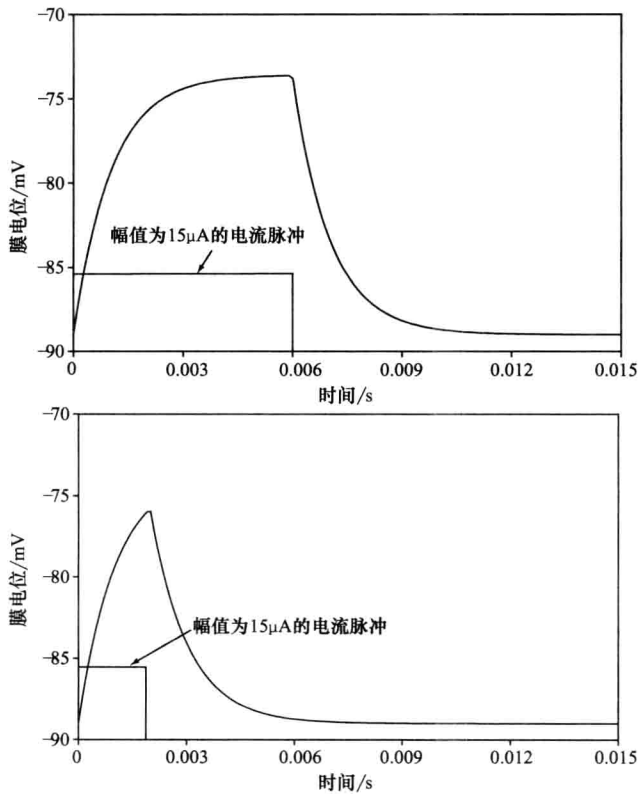
离子电流  $I_i$  和电容电流  $I_c$  如下图所示, 即

$$I_i = \frac{V_m - V_{TH}}{R_{TH}}$$

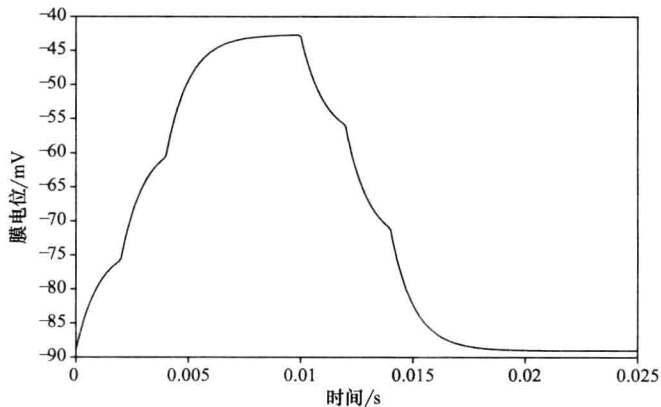
$$I_c = C_m \frac{dV_m}{dt}$$



下面两图所示是持续时间分别为 6ms (上图) 和 2ms (下图) 的  $15\mu\text{A}$  电流脉冲引起的膜电压  $V_m$  的响应, 所用参数为蛙骨骼肌细胞参数, 时间常数约为 1ms。注意, 上图的膜电压  $V_m$  在电流脉冲回到 0 之前就已经达到稳态; 而下图的  $V_m$  未达到稳态值。在突触部位, 时间常数的大小对于突触电流的整合非常重要。正如后面 12.8 节所述, 每个神经递质小泡的释放都相当于一个电流脉冲。注意, 时间常数越大, 兴奋细胞膜所需的时间就越长。一般各个不同刺激引起的兴奋都不会同时发生, 但是由于存在时间常数  $\tau$ , 相当大的一部分刺激响应可以叠加起来, 从而产生较大的膜电压变化, 最终可以诱发产生动作电位。



下图所示是一系列持续时间为 6ms 的  $15\mu\text{A}$  电流脉冲所产生的  $V_m$  响应的叠加，这些脉冲发生的时刻分别为 0、2ms、4ms、6ms、8ms。由于后一个脉冲发生在前一个脉冲响应的  $5\tau$  时间之内，因此各个脉冲的  $V_m$  响应叠加在一起，从而使得膜的去极化接近  $-45\text{mV}$ 。如果脉冲之间的时间间隔大于  $5\tau$ ，那么  $V_m$  将是一系列分开的独立脉冲响应，如同前两张图所示一样。



### 12.5.3 膜电压随距离的变化

前述图 12.15 和图 12.16 所示的电路模型只描述了一小块或者一小段细胞膜, 例 12.6 表明注入细胞膜的电流脉冲会引起膜电压  $V_m$  的变化。但是, 小块膜上局部  $V_m$  的变化会产生流向膜的邻近区域的电流, 这些电流又会引起其邻近区域膜电压  $V_m$  的变化, 依此类推,  $V_m$  的变化就会扩散到整个细胞膜。由于神经细胞树突内部的空间比胞外空间要小得多, 因此, 树突内流动的电流所受到的阻抗要比胞外空间电流受到的阻抗大得多。树突直径越大, 电流在树突内传播时的电阻就越小。如图 12.17 所示, 为了模拟这种效应, 树突各个分段之间加上了体现胞内阻抗的电阻  $R_a$ 。该模型其实是在  $x$ 、 $y$ 、 $z$  轴 3 个方向上都连续的三维细胞膜表面模型。胞外空间较大, 因此胞外阻抗忽略不计, 仅用短路线来表示。

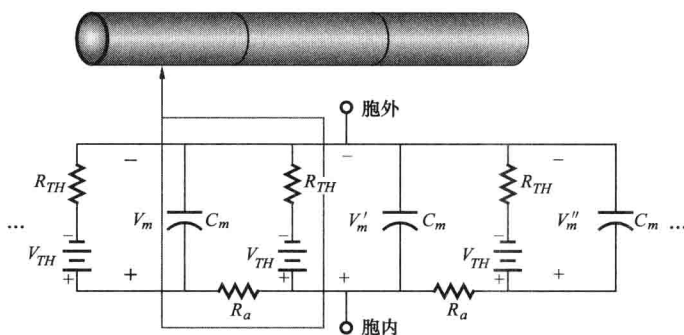


图 12.17 通过轴向电阻  $R_a$  连接起来的一组树突细胞膜分段的等效电路

如图 12.18 所示, 如果在树突的某个分段注入电流, 就像例 12.6 那样, 电流脉冲持续时间  $t_0$  很长。那么, 稳态时, 电容  $C_m$  引起的暂态响应已经过去, 细胞膜电阻和树突内电阻就决定了电流的分布。显然, 电流注入处所在的那个分段流出细胞膜的电流最大, 因为与其他分段相比, 此处电流需流经的电阻最小, 只有  $R_{TH}$ ; 从紧邻的下一个分段流出细胞膜的电流稍小一些, 此电流需流经的电阻为  $R_{TH} + R_a$ 。电流注入处之外各个分段的膜电压变化  $\Delta V_m$  与  $C_m$  无关, 仅取决于  $R_{TH}$  和  $R_a$  的相对值。距离电流注入处第  $n$  个分段流出细胞膜的电流需经过的电阻为  $R_{TH} + n \times R_a$ 。可见, 距离电流注入处越远的分段, 流出细胞膜的电流越小, 膜电压变化  $\Delta V_m$  也就越小, 因为  $\Delta V_m$  等于流出该分段细胞膜的电流乘以  $R_{TH}$ 。膜电压的变化  $\Delta V_m$  随着距离的增加以指数形式衰减, 其计算公式为

$$\Delta V_m = V_0 e^{\frac{-x}{\lambda}} \quad (12.37)$$

式中  $\lambda = \sqrt{\frac{R_{TH}}{R_a}}$ ——细胞膜的空间常数;

$x$ ——膜电压计算位置与电流脉冲注入处之间的距离;

$V_0$ ——电流脉冲注入处膜电压的变化量<sup>⊖</sup>。

$\lambda$  的取值范围为  $0.1 \sim 1\text{mm}$ ,  $\lambda$  越大, 电流脉冲刺激沿着树突能够传播的距离就越远。



图 12.18 稳态时树突细胞膜的跨膜电流示意图

注: 由于电流总是沿最小电阻路径流动, 因此, 大部分电流在刺激电流脉冲注入处流出细胞膜, 随着与该注入处的距离增加, 跨膜流出的电流逐渐减小。

## 12.6 动作电位的 Hodgkin-Huxley 模型

1952 年, Alan Lloyd Hodgkin 和 Andrew Fielding Huxley 发表了 5 篇论文, 报道了枪乌贼巨轴突神经纤维的一系列实验以及一种动作电位经验模型。前 4 篇论文阐述了各种实验研究, 表明了动作电位期间细胞膜发生的变化, 最后一篇论文则建立了数学模型。这个模型并不是根据本章所介绍的定律和理论推导出来的生理模型, 而是用指数函数拟合实验数据曲线得到的经验模型。下面就介绍 Hodgkin 和 Huxley 所做实验的主要部分以及该经验模型, 其中所示的曲线图都是根据该模型用 Simulink 程序仿真得到的, 采用的参数就是他们使用的枪乌贼巨轴突的数据。

### 12.6.1 动作电位和电压钳实验

神经细胞具有传导动作电位的能力, 这使得信号可以在神经系统中长距离传播, 动作电位的一个重要特性就是在远距离传导过程中其幅值不会衰减。当轴丘 (见图 12.1) 处的膜电压  $V_m$  达到某个阈值时就会诱发神经细胞产生动作电位。一旦  $V_m$  达到阈值,  $\text{Na}^+$  和  $\text{K}^+$  主动门控离子通道的电导就会随时间和膜电压发生变化, 驱使  $V_m$  先趋向于  $\text{Na}^+$  离子的 Nernst 电位  $E_{\text{Na}}$ , 紧接着又返回到  $\text{K}^+$  离子的 Nernst 电位  $E_{\text{K}}$ , 最后再回到静息电位。Hodgkin 和 Huxley 最先报道了这种离子通道的电导变化规律, Katz 也参与了部分工作, 并且是其中一篇论文的作者之一。图 12.19 所示是一个典型的动作电位波形, 其阈值电位约为  $-40\text{mV}$ 。

要使轴丘的膜电压  $V_m$  达到阈值电位, 树突和胞体部位必须接受足够多的突触后膜输入刺激。如前所述, 距离轴丘越远, 突触后膜上接受的刺激对轴丘处  $V_m$  变化的贡献就越小。同时, 由于细胞膜具有时间常数, 突触后膜的刺激与其导致的轴丘  $V_m$  的变化之间总是存在延时。因此, 在描述轴丘  $V_m$  的分级应答时, 时间和距离是两个重要的

<sup>⊖</sup> 式 (12.37) 是利用偏微分方程求得的树突一维电缆方程的解 (详见 Keener 和 Sneyd 的著作)。——原文注

参数。

一旦  $V_m$  达到阈值, 主动  $\text{Na}^+$  离子通道随即开放, 导致  $\text{Na}^+$  的内流, 使细胞膜进一步去极化。这种去极化又会使  $\text{Na}^+$  电导增大, 结果产生更多的  $\text{Na}^+$  内流。如图 12.20 所示, 这种再生过程迅速使  $V_m$  趋近  $E_{\text{Na}}$ , 直到  $\text{Na}^+$  通道失活为止。 $\text{K}^+$  离子通道也发生类似的电导变化过程, 并驱使  $V_m$  重新回到静息电位, 但是  $\text{K}^+$  电导的变化较为缓慢。一旦动作电位被触发之后, 它就会自行完成整个过程, 这被称为“全或无”现象。 $\text{Na}^+$  和  $\text{K}^+$  主动门控通道的电导变化都是膜电压  $V_m$  和时间的函数。

动作电位沿轴突高速传导, 并且在有髓鞘神经纤维中是在郎飞氏节之间跳跃式传导。这是因为髓鞘的膜电容很小, 使细胞膜的特性接近于纯电阻, 从而使  $V_m$  的变化几乎可以瞬时完成。

为了研究动作电位, Hodgkin 和 Huxley 选用了无髓鞘的枪乌贼巨轴突作为研究材料, 这种神经纤维的直径很大, 约为 1mm, 并且在 6.3℃ 海水中可以存活数小时。当时已有的学说认为, 动作电位是由于细胞膜通透性的巨大变化引起的, 这种通透性的变化使所有离子都可以自由流过细胞膜, 从而驱使  $V_m$  趋于 0。然而, Hodgkin 和 Huxley 的实验结果并不是这样。他们与哥伦比亚大学的 Cole 和 Curtis 合作, 在研究中使用了两种新技术: 空间钳位和电压钳位, 这是他们取得成功的关键。下面介绍他们的实验技术。

Hodgkin 和 Huxley 将银丝插入轴突, 消除了胞内电阻  $R_a$ , 从而使一长段轴突细胞膜上的  $V_m$  都能够保持同样的值, 这就是空间钳位。而电压钳位技术则用于控制膜电压  $V_m$ , 使得膜通透性改变时  $I_{\text{Na}}$  内流和  $I_{\text{K}}$  外流都不能引起进一步的膜去极化。他们选择枪乌贼巨神经纤维作为实验材料, 很幸运! 因为它具有两个优点: 直径大且可以在海水中长时间存活; 只有两种电压-时间依赖性的离子通道。其他神经元的电压-时间依赖性离子通道都超过两种, 很难进行分析, 甚至不可能分析。

### (1) 电压钳

为了研究  $\text{K}^+$  和  $\text{Na}^+$  电压-时间依赖性离子通道的电导变化过程, Hodgkin 和 Huxley 利用电压钳将电压和时间这两个动态机制分开, 在各个恒定不变的膜电压下研究通道的电压依赖性变化过程。图 12.21 所示是利用前述等效电路表示的电压钳实验, 其中  $\text{K}^+$  和  $\text{Na}^+$  通道用电压-时间依赖性的可变电阻表示, 而  $\text{Na}^+$ 、 $\text{K}^+$  和  $\text{Cl}^-$  的被动通道则用漏

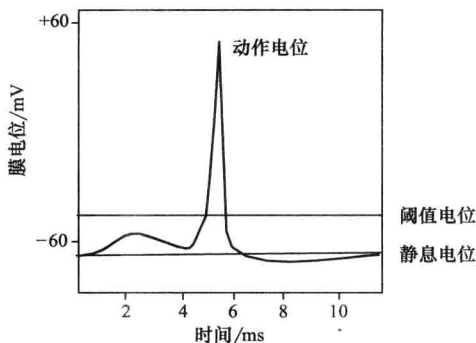


图 12.19 动作电位波形示意图 (膜电压大约在 5ms 时达到阈值电位)

注: 动作电位的起因是离子通道的电导产生了电压和时间依赖性的变化, 其上升支由  $\text{Na}^+$  离子通道电导的变化引起, 而下降支则由  $\text{K}^+$  离子通道电导的变化引起。

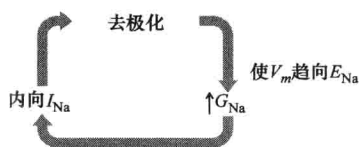


图 12.20  $\text{Na}^+$  通道电导变化示意图

电阻  $R_l$  表示 (即被动通道的戴维南等效电路)。如图 12.22 所示, 电压钳的作用是中断  $\text{Na}^+$  和  $\text{K}^+$  通道电阻与膜电位之间的偶联。如前所述, 如果不钳住膜电位, 那么  $\text{Na}^+$  和  $\text{K}^+$  通道电阻的变化会引起膜电位的变化, 然后又进一步改变  $\text{Na}^+$  和  $\text{K}^+$  通道的电阻, 如此反复。

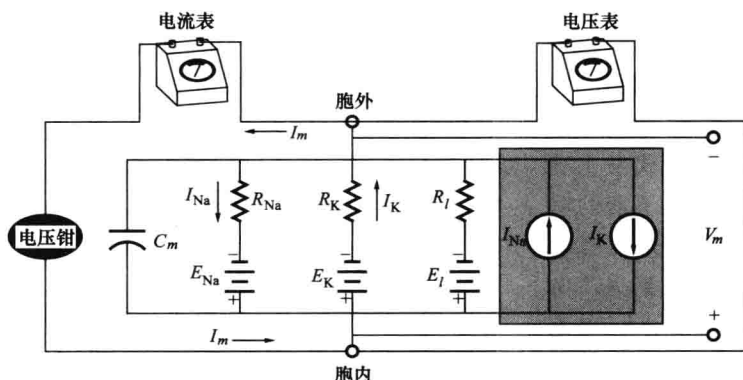


图 12.21 电压钳位下的枪乌贼巨轴突无髓鞘纤维的等效电路模型

注:  $\text{K}^+$  和  $\text{Na}^+$  通道用电压和时间依赖性的可变电阻表示,  $\text{Na}^+$ 、 $\text{K}^+$  和  $\text{Cl}^-$  被动离子通道用漏电阻  $R_l$  表示。Na-K 泵用阴影部分的电路来表示。实验时, 细胞膜浸浴在海水之中。

如图 12.23 所示, 电压钳用两对电极实现。实验时, 一对电极向细胞内注入电流  $I_m$ , 用以维持膜电压  $V_m$  恒定不变; 另一对电极则用来检测  $V_m$ 。为了计算  $\text{Na}^+$  通道和  $\text{K}^+$  通道的电导, 实验时还需测量  $I_m$ 。图 12.21 中显示了测量  $V_m$  和  $I_m$  的电表, 这些电表放在海水浴之外。如今, 测量仪器的输出信号都用模-数转换器进行采样, 然后将采样数据存入计算机硬盘用于分析处理。但是, 早在 1952 年, 这些测量仪器的输出只能用纸带记录仪记录。施加钳位电压  $V_c$  之后,  $\text{Na}^+$  通道电导发生变化, 产生  $\text{Na}^+$  离子内流, 欲驱使膜电位进一步上升, 超过  $V_c$ ; 但此时电压钳会通过膜电流  $I_m$  的变化去除细胞内侧增加的正电荷, 从而保持膜电压  $V_m$  不变。电压钳实验中, 电流  $I_m$  是因变量, 钳位电压  $V_c$  则是自变量。

实验时, 先设定某个钳位电压  $V_c$ , 然后记录将膜电压  $V_m$  维持在该钳位电压时所经历的膜电流  $I_m$  的变化过程。图 12.24 显示了由  $-20\text{mV}$  钳位电压引起的  $I_m$ 。初始时,  $V_m$  的阶跃变化引起一个较大的跨膜电流, 该电流主要是膜电容电流。钳位电压同时产生一个恒定的跨膜漏电流, 其值等于

$$I_l = \frac{V_c - E_l}{R_l} \quad (12.38)$$

将  $I_m$  中的电容电流和漏电

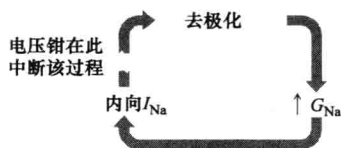


图 12.22 电压钳中断了图 12.20 所示的再生循环过程

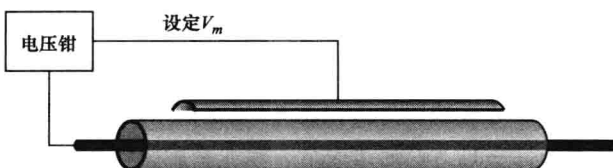


图 12.23 电压钳实验的物理装置

流减去之后,剩下的就是  $\text{Na}^+$  电流和  $\text{K}^+$  电流。为了进一步将  $\text{Na}^+$ 、 $\text{K}^+$  两种离子电流分开, Hodgkin 和 Huxley 在胞外溶液中用一种不可通透的较大的阳离子取代  $\text{Na}^+$  离子,这样就去除了  $\text{Na}^+$  电流,只剩下  $\text{K}^+$  电流了。然后,恢复胞外溶液中的  $\text{Na}^+$  离子,并将记录得到的总  $I_m$  减去电容电流、漏电流和  $\text{K}^+$  离子电流,就可以估计出  $\text{Na}^+$  电流。图 12.25 显示了  $-20\text{mV}$  钳位电压下产生的  $\text{Na}^+$  电流和  $\text{K}^+$  电流。由于该钳位电压超过了阈值,因此,  $\text{Na}^+$  通道和  $\text{K}^+$  通道的电阻就按照特定的模式发生变化。在膜电压钳位不变的状态下,  $\text{Na}^+$  电流先升至峰值随后再回到零。等到  $\text{Na}^+$  电流的波峰过了之后,  $\text{K}^+$  电流才逐渐到达某个稳态水平,并一直保持这个值,直到钳位电压撤除为止。对于所有大于阈值的钳位电压,  $\text{Na}^+$  电流和  $\text{K}^+$  电流都要经历这样的变化过程。

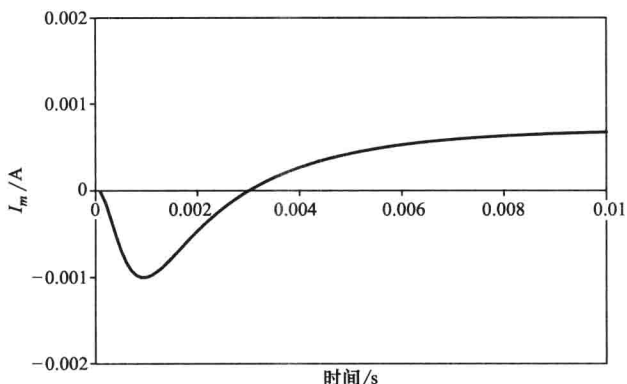


图 12.24 由  $-20\text{mV}$  钳位电压引起的膜电流  $I_m$  的变化

在图 12.21 的电路应用中欧姆定理,并利用图 12.25 的电流波形数据,可以方便地求取  $\text{Na}^+$  通道和  $\text{K}^+$  通道的电导(或者电阻),公式为

$$I_K = \frac{V_m - E_K}{R_K} = G_K (V_m - E_K) \quad (12.39)$$

$$I_{Na} = \frac{E_{Na} - V_m}{R_{Na}} = G_{Na} (E_{Na} - V_m) \quad (12.40)$$

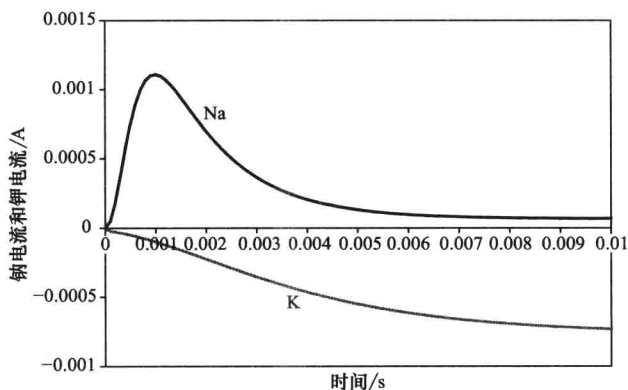


图 12.25 由  $-20\text{mV}$  钳位电压产生的  $\text{Na}^+$  电流和  $\text{K}^+$  电流

式中  $G_K$ 、 $G_{Na}$ —— $\text{K}^+$ 、 $\text{Na}^+$  通道的电导。

图 12.26 所示就是在  $-50 \sim +20\text{mV}$  的各个钳位电压下,利用以上两个公式计算得到的两种离子通道电导随时间变化的曲线。

对于所有超过阈值的钳位电压,  $\text{Na}^+$  通道开放的速度都比  $\text{K}^+$  通道快,并且一段时间之后  $\text{Na}^+$  通道随即失活;而  $\text{K}^+$  通道则不同,只要钳位电压保持不变,它就一直保持开放状态。一旦  $\text{Na}^+$  通道失活,除非细胞膜已经极化回到静息电位,否则  $\text{Na}^+$  通道不能再开放。 $\text{Na}^+$  通道处于失活状态的这段时间被称为不应期 (refractory period)。如果在

$\text{Na}^+$  通道的整个变化过程结束之前电压钳位就被撤除, 那么,  $\text{Na}^+$  通道的电导  $G_{\text{Na}}$  几乎立刻就回到 0; 而  $\text{K}^+$  通道的电导  $G_{\text{K}}$  总是逐渐回到 0, 与  $\text{Na}^+$  通道的变化是否经历完整的过程无关。

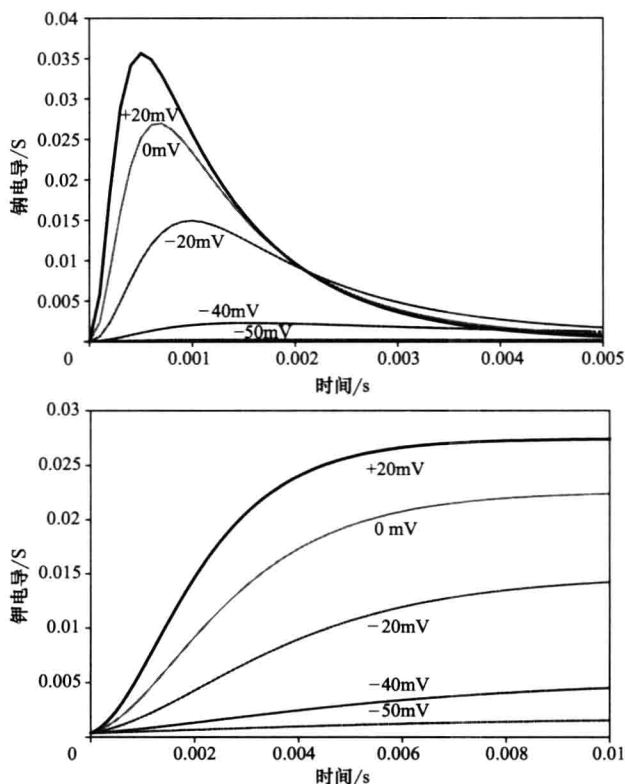
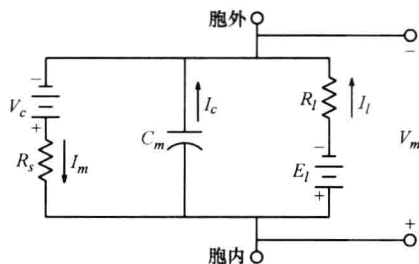


图 12.26 在  $-50\text{mV}$  (低于阈值) 到  $+20\text{mV}$  的各个钳位电压作用下  $\text{Na}^+$  电导和  $\text{K}^+$  电导的变化曲线  
注: 两张图的时间坐标不一样。

### 例 12.7

请计算低于阈值的钳位电压作用下的跨膜电容电流  $I_c$  和漏电流  $I_l$ 。



解:

由于刺激是低于阈值的, 不妨设  $\text{Na}^+$  和  $\text{K}^+$  的电压-时间依赖性离子通道没有被激



活, 因此, 可以忽略这些通道 (实际上并非如此, 详见例 12.9)。这样, 细胞膜的等效电路可以表示为上图所示。

其中,  $R_s$  是连接线的电阻。应用基尔霍夫电流定律可得

$$C_m \frac{dV_m}{dt} + \frac{V_m - E_l}{R_l} + \frac{V_m - V_c}{R_s} = 0$$

重组该方程可得

$$C_m \frac{dV_m}{dt} + \frac{R_l + R_s}{R_l R_s} V_m = \frac{R_l V_c + R_s E_l}{R_l R_s}$$

由初始条件  $V_m(0) = E_l$ , 可得如下解

$$V_m = \frac{R_l V_c + R_s E_l}{R_l + R_s} + \frac{R_l (E_l - V_c)}{R_l + R_s} e^{-\frac{(R_l + R_s)t}{R_l R_s C_m}}$$

于是

$$I_c = C_m \frac{dV_m}{dt} = \frac{E_l - V_c}{R_s} e^{-\frac{(R_l + R_s)t}{R_l R_s C_m}}$$

$$I_l = \frac{V_m - E_l}{R_l}$$

稳态时

$$I_l = \frac{V_c - E_l}{R_l + R_s}$$

## (2) 动作电位的重建

通过分析不同幅值和不同持续时间电压钳位脉冲作用下计算得到的  $G_{Na}$  和  $G_K$ , Hodgkin 和 Huxley 建立了一组描述动作电位的非线性经验方程, 这些方程的仿真结果可以精确地描述各种不同刺激诱发的动作电位响应。在学习这些方程之前, 有必要根据上述实验数据, 先定性了解动作电位发生期间各种离子通道的变化过程。动作电位由高于阈值的去极化触发, 去极化使  $G_{Na}$  增加并产生  $Na^+$  离子内流;  $Na^+$  电流进一步使细胞膜去极化, 并使  $Na^+$  内流增大。这个过程驱使  $V_m$  不断接近  $Na^+$  的 Nernst 电位  $E_{Na}$ 。如图 12.26 所示,  $G_{Na}$  是时间和膜电压的函数, 达到最大值后又迅速回落至 0。

在  $G_{Na}$  回落期间,  $G_K$  一直在增加, 并使细胞膜超极化, 驱使  $V_m$  从  $E_{Na}$  向  $E_K$  变化。  $G_K$  的增加形成了  $K^+$  外流, 而  $K^+$  外流电流进一步使膜超极化, 这又增加了  $K^+$  外流。这个过程驱使  $V_m$  不断趋于  $K^+$  的 Nernst 电位  $E_K$ ,  $E_K$  值低于静息电位。图 12.27 显示了动作电位期间  $V_m$ 、 $G_{Na}$  和  $G_K$  的变化过程。

前述图 12.16 的等效电路很有用, 可以仿真较小的低于阈值的去极化状态下细胞膜的情况。该电路模型假设  $K^+$  电流和  $Na^+$  电流都很小, 可以忽略不计。由例 12.6 可知, 在这种情况下, 注入细胞的电流脉冲的上升沿快速形成一个呈指数衰减的电容电流, 以及一个呈指数增加的漏电流  $I_l$ 。电流脉冲结束时 (即下降沿), 再次产生电容电流并以指数形式衰减到 0, 同时漏电流也以指数形式衰减为 0。

随着外加的刺激电流脉冲幅值的增加, 细胞膜的去极化也增加, 从而激活了  $\text{Na}^+$ 、 $\text{K}^+$  电压-时间依赖性通道。当去极化足够大时, 内流的  $\text{Na}^+$  电流会超过外流的  $\text{K}^+$  电流与漏电流之和 (即  $I_{\text{Na}} > I_{\text{K}} + I_{\text{L}}$ ), 此时的膜电压  $V_m$  就是阈值。一旦细胞膜的去极化达到了阈值,  $\text{Na}^+$  和  $\text{K}^+$  的电压-时间依赖性通道就被启动, 随即完成图 12.27 所示的整个变化过程。

如果用缓慢上升的刺激电流使细胞膜去极化, 则阈值会变得比较高。因为在缓慢接近阈值的过程中, 未达到阈值之前就会发生部分  $G_{\text{Na}}$  通道的失活, 而  $G_{\text{K}}$  通道则开始激活, 因此, 要满足  $I_{\text{Na}} > I_{\text{K}} + I_{\text{L}}$  的条件,  $V_m$  值要比快速接近阈值时大很多。

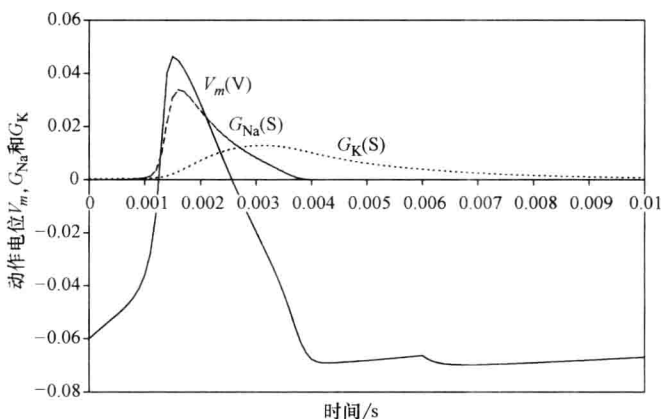


图 12.27 动作电位期间  $V_m$ 、 $G_{\text{Na}}$  和  $G_{\text{K}}$  的变化过程

## 12.6.2 钠离子和钾离子的电导方程

Hodgkin 和 Huxley 用如下形式的数学方程建立  $G_{\text{Na}}$  和  $G_{\text{K}}$  模型:

$$G(t) = (A + Be^{-Ct})^D \quad (12.41)$$

参数  $A$ 、 $B$ 、 $C$  和  $D$  的值用枪乌贼巨轴突的电压钳实验数据来估计。从该方程似乎看不出通道电导的电压依赖性, 其实本节下面就会介绍, 各个参数是随电压变化的。 $\text{Na}^+$  和  $\text{K}^+$  两种离子通道的电导方程中  $D$  都设定为 4, 这样, 方程与实验数据拟合最好。图 12.27 实际上是用 Simulink 仿真程序以及 Hodgkin 和 Huxley 给出的参数计算得到的, Simulink 是 MATLAB 的一个仿真软件包。本节后面会介绍该仿真程序的具体内容。下面先分析  $G_{\text{Na}}$  和  $G_{\text{K}}$  的数学方程。

### (1) 钾离子通道的电导方程

钾电导的变化曲线如图 12.26 所示, 在外加电脉冲刺激期间, 电导曲线逐渐上升并趋于最大值。利用 Hodgkin-Huxley 的通用表达式, 这个过程可以用如下  $G_{\text{K}}$  方程来描述:

$$G_{\text{K}} = \bar{G}_{\text{K}} n^4 \quad (12.42)$$

式中  $\bar{G}_{\text{K}}$ ——最大  $\text{K}^+$  电导;

$n$ ——可以看作速率常数, 它是如下微分方程的解:

$$\frac{dn}{dt} = \alpha_n(1 - n) - \beta_n n \quad (12.43)$$

其中

$$\alpha_n = 0.01 \frac{V + 10}{e^{\frac{V+10}{10}} - 1}$$

$$\beta_n = 0.125 e^{\frac{V}{80}}$$

$$V = V_{rp} - V_m$$

$V_{rp}$ 是没有任何外加刺激情况下细胞膜的静息电位。注意,  $V$ 是膜电压偏离静息电位的值, 应该是负值。显然, 由方程(12.43)可知,  $G_K$ 是时间依赖性变量, 同时也是电压依赖性变量, 因为  $n$  中含有电压依赖性参数  $\alpha_n$  和  $\beta_n$ 。

## (2) 钠离子通道的电导方程

钠电导变化的曲线如图 12.26 所示, 曲线先上升到最大值然后下降。这个变化过程可以用  $G_{Na}$  的模型方程来描述, 该模型是两个函数的乘积, 其中一个描述曲线的上升相, 另一个则描述下降相, 该模型为

$$G_{Na} = \bar{G}_{Na} m^3 h \quad (12.44)$$

式中  $\bar{G}_{Na}$ ——最大  $Na^+$  电导;

$m$ 、 $h$ ——可以看作速率常数, 它们分别是如下微分方程的解:

$$\frac{dm}{dt} = \alpha_m(1 - m) - \beta_m m \quad (12.45)$$

其中

$$\alpha_m = 0.1 \frac{V + 25}{e^{\frac{V+25}{10}} - 1}$$

$$\beta_m = 4e^{\frac{V}{18}}$$

并且

$$\frac{dh}{dt} = \alpha_h(1 - h) - \beta_h h \quad (12.46)$$

$$\alpha_h = 0.07 e^{\frac{V}{20}}$$

$$\beta_h = \frac{1}{e^{\frac{V+30}{10}} + 1}$$

注意,  $m$  描述了  $G_{Na}$  的上升相, 而  $h$  描述了下降相。式(12.43)、式(12.45)和式(12.46)中各个  $\alpha_i$  和  $\beta_i$  的单位都是  $(ms)^{-1}$ ;  $n$ 、 $m$  和  $h$  都无量纲, 且取值范围为  $0 \sim 1$ 。

### 例 12.8

请用 Hodgkin-Huxley 模型计算枪乌贼巨轴突在静息电位处的  $G_K$  和  $G_{Na}$ , 参数为  $\bar{G}_K = 36 \times 10^{-3} S$ ,  $\bar{G}_{Na} = 120 \times 10^{-3} S$ 。

解:

静息时,  $G_K$  和  $G_{Na}$  都是常数, 其值由  $n$ 、 $m$  和  $h$  决定。由于细胞膜处于稳态, 因此,  $\frac{dn}{dt} = 0$ ,  $\frac{dm}{dt} = 0$ ,  $\frac{dh}{dt} = 0$ 。应用式(12.43)、式(12.45)和式(12.46), 在静息和稳态

情况下, 有

$$n = \frac{\alpha_n^0}{\alpha_n^0 + \beta_n^0}$$

$$m = \frac{\alpha_m^0}{\alpha_m^0 + \beta_m^0}$$

$$h = \frac{\alpha_h^0}{\alpha_h^0 + \beta_h^0}$$

其中,  $\alpha_i^0$  是  $V=0$  时的  $\alpha(i=n, m, h)$ ;  $\beta_i^0$  是  $V=0$  时的  $\beta(i=n, m, h)$ 。经计算可得  $\alpha_n^0 = 0.0582$ ,  $\beta_n^0 = 0.125$ ,  $n = 0.31769$ ,  $\alpha_m^0 = 0.2236$ ,  $\beta_m^0 = 4$ ,  $m = 0.05294$ ,  $\alpha_h^0 = 0.07$ ,  $\beta_h^0 = 0.04742$ ,  $h = 0.59615$ 。因此, 在静息和稳态时

$$G_K = \bar{G}_K n^4 = 36.0 \times 10^{-3} \times (0.31769)^4 = 0.3667 \times 10^{-3} \text{ S}$$

$$G_{Na} = \bar{G}_{Na} m^3 h = 120.0 \times 10^{-3} \times (0.05294)^3 \times 0.59615 = 0.010614 \times 10^{-3} \text{ S}$$

### 12.6.3 膜电压的时间依赖性方程

图 12.28 所示是外部刺激  $I_m$  作用下的细胞膜模型, 适用于动作电位的仿真。应用基尔霍夫定律可得

$$I_m = G_K (V_m - E_K) + G_{Na} (V_m - E_{Na}) + \frac{(V_m - E_l)}{R_l} + C_m \frac{dV_m}{dt} \quad (12.47)$$

其中  $G_K$  和  $G_{Na}$  是由式 (12.42) 和式 (12.44) 给出的电压-时间依赖性电导。

#### 例 12.9

如果要使枪乌贼巨轴突的膜电位从静息电位  $-60\text{mV}$  上升到  $-40\text{mV}$ 、

然后再恢复到静息电位, 请计算所需外加电流脉冲的幅值和宽度。  $K^+$ 、 $Na^+$  电导的变化忽略不计, 用静息时的  $G_K$  和  $G_{Na}$  值进行计算。并且, 枪乌贼巨轴突的 Hodgkin-Huxley

参数值为  $G_l = \frac{1}{R_l} = 0.3 \times 10^{-3} \text{ S}$ ,  $\bar{G}_K = 36 \times 10^{-3} \text{ S}$ ,  $\bar{G}_{Na} = 120 \times 10^{-3} \text{ S}$ ,  $E_K = -72 \times 10^{-3} \text{ V}$ ,  $E_l = -49.4 \times 10^{-3} \text{ V}$ ,  $E_{Na} = 55 \times 10^{-3} \text{ V}$ ,  $C_m = 1 \times 10^{-6} \text{ F}$ 。

解:

假设电流  $I_m$  为:  $I_m = K[u(t) - u(t - t_0)]$ 。在前面的例 12.8 中已求得  $K^+$ 、 $Na^+$  离子通道静息时的电导分别为  $G_K = 0.3667 \times 10^{-3} \text{ S}$ ,  $G_{Na} = 0.010614 \times 10^{-3} \text{ S}$ 。在本题的阈值下刺激电流作用下,  $G_K$  和  $G_{Na}$  保持不变, 因此, 图 12.28 所示电路可以简化为如下所示的电路。为了方便计算, 用戴维南等效电路简化该电路, 等效电阻为

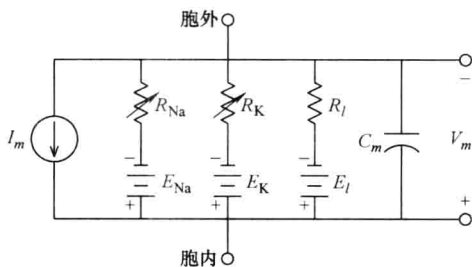
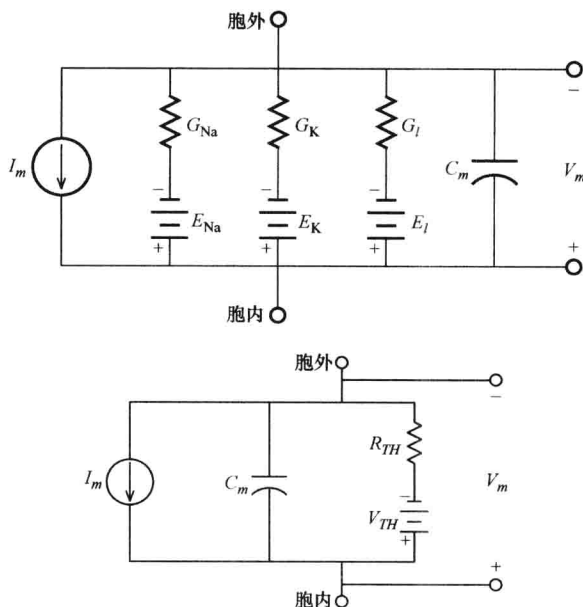


图 12.28 一段无髓鞘枪乌贼巨轴突的电路模型

注:  $K^+$  通道和  $Na^+$  通道的电压和时间依赖性可变电导 (即电阻) 由式 (12.42) 和式 (12.44) 给定。  $Na^+$ 、 $K^+$  和  $Cl^-$  的被动离子通道用漏电阻  $R_l$  和 Nernst 电位  $E_l$  表示。  $Na-K$  泵没有画出, 它不对电路其他部分提供电流。

$$R_{TH} = \frac{1}{G_{Na} + G_K + G_l} = 1.4764 \text{ k}\Omega$$

且等效电压  $V_{TH} = -60 \text{ mV}$ 。



于是, 本题的解与例 12.6 的解一样, 即

$$V_m(t) = V_{TH} + R_{TH}K(1 - e^{-\frac{t}{R_{TH}C_m}})u(t) - R_{TH}K(1 - e^{-\frac{t-t_0}{R_{TH}C_m}})u(t-t_0)$$

为了方便计算, 假设电流脉冲宽度  $t_0 > 5\tau$ , 因此, 对于  $5\tau < t \leq t_0$ ,  $V_m = -40 \text{ mV}$  是本题的稳态值, 于是上式成为

$$V_m = -0.040 = V_{TH} + KR_{TH} = -0.06 + K \times 1476.4$$

由此可得电流脉冲幅值  $K = 13.6 \mu\text{A}$ 。由于  $\tau = R_{TH}C_m = 1.47 \text{ ms}$ , 当电流脉冲幅值为  $K = 13.6 \mu\text{A}$  时, 任何宽度  $t_0$  大于  $5\tau = 7.35 \text{ ms}$  的电流脉冲都可以将膜电压  $V_m$  升至  $-40 \text{ mV}$ 。当然, 如果要诱发动作电位, 就需要更大幅值的电流脉冲, 因为随着  $V_m$  以指数形式接近阈值 (只是无限接近而不能达到),  $\text{Na}^+$  通道会被激活且随即失活。■

为了计算动作电位期间的膜电压  $V_m$ , 需要求解 4 个微分方程 (式 (12.43)、式 (12.45)、式 (12.46) 和式 (12.47)) 以及 6 个代数方程 (式 (12.43)、式 (12.45) 和式 (12.46) 中的各个  $\alpha_i$  和  $\beta_i$ )。由于方程组的方程中存在  $n^4$  和  $m^3$  的电导项, 是非线性方程组, 因此求其解析解是不可能的。要求解  $V_m$ , 就需要用数值方法。用于求解非线性系统数值解的计算机工具有很多, 本书将使用 MATLAB 的通用工具箱 Simulink, 它可以方便地用于求解线性和非线性、连续和离散动态系统的数值解, 是一个很流行的仿真软件, 具有友好的用户界面, 完全集成于 MATLAB 之中。Simulink 是交互式的, 就像模拟形式的计算机, 其程序的开发基于系统模块框图, 在一般计算机平台上都可以运行。

动作电位的 Simulink 仿真程序如图 12.29 ~ 图 12.32 所示, 其设计过程介绍如下。首先, 求方程 (12.47) 中的最高阶导数, 可得下式:

$$\frac{dV_m}{dt} = \frac{1}{C_m} [I_m + G_K(E_K - V_m) + G_{Na}(E_{Na} - V_m) + G_l(E_l - V_m)] \quad (12.48)$$

根据此式, 就可以创建系统模块图, 也就是用积分器、求和器等建立 Simulink 程序。

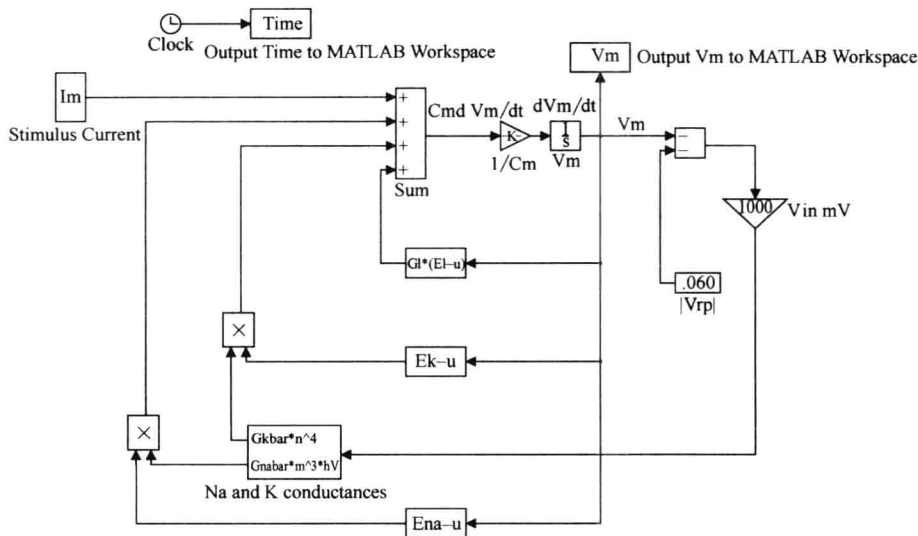


图 12.29 Simulink 动作电位仿真程序的主模块图

注: 刺激电流脉冲由图 12.30 所示的两个阶跃函数相减得到。Na<sup>+</sup>、K<sup>+</sup> 电导的函数模块如图 12.31 和图 12.32 所示。

图 12.29 所示是主模块图, 图 12.30 ~ 图 12.32 是子系统模块图, 便于分析。其中的“工作空间”输出模块用于将仿真结果传送到 MATLAB 环境下作曲线图。仿真所用参数值取自 Hodgkin 和 Huxley 的实验结果, 即  $G_l = \frac{1}{R_l} = 0.3 \times 10^{-3} \text{ S}$ ,  $\bar{G}_K = 36 \times 10^{-3} \text{ S}$ ,  $\bar{G}_{Na} = 120 \times 10^{-3} \text{ S}$ ,  $E_K = -72 \times 10^{-3} \text{ V}$ ,  $E_l = -49.4 \times 10^{-3} \text{ V}$ ,  $E_{Na} = 55 \times 10^{-3} \text{ V}$ ,  $C_m = 1 \times 10^{-6} \text{ F}$ 。图 12.27 就是该 Simulink 程序的动作电位仿真结果。模块  $G_l(E_l - u)$ 、 $E_K - u$  和  $E_{Na} - u$  分别表示式 (12.48) 中的  $G_l(E_l - V_m)$ 、 $(E_K - V_m)$  和  $(E_{Na} - V_m)$  这几项。

刺激电流脉冲用图 12.30 所示的 Simulink 两个阶跃函数构成。其中一个阶跃函数始于  $t = 0$  时刻, 幅值为  $K$ ; 另一个始于  $t = t_0$  时刻, 幅值为  $-K$ 。电流脉冲要能够快速将  $V_m$  升至阈值以上水平, 才能诱发动作电位。

图 12.31 所示是表示 Na<sup>+</sup> 通道和 K<sup>+</sup> 通道电导的 Simulink 程序。函数模块  $G_{Kbar} * u^4$ 、 $G_{Nabar} * u^3$  和  $G_{Nabar} * m^3 * h$  分别表示  $\bar{G}_K n^4$ 、 $\bar{G}_{Na} n^3$  和  $\bar{G}_{Na} m^3 h$ 。子系统  $n$ 、 $m$  和  $h$

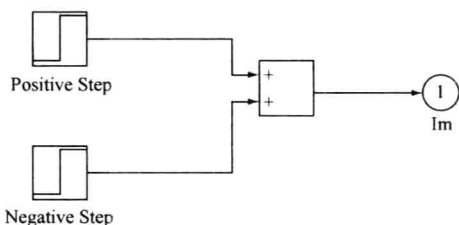


图 12.30 刺激电流脉冲的 Simulink 程序

如图 12.32 所示，它们分别基于 6 个代数方程，即式 (12.43)、式 (12.45) 和式 (12.46) 中的各个  $\alpha_i$  和  $\beta_i$ 。

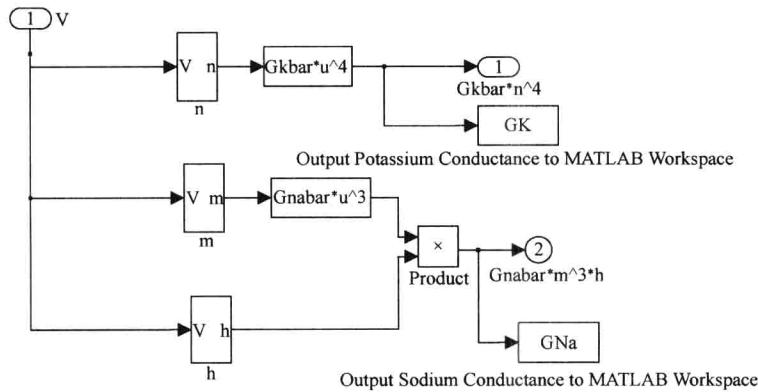


图 12.31 K<sup>+</sup>、Na<sup>+</sup> 通道电导的 Simulink 程序

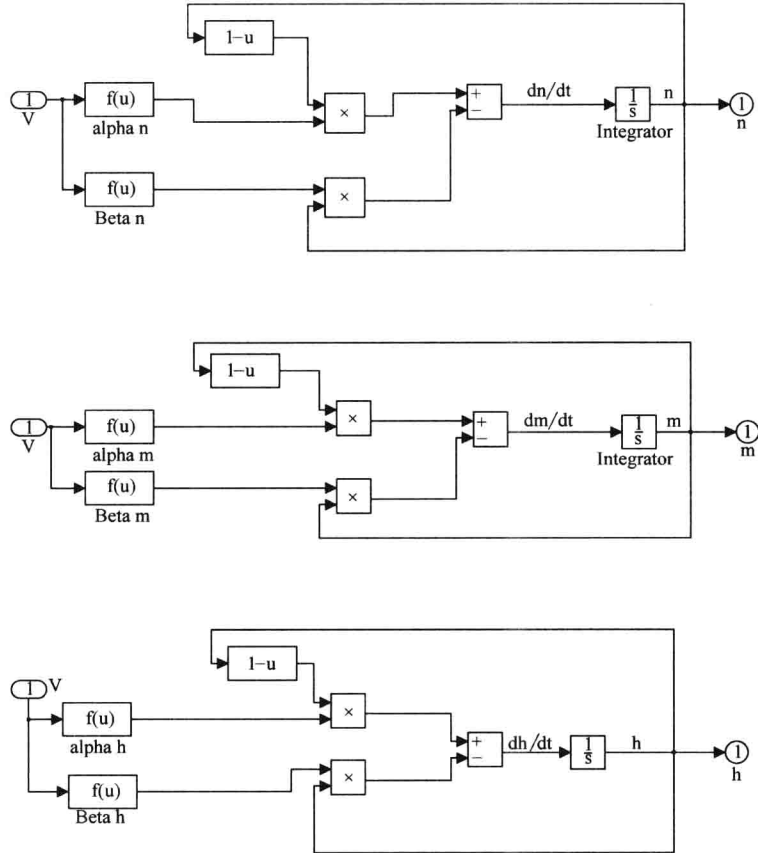


图 12.32 式 (12.43)、式 (12.45) 和式 (12.46) 的各个  $\alpha_i$  和  $\beta_i$  项的 Simulink 程序

## 12.7 神经元整体模型

本节将介绍神经元的整体模型，包括树突、胞体、轴突以及突触前末梢。正如本章 12.5.3 节所述，树突和轴突可以用一组串联的圆柱形房室模型来模拟，各个房室之间用轴向电阻连接。轴突和树突都与胞体相连。当然，真实的神经元有很多不同的结构，例如，树突连接到轴突，轴突又与胞体相连等。但神经元的基本组成是一个胞体、一条轴突加多个树突。注意，树突和轴突不一定是直径恒定的圆柱体，它们在向外延伸的过程中会变得越来越细。

图 12.17 所示是树突的一般房室模型，只包含被动通道；图 12.28 所示则是轴突的房室模型，其中包含了轴丘和郎飞氏节部位的主动通道。轴突的髓鞘部分可以用类似树突的房室模型来模拟，其中只包含电容、被动离子通道和轴向电阻等被动特性。图 12.33 所示就是一段有髓鞘轴突的模型，其中有 3 个被动房室，以及一个表示郎飞氏节的主动房室，此结构可以扩展成任意数目房室的组合。此外，根据神经元的类型，胞体可以用主动房室或者被动房室来模拟。

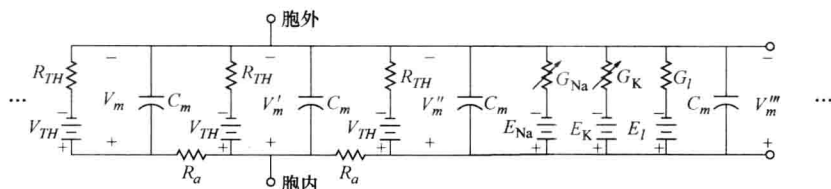


图 12.33 包含主动房室和被动房室的一段有髓鞘轴突模型

应用基尔霍夫电流定律，图 12.33 所示的轴突模型的表达式可以写为

$$\begin{aligned}
 & \cdots + C_m \frac{dV_m}{dt} + \frac{(V_m - V_{TH})}{R_{TH}} + \frac{(V_m - V'_m)}{R_a} \\
 & + C_m \frac{dV'_m}{dt} + \frac{(V'_m - V_{TH})}{R_{TH}} + \frac{(V'_m - V''_m)}{R_a} \\
 & + C_m \frac{dV''_m}{dt} + \frac{(V''_m - V_{TH})}{R_{TH}} + \frac{(V''_m - V'''_m)}{R_a} \\
 & + G_K (V'''_m - E_K) + G_{Na} (V'''_m - E_{Na}) + \frac{(V'''_m - E_l)}{R_l} + C_m \frac{dV'''_m}{dt} + \cdots \quad (12.49)
 \end{aligned}$$

除了枪乌贼巨轴突所含有的 3 种离子通道以外，神经元通常还包括其他通道，因此，神经元模型应该能够包含快速钠通道、延时钾通道以及高阈值的钙通道等其他离子通道机制。外加的离子通道可以添加到以上表达式的每个房室中，即增加如下项：

$$\sum_{i=1}^n G_i (V_m - E_i)$$

其中  $n$  为各个房室的离子通道数目。 $C_m$ 、 $R_{TH}$ 、 $R_a$  和  $G_i$  的值取决于房室的大小和神经元的类型。



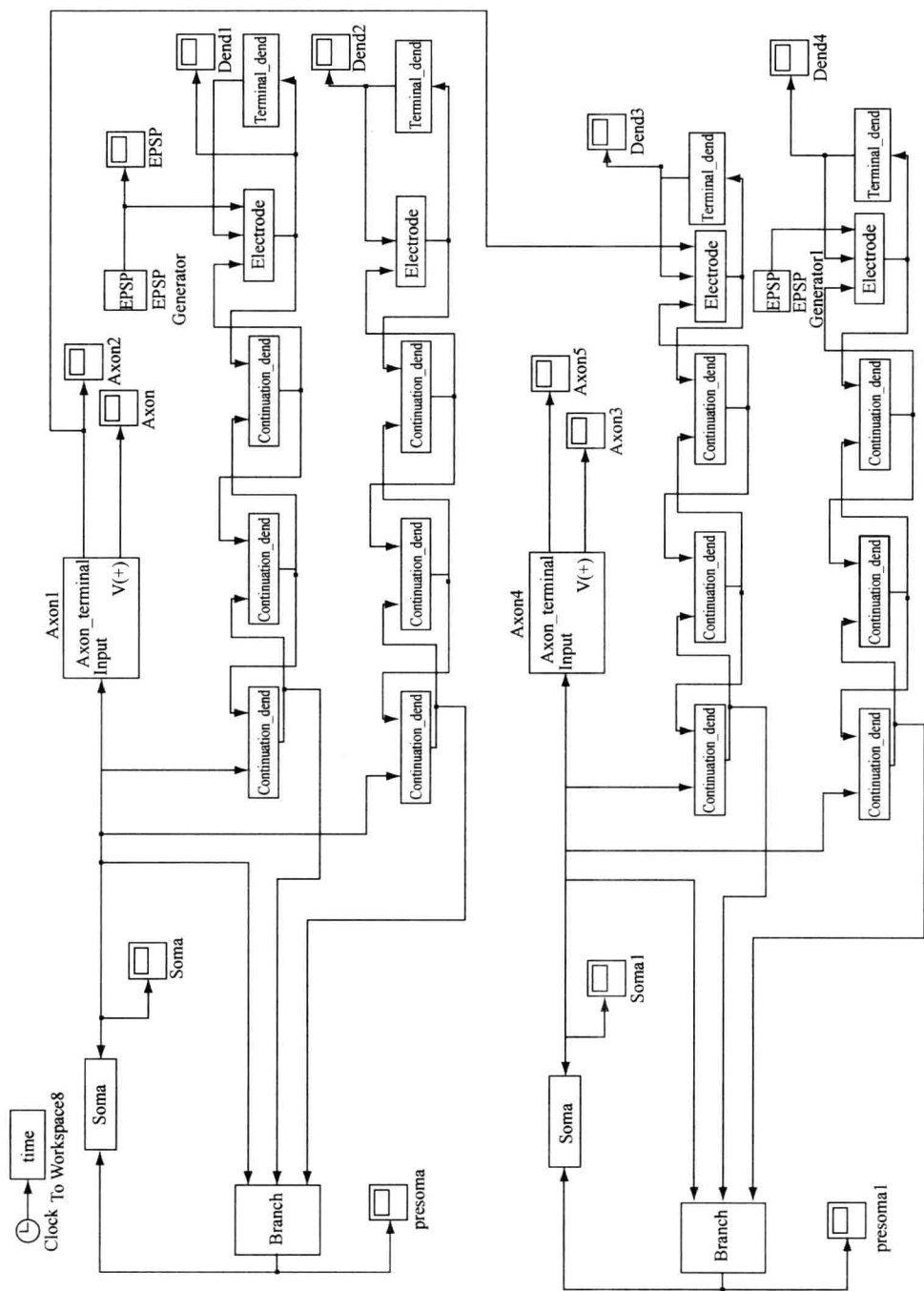


图 12.34 两个相邻神经元的 Simulink 模型

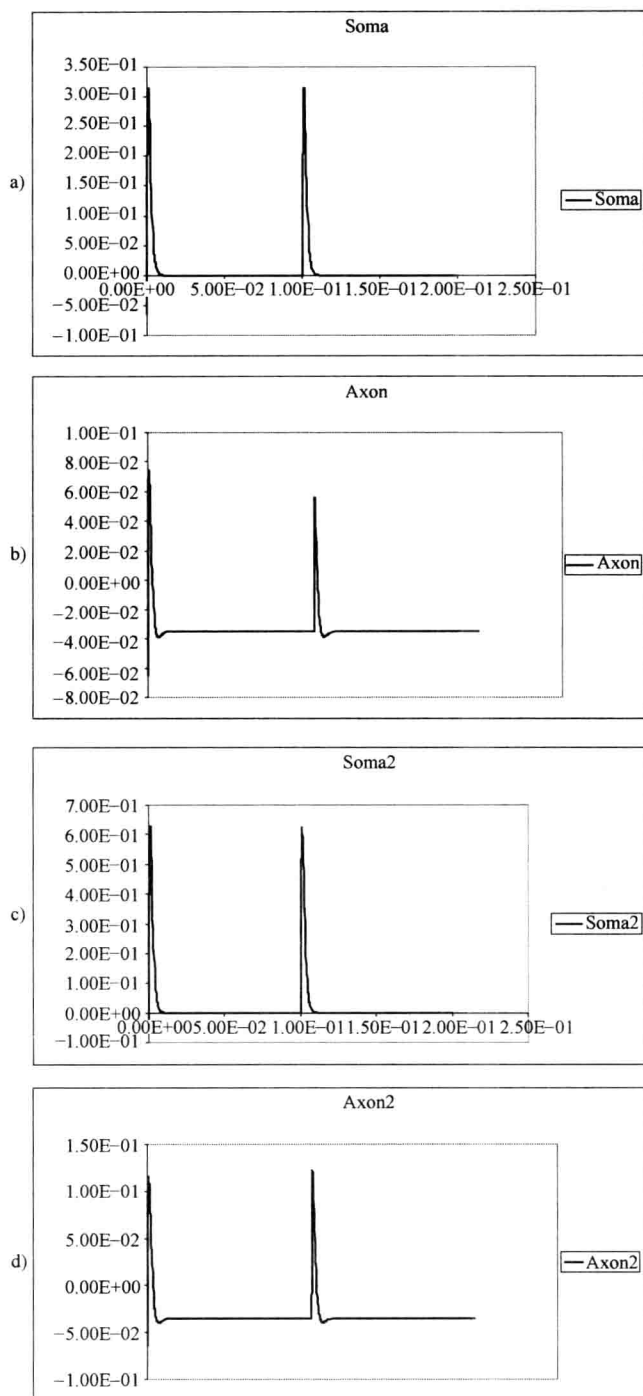


图 12.35 图 12.34 所示模型各部分的输出信号

a) 第一个神经元的胞体   b) 第一个神经元的轴突   c) 第二个神经元的胞体   d) 第二个神经元的轴突

神经元整体模型可以根据需要包含任意多个树突分支, 每个树突分支的模型如图 12.17 所示, 其表达式为

$$\cdots + C_m \frac{dV_m}{dt} + \frac{(V_m - V_{TH})}{R_{TH}} + \frac{(V_m - V'_m)}{R_a} + C_m \frac{dV'_m}{dt} + \frac{(V'_m - V_{TH})}{R_{TH}} + \frac{(V'_m - V''_m)}{R_a} + \cdots \quad (12.50)$$

另外, 被动胞体的表达式为

$$C_m \frac{dV_m}{dt} + \frac{(V_m - V_{TH})}{R_{TH}} + \frac{(V_m - V'_m)}{R_a} \quad (12.51)$$

主动胞体的表达式为

$$G_K(V'''_m - E_K) + G_{Na}(V'''_m - E_{Na}) + \frac{(V'''_m - E_l)}{R_l} + C_m \frac{dV'''_m}{dt} \quad (12.52)$$

以上式 (12.49) ~ 式 (12.52) 就是 Rodrigues 和 Enderle 在 2004 年提出的神经元整体模型。除了处于模型末端的房室以外, 其他树突的房室都有两个输入, 分别是前一个房室和后一个房室的膜电压。利用这种基本神经元模型可以生成许多神经元, 并在神经元之间建立相互作用, 也就是通过一个神经元突触前末梢对另一个神经元的突触后膜产生电流刺激。

图 12.34 所示的 Simulink 模型就模拟了两个相邻神经元之间的相互作用, 其运行结果如图 12.35 所示。该模型的轴突包含  $\text{Na}^+$ 、 $\text{K}^+$  和  $\text{Ca}^{2+}$  3 种电压门控离子通道和一种漏电流通道, 每个郎飞氏节之间的有髓鞘轴突部分用 4 个被动房室来表示, 整个轴突由 3 个主动房室和 2 个有髓鞘段组成。树突则由 5 个被动房室组成, 而胞体则是一个被动的球形房室。外加刺激施加在第一个神经元的树突末端, 该刺激用一个主动的电极房室来表示。各个轴突房室的大小是一样的, 但与树突房室的大小不同。加在第一个神经元上的输入刺激信号如图 12.36 所示。

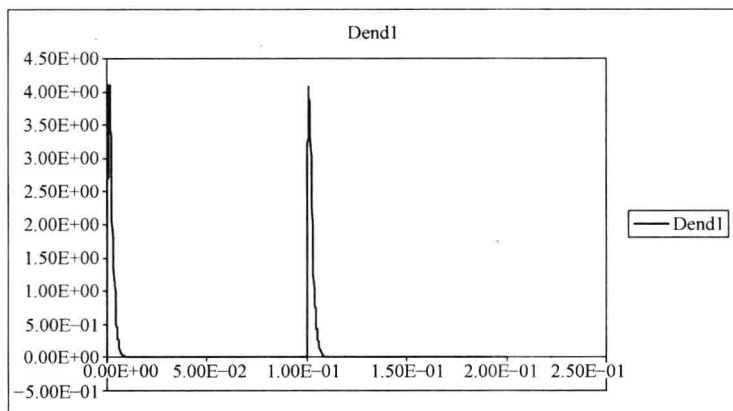


图 12.36 图 12.34 所示模型第一个神经元的刺激输入

## 12.8 化学突触

上一节讲述了膜电位变化所承载的神经信号从树突、胞体和轴突传递到突触末梢的

过程, 本节将介绍突触前神经元末梢及其与相邻突触后神经元树突之间相互作用的过程。两个相邻神经元之间通信的主要活动是突触前末梢神经递质通过扩散转移至突触后末梢, 其中包含电能转化为化学能然后再转回电能的过程。

除了化学突触以外, 另一种连通两个神经元的结构是缝隙连接。通过缝隙连接, 各种离子可以直接从一个神经元流入另一个神经元。这种通信方式在神经元中很少见, 我们在此不做详细介绍。缝隙连接常见于平滑肌纤维之间的信号传递。

现在已经发现的神经递质超过了 40 种, 其中有些是兴奋性的, 另一些则是抑制性的。例如, 乙酰胆碱 (acetylcholine, ACh) 就是一种兴奋性神经递质, 它可以打开突触后膜的钠离子通道, 从而使突触后神经元的树突产生去极化。 $\gamma$ -氨基丁酸 ( $\gamma$ -aminobutyric acid, GABA) 是一种抑制性神经递质, 它可以打开突触后膜的氯离子通道, 继而使突触后神经元的树突发生超极化。

前述图 12.3 显示了一组突触前末梢会聚于同一个突触后神经元的树突上的情况, 突触前末梢与突触后树突之间的空隙称为突触间隙。两个神经元之间相距很小, 为  $200 \sim 500 \text{ \AA}$ 。这种化学突触通信的主要特点是单方向的模拟量, 能够整合所有不同步的输入信号。这种单向方式可以精确地通信, 并且可以控制各个神经元使得信号仅沿一个方向传播。要记住, 缝隙连接就不是单向的信息传递通道, 因为它允许离子双向流动。还要注意, 有一小部分的突触前末梢会聚在神经元的胞体上 (而不是树突上), 它们可以消除树突上传导过来的随距离变化的膜电位变动。

图 12.37 所示是一个突触前末梢 (上) 及其突触后末梢 (下) 的结构。神经递质贮存在突触前结构内大量的突触小泡中, 因此, 足以响应成千上万次动作电位的传导。每个小泡含有约 10000 个神经递质分子。还有线粒体提供 ATP, 为突触小泡补充神经递质。甚至在动作电位发生期间, 当突触前神经元正在向突触间隙释放神经递质时, 也会有神经递质补充进入小泡。

当动作电位传播到突触前末梢时, 它使细胞膜去极化, 并引起一些突触小泡移向细胞膜。小泡一旦贴近细胞膜, 如图 12.38 所示, 就会与细胞膜融合, 这个过程通常不到  $1 \text{ ms}$  就能完成。然后, 融合的小泡打开, 神经递质就被释放到突触间隙之中。神经递质分子的运动不太同步, 只是一种随机的扩散运动。通过扩散它们穿过

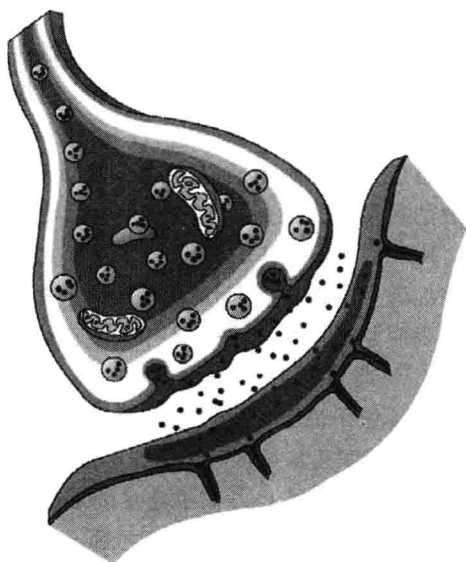


图 12.37 突触前末梢 (上) 和突触后末梢 (下) 之间神经递质穿越的突触间隙

突触间隙, 与突触后神经元细胞膜上的受体相结合, 从而使膜电位产生变化, 要么是兴奋性神经递质引起的去极化, 要么是抑制性神经递质产生的超极化。这个过程通常也是

不到 1ms 就能完成。

注意，会聚在突触后神经元树突上的突触前末梢非常多，有 10000 ~ 200000 个，而且每个神经递质分子都会使突触后膜的电位发生变化，就像例 12.6 所示那样，所有膜电位的变化会叠加起来。注意，由于细胞膜具有电容特性，因此，这些电位变化不需要同步。接着，突触后树突上的膜电位变化会像 12.5 节所述的那样传导至胞体。如果邻近胞体的轴丘上的膜电位超过了阈值，那么，动作电位就会产生，继而无衰减地沿着轴突传递下去，到达轴突末梢后又会重复上述过程。如果轴丘上的膜电位没有超过阈值，那么，膜电位就会重新回到静息状态。

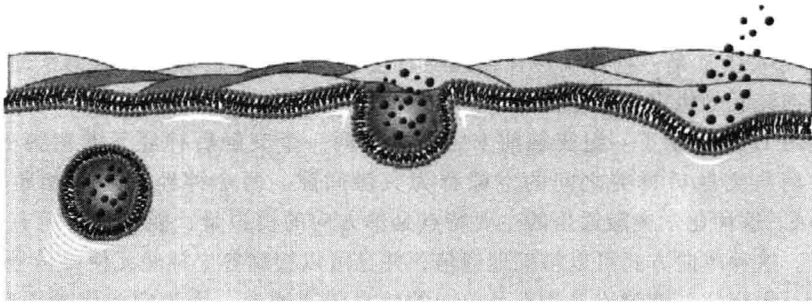


图 12.38 突触小泡在细胞质中移向细胞膜，并与细胞膜融合，然后向突触间隙释放神经递质

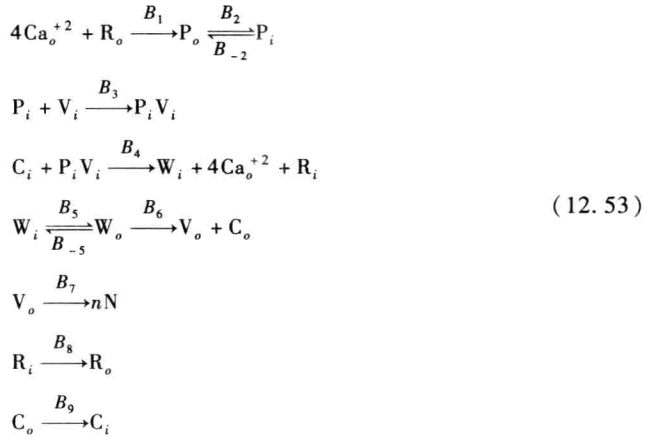
### 12.8.1 钙离子

包含神经递质的突触小泡移向突触前末梢的细胞膜，并向突触间隙释放递质的确切机制还不清楚，但是，可以相信电压门控钙离子通道发挥了作用。静息时，细胞质中的  $\text{Ca}^{2+}$  离子浓度保持极低的水平；当动作电位到达突触前末梢时，细胞质中的  $\text{Ca}^{2+}$  离子浓度迅速升高。细胞质  $\text{Ca}^{2+}$  离子数量看似与动作电位数量成正比，进而使得神经递质释放的数量也是如此，也与动作电位数量成正比。

Keener 和 Sneyd 的著作（见参考文献 [2]）的第 7 章精辟地总结了有关  $\text{Ca}^{2+}$  离子在神经递质释放中所起作用的多种学说。现在有两种阐明膜电位变化不同作用的模型，一种表明膜电位变化直接影响神经递质释放的数量，另一种则认为膜电位变化直接影响胞外  $\text{Ca}^{2+}$  离子进入细胞质的数量。

为了便于说明，假设神经递质小泡的运动模型为本书 8.4.3<sup>①</sup>节所述的载体介导的  $\text{Ca}^{2+}$  离子跨膜运输过程。当动作电位引起突触前末梢去极化时，细胞膜上的电压门控通道被激活，使得胞外  $\text{Ca}^{2+}$  离子连接到结合蛋白 R 上，每个 R 最多可以连接 4 个  $\text{Ca}^{2+}$  离子。等到 4 个  $\text{Ca}^{2+}$  离子都完成连接之后，形成的蛋白 P 就会转向细胞内侧，并与突触小泡 V 相结合。然后，载体 C 再与 PV 相连，形成复合载体 W。这种复合反应在生成 W 的同时，会将 4 个  $\text{Ca}^{2+}$  离子和结合蛋白 R 释放出来。随后复合载体 W 通过开放的电压门控通道转移到细胞膜外侧，在此突触小泡释放出  $n$  份神经递质 N。整个反应过程如下：

① Keener 和 Sneyd 著作的第 7.1.3 节提出了一个包含概率因素的更复杂的模型。——原书注



式中, 下标  $i$  和  $o$  分别表示细胞内侧和外侧。

图 12.39 所示模型描述了  $\text{Ca}^{+2}$  离子与结合蛋白 R 连接的 4 个阶段, 模型的方程组如下:

$$\begin{aligned}
 \dot{q}_{\text{R}_o^{+2}} &= J_{\text{Ca}^{+2}} + K_{10}q_{\text{R}_o^1} + K_{21}q_{\text{R}_o^2} + K_{32}q_{\text{R}_o^3} + K_{43}q_{\text{R}_o^4} \\
 &\quad - K_{01}q_{\text{Ca}_o^{+2}}q_{\text{R}_o^0} - K_{12}q_{\text{Ca}_o^{+2}}q_{\text{R}_o^1} - K_{23}q_{\text{Ca}_o^{+2}}q_{\text{R}_o^2} - K_{34}q_{\text{Ca}_o^{+2}}q_{\text{R}_o^3} \\
 \dot{q}_{\text{R}_o^0} &= B_8q_{\text{R}_i} + K_{10}q_{\text{R}_o^1} - K_{01}q_{\text{Ca}_o^{+2}}q_{\text{R}_o^0} \\
 \dot{q}_{\text{R}_o^1} &= K_{21}q_{\text{R}_o^2} + K_{01}q_{\text{Ca}_o^{+2}}q_{\text{R}_o^0} - K_{10}q_{\text{R}_o^1} - K_{12}q_{\text{Ca}_o^{+2}}q_{\text{R}_o^1} \\
 \dot{q}_{\text{R}_o^2} &= K_{32}q_{\text{R}_o^3} + K_{12}q_{\text{Ca}_o^{+2}}q_{\text{R}_o^1} - K_{21}q_{\text{R}_o^2} - K_{23}q_{\text{Ca}_o^{+2}}q_{\text{R}_o^2} \\
 \dot{q}_{\text{R}_o^3} &= K_{43}q_{\text{R}_o^4} + K_{23}q_{\text{Ca}_o^{+2}}q_{\text{R}_o^2} - K_{32}q_{\text{R}_o^3} - K_{34}q_{\text{Ca}_o^{+2}}q_{\text{R}_o^3} \\
 \dot{q}_{\text{R}_o^4} &= K_{34}q_{\text{Ca}_o^{+2}}q_{\text{R}_o^3} - K_{43}q_{\text{R}_o^4} - B_1q_{\text{R}_o^4}
 \end{aligned} \tag{12.54}$$

式中  $\text{R}_o^i$ ——连接了  $i$  个  $\text{Ca}_o^{+2}$  离子的结合蛋白;

$K_{i,j}$ ——传输速率, 它是膜电位的函数;

$J_{\text{Ca}^{+2}}$ ——流出细胞的  $\text{Ca}^{+2}$  离子流量。

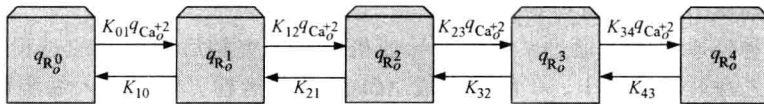


图 12.39 载体介导的钙离子进入突触前末梢的运输过程  
(它启动神经递质向胞外释放的过程)

这里我们假定  $\text{Ca}^{+2}$  离子的数量恒定不变, 其值为  $\gamma = q_{\text{Ca}^{+2}} + q_{\text{Ca}_o^{+2}} - q_{\text{R}_o^0} - q_{\text{R}_o^1} - q_{\text{R}_o^2} - q_{\text{R}_o^3} - q_{\text{R}_o^4}$ 。  $\text{Ca}^{+2}$  流量  $J_{\text{Ca}^{+2}}$  由主动运输泵产生, 在胞外  $\text{Ca}^{+2}$  离子浓度很高的情况下, 它能够保持胞内很低的  $\text{Ca}^{+2}$  浓度。可以想象这种运输泵的工作机制与本书 8.4.4 节所描述的 Na-K 泵相似。在细胞膜处于静息电位时, 泵的传输速率为 0, 随着膜的去极化, 传输速率增加 (Keener 和 Sneyd 用指数函数表示该传输速率)。现在, 可以得到如下方程组:

$$\begin{aligned}
\dot{q}_{P_o} &= B_1 q_{R_o^4} + B_{-2} q_{P_i} - B_2 q_{P_o} \\
\dot{q}_{P_i} &= B_2 q_{P_o} - B_{-2} q_{P_i} - B_3 q_{P_i} q_{V_i} \\
\dot{q}_{V_i} &= J_{V_i} - B_3 q_{P_i} q_{V_i} \\
\dot{q}_{V_o} &= B_6 q_{W_o} - B_7 q_{V_o} \\
\dot{q}_{W_i} &= B_4 q_{C_i} q_{P_i V_i} + B_{-5} q_{W_o} - B_5 q_{W_i} \\
\dot{q}_{W_o} &= B_5 q_{W_i} - B_{-5} q_{W_o} - B_6 q_{W_o} \\
\dot{q}_{C_i} &= B_9 q_{C_o} - B_4 q_{C_i} q_{P_i V_i} \\
\dot{q}_{C_o} &= B_6 q_{W_o} - B_9 q_{C_o} \\
\dot{q}_{N_o} &= n B_7 q_{V_o}
\end{aligned} \tag{12.55}$$

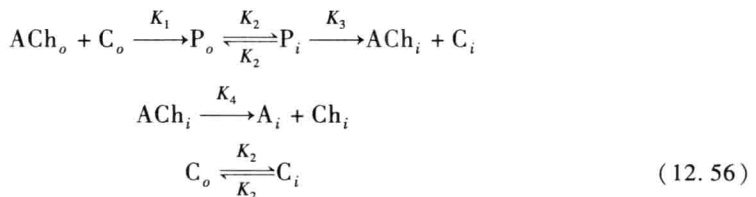
式中  $J_{V_i}$ ——新小泡的生成速率。

要注意,在神经递质释放到细胞膜外时,突触小泡被融合到细胞膜上。但是,过了一段时间之后,它又会脱离细胞膜,重新在细胞质中生成小泡,而且其特性与原来的一样。然后,小泡利用其质膜上的酶蛋白和线粒体提供的 ATP 重新合成神经递质。例如,突触小泡内补充乙酰胆碱 (ACh) 时是利用载体介导的胆碱乙酰转移酶,这种酶将乙酰辅酶与胆碱相结合,此反应与本书 8.4.3 节所述一样。从动作电位到达突触前末梢,直至神经递质释放,整个过程所需时间不到 1ms。

## 12.8.2 突触后神经元

神经递质一旦离开突触前神经元之后,就会扩散并穿过突触间隙,结合到突触后神经元树突的受体上。然后,通过载体介导的传输方式,神经递质就会进入细胞质,进而使得某种离子通道开放。如果神经递质是兴奋性的,  $\text{Na}^+$  离子就会通过打开的通道流入胞内,使细胞膜去极化;如果神经递质是抑制性的,那么,  $\text{Cl}^-$  离子就会通过打开的通道流入胞内,使细胞膜超极化。这个过程所需时间也不到 1ms。由于细胞膜具有电容特性,膜电位变化的保持时间可以长达 15ms,从而使得不同时间上许多突触前末梢释放的所有神经递质引起的效应得到叠加。

例如,神经递质 ACh 通过其载体介导的机制进入突触后神经元的过程如下: ACh 结合到胆碱乙酰转移酶 C 上, C 能够完成 ACh 的跨膜运输,使之进入细胞质。利用前述图 8.21 所示模型,可得



式中 P——底物与载体的复合体;

A——乙酰辅酶 A；

Ch——胆碱。

与前述相同，下标  $i$  和  $o$  分别表示细胞内侧和外侧。假设 A 和 Ch 通过扩散作用从细胞质进入突触间隙，并且，扩散的 ACh 就是式 (12.55) 中的神经递质 N。(现在是 ACh<sub>o</sub>)，那么，描述该系统的方程组如下：

$$\begin{aligned}
 \dot{q}_{ACh_o} &= -K_1 q_{ACh_o} q_{C_o} + nB_7 q_{V_o} \\
 \dot{q}_{C_o} &= -K_1 q_{ACh_o} q_{C_o} + K_2 q_{C_i} - K_2 q_{C_o} \\
 \dot{q}_{P_o} &= K_1 q_{ACh_o} q_{C_o} + K_2 q_{P_i} - K_2 q_{P_o} \\
 \dot{q}_{P_i} &= K_2 q_{P_o} - K_1 q_{P_i} \\
 \dot{q}_{ACh_i} &= K_1 q_{P_i} - K_4 q_{ACh_i} \\
 \dot{q}_{C_i} &= K_1 q_{P_i} + K_2 q_{C_o} - K_2 q_{C_i} \\
 \dot{q}_{A_i} &= K_4 q_{ACh_i} - D_A q_{A_i} \\
 \dot{q}_{Ch_i} &= K_4 q_{ACh_i} - D_{Ch} q_{Ch_i}
 \end{aligned} \quad (12.57)$$

为了体现 ACh<sub>i</sub> 引起的膜电导变化及其对于膜电位的影响，如图 12.40 所示，我们在树突分段的细胞膜等效电路中增加一个通道电阻  $R(ACh_i)$ ，这样，由神经递质产生的刺激电流  $I_s$  就是

$$I_s = \frac{V_m - V_{TH}}{R(ACh_i)} \quad (12.58)$$

式中  $R(ACh_i)$ ——由 ACh<sub>i</sub> 的数量决定的通道阻抗。

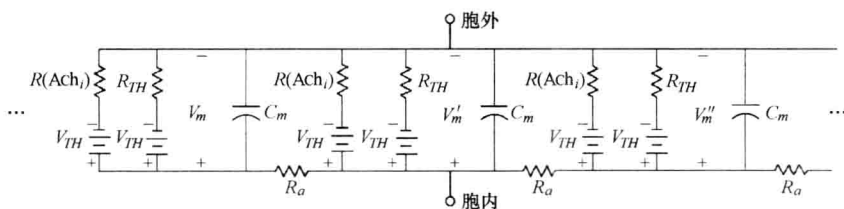


图 12.40 包含神经递质通道的一组树突分段的细胞膜等效电路  
(每个分段之间通过轴内电阻  $R_a$  连接在一起)

根据需要，神经元整体模型的构建可以包含许多树突分支，并且利用图 12.17 所示的树突模型可以写出每个分支的表达式：

$$\begin{aligned}
 \dots + C_m \frac{dV_m}{dt} + \frac{(V_m - V_{TH})}{R(ACh_i)} + \frac{(V_m - V_{TH})}{R_{TH}} + \frac{(V_m - V_m')}{R_a} + \\
 C_m \frac{dV_m'}{dt} + \frac{(V_m' - V_{TH})}{R(ACh_i)} + \frac{(V_m' - V_{TH})}{R_{TH}} + \frac{(V_m' - V_m'')}{R_a} + \dots
 \end{aligned} \quad (12.59)$$

虽然本章关注的是神经元，但是必须注意，很多其他细胞也会产生动作电位，并



参与信号传导或者用于事件的触发，因此，本章所介绍的很多原理也同样适用于那些细胞，只是描述各种动作电位的数学方程有所不同。例如，心脏产生的动作电位就要用 DiFrancesco-Noble、Luo-Rudy 等模型来描述，不能用神经元的 Hodgkin-Huxley 模型。

12.9 习题

1. 假设细胞膜只对  $\text{Ca}^{2+}$  离子通透，(a) 试推导  $\text{Ca}^{2+}$  流量的表达式；(b) 求出  $\text{Ca}^{2+}$  的 Nernst 电位。
2. 假设细胞膜对  $\text{Ca}^{2+}$  离子和  $\text{Cl}^-$  离子都通透，但对较大的阳离子  $\text{R}^+$  不通透。并且胞内浓度为  $[\text{RCl}] = 100\text{mmol/L}$ ， $[\text{CaCl}_2] = 200\text{mmol/L}$ ；胞外浓度为  $[\text{CaCl}_2] = 300\text{mmol/L}$ 。(a) 试推导该系统的 Donnan 平衡方程；(b) 求出  $\text{Ca}^{2+}$  离子的稳态平衡浓度。
3. 假设细胞膜对  $\text{Ca}^{2+}$  离子和  $\text{Cl}^-$  离子都通透，并且细胞内外溶液中都只包含这两种离子，初始时胞内浓度与胞外浓度不同。(a) 请写出  $\text{Ca}^{2+}$  离子流量  $J_{\text{Ca}}$  和  $\text{Cl}^-$  离子流量  $J_{\text{Cl}}$  的方程；(b) 试写出描述  $J_{\text{Ca}}$  与  $J_{\text{Cl}}$  之间关系的表达式；(c) 求稳态电位；(d) 求达到稳态之前跨膜电压与  $\text{CaCl}_2$  浓度之间的关系式。
4. 假设细胞膜只对  $\text{R}^{3+}$  离子通透，且胞内浓度为  $[\text{RCl}_3] = 2\text{mmol/L}$ ，胞外浓度为  $[\text{RCl}_3] = 1.4\text{mmol/L}$ 。(a) 试写出  $\text{R}^{3+}$  离子流量的表达式；(b) 推导稳态时  $\text{R}^{3+}$  离子的 Nernst 电位。
5. 试推导只对  $\text{Na}^+$ 、 $\text{K}^+$  和  $\text{Cl}^-$  离子通透的细胞膜的 Goldman 方程。
6. 试计算室温下蛙骨骼肌细胞的膜电压  $V_m$ 。
7. 以下是血红细胞膜内外的稳态离子浓度及其通透性，(a) 试计算每种离子的 Nernst 电位；(b) 应用 Goldman 方程计算静息电位。

离子	胞内浓度/(mmol/L)	胞外浓度/(mmol/L)	相对通透率
$\text{K}^+$	140	4	1.0
$\text{Na}^+$	11	145	0.54
$\text{Cl}^-$	80	116	0.21

8. 假设骨骼肌细胞膜内外的稳态离子浓度和通透性如下。(a) 试计算每种离子的 Nernst 电位；(b) 应用 Goldman 方程计算静息电位。

离子	胞内浓度/(mmol/L)	胞外浓度/(mmol/L)	相对通透率
$\text{K}^+$	150	5	0.1
$\text{Na}^+$	12	145	0.001
$\text{Cl}^-$	4	116	1.0

9. 假设稳态时细胞膜内外的离子浓度和通透性如下。(a) 试计算  $\text{K}^+$  的 Nernst 电位；(b) 用 Goldman 方程计算静息电位；(c) 请解释空间电荷平衡原则是否满足；(d) 请解释稳态膜电位为什么不等于 0。

离子	胞内浓度/(mmol/L)	胞外浓度/(mmol/L)	相对通透率
$K^+$	140	2.5	1.0
$Na^+$	13	110	0.019
$Cl^-$	3	90	0.381

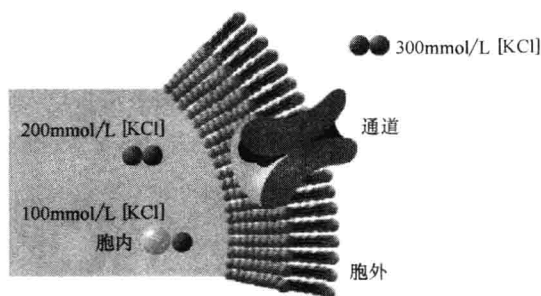
10. 假设细胞膜内外的离子浓度和通透性如下, 并且室温下膜静息电位为  $-52\text{mV}$ , 试计算胞内  $K^+$  离子浓度。

离子	胞内浓度/(mmol/L)	胞外浓度/(mmol/L)	相对通透率
$K^+$		4	
$Na^+$	41	276	0.017
$Cl^-$	52	340	0.412

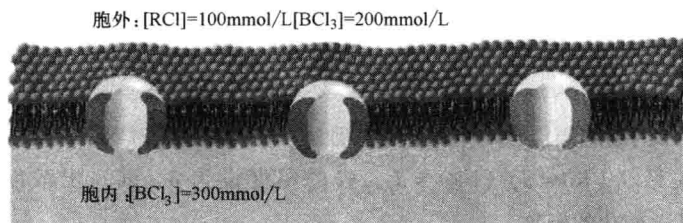
11. 假设稳态时细胞膜内外的离子浓度和通透性如下 (注意  $A^+$  不通透)。(a) 试计算  $Cl^-$  的 Nernst 电位; (b) 用 Goldman 方程计算静息电位; (c) 请解释空间电荷平衡原则是否满足; (d) 请解释稳态膜电位为什么不等于 0; (e) 请解释为什么静息电位不等于任何一种离子的 Nernst 电位。

离子	胞内浓度/(mmol/L)	胞外浓度/(mmol/L)	相对通透率
$K^+$	136	15	1.0
$Na^+$	19	155	0.019
$Cl^-$	78	112	0.381
$A^+$	64	12	—

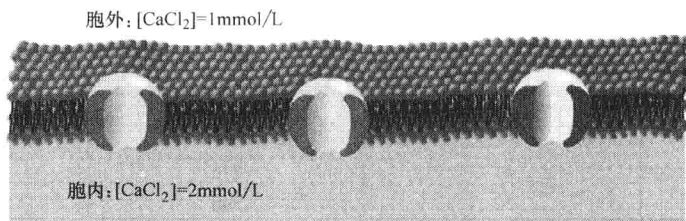
12. 假设细胞膜对于  $K^+$  和  $Cl^-$  离子通透, 但是对于阳离子  $R^+$  不通透。请计算如下初始条件下的各个稳态平衡离子浓度。



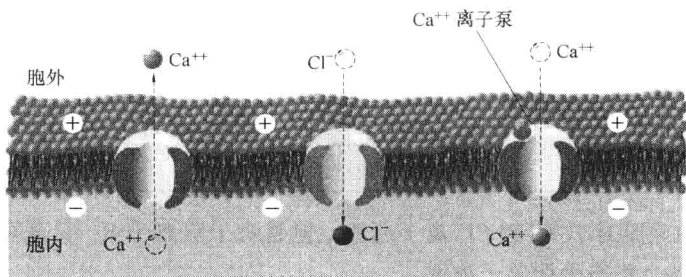
13. 假设细胞膜对于  $B^{3+}$  和  $Cl^-$  离子通透, 但是对较大的阳离子  $R^+$  不通透, 细胞膜内外的初始浓度如下图所示。(a) 试推导 Donnan 平衡方程; (b) 计算  $B^{3+}$  的稳态平衡浓度。



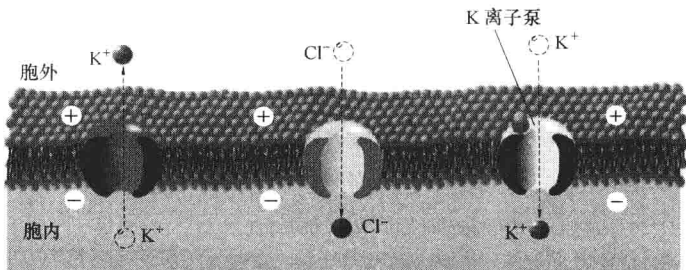
14. 下图所示的细胞膜对  $\text{Ca}^{2+}$  和  $\text{Cl}^-$  离子通透。(a) 试写出  $\text{Ca}^{2+}$  流量  $J_{\text{Ca}}$  和  $\text{Cl}^-$  流量  $J_{\text{Cl}}$  的表达式; (b) 试写出描述  $J_{\text{Ca}}$  与  $J_{\text{Cl}}$  之间关系的表达式; (c) 求稳态电位; (d) 求达到稳态之前跨膜电压与  $\text{CaCl}_2$  浓度之间的关系式。



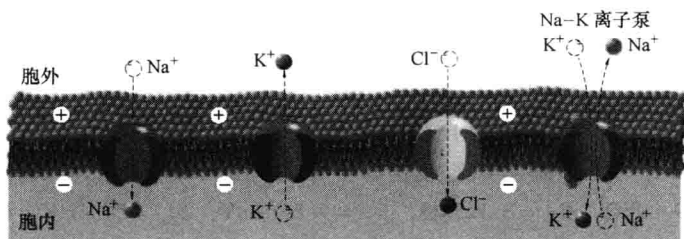
15. 下图所示细胞膜含有主动  $\text{Ca}^{2+}$  离子泵。假设细胞膜对  $\text{Ca}^{2+}$  和  $\text{Cl}^-$  都通透, 并且  $\text{Ca}^{2+}$  泵的流量为  $J_p$ , 膜的厚度设为  $\delta$ 。试写出  $\text{Ca}^{2+}$  泵流量随  $\text{Ca}^{2+}$  浓度变化的函数。



16. 下图所示细胞膜对  $\text{K}^+$  和  $\text{Cl}^-$  离子通透, 并且主动离子泵将  $\text{K}^+$  从胞外泵入胞内, 膜的厚度设为  $\delta$ 。(a) 写出各离子流量的表达式; (b) 计算稳态时的离子流量; (c) 写出离子泵流量随浓度差 ( $[\text{K}^+]_i - [\text{K}^+]_o$ ) 变化的函数; (d) 定性描述细胞膜两侧的离子浓度。



17. 下图所示的细胞膜包含2种离子的主动泵。假设细胞膜对  $\text{Na}^+$ 、 $\text{K}^+$  和  $\text{Cl}^-$  离子通透, 并且存在流量关系  $J_p(\text{K}) = J_p(\text{Na}) = J_p$ , 膜的厚度设为  $\delta$ 。试写出浓度差 ( $[\text{Cl}^-]_i - [\text{Cl}^-]_o$ ) 随流量  $J_p$  变化的函数。



18. 假设稳态时细胞膜内外的离子浓度和渗透性如下（注意  $A^+$  不通透），并且各离子通道的电阻为  $R_K = 1.7\text{k}\Omega$ ,  $R_{Na} = 9.09\text{k}\Omega$ ,  $R_{Cl} = 3.125\text{k}\Omega$ 。(a) 试计算各种离子的 Nernst 电位；(b) 画出该细胞膜的电路模型（提示：参见图 12.13）；(c) 利用 (b) 中所建立的电路模型计算膜静息电位；(d) 求 (b) 中所建电路的戴维南等效电路。

离子	胞内浓度/(mmol/L)	胞外浓度/(mmol/L)	相对通透率
$K^+$	168	6	1.0
$Na^+$	50	337	0.019
$Cl^-$	41	340	0.381
$A^+$	64	12	—

19. 假设图 12.13 所示细胞膜的参数为  $R_K = 0.1\text{k}\Omega$ ,  $R_{Na} = 2\text{k}\Omega$ ,  $R_{Cl} = 0.25\text{k}\Omega$ ,  $E_K = -74\text{mV}$ ,  $E_{Na} = 55\text{mV}$ ,  $E_{Cl} = -68\text{mV}$ 。(a) 请计算膜电压  $V_m$ ；(b) 求出该电路模型的戴维南等效电路。

20. 如图 12.14 所示，假设细胞膜含有一种主动 Na-K 离子泵，且膜的参数为  $R_K = 0.1\text{k}\Omega$ ,  $R_{Na} = 2\text{k}\Omega$ ,  $R_{Cl} = 0.25\text{k}\Omega$ ,  $E_K = -74\text{mV}$ ,  $E_{Na} = 55\text{mV}$ ,  $E_{Cl} = -68\text{mV}$ 。请计算主动离子泵的电流  $I_{Na}$  和  $I_K$ 。

21. 假设稳态时细胞膜内外的离子浓度和渗透性如下（注意  $A^+$  不通透）。(a) 如果  $R_K = 1.7\text{k}\Omega$  且  $R_{Cl} = 3.125\text{k}\Omega$ ，请计算  $R_{Na}$ ；(b) 求戴维南等效电路模型。

离子	胞内浓度/(mmol/L)	胞外浓度/(mmol/L)	相对通透率
$K^+$	140	2.5	1.0
$Na^+$	13	110	0.019
$Cl^-$	3	90	0.381
$A^+$	64	12	—

22. 如图 12.15 所示，假设细胞膜含有一种主动 Na-K 离子泵，且膜的参数为  $R_K = 0.1\text{k}\Omega$ ,  $R_{Na} = 2\text{k}\Omega$ ,  $R_{Cl} = 0.25\text{k}\Omega$ ,  $E_K = -74\text{mV}$ ,  $E_{Na} = 55\text{mV}$ ,  $E_{Cl} = -68\text{mV}$ ,  $C_m = 1\mu\text{F}$ 。如果施加一个幅值为  $10\mu\text{A}$ 、宽度为  $6\text{ms}$  的脉冲刺激电流，(a) 请计算膜电压  $V_m$ ；(b) 计算膜电容电流；(c) 如果刺激电流的脉冲宽度从  $6\text{ms}$  减到  $1\text{ms}$ ，计算要使膜电压  $V_m$  升至  $-40\text{mV}$  所需的脉冲电流幅值；(d) 如果阈值电压为  $-40\text{mV}$ ，施加的刺激是 (c) 中所求得的脉冲电流，请解释是否会产生动作电位。

23. 如图 12.15 所示, 假设细胞膜含有一种主动 Na-K 离子泵, 且膜的参数为  $R_K = 2.727\text{k}\Omega$ ,  $R_{Na} = 94.34\text{k}\Omega$ ,  $R_{Cl} = 3.33\text{k}\Omega$ ,  $E_K = -72\text{mV}$ ,  $E_{Na} = 55\text{mV}$ ,  $E_{Cl} = -49.5\text{mV}$ ,  $C_m = 1\mu\text{F}$ 。如果施加一个幅值为  $13\mu\text{A}$ 、宽度为  $6\text{ms}$  的脉冲刺激电流, 请计算 (a) 膜电压  $V_m$ ; (b)  $K^+$  离子电流  $I_K$  和 (c) 膜电容电流。

24. 如图 12.15 所示, 假设细胞膜含有一种主动 Na-K 离子泵, 且膜的参数为  $R_K = 1.75\text{k}\Omega$ ,  $R_{Na} = 9.09\text{k}\Omega$ ,  $R_{Cl} = 3.125\text{k}\Omega$ ,  $E_K = -85.9\text{mV}$ ,  $E_{Na} = 54.6\text{mV}$ ,  $E_{Cl} = -9.4\text{mV}$ ,  $C_m = 1\mu\text{F}$ 。(a) 试计算膜的静息膜电位; (b) 如果施加较小的阈下电流脉冲刺激, 试求解膜电压  $V_m$  的变化。

25. 如图 12.15 所示, 假设细胞膜含有一种主动 Na-K 离子泵, 且膜的参数为  $R_K = 2.727\text{k}\Omega$ ,  $R_{Na} = 94.34\text{k}\Omega$ ,  $R_{Cl} = 3.33\text{k}\Omega$ ,  $E_K = -72\text{mV}$ ,  $E_{Na} = 55\text{mV}$ ,  $E_{Cl} = -49.5\text{mV}$ ,  $C_m = 1\mu\text{F}$ 。请设计一种刺激电流脉冲, 可以在  $3\text{ms}$  内驱使膜电压  $V_m$  达到阈值。假设阈值电压为  $-40\text{mV}$ 。(a) 求电流脉冲的幅值和宽度; (b) 求  $V_m$  并做图显示。

26. 假设有  $20\mu\text{A}$  的电流脉冲流过枪乌贼巨轴突的细胞膜, 且轴突的 Hodgkin-Huxley 参数为  $G_l = \frac{1}{R_l} = 0.3 \times 10^{-3}\text{S}$ ,  $\bar{G}_K = 36 \times 10^{-3}\text{S}$ ,  $\bar{G}_{Na} = 120 \times 10^{-3}\text{S}$ ,  $E_K = -72 \times 10^{-3}\text{V}$ ,  $E_l = -49.4 \times 10^{-3}\text{V}$ ,  $E_{Na} = 55 \times 10^{-3}\text{V}$ ,  $C_m = 1 \times 10^{-6}\text{F}$ , 请仿真所产生的动作电位, 并做出 (a)  $V_m$ 、 $G_{Na}$  和  $G_K$  随时间变化的曲线; (b)  $V_m$ 、 $n$ 、 $m$  和  $h$  随时间变化的曲线; (c)  $V_m$ 、 $I_{Na}$ 、 $I_K$ 、 $I_C$  和  $I_l$  随时间变化的曲线。

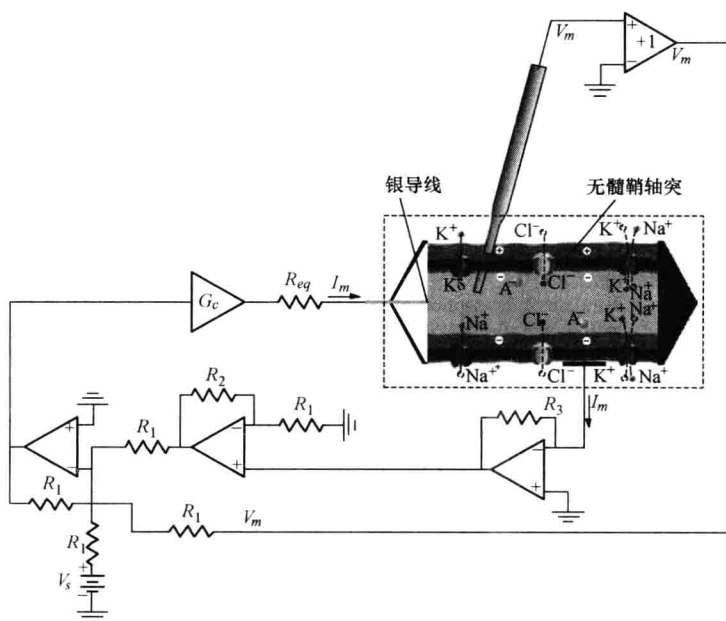
27. 假设有  $20\mu\text{A}$  的电流脉冲流过轴突细胞膜, 轴突的参数为  $G_l = \frac{1}{R_l} = 0.3 \times 10^{-3}\text{S}$ ,  $\bar{G}_K = 36 \times 10^{-3}\text{S}$ ,  $E_K = -12 \times 10^{-3}\text{V}$ ,  $E_l = 10.6 \times 10^{-3}\text{V}$ ,  $E_{Na} = 115 \times 10^{-3}\text{V}$ ,  $C_m = 1 \times 10^{-6}\text{F}$ 。假设用式 (12.41) ~ 式 (12.48) 描述轴突, 请仿真所产生的动作电位, 并做出 (a)  $V_m$ 、 $G_{Na}$  和  $G_K$  随时间变化的曲线; (b)  $V_m$ 、 $n$ 、 $m$  和  $h$  随时间变化的曲线; (c)  $V_m$ 、 $I_{Na}$ 、 $I_K$ 、 $I_C$  和  $I_l$  随时间变化的曲线。

28. 本习题用于考察枪乌贼巨轴突中阈值电位对于动作电位的影响。轴突的 Hodgkin-Huxley 参数为  $G_l = \frac{1}{R_l} = 0.3 \times 10^{-3}\text{S}$ ,  $\bar{G}_K = 36 \times 10^{-3}\text{S}$ ,  $\bar{G}_{Na} = 120 \times 10^{-3}\text{S}$ ,  $E_K = -72 \times 10^{-3}\text{V}$ ,  $E_l = -49.4 \times 10^{-3}\text{V}$ ,  $E_{Na} = 55 \times 10^{-3}\text{V}$ ,  $C_m = 1 \times 10^{-6}\text{F}$ 。(a) 假设给枪乌贼巨轴突细胞膜施加一个幅值为  $-10\mu\text{A}$  且持续时间很长的电流脉冲, 使细胞膜超极化; 然后, 在  $t=0$  时刻, 将电流脉冲撤除。请仿真由此产生的动作电位。(b) 阈值电位被定义为  $I_{Na} > I_K + I_l$  时的电位, 将  $\alpha_m$  方程中的数值 25 减小就可以方便地改变阈值电位。假设  $\alpha_m$  方程中的 25 变为 10, 并且用幅值为  $-10\mu\text{A}$  的长时间电流脉冲使细胞膜超极化, 并在  $t=0$  时刻撤除该电流脉冲。请仿真由此产生的动作电位。

29. 请仿真计算图 12.26 所示电压钳实验的曲线。

30. 请设计一种输入刺激电流的波形, 用于研究动作电位的不应期。(提示: 用双脉冲电流刺激信号。)最小的不应期有多长? 如果在最小不应期结束之前施加了第二个刺激脉冲, 那么, 刺激幅值要多大才能够诱发出动作电位?

31. 请解释下图所示的电路是否能够完成电压钳实验。图示的无髓鞘轴突两端都被封住，且轴突中插入了一根银导线用于消除胞内电阻  $R_i$ 。要求说明你所作的任何假设。



## 参考文献

- [1] T.D. Coates, Neural Interfacing: Forging the Human-Machine Connection, Morgan & Claypool Publishers, LaPorte, Colorado, 2008.
- [2] J. Keener, J. Sneyd, Mathematical Physiology, Springer, New York, 1998.
- [3] F. Rodriguez Campos, J.D. Enderle, Porting Genesis to SIMULINK, in: Proceedings of the 30th IEEE EMBS Annual International Conference, September 2-5, 2004.
- [4] J.C. Sanchez, J.C. Principe, Brain-Machine Interface Engineering, Morgan & Claypool Publishers, LaPorte, Colorado, 2007.

## 推荐阅读资料

- A.T. Bahill, Bioengineering: Biomedical, Medical and Clinical Engineering, Prentice-Hall, Inc., Englewood Cliffs, NJ, 1981.
- J.D. Bronzino, The Biomedical Engineering Handbook, CRC Press, Inc., Boca Raton, FL, 2000.
- J.M. Bower, D. Beeman, The Book of Genesis: Exploring Realistic Neural Models with the General Neural Simulation System, Springer-Verlag, New York, 1998.
- S. Deutsch, A. Deutsch, Understanding the Nervous System—An Engineering Perspective, IEEE Press, New York, 1993.
- D. DiFrancesco, D. Noble, A model of cardiac electrical activity incorporating ionic pumps and concentration changes, Philos. Trans. R. Soc. Lond. B Biol. Sci. 307 (1985) 307-353.

- J.D. Enderle, Neural Control of Saccades, in: J. Hyönä, D. Munoz, W. Heide, R. Radach (Eds.), *The Brain's Eyes: Neurobiological and Clinical Aspects to Oculomotor Research*, Progress in Brain Research, vol. 140, Elsevier, Amsterdam, 2002, pp. 21–50.
- J.F. Fulton, H. Cushing, A bibliographical study of the Galvani and Aldini writings on animal electricity, *Ann. Sci.* 1 (1936) 239–268.
- A.C. Guyton, J.E. Hall, *Textbook on Medical Physiology*, ninth ed., W.B. Saunders Co., Philadelphia, 1995.
- B. Hille, *Ionic Channels of Excitable Membranes*, second ed., Sunderland, Massachusetts, 1992.
- A. Hodgkin, A. Huxley, B. Katz, Measurement of current-voltage relations in the membrane of the giant axon of Loligo, *J. Physiol. (London)* 116 (1952) 424–448.
- A. Hodgkin, A. Huxley, Currents carried by sodium and potassium ions through the membrane of the giant axon of Loligo, *J. Physiol. (London)* 116 (1952) 449–472.
- A. Hodgkin, A. Huxley, The components of membrane conductance in the giant axon of Loligo, *J. Physiol. (London)* 116 (1952) 473–496.
- A. Hodgkin, A. Huxley, The dual effect of membrane potential on sodium conductance in the giant axon of Loligo, *J. Physiol. (London)* 116 (1952) 497–506.
- A. Hodgkin, A. Huxley, A quantitative description of membrane current and its application to conduction and excitation in nerve, *J. Physiol. (London)* 117 (1952) 500–544.
- E.R. Kandel, J.H. Schwartz, T.M. Jessell, *Principles of Neural Science*, fifth ed., McGraw-Hill, New York, 2000.
- C. Koch, I. Segev, *Methods in Neuronal Modeling, From Ions to Networks*, MIT Press, Cambridge, Massachusetts, 1998.
- C. Luo, Y. Rudy, A dynamic model of the cardiac ventricular action potential: I. Simulations of ionic currents and concentration changes, *Circ. Res.* 74 (1994) 1071.
- G.G. Matthews, *Cellular Physiology of Nerve and Muscle*, Blackwell Scientific Publications, Boston, 1991.
- W. Nernst, Die elektromotorische Wirksamkeit der Ionen, *Z. Physik. Chem.* 4 (1889) 129–188.
- R. Plonsey, R.C. Barr, *Bioelectricity: A Quantitative Approach*, Plenum Press, New York, 1982.
- R. Northrop, *Introduction to Dynamic Modeling of Neurosensory Systems*, CRC Press, Boca Raton, 2001.
- J. Rinzel, Electrical excitability of cells, theory and experiment: Review of the Hodgkin-Huxley foundation and an update, in: M. Mangel (Ed.), *Bull. Math. Biology: Classics of Theoretical Biology*, vol. 52, 1990, , pp. 5–23.
- J.V. Tranquillo, *Quantitative Neurophysiology*, Morgan & Claypool Publishers, LaPorte, Colorado, 2008.

# 第 13 章 生理系统仿真建模

John Enderle 博士

## 本章目录

- 13.1 绪论
- 13.2 快速眼动系统概述
- 13.3 Westheimer 扫视眼动模型
- 13.4 扫视控制器
- 13.5 动眼肌模型的建立
- 13.6 1984 年建立的交感神经支配的线性扫视眼动模型
- 13.7 1995 年建立的线性扫视眼动模型
- 13.8 2009 年建立的线性扫视眼动模型
- 13.9 扫视的神经通路
- 13.10 系统辨识
- 13.11 习题
- 参考文献

## 本章的主要学习内容：

- 生理系统数学模型的建立过程；
- 人眼扫视活动的定性分析；
- 扫视眼动系统的二阶模型；
- 扫视眼动系统的脉冲—阶跃输入控制信号；
- 应用非线性和线性肌肉模型分析眼肌的作用机制；
- 扫视眼动系统的四阶仿真模型；
- 应用系统辨识方法估计模型参数。

## 13.1 绪论

定量的生理学模型就是仿真实际生理系统行为和特性的数学方程。生物学家一般不用数学方程，他们习惯于定性描述实际的生理系统。但是，本章将介绍的定量生理学模型要比定性描述更有用。生理系统几乎都是动态变化的系统，在数学上要用微分方程来描述；并且，本章所述的建模方法与生理学、生物物理学和生物化学等许多其他学科密切相关，并利用电学和力学模型来模拟生理过程。数学模型通常根据基本物理定律建



立，本章将介绍几种较复杂的、较大规模的生理系统模型。

建立模型之前总是要做实验，并采集数据。实验最好能够提供与模型中所使用变量相关的数据，因此，实验的设计和完成是建模过程中最重要且最耗时的工作。根据基本物理定律建立好模型之后，它就成为一种工具，可用于解释实验数据所隐含的机制，并且预测实验没能采集到的数据，预测不同输入刺激条件下系统可能产生的响应。模型是分析和整理复杂的实验数据并验证假说的工具，建立模型最重要的目标是形成新知识，预测尚未发生的现象，并辅助新实验的设计。

图 13.1 说明了建立模型的基本步骤。

首先考察实验现象，给出生理系统的定性描述和推测，并用数学方程建立一个初步的假设模型。然后，用采集的实验数据测试模型的可靠性。如果模型的输出与实验数据吻合得很好，测试结果令人满意，那么，这个数学模型就完成了。但是，如果模型没有达到预期的目标，那么，就需要补充实验数据，再修正模型。模型中的变量并不都是可以通过实验测得的，有些变量可以测量，而另一些变量却不能测量。新补充的实验可以进一步提供某些变量的信息，加深我们对于生理系统的了解，以便对模型进行改进。这样，利用实验数据反复测试模型，直到令人满意为止。通常要用统计学方法检验模型与实验数据之间的吻合程度，好的模型必须能够正确预测生理系统的反应。

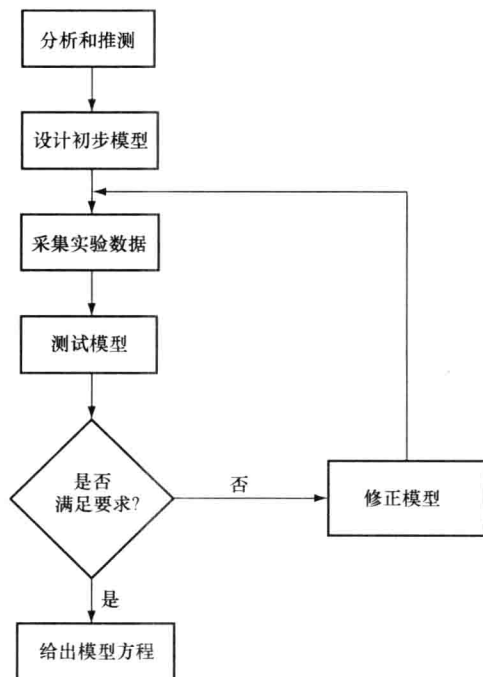


图 13.1 建立数学模型的流程图

数字计算机、程序设计语言和各种仿真软件的出现使生理模型的应用迅速发展。以前，没有计算机的时候，生物医学系统的数学模型要么过于简单，要么像 Hodgkin 和 Huxley 在 1952 年发表的论文中所述的那样，手工计算的工作量非常大。如今，计算机已相当普及，以至于“建模”和“计算机仿真”几乎成了同义词。使得所建立的模型可以尽可能多地包含有关生理系统结构及其内部相互联系的信息，更接近真实系统，无需顾及计算量的问题。例如，神经网络模型和肌细胞横桥模型都包含成千上万个微分方程，这种情况已很常见。

### 13.1.1 确定性模型和随机性模型

确定性模型的自变量之间，以及自变量与因变量之间具有明确的关系。对于同样一组给定的初始条件，这种模型每次运行都会产生完全相同的结果。而随机模型包含时间等因素变化的随机变量。对于同样一组给定的初始条件，这种模型每次运行产生的结

果有所不同。可以肯定, 实际模型中随机模型远比确定性模型多得多。

注意, 所有确定性模型都含有测量误差, 测量误差给确定性模型带来了随机因素, 于是, 这种模型也可以看做具有随机性。不过, 本章将主要特性为确定性因素的模型都看做确定性模型, 而将主要特性是随机因素的模型看做随机性模型。下面主要介绍确定性模型。

### 13.1.2 模型的求解方法

模型一般有解析解和数值解两种求解方法。求模型的解析解时, 可以用传统的拉普拉斯变换等解析求解微分方程的方法。例如, 给定如下微分方程

$$\ddot{x} + 4\dot{x} + 3x = 9$$

设初始条件为  $x(0) = 0$ ,  $\dot{x}(0) = 1$ , 则方程的解为

$$x(t) = -4e^{-t} + e^{-3t} + 3$$

对于没有解析解的模型, 可以求其数值解, 也就是仿真解。例如, 以下方程就是如此:

$$x = \int_{-20}^{20} \frac{1}{33\sqrt{2\pi}} e^{-\frac{1}{2}\left(\frac{t-7}{33}\right)^2} dt$$

该方程是求高斯曲线下所包含的面积, 它没有解析解; 因此, 必须用梯形求积公式等近似算法来求解。非线性微分方程一般都没有解析解, 都要用迭代法或者 Simulink 等仿真软件包来求解, 前面第 12 章所介绍的 Hodgkin-Huxley 模型就是这样求解的。

#### 逆问题的求解

许多工程领域中, 一般都根据事先预定的技术指标来设计和制造各种工程系统。由于数学模型既经济又有效, 因此, 工程师们经常先建立可以模拟系统的完整数学模型, 来预测系统的行为和特性。所建的模型包含许多参数, 通过选择各种不同的参数值, 可以获得一组特定的技术指标, 如上升时间、建立时间和峰值时间等。

不过, 生物医学工程师建立生理系统的数学模型时, 并不是为了制造生理系统, 而只是为了研究系统的行为, 也就是系统的输入和输出。如图 13.1 所示, 建立模型的步骤包括: 分析和推测模型的结构形式, 收集实验数据, 再利用实验数据估计模型的各个参数。生理系统建模的目标并不是要设计该系统, 而是要识别系统的组成部分 (即各个参数)。很多时候, 建模所需的数据并不能用本书第 9 ~ 11 章所介绍的现有的生物仪器、传感器和信号处理方法来测量。一般, 需要经过某种转换, 才能将测量到的数据转变为模型所需变量的估计值。采集合适的实验数据往往是生理系统建模中最困难的工作。

建立模型一般需要估计模型的参数, 使得模型的输出 (即预测值)  $\hat{x}_i$  与实际实验数据  $x_i$  之间的误差为最小。模型参数估计的一种衡量指标就是求模型预测值与实验数据之间的误差平方和  $S$ , 并使其最小化, 即

$$S = \sum_{i=1}^n \varepsilon_i^2 = \sum_{i=1}^n (x_i - \hat{x}_i)^2$$

式中  $\varepsilon_i$ ——模型预测值  $\hat{x}_i$  与实验测量数据  $x_i$  之间的误差。

该方法获得的模型预测值是对测量数据的一种无偏估计。

为了学习图 13.1 所示的建模仿真过程, 本章主要介绍快速眼动这个特殊系统的建模。有关该系统的早期建模工作可以追溯到 20 世纪 20 年代的眼肌模型, 发展至今已经建立了控制快速眼动系统的神经网络模型。眼动系统可能是人体上研究得最清楚的系统之一。其建模成功的主要原因有: 实验数据比较容易获取; 比其他生理系统简单; 系统动态变化过程中不存在反馈机制。本章首先定性描述快速眼动系统的结构; 介绍 Westheimer 于 1954 年发表的首个模型, 它是一个二阶模型; 再介绍 Robinson 于 1964 年发表的模型, 他开创地描述了模型的输入信号。接着, 基于正确的物理学认识, 介绍 Levin 和 Wyman (1927 年) 以及 Fenn 和 Marsh (1935 年) 早期建立的详细的眼肌模型。这些模型在开发逼近实际眼动系统的模型中发挥了重要作用。利用更精确的眼肌模型, 通过考察 Bahill 等人的模型和 Enderle 等人提出的多个模型, 再修正快速眼动模型。然后, 根据基础生理学、系统控制论和基于神经解剖通路的神经网络结构, 介绍眼动系统的控制机制。最后, 本章讲述系统辨识和参数估计。有关快速眼动系统的文献有很多, 本章没有全面介绍, 仅讲述其中有代表性的例子。而且, 本章不讲述人的视觉信息采集和处理过程以及人体对于视觉信息的反应。

## 13.2 快速眼动系统概述

视觉系统是人类最重要的感觉系统, 它通过眼球的感受器捕捉周围环境的图像, 并传输至中枢神经系统 (Central Nervous System, CNS)。眼动系统负责双眼的运动, 以保持所见图像的清晰性。眼动系统还响应来自听觉和前庭的刺激信号。快速眼动常称为扫视或者眼跳, 是指视线快速从视野内一个注视点跳动到下一个注视点时眼球的运动。这种眼球运动发生的频率很高, 阅读时尤其多。当眼睛看到一行末尾时, 就会快速移到下一行的起点。扫视还用于定位和捕捉目标。与扫视不同, 眼球的平稳追踪运动是一种慢动, 它能够使眼睛盯住运动的物体。除了这两种运动以外, 眼球的运动还包括前庭眼动反射、视动反射以及异向运动。在头部转动时, 前庭眼动反射可以将视线保持在目标上。当视线扫过充满目标的环境时, 或者在头部持续转动的过程中, 仍然要保持目标影像落在中央凹的范围内, 这时眼球就会产生视动反射。视动反射是扫视与慢动的结合。其中, 除了异向运动之外, 其他 4 种眼球运动都是共轭运动 (conjugate movement), 也就是, 两个眼球一起运动, 方向和距离都一样, 由同一个神经信号控制。而异向运动是使眼睛盯住目标的一种非共轭眼球运动, 当目标移近时, 两眼视轴就会聚起来; 反之, 当目标远离时, 则两眼视轴就发散。两眼的运动由不同的神经信号控制, 但最终都通过相同的途径作用于眼部肌肉。

眼球可以在眼眶内产生垂直、水平和旋转 3 个方向的运动, 这些运动分别由 3 对主动肌一拮抗肌完成。主动肌和拮抗肌的作用相反, 遵循交感神经支配原理。图 13.2 所示是眼睛、视神经和眼球。我们将 3 对眼肌和眼球合称为眼动系统, 它由神经系统控制。

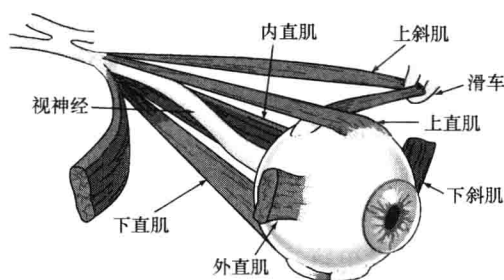


图 13.2 右眼的肌肉和视神经（左眼与其类似，只是内直肌和外直肌的位置相反）

注：其中，内直肌和外直肌一起控制眼球的水平方向转动；上直肌和下直肌控制眼球的垂直方向运动；上斜肌和下斜肌则控制眼球的旋转。每块肌肉作用力的大小由眼球所处的位置决定。眼睛平直注视正前方的位置称为第一眼位，此时各块肌肉在神经刺激下处于紧张状态。

如图 13.3 所示，眼球后面是视网膜。无论输入情况如何，眼动系统的主要任务就是通过眼球的运动使图像聚焦到视网膜中间角度约为  $0.5^\circ$  的区域，此区域称为中央凹。视网膜内排列的感光细胞可以将呈现在视网膜上的图像转化为神经脉冲信号，这些脉冲信号再沿着视神经传向大脑的中枢神经系统，经过视觉的并行通路，到达上丘脑和大脑皮层。与其周边视网膜相比，中央凹分布的感光细胞密度较高，因此，中央凹区域具有较高的分辨率，即较高的视敏度。中央凹的作用是看清楚目标物体，而视网膜周边区域的作用则是探测新目标。一旦周边区域探测到了新目标，眼动系统就会将眼球重新定位到新目标上。

人体上研究得最成功的系统之一就是眼动系统，其原因有：获取数据比较容易，系统比较简单，系统动态变化时不存在反馈控制。扫视是快速的眼睛运动，眼睛飞快地从一个目标跳动到另一个目标。扫视这个词来自法语，原意是急速勒马。

眼肌是人体上能够产生最快速运动的肌肉， $10^\circ$  的扫视仅需要 50ms 时间就能完成。扫视系统可以看做一种打靶式的目标锁定系统，它只是关注从一个目标到下一个目标的眼睛运动的准确性和速度，而不关注眼睛运动过程中视网膜上扫过的信息。也就是，在扫视期间，

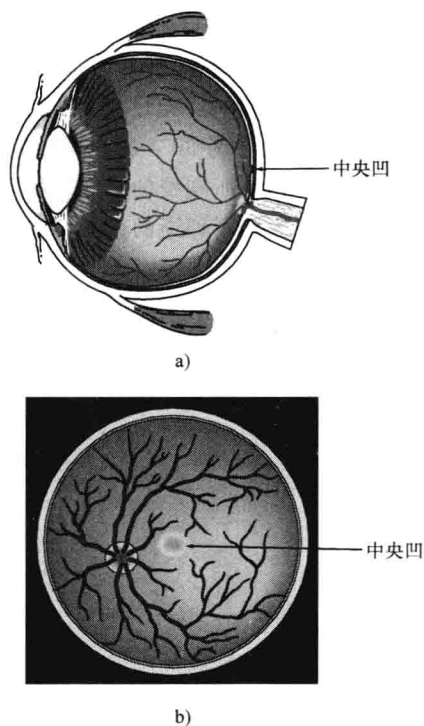


图 13.3 眼球、视网膜和中央凹

a) 眼球的剖面图（眼球后面是视网膜，视网膜属于中枢神经系统的一部分，由视杆细胞和视锥细胞两种感光细胞组成 b) 从眼睛前方看进去的视网膜眼底图，中央凹居中，直径约 1mm。

眼动系统就是要将所注视的目标对准中央凹

准确性和速度，而不关注眼睛运动过程中视网膜上扫过的信息。也就是，在扫视期间，

视觉系统处于关闭的开环状态。等到扫视结束时，系统才进入闭环工作模式，以确认眼睛到达了正确的目标位置；也就是，利用视网膜和眼肌的本体感受器提供的信息来纠正目标位置与眼睛当前位置之间的误差。这种闭环式的纠正可以将误差减为0，从而获得正确的扫视位置。有关扫视的这种神经控制系统工作机制的一种解释是：利用内部的闭环控制器来实现开环的扫视时间最优化（见参考文献[11、13、16、50]）。由于扫视时眼睛运动的速度太快了，该开环系统并不依靠眼肌感受器和实时视觉的反馈信息来保证眼睛运动的准确性，而是由涉及中脑、小脑、脑干和大脑的复杂神经网络来跟踪眼睛的运动。

如图13.4左图所示，在常见的扫视记录实验中，受试者坐在显示器前方，显示器由一组水平排列的小型发光二极管（Light Emitting Diodes, LED）组成。根据实验要求，受试者必须尽可能快速移动眼睛，准确盯住点亮的LED，以避免出错。当某个LED熄灭，另一个LED点亮时，受试者的眼睛就立即产生一次扫视。眼球的运动有多种记录方法，包括：眼电图（electrooculography）、视频眼动图（video oculography）、巩膜搜索线圈和红外眼动图等（见图13.4右图）。图13.5所示是典型的扫视曲线，其潜伏期约为100ms，幅度为 $10^\circ$ ，持续时间约为60ms。扫视眼动具有共轭性和弹道性，持续时间通常为30~100ms，潜伏期为100~300ms。潜伏期可能是中枢神经系统判定是否施行扫视所花费的时间。如果是，就估算眼球需要移动的距离，将视网膜上的视差信息变换为转瞬即逝的眼肌活动。图13.5同时显示了扫视眼动的速度，可见峰值速度约为 $400^\circ/\text{s}$ 。

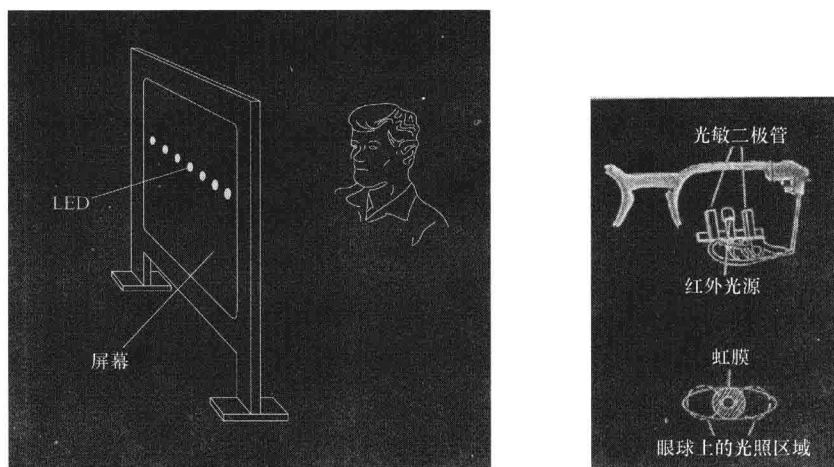
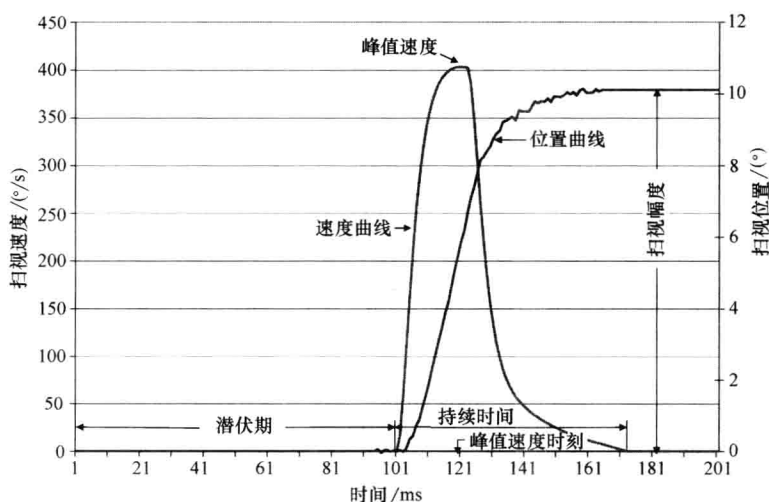


图 13.4 扫视的实验记录装置（左图）和红外眼动记录仪（右图）

（该眼动记录仪由 Engelken 等人设计，见参考文献[21]）

通常，眼睛每次执行的扫视差别很大，其潜伏期、峰值速度（简称为峰速）、到达峰速的时间和持续时间等都可以在很大范围内变动。而且，对于同样的扫视幅度，各个变量的变化能够很好地相互协调。例如，峰速较小的扫视具有较长的持续时间；而峰速较高的扫视则具有较短的持续时间。这样，到达同一位置的各次扫视往往具有不同的运

图 13.5 幅度约为  $10^\circ$  的一次扫视眼动记录

动轨迹。

利用扫视的几种主特性曲线可以分析扫视的动态过程（见参考文献 [3、17、27]），这些特性曲线包括峰速—幅度曲线、持续时间—幅度曲线和潜伏期—幅度曲线。扫视的幅度是指起始位置至目标位置的角位移，其变化范围从不到  $1^\circ$ （微扫视）到  $45^\circ$ ，分成鼻侧和颞侧两个方向。对于小于  $15^\circ$  的扫视，其峰速大约出现在持续期的中间位置（见参考文献 [2]）。扫视的持续时间是指出始至结束的时间段。如图 13.5 所示，在扫视的幅度随时间变化的曲线上较难确定扫视的持续时间，但在速度随时间变化的曲线上则较容易确定。持续时间的变化范围从小于  $5^\circ$  扫视的约 30ms 至大幅度扫视的近 100ms。当幅度大于  $7^\circ$  时，扫视幅度与持续时间之间呈线性关系。潜伏期是指目标靶点出现至眼睛开始运动之间的时间。

图 13.6 所示是某受试者 26 次不同扫视幅度数据的主特性曲线。该受试者实际上在正反两个方向上共执行了 52 次扫视，图中只显示了正向扫视结果。注意，眼睛向左和向右运动的扫视特性不同。图 13.6 中的实线是记录数据的拟合线。幅度小于  $15^\circ$  时峰速—幅度曲线基本呈线性关系，而后，幅度较大时峰速趋于平稳，几乎变成常数。许多研究人员用指数函数来拟合这种关系，图 13.6a 中的实线就是正向扫视眼动峰速—幅度数据的非线性指数拟合曲线，其拟合函数的方程为

$$v_{\max} = \alpha(1 - e^{-\frac{x}{\beta}}) \quad (13.1)$$

式中  $v_{\max}$ ——扫视峰速；

$x$ ——扫视幅度；

$\alpha$  和  $\beta$ ——常数，是使拟合曲线与实验数据之间的误差平方和为最小的数值。

注意， $\alpha$  表示峰速—幅度曲线的稳态值，而  $\beta$  则表示该曲线的“时间常数”。对于图中所示曲线， $\alpha = 825$ ， $\beta = 9.3$ 。

反向扫视眼动的峰速—幅度曲线也具有同样的形式 (图中未显示), 只是  $\alpha$  和  $\beta$  的数值通常与正向扫视不同, 为  $\alpha = 637$ ,  $\beta = 6.9$ 。如果扫视眼动系统的输入是阶跃信号, 那么, 这种指数形式的峰速—幅度曲线表明该系统可能是非线性的。因为如果是线性系统, 阶跃输入信号就会产生线性的峰速—幅度输出函数。正如后面将介绍的, 实际上, 扫视系统并不是由阶跃输入激励的, 而是由比较复杂的脉冲—阶跃信号激励。因此, 仅仅根据峰速—幅度函数的形式并不能判定扫视系统就是非线性的。

图 13.6b 显示了扫视持续时间与扫视幅度之间的线性关系。如果系统的输入为阶跃信号, 那么, 这种持续时间—幅度之间的线性关系也意味着该系统是非线性的。因为线性系统的阶跃输入响应总是具有恒定不变的持续时间。不过, 由于扫视系统的输入并不是阶跃函数, 因此, 也不能仅仅根据持续时间—幅度曲线的形式来判定扫视系统是否是非线性的。

图 13.6c 所示是根据潜伏期和扫视幅度两个参数做出的数据点。显然, 潜伏期与扫视幅度之间没有什么关系, 也就是潜伏期的大小与扫视幅度无关。但是, 有些研究人员却认为潜伏期与扫视幅度之间存在线性关系。本章下面所建立的眼动系统的模型中, 潜伏期是隐含参数, 不是主要参数, 因此, 不重要。

由于眼动系统很复杂, 这里我们只研究水平方向的快速眼动。事实上, 眼球有水平、垂直和旋转 3 个方向的运动。眼动系统模型包括与眼球相连的每块肌肉的模块, 以

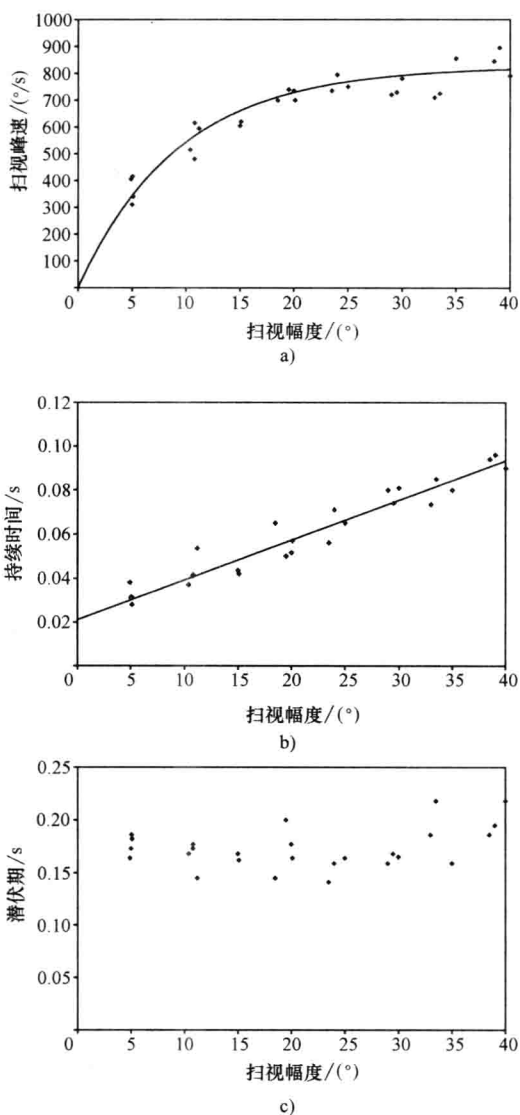


图 13.6 正向扫视眼动的主特性曲线

注: 反向扫视的特性曲线与此类似。图中所示是某受试者不同幅度的 26 次扫视的峰速—扫视幅度曲线 (图 a); 持续时间—扫视幅度曲线 (图 b) 和潜伏期—扫视幅度曲线 (图 c)。(摘自参考文献 [9])

及控制每对肌肉的独立的扫视控制器模块。本章所述的几种水平眼动模型都已有一定的研究历史，这里将按照复杂度逐渐增加的顺序逐一介绍不同的模型；这样，便于读者全面了解各种模型的重要性。但并不是介绍所有眼动模型，只是列举少数几个例子。

### 13.3 Westheimer 扫视眼动模型

扫视眼动的第一个定量模型是 1954 年 Westheimer 发表的水平扫视模型，他描述了眼睛响应  $20^\circ$  目标位移时的水平扫视。图 13.7 所示是该模型的力学示意图，该系统的二阶微分方程为

$$J\ddot{\theta} + B\dot{\theta} + K\theta = \tau(t) \quad (13.2)$$

下面用拉普拉斯变换分析该模型的特性，并与实验数据进行比较。

求式 (13.2) 的拉普拉斯变换，并设初始条件为 0，可得

$$\theta(s^2 J + sB + K) = \tau(s) \quad (13.3)$$

其传递函数的标准形式为

$$H(s) = \frac{\theta}{\tau} = \frac{1}{s^2 J + sB + K} = \frac{\frac{\omega_n^2}{K}}{s^2 + 2\zeta\omega_n s + \omega_n^2} \quad (13.4)$$

式中， $\omega_n = \sqrt{\frac{K}{J}}$ ，且  $\zeta = \frac{B}{2\sqrt{KJ}}$ 。根据 Westheimer 的  $20^\circ$

扫视的实验数据，计算得到  $\omega_n = 120\text{rad/s}$ ， $\zeta = 0.7$ 。

由此可见，此微分方程具有如下复数根：

$$s_{1,2} = -\zeta\omega_n \pm j\omega_n \sqrt{1-\zeta^2} = -84 \pm j85.7$$

当系统的输入为阶跃信号  $\tau(s) = \frac{\gamma}{s}$  时，求得  $\theta(t)$  为

$$\theta(t) = \frac{\gamma}{K} \left[ 1 + \frac{e^{-\zeta\omega_n t}}{\sqrt{1-\zeta^2}} \cos(\omega_n \sqrt{1-\zeta^2} t + \psi) \right] \quad (13.5)$$

式中

$$\psi = \pi + \arctan \frac{-\zeta}{\sqrt{1-\zeta^2}}$$

#### 例 13.1

请写出从式 (13.4) 推导式 (13.5) 的中间步骤。

解：

将阶跃输入  $\tau(s) = \frac{\gamma}{s}$  代入式 (13.4)，得到

$$\theta(s) = \frac{\gamma \frac{\omega_n^2}{K}}{s(s^2 + 2\zeta\omega_n s + \omega_n^2)}$$

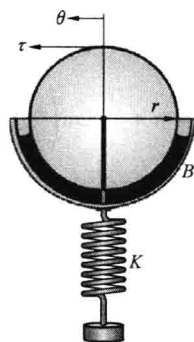


图 13.7 Westheimer 二阶扫视系统模型的示意图

注：参数  $J$ 、 $B$  和  $K$  分别为转动惯量、摩擦系数和刚性系数，用于表示眼球及其附件的黏弹性。 $\tau(t)$  表示内直肌和外直肌施加在眼球上的力矩， $\theta$  表示眼球所处位置的角度， $r$  为眼球半径。



根据 Westheimer 的估计, 此式分母含有一对复数根, 因此, 将其进行部分分式展开, 可得

$$\theta(s) = \frac{\gamma}{s} + \frac{\gamma}{2K[(\zeta^2 - 1) - j\zeta\sqrt{1-\zeta^2}]} + \frac{\gamma}{2K[(\zeta^2 - 1) + j\zeta\sqrt{1-\zeta^2}]} \\ = \frac{\gamma}{s} + \frac{\gamma}{(s + \zeta\omega_n - j\omega_n\sqrt{1-\zeta^2})} + \frac{\gamma}{(s + \zeta\omega_n + j\omega_n\sqrt{1-\zeta^2})}$$

设  $M$  为部分分式系数 (即两个复数项的分子) 的模值, 其大小为

$$M = \left| \frac{\gamma}{2K[(\zeta^2 - 1) - j\zeta\sqrt{1-\zeta^2}]} \right| = \frac{\gamma}{2K[(\zeta^2 - 1)^2 + \zeta^2(1 - \zeta^2)]^{\frac{1}{2}}} = \frac{\gamma}{2K(1 - \zeta^2)^{\frac{1}{2}}}$$

相位角则为

$$\phi = \arctan \frac{-\zeta\sqrt{1-\zeta^2}}{(\zeta^2 - 1)} = \arctan \frac{-\zeta\sqrt{1-\zeta^2}}{-(\sqrt{1-\zeta^2})^2} = \arctan \frac{-\zeta}{-\sqrt{1-\zeta^2}}$$

方程的解为:

$$\theta(t) = \frac{\gamma}{K} \left[ 1 + \frac{e^{-\zeta\omega_n t}}{\sqrt{1-\zeta^2}} \cos(\omega_n \sqrt{1-\zeta^2} t + \psi) \right]$$

其中  $\psi = \pi + \arctan\left(\frac{-\zeta}{\sqrt{1-\zeta^2}}\right)$ 。为了验证解的正确性, 求 0 时刻的初始  $\theta$  值如下:

$$\theta(0) = \frac{\gamma}{K} \left[ 1 + \frac{\cos(\phi)}{\sqrt{1-\zeta^2}} \right] = \frac{\gamma}{K} \left[ 1 + \frac{-\sqrt{1-\zeta^2}}{\sqrt{1-\zeta^2}} \right] = 0$$

扫视开始时, 眼球处于平视正前方的第一眼位 (primary position), 也就是  $\theta(0) = 0$ 。 ■

为了全面考察模型的正确性, 必须将其仿真结果与实验数据进行比较。对于眼动系统, 实验中比较容易测得的参数就是扫视达到最大角度所需的时间 (即扫视持续时间) 以及峰速。本章 13.2 节已经介绍过这两个参数。

下面计算扫视达到最大角度的时间  $T_p$ 。首先求式 (13.5) 的导数, 即

$$\frac{\partial \theta}{\partial t} = \frac{\partial}{\partial t} \left[ \frac{\gamma}{K} \left( 1 + \frac{e^{-\zeta\omega_n t}}{\sqrt{1-\zeta^2}} \cos(\omega_n \sqrt{1-\zeta^2} t + \psi) \right) \right] \bigg|_{t=T_p} = 0 \quad (13.6)$$

然后, 应用链式法则并代入  $t = T_p$ , 有

$$T_p = \frac{\pi}{\omega_d} = \frac{\pi}{\omega_n \sqrt{1-\zeta^2}} \quad (13.7)$$

根据 Westheimer 模型给定的参数值  $\omega_n = 120$ ,  $\zeta = 0.7$ , 可求得  $T_p = 37\text{ms}$ 。Westheimer 模型的扫视持续时间  $T_p$  与扫视幅度的大小无关, 这与图 13.6 所示的实验数据不相符。实验数据表明扫视持续时间随着扫视幅度的增大而增加, 而该模型的持续时间却为常数。

### 例 13.2

请由式 (13.6) 推导式 (13.7), 并求最大扫视角度  $\theta(T_p)$ 。

解:

由式 (13.6) 可得

$$\frac{\gamma}{K \sqrt{1-\zeta^2}} [-\zeta\omega_n \cos(\omega_d T_p + \psi) e^{-\zeta\omega_n t} - \omega_d e^{-\zeta\omega_n t} \sin(\omega_d T_p + \psi)] = 0 \quad (13.8)$$

化简此式可得

$$-\zeta \cos(\omega_d T_p + \psi) = \sqrt{1 - \zeta^2} \sin(\omega_d T_p + \psi)$$

再化为

$$\tan(\omega_d T_p + \psi) = \frac{-\zeta}{\sqrt{1 - \zeta^2}} = \tan \psi \quad (13.9)$$

只有当  $\omega_d T_p = n\pi$  时, 此方程才成立。扫视达到最大角度所需的时间对应于满足式 (13.9) 的最小  $n$  值, 即  $n=1$ 。于是

$$T_p = \frac{\pi}{\omega_d} = \frac{\pi}{\omega_n \sqrt{1 - \zeta^2}}$$

将  $t = T_p$  代入式 (13.5), 并注意  $\omega_d t + \psi = \pi + \psi$ , 可得最大扫视角度为

$$\begin{aligned} \theta(T_p) &= \frac{\gamma}{K} \left[ 1 + \frac{e^{\frac{-\zeta\pi}{\sqrt{1-\zeta^2}}}}{\sqrt{1-\zeta^2}} \cos(\pi + \psi) \right] \\ &= \frac{\gamma}{K} \left[ 1 + \frac{e^{\frac{-\zeta\pi}{\sqrt{1-\zeta^2}}}}{\sqrt{1-\zeta^2}} \times \sqrt{1-\zeta^2} \right] \\ &= \frac{\gamma}{K} (1 + e^{\frac{-\pi\zeta}{\sqrt{1-\zeta^2}}}) \end{aligned} \quad (13.10)$$

考察模型是否合理的一个重要依据是看模型的高阶导数预测的数据是否正确。如果模型有问题, 那么, 计算高阶导数时就会被放大。对于 Westheimer 模型, 设  $\frac{\partial^2 \theta}{\partial t^2} \Big|_{t=T_{mv}} = 0$ , 可以计算扫视的峰速, 其中,  $T_{mv}$  是峰速所对应的时间。利用式 (13.6) 的解, 计算如下

$$\begin{aligned} \frac{\partial^2 \theta}{\partial t^2} &= \frac{\partial}{\partial t} \left\{ \frac{-\gamma}{K} \frac{e^{-\zeta\omega_d t}}{\sqrt{1-\zeta^2}} [\zeta\omega_n \cos(\omega_d t + \psi) + \omega_d \sin(\omega_d t + \psi)] \right\} \\ &= \frac{-\gamma}{K \sqrt{1-\zeta^2}} \{ -\zeta\omega_n e^{-\zeta\omega_d t} [\zeta\omega_n \cos(\omega_d t + \psi) + \omega_d \sin(\omega_d t + \psi)] + \\ &\quad e^{-\zeta\omega_d t} [-\zeta\omega_n \omega_d \sin(\omega_d t + \psi) + \omega_d \cos(\omega_d t + \psi)] \} = 0 \end{aligned} \quad (13.11)$$

求解该二阶导数后, 可得

$$T_{mv} = \frac{1}{\omega_d} \arctan \left( \frac{\sqrt{1-\zeta^2}}{\zeta} \right) \quad (13.12)$$

利用  $T_{mv}$  可求得  $\theta(T_{mv})$ 。根据 Westheimer 模型给定的参数值, 设任意的扫视幅度为  $\Delta\theta = \frac{\gamma}{K}$ , 则由式 (13.10) 可得

$$\dot{\theta}(T_{mv}) = 55.02 \times \Delta\theta \quad (13.13)$$

此式表明扫视峰速直接与扫视幅度成正比。但是, 图 13.6 所示的实验数据却表明峰速是扫视幅度的指数函数, 而不是此 Westheimer 模型所预测的线性函数。式 (13.7) 的扫视持续时间和式 (13.13) 的峰速都符合线性系统理论, 也就是, 用阶跃输入信号激励线性系统时, 系统响应达到最大值所需的时间与阶跃输入的幅值大小无关, 该时间是

一个常数, 而响应的最大速度则随着输入的增加而增大。

### 例 13.3

请从式 (13.11) 推导式 (13.12)。

解:

将式 (13.11) 置 0, 有

$$\frac{-\gamma}{K \sqrt{1-\zeta^2}} \{ -\zeta \omega_n e^{-\zeta \omega_n t} [\zeta \omega_n \cos(\omega_d t + \psi) + \omega_d \sin(\omega_d t + \psi)] \\ + e^{-\zeta \omega_n t} [ -\zeta \omega_n \omega_d \sin(\omega_d t + \psi) + \omega_d^2 \cos(\omega_d t + \psi) ] \} = 0$$

由于正弦函数外面的乘积项不会等于 0, 将其去掉, 可得

$$(\omega_d^2 - \zeta^2 \omega_n^2) \cos(\omega_d t + \psi) - 2\zeta \omega_n \omega_d \sin(\omega_d t + \psi) = 0$$

此式可简化为

$$\frac{\omega_d^2 - \zeta^2 \omega_n^2}{2\zeta \omega_n \omega_d} = \frac{\sin(\omega_d t + \psi)}{\cos(\omega_d t + \psi)} = \tan(\omega_d t + \psi) \quad (13.14)$$

将  $\omega_d = \omega_n(1 - \zeta^2)$  代入上式, 可得

$$\frac{\omega_n^2(1 - \zeta^2) - \zeta^2 \omega_n^2}{2\zeta \omega_n \omega_n(1 - \zeta^2)} = \frac{1 - 2\zeta^2}{2\zeta \sqrt{1 - \zeta^2}} = \tan(\omega_d t + \psi) \quad (13.15)$$

由例 13.2 可知  $\tan(\psi) = \frac{-\zeta}{\sqrt{1 - \zeta^2}}$ , 将其代入上式, 将  $\frac{-\zeta}{\sqrt{1 - \zeta^2}}$  去掉, 得到

$$\frac{1 - 2\zeta^2}{2\zeta \sqrt{1 - \zeta^2}} = \frac{-\zeta}{\sqrt{1 - \zeta^2}} \left( 1 - \frac{1}{2\zeta^2} \right) = \left( 1 - \frac{1}{2\zeta^2} \right) \tan\psi = \tan(\omega_d t + \psi) \quad (13.16)$$

现在有

$$\tan(\omega_d t + \psi) = \frac{\tan(\omega_d t) + \tan\psi}{1 - \tan(\omega_d t) \tan\psi} \quad (13.17)$$

并且  $\tan\phi = \tan\psi$ 。

将式 (13.17) 代入式 (13.16), 得

$$\left( 1 - \frac{1}{2\zeta^2} \right) \tan\psi = \frac{\tan(\omega_d t) + \tan\psi}{1 - \tan(\omega_d t) \tan\psi} \quad (13.18)$$

此式两边同乘以  $[1 - \tan(\omega_d t) \tan\psi]$ , 可得

$$\left( 1 - \frac{1}{2\zeta^2} \right) \tan\psi - \left( 1 - \frac{1}{2\zeta^2} \right) \tan(\omega_d t) (\tan\psi)^2 = \tan(\omega_d t) + \tan\psi \quad (13.19)$$

合并同类项, 得

$$\tan(\omega_d t) \left[ 1 + (\tan\psi)^2 \left( 1 - \frac{1}{2\zeta^2} \right) \right] = \frac{-\tan\psi}{2\zeta^2} \quad (13.20)$$

两边同除以  $\tan(\omega_d t)$  的乘积项, 得

$$\tan(\omega_d t) = \frac{-\tan\psi}{2\zeta^2 \left[ 1 + (\tan\psi)^2 \left( \frac{2\zeta^2 - 1}{2\zeta^2} \right) \right]} = \frac{-\tan\psi}{2\zeta^2 + (\tan\psi)^2 (2\zeta^2 - 1)} \quad (13.21)$$

再将  $\tan\psi = \tan\phi = \frac{-\zeta}{\sqrt{1-\zeta^2}}$  代入, 得

$$\begin{aligned}\tan(\omega_d t) &= \frac{\frac{\zeta}{\sqrt{1-\zeta^2}}}{2\zeta^2 + \frac{\zeta^2}{1-\zeta^2}(2\zeta^2 - 1)} = \frac{\frac{\zeta}{\sqrt{1-\zeta^2}}}{\zeta^2 \left[ 2 + \frac{(2\zeta^2 - 1)}{1-\zeta^2} \right]} = \left( \frac{1-\zeta^2}{1-\zeta^2} \right) \frac{\frac{\zeta}{\sqrt{1-\zeta^2}}}{\zeta^2 \left[ 2 + \frac{(2\zeta^2 - 1)}{1-\zeta^2} \right]} \\ &= \frac{\sqrt{1-\zeta^2}}{\zeta [2(1-\zeta^2) + (2\zeta^2 - 1)]} = \frac{\sqrt{1-\zeta^2}}{\zeta}\end{aligned}$$

求此式的反正切, 得  $T_{mv} = \frac{1}{\omega_d} \arctan\left(\frac{\sqrt{1-\zeta^2}}{\zeta}\right)$  ■

Westheimer 注意到了模型的扫视持续时间—幅度以及峰速—幅度这两个曲线与实验数据都有差别, 并且从实验数据的峰速—幅度曲线的非线性, 可以推测扫视眼动系统并不是线性的。他也注意到扫视系统的输入不是突变的阶跃函数。不过, 无论如何, 这个模型与  $20^\circ$  扫视的眼动实验数据吻合得很好, 但对其他幅度的扫视并非如此。有趣的是, 如果改用下一节所述的其他输入激励函数, 而不是阶跃函数, 此 Westheimer 二阶模型就可以模拟任意幅度的扫视。由于 Westheimer 眼动模型很简单, 因此, 至今仍很受欢迎。

#### 例 13.4

请利用 Westheimer 模型仿真  $20^\circ$  扫视眼动, 画出眼睛位置随时间变化的曲线。

解:

设输入为阶跃信号, Westheimer 扫视模型的拉普拉斯变换为

$$\theta(s) = H(s)\tau(s) = \frac{\frac{\omega_n^2}{K}}{s^2 + 2\zeta\omega_n s + \omega_n^2} \times \frac{\gamma}{s}$$

基于此模型设计的 Simulink 仿真程序如图 13.8 的上图所示。利用 Westheimer 给定的参数  $\zeta = 0.7$ ,  $\omega_n = 120$ , 且输入为  $\gamma = 20$ , 得到的仿真曲线见图 13.8 的下图。注意, 不出所料, 该响应为欠阻尼曲线, 且  $T_p = 37\text{ms}$ 。

## 13.4 扫视控制器

生理系统建模中一个难以解决的问题是缺乏系统输入激励信号的详细信息。例如, 快速眼动系统的输入是大脑中枢神经系统 (CNS) 传导到眼部肌肉的神经信号。这个输入信号由成千上万个神经元的快速发放构成, 无法获得这种输入信号的详细记录。记录这种信号要用特殊的介入式技术和仪器, 20 世纪 60 年代还不能实现。不过, 我们可以利用下面所介绍的间接方法获得有关快速眼动系统的输入信息。

1964 年, Robinson 设计了一个实验, 用于测量扫视过程中眼球的输入激励信号。他用隐形眼镜吸住一只眼球, 使其固定不动, 并让另一只眼球在两个目标之间进行扫视

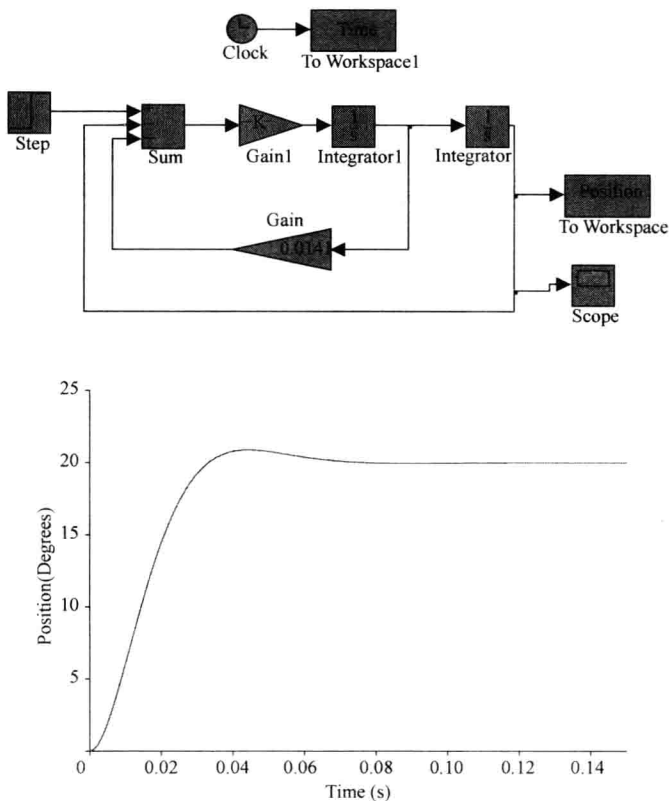


图 13.8 例 13.4 的 Simulink 仿真程序及其输出曲线

运动。由于扫视过程中传导到两个眼球的神经控制信号相同，Robinson 推断，加在固定不动的眼球上的传感器所记录到的输入信号，就是驱动另一只眼球的输入信号。如图 13.9 所示，他指出，扫视过程中驱动眼球的肌张力信号是一个脉冲信号加上一个阶跃信号，即脉冲—阶跃输入信号。

如今，研究人员可以利用微电极记录动眼神经元的电活动。图 13.10 所示就是用玻璃管微电极记录动眼神经核电信号的实验，动眼神经核是驱动扫视的主要神经元集群。自 Robinson 的开创性工作之后，研究人员开发了很多通过测量眼肌来研究扫视控制器的其他实验。例如，1975 年，Collins 等人利用微型“C”形测力传感器，

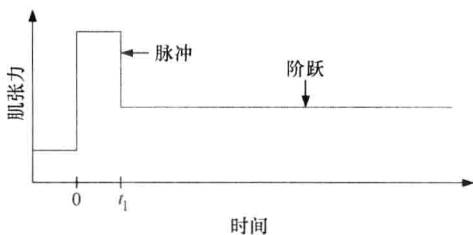


图 13.9 扫视期间记录到的肌张力变化示意图

于肌腱部位在体检测了人眼无约束活动时的肌张力。如图 13.11 所示，这种方法可以较好地测量每块眼肌所产生的独立肌张力，而不是两块相互拮抗的眼肌的作用力之和。

这里，必须区分两个概念，一是肌张力，也就是眼肌所产生的力；二是激活态张力

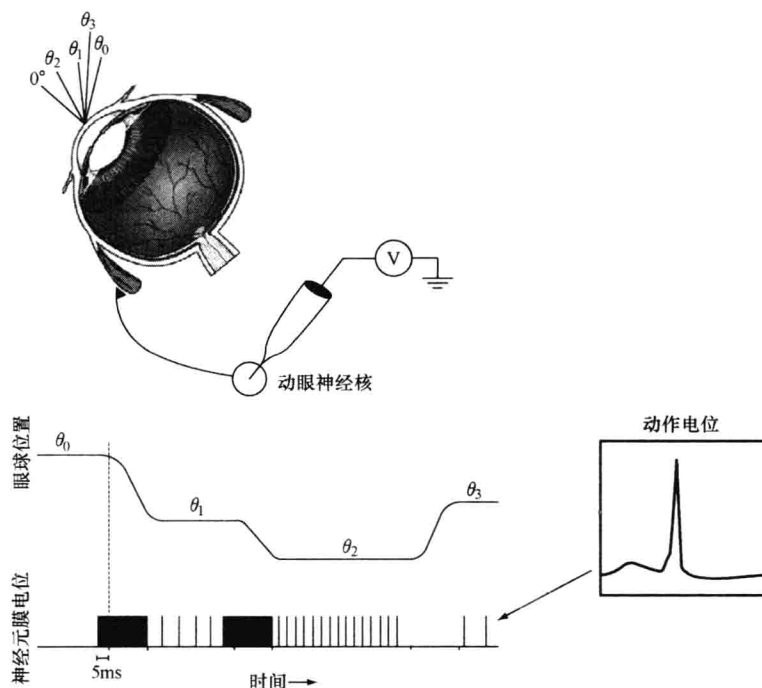


图 13.10 连续扫视过程中玻璃管微电极记录单个神经元电活动的示意图

注：所记录的跨膜电位锋电位就是本书第 12 章所述的动作电位发放。在眼球开始运动前 5ms 左右，控制扫视的神经元就开始爆发式（Burst）地发放动作电位，并持续到眼球接近目标位置为止。图中显示了从角度  $\theta_0$  到  $\theta_3$  的眼球相对位置。开始时眼球处于  $\theta_0$  位置，此时眼肌的输入控制为 0，眼肌处于完全放松状态。为了将眼球从  $\theta_0$  移动到  $\theta_1$ ，神经元产生爆发式的脉冲发放串。然后，为了使眼球保持在  $\theta_1$  位置，神经元产生有规律的稳定发放，其发放率正比于眼肌收缩的量。接下来是第二次扫视，眼球从  $\theta_1$  移到  $\theta_2$ ，这次扫视的速度比第一次慢，但是持续时间却大致相同。不同的是，驱动眼球运动的神经元发放数目较少，这就意味着输入信号的幅值比第一次扫视要小。在保持  $\theta_2$  位置期间，由于眼肌比在  $\theta_1$  位置时收缩得更短，因此，神经元平稳发放的速率更高。第三次扫视，眼球反向移动到  $\theta_3$ 。此时眼肌舒张伸长，其输入为 0，也就是，没有动作电位刺激肌肉。在  $\theta_3$  位置期间，由于眼肌长度比  $\theta_1$  位置时更长，因此，神经元平稳发放水平比  $\theta_1$  时低。

发生器（active-state tension generator），是指眼肌内部的力发生器，它所产生的内力，通过眼肌内部各种因素的转化作用再变成肌张力。肌张力是外在的，可以测量，而激活态张力是内在的，不可测量。激活态张力几乎与眼肌的神经输入信号相吻合。图 13.11 所示的神经活动模式表明：

1) 收缩的眼肌（即主动肌）先接收到一个脉冲式的刺激信号，紧接着是保持眼球位置的一个阶跃式信号。

2) 舒张伸长的眼肌（即拮抗肌）在扫视过程中不接收刺激，刺激信号中断，换句话说，可以认为它收到一个负向的置零脉冲信号。然后，紧随其后的还是保持眼球位置的阶跃信号。

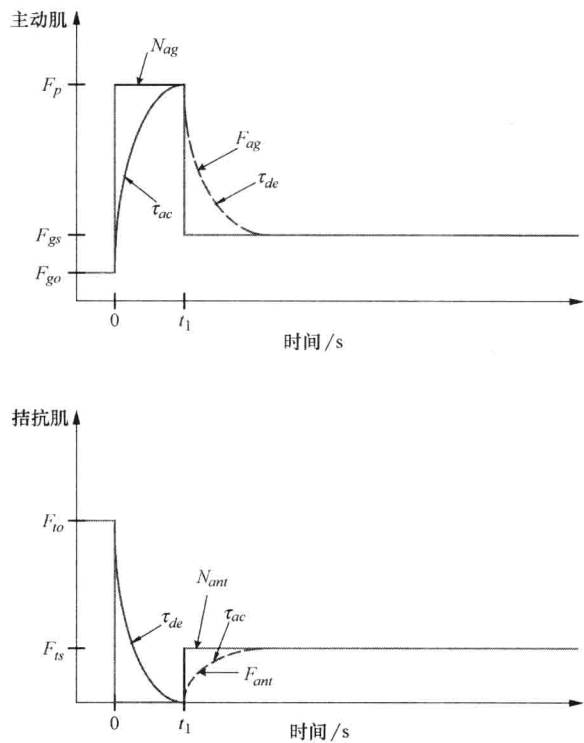


图 13.11 主动肌和拮抗肌的输入控制信号  $N_{ag}$  和  $N_{ant}$ （实线）及其相应的激活态张力  $F_{ag}$  和  $F_{ant}$ （虚线）

注：激活时间常数  $\tau_{ac}$  与去激活时间常数  $\tau_{de}$  是不同的。时间间隔  $t_1$  为脉冲信号的宽度。

图 13.11 分别显示了主动肌神经输入信号  $N_{ag}$  和拮抗肌神经输入信号  $N_{ant}$  的量化曲线。其中，脉冲输入用于使眼球尽快移动到目标位置，而阶跃输入则使眼球保留在特定位置。前人的研究表明激活态张力曲线与神经控制信号曲线并不一样，前者可以看做是脉冲—阶跃神经信号的低通滤波。图 13.11 虚线所示是激活态张力  $F_{ag}$  和  $F_{ant}$  具有时变的时间常数  $\tau_{ac}$  和  $\tau_{de}$ 。这种低通滤波作用被认为与  $\text{Ca}^{2+}$  离子的活动有关。

有人提出，主动肌和拮抗肌具有不同形式的时间常数，有些人认为主动肌活动的时间常数与神经元发放频率相关，还有人认为主动肌活动的时间常数是扫视幅度的函数。本章为了简化，假设描述主动肌和拮抗肌活动的激活时间常数和去激活时间常数相等。图 13.11 所示的参数定义如下：

- $F_{go}$ ——扫视开始前主动肌的初始激活态张力；
- $F_p$ ——主动肌的最大激活态张力；
- $F_{gs}$ ——扫视结束后主动肌的稳态激活态张力；
- $F_{to}$ ——扫视开始前拮抗肌的初始激活态张力；
- $F_{ts}$ ——扫视结束后拮抗肌的稳态激活态张力。

通常, 脉冲式信号使得眼球快速移向目标, 而阶跃式信号则用于保持眼球的位置。同一个信号同时传送到两只眼睛, 使得两只眼睛一起运动, 这叫做共轭眼动。

## 13.5 动眼肌模型的建立

水平方向的快速眼动系统由内直肌和外直肌这对眼肌驱动, 显然, 要建立该系统的模型, 必须有精确的描述眼肌活动的模型。实际上, 前述 Westheimer 模型并没有包含眼肌模型, 只包括眼球的惯性、眼球与眼眶之间的摩擦力、视神经等附件所产生的黏弹性。本节将介绍眼动系统肌肉模型的建立过程。其实, 研究肌肉模型所涉及的内容非常广泛, 从描述肌小节的微观模型, 到描述多细胞组合的宏观模型。其中, 细胞群的宏观模型采用具有集中参数的普通力学元素来表示。这里我们将介绍根据生理实验测量数据建立的一种动眼肌宏观模型。模型元素包括: 一个激活态张力发生器 (代表输入信号)、几个弹性元素和黏弹性元素。下面的每一小节单独介绍一个元素, 最终阐述整个模型。注意, 本节末尾最后给出的线性眼肌模型将彻底修正本节前面部分所述的模型, 这些前面所述的是模型发展的历史过程, 有利于读者理解目前所用的眼肌模型。

### 13.5.1 眼肌的被动弹性模型

肌肉的被动弹性特性可以通过实验测定, 方法是拉伸处于非激活状态的肌肉, 并记录其张力。图 13.12 所示数据曲线就是一个典型的眼直肌张力记录曲线。可见, 拉伸肌肉所需的张力大小是拉伸距离的非线性函数。因此, 为了精确建立其模型, 必须使用非线性弹簧元素。注意,

0 点的长度增量是指眼睛处于平视正前方的第一眼位时的眼肌长度变化, 此时, 眼肌大约被拉伸 3mm, 眼肌总长度约为 37mm。

图 13.12 所示的实验数据曲线必须在某个工作点附近进行线性化, 这样才能用于肌肉的线性模型。工作点应该取在弹簧元素工作范围的中点。图 13.12 中的近似直线相切于实验曲线上眼球的第一眼位处, 是该区域弹簧行为的线性逼近。设眼球半径为 11mm, 为了便于分析, 先计算以下数据:

$$1g = 9.806 \times 10^{-3} \text{ N}$$

$$1^\circ = 0.192 \text{ mm} = 1.92 \times 10^{-4} \text{ m}$$

线性近似直线的斜率  $K_{pe}$  约为

$$K_{pe} = 0.2g/^\circ = 0.2g/^\circ \times \frac{9.806 \times 10^{-3} \text{ N}}{1g} \times \frac{1^\circ}{1.92 \times 10^{-4} \text{ m}} = 10.2 \text{ N/m}$$

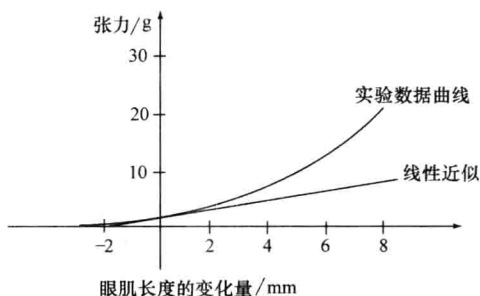


图 13.12 未激活眼肌的张力—长度变化曲线示意图

注: 其线性逼近直线的斜率表示肌肉的被动弹性系数  $K_{pe}$ 。



它表示被动弹性元素的弹性系数。

工作区域的选择对于曲线斜率的确定至关重要。此处，用了早期提出的眼直肌工作区域中的一个位置。在多数有关眼动系统的论文中，这个  $K_{pe}$  一般被减去，不会用到。我们会在本章 13.7 节修正工作点位置，彻底除去模型中的这个  $K_{pe}$  元素。

13.5.2 激活态张力发生器

通常，肌肉所产生的力的大小与所受到的刺激成正比。产生力的元素就是激活态张力发生器。注意，激活态张力是指肌肉内部产生的作用力，不要与肌张力相混淆。如图 13.13 所示，激活态张力发生器与被动弹性元素一起构成肌肉模型。肌张力  $T$ 、激活态张力  $F$  和弹性系数  $K_{pe}$  之间的关系为

$$T = F - K_{pe}x \tag{13.22}$$

多年来，为了计算各个不同输入刺激水平下眼部肌肉激活态张力的数值，研究人员进行了许多人体眼部肌肉的等长收缩实验。这种实验一般结合斜视矫正手术进行。手术时，肌肉与眼球的连接先被断开，然后再重新连到眼球上，以纠正斜视眼。如图 13.14 所示，受到刺激的肌肉所产生的张力是肌肉长度的函数。这组数据来自同一只眼球上断开的眼外直肌，当时，另一只没有手术的眼球从鼻侧 N 到颞侧 T，在  $-45^{\circ} \sim 45^{\circ}$  之间分别固定注视于不同的位置。该实验设计的依据是两只眼球的肌肉所接收的神经输入信号相同，即 Hering 相同神经支配假设，因此，自由活动的那只眼球外直肌的激活态张力应该与另一只眼球上断开的外直肌相同。在活动眼球的每个固定注视位置下，将另一只眼球断开的外直肌拉至相应的位置，同时测量其张力，这样就形成了图中所示的各点数据。其中，粗线就表示眼球正常转动时外直肌在各个位置下的肌张力。 $45^{\circ}T$  曲线是输入刺激为 0 情况下的测量数据，表示肌肉的被动力学特性。注意，肌肉所产生的张力是其长度的非线性函数。

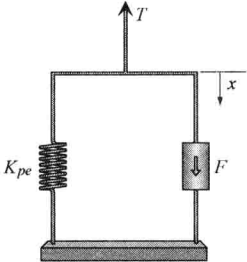


图 13.13 一种肌肉模型示意图

注：其中包含一个激活态张力发生器  $F$  和一个被动弹性元素  $K_{pe}$ 。一旦受到激活态张力发生器的刺激，肌肉就会产生张力  $T$ 。

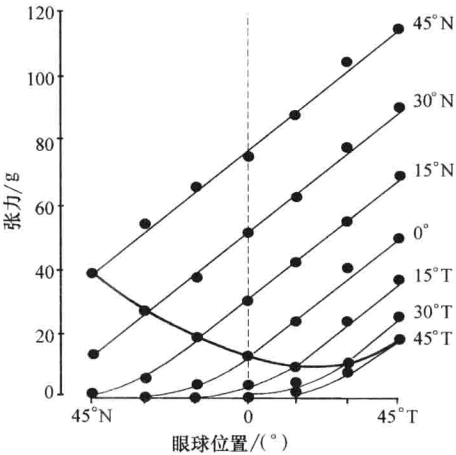


图 13.14 不同激活水平下外直肌的长度—张力曲线

注：圆点表示斜视矫正手术中从断开的外直肌上记录的张力数据。测量时，另一只没有手术的眼球分别固定注视  $-45^{\circ} \sim 45^{\circ}$  范围之间的目标。（摘自 Collins、O' Meara 和 Scott, 1975）

对比图 13.13 的模型与图 13.14 的数据可知，如果将  $30^{\circ}T$  到  $45^{\circ}N$  的每条曲线减去被动弹性部分（即  $45^{\circ}T$  曲线所表示的数

值), 剩余的就应该是激活态张力。图 13.15 左边所示就是  $15^\circ\text{N}$  曲线 (实线) 及其相应的激活态张力 (虚线)。图 13.14 的其他曲线的计算结果相似, 为了图示的简洁明了, 这里省略不显示。虚线表示的激活态张力是肌肉长度的函数。如果这条减下来的曲线只包含纯粹的激活态张力元素的作用, 那么, 它应该是一条与输入大小相对应的水平直线, 图 13.15 右边就显示了这样一条激活态张力水平直线。由此可见, 要么激活态张力发生器是一个非线性元素, 也就是, 此模型可能缺少某些非线性或线性元素; 要么建立此模型所用的某些假设前提可能是错误的。这里, 暂时假定所用的前提是正确的, 只是模型缺少了元素。本章 13.7 节会修正这个问题。

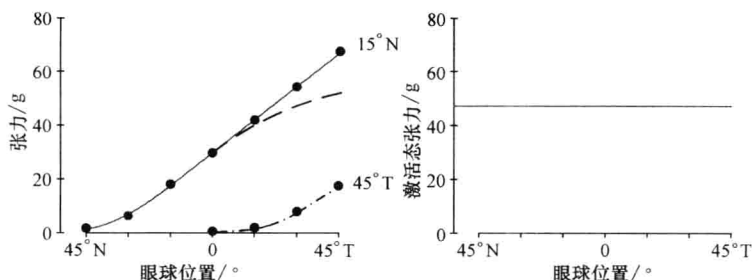


图 13.15 左图: 眼外直肌在  $15^\circ\text{N}$  和  $45^\circ\text{T}$  两个激活位置水平下的长度—张力曲线

圆点表示斜视矫正手术中从断开的外直肌上记录的张力数据, 测量时, 另一只没有手术的眼球固定注视于特定位置上的目标。虚线是  $15^\circ\text{N}$  曲线减去  $45^\circ\text{T}$  曲线之后的结果, 可见它所表示的激活态张力仍然是眼球位置的函数。右图: 激活态张力—眼球位置之间的理论关系。(摘自 Collins、O'Meara 和 Scott, 1975)

### 13.5.3 弹性

眼睛处于常态工作位点 (即眼球处于第一眼位) 时眼肌的长度  $L_p$  要比处于约  $30^\circ$  产生最大作用力时短得多。即使除去眼肌的被动弹性作用, 如前所述, 眼肌的激活态张力与长度之间仍然存在一定的关系。为了获得两者之间的这种关系, 如图 13.16 所示, 我们在模型中新添加一个弹性元素  $K$ , 并用以下方程来描述此模型

$$T = F - K_{pe}x - Kx \quad (13.23)$$

新元素  $K$  决定图 13.15 左边虚线表示的减下来的曲线的斜率。眼球处于第一眼位时所对应的  $K$  值约为  $0.8\text{g}/^\circ = 40.86\text{N/m}$  (这是文献常用的值)。用同样的方法可以计算图 13.14 所示其他曲线在第一眼位处的斜率  $K$ , 其结果都近似等于此  $15^\circ\text{N}$  曲线的斜率值。至此, 需要进行其他实验研究来进一步完善该眼肌模型。

#### (1) 串联弹性元素

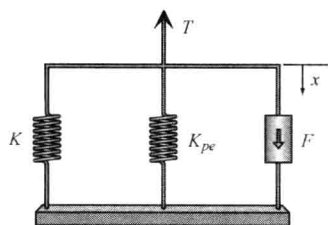


图 13.16 一种眼肌模型示意图  
注: 其中包含激活态张力发生器  $F$ 、被动弹性元素  $K_{pe}$  和弹性元素  $K$ 。一旦受到激活态张力发生器的刺激, 肌肉就会产生张力  $T$ 。

Levin 和 Wyman (1927) 以及 Collins (1975) 的实验结果都表明眼肌模型中需要增加串联弹性元素。图 13.17 显示了他们的实验设计以及典型数据。该实验被称为快速释放实验，其步骤如下：在肌肉上悬挂一重物；从  $t_1$  时刻开始给肌肉施加充分的电刺激；再于  $t_2$  时刻将重物释放。这样，在  $t_2$  时刻重物释放时，肌肉几乎瞬间改变了长度。能够瞬间改变自身长度的元素只有弹簧。因此，为了体现眼肌的这种行为，在激活态张力元素上串联一个弹簧  $K_{se}$ ，这个弹簧就称为串联弹性元素。有些研究人员认为该元素是非线性的。为了简化，假设其为线性。图 13.18 显示了这种改进的眼肌模型。

根据 Collins 在 1975 年所做的眼直肌实验，可估计  $K_{se}$  的值约为  $125\text{N/m}$ （即  $2.5\text{g}/^\circ$ ）。由于  $K_{se}$  的值与上述  $K$  值不相等，还需要在模型中再添加一个弹性元素。

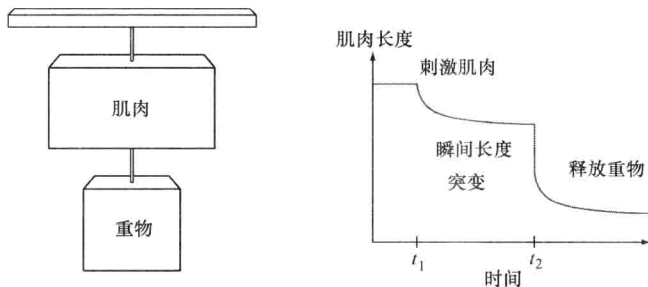


图 13.17 快速释放实验示意图

注：左图：实验的物理装置。右图：实验记录的典型数据。 $t_1$  时刻肌肉开始受到充分的电刺激， $t_2$  时刻重物释放。

## (2) 长度—张力弹性元素

由于  $K_{se}$  与  $K$  不相等，如图 13.19 左边所示，模型中再增加一个与激活态张力元素并联的弹性元素  $K_{lt}$ ，该元素称为长度—张力弹性元素。为了便于分析，应用图 13.15 所示的方法将  $K_{pe}$  减去，得到图 13.19 右边所示的模型。下面根据此模型，推导  $K_{lt}$  的计算公式。首先，分别求图中节点 1 和节点 2 的作用力之和，即

$$T = K_{se}(x_2 - x_1) \quad (13.24)$$

$$F = K_{lt}x_2 + K_{se}(x_2 - x_1) \rightarrow x_2 = \frac{F + K_{se}x_1}{K_{se} + K_{lt}} \quad (13.25)$$

将  $x_2$  代入式 (13.24)，得到

$$T = \frac{K_{se}}{K_{se} + K_{lt}}(F + K_{se}x_1) - K_{se}x_1 = \frac{K_{se}}{K_{se} + K_{lt}}F - \frac{K_{se}K_{lt}}{K_{se} + K_{lt}}x_1 \quad (13.26)$$

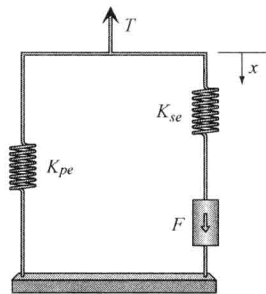


图 13.18 一种眼肌模型示意图

注：其中包括激活态张力发生器  $F$ 、被动弹性元素  $K_{pe}$  和串联弹性元素  $K_{se}$ 。一旦受到激活态张力发生器的刺激，肌肉就会产生张力  $T$ 。

此式是一个直线方程, 其  $y$  轴截距为  $\frac{K_{se}}{K_{se} + K_{lt}}$ , 斜率为  $\frac{K_{se}K_{lt}}{K_{se} + K_{lt}}$ 。图 13.14 所示长度—张力曲线的斜率为  $K = 0.8 \text{ g}/^\circ = 40.86 \text{ N/m}$ , 因此

$$K = \frac{K_{se}K_{lt}}{K_{se} + K_{lt}} = 40.86 \text{ N/m} \quad (13.27)$$

求解此方程, 可得  $K_{lt}$  为

$$K_{lt} = \frac{K_{se}K}{K_{se} - K} = 60.7 \text{ N/m} \quad (13.28)$$

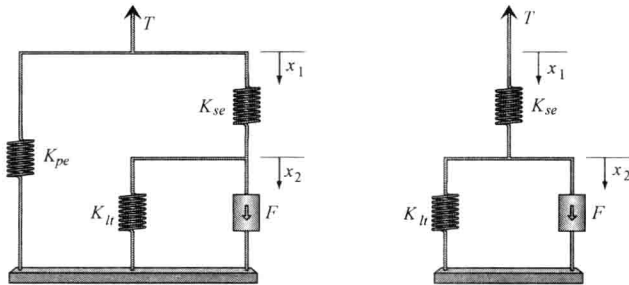


图 13.19 左图: 一种眼肌模型, 其中激活态张力发生器  $F$  与长度—张力弹性元素  $K_{lt}$  并联, 再与串联弹性元素  $K_{se}$  串联, 最后, 这些元素与被动弹性元素  $K_{pe}$  并联。一旦受到激活态张力发生器的刺激, 肌肉就会产生张力  $T$ 。右图: 眼肌模型的其他部分与左图相同, 只是去除了  $K_{pe}$ 。

### 13.5.4 力—速度关系

早期实验表明, 肌肉不仅具有弹性, 还具有黏性。图 13.20 所示的作用力恒定的等张收缩实验可用于研究肌肉的黏性。实验时, 肌肉和负载分别加在一根杠杆的两端, 其杠杆比很大。杠杆使负载加在肌肉上的重力 (即质量  $\times$  比重) 变为负载重力除以杠杆比, 而负载加在肌肉上的惯性力 (即质量  $\times$  加速度) 则为负载惯性力除以杠杆比的二次方。因此, 在这种实验条件下, 肌肉等张收缩期间, 负载施加在肌肉上的惯性力可以忽略不计。另一个假设是, 如果杠杆比没有使负载质量的作用减小到可以忽略的程度, 那么, 还可以在最大速度处进行测量。此时加速度为 0, 惯性力也就等于 0。如果这两个假设成立, 那么, 不同负载重力作用下所测得的实验数据就不受惯性力的影响。

在这种条件下, 等张实验中肌肉会伸长到其最佳长度。实验时, 加上负载  $M$ , 同时给予肌肉一定强度的电刺激输入激励, 记录肌肉伸缩到达的位置。图 13.21 所示两条曲线分别记录了一大一小两种负载作用下的等张实验过程中肌肉伸缩的数据。注意, 两个响应的持续时间大致相等, 与负载大小无关, 只是负载大时, 起始处的时间延时 (即潜伏期) 明显长得多。还有, 负载越大, 肌肉的收缩量就越小。最大伸缩速度可以从所记录的肌肉伸缩位置数据中求得。为了估计肌肉的黏性系数, 在同样的电刺激水平下, 用多个不同的负载重复进行实验, 然后计算出每次实验的最大速度。图 13.22 显示了负载比  $P/P_0$  与最大速度之间的典型关系曲线, 其中,  $P = Mg$ ,  $P_0$  是肌肉受到最大刺

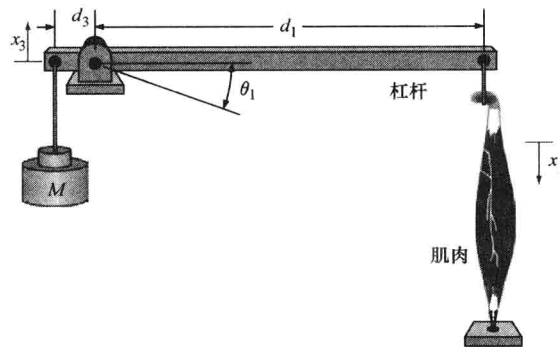


图 13.20 等张收缩实验示意图

注：负载和肌肉分别挂在杠杆两端，肌肉的另一端固定。实验时，肌肉伸缩到最佳长度。

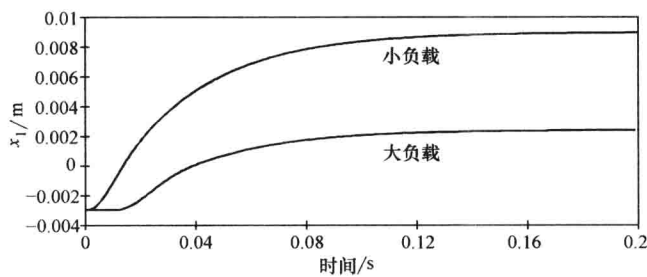


图 13.21 一大一小两种负载作用下肌肉的响应曲线

激时的等长收缩张力（即肌肉可以提起的最大重量）。该曲线通常称为力—速度曲线。

显然，力—速度曲线是非线性的，呈现双曲线形状。如果用小于最大刺激的不同强度电刺激兴奋肌肉，那么，就可以得到图 13.23 所示的对应于不同激活态张力的一组力—速度曲线，每条曲线上标出的数值就是激活态张力的大小。这些力—速度曲线的特性与图 13.22 所示曲线很相似。注意，在眼肌的正常工作范围内（即  $800^{\circ}/s$  左右），激活态张力较小时的力—速度曲线的斜率与激活态张力较大时的情况差别很大。

下面将上述等张实验所得到的黏性作用添加到模型中。如图 13.24 所示，在激活态张力发生器和长度—张力弹性元素上再并联一个黏性元素。下面的例 13.5 将应用该模型仿真等张实验，并分析模型的行为以及新添加黏性元素的作用。现在暂时假设此黏性元素是线性的。为了简化，杠杆随同实际加速

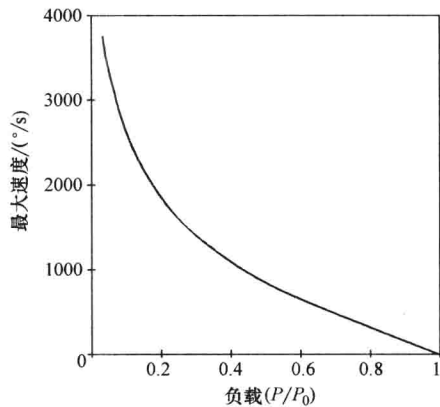


图 13.22 力—速度曲线示意图

现在暂时假设此黏性元素是线性的。为了简化，杠杆随同实际加速

度项  $\ddot{M}x_1$  被去除。本章后面会考虑杠杆，并做进一步分析。同样为了简化，例 13.13 也将被动弹性元素  $K_{pe}$  减除。

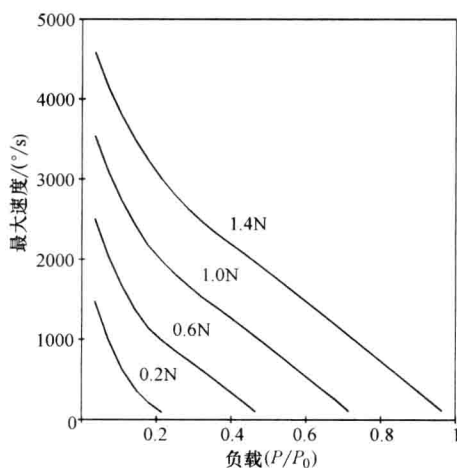


图 13.23 激活态张力从 0.2 N 变化到 1.4 N 时测得的一组力—速度曲线

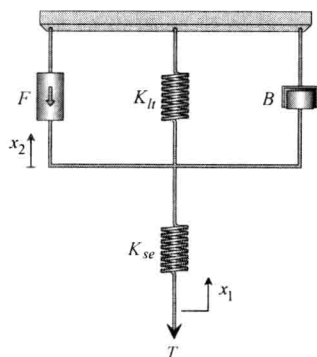


图 13.24 一种眼肌模型示意图

注：其中激活态张力发生器  $F$  与长度—张力弹性元素  $K_{lt}$  以及黏性元素  $B$  并联，再与弹性元素  $K_{se}$  串联。为了简化，被动弹性元素  $K_{pe}$  已去掉。一旦受到激活态张力发生器的刺激，肌肉就会产生张力  $T$ 。

### 例 13.5

图 13.25 所示系统是等张实验的一种模型。假设加速度项  $\ddot{M}x_1$  可以忽略不计。请计算最大速度随负载变化的函数，并做出其曲线图。

解：

假设  $\dot{x}_2 > \dot{x}_1$ ，且  $x_1 > 0$ （即物体受到支撑）。令  $K_{st} = K_{se} + K_{lt}$ 。图中节点 1 和节点 2 上的作用力之和分别为

$$Mg = K_{se}(x_2 - x_1) \rightarrow x_1 = x_2 - \frac{Mg}{K_{se}}$$

$$F = B \dot{x}_2 + K_{lt}x_2 + K_{se}(x_2 - x_1)$$

将  $x_1$  代入第二个方程，可得

$$F = B \dot{x}_2 + K_{lt}x_2 + Mg$$

求解此方程，可得

$$x_2(t) = \frac{F - Mg}{K_{lt}}(1 - e^{-\frac{K_{lt}t}{B}})$$

$$\dot{x}_2(t) = \frac{F - Mg}{B}e^{-\frac{K_{lt}t}{B}}$$

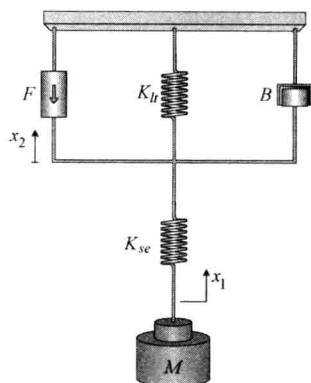


图 13.25 例 13.5 的系统模型

各种负载下的最大速率为  $V_{\max} = \frac{F - Mg}{B}$ , 并且, 由

于  $\dot{x}_1 = \frac{d}{dt} \left( x_2 - \frac{Mg}{K_{se}} \right)$ , 因此  $\dot{x}_1 = \dot{x}_2$ 。图 13.26 描述了最大速率与负载之间的线性关系。 ■

黏性元素的线性假设似乎有问题, 以上例 13.5 的分析结果给出的是负载与最大速度之间的线性关系, 而图 13.22 所示的等张实验数据显然是非线性的。因此, 黏性元素应该是非线性的。

通常, 肌肉黏性用非线性 Hill 双曲线来表征, 即

$$V_{\max} (P + a) = b(P_0 - P) \quad (13.29)$$

式中  $V_{\max}$ ——最大速度;

$P$ ——外加作用力, 就是负载重量  $Mg$ ;

$P_0$ ——等长张力, 是指肌肉可以提起的最大重量;

$a$  和  $b$ ——双曲线渐近线的经验常数。

由 Hill 数据可知

$$a = \frac{P_0}{4} \quad \text{且} \quad b = \frac{V_{\max}}{4}$$

于是, 将此  $a$  值和  $b$  值代入式 (13.29) 之后, Hill 方程变为

$$P = P_0 - \frac{V_{\max} (P_0 + a)}{b + V_{\max}} = P_0 - BV_{\max} \quad (13.30)$$

其中

$$B = \frac{P_0 + a}{b + V_{\max}} \quad (13.31)$$

$B$  表示元素的黏性。显然, 由于上式分母中存在速度项  $V_{\max}$ , 因此, 黏性所产生的作用力是非线性的。

对于眼动模型, 根据图 13.24 的定义, 用  $\dot{x}_2$  代替  $V_{\max}$ , 用肌肉张力  $T$  代替  $P$ , 用激活态张力  $F$  代替  $P_0$ , 则式 (13.30) 和式 (13.31) 可以重写为

$$T = F - BV \quad (13.32)$$

其中

$$B = \frac{F + a}{b + \dot{x}_2} \quad (13.33)$$

已有研究人员根据肌肉拉伸和收缩两种不同情况, 求得 Hill 方程中的  $a$  值和  $b$  值。结果表明, 肌肉拉伸与收缩这两个动力学过程是不同的。不过, 肌肉收缩和拉伸的黏性作用的方程都可以由式 (13.33) 给出, 只是  $a$  和  $b$  的参数值不同。例如, Hsu 及其合作者 (见参考文献 [33]) 将动眼肌收缩和拉伸的黏性分别表示为

$$B_{ag} = \frac{F_{ag} + AG_a}{\dot{x}_2 + AG_b} \quad (13.34)$$

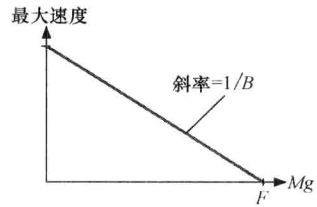


图 13.26 例 13.5 模型的仿真结果

$$B_{ant} = \frac{F_{ant} - ANT_a}{\dot{x}_2 + ANT_b} \quad (13.35)$$



是其他 4 块眼肌和视神经等共同产生的作用；而眼球的黏性系数  $B_p$  则由眼球与眼眶之间的摩擦产生。

### 13.5.7 激活和去激活的时间常数

扫视期间，中枢神经系统向眼动系统发送的控制信号是图 13.11 所示的脉冲—阶跃信号，而眼动系统实际承受的则是该信号的低通滤波。设  $C(s)$  为控制信号， $F(s)$  为激活态张力， $H(s)$  为低通滤波器，那么

$$F(s) = C(s)H(s) = \frac{C(s)}{(s\tau + 1)}$$

式中  $\tau$ ——低通滤波器的时间常数。

Bahill 等人报道的主动肌时间常数

随着运动神经元的发放频率而变化（见参考文献 [4]），发放频率越高，时间常数就越短。他们认为，这是因为幅度较大的扫视眼动要使用快肌纤维，而幅度较小的扫视眼动则使用慢肌纤维。控制眼球水平方向活动的有主动肌和拮抗肌 2 块。主动肌产生强有力的收缩，将眼球（即中央凹）转向目标位置，而在扫视的脉冲相期间拮抗肌则被完全抑制。要记住，在第一眼位时 2 块眼肌总是处于强直状态，否则眼球就会松弛下来。

正如图 13.10 所示，由于运动神经元发放的是动作电位脉冲，所以，中枢神经系统向每块眼肌发送的控制信号都是脉冲串。该图显示了眼球向鼻侧和颞侧 2 个水平方向上产生一系列快速眼动时神经元的典型发放模式。注意，当眼球向“ON”方向（即颞侧）运动时神经元的发放率大大增加；而向“OFF”方向（即鼻侧）运动时神经元的发放率为 0。还要注意，在扫视开始前约 5ms 神经元就开始爆发式发放，并且神经元的发放持续时间越长，扫视的幅度就越大。目标发生移动的時刻与眼球实际开始转动的時刻之间存在很大的延时，此延时不是常数。中枢神经系统利用此延时来估算将中央凹转向目标位置所需的作用力。扫视期间没有感受器来指示眼肌的拉伸程度，因此，扫视眼动是弹道式的，没有导航。

## 13.6 1984 年建立的交感神经支配的线性扫视眼动模型

根据生理现象，Bahill 等人于 1980 年提出了一个仿真水平方向眼动系统的四阶线性模型，此模型的仿真结果与眼动实验数据的匹配相当好，消除了 Westheimer 和 Robinson 两种模型与实验数据之间在速度和加速度上的差异。为了便于叙述，下面用 Enderle 等人 1984 年发表的修正模型。（有关该模型更全面的描述详见 Enderle 等人 2010a 的论文。）

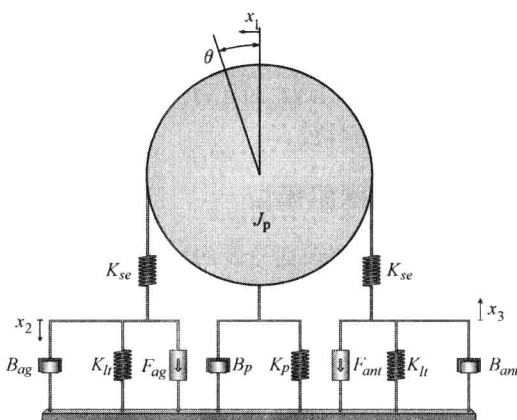


图 13.28 包含 2 块直肌的眼球模型

注：ag 和 ant 分别表示主动肌和拮抗肌， $\theta$  表示眼球转动的角度， $x_1$  表示转动的弧线长度。

前面已经分析过,  $B_{ag}$  和  $B_{ant}$  是速度的非线性函数。但是, 如图 13.29 所示, 利用多个直线段的近似, 我们可以将力—速度曲线组线性化。拮抗肌的活动通常在 5% 水平, 主动肌则在 100% 水平。这样, 我们可以假设  $B_{ag}$  和  $B_{ant}$  都是取值不同的常数, 因线性化之后的斜率有不同的值。

眼动模型中使用线性化的黏性元素之后, 就可以写出扫视幅度  $\theta$  的线性微分方程, 图 13.30 所示就是这种更新的模型。相关内容来自 Bahill 等人 (见参考文献 [4]) 和 Enderle 等人 (见参考文献 [20]) 发表的工作。

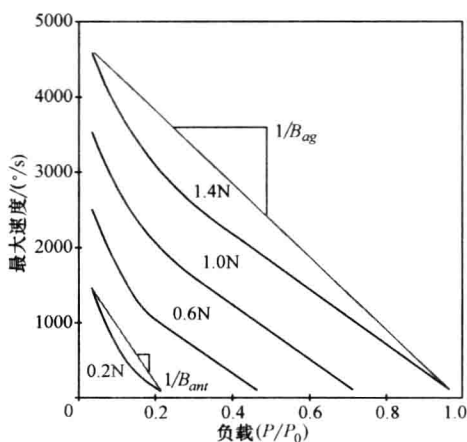


图 13.29 非线性力—速度曲线的线性化

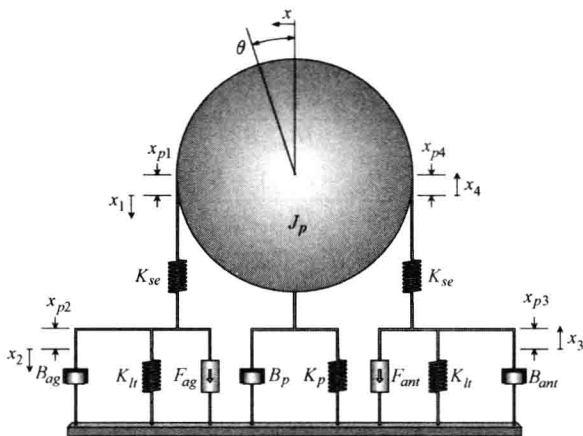


图 13.30 线性眼动模型

为了分析图 13.30 的模型, 首先画出分离体的受力图 (见图 13.31), 并写出如下节点方程:

$$\text{节点 1: } rK_{se}(x_2 - x_1) - rK_{se}(x_4 - x_3) = J_p \ddot{\theta} + B_p \dot{\theta} + K_p \theta$$

$$\text{节点 2: } F_{ag} = B_{ag} \dot{x}_2 + K_{se}(x_2 - x_1) + K_{li}x_2$$

$$\text{节点 3: } K_{se}(x_4 - x_3) = F_{ant} + K_{li}x_3 + B_{ant}\dot{x}_3$$

然后, 应用拉普拉斯变换 (详见 Enderle 1984 和 2010a 论文), 可得

$$\delta[K_{st}(F_{ag} - F_{ant}) + B_{ant}F_{ag} - B_{ag}\dot{F}_{ant}] = \ddot{\theta} + C_3 \ddot{\theta} + C_2 \dot{\theta} + C_1 \theta + C_0 \theta \quad (13.36)$$

其中

$$J = \frac{J_p}{r} \times 5.2087 \times 10^3, B = \frac{B_p}{r} \times 5.2087 \times 10^3, K = \frac{K_p}{r} \times 5.2087 \times 10^3,$$

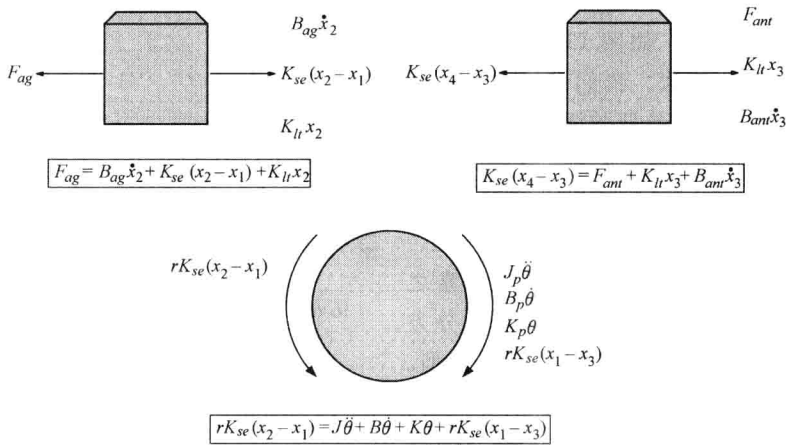


图 13.31 图 13.30 系统的分离体受力图

$$\theta = \frac{x}{r} \times \frac{180}{\pi} = 5.2087 \times 10^3 x, \delta = \frac{57.296 K_{se}}{r J B_{ant} B_{ag}}$$

$$C_3 = \frac{J K_{st} (B_{ag} + B_{ant}) + B B_{ant} B_{ag}}{J B_{ant} B_{ag}}$$

$$C_2 = \frac{J K_{st}^2 + B K_{st} (B_{ag} + B_{ant}) + B_{ag} B_{ant} (K + 2 K_{se})}{J B_{ant} B_{ag}}$$

$$C_1 = \frac{B K_{st}^2 + (B_{ag} + B_{ant}) (K K_{st} + 2 K_{se} K_{st} - K_{se}^2)}{J B_{ant} B_{ag}}$$

$$C_0 = \frac{K K_{st}^2 + 2 K_{se} K_{st} K_{lt}}{J B_{ant} B_{ag}}$$

脉冲—阶跃信号 (即神经控制信号) 的如下低通滤波信号给出主动肌和拮抗肌的激活态张力 (两种信号的曲线见图 13.11):

$$F_{ag} = F_{g0} u(-t) + (F_p + (F_{g0} - F_p) e^{-\frac{t}{\tau_{ac}}}) [u(t) - u(t - t_1)] + (F_{gs} + [F_p + (F_{g0} - F_p)] e^{-\frac{t_1}{\tau_{ac}}} - F_{gs}) e^{-\frac{(t-t_1)}{\tau_{de}}} u(t - t_1) \quad (13.37)$$

$$F_{ant} = F_{i0} u(-t) + F_{i0} e^{-\frac{t}{\tau_{de}}} [u(t) - u(t - t_1)] + (F_{is} + (F_{i0} e^{-\frac{t_1}{\tau_{de}}} - F_{is}) e^{-\frac{(t-t_1)}{\tau_{ac}}}) u(t - t_1)$$

式中  $F_{g0}$  ——主动肌激活态张力的初始幅值;

$F_p$  ——主动肌激活态张力的脉冲幅值;

$F_{gs}$  ——主动肌激活态张力的阶跃幅值;

$F_{i0}$  ——拮抗肌激活态张力的初始幅值;

$F_{is}$  ——拮抗肌激活态张力的阶跃幅值;

$\tau_{ac}$  ——激活时间常数;

$\tau_{de}$  ——去激活时间常数;

$t_1$  ——主动肌激活态张力脉冲的持续时间。

最后, 利用系统辨识方法 (即频率响应法) 来求解该扫视眼动模型的各个参数。扫视执行期间眼动系统工作于开环模式; 扫视结束之后, 中枢神经系统工作于闭环模式, 比较眼睛与目标位置之间的差距 (见参考文献 [5])。图 13.32 的框图显示了眼动系统的这种开环、闭环工作模式, 其中反馈元素  $H$  仅在非扫视的时间间隙起作用。系统辨识用于估计参数和闭环扫视时的输入信号。

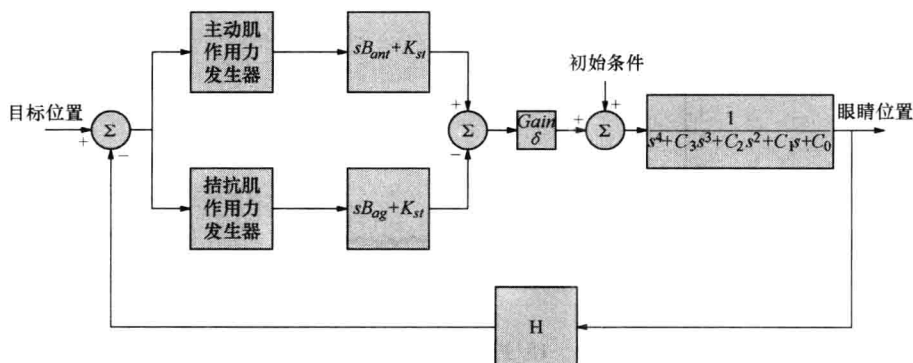


图 13.32 式 (13.36) 所示修正的线性眼动模型的框图

激活态张力的稳态值为

$$F_{ag} = \begin{cases} 0.14 + 0.0185\theta & \text{N} \quad \theta < 14.23^\circ \text{时} \\ 0.0283\theta & \text{N} \quad \theta \geq 14.23^\circ \text{时} \end{cases} \quad (13.38)$$

$$F_{ant} = \begin{cases} 0.14 - 0.00980\theta & \text{N} \quad \theta < 14.23^\circ \text{时} \\ 0 & \text{N} \quad \theta \geq 14.23^\circ \text{时} \end{cases}$$

系统辨识方法估计的该眼动系统的一组参数如下:

$$\begin{aligned} K_{se} &= 125 \text{ N/m} \\ K_{le} &= 32 \text{ N/m} \\ K &= 66.4 \text{ N/m} \\ B &= 3.1 \text{ Ns/m} \\ J &= 2.2 \times 10^{-3} \text{ Ns}^2/\text{m} \\ B_{ag} &= 3.4 \text{ Ns/m} \\ B_{ant} &= 1.2 \text{ Ns/m} \\ \tau_{ac} &= 0.009 \text{ s} \\ \tau_{de} &= 0.0054 \text{ s} \\ \delta &= 5.80288 \times 10^5 \end{aligned}$$

使用这组参数得到的眼动系统的特征值为  $-15$ 、 $-66$ 、 $-173$  和  $-1293$ 。

图 13.33 所示是目标位置为  $15^\circ$  时扫视幅度的仿真结果。除了含有过冲 (overshoot) 现象的扫视 (本章后面会介绍这种情况) 以外, 所有受试者的各种目标位移仿真结果的精确度都与图中所示相似。图 13.34 和图 13.35 的扫视速度和加速度的仿真结果进一步显示了系统辨识参数估计的精确性, 其中实验数据的估计值用两点中心差分法计算。

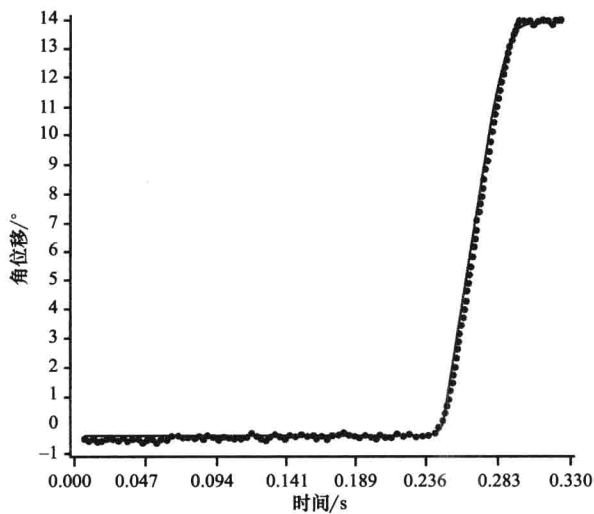


图 13.33 15°扫视眼动的幅度响应曲线

注：实线表示模型的预测值（其参数值用系统辨识法估计），圆点表示实验数据。

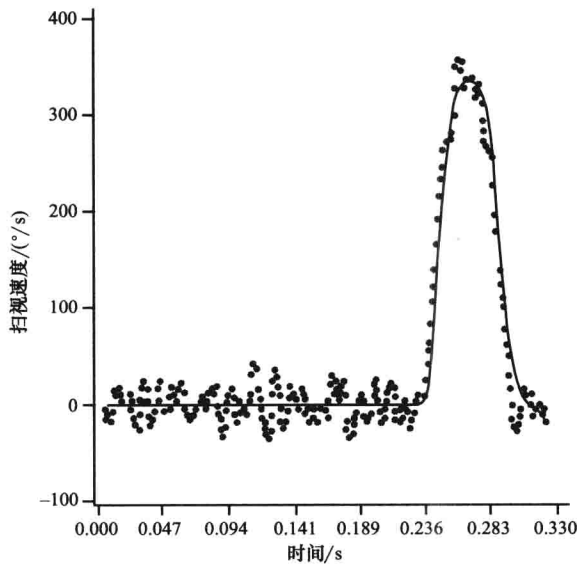


图 13.34 扫视眼动的速度曲线

注：实线表示修正的线性眼动模型的仿真结果，圆点表示实验数据的估计值。

例 13.6

请利用式（13.36）描述的眼动系统模型和下列参数值仿真 20°扫视：

$K_{se} = 125\text{N/m}$ ,  $K_{te} = 32\text{N/m}$ ,  $K = 66.4\text{N/m}$ ,  $B = 3.1\text{Ns/m}$ ,  $J = 2.2 \times 10^{-3}\text{Ns}^2/\text{m}$   
 $B_{ag} = 3.4\text{Ns/m}$ ,  $B_{ant} = 1.2\text{Ns/m}$ ,  $\tau_{ac} = 0.009\text{s}$ ,  $\tau_{de} = 0.0054\text{s}$ ,  $\delta = 5.80288 \times 10^5$ ,

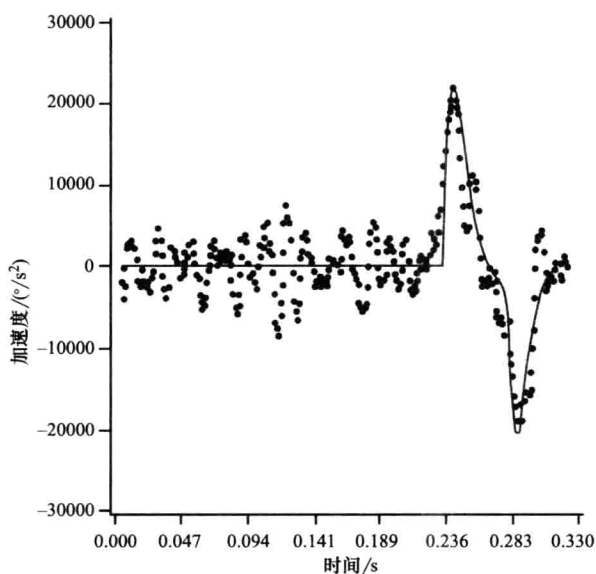


图 13.35 扫视眼动的加速度曲线

注：实线表示修正的线性眼动模型的仿真结果，圆点表示实验数据的估计值。

$F_p = 1.3\text{ N}$ ,  $t_1 = 31\text{ ms}$ , 潜伏期 =  $150\text{ ms}$ 。

画出神经控制的输入信号、主动肌和拮抗肌的激活态张力以及扫视位置、速度和加速度随时间变化的曲线。

解：

利用给定的参数值和以下 MATLAB 的 “.m” 程序给 Simulink 仿真程序的参数赋值：

$F_p = 1.3$

$t_1 = .031$

$\theta = 20$

$\theta_0 = 0$

$TDE = .0054$

$TAC = .009$

$t_{deinv} = 1/TDE$

$t_{acinv} = 1/TAC$

$KSE = 125$

$KLT = 32$

$K = 66.4$

$B = 3.1$

$J = 2.2 * 10^{-3}$

$BAG = 3.4$

```

BANT = 1.2
DELTA = 5.80261 * 10^5
KST = KLT + KSE
C0 = ((K * KST^2) + (2 * KSE * KST * KLT)) / (J * BANT * BAG)
C1 = ((B * KST^2) + (BAG + BANT) * ((K * KST) + (2 * KSE * KST) - KSE^2)) /
(J * BANT * BAG)
C2 = ((J * KST^2) + ((B * KST) * (BAG + BANT)) + ((BANT * BAG) * (K + (2 *
KSE)))) / (J * BANT * BAG)
C3 = (((J * KST) * (BAG + BANT)) + (B * BANT * BAG)) / (J * BANT * BAG)
if theta0 < 14.23
    Fag0 = 0.14 + 0.0185 * theta0
else
    Fag0 = 0.0283 * theta0
end
if theta0 < 14.23
    Fant0 = 0.14 - 0.0098 * theta0
else
    Fant0 = 0
end
if theta < 14.23
    Fagss = 0.14 + 0.0185 * theta
else
    Fagss = 0.0283 * theta
end
if theta < 14.23
    Fantss = 0.14 - 0.0098 * theta
else
    Fantss = 0
end
latent = .15
sstart = latent + t1
agstep = Fp - Fagss

```

图 13.36 所示是 Simulink 仿真程序, 其中图 a 是基于式 (13.36) 的主程序, 图 b 是系统的输入, 图 c 和图 d 分别是主动肌和拮抗肌的输入。图 13.37 所示是扫视位置、速度和加速度曲线, 以及主动肌的神经控制输入信号和激活态张力曲线、拮抗肌的神经控制输入信号和激活态张力曲线。

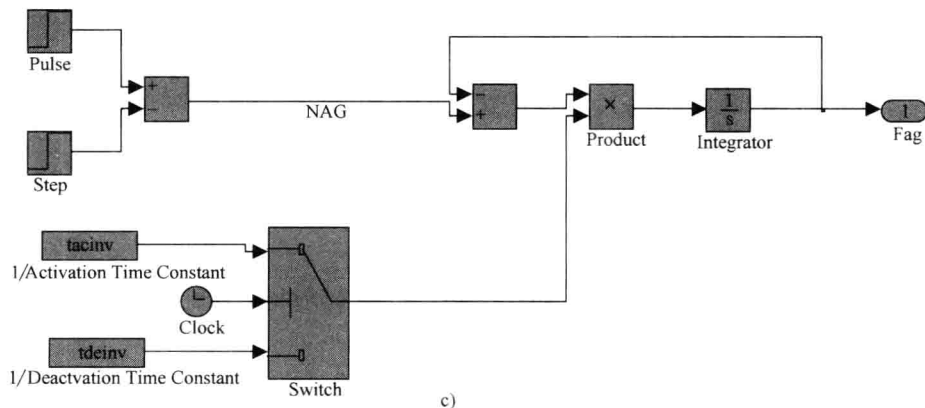
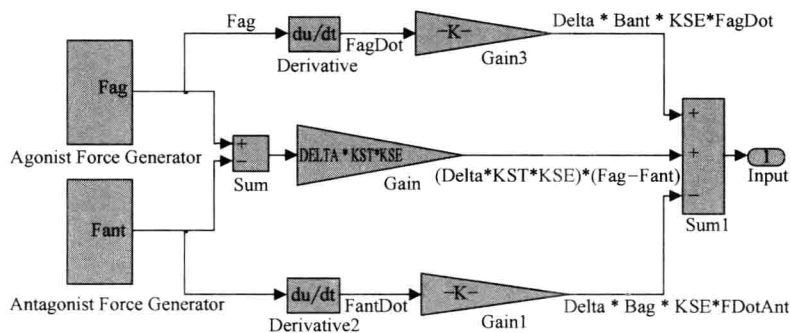
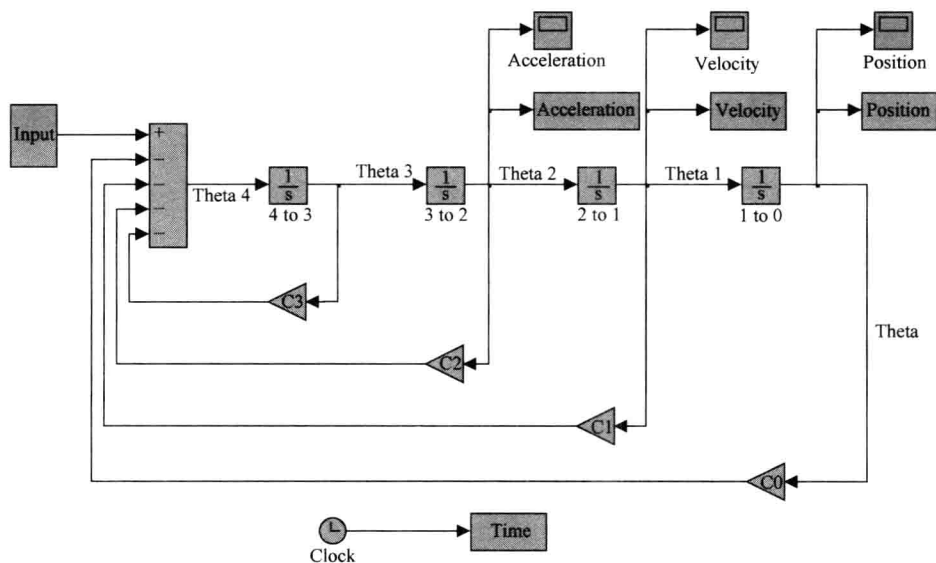


图 13.36 例 13.6 的 Simulink 仿真程序



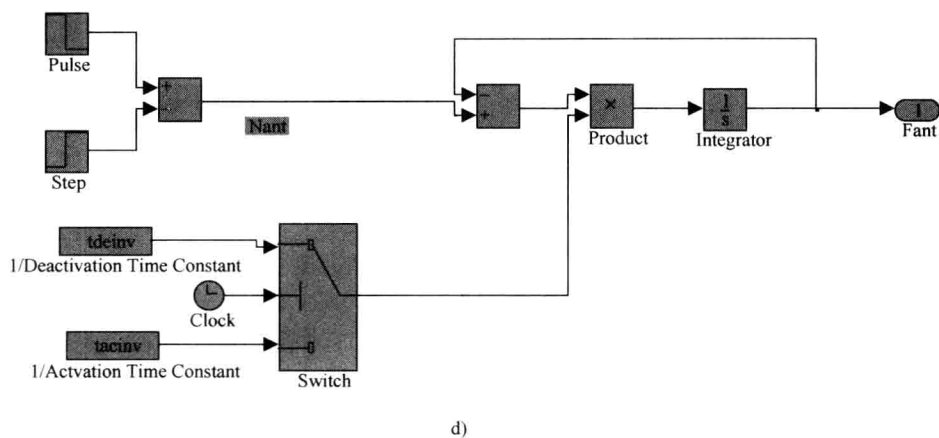
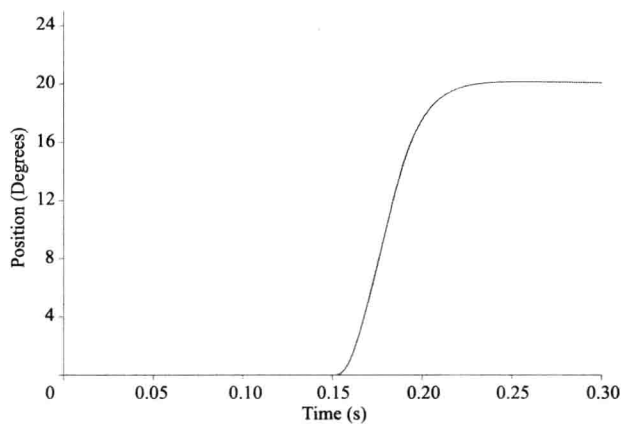
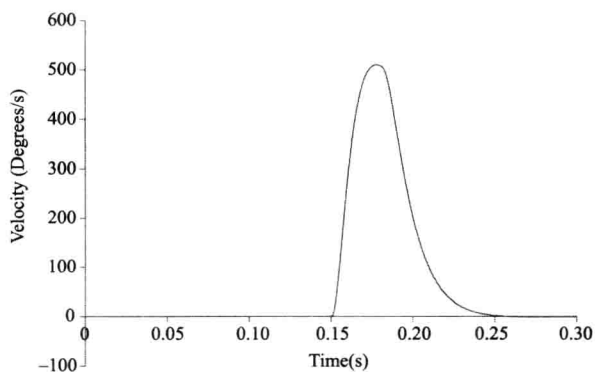


图 13.36 例 13.6 的 Simulink 仿真程序 (续)



a)



b)

图 13.37 例 13.6 的仿真结果

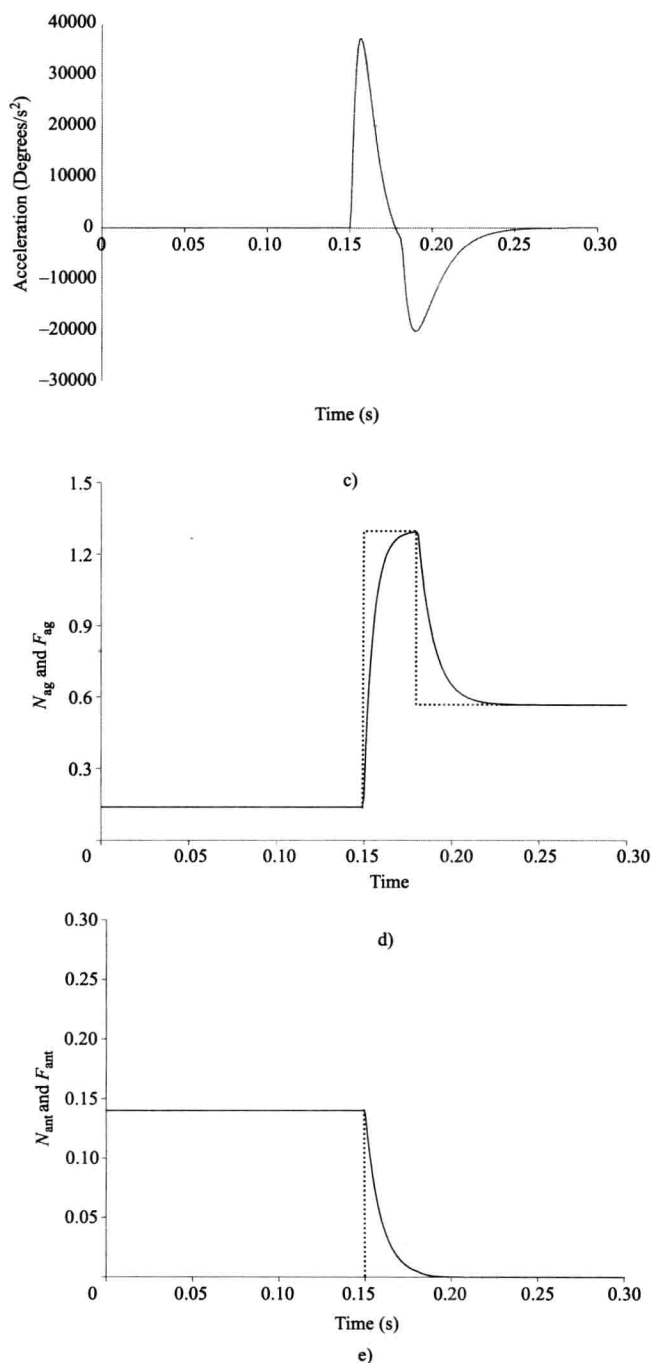


图 13.37 例 13.6 的仿真结果 (续)

注：包括扫视位置、速度和加速度曲线，以及主动肌的神经控制输入信号（虚线）和激活态张力曲线（实线），拮抗肌的神经控制输入信号和激活态张力曲线。

## 13.7 1995 年建立的线性扫视眼动模型

前一节讲述了利用线性化的力—速度关系建立的眼动系统的线性模型,并且推导了模型的线性微分方程。本节将建立新的眼肌线性模型来重新讨论眼肌的静态和动态特性。随着眼肌模型的更新,眼动系统的模型也将进一步更新。

### 13.7.1 线性眼肌模型

图 13.38 所示是改进的线性动眼肌模型。模型的每个元素都是根据生理实验数据建立的线性元素,包括黏性元素  $B_2$  与串联弹性元素  $K_{se}$  的并联组合,再加上激活态张力发生器  $F$ 、黏性元素  $B_1$  与长度—张力弹性元素  $K_{lt}$  的并联组合。变量  $x_1$  和  $x_2$  表示模型中各个刚性元素偏离平衡位置的位移。该模型与前述动眼肌模型在结构上的唯一区别就是添加了黏性元素  $B_2$ ,还去除了被动弹性元素  $K_{pe}$ 。正如下面将介绍的,黏性元素  $B_2$  是描述肌肉非线性力—速度特性的关键因素,而被动弹性元素  $K_{pe}$  是不必要的。

线性动眼肌系统中需要两种弹性元素,这是根据生理数据得出的结论。如前所述,串联弹性元素  $K_{se}$  及其数值是根据 Collins 的等张—等长收缩快速释放实验设定的。长度—张力弹性元素  $K_{lt}$  则从长度—张力曲线的斜率得到。两个线性黏性元素  $B_1$  和  $B_2$  的使用则基于等张实验所得数据,其值可以由本节下面所述的仿真结果得到。

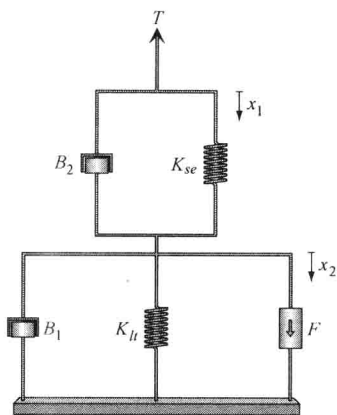


图 13.38 改进的线性眼肌模型示意图

注:其中包括激活态张力发生器  $F$ 、长度—张力弹性元素  $K_{lt}$  和黏性元素  $B_1$  三者的并联组合,再连接于串联弹性元素  $K_{se}$  和黏性元素  $B_2$  两者的并联组合。一旦受到激活态张力发生器的刺激,肌肉就会产生张力  $T$ 。

### 13.7.2 长度—张力曲线

由图 13.14 可见,当张力小于 10g 时,激活和非激活肌肉的长度—张力关系曲线是非线性的,非线性弹性假设就是根据这一实验结果提出的。1975 年,Collins 利用一种微型“C”形测力传感器,在人眼无约束活动过程中,于肌腱部位在体测量了肌张力。图 13.14 所示数据是手术过程中左眼直肌上测得的数据。测量时,被测者根据要求,用自由活动的右眼注视  $-45^\circ$  颞侧 T 到  $45^\circ$  鼻侧 N 上分布的各个目标物,从而诱发不同的神经控制刺激水平。同时,在左眼直肌的不同肌长度下(该眼直肌与眼球的连接已被断开),记录其对应于眼球位置从  $-45^\circ$  变化到  $45^\circ$  时的等长收缩张力。实验中整个眼球位置的变化范围所引起的肌肉长度总变化量约为 18mm。Collins 将长度—张力曲线描述

为“张力大于 10g 时是平行直线，小于 10g 时动眼肌开始松弛。”他还指出，在使用力传感器进行在体检测时，各种眼动期间眼直肌张力的正常值不会小于 10g，也就是肌肉不会进入松弛状态。

建立眼动系统肌肉模型时，必须使模型能够准确再现眼直肌正常工作范围内的静态特性。因此，动眼肌模型具有的长度—张力特性都必须包含大于 10g 张力的各条平行直线。前面章节所建立的眼肌模型考虑了张力在 10g 以下的长度—张力曲线的非线性。既然动眼肌不会工作于 10g 以下的张力状态，那么，即使线性模型的行为与这部分非线性区域不匹配，也没什么关系。正如本节将要证明的，如果将模型限定在动眼肌的工作范围之内，那么，只需使用串联弹性元素以及长度—张力弹性元素，就可以获得准确的长度—张力曲线的仿真结果，甚至在激活态张力为 0 的情况下也可以正确仿真。因此，没有必要像前面章节所要求的那样，在眼肌模型中使用被动弹性元素。

如前所述，眼睛处于直视前方的第一眼位时（即  $0^\circ$ ），眼动系统的眼直肌并不是处于平衡状态，因此，必须另外定义眼肌的平衡位置。平衡是指肌张力为 0 时的无伸缩状态，此时肌肉的输入信号为 0。 $45^\circ$ T 的长度—张力曲线被设为激活态张力为 0。一般，眼外直肌的平衡位置处于松弛区域内  $45^\circ$ T 长度—张力曲线与水平轴相交的地方。注意，这个交点并没有在 Collins 的数据（见图 13.14）中显示出来，不过，根据报道，该交点位于  $15^\circ$  左右，此时眼直肌长度比第一眼位时大约短 3mm，该数值是文献中常用的值。

由于正常眼动期间，眼肌并不会处于松弛状态，因此，从眼肌工作区域计算得到的平衡位点是更切合实际的。这里，我们根据松弛区域以上  $45^\circ$ T 长度—张力曲线的近似拟合直线来确定平衡位点。该拟合直线与水平轴的交点所给出的平衡位点值约为  $-19.3^\circ$ 。使用  $-19.3^\circ$  平衡位点之后，就没有必要像其他模型那样，再用弹性元素  $K_{pe}$  表示无刺激状态下眼肌的被动弹性特性。

图 13.38 所示线性眼肌模型所产生的张力可以表示为

$$T = \frac{K_{se}}{K_{se} + K_{lt}} F - \frac{K_{se} K_{lt}}{K_{se} + K_{lt}} x_1 \quad (13.39)$$

已知眼肌的长度—张力曲线的斜率等于  $0.8\text{g}/^\circ = 40.86\text{N}/\text{m}$ ，且  $K_{se} = 2.5\text{g}/^\circ = 125\text{N}/\text{m}$ ，因上式的斜率为

$$\frac{K_{se} K_{lt}}{K_{se} + K_{lt}} \quad (13.40)$$

就可以求得  $K_{lt}$  的值为  $1.2\text{g}/^\circ = 60.7\text{N}/\text{m}$ 。

为了估算眼球在各个不同注视位置下的激活态张力（详见 Collins 的论文 [7]），我们采用 Enderle 等人的方法（见参考文献 [19]），从式 (13.39) 求解激活态张力的稳态值，得到各个神经控制水平下的拟合直线，即

$$\text{当 } \theta > 0^\circ \text{ 时（即鼻侧 N 方向），有 } F = 0.4 + 0.0175\theta \text{N} \quad (13.41)$$

$$\text{当 } \theta \leq 0^\circ \text{ 时（即颞侧 T 方向），有 } F = 0.4 + 0.012\theta \text{N} \quad (13.42)$$

其中， $\theta$  为眼球偏离第一眼位的角度，单位为  $^\circ$ ，且  $\theta = 5208.7 \times (x_1 - 3.705)$ 。注意，

$5208.7 = \frac{180}{\pi r}$ , 其中  $r = 11\text{mm}$  为眼球半径。

图 13.39 所示是利用式 (13.39) ~ 式 (13.42) 求得的一组眼肌静态长度—张力曲线, 可用于描述长度—张力的实验结果。这里没有考虑肌肉在松弛区域的活动情况, 因为眼直肌正常工作时不会进入该区域。在眼肌工作区域内, 此图所示的长度—张力曲线与图 13.14 所示的眼肌工作区的实验数据吻合得非常好。

### 13.7.3 力—速度曲线

最初将眼肌的黏性特性设计为非线性, 是由于 Fenn 和 Marsh 的早期实验中没有发现预期的负载与最大速度之间存在的线性关系 (见参考文献 [22])。正如他们当时所指出的, “如果线性黏弹性系统能够准确描述眼肌, 那么, 其力—速度曲线应该是线性的, 并且, 力的损耗始终与速度成正比, 而曲线的斜率就是黏性系数。” 其实, 1974 年 Close 和 Luff 用眼直肌重复进行了同样的实验, 并得到类似的结果。

13.5.4 节所述的检验眼肌黏弹性模型的经典力—速度实验具有两个假设。第一个假设是, 眼肌等张收缩期间负载产生的惯性力可以忽略不计; 第二个假设是, 如果杠杆比不足以将质量减少到可以忽略的程度, 那么, 就在最大速度时刻进行测量, 此时加速度为 0, 因此惯性力等于 0。如果这

两个假设成立, 那么, 当负载重力变化时, 所测得的肌张力实验数据就不会受到惯性力的影响。但是, 实际上, 这两个假设都不成立。第一个假设的问题是, 惯性力不可能小到可以忽略的程度, 必须予以考虑。第二个假设的问题是, 在非 0 惯性质量的作用下, 最大速度与达到此速度之前肌肉受到的作用力相关。本节将在考虑惯性力的情况下, 重新仔细研究眼肌的力—速度关系。

线性眼肌模型的动态特性由力—速度曲线来描述, 这种曲线可以用图 13.20 所示杠杆系统完成的等张实验数据求得。对于刚性杠杆, 位移  $x_1$  和  $x_3$  直接与角度  $\theta_1$  成正比, 并且  $x_1$  与  $x_3$  相互之间也成正比, 即

$$\theta_1 = \frac{x_1}{d_1} = \frac{x_3}{d_3} \quad (13.43)$$

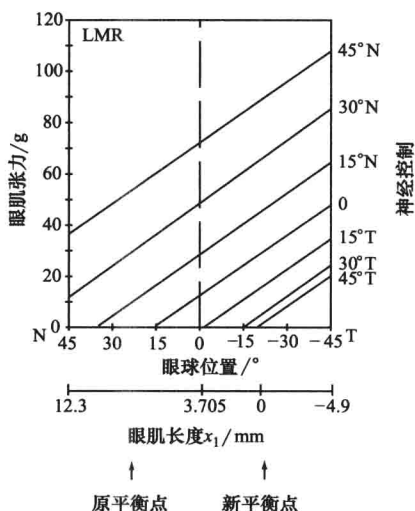


图 13.39 利用线性眼肌模型, 即式 (13.39) ~ 式 (13.42), 求得的长度—张力曲线

注: 其中, 输入信号大小分别为:  $45^\circ\text{N}$  时,  $F = 130\text{ g}$ ;  $30^\circ\text{N}$  时,  $F = 94.3\text{ g}$ ;  $15^\circ\text{N}$  时,  $F = 64.9\text{ g}$ ;  $0^\circ$  时,  $F = 40.8\text{ g}$ ;  $15^\circ\text{T}$  时,  $F = 21.7\text{ g}$ ;  $30^\circ\text{T}$  时,  $F = 5.1\text{ g}$ ;  $45^\circ\text{T}$  时,  $F = 0\text{ g}$ 。这些直线的参数值与图 13.14 相匹配。

杠杆所受到的力矩为

$$Mgd_3 + Md_3^2 \ddot{\theta}_1 = d_1 K_{se}(x_2 - x_1) + d_1 B_2(\dot{x}_2 - \dot{x}_1) \quad (13.44)$$

眼肌模型内部节点 2 上的作用力之和为

$$F = K_{lt}x_2 + B_1\dot{x}_2 + B_2(\dot{x}_2 - \dot{x}_1) + K_{se}(x_2 - x_1) \quad (13.45)$$

将式 (13.43) 代入式 (13.44), 消去  $\theta_1$ , 可得

$$Mg \frac{d_3}{d_1} + M \left( \frac{d_3}{d_1} \right)^2 \ddot{x}_1 = K_{se}(x_2 - x_1) + B_2(\dot{x}_2 - \dot{x}_1) \quad (13.46)$$

理论上, 要计算杠杆系统的力-速度曲线, 就要先求解  $x_1(t)$ ; 然后, 再用  $x_1(t)$  求  $\dot{x}_1(t)$  和  $\ddot{x}_1(t)$ ; 最后根据 Close 和 Luff 的实验条件, 求速度  $V_{\max} = \dot{x}_1(T)$ , 此处时间  $T$  是肌肉收缩开始到停止所花费的时间。其实, 对于各个不同的数据点, 该速度并不一定是最大速度, 为了叙述方便, 这里就用符号  $V_{\max}$  表示力-速度曲线中的各个速度值。注意, 此速度的定义与 Fenn 和 Marsh 的速度定义不同, Fenn 和 Marsh 将最大速度定义为  $V_{\max} = \dot{x}_1(T)$ , 但其中的时间  $T$  由  $\ddot{x}_1(T) = 0$  求得。

要注意, 这是一个三阶系统,  $x_1(t)$  的求解并不简单, 涉及指数近似法。参考文献 [17] 和 [14] 介绍了由四阶模型求  $V_{\max}$  指数近似解的方法。还有一种权宜之计就是直接用数值方法仿真求解  $x_1(t)$ , 然后用于计算随负载变化的  $V_{\max}$  函数。

仿真等张实验时, 先从前述各个长度-张力曲线和眼直肌数据中计算出各个弹性元素的系数, 各个黏性元素的参数则取自 Enderle 等人 1991 年发表的数值, 即  $B_1 = 2.0 \text{ Ns/m}$  和  $B_2 = 0.5 \text{ Ns/m}$ 。其中,  $B_1$  由等张时间过程的时间常数求得;  $B_2$  则通过力-速度的仿真曲线与实验曲线的拟合求得, 所取的  $B_2$  值使两者拟合误差最小。

如图 13.40 所示, 三角形表示利用式 (13.45) 求得的力-速度数据点, 实线是经验拟合曲线。显然, 拟合曲线与仿真数据匹配很好, 并且, 线性眼肌模型的力-速度曲线并不是直线。

式 (13.44) 和式 (13.45) 所描述的眼肌杠杆实验模型是一个三阶线性系统, 具有三个极点。其特征值 (即极点) 的性质由参数值决定, 可以是 3 个都是实数极点, 也可以是一个实数极点加上一对共轭复数极点。实数极点是系统的主特征值。由灵敏度分析可知, 黏性元素  $B_1$  的数值对系统的主特征值 (即时间常数) 影响最大, 而黏性元素  $B_2$  则对主特征值没什么影响。因此, 只要估计黏性元素  $B_1$  的数值, 使杠杆系统模型的主时间常数与等张实验数据的时间常

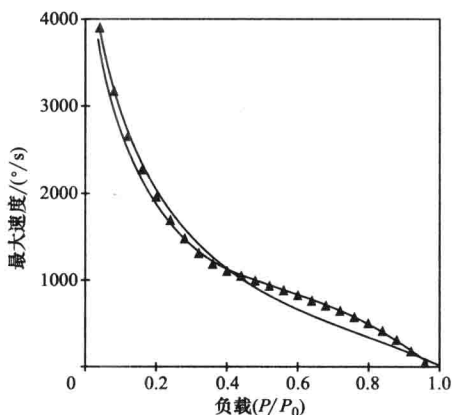


图 13.40 由线性眼肌模型仿真求得的力-速度曲线 (摘自 Enderle 等人的论文 [19])

注: 三角形表示仿真计算得到的数据点, 实线表示 Close 和 Luff (见参考文献 [6]) 所述的经验拟合力-速度数据。

数相匹配就可以了。当  $B_1 > B_2$  时, 主时间常数约为  $B_1/K_u$ 。对于眼直肌数据, 等张实验的持续时间约为 100ms。取  $B_1 = 2.0\text{Ns/m}$  时, 所得到的仿真等张响应曲线也有约 100ms 的持续时间。对于骨骼肌实验数据, 等张实验的持续时间约为 400ms, 取  $B_1 = 6.0\text{Ns/m}$  时, 所产生的仿真等张响应曲线也具有相似的持续时间。我们知道快肌和慢肌具有不同形状的力—速度曲线, 并且快肌的力—速度曲线的曲率较小。有趣的是, 这里得到的两个  $B_1$  参数值分别给出了对应于快肌 (即眼直肌) 和慢肌 (即骨骼肌) 的两种不同力—速度曲线。

黏性元素  $B_2$  的参数值通过力—速度的仿真曲线与实验曲线的拟合求得, 测试各种  $B_2$  的值使两者拟合误差达到最小。当  $B_2$  的值从  $0.5\text{Ns/m}$  逐渐减小时, 力—速度曲线的形状越来越接近线性函数。而且, 当  $B_2$  的值降到小于  $0.3\text{Ns/m}$  时, 等张实验的仿真结果会出现强烈的振荡, 而实验数据中并不存在这种情况。因此, 黏性元素  $B_2$  是肌模型的必要组成部分。如果没有它, 力—速度曲线就接近线性, 那么, 等张模型的时间过程就与实验数据无法匹配。

通过改变杠杆实验眼肌模型的参数值, 可以改变系统的特征值。例如, 设  $M = 0.5\text{kg}$ , 使用上述  $B_1$  和  $B_2$  参数值, 可以求得系统的特征值为: 一个实数极点  $-30.71$  和一对共轭复数极点  $-283.9 \pm j221.2$ 。如果  $B_2$  的值增大, 将会得到 3 个实数特征值; 如果  $B_2$  的值减小, 则还是一个实数极点和一对共轭复数极点。改变  $B_1$  的值并不改变特征值的组成, 但却会显著改变主特征值的大小。例如,  $B_1 = 0.1$  时, 主特征值为  $-292$ ;  $B_1 = 6$  时, 主特征值就变为  $-10$ 。

### 13.7.4 1995 年建立的线性扫视眼动模型

13.6 节介绍的眼动系统线性模型是 Hsu 等人 (见参考文献 [33]) 的非线性眼动系统模型的线性化结果, 也就是将力—速度曲线和弹性曲线进行了线性化处理。如果直接利用本节前面所述的眼肌线性模型, 那么, 不需要线性化处理就可以推导出更真实的线性扫视眼动模型。

本节前面所述的线性眼肌模型包含了眼直肌的静态特性和动态特性, 并且没有任何非线性元素。如前所述, 该模型利用线性黏性元素模拟出一种非线性力—速度关系曲线, 此曲线与眼肌的实验数据相符。并且, 模型的长度—张力特性也与工作范围内的眼肌实验数据非常吻合。此外, 线性眼肌模型还有其他优势, 例如, 如果平衡位点设为  $x_e = -19.3^\circ$ , 而不是  $15^\circ$ , 那么, 模型中就不需要用被动弹性元素; 并且, 肌肉的黏性系数是一个常数, 与神经控制输入信号的强弱无关。

图 13.41 显示了新的水平方向眼动系统的力学组成结构, 包括内、外眼直肌和眼球。主动肌用串联在一起的两个并联组合来模拟, 一个并联组合由黏性元素  $B_2$  和串联弹性元素  $K_u$  组成, 另一个并联组合由激活态张力发生器  $F_{ag}$ 、黏性元素  $B_1$  和长度—张力弹性元素  $K_u$  组成。为了简化, 设主动肌黏性系数与拮抗肌黏性系数相等。拮抗肌的模型与主动肌相同, 只要将其激活态张力改为  $F_{ant}$  即可。假设该眼动系统的每个元素都是理想且线性的。

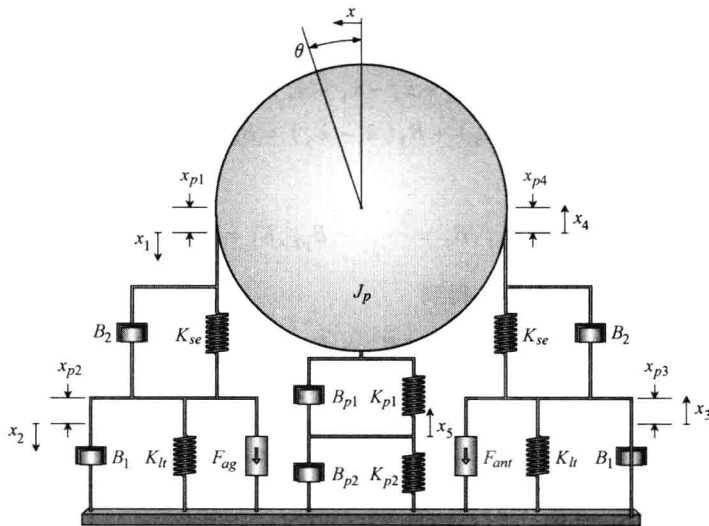


图 13.41 更新的水平方向眼动系统力学结构示意图

注：图中所示各个眼肌处于偏离平衡位置的第一眼位，即眼睛直视前方，与生理现象一致。眼直肌在第一眼位的平均长度约为 40mm，而在平衡位置时约为 37mm。 $\theta$  为眼球偏离第一眼位的角度，变量  $x$  是弧线的长度。眼球处于第一眼位时， $\theta$  和  $x$  均为 0。变量  $x_1 \sim x_4$  分别表示两块眼肌的各个刚性元素偏离平衡位置的位移。参数值  $x_{p1} \sim x_{p4}$  分别是第一眼位下变量  $x_1 \sim x_4$  偏离平衡位置的位移值。第一眼位下眼肌偏离平衡位置的总长度变化是  $x_{p1} + x_{p2}$ ，也就是  $x_{p3} + x_{p4}$ ，约为 3 mm。假设内、外两块眼直肌相同，就有  $x_{p1} = x_{p4}$ ， $x_{p2} = x_{p3}$ 。眼球半径为  $r$ 。

图 13.41 中，眼球用转动惯量为  $J_p$  的球体模拟，并与 2 个串联连接的黏弹性元素相连。该眼球模型根据 Robinson 于 1981 年发表的实验结果建立，介绍如下。在前面 13.6 节所述的眼动系统模型中，被动弹性元素  $K_{pe}$  与眼眶组织的被动弹性特性结合在一起。而本节所述的线性眼肌新模型不包含弹性元素  $K_{pe}$ 。因此，这里要根据 Robinson 的实验结果，重新设定眼窝组织的被动弹性特性。Robinson 在 1981 年指出，“断开水平直肌后，如果将人眼移动一个距离，然后突然放开，眼球会以 0.02s 左右的时间常数迅速恢复约 61% 的位移，而后，再以 1s 左右的时间常数缓慢回复到原位。”该实验现象表明，该系统中至少存在 2 个黏弹性元素。因此，这里用 2 个黏弹性元素的串联组合来代替前一节所述模型中的单个黏弹性元素，并与眼球相连。这 2 个黏弹性元素分别由  $B_{p1}$  与  $K_{p1}$  并联以及  $B_{p2}$  与  $K_{p2}$  并联构成。如 Robinson 所提出的，眼眶的总弹性系数为  $12.8 \times 10^{-7} \text{ g/}^\circ$ （按比例计算）。于是，根据上述时间常数，眼眶各个黏弹性元素的参数分别为  $K_{p1} = 1.28 \times 10^{-6} \text{ g/}^\circ$ ， $K_{p2} = 1.98 \times 10^{-6} \text{ g/}^\circ$ ， $B_{p1} = 2.56 \times 10^{-8} \text{ g/}^\circ$ ， $B_{p2} = 1.98 \times 10^{-6} \text{ g/}^\circ$ 。为了方便建模，用变量  $\theta_s$  表示这 2 个黏弹性元素偏离平衡位置的变化量。 $\theta$  和  $\theta_s$  这两个变量都不出现在模型方程中，它们将被  $\theta = 57.296x/r$  和  $\theta_s = 57.296x_s/r$  代替。

在图 13.41 所示模型中，分别求节点 2 和节点 3 的作用力之和、眼球所受力矩之和以及节点 5 的作用力之和，可以得到如下 4 个方程组成的方程组：



$$\begin{aligned}
F_{ag} &= K_{lt}x_2 + B_1\dot{x}_2 + K_{se}(x_2 - x_1) + B_2(\dot{x}_2 - \dot{x}_1) \\
B_2(\dot{x}_4 - \dot{x}_3) + K_{se}(x_4 - x_3) &= F_{ant} + K_{lt}x_3 + B_1\dot{x}_3 \\
B_2(\dot{x}_2 + \dot{x}_3 - \dot{x}_1 - \dot{x}_4) + K_{se}(x_2 + x_3 - x_1 - x_4) &= J\ddot{x} + B_3(\dot{x} - \dot{x}_5) + K_1(x - x_5) \\
K_1(x - x_5) + B_3(\dot{x} - \dot{x}_5) &= B_4\dot{x}_5 + K_2x_5
\end{aligned} \quad (13.47)$$

其中

$$J = \frac{57.296}{r^2}J_p, B_3 = \frac{57.296}{r^2}B_{p1}, B_4 = \frac{57.296}{r^2}B_{p2}, K_1 = \frac{57.296}{r^2}K_{p1}, K_2 = \frac{57.296}{r^2}K_{p2}$$

再求工作点附近的拉普拉斯变换, 得到

$$\begin{aligned}
K_{SE}K_{12}(F_{ag} - F_{ant}) + (K_{SE}B_{34} + B_2K_{12})(\dot{F}_{ag} - \dot{F}_{ant}) + B_2B_{34}(\ddot{F}_{ag} - \ddot{F}_{ant}) = \\
C_4\ddot{\ddot{x}} + C_3\ddot{\ddot{x}} + C_2\ddot{\ddot{x}} + C_1\dot{\ddot{x}} + C_0x
\end{aligned} \quad (13.48)$$

其中

$$\begin{aligned}
B_{34} &= B_3 + B_4, K_{12} = K_1 + K_2 \\
C_4 &= JB_{12}B_{34} \\
C_3 &= B_3B_4B_{12} + 2B_1B_2B_{34} + JB_{34}K_{st} + JB_{12}K_{12} \\
C_2 &= 2B_1B_{34}K_{se} + JK_{st}K_{12} + B_3B_{34}K_{st} + B_3B_{12}K_{12} + K_1B_{12}B_{34} \\
&\quad - B_3^2K_{st} - 2K_1B_3B_{12} + 2B_2K_{lt}B_{34} + 2B_1K_{12}B_2 \\
C_1 &= 2K_{lt}B_{34}K_{se} + 2B_1K_{12}K_{se} + B_3K_{st}K_2 + K_1B_{34}K_{st} + K_1B_{12}K_{12} - K_{st}K_1B_3 \\
&\quad - K_1^2B_{12} + 2B_2K_{lt}K_{12} \\
C_0 &= 2K_{lt}K_{se}K_{12} + K_1K_{st}K_2
\end{aligned}$$

将  $x$  转换为  $\theta$ , 得到

$$\begin{aligned}
\delta[K_{se}K_{12}(F_{ag} - F_{ant}) + (K_{se}B_{34} + B_2K_{12})(\dot{F}_{ag} - \dot{F}_{ant}) + B_2B_{34}(\ddot{F}_{ag} - \ddot{F}_{ant})] \\
= \ddot{\ddot{\theta}} + P_3\ddot{\ddot{\theta}} + P_2\ddot{\ddot{\theta}} + P_1\dot{\ddot{\theta}} + P_0\ddot{\theta}
\end{aligned} \quad (13.49)$$

其中

$$\delta = \frac{57.296}{rJB_{12}B_{34}}, P_3 = \frac{C_3}{C_4}, P_2 = \frac{C_2}{C_4}, P_1 = \frac{C_1}{C_4}, P_0 = \frac{C_0}{C_4}, B_{12} = B_1 + B_2$$

基于实验数据的分析, 眼动系统的合理参数估计值如下:

$$\begin{aligned}
K_{SE} &= 125 \text{ N/m} \\
K_{LT} &= 60.7 \text{ N/m} \\
B_1 &= 2.0 \text{ Ns/m} \\
B_2 &= 0.5 \text{ Ns/m} \\
J &= 2.2 \times 10^{-3} \text{ Ns}^2/\text{m} \\
B_3 &= 0.538 \text{ Ns/m} \\
B_4 &= 41.54 \text{ Ns/m} \\
K_1 &= 26.9 \text{ N/m} \\
K_2 &= 41.54 \text{ N/m}
\end{aligned}$$

根据前一节所述的改进眼肌模型及其长度-张力数据, 可以计算出激活态张力的稳态值为

$$F = \begin{cases} 0.4 + 0.0175\theta & \text{N } \theta \geq 0^\circ \text{ 时} \\ 0.4 + 0.0125\theta & \text{N } \theta < 0^\circ \text{ 时} \end{cases} \quad (13.50)$$

设主动肌和拮抗肌的激活态张力与图 13.11 所示相同, 并且没有潜伏期, 则这两个张力的曲线就是如下低通滤波之后的波形:

$$\dot{F}_{ag} = \frac{N_{ag} - F_{ag}}{\tau_{ag}}, \quad \dot{F}_{ant} = \frac{N_{ant} - F_{ant}}{\tau_{ant}} \quad (13.51)$$

式中  $N_{ag}$  和  $N_{ant}$ ——主动肌和拮抗肌神经控制输入信号, 即脉冲-阶跃波形;

$\tau_{ag}$  和  $\tau_{ant}$ ——时间常数, 其计算公式为

$$\begin{aligned} \tau_{ag} &= \tau_{ac} [u(t) - u(t - t_1)] + \tau_{de} u(t - t_1) \\ \tau_{ant} &= \tau_{de} [u(t) - u(t - t_1)] + \tau_{ac} u(t - t_1) \end{aligned}$$

根据实验数据的分析结果, 眼动系统的各个参数分别为:  $K_{se} = 125 \text{ N/m}$ ,  $K_u = 60.7 \text{ N/m}$ ,  $B_1 = 2.0 \text{ Ns/m}$ ,  $B_2 = 0.5 \text{ Ns/m}$ ,  $J = 2.2 \times 10^{-3} \text{ Ns}^2/\text{m}$ ,  $B_3 = 0.538 \text{ Ns/m}$ ,  $B_4 = 41.54 \text{ Ns/m}$ ,  $K_1 = 26.9 \text{ N/m}$ ,  $K_2 = 41.54 \text{ N/m}$ ,  $r = 0.0118 \text{ m}$ 。

该模型仿真所得到的扫视眼动各项特性, 如位置、速度、加速度和各个主特性曲线, 都与实验数据匹配得很好。与前一节结果相同, 主动肌脉冲幅值与脉冲持续时间两

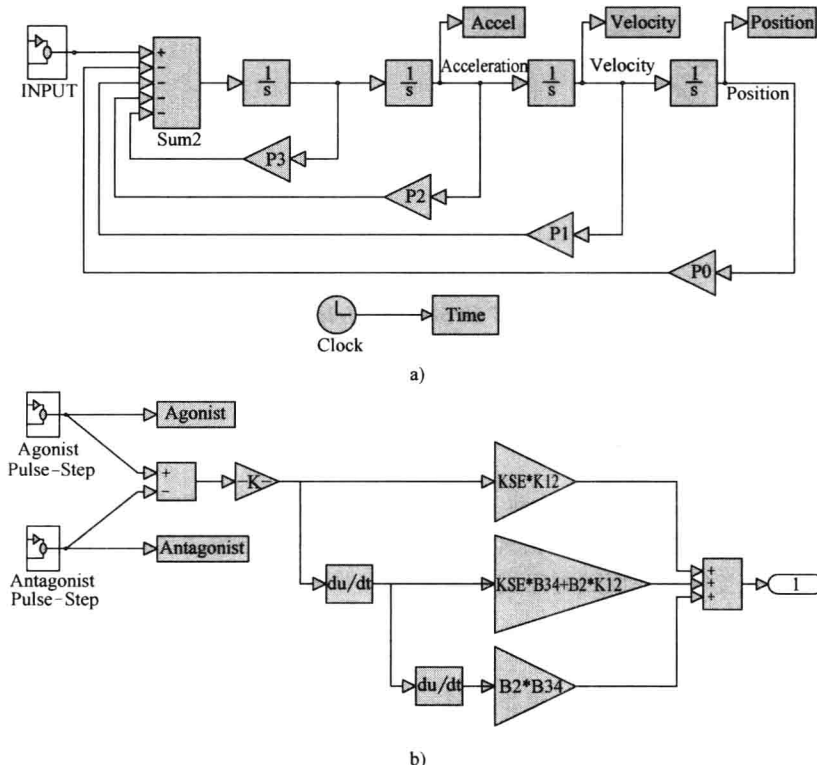


图 13.42 例 13.7 的 Simulink 仿真程序模块

a) 方程 (13.49) 定义的模型 b) 输入模块

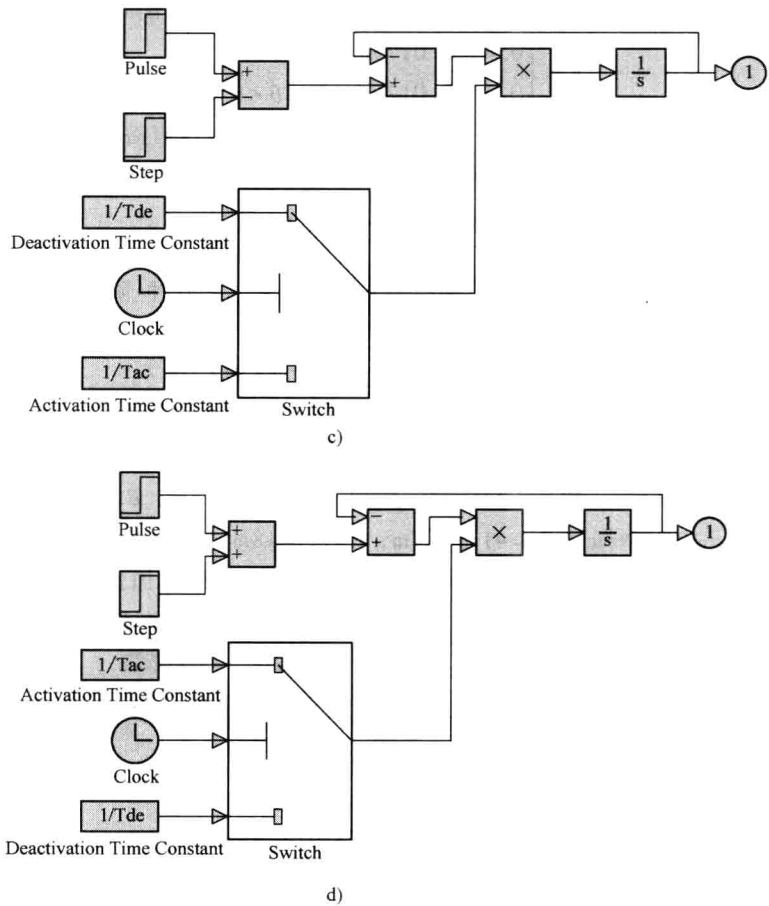


图 13.42 例 13.7 的 Simulink 仿真程序模块（续）  
c) 主动肌的脉冲-阶跃信号模块 d) 拮抗肌的脉冲-阶跃信号模块

者之间紧密相关。

例 13.7

请应用方程（13.49）的眼动系统模型及其后面所列的相关参数，以及方程（13.50）表示的稳态输入信号，仿真  $10^\circ$  扫视眼动过程。画出主动肌和拮抗肌的激活态张力、位置、速度和加速度随时间变化的曲线，并将仿真结果与图 13.6 所示的主特性曲线进行比较。

解：

本题求解的关键是要选择一组参数值，包括  $F_p$ 、 $t_1$ 、 $\tau_{ac}$ 、 $\tau_{de}$  等，使模型的仿真结果可以与图 13.6 所示主特性曲线相匹配。 $10^\circ$  扫视的仿真可以用很多不同的参数值来实现，其约束条件只有扫视持续时间为  $40 \sim 50\text{ms}$ ，最大速度范围为  $500 \sim 600^\circ/\text{s}$ 。根据实际情况，再加上  $150\text{ms}$  潜伏期。图 13.42 所示是方程（13.49）的 Simulink 仿真程序

模块图, 图 13.43 所示是仿真结果。

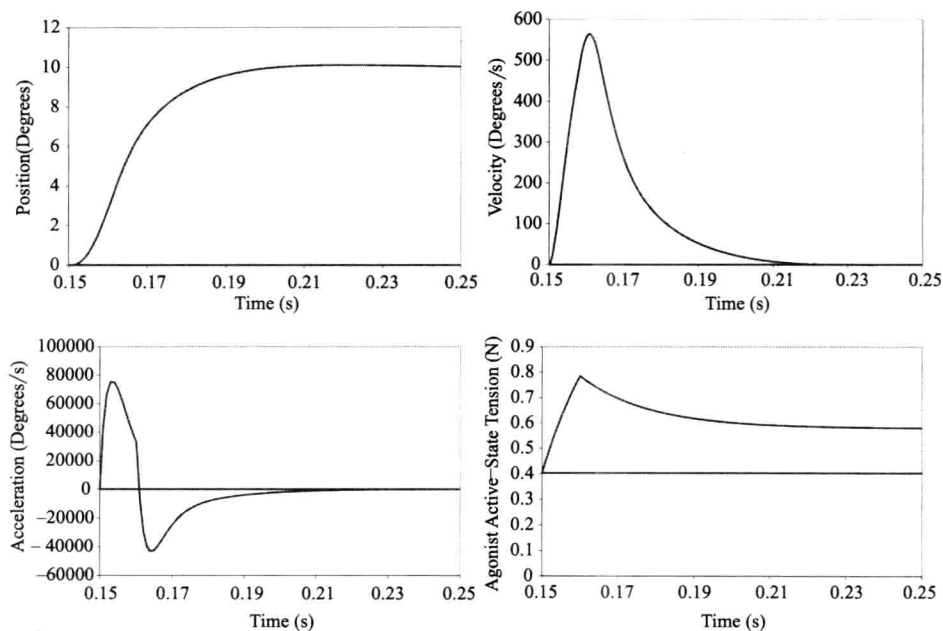


图 13.43 例 13.7 的仿真结果 (参数为  $F_p = 1.3 \text{ N}$ ,

$$t_1 = 0.10 \text{ s}, \tau_{ac} = 0.018 \text{ s}, \tau_{de} = 0.018 \text{ s})$$

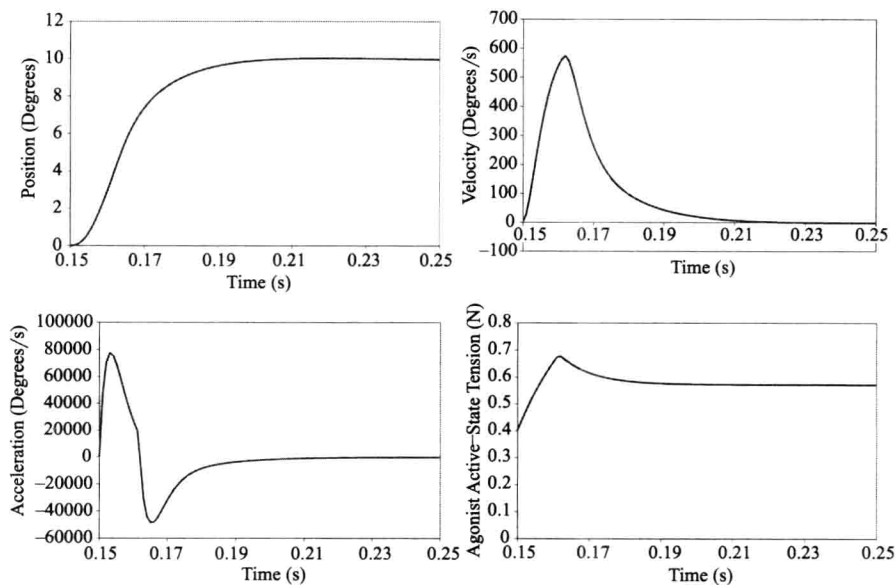


图 13.44 例 13.7 的仿真结果 (参数为  $F_p = 1.0 \text{ N}$ ,

$$t_1 = 0.010 \text{ s}, \tau_{ac} = 0.018 \text{ s}, \tau_{de} = 0.009 \text{ s})$$

采用其他参数值也可以仿真 10°扫视眼动过程。例如，可以将时间常数  $\tau_{de}$  减小为 0.009s。这样，拮抗肌的激活态张力下降到 0 的速度就比以上仿真要快，导致总激活态张力  $F_{ag} - F_{ani}$  增大。因此，如果  $\tau_{ac}$  仍为 0.018s，且  $t_1 = 0.0115s$ ，那么，要使 10°扫视仍然具有合理的主特性曲线， $F_p$  就必须减小到 1.0 N。此时 10°扫视的仿真结果如图 13.44 所示。

如果要仿真较大幅度扫视活动的主特性曲线，主动肌和拮抗肌激活态张力的时间常数可以保持不变，与 10°扫视时的取值一样，也可以设定为扫视幅度的函数（参见参考文献 [1] 提出的几种与扫视幅度相关的时间常数）。取  $F_p = 1.3N$ ，两个时间常数仍然为 0.018s，并分别设  $t_1 = 0.0155s$  和  $t_1 = 0.0223s$ ，就可以仿真 15°和 20°扫视眼动的各个主特性曲线。图 13.45 显示了 20°扫视的仿真结果，其中最大速度为 682°/s，持续时间为 60ms。

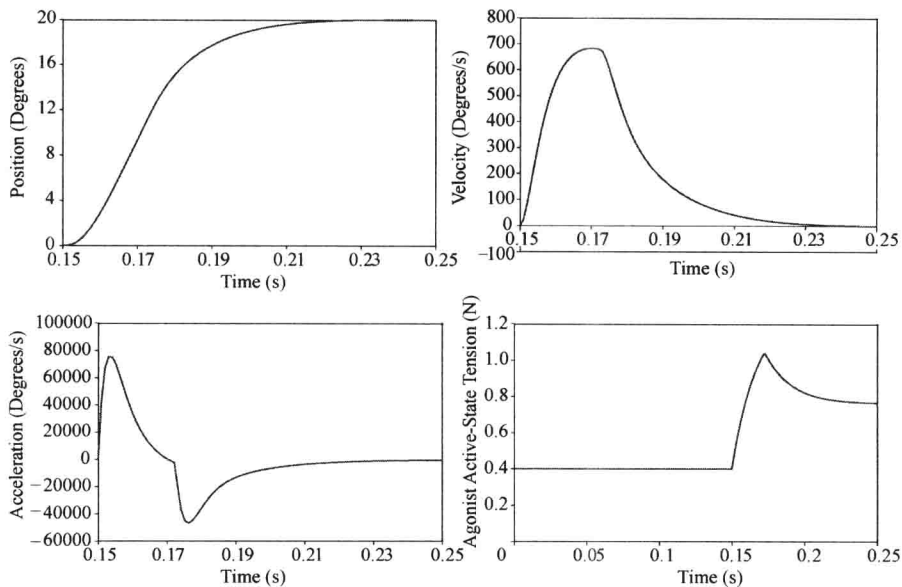


图 13.45 例 13.7 的仿真结果（参数为  $F_p = 1.3N$ ，  
 $t_1 = 0.0223s$ ， $\tau_{ac} = 0.018s$ ， $\tau_{de} = 0.018s$ ）

总之，要维持同样的扫视幅度，如果  $F_p$  增加了， $t_1$  就要减小。另外，最大速度会随着  $F_p$  的增大而增加。如果两个时间常数之一或者两者都增加，那么，要保持扫视幅度不变， $F_p$  也要增加。

### 13.8 2009 年建立的线性扫视眼动模型

本节进一步探讨包含扫视后行为的快速眼动系统，包括正常扫视和带有动态过冲（dynamic overshoot）或者滑动过冲（glissadic overshoot）的扫视，将采用 Zhou 等人（见

参考文献 [50]) 和 Enderle 等人 (见参考文献 [18]) 提出的模型。在人眼的扫视过程中常见的扫视后行为有动态过冲或者滑动过冲 (见参考文献 [47])。动态过冲是指眼睛的转动超过了目标位置, 然后无延时地快速返回, 就像再来一次扫视一样, 眼睛回到目标位置。滑动过冲与动态过冲相似, 但返回的速度较慢。为了分析扫视后行为, 根据生理现象 (见参考文献 [26]), 现在将眼肌的神经控制输入信号描述为脉冲-滑落-阶跃信号 (Pulse-Slide-Step), 其中滑落是脉冲至阶跃之间较缓慢的一段指数变化过渡期。

如图 13.46 所示是眼动系统模型, 其中眼球的被动弹性元素与图 13.41 模型不同, 它将 2 个串联的 Voigt 元素改变成单个 Voigt 元素。也就是保留了时间常数为 0.02s 的 Voigt 元素, 而将时间常数为 1s 的 Voigt 元素忽略不计。因为要仿真的是单次扫视, 而不是一系列扫视, 时间常数较长的 Voigt 元素对于仿真的精确度没有什么影响。去掉该 Voigt 元素可以将模型从 4 阶降为 3 阶, 从而简化系统辨识。扫视结束时, 扫视期间眼球转向新方向时眼肌产生的纯转矩与眼眶组织产生的被动阻力转矩相抵消。

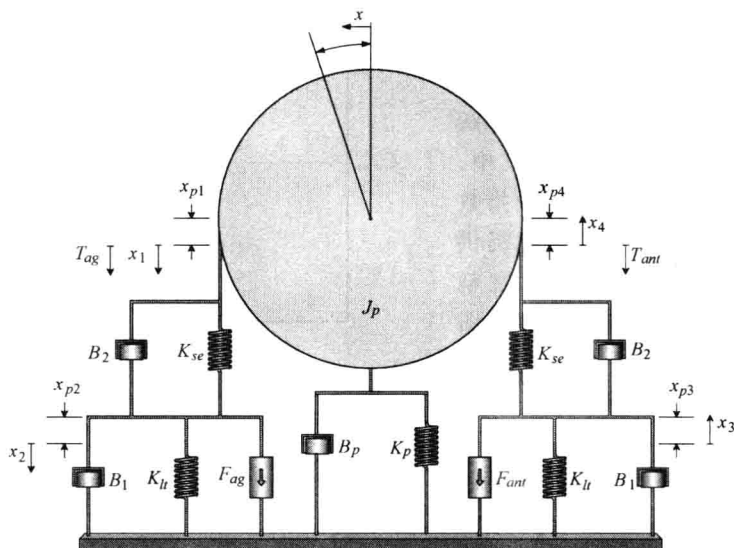


图 13.46 用于研究扫视后行为的眼动系统模型

利用图 13.46 所示线性模型, 对于平衡位置  $x_2$  和  $x_3$ , 分别求节点 2 和节点 3 的作用力之和, 以及眼球所受转矩之和, 再求工作点处的拉普拉斯变换, 可以推导出如下方程:

$$\delta [B_2 (\dot{F}_{ag} - \dot{F}_{ant}) + K_{se} (F_{ag} - F_{ant})] = \ddot{\theta} + P_2 \dot{\theta} + P_1 \theta + P_0 \theta \quad (13.52)$$

其中

$$\delta = \frac{5208.7}{JB_{12}}$$

$$P_2 = \frac{JK_{st} + B_{12}B + 2B_1B_2}{JB_{12}}$$

$$P_1 = \frac{2B_1K_{se} + 2B_2K_{lt} + B_{12}K + K_{st}B}{JB_{12}}$$

$$P_0 = \frac{K_{st}K + 2K_{lt}K_{se}}{JB_{12}}$$

详细的推导过程请参考 Enderle 和 Zhou 的论文 (见参考文献 [18])。

### 13.8.1 神经输入信号

前面我们将扫视系统的神经输入信号模拟成脉冲—阶跃波形, 由于简单实用, 这种输入信号已被用于许多研究 (见参考文献 [4、17、20])。为了构建一种更接近实际生理现象的输入信号, 如图 13.47 所示, 我们采用了脉冲—滑落—阶跃信号 (见参考文献 [26])。其中, 滑落是脉冲至阶跃之间的一段指数变化过渡期。这种信号与文献提供的实验数据相吻合 (见参考文献 [42] 的图 4 和参考文献 [46] 的图 2)。图 13.47 上图所示的主动肌的模拟输入信号与下图所示的神经元发放的实验数据很接近。

稳态时, 在主动肌和拮抗肌的神经输入信号  $F_{g0}$  和  $F_{p0}$  的控制下, 眼睛保持稳定状态。我们通常将目标变动的时刻定义为  $t=0$ , 因为许多仿真研究忽略潜伏期, 仅关注眼睛的实际运动。

图 13.47 上图所示是主动肌的输入信号, 其整个脉冲段包括  $0 \sim T_2$  时间段, 它比前面描述的脉冲要复杂。我们认为整个脉冲段表示了系统的意图, 它受到生理能力的限制。在脉冲的起始处, 神经元的发放率从初始的  $F_{g0}$  以指数形式快速上升至

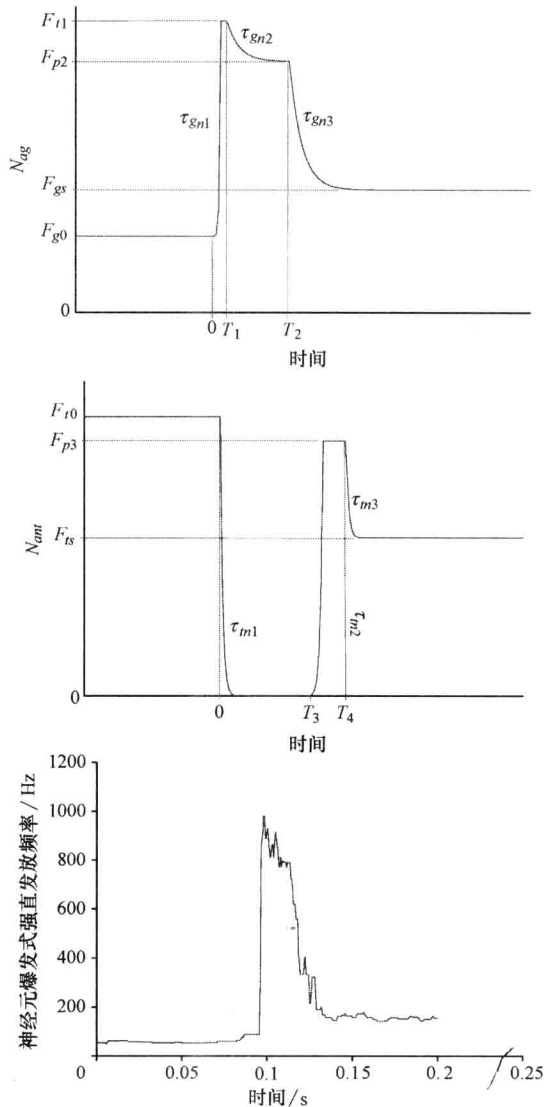


图13.47 水平方向扫视眼动的神经输入信号

(摘自 Sparks 等人的论文[44], 实验数据由

David Sparks 博士个人提供)

上: 主动肌的输入信号; 中: 拮抗肌的输入信号; 下: 扫视期间某个神经元的爆发式强直发放频率 (即主动肌的输入信号) (详细实验过程见其他资料)

峰值  $F_{p1}$ , 时间常数为  $\tau_{gn1}$ 。从时刻  $T_1$  开始, 信号衰减至  $F_{p2}$ , 时间常数为  $\tau_{gn2}$ 。然后, 从时刻  $T_2$  开始, 信号以时间常数  $\tau_{gn3}$  滑落至  $F_{gs}$ 。  $F_{gs}$  就是眼睛保持于目标位置所需的作用力, 它由输入信号的阶跃段控制。

图 13.47 中图所示是拮抗肌的输入信号。在  $t=0$  时刻, 该神经输入信号被完全抑制, 以指数形式从  $F_{a0}$  衰减至 0, 时间常数为  $\tau_{in1}$ 。从时刻  $T_3$  开始, 信号又以指数形式上升, 时间常数为  $\tau_{in2}$ 。然后是持续时间为  $T_4 - T_3$  的 PIRB 脉冲 (有关 PIRB 的定义见 13.8.5 节)。从时刻  $T_4$  开始, 信号以指数形式衰减至  $F_{is}$ , 时间常数为  $\tau_{in3}$ 。如果没有 PIRB 脉冲, 神经输入信号就以指数形式上升至  $F_{is}$ , 时间常数为  $\tau_{in2}$ 。

根据生理实验结果 (见参考文献 [11、50]), 对于任何幅度的扫视, 主动肌脉冲信号的起始段时间都一样, 即  $T_1$  为常数。我们选择指数函数来模拟此时神经元发放率的变化是因为它与实验数据的匹配较好。

拮抗肌的输入信号被完全抑制之后, 从时刻  $T_3$  开始有一个短促的兴奋脉冲, 持续时间约为 10ms。Enderle 认为这个爆发式的发放是由 PIRB 产生的, PIRB 是动态过冲和滑动过冲等扫视后现象引起的特性 (见 Enderle 的 2002 年论文)。激活态张力仍然定义为神经输入信号的低通滤波, 即

$$\dot{F}_{ag} = \frac{N_{ag} - F_{ag}}{\tau_{ag}} \quad (13.53)$$

$$\dot{F}_{ant} = \frac{N_{ant} - F_{ant}}{\tau_{ant}} \quad (13.54)$$

其中

$$\tau_{ag} = \tau_{gac} [u(t - T_1) - u(t - T_2)] + \tau_{gda} u(t - T_2) \quad (13.55)$$

$$\tau_{ant} = \tau_{ide} [u(t) - u(t - T_3)] + \tau_{iac} [u(t - T_3) - u(t - T_4)] + \tau_{ide} u(t - T_4) \quad (13.56)$$

激活和去激活时的不同时间常数表明了眼肌在刺激增加和减少时的不同动态特性。

### 13.8.2 参数估计和系统辨识

上述模型包含 25 个参数, 它们分别描述眼动系统、神经输入信号和激活态张力。下面介绍利用系统辨识来估计这些参数值的方法。模型参数初始值的估计很重要, 因为它们会影响估计算法的收敛性。本模型参数的初始值取自己发表的文献所提供的实验数据, 有关人眼和猴眼的参数估计详见 Zhou 等人 (参考文献 [50]) 和 Enderle 等人 (参考文献 [18]) 的论文。表 13.1 所示是眼动系统的参数值, 其传递函数为

$$H(s) = \frac{\theta}{\Delta F} = \frac{\delta B_2 \left( s + \frac{K_{se}}{B_2} \right)}{s^3 + P_2 s^2 + P_1 s + P_0} \quad (13.57)$$

式中,  $\Delta F = F_{ag} - F_{ant}$ 。利用表 13.1 的参数值, 人眼的传递函数为

$$H(s) = \frac{1.9406 \times 10^5 (s + 250)}{s^3 + 596s^2 + 1.208 \times 10^5 s + 1.3569 \times 10^6} \quad (13.58)$$



而猴眼的传递函数为

$$H(s) = \frac{2.6904 \times 10^5 (s + 312.5)}{s^3 + 575.2s^2 + 1.4829 \times 10^5 s + 2.7743 \times 10^6} \tag{13.59}$$

该传递函数有3个极点和1个零点。利用表13.1的参数值，人眼传递函数的极点为-292.22 + j168.63，-292.22 - j168.63和-11.92；零点为250。而猴眼传递函数的极点为-277.48 + j245.09，-277.48 - j245.09和-20.24；零点为312.5。对于人眼，实数极点的时间常数为3.4ms，复数极点的时间常数为-83.9ms；相应地，对于猴眼这两个时间常数分别为3.6ms和49.4ms。

表 13.1 人眼与猴眼的参数值比较

参数	人 眼	猕 猴 的 眼
眼球半径	11mm(模型采用11.8mm)	10mm
$K_{se}$	125N/m	125N/m
$K_{lt}$	60.7N/m	77.66N/m
$B_1$	5.6Ns/m	4Ns/m
$B_2$	0.5Ns/m	0.4Ns/m
$F$	$F = \begin{cases} 0.4 + 0.0175 \theta , & \text{当 } \theta > 0 \text{ 时} \\ 0.4 - 0.0125 \theta , & \text{当 } \theta \leq 0 \text{ 时} \end{cases}$	$F = \begin{cases} 0.55 + 0.0175 \theta , & \theta > 0 \\ 0.55 - 0.0125 \theta , & \theta \leq 0 \end{cases}$
$K$	16.34N/m	10.21N/m
$B$	0.327Ns/m	0.204Ns/m
$J$	$2.2 \times 10^{-3} \text{Ns}^2/\text{m}$	$1.76 \times 10^{-3} \text{Ns}^2/\text{m}$

例 13.8

对于图13.46所示的眼动系统和式（13.52）描述的系统模型，假设初始条件和参数如下，请设计Simulink仿真程序，并给出仿真结果，画出输入信号、激活态张力以及眼动位置、速度和加速度曲线。

$\theta(0) = 0^\circ, \dot{\theta}(0) = 0^\circ \text{s}^{-1}, \ddot{\theta}(0) = 0^\circ \text{s}^{-2}, T_1 = 0.0044\text{s}, T_2 = 0.0259\text{s}, T_3 = 0.0293\text{s},$   
 $T_4 = 0.0462\text{s}, F_{p1} = 1.06\text{N}, F_{p2} = 0.9331\text{N}, F_{p3} = 0.3790\text{N}, F_{g0} = 0.4\text{N}, F_{gs} = 0.5546\text{N},$   
 $F_{g0} = 0.4\text{N}, F_{ts} = 0.2895\text{N}, \tau_{gn1} = 0.000287\text{s}, \tau_{gn2} = 0.0034\text{s}, \tau_{gn3} = 0.0042\text{s},$   
 $\tau_{gac} = 0.0112\text{s}, \tau_{tn1} = 0.000939\text{s}, \tau_{tn2} = 0.0012\text{s}, \tau_{tn3} = 0.001\text{s}, \tau_{iac} = 0.0093\text{s},$   
 $\tau_{ide} = 0.0048\text{s}, K_{se} = 124.9582\text{Nm}, K_{lt} = 60.6874\text{Nm}, K = 16.3597\text{Nm},$   
 $B_1 = 5.7223\text{Nms}^{-1}, B_2 = 0.5016\text{Nms}^{-1}, B = 0.327\text{Nms}^{-1}, J = 0.0022\text{Nms}^{-1},$   
眼球半径为0.0118m。

解：

首先利用如下MATLAB程序计算中间结果：

```
b12 = b1 + b2 = 6.2239
kst = kse + klt = 185.6456
c3 = b12 * j = 0.0137
c2 = b12 * bp + kst * j + 2 * b1 * b2 = 8.1855
c1 = b12 * kp + kst * bp + 2 * (b2 * klt + b1 * kse) = 1.6535e + 003
```

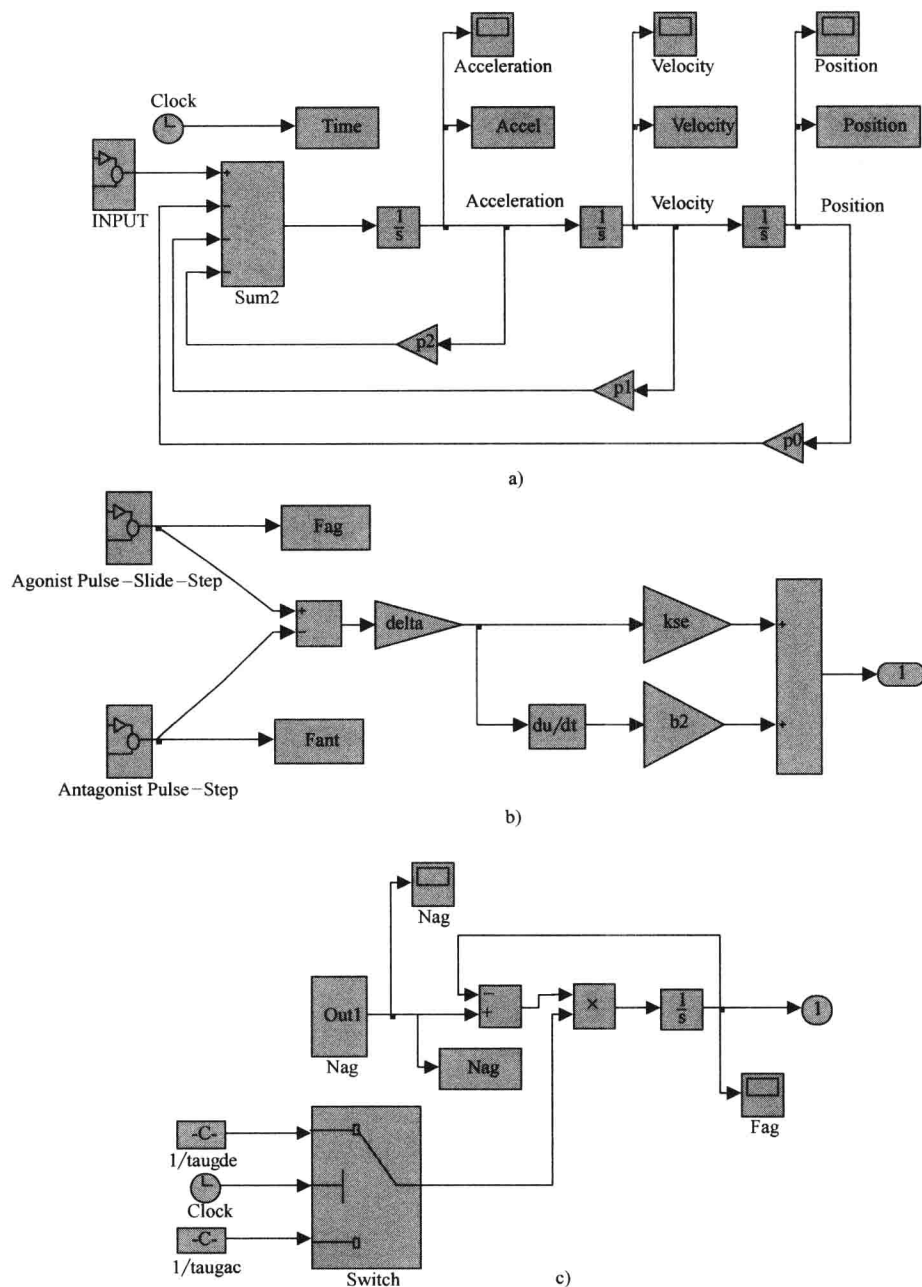
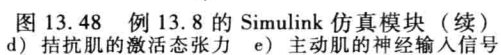


图 13.48 例 13.8 的 Simulink 仿真模块

a) 主程序 b) 眼动系统的输入 c) 主动肌的激活态张力



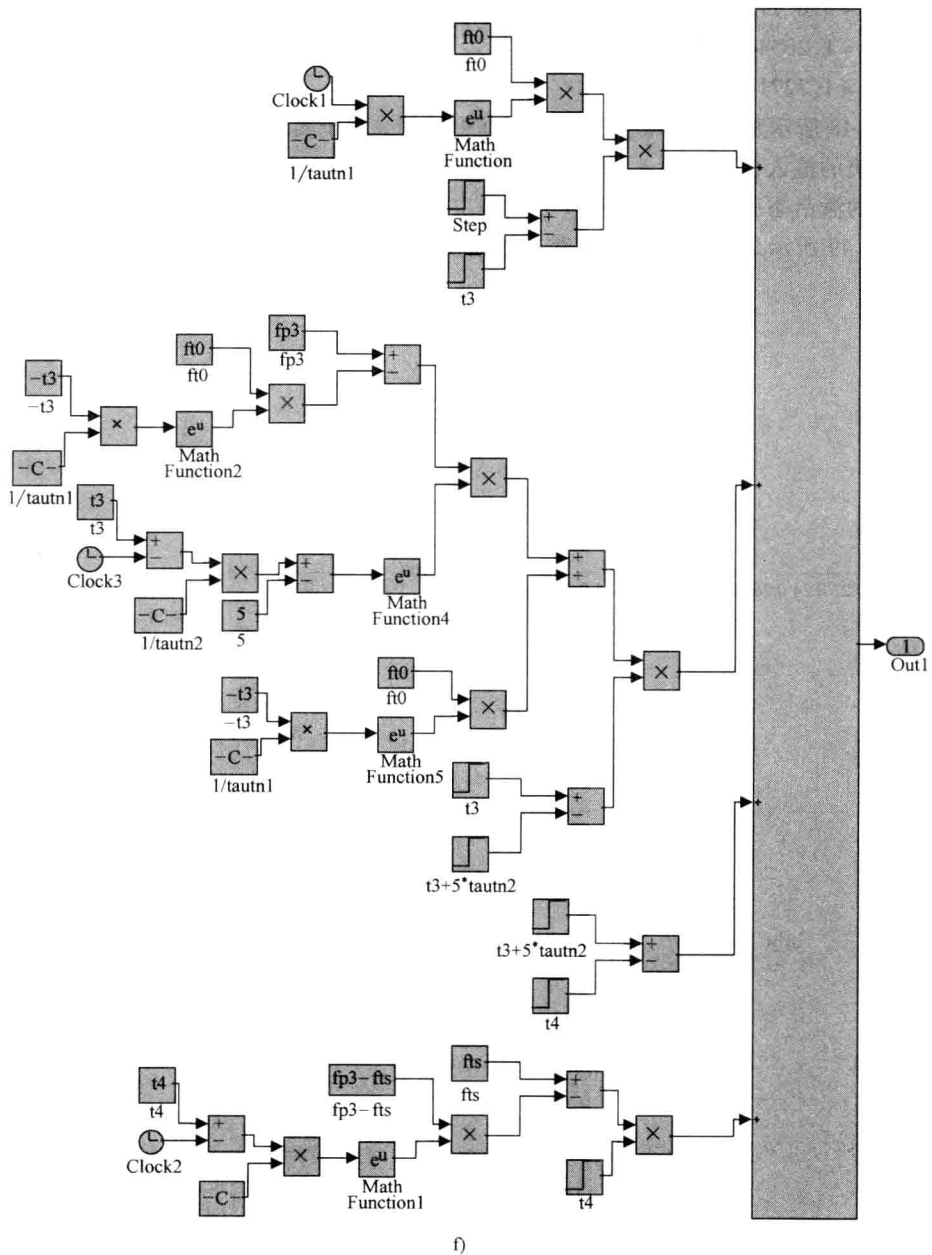


图 13.48 例 13.8 的 Simulink 仿真模块 (续)

f) 拮抗肌的神经输入信号

$$c0 = kst \cdot kp + 2 \cdot kse \cdot klt = 1.8204e + 004$$

$$\delta = 57.296 / (r \cdot c3) = 3.5397e + 005$$

$$p2 = c2/c3 = 596.7159$$

$$p1 = c1/c3 = 1.2054e + 005$$

$$p0 = c0/c3 = 1.3271e + 006$$

图 13.48 所示是 Simulink 仿真模块, 其中, 图 a 用于实现式 (13.52) 的方程; 图 b 是眼动系统的输入信号; 图 c 和图 d 分别是基于式 (13.53) 和式 (13.54) 的主动肌和拮抗肌的激活态张力; 图 e 和图 f 分别是主动肌和拮抗肌的神经输入信号。

图 13.49 所示是眼动位置、速度、加速度以及主动肌的神经输入信号和激活态张

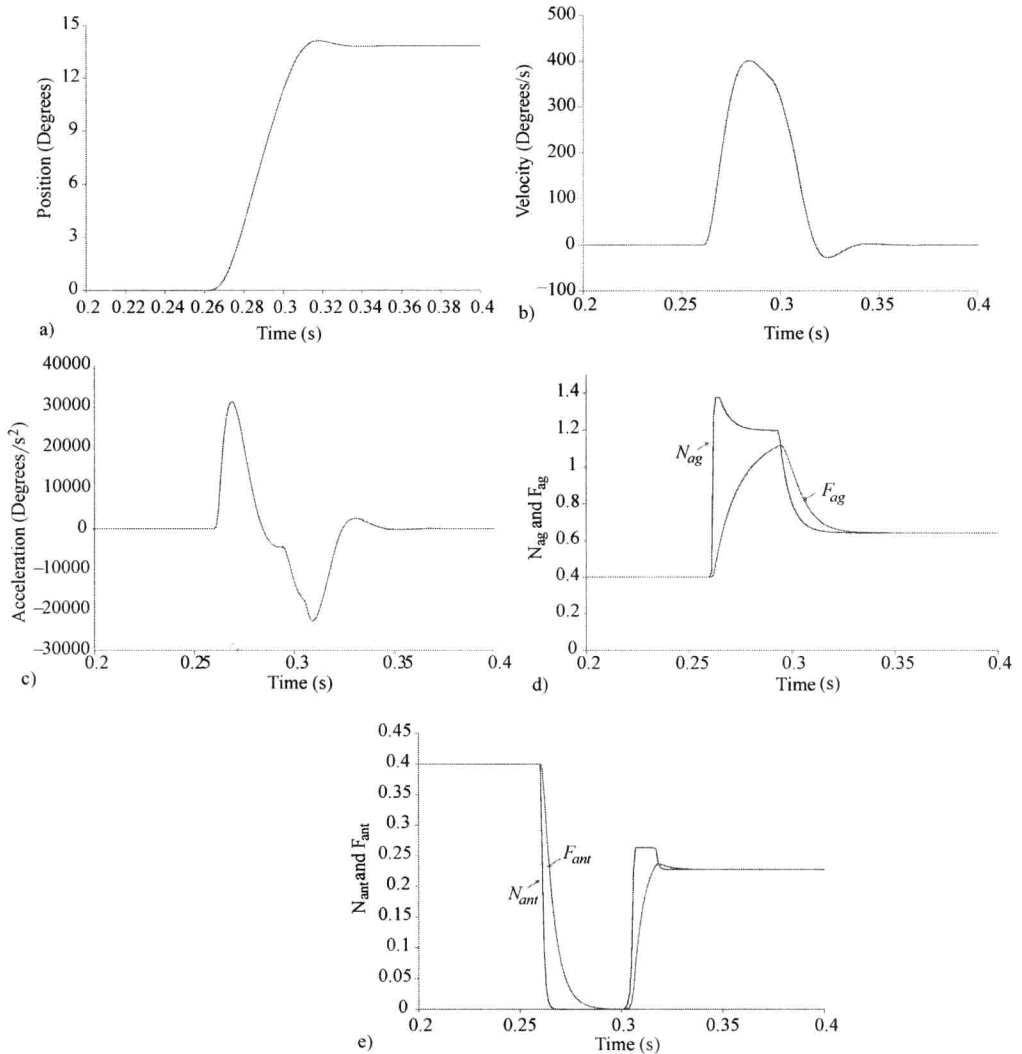


图 13.49 例 13.8 的仿真结果

a) ~ c) 分别是眼动位置、速度、加速度 d) 主动肌的神经输入信号和激活态张力  
e) 拮抗肌的神经输入信号和激活态张力

力、拮抗肌的神经输入信号和激活态张力。根据拮抗肌的神经输入信号和激活态张力，明显可见眼的运动存在扫视后行为。图 13.49b 显示返回速度的峰值为  $-20^{\circ}/s$ ，它属于滑动过冲。

### 13.8.3 猴眼的实验数据和仿真结果

实验数据是一只猕猴完成的共 27 次扫视，目标的移动角度为  $4^{\circ}$ 、 $8^{\circ}$ 、 $15^{\circ}$  和  $20^{\circ}$ （猕猴的实验和训练方法详见 Sparks 等人的论文<sup>[44]</sup>，实验数据由 David Sparks 博士个人提供）。神经元的记录数据分别来自长引导爆发神经元（LLBN）（5 次扫视）、兴奋性爆发神经元（EBN）（17 次扫视）和主动肌爆发式强直发放神经元（TN）（5 次扫视）。神经元类型的定义详见 13.9 节。爆发式强直发放的神经元与运动神经元相似，它们在扫视期间激励主动肌收缩。图 13.50 所示是  $4^{\circ}$ 、 $8^{\circ}$ 、 $15^{\circ}$  这 3 种幅度的扫视实验数据和仿真结果。

图 13.51 所示是对于图 13.50 的 3 种扫视的神经输入和激活态张力的模型估计结果，图中还显示了猕猴的眼睛扫视时某个爆发式强直发放神经元的发放率，其显示比例与  $N_{ag}$  的大小相匹配。在脉冲相和滑落相，模型估计的主动肌神经输入曲线  $N_{ag}$  的形状与神经元发放数据很相似。要注意，图中所示发放率数据来自单独的一个爆发式强直发放神经元，而眼动系统的神经输入信号实际上来自上千个运动神经元。

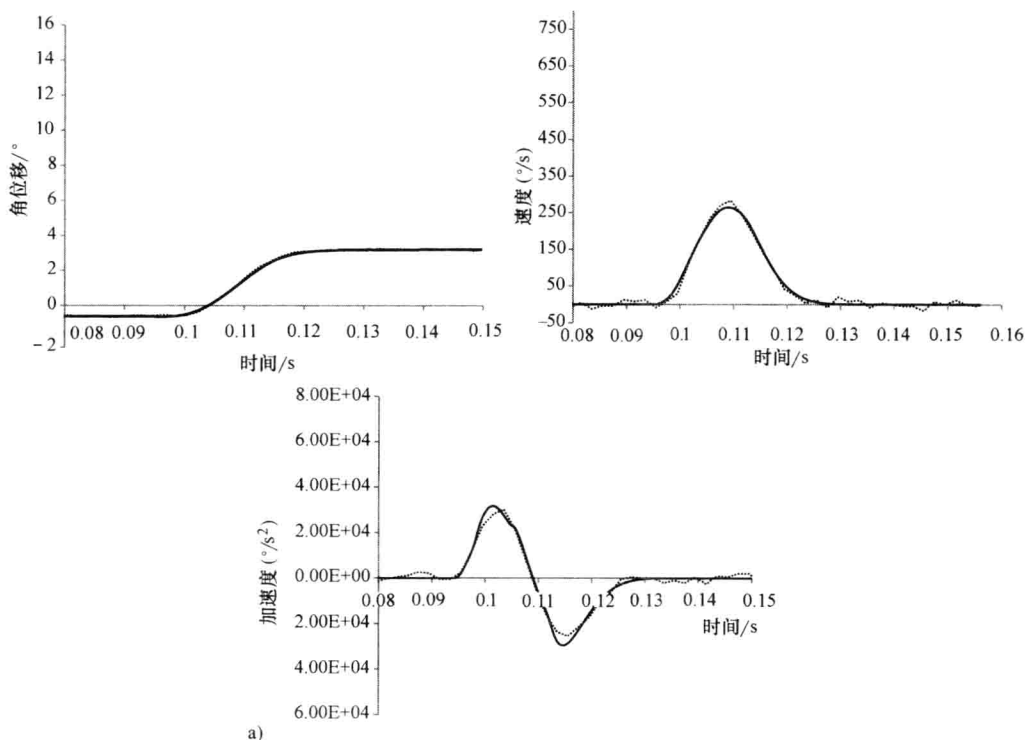
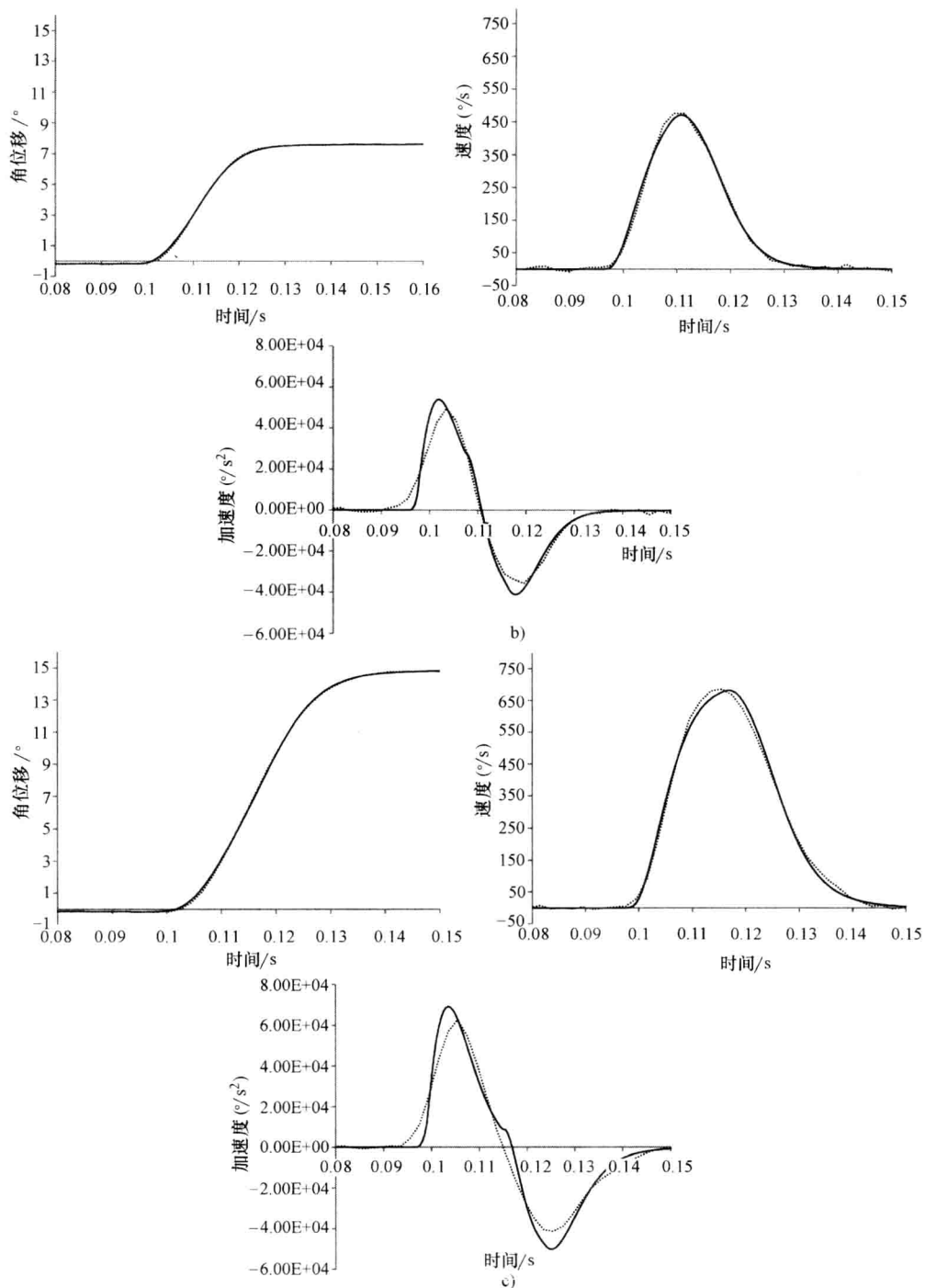


图 13.50 猕猴的 3 种不同幅度的扫视的眼睛位置、速度和加速度曲线

a)  $4^{\circ}$



注: 实线是模型的仿真结果, 虚线是扫视眼动实验中记录的数据。

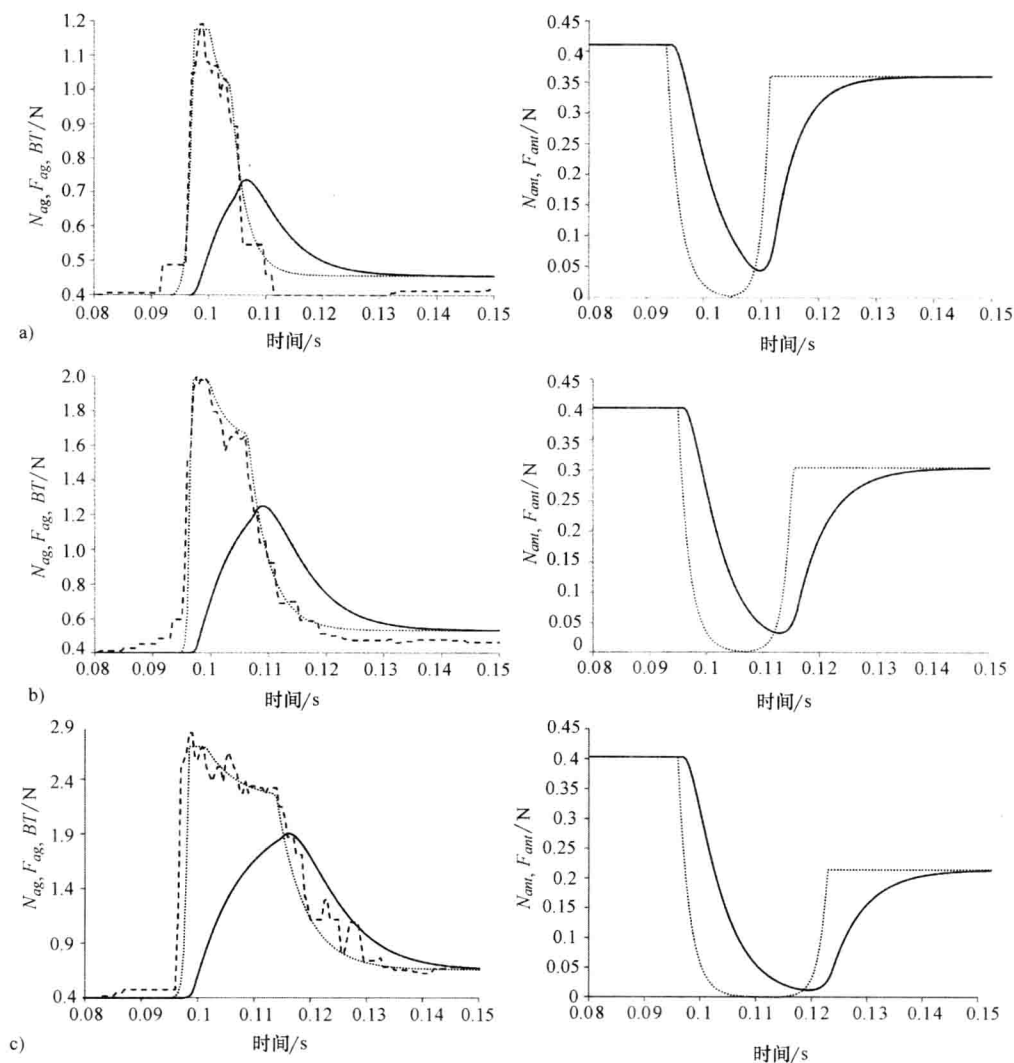


图 13.51 对应于图 13.50 的  $4^\circ$ 、 $8^\circ$  和  $15^\circ$  这 3 种扫视的主动肌和拮抗肌的神经输入  $N_{ag}$  和  $N_{ant}$  (点线) 以及激活态张力  $F_{ag}$  和  $F_{ant}$  的模型估计结果

注：图中还显示了猕猴完成这些扫视的过程中某个爆发式强直发放神经元的发放率（短画线），其显示比例与  $N_{ag}$  的大小相匹配。

### 13.8.4 人眼的实验数据和仿真结果

实验数据是 3 名受试者完成的 127 次扫视（实验方法详见 Enderle 和 Wolfe 的论文<sup>[17]</sup>），其中许多扫视含有动态过冲或者滑动过冲。图 13.52 所示分别是含动态过冲、滑动过冲的正常扫视的模型估计结果。模型对于所有扫视（包括带动态过冲的滑动过



冲的扫视)的位移和速度的预测结果都与实验数据匹配得很好,预测精度都与图 13.52 所示相似。

图 13.52a 所示是含有动态过冲的  $8^\circ$  扫视的模型预测结果和实验数据。注意,拮抗肌神经输入信号在 220ms 左右的 PIRB 发放(参见后面 13.8.5 节和 13.9 节)引起了动态过冲。可见,PIRB 产生了明显的反向峰速。

图 13.52b 所示是含有滑动过冲的  $8^\circ$  扫视的模型预测结果和实验数据。拮抗肌神经输入信号在 223ms 左右的 PIRB 发放引起了滑动过冲。注意,含滑动过冲的扫视的神经元发放峰值比含动态过冲的要小;PIRB 产生的反向峰速也比含动态过冲的要小。眼睛从滑动过冲返回至稳态的速度较慢,因此,滑动过冲的峰速较小。

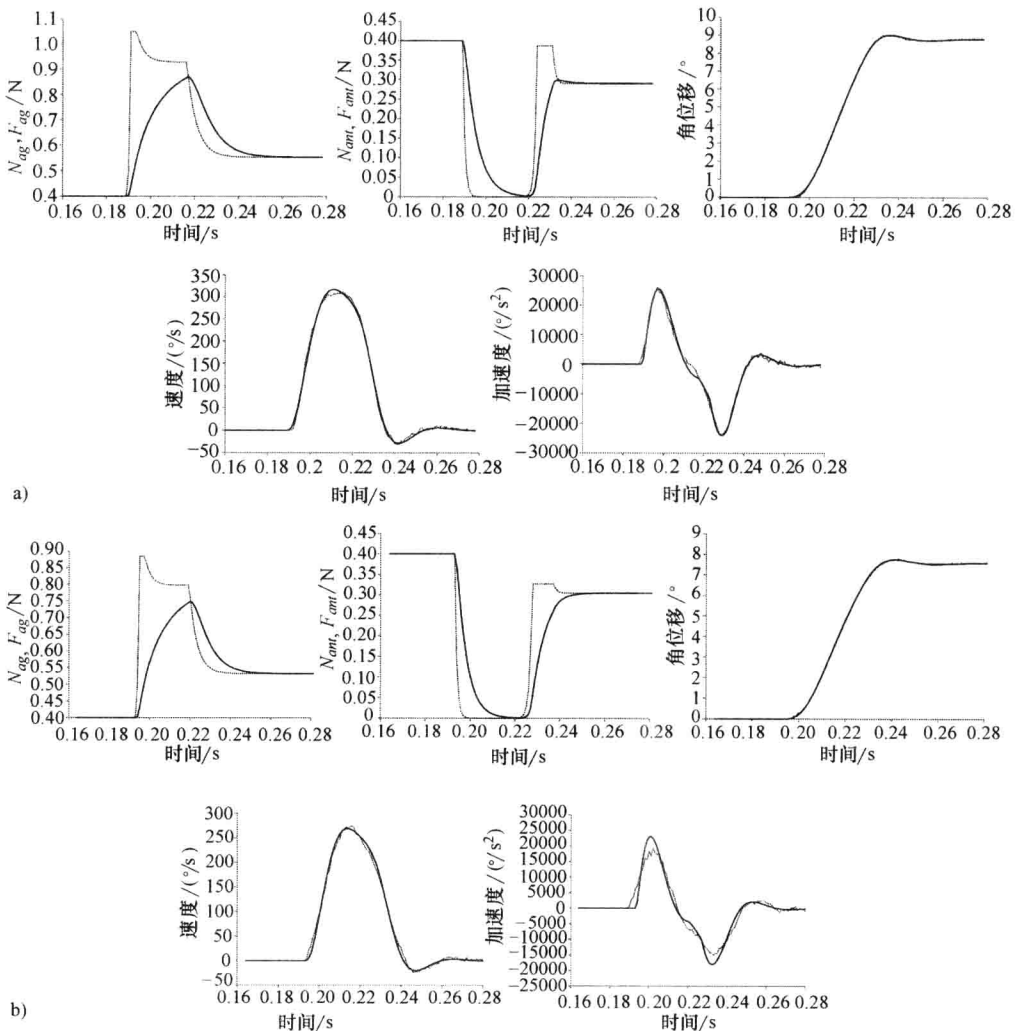


图 13.52 人眼的扫视实验数据和仿真结果

a) 含动态过冲的  $8^\circ$  扫视 b) 含滑动过冲的  $8^\circ$  扫视

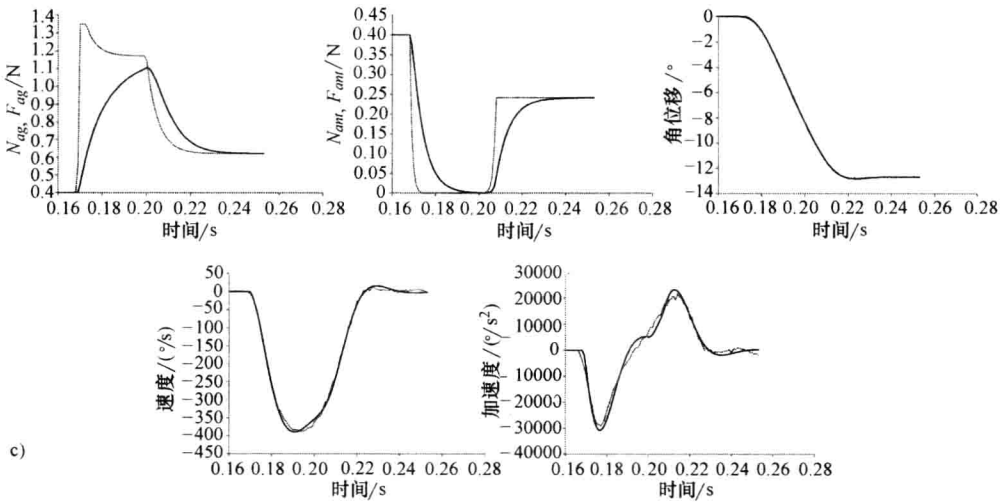


图 13.52 人眼的扫视实验数据和仿真结果 (续)

c) 正常扫视

注：第一张图的两条曲线是根据参数估计值计算得到的激活态张力（实线）和神经输入信号（虚线）。其他曲线分别是利用系统辨识法估计的参数值来预测的扫视位移、速度和加速度曲线（其中实线是模型预测值，虚线是实验数据。）

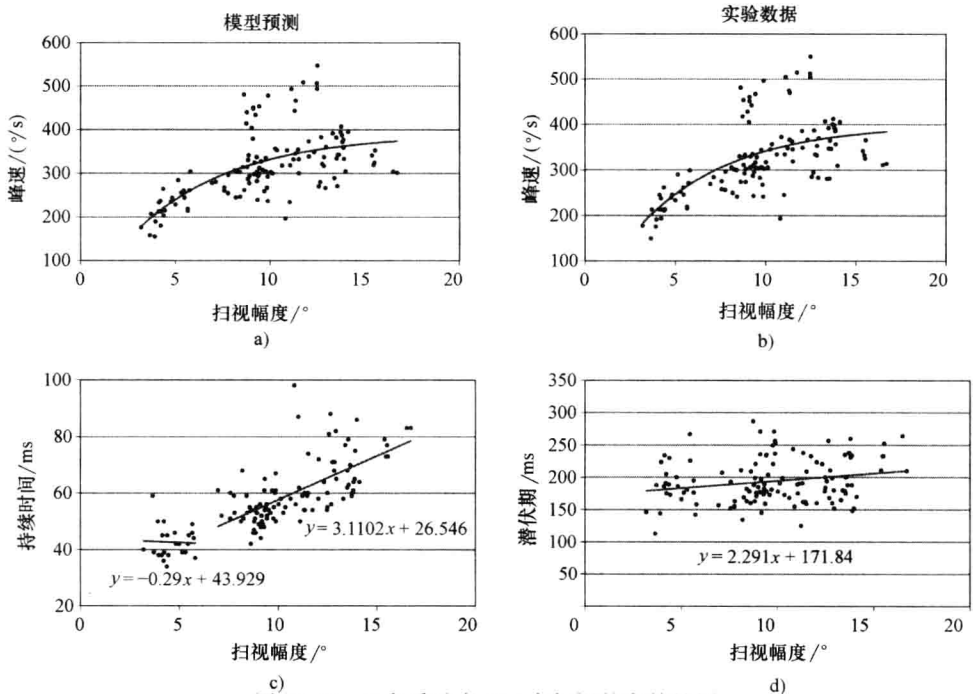


图 13.53 3 名受试者 127 次扫视的主特性图

a) 峰速—幅度关系的模型预测数据，回归拟合曲线为  $\theta_{pv} = 390(1 - e^{-0.2\theta_{ss}})$ b) 峰速—幅度关系的实验数据，回归拟合曲线为  $\theta_{pv} = 401(1 - e^{-0.2\theta_{ss}})$ 

c) 持续时间—幅度关系的实验数据 d) 潜伏期—幅度关系的实验数据

注：对于持续时间和潜伏期，基于参数估计的模型预测结果都与实验数据相似，因此没有画图。

图 13.52c 所示是  $-12^\circ$  正常扫视的模型预测结果和实验数据。正常扫视通常没有 PIRB, 但不一定绝对没有, 因为 PIRB 的发生时间可能使爆发式发放的作用被抵消。

图 13.53 所示的扫视的主特性图中, 模型估计的峰速与实验数据很一致, 都随着扫视幅度的变化呈现指数函数的变化。对于持续时间, 当扫视大于  $7^\circ$  时, 其持续时间与扫视幅度之间呈线性关系。当扫视在  $3^\circ \sim 7^\circ$  之间时, 持续时间几乎为常数。要注意, 扫视的持续时间很难确定, 尤其对于幅度较小的扫视, 因此, 可能造成此处的数据与其他的报道之间存在误差。此外, 潜伏期与扫视幅度几乎无关。

图 13.54 所示是受试者 127 次扫视的主动肌脉冲幅值和脉冲宽度的估计值。当扫视幅度大于  $7^\circ$  时, 随着扫视幅度的增加, 主动肌脉冲幅值的增加不明显。这一点与我们文献中提出的时间最优化控制器的观点一致 (详见 Enderle 的论文<sup>[11]</sup>、Zhou 等人的论文<sup>[50]</sup> 以及 Enderle 和 Zhou 的论文<sup>[18]</sup>)。对于幅度小于  $7^\circ$  的扫视, 随着扫视幅度的增加, 主动肌脉冲幅值也线性增加, 也与扫视控制器理论一致。对于同样的扫视幅度, 脉冲幅值估计值的方差很大, Hu 等人在研究猴 EBN 神经元的发放率时也观察到这一现象 (见参考文献 [34])。当扫视幅度大于  $7^\circ$  时, 主动肌脉冲的宽度随着扫视

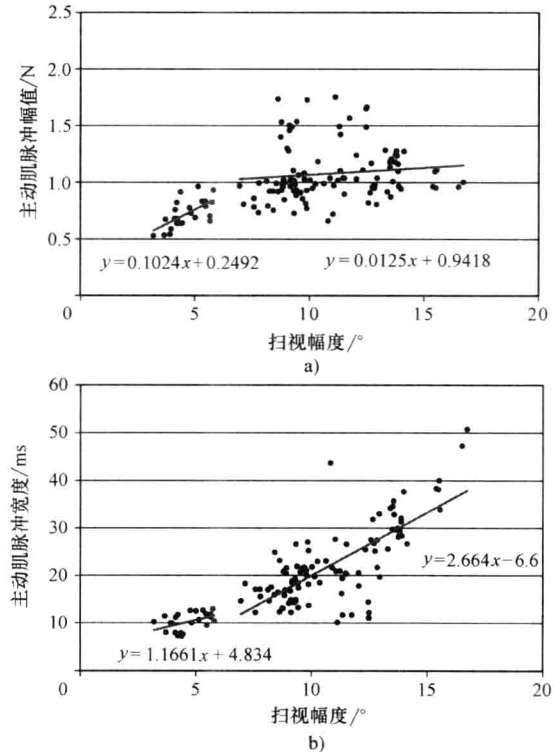


图 13.54 主动肌脉冲幅值 (图 a) 和脉冲宽度 (图 b) 随扫视幅度的变化

幅度的增加而增加; 当扫视在  $3^\circ \sim 7^\circ$  之间时, 主动肌脉冲的宽度几乎为常数。注意, 对于所有扫视, 主动肌脉冲幅值都与脉冲宽度密切相关。

### 13.8.5 抑制后反弹式爆发与扫视后现象

拮抗肌爆发式神经元<sup>⊙</sup>的抑制作用可能在扫视将要结束时引起一种非计划性的抑制后反弹式爆发 (postinhibitory rebound burst, PIRB), 从而产生动态过冲或者滑动过冲 (见参考文献 [11])。有些研究没有观察到猴子外展肌神经元的反弹式发放 (见参考文

⊙ 本节所涉及的神元类型详见 13.9 节, 那一节还将介绍神经网络。本节仅简单介绍 PIRB 所涉及的神元。

献 [24、38、45])，但是，另外有些研究（如文献 [42] 和 [46]）却在猴子扫视结束时观察到外展肌运动神经元存在 PIRB 发放。以前，研究人员就曾发现，与人眼不同，动态过冲和滑动过冲在猴眼的扫视中不常见。我们的猴子实验中也没有见到。

我们的理论是，至少在人类，拮抗肌的 PIRB 在动态过冲和滑动过冲的过程中产生了一个逆向峰速。这种模型的预测结果能够精确地匹配整个扫视过程的速度数据，包括带动态过冲和滑动过冲的扫视。仅仅基于拮抗肌的阶跃信号时序并不能产生带扫视后行为的扫视，而是需要 PIRB 才能产生具有动态过冲或者滑动过冲的扫视。

图 13.55 和图 13.56 归纳了 3 名受试者的 127 次扫视的特性。带滑动过冲的扫视个数要多于正常扫视和带动态过冲的扫视。而且，随着扫视幅度的增加，动态过冲的发生率降低。从图中可见，与正常扫视或者带滑动过冲的扫视相比，带动态过冲的扫视一般具有较大的反弹式爆发幅值。拮抗肌启动的延时为 3 ~ 25ms。存在较大的反弹式爆发时，每种扫视的拮抗肌启动的延时通常都会缩短。

扫视结束时，外展肌神经元和眼动神经元都返回到强直发放水平，但两者的发放水平之间存在固有的协调误差。在外展扫视期间的脉冲相，大脑同侧的外展肌运动神经元的发放不抑制，而眼动运动神经元则被抑制。由于 IBN 抑制拮抗肌的运动神经元，这类神经元在同侧

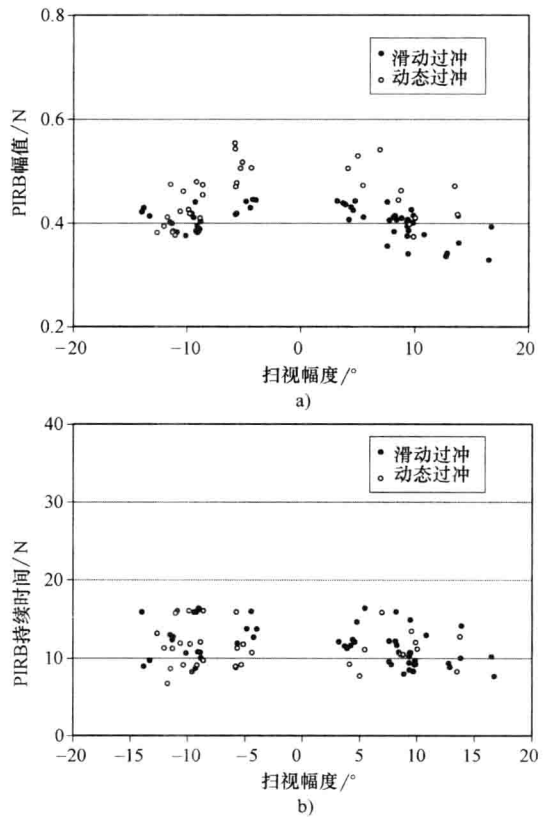


图 13.55 PIRB 幅值（图 a）和持续时间（图 b）随扫视幅度的变化

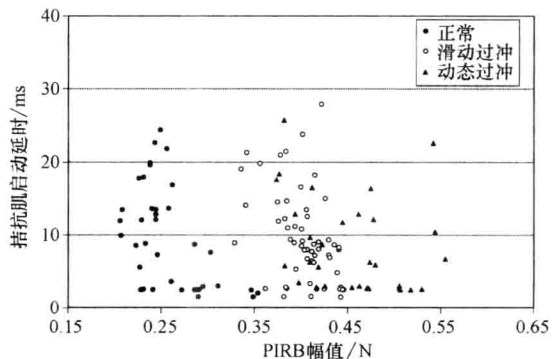


图 13.56 不同类型扫视的拮抗肌启动延时与 PIRB 幅值之间的关系

IBN 停止发放之后才快速重返强直发放并产生 PIRB 活动, 由此产生延时。作用于内收扫视的内收运动神经元也具有同样的延时。

大脑对侧 EBN 和 TN 与同侧的眼动运动神经元 (外展扫视期间的拮抗肌神经元) 之间存在的内核神经元要显著多于同侧 EBN 和 TN 与同侧外展肌运动神经元 (内收扫视期间的拮抗肌神经元) 之间的内核神经元。由于外展扫视期间活动的内核神经元数量更多, 因此, 与内收扫视相比较, 外展扫视的脉冲相结束之后眼动运动神经元恢复活动的延时就较长; 由此可以推测, 外展扫视时动态过冲的发生率应该高于内收扫视。扫视眼动实验记录的数据确实如此, 大多数带动态过冲的扫视都发生于外展方向的扫视。而且, 随着同侧扫视幅度的增加, 对侧 TN 的发放率降低, 从而动态过冲的发生率就降低, 这是因为具有足够高 PIRB 幅值的扫视变得很少。扫视眼动实验的记录数据也反映了这种现象。

只要启动延时很短, 正常扫视可以具有很小的 PIRB。随着启动延时的增加, PIRB 必须减小, 否则就会发生带动态过冲或者滑动过冲的扫视。

### 13.8.6 时间最优控制器

水平方向扫视系统的时间最优控制器能够使眼睛在最短的时间内到达目标位置。这种控制器涉及上千个神经元, 每个神经元都参与眼动系统输入信号的形成。Enderle 和 Wolfe 利用外直肌和内直肌的线性眼动系统描述了扫视眼动的时间最优控制 (见参考文献 [16])。这里, 利用改进的眼动系统以及时间最优控制器, 来重新考虑 1987 年的研究工作。其中的时间最优控制器适用于更符合实际情况的主动肌的脉冲-滑落-阶跃式的运动神经元输入信号以及拮抗肌的脉冲-阶跃式的运动神经元输入信号。

该时间最优控制器的单个神经元在主动肌的脉冲相期间发放率最大, 并且与眼睛的运动方向无关, 而此时拮抗肌则被抑制。将神经元的最大发放率视为系统的意图, 由于神经元细胞膜生理特性的限制, 最大发放率会随时间逐渐衰减, 详见 Enderle 的论文<sup>[11]</sup>。这里介绍的时间最优控制器比 1987 年的复杂, 考虑的生理因素更多。时间最优控制器工作于两种模式, 分别针对大、小幅度的扫视。

据报道, 小幅度扫视的持续时间几乎为常数 (见参考文献 [23、50、18])。由于很容易受到噪声的干扰, 扫视的起始和结束时间很难估计。Enderle 等人用了 Kaiser 滤波器来减小噪声的影响, 其他研究人员不用这种方法, 结果可能会有差别。而且, 神经元发放的同步性对于小幅度扫视起始时间的影响要大于大幅度扫视, 因为小幅度扫视的起点更模糊, 更难测定。在分析数据时, 我们将扫视幅度分为 2 个区间:  $3^{\circ} \sim 7^{\circ}$  为一段, 大于  $7^{\circ}$  为另一段; 分别做回归拟合。结果表明,  $3^{\circ} \sim 7^{\circ}$  小幅度扫视的持续时间接近常数, 而大于  $7^{\circ}$  的大幅度扫视的持续时间随着幅度的增加而增加。其他研究人员使用单个区间, 用直线或者非线性方程做回归拟合, 结果可能有差别。如果使用这里介绍的方法, 那么, 就可能获得与我们一样的结论。我们没有分析小于  $3^{\circ}$  的扫视, 其持续时间的判定方法还需进一步研究。

我们认为 EBN 神经元的“开启”和“关闭”有一个最短时间, 这是系统的生理学限制所决定的。如图 13.53c 所示, 小幅度扫视几乎保持相同的 44ms 持续时间, 随着扫

视幅度的变化,该持续时间变化不明显。还要注意,响应具有随机性,但是,脉冲幅值大的扫视,其持续时间较短;反之亦然。对于小幅度扫视,随着扫视幅度的增加,我们认为,不断有新增加的神经元参与主动肌神经输入信号的形成,直到扫视幅度达到  $7^\circ$ ; 幅度大于  $7^\circ$  时,所有神经元就都参加进来了。

我们设计的模型将所有被激活的运动神经元的输入求和,作为单个神经元的发放率。于是,随着扫视幅度的增加,模型的单个神经元的发放率也增加,直至扫视幅度达到  $7^\circ$  为止;此后,由于所有神经元都在发放,发放率达到最大值。但是,要记住,实际的每个神经元发放时都以其最大的频率发放,并不随扫视幅度变化,Robinson 论文(见参考文献 [42])的图 4 和 Van Gisbergen 等人论文的图 2(见参考文献 [46])都清楚地表明了这一点。完整的主动肌脉冲神经输入信号为

$$N_{ag} = \begin{cases} N(\theta_T) N_{agi} & \theta < 7^\circ \text{ 时} \\ N_{ag_{\max}} & \theta \geq 7^\circ \text{ 时} \end{cases} \quad (13.60)$$

式中  $N(\theta_T)$ ——扫视为  $\theta_T$  度时发放的神经元数量;

$N_{agi}$ ——单个神经元的贡献;

$N_{ag_{\max}}$ ——所有神经元的输入总和。

对于小幅度扫视,各个神经元发放的起始时间,也就是发放的同步性,对于整个神经输入信号的影响很大,因为脉冲相的时间很短,根据图 13.54b 所示,约为 10ms。激活神经元启动时间的随机性使得扫视的开端稍有拖延,如果所有神经元一起启动,那么,扫视的发生就会更快。对于小幅度扫视,这种拖延会导致扫视起始时间估计的误差,进而影响持续时间的精确性。同步性差会减小主动肌输入信号的整体幅值,这对于小幅度扫视的影响比大幅度扫视要大得多。很可能神经元不在同一瞬间启动发放,由图 13.54b 可见,回归拟合直线有一个小斜率。

当扫视大于  $7^\circ$  时,其幅度取决于主动肌脉冲的宽度,此时所有神经元都以最大频率发放。根据图 13.54a 所示的回归拟合线,主动肌脉冲的幅值接近于常数。如图 13.54b 所示,主动肌脉冲的宽度则随着扫视幅度的增加而增加。

这里描述的扫视控制器是一种时间最优控制器,它与 Enderle 和 Wolfe 早先报道的(见参考文献 [16])不同。在扫视脉冲相激活的所有神经元都以最大频率发放。对于大于  $7^\circ$  的扫视,这里的时间最优控制器与早先报道的(见参考文献 [16])一样。对于  $3^\circ \sim 7^\circ$  的扫视,本系统受到主动肌脉冲相最小宽度的限制,扫视幅度取决于激活的神经元数量,这些神经元都以最大频率发放,这与实际生理现象一致。就控制而言,基于激活的神经元数量来控制小幅度扫视系统很方便;而不是他人提出的那样,根据扫视幅度来调节各个神经元的发放率。这样,基于生理学约束条件,本系统仍然是时间最优的。

一般地,对于任何幅度的扫视,实验记录数据的变化都非常大。潜伏期、峰速和达到峰速的时刻、持续时间等都有很大的方差。而且,这种变化受到神经控制器的调节。峰速较小的扫视,其持续时间较长;而峰速较大的扫视,其持续时间较短。因此,对于同样的目标位置,通常有许多不同的扫视轨迹。

### 13.9 扫视的神经通路

临床上，损伤研究和刺激研究的结果都表明许多重要的脑神经区域参与了扫视控制，包括小脑、上丘（Superior Colliculus, SC）、大脑皮层以及脑干的神经核团等，并且，有2个并行的神经网络用于驱动扫视（见参考文献[10、11、15、18、50]）。每

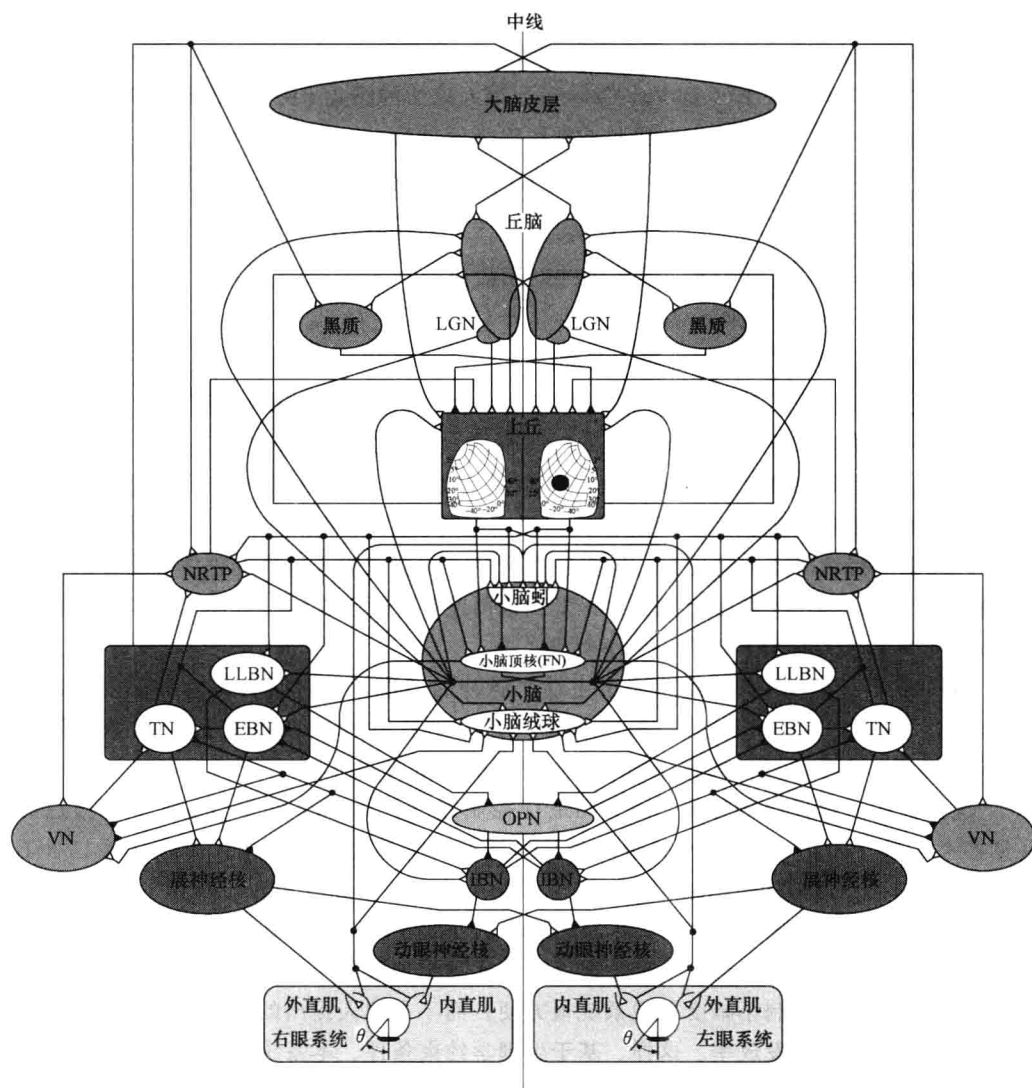


图 13.57 双眼产生水平方向的共轭扫视时所涉及的重要脑神经区域

注：“Δ”表示兴奋性输入，“▲”表示抑制性输入。图中根据目前的生理学知识画出了神经回路模型的左、右结构。本文仅介绍目标导向性扫视，因此，图中大脑皮层没有细分成额叶眼区和顶叶眼区（包括纹状体、纹状前区和顶叶皮层）。

只眼睛的视网膜神经节细胞的轴突都聚集在一起，形成视神经。两只眼睛的视神经在视交叉处会合，然后，来自每只眼睛视网膜鼻侧的那一半神经纤维交叉至对侧，形成视束。视束的轴突前行至外侧膝状体核（Lateral Geniculate Nucleus, LGN）形成突触连接。LGN 是丘脑中继站，它的神经元再继续投射至视皮层。扫视神经网络的这一部分与视觉刺激信号的识别相关。此外，视束的轴突还与 SC 形成突触连接，这一部分神经网络与视觉目标的定位相关，主要负责目标导向性的扫视。

特别是上丘 SC 和小脑的扫视神经活动，在目标导向性扫视中，它们已被分别确认为扫视的启动信号和终止信号。而额叶眼动区和丘脑的作用虽然很重要，但它们在视刺激诱发产生目标导向性扫视时所起的作用较弱。额叶眼动区主要与随意性扫视相关，丘脑则可能参与校正性扫视。图 13.57 所示是双眼产生水平方向的共轭目标导向性扫视时所涉及的重要脑神经区域，图中每个区域及其相互之间的连接都有充分的生理学依据。下面简单介绍这些神经区域，采用的缩略词见表 13.2。

表 13.2 缩略词

名 称	缩略词
兴奋性爆发神经元(Excitatory Burst Neuron)	EBN
小脑顶核(Fastigial Nucleus)	FN
抑制性爆发神经元(Inhibitory Burst Neuron)	IBN
长引导爆发神经元(Long Lead Burst Neuron)	LLBN
中引导爆发神经元(Medium Lead Burst Neuron)	MLBN
脑桥被盖网状核(Nucleus Reticularis Tegmenti Pontis)	NRTP
脑桥旁正中网状结构(Paramedian Pontine Reticular Formation)	PPRF
脑桥的全中止神经元(Omnipause Neuron)	OPN
黑质(Substantia Nigra)	SN
上丘(Superior Colliculus)	SC
强直发放神经元(Tonic Neuron)	TN
前庭核(Vestibular Nucleus)	VN

在扫视期间，脑桥旁正中网状结构（PPRF）中有些神经元会爆发式发放，频率可达 1000 Hz，眼球注视时就停止发放；而另一些神经元则在眼球注视时强直发放。眼球注视时以稳定的频率发放的神经元被称为强直发放神经元（TN），它们负责保持眼睛的位置稳定不变。TN 的发放频率取决于眼睛的位置，可能是局部整合性神经网络的机制。TN 的发放可能提供了运动神经元控制信号的阶跃成分。PPRF 的爆发式发放神经元有两类：长引导爆发神经元（LLBN）和中引导爆发神经元（MLBN）。眼球注视时两类神经元都不发放。扫视开始前，LLBN 至少爆发式发放 12ms，而 MLBN 的发放时间则小于 12ms，通常为 6 ~ 8ms。MLBN 直接与展神经核之间存在单突触连接。

MLBN 还可以分成两类神经元：兴奋性爆发神经元（EBN）和抑制性爆发神经元（IBN）。它们分别在运动神经元上形成兴奋性和抑制性突触。EBN 激活神经元，使其产生爆发式发放，而 IBN 则抑制神经元，使其停止发放。这两类神经元镜像地分布于大脑中线两侧，IBN 抑制对侧 EBN。

脑干中还存在另一类被称为全中止神经元（OPN）的扫视神经元，它们在眼睛注



视时以接近 200 Hz 的频率强直发放，而扫视时不发放。在扫视开始前 10 ~ 12ms 时 OPN 停止发放，到扫视结束前约 10ms 又重新开始强直性发放。OPN 抑制 MLBN，同时接受 LLBN 的抑制。OPN 负责参与扫视的各组神经元活动的精确定时。

SC 包含上区和中（深）区 2 个主要功能区。上区的输入几乎都是视觉信息，来自视网膜和视皮层。SC 深层是多种感觉输入信号集中的地方，并且发送扫视启动指令。因此，SC 是扫视的启动者，它将视觉信息转化为运动指令。

SC 深层根据眼睛的当前位置与想要达到的目标位置之间的距离来启动扫视。它可以分成许多眼动区，各个眼动区的神经元活动与扫视的方向和幅度大小相关，而与眼球的初始位置无关。图 13.58 中标明了 20° 和 2° 扫视的眼动区，也就是图中黑色圆圈表示的扫视时神经元的激活区域。注意，2° 扫视的眼动区比 20° 扫视要小。

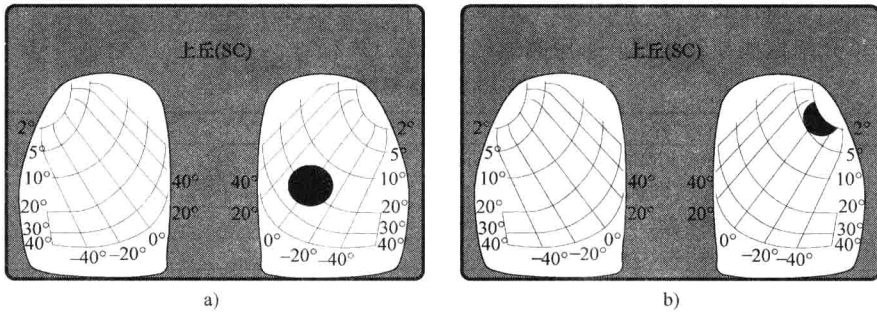


图 13.58 20°（图 a）和 2° 扫视（图 b）时视网膜在上丘的定位图

注：2° 扫视的核心眼动区比 20° 扫视要小，表明小幅度扫视时发放的神经元较少。上丘的这些眼动区还表明，当扫视小于 7° 时，发放的神经元数量比大于 7° 的扫视要少；当扫视大于 7° 以后，眼动区的大小基本不变。

SC 深层的激活神经元在扫视启动前 18 ~ 20ms 时开始产生高频率的爆发式发放，直至扫视结束时才停止发放。神经元实际停止发放的时间很随机，可能在扫视结束的稍前或者稍后。小幅度扫视的眼动区（即发放的神经元所占的区域）较小，而大幅度扫视的眼动区较大。所有眼动区都与同一群 LLBN 相连。

小脑负责运动的协调，它由外部的灰质皮层、内部的白质和深部的 3 对神经核团（顶核、间位核（球状核）和齿状核）组成。深部的小脑神经核团和前庭核负责传输小脑的所有输出信号。小脑皮层的输出由浦肯野细胞完成，这些细胞的轴突投射到小脑深部的核团，对这些核团具有抑制作用。小脑参与双眼和头部的运动，强直活动和阶段性活动在小脑中都有反映。小脑并不直接负责扫视的启动和执行，但对于扫视的精确度有调控作用。小脑中对于眼动控制具有重要作用的区域是蚓体、顶核和绒球。与小脑调节其他运动的原理一样，对于扫视，它可能也是协调者和精确的门控者。

小脑在扫视发生器中是一种时间优化门控元素，扫视期间它有 3 个激活区：蚓体、顶核和绒球。蚓体处理眼动区的扫视绝对起始位置，并校正起始眼位的控制信号。利用动眼肌的本体感受器和内部的参考眼位，小脑蚓体可以感知眼睛的当前位置。蚓体还通过与脑桥被盖网状核 NRTP 和上丘 SC 的连接通路，来了解诱发扫视的动态误差信号。

就眼动系统而言,小脑通过 NRTP 接收来自 SC、LGN、动眼肌本体感受器和纹状体皮层的输入信号。小脑向 NRTP、LLBN、EBN、VN、丘脑和 SC 发送输入信号。小脑蚓体和顶核在调控扫视幅度中发挥重要作用。小脑绒球、延髓喙端的舌下周核以及脑桥和中脑网状结构等可能构成了小脑的信息整合功能。小脑绒球的一个重要功能可能是,为起点不在第一眼位的扫视增加神经整合器的时间常数。

FN 接收来自 SC 和其他脑区的输入信号。如图 13.57 所示, FN 的输出是兴奋性的,同时投射到同侧和对侧。在眼睛注视时, FN 以较低的频率强直性发放。扫视发生之前 20ms, 对侧 FN 爆发式发放, 而同侧 FN 先停止发放而后再爆发式发放。同侧 FN 的这种发放停止是由浦肯野细胞发至 FN 的输入信号控制。并行的神经纤维束中浦肯野细胞的排列方式表明, 小脑皮层可能具有延时功能, 它产生一组定时脉冲, 用于编码扫视的持续时间。如果考虑非第一眼位的扫视, 要产生同样幅度的扫视, 需要通过小脑的控制来形成不同时空结构的扫视方式。我们推测小脑就像一种门控器件, 可以根据眼睛在眼眶中的初始位置来准确地中止扫视。

为了完成一次扫视, 大脑需要进行一系列复杂的活动。首先根据视网膜信息检测眼睛实际运动的误差。然后, 在脉冲相, 激活主动肌的运动神经元的爆发式发放和激活拮抗肌的运动神经元的停止发放直接导致眼睛产生扫视。最后, 在眼睛注视时 (即阶跃相), 运动神经元以所需的频率发放来保持眼睛的位置稳定不变。脉冲相运动神经元的发放由 EBN 产生, 而阶跃相的发放则由 PPRF 的 TN 产生。

根据图 13.57 所示的扫视神经网络, 如果要使双眼产生  $20^\circ$  的扫视, 那么, 会依次发生下列事件:

- 1) 根据眼睛当前位置与目标位置之间的距离, 深层 SC 启动扫视。SC 的神经元活动构成各个眼动区, 它们与扫视的方向和幅度相关, 而与眼球的初始位置无关。在该  $20^\circ$  扫视过程中 SC 的神经元活动如图 13.58 的黑色圆圈所示, 它代表想要的  $20^\circ$  扫视眼动。深层 SC 的激活神经元产生随时间变化的不规则高频爆发式发放, 它们在扫视启动前 18 ~ 20ms 开始发放, 直至扫视结束时才停止发放。神经元实际停止发放的时间很随机, 可能在扫视结束的稍前或者稍后。

- 2) 同侧 LLBN 和 EBN 由对侧 SC 的爆发式发放神经元激活, 然后, LLBN 抑制 OPN 的强直发放。对侧 FN 对于同侧 LLBN 和 EBN 也有激活作用。

- 3) 当 OPN 停止发放后, MLBN (即 EBN 和 IBN) 受到的抑制被解除。有些研究人员认为 SC 可能不使同侧 EBN 兴奋 (见参考文献 [25、39])。这种分歧并不影响我们的模型, 因为, 我们认为其他脑区对于 EBN 的兴奋并不反映 EBN 的发放率, EBN 在微弱的兴奋作用下自主地产生发放。

- 4) 同侧 IBN 受到同侧 LLBN 和对侧小脑 FN 的兴奋。同侧 EBN 受到的抑制被解除之后, 它们会产生短促的 PIRB。EBN 受到对侧 FN (可能也包括 SC) 的兴奋之后, 使能特殊的细胞膜特性, 从而产生高频爆发式发放, 这种发放缓慢地衰减, 直至被对侧 IBN 抑制为止。IBN 可能也具有与 EBN 相似的细胞膜特性。

- 5) 同侧 IBN 的爆发式发放会抑制对侧 EBN 和展神经核以及同侧动眼神经核。

6) 同侧 EBN 的爆发式发放引起同侧展神经核的爆发式发放, 后者然后兴奋同侧外直肌和对侧动眼神经核。当同侧展神经核激活同侧外直肌并且动眼神经核抑制同侧内直肌时, 右眼就产生扫视。同时, 对侧动眼神经核使对侧内直肌兴奋并且展神经核抑制对侧外直肌, 左眼就产生扫视。于是, 双眼就在同一个驱动中心控制下产生共轭运动。

7) 扫视结尾时, 小脑蚓体通过浦肯野细胞抑制对侧 FN 并使同侧 FN 兴奋。由于对侧 FN 受到抑制, 同侧 LLBN 和 IBN 的兴奋也就丧失。而同侧 FN 使对侧 LLBN 兴奋、EBN 和 IBN, 对侧 LLBN 进一步使对侧 IBN 兴奋。然后, 对侧 EBN 使对侧展神经核兴奋, 对侧 IBN 抑制同侧 EBN、TN、展神经核和对侧动眼神经核。在这种抑制作用下, 主动肌的兴奋性作用终止。对于大多数扫视, 扫视结束时 SC 还会继续发放。

8) 同侧 FN 使对侧 EBN 兴奋时, 会使对侧 EBN 产生适度的爆发式发放 (此时对侧 EBN 正受到同侧 IBN 的抑制, 但此抑制作用已减弱)。这种发放使对侧展神经核和同侧动眼神经核兴奋。在这种来自对侧 EBN 的兴奋作用下, 拮抗肌被激活并产生收缩。一旦 SC 停止发放, LLBN 的兴奋输入被终止, 使得 OPN 恢复发放, 从而抑制同侧和对侧的 MLBN, 扫视结束。

## 13.10 系统辨识

在传统电气工程、机械工程和化学工程领域中, 建模仿真主要是作为一种低成本的设计工具, 用于有效地研究各种参数变化对于系统性能的影响。而生理系统的建模并不是为了设计一个系统, 而是为了确定系统的各个参数及其组成结构。理论上, 如图 13.59 所示, 如果已知生理系统的输入和输出, 就可以获得系统内部的某些动态特性。但是, 很多情况下, 不是输入测不到, 就是输出不可测, 只能通过其他外围信号间接估计系统的输入或者输出, 并且也不知道系统内部的任何信息。系统辨识就是通过建立系统模型, 来估计系统各个参数的方法。本节将分别介绍频域和时域上系统辨识的基本原理。

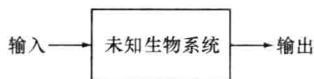


图 13.59 无反馈的典型生物系统框图

生物医学工程师可以测得各种各样的信号, 例如, 人体产生的动作电位、脑电图 (EEG)、心电图 (ECG)、肌电图 (EMG)、眼电图 (EOG) 等电信号, 以及由压力传感器测得的非电信号, 还有通过超声波、X 射线断层摄影、磁共振成像 (MRI) 等获得的各种图像信号。有了这些信号, 就可以通过图 13.1 所示的建模流程图来建立系统模型, 并估计模型的各个参数。在开始进行系统辨识之前, 必须先了解系统输入和输出信号的特性, 也就是, 弄清楚电压范围、频率范围、信号是确定性的还是随机性的、是否是编码信号 (如神经编码) 等问题。生物体所产生的大部分信号都属于低频信号, 并且都涉及一定的编码过程。例如, 脑电图 (EEG) 的上限频率为 30Hz, 而眼睛运动的上限频率小于 100Hz。本章前面介绍的眼睛扫视系统则通过神经编码将爆发式神经脉冲发放的持续时间转换为眼球的扫视角度。获得输入信号和输出信号之后, 必须对这些信号进行处理。最基本的处理器就是放大器, 如本书第 9 章所述, 增益和频率响应是放

大器的基本特性。注意,为了消除高频噪声的干扰,一般放大器都设计成低通滤波器(Low-Pass Filter, LPF)。有趣的是,大部分放大器都具有储能元件(即电容和电感),因此,必须等到放大器的暂态响应结束之后,才能采集到有用的信号。记住,滤波器的频域截止速度越快,放大器的暂态响应时间就越长。

本科的课程学习中,经常会遇到这样的问题,需要在给定系统传递函数和输入信号的前提下,求解系统的输出响应。这看起来虽然有点难,但是,实际上比这里将要介绍的确定生理系统参数的问题要容易得多。计算生理系统参数时,只知道模型的输入信号以及含噪声的输出信号,并且,很可能像扫视眼动系统那样,已知的并不是直接的输入信号,而是间接信号。理论上,生理系统建模所要达到的理想结果就是要获得如下系统传递函数

$$H(s) = \frac{V_o(s)}{V_i(s)} \quad (13.61)$$

### 13.10.1 经典系统辨识方法

系统辨识最简单且最直接的方法就是正弦波输入分析法。相应的测试装置通常包括:正弦波激励器、测量传感器以及采集频率响应输出信号的记录仪。如本书第 10 章所述,现在有很多各式各样的传感器,可以将各种物理变量转换成电信号。但是,现成的正弦波激励装置却很难找到,一般都需要研究人员自己动手设计。频率响应输出信号则用示波器就可以记录。图 13.60 显示了正弦波输入分析法的原理。

应用正弦波输入分析法辨识模型参数的实验很简单。只要取整个感兴趣频率范围内的一系列离散频率点上的单频率正弦波信号作为输入,同时在系统输出端检测对应于每个正弦输入的输出生正弦波的幅值和相位。下面介绍这种方法的基本原理。由图 13.60 可知,系统的传递函数为

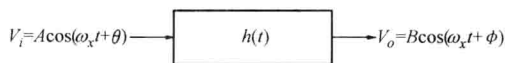


图 13.60 系统正弦波输入响应框图

注:  $V_i$  为输入信号,  $V_o$  为输出信号,  $h(t)$  为系统冲激响应。

$$H(j\omega) = \frac{V_o(j\omega)}{V_i(j\omega)} \quad (13.62)$$

输入信号的傅里叶变换为

$$V_i(j\omega) = F\{A \cos(\omega_x t + \theta)\} = A \int_{-\infty}^{\infty} e^{-j\omega\lambda} \cos(\omega_x \lambda + \theta) d\lambda = A \int_{-\infty}^{\infty} e^{-j\omega(-\frac{\theta}{\omega_x} + \tau)} \cos(\omega_x \tau) d\tau \quad (13.63)$$

将  $\lambda = \tau - \frac{\theta}{\omega_x}$  代入,并提出不含  $\tau$  的因子项,可得

$$V_i(j\omega) = A e^{\frac{j\omega\theta}{\omega_x}} \int_{-\infty}^{\infty} e^{-j\omega\tau} \cos\omega_x \tau d\tau = A e^{\frac{j\omega\theta}{\omega_x}} [\pi\delta(\omega - \omega_x) + \pi\delta(\omega + \omega_x)] \quad (13.64)$$

同理,输出信号的傅里叶变换为

$$V_o(j\omega) = B e^{\frac{j\omega\phi}{\omega_x}} [\pi\delta(\omega - \omega_x) + \pi\delta(\omega + \omega_x)] \quad (13.65)$$

将以上输入信号和输出信号代入式(13.62),可得

$$H(j\omega) = \frac{V_o(j\omega)}{V_i(j\omega)} = \frac{B e^{\frac{j\omega\phi}{\omega_s}}}{A e^{\frac{j\omega\theta}{\omega_s}}} = \frac{B}{A} e^{\frac{j\omega(\phi-\theta)}{\omega_s}} \quad (13.66)$$

稳态时,  $\omega = \omega_s$ , 上式可以简化为

$$H(j\omega) = \frac{B}{A} e^{j(\phi-\theta)} \quad (13.67)$$

此式中的  $A$ 、 $B$ 、 $\phi$  和  $\theta$  都是已知量, 因此,  $\omega = \omega_s$  时的传递函数幅值和相位就可以求得。这样, 在感兴趣的频率范围内改变  $\omega_s$  的值, 就可以求得整个传递函数。

一般地, 传递函数  $G(s) |_{s=j\omega} = G(j\omega)$  由以下几项组成:

1) 常数项  $K$ 。

2) 原点处的  $M$  个极点 (或零点), 其形式为  $(j\omega)^M$ 。

3) 形式为  $\prod_{p=1}^P (1 + j\omega\tau_p)$  的  $P$  个极点, 或者形式为  $\prod_{z=1}^Z (1 + j\omega\tau_z)$  的  $Z$  个零点。实际上, 这些极点 (或零点) 都位于  $-\frac{1}{\tau}$ 。

4) 形式为  $\prod_{r=1}^R \left( 1 + \left( \frac{2\zeta_r}{\omega_{n_r}} \right) j\omega + \left( \frac{j\omega}{\omega_{n_r}} \right)^2 \right)$  的  $R$  个复数极点, 或者形式为  $\prod_{s=1}^S \left( 1 + \left( \frac{2\zeta_s}{\omega_{n_s}} \right) j\omega + \left( \frac{j\omega}{\omega_{n_s}} \right)^2 \right)$  的  $S$  个复数零点。

5) 纯时延  $e^{-j\omega T_d}$ 。

其中,  $M$ 、 $P$ 、 $Z$ 、 $R$ 、 $S$  都是正整数,  $T_d$  是正数。将这些项组合在一起就是如下的传递函数

$$G(j\omega) = \frac{K \times e^{-j\omega T_d} \times \left( \prod_{z=1}^Z (1 + j\omega\tau_z) \right) \times \left( \prod_{s=1}^S \left( 1 + \left( \frac{2\zeta_s}{\omega_{n_s}} \right) j\omega + \left( \frac{j\omega}{\omega_{n_s}} \right)^2 \right) \right)}{(j\omega)^M \times \left( \prod_{p=1}^P (1 + j\omega\tau_p) \right) \times \left( \prod_{r=1}^R \left( 1 + \left( \frac{2\zeta_r}{\omega_{n_r}} \right) j\omega + \left( \frac{j\omega}{\omega_{n_r}} \right)^2 \right) \right)} \quad (13.68)$$

此方程是系统建模的模板。根据传递函数测量数据的对数值和渐近线, 可以计算出方程中的各个未知参数。一般, 传递函数的对数增益 (即输出与输入的幅值比) 定义为 (单位为 dB, 对数是以 10 为基底):

$$\begin{aligned} 20 \lg |G(j\omega)| &= 20 \lg K + 20 \sum_{z=1}^Z \lg |1 + j\omega\tau_z| + 20 \sum_{s=1}^S \lg \left| 1 + \left( \frac{2\zeta_s}{\omega_{n_s}} \right) j\omega + \left( \frac{j\omega}{\omega_{n_s}} \right)^2 \right| \\ &\quad - 20 \lg |(j\omega)^M| - 20 \sum_{p=1}^P \lg |1 + j\omega\tau_p| - 20 \sum_{r=1}^R \lg \left| 1 + \left( \frac{2\zeta_r}{\omega_{n_r}} \right) j\omega + \left( \frac{j\omega}{\omega_{n_r}} \right)^2 \right| \end{aligned} \quad (13.69)$$

相位定义为 (单位为  $^\circ$ )

$$\phi(\omega) = -\omega T_d + \sum_{z=1}^Z \arctan(\omega\tau_z) + \sum_{s=1}^S \arctan\left(\frac{2\zeta_s \omega_{n_s} \omega}{\omega_{n_s}^2 - \omega^2}\right) - M \times (90^\circ)$$

$$- \sum_{p=1}^P \arctan(\omega\tau_p) - \sum_{r=1}^R \arctan\left(\frac{2\zeta_r\omega_{n_r}\omega}{\omega_{n_r}^2 - \omega^2}\right) \quad (13.70)$$

其中, 常数的相位为  $0^\circ$ , 时延的幅值为 1。由这些公式可知, 对应于零点和极点的每一项可以分开, 先单独分析, 然后再合起来构成完整的伯德图 (Bode diagram), 即幅频和相频特性曲线图。各种极点和零点的对数增益的渐近线如下:

(1) 位于原点的极点

增益:  $-20\lg|(j\omega)| = -20\lg\omega$ 。当  $\omega = 1$  时, 对数增益为 0, 即增益曲线在  $\omega = 1\text{rad/s}$  处穿过 0dB 点。

相位:  $\Phi = -90^\circ$ 。如果这类极点有多个, 那么,  $M$  重极点增益曲线变化的斜率就是  $M \times (-20)$ , 相位为  $M \times (-90^\circ)$ 。

(2) 位于实轴上的极点

$$\text{增益: } -20\lg|1 + j\omega\tau_p| = \begin{cases} 0 & \omega < \frac{1}{\tau_p} \text{ 时} \\ -20\lg(\omega\tau_p) & \omega \geq \frac{1}{\tau_p} \text{ 时} \end{cases}$$

相位:  $-\arctan(\omega\tau_p)$  的渐近直线经过 2 点, 其中一点为  $\omega = \frac{1}{10\tau_p}$  时的  $0^\circ$  相位点,

另一点为  $\omega = \frac{10}{\tau_p}$  时的  $-90^\circ$  相位点。

极点位于  $-\frac{1}{\tau_p}$  处。

(3) 位于实轴上的零点

$$\text{增益: } 20\lg|1 + j\omega\tau_z| = \begin{cases} 0 & \omega < \frac{1}{\tau_z} \text{ 时} \\ 20\lg(\omega\tau_z) & \omega \geq \frac{1}{\tau_z} \text{ 时} \end{cases}$$

相位:  $\arctan(\omega\tau_z)$  的渐近直线经过 2 点, 其中一点为  $\omega = \frac{1}{10\tau_z}$  时的  $0^\circ$  相位点, 另

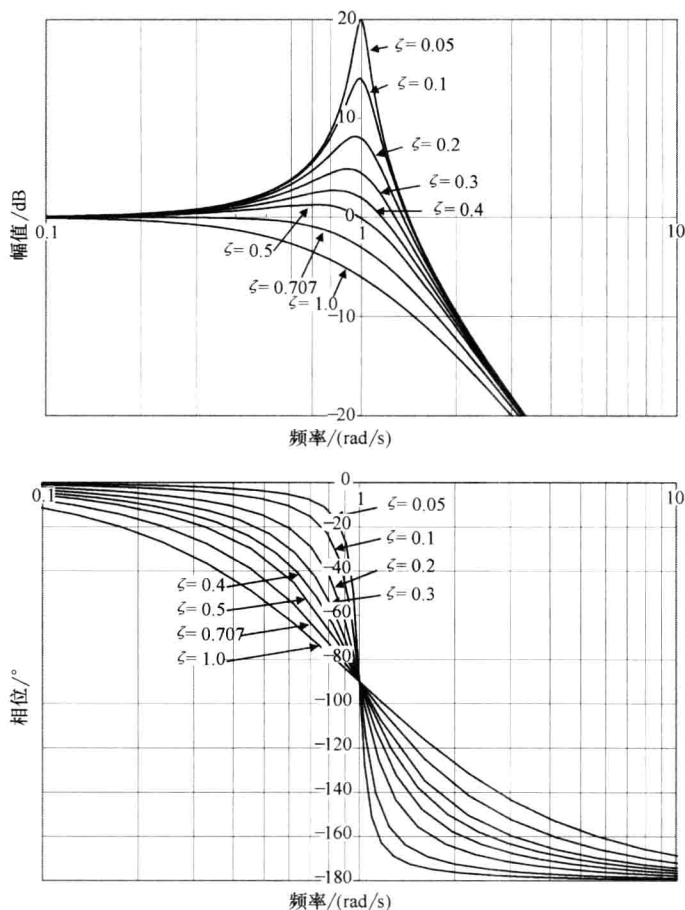
一点为  $\omega = \frac{10}{\tau_z}$  时的  $90^\circ$  相位点。

零点位于  $-\frac{1}{\tau_z}$  处。

(4) 复数极点

$$\text{增益: } -20\lg\left|1 + \left(\frac{2\zeta_r}{\omega_{n_r}}\right)j\omega + \left(\frac{j\omega}{\omega_{n_r}}\right)^2\right| = \begin{cases} 0 & \omega < \omega_{n_r} \text{ 时} \\ -40\lg\left(\frac{\omega}{\omega_{n_r}}\right) & \omega \geq \omega_{n_r} \text{ 时} \end{cases}$$

图 13.61 的上图显示了一组实际幅频曲线, 其中,  $\omega_n = 1.0$ ,  $\zeta$  取值范围为  $0.05 \sim 1.0$ 。注意, 当  $\zeta$  从 1.0 逐渐减小时, 幅频曲线上的谐振峰逐渐增大。当  $\zeta$  趋向于零时,  $\omega = \omega_{n_r}$  处的谐振峰的幅值趋于无穷大。 $\zeta > 0.707$  时, 则不存在谐振峰。

图 13.61  $\omega_n = 1.0 \text{ rad/s}$  时复数极点的伯德图

相位：对于不同的  $\zeta$  值，相频曲线的变化很大。不过，一般当  $\omega < \frac{\omega_{n_r}}{10}$  时相位趋于  $0^\circ$ ；当  $\omega > 10\omega_{n_r}$  时相位趋于  $-180^\circ$ 。

图 13.61 的下图显示了一组实际相频曲线，其中  $\omega_n = 1.0$ ， $\zeta$  取值范围为  $0.05 \sim 1.0$ 。注意，当  $\zeta$  从  $1.0$  逐渐减小时，相位从  $0^\circ$  到  $180^\circ$  的变化速度逐渐加快，其变化过渡带所占的频率区间越来越窄。

极点位于  $-\zeta_r \omega_{n_r} \pm j\omega_{n_r} \sqrt{1 - \zeta_r^2}$ 。

(5) 复数零点

$$\text{增益: } 20\lg \left| 1 + \left( \frac{2\zeta_s}{\omega_{n_s}} \right) j\omega + \left( \frac{j\omega}{\omega_{n_s}} \right)^2 \right| = \begin{cases} 0 & \omega < \omega_{n_s} \\ 40\lg \left( \frac{\omega}{\omega_{n_s}} \right) & \omega \geq \omega_{n_s} \end{cases}$$

相位：对于不同的  $\zeta_s$  值，相频曲线的变化很大。不过，一般当  $\omega < \frac{\omega_{n_s}}{10}$  时相位趋于

$0^\circ$ ; 当  $\omega > 10\omega_{n_s}$  时相位趋于  $+180^\circ$ 。

此时幅频和相频曲线都与图 13.61 所示复数极点的特性相似, 只是斜率不再是  $-40\text{dB}/\text{十倍频程}$ , 而是  $+40\text{dB}/\text{十倍频程}$ 。

零点位于  $-\zeta_s\omega_{n_s} \pm j\omega_{n_s}\sqrt{1-\zeta_s^2}$ 。

(6) 时延

增益: 对于所有  $\omega$  值, 增益均为 1;

相位:  $-\omega T_d$ 。

(7) 常数  $K$

增益:  $20\lg K$ ;

相位:  $0$ 。

在伯德图幅频曲线上, 低频渐近线与高频渐近线相交处的频率, 也就是幅频曲线斜率变化的拐点, 称为转折频率。估计模型参数的第一步就是要从伯德图上确定幅频曲线和相频曲线上的转折频率。在伯德图上, 从  $-\infty$  到  $+\infty$ , 原点处的极点 (或零点) 具有常数斜率  $-20\text{dB}/\text{十倍频程}$  (或  $+20\text{dB}/\text{十倍频程}$ )。实数极点 (或零点) 在  $-20\text{dB}/\text{十倍频程}$  (或  $+20\text{dB}/\text{十倍频程}$ ) 的转折频率处存在斜率变化。复数极点 (或零点) 的估计要难得多, 首先需要确定转折频率  $\omega_n$  的位置, 也就是斜率变化  $40\text{dB}/\text{十倍频程}$  的点。然后, 根据实际幅频曲线上谐振峰的大小和相频曲线上  $180^\circ$  相位变化的快慢, 来估计  $\zeta$  的值。

对于实轴上的极点, 在转折频率处, 实际的对数增益值与直线渐近线之间的误差为  $3\text{dB}$ , 也就是, 该点处精确的幅频曲线值等于渐近线上的值减去  $3\text{dB}$ 。距离转折频率上、下各十倍频程处, 两者之间的误差减小到  $0.3\text{dB}$ 。对于实数零点, 对数增益曲线与渐近线之间误差的大小也是如此, 只是其精确曲线值等于渐近线加上  $3\text{dB}$ 。对于复数极点或零点, 在转折频率处, 实际对数增益与渐近线之间的误差与  $\zeta$  的值相关, 由图 13.36 可见, 两者之间的误差可以很大。

### 例 13.9

假设在各个不同频率正弦波的输入驱动下, 某开环系统的输出测量数据如表 13.3 所示。请画出其伯德图, 并估计其传递函数。

表 13.3 例 13.9 的数据

频率 /(rad/s)	0.01	0.02	0.05	0.11	0.24	0.53	1.17	2.6	5.7	12.7	28.1	62	137	304	453	672	1000
$20\lg G $ /dB	58	51	44	37	30	23	15	6	-7	-20	-34	-48	-61	-75	-82	-89	-96
相位/ $^\circ$	-90	-91	-91	-93	-97	-105	-120	-142	-161	-171	-176	-178	-179	-180	-180	-180	-180

解:

根据给定数据所做的幅频曲线和相频曲线伯德图如图 13.62 所示。由相频曲线可见, 当  $\omega \rightarrow \infty$  时, 相位趋向于  $180^\circ$ , 因此, 该系统的极点应该比零点多 2 个。另外, 注意, 幅频曲线上没有谐振峰, 相频曲线的变化也较缓慢, 因此, 系统中没有小阻尼



（即  $\zeta < 0.5$ ）复数极点。不过，现在还不能确定是否存在大阻尼复数极点。

在  $0.01 \sim 1\text{rad/s}$  频率区间，幅频曲线的斜率为  $-20\text{dB/十倍频程}$ 。不妨假设小于  $0.01\text{rad/s}$  的频率范围也具有同样的斜率，那么，就可以确定系统传递函数在原点处有一个极点，这样，才会产生如此的响应曲线。如果可能，在记录仪器允许范围内，必须验证小于  $0.01\text{rad/s}$  的频率下幅频响应是否确实保持  $-20\text{dB/十倍频程}$  的斜率。

在  $2 \sim 1000\text{rad/s}$  频率区间，幅频曲线的斜率为  $-40\text{dB/十倍频程}$ 。由于在其之前那段频率区间已经确认了一个极点，因此，可以认为在此  $2 \sim 1000\text{rad/s}$  内存在另一个极点。当然，也有其他可能性，如存在相距很近的一个极点和一个零点，或者存在一对复数极点和一个零点。但是，这些可能性的证据不足，为了简便，这里用一个极点来描述系统就足够了。

至此，已经可以认定系统中含有一个原点处的极点和一个大于  $1\text{rad/s}$  的极点。而且，整个幅频曲线的斜率已经完成匹配，因此，现在可以确定系统中没有大阻尼复数极点。

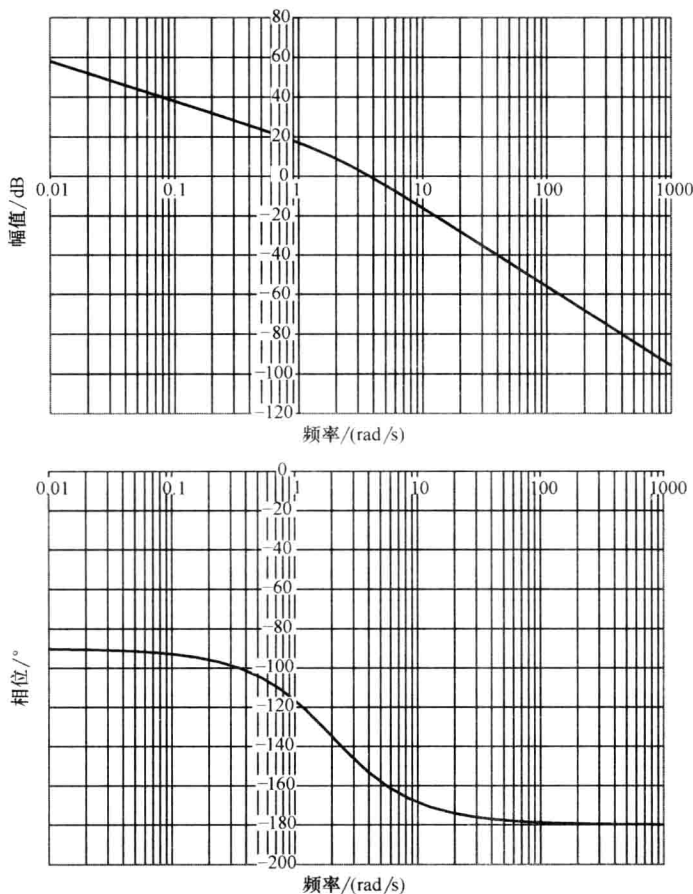


图 13.62 例 13.9 的数据

为了估计极点的位置,如图 13.63 所示,作低频和低频两条幅频曲线的切线。两条切线的交点约在  $2\text{rad/s}$  处,这就是转折频率,也就是极点的位置。注意,如前所述,从图中可见,转折频率处实际曲线约比渐近线低  $3\text{dB}$ 。

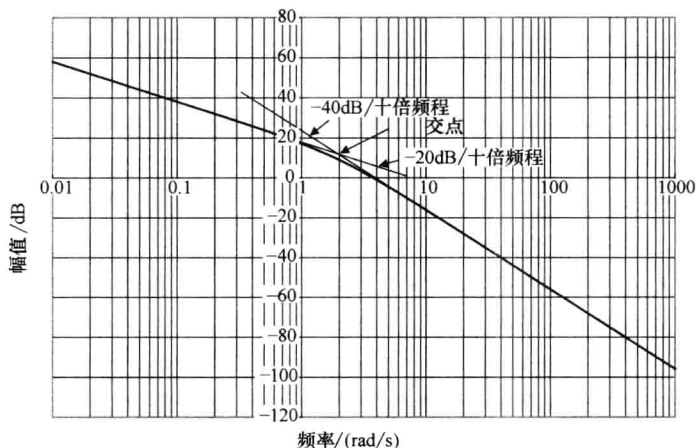


图 13.63 例 13.9 数据的直线逼近

至此,可以写出模型的传递函数为

$$G(j\omega) = \frac{K}{j\omega \left( \frac{j\omega}{2} + 1 \right)}$$

其中,常数  $K$  可以通过  $\omega = 1\text{rad/s}$  处的幅值来计算。此处,原点处的极点对于对数增益的贡献为  $0$ ,而  $2\text{rad/s}$  处的极点对于对数增益的贡献为  $-1\text{dB}$ ,即  $\left( -20\lg \left| \frac{j\omega}{2} + 1 \right| = -20\lg \left( \sqrt{\left( \frac{1}{2} \right)^2 + 1^2} \right) = -1\text{dB} \right)$ 。由于幅频曲线上的  $1\text{rad/s}$  点处于转折频率上、下十倍频程的范围之内,因此,需要计算位于  $2\text{rad/s}$  处的极点的贡献。于是,  $\omega = 1\text{rad/s}$  处的非零增益项就是

$$20\lg |G(\omega)| = 20\lg K - 20\lg \left| \frac{j\omega}{2} + 1 \right|$$

由以上幅频曲线可知:  $20\lg |G(\omega)| = 17\text{dB}$ 。因此

$$17 = 20\lg K - 1$$

即  $K = 8$ 。这样,模型方程就成为

$$G(j\omega) = \frac{8}{j\omega \left( \frac{j\omega}{2} + 1 \right)}$$

最后还要检查系统是否存在时延。在  $\omega = 2.0\text{rad/s}$  转折频率处,由以上模型方程求得的相位为

$$\phi(\omega) = -90^\circ - \arctan\left(\frac{\omega}{2}\right) = -90^\circ - 45^\circ = -135^\circ$$

该数值与相频曲线上的数据很接近, 因此, 可以认为系统中并没有时延。 ■

例 13.9 说明了确定模型结构和参数的方法。但是, 用这种方法分析复杂系统, 即便不是完全不可能, 也是非常困难。不过, 很多软件包可以根据所提供的数据自动估计系统模型的极点、零点、时延以及传递函数的增益等参数, 如 MATLAB 中的系统辨识工具箱等。还有其他比 MATLAB 更灵活的程序, 如 Seidel 的 FORTRAN 程序等 (见参考文献 [43]), 也可以用于分析复杂系统。

除了正弦波以外, 还可以用其他类型的输入信号来激励系统产生输出响应, 例如: 脉冲、阶跃等瞬变信号, 斜坡信号, 以及白噪声和伪随机二进制序列等噪声信号。之所以要用其他信号, 是因为并不是所有系统都可以用正弦信号来激励的, 本章所述的快速眼动系统就是其中一例, 对于这类系统, 我们一般使用阶跃输入信号 (见参考文献 [17])。

利用阶跃输入的输出响应数据来分析系统传递函数时, 通常使用傅里叶变换和快速傅里叶变换将时域响应转化为频域响应, 用频域法来分析。输入信号的频域响应是已知的 (如  $1/s$ ), 输出信号的频域响应则可以用数值方法 [即快速傅里叶变换 (FFT)] 计算得到。不过, 必须先用 A-D 转换器将系统输出信号进行数字化采样, 存入计算机内存之后, 才能进行 FFT 运算。注意, A-D 采样之前, 必须先用抗混叠滤波器 (即低通滤波器) 滤除大于信号最高频率的成分, 并且所用的采样率至少是信号最高频率的 2.5 倍。得到输入和输出信号的频域响应之后, 就可用于估算系统的传递函数。

### 13.10.2 一阶线性系统的辨识

下面介绍一阶系统参数的求解方法。设某系统为一阶系统, 其输入激励为阶跃信号, 那么, 如图 13.64 所示, 系统的输出响应就是

$$y(t) = (y_{ss} + Ke^{-\frac{t}{\tau}})u(t) \quad (13.71)$$

其中,  $K = -[y_{ss} - y(0)]$ ,  $\tau$  为时间常数,  $y(0)$  为初始值,  $y_{ss}$  为稳态值。注意, 当  $t = \tau$  时, 输出响应已达到稳态值与初始值之差的 63%; 同理, 当  $t = 4\tau$  时, 输出响应达到稳态值与初始值之差的 98%。

现在反过来, 假设某个未知的一阶系统的阶跃响应数据如图 13.64 所示, 为了确定该一阶系统的模型, 需要从数据中估计式 (13.70) 的几个参数。如图 13.65 所示, 系统时间常数  $\tau$  的一种估计方法是求响应曲线的初始斜率, 并用平均法求稳态值。即

$$\dot{y}(t) = \frac{1}{\tau} [y_{ss} - y(0)] e^{-\frac{t}{\tau}} \rightarrow \tau = \frac{y_{ss} - y(0)}{\dot{y}(t)}$$

$t = 0$  时,  $\tau = \frac{y_{ss} - y(0)}{\dot{y}(0)}$ , 其中  $\dot{y}(0)$  是输出响应的初始斜率。求  $\tau$  的这个方程其实是一

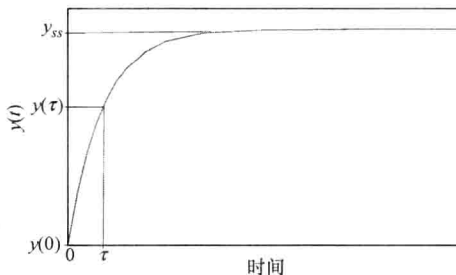


图 13.64 一阶系统对于阶跃输入的响应

个直线方程。

### 例 13.10

某一阶系统的阶跃响应数据如表 13.4 所示，请计算系统模型的各个参数。

表 13.4 例 13.10 的数据

$t$	0	0.05	0.1	0.15	0.2	0.25	0.3	0.4	0.5	0.7	1.0	1.5	2.0
$y(t)$	0.0	0.56	0.98	1.30	1.54	1.73	1.86	2.04	2.15	2.24	2.27	2.28	2.28

解：

该系统模型可以用式 (13.71) 来描述，即

$$y(t) = y_{ss} + Ke^{\frac{-t}{\tau}}u(t)$$

其中， $y_{ss}$ 、 $K$  和  $\tau$  为未知参数。图 13.66 所示是阶跃响应曲线以及斜率为  $y'(0)$  的切线。显然， $y_{ss} = 2.28$ ， $K = -2.28$ 。由图中可见， $\tau = 0.17\text{s}$ 。因此，模型方程可以写为

$$y(t) = 2.88(1 - e^{\frac{-t}{0.17}})u(t)$$

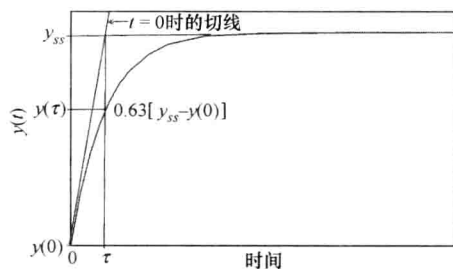


图 13.65 由系统输出响应的  
初始斜率计算时间常数

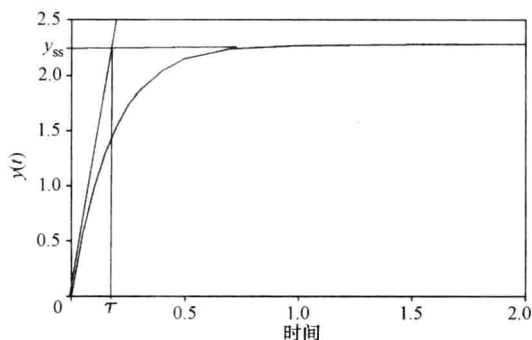


图 13.66 例 13.10 的阶跃响应曲线

### 13.10.3 二阶线性系统的辨识

下面估计二阶线性系统的参数。设系统方程为  $M\ddot{y} + B\dot{y} + Ky = f(t)$ ，为了便于分析，将此方程改写为如下标准形式

$$\ddot{y} + 2\zeta\omega_n\dot{y} + \omega_n^2y = f(t) \quad (13.72)$$

其中  $\omega_n$  为无阻尼自然频率， $\zeta$  为阻尼比。特征方程的根为

$$s_{1,2} = -\zeta\omega_n \pm \omega_n\sqrt{\zeta^2 - 1} = -\zeta\omega_n \pm j\omega_n\sqrt{1 - \zeta^2} = -\zeta\omega_n \pm j\omega_d \quad (13.73)$$

当  $0 < \zeta < 1$  时，系统为欠阻尼系统； $\zeta = 1$  时，为临界阻尼系统；而  $\zeta > 1$  时，为过阻尼系统。

阶跃响应

表 13.5 列出了式 (13.72) 所示系统在不同的阻尼条件下对于阶跃输入信号的响

应, 其中,  $y_{ss}$  是  $y(t)$  的稳态值,  $A_1$ 、 $A_2$ 、 $B_1$ 、 $\phi$ 、 $C_1$  和  $C_2$  为系统常数, 它们由初始条件决定。对于欠阻尼系统, 给系统施加幅值为  $\gamma$  的阶跃输入, 根据系统的响应曲线, 我们可以估计  $\zeta$  和  $\omega_n$  的值, 方法如下。设系统阶跃响应的曲线如图 13.67 所示, 二阶欠阻尼系统 (即  $0 < \zeta < 1$ ) 的解为

$$y(t) = C \left[ 1 + \frac{e^{-\zeta \omega_n t}}{\sqrt{1 - \zeta^2}} \cos(\omega_d t + \phi) \right] \quad (13.74)$$

其中  $C$  就是稳态响应幅值  $y_{ss}$ ,  $\omega_d = \omega_n \sqrt{1 - \zeta^2}$ ,  $\phi = \pi + \arctan \frac{-\zeta}{\sqrt{1 - \zeta^2}}$ 。

表 13.5 二阶系统的阶跃响应

系统的阻尼	自由解
过阻尼	$y(t) = y_{ss} + A_1 e^{s_1 t} + A_2 e^{s_2 t}$
欠阻尼	$y(t) = y_{ss} + B_1 e^{-\zeta \omega_n t} \cos(\omega_d t + \phi)$
临界阻尼	$y(t) = y_{ss} + (C_1 + C_2 t) e^{-\zeta \omega_n t}$

通常使用以下几个时间数据来定量描述二阶系统的阶跃响应曲线 (见图 13.67):

上升时间  $T_r$ : 响应曲线从稳态值的 10% 上升到 90% 所需要的时间;

调节时间  $T_s$ : 响应曲线在此  $T_s$  时间之后就一直保持在稳态值上下 5% 的范围之内;

峰值时间  $T_p$ : 响应曲线达到第一个过冲峰值的时间。

如图 13.67 所示, 利用响应曲线上可以确定的这几个数据就可以估计系统的参数值。计算二阶欠阻尼系统的峰值时间如下:

$$\frac{\partial y}{\partial t} = \frac{\gamma e^{-\zeta \omega_n t}}{K \sqrt{1 - \zeta^2}} [-\zeta \omega_n \cos(\omega_d t + \phi) - \omega_d \sin(\omega_d t + \phi)] \quad (13.75)$$

对此式应用链式法则, 令  $\left. \frac{\partial y}{\partial t} \right|_{t=T_p} = 0$ , 从而获得  $T_p$ 。

$$T_p = \frac{\pi}{\omega_n \sqrt{1 - \zeta^2}} \quad (13.76)$$

$T_p$  时刻的输出响应为

$$y(T_p) = C(1 + e^{-\zeta \frac{\pi}{\sqrt{1 - \zeta^2}}}) \quad (13.77)$$

其推导过程如下:

$$y(T_p) = C \left[ 1 + \frac{e^{-\zeta \omega_n \frac{\pi}{\omega_n \sqrt{1 - \zeta^2}}}}{\sqrt{1 - \zeta^2}} \cos \left( \omega_d \frac{\pi}{\omega_n \sqrt{1 - \zeta^2}} + \phi \right) \right]$$

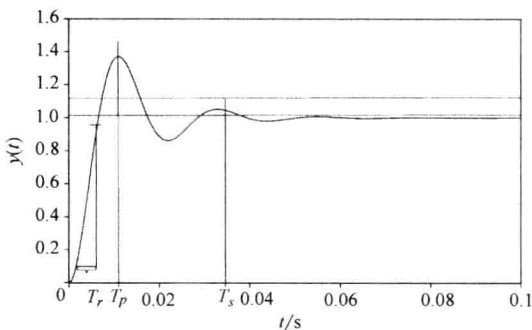


图 13.67 某二阶系统的阶跃响应

注: 图中标出了上升时间  $T_r$ 、过冲的峰值时间  $T_p$  和调节时间  $T_s$ 。

$$\begin{aligned}
 &= C \left[ 1 + \frac{e^{-\zeta \omega_n \frac{\pi}{\sqrt{1-\zeta^2}}}}{\sqrt{1-\zeta^2}} \cos(\pi + \phi) \right] \\
 &= C \left[ 1 + \frac{e^{-\zeta \omega_n \frac{\pi}{\sqrt{1-\zeta^2}}}}{\sqrt{1-\zeta^2}} \sqrt{1-\zeta^2} \right] \\
 &= C(1 + e^{-\zeta \frac{\pi}{\sqrt{1-\zeta^2}}})
 \end{aligned}$$

根据响应曲线上测得的  $T_p$  和  $y(T_p)$  的值, 就可以利用式 (13.76) 和式 (13.77) 计算系统的  $\zeta$  和  $\omega_n$  值。首先用式 (13.77) 计算  $\zeta$  值; 然后, 再将算得的  $\zeta$  值代入式 (13.76), 计算  $\omega_n$  值; 最后, 用  $\zeta$  值计算式 (13.74) 中的相位  $\phi$ , 即

$$\phi = \pi + \arctan \frac{-\zeta}{\sqrt{1-\zeta^2}}$$

### 例 13.11

请根据图 13.67 所示数据计算系统模型的  $\zeta$  和  $\omega_n$ 。

解:

由图 13.67 所示数据可知,  $C=1.0$ ,  $T_p=0.011$ ,  $y(T_p)=1.37$ 。因此

$$\begin{aligned}
 y(T_p) &= C(1 + e^{-\zeta \frac{\pi}{\sqrt{1-\zeta^2}}}) \rightarrow \zeta = \frac{\sqrt{\frac{\ln[y(T_p) - 1]^2}{\pi^2}}}{\sqrt{1 + \frac{\{\ln[y(T_p) - 1]\}^2}{\pi^2}}} = 0.3 \\
 T_p &= \frac{\pi}{\omega_n \sqrt{1-\zeta^2}} \rightarrow \omega_n = \frac{\pi}{T_p \sqrt{1-\zeta^2}} = 300 \text{ rad/s}
 \end{aligned}$$

并且

$$\phi = \pi + \arctan \frac{-\zeta}{\sqrt{1-\zeta^2}} = 2.8369 \text{ rad}$$

### 冲激响应

表 13.6 列出了初始条件为 0 时系统的冲激响应, 即微分方程  $a_2 \ddot{y} + a_1 \dot{y} + a_0 y = \delta(t)$  的解。下面根据冲激响应曲线来估计过阻尼系统的  $\zeta$  和  $\omega_n$  值, 此时微分方程的解为

$$y(t) = \frac{1}{2\omega_n \sqrt{\zeta^2 - 1}} (e^{s_1 t} - e^{s_2 t}) \quad (13.78)$$

其中  $s_{1,2} = -\zeta\omega_n \pm \omega_n \sqrt{\zeta^2 - 1}$ 。与前述一样, 利用峰值时间  $T_p$  来计算参数值。 $T_p$  计算如下:

$$\frac{\partial y}{\partial t} = \frac{1}{2\omega_n \sqrt{\zeta^2 - 1}} (s_1 e^{s_1 t} - s_2 e^{s_2 t}) \quad (13.79)$$

令  $\left. \frac{\partial y}{\partial t} \right|_{t=T_p} = 0$ , 求得  $T_p$  为

$$T_p = \frac{\ln\left(\frac{s_2}{s_1}\right)}{s_1 - s_2} \quad (13.80)$$

根据响应曲线很容易看出峰值时间。

表 13.6 二阶系统的冲激响应

系统的阻尼	自由解
过阻尼	$y(t) = \frac{1}{2\omega_n \sqrt{\zeta^2 - 1}} (e^{\gamma_1 t} - e^{\gamma_2 t})$
欠阻尼	$y(t) = \frac{\omega_n e^{-\omega_n \zeta t}}{\sqrt{1 - \zeta^2}} \sin(\omega_d t)$
临界阻尼	$y(t) = t e^{-\omega_n t}$

如果二阶系统的 2 个时间常数中一个比另一个大得多，那么，就可以从响应曲线中先估计主时间常数（即较大的那个）。例如，如图 13.68 所示，假设系统的冲激响应为  $y(t) = e^{-t} - e^{-4t}$ ，那么，时间常数较小的分量（即  $-e^{-4t}$ ）在 1s 左右就几乎趋于 0，远早于主时间常数的分量（即  $e^{-t}$ ）。因此，当  $t > 1s$  时，冲激响应基本上就等于分量  $e^{-t}$ 。为了估计主时间常数，要确定分量  $e^{-t}$  的值衰减到  $t=0$  时的值的 1% 时所对应的时间，该时间就是  $5\tau$ 。为了估计主时间常数分量的初始值，如图 13.68 所示，将指数曲线的前面部分画出来，得到初始值为 1，再找到其 1% 值的位置，读出  $5\tau$  的值，就可以求得主时间常数。然后，根据已知的  $T_p$  和主时间常数，利用 MATLAB 的“solve”命令求解式（13.80），就可以计算出较小的那个时间常数。最后，用这 2 个时间常数来计算  $\zeta$  和  $\omega_n$  的值，即  $\omega_n^2 = s_1 s_2$ ， $\zeta = \frac{s_1 + s_2}{2\omega_n}$ 。

例 13.12

请求解图 13.69 所示冲激响应数据的  $\zeta$  和  $\omega_n$  的值。

解：

如图 13.70 所示，利用外插法将主时间常数的指数函数反推至 0 时刻（见虚线所示），得到其初始值为 1。该指数函数衰减至 1 的

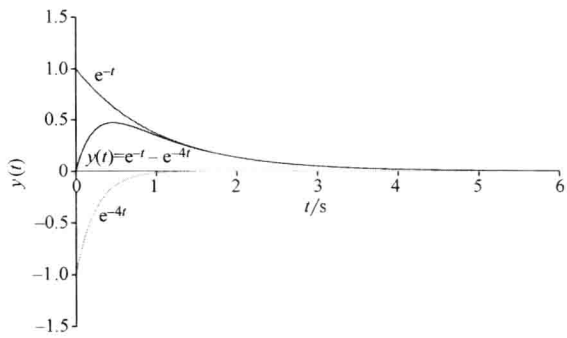


图 13.68 冲激响应  $y(t) = e^{-t} - e^{-4t}$  以及指数函数  $e^{-t}$  和  $e^{-4t}$

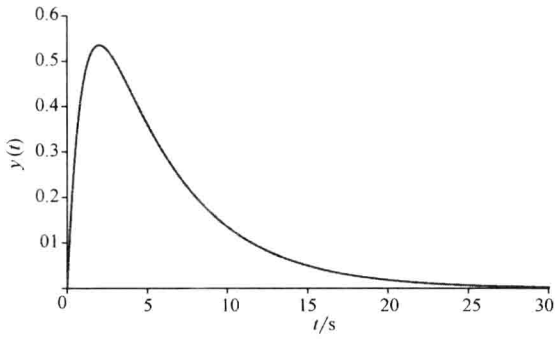


图 13.69 例 13.12 的响应曲线

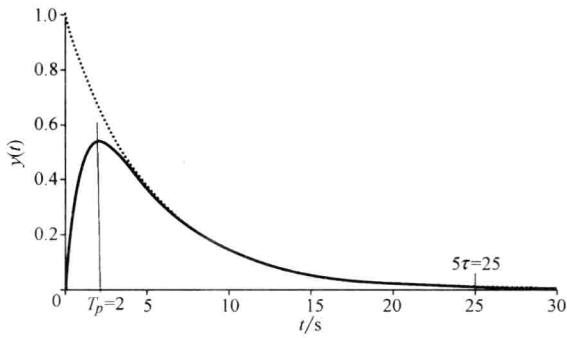


图 13.70 例 13.12 分析方法示意图

1% 时的时间约为  $25s$ ，即  $5\tau_2 = 25$ ，主时间常数  $\tau_2 = 5s$ ，进而  $s_2 = -0.2$ 。

根据图 13.70 所示数据，冲激响应的峰值时间约为  $2s$ ，利用式 (13.80) 可得

$$s_1 T_p + \ln(s_1) = s_2 T_p + \ln(s_2)$$

利用 MATLAB 的 “solve” 命令求解此式，计算  $s_1$  的值，即

```
> > solve('s1*2 + log(s1) = s2*2 + log(s2)', 's2 = -0.2')
```

```
ans =
```

```
s1:[2x1sym]
```

```
s2:[2x1sym]
```

```
> > s1
```

```
s1 =
```

```
-1.0093940626323415922798829136295
```

```
-0.2
```

注意，此方程有 2 个解，也就是  $s_1$  有 2 个根。由于  $s_2 = -0.2$ ， $s_1$  的绝对值要大于  $s_2$ ，因此，取  $s_1 = -1$ 。最后，得到  $\omega_n^2 = s_1 s_2 = 0.2$ ， $\zeta = \frac{s_1 + s_2}{2\omega_n} = 3$ 。 ■

## 13.11 习题

1. 图 13.71 所示系统中： $M_1 = 2\text{kg}$ ， $M_2 = 1\text{kg}$ ， $B_1 = 1(\text{N} \cdot \text{s})/\text{m}$ ， $B_2 = 2(\text{N} \cdot \text{s})/\text{m}$ ， $K_1 = 1\text{N/m}$ ， $K_2 = 1\text{N/m}$ 。且  $f(t)$  为外加作用力， $x_1$  和  $x_2$  为偏离静止位置的位移。(a) 求系统的传递函数；(b) 假设  $f(t) = 3u(t)\text{N}$  且初始条件为 0，求解  $x_1(t)$ ；(c) 假设  $f(t) = 3u(t)\text{N}$  且初始条件为 0，请编写 Simulink 程序来仿真系统的解；(d) 请编写 MATLAB 程序，画出系统的伯德图。

2. 图 13.72 所示系统中： $M_1 = 2\text{kg}$ ， $B_1 = 1(\text{N} \cdot \text{s})/\text{m}$ ， $B_2 = 2(\text{N} \cdot \text{s})/\text{m}$ ， $K_1 = 5\text{N/m}$ ， $K_2 = 2\text{N/m}$ 。且  $f(t)$  为外加作用力， $x_1$  和  $x_2$  为偏离静止位置的位移。(a) 求系统的传递函数；(b) 假设  $f(t) = u(t)\text{N}$  且初始条件为 0，求解  $x_2(t)$ ；(c) 假设  $f(t) = u(t)\text{N}$  且初始条件为 0，请编写 Simulink 程序来仿真系统的解；(d) 请编写 MATLAB 程序，画出系统的伯德图。

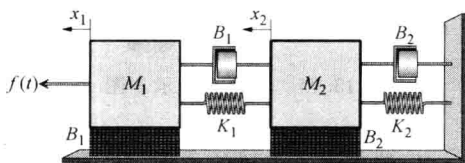


图 13.71 习题 1 的示意图

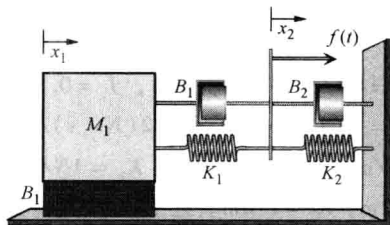


图 13.72 习题 2 的示意图

3. 图 13.73 所示系统中： $M_1 = 3\text{kg}$ ， $M_2 = 1\text{kg}$ ， $B_1 = 1(\text{N} \cdot \text{s})/\text{m}$ ， $B_2 = 2(\text{N} \cdot \text{s})/\text{m}$ ， $K_1 = 1\text{N/m}$ ， $K_2 = 1\text{N/m}$ 。且  $f(t)$  为外加作用力， $x_1$  和  $x_2$  为偏离静止位置的位移。假设



滑轮没有惯性和摩擦。(a) 请写出系统模型的微分方程组；(b) 如果  $f(t) = 10u(t)$  N 且初始条件为 0，求解  $x_2(t)$ ；(c) 如果输入信号是幅值为 10N 的阶跃函数且初始条件为 0，请设计 Simulink 程序，仿真位移  $x_1$  和  $x_2$  的响应曲线。

4. 图 13.74 所示系统包括 2 个黏性元素  $B_1$  和  $B_2$ 、平移元素  $K_1$  和转动元素  $K_2$ 。设  $\tau(t)$  为外加力矩， $x_1$  为质量块  $M$  偏离静止位置的位移， $\theta$  为元素  $J$  偏离静止位置的角位移。假设元素  $J$  处于静止位置时，弹簧处于没有任何伸缩的自然状态。并且，滑轮没有惯性和摩擦，缆绳也不会被拉长。(a) 写出描述该系统的微分方程组；(b) 写出描述该系统的状态变量方程组；(c) 如果输入信号是幅值为 3N 的阶跃函数且初始条件为 0，请设计 Simulink 程序来仿真该系统的解。

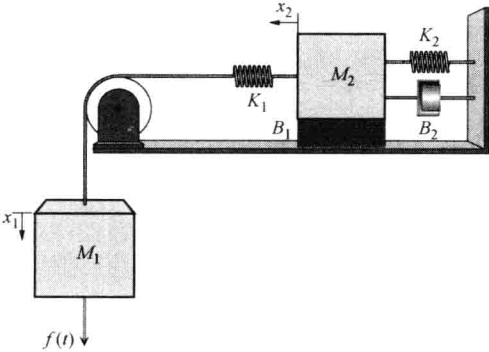


图 13.73 习题 3 的示意图

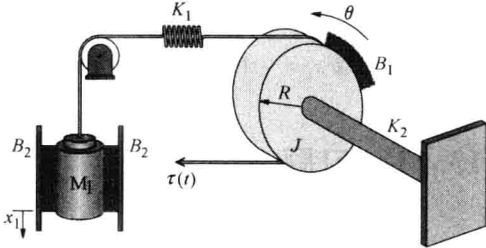


图 13.74 习题 4 的示意图

5. 图 13.75 所示系统包括 2 个黏性元素  $B_1$  和  $B_2$ 、平移元素  $K_1$  和转动元素  $K_2$ 。设  $f(t)$  为外加作用力， $x_1$  和  $x_2$  分别为质量块  $M_1$  和  $M_2$  偏离静止位置的位移， $\theta$  为元素  $J$  偏离静止位置的角位移。假设元素  $J$  处于静止位置时，弹簧处于没有任何伸缩的自然状态。并且，滑轮没有惯性和摩擦，缆绳也不会被拉长。(a) 写出描述该系统的微分方程组；(b) 写出描述该系统的状态变量方程组。

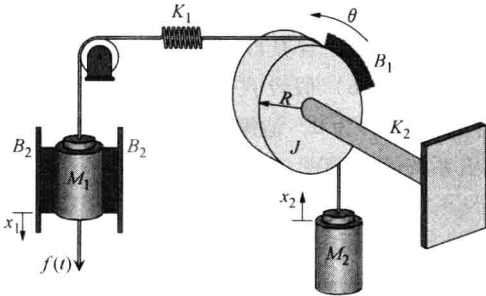


图 13.75 习题 5 的示意图

6. 图 13.76 所示系统中： $M_3 = 1\text{ kg}$ ， $K_3 = 4\text{ N/m}$ （平移元素）， $J_1 = 0.5\text{ kg} \cdot \text{m}^2$ ， $B_1 = 1(\text{N} \cdot \text{s})/\text{m}$ ， $B_2 = 2(\text{N} \cdot \text{s})/\text{m}$ ， $K_1 = 2\text{ N/m}$ ， $J_2 = 2\text{ kg} \cdot \text{m}^2$ ， $K_2 = 1\text{ N/m}$ ， $R_1 = 0.2\text{ m}$ ， $R_2 = 1.0\text{ m}$ 。且  $\tau(t)$  为外加力矩， $x_3$  为  $M_3$  偏离静止位置的位移， $\theta_1$  和  $\theta_2$  分别为元素  $J_1$  和  $J_2$  偏离静止位置的角位移。假设元素  $J_1$  和  $J_2$  处于静止位置时，弹簧处于没有任何伸缩的自然状态。(a) 请写出系统模型的微分方程组；(b) 如果输入信号是幅值为 10 N 的阶跃函数，请设计 Simulink 程序来仿真系统的解。

7. 什么是眼动系统的主特性曲线？请将本章 13.3 节讲述的 Westheimer 模型所得的

仿真结果与各个主特性曲线进行比较。

8. 请设计 Simulink 仿真程序, 用本章 13.3 节所述的 Westheimer 模型仿真  $20^\circ$  扫视眼动, 其中  $\zeta = 0.7$ ,  $\omega_n = 120 \text{ rad/s}$ , 且设  $K = 1 \text{ N/m}$ 。并对  $5^\circ$ 、 $10^\circ$ 、 $15^\circ$  扫视进行同样的仿真, 将这些仿真结果与图 13.6 所示的主特性曲线进行比较。

9. 假设 Westheimer 模型的输入是 13.3 节所述的脉冲—阶跃信号, 并且  $\zeta = 0.7$ ,  $\omega_n = 120 \text{ rad/s}$ ,  $K = 1 \text{ N} \cdot \text{m}$ 。(a) 如果要使眼球保持于  $20^\circ$  的眼位, 请计算所需的阶跃输入信号的大小; (b) 设计 Simulink 仿真程序, 计算能够驱动眼球完成  $20^\circ$  扫视的脉冲幅值, 并要求仿真结果与图 13.6 所示的主特性曲线相匹配; (c) 用 (b) 中设计的程序仿真  $5^\circ$ 、 $10^\circ$  和  $15^\circ$  扫视; (d) 将这些仿真结果与 Westheimer 模型的仿真结果进行比较。

10. 某个扫视眼动系统的模型可以用如下方程表示

$$\tau = 1.74 \times 10^{-3} \ddot{\theta} + 0.295 \dot{\theta} + 25\theta$$

其中  $\tau$  是所施加的力矩。假设  $\tau = 200u(t)$ , 且初始条件为 0。请应用拉普拉斯变换求解  $\theta(t)$ , 并画出  $\theta(t)$  曲线。

11. 设本章 13.3 节所述 Westheimer 模型的参数为  $\zeta = \frac{1}{\sqrt{2}}$ ,  $\omega_n = 100 \text{ rad/s}$ ,  $K = 1$ , 求

图 13.11 所示那样的脉冲-阶跃输入信号的输出响应通式。并在脉冲幅值增加、持续时间减少、但眼动扫视的稳态幅度保持不变的情况下, 考察该模型输出响应的变化。

12. 请利用图 13.6 所示的主特性曲线数据, 分别估计  $5^\circ$ 、 $10^\circ$ 、 $15^\circ$  和  $20^\circ$  扫视下 Westheimer 模型 (见 13.3 节) 的参数  $\zeta$  和  $\omega_n$  的值。设扫视的最大过冲幅值  $\theta(T_p)$  比扫视的稳态角度大  $1^\circ$ 。请仿真这 4 个角度的扫视过程; 并建立随扫视幅度变化的参数  $\zeta$  与  $\omega_n$  之间的关系式, 使其与图 13.6 的主特性曲线相匹配。然后, 根据这些关系, 分别画出  $T_p$  和扫视峰速随扫视幅度变化的函数曲线, 并将这些曲线与原 Westheimer 模型的主特性曲线以及图 13.6 所示曲线进行比较。

13. 设处于未激活状态的眼肌的模型如图 13.27 所示, 其中  $K_{li} = 32 \text{ N/m}$ ,  $K_{se} = 125 \text{ N/m}$ ,  $B = 3.4 (\text{N} \cdot \text{s})/\text{m}$ 。且对于未激活肌肉,  $F = 0$ 。(a) 求模型的传递函数  $H(j\omega) = \frac{X_1}{T}$ ; (b) 编写 MATLAB 程序, 画出模型的伯德图。

14. 设处于未激活状态的眼肌的模型如图 13.28 所示, 其中  $K_{li} = 60.7 \text{ N/m}$ ,  $K_{se} = 125 \text{ N/m}$ ,  $B_1 = 2 (\text{N} \cdot \text{s})/\text{m}$ ,  $B_2 = 0.5 (\text{N} \cdot \text{s})/\text{m}$ 。且对于未激活肌肉,  $F = 0$ 。(a) 求模型的传递函数  $H(j\omega) = \frac{X_1}{T}$ ; (b) 编写 MATLAB 程序, 画出模型的伯德图。

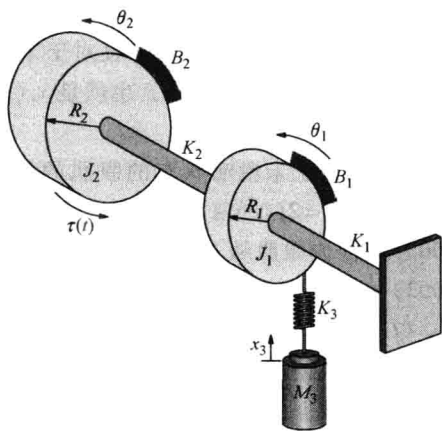


图 13.76 习题 6 的示意图

15. 设处于未激活状态的眼肌的模型如图 13.27 所示, 其中  $K_{lt} = 32\text{N/m}$ ,  $K_{se} = 125\text{N/m}$ ,  $B = 3.4(\text{N} \cdot \text{s})/\text{m}$ 。且对于未激活的眼肌,  $F = 0$ 。假设在  $0.003\text{s}$  时间内眼肌从  $3\text{mm}$  被直线拉长至  $6\text{mm}$ , 也就是  $x_1(t) = tu(t) - (t - 0.003)u(t - 0.003) + 0.003$ , 请计算张力  $T$ 。

16. 设处于未激活状态的眼肌的模型如图 13.28 所示, 其中  $K_{lt} = 60.7\text{N/m}$ ,  $K_{se} = 125\text{N/m}$ ,  $B_1 = 2(\text{N} \cdot \text{s})/\text{m}$ ,  $B_2 = 0.5(\text{N} \cdot \text{s})/\text{m}$ 。且对于未激活眼肌,  $F = 0$ 。假设在  $0.003\text{s}$  时间内眼肌从  $3\text{mm}$  被直线拉长至  $6\text{mm}$ , 也就是  $x_1(t) = tu(t) - (t - 0.003)u(t - 0.003) + 0.003$ , 请计算张力  $T$ 。

17. 请根据图 13.30 所示的水平方向眼动模型推导式 (13.36)。

18. 请根据图 13.41 所示的水平方向眼动模型推导式 (13.48)。

19. 请根据图 13.46 所示的水平方向眼动模型推导式 (13.52)。

20. 请根据 13.6 节所述的线性扫视眼动模型, 利用 Simulink 程序仿真 (a)  $5^\circ$ 、(b)  $10^\circ$ 、(c)  $15^\circ$  和 (d)  $20^\circ$  的扫视曲线。

21. 请根据 13.7 节所述的线性扫视眼动模型, 利用 Simulink 程序仿真 (a)  $5^\circ$ 、(b)  $10^\circ$ 、(c)  $15^\circ$  和 (d)  $20^\circ$  的扫视曲线。

22. 请根据 13.8 节所述的线性扫视眼动模型, 利用 Simulink 程序仿真 (a)  $5^\circ$ 、(b)  $10^\circ$ 、(c)  $15^\circ$  和 (d)  $20^\circ$  的扫视曲线。

23. 假设线性扫视眼动模型由式 (13.36) 定义, (a) 求其传递函数; (b) 利用 MATLAB 画出其伯德图。

24. 假设线性扫视眼动模型由式 (13.48) 定义, (a) 求其传递函数; (b) 利用 MATLAB 画出其伯德图。

25. 假设线性扫视眼动模型由式 (13.52) 定义, (a) 求其传递函数; (b) 利用 MATLAB 画出其伯德图。

26. 请验证图 13.39 所示的各条长度—张力函数曲线。

27. 请验证图 13.40 所示眼肌模型 (见图 13.38) 的力-速度曲线。提示: 设计 Simulink 程序, 计算各个不同  $M$  值所对应的峰速。

28. 假设眼肌的力—速度实验没有使用杠杆, 模型如图 13.77 所示, 求其力—速度曲线, 并将其与图 13.40 所示的结果进行比较。

29. 图 13.78a 所示是眼眶组织的被动特性模型, 设其受到的驱动力矩为  $\tau(t)$ , 且  $K_p = 0.5\text{g}/^\circ$ ,  $B_p = 0.06(\text{g} \cdot \text{s})/^\circ$ ,  $J_p = 4.3 \times 10^{-5}(\text{gs}^2)/^\circ$ 。所有元素均为转动元素。(a) 求模型的传递函数  $H(s) = \theta(s)/\tau(s)$ ; (b) 编写 MATLAB 程序, 作出模型的伯德图。

30. 图 13.78b 所示是眼眶组织的被动特性模型,

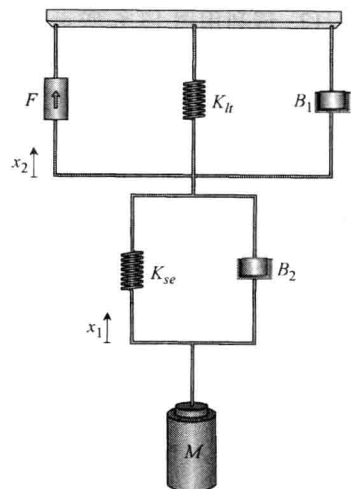


图 13.77 习题 28 的示意图

设其受到的驱动力矩为  $\tau(t)$ ，且  $J_p = 4.308 \times 10^{-5} (\text{g} \cdot \text{s})^2 / ^\circ$ ， $K_{p1} = 0.5267 \text{ g}/^\circ$ ， $K_{p2} = 0.8133 \text{ g}/^\circ$ ， $B_{p1} = 0.010534 (\text{g} \cdot \text{s}) / ^\circ$ ， $B_{p2} = 0.8133 (\text{g} \cdot \text{s}) / ^\circ$ 。所有元素均为转动元素。(a) 求模型的传递函数  $H(s) = \theta(s) / \tau(s)$ ；(b) 编写 MATLAB 程序，画出模型的伯德图。

31. 眼动模型如图 13.79 所示，设所有元素均为转动元素，且  $f_k(\theta) = K_1 \theta^2$ （为非线性转动弹簧的方程）。(a) 请写出描述该系统的非线性微分方程；(b) 利用泰勒一阶级数近似法，写出工作点附近的线性化微分方程。

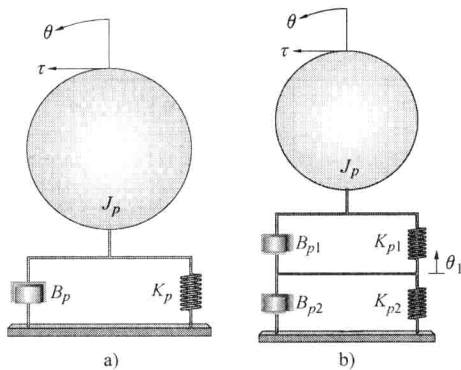


图 13.78 习题 29 和习题 30 的示意图

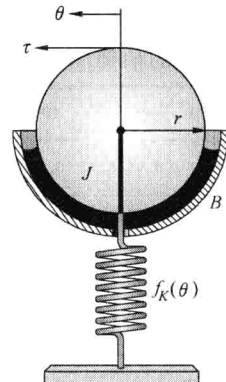


图 13.79 习题 31 的示意图

32. 假设未激活眼肌的被动弹性可以用非线性的力-位移方程  $f_k(\theta) = x |x|$  来描述，其中  $x$  为偏离平衡位置的位移。求该非线性元素在平衡位置附近的线性化近似方程。

33. 假设在不同频率正弦波的输入驱动下，某开环系统的输出测量数据如下所示。请画出系统的伯德图，并估计其传递函数。

频率 /(rad/s)	0.6	1.6	2.6	3.6	5.5	6.1	7.3	9.8	12.7	32.9	62.1	100
输出与输入 幅值比 $ G $	2.01	2.03	2.09	2.17	2.37	2.43	2.49	2.16	1.39	0.18	0.05	0.018
相位 / $^\circ$	-3.3	-8.9	-15.0	-21.8	-38.1	-44.8	-60.0	-93.6	-123.2	-164.2	-170.0	-175.0

34. 假设在不同频率正弦波的输入驱动下，某开环系统的输出测量数据如下所示。请画出系统的伯德图，并估计其传递函数。

频率 /(rad/s)	0.001	0.356	1.17	2.59	8.53	12.7	18.9	41.8	62.1	137	304	1000
$20 \lg  G $ /dB	6.02	6.02	5.96	5.74	3.65	1.85	-0.571	-6.64	-9.95	-16.8	-23.6	-34.0
相位/ $^\circ$	-0.086	-3.06	-10.0	-22.0	-64.9	-88.1	-116.0	-196.0	-259.0	-479.0	-959.0	-2950.0

35. 假设在不同频率正弦波的输入驱动下，某开环系统的输出测量数据如下所示。请画出系统的伯德图，并估计其传递函数。

频率 /(rad/s)	0.11	0.24	0.53	1.17	2.6	5.7	12.7	28.1	62	137	304	453	672	1000
幅值比  G	2.0	2.0	2.0	2.0	1.93	1.74	1.24	0.67	0.32	0.15	0.07	0.044	0.03	0.02
相位/ $^{\circ}$	-0.62	-1.37	-3.03	-6.7	-14.5	-29.8	-51.8	-70.4	-80.9	-85.8	-88.1	-88.7	-89.1	-89.4

36. 假设在不同频率正弦波的输入驱动下，某开环系统的输出测量数据如下所示。请画出系统的伯德图。（数据取自参考文献 [43]）

频率 /(rad/s)	1	3	7	10	15	20	25	30	35	40	50	60	70	80	90	100	110	120	130	140
幅值比  G	1	0.95	0.77	0.7	0.67	0.63	0.6	0.53	0.48	0.44	0.35	0.31	0.33	0.35	0.32	0.32	0.3	0.29	0.27	0.26
相位/ $^{\circ}$	-0.035	-0.227	-0.419	-0.541	-0.611	-0.768	-0.995	-1.08	-1.24	-1.31	-1.52	-1.92	-1.61	-1.83	-2.08	-2.23	-2.53	-2.72	-2.9	-3.0

请在如下各种情况下估计系统的传递函数：(a) 2 个实数极点；(b) 1 个实数极点和 1 对复数极点；(c) 2 个实数极点，1 个零点和一对复数极点；(d) 3 个实数极点，1 个零点和一对复数极点。提示：可以利用 MATLAB 的系统辨识工具箱或者 Seidel 的程序来求解此题。

37. 下列数据是某个未知一阶系统的阶跃响应，求该一阶模型的各个参数。

$T$	0.0	0.005	0.01	0.015	0.02	0.025	0.03	0.035	0.04	0.045	0.05	0.055	0.06	0.1
$v(t)$	0.00	3.41	5.65	7.13	8.11	8.75	9.18	9.46	9.64	9.76	9.84	9.90	9.93	10.0

38. 假设方程 (13.74) 是某个二阶欠阻尼系统的阶跃响应，且  $C = 10$ ， $T_p = 0.050$ ， $y(T_p) = 10.1$ 。请计算参数  $\zeta$  和  $\omega_n$  的值。

39. 设实验数据如图 13.80 所示，如果系统的解具有式 (13.74) 的形式，请估计参数  $\zeta$ 、 $\omega_n$  和  $\varphi$  的值。

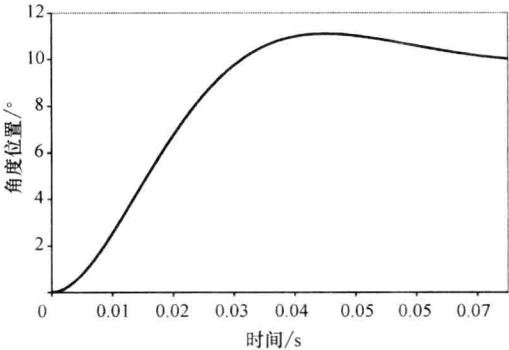


图 13.80 习题 39 的示意图

## 参考文献

- [1] A.T. Bahill, Bioengineering: Biomedical, Medical and Clinical Engineering, Prentice-Hall, Inc., Englewood Cliffs, NJ, 1981.
- [2] A.T. Bahill, L. Stark, The high-frequency burst of motoneuronal activity lasts about half the duration of saccadic eye movements, *J. Neurophys.* 33 (1975b) 382–392.
- [3] A.T. Bahill, M.R. Clark, L. Stark, The main sequence, a tool for studying human eye movements, *Math. Biosci.* 24 (1975a) 194–204.
- [4] A.T. Bahill, J.R. Latimer, B.T. Troost, Linear homeomorphic model for human movement, *IEEE Trans. Biomed. Eng. BME-27* (1980) 631–639.
- [5] R.H.S. Carpenter, *Movements of the Eyes*, second ed., Pion Ltd., London, 1988.
- [6] M.R. Close, A.R. Luff, Dynamic properties of inferior rectus muscle of the rat, *J. Physiol.*, London 236 (1974) 258.
- [7] C.C. Collins, The human oculomotor control system, in: G. Lennerstrand, P. Bach-y-Rita (Eds.), *Basic Mechanisms of Ocular Motility and Their Clinical Implications*, Pergamon Press, Inc., Oxford, 1975, pp. 145–180.
- [8] C.C. Collins, D. O'Meara, A.B. Scott, Muscle tension during unrestrained human eye movements, *J. Physiol.* 245 (1975) 351–369.
- [9] J.D. Enderle, Observations on Pilot Neurosensory Control Performance During Saccadic Eye Movements, *Aviat. Space Environ. Med.* 59 (1988) 309–313.
- [10] J.D. Enderle, A Physiological Neural Network for Saccadic Eye Movement Control. Air Force Material Command, in: *Armstrong Laboratory AL/AO-TR-1994-0023*, 1994, p. 48.
- [11] J.D. Enderle, Neural Control of Saccades, in: J. Hyönä, D. Munoz, W. Heide, R. Radach (Eds.), *The Brain's Eyes: Neurobiological and Clinical Aspects to Oculomotor Research*, Progress in Brain Research, vol. 140, Elsevier, Amsterdam, 2002, pp. 21–50.
- [12] J.D. Enderle, Eye Movements, in: M. Akay (Ed.), *Wiley Encyclopedia of Biomedical Engineering*, John Wiley & Sons, Inc., Hoboken, 2006a.
- [13] J.D. Enderle, The Fast Eye Movement Control System, in: J. Bronzino (Ed.), *The Biomedical Engineering Handbook Biomedical Engineering Fundamentals*, third ed., CRC Press, Inc., Boca Raton, FL, 2006b, Chapter 16, pages 16-1 to 16-21.
- [14] J.D. Enderle, *Models of Horizontal Eye Movements. Part 1: Early Models of Saccades and Smooth Pursuit*, Morgan & Claypool Publishers, San Rafael, CA, 2010, p. 149.
- [15] J.D. Enderle, E.J. Engelken, Simulation of Oculomotor Post-Inhibitory Rebound Burst Firing Using a Hodgkin-Huxley Model of a Neuron, *Biomed. Sci. Instrum.* 31 (1995) 53–58.
- [16] J.D. Enderle, J.W. Wolfe, Time-Optimal Control of Saccadic Eye Movements, *IEEE Trans. Biomed. Eng. BME-34* (1) (1987) 43–55.
- [17] J.D. Enderle, J.W. Wolfe, Frequency Response Analysis of Human Saccadic Eye Movements: Estimation of Stochastic Muscle Forces, *Comp. Bio. Med.* 18 (1988) 195–219.
- [18] J.D. Enderle, W. Zhou, *Models of Horizontal Eye Movements. Part 2: A 3rd-Order Linear Saccade Model*, Morgan & Claypool Publishers, San Rafael, CA, 2010, p. 144.
- [19] J.D. Enderle, E.J. Engelken, R.N. Stiles, A comparison of static and dynamic characteristics between rectus eye muscle and linear muscle model predictions, *IEEE Trans. Biomed. Eng.* 38 (1991) 1235–1245.
- [20] J.D. Enderle, J.W. Wolfe, J.T. Yates, The Linear Homeomorphic Saccadic Eye Movement Model — A Modification, *IEEE Trans. Biomed. Eng. BME-31* (11) (1984) 717–720.
- [21] E.J. Engelken, K.W. Stevens, J.W. Wolfe, J.T. Yates, A Limbus Sensing Eye-Movement Recorder, USAF School of Aerospace Medicine, Brooks AFB, TX, 1984, USAFSAM-TR-84-29.
- [22] W.O. Fenn, B.S. Marsh, Muscular Force at different speeds of shortening, *J. Physiol. (London)* 35 (1935) 277–297.
- [23] A.F. Fuchs, C. Kaneko, C. Scudder, Brainstem Control of Saccadic Eye Movements, *Annu. Rev. Neurosci.* 8 (1985) 307–337.
- [24] A.F. Fuchs, E.S. Luschei, Firing patterns of abducens neurons of alert monkeys in relationship to horizontal eye movement, *J. Neurophysiol.* 33 (3) (1970) 382–392.
- [25] N.J. Gandhi, E.L. Keller, Spatial distribution and discharge characteristics of the superior colliculus neurons antidromically activated from the omnipause region in monkey, *J. Neurophysiol.* 76 (1997) 2221–2225.

- [26] H. Goldstein, The neural encoding of saccades in the rhesus monkey (Ph.D. dissertation), The Johns Hopkins University, Baltimore, MD, 1983.
- [27] M.R. Harwood, L.E. Mezey, C.M. Harris, The Spectral Main Sequence of Human Saccades, *J. Neurosci.* 19 (20) (1999) 9098–9106.
- [28] A.V. Hill, The heat of shortening and dynamic constants of muscle, *Pro. Royal Soc., London (B)* 126 (1938) 136–195.
- [29] A.V. Hill, The development of the active-state of muscle during the latent period, *Pro. Royal Soc., London (B)* 137 (1950a) 320–329.
- [30] A.V. Hill, The series elastic component of muscle, *Pro. Royal Soc., London (B)* 137 (1950) 273–280.
- [31] A.V. Hill, The transition from rest to full activity in muscles: the velocity of shortening, *Pro. Royal Soc., London (B)* 138 (1951a) 329–338.
- [32] A.V. Hill, The effect of series compliance on the tension developed in a muscle twitch, *Pro. Royal Soc., London (B)* 138 (1951b) 325–329.
- [33] F.K. Hsu, A.T. Bahill, L. Stark, Parametric sensitivity of a homeomorphic model for saccadic and vergence eye movements, *Comp. Prog. Biomed.* 6 (1976) 108–116.
- [34] X. Hu, H. Jiang, C. Gu, C. Li, D. Sparks, Reliability of Oculomotor Command Signals Carried by Individual Neurons, *PNAS* (2007) 8137–8142.
- [35] M.C. Khoo, *Physiological Control Systems: Analysis, Simulation, and Estimation*, IEEE Press, Piscataway, NJ, 2000.
- [36] R.J. Leigh, D.S. Zee, *The Neurology of Eye Movements*, third ed., Oxford University Press, New York, 1999.
- [37] A. Levin, J. Wyman, The viscous elastic properties of a muscle, *Pro. Royal Soc., London (B)* 101 (1927) 218–243.
- [38] L. Ling, A. Fuchs, C. Siebold, P. Dean, Effects of initial eye position on saccade-related behavior of abducens nucleus neurons in the primate, *J. Neurophysiol.* 98 (6) (2007) 3581–3599.
- [39] S. Ramat, R.J. Leigh, D. Zee, L. Optican, What Clinical Disorders Tell Us about the Neural Control of Saccadic Eye Movements, *Brain* (2007) 1–26.
- [40] D.A. Robinson, Oculomotor control signals, in: G. Lennerstrand, P. Bach-y-Rita (Eds.), *Basic Mechanisms of Ocular Motility and their Clinical Implication*, Pergamon Press, Oxford, 1975, pp. 337–374.
- [41] D.A. Robinson, The Mechanics of Human Saccadic Eye Movement, *J. Physiol., London* 174 (1964) 245.
- [42] D.A. Robinson, Models of mechanics of eye movements, in: B.L. Zuber (Ed.), *Models of Oculomotor Behavior and Control*, CRC Press, Boca Raton, FL, 1981, pp. 21–41.
- [43] R.C. Seidel, Transfer-function-parameter estimation from frequency-response data – A FORTRAN program, (1975). NASA TM X-3286 Report.
- [44] D.L. Sparks, R. Holland, B.L. Guthrie, Size and distribution of movement fields in the monkey superior colliculus, *Brain Res.* 113 (1976) 21–34.
- [45] P.A. Sylvestre, K.E. Cullen, Quantitative analysis of abducens neuron discharge dynamics during saccadic and slow eye movements, *J. Neurophysiol.* 82 (5) (1999) 2612–2632.
- [46] J.A. Van Gisbergen, D.A. Robinson, S. Gielen, A quantitative analysis of generation of saccadic eye movements by burst neurons, *J. Neurophysiol.* 45 (3) (1981) 417–442.
- [47] R.B. Weber, R.B. Daroff, Corrective movements following refixation saccades: Type and control system analysis, *Vision Res.* 12 (1972) 467–475.
- [48] G. Westheimer, Mechanism of saccadic eye movements, *AMA Arch. Ophthalmol.* 52 (1954) 710–724.
- [49] D.R. Wilkie, *Muscle: Studies in Biology*, vol. 11, Edward Arnold Ltd., London, United Kingdom, 1968.
- [50] W. Zhou, X. Chen, Enderle, An Updated Time-Optimal 3rd-Order Linear Saccadic Eye Plant Model, *Int. J. Neural. Syst.* 19 (5) (2009) 309–330.

# 第 14 章 生物医学传输过程

Gerald E. Miller 博士

## 本章目录

- 14.1 生物医学物质传输
- 14.2 生物流体力学和动量传输
- 14.3 生物医学的热传输
- 14.4 习题
- 推荐阅读资料

## 本章的主要学习内容：

- 从物质平衡和物质传输的角度了解人体肺脏的功能；
- 扩散和渗透等物质传输方式的基本方程；
- 毛细血管系统微孔的物质传输基本原理；
- 人体肾脏的功能及其最基本的物质传输单元——肾单位；
- 透析系统的工作原理和控制机制；
- 血细胞在全血中的作用；
- 物质守恒和动量守恒基本方程的推导及其基本物理原理；
- 热量传输的 3 种基本方式：传导、对流和辐射；
- 双管换热器加热和冷却血液的基本原理；
- 热量从身体深部传向外周再传向环境的过程；
- 在极热的环境下热量的传输方式。

## 14.1 生物医学物质传输

人体内的物质传输极其重要，它包括肺脏向血液传输各种气体成分，也包括毛细血管向周围组织传输营养物质和气体，还包括肾脏将血液中的代谢物和多余水分转变成尿液。人工肾（即肾透析）和人工呼吸机等仪器设备中也存在物质传输过程。而且，人体内的物质传输还包括细胞膜的跨膜运输，这种运输控制着人体各区域无数细胞的物质传输。为了缩短物质在 A、B 两点之间的运输距离，大多数物质传输都发生在很薄的膜表面；人体内的细胞就是如此，细胞膜非常薄。人工装置也是如此，承担物质交换的器件都做得很薄。



### 14.1.1 呼吸及其气体传输机制

人类的肺脏利用气压和浓度梯度来控制其与血流之间的气体交换。每当我们吸气时，空气入肺之前首先经过气管这个大通道，然后经过越来越细的气管分支，直到最终到达肺的最小单位——肺泡。每个细小的肺泡都紧靠肺毛细血管，毛细血管是人体内最细小的血管。由于肺泡紧贴毛细血管，因此气体交换的距离非常短，完成气体交换所需的时间也就很短。图 14.1 所示是人体两肺从气管到肺泡的气道分支网络。

成人的两肺大约含有  $3 \sim 5$  亿个肺泡，其表面积之和约为  $75 \text{ m}^2$ ，相当于一个网球场的占地面积。肺泡的气道分支延伸成为无数极微小的液体囊泡，被称为肺泡囊。它们的膜很薄，而且总面积很大，这两个因素都有利于加速气体的交换。肺脏的肺泡网络如图 14.2 所示。

根据物质传输（即气体交换）的不同用途，可以将肺脏的空间分成死腔（dead space）和肺泡腔（alveolar space）两部分。耶鲁大学医学院的多媒体教学，1987—2000 年）死腔包括气管、支气管和细支气管，它们都是一段段气道，仅供气体流通，但不存在与血流之间的气体交换。肺泡腔是实际发生气体交换的部位。不过，死腔和肺泡腔都会将吸入的气体加热至人体的体温（即  $37^\circ\text{C}$ ），并湿润气体。因此，呼出的气体具有人体温度，而且通常饱含水分。实际上，人体每天仅通过呼吸失去的水就可达半磅重。图 14.3 所示是死腔与肺泡腔之间的关系。

人体在不费力的平静呼吸状态下吸入和呼出的气量被称为潮气量（tidal volume），成人每次呼吸的潮气量约为  $500\text{mL}$ 。平静时，成人的呼吸频率约为  $12 \text{ 次/min}$ 。潮气量仅反映肺容量中比较容易吸入和呼出的那部分。图 14.4 显示了各种肺容量，也表明了潮气量与其他呼吸容量之间的关系。

干燥的无水空气中约含 79% 氮气和 21% 氧气。每次呼吸时，气体经过肺泡膜，其中的氧气进入肺部的血液，而二氧化碳则从血液传输至肺泡。正常情况下，氮气不参与气体交换。肺泡与毛细血管之间的气体交换如图 14.5 所示。

肺毛细血管必须密集分布才能缩短肺泡与毛细血管之间的距离，从而确保肺与毛细血管之间充分的气体交换。图 14.6 显示了毛细血管致密的空间分布。

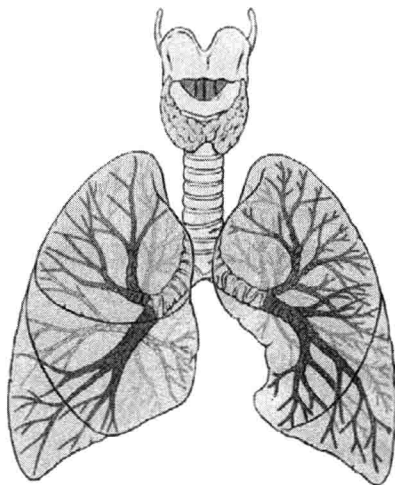


图 14.1 人体两肺从气管到肺泡的气道分支网络

（由耶鲁大学多媒体高级教学中心的插图画家

Patrick J. Lynch 和心脏病学家 C. Carl Jaffe 医

学博士提供。此画由 Patrick Lynch 完成，用于

耶鲁大学医学院的多媒体教学，1987—2000 年）

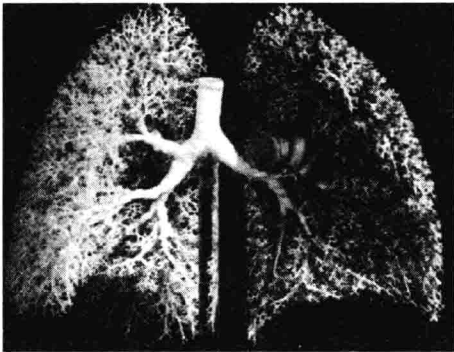


图 14.2 人体两肺的肺泡囊投影图像  
(由伯尔尼州的解剖学研究所提供)

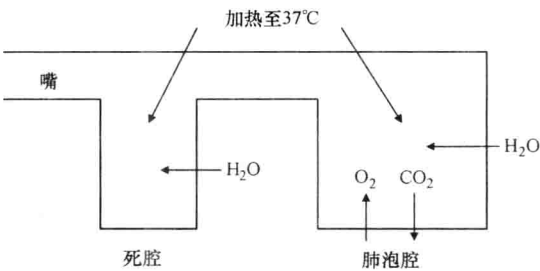


图 14.3 人体肺部的死腔和肺泡腔  
注：只有肺泡腔发生气体交换，但死腔和肺泡腔都会加热并湿润气体。

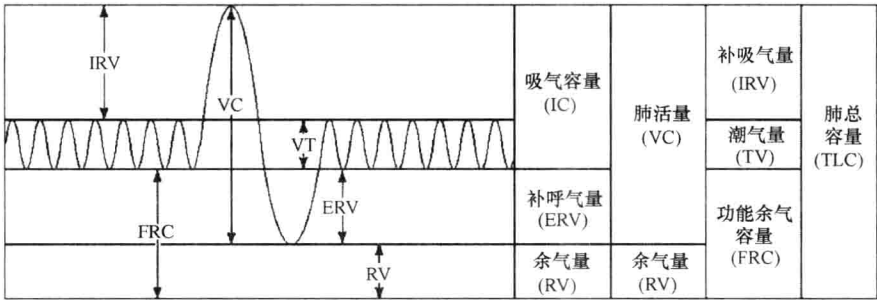


图 14.4 肺的各种不同呼吸容量

根据物质守恒原理可以简单估计出单次呼吸中肺泡与肺毛细血管之间的气体交换量，结果如表 14.1 所示。其中，氮气、氧气和二氧化碳等气体表示为“湿”百分数，也就是将气体中的水分考虑在内。要注意，肺不能吸收所有氧气，而且，从肺部呼出的气体总是被加热至人体温度并含有饱和水分；因此，呼出气体中含水量很高。外界环境空气中的二氧化碳含量非常少（被称为痕量），而呼出气体中的二氧化碳含量则较高。可见，肺血流中的氧气被二氧化碳替换了。

为了分析肺脏的气体交换原理，我们用分压来表示吸入气体中各种成分的含量。气体分压是指某种被测成分在总的气体压强中所占的压强数值。例如，在海平面上，总的大气压为 760mmHg，而其中氧气所产生的压强约为  $0.21 \times 760 = 160\text{mmHg}$ 。于是，氧气在海平面上无水干燥空气中的分压就是

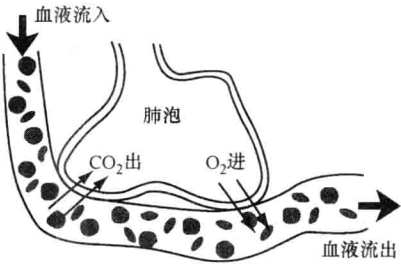


图 14.5 肺泡与毛细血管之间的气体交换  
注：所有的数以百万计的肺泡与相应的毛细血管之间都发生这种气体交换。

160mmHg。二氧化碳在海平面上干燥空气中的分压则为  $0.0003 \times 760 = 0.228\text{mmHg}$ 。而空气中的最大含水量与温度和相对湿度有关。在  $37^\circ\text{C}$  的温度下，空气的饱和水分压可达 47mmHg。因此，在含有饱和水分的肺部空气中，水分压就是 47mmHg。

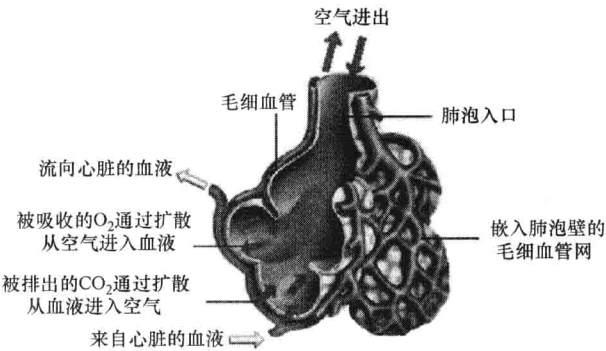


图 14.6 肺泡与致密分布的肺毛细血管之间的空间关系

表 14.1 单次呼吸中各种气体成分的交换量

气体成分	环境空气(%)	呼出气体(%)
氮气和惰性气体	78.62	74.9
氧气	20.85	15.3
二氧化碳	0.03	3.6
水	0.5	6.2
总计	100	100

利用气体分压的定义，并假设环境空气的湿度相当于 10mmHg 分压，那么，表 14.1 所示的数据就可以改写为：水的分压为 10mmHg，它在人体吸入气体中所占的分体积约等于  $(10/760) \times 500\text{mL}$  潮气量 = 6.5mL。剩余的潮气量体积就是氮气和氧气两种干燥气体的体积，共计  $500 - 6.5 = 493.5\text{mL}$ 。于是，吸入气体中氮气的分体积为  $493.5 \times 79\% = 389.9\text{mL}$ ，而氧气的分体积为  $493.5 \times 21\% = 103.6\text{mL}$ 。

氮气在肺中不进行气体交换，因此其分体积保持不变。氧气被血流摄取，而二氧化碳则从肺部血流中被释放出来，经肺呼出到体外。可见，在人体的呼出气体中各种气体的分体积取决于它们在人体内的代谢量。平静呼吸时，在  $37^\circ\text{C}$  体温下，人体消耗的氧气分体积约为 284mL/min，而产生的二氧化碳分体积约为 226mL/min。这些分体积数值是人体温度和压强下（Body Temperature and Pressure, BTP）的值，简称为 BTP 值。还有一种 STP 值，用这种值表示时，消耗的氧气分体积为 250mL/min，而产生的二氧化碳分体积则为 200mL/min。STP 值与 BTP 值的关系如下。

STP 值乘以绝对温度（单位为 K）的比例因子就等于 BTP 值。STP 温度为 273K，而 BTP 温度为  $273 + 37 = 310\text{K}$ 。于是，氧气分体积的 BTP 值为  $250 \times (310/273) = 284\text{mL/min}$ ，而二氧化碳分体积的 BTP 值为  $200 \times (310/273) = 226\text{mL/min}$ 。

设人体平静呼吸的频率为 12 次/min，那么，每次呼吸中消耗的氧气分体积 BTP 值

为  $284/12 = 23.67\text{mL/次}$ ，产生的二氧化碳为  $226/12 = 18.83\text{mL/次}$ 。水在呼出气体中的分体积等于水气在体内的分压（即  $47\text{mmHg}$ ）与干燥气体分压（即  $760 - 47 = 713\text{mmHg}$ ）之比（即  $47/713$ ），再乘以干燥的呼出气体体积。呼气时水汽跟着干燥气体一起出来。

注意，如表 14.2 所示，呼出的干燥气体体积是氮气、氧气和二氧化碳之和。水分附着于干燥气体。还要注意，干燥气体的分压只有  $760 - 47 = 713\text{mmHg}$ ，余下的  $47\text{mmHg}$  是水分压。因此，水分压与干燥气体分压之比为  $47/713$ 。

表 14.2 单次呼吸中各种气体成分的分体积变化

气体成分	吸入气体的分体积/mL	呼出气体的分体积/mL
水	6.5	$6.5 + (47/713) \times 488.63 = 38.7$
干燥气体	493.5	$389.9 + 79.9 + 18.83 = 488.63$
氮气	389.9	389.9
氧气	103.6	$103.6 - 23.67 = 79.9$
二氧化碳	0.0	$0.0 + 18.83 = 18.83$

上述计算没有考虑温差引起的气体热胀冷缩效应，这种效应的确存在。本书不讨论这个问题，相关内容请参考其他资料。

总之，气体交换发生于肺的最小单位（即肺泡）与肺循环的最小单位（即肺毛细血管）之间，这两种最小单位之间相距非常近。由于肺泡很多，因此气体交换的表面积非常大，加快了物质传输的速度。呼吸气体中各组分的物质交换取决于它们各自的分压、人体的代谢量以及肺泡与肺毛细血管之间的扩散距离。氧气被血流摄取，二氧化碳则从血流释放入肺。呼出气体被加热至人体温度，且饱含水分。因此，呼气时，把手放在嘴上，就能感到呼出的气体既温暖又潮湿。

### 14.1.2 细胞膜、通道与扩散

肺泡与肺毛细血管之间的气体交换受到许多因素的影响，包括各种气体的分压、物质传输的距离和表面积的大小等。如果将这种物质传输看作稳态跨膜传输，那么，就可以用如下 Fick 定律的一维稳态方程来描述：

$$\text{物质传输速率} = DA \frac{dC}{dx}$$

式中  $D$ ——扩散率；

$A$ ——物质传输的表面积；

$\frac{dC}{dx}$ ——物质传输的浓度梯度。

对于气体，浓度梯度就是气体分压之差。对于液体或者溶解于液体的物质（如血液或者细胞外液等），浓度梯度就近似为  $dC/dx$ ，也就是给定距离上的浓度差。扩散率  $D$  是描述某种物质在介质（如液体）中运动的难易程度的参数；例如，钠离子在细胞外液中移动时有其扩散率。可见，扩散率与介质和被传输的物质都有关，它是这两种物质的特性。

气体是脂溶性物质, 而细胞膜由一层脂质和蛋白质组成, 所以, 气体的物质传输可以发生于整个细胞膜。但是, 因为大多数液体都不是脂溶性的, 如果液体或者溶于液体的物质 (如离子等) 需要跨膜传输, 那么, 就必须通过细胞膜上的通道才能完成。但是, 细胞膜通道的物质传输具有选择性, 穿过通道的物质的大小必须与通道的大小相匹配。这种取决于尺寸大小的选择性被称为滤过。如果

在 Fick 定律的方程中添加一个参数——渗透率  $P$ , 那么, 就可以描述这种选择性物质传输。 $P$  是通道面积与整个细胞膜面积之比。如果不添加参数  $P$ , 而是将物质传输的原面积  $A$  改成  $A_p$ , 即  $A_p = A \times P$ ; 那么, 效果也一样。如图 14.7 所示是滤过的示意图。

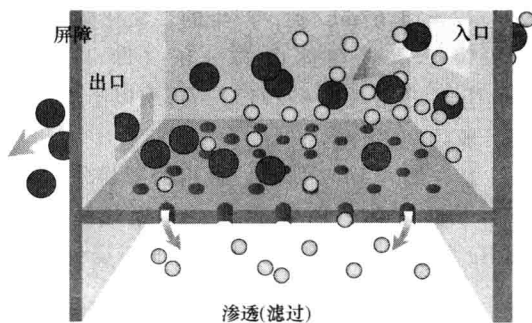


图 14.7 取决于通道大小和物质大小的选择性传输方式——滤过

通常, 基于浓度梯度而发生的物质传输过程被称为扩散。扩散是微观物质随机热运动所产生的宏观结果。例如, 如图 14.8 所示, 氧气和氮气分子随机地在各个不同方向上运动, 其动能的数量级约为  $kT$ 。其中,  $k$  为热导率系数,  $T$  为绝对温度。如图 14.8 所示, 如果设想其中存在一个 A-A 平面, 并且平面左侧的氧分子比右侧多, 那么, 经过 A-A 平面移向右侧的分子就会比移向左侧的分子多。这样, 虽然每个分子的运动完全随机, 但是, 仍然存在跨越 A-A 平面的氧分子净流量。见图 14.8 中所示可以是细胞外液等没有膜结构约束的开放环境中的物质扩散传输。

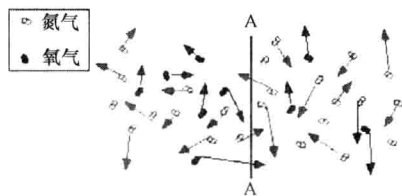


图 14.8 在浓度差作用下 A-A 平面两侧粒子的随机运动所产生的跨平面净流动  
(摘自 Time Domain CVD)

如图 14.8 所示, 混合物中任何物质成分跨 A-A 平面的净流量都取决于该成分在平面两侧的浓度梯度。各种物质净流动的方向可以不同, 由各自的浓度梯度决定, 某种物质的净流动方向可能与另一种物质相反。跨细胞膜通道的物质扩散传输也是如此, 物质的浓度梯度控制其流量和方向。如果某种物质溶于某溶液 (如某种离子溶于细胞外液), 那么, 该物质就是溶质, 而该溶液就是溶剂。水的传输被称为渗透。

再进一步, 如果溶质的大小与通道的大小相当, 那么, 它的扩散传输就会受到影响: 要么被完全阻止 (如果溶质分子大于孔径); 要么受到限制 (溶质分子的大小可能接近孔径)。在这种情况下, 就要进一步修改 Fick 定律的方程, 不仅需要渗透率来修正通道效应引起的传输面积的缩小, 还需要考虑物质分子的大小与孔径大小的关系, 也就是将原来的扩散率  $D$  修正为限制性的扩散率  $D_R$ 。这样, Fick 定律的方程就变为

$$\text{物质传输速率} = D_R A_P \frac{dC}{dx}$$

典型的细胞膜很薄，其厚度仅为  $80 \sim 100 \text{ \AA}$ ，且有弹性。通常，细胞膜的  $60\% \sim 65\%$  为蛋白质， $30\% \sim 35\%$  为脂质， $5\% \sim 10\%$  为多糖等其他成分。脂质中约有  $65\%$  为磷脂分子， $25\%$  为胆固醇， $10\%$  为其他脂质分子。如上所述，非脂溶性物质必须通过细胞膜上的通道才能跨膜传输。这种传输方式取决于物质分子相对于通道孔径的大小。表 14.3 列出了几种能够穿过通道的物质及其相对扩散率（即相对渗透性）。为了比较这些物质扩散率之间的差别，这里选择的通道孔径为  $8 \text{ \AA}$ 。

表 14.3 几种物质的相对扩散率（取决于物质分子大小与通道大小之间的关系）

物质	直径/ $\text{\AA}$	与孔径之比	相对扩散比率
水	3	0.38	50000000
尿素	3.6	0.45	40000000
氯离子	3.86	0.48	36000000
钾离子	3.96	0.49	200
钠离子	5.12	0.64	100
丙三醇	6.2	0.77	1
半乳糖	8.4	1.03	0
葡萄糖	8.6	1.04	0
乳糖	10.8	0.35	0

摘自 Cooney (1976) 的著作。

注意，虽然钾离子和钠离子都很小，但它们的扩散率也很小，这是因为它们带正电荷。通道也带正电荷，因而会影响带正电荷的离子的传输。物质的扩散传输主要依赖于各种物质本身的跨膜浓度梯度。不过，离子等溶于水的物质的传输不仅与它们的浓度和所带电荷相关，还与扩散率相关。利用 Nernst 方程就可以根据离子浓度和扩散率来计算跨膜电动势。包含 3 种主要离子  $\text{Na}^+$ 、 $\text{K}^+$  和  $\text{Cl}^-$  的 Nernst 方程为

$$-E = \frac{RT}{F} \ln \frac{D_{\text{Cl}} \text{Cl}_1 + D_{\text{K}} \text{K}_2 + D_{\text{Na}} \text{Na}_2}{D_{\text{Cl}} \text{Cl}_2 + D_{\text{K}} \text{K}_1 + D_{\text{Na}} \text{Na}_1}$$

式中  $R$ ——气体常数；

$T$ ——热力学温度；

$F$ ——法拉第常数。（下标 1 和 2 分别表示细胞内和细胞外。）

在 Nernst 方程中代入细胞膜静息时胞内和胞外的各种离子浓度就可以计算跨膜静息电位。注意，方程中，正离子（即  $\text{Na}^+$  和  $\text{K}^+$ ）的细胞内外浓度与负离子（即  $\text{Cl}^-$ ）的浓度在分母和分子中的位置正好相反。在  $37^\circ\text{C}$  体温下  $RT/F = 26.5 \text{ mV}$ ，于是，跨膜静息电位为

$$E = -26.5 \ln \frac{(1/60)(103) + (1)(141) + (1/75)(10)}{(1/60)(4) + (1)(5) + (1/75)(142)} = -74 \text{ mV}$$

可见，离子的跨膜传输受到其电荷和相对扩散率的作用；静息时，这种作用与浓度梯度的作用大小相等。注意，方程中使用的各种离子的扩散率都是相对于钾离子扩散率的归一化数值，即假设钾离子扩散率为 1。

### 14.1.3 体循环系统毛细血管中的物质传输

毛细血管是人体中最细小且数量最多的血管，它处于动脉与静脉之间。动脉血管输送流出心脏的血液，而静脉则输送流向心脏的血液。毛细血管的主要作用就是完成血液与组织细胞之间的物质交换。其中，穿过毛细血管壁的气体交换与肺泡和肺毛细血管之间的气体交换方式一样。每种气体（主要是  $O_2$  和  $CO_2$ ）都依靠分压梯度来控制其传输。与肺毛细血管一样，由于气体是脂溶性的，体循环系统中毛细血管的气体交换也发生在血管壁是整个细胞膜上。

但是，与肺毛细血管不同，体循环毛细血管中的物质传输还包括穿越血管壁通道的液体和离子。这些离子或者溶于液体或者以游离状态悬浮于液体。体循环毛细血管不仅具有连接动脉与静脉的功能，它在血液与组织细胞之间的气体、营养物和代谢物等物质交换中也发挥着极其重要的作用。物质以扩散、滤过和渗透的方式穿越毛细血管壁。 $O_2$  和  $CO_2$  在各自的分压差作用下通过扩散穿过毛细血管壁。液体则在其静水压和渗透压的共同作用下穿越毛细血管壁。血液从毛细血管微动脉侧的始端流向其微静脉侧的末端时，静水压逐渐减小；因此，静水压与渗透压之差也逐渐改变，在毛细血管的始端和末端各有不同的数值。这样，在静水压和渗透压的共同作用下，物质会在毛细血管的一端离开血液，又会在另一端返回血液。

可见，这种物质传输具有双重驱动机制。静水压（hydrostatic pressure）是推力，而方向相反的渗透压（osmotic pressure）则是拉力。渗透压是由毛细血管内外不能穿过血管壁的物质浓度差产生的。这两种机制作用下的物质传输都不属于扩散。图 14.9 显示了静水压和渗透压在毛细血管壁上产生作用的过程。

如图 14.10 所示，毛细血管在微静脉与微动脉之间建立的极其细致的血管网络可以使物质传输最大化，其中有 2 个重要机理：一是缩短了物质传输的距离；二是使物质传输的总面积最大化。如图 14.11 所示，毛细血管的解剖学结构非常适合于高效的物质传输。极薄的毛细血管壁增强了  $O_2$  和  $CO_2$  的有效扩散，同时也缩短了通道的长度，可以促进团状液体和溶于其中的离子的传输。

如上所述，毛细血管微动脉端的静水压较高，而微静脉端则较低；这就是普通管道中产生上游至下游的轴向流动所需的压差。实际上，要驱动血液顺流而下必须有压降。于是，如图 14.12 所示，在靠近微动脉端的毛细血管内，静水压就比渗透压高，产生的净压差是外向的，它推动液体流出毛细血管。然后，沿着毛细血管向下游方向，静水压逐渐下降，静水压与渗透压之间的压差就逐渐改变。最后，到达微静脉端时，压差的方

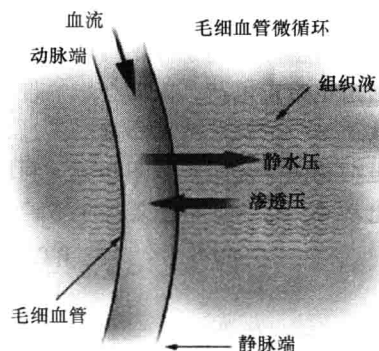


图 14.9 体循环毛细血管内外的物质传输机制

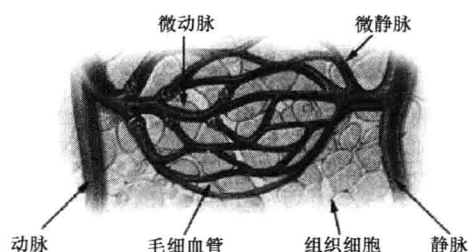


图 14.10 毛细血管网络紧贴组织  
缩短了物质传输的距离

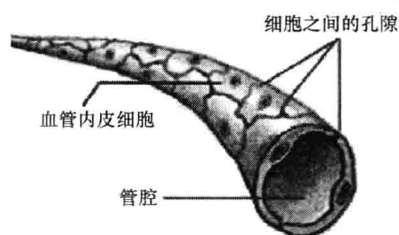


图 14.11 体循环毛细血管的结构  
注：极薄的管壁形成了极短传输距离，  
可以促进物质交换。

向逆转，净压差变成内向的，从而产生流入毛细血管的净流量。

另外，微动脉在循环系统中被称为阻力血管。这是由于微动脉中含有大量平滑肌，在神经或者激素的反馈控制下，它们可以收缩或者舒张。当动脉血压下降时，微动脉就会收缩；而当动脉血压上升时，微动脉就舒张。微动脉收缩时，血流的阻力就增加，使得下游的静水压下降。这是因为血压梯度与血管阻力成正比。微动脉端下游血压的减小就相当于毛细血管入口端的血压减小。因此，当微动脉收缩时，整条毛细血管的静水压减小，也就是外向推力减小。从而导致进入毛细血管的净流量增加，最终使得毛细血管向静脉输送的血液流量增加。随着液流的增加，血容量就增加，导致静脉回流入心的血量增加，从而使得心输出量和动脉血压都增加（见图 14.13）。

微动脉舒张时会产生相反的作用，使得微动脉的血流阻力减小，微动脉内的血压降落就少；从而使使得毛细血管入口处的静水压增加，产生更大的推力，迫使液体流出毛细血管进入组织液。由于流出毛细血管的液流量有了一个净增量，血容量和静脉的回心血量都减少。进而使得心输出量和动脉血压都减少。表 14.4 归纳了微动脉管径变化所产生的作用。

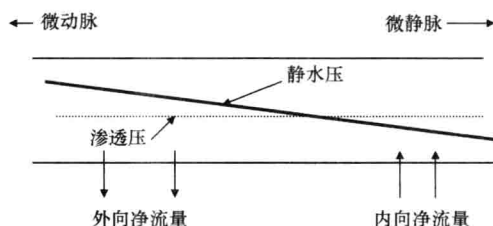


图 14.12 毛细血管孔隙中外向  
和内向净流量的形成

注：毛细血管中静水压逐渐减小，而渗透压恒定不变。

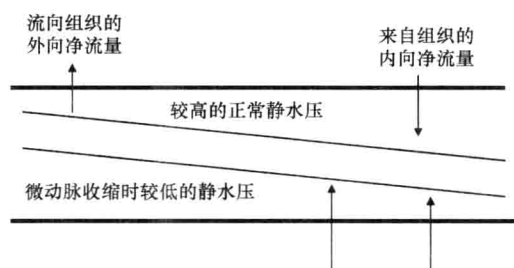


图 14.13 正常时和微动脉收缩时毛  
细血管内的静水压梯度

注：入口处血压的下降使得整条毛细血管内的静水压减小，从而引起毛细血管的内向液流量增加。



表 14.4 微动脉管径、毛细血管静水压、毛细血管液流和动脉血压之间的关系

原始微动脉压	微动脉管径变化	毛细血管静水压变化	净流量	静脉回流量	心输出量和血压
低	收缩	减小	流入毛细血管	增加	增加
高	舒张	增加	流出毛细血管	减少	减少

微动脉舒张导致流出毛细血管的液流量增加之后，细胞外组织液的压强就会增加。细胞外液的增加最终会导致水肿，聚积的体会引起细胞和组织的肿胀，可能破坏细胞和组织。为了缓解这种状态，人体内还有一个淋巴管组成的网络系统，它与血液循环系统并行存在。外周淋巴管的大小与毛细血管相似，并且沿着毛细血管分布。它们的功能就是收集细胞外空间中多余的体液，并且沿着淋巴管网络，将淋巴液传输给越来越粗的淋巴管，直至淋巴管与腔静脉的交界处，淋巴液返回血流。淋巴液的流量通常比血流量小得多。末梢淋巴毛细管内的流量仅为 1mL/h，远小于毛细血管的轴向血流量 1mL/s。如图 14.14 所示，末梢淋巴管的分布紧贴体循环的毛细血管。

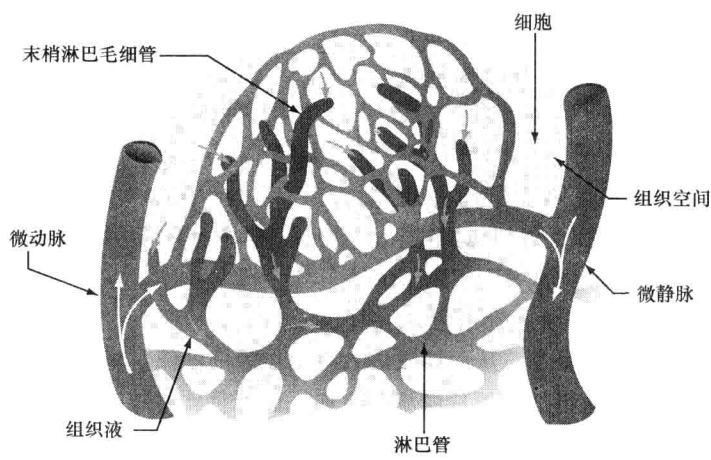


图 14.14 镶嵌在体循环毛细血管床中的淋巴管

淋巴管管壁收缩所产生的动力推动淋巴液在较大的淋巴管中不断前行，就像人体的肠道运动一样，也有点像心血管系统静脉管壁肌肉的收缩作用。与静脉系统相似，淋巴管内也有瓣膜结构来阻止淋巴液的回流，驱使淋巴液沿着淋巴循环系统前行。这与血流不同，血流沿着主动脉、动脉、微动脉、毛细血管、微静脉、静脉的顺序流动时，推动力是静水压梯度。淋巴液源于末梢淋巴管，其中没有液压梯度作为驱动力。来自末梢淋巴管的淋巴液在淋巴网络中逐渐汇聚起来，淋巴液的增加会促使淋巴管收缩，从而产生所需的驱动力，将淋巴液不断推向腔静脉。

14.1.4 肾脏和透析的物质传输

与肺脏的肺泡一样，肾脏的物质传输也是由大量极其微小的单位来完成，它们就是

肾单位 (nephron)。不过, 虽然肾单位和肺泡都是人体内物质传输的基本元素, 都很细小且表面积之和很大, 但肾单位的工作机制却与肺泡完全不同。肺泡仅负责单方向的气体分子传输。而肾单位传输的物质包括离子、水和各种代谢物, 如尿素、尿酸和肌酐等。而且, 肾单位原始排出的体液和离子要远多于人体可以安全排泄的量, 这些体液和离子中的大部分会重新返回血液。这种重吸收机制使得肾单位和肾脏成为一种独特的物质传输系统。人体的双肾含有数以百万计的肾单位 (见图 14.15)。

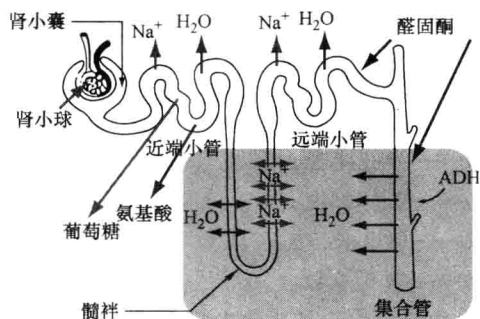


图 14.15 人体肾脏的肾单位

如图 14.16 所示, 肾单位可以分成数段。其中, 起始处的肾小球 (glomerulus) 是一种过滤器, 它被包裹在肾小囊 (Bowman's capsule) 里面。

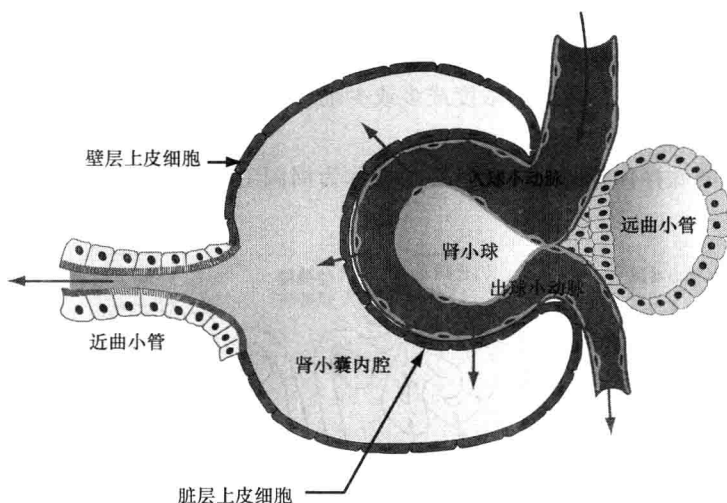


图 14.16 肾小囊中的肾小球

肾小球含有很多大孔径通道, 每个直径约为  $50\text{\AA}$ , 长为  $500\text{\AA}$ 。它们每分钟可以从血液中累计滤出  $125 \sim 150\text{mL}$  液体, 这些滤过液继而流入肾单位的其他部位。水、离子和代谢物都可以通过这些通道, 但血细胞、蛋白质和大分子糖类的体积太大, 不能通过。流经肾小球的液体被称为滤过液。因此, 肾小球的滤过率 (Glomerular Filtration Rate, GFR) 就是指流过肾小球通道进入肾单位的  $125 \sim 150\text{mL/min}$  流量。肾小球内外的静水压之差为  $50\text{mmHg}$ , 它是滤过作用的动力。由于反方向的渗透压为  $25\text{mmHg}$ , 因此, 净压差为  $25\text{mmHg}$ 。利用常用的管道液流稳态模型, 即 Poiseuille 流体模型, 可以估

算人体双肾所包含的肾小球数量。该模型方程为 (详见本章 14.2.4 节):

$$Q = -n\pi r^4 \Delta P / 8\mu L$$

式中  $Q$ ——滤过率;

$\Delta P$ ——净压差;

$r$ ——微孔半径;

$\mu$ ——流体黏度;

$L$ ——微孔长度;

$n$ ——微孔总数。

肾小球模型中, 微孔的半径  $r$  为  $25\text{\AA}$  (即  $25 \times 10^{-8}\text{cm}$ ), 压差  $\Delta P$  为  $25\text{mmHg}$  (即  $3.33 \times 10^4 \text{g}/(\text{cm} \cdot \text{s}^2)$ ), 微孔长度  $L$  为  $500\text{\AA}$ , 而滤过液的黏度  $\mu$  则为  $0.012\text{g}/(\text{cm} \cdot \text{s})$ 。将这些数据代入方程, 就可以估计出微孔总数  $n$ 。

显然, 如果体液以  $125\text{mL}/\text{min}$  的速度流失, 人就无法活了。因此, 大部分滤过液都会被重新吸收返回血流, 只有剩余的浓缩液才变成尿液。正常情况下,  $125\text{mL}$  滤过液中有近  $124\text{mL}$  被重吸收, 因此, 尿液的产生速度约为  $1\text{mL}/\text{min}$ , 它们储存在膀胱内。

继肾小球之后, 肾单位中的后续部分有: 近端小管、髓袢、远端小管以及最终的集合管。集合管是尿液生成和聚积的地方。在肾单位的每一段都有水和离子被重新吸收入血流, 从而促使滤过液高度浓缩, 直至最终成为尿液为止。血液中的激素可以控制水和离子的重新吸收量, 使尿液的浓度或多或少地产生变化。图 14.17 显示了肾单位的管道中水和离子的物质传输过程。

与肾单位的髓袢伴行的毛细血管网络被称为周围毛细血管或者直小血管 (vasa rec-

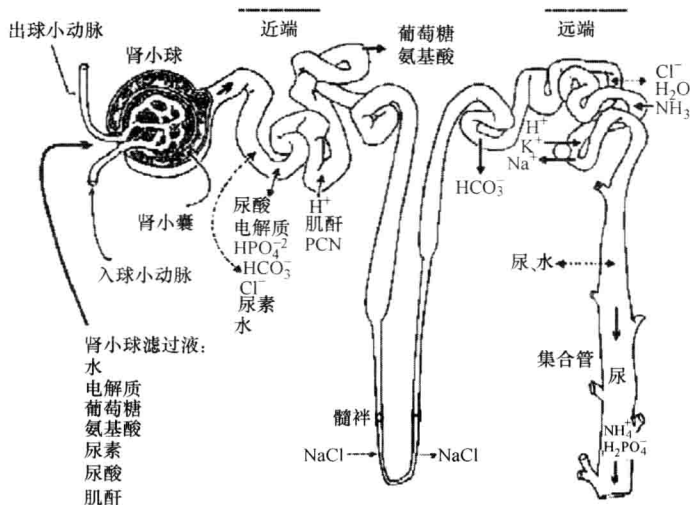


图 14.17 肾单位各个分段的离子、水和代谢物的物质传输过程

ta)，滤过液中的水和离子在此被重新吸收进入血流。图 14.18 显示了这种伴行网络的结构。

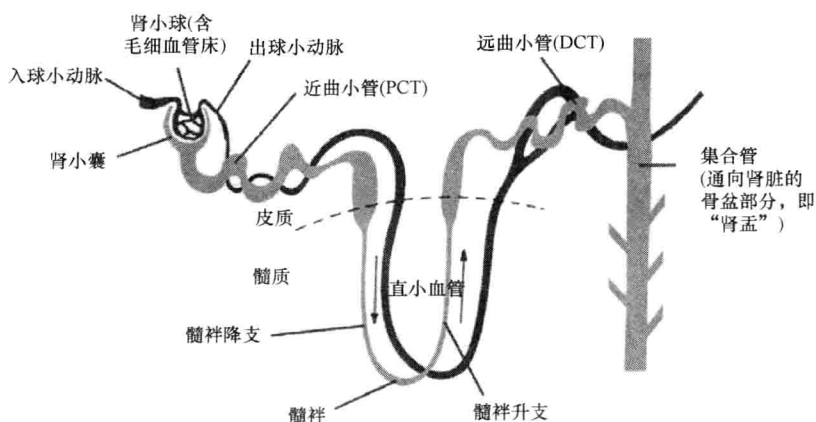


图 14.18 与髓祥伴行的直小血管将物质重新吸收进入血流

肾单位管道中的物质传输包括浓度梯度驱动的扩散传输和主动运输两种机制。髓祥由降支和升支两个走向相反的结构组成，使得离开降支的物质又可以在升支被重新吸收，这样，可以通过控制水的传输来尽可能浓缩代谢物的浓度。水的传输紧跟离子的传输，从而使得同水平的降支和升支中水和离子的浓度相等。但是，髓祥底部的浓度与其两个顶部（即降支的靠近近端小管处和升支的靠近远端小管处）的浓度差别都很大。这个物质传输过程如图 14.19a 和图 14.19b 所示。

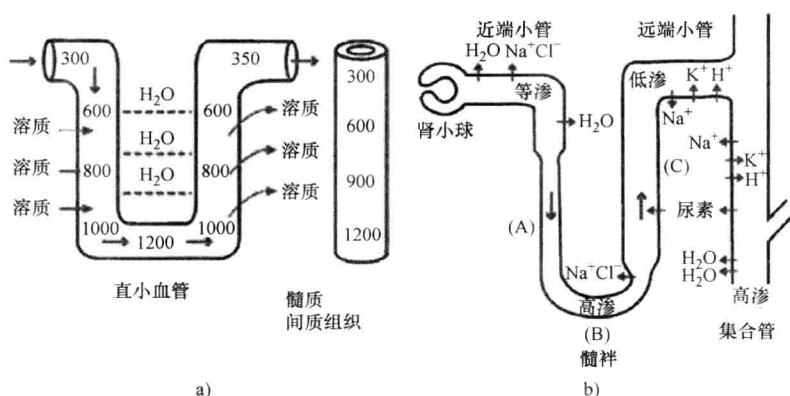


图 14.19 髓祥中的渗透浓度变化（图 a）以及降支和升支中的逆流系统（图 b）

肾功能衰竭的病人可以利用透析来清除体内的代谢物、水和多余离子。透析是一种人工净化血液的方法，它通过手臂上的桡动脉将人体血液引出，并导入至透析机内的透析盒中，透析后的干净血液再通过手臂上的头静脉输回人体。图 14.20a 显示了这种透析方法。如图 14.20b 所示是长期慢性透析时所采用的塑料短路管植入环，它连接于静

脉与动脉之间，可以免除每次透析时的血管穿刺。

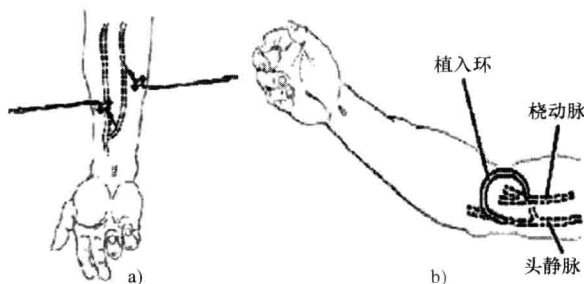


图 14.20 通过桡动脉和头静脉进行血液透析（图 a），  
连接桡动脉和头静脉的塑料短路管（图 b）

透析盒中装有成千上万根纤维毛细管，每根毛细管上都有许多微孔。血液流过这些毛细管时，在浓度梯度作用下物质通过微孔扩散到管外。微孔的大小足以通过水、各种离子和代谢物，但不能通过血细胞、蛋白质和其他重要的血液成分。透析盒内有透析液流过，它接收毛细管排出的物质。透析过程如图 14.21 所示，透析盒见图 14.22，图中显示了血液和透析液的流通过程。

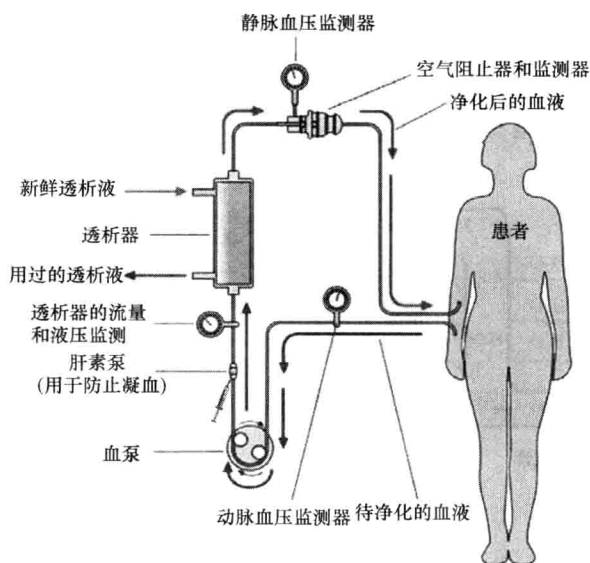


图 14.21 透析系统

透析盒毛细管中径向穿过管壁微孔的物质传输是一种浓度梯度驱动的扩散过程。毛细管内流动的血液中含有高浓度的代谢物，而管外的透析液中没有；而且，血液含有较高的离子浓度，而透析液所含离子浓度较低（见图 14.23）；因此，这些物质就从血液扩散至透析液。

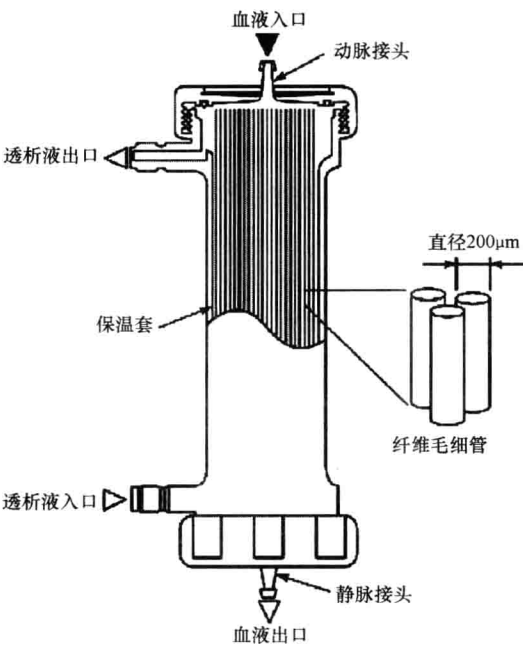


图 14.22 透析盒及其血液和透析液的流通过程

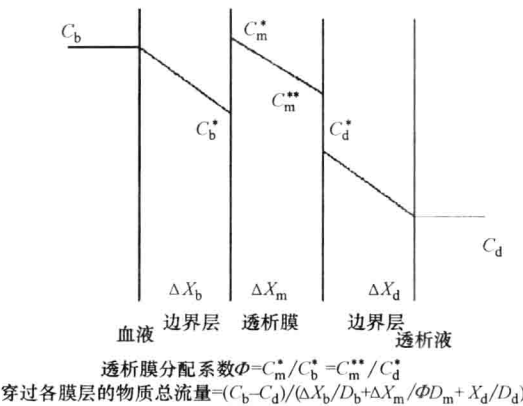


图 14.23 代谢物、离子和水径向穿过透析盒毛细管微孔的扩散过程

注：b、m 和 d 分别表示血液、透析膜和透析液； $\Delta X$  和  $C$  分别表示厚度和浓度。

如图 14.23 所示，毛细管微孔（图中表示为透析膜）内扩散物质的溶解度与血液和/或透析液中自由运动的物质的溶解度不同。因此，透析膜边界处的物质浓度不连续，用透析膜分配系数  $\Phi$  来表示。注意，物质扩散的方向是从高浓度的血液流向低浓度的

透析液。血液和透析液中都有自由流动区，其中的物质浓度恒定不变，表明没有物质传输。在紧贴毛细血管壁的边界层，由于存在物质传输，浓度有变化。边界层的轴向流速比自由流动区要慢，使径向物质传输较充分。这是因为血液流动时产生的剪切力导致靠近毛细血管壁的边界层的流速变慢，本章下一节（动量传输）中会讲述这种现象。通常，透析液的流速要比血液的流速快得多，这样就可以把（已经吸收了血液中的代谢物和多余离子）的“脏”透析液尽快排出透析器，并补充干净的透析液，进而也维持了血液与透析液之间的较大的浓度梯度，有利于物质传输。一般，血液流过透析器的流速为 200 mL/min，透析液的流速则为 500 ~ 800 mL/min。

血液从透析器顶部流入，等到从透析器底部流出时，其中的代谢物和多余离子已被去除（见图 14.22）。但是，这些血液输回人体之后，就与体内剩余的血液混合在一起。因此，为了彻底净化体内全部血液，大约需要 4h 的透析才能完成。

利用 Fick 定律可以描述浓度驱动下血液与透析液之间通过毛细管微孔的扩散过程。如图 14.23 所示，每一层都有其扩散系数  $D$ 、扩散区厚度  $\Delta X$  和浓度梯度  $(C - C^*)$ ，这些都一维 Fick 方程的参数。各层的扩散系数  $D$  是被传输物质和传输介质的函数。各传输层中没有物质聚积，因此，根据质量守恒定律，每种物质在如图 14.23 所示的 3 个传输层中的流量都相等。于是，见图 14.23 中下方所示，就可以推导出穿过所有 3 层的物质传输总流量。该计算公式使用了总的浓度梯度以及每层各自的扩散系数和厚度。

水的浓度梯度方向与其他物质相反，其浓度是透析液高于血液；因此，水从血液到透析液的传输不能用浓度驱动的扩散来描述，如图 14.24 所示，它是由静水压梯度产生的。

实际上，水的传输由透析液的流速控制，利用的是 Bernoulli 效应，就像真空吸尘器的工作原理。在与血流方向成直角的开口处（即透析膜的微孔上）施加大流速的液流，就会在开口处形成真空效应，将水从血液中抽到透析液中。

总之，根据本节所述可知，人体

和人工器官中的跨膜物质传输对于我们的生存至关重要。物质传输可以引导细胞调控神经脉冲信号、血液的生化成分、肾和肺的功能以及全身的血液平衡。实际上，人体的每个细胞都存在物质传输；因此，物质传输属于微观的小尺度下的现象，下一节将要讲述的流体流量和动量则属于较大尺度下的现象。

#### 人工透析时水的清除速率

$$Q = AL(\Delta P - \Delta p)$$

$Q$ ——水的清除速率，单位为 mL/h；

$A$ ——透析膜的表面积，单位为  $\text{m}^2$ ；

$L$ ——超滤系数，通常为  $3 \sim 15 \text{ mL}/(\text{h} \cdot \text{m}^2 \cdot \text{torr})$ ；

$\Delta P$ ——平均跨膜静水压差，通常为 140 torr；

$\Delta p$ ——跨膜渗透压差，通常为 25 torr。

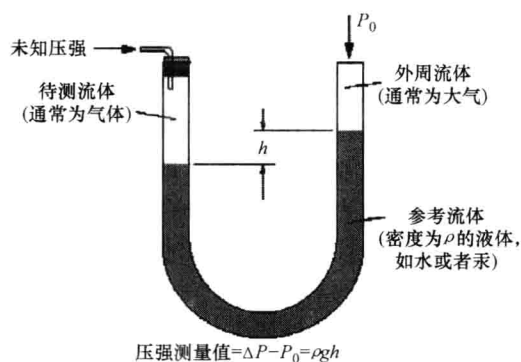
图 14.24 透析时静水压梯度与渗透压梯度之差产生水的传输

注：1 torr  $\approx$  133.322 Pa

## 14.2 生物流体力学和动量传输

前一节讲述了人体和透析机等人工器官内物质的跨膜质量传输 (mass transport)。除了质量传输以外, 还存在动量传输 (momentum transport)。动量是质量与速度的乘积。这种动量传输在肺脏的气流和循环系统的血流等流体中很明显。描述质量传输有 Fick 定律等控制方程, 描述流体的动量传输也有控制方程。此外, 质量传输涉及多个参数和给定介质的特性 (如扩散系数等), 动量传输和流体力学也涉及许多参数。例如, 扩散系数是质量传输方程中的比例系数, 同理, 黏度是流体力学方程中的比例系数。质量传输的驱动力要么是溶液里溶剂的浓度梯度, 要么是气体各组分分压梯度。而液流中动量传输的驱动力则是压强梯度, 不是分压梯度, 而是标准压强梯度, 常称为静水压。

不过, 流动着的液体的总压强梯度其实包括静水压、流速产生的动压强以及重力 (即高度差) 产生的压强。利用流体压力计很容易测得流体压强中的重力分量, 它测量的是液体高度差。如图 14.25 所示就是一种压力计, 它可以测量两种流体之间因密度和重力差别所产生的压差。



$$\text{压强测量值} = \Delta P - P_0 = \rho gh$$

图 14.25 流体压力计

注: 它用于测量两种不同高度流体的密度/重力压强差,

压强差的值是密度与两种流体高度之差的乘积的函数。

流动着的液体的总压强计算公式为

$$P_T = P + 0.5\rho V^2 + \rho gh$$

其中, 静压  $P$  就是通常所说的“静水压”;  $0.5\rho V^2$  为动压强 (简称动压); 最后一项  $\rho gh$  就是压力计测量的高度差所产生的压强。静压可以用压力传感器测量; 动压可以用流量计测得液流速度  $V$  (即单位时间内管道单位截面积的流量) 之后求得。随着液体密度和流速的变化, 这 3 种压强中很有可能其中一种远大于其余两种。Bernoulli 方程是对上述总压强公式的修正, 它指出流体中任意两点 1 与 2 的总压强都相等, 也就是上述 3 种压强之和都相等, 即

$$P_1 + 0.5\rho V_1^2 + \rho gh_1 = P_2 + 0.5\rho V_2^2 + \rho gh_2$$

### 14.2.1 血液和流体黏度

黏度用于测量在剪应力或者法向应力作用下变形的流体所受到的阻力。通常, 它表示液体流动的阻力或者液体的“稠度”。黏度表示的是液体流动时的内在阻力, 也可以理解为液体流动的摩擦力。水的黏度较小, 它很“稀”; 而菜油的黏度较大, 它很“稠”。除了液氮等超流体以外的所有真实液体流动时都有阻力。外加剪切力时不产生



阻力的液体被称为理想液体或者无黏性液体。反之，黏度不为 0 的真实液体则都被称为黏性液体。研究真实液体黏性的理论被称为流变学。

Issac Newton 指出：在沿直线平行流动的均匀流体中，各层流体之间的剪应力  $\tau$  与垂直于层面方向的流速梯度  $\frac{\partial u}{\partial y}$  成正比，即

$$\tau = \mu \frac{\partial u}{\partial y}$$

式中  $\mu$ ——黏度，又称为黏性系数、动态黏度或者牛顿黏度。

许多流体，比如水和大多数气体都符合此牛顿准则，因此被称为牛顿流体。非牛顿流体的剪应力与流速梯度之间的关系很复杂，不是简单的线性关系。这种流体中往往都含有高浓度的悬浮颗粒。血液就是一种非牛顿流体，其中近一半体积是血细胞。用公制单位来表示，也就是用厘米-克-秒（Centimeter-Gram-Second, CGS）制来表示，黏度的单位是泊（Poise, P），是以 Jean Louis Marie Poiseuille 的名字命名，他曾经建立了黏性流体的泊肃叶定律（Poiseuille law）。 $1\text{P} = 1\text{dyn}/(\text{cm} \cdot \text{s})$ 。由于许多液体和气体的黏度都很小，因此，常用厘（cP），即 1% P 为单位来表示黏度的值。

例如，密度为  $1\text{g/cc}$  的水的黏度约为  $1\text{cP}$ ；密度为  $1.05\text{g/cc}$  的血液的黏度为  $3 \sim 4\text{cP}$ 。由此可见，虽然水和血液的密度很接近，但是，它们的黏度却差别很大。这是因为血液中悬浮着大量血细胞，增加了血液流动的阻力。由于液体中存在的固体与液体之间交界面上的剪应力比较大，因此，这种交界面越多，液体的黏度就越大。血液中含有的血细胞形成了大量“固体”—液体界面，因此其黏度较大。与水和血液相比，蜂蜜和糖浆等密度较大的单纯液体，它们的黏度要高得多。不含任何悬浮物的单纯液体，如果密度高，其黏度也会成比例地增高。

像血液这种含有大量悬浮物的液体，其黏度与悬浮物浓度成正比。血细胞在全血中所占的体积百分比被称为血细胞比容。通常，血液的血细胞比容约为 45%。如图 14.26 所示是血细胞比容与血液黏度之间的关系曲线。

血液中除去血细胞之外的部分被称为血浆。成人的血液约占体重的  $1/12$ ，约为  $5 \sim 6\text{L}$ ，其中 55% 为血浆，45% 为血细胞。血细胞有时也被称为有形成分。血液有许多重要功能。例如，血液红细胞中的血红蛋白可以把氧气输送给组织，并将组织中的二氧化碳带走。血液也输送氨基酸、糖、矿物质等营养物质，并收集代谢物，送至肾脏排出体外。血液还运输各种激素、酶和维生素等物质。它还能够利用白细胞的吞噬作用来保护人体。

红细胞是血液中数量最多的血细胞，也常被称为红血球，每立方毫米血液中含  $4 \sim$

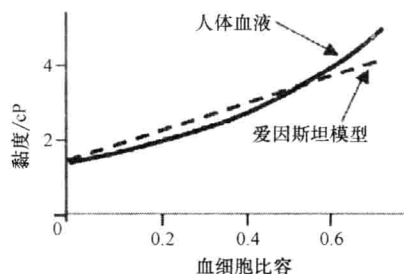


图 14.26 血液黏度随血细胞比容变化的曲线

注：爱因斯坦（Albert Einstein）建立了一种悬浮物浓度较高（ $c > 10\%$ ）的流体黏度的计算模型。

6 百万个红细胞。人和所有哺乳动物体内的红细胞都没有细胞核，它们呈现为两面凹陷的圆形镜片似的形状。红细胞内含有丰富的血红蛋白，它可以结合氧气。因此，红细胞负责向组织输送氧气，也能带走少量二氧化碳废物，但是，大部分二氧化碳都是溶解于血浆中，以碳酸盐的形式运输。红细胞是血液中增殖速度最快的细胞，是构成血细胞比容的基础。而血细胞比容是血液黏度的决定因素。如图 14.27 所示是典型的红细胞。血液中的其他血细胞还有防止感染的白细胞（又称白血球）和具有凝血作用的血小板等。

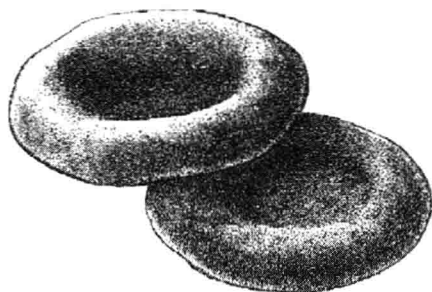


图 14.27 血液中的红细胞

注：红细胞呈两面凹陷的圆盘状，直径约为  $8\mu\text{m}$ ，厚约为  $2\mu\text{m}$ 。

白细胞不含血红蛋白，是一种无色细胞，有细胞核且形状不规则。白细胞数量虽然比红细胞要少，但体积要大得多。白细胞很容易改变形状，因此可以挤过血管壁进入组织中的细胞间隙。与红细胞和血小板不同，白细胞可以分成 5 种不同类型：嗜中性粒细胞、嗜酸性粒细胞、嗜碱性粒细胞、单核细胞和淋巴细胞；它们各自在人体免疫系统中承担不同的功能。其中，嗜中性粒细胞约占血液白细胞总数的 55% ~ 70%，它们的细胞核呈分叶状，且叶片呈“C”形。在感染区或创口处嗜中性粒细胞最多，它们紧贴血管壁，吞噬那些企图进入血液的异物颗粒。伤口的脓液中也含有嗜中性粒细胞。

嗜酸性粒细胞约占白细胞总数的 2% ~ 5%，主要攻击寄生物和各种抗原复合物，还参与血液内的过敏反应。嗜碱性粒细胞占白细胞总数的比例不到 1%，它们能够分泌抗凝血剂和抗体，以调控血液中的速发性过敏反应。虽然这种细胞常参与对抗外来病毒和细菌的即时免疫反应，但是，它们也具有吞噬作用。单核细胞约占白细胞总数的 5% ~ 8%，是 5 种白细胞中体积最大的一种。它们就像吞噬组织的巨型细胞，能够去除嗜中性粒细胞无法处理的那些异物颗粒并防止细菌的侵入；因此，它们具有吞噬作用。

淋巴细胞能够产生抗体，以对抗细菌分泌的毒素和传染性病毒。它们将分泌的抗体释放到血浆中，作为抗毒素杀死细菌。这些抗体还能够将异物颗粒凝聚起来，便于吞噬细胞的处理。但是，淋巴细胞的作用具有高度的特异性，只能识别某些特定的抗原。如图 14.28 所示是几种白细胞亚型。

血小板的直径只有红细胞直径的 20% 左右，它们是血液中数量最多的血细胞，正常成人每微升血液约含血小板 150000 ~ 350000 个。不过，由于血小板的体积很小，它们在血液中所占的体积也很小。血小板的主要功能是防止出血。血小板

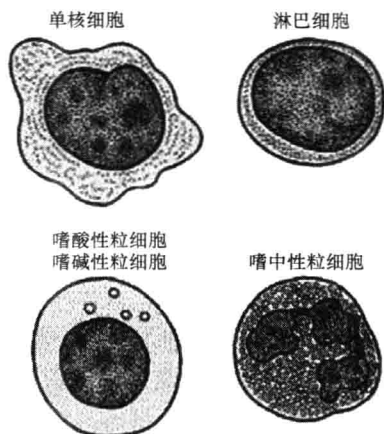


图 14.28 不同类型的白细胞具有不同的体积和形状

与红细胞和大部分白细胞一样，都是由骨髓产生。其实，血小板并不是真正的细胞，只是随着血液循环的细胞碎片。但是，这些细胞碎片含有许多对于止血至关重要的结构。它们表面所含有的蛋白质可以使它们能够黏附到破裂的血管壁上，并且能够相互连接起来。血小板含有的颗粒还可以分泌其他种类的蛋白质，它们能够形成坚实的“塞子”堵住血管漏洞。血小板还含有类似肌蛋白的蛋白质，它们粘在一起时会变形。如图 14. 29a 和 b 所示分别是正常血小板和被激活了的血小板。正常血小板的形状像平板，这就是它们名字的由来。激活了的血小板会伸出许多触手，粘连到出血点的表面。

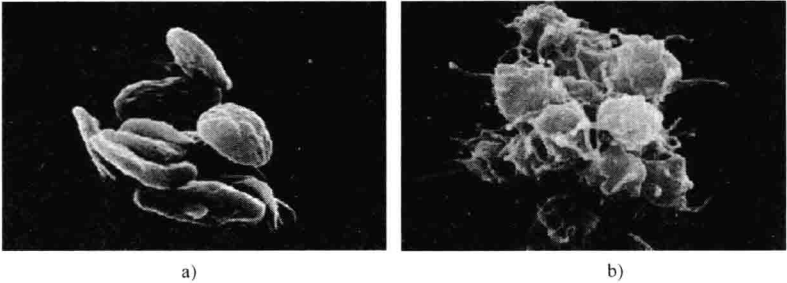


图 14. 29 正常血小板（图 a）和被激活的血小板（图 b）

流变仪可以测量随液流状态变化的液体黏度。黏度计也可以测量液体的黏度，但它只能测量某种液流状态下的黏度。通常，测量黏度时，要么是物体穿过静止的液体，要么是液体流过静止的物体。液体与物体表面相对运动时受黏性拖拉所形成的阻力就是黏度计检测的量。

球体落体式黏度计是一种较简单的黏度计，它基于 Stokes 定律，该定律描述垂直管子中液体缓慢流过球面的情况。假设一只已知体积和密度的球体在装满被测液体的直管中下落。如果设计合理，可以测得球体下落时穿过管子的 2 个标志位点时所需的时间，从而求得下落的终末速度。根据测得的终末速度、已知的球体体积和密度以及液体的密度，利用 Stokes 定律就可以计算液体的黏度。为了提高计算的精确度，传统测量实验中通常使用一组直径不同的钢珠，重复测量多次。Stokes 定律的方程为

$$F = 6 \pi r \eta v$$

式中  $F$ ——摩擦力；  
 $r$ ——球体半径；  
 $\eta$ ——液体黏度；  
 $v$ ——球体速度。

如图 14. 30 所示就是球体落体式黏度计的原理。由于血液不透明，测量其黏度时直管内要用传感器来检测球体经过管子 2 个标志位点的时刻。

还有一种黏度计是同轴双筒旋转式黏度计（又称 Couette 黏度计）。被测液体放在两只套在一起的半径不同的圆筒之间，两筒之间的间隙远比圆筒的半径要小得多。其中一个圆筒旋转，另一个则固定。两筒间隙很小时，两筒之间的相对运动速度与扭矩之间呈线性关系。根据旋转圆筒时所需施加的转矩随圆筒转速的变化曲线，就可以求得流体

的黏度。被测液体不同，转矩与转速之间的线性关系也不同，即黏度不同。如图 14.31 所示是一种典型的同轴双筒旋转式黏度计。

### 14.2.2 质量守恒方程

利用描述管道中压力梯度作用下液流状态的方程，可以描述血管的血液流动或者气管和支气管的气体流动。就像物质扩散总是向着浓度降低的方向进行一样，血管中的血液也向着压力降低的方向流动。人体的血液循环系统中，动脉的收缩压和舒张压分别是 120mmHg 和 80mmHg。这是因为，在心室先收缩再舒张的过程中，经过主动脉瓣膜流出来的血液是脉动式的。主动脉的平均血压为 100mmHg，最后循环到腔静脉时却已降为 5~10mmHg。因此，体循环系统中约有 90~95mmHg 的血压梯度驱使血液循环流动。从左心室射入主动脉的血流速度很快且随时间变化，一直冲到主动脉弓的急转弯处。因此，描述血流的流体动力学方程本质上是时变的，同时还受到循环系统解剖结构的变化的影响。这些方程包括质量守恒方程（有时也称为连续方程）、流体的动量方程（有时也称为运动方程）。

如前所述，流体的类型（牛顿或者非牛顿流体）会影响流体的连续方程和运动方程。为了简化，下面我们首先假设血液是一种牛顿流体，推导出相关的方程之后，再来更正假设条件。牛顿流体的连续方程如下：

$$\frac{1}{r} \frac{\partial}{\partial r}(ru_r) + \frac{1}{r} \frac{\partial u_\theta}{\partial \theta} + \frac{\partial u_z}{\partial z} = 0$$

它是圆柱坐标系下的形式，适用于圆柱形的血管。其中，流体的流速沿  $z$  方向（即轴向）、 $r$  的方向是血管中心指向血管壁（即径向）、 $\theta$  方向是圆周方向。该方程假设流体的密度为常数，这意味着流体是不可压缩的，血液等大多数液体都满足这个条件；但是，气体一般不满足这个条件，它们在高压下都会收缩。质量是标量，因此，质量守恒方程只有一个。方程中的 3 个偏微分项分别对应于 3 个正交的速度矢量。

### 14.2.3 流体的动量方程（即运动方程或 Navier-Stokes 方程）

纳维-斯托克斯方程（Navier-Stokes 方程）以 Claude-Louis Navier 和 George Gabriel Stokes 的名字命名，用于描述液体和气体等黏性流体的运动，也就是流体的动量守恒方

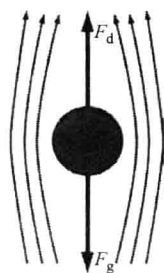


图 14.30 球体落体式黏度计的基本原理

注：图中显示了下落球体周围缓慢流过的液体。

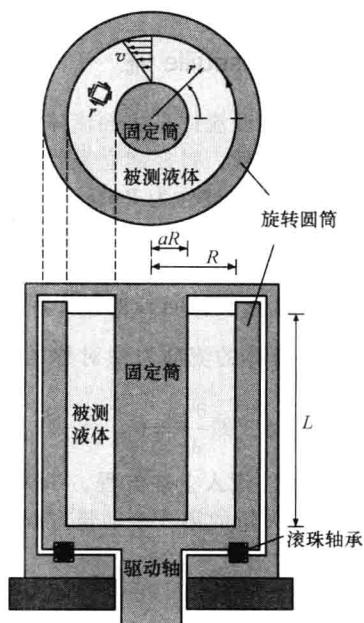


图 14.31 同轴双筒旋转式黏度计

程。将牛顿第二定律应用于流体的运动,并假设流体的剪应力(即上一节所述的 $\tau$ )是正比于流速梯度的各项黏滞力之和,再加上压强项,就可以推导出 Navier-Stokes 方程。与上述连续性方程一样,Navier-Stokes 方程可以用不同的坐标系来表示。由于血管呈圆柱形,用圆柱坐标系最合适,方程如下:

$$\begin{aligned} \rho \left( \frac{\partial u_r}{\partial t} + u_r \frac{\partial u_r}{\partial r} + \frac{u_\theta}{r} \frac{\partial u_r}{\partial \theta} + u_z \frac{\partial u_r}{\partial z} - \frac{u_\theta^2}{r} \right) &= -\frac{\partial p}{\partial r} + \mu \left[ \frac{1}{r} \frac{\partial}{\partial r} \left( r \frac{\partial u_r}{\partial r} \right) + \frac{1}{r^2} \frac{\partial^2 u_r}{\partial \theta^2} - \frac{\partial^2 u_r}{\partial z^2} - \frac{u_r}{r^2} \frac{2}{r} \frac{\partial u_\theta}{\partial \theta} \right] + \rho g_r, \\ \rho \left( \frac{\partial u_\theta}{\partial t} + u_r \frac{\partial u_\theta}{\partial r} + \frac{u_\theta}{r} \frac{\partial u_\theta}{\partial \theta} + u_z \frac{\partial u_\theta}{\partial z} + \frac{u_r u_\theta}{r} \right) &= -\frac{1}{r} \frac{\partial p}{\partial \theta} + \mu \left[ \frac{1}{r} \frac{\partial}{\partial r} \left( r \frac{\partial u_\theta}{\partial r} \right) + \frac{1}{r^2} \frac{\partial^2 u_\theta}{\partial \theta^2} + \frac{\partial^2 u_\theta}{\partial z^2} + \frac{2}{r^2} \frac{\partial u_r}{\partial \theta} - \frac{\mu_\theta}{r^2} \right] + \rho g_\theta, \\ \rho \left( \frac{\partial u_z}{\partial t} + u_r \frac{\partial u_z}{\partial r} + \frac{u_\theta}{r} \frac{\partial u_z}{\partial \theta} + u_z \frac{\partial u_z}{\partial z} \right) &= -\frac{\partial p}{\partial z} + \mu \left[ \frac{1}{r} \frac{\partial}{\partial r} \left( r \frac{\partial u_z}{\partial r} \right) + \frac{1}{r^2} \frac{\partial^2 u_z}{\partial \theta^2} - \frac{\partial^2 u_z}{\partial z^2} \right] + \rho g_z. \end{aligned}$$

Navier-Stokes 方程也假设流体的密度恒定不变,且黏度也是常数,即流体是不可压缩的且为牛顿流体。注意,由于动量是矢量,它等于质量与流速的乘积,而流速是包含3个分量的矢量;因此,该方程共包含3个流量方程。还要注意,每个流量方程都包含3个流速的多个偏微分项。

#### 14.2.4 Poiseuille 流

即使假设流体是牛顿流体,上述方程仍然都是时变的偏微分方程,很难求解。为了简化这些方程,曾经建立黏性流体的泊肃叶定律的 Jean Louis Marie Poiseuille 提出了如下假设条件(被称为 Poiseuille 假设):

- 1) 流体的流动处于稳态,即  $\frac{\partial(\cdots)}{\partial t} = 0$ ;
- 2) 流速的径向分量和旋转分量都为0,即  $u_r = u_\theta = 0$ ;
- 3) 流体的流动为轴对称的,即  $\frac{\partial(\cdots)}{\partial \theta} = 0$ ; 并且其边界层已充分发展(详见后面

14.2.5 节), 即  $\frac{\partial u_z}{\partial x} = 0$ 。

将这些条件代入上述方程,Navier-Stokes 动量方程中的前2个方程和连续方程均成立,而有关 $z$ 矢量的第3个动量方程则可以简化为

$$\frac{1}{r} \frac{\partial}{\partial r} \left( r \frac{\partial u_z}{\partial r} \right) = \frac{1}{\mu} \frac{\partial p}{\partial z}$$

对于血液等黏性流体,此方程的两个边界条件分别为:当 $r=0$ 时(即血管中心轴线处), $dV_z/dr=0$ ,也就是流动为轴对称;当 $r=R$ 时(即血管内壁处, $R$ 为半径), $V_z=0$ ,也就是流体在管壁上无“滑行”。此方程的解为

$$u_z = \frac{1}{4\mu} \frac{\partial p}{\partial z} r^2 + c_1 \ln r + c_2$$

当 $r=0$ 时, $u_z$ 必须为有限值;因此, $c_1=0$ 。再代入管壁上无“滑行”的边界条件,即 $r=R$ 时, $u_z=0$ ,可得

$$c_2 = -\frac{1}{4\mu} \frac{\partial p}{\partial z} R^2$$

于是,最后可得以下抛物线形流速曲面:

$$u_z = -\frac{1}{4\mu} \frac{\partial p}{\partial z} (R^2 - r^2)$$

血管中心轴线上(即  $r = 0$  处)的流速最大,为

$$u_{z \max} = -\frac{R^2}{4\mu} \left( -\frac{\partial p}{\partial z} \right)$$

如图 14.32 所示,可见血液的流动呈现为抛物面,血流速度沿血管径向不断变化,血管轴线处的血流最快,而管壁处的流速为 0。可以将血流看作一层层同心圆柱层,每一层的半径不同,流速也不同。管壁处的 0 速度对应于 Poiseuille 流的无滑动边界条件。流速的对称性对应于 Poiseuille 流的轴对称条件。无滑动边界条件是黏性流体紧贴无运动的管壁所致。

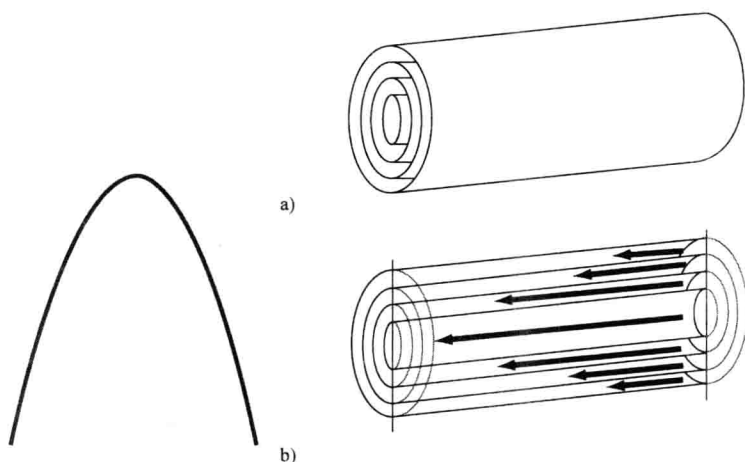


图 14.32 描述 Poiseuille 流的 Navier-Stokes 方程的抛物线形流速解

注:管道中心轴线处的流速为最大,管壁处的流速为 0。并且,相应于 Poiseuille 假设条件,流速曲面呈轴对称。

如果在血管的横截面上求血液流速的积分,就得到著名的 Poiseuille 定律的公式,它描述了圆柱形管道内不可压缩流体的轴对称稳态流量,即

$$Q = \pi R^4 \nabla P / 8\mu l$$

式中  $Q$ ——容积流量(即血液的心输出量);

$R$ ——血管半径;

$\nabla P$ ——压强梯度;

$\mu$ ——血液的黏度;

$l$ ——压强梯度  $\nabla P$  作用的血管长度。

Poiseuille 定律有时也称为 Hagen-Poiseuille 定律,它表明:管道内的流体处于层流状态时,其流量  $Q$  正比于半径的 4 次方(即  $R^4$ ),反比于长度  $l$  和流体黏度  $\mu$ 。该定律所蕴含的机理是,血管内径的微小变化会导致血流量的很大改变。主动脉的血流量很大,其中原因之一是主动脉半径较大。而小血管的血流量很小,这不仅是因为血管的分

支将血液分流了，还因为小血管的半径较小。如前所述，血细胞比容减小时血液的黏度也会降低；因此，贫血病人血液的黏度较小。根据 Poiseuille 定律，这些病人的血流量较大。血液流动（即 Poiseuille 流）所受到的阻力  $R_s$  与容积流速  $Q$  和压强梯度  $\nabla P$  之间的关系如下

$$Q = \nabla P / R_s$$

将 Poiseuille 定律的方程代入，可得液流的阻力为

$$R_s = 8\mu l / \pi R^4$$

由此可见，给定血管内的液流阻力正比于流体的黏度，反比于血管半径的 4 次方。

血管中血流的驱动力是血压梯度  $\nabla P$ 。心脏左心室血压、左心房血压和主动脉血压等都会影响人体的血流量。左心室有 2 个瓣膜，即左心室与左心房之间的二尖瓣和左心室与主动脉之间的主动脉瓣。瓣膜的开和闭取决于瓣膜两侧的血压差。如图 14.33 所示是左心室 2 个瓣膜上的血压变化与瓣膜开闭时间之间的关系。

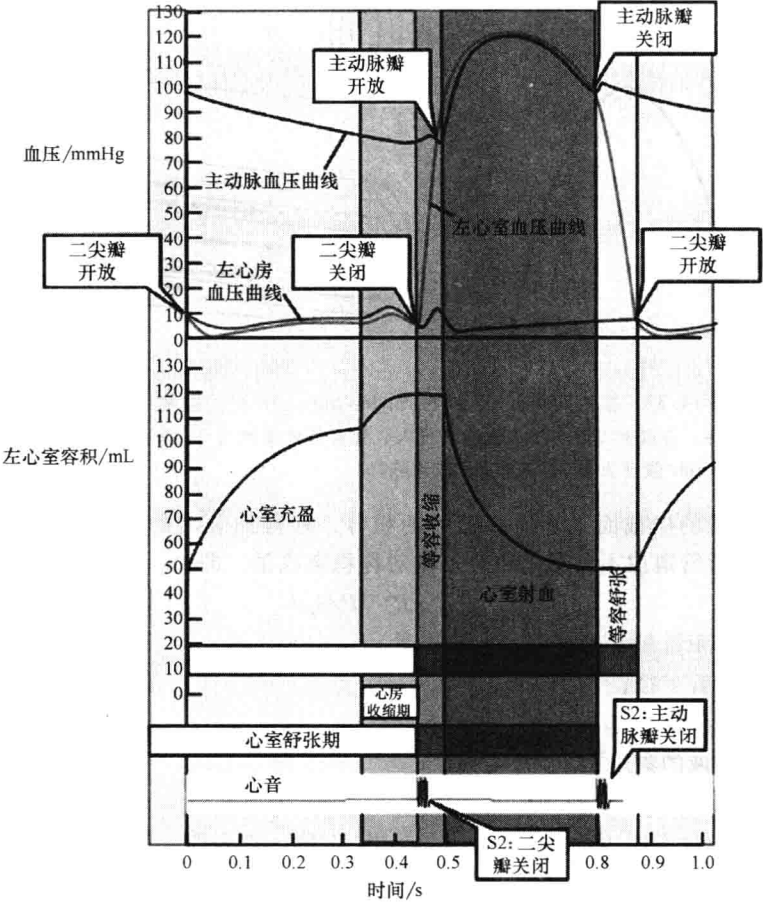


图 14.33 与左心相关的血压曲线和左心室容积等

注：血压差驱使血液经过二尖瓣由左心房流向左心室，或者经过主动脉瓣由左心室流向主动脉。

血压差也是体循环中血液流动的驱动力，它驱使血液流经主动脉瓣、主动脉、动脉、小动脉、毛细血管、小静脉、静脉和腔静脉。体循环的血压降落始于主动脉的脉动压（均值约为 100mmHg），止于腔静脉的血压（均值约为 5mmHg）。如图 14.34 所示，图中同时给出的右心和肺循环的各种血压值则较小。

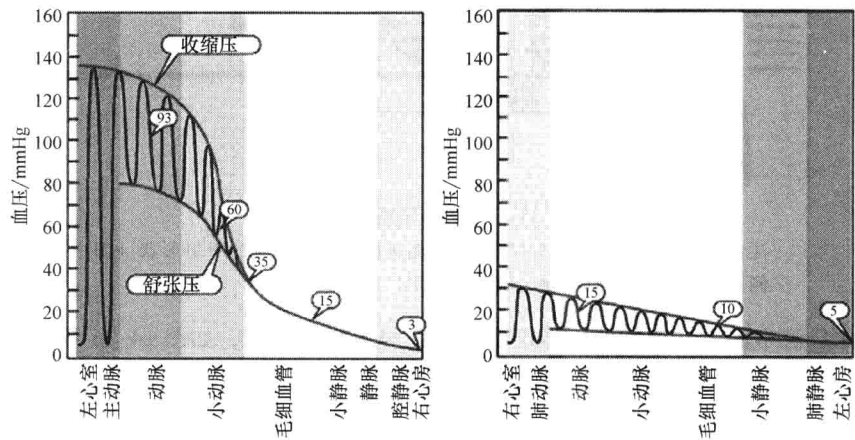


图 14.34 体循环（左图）和肺循环（右图）的血压降落曲线  
注：持续不断的血压梯度促使血液流经人体的 2 个循环系统。

14.2.5 边界层

Poiseuille 假设条件中的“充分发展”（即  $\frac{\partial u_z}{\partial x} = 0$ ）指的是流体的边界层，在这个区域流体受到的黏滞力占优势。Poiseuille 流中的边界层“充分发展”，占据了整个流体；因此，Poiseuille 流的整个流体区域受到的黏滞力都占优势。上述抛物线形流速分布就说明了这一点。不过，事实上，主动脉内的血流并不是完全像抛物线那样圆，而是要平坦一些。随着边界层从血管壁向轴心发展，血流的剖面会越来越圆。

从动量传输的角度看，血管内靠管壁区域，即边界层生长的区域，处于对流减速状态；而同时，血管的中央区域处于对流加速状态。这样，从血管壁区域向中央方向存在着流体动量的传输，直到整个流动区域完全变成圆滑的抛物线形为止。图 14.35 显示了层流边界层的发展过程，层流是一种平稳有序的流体流动状态。

边界层厚度用符号  $\delta$  表示。在血管入口处的“塞流”期间， $\delta$  的值很小，随着黏性流体向前流动， $\delta$  的值逐渐变大，直至等于血管半径为止。此时，流体的速度曲面完全呈现为抛物线形，也就是流体的边界层“充分发展”了，Poiseuille 假设条件得到满足。注意，图 14.35 忽略了真实动脉中存在的血流脉动特性。

当流体处于湍流状态时，其流速曲面很混乱。管道内流速较大的中心区域与流速较小的边缘区域之间的混合流动增多。因此，湍流的流动更复杂，管中心与管壁处的动量传输也更多。层流中，管壁处的流体剪应力最大，中心处则降为 0。即便如此，管壁处的层流剪应力也不是很大。但是，湍流中靠近管壁的流速就会很大，因此，其管壁的剪



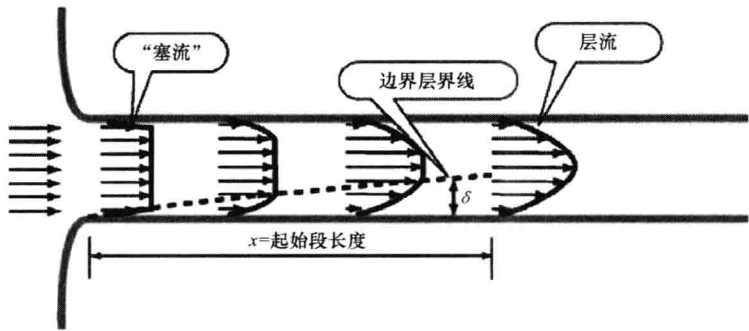


图 14.35 层流边界层的发展过程

注：在边界层的发展过程中，流体的流速曲面从起始时的平坦形状（图中左侧）逐渐变得越来越圆滑（图中右侧）。

应力要比层流中的大。湍流的边界层发展速度与层流的不同，如图 14.36 所示，其“充分发展”的流速曲面不是抛物线形的，而是要平坦一些。

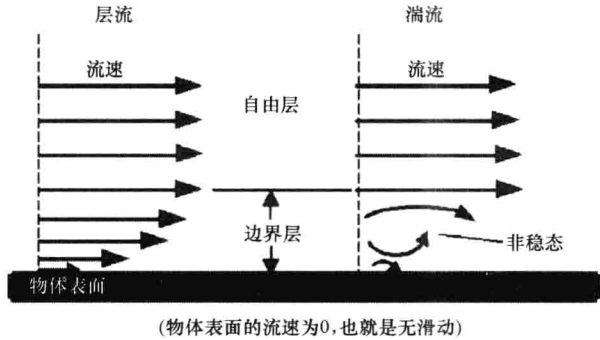


图 14.36 层流和湍流的边界层

注：层流的流速曲面比湍流的要圆滑；湍流的流动很复杂，动量传输也更多。

与平稳的层流相比，湍流的能量较大，流动更混杂。拥有较大能量的湍流包含了周期性变大的波动分量。湍流一般是三维的且时变的；而层流一般是二维的，且在心血管系统中仅在边界层发展过程中具有时变性。在心音听诊时可以听到湍流声，这种方法常用于判断心血管系统中血流的湍急程度。

如果层流或者湍流的边界层与管壁分离，那么，就会形成一堆停滞不前的液流。如果是血液，它就会凝结成血块。血流可能将血块冲向下游，堵住较小的血管，形成血栓。如果血栓堵在大脑的血液循环系统中，就可能导致脑卒中（Stroke），也称为脑中风。这种边界层分离现象可能发生于血管的急转弯处，血流不能完全跟上血管的弯曲度（见图 14.37）；也可能发生于血管的分支处（见图 14.38）。

由于潜在的血栓危害，边界层分离肯定是个危险。在动脉粥样硬化斑块的下游也很容易产生边界层分离，这是因为这种黏附在血管壁上的斑块会使血管狭窄。随着斑块的

变大, 血管直径越来越小, 在血管狭窄处的下游就会出现边界层分离, 从而形成血凝块, 它更进一步向下游方向扩大了狭窄的区域。这样, 当这种动脉病变持续发展到一定阶段之后, 血管狭窄的发展速度就会更迅速。此时, 由于边界层分离区域的下游存在湍流, 利用听诊器或者超声心动图等其他诊断工具就可以听到湍流声, 从而诊断这种疾病。

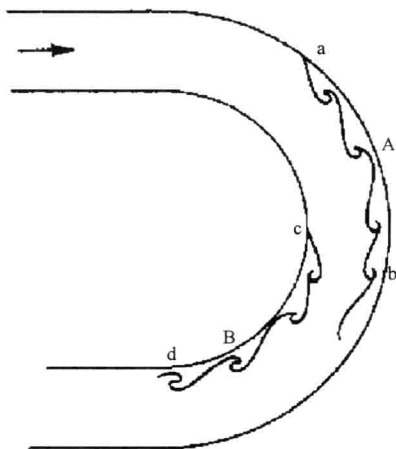


图 14.37 主动脉弓等血管急转弯处易发生血流的边界层分离

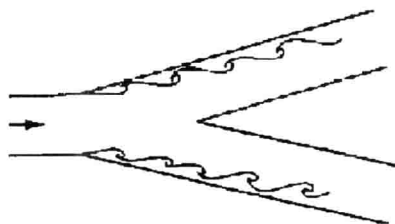


图 14.38 血管分支处易发生血流的边界层分离

#### 14.2.6 雷诺数和流体的流动类型

层流与湍流之间的差别很大。层流有时也被称为直线流, 其中的流体都沿着并行的层面流动, 相邻的分层之间互不混合, 这与湍流刚好相反。用非科学术语来描述, 层流是“平滑的”, 而湍流则是“粗糙的”。无量纲的雷诺数是判断流体是层流还是湍流的重要参数, 它表示流体的黏滞作用与惯性作用相比较哪个占优势。层流的速度较慢, 其黏性较大; 而湍流的速度较快, 其惯性较大。雷诺数正比于惯性力与黏滞力之比。各种流体的雷诺数的数值  $Re$  如下

- 当  $Re < 2000$  时为层流;
- 当  $2000 < Re < 3000$  时为过渡流;
- 当  $Re > 3000$  时为湍流。

这些数值都是近似值。影响雷诺数的因素有: 流体流场的解剖结构/几何结构, 管壁的粗糙度, 流体所受到压强或者外加作用力的不均匀性等。当雷诺数远小于 1 时, 流体就会发生蠕动, 又称斯托克斯流 (Stokes flow)。它是层流的一种极端情况, 黏滞力 (即摩擦力) 远大于几乎不存在的惯性力。前面所述的球体落体式黏度计中的流体流动就是蠕动, 毛细血管中血流的流动通常也是蠕动。

前面已提到, 雷诺数是无量纲的, 它表示惯性力 ( $V\rho$ ) 与黏滞力 ( $\mu/L$ ) 之比; 因此, 它是衡量给定流体中两种作用力的相对重要性的定量指标。雷诺数的计算公式为

$$Re = \frac{\rho VD}{\mu} = \frac{VD}{\nu} = \frac{QD}{\nu A}$$

式中  $V$ ——流体的平均流速, 单位为  $\text{cm/s}$ ;

$D$ ——管道直径, 单位为  $\text{cm}$ ;

$\mu$ ——流体的动力黏度, 单位为  $\text{g/cm} \cdot \text{s}$ ;

$\nu$ ——流体的运动黏度 (即  $\nu = \mu/\rho$ ), 单位为  $\text{cm}^2/\text{s}$ ;

$\rho$ ——流体的密度, 单位为  $\text{g/cm}^3$ ;

$Q$ ——流量, 单位为  $\text{cm}^3/\text{s}$ ;

$A$ ——管道横截面的面积, 单位为  $\text{cm}^2$ 。

以上计算公式的第一种形式最常用。在人体血液循环系统中, 主动脉雷诺数的均值约为 3000, 峰值约为 7500; 普通动脉、毛细血管和普通静脉的雷诺数分别约为 500、0.001 和 400。这就意味着主动脉的血流为湍流 (主动脉的血管壁很结实, 足以克服湍流的作用力), 而普通动脉和静脉中的血流为层流, 毛细血管中的血流则为蠕动。因此, 主动脉的血流中有附加的作用力、存在混合流动以及动量传输, 而毛细血管的血流中几乎没有动量传输。然而, 正如前面章节已经讲述过的循环系统质量传输的原理那样, 毛细血管中的低速轴向血流可以促进径向的物质传输。而动脉就不行, 其中的血流速度太快, 无法进行有效的径向物质传输。但是, 主动脉中的湍流使得各层血流之间存在大量混合并增加了血管壁的剪应力; 结果就额外增加了穿越动脉壁的物质传输, 这就是动脉病变主要发生于主动脉的原因。这种病变由穿过动脉壁的脂质物质传输引起, 血管壁内皮细胞变形所产生的缝隙更便于物质穿过血管壁。

如图 14.39 所示是人体血液循环系统中的毛细血管网络。其中血流的雷诺数小于 1, 属于蠕动流。这种流动仅产生黏滞力, 而没有惯性力, 也没有湍流, 没有流动分离。因此, 尽管毛细血管床存在复杂的迂回结构以及急转弯和分叉, 但是, 它们都不会引起不利的效应。要是在大血管中, 这种血管结构就会导致湍流和/或流动分离。

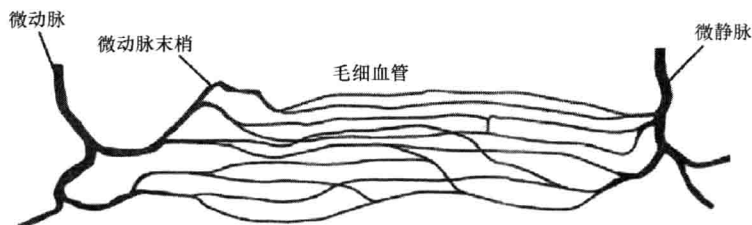


图 14.39 血液循环系统中的毛细血管网络

注: 毛细血管始于微动脉, 止于微静脉, 含有许多弯曲和分叉, 其中的血流属于蠕动流。

### 14.2.7 血压的测量

非侵入性的血压测量用众所周知的血压计和血压袖带来完成, 多数人测量血压时都用这种方法。测量时, 用袖带裹住肘部上方的上臂, 将听诊器放在袖带下面; 再给袖带

充气,直至其中的气压明显超过收缩压(如 120mmHg)为止。此时,由于袖带外加的气压大于血管内的血压,位于袖带下面的皮肤下浅表肱动脉被压扁。然后,逐渐释放袖带内的空气,使其气压下降。当外部施加的气压降至稍低于肱动脉的收缩压时,此血管略有开放。在高压作用下,血流就会冲过打开的小孔,产生湍流。通过听诊器就能听到这种喷射的湍流声。就像用听诊器听心音一样,心脏瓣膜关闭不全时漏出的血流也会形成湍流,或者心脏瓣膜狭窄导致下游的流动分离,也产生杂音。

而后,随着袖带气压的不断下降,肱动脉血压超过袖带气压的时间将不断增加。于是,肱动脉开放的口子越来越大,开放的时间也越来越长,直至最终袖带气压低于动脉的舒张压时,血管一直开放。此时,湍流声(又称柯氏音)就逐渐消失。

袖带与压力计相连,医生可以读出柯氏音开始出现时的收缩压以及柯氏音消失时的舒张压。这样,血压计可用于非侵入式地测量血压的最大值和最小值,一般为 120 和 80mmHg。如图 14.40 所示是袖带气压、血压以及通过听诊器听到的柯氏音之间的关系。

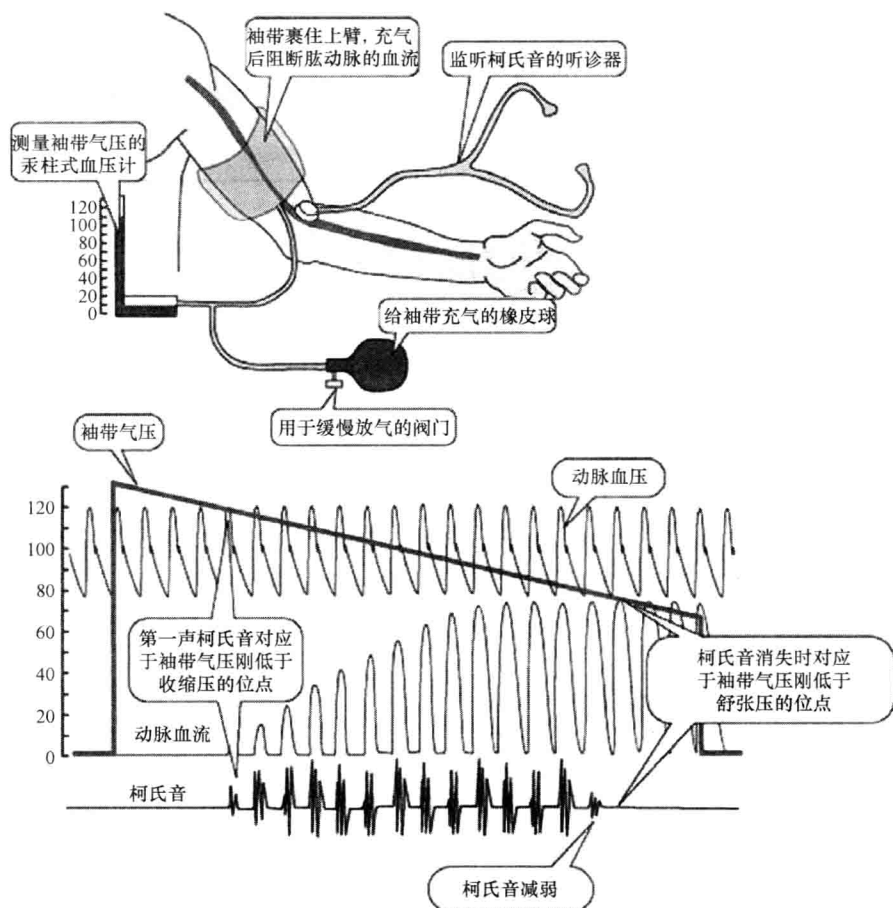


图 14.40 血压计和测量时产生的柯氏音

注: 根据柯氏音的出现和消失可以确定动脉血压的收缩压和舒张压。

血压的测量值受测量位置的影响很大。如图 14.34 所示，血液沿着体循环系统顺流而下时，血压不断下降。即便在动脉部位测量血压（这是常规方法），测量的位置不同，测得的收缩压和舒张压的数值也不同。如图 14.41 所示，在中等大小的动脉中，桡动脉的血压波形比较陡峭，其收缩压与舒张压之差（即脉搏压）较大。这种脉搏压的增大有时候是由于血压脉搏波的反射效应引起的，脉搏波的传播速度远比血流的时变血压要快得多。

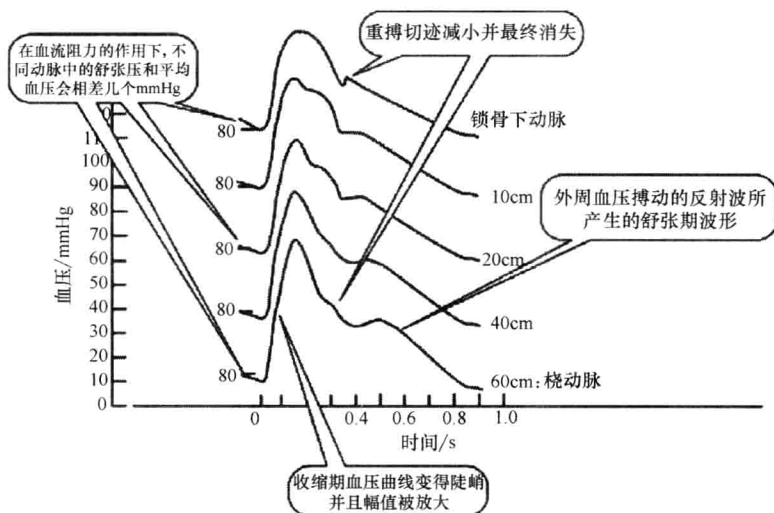


图 14.41 各种不同中等大小的动脉中血压波形及其脉搏压  
(即收缩压与舒张压之差)各不相同

注：这种差别会导致血压计测得的收缩压和舒张压的数值有所变化。

由此可见，血流及其速度的变化非常复杂，会随着方向、时间和范围等的不同而变化。利用假设条件，将血流简化为 Poiseuille 流、牛顿流体和不可压缩流体等，可以建立其一阶模型，而不必使用复杂的波形和流体系统模型。流体力学是有关人体功能的一种比较宏观的描述；而质量传输比较多的是细胞层次上的微观描述。质量传输和流体流动（即动量传输）都可以影响人体内外热传输，下一节讲述这方面的内容。

### 14.3 生物医学的热传输

人体的热传输机制能够保障其体核温度恒定不变。通过皮肤和呼吸的散热作用，这种机制将人体深部的热量传输到周围环境。热量是人体内食物新陈代谢的产物。人体向外环境的热传输会受外界温度和风速的影响。风可以带走人体大量的热量，风速会影响风寒指数（wind chill index）的数值。外科手术中常用的人工心肺机包含血液的加热和冷却装置，这类装置也会产生热传输。还有，研究某些极端环境下的热传输也极其重要，例如，消防队员的防火服和航天员的宇航服都可以保护人体免受外界极端温度的

伤害。

人体安静时产生的热量被称为基础代谢率 (basal metabolic rate), 约  $72\text{kcal/h}$ 。显然, 随着代谢活动的增加 (如运动期间), 人体产生的热量也会增加。

描述热传输的方程与描述物质传输 (即 Fick 定律) 和动量传输的方程在形式上相似。这些传输都是沿着某种梯度下降的方向进行: 物质传输中的梯度就是两点之间或者膜内外的浓度差; 流体的动量传输中的梯度就是引起流体流动的压强差。热传输中的梯度则是两点之间的温差。

### 14.3.1 传导、对流和辐射

热传输有 3 种基本方式: 传导 (conduction)、对流 (convection) 和辐射 (radiation)。热传导是通过分子之间的相互作用来传输热量, 气体、液体和固体中都存在热传导。例如, 热量可以通过紧闭的窗传导, 或者隔墙传导。人体的热传导包括体核经过各种组织将热量传导至皮肤。热对流是通过明显的流体运动来传输热量。例如, 空调吹出的气流、大风天气刮来的风寒等都能够产生热对流。人体的热对流传输包括从体核流向体表的血流、从肺泡经过气管由口腔和鼻子呼出的气流等。热传导和热对流都需要借助于介质才能发生, 而且, 固体没有热对流, 但有热传导。第 3 种热传输方式是热辐射, 它是一种电磁波传输过程。例如, 太阳向地球 (或者说向你的皮肤) 传递热量的方式就是热辐射。辐射是表面对表面的热传输现象, 不需要任何介质。温室效应就是热辐射的一个例子。图 14.42 显示了篝火中包含的 3 种热传输方式。

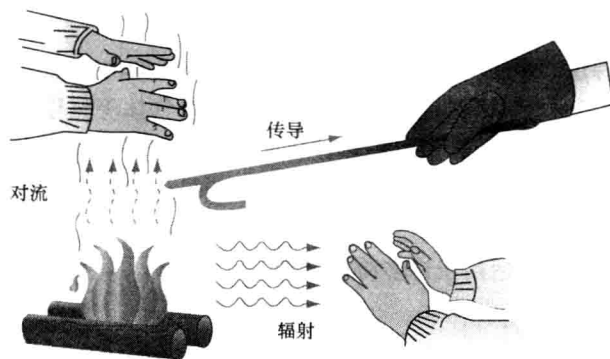


图 14.42 热传输的 3 种方式: 传导、对流和辐射

### 14.3.2 热传导

热传导是物质中相邻分子之间由于温差而产生的热能传递, 它总是将热量从温度高的区域传向温度低的区域, 从而消除温差。固体、液体和气体, 任何物质形态中都可以发生热传导, 且不需要明显的物质运动。固体的热传导由晶格内分子的振动和自由电子的运动产生。气体和液体的热传导由分子随机运动中的碰撞和扩散产生。热传导是两个直接接触的物体之间热量从较热的物体传向较冷物体的过程, 最终会消除两者之间的温

差。其热传输速率由以下因素决定:

- 两个物体之间的温差;
- 两个物体之间接触面的总面积;
- 两个物体之间的隔热性。

两个相互接触的物体之间的温差越大,在给定时间内的热传输就越多。例如,如果你把手放在很烫的炉子上,大量热量很快就从炉子传到你手上;如果炉子只是温热的,那么,接收同等热量所需的时间就要长得多。

两个物体之间直接接触的面积越大,两者的热传输就越快。例如,将手指放在冰块上一分钟,你会觉得手指冷,但可能不会觉得太难受。但是,如果你脱光衣服躺在大冰块上一分钟,那么,你很可能觉得难受,因为冰块会快速从你全身吸走热量。

利用有效的隔热材料可以减缓两个有温差的物体之间的热传输。有些隔热材料中含有许多空腔,其中的无流动空气可以阻止热传输;还有些隔热材料中含有导热系数很小的阻热层,也可以减少热传输。

热传导定律又称 Fourier 定律,它表明某种材料在单位时间内传导的热量正比于温度梯度和垂直于该温度梯度的热传导截面面积,且热传导的方向与温度升高的方向相反。该定律可以用两种等价形式来表示:积分形式是计算进出物体的总热量;微分形式是计算热量的局部流量或通量。其中,微分方程如下:

$$\vec{q} = -\kappa \nabla T$$

式中  $\vec{q}$ ——局部热流量,单位为  $\text{W}/\text{m}^2$ ;

$\kappa$ ——材料的热导率,单位为  $\text{W}/(\text{m} \cdot \text{K})$ ;

$\nabla T$ ——温度梯度,单位为  $\text{K}/\text{m}$ 。其中  $\text{K}$  是热力学温度的单位。

金属等热导率高的材料隔热性能很差;空气和许多气体等热导率低的材料隔热性较好。人体组织的热导率也较小,所以隔热性较好,能够在很热或很冷的天气里减少体内与外环境的热传输。而且,我们穿的衣服可以进一步提供隔热层,布料织品的缝隙里所嵌入的空气本身就是隔热体。

如下一维 Fourier 定律适用于许多简化模型:

$$q_x = -\kappa \frac{dT}{dx}$$

其中  $\kappa$  为热导率,常被视为常数,虽然有时并非如此。材料的热导率通常都会随着温度而变化,不过,在很大的温度变化范围内,常用材料的热导率变化很小。各向异性材料的热导率还会随着方向的改变而变化。人体内,肺部所含气体的热导率与组织的热导率差别很大,但它们的值都比密度较高的骨骼等要小。水和人体血液的热导率很大,但它们的热容量也很大,能够储存热量。

由于表面积也会影响垂直于传热平面的热传导,以上 Fourier 定律的方程也可以写为

$$\frac{\Delta Q}{\Delta t} = -\kappa A \frac{\Delta T}{\Delta x}$$

式中  $A$ ——横截面的面积；

$\Delta T$ ——传热层两侧的温差；

$\Delta x$ ——传热层的厚度。

不同材料的热导率各不相同，下列是人体组织和其他材料的热导率。

材料	热导率 $\kappa/[\text{W}/(\text{m} \cdot \text{K})]$	材料	热导率 $\kappa/[\text{W}/(\text{m} \cdot \text{K})]$
人体组织(器官/肌肉)	0.5	水	0.62
人体组织(脂肪)	0.2	空气	0.03
人体组织(皮肤)	0.3	玻璃	1.1
血液	0.5	铝	200
骨骼	0.5~0.6	铜	400

由上列数据可知，不出所料，金属的热导率很高。多数人体组织的热导率都比较低，表明人体内的热传导速度很慢。皮肤的热导率比人体其他组织要低，这意味着即使在大热天皮肤也可以限制外环境传向人体的热量。很有意思的是，空气的热导率非常低，大多数气体都是如此。因此，衣服布料里吸入的空气能够提供很好的双向隔热作用，阻止热量的传入或传出。在寒冷的冬天，尼龙面料内吸饱了空气的滑雪衫就能够起到极好的保暖效果。热传导可以用如图 14.43 所示的三层模型来研究。

将 Fourier 定律应用于三层模型的每一层，并假设每一层都没有热量积聚；那么，模型的方程为

$$Q_1 = \kappa_1 (T_1 - T_2) / \Delta X_1$$

$$Q_2 = \kappa_2 (T_2 - T_3) / \Delta X_2$$

$$Q_3 = \kappa_3 (T_3 - T_4) / \Delta X_3$$

由于没有热量积聚，因此  $Q_1 = Q_2 = Q_3 = Q$ 。代入以上方程并重排，可得

$$T_1 - T_2 = Q \Delta X_1 / \kappa_1$$

$$T_2 - T_3 = Q \Delta X_2 / \kappa_2$$

$$T_3 - T_4 = Q \Delta X_3 / \kappa_3$$

将此 3 个方程相加，可得

$$T_1 - T_4 = Q / (\Delta X_1 / \kappa_1 + \Delta X_2 / \kappa_2 + \Delta X_3 / \kappa_3)$$

即

$$Q = (T_1 - T_4) (\Delta X_1 / \kappa_1 + \Delta X_2 / \kappa_2 + \Delta X_3 / \kappa_3)$$

式中的 3 个热导率都是分母，因此每个热导率的数值都会影响总的热传导速度。例如，如果其中一层是空气，由于其热导率很小，因此  $1/\kappa$  很大，空气层就会起主导作用。由此可见，热导率最低的那一层会决定总的热传导速度。这就是为什么吸饱空气的布料是很好的隔热体。注意：如果没有持续的热源， $T_1 - T_4$  最终会变为 0，但是，如果存在空气层，那么，热传导的速度会很慢。

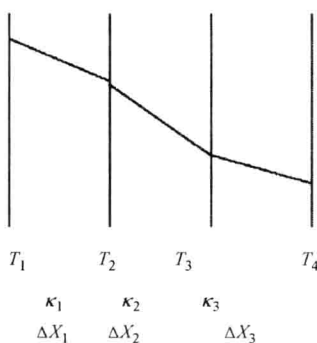


图 14.43 稳态热传导的三层模型



如果人体保持一定的产热水平，那么，含有空气的衣服就可以维持皮肤和身体的温度，不会出现体温过低的危险。见图 14.44 显示了人体内部和体表的温度分布。

虽然在冷环境下靠近皮肤的温度很低，但是，穿上含有空气的衣服就可以防止皮肤温度降至危险的程度。如果身处极端寒冷环境，如在太空中，那么，由于外环境的温度极低，宇航员必须穿全封闭式的宇航服。在地面环境里，保暖的衣服并不考虑人体呼吸所损失的热量。其实呼吸可以是人体热量损失的重要因素之一，本章后面会讲述这个问题。

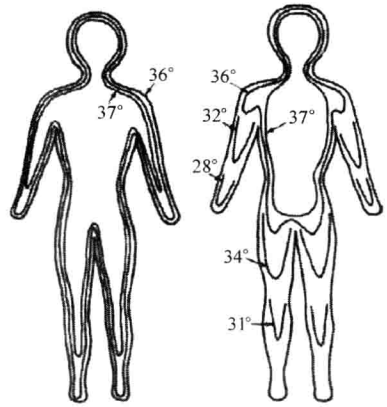


图 14.44 人体温度分布图（摘自

Ruch 和 Patton 的论著，1965）

注：左图为热环境下的体温分布图，  
右图为冷环境下的体温分布图。

### 14.3.3 热对流

热对流是通过明显的液体或者气体的流动来实现的热传输。例如，经压缩机、风箱和排气道吹出来的空调风，寒冷天气刮的冷风，换热器的气流和液流，以及心肺机的血液加热和冷却过程等，这些都包含热对流传输。

对流可以分为强制对流和自然对流两种机制。强制对流是由压差引起，它驱使流体及其携带的热量从一处流动至另一处。例如，由空气调节器、风箱和排气道组成的空调系统就是典型的强制对流系统。还有冬天刮的寒风是由气压差引起，它驱使空气流过地表面，带走热量。如果站立在寒风中，你会觉得越来越冷，这是因为寒风带走了皮肤上的热量。

自然对流是由温差引起流体密度变化进而产生浮力变化所造成的流动。例如，热空气比冷空气轻，于是，热空气会上升，这就是自然对流。一般地，自然对流要比强制对流弱得多，也就是流体在密度差作用下的流动通常要比压差作用引起的流动要小得多。显然，热空气上升的速度要远小于从热吹风机管道中吹出的热气流，也远小于大风天气刮起的强风。

对流所传输的热量可以用如下方程来近似描述：

$$Q_c = h_c A \Delta T$$

式中  $Q_c$ ——对流的热传输速率；

$h_c$ ——对流传热系数；

$A$ ——产生热传输的面积；

$\Delta T$ ——流体表面与环境之间的温差。

通常，强制对流的传热系数  $h_c$  是流体流速  $V$  的函数，这种函数的计算公式有许多种，其中之一如下：

$$h_c = 5.6V^{0.67}$$

其中  $V$  的单位是  $\text{m/s}$ ， $h_c$  的单位是  $\text{kcal}/(\text{m}^2 \cdot \text{h} \cdot ^\circ\text{C})$ 。随着流体流速的增加，对流产生的热传输也增加，传热系数随之增加。例如，风速增加会使风寒指数增加，这就是对流制冷的机制。

自然对流的传热系数通常为常数, 取值为  $2 \sim 2.3$ 。如果把自然对流系数与强制系数相等价, 也就是将数值  $2.3$  代入以上强制对流传热系数的计算公式, 可得

$$2.3 = 5.6 V^{0.67}, \text{ 即 } V^{0.67} = 2.3/5.6$$

$$\text{于是 } V = 0.263 \text{ m/s} = 0.588 \text{ mph}^{\ominus}$$

由此可见, 只要风速超过  $0.5 \text{ mph}$ , 强制对流的热传输就会超过自然对流。

不过, 要更精确地计算强制对流的热传输就要利用雷诺数 (Reynolds number)、普朗特数 (Prandtl number) 和努塞特数 (Nusselt number)。其中, 雷诺数可用于区分流体的层流和湍流 (详见 14.2.6 节的介绍); 普朗特数描述流体的黏性作用与热传导作用之间的关系; 而努塞特数则描述流体的热对流与热传导之间的关系。使用这种方法时, 层流和湍流的热对流计算公式不同。这并不奇怪, 因为这两种流体流动方式的速度及其分布差别很大, 它们的热传输也就完全不同。

一般地, 努塞特数  $Nu$  的计算公式为

$$Nu = h_c D / \kappa$$

式中  $D$ ——管道直径或者代表长度;

$\kappa$ ——热导率;

$h_c$ ——对流传热系数。

努塞特数  $Nu$  与雷诺数  $Re$  和普朗特数  $Pr$  之间的关系如下:

$$\text{层流时, } Nu = 0.322 Re^{0.5} Pr^{0.33}$$

$$\text{湍流时, } Nu = 0.023 Re^{0.8} Pr^{0.33}$$

式中  $Re = \rho V D / \nu$

$$Pr = c_p \nu / \kappa$$

$\rho$ ——流体的密度;

$\nu$ ——流体的黏度;

$c_p$ ——比热容。

由此可见, 努塞特数与雷诺数和普朗特数都有关, 还与 (强制) 对流的传热系数有关。计算这些参数就可以确定各种流体的对流热传输。显然, 这种计算比简化的公式  $h_c = 5.6 V^{0.67}$  要复杂得多, 但是计算结果要准确得多, 简化公式毕竟没有考虑流体流动类型的差别。

#### 14.3.4 换热器

医疗设备中常用到换热器 (heat exchanger), 例如, 开放式心肺机的血液加热器或冷却器, 常规手术中患者身体的加热器或冷却器等。手术过程中降低患者体温的目的是减少新陈代谢, 从而降低对于血液循环和呼吸速率的需求。手术结束时, 需要将患者身体或者血液加热至正常温度。典型的血液换热器是双管式的, 它由两根同心套管组

$\ominus$  mph 为每小时英里数 (miles per hour),  $1 \text{ mile} = 1.609344 \text{ km}$ 。——译者注

成，其中一根通血液，另一根通水。用冷水时可以冷却血液；反之，用热水则是加热血液。双管换热器中既有热对流也有热传导。流体的流动产生热对流；而通过管壁的热传输则是热传导。如图 14.45 所示就是一种典型的双管换热器。根据血液与水的流动方向是否一致，换热器的操作可分为顺流式（即同方向）和逆流式（即反方向）两种。如图 14.46 所示是双管式换热器设备的设计图。

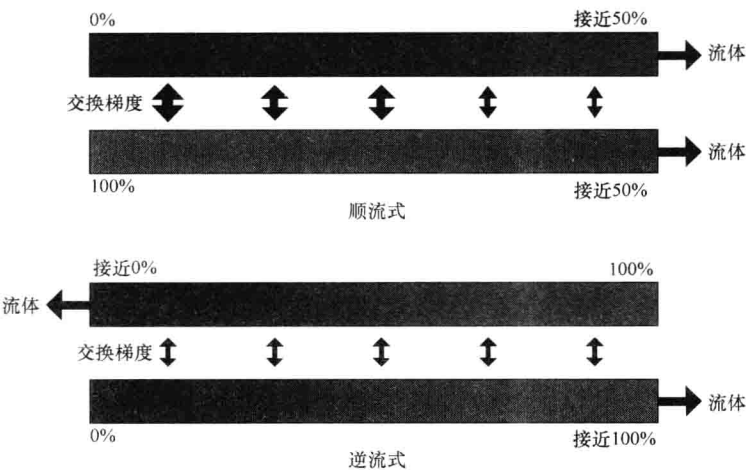


图 14.45 双管换热器的顺流式和逆流式操作方式

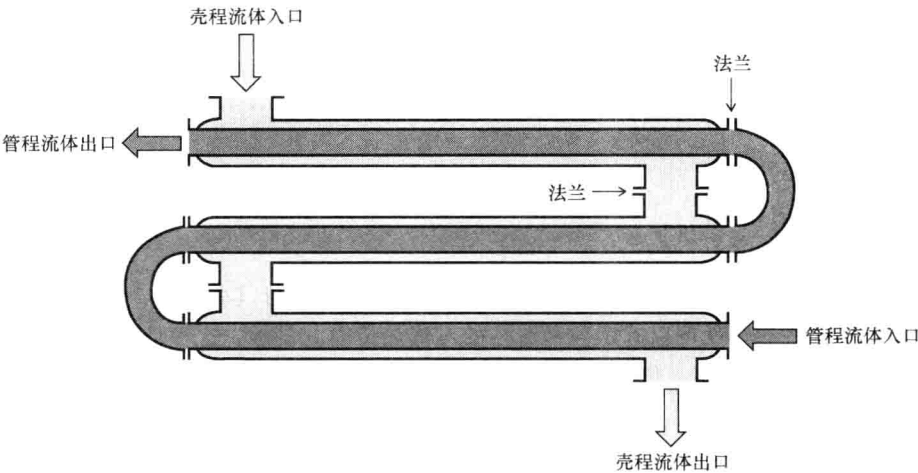


图 14.46 双管式换热器的设计图

描述双管换热器热传输的方程包含两部分：一是 Fourier 定律描述的内管壁的热传导；二是雷诺数、普朗特数和努塞特数描述的复杂的热对流。方程如下

$$Q = UA\Delta T_{lm}$$

式中  $U$ ——总的热传输系数，它是热导率和对流传热系数的函数；

$A$ ——管道的表面积；

$\Delta T_{lm}$ ——两种流体在换热器两端的有效温差，它是温差的对数平均值。

由于管道的表面积有内表面和外表面之分, 因此, 热传输系数  $U$  跟随表面积  $A$  有  $U_o$  和  $A_o$  (外表面) 以及  $U_i$  和  $A_i$  (内表面) 之分。温差与内径或外径的取值无关, 但是与两种流体流动的方向是顺流还是逆流有关。通常, 逆流的总体热传输效率更高。

### 14.3.5 热辐射

热辐射是由于物质自身的热量而发出的电磁波辐射, 它取决于物体的温度。例如, 家用取暖器或电热器发出的红外线辐射就是一种热辐射。再比如, 即使天气很冷, 熊熊燃烧的篝火也会让人感受到火焰发出的热辐射。热辐射的产生机制是, 物质中电荷运动 (通常是质子和电子的运动) 所产生的热量被转换为电磁辐射。日照, 又称为太阳辐射, 是太阳表面极度高温的气体所产生的热辐射, 这种辐射温暖了地球。当然, 地球也产生热辐射, 但由于其温度较低, 辐射强度远不及太阳。地球在接收太阳的热辐射能量而升温的同时, 其自身向外发散的热辐射会产生降温, 这两种作用的平衡决定了地球的总体温度。辐射是唯一不需要介质的热传输方式。辐射的热量从一个表面传递到另一个表面, 在两个表面之间几乎没有热量损失。不过, 表面一旦被加热, 就会通过传导或者对流的方式向周围传输热量。

热辐射通过电磁波来传输热量, 因此, 它既是两个表面之间温差的函数, 也与发散和接收的电磁波频率范围有关。例如, 太阳光由可见光、红外光和紫外光等频谱成分组成。图 14.47 显示了温度和辐射波长对于热传输速率的影响。

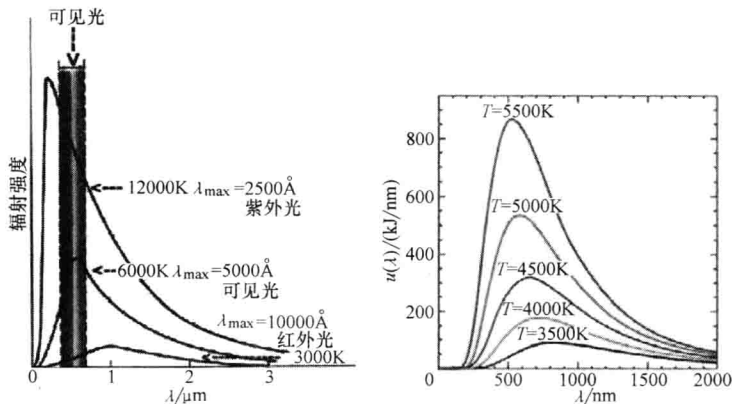


图 14.47 最大波长  $\lambda_{\max}$  和总辐射量随温度的变化曲线

注: 虽然图中所示曲线的温度相当高, 但是, 对于任意 0 K 以上的绝对温度都存在相似的辐射曲线。可见光的波长范围为 380 ~ 750nm。

辐射的能量到达物体表面之后, 它可能被吸收、透射或者反射, 也可能是这 3 种作用的任意组合, 它们的总和等于传递的总能量, 可以用如下 3 个参数来描述:

$$\alpha + \rho + \tau = 1$$

式中  $\alpha$ ——随频谱变化的吸收率;

$\rho$ ——随频谱变化的反射率;

$\tau$ ——随频谱变化的透射率。

如下 Stefan-Boltzmann 定律给出了辐射的热传输速率:

$$Q_r = \sigma AT^4$$

式中  $\sigma$ ——Boltzmann 常数；

$A$ ——辐射源的表面积；

$T$ ——热力学温度，单位为 K。

为了计算两个表面之间的实际热辐射数量，以上公式可以扩展为

$$Q_r = \sigma F_1 A_1 (T_1^4 - T_2^4)$$

其中  $F_1$  为朝向因子，它表示发射表面朝向接收表面的程度， $A_1$  表示发射表面的面积。相应地，式中的  $F_1$  和  $A_1$  可以替换为  $F_2$  和  $A_2$ ，分别表示接收表面朝向发射表面的程度以及接收表面的面积。其中的 Boltzmann 常数  $\sigma$  和温差项  $(T_1^4 - T_2^4)$  则保持不变。如果两个表面之间的距离很远，就像太阳与地球之间的距离，那么，朝向因子可以近似为圆盘的半径  $R$ 。如果两个表面之间的距离比较近，那么，朝向因子是两个相对表面各种角度之间的复杂关系。

热辐射与发射的电磁波频率有关。这就是为什么防晒霜需要隔离的是紫外线，因为这种辐射能量会伤害人体皮肤。而且，通常街道的向阳面比背阳面要暖和，这就是因为向阳面接收了热辐射传输的能量。与热传输的其他 2 种形式（传导和对流）相比，辐射是重要的热源，因为辐射主要来自太阳光以及地球上的各种加热装置。

### 14.3.6 温室效应

来自太阳的辐射能量由各种频率和波长的电磁波组成。太阳表面的温度接近 10000℃。太阳能照射到地球表面时，会被吸收、反射或者透射。每种作用的比例取决于地球表面的温度和实际被照射物体（如水、土、人造材料等）的性质。但是，物体对于电磁波的反射率、吸收率和透射率取决于电磁波的频率。而且，由于地球表面的温度与太阳不同，因此，地表反射的电磁波频谱会发生变化，与原入射的太阳能频谱不同。

太阳能穿过地球的大气层射到地面的过程中，大气层对于太阳能频谱成分的透射率很高，而反射率和吸收率很低。但是，当太阳能到达地表时，地表新的温度决定了其反射电磁波的频谱，与原入射频谱不同。大气层对于这种地表反射的电磁波具有很高的反射率，而透射率则很低。于是，当部分能量从地表反射回到大气层时，这些能量不能射向太空，而是被重新反射回地表。每一次反射回来时，地表就能够吸收一部分能量，从而使地球温度升高。热传导和热对流的作用也都会使地表周围的空气和建筑物升温，在地球上营造出温暖的人类生存环境。如图 14.48 所示，这种现象被称为温室效应（greenhouse effect）。

如果你曾经将车停放在大太阳下，你可能就已经体验过温室效应了。太阳光的热辐射穿过挡风玻璃，照射到座椅和仪表盘上，它们又会反射能量。但是，反射能

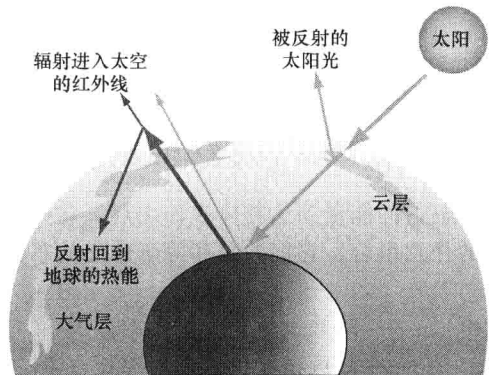


图 14.48 温室效应导致热辐射反射回到地球表面

量的频谱发生了改变,挡风玻璃对于这些频谱的能量具有很高的反射率和很低的透射率;于是,反射的能量又被挡风玻璃重新反射回到车内。这样,车内就会升温,通常会比车外的温度高  $20 \sim 30^{\circ}\text{C}$ 。在车窗玻璃上贴上防晒膜可以减少进入车内的辐射,从而保持车内凉爽。

如图 14.49 所示,商品化的温室大棚有意利用温室效应来吸收并保存热量,并采取一些调控措施来控制获取的热量,使得其中的植物能够在比较温暖的环境中生长。通过控制空气的流通和空气的温度可以避免大棚温度的变化。晚上关上大棚的门,可以保证夜间的温度不明显下降。

在夜间,随着地球表面不断向黑暗的夜空辐射能量,地表会损失热量。夜间地球辐射能量的多少与天空中有无云相关。

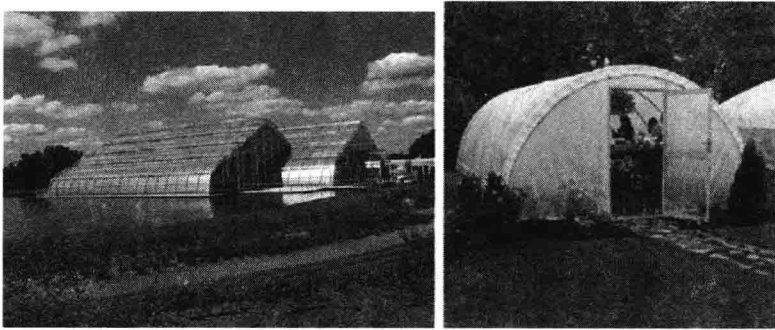


图 14.49 商品化的温室大棚

### 14.3.7 人体呼吸产生的热损失

人体将空气吸入肺部的过程中,通过对流和蒸发作用,呼吸道内表面会将热量和水汽传输给吸入的空气。当这些空气到达肺的最深处时,它的温度已经达到人体深部的温度(即  $37^{\circ}\text{C}$ ),它所含的水汽也达到了饱和(即水分压为  $47\text{mmHg}$ )。人体呼气时,气体沿着呼吸道被排出体外,其中一部分热量和水分会被人体回收。但是,呼出的气体中仍然包含了比吸入气体中多得多的热量和水分。

呼吸的热损失可以分成隐热损失(latent heat loss)和显热损失(sensible heat loss.)两部分。隐热损失是指水汽蒸发带走的热量,它可以用如下公式计算:

$$Q_{ei} = (dm_a/dt)(Y_o - Y_i)\lambda$$

式中  $dm_a/dt$ ——每小时吸入和呼出的气体重量,单位为  $\text{kg}$ ;

$Y_o - Y_i$ ——呼出气体与吸入气体的水分含量之差;

$\lambda$ ——在呼出气体的温度下单位水分蒸发所隐含的热量。

肺的通气速率( $dm_a/dt$ )主要取决于人体的新陈代谢速率,其计算公式如下:

$$(dm_a/dt) = 0.006M$$

式中  $M$ ——新陈代谢速率,单位为  $\text{kcal/h}$ 。

人体吸入的空气不太可能完全干燥,因此,吸入空气的温度和水分含量会影响肺部呼出的气体。1968 年, Fanger 和同事们发现,在正常情况下,吸入空气中的水分含量

与呼出气体中的水分含量之间存在如下关系:

$$Y_o = 0.029 + 0.20Y_i$$

这样, 如果吸入的空气非常干燥 (即  $Y_i \approx 0$ ), 那么, 呼出气体中所含水分就比较少。1951年, McCutchan 和 Taylor 还发现呼出气体的温度与吸入空气的温度和水分含量之间存在如下关系:

$$T_o = 32.6 + 0.006T_i + 32Y_i$$

$T_o$  与  $T_i$  相关是可想而知的, 但是,  $T_o$  还与吸入空气的湿度有关。如果吸入的空气干燥些, 呼出的气体就会“冷”一些。

除了与呼吸相伴的水汽蒸发所导致的隐热损失之外, 呼吸期间还存在显热损失 ( $T_o > T_i$  时) 或者显热吸收 ( $T_o < T_i$  时), 其计算公式如下:

$$Q_{sl} = (dm_a/dt) C_p (T_o - T_i)$$

式中  $C_p$ ——比热容。这种热损失是加热吸入的干燥空气成分所产生的能耗。

下面举例说明呼吸热损失的计算方法。

假设呼吸频率为 12 次/min, 每次呼吸的潮气量为 500mL, 那么, 分钟通气量就是 6L/min。假设吸入的这 6L/min 空气完全干燥, 且温度为 20℃。同时假设呼出气体含有饱和水汽, 即水分压为 47mmHg, 且温度为 37℃。各个物理特性的参数值如下:

20℃时吸入空气的比热  $C_{p, \text{空气}} = 0.25 \text{ cal}/(\text{g} \cdot ^\circ\text{C})$

37℃时的  $\lambda = 577 \text{ cal/g}$

37℃时呼出气体的饱和水分压为 47mmHg

于是, 根据理想气体定律就可以计算干燥空气的流量为 (单位是 g/min):

$$(dm_a/dt) = (6\text{L/min}) (1\text{mol}/22.4\text{L}) (273\text{K}/293\text{K}) (28.9\text{g/mol}) = 7.2\text{g/min}$$

呼出气体中的水汽流量为

$$(dm_w/dt) = (7.2/28.9) (47/(760 - 47)) (18) = 0.295\text{g/min}$$

要注意, 水汽附着于干燥气体, 因此, 肺部水汽的真实分压比率不是 47/760, 而是 47/(760 - 47), 因为去掉水汽之后的干燥气体分压是 713。此外, 水的分子量为 18。式中, (7.2/28.9) 是干燥空气的摩尔流量, 它与水分压比率相乘后得到的是水汽的摩尔流量, 再乘以水的分子量, 就将水汽流量换算成质量单位了。之所以如此计算, 是因为气体分压是与摩尔数 (而不是质量) 相关。

呼吸的隐热损失为

$$Q_{el} = 0.295 (577) = 170\text{cal/min}$$

呼吸的显热损失为

$$Q_{sl} = 7.2 (0.25) (37 - 20) = 30.4\text{cal/min}$$

注意, 隐热损失远大于显热损失。呼吸的热损失总和约为 200cal/min (即 12.0kcal/h), 它相当于人体基础代谢速率的 17%。此数量相当可观。呼吸急促时, 人的呼吸量增加, 热损失就更多。此时, 总的代谢产热速率也提高, 于是就需要通过出汗等其他途径来释放热量。人体汗水的蒸发会产生与呼吸相同的隐热损失, 效果很显著。

但是, 如果人体大量出汗, 挥汗如雨; 那么, 就可能造成脱水, 这是非常危险的。

有趣的是, 由于狗的身体不会出汗, 它主要通过喘气来释放热量。通过高频率的喘气而不是深呼吸, 狗可以将呼吸道死腔中气体的热量交换出来。这样可以避免过度通气及其导致的大量吸入气体的加热和湿润。可见, 狗身上也有隐热损失和显热损失。许多狗身上的皮毛很厚, 会阻止热传导产生的热量吸收和损失。因此, 如果狗太热了, 解决办法之一是冲澡, 冲掉狗毛中所含的空气, 减小空气的隔热效果。冬天滑雪时也会出现类似的情况。滑雪衣内饱含空气, 因此具有很好的保暖效果。但是, 一旦衣服湿了, 其中的空气就会与水混合, 其隔热效果就大大减弱。

### 14.3.8 体内热损失

前面所述的热传输机制主要是指人体向外环境释放热量。但是, 人体首先必须将体核的热量传输到皮肤和肺部, 这种热传输的机制主要是传导和对流。人体热传导的速度很慢。而热对流则通过血流来实现。流向体核的血液吸收热量之后, 再流向外周并释放热量。1965 年, Ruch 和 Patton 从如下 3 个方面讨论了血液循环对于人体内部热量分布的调控作用:

1) 血液循环使人体各部分的温差最小化。例如, 肝脏等代谢速率很高的组织, 其血液灌流量也很充分, 因此它们的温度与活动较少的组织相似。另一方面, 来自代谢旺盛的组织的血液流过那些温度较低的组织时具有加热作用。

2) 血液循环系统可以调控人体皮肤的散热量。当人体需要散热时, 血管会扩张, 流向皮肤的温暖血液就会增加, 皮肤的散热量也就增加。当人体需要保暖时, 血管会收缩, 血液通过体内深部的血管从动脉流向静脉, 皮肤的血管被旁路, 因而皮肤的散热量就减少。

3) 血液循环系统中的大动脉与大静脉之间常存在大量的逆流热交换。当人体需要保暖时, 动脉血液流过四肢时就会将热量传输给相邻的静脉血流。假设从体核到皮肤的热传输可以分成从体核到肌肉以及从肌肉到皮肤两部分 (参见 Cooney 于 1976 发表的论著), 而且, 热传输包括 Fourier 定律描述的热传导和强制对流形式的热对流两项; 那么, 从体核到肌肉的热传输方程为

$$Q = k_{cm} A \frac{(T_c - T_m)}{\Delta Z_{cm}} + (dm_b/dt) C_{PB} (T_c - T_m)$$

从肌肉到皮肤的热传输方程为

$$Q = k_{ms} A \frac{(T_m - T_s)}{\Delta Z_{ms}} + (dm_b/dt) C_{PB} (T_m - T_s)$$

由于热对流的数值要远大于热传导, 而且假设两部分的热传输速率 ( $dm_b/dt$ ) 相同, 这样, 从体核到皮肤的热传输总方程为

$$Q = (dm_b/dt) C_{PB} (T_c - T_s)$$

此方程没有考虑血管收缩和扩张导致的皮肤散热作用的改变。



### 14.3.9 极端环境下的人体热损失

极端环境之一是火灾，这是消防员必须面对的。在这种情况下，消防员必须穿戴消防服等具有极强隔热作用的装备，以防止过度的热传导。防火装备还必须具有很好的防辐射作用，因为明火会产生很强的辐射能量（见图 14.42）。由于灭火时需要使用高压水流，消防服还必须能够防水。如图 14.50 所示是一种常用消防服。

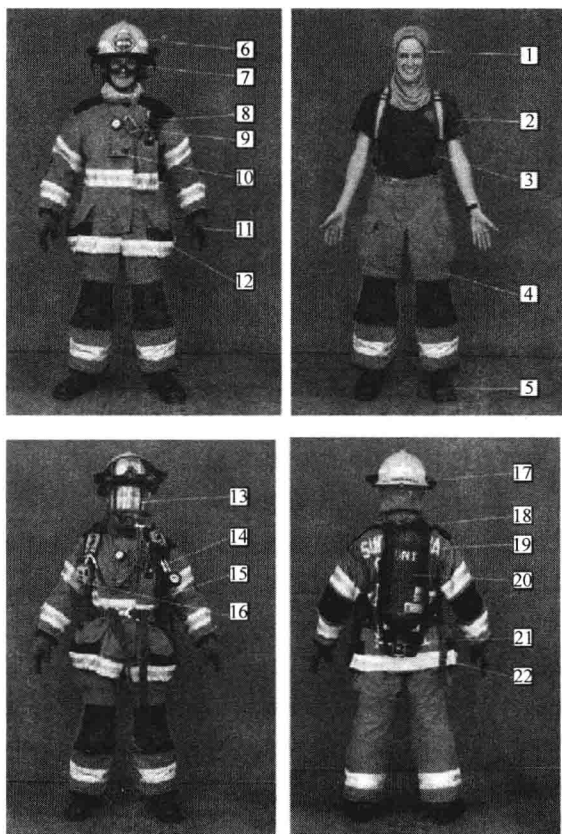


图 14.50 一种常见的消防服（由美国加州 Santa Clara 消防局提供）

注：图中数码依次表示：(1) Nomex 材料制作的面罩。(2) 印有部门标志的棉 T 恤，其前胸小后背大。(3) 有反光条的吊裤带，与裤子有 8 个连接点。(4) 有反光条的隔热裤，用尼龙搭扣和弹簧挂钩扎紧，膝盖和底边都有皮革加固，还有两个大侧袋和一个小后袋。(5) 鞋底为 Vibram 橡胶的隔热胶靴，脚尖有钢质衬垫。靴子顶部有拉手，易于穿着。穿上后靴顶刚好在膝盖下方。(6) 带防护眼镜和部门标志的头盔。其下巴带的长度可以调节，由尼龙搭扣拉紧。还有防护布片悬挂在衣领上方，进一步保护颈部，以防灰烬掉入衣领。(7) 连在头盔上的防护眼镜，不戴呼吸器具时可用于保护眼睛。(8) 带可夹式麦克风的无线通话机，可防水且具备安全性（不会发出火花），必要时可在爆炸环境下使用。(9) D 形挂钩，用于吊挂附带器具，这是非标准配件。(10) 手电筒。消防服胸前配有固定手电筒的插环。(11) 隔热皮革手套。(12) 带反光条的隔热外套，缝有特大的口袋，可以装无线通话机、手套、水带挂钩等器具。与裤子一样，外套也用尼龙搭扣和弹簧挂钩紧固。(13) 氧气管道和气压表。图示的 SCBA 牌消防服上有 2 个气压表：一个在背后氧气瓶的底部，另一个则在前面，用于监测氧气瓶用完之前的气压。(14) 和 (15) SCBA 保护带，由肩带和腰带组成。(16) 消防员个人安全警报器（PASS）装置。目前 SCBA 公司的 PASS 配置是一个集成器件，使用氧气瓶时它就会自动激活。(17) 贴在头盔后面的名字标签。(18) SCBA 肩带。(19) 印在外套上的部门名称。(20) 氧气瓶及其背包架。氧气瓶可以快速更换，在火灾现场，消防员通常需要用掉好几瓶氧气。(21) 供气调节阀。(22) 氧气瓶底部的名称标签。

上衣和裤子都是加强型隔热的，由一种称为 PBI 的耐火纤维制成，也常用 Nomex 等材料制作。消防服上面有反光标志带，稍有光照就有反光，这样可以增加消防员在黑暗中的能见度。消防服上还有夜光片。像足球运动员的运动服一样，消防服背后印有消防员的姓名和部门名称，以便于辨别；否则，人人都穿上消防服戴上面罩后，就很难区别谁是谁了。衣服上还有几个大口袋用来装手套、工具、无线通话机等。保护脚部的橡胶或皮革制作的防水靴在脚尖部位还有钢质衬垫。胶靴通常与裤子连在一起，这样，很快就能穿上。还有阻燃面罩用于保护面部和颈部，特别是露在头盔外面的耳朵和其他部位。穿好消防服之后，消防员全身上下应该没有任何暴露在外的皮肤。

消防头盔上有彩色条码，这样可以在火灾现场快速识别穿戴者。图 14.51 显示了美国消防局常用的彩色条码。



图 14.51 消防头盔及其用于表明职责的彩色条码

(由美国加州 Santa Clara 消防局提供)

总之，热传输对于人体具有重要意义，它能够维持生命，在危险环境中保护人体免受伤害，还能够让人感到舒适。如果没有血流的热对流作用，由于人体组织的热传导过程太慢，体核的热量无法释放出来，人体深处的温度就会上升到危及生命的水平。如果没有温室效应，那么，来自太阳的大部分辐射都会被反射回太空，地球的温度就会很低。还有，如果没有心肺机中用于加热和冷却血液的换热器，那么，许多大手术就难以实施。

## 14.4 习题

1. 如果外界空气的水分压为 25mmHg，那么，表 14.2 的数据都会变成多少？
2. 细胞膜去极化时，钠离子的相对扩散率会增加 1000 倍，此时的跨膜电位会变成多少 mV？
3. 假设心输出量为 5000mL/min，并且使用心血管系统的平均血管直径和平均血流时间；那么，小动脉血管直径改变之后，需要多久才能影响毛细血管的物质交换和静脉的血液回流？
4. 如果肾小球的滤过率（GFR）为 125mL/min（即 125cc/min），那么，所有肾小球上的孔隙共有多少？
5. 利用相对密度，假设高度差相同，请计算图 14.25 所示压力计中分别使用汞、

甘油和油时所测得的压差与使用水时所测得的压差之比。

6. 以牛顿流体的剪应力与剪应变率的关系作为参考, 阐述胀塑性流体、假塑性流体和 Bingham 塑性流体等非牛顿流体的剪应力与剪应变率之间的非线性关系。

7. 如图 14.33 所示, 当主动脉瓣关闭时, 动脉血压波形上有一个切迹。请根据心脏瓣膜的活动机制来解释这个切迹产生的原因。

8. 假设血液的密度和黏度都保持不变, 请根据本章 14.2.6 节所给出的各种血管的雷诺数的数值, 计算这些血管的  $V \times D$  的比率。然后, 找出人体血管的平均直径数据, 再计算这些血管中的平均血流速度。

9. 利用图 14.43 所示热传导三层模型的  $Q$  与  $(T_1 - T_4)$  之间关系的方程, 计算由两层玻璃夹空气层的隔热窗的总体热导率。各种材料的热导率  $K$  的数值参见本章 14.3.2 节, 假设各层的厚度  $\Delta X$  都相等。

10. 请观察 10 天的天气情况, 记录每天夜间的最低温度, 以及天空是晴朗、多云还是阴天。分析这些因素与温室效应之间的关系。

11. 本章 14.3.7 节所举的例子中, 假设呼吸由 12 次/min 变为 18 次/min, 外界空气的温度由 20℃ 变为 30℃ (即 303K), 其他参数保持不变, 请计算人体的隐热损失和显热损失。

12. 请分析 Nemex 和 PBI 两种材料的特性, 它们的热导率各是多少? 用于制作消防服时, 有哪一种比另一种的隔热效果更好吗? Gortex 也是一种隔热材料, 与前两者相比, 它的性能又如何呢?

## 推荐阅读资料

- D.O. Cooney, Biomedical Engineering Principles: An Introduction to Fluid, Heat, and Mass Transport Processes, Marcel Dekker Publisher, New York, 1976.
- P.O. Fanger, P.E. McNall, R.G. Nevins, Predicted and measured heat losses and thermal comfort conditions for human beings, Symposium on Thermal Problems in Biotechnology, ASME, New York, 1968.
- J.W. McCutchan, C.L. Taylor, Respiratory heat exchange with varying temperatures and humidity of inspired air, J. Appl. Physiol. 4 (1951) 121.
- T.C. Ruch, H.D. Patton, Physiology and Biophysics, nineteenth ed., Saunders Publishers, Philadelphia, 1965.
- Santa Clara Fire Department, California.
- Wikipedia.

# 第 15 章 放射成像

Joseph D. Bronzino 博士，策划工程师

## 本章目录

15.1 绪论

15.2 放射性核素成像技术

15.3 检测仪器和成像设备

15.4 X 射线成像系统

15.5 习题

推荐阅读资料

## 本章的主要学习内容：

- 放射性活度的基本概念；
- 医学成像的两种电离辐射检测方法：一种是将放射性药物引入人体，使人体变成辐射源，然后，检测其所发出的辐射并用于成像；另一种是使用体外辐射源发出的射线，让其穿过人体，检测透射射线并用于成像；
- 闪烁探测器和  $\gamma$  照相机等基本核医学仪器和成像设备的工作原理；
- 计算机化的断层扫描系统的基本原理。

## 15.1 绪论

纵观整个医学的发展历史，各种疾病诊断技术的开发一直是医学界的主要奋斗目标之一，人们不断地努力寻找能够在尽可能小的创伤状况下“看见”人体内部组织结构的各种方法。然而，直到 20 世纪后半期，医学史上才出现了能够提供病人体内正常组织和病变组织影像的仪器设备。如今的现代化成像设备基于多种不同的物理原理，如 X 射线学、核物理学、光学、超声学等，并结合最先进的计算机技术和数据处理技术，它们不仅在病情监测中发挥了极其重要的作用，而且正在不断推进医疗保健系统的变革。

一个多世纪以前的 1895 年，首届诺贝尔奖获得者，物理学家伦琴（Wilhelm Conrad Roentgen），发现了一种新的放射线，即 X 射线。从此诞生了一门新的医学学科，即放射医学，出现了医学成像产业。刚开始时，这种放射成像系统的功能并不强，只能显示对比度较大的骨骼以及泌尿系统和消化系统等人体结构（见图 15.1）。20 世纪 70 年代以后，医学成像技术的迅速发展，尤其是计算机的应用，引起了 X 射线医学成像技术的变革。继伦琴之后，Allan Macleod Cormack 和 Godfrey Newbold Hounsfield 取得了同样令

人振奋的成就。当时，Cormack 在 Tufts 大学物理系工作，他在 1963 年发表的那篇著名论文中优雅地证明了图像重建的数学理论。不到 10 年，在英国 ETD 有限公司工作的 Hounsfield 就令人难以置信地展示了世上第一台具有高对比度和分辨率的医用数字化轴向断层成像设备。为了表彰他们两人在开发计算机断层成像技术中的突出贡献，Cormack 和 Hounsfield 共同获得了 1979 年诺贝尔物理学与医学奖。他们的发明所带来的活力至今长盛不衰。

能够产生离子的辐射被称为电离辐射。根据辐射是由体内还是体外产生的，医学成像检测的电离辐射可以分为两类：一类是将放射性药物引入人体，使人体成为辐射“源”之后所产生的电离辐射；另一类是体外产生的电离辐射，穿过人体后，被放在人体另一侧的检测仪采集的透射辐射。

相应地，医用放射成像设备也有两类。一类设备常用于细胞和人体器官的功能研究，它们通过检测被测对象体内放射物所发射的  $\gamma$  射线或者 X 射线，采集与生理功能或者解剖结构相关的辐射数据，用于建立各种图像。90% 以上的核医学诊断系统都使用这种激发与检测相结合的放射性核素成像技术。另一类是 X 射线机及其计算机断层成像系统，它们检测的则是穿过人体的外源性射线。这两类设备及其使用都属于医院的放射科。本章将介绍这两类放射成像设备的基本工作原理。



图 15.1 摄于 1895 年的一张早期 X 射线图像

（摘自网址：<http://graphics8.nytimes.com/images/2007/06/19/science/19docs.1901.jpg>）

## 15.2 放射性核素成像技术

核医学作为医学的一个重要分支，其主要目标之一就是利用放射成像技术辅助医生做出正确的诊断。核医学是第二次世界大战期间原子时代核物理技术发展的产物，如今已经成为各种特殊生理疾病检测和治疗的 effective 方法。

核医学领域的发展是物理学新理论在医学中应用的一个典范，它体现了临床医生与物理学家之间的又一次成功联合。该领域已经发展成为一个拥有自己的理论和方法的交叉学科，其主要研究方向包括：

- 开发人体可以安全摄入的放射性示踪剂（即放射性药物），研究正确使用这些放射性药物的方法；
- 设计制造核医疗仪器设备，用于检测并显示放射性核素的活度；
- 研究放射性示踪剂的活度与特定生理过程之间的相关性。

为了使读者能够更好地了解放射性核素成像的基本原理，下面首先介绍物质的放射性及其检测方法以及用于监测放射性物质活度的仪器设备。

### 15.2.1 基本概念

1895 年, 伦琴发现了一种极具穿透力的新射线, 即 X 射线, 并由此开辟了一个崭新的科学研究领域。X 射线与无线电波和可见光光波一样, 是一种电磁辐射 (electromagnetic, EM), 只是它们的频率和波长有所不同。图 15.2 所示是各种电磁辐射的波谱。可见, X 射线的波长范围一般为  $0.01 \sim 100\text{nm}$ , 比无线电波和可见光的波长都要短很多。

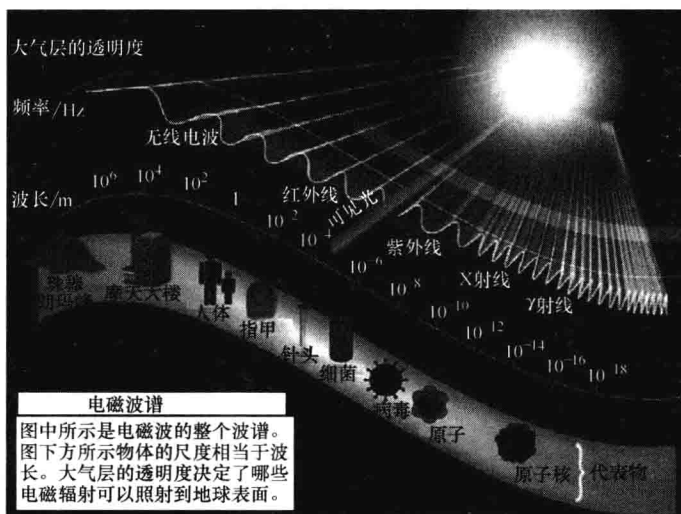


图 15.2 电磁波谱

(摘自网址: [http://ds9.ssl.berkeley.edu/LWS\\_GEMS/pdfs/em-spectrum.pdf](http://ds9.ssl.berkeley.edu/LWS_GEMS/pdfs/em-spectrum.pdf))

在伦琴发现 X 射线事件的激励下, 法国物理学家贝克勒尔 (Henri Becquerel) 经过深入研究发现, 人们熟悉的荧光或磷光物质所产生的辐射其实与 X 射线相似。1896 年, 贝克勒尔宣布, 无论是否属于荧光物质, 某类铀盐也具有放射性, 它能够发射具有穿透力的射线。这些令人吃惊的研究结果向世界展示了一种出人意料的物质新特性。

在强烈的科学求知欲驱使下, 贝克勒尔说服巴黎理工大学 (Ecole Polytechnique) 当时最杰出的年轻科学家之一玛丽·居里 (Marie Curie), 请她研究引起铀盐放射的究竟是什么物质。居里夫人的丈夫 Pierre 是一位在压电效应研究中颇有建树的物理学家。夫妻两人一起全力以赴研究这种神奇的物质。经过研究, 他们发现了一种比铀具有更强放射性的物质, 且将其称为镭, 并在 1898 年发表了这一发现。居里夫人后来用放射性活度 (Radioactivity) 来描述物质的放射特性。

就在居里夫妇研究放射性物质的同时, 英国科学界也开始掀起一股研究原子结构的热潮。进入 19 世纪之后, 道尔顿 (John Dalton) 的原子化学理论盛行, 成为当时有关物质内部结构组成的权威理论。该理论认为所有物质都是由不可再分的原子组成的。但是, 1897 年, 汤姆生 (J. J. Thompson) 发现带有负电荷的电子比当时认为最轻的原子

的质量还要小得多，于是，人们不得不重新建立有关物质的基本组成元素的新概念。如今我们所用的原子结构模型图就是卢瑟福（Ernest Rutherford）在1911年建立的。他证明，原子的主要质量集中于带正电荷的密实的原子核中，原子核周围环绕着带负电荷的电子云。后来，1913年，波尔（Niels Bohr）提出了原子的行星理论，认为原子核周围环绕着许多质量非常小的沿轨道运行的电子。

根据这种基本原子结构理论，卢瑟福最先指出放射性辐射就是原子的自发衰变。这一基本思想受到广泛认同。卢瑟福于1908年荣获了诺贝尔化学奖，放射性物质的神秘面纱也自此开始被揭开。通过观察放射性辐射在磁场中的行为，居里夫妇发现放射性物质可以发出3种不同的射线，即卢瑟福命名的 $\alpha$ 射线、 $\beta$ 射线和 $\gamma$ 射线。现在我们已经知道： $\alpha$ 粒子就是带正电的氦原子核； $\beta$ 粒子是带负电的电子；而 $\gamma$ 射线则是既没有质量也不带电荷的纯粹电磁辐射。

### 15.2.2 基本粒子

到了20世纪30年代，人们已经清楚地认识到电子、质子和中子是构成原子的3种基本粒子。图15.3显示了这些粒子在原子中的分布情况。每个原子包含的粒子有：

- 1) 一个或多个电子，每个电子的质量约为  $9.1 \times 10^{-31} \text{ kg}$ ，并带有  $1.6 \times 10^{-19} \text{ C}$  的负电荷；
- 2) 至少一个带正电的质子，质量为  $1.6 \times 10^{-27} \text{ kg}$ ，约为电子质量的1800倍；
- 3) 可能有中子，中子的质量与质子相同，但不带电荷。

原子核中包含质子和中子，两者统称为核子。元素原子核所包含的核子总数称为原子量，也就是原子的质量数，用符号  $A$  表示。而单独质子数则称为原子序数，用符号  $Z$  表示。质量数相同的不同原子称为同量异位素（isobar），例如，碳-12与硼-12。而中子数相同的不同原子则称为同中子异位素（isotone）。

在自然界，质子和中子可以有各种不同的组合。以氢、氘、氚这3种氢原子的同位素为例。氢的原子核只含有一个质子；重氢（即氘）的原子核由一个质子和一个中子组成；氚的原子核则包含一个质子和两个中子。另外，由2个质子和2个中子组成的稳定粒子（即 $\alpha$ 粒子）是自然界存在的氦原子的原子核。放射性物质发射的 $\alpha$ 射线就是这种粒子流组成的。

3种氢原子的原子核含有相同数目的质子，即它们的原子序数  $Z$  相同，但中子数目不同，也就是具有不同的原子量  $A$ 。具备这种性质的原子互称为同位素，“同位素”一词来源于希腊语，意思是“位置相同”。同位素泛指任何原子，尤其是具有放射性的原子。不过，现在人们喜欢用核素这个名称来表示质子和中子的特定组合。于是，同位素

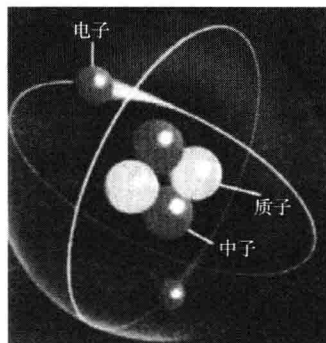


图 15.3 原子结构示意图

（摘自网址：[http://www.eskom.co.za/nuclear\\_energy/fuel/atom.jpg](http://www.eskom.co.za/nuclear_energy/fuel/atom.jpg)）

就是具有相同原子序数的核素。所有原子序数  $Z$  大于 83 或者原子量  $A$  大于 209 的元素都具有放射性, 也就是, 它们会自发衰变成其他元素, 而衰变期间就会发射活性粒子。

原子有好几种符号表示法, 阅读这方面的文献资料时, 首先要熟悉这些符号表示法。美国的表示法是在化学元素符号的前面写上原子序数作为下标, 并在后面写上原子量作为上标, 如  ${}_{53}\text{I}^{131}$ 。由于化学元素符号本身其实已经包含了原子序数的信息, 因此, 人们就常简写为  $\text{I}^{131}$ 。欧洲的表示法则习惯于将原子量作为上标写在元素符号的前面, 如  ${}^{131}\text{I}$ 。为了统一各种表示法, 1964 年推出了国际标准, 将原子量作为上标写在化学元素符号之前, 即  ${}^{131}\text{I}$ 。如果不用上标, 那么, 就用“钴 60”之类的语言来表示。例如, 氦原子的简写就是  ${}^4\text{He}$ , 其中 4 表示原子量, 是原子核中质子数与中子数之和。

由于单个原子核的质量非常小, 如果用质量单位  $\text{g}$  来描述, 就要用很大的负指数值。于是, 人们专门定义了原子质量单位 (atomic mass units, amu) 来表示原子的质量, 并用符号  $u$  表示。也就是, 将碳-12 (即  ${}^{12}_6\text{C}$ ) 作为参考原子, 把它的质量定为  $12u$ , 每个  $u$  所代表的质量就等于碳-12 原子质量的  $1/12$ 。这样, 用  $u$  这个单位就可以衡量其他原子的质量。最轻的氢原子同位素的质量约为  $1u$ 。

元素的原子量以克为单位称为克原子量 (gram-atomic mass)。物质的克原子量也称为摩尔质量, 即克当量。克原子量的大小正比于单个原子的实际质量, 任何 1 摩尔物质都包含一定数目的原子, 1 克原子量物质中所包含的原子数是  $6.023 \times 10^{23}$ , 这就是阿伏伽德罗 (Avogadro) 常数  $N_A$ 。

这样, 以克为单位的任意一种原子的质量就等于其元素的克原子量除以阿伏伽德罗常数。例如, 碳-12 原子的质量等于克原子量  $12\text{g}$  除以  $N_A$ , 即

$${}^{12}\text{C} \text{ 的质量} = \frac{12\text{g}}{6.023 \times 10^{23}} = 1.99 \times 10^{-23}\text{g}$$

由于碳-12 原子的质量等于  $12u$ , 因此,  $1u$  的质量就等于碳-12 原子质量的  $1/12$ , 即

$$1u = \frac{1.99 \times 10^{-23}\text{g}/{}^{12}\text{C} \text{ 原子}}{12u/{}^{12}\text{C} \text{ 原子}} = 1.66 \times 10^{-24}\text{g}$$

与粒子具有质量一样, 电子的电荷也是物质的基本性质。由于电子电荷是可能存在的最小电量, 因此, 通常将其表示为单位负电荷, 即  $-1$ 。如果用国际单位制 (即米、千米、秒) 来表示单位电荷, 那么, 其值为  $1.6 \times 10^{-19}\text{C}$ 。这样, 其他原子中所含粒子的带电量就都是这个值的整数倍。任何粒子所带的电量都不可能等于 2.5 倍电子电荷之类的值。

### 15.2.3 原子结构与辐射

如前所述, 根据波尔所提出的模型, 原子结构类似于行星系统, 其中的电子在环绕原子核的离散轨道 (即电子壳层) 上旋转运行, 电子轨道的半径由主量子数  $n$  决定,  $n=1, 2, 3\cdots$ , 是一些整数值。对应于各个不同的  $n$  值, 从小到大各个轨道依次冠以 K、L、M 和 N 等名称, 并沿用至今。1925 年, 泡利 (Wolfgang Pauli) 根据量子力学原



理修正了波尔的原子结构模型。泡利的模型能够解释许多现象，也可以计算电子在不同轨道壳层上的结合能。他还发现原子中的单个电子可以用如下4个量子数来描述：（1）主量子数  $n$ ，它是一个整数且为标量；（2）角量子数  $l$ ，它是一个向量，取值为0到  $n-1$  之间的整数；（3）磁量子数  $m_l$ ，取值为  $-l$  至  $+l$  之间的整数；（4）自旋量子数  $m_s$ ，取值为  $\pm 1/2$ 。根据泡利不相容原理，一个原子中的任意两个电子都不可能具有一组完全相同的量子数  $n$ 、 $l$ 、 $m_l$  和  $m_s$ 。

对于呈电中性的原子，所有原子的轨道电子总数刚好等于原子核所带的正电荷数目。原子的化学性质由轨道电子决定，这些电子的活动形成了分子之间的键合、各种光谱、荧光和磷光发射等。另一方面，处于内层轨道上的电子受到的约束力较大，只有在辐射等相当大的能量作用下才能够离开轨道。

将电子驱出轨道所需的能量必须等于电子所处轨道层的结合能，处于最内层轨道上的电子结合能最大。如果将电子从内层轨道转移到外层轨道，那么所需的能量就等于两个轨道层的结合能之差。这个能量差的大小是化学元素具有的一种自然特性。当外层轨道的电子跃迁到内层时，如果原子将这种特征能量差以光子的形式释放出来，那么，就产生了X射线辐射；如果原子不发射光子，而是将能量转移给其他轨道上的电子，那么，接收能量的电子就会被驱出所处的轨道，这种电子被称为 Auger 电子。电子跃迁产生X射线的几率被称为物质的荧光产率（fluorescent yield）。

质子与中子之间（即核子之间）受到一种短程束缚力的作用，称为核力，它比质子之间的电磁排斥力要大得多。与电子轨道相似，核子的运动通常也用壳层模型来描述。不过，核子的运动形式很有限，它们由一组核量子数来定义。最稳定的核子分布形式称为基态，另外还有亚稳态和激发态这两种广泛存在的分布形式。其中，亚稳态下，核子处于一种不稳定状态，不过，在转变成其他状态之前，具有相对较长的寿命；激发态下，核子非常不稳定，瞬间就会转变成其他状态。因此，核子具有稳态和非稳态两种能级。具有相同原子序数  $Z$  和原子量  $A$  但能级不同的原子核被称为同质异能素（isomer）。非稳态核子最终总是要通过吸收或者释放能量（以光子或者粒子的形式）转变到稳定的基态，这个转变过程称为放射性衰变。如前所述，自然界存在的原子序数  $Z$  大于83的重元素都是不稳定的。

在判断核子的稳定性时需要计算核子的结合能。结合能反映了克服核力从而分离核子所需的最小能量，它可以通过基本质能公式  $E = mc^2$  来计算，其中  $E$  为能量， $m$  为质量， $c$  为光速。我们常用电子伏特 eV 这个能量单位来表示各种质量，其根据就是该质能理论。原子质量往往小于其所包含的质子、中子和电子各个组分的质量之和。这个明显的质量损失  $\Delta m$  通常称为原子的质量亏损，它是由核子的结合能引起的，等价于能量变化  $\Delta mc^2$ 。例如，如前所述，中性碳-12原子的质量等于12.0u。但是，碳-12原子各个组成成分的质量之和却等于12.10223u。两个质量之差0.10223u就等价于核子的总结合能95.23MeV，再除以原子量  $A = 12$ ，就得到每个核子的结合能7.936MeV。对于原子量大于11的原子核，每个核子的结合能在7.4~8.8MeV范围之内。根据质能公式，质量为  $1.6605655 \times 10^{-24}$ g 的1个原子质量单位（即1u）的质量等价于931.502MeV能量。

Large Hadron Collider 于 2009 年 11 月在日内瓦城创建的质子加速度世界纪录所代表的能量水平为  $1.18 \times 10^{12} \text{ eV}$ 。另外,原子中电子的质量很小,每个只相当于  $0.511 \text{ MeV}$  能量。

### 例 15.1

请证明 1 个原子质量单位 (即  $1\text{u}$ ) 释放的能量约等于  $931 \text{ MeV}$ 。

解:

应用爱因斯坦质能转换公式:

$$E = mc^2$$

式中  $m$ ——质量,单位为  $\text{g}$ ;

$c$ ——光速,单位为  $\text{cm/s}$ ;

$E$ ——能量。

因此,1 个原子质量单位的等价能量为

$$E = (1.66 \times 10^{-24} \text{ g}) (3 \times 10^{10} \text{ cm/s})^2$$

$$E = 1.49 \times 10^{-3} \text{ g} \cdot \text{cm}^2/\text{s}^2$$

在物理学中,单位  $\text{g} \cdot \text{cm}^2/\text{s}^2$  用  $\text{erg}^\ominus$  表示,即

$$E = 1.49 \times 10^{-3} \text{ erg}$$

另一个常用能量单位是电子伏特  $\text{eV}$ 。 $1 \text{ eV}$  等于 1 个电子在  $1 \text{ V}$  电压差形成的电场中被加速时所获得的动能大小。电压差  $V$  作用于电荷  $e$  上时所做的功为  $Ve$ ,且 1 个电子所带的电荷等于  $1.6 \times 10^{-19} \text{ C}$ ,因此,1 电子伏特的能量即为

$$1 \text{ eV} = 1.6 \times 10^{-19} \text{ C} \times 1 \text{ V} = 1.6 \times 10^{-19} \text{ J}$$

也就是

$$1 \text{ eV} = 1.6 \times 10^{-12} \text{ ergs}$$

由于电子伏特  $\text{eV}$  是一个很小的能量单位,因此,常用  $\text{keV}$  和  $\text{MeV}$  这两个单位,即

$$1 \text{ keV} = 1000 \text{ eV}$$

$$1 \text{ MeV} = 1000000 \text{ eV}$$

至此,我们就可以用  $\text{MeV}$  来表示原子质量单位了,即

$$1 \text{ u} = 1.49 \times 10^{-3} \text{ ergs}$$

且

$$1 \text{ MeV} = 1.6 \times 10^{-6} \text{ ergs}$$

因此

$$1 \text{ u} = 931 \text{ MeV}$$

可见,如果将  $1 \text{ u}$  质量全部转化成能量,其大小约为  $931 \text{ MeV}$ 。 $1 \text{ MeV}$  的能量只能将  $1 \text{ mg}$  重的物体举起  $10^{-6} \text{ cm}$ ,由此可以体会其大小。■

非稳态核子常称为放射性核素,在经过一定的寿命期之后,最终它会通过发射电离辐射回到稳定状态,其寿命遵循某个特定的概率分布。一般,放射性核素有天然和人造两种。天然放射性核素能够自发产生辐射,无需外界提供能源;而人造放射性核素是用高能粒子轰击处于稳态的核子产生的。这两种放射性核素在发射扫描检测和核医学中

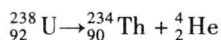
⊖  $1 \text{ erg} = 10^{-7} \text{ J}$ 。——译者注

都发挥着重要的作用。放射性核素的基本特性有: 平均寿命 (即半衰期)、衰变模式、发射特性 (即电离辐射的类型和能量) 等。

无论是天然的还是人造的, 任何放射性物质都按照几种相同的模式衰变, 也就是, 发射  $\alpha$ 、 $\beta$ 、 $\gamma$  等射线。此处所说的  $\alpha$  和  $\beta$  射线都是由母元素分裂成子元素时产生的。放射性核素从非稳态转变到稳态时所经历的衰变模式可以分成如下 6 种:  $\alpha$  衰变 (即  $\alpha$  辐射);  $\beta^-$  衰变 (即  $\beta$  负电子衰变);  $\beta^+$  衰变 (即  $\beta$  正电子衰变); 电子俘获 (Electron Capture, EC); 同质异能跃迁 (Isomeric Transition, IT); 裂变。下面分别介绍这些衰变模式。

### 1. $\alpha$ 衰变

$\alpha$  粒子就是高速运动的电离的氦原子核  ${}^4_2\text{He}$ 。因此, 原子核每释放 1 个  $\alpha$  粒子, 就要损失 2 个质子和 2 个中子, 从而使其  $Z$  值减 2, 而  $A$  值减 4。很多天然重元素具有这种衰变。例如, 母原子核  ${}^{238}_{92}\text{U}$  (铀元素) 发射 1 个  $\alpha$  粒子之后, 就变成子原子核  ${}^{234}_{90}\text{Th}$ , 它是钍元素。此衰变过程可以表示为



注意: (1) 根据电荷守恒定律, 此反应式左边和右边的原子序数 (即质子数) 必须相同, 也就是  $92 = 90 + 2$ ; (2) 反应式左边和右边的原子量 (即质子数加中子数) 必须相同, 也就是  $238 = 234 + 4$ 。

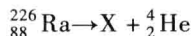
$\alpha$  衰变之类的某种元素转变成另一种元素的过程称为蜕变。要产生  $\alpha$  辐射, 母原子的质量必须大于子原子与  $\alpha$  粒子的质量之和。在衰变过程中, 多余的质量转变成能量, 并表现为子原子核和  $\alpha$  粒子的动能。由于  $\alpha$  粒子的质量远小于子原子核, 而衰变过程中动量必须守恒, 较轻的  $\alpha$  粒子反冲的速度要比子原子核大得多, 因此, 大部分动能都被  $\alpha$  粒子带走。通常, 核衰变过程中总是质量小的粒子带走大部分能量。

#### 例 15.2

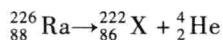
请说明镭元素  ${}^{226}_{88}\text{Ra}$  发生  $\alpha$  衰变时会产生哪种子元素。

解:

此衰变过程可以写为



其中 X 就是未知的子元素。由反应式两边原子量和原子序数相等可以求得, 子原子核的原子量应该为 222, 原子序数应该为 86, 因此



查元素周期表可知, 原子序数为 86 的元素就是氡 Rn。 ■

#### 例 15.3

以上例 15.2 说明了镭元素  ${}^{226}_{88}\text{Ra}$  经过  $\alpha$  衰变转变成氡元素  ${}^{222}_{86}\text{Rn}$  的过程, 请计算此过程释放的能量。已知  ${}^{226}_{88}\text{Ra}$  的质量为  $226.025406\text{u}$ ,  ${}^{222}_{86}\text{Rn}$  的质量为  $222.017574\text{u}$ ,  ${}^4_2\text{He}$  的质量为  $4.002603\text{u}$ 。

解:

衰变之后, 子原子核的质量  $m_d$  与  $\alpha$  粒子的质量  $m_\alpha$  之和为

$$m_d + m_\alpha = 222.017574\text{u} + 4.002603\text{u} = 226.020177\text{u}$$

将母原子核的质量记为  $M_p$ ，则衰变过程的质量损失为

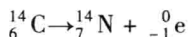
$$\Delta m = M_p - (m_d + m_\alpha) = 226.025406\text{u} - 226.020177\text{u} = 0.005229\text{u}$$

利用关系式  $1\text{u} = 931.50\text{MeV}$ ，就可以求得所释放的能量为

$$E = 0.005229\text{u} \times 931.50\text{MeV/u} = 4.87\text{MeV}$$

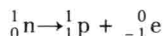
## 2. $\beta^-$ 衰变与 $\gamma$ 射线发射

放射性核素发生  $\beta$  衰变时，子原子核的核子数与母原子核相同，而原子序数  $Z$  却增 1。如下是一个典型的  $\beta$  衰变



这里，碳元素和氮元素符号的上标和下标与前述规则一致，但是，电子符号的上、下标需要解释一下。 $-1$  表示电子所带的电荷大小与质子所带电荷相等，而极性为负。 $0$  则作为电子的质量数，表示电子的质量与碳和氮的原子核相比，几乎为零。

通常认为原子核中只含有质子和中子，那么，它怎么会发射电子呢？这似乎很奇怪。其实是由于原子核的中子转变成质子的过程中产生了电子。此过程可以表示如下



### 例 15.4

请计算  ${}^{14}_6\text{C}$  经过  $\beta$  衰变转变成  ${}^{14}_7\text{N}$  时所释放的能量。

解：

${}^{14}_6\text{C}$  的质量为  $14.003242\text{u}$ ， ${}^{14}_7\text{N}$  的质量为  $14.003074\text{u}$ ，因此，衰变前后的质量差为

$$\Delta m = 14.003242\text{u} - 14.003074\text{u} = 0.000168\text{u}$$

与其相对应的能量为

$$E = 0.000168\text{u} \times 931.50\text{MeV/u} = 0.156\text{MeV}$$

实际上，只有少数电子可以达到这么大的动能。 $\beta$  衰变时发射的多数电子的动能都小于这个计算值。那么，如果子原子核和电子没有带走所释放的全部能量，奇怪的是，这些丢失的能量到哪里去了呢？能量必须守恒呀！

泡利于 1930 年指出，为了保持能量守恒，肯定存在第三种粒子，带走了“丢失”的能量。后来，费米 (Enrico Fermi) 把这种粒子命名为微中子，因为它必须呈电中性，且几乎没有静止质量。隐藏多年之后，微中子终于在 1950 年被检测到了。微中子用符号  $\nu$  表示，它具有如下特性：

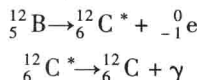
- 1) 不带电荷；
- 2) 静止质量比电子还要小；
- 3) 与物质之间的相互作用非常微弱，很难检测到。

磷 32 是一种典型的纯  $\beta^-$  发射物质，即  ${}^{32}\text{P}$  转变为  ${}^{32}\text{S}$ ，它已被用于临床治疗。

核素在放射衰变过程中经常会逗留在激发态能级上，然后，产生二次衰变，释放一个或多个光子，降到较低的能级状态。这种过程与原子发光很相似。当原子中的电子从高能态“跃迁”到低能态时，原子就会产生辐射，释放多余的能量。同样，原子核也

就是通过类似的方式来释放衰变等核事件之后产生的多余能量。不同的是,在原子核去激发过程中,释放能量的“跃迁”发生于质子或中子上,是质子或中子从高能态移到低能态。这种去激发过程所发出的光子称为 $\gamma$ 射线,它的能量比可见光大得多。一般经历 $\beta^-$ 衰变的放射性核素几乎都同时发射 $\gamma$ 射线。例如,碘131会经历数次 $\beta^-$ 衰变并同时发射 $\gamma$ 射线。

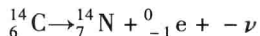
如下反应式表示了一个典型的包含 $\gamma$ 射线发射的核衰变过程



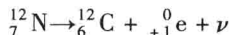
第一个反应式表示 ${}^{12}\text{B}$ 转变为 ${}^{12}\text{C}^*$ 的 $\beta^-$ 衰变,其中星号用于表示碳-12原子核处于激发态。然后,这种激发态的碳原子核通过发射 $\gamma$ 射线到达基态。注意, $\gamma$ 射线发射不会改变元素的 $Z$ 值和 $A$ 值。

### 3. $\beta^+$ 衰变与 $\gamma$ 射线发射

引入微中子之后, $\beta^-$ 衰变过程就可以写成如下形式:



“ $-\nu$ ”前面的短横表示这是反微中子,即与微中子对应的反粒子。为了解释什么是反微中子,我们来看如下衰变过程



可见,当 ${}^{12}\text{N}$ 衰变成 ${}^{12}\text{C}$ 时,所产生的粒子与电子一样,只是带正电荷 $+e$ 。这种粒子称为正电子。除了电荷的极性以外,正电子的其他方面都与电子相同,这种正电子就称为电子的反粒子。

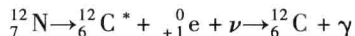
注意, $\beta^+$ 衰变的正电子产生于原子核,如同1个质子变成了1个中子加1个正电子一样。正电子衰变产生一种新元素,其 $Z$ 值增1,而 $A$ 值不变。例如,碳-11衰变为更稳定的同位素硼,即 ${}^{11}\text{C}$ 变成 ${}^{11}\text{B}$ 。与负电子一样,正电子也与微中子分享能量。正电子衰变也伴随着 $\gamma$ 射线的发射。但是,正电子一旦发射,常常会在1ns时间之内就迅速与电子碰撞而湮灭,并产生一对动量为0.511MeV的反方向运动的光子。因此,正电子衰变所需的最小能量为1.022MeV。

#### 例 15.5

${}^{12}\text{N}$ 经过 $\beta^-$ 衰变成为 ${}^{12}\text{C}$ 激发态,而后再衰变到基态,同时发射能量为4.43MeV的 $\gamma$ 射线。请问在此过程中所发射的 $\beta^-$ 粒子的最大动能是多少?

解:

此 $\beta^-$ 衰变过程可以描述为



由能量守恒定律可知,核素 $X$ 通过发射1个或多个粒子(用 $x$ 表示)衰变为较轻的核素 $X^1$ 时, $X$ 的质量总是大于 $X^1$ 与 $x$ 的质量之和,剩余的质量称为衰变的 $Q$ 值。本例题的 $Q$ 值可以表示为

$$Q = [m({}_{-1}^0\text{e}) - m({}_6^{12}\text{C}^*) - 2m_e]c^2$$

为了求得该衰变过程的  $Q$  值, 首先要计算处于激发态的  $^{12}\text{C}$  的质量。由于基态  $^{12}\text{C}$  的质量为  $12.000000\text{u}$ , 因此, 其激发态的质量为

$$12.000000\text{u} + \frac{4.43\text{MeV}}{931.5\text{MeV/u}} = 12.004756\text{u}$$

于是  $Q = [12.018613\text{u} - 12.004756\text{u} - 2 \times 0.000549\text{u}] \times 931.5\text{MeV/u} = 11.89\text{MeV}$

这就是发射的  $\beta$  粒子可能具有的最大动能。 ■

#### 4. 电子俘获 (即 K 俘获)

通常, 在内层轨道 (即最接近原子核的 K 轨道) 上运行的电子可以被原子核俘获, 就像质子俘获电子转变成中子一样。电子俘获 (electron capture, EC) 过程产生一种新元素, 其原子序数  $Z$  减 1, 而原子量  $A$  不变, 类似于  $\beta^+$  衰变。其实, 某些放射性核素同时具有一定的正电子衰变几率和电子俘获几率。例如, 铁 52 衰变时, 电子俘获的几率约为 42%,  $\beta^+$  发射的几率约为 58%。并且, 电子俘获过程可能伴随  $\gamma$  放射。例如, 铬 51 ( $^{51}\text{Cr}$ ) 转变为钒 51 ( $^{51}\text{V}$ ) 时, 有 90% 直接进入基态, 剩余的 10% 则先到达  $^{51}\text{V}$  的激发态, 然后再通过发射光子进入基态。电子俘获造成的内层轨道空缺也会引起 X 射线发射或者 Auger 电子辐射。电子俘获过程不存在高能电子 (即  $\beta$  粒子), 因此, 生物组织的辐射吸收较小。

#### 5. 同质异能跃迁与内转换

处于亚稳态的放射性核素只发射  $\gamma$  射线, 其元素的原子量  $A$  保持不变, 是一种同质异能转变, 其异构体的原子量记为  $A_m$ 。例如, 锝 99m (即  $^{99m}\text{Tc}$ ) 衰变成  $^{99}\text{Tc}$  等。不过, 除了发射光子之外, 核素的能量还会以一定的概率转移到内层轨道电子上, 这就是所谓的内转换 (Internal Conversion)。内转换电子几乎都是单能  $\beta$  粒子。例如, 钽 135m 具有同质异能衰变, 发射内转换电子的几率约为 84%, 同时在内层轨道上产生电子空缺, 导致 X 射线或者 Auger 电子辐射。

#### 6. 原子核裂变

通常, 重核可以裂变成 2 个新核, 它们是质量相当的碎块。这种裂变可以自发产生, 但多数由中子轰击产生。例如, 铀裂变产生的碎片的原子序数大部分在 42 与 56 之间。氙 133 等很多医用放射性核素都是核裂变的产物, 经过适当的放射化学处理, 就可以将这些裂变产物提取出来。

### 15.2.4 放射性衰变

原子核经过分裂转变成另一种原子核的现象称为放射性衰变, 它是所有放射性物质的一种特性。放射性物质的衰变速率是个常数, 它不受温度、压力等变化以及化学反应的影响。此外, 衰变过程是一个随机事件, 放射性元素中的每个原子都具有相同的衰变概率。

随着衰变过程的进行, 显然, 能够分裂的原子核数目会越来越减少。剩余原子核中单位时间内衰变的原子数目称为衰变常数  $\lambda$ 。

放射性物质最常用的特性之一是半衰期 (half-life)  $T_{1/2}$ 。这是因为所有放射性物质都遵循同样的衰变模式, 经过一定的时间间隔之后, 原来物质中的一半核素发生衰变,

然后再经过相同长度的时间间隔, 剩余核素中的一半又衰变了, 依此类推。

半衰期就是给定放射性物质中一半数目放射性核素衰变所需要的时间。半衰期与衰变常数相关, 衰变常数越大, 衰变速率就越快, 半衰期也就越短。衰变过程中, 衰变常数恒定不变。虽然各种放射性核素的分裂过程具有不同的衰变常数  $\lambda$  和半衰期  $T_{1/2}$ , 但所有原子核的衰变方式都相同, 只是速率不同而已。衰变速率由放射性元素的特性决定。

假设某种放射性核素在  $t$  时刻的原子数目为  $N$ , 则衰变速率定义为  $-dN/dt$  (负号表示减少), 它与原子数目成正比, 即

$$dN/dt = \lambda N \quad (15.1)$$

式中  $\lambda$ ——衰变常数。

假设  $t = t_0$  时的初始原子数目为  $N_0$ , 将上式求积分可得

$$N = N_0 e^{-\lambda t} \quad (15.2)$$

式中  $N$ —— $t$  时刻放射性核素的原子数目;

$e$ ——自然对数的基数, 即  $e = 2.718$ 。

居里 Ci 是放射性活度的单位, 其定义为

$$1 \text{ Ci} \equiv 3.7 \times 10^{10} \text{ 核衰变/s}$$

它表示每秒核衰变数, 约为 1g 镭的衰变活度, 它是老的活度单位。如今新规定的放射性活度单位是国际单位制的贝可勒尔, 记为 Bq, 即

$$1 \text{ Bq} = 1 \text{ 核衰变/s}$$

因此,  $1 \text{ Ci} = 3.7 \times 10^{10} \text{ Bq}$ 。最常用的活度单位是毫居里 (即  $10^{-3} \text{ Ci}$ ) 和微居里 (即  $10^{-6} \text{ Ci}$ )。

半衰期  $T_{1/2}$  是 50% 放射性核素衰变所需要的时间, 因此, 令式 (15.2) 中的  $N = N_0/2$ , 就可以求得  $T_{1/2}$ , 即

$$N = N_0 e^{-\lambda t}$$

所以

$$T_{1/2} = \ln 2 / \lambda = 0.693 / \lambda$$

### 例 15.6

请推导半衰期  $T_{1/2}$  的计算公式。

解:

由  $N = N_0 e^{-\lambda t}$  可知, 经过半衰期  $T_{1/2}$  的时间间隔之后, 剩余的放射性核素数目为  $N = N_0/2$ , 因此

$$N_0/2 = N_0 e^{-\lambda T_{1/2}}$$

此式两边同除以  $N_0$ , 可得

$$1/2 = e^{-\lambda T_{1/2}}$$

然后, 两边同取自然对数, 由于  $\ln e = 1$ , 可得

$$\ln 1/2 = -\lambda T_{1/2}$$

$\ln 1/2 = -0.693$ , 于是

$$-0.693 = -\lambda T_{1/2}$$

$$T_{1/2} = 0.693 / \lambda$$

假设  $t=0$  时刻放射性核素的数目为  $N_0$ , 那么, 经过第一个半衰期之后, 剩余核素的数目为  $N_0/2$ ; 再经过第二个半衰期之后, 核素的数目又减少一半, 成为  $N_0/4$ ; 依此类推。各种不同物质的放射性半衰期的变化范围非常大, 为  $10^{-22}\text{s} \sim 10^{21}\text{年}$ 。■

### 例 15.7

放射性核素  $^{286}\text{Ra}$  的半衰期为  $1.6 \times 10^3$  年。如果某个样品含有  $3 \times 10^{16}$  个这种核素, 请计算其放射性活度。

解:

首先计算衰变常数  $\lambda$ 。由于

$$T_{1/2} = 1.6 \times 10^3 \text{ 年} = (1.6 \times 10^3 \text{ 年}) \times (3.15 \times 10^7 \text{ s/年}) = 5.0 \times 10^{10} \text{ s}$$

因此

$$\lambda = \frac{0.693}{T_{1/2}} = \frac{0.693}{5.0 \times 10^{10} \text{ s}} = 1.4 \times 10^{-11} \text{ s}^{-1}$$

$t=0$  时刻样品的放射性活度, 即衰变速率  $R_0$ , 就可以用导数  $-dN/dt = N_0\lambda$  求得, 其中  $N_0$  为  $t=0$  时刻放射性核素的数目。本题中  $N_0 = 3 \times 10^{16}$ , 于是

$$R_0 = N_0\lambda = (1.4 \times 10^{-11} \text{ s}^{-1})(3 \times 10^{16}) = 4.2 \times 10^5 \text{ 核衰变/s}$$

由于  $1\text{Ci} = 3.7 \times 10^{10}$  核衰变/s, 因此, 样品的放射性活度 (即衰变速率) 就是

$$R_0 = 11.3 \mu\text{Ci}$$

核医学的发展与放射性核素产品的开发密切相关, 而放射性核素的选择主要取决于它与医学诊断和治疗相关的物理特性, 以及是否可以将其结合到适用于生物医学研究的化合物中。

放射性药物是含有放射性核素标记的特殊化合物, 它可以是简单的无机盐, 也可以是复杂的有机分子。众所周知, 化学元素的性质反映了它可能产生的生物学效应, 周期表中位于同一组的几个化学元素都具有相似的生物学效应。例如, 铟 85 已被用于标记骨骼中钙离子的代谢过程。表 15.1 归纳了目前常用于核医学的一些重要放射性核素。

表 15.1 核医学中常用的放射性核素

放射性核素	半衰期	衰变	产生方式	化学形态
碳-11	20.38 min	$\beta^+$	回旋加速器	C11-L-甲基-蛋氨酸
氟-18	109.77 min	$\beta^+$	回旋加速器	氟代脱氧葡萄糖
磷-31	14.29 天	$\beta^-$	反应堆	磷酸盐
铬-51	27.704 天	EC	反应堆	铬酸钠
钴-57	270.9 天	EC	回旋加速器	维生素 B <sub>12</sub>
镓-67	78.26 h	EC	回旋加速器	柠檬酸化合物
钼-99	66.0 h	$\beta^-$	反应堆	钼酸盐
锝-99m	6.02 h	IT	发生器	TcO <sub>4</sub> 及其化合物
铟-111	2.83 天	EC	回旋加速器	二乙烯三胺五乙酸 (DTPA)
碘-123	13.2 h	EC	回旋加速器	碘化物
碘-123	60.14 天	EC	反应堆	蛋白质
碘-131	8.04 天	$\beta^-$	反应堆	碘化物
氙-133	5.245 天	$\beta^-$	反应堆	气体
铊-201	3.044 天	EC	回旋加速器	氯化铊



### 15.2.5 辐射量及其单位

至此大家已经清楚,所有放射性物质都会衰变,并在衰变过程中发出 $\alpha$ 、 $\beta$ 、 $\gamma$ 等各种辐射,这些不同的辐射通常混合在一起,很难单独检测。物质的放射性通常有如下3种测量方法:(1)计数放射性物质在1s时间内的衰变数目;(2)检测放射性辐射引起的带正电荷或负电荷的原子(或离子)的产生效率;(3)测量辐射穿过某种物体时物体所吸收的能量。这3种基本测量原理分别对应应有3种不同的辐射计量单位,即居里Ci、伦琴R和辐射吸收剂量rad。

必须记住,Ci定义的是单位时间内的衰变数目,而不是 $\alpha$ 、 $\beta$ 、 $\gamma$ 等辐射类型,它只衡量放射源的活度。而R和rad则是反映辐射对于受照射物体的作用的计量单位。因此,Ci定义辐射源,而R和rad则定义辐射源对物体的作用。X射线和 $\gamma$ 射线的主要作用之一是使原子产生电离,也就是使原子变成带正电荷和负电荷的离子对。伦琴R的数值是指标准条件下(即温度为0℃且气压为760mm Hg<sup>⊙</sup>)1cm<sup>3</sup>空气受到X射线(或 $\gamma$ 射线)辐照所产生的离子对总数。由于离子对都带电荷,因此,可以通过测量相关的电效应来测定辐射。1R定义为能够使1kg空气电离产生 $2.58 \times 10^{-4}$ C电量的离子对的X射线(或 $\gamma$ 射线)剂量。可见,伦琴R是辐射剂量的单位,不是辐射强度的单位。辐射吸收剂量rad是指受照射物体所吸收的总能量。1rad等于能够使1kg受照射物质吸收0.01J能量的辐射量,这里,“J”就是国际单位制的能量单位焦耳。

核医学应用中人体组织可能受到各种不同放射性物质的辐射照射,相同的吸收剂量未必产生同样程度的生物效应,为了便于比较,常用人体伦琴当量雷姆(roentgen equivalent man, rem)这个单位来表示辐射的生物效应大小,它是一个反映生物组织所受到的一种或数种电离辐射的生物学剂量单位。

上述这些辐射量的单位都是核医学各种测量的常用单位。例如,伦琴R(较常用的是毫伦琴mr)是一般环境辐射测量仪的读数单位。rad则被用于描述注射了放射药物的人体脏器所受到的曝光剂量。雷姆rem用于表示胶片式辐射计量器等体检仪器的曝光剂量。

在美国核医学医用内照射剂量委员会(Medical Internal Radiation Dose, MIRD)的不断努力下,传统辐射剂量测定法正在被现代化的测定方法逐步取代。如今国际公认的生物组织辐射剂量单位是格雷Gy,1Gy相当于能够使1kg组织吸收1J能量的辐射量。如前所述,辐射吸收剂量过去曾经用rad表示。1rad的能量相当于100ergs/g,即0.01J/kg,等于0.01Gy。因此,1rad/mCi等于0.27027mGy/MBq,即1mGy/MBq等于3.7rad/mCi。不过,核医学中所用的辐射剂量测定法现在一般都用rad单位进行计算。

活体生物,特别是哺乳动物,在高剂量辐射的照射下,会被诱发生产病变,甚至会

⊙ 1mmHg = 133.322Pa。——译者注

死亡。这种特性已被用于恶性组织病变的治疗。治疗时,将高剂量辐射传送到人体的某个局部区域,用以破坏病变组织(见图15.4)。近年来,辐射已成为癌症的常用治疗措施。大约50%的癌症确诊病人都会接受辐射治疗。根据靶区部位的深度和大小,可以实施不同形式的辐射。不幸的是,辐射会同时破坏病变组织和健康组织;因此,即使低剂量的辐射对人体不产生明显的影响,但是,如果长期作用,就会增加诱发癌症的危险。如果人体的生殖器官受到辐射照射,那么,还会增加后代产生遗传缺陷的概率。因此,必须尽可能降低相关工作人员的辐射曝光剂量,并制定有关核医学应用的指导方针。

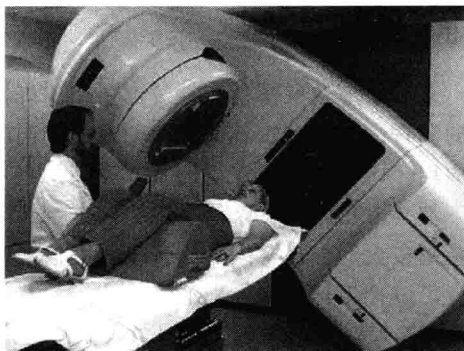


图15.4 患者接受辐射治疗(摘自网址:  
<http://malignant-mesothelioma-cancer.com/mesothelioma/wp-content/uploads/2008/02/radiation-therapy.jpg>.)

美国核管理委员会(Nuclear Regulatory Commission, NRC)已经实施了各种标准,普通公众每年最大的辐射曝光剂量不能超过0.5Sv(即rem),职业人员的全身最大曝光剂量不能超过每3个月1.25Sv,肢体最大曝光剂量不能超过每3个月18.75Sv。因此,对工作人员和工作场所的监测是保证辐射安全的重要措施之一。工作人员的常规检查通常使用胶片式辐射剂量仪或者指环剂量计。环境辐射物的检查以及辐射物的清除必须定期进行,并且在辐射污染事件发生时进行及时处理。常用的辐射屏蔽材料是铅,所需的厚度取决于 $\gamma$ 射线的能量。另外,放射性废物必须存放在具有良好屏蔽的指定地方,这些废物所需采取的处理方法与其特性和半衰期有关,但都必须将它们放在临时存储装置中,并且最终都要按照规定程序进行处理。

### 15.3 检测仪器和成像设备

由上述辐射测量可知,辐射能量只能通过间接测量辐射所产生的效应来检测,几种间接测量方法如下:

**摄影法:**在X射线等照射下使胶片曝光、变黑,从而检测辐射量。注意,X射线相当于 $\gamma$ 射线,在本章后面有关外源性辐射测量中将讲述X射线。

**电离法:**当射线穿过检测器探头中的气体时会使气体电离,产生离子对,检测器通过收集并计数这些离子对来检测辐射量。这种方法用于 $\alpha$ 射线的测量最有效,而对 $\gamma$ 射线的测量效果较差。

**冷光法:**冷光是指非灼热引起的发光。用穿透性较强的射线轰击某些物体时,物体会产生这类发光,通过检测这些闪光就可以计算出射线的强度。冷光法非常有用。下一节将讲述的闪烁探测器检测的就是电离辐射所引起的荧光效应。这种方法对 $\alpha$ 、 $\beta$ 、 $\gamma$ 这3种辐射都能很好地检测。

### 15.3.1 闪烁探测器

多数新型核医学检测系统都使用闪烁器探头。闪烁探测器几乎可以用于各种辐射射线的测量，只是对于不同的检测对象所用的闪烁器类型和结构有所不同。不过，无论何种应用，所有闪烁器探头的基本原理都是一样的。硫化锌和碘化钠等物体在电离辐射照射下都会发出闪光，因而被称为闪烁物。闪烁物发光的量与其所吸收的能量成正比，变化范围很大。如果将闪烁物置于光电倍增管等电子器件的感光表面上，那么，光电倍增管就可以把闪烁物所发出的光转化为一系列很小的电脉冲信号，这些脉冲的幅值正比于 $\gamma$ 射线等入射光的能量。经过放大处理之后，用户就可以从这些电脉冲信号中获得有关照射闪烁物的射线的信息，包括辐射量等性质。这种闪烁器可用于测定放射性核素在病人体内某个或某些器官组织中的含量和分布，用于医学诊断。

闪烁探测器的基本结构包括：1）由闪烁晶体、光电倍增管和前置放大器组成的检测部分；2）由线性放大器和单通道脉冲幅值分析器等组成的信号处理部分；3）由计数器、扫描仪和示波器等组成的数据显示部分。

当闪烁晶体检测到辐射事件时，光电倍增管电路就会产生电脉冲，但其产生的脉冲信号非常弱。为了避免噪声引起的信号严重失真，并且能够获得足够强的信号用于后续处理和显示，就要用放大器增加脉冲幅值，这就是线性放大器。

由于轰击闪烁晶体的各种不同 $\gamma$ 射线的能量变动范围很大，因此，闪烁检测器的线性放大器所接收到的电脉冲幅值的变化也很大。如果用户需要检测的是探头所接收到的各种辐射能量的总和，那么，只要用线性放大器就足够了。但是，如果用户只想检测其中某种特定放射性核素的活度，那么，就需要再加上一个脉冲幅值分析器。利用这个部件，用户就可以提取出与某种特定放射性核素相关的电脉冲信号，从总辐射能量中区分出某种辐射的能量。核医学实验室通常配备有各种单通道和多通道脉冲幅值分析器。

然后，这些测量数据必须显示出来，并且能够提供人体内部放射性活度及其所处位置的信息，这些信息对于各种人体脏器状态的诊断十分重要。医生既可以通过分析病人体内放射核素活度随时间的变化过程，来确定各种脏器的功能是否正常，也可以通过分析放射性核素的位置来显示脏器和异常组织的形态，这两方面的分析结果都很有价值。

闪烁器用于各种非成像检测时，一般需要对所产生的闪烁事件进行计数，且通过某种方式显示测量结果。因此，计数器是核医学中实现这种功能的最常见电子器件。计数器计数闪烁探头所产生的电脉冲，得到的计数值就代表了辐射能量的大小。计数器通常有两种工作方式，一种是预先设定计数时间，另一种是预先设定计数值。在预设时间的工作方式下，计数器在某个设定时间间隔内计数所发生的事件，时间一到，就自动停止计数，此时得到的计数值就是要测定的变量。在预设计数值的工作方式下，当计数器数到所设定的计数值时，自动停止计数，此时计数时间是要测定的变量。

两种变量的数值都可以通过计数器面板读出，也可以输入到其他部件，作进一步处理。例如，在预设时间的模式下，测量结果有如下几种显示方式：1）连续显示每秒、每分钟等单位时间内的计数值；2）用数字打印机连续输出随时间变化的计数值数

据列表；3) 直接输入计算机，保存计数值，并且在数据采集过程中进行各种实时计算处理，并将计算结果以放射衰变曲线的形式显示在监视器屏幕上。总之，闪烁器探头检测到辐射射线之后，再经过计数器的处理，就可以通过多种显示方式给用户具有临床价值的信息。

闪烁器探头输出的数据也可以用于成像。通常，成像设备从探测器电路中获得上述电脉冲输出信号，并将这些脉冲信号与体内各个放射源的原始空间位点对应起来。显然，这种成像方法存在失真，因为实际放射源是三维空间中的位点，而多数普通仪器只能显示二维图像，是三维信息在二维平面上的投影。不过，尽管存在这个明显的缺点，这种方法仍然表现出极大的临床应用价值。

最常用的稳态闪烁器检测系统就是  $\gamma$  照相机。这种装置可以连续拍摄辐射场的各个部分，操作很像照相机，能够快速成像。 $\gamma$  照相机最早出现于 20 世纪 50 年代末，由 Hal Anger 发明，它是核物理学、电子学、光学和数据处理等多个学科与临床医学结合的成果，其发展和应用不仅对于核医学而且对于整个临床诊断都具有深刻的影响。Anger 创立的  $\gamma$  照相机的基本原理已经成为特定生理过程成像技术的基础。

### 15.3.2 $\gamma$ 照相机

图 15.5 所示是  $\gamma$  照相机的基本工作原理。检测器探头放在需要扫描的人体脏器上方。 $\gamma$  射线不会弯曲，总是直线传播。为了将来自脏器特定位点上的辐射传送到检测器的相应位点上，同时将来自其他位点的无关辐射挡掉，使探头只获取沿某一投影线传过来的  $\gamma$  射线，闪烁晶体前面必须加上准直器。准直器用于吸收无关辐射，一般用重金属制作，上面有很多平行小孔。上面有很多平行小孔。

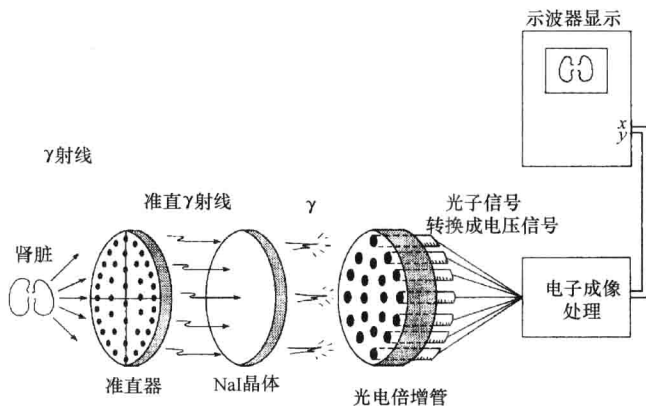


图 15.5  $\gamma$  照相机的基本工作原理

图 15.6a 所示就是一种多孔准直器，它是一块铅制平板，上面钻有许多小孔。可见，只有直接正对各个小孔发射的  $\gamma$  射线才能穿过准直器，并只照射到闪烁晶体表面的某个位点。远离准直器的位点（例如图中  $y$  区域）所发射的  $\gamma$  射线会投射到晶体表面

多个位点,使检测分辨率大大下降。这里,分辨率定义为检测器区分与准直器相距不同距离的两个辐射源的能力。因此,对于多孔准直器而言,被检测区域越靠近准直器,分辨率就越高。如图所示,如果将被测物从 $z$ 位置移向检测器,就可以提高分辨率。显然,在观察皮肤下的生物组织时,影像的分辨率与探头到达组织的距离相关。

除了这种多孔准直器以外,还有其他类型的准直器,图 15.6b 所示是只有一个小孔的针孔准直器。这种准直器只允许射向其小孔的射线通过。穿过准直器的 $\gamma$ 射线沿直线传播,照射到晶体上,呈现出空间位置倒置的图像。如果辐射源到准直器之间的距离等于针孔到晶体之间的距离,那么,辐射源在晶体上成像的大小与实际大小正好相同。适当调节被测物与准直器之间的距离,就可以放大或者缩小检测器的视野。也就是说,当辐射源移向准直器小孔时,图像会被放大。因此,针孔准直器可以呈现被测物的放大且倒置的图像。

由此可见,闪烁检测器前面加上准直器以后,其实是将人体组织内特定空间位点上所发出的射线“聚焦”到晶体表面相应的位点上。穿过准直器的射线撞击闪烁晶体并与其产生作用。

简单 $\gamma$ 照相机是如今核医学诊断中最重要且最基本的仪器,如果将其与数字计算机相连,就可以增加功能。计算机的数字图像处理系统可以完成数据采集、储存和分析等功能。数据采集是指用模数转换器(Analog-to-Digital Converter, ADC)将图像信号数字化,也就是将长方形图像分割成很多很小的元素,这些元素称为像素(pixel)。每幅图像一般由 $64 \times 64$ 、 $128 \times 128$ 、 $256 \times 256$ 等像素点阵构成。这样,我们就可以选择图像中感兴趣的某块区域,对其进行定量分析。数字化计算还推进了动态图像研究的发展。如果从人体某个区域连续拍摄一系列图像,就可以容易地计算出该区域摄入和排出放射性核素的时间变化过程。例如,将这种方法用于心脏的成像时,就可以分析心室壁的搏动过程等。

### 15.3.3 正电子照相机

放射性核素衰变过程中所发射的正电子只能在生物组织中传播几个毫米的距离,随后就会迅速湮灭,并产生一对以 $180^\circ$ 相反方向传播的能量为 $511\text{keV}$ 的光子。如果用两个闪烁探测器同时检测这对光子,就可以检测到正电子发射事件,这就是正电子照相机的原理。这种照相机不用多孔准直器,而是用电子准直的方法完成射线的选择。纯粹的正电子照相机使用范围很有限,不过,其改进型,即正电子发射断层扫描成像技术

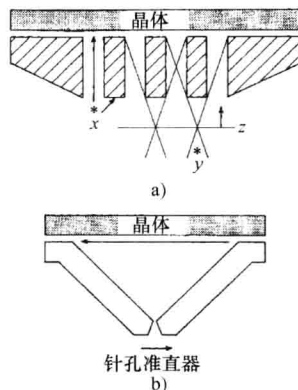


图 15.6  $\gamma$ 照相机的准直器

a) 与闪烁检测器结合使用的多孔准直器 (图中 $x$ 处发射的射线只在晶体的一个位点上成像,而 $y$ 处发射的射线却可以到晶体上多个位点) b) 针孔准直器 (它具有放大功能,用于近距离观察较小的器官组织)

(Positron-Emission Tomography, PET) 却具有非常重要的应用。PET 的检测器由排列成环形的许多 NaI (TI) 小检测器组成, 用于检测正电子湮灭时产生的  $180^\circ$  反向运动的光子对。然后, 再根据这些检测数据, 用计算机辅助图像重建技术建立断层图像。某些大型医疗中心将 PET 与回旋加速器配套使用, 由加速器产生超短半衰期的放射性示踪药物 (主要是碳-11、氮-13 和氟-18 等)。这样, 就可以同时获得被测对象的解剖结构和功能代谢两方面的信息。

## 15.4 X 射线成像系统

本节介绍体外产生的 X 射线穿过人体之后, 由置于人体另一侧的探测器检测并用于成像的技术。这种成像系统根据 X 射线的衰减系数产生图像。早期的设备需要使用相当大的放射剂量才能够产生对比度足够高的生物组织的清晰图像。对比度是指密度相差很小的不同人体组织 (如脂肪与肌肉) 之间的区分程度。软组织与肺部空气、或者骨骼与肌肉, 这些物体之间的对比度较大, 用较小的放射剂量就能够区分出来。不过, 随着胶片制作技术和新型探测器的不断发展, 无论是高对比度还是低对比度的组织成像, 它们所需的放射剂量都已大幅度减少。更重要的是 20 世纪 70 年代出现了计算机轴向断层扫描技术 (computerized axial tomography, CAT)。与常规 X 射线机产生的透视投影图像不同, 这种设备应用计算机处理 X 射线衰减数据, 可以重建人体断层图像。CAT 也称为 CT, 它可以给医生提供病人任何部位任意断层上的具有高对比度且高分辨率的重建图像。为了能够更好地理解 CAT 成像技术, 下面我们先回顾一下常规 X 射线成像的基本原理。

### 15.4.1 X 射线成像的基本原理

任何 X 射线成像系统都由 X 射线源、准直器和 X 射线探测器组成。医疗诊断用的 X 射线系统一般使用能量为  $20 \sim 150\text{keV}$  的体外 X 射线源。自 20 世纪开始, 常规 X 射线成像设备都用同样的方式成像, 也就是, 使用广谱 X 射线光束和照相胶片成像。通常, X 射线由阴极射线管产生, 这种射线管在高电压激励下会产生 X 射线光束。然后, X 光束经过准直器校正之后, 穿过人体, 在成像平面上形成图像。不同的 X 射线系统使用不同的射线检测部件, 如: X 光胶片、图像增强器、X 光检测阵列等。如图 15.7 所示, 在标准 X 光胶片拍摄过程中, 穿过人体的 X 射线将骨骼、器官、空腔和体内异物等投射到一张胶片上。这种“透视图”所呈现的其实是 X 射线穿过具有不同密度的人体组织和体液之后所发生的强度变化。

常规 X 射线成像技术的优点是: 分辨率高, 对比度高, 人体的曝光剂量较小, 并产生永久记录图像。其缺点是: 几何失真明显, 无法提供深度信息, 也不能实时成像。因此, 这种成像技术一般用于牙齿、胸部和骨骼成像。骨骼对于 X 射线的吸收很强, 所以, 用常规 X 射线成像很容易看出骨折。但是, 这种成像是将三维物体投影成为二维平面图像, 各种人体结构会在胶片上重叠, 很难区分密度差别不大的人体组织。正是

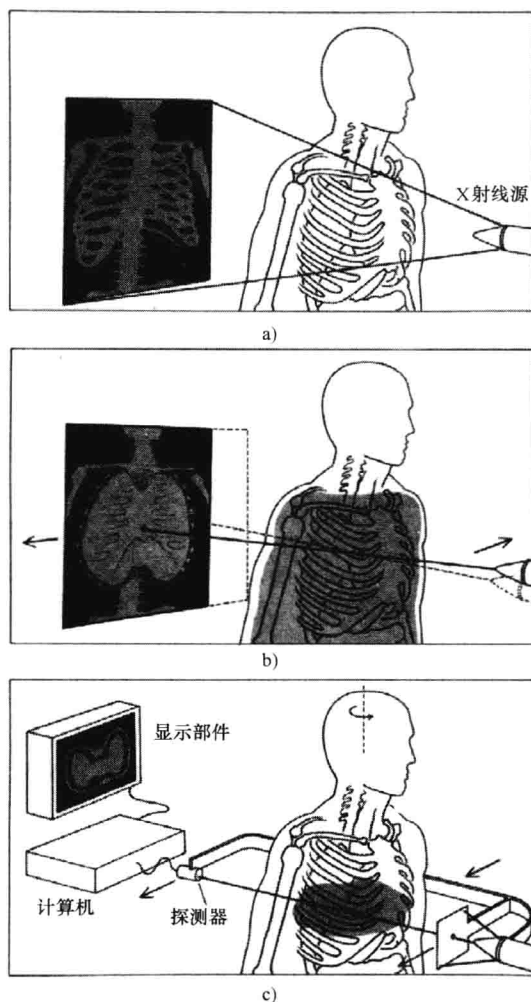


图 15.7 三种 X 射线医学成像技术的基本原理

- a) 常规 X 射线成像: 从 X 射线源发出的光穿过人体之后, 投射到一张胶片上  
 b) 断层成像: 在胶片曝光过程中, X 射线源向一个方向移动, 而胶片则向另一个方向移动, 这样, 人体内只有某个垂直平面相对移动胶片保持不动, 在投影图像中, 该平面图像清晰, 而其他平面图像都是模糊的  
 c) 计算机断层成像: 将 X 射线源和探测器装在一个 U 形支架的两端, 让支架水平移动并按照一系列不同的角度绕人体转动, 使 X 射线多次扫描穿过人体某个横截面。然后, 用一种特殊的计算机算法处理探测器记录到的 X 射线衰减数据, 重建图像, 并在显示屏上显示出来

由于这个原因, 常规 X 射线技术不能提供清晰可辨的颅脑图像, 因为脑主要由软组织构成, 密度差别较小。为了克服这些缺点, 有人提出从许多不同角度拍摄透视图, 这



样, 每张图像中人体内部各个器官之间的相对关系不同, 可以用于辨别不同组织。另一种方法是使用对 X 射线要么透明要么不透明的造影剂 (如空气或者碘溶液), 用以增强图像的对比度。不过, 这些方法都既费时, 又难以实施, 有时还存在较大的危险性, 并且也不够精确。

20 世纪 20 年代初, 人们开发了一种三维结构的 X 射线成像技术, 称为平面断层成像, 它可以将人体内某个垂直平面或横截面成像。如图 15.7b 所示, 平面断层成像时, X 射线源沿一个方向移动, 而放在人体另一侧的 X 射线感光胶片同时向另一个方向移动。这样, X 射线穿过人体的路径在不断变化。不过, 每条 X 线在体内某个垂直平面 (或横截面) 上总是穿过同一个点。因此, 在胶片上, 这个感兴趣平面上的结构就被锐化, 而其他所有平面上的结构则被模糊。显然, 与传统 X 射线摄影相比, 在用二维图像表示三维信息时, 这种方法能够更好地显示人体各种结构的位置和细节。但是, 它也存在缺点。首先, 其深度信息存在误差, 图像并不是真正锁定在单个平面上。其次, 医学诊断中通常需要对比度大的高质量图像, 便于读片, 但这种平面断层图像的对比度较小。此外, 断层扫描 X 射线的剂量要高于常规 X 摄影。并且, 由于所需曝光时间较长, 人体的活动也会降低成像质量。

计算机断层扫描成像 (Computerized Tomography, CT) 是一种完全不同的方法, 其设备的主要结构包括扫描检测系统、计算机和显示部件。CT 将图像重建技术与 X 射线吸收测量相结合, 可以显示出人体内部任何器官的  $xy$  二维轴向断层图, 也可以沿  $z$  轴重建三维图像。如图 15.7c 所示, CT 的检测部分很像常规 X 射线机。经过准直器的一束 X 射线在某个平面上穿过被扫描的人体, 到达放在人体另一侧的探测器。准直的细光束与探测器对准, 每次只检测光束经过路径上的信息。X 光束穿过人体时, 一部分能量被吸收, 剩余的能量被探测器接收。探测器中通常装有碘化铯或钨酸镭等晶体, 这些晶体受到 X 射线轰击时能够发射光子。这些光子的强度由探测器中的光电转换器检测, 然后, 再由计算机根据检测数据计算出人体组织吸收或者透射的 X 射线能量, 用于成像。

CT 系统的 X 射线源和探测器通常安装在同一个扫描机架架上, 两者可以一起平移或者绕被测物转动。早期 CT 系统检测的是机架在各个不同旋转位置下 X 射线横扫整个断层平面所得到的 X 射线吸收分布数据。也就是, 先在某个旋转角度下平移机架获得一组 X 射线吸收数据, 然后, 再将机架转过一个很小的角度, 进行下一次横向平移扫描, 得到另一组吸收数据, 以此类推。如此测得的每条 X 射线吸收分布曲线 (即投影值) 其实只是一维数据, 其宽度与人体宽度一样, 但厚度只有一个断层那么厚。

等距分布的检测位置的数目确定了最终所显示图像中像素的多少。例如, 如果要产生  $160 \times 180$  个像素点阵的图像, 首先需要平移 160 个等距分布的位置, 测得一组含有 160 个 X 射线吸收值的数据。但是, 要记住, 这组一维数据只包含一条 X 射线吸收分布曲线。要获得下一条分布曲线, 扫描机架要绕人体转过一个角度, 再在新的角度下进行 160 次线性平移, 获得一组新的测量数据。如此重复, 直到扫描机架完成  $180^\circ$  旋转为止, 一个断层的扫描结束。这些投影数据采集完成之后, 共获得  $160 \times 180 = 28800$  个数



据。根据这些数据就可以计算出对应于每个像素的 X 射线强度值，并由此重建人体头部或身体某个断层截面的图像。

CT 系统的计算机具有非常重要的作用，它不断采集上述检测过程所获得的测量数据，并存入内存。等到所有 X 射线吸收数据采集结束之后，计算机就利用图像重建软件包分析这些数据。图像重建算法基于一组数学方程，原来用于天文学。由于每次重建所需的计算量太大，在计算机发明之前图像重建技术并不常用。正是现代化计算机技术的发展使得这些重建技术发挥了作用。

为了按照 X 射线吸收数据创建图像，根据所需的显示尺寸，计算机首先要用假想的网格将扫描的断层截面分成很多均匀的小单元体，就像网球拍上网线构成的网格一样。如图 15.8 所示，由于人体的截面有厚度，每个小单元体其实表示一个长方形柱体的组织块，其高度就是断层的厚度，宽度由网格阵列的大小决定。这种三维组织块被称为体素（voxel），而在二维图像中则称为“像素”。

在上述 CT 扫描的例子中，每个体素要接受很细的一束 X 射线多达 180 次的照射，也就是，在 180 个不同投影方向的测量数据中都包含了该体素的吸收值。由于每个体素在各次投影检测中的吸收值都一样，计算机就可以根据总吸收值和体素的大小，精确计算出该体素的平均吸收系数，并在二维图像中用相应像素点的灰度值表示出来。

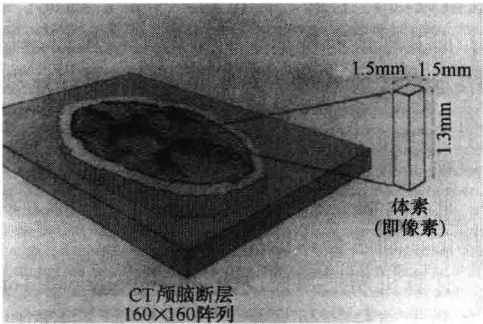


图 15.8 计算机断层成像技术原理示意图  
注：每个断层被分成离散的三维组织块，称为体素。体素在计算机监视器上所显示的二维断层图像中被称为像素。图中所示的例子中，每个像素对应的实际生物组织大小为 1.5mm × 1.5mm

例 15.8

请描述 X 射线束穿过人体断层截面时的衰减过程。

解：

如图 15.9 所示，物体的断层截面可以看做由小方块构成，每个方块对于穿过的 X 射线都有衰减作用，会吸收入射光的部分能量。在图中所示的小方块中，假设第 1 个方块对入射光的吸收系数为  $A_1$ ，第 2 个方块的吸收系数为  $A_2$ ，以此类推，第  $n$  个方块的吸收系数为  $A_n$ ，那么，这些方块对于穿过其中的人射光的总吸收系数  $A$  就等于各个方块的吸收系数之积。该总吸收系数的对数值就是吸收系数测量值。

再来看图 15.9，仅包含 4 个方块的物体的一组吸收系数方程如下

- 扫描位置 1：

$A(1) = A_1 \times A_3$

(1)
- 扫描位置 2：

$A(2) = A_2 \times A_4$

(2)
- 扫描位置 3：

$A(3) = A_1 \times A_2$

(3)
- 扫描位置 4：

$A(4) = A_3 \times A_4$

(4) ■

实际上, 这组方程中只有吸收系数  $A(1)$ 、 $A(2)$ 、 $A(3)$  和  $A(4)$  可以测得, 它们是已知的, 而  $A_1$ 、 $A_2$ 、 $A_3$  和  $A_4$  是要计算的未知数。4 个联立方程求解 4 个未知数, 可以得到解。依此类推, 如果要重建  $n$  行  $\times n$  列的断层截面图像, 至少必须得到  $n$  个方向上的各  $n$  个测量值。例如, 包含  $320 \times 320$  像素的图像至少需要  $320 \times 320$  (即 102400) 个独立的吸收系数测量值。

前面已经介绍过, CT 的吸收系数测量值是以一条条分布曲线的形式测得的。在各个扫描机架的旋转角度下, X 射线平移扫描的是与光束平行的某个平面 (即断层), 在此平面内, 如果沿着垂直于 X 射线扫描束的方向, 画出各条 X 射线的吸收测量值, 就得到了吸收分布曲线, 它表示每束 X 射线的总吸收量。通常, 采样的分布曲线越多, 所得到的图像分辨率就越高。

利用这些吸收数据, 就可以重建二维平面的图像。如果将多个平面图像按照正确的顺序排列起来, 还可以构成完整的三维图像。因此, 三维图像的重建其实是从二维断层图像得到的, 而二维图像又是从许多一维投影数据获得。实现这种计算的最早的方法称为反投影法, 意思是将测得的分布曲线反向投影回到所测平面中的各个小区域。这种方法相当简单, 但是, 它会产生模糊, 因此, 该方法并不是很成功。后来, 人们采用迭代法修正了反投影的分布曲线, 获得了令人满意的图像。迭代法是个不错的方法, 不过计算时间较长, 一般需要经过好几次迭代计算, 才能将原始分布曲线转化为可以反投影产生清晰图像的一组分布曲线。为了提高算法的速度, 人们又开发了卷积滤波等数学方法将原始分布曲线直接转化为最终所需的分布曲线。

无论使用什么重建算法, 最终的计算结果都是一样的, 都要在计算机内存中产生一个图形文件。该文件包含了图像中每个像素的吸收系数 (即密度测量值), 例如,  $160 \times 160$  图像就有 25600 个像素, 而  $320 \times 320$  图像的像素则有 10 万多个。图像每个像素的最终吸收系数计算值可以用图形的不同灰度和颜色表示出来。多数 CT 用计算机监视器屏幕显示图像。实际上, 图形文件的像素数值反映的是被测人体断层截面上某个体积块的密度, 确切地说是相对吸收系数。

图 15.10 所示是 Hounsfield 定义的表示各种物质 X 射线吸收系数相对大小的标度, 即 CT 值, 其取值范围为  $-1000 \sim +1000$ 。CT 值最小的是空气 ( $-1000$ ), 最大的是骨骼, 水的 CT 值为 0, 居于中间。整个 CT 值范围以水为中心, 水的上下各分成 1000 个

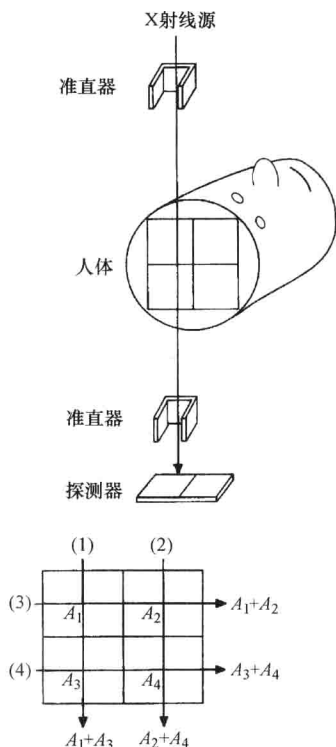


图 15.9 CT 图像每个像素吸收系数的计算方法

等级。这种设定是为了方便使用,因为生物组织的含水量很大,其吸收系数与水很接近。使用这种标度显示图像时,将图像每个像素的吸收系数都加上 1000,这样,空气的吸收值就变成了 0,而水的吸收值成为 1000。每个像素都有了标度值之后,就可以显示出重建图像了。

### 例 15.9

请阐述反投影处理方法。

解:

反投影法可以通过以下简化模型来说明。如下图所示,假设有一束平行 X 射线直接穿过一个柱形吸收物,并在 X 线胶片上留下投影。曝光后的胶片经过冲洗之后,胶片上沿如图所示的 AA 直线上显示出来的影像密度分布就是物体的投影值。如果围绕圆柱体,按照等间隔角度摄取一系列这种 X 射线影像,那么,就可以根据所获得的一组二维投影值重建 X 射线所穿过的断层截面的图像。

右图所示的反投影法是一种图像重建的近似算法。它将所测得的投影值依次按其原摄影路径反方向投影回去,并在各个相应的影像位置上进行叠加,从而获得扫描断层的重建图像。这种简单反投影法的缺点是会产生图像边缘失锐现象,即在边缘上出现伪像(如下图所示)。为了消除这种伪像,必须在反投影数据中减去原始影像两边的数值。在数学上,这种方法称为卷积法,相当于将每个投影值减去某个与周围值成正比的数值。这是实际 CT 成像系统中使用的投影值修正方法。

对于任何医学成像设备所显示的图像,都必须弄清楚影响图像分辨率和精确度的因素,并加以修正。CT 扫描机采集的数据实际上反映了 X 射线在人体某个断层上的吸收分布,因此,仪器能够检测并投影的 X 射线的最小吸收变化量就决定了图像的密度分辨率。另外,图像上能够分辨出来的两个不同物体之间的最小距离称为空间分辨率。密度分辨率反映仪器检测生物组织之间差别的灵敏度,而空间分辨率则表示仪器所生成图像中可能分辨的细节。两种分辨率之间存在一定的联系,并且都与人体所接收的放射剂量相关。图像的清晰

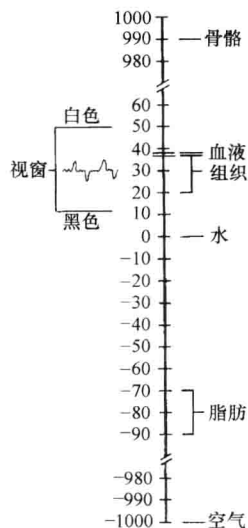
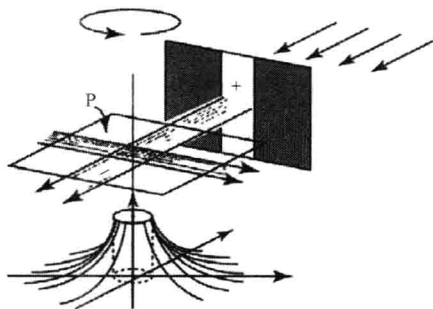
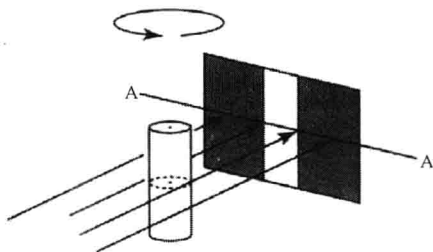


图 15.10 对应于吸收系数的 Hounsfield 标度



度反映了所测得的吸收数据的精确度，它常受到低信噪比的影响。如果射线穿过人体后到达探测器的光子数量较少，那么，信噪比就较低，相邻像素吸收系数之间的差别就减小，因而图像锐度降低。使用低放射剂量成像时都会遇到这个问题。不过，CT 系统的显示处理可以使重建图像得到增强，这是 CT 系统的一个重要功能。

CT 的显示部件通常能够同时显示给定数目（如 16 种、32 种）颜色级别或者灰度级别，这些显示级别经设定可以用于表示某个特定范围的吸收系数。这样，图形的吸收系数取值范围就可以用整个可用的灰度或者颜色级别范围来表示。为了提高分辨率，突出图像的细节，可以将黑白两色之间的灰度级范围限定在一个很小的 CT 标度值范围之内。设置这种可调的“视窗”就可以增强人体特定器官的图像。例如，如图 15.10 所示，如果要观察心脏组织的图像，就可以把整个视窗的窗位设置在水的 CT 值上方；如果要观察肺部组织的细节，那么，就可以把视窗下移到某个合适的位置。减小视窗的窗宽，可以增加 CT 系统的总体灵敏度，从而进一步增强区分特定器官及其周围组织吸收系数的能力。

改善图像分辨性能的方法还有很多。例如，可以将图像的某一部分放大，或者将某些吸收值增亮。不过，这些方法其实并不增加原始信息量，只是通过处理计算机内存中储存的数据来增强图像。由于人肉眼观察图像时只能分辨与周围环境之间存在足够对比度的物体，因此，图像增强方法都是改变能够提高观察人员工作效率的图像特性，使得图像中的物体便于定位并精确测量。

与常规 X 射线技术相比，CT 扫描具有很多独特的优点。例如，如图 15.11 所示，CT 计算机断层成像可以通过一系列二维图像建立人体内部结构的三维图像。图像的对比度很高，可以清晰地显示软组织之间的微小差别，而常规 X 射线成像技术则对此无能为力。CT 还能够准确测量各种组织的 X 射线吸收数据，用于分析组织的特性，而且，CT 扫描时人体所吸收的 X 射线剂量通常要小于常规 X 射线断层成像等方法的剂量。

如图 15.7 所示，常规断层成像技术也可以通过将成像平面之外的物体模糊掉的方法，显示出断层图像，不过，这种方法只利用了某个断层上的射线扫描信息，断层两侧其余大部分穿过人体的射线信息都变成了图像中无用的伪像。而 CT 成像中的 X 射线经过整个被测断层平面，因此，所进行的测量百分之百与所测断层相关，并且只与所测断层相关，不受上下其他层面上物体的影响。所以，CT 充分利用了全部 X 射线的测量信息，图像就比较清晰。

CT 成像在医学中的应用非常广泛，各种软肿瘤、硬肿瘤、囊肿、血块、损伤或坏死组织等人体异常形态结构都能容易地从 CT 图像中分辨出来。CT 系统具备的各种软组织区分功能极大地简化了很多医学诊断过程，使得其他某些需要住院、费用高的方法，或者对病人存在潜在危险的侵入性方法都被淘汰了。由于 CT 可以准确定位被测人体组织的各个区域，并监测实际治疗效果，因此，它不仅用于医学诊断，还用于放射治疗。

### 15.4.2 CT 成像技术

CT 扫描机问世以来一直在不断完善和发展，已经成为全世界举足轻重的一项技术。

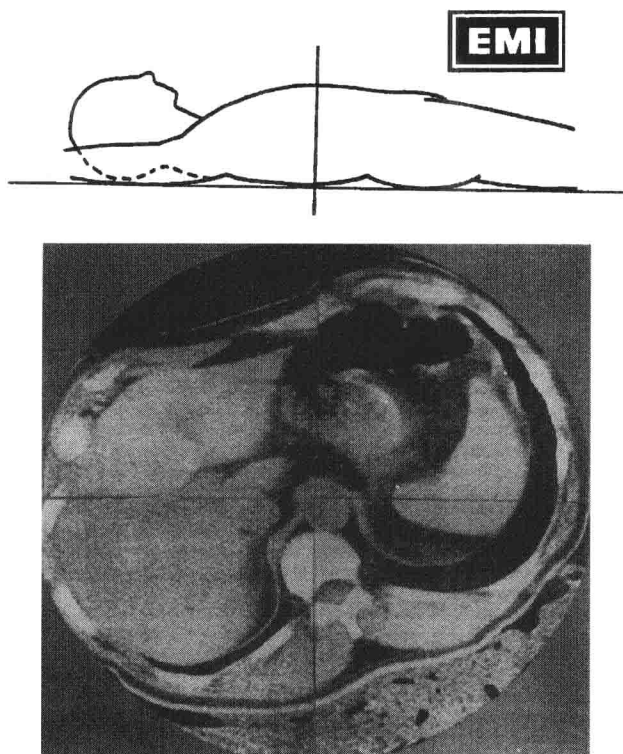


图 15.11 人体 CT 断层图像

高质量 CT 系统的制造需要具备 X 射线技术、物理学、结晶学、电子学 and 数据处理等方面的坚实基础。

CT 扫描机的发展已经取得了以下几个方面的重要成果：提高了 X 射线管的性能；缩短了扫描时间；提高了图像重建速度；减少甚至消除了图像中的伪像；减少了病人所受的放射剂量。这些成就主要涉及两个关键问题：第一，图像质量及其与医学诊断价值之间的关系；第二，仪器效率及其与病人保健和经济效益之间的关系。为了更好地了解现代化新型 CT 系统的工作原理和功能，下面我们回顾一下 CT 的发展历史。

CT 扫描机通常由三大部分组成：

- 1) 扫描机架，它按照一定的扫描方式采集图像重建所需的数据；
- 2) 数据处理部分，它将扫描采集的数据转换成清晰的图形信息，再将这些信息显示成视觉图像，并提供各种增强图像的辅助功能，能够协助医生做出医学诊断；
- 3) 存储部件，它能够使用户在扫描结束后的任何时间随意复查扫描结果。

### 1. 扫描机架

CT 扫描机架的功能就是采集重建断层图像所需的信息。所有采集的信息都必须有用且准确，还必须有足够的相互独立的数据用于重建图像，使图像具有足够高的空间分辨率和密度分辨率，便于医生进行准确的诊断。可见，扫描系统的功能极其重要。

如图 15.12 所示, CT 扫描机的机架已经经历了数次重要的变革。第一代机架采用“平移-旋转”的扫描方式。其射线管和检测器安装在同一个机架上, 通过机架的平移, 让单束 X 射线扫描断层, 从而获得分布在扫描方向上的一条吸收测量值曲线。每次平移扫描结束之后, 机架转过  $1^\circ$  角度, 再重复一遍平移扫描。直至转过  $180^\circ$  角度, 完成总共 180 次平移扫描, 并测得 180 条吸收分布曲线为止。整个“平移-旋转”扫描过程大约需要  $4 \sim 5 \text{ min}$ 。这种机架获得的图像质量很高, 具有很高的临床诊断价值。但是, 这种办法有几个缺点。首先, 扫描时间太长, 处理病人的速度相当慢, 病人的周转量很小。其次, 图像中常会出现条纹伪影, 虽然对诊断一般没有什么影响, 但图像质量确实有所降低。最后, 最大的缺点可能就是扫描过程中人体必须保持不动, 因此, 这种 CT 扫描方式只能用于颅脑成像。

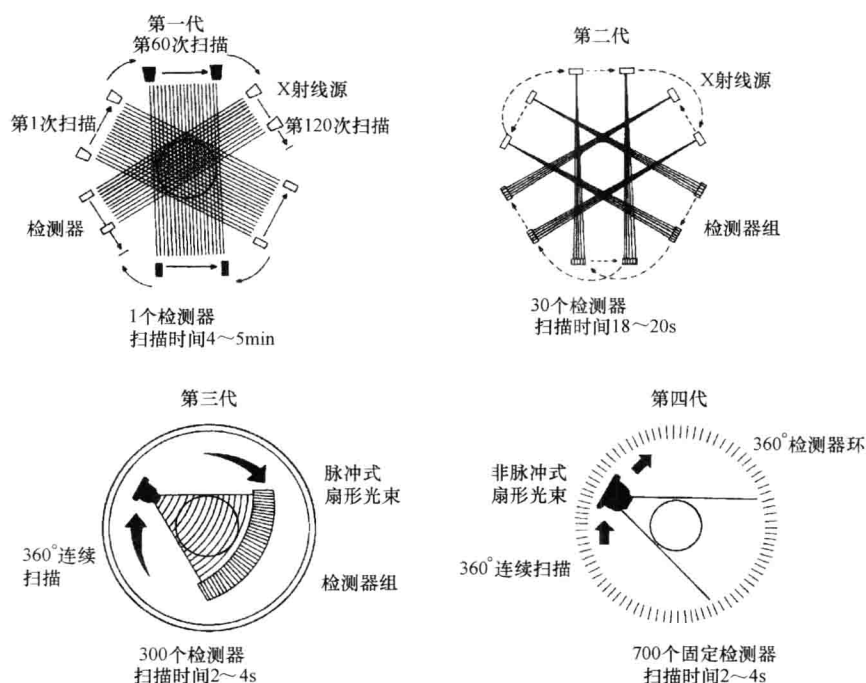


图 15.12 四代 CT 扫描机架的不同结构

注: 利用现代化的滑环技术, 第三代和第四代 CT 可以实现断层厚度为  $1 \sim 10 \text{ mm}$  的旋转式容积扫描, 像素可达  $1024 \times 1024$ 。一般, 病人一次屏气期间即可完成  $50 \text{ cm}$  长度的容积扫描

为了解决上述问题, 人们开发了第二代 CT 扫描机架。这种机架也具有与第一代机架一样的平移扫描过程, 但它绕人体  $180^\circ$  的旋转步长从  $1^\circ$  增加到了  $10^\circ$ 。同时, 为了能够在每次平移扫描期间获得足够的吸收分布数据, 这种机架使用了张角为  $10^\circ$  的窄扇形光束。这样, 机架每旋转一次就可以采集到间隔为  $1^\circ$  的 10 条吸收分布曲线, 再旋转  $10^\circ$ , 又可以采集下一组 10 条曲线。因此, 一共只需旋转 18 次, 进行 18 遍平移扫描,

就可以获得整组 180 条吸收分布曲线。如果一遍平移扫描的时间为 1s, 那么, 这种机架扫描一个断层需 18 ~ 20s。可见, 第二代 CT 的扫描时间大幅度缩短, 而整个 180°扫描过程中所采集数据的精确度和数量并不受影响, 利用这些数据就可以重建被测断层的图像。有了这种新型 CT 扫描机, 就可以获得人体任何部位的断层图像。但是, 这个扫描速度还是没有达到能够消除环形条纹伪影的速度, 并且其速度不可能再提高了。其实, 第一代 CT 和第二代 CT 扫描的速度都分别达到了其结构所限定的极限值, 如果要确保一定的图像质量, 扫描时间都不可能再缩短。不过, 这两种设计结构可以提供的空间分辨率和密度分辨率是最高的。

随着 CT 系统各种部件的不断改进, 出现了第三代 CT 系统, 其机架有了重大改进, 只包含旋转运动, 不再具有平移运动。这种旋转系统使用脉冲式的高准直广角扇形 X 射线源, 并配有一组检测器阵列。一般扇形光束的张角为 20° ~ 50°。其单纯的 360°平滑旋转运动可以使整个扫描时间降到 500ms 左右。由于扫描过程中每个数据被重复采样两遍, 因此, 这种结构还提高了数据测量的可靠性, 从而提高了成像的质量。该结构还有一个优点, 就是脉冲式 X 射线源可以与某些生理参数同步, 使得心脏等节律性活动的人体结构的成像更精确。

这种系统的主要优点是简单、高速, 但它有两大缺点。首先, 其几何结构是固定的, 扇形光束通常按照体积最大病人的尺寸设计, 对于小病人或者头部的扫描成像, 效率就比较低。其次, 这种系统特别容易产生环形伪影。这个问题对于图像的稳定性具有严重的影响, 只要有 1/10000 的出错率, 所产生的伪影就可能導致誤診。

因此, 人们进一步开发了第四代 CT 系统, 其机架由一个 360°连续排列的固定检测器圆环构成, 这一圈检测器通常有 600 ~ 4800 个。不过, 这种系统的 X 射线源还是需要做旋转运动, X 射线的透射光则由固定的检测器环测定。扇形光束略为增宽, 这样, 扇形两边的射线可以不经人体, 直接射到检测器上, 便于检测器性能的校准。因此, 这种方法获得的图像更可靠, 而且, 一般可以消除环形伪影。第四代 CT 的扫描时间在 500ms 以内, 整个扫描重建过程通常在 30s 之内即可完成。

第三、第四代 CT 扫描机中采用的高电压滑环使机架能够围绕人体朝着一个方向连续旋转, 此时, 如果以一定的速度推进病床, 穿过扫描平面, 那么, X 射线光束就会按照一个螺旋式盘旋的轨迹扫描整个人体。断层厚度一般为 1 ~ 10mm, 像素矩阵达 1024 × 1024, 病人一次屏气期间大约可以扫描 50cm 长度的容积。随着 X 射线管技术的发展, 在空间分辨率和密度分辨率 (即对比度分辨率) 保持不变的情况下, 新的显像技术已经能够实现实时三维成像, 并呈现动脉或大肠等管道结构中的物体流动的情况。

如图 15.13 所示, 还有一种 CT 扫描机架结构, 也许可以称为第五代 CT。它采用两组 210°弧形排列的固定检测器阵列, 安装在病床的上方。另外, 排列成 210°弧形的 4 个 X 射线靶环则安装在病床下方, 与上方的检测器阵列相对。除了病床进出成像平面的机械运动以外, 这种系统没有其他机械运动。

该系统的工作原理是: 电子枪发射的电子束经过高压线圈所产生的磁场的聚焦和偏转之后, 沿 210°弧形扫过 4 个 X 射线阳极靶环, 靶环在高速电子束的轰击下, 产生 4 束



独立的 X 射线。X 射线经过准直器之后，穿过人体，并被并排的两个检测器阵列检测。这种系统在 50ms 或者 100ms 时间之内就可以同时完成多达 4 个 1.5mm 厚的断层扫描，图像的像素可达  $512 \times 512$ ，因此，可用于心脏检查，诊断早期冠状动脉硬化等疾病。虽然这种超高速 CT 扫描机几乎不受人体的脏器官活动的影响，但目前它的对比度和空间分辨率都不如第三、第四代机械式 CT 扫描机，因此，其应用范围相对较小。

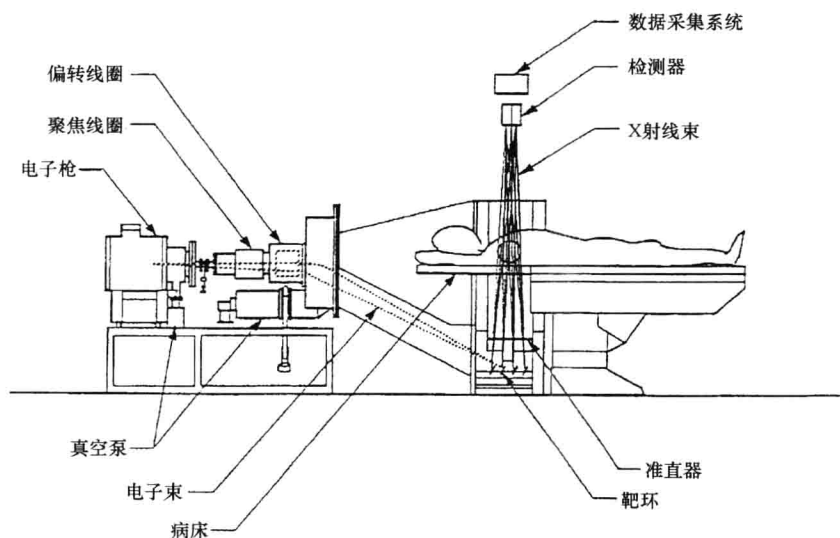


图 15.13 超高速 CT 扫描机示意图

注：图中两个电磁线圈分别用于电子束的聚焦和偏转，使电子束能够穿过真空管，打到弧形靶环的各个位置上。4 个靶环产生的 4 束独立的 X 射线经过相应的准直器之后，射向人体。穿过人体的透射光由并排的两个检测器阵列检测，并产生 8 个独立的断层图像。（此图由 Imatrol 馈赠）

## 2. X 射线管和检测器

必须强调，CT 扫描检测的目标就是采集数以千计的人体 X 射线吸收系数的精确测量数据，这些在各个不同角度下测得的全方位数据包含了被扫描人体断层结构的大量信息。由于这些测量数据都是经过光子计数的方式获得的，因此，光子数量越多，数据的质量就越高。由此可见，只有射线剂量足够高时才能获得高质量图像。由于总辐射剂量由 X 射线管的最大功率及其工作时间决定，要达到一定的辐射剂量，工作时间越短，所需功率越高；因此，高速扫描机必须使用高功率射线管。在设计 X 射线管和检测器时，射线剂量是必须考虑的重要因素之一。

目前，工作时间约为 20s 的 CT 系统都使用油冷式固定阳极射线管，这类射线管在扫描期间连续发射 X 射线，功率有限；而那些工作时间远小于 20s 的 CT 系统则使用水冷式旋转阳极射线管（或空气冷却射线管），这类射线管通常发射脉冲式射线，功率较高。固定阳极射线管工作时连续发射 X 射线，检测器则通过电子门控开关来采集各组



数据序列。高速扫描机所需的射线功率要高得多，因此需要用旋转阳极。现在的发展趋势是使用脉冲式射线管，这主要是为了简化检测器的门控装置。高速扫描机遇到的主要问题就是难以在如此短的扫描时间内提供足够大的射线剂量，因此，为了获得高质量图像，很多扫描机实际使用的工作速度都比允许的最高速度要低得多。

CT 系统的检测器对于 X 射线吸收数据的准确检测也具有至关重要的作用。理论上，为了尽可能减少病人受到的照射剂量，检测器应该具有尽可能高的 X 射线光子俘获能力以及光电转换效率。显然，那些没被检测到的光子对成像没有任何贡献，被白白浪费了。CT 扫描机检测系统如果能够捕获和转换较多数量的低噪声光子，那么，利用适当的图像重建算法，就能够生成高精度的高质量图像。因此，检测器的选择总是面临着图像质量与辐射剂量之间的权衡。

常用检测器有 3 种类型：闪烁晶体与光电倍增管相结合的检测器，其闪烁晶体可以用碘化钠、氟化钙、锗酸铋和钨酸镭等晶体制作；氙气电离室检测器；闪烁晶体与集成光电二极管相结合的检测器。记住，判断检测器质量好坏的主要标准是检测器捕获光子以及随后转换成电信号的效率的高低，它们决定了射线剂量的最佳利用率。采用闪烁晶体结合光电倍增管的检测系统，虽然光电转换效率比较高，但它的体积不能做得很小，结构不紧凑，达不到捕获最大数量光子的目标。这种检测器的射线剂量利用率小于 50%，因此，病人需要接受较高的照射剂量，才能弥补图像质量上的损失。氙气检测器虽然比较便宜、紧凑，适用于组建大型检测器阵列，但其光电转换效率较低，并且容易产生漂移。因此，使用氙气检测器也必须增加病人的照射剂量。

闪烁晶体与集成光电二极管组合的结构可以排列得很紧密，其光电转换效率超过 98%，射线剂量的利用率可达 80% 光子能量，图像质量很好，检测器性能也很稳定，因此，这种固态探测器在未来 CT 系统中的应用将越来越广泛。

### 3. 数据处理系统

除了上述扫描系统和检测系统以外，CT 扫描机还需要一个快速数据处理系统，能够尽可能迅速地显示出扫描图像。随着扫描系统和检测系统的不断发展，CT 的数据处理系统也结合最新的计算机技术在不断更新。例如，当第三代 CT 扫描机诞生时，其数据处理设备就必须增大采集和储存的数据量，这些数据包括：

- 1) 位置数据，如扫描机架所处的扫描位置等；
- 2) 参考检测器所测得的来自参考光的数据，用于监测 X 射线源输出的稳定性；
- 3) 每次扫描结束时采集的校准数据；
- 4) 检测器测得的大量 X 射线实际吸收数据。

这些数据经过各种电子接口的转换之后，变成数字形式，被存入计算机内存。下一步就是图像重建处理（见图 15.14）。

注意，图像重建的第一步是分析所有原始数据，并将它们转换成一组吸收系数分布曲线，一般有 180 条以上分布曲线。然后，再将这些分布曲线数据转换成可以显示的图像数据。图像重建是 CT 扫描机的核心部分，也是 CT 与常规 X 射线成像技术和许多其他成像技术截然不同之处。从一系列 X 射线吸收数据中重建生物组织 X 射线吸收特性

的算法（即计算机程序）主要有以下几种：简单反投影法（也称总和法）、傅里叶变换法、积分方程法和级数展开法等。算法的选择主要取决于速度和精度。

图像重建中用到的数学计算方法有迭代法和解析法两种。迭代法也称代数重建法（Algebraic Reconstruction Technique, ART），Hounsfield 在第一代 CT 扫描机中使用的就是这种算法。该算法需要预先设定一组二维 X 射线吸收系数的初始估计值，然后用这组估计值计算出投影衰减数据的预测值，



图 15.14 CT 扫描机显示终端的照片

并将其与实际测量数据进行比较。然后，再用计算预测值与测量数据之差来反复迭代、修正初始估计值，直到计算得到的预测值与测量数据之差趋于 0 为止。一般，需要经过多次迭代之后，这种算法才能收敛。实际计算时，通常只要计算值与测量数据之差小于某个设定的误差限之后，就停止计算。ART 算法有很多版本，它们曾用于第一、第二代 CT 扫描机。由于迭代法计算速度较慢，并且在存在噪声的情况下会出现无法收敛的问题，因此，新型 CT 扫描机都使用解析法实现图像重建。

解析法包括傅里叶变换法、简单反投影法、滤波反投影法和卷积反投影法等方法。各种解析法都直接从衰减投影数据中重建图像，这是它与迭代法的根本区别。解析法使用中心切片定理和二维傅里叶变换。图 15.15 所示是中心切片定理示意图，假设图像函数为  $f(x, y)$ ，其沿  $x$  方向的一次投影所产生的投影曲线为  $g(y)$ ，那么

$$g(y) = \int_{-\infty}^{\infty} f(x, y) dx$$

该投影其实是如图所示的一组线积分。这里， $f(x, y)$  其实就是需要求解的重建图像，而  $g(y)$  则对应于某个方向上 CT 扫描测得的 X 射线衰减投影数据。

$f(x, y)$  的二维傅里叶变换是

$$F(u, v) = \iint_{-\infty}^{\infty} f(x, y) \exp[-j2\pi(ux + vy)] dx dy$$

在傅里叶变换域中，沿直线  $u=0$  的变换函数是

$$F(0, v) = \iint_{-\infty}^{\infty} f(x, y) \exp(-j2\pi vy) dx dy$$

此式可以改写为

$$F(0, v) = \int_{-\infty}^{\infty} f(x, y) dx \exp(-j2\pi vy) dy$$

即

$$F(0, v) = F_1[g(y)]_1$$

其中  $F_1[ ]$  表示一维傅里叶变换。由此可见,  $f(x, y)$  在某个方向上投影的傅里叶变换在  $F(u, v)$  域中是一条径向直线。因此, 如果将各个不同角度下采集的投影数据进行傅里叶变换, 就可以计算得到傅里叶变换域中的整个  $F(u, v)$  函数。然后, 再将  $F(u, v)$  进行傅里叶反变换就可以求得  $f(x, y)$ , 从而获得重建的图像。

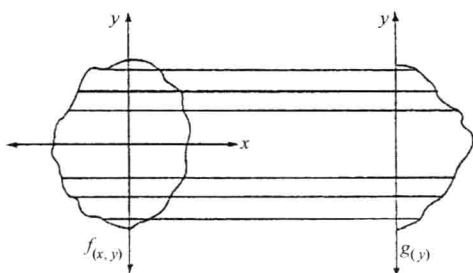


图 15.15 中心切片定理投影法示意图

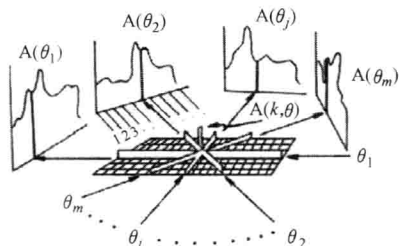


图 15.16 简单反投影算法示意图

大多数新型 CT 扫描机采用的图像重建算法是滤波反投影法。这种方法先将各个不同角度下测得的 X 射线衰减投影数据与一个空间滤波函数进行卷积计算, 卷积可以在傅里叶域中进行, 也可以直接在空间域进行。然后, 如图 15.16 所示, 再将滤波过的数据沿原投影路径反投影回去。各个不同角度的反投影数值之和就构成了最终的反投影数据。如果滤波是在空间域直接进行的, 那么, 就可以直接得到反投影图像; 如果滤波是在傅里叶域进行的, 那么, 经过傅里叶反变换就可以得到反投影图像。

总之, 与早期的颅脑 CT 和躯体 CT 扫描机相比, 如今的 CT 扫描机数据处理速度更快, X 射线能量的利用率更高, 对于各种生物组织之间密度差异的检测灵敏度更高, 空间分辨率也更高, 并且成像中的伪影大为减少。各种 CT 扫描机性能的比较可以考虑以下十个因素:

- 1) 机架的设计: 它会影响扫描速度, 病人处理时间和成本效益。
- 2) 机架孔径的尺寸: 它与病床的承重能力一起决定了能够接收的最大病人体积。
- 3) X 射线源的类型: 它影响病人所受到的照射剂量和扫描设备的使用寿命。
- 4) X 射线扇形光束的张角和扫描范围: 它们影响图像分辨率。
- 5) 扫描断层的厚度以及射线源发射的脉冲数目和射线源的旋转角度: 这些都是决定分辨率的重要因素。
- 6) 检测器数量和类型: 它们是影响图像质量的关键因素。
- 7) 所用小型计算机的类型: 它是决定系统性能和灵活性的重要因素之一。
- 8) 系统配备的数据处理程序: 它与用户的要求和系统可靠性密切相关。
- 9) 系统的存储容量: 它是便于数据存取的重要因素。
- 10) 系统升级和通信: 新型 CT 扫描机应该具备系统模块升级功能, 并且能够连接网络进行通信。

在评价现有的 CT 系统时, 不仅需要考察其各项性能指标, 而且还要对照理想 CT

扫描机应该达到的要求。CT扫描成像技术的最终目标是提供准确的诊断信息,促进人类医疗保健水平的提高。理想CT扫描机应该能够提供明确的诊断信息,使病人不需要再做其他测试就可以得到诊断结果。另外,经济成本也是必须考虑的重要因素。由于CT扫描机所需投资很大,维护费用也相当高,因此,理想CT系统应该能够快速接纳大量病人,具有较高的“病人周转量”(patient throughput)。也就是,好的CT扫描机必须满足两个主要标准:能够提供高质量的诊断信息;有较高的病人周转量。

## 15.5 习题

1. 请用符号形式表示例15.2的衰变过程。
2. 请计算 ${}_{92}^{238}\text{U}$  (原子量 = 238.050786u) 通过发射 $\alpha$ 射线衰变为 ${}_{90}^{234}\text{Th}$  (原子量 = 232.038054u) 时所释放的能量。
3. 碳14 (即 ${}^{14}_6\text{C}$ ) 是碳的一种放射性同位素,其半衰期为5730年,如果初始样品中含有1000个 ${}^{14}_6\text{C}$ 核素,那么,22920年之后还会留下多少个这种核素?
4. 假设某骨盆骨骼标本中提取的50g碳样品的 ${}^{14}_6\text{C}$ 衰变率为200核衰变/min,已知活体生物组织中碳的衰变率为15核衰变/min·g,并且 ${}^{14}_6\text{C}$ 的半衰期为5730年 =  $3.01 \times 10^9$  min。请计算该骨骼标本的年龄。
5. 某放射性样本的半衰期为30min,如果初始样品含核素 $3 \times 10^{16}$ 个,10min之后还剩下多少核素?
6. 请计算 ${}^{14}_6\text{C}$ 转变为 ${}^{14}_7\text{N}$ 的 $\beta$ 衰变过程中所释放的能量。
7. 半衰期为140天的某种钋样品衰变到原始强度的1/10需要多少时间?
8. 假设某种纯放射性物质的原始质量为 $10^3$ g,2h之后只剩下 $0.25 \times 10^3$ g,那么,该物质的半衰期为多少?
9. 磷同位素的半衰期为14天,如果样品中含有 $3 \times 10^{16}$ 个这种核素,请计算其放射性活度。
10. 请计算放射性活度为 $0.2\mu\text{Ci}$ ,半衰期为8.1天的样品中含有多少个放射性原子。
11. 某种新鲜制备的同位素样品的放射性活度为10mCi,4h之后其活度变为8mCi,
  - (a) 请计算该同位素的衰变常数和半衰期;
  - (b) 新鲜制备的样品中含有多少同位素原子?
  - (c) 制备后30小时其活度为多少?
12. 氡的半衰期为12.33年,5年之后氡样品核素的百分之几已被衰变?
13. 衰变 ${}^{23}_{10}\text{Ne}_{13} \rightarrow {}^{23}_{11}\text{Ne}_{12} + {}^0_{-1}\text{e} + \nu$ 所发射光子的最大动能为多少?
14.  ${}^{235}_{92}\text{U}$ 的半衰期为 $7.04 \times 10^8$ 年,假设一块 $4.55 \times 10^9$ 年之前凝固的岩石标本中含有N个 ${}^{235}_{92}\text{U}$ 原子,那么,在它凝固时含有多少个 ${}^{235}_{92}\text{U}$ 原子?
15.  $\alpha$ 、 $\beta$ 和 $\gamma$ 这3种基本辐射中哪一种对生物组织的穿透力最强,为什么?
16. 请阐述闪烁现象的机制。如何检测闪烁现象?又如何能将其用于成像?

17. 治疗甲状腺癌的一种方法是将小剂量放射性物质直接注入肿瘤中, 利用其发射的射线破坏癌细胞。请解释为什么 $^{131}_{53}\text{I}$ 可以用于这种治疗?
18. 请举例说明临床上如何应用放射性物质检查人体器官的功能。
19. 假设某个光电倍增管中共有 7 个倍增极, 电压分别为 100V、200V、300V、400V、500V、600V 和 700V, 且电子从倍增极表面发射所需的能量为 10eV, 那么, 对于阴极产生的每个光电子 (设其初始速度为 0), 第一级倍增极和最后一级倍增极分别会发射多少个二次电子?
20. 请阐述计算机断层成像的过程, 并用图示加以说明。
21. 请描述迭代法重建图像的计算过程。
22. 请做图说明如何检测物体中各个体素的纯吸收系数。

### 推荐阅读资料

- E.L. Alpen, Radiation Biophysics, Prentice Hall, New Jersey, 1990.
- J.D. Bronzino, Computer applications in patient care, Addison-Wesley, Reading, Mass, 1982.
- Z.H. Cho, J.P. Jones, M. Singh, Foundations of Medical Imaging, John Wiley and Sons, Inc., New York, 1993.
- B.F. Croft, B.M.N. Tsui, Nuclear Medicine, in: The Biomedical Engineering Handbook, CRC Press, 1995, pp. 1046–1076.
- I.A. Cunningham, P.F. Juoy, Computerized Tomography, in: The Biomedical Engineering Handbook, CRC Press, 1995, pp. 990–1005.
- G.N. Hounsfield, Computerized transverse axial scanning (tomography) part 1, description of system, Br. J. Radiol. 46 (1973) 1016–1022.
- C.H. McCollough, R.L. Morin, The technical design and performance of ultrafast computed tomography, Cardiac Imagery 32 (1994) 521–536.
- C.H. McCollough, Acceptance testing of a fifth generation scanning-electron-beam computed tomography scanner, Med. Phys. 19 (1992) 846.
- R.A. Serway, J.S. Faughn, College Physics, second ed., Saunders College Publishing, Philadelphia, 1989.
- R.E. Shroy Jr., M.S. Van Lipel, M.J. Yaffe, X-rays, in: The Biomedical Engineering Handbook, CRC Press, 1995, pp. 953–989.

# 第 16 章 医学成像

Thomas Szabo 博士<sup>⊖</sup>

## 本章目录

- 16.1 绪论
- 16.2 超声诊断成像
- 16.3 磁共振成像
- 16.4 脑磁图
- 16.5 造影剂
- 16.6 几种成像技术的比较
- 16.7 图像融合
- 16.8 总结
- 16.9 习题

参考文献

推荐阅读资料

## 本章的主要学习内容：

- 脉冲回波测距与超声成像的区别；
- 超声图像的形成过程；
- 声波传播、反射和折射的基础知识；
- 压电换能器的特性和工作原理；
- 声阻抗匹配层的原理；
- 声波散射的基本类型；
- 声波吸收作用的计算；
- 声束形成和聚焦的基本原理；
- 超声成像系统的框图；
- 超声多普勒的基本原理；
- 磁场与电荷之间相互作用的四种基本情况；
- 原子核磁偶极矩在磁场中的自旋状态与进动；
- 拉莫尔频率与核磁共振；
- 翻转角对磁共振恢复过程以及各个弛豫时间常数的影响；

---

<sup>⊖</sup> Kirk K. Shung 和 Steven Wright 也参与了撰写工作。——原文注

- 自由感应衰减信号与自旋回波信号的区别;
- 磁共振测量信号的空间定位;
- 创建磁共振图像的基本步骤;
- 磁共振图像所显示的信息;
- 磁共振成像系统的框图;
- 磁共振成像中  $k$  空间的重要作用;
- 磁共振成像应用中的功能磁共振;
- 脑磁图的原理;
- 各种不同成像技术所用造影剂的比较;
- 图像融合技术;
- 几种主要医学成像技术的比较。

## 16.1 绪论

超声是最常用的重要医学成像技术之一,仅次于标准 X 射线平面成像。多年来,超声检查的累积数量估计已有几十亿次。与 X 射线和 CT 计算机断层成像技术不同,超声成像没有电离辐射,因此,被认为对人体无伤害。而且,超声诊断仪便于携带,使用方便,成本低,还可以用于实时观察人体软组织和血流的动力学特性。超声成像的基本原理是检测来自生物组织的背向散射脉冲回波。

磁共振成像 (Magnetic Resonance Imaging, MRI) 也可以获得详细的人体解剖结构信息,它也没有电离辐射。MRI 通过检测原子的自旋信号来区分置于强大静磁场中的人体内部的不同组织器官,显示人体骨骼和软组织等的静态断层截面图像。其成像结果与特定参数的选择有很大关系。在主要医学成像模式中, MRI 最抽象,技术最复杂。它能够精确的解剖图像,因此,常被用于手术前的方案制定和癌症检测。功能磁共振成像 (即 fMRI) 还可以显示大脑对于各种不同刺激的响应。

本章将讲述超声成像和 MRI 的工作原理,末尾还将比较几种主要医学成像模式的重要特性,包括 CT 和 X 射线等。另外,本书第 11 章已经介绍过傅里叶变换的基本原理,它有助于理解本章将介绍的成像原理,因此,下一节首先回顾并补充傅里叶变换的知识。

### 16.1.1 傅里叶变换简介

傅里叶变换 (Fourier Transform, FT) 可以简化对于超声和 MRI 成像基本原理的认识,因此,这里首先回顾 FT 的相关性质。本书第 11 章介绍的傅里叶变换有一个重要性质,就是时域卷积与频域乘积之间的等效性。还有一个概念,就是在时域和频域上可以分别用冲激响应函数和传递函数来描述滤波器等系统的各种响应。

冲激函数是一个广义函数,它有一个特殊性质:当它与其他函数相乘并求积分时,就等价于对该被积函数的采样,即

$$\int_{-\infty}^{\infty} \delta(t - t_0) g(t) dt = g(t_0) \quad (16.1)$$

冲激函数的傅里叶变换是一个指数, 即

$$H(\omega) = \int_{-\infty}^{\infty} \delta(t - t_0) e^{-i\omega t} dt = e^{-i\omega t_0} \quad (16.2)$$

可见, 时域上的延时等价于频域乘以一个指数延时因子。如果冲激函数没有延时, 即  $t_0 = 0$ , 那么,  $H(\omega) = 1.0$ , 为常数。

这种关系可以推广为如下一般形式 (其中  $I$  表示傅里叶变换算子)

$$\mathcal{F}[g(t - b)] = e^{-i2\pi bf} G(\omega) \quad (16.3)$$

如果再加上一个比例因子, 那么, 该式所表示的 FT 时移性质就更通用了, 即

$$\mathcal{F}[g(a(t - b))] = \frac{e^{-i\omega b}}{|a|} G(\omega/a) \quad (16.4a)$$

注意, 傅里叶反变换也具有相似的性质 (反变换用  $I^{-1}$  表示), 即

$$\mathcal{F}^{-1}[G(a(\omega - b))] = \frac{e^{-ibt}}{|a|} g(t/a) \quad (16.4b)$$

最后, 冲激函数还有一个重要特性, 即

$$\delta(at) = \frac{1}{|a|} \delta(t) \quad (16.5)$$

### 例 16.1

请计算  $R(\omega) = \sin[3(\omega - \omega_0)t_1]$  的傅里叶反变换。

解:

$R(\omega)$  的基函数  $G$  是

$$G(\omega) = \sin(\omega t_1) = \frac{e^{i\omega t_1} - e^{-i\omega t_1}}{2i}$$

于是, 由式 (16.2) 表示的傅里叶变换可得

$$\mathcal{F}^{-1}[G(\omega)] = g(t) = (i/2) [\delta(t - t_1) - \delta(t + t_1)]$$

令式 (16.4b) 的  $a = 3$  且  $b = \omega_0$ , 可得

$$\mathcal{F}^{-1}[R(\omega)] = (e^{i\omega_0 t}/3)(i/2) \left[ \delta\left(\frac{t - t_1}{3}\right) - \delta\left(\frac{t + t_1}{3}\right) \right]$$

根据式 (16.5) 冲激函数比例因子的特性, 可知  $r(t)$  为

$$r(t) = (e^{i\omega_0 t})(i/2) [\delta(t - t_1) - \delta(t + t_1)] \quad \blacksquare$$

## 16.2 超声诊断成像

超声诊断成像是应用最广泛的医学成像技术, 它能够实时动态显示人体结构和血流动力学信息, 成本低且安全, 没有电离辐射, 因此, 在过去的 50 年里, 其发展和推广非常迅速。随着技术的改进和电子器件的微型化, 超声系统的成本和体积不断减小, 使得便携式系统的出现成为可能。本节讲述诊断超声的发展历史和基本原理。



### 16.2.1 超声成像的发展历史

虽然人们早就知道蝙蝠可以利用声音的回波进行定位,但是,出乎意料的是,直到1913年泰坦尼克号巨轮沉没之后,人类才开始使用超声定位技术。超声是频率高于人耳听觉范围的声音。泰坦尼克号灾难发生数月之后,英国科学家 L. F. Richardson 发明了利用声音在水中或者空中进行冰山等物体的回波定位方法,并申请了专利。第一次世界大战末期,法国的 C. Chilowsky 和 P. Langevin 使用高功率电子发射器和压电换能器,发明了回波定位装置,用于潜水艇的定位和回波测距。回波测距原理的应用比电磁波雷达的应用要晚很多。雷达就是无线电探测和测距 (Radio Detection And Ranging, RADAR) 的简称。雷达中的回波测距线以极坐标的形式显示在平面位置指示器 (Plan Position Indicator, PPI) 上,形成径向圆形扫描线,它其实可以看做一种早期的脉冲回波成像技术。这种显示技术后来被研究人员发展成为水下声呐,也就是声波导航和测距的简称 (Sound Navigation And Ranging, SONAR)。

这些技术在第二次世界大战期间得到了推广和应用,二战结束之后,有些医生想把回波定位原理用于人体内部物体的探测。碰巧,在大量废弃的军用设备中,他们找到了一种可用于检测固体物质内部缺陷的超声波反射测试仪。如图 16.1 所示,这种仪器可以重复发出几微秒长度的短脉冲声波,脉冲之间的时间间隔较长,约为 1 ms。

生物组织边界位置的测定需要用短脉冲超声波。图 16.2 所示是一种典型的回波测距装置,图中下方显示了随时间变化的回波记录信号。其中,每个回波的延时  $t$  等于声源与被测物体之间距离的两倍 (记为  $2z$ ) 除以声波在物质中的传播速度  $c$ ,也就是  $t = 2z/c$ 。回波测距仪含有一个压电换能器,它既可以将电脉冲转换成声波脉冲,反过来,

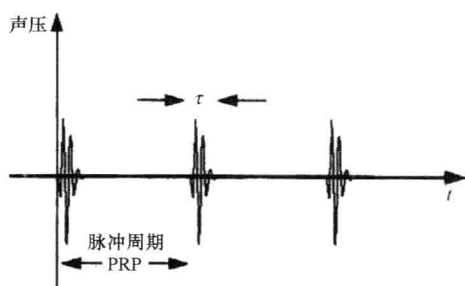


图 16.1 周期性发射的声波脉冲序列

注:脉冲重复周期称为 PRP (Pulse Repetition Period)。通常,为了辨别不同生物组织的边界位置,脉冲的-3dB 宽度只有几微秒,而 PRP 约为 1ms。为了方便观察,图中的声波脉冲及其 PRP 并没有按比例画出。图中横坐标表示时间,纵坐标表示声压。对于疏密相间的纵波,稠密区域的声压为正值;稀疏区域的声压为负值。

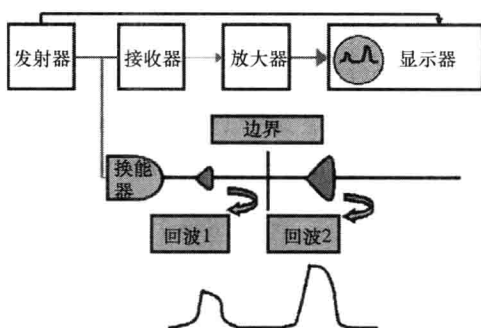


图 16.2 基本回波测距系统

注:主要包括发射器、换能器、接收器、放大器和显示器等部分。图下方所示两个不同延时的回波脉冲对应于上方不同深度的反射物体。

也可以将目标物反射回来的回波转换成电信号。回波电信号再由放大器放大之后,显示在示波器上,成为随时间变化的曲线。这种显示方式称为 A 型超声,其中 A 表示幅值。

1949 年,美国海军医生 G. Ludwig 发表了他测得的人体各个不同部位的声波传播速度,其平均值约为  $c_0 = 1540\text{m/s}$ 。如表 16.1 所示,后来更精确的测量结果同样表明,多数生物组织的声速都很接近,仅有百分之几的差别。这一重要发现意味着,只要用具有恒定声速  $c_0$  的简单延时方程就可以计算人体不同脏器的位置。如今新型超声成像系统仍然使用这个原理。换言之,超声图像中人体脏器位置测定的精度很大程度上取决于视野内声波速度的均匀性。

表 16.1 生物组织的声特性

物体	$c/(\text{m/s})$	$\alpha/(\text{dB/MHz}^y \cdot \text{cm})$	$y$	$\rho/(\text{kg/m}^3)$	$Z/(\text{M Rayl})$
空气	343			1.21	0.0004
骨骼	3360	3.54	0.9	1789	6.00
血液	1550	0.14	1.21	1039	1.61
脂肪	1450	0.6	1.0	952	1.38
肾脏	2030			1420	2.89
肝脏	1570	0.45	1.05	1051	1.65
肌肉	1580	0.57	1.0	1041	1.645
20℃ 水	1482.3	$2.17 \times 10^{-3}$	2.0	1000	1.482

Ludwig 还测量了生物组织的声阻抗特征参数,即  $Z = \rho c$ ,其中  $\rho$  和  $c$  分别是组织的密度和声速。他发现在两种不同生物组织的交界面处,声波的反射系数 (Reflection Factor, RF) 与这两种生物组织的阻抗  $Z_1$  和  $Z_2$  有关,即

$$RF = \frac{Z_2 - Z_1}{Z_2 + Z_1} \quad (16.6a)$$

另一位美国医生 D. Howry 也独立地发现,由于组织的反射系数很小,除了含有气体的区域和骨骼之外,超声很容易穿过多层软组织。1956 年,他利用声波作出了人体的详细解剖图,结果表明,图中人体内部各种脏器和组织的位置和大小都与已知数据相符。

声波反射系数的分贝值 (即 dB) 的计算公式为

$$RF_{\text{dB}} = 20\lg(RF) \quad (16.6b)$$

图 16.3 显示了以血液为参考阻抗  $Z_1$  计算得到的各种人体组织的反射系数分贝值。这些系数之间的差别足以分辨不同的组织,这是医学超声成像的基础。

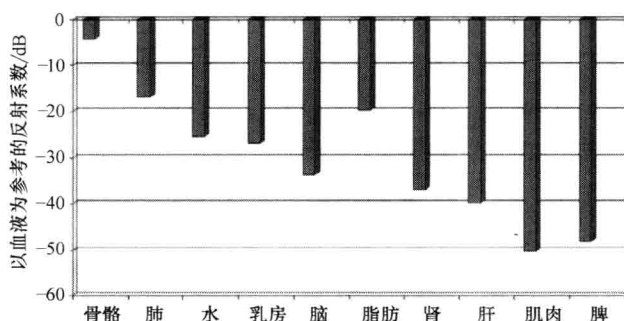


图 16.3 以血液为参考阻抗的人体各种组织的反射系数的分贝值

1951 年，英国外科医生 J. J. Wild 和美国电气工程师 J. Reid（现在是一位荣誉退休教授）在明尼苏达用一台废弃的 15MHz 雷达仿真器开展研究，发现了超声对于医学诊断具有重要价值，当时他们想用超声探测胃癌。他们对脉冲回波的波形进行了各种计算，用于分析健康组织与病变组织的特性，并由此开创了所谓的组织定征（tissue characterization）这个新领域。在此过程中，Wild 和 Reid 开发了近乎实时的超声成像系统，发明了将不同换能器直接放在人体皮肤上的多种方法。换能器用于发射声波、接收脉冲回波，并将回波信号转换成电信号。

20 世纪 50 年代，国际上很多研究小组开始关注超声的医学诊断潜能。日本的 S. Satomura、Y. Nimura 和 T. Yoshida 用多普勒频移技术测量了心脏的血流，而瑞典的 I. Edler 和 C. H. Hertz 则用超声研究心脏的运动，开创了超声心动图（echo-cardiography），用于研究心脏的动力学特性。

经过世界各国研究人员的不断努力，超声成像技术迅速发展。不过，虽然当时超声已经可以探测人体内部脏器和心脏的活动，但是，其使用仍然仅局限于实验室。在 20 世纪 60 年代初之前，X 射线机广泛用于孕妇和胎儿的成像。而英国流行病学家 Alice Stewart 却在 1956 年发表文章，指出儿童患癌症死亡与母亲在怀孕期间受到 X 射线照射有关。这一悲剧事件的发现第一次给超声成像带来了商机，因为它是一种安全的胎儿成像技术。

20 世纪 60 年代初，多家公司开发了适用于胎儿等人体内部结构成像的超声成像系统。1965 年，德国西门子公司的 R. Soldner 设计了第一台实时机械超声成像扫描仪。1968 年，I. McDonald 和 T. G. Brown 博士成功地研制了第一台超声诊断仪产品 Diasonograph。

这些研究人员最终所偏爱的脉冲回波超声成像仪的基本结构如图 16.4 所示。图像由一系列按照一定顺序排列的脉冲回波扫描线构成，其中每条扫描线对应于图 16.1 所示脉冲序列中的一个脉冲。图 16.4 显示了超声波声束扫描某个椭圆形状物体时的情景。首先，将压电换能器置于某个扫描位置，它所发射的声波脉冲遇到椭圆物体前后两个边界时都会产生反射波，这两个回波信号在监视器上呈现为相应垂直扫描线上的两个亮点。注意，监视器上显示的扫描线从上至下是时间增加的方向。然后，换能器沿某个方

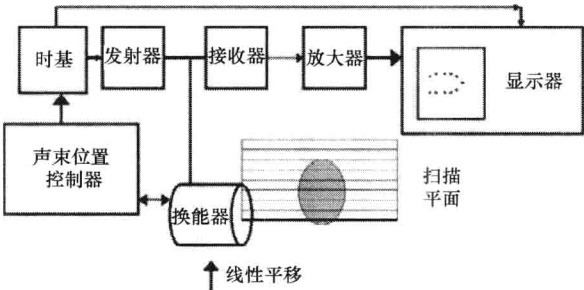


图 16.4 机械扫描式脉冲回波成像系统的基本结构  
注：与回波测距系统不同的是，此系统有一个声束位置控制器，并且，信号显示方式也不同。

向平移 to 下一个扫描位置, 再重复上述检测过程, 依此类推, 直到整个物体扫描结束为止。最后, 显示在监视器上的一组垂直扫描线就依次对应于换能器的各个扫描位置, 从而形成了物体的超声图像。早期, 这种超声图像要么用长余辉阴极射线管显示, 要么用曝光时间较长的照相机拍摄。这种成像模式称为 B 型超声, “B” 是亮度 (brightness) 的意思, 因为其回波幅值的大小用灰度显示来表示。B 型超声刚问世时, 其监视器只能显示黑白两种颜色, 白色对应于大回波幅值, 黑色则对应于小回波幅值。后来, 随着电子技术的发展, 监视器能够用真正的灰度级来表示各个回波幅值的大小, 这样, 就可以显示出人体组织之间比较细微的差别。

还有研究人员开发了电子开关控制的电子激发式微型换能器阵列, 于是, 机械移动式的单换能器结构立即就被快速实时的成像阵列所取代。J. C. Somer 和 N. Bom 两位科学家为此做出了重要贡献。Somer 在 1968 年证实了超声相控阵实现的可能性, 而 Bom 则于 1971 年在荷兰首次研制成功线性相控阵。到了 20 世纪 80 年代, 几乎所有超声成像系统商品都采用了阵列结构。

此后, 超声成像又经历了许多重要的发展, 本章后面的 16.2.6 节和 16.2.7 节会陆续讲述这些新进展。下面先介绍生物组织的声散射和声吸收, 以及用于超声成像的压电换能器 (主要是换能器阵列)、成像系统和各种特殊的信号处理方法, 它们是现代超声成像系统的基础。

## 16.2.2 声波的传播、反射和折射

超声成像基于声波的发射和回波的接收。声波是一种振动波, 它可以穿过介质, 或者沿介质表面传播。小石块掉进平静的水面时会激起一圈圈扩散的涟漪。同样, 振动波也具有随时间变化的空间传播过程。

平面波和球面波是描述声波传播的两种很有用的简化模型。球面波的波阵面是一个半径随时间不断扩大的球面。而平面波则是一维模型, 它假设声波的波阵面在垂直于传播方向的二维平面上是无限大的。简单一维平面波可以用如下方程描述

$$p(z, t) = A \exp[i\omega(t - z/c_0)] + B \exp[i\omega(t + z/c_0)] \quad (16.7)$$

式中  $t$ ——时间;

$z$ ——传播方向上的坐标值。

式中两个指数函数的参数分别代表沿  $z$  轴正方向和负方向传播的声波。设声波的角频率  $\omega$  是常数, 来看第一项指数函数。当其参数  $\omega(t - z/c_0)$  等于  $\pi$  时, 该函数的值是个实数, 为  $-1$ 。然后, 随着  $t$  和  $z$  的增加, 其参数会等于  $3\pi$ , 此时函数值再一次等于  $-1$ 。由此可见, 该参数描述的是向前传播的波阵面, 波阵面的延时等于距离除以声速  $c_0$ , 即  $t = z/c_0$ 。

波数  $k$  定义为

$$k = 2\pi f/c_0 = \omega/c_0 \quad (16.8)$$

式中  $f$ ——频率。

在描述声波时, 图 16.5 所示的正弦波具有两种含义, 它既可以看作某给定时刻下

随传播距离变化的声波振动 (其波长为  $\lambda = 2\pi/k$ ), 也可以看作某给定位点上随时间变化的声波振动 (其周期为  $T = 2\pi/\omega$ )。

液体中, 声压  $p$  与质点振动速度  $v$  之比被称为声波的声阻抗率 (specific acoustic impedance), 也就是特征声阻抗:

$$Z_L = p/v_L = \rho c_L \quad (16.9)$$

式中  $\rho$ ——介质的密度。

下标  $L$  表示纵波, 这种波在成像技术中最重要。注意, 向前传播的声波  $Z_L$  值为正, 而向后传播的声波  $Z_L$  值为负。对于  $20^\circ\text{C}$  淡水,  $\rho = 998\text{kg/m}^3$ ,  $c_L = 1481\text{m/s}$ ,  $Z_L = 1.48\text{M Rayl}$  ( $1\text{M Rayl} = 10^6\text{kg}/(\text{m}^2 \cdot \text{s})$ )。纵波的振动方向与传播方向一致, 其正弦波的正半周称为密波, 负半周则称为疏波 (如图 16.5b 所示)。

瞬时声强 (instantaneous intensity) 定义为

$$I_L = pv^* = pp^*/Z_L = vv^*Z_L \quad (16.10)$$

下面利用式 (16.7) 表示的平面波方程来计算反射波的幅度。如图 16.6 所示, 假设单一频率的平面声波在某种理想液体介质中垂直传向两种介质的交界面, 声波与交界面的距离为  $d$ 。平面波是一种正弦波, 它在传播方向  $z$  之外的  $x$  和  $y$  两个方向上视为无限大。此例中, 设声波所在介质 1 的波数为  $k_1$ , 阻抗为  $Z_1$ , 而介质 2 的波数为  $k_2$ , 阻抗为  $Z_2$ 。如图所示, 介质 2 左边的声波可以用向前和向后传播的两个声波的组合来表示, 即

$$p = p_0 \exp[i(\omega t - k_L z) + RF p_0 \exp[i(\omega t + k_L z)]] \quad (16.11)$$

这是式 (16.7) 的改进形式, 其中  $k_L = k_1$ ,  $RF$  是负向声波幅值的反射系数。

为了解释反射系数  $RF$  的求解过程, 最好先用大家比较熟悉的电学变量来模拟声波变量, 也就是, 将声压比作电压, 将质点振动速度比作电流。这样, 如图 16.6 所示,  $z=d$  处可以看做有一个电压源; 介质 2 可以看做位于  $z=0$  处的阻抗为  $Z_2$  的一个实数负载, 它是半无限大。 $z=0$  处的声压  $p_2$  可以看做  $Z_2$  两端的电压差。于是, 去掉式 (16.11) 的公共项  $\exp(i\omega t)$ , 可得

$$p_2 = p_0(1 + RF) \quad (16.12)$$

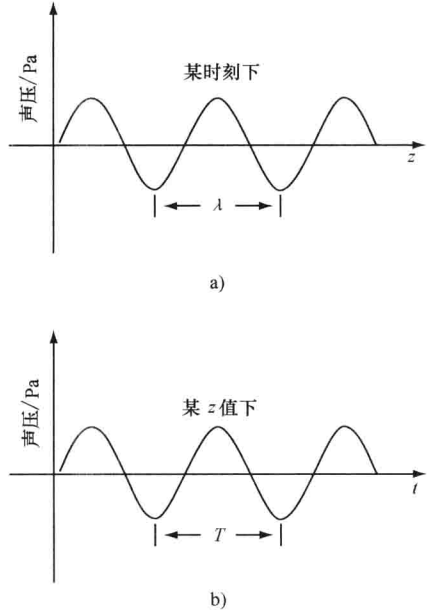


图 16.5 正弦波声波

a) 某固定时刻下随空间传播距离变化的声波传播正弦函数 b) 某固定距离  $z$  下随时间变化的声波传播正弦函数

注: 图中纵坐标表示声压。两图中两个相邻波谷或者波峰之间的距离或者时间分别定义为声波的波长  $\lambda$  或周期  $T$ 。

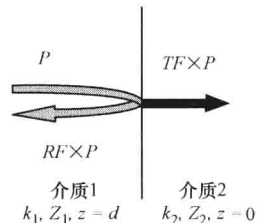


图 16.6 声波在阻抗为  $Z_1$  和  $Z_2$  的两种介质交界面处的一维传播模型

$z=0$  处的质点速度可以看做流动方向相反的两个电流之和, 这两个电流分别对应于入射声波和反射声波。由式 (16.9) 可知

$$v_2 = (1 - RF)p_0/Z_1 \quad (16.13)$$

则阻抗  $Z_2$  就是

$$Z_2 = \frac{p_2}{v_2} = \frac{(1 + RF)Z_1}{1 - RF} \quad (16.14)$$

求解此方程, 即可得

$$RF = \frac{Z_2 - Z_1}{Z_2 + Z_1} \quad (16.15a)$$

透射系数  $TF$  (transmission factor) 就是

$$TF = 1 + RF \quad (16.15b)$$

即

$$TF = \frac{2Z_2}{Z_1 + Z_2} \quad (16.15c)$$

### 例 16.2

假设图 16.6 所示的介质 1 是水, 请分别计算开放界面、完全匹配界面和刚性界面这 3 种情况下声波的反射系数和透射系数。

解:

开放情况下介质 1 与空气交界, 这种情况可以用开路电路来模拟, 即  $Z_2 = 0$ 。由式 (16.15a) 可知, 此时  $RF = -1$ , 也就是入射声波会产生  $180^\circ$  反转, 于是, 反射声波与入射声波相互抵消, 因此  $TF = 0$ 。

阻抗匹配情况下  $Z_2 = Z_1$ , 于是  $RF = 0$ , 也就是没有反射声波; 而  $TF = 1$ , 声波全部透射到介质 2 中。

刚性边界的情况下  $Z_2 = \infty$ , 相当于短路电路, 是一个无声压边界, 于是  $RF = +1$ , 入射声波将被全部反射回来, 且没有相位反转, 入射声波与反射声波同相位。此时  $TF = 2$ 。

下面介绍液-液界面上的斜入射平面波。 ■

如果入射波不与界面垂直, 那么, 会发生什么情况呢? 图 16.7 描述了这种情况, 液体介质 1 中的单一频率纵波在  $x-z$  平面上与法线成  $\theta_i$  角度入射到液体介质 1 与 2 的交界面上。假设界面处的声压和质点振动速度连续, 且声波波数的切向分量也相互匹配, 即在界面处有

$$k_{1x} = k_1 \sin \theta_i = k_2 \sin \theta_T = k_1 \sin \theta_R \quad (16.16a)$$

式中  $k_1$  和  $k_2$ ——分别是介质 1 和介质 2 的波数;

$\theta_i$ ——入射角;

$\theta_R$ ——反射角, 与入射角相等;

$\theta_T$ ——折射角。

声学的 Snell 定理是:

$$\frac{\sin\theta_I}{\sin\theta_T} = \frac{c_1}{c_2} \quad (16.16b)$$

根据此式可以计算折射角  $\theta_T$ 。式 (16.16a) 则可用于计算反射角  $\theta_R$ 。由这些公式可知,  $z$  方向上的各个波数分量分别为

$$\text{入射波 } k_{Iz} = k_1 \cos\theta_I \quad (16.17a)$$

$$\text{反射波 } k_{Rz} = k_1 \cos\theta_R \quad (16.17b)$$

$$\text{透射波 } k_{Tz} = k_2 \cos\theta_T \quad (16.17c)$$

对于不同的人射角和折射角, 两种介质的有效阻抗分别为

$$Z_{1\theta} = \frac{\rho_1 c_1}{\cos\theta_I} = \frac{Z_1}{\cos\theta_I} \quad (16.18a)$$

和

$$Z_{2\theta} = \frac{\rho_2 c_2}{\cos\theta_T} = \frac{Z_2}{\cos\theta_T} \quad (16.18b)$$

可见, 有效阻抗是入射角或者折射角的函数。当声波垂直入射时, 有效阻抗最小, 即为介质阻抗; 随着入射角的增加, 有效阻抗也增大。入射声波进入介质 2 时, 传播方向发生变化, 这种现象称为声波的折射。对于两种半无限大液体介质的交界面, 各介质的特征阻抗就可以用式 (16.18a) 和式 (16.18b) 来表示, 于是, 根据式 (16.15a), 声波沿反射角  $\theta_R$  方向传播的反射系数就是

$$RF = \frac{Z_{2\theta} - Z_{1\theta}}{Z_{2\theta} + Z_{1\theta}} = \frac{Z_2 \cos\theta_I - Z_1 \cos\theta_T}{Z_2 \cos\theta_I + Z_1 \cos\theta_T} \quad (16.19a)$$

声波沿折射角  $\theta_T$  方向传播的透射系数则为

$$TF = \frac{2Z_{2\theta}}{Z_{1\theta} + Z_{2\theta}} = \frac{2Z_2 \cos\theta_I}{Z_2 \cos\theta_I + Z_1 \cos\theta_T} \quad (16.19b)$$

先用式 (16.16b) 计算出  $\theta_T$ , 然后, 就可以求得  $RF$  和  $TF$  的值。这种液-液界面常用于模拟组织与组织交界面上的声波传播。

### 例 16.3

假设声波入射到水与肾脏之间的交界面上, 请计算入射角为  $45^\circ$  和  $50^\circ$  时的反射系数。声波在水 (即介质 1) 和肾脏 (即介质 2) 中的声速分别为  $1.48\text{km/s}$  和  $2.03\text{km/s}$ , 阻抗分别为  $1.48\text{M Rayl}$  和  $2.89\text{M Rayl}$  (参见表 16.1)。

解:

根据 Snell 定理, 由式 (16.16b) 可求得入射角为  $45^\circ$  时的声波折射角为

$$\theta_T = \arcsin[(2.05/1.48) \sin 45^\circ] = 78.4^\circ$$

于是, 由式 (16.19a) 可得入射角为  $45^\circ$  时的反射系数为

$$RF = \frac{2.89 \times \cos 45^\circ - 1.48 \times \cos 78.4^\circ}{2.89 \times \cos 45^\circ + 1.48 \times \cos 78.4^\circ} = 0.746$$

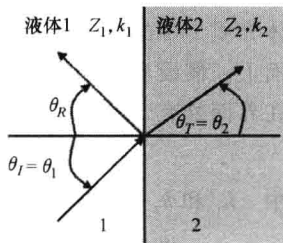


图 16.7 液-液交界面处的斜入射纵波 ( $x$  轴与界面平行, 而  $z$  轴则与界面垂直)

在计算入射角为  $50^\circ$  时的反射系数之前, 应该先算出折射波平行于界面传播时的临界入射角。设 Snell 定理中的  $\theta_r$  等于  $90^\circ$ , 求得临界角为  $\theta_l = 46.22^\circ$ 。因此,  $50^\circ$  入射角已经超过了临界角, 声波会全部反射, 没有透射, 即  $RF = 1$ 。 ■

### 16.2.3 换能器的基本原理

超声系统的关键技术就是声波的产生和接收, 这两个功能都由换能器实现。换能器既能够将电信号转换成声波信号, 反过来, 也能够将声波信号转换成电信号。其内部是一种压电晶体或者压电陶瓷, 外加电压时, 它会发生变形而发射出声波; 反过来, 当晶体受到机械变形作用时, 就会产生电荷, 因此, 换能器可以将返回的声波重新转换成电信号。这种压电效应是居里兄弟于 1880 年发现的。

下面用一个简化模型来描述压电换能器的基本声学特性和电学特性。如图 16.8 所示, 设换能器用一片长方形压电晶体制作, 其左右两侧装有电极, 两个侧面的截面积都为  $A$ , 且侧面的上下边要比晶体的厚度  $d$  大很多 (请注意图中  $d$  不是上下方向——译者注), 至少为 10 倍。由于压电材料是绝缘电介质, 因此, 它其实构成了一个电容器, 电容值为

$$C_0 = \epsilon^S A / d \quad (16.20)$$

式中  $\epsilon^S$ ——无变形情况下晶体的介电常数。

晶体是固体, 不是液体, 其内部会产生弹性波。应力是描述弹性波压强的变量, 它是指单位面积上的力, 用符号  $T$  表示。另一个重要的弹性变量是应变, 用  $S$  表示, 它等于晶体长度的变化量除以其原始长度, 也就是相对长度变化。压电材料在各个不同方向上的应力和应变都不同, 不过, 对于单向传播的声波, 其产生的应力与应变之间具有如下关系

$$T = C^D S - hD \quad (16.21)$$

式中  $h$ ——压电常数;

$C^D$ ——弹性刚度常数 (elastic stiffness constant)。

此方程被称为修正的 Hooke 定律, 右边第一项是应变引起的应力, 第二项则是外加电场引起的应力。弹性刚度常数  $C^D$  是在电介质位移量设定为  $D$  的情况下测得。如果外加电场为  $E$ , 则

$$D = \epsilon^S E = \frac{\epsilon^S AV}{dA} = C_0 V / A \quad (16.22)$$

如果在两个电极之间加上一个电压脉冲, 那么, 换能器两边由压电效应产生的冲击力为

$$F(t) = TA = (hC_0 V / 2) [-\delta(t) + \delta(t - d/c)] \quad (16.23)$$

式中  $\delta$ ——冲激函数, 如图 16.8b 所示;

$c$ ——声速。

如果压电晶体两侧的外部介质与晶体换能器具有相同的声阻抗  $Z_c$ ; 那么, 两个电极之间的声速为  $c = \sqrt{C^D / \rho}$ 。

压电晶体会产生声波, 因此, 它可以看做一种具有独特音调 (即频谱特性) 和谐振频率的蜂鸣电容器。将式 (16.23) 进行傅里叶变换就可以得到该冲激响应的频谱, 即



$$F(f) = -i(hC_0V)e^{\frac{-i\pi fd}{c}} \sin[\pi(2n+1)f/2f_0] \quad (16.24)$$

如图 16.8c 所示, 其谐振基波频率为  $f_0 = c/2d$ , 奇次谐波 (即  $n = 0, 1, 2, 3 \dots$ ) 处具有最大值。

### (1) 换能器的电阻抗

换能器两侧产生声压时会改变两极之间的等效电阻抗, 增加一个辐射阻抗 (radiation impedance)  $Z_A$ , 该阻抗与晶体本身的容抗串联, 于是, 换能器总的电阻抗为

$$Z_T = Z_A - i(1/\omega C_0) = R_A(f) + i[X_A(f) - 1/\omega C_0] \quad (16.25)$$

图 16.9a 所示是换能器的等效电路, 其中辐射阻抗  $Z_A$  由实部  $R_A$  和虚部  $X_A$  组成。实部  $R_A(f)$  可以从换能器的总有功率  $W_E$  求得。如果在外加电压  $V$  的作用下流过换能器的电流为  $I$ , 则  $W_E$  为

$$W_E = II^* R_A / 2 = |I|^2 R_A / 2 \quad (16.26a)$$

其中  $I = i\omega Q = i\omega C_0 V$ ,  $Q$  为电荷。假设与晶体阻抗相等的周围介质的修正声阻抗率 (即包含面积因子的声阻抗) 为  $Z_c = \rho c A$ , 那么, 换能器两边发射的总功率为

$$\begin{aligned} W_A &= ATT^* / (2Z_c/A) = A^2 |F(f)/A^2| / 2Z_c \\ &= |hC_0 V \sin(\pi f/2f_0)|^2 / 2Z_c \end{aligned} \quad (16.26b)$$

令式 (16.26a) 和式 (16.26b) 所表示的两个功率相等, 就可以求得  $R_A$  为

$$R_A(f) = R_{AC} \text{sinc}^2(f/2f_0) \quad (16.27a)$$

其中  $\text{sinc}(x) = \sin(\pi x) / (\pi x)$ , 且

$$R_{AC} = \frac{k_T^2}{4f_0 C_0} = \frac{d^2 k_T^2}{2A\epsilon^S} \quad (16.27b)$$

式中  $k_T$ ——电声耦合常数, 且  $k_T = h / \sqrt{C^D/\epsilon^S}$ 。

注意,  $R_{AC}$  与电容  $C_0$  和换能器的面积  $A$  成反比, 且直接与厚度  $d$  的二次方成正比。并且, 谐振时有

$$R_A(f_0) = \frac{k_T^2}{\pi^2 f_0 C_0} \quad (16.27c)$$

根据电路理论, 辐射阻抗的虚部可以通过实部的 Hilbert 变换求得, 即

$$X_A(f) = \mathcal{H}_i[R_A(f)] = R_{AC} \frac{[\sin(\pi f/f_0) - \pi f/f_0]}{2(\pi f/2f_0)^2} \quad (16.28)$$

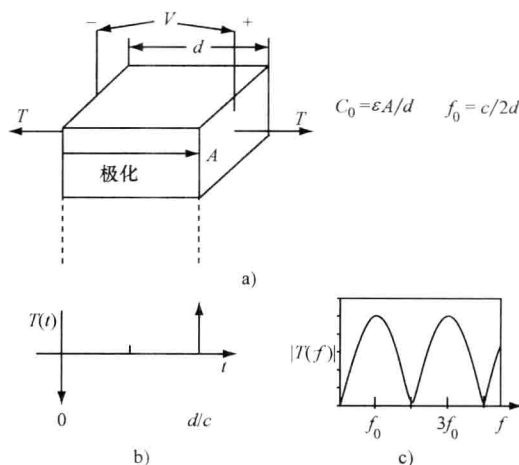


图 16.8 压电换能器的简化模型

a) 压电晶体向阻抗与之匹配的介质发射声波的示意图  
b) 应力的时间响应 c) 应力的频率响应

图 16.9b 显示了换能器阻抗随频率变化的函数曲线, 谐振频率  $f_0$  处  $R_A$  达到最大值, 而此时  $X_A$  为 0。

上述简化模型描述了压电换能器的基本特性, 在谐振频率处其电阻抗的辐射阻抗实部为最大, 声压频谱也在谐振频率处有峰值, 并且具有特定的形状。

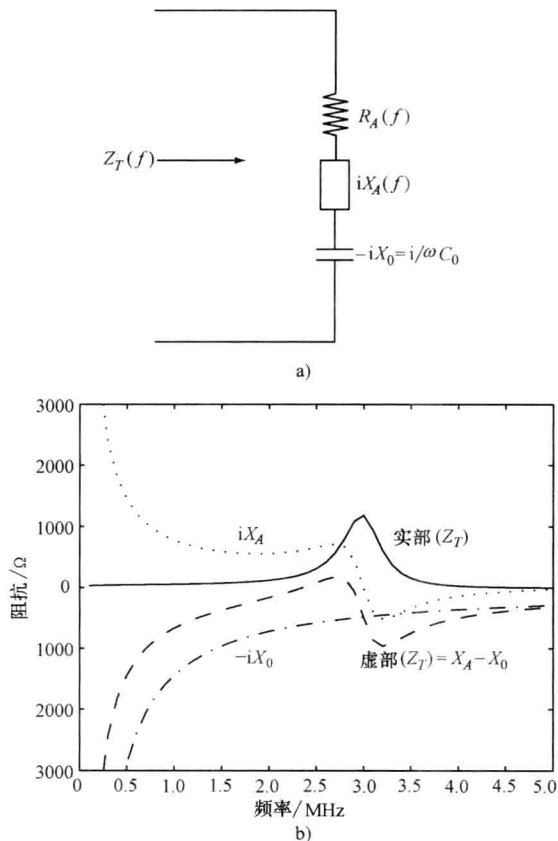


图 16.9 换能器等效电路 (图 a) 和换能器阻抗随频率变化的函数曲线 (图 b)

#### 例 16.4

设某块压电陶瓷片 PZT5A 的两面均为边长是 2.5mm 的正方形, 其谐振频率为 3MHz, 且  $\epsilon^S/\epsilon_0 = 830$ ,  $c = 4.35\text{km/s}$ ,  $k_r = 0.49$ ,  $\epsilon_0 = 8.85\text{pF/m}$ 。请计算该换能器谐振时的阻抗。

解:

首先, 计算产生 3MHz 谐振频率的压电陶瓷片所需的厚度。由谐振频率  $f_0 = c/2d$ , 可得  $d = c/2f_0 = 4.35\text{mm}/\mu\text{s}/2 \times 3\text{MHz} = 0.725\text{mm}$ 。

然后, 计算压电陶瓷的电容

$$C_0 = \frac{830 \times 8.85 \times 10^{-12} \text{F/m} \times (2.5 \times 10^{-3} \text{m})^2}{7.25 \times 10^{-4} \text{m}} = 63.3 \text{pF}$$

于是, 由式 (16.27c) 可以计算  $R_A$ :

$$R_A = \frac{0.49^2}{\pi^2 \times 3 \times 10^6 \text{ Hz} \times 63.3 \times 10^{-12} \text{ F}} = 128.2 \Omega$$

注意, 此式分母的单位是  $\text{Hz} \cdot \text{F} = \text{A/V} = \Omega^{-1}$ 。

最后, 由于谐振时  $X_A = 0$ , 根据式 (16.25), 可得

$$Z_T = 128 - i/(2 \times \pi \times 3 \times 10^6 \text{ Hz} \times 63.3 \times 10^{-12} \text{ F}) = 128 - i838 \Omega$$

## (2) 换能器的频率响应

设计换能器时, 首先是要改变其频谱的形状, 得到所需的带宽, 使换能器具有较窄的脉冲波形和良好的冲击响应; 其次, 是要提高换能器的电声效率。电声效率的一种衡量指标是换能器的损耗, 也就是, 到达人体组织等被测介质的声功率的时间平均值  $W_R$  与电源输出最大功率  $W_g$  之比, 即

$$TL(f) = \frac{W_R}{W_g} \quad (16.29a)$$

其分贝 (dB) 形式定义为

$$TL_{\text{dB}}(f) = 10 \lg TL(f) \quad (16.29b)$$

换能器的损耗还可以进一步分解为电损耗因子  $EL(f)$  与声损耗因子  $AL(f)$  之积, 即

$$TL(f) = EL(f) AL(f) \quad (16.30)$$

如果要将尽可能多的电功率传输给换能器的辐射阻抗, 那么, 就要在所需带宽上使  $EL(f)$  最大化。图 16.10 所示的等效电路模型中显示了与该问题相关的各个参数。图中的换能器电阻抗通过一个可调电感与一个内阻为  $R_g$  的电压源相连。此时换能器的电损耗为

$$EL(f) = \frac{4R_A(f)R_g}{[R_A(f) + R_g + R_s]^2 + \left[X_A(f) - \frac{1}{\omega C_0} + \omega L_s\right]^2} \quad (16.31a)$$

如果调节可变电感, 使电路中的电容与电感串联谐振, 即  $L_s = 1/(\omega_0^2 C_0)$ , 且设  $R_s = 0$ , 那么, 谐振时

$$EL(f_0) = \frac{4R_A(f_0)R_g}{[R_A(f_0) + R_g]^2} \quad (16.31b)$$

注意, 如果  $R_A = R_g$ , 且  $R_s \ll R_g$ , 那么  $EL(f_0) \approx 1$ 。

声损耗  $AL(f)$  是频率的复杂函数, 但谐振时其值的计算比较简单。本节前面所述的换能器模型中, 为了简化, 假设压电晶体两边的声负载具有与压电晶体相同的声阻抗; 但是, 这种情况一般并不成立, 如图 16.11

所示的换能器探头就是例子。注意, 此图中压电晶体的

位置与图 16.8 不同, 它旋转了  $90^\circ$  角。图中压电晶体上面加了背衬材料, 下面则通过透镜与水或者人体组织接触, 构成换能器的工作端面。前向声波经工作端面发出, 并沿  $z$  轴正方向传播出去。图中向下的方向就是  $z$  轴正方向。沿  $z$  轴负方向传播的反向声波则

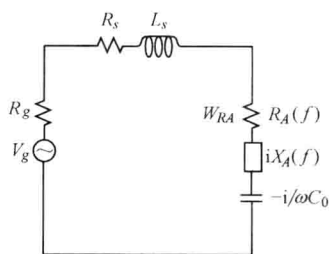


图 16.10 电压源通过可调电感与换能器等效电路相连

被背衬材料吸收而受到抑制, 背衬材料还有助于增加换能器的带宽。下面按照图 16.8 从左到右的习惯来叙述。如果假设晶体左边的声阻抗为  $Z_L$ , 晶体右边沿  $z$  轴正方向的声阻抗为  $Z_R$ , 即  $Z_L = Z_B$  (背衬阻抗),  $Z_R = Z_w$  (水的阻抗); 那么, 谐振时其声损耗可以由下式计算

$$AL(f_0) = Z_R / (Z_L + Z_R) = Z_w / (Z_B + Z_w) \quad (16.32)$$

注意, 这些阻抗都包含了面积因子  $A$ 。此式的物理意义是: 换能器辐射阻抗所接收的电功率被转换为声功率, 并从压电材料两侧的电极表面辐射出去时, 沿  $z$  轴正方向传播的前向功率所占的比例就是式中的  $AL(f_0)$ 。

图 16.11 所示是单晶体的换能器结构, 其主要部分有背衬、黏附了导电电极薄层的压电晶体、匹配层, 以及声阻抗与水接近的透镜 (其作用是聚焦, 详见本章 16.2.6 节)。为了扩大换能器的带宽, 实际产品的匹配层不止一层, 下面还会讨论这个问题。

前述第一个简化模型中, 假设负载的声阻抗与压电晶体的声阻抗相等, 即  $Z_c = Z_L = Z_R$ , 因此, 就有  $AL(f_0) = 0.5$ 。再举一例, 假设图 16.8 晶体左边的负载是空气, 即  $Z_L = 0.4 \text{ M Rayl}^\ominus$ ; 而右边的负载是水, 即  $Z_R = 1.5 \text{ M Rayl}$ ; 那么, 此时可获得  $AL(f_0) = 1.0$ , 但是, 其代价是换能器的带宽极窄, 相应的脉冲响应时间很长。有趣的是, 如果背衬材料与晶体相匹配, 例如  $Z_L = Z_c = 30 \text{ M Rayl}$ , 且  $Z_R = 1.5 \text{ M Rayl}$  (即水); 那么, 此时  $AL(f_0) = 0.048$ , 几乎不能转换出有用的前向声波。

根据上述有关声损耗的分析可知, 为了提高前向声波的转换效率, 通常需要使用匹配层。在谐振频率上, 匹配层设计为  $1/4$  波长的厚度, 且其阻抗等于需要匹配的两种阻抗的均值, 即

$$Z_{ml} = \sqrt{Z_1 Z_2} \quad (16.33)$$

### 例 16.5

请在阻抗为  $Z_c = 30 \text{ M Rayl}$  的压电晶体与水 ( $Z_w = 1.5 \text{ M Rayl}$ ) 之间设计一层匹配层。

解:

由式 (16.33) 可知, 匹配层的阻抗是

$$Z_{ml} = \sqrt{Z_w Z_c} = \sqrt{1.5 \text{ M Rayl} \times 30 \text{ M Rayl}} = 6.7 \text{ M Rayl}$$

谐振时的声输入阻抗为

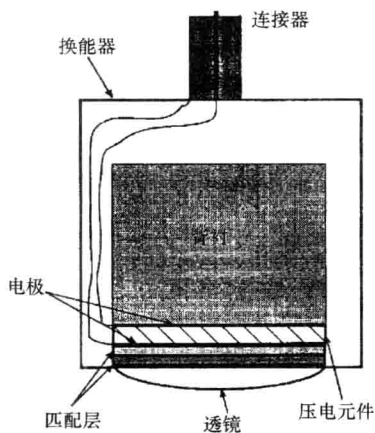


图 16.11 一种单晶体机械式换能器的结构

注: 由上至下是前向传播方向

$\ominus$  此处  $A$  表示面积因子,  $\text{M Rayl}$  为阻抗单位“兆瑞利”。——译者注

$$Z_1 = Z_{ml}^2 / Z_2$$

因此, 压电晶体右侧的等效负载阻抗为

$$Z_R = Z_{ml}^2 / Z_w = (6.7A)^2 / 1.5A = 30A \text{ M Rayl}$$

这样, 加上匹配层之后,  $A(f_0) = 30 / (30 + 30) = 0.5$ , 提高了 10dB 以上。

加上压电晶体左右两侧的负载之外, 用如下更通用的换能器辐射阻抗实部在谐振点上的计算公式, 就可以将匹配层的作用包括在内:

$$R_A(f_0) = \frac{2k_T^2}{\pi^2 f_0 C_0} \left( \frac{Z_c}{Z_L + Z_R} \right) \quad (16.34)$$

现在可以将声损耗和电损耗结合起来估计总的换能器损耗。为了便于论述, 这里做个简化, 假设声损耗在换能器整个带宽上为常数。实际的损耗可以用更完善的等效电路模型精确计算出来。由式 (16.30) 和式 (16.31a) 可得

$$TL(f) \approx \left\{ \frac{4R_A(f)R_g}{[R_A(f) + R_g + R_s]^2 + \left[ X_A(f) - \frac{1}{\omega C_0} + \omega L_s \right]^2} \right\} \left[ \frac{Z_R}{Z_R + Z_L} \right] \quad (16.35) \blacksquare$$

### 例 16.6

假设电压源内阻为  $R_g = 50\Omega$ , 请计算以下两种情况下例 16.4 所述压电换能器谐振时的损耗: 1) 没有调谐电感,  $Z_L = Z_B = 6A \text{ M Rayl}$ , 且  $Z_R = Z_w = 1.5A \text{ M Rayl}$ ; 2) 加一个调谐电感和一层匹配层。

解:

1) 例 16.4 中  $R_A = 128\Omega$ ,  $\frac{1}{\omega C_0} = 838\Omega$ , 因此

$$TL(f_0) = \frac{4 \times 128\Omega \times 50\Omega}{(128\Omega + 50\Omega)^2 + (838\Omega)^2} \times \frac{1.5A}{6A + 1.5A} = 6.98 \times 10^{-3}$$

即  $10\lg(TL) = -21.6\text{dB}$

2) 根据式 (16.34) 和例 16.4 的计算结果  $R_A = 128\Omega$ 。如果加入调谐电感, 电感值为  $L_s = 1/(\omega_0^2 C_0) = 838/(2\pi \times 3 \times 10^6) = 44.5\mu\text{H}$ , 于是

$$TL(f_0) = \frac{4 \times 128\Omega \times 50\Omega}{(128\Omega + 50\Omega)^2 + (838\Omega - 838\Omega)^2} \times \frac{30A}{30A + 1.5A} = 0.673$$

即  $10\lg(TL) = -1.72\text{dB}$  ■

用分贝 (即 dB) 表示带宽是描述换能器频率特性的一种方法, 例如,  $-6\text{dB}$  带宽是指频谱上幅值等于峰值的  $-6\text{dB}$  的两个点之间的频率差, 中心频率则用一高一低这两个  $-6\text{dB}$  频率来定义, 即

$$f_c = (f_{\text{high}} - f_{\text{low}})/2$$

图 16.12 显示了某个换能器的频率特性及其冲激响应。上图所示为  $-6\text{dB}$  带宽及其相关的各个频率数据; 下图所示为冲激响应及其包络线, 以及包络线的各个宽度数据。

### 3) 换能器的类型

一般超声成像系统并不使用单个晶体换能器, 而是采用换能器阵列。例如, 一维线阵

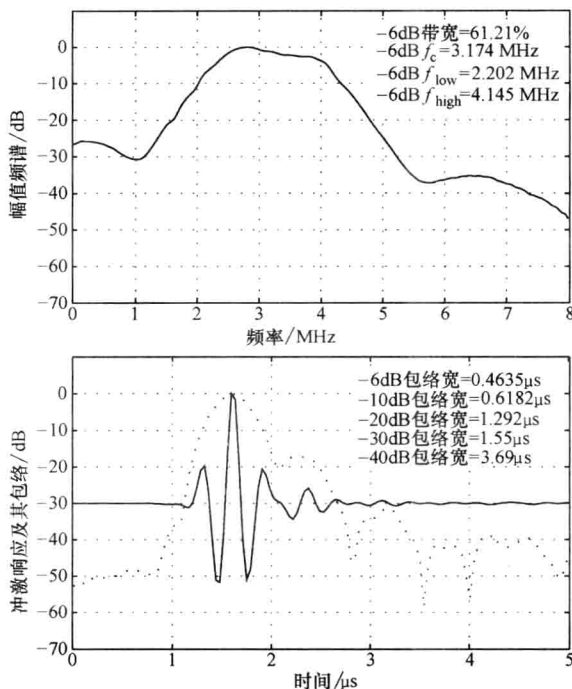


图 16.12 (上图) 换能器的幅值频谱和 -6dB 带宽和 (下图) 冲激响应及其包络线

由直线排列的一组换能器元件组成, 其中每个元件可以被单独寻址, 或者几个一组寻址。各个元件均匀排列, 元件之间的间距通常设定为水中声波波长的 0.5 ~ 2 倍。图 16.13 所示就是一种线阵。阵列的主要优点是可以用电子方式实现声束的快速聚焦、定向和切换。而纯粹的机械式单换能器的聚焦是固定的, 且换能器只能进行机械平移和转动。不过, 就基本工作原理而言, 阵列中的每个元件与独立的换能器是一样的。换能器阵列的聚焦问题将在本章 16.2.6 节讲述声波衍射时再讨论, 下面先介绍阵列的工作原理。

线阵和相控阵是两种最常用的超声换能器阵列。如图 16.14a 所示, 线阵通过改变换能器元件的激活窗来扫描产生图像。按照排列顺序, 线阵中的元件被一个个依次激活, 在每个激活位置上产生一条声波扫描线, 并接收其对应于一定测量深度的脉冲回波信号。这样, 扫描结束时, 共记录到  $N$  条平行扫描线的回波信号。相控阵的扫描方式与线阵不同。如图 16.14b 所示, 相控阵激活窗的中心位置固定不变,

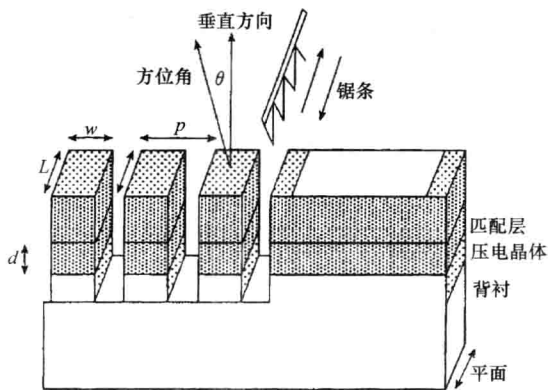


图 16.13 用锯子 in 多层材料上分割出独立的晶体元件, 从而制成一维线阵 (声波沿垂直方向传播)

声波的扫描通过电子定向控制来完成, 各条声波扫描线之间相差一个很小的偏转角, 形成一组扇形扫描线, 每帧图像仍然由  $N$  条扫描线构成。图 16.15 和图 16.16 分别显示了这两种 B 型超声阵列所产生的图像。线阵中的换能器元件除了排列成直线形式以外, 还可以排列成曲线形式, 两种排列形式的工作原理都一样, 只是换能器排列在同一平面上还是排列在一个弧形上的区别。图 16.17 显示了曲面线阵所产生的图像。

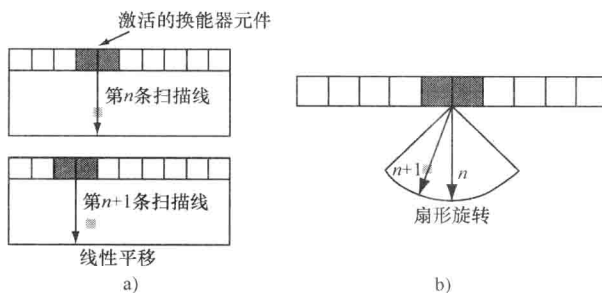


图 16.14 换能器阵列的成像原理

a) 线阵的平移扫描 b) 相控阵的扇形扫描

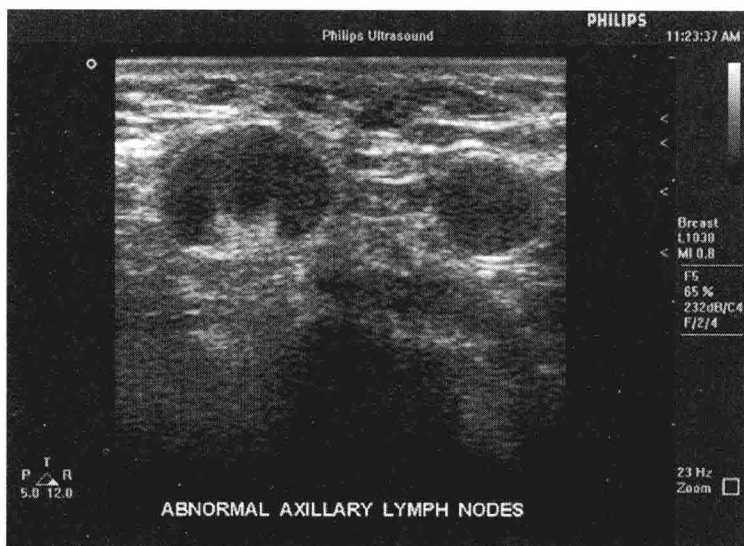


图 16.15 线阵成像示例——12MHz 频率声波的乳腺淋巴结 B 超图像 (图片由飞利浦公司赠送)

### 例 16.7

对于图 16.14a 所示线阵的平移扫描, 假设扫描深度为  $s_d = 150\text{mm}$ , 每帧图像由 100 条扫描线组成, 且声波传播速度为  $c_0 = 1.5\text{mm}/\mu\text{s}$ , 请计算这种超声图像显示的帧频。

解:

每条声波扫描线往返传播所需的时间为:  $2 \times s_d / c_0 = 200\mu\text{s}$ , 因此, 包含 100 条扫描



图 16.16 相控阵的扇形扫描成像示例——4MHz 频率声波的心脏 B 超图像（图片由飞利浦公司赠送）

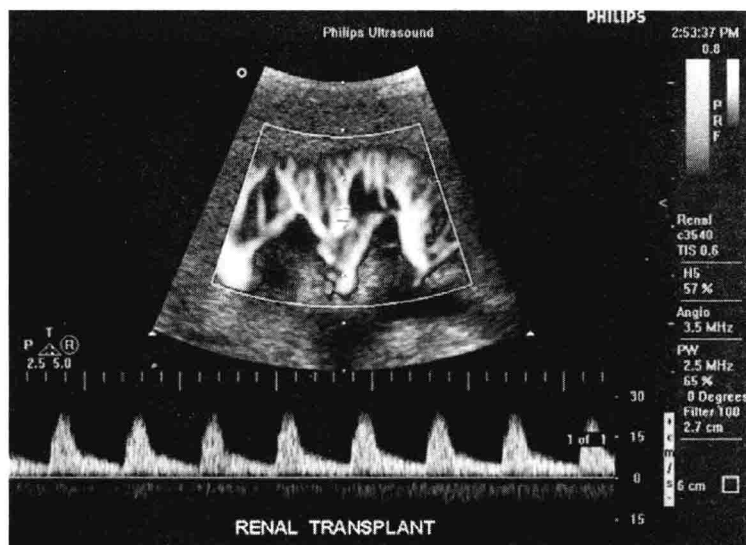


图 16.17 曲面线阵成像示例（上：肾脏的功率多普勒图像；下：相应的脉冲回波多普勒频谱）（图片由飞利浦公司赠送）

线的一帧图像所需的扫描时间共为： $100 \text{ 线/帧} \times 200 \mu\text{s/线} = 20\text{ms/帧}$ ，也就是图像显示的帧频为 50 帧/s。

如图 16.18 所示，为了满足不同的临床应用需求，超声换能器阵列有各种各样的大小、形状和中心频率。超声检查时，换能器探头一般都通过一层水基凝胶耦合剂与人体表面接触，形成“声波窗”，从体外观察体内的图像。除了声波穿透性很差的骨骼和气



体区域以外，通过很小的体表声波窗就能够观察到体内很大的区域。如果这种体表检查方式不能呈现体内某些脏器的清晰图像，那么，还可以使用能够进入食道或者心脏的专用探头，从体内成像。

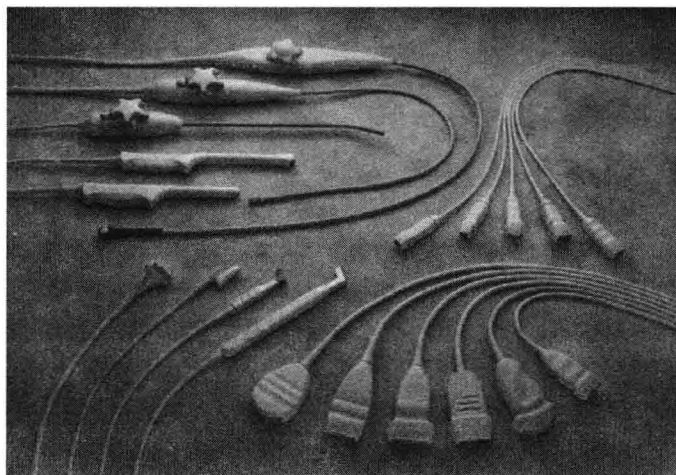


图 16.18 新型超声成像系统配备有适用于各种临床应用的多种换能器探头

注：图中右下方是直线式和曲线式线阵；右上方是相控阵；左边是适用于外科手术的经食道探头和经阴道探头等专用阵列探头（照片由飞利浦公司赠送）

### 16.2.4 声波的散射

换能器的声波干涉具有重要的作用。当压电晶体的厚度等于  $1/2$  声波波长时，晶体会发生谐振，匹配层的厚度一般设计成谐振波长的  $1/4$ 。从物体相对于声波波长的大小上可以分析物体对声波的散射作用主要会产生怎样的效应。由于超声成像检测的是人体脏器反射回来的脉冲回波，因此，必须了解物体的大小和形状对于反射回波信号的影响。

如图 16.19 所示，声波的散射包括反射、衍射和漫射三种效应。其中，反射前面已经介绍过了。在一种极端情况下，如果物体的尺寸比声波波长大很多，那么，根据本章 16.2.2 节所述的折射定律，物体表面反射声波的反射角等于入射角。此时，反射波的幅度由反射系数决定，而反射系数则是入射角的函数。在另一种极端情况下，如果物体的尺寸比波长小得多，那么，此时的反射就是漫射。这时

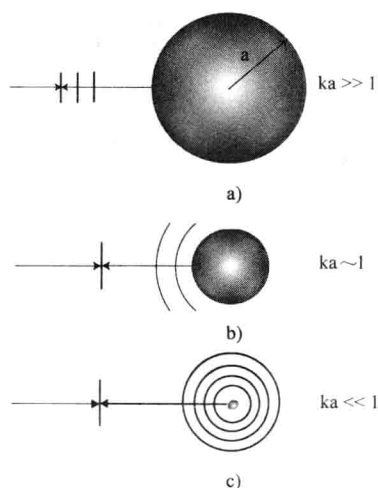


图 16.19 声波的散射包括反射、衍射和漫射 3 种效应

- a) 比波长大得多的物体产生反射
- b) 与波长大小相当的物体产生衍射
- c) 比波长小得多的物体产生漫射

物体与波长相比太小了,以至于其大小和形状对于反射波不产生什么作用。

在这两种极端情况之间,如果物体尺寸与波长相当,那么,就会发生衍射现象。假设将物体表面分成许多无限小的点,并且将这些点与观察点之间用直线连起来,那么,这些直线路径长度之间的差别在声波波长数量级上是很显著的,它们会引起沿这些路径传播的声波之间的明显相位差,并使声波在观察点处产生增强或抵消的干涉效应。此干涉效应形成的复杂的声波散射干涉图案与物体的形状、取向以及物体与观察点之间的距离都有关。即使对于球体或柱体之类简单形状的物体,如果其形状和尺寸发生了与波长数量级相当的变化,那么,在观察点处所产生的散射干涉图案也会随之发生变化。

人眼的视觉图像主要依赖于物体的反射光,对应于物体尺寸比光的波长大得多的情况。超声波图像根据观察点到物体各个部分的声波传播直线上的脉冲回波信号成像。与光学成像不同,物体的超声波图像与观察方向和声波的频率都有关。

### 16.2.5 声波的吸收

声波在实际介质中传播时,会产生损耗。就像作用力中的摩擦力、压力和应力一样,声波在传播时也会向介质传输能量,并产生微弱的局部加热效应。这种损耗称为衰减,可以用距离的指数函数来描述。对于单频率 $f_c$ 的平面波,就是将其幅值乘以一个损耗因子,即

$$A(z, t) = A_0 \exp[i(\omega_c t - kz)] \exp(-\alpha z) \quad (16.36)$$

式中  $\alpha$ ——衰减系数(即吸收系数),常用单位为 neper/cm,即奈培/cm。

另一个常用的幅度测量单位是分贝(dB),是指幅度 $A$ 与 $A_0$ 之比的对数值,即

$$\text{比值(dB)} = 20 \lg(A/A_0) \quad (16.37)$$

如果声强 $I$ 与幅度 $A$ 的二次方直接成正比,即 $I_0 \propto A_0^2$ ,则

$$\text{比值(dB)} = 10 \lg(I/I_0) = 10 \lg(A/A_0)^2 \quad (16.38)$$

于是,上述衰减系数 $\alpha$ 常用 dB/cm 的形式表示,即

$$\alpha_{\text{dB}} = 1/z \{ 20 \times \lg[\exp(-\alpha_{\text{neper}} z)] \} = 8.6886(\alpha_{\text{neper}}) \quad (16.39)$$

实际测量数据表明,声波的吸收损耗是频率的函数(参见表16.1)。这类衰减通常遵循以下频率幂律:

$$\alpha(f) = \alpha_0 |f|^y \quad (16.40)$$

式中  $y$ ——幂律指数。

因此,声压的幅值可以写成频率的函数,即

$$A(z, f) = A_0 \exp(-i2\pi f z/c) \exp[-\alpha_0 |f|^y z] \quad (16.41)$$

式中第一个指数表示声波传播到 $z$ 距离时的延时。每个声波波数上的实际损耗极小,即 $\alpha/k \ll 1$ 。但是,虽然每个波长距离上的损耗非常小,很多波长上积累的吸收效应却很强。通常超声波在往返路径上的总吸收量决定了它能够成像的人体组织的深度。

#### 例 16.8

请计算 5MHz 声波在肌肉中传播 10cm 所引起的吸收损耗。

解:

由表 16.1 可知, 肌肉的吸收系数  $\alpha_0 = 0.57 \text{ dB/cm} \cdot \text{MHz}$ 。

解法 1: 根据式 (16.39) 将此吸收系数转换成以奈培 neper 为单位的数值, 即  $\alpha$  ( $\text{neper/MHz} \cdot \text{cm}$ )  $= 0.57/8.6886 = 0.0656$ 。将该值代入式 (16.41) 可得  $A/A_0 = \exp(-0.0656 \text{ neper/MHz} \cdot \text{cm} \times 5 \text{ MHz} \times 10 \text{ cm}) = 3.76 \times 10^{-2}$ 。再转化为分贝形式, 即为  $20 \lg(A/A_0) = -28.5 \text{ dB}$ 。

解法 2: 如果只需要对数形式的 dB 值, 那么, 可以直接计算吸收系数, 即  $\alpha_0 f z = -0.57 \text{ dB/MHz} \cdot \text{cm} \times 5 \text{ MHz} \times 10 \text{ cm} = -28.5 \text{ dB}$ 。 ■

### 16.2.6 声波的衍射

实际上, 压电换能器所发射的声波并不是平面波, 而是具有复杂形状的声波。如图 16.20 所示, 从换能器表面小孔不同位置发出的声波及其相互之间的干涉形成了这种复杂声波, 这种现象称为衍射。当发射孔径的大小与声波波长数量级相当时, 就会产生衍射。

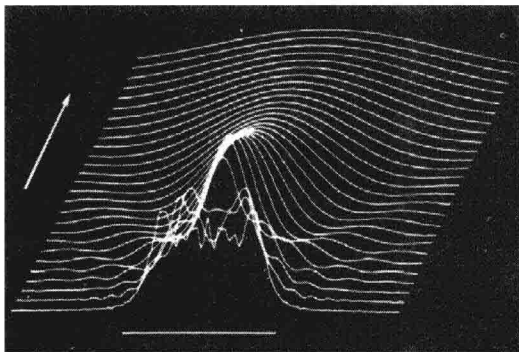


图 16.20 沿  $x$  轴方向的 40 波长宽度的矩形发射孔所产生的声波衍射场

注: 垂直坐标轴表示声强。 $z$  轴的尺度被压缩, 其显示范围为 1920 个波长, 每条声强分布曲线之间的间隔为 70 个波长。

图 16.21 所示的圆形和矩形小孔是最常见的换能器发射孔的形状。三维空间上的声束分布通常用各个切平面上的声强曲线来描述。对于对称的圆形发射孔, 任何垂直于声束中心轴 (即  $z$  轴) 的平面上声强分布的形状都一样。而对于矩形发射孔, 垂直于声束中心轴的各个平面上的声强分布形状都不同, 最重要的成像平面是  $x$ - $z$  平面和  $y$ - $z$  平面。图 16.20 所示是矩形孔  $x$ - $z$  平面上的声强分布。

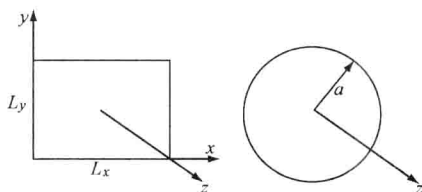


图 16.21 左: 矩形发射孔, 其平行于  $x$  轴和  $y$  轴的边长分别为  $L_x$  和  $L_y$ ; 右: 半径为  $a$  的圆形发射孔 (图中  $z$  轴垂直于小孔所处的  $x$ - $y$  平面)

不同形状换能器发射小孔发出的声束都具有明显的特征。借用地图等高线的绘制法,可以绘出声压的等高线,声压幅值通常用各个声波扫描深度下的最大幅值归一化之后的 dB 值来表示。其中 -6dB 的等高线很重要。垂直于声束轴的横截面上的声压分布称为声束图。声束图上两个 -6dB 声压点之间的宽度称为半高宽 (Full-Width-Half-Maximum, FWHM)。有趣的是,换能器发射孔所发出的声束在某个区域会变细,也就是半高宽变小。沿着声束传播的轴向,靠近发射小孔的区域声压呈现振荡现象,最后一个声压波峰出现的深度称为转变深度,也就是自然聚焦长度  $F_N$ 。以转变深度为界,可以将声束场分成两个区域。一个是靠近发射小孔的区域,称为近场,该区域的声束含有振荡的波峰和波谷;另一个是远离发射小孔的区域,称为远场,该区域的声压幅值随着距离的增加逐渐减小,而声束的宽度则逐渐增大 (参见图 16.20),也就是声束逐渐发散。对于半径为  $a$  的圆形发射小孔,其转变深度是

$$z_t = a^2 / \lambda \quad (16.42a)$$

对于  $x$  轴方向长度为  $L_x$  的矩形发射小孔,其在  $x$ - $z$  平面上的转变深度为

$$z_t \approx L_x^2 / (\pi \lambda) \quad (16.42b)$$

自然聚焦长度是发射小孔到声束轴方向上出现的最后一个声压波峰之间的距离,它与转变深度一致。

矩形孔远场声束的形状是小孔截面上声压幅值的傅里叶变换。在均匀发射的情况下,即为

$$A(x_0, y_0, 0) = \Pi(x_0 / L_x) \Pi(y_0 / L_y) \quad (16.43a)$$

式中

$$\Pi(x/L) = \begin{cases} 0 & |x| > L/2 \\ 1/2 & |x| = L/2 \\ 1 & |x| < L/2 \end{cases} \quad (16.43b)$$

$x$ - $z$  平面上的远场声束形状是一个 sinc 函数

$$p(x, z, \omega) = \frac{L_x \sqrt{p_0}}{\sqrt{\lambda z}} e^{i\pi/4} \frac{\sin(\pi L_x x / \lambda z)}{(\pi L_x x / \lambda z)} = \frac{L_x \sqrt{p_0}}{\sqrt{\lambda z}} e^{i\pi/4} \text{sinc}\left(\frac{L_x x}{\lambda z}\right) \quad (16.44a)$$

图 16.22 的实线显示了这种声束形态的曲线。

对于发射均匀声压  $p_0$  的圆形小孔,其远场声束的形状是圆形对称小孔函数的二维傅里叶变换,即

$$p(\bar{\rho}, z, \lambda) \approx \frac{ip_0 \pi a^2}{\lambda z} \frac{2J_1(2\pi \bar{\rho} a / (\lambda z))}{2\pi \bar{\rho} a / (\lambda z)} = ip_0 \left(\frac{\pi a^2}{\lambda z}\right) \text{jinc}\left(\frac{\bar{\rho} a}{\lambda z}\right) \quad (16.44b)$$

式中  $J_1$ ——第一类 Bessel 函数,即  $\text{jinc}(x) = 2J_1(2\pi x) / (2\pi x)$ ,

$\bar{\rho}$ ——观察点  $(\bar{\rho}, z)$  的径向距离。

图 16.22 的虚线显示了圆形孔远场声束的形状。注意,远场声束的形状不随距离而变,但其幅值随距离下降,且声束的宽度随距离增加。

从这两种远场声束形状上很容易计算声束的 FWHM 宽度,矩形孔  $x$ - $z$  平面和  $y$ - $z$  平

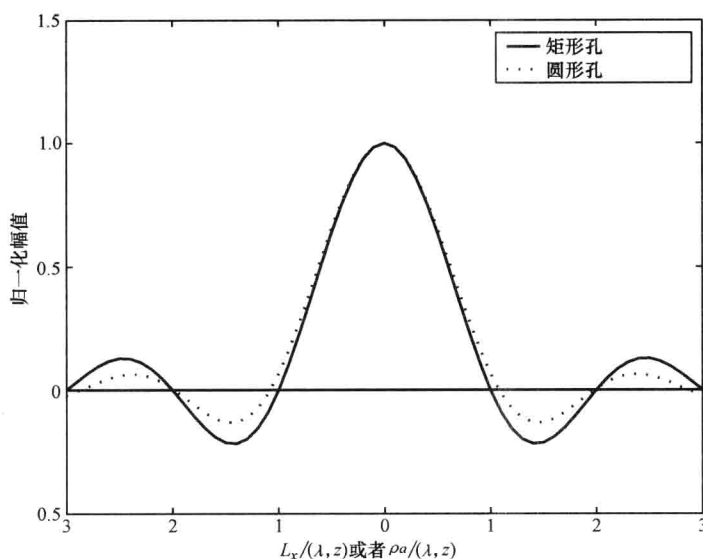


图 16.22 实线是矩形孔远场声束形状的 sinc 函数, 虚线是圆形孔远场声束形状的 jinc 函数, 两个孔的面积相等

注: 图中数值是按照矩形孔声束声压的最大值进行归一化后的幅值。

面上的 FWHM 为

$$\text{FWHM} = 1.206 \lambda z / L \quad (16.45a)$$

式中  $L$ ——相应平面上的孔径。

同理, 圆形孔的 FWHM 为

$$\text{FWHM} = 0.7047 \lambda z / a \quad (16.45b)$$

### 例 16.9

为了理解图 16.22 中的归一化数据, 请计算与矩形孔面积相等的圆形孔的 FWHM 值, 并将其与矩形孔的 FWHM 值进行比较。

解:

令  $\pi a^2 = L^2$ , 即  $a(m) = L(m) / \sqrt{\pi}$ , 代入式 (16.45b), 可得

$$\text{FWHM} = 0.7047 \lambda(m) z(m) [\sqrt{\pi} / L(m)] = 1.249 \lambda(m) z(m) / L(m)$$

该值很接近式 (16.45a) 求得的矩形孔的值  $\text{FWHM} = 1.206 \lambda z / L(m)$ 。 ■

使用几何聚焦方法可以调节声束变细的位置, 使声束在不同探测深度处聚焦。与光束的聚焦一样, 声束聚焦也可以用透镜来实现。不过, 与光学聚焦不同的是, 用于声波聚焦的透镜既可以做成凹透镜, 也可以做成凸透镜, 这取决于制作透镜的材料声速比水 (即生物组织) 的声速大还是小, 并且这两类材料都很容易得到。由几何光学原理可知, 光线会在焦点处聚焦。换能器晶体表面贴上声透镜之后, 根据透镜组成像的倒数定律, 超声探头的总聚焦长度变为自然聚焦长度与透镜几何聚焦长度两者的结合, 即

$$1/F_{\text{总}} = 1/F_N + 1/F \quad (16.46)$$

此式表明总聚焦长度比原有的自然聚焦长度要短,也就是,声轴上声压波峰的位置离发射孔更近。例如,假设自然聚焦长度为100mm,透镜的几何聚焦长度为50mm,那么,总的等效聚焦长度就是33.3mm。贴上透镜之后,聚焦平面上声束的形状与不加透镜时的远场声束形状相同,因此,式(16.44)~式(16.45)照样可以用,只是式中的 $z$ 变成了 $F$ 。

以上介绍的是固定式压电晶体换能器声波发射小孔的特性。换能器阵列的发射孔可以看作移动式的空间采样小孔。其实,阵列中单个采样小孔所发射的声束与固定式小孔是一样的。如图16.23所示,一维线性阵列实际上有两种聚焦,一是水平面(即 $x-z$ 平面)上的电子聚焦,二是垂直平面(即 $y-z$ 平面)上的固定透镜产生的机械聚焦。

### 16.2.7 超声成像系统

通过学习成像系统的工作原理可以了解超声图像的形成过程。本章16.2.1节已经介绍过由单个换能器组成的成像系统,那种系统中的换能器通过机械式或者电子式扫描,依次采集一组声束扫描回波信号线,然后用于成像。这里要介绍的则是图16.24所示的由计算机(即中央处理器)控制的换能器阵列成像系统。设置好扫描深度和扫描模式之后,这种系统就在主控时钟的同步控制下,在每个扫描时间间隔上发射一个电脉冲信号。该脉冲信号再触发“发射脉冲发生器”产生一组发射脉冲,然后由这组脉冲去激发阵列中的某换能器单元。其中各个发射脉冲之间具有一定的相对延时,从而形成电子透镜的聚焦作用,使换能器单元发出的声束产生聚焦,并且可以调节声束在所需方位上的发射方向。

换能器发射的声波穿过人体组织时,不断地从各个组织的分界面上产生非均匀散射,由此形成的脉冲回波信号传回到换能器阵列,并被换能器接收。为了减少人体组织衰减作用对成像的影响,用户可以根据成像需要,调节随深度变化的时间增益补偿放大器(Time Gain Compensation, TGC),使不同深度的回波幅值变得均匀一致。回波信号采集器利用电子动态聚焦和滤波

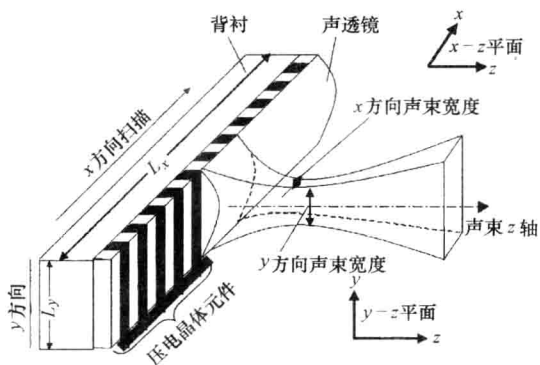


图 16.23 一维相控阵在  $x-z$  平面和  $y-z$  平面上的聚焦 (摘自 Panda, 1998)

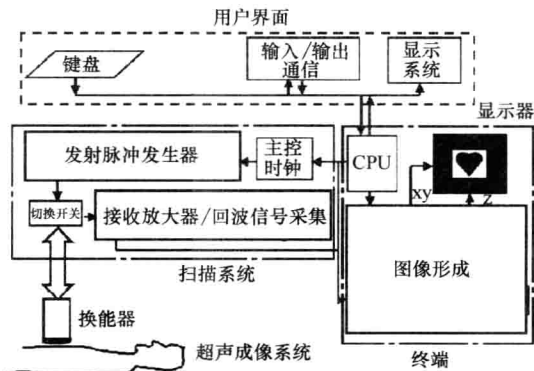


图 16.24 数字超声成像系统的框图

等信号处理生成特定超声成像模式所需的信号。对于普通的常规超声成像，经过脉冲回波信号包络线的提取、扫描变换、插行处理、灰度处理等过程，就可以得到图 16.15 ~ 图 16.17 所示的灰度图像，这些图像可以显示在普通计算机监视器或者电视机屏幕上。另外，还可以添加其他处理步骤，如对数压缩，用于增加屏幕的脉冲回波幅值显示范围。图 16.15 ~ 图 16.17 所示图像是最常见的 B 超图像，也就是亮度模式的超声成像。

### 16.2.8 其他超声成像模式

除了 B 超之外，其他超声成像模式还可以提供不同的信息，特别是血流信息。图 16.25 所示是超声多普勒测量原理，当声束以某个倾斜角  $\theta$  穿过血流速度为  $v$  的血管时，超声波频率会产生明显的变化。

假设声波的原频率为  $f_0$ ，那么，透射声波的频移（即所谓的多普勒频移） $f_D$  就是

$$f_D = [2(v/c_0) \cos \theta] f_0 \quad (16.47)$$

式中  $c_0$ ——被测介质的声速。

血液的声波散射主要来自其中的红细胞，而血管中的血流速度在整个横截面上的分布并不均匀，因此，超声多普勒测量的实际上是对应于某个声速范围的多普勒频谱。普通 B 超测不出这种多普勒频移，要用灵敏度较高的超声多普勒仪器才能测量。多普勒频移检测时使用的超声波可以是连续发射的连续波（Continuous Wave, CW），也可以是按照一定时间间隔发射的短促的脉冲波（Pulsed Wave, PW），于是就产生了连续波和脉冲波两种多普勒检测方法，图 16.17 所示是脉冲波多普勒图像。

还有一种超声成像模式是彩色血流成像（Color Flow Imaging, CFI），它可以获得更全面的血流信息，特别适用于心脏各个房室和大血管的成像。这种成像模式虽然没有超声多普勒精度高，但是，它能够实时显示血流方向及其大概的速度。血流方向是指流向换能器还是离开换能器。其图像通过色彩映射关系来表示血流速度的大小和方向。在这种成像模式下，超声探头沿同一个方向发射声束扫描线，并采集血流随时间变化的信号，然后经过信号处理提取血流速度信息，用于显示。另有一种功率多普勒成像，如图 16.17 上方所示，它只包含血流速度的幅度信息，并不包含血流的方向信息。

一般超声成像都是二维的，显示的是扫描平面上所建立的图像。如果扫描的是一个容积，而不仅仅扫描单个平面，那么，就可以获得三维（3D）图像。其中一种实现方法是，使一维换能器阵列沿着垂直于成像平面的方向进行机械式平移，并在每个成像平面停留足够长的时间，采集每幅平面图像，然后，在各个平面图像之间进行插值计算，就可以获得整个扫描容积的成像数据。3D 图像有多种显示方法，可以显示选定的各个

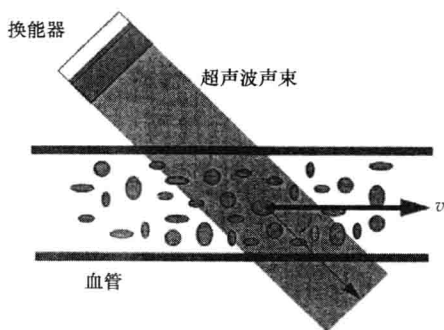


图 16.25 声束以  $\theta$  倾斜角穿过血流速度为  $v$  的血管

断面,也可以显示物体表面,或者显示体绘制图。体绘制可以通过器官与组织之间的透明分界面显示出器官内部的细节。例如,超声 3D 图像的一种常规应用是利用胎儿皮肤与母亲羊水之间的分界面来显示胎儿的外表,图 16.26 所示的就是这种表面图像。除了一维换能器阵列的机械式平移扫描之外,通过其他机械式扫描方法,或者使用二维静态换能器阵列的全电子式扫描,也可以获得三维容积的超声成像数据。



图 16.26 胎儿头部外表的三维超声成像(照片由飞利浦公司赠送)

## 16.3 磁共振成像

### 16.3.1 概述

借助于人体的高含水量,磁共振已经被成功应用于人体的医学成像。人体中水和脂肪所包含的氢原子总量约占体重的 60%。每个氢原子核都有一个带正电荷的质子,因此,氢原子核自旋时会在其周围产生一个很小的磁场并具有磁矩。当氢原子处于强大的静磁场中时,其原子自旋就好像一个具有拉莫尔(Larmor)频率的微型陀螺的旋转,拉莫尔频率是物体的一种特性。磁共振成像检测的是物体在垂直于外加静磁场的平面上所产生的一种射频交变磁场,该磁场的交变频率就是物体的拉莫尔频率。磁共振检测时,物体的原子核首先受到外加磁场的激发,随后,当外磁场撤除时,受激原子核的磁矩就会衰减到平衡状态,并发出电磁波信号。此时用产生外加磁场的同一个线圈检测该信号的电压,就可以测得两个弛豫时间常数(relaxation constant)。其中,一个是纵向磁化弛豫时间常数  $T_1$ ,它对组织的热特性较敏感;另一个则是横向磁化弛豫时间常数  $T_2$ ,它可以反映不同区域磁场的非均匀性。这两个时间常数都可以用于区分不同的人体组织并用于成像,而  $T_1$  加权像则比较常用。



如今,磁共振成像(Magnetic Resonance Imaging, MRI)已广泛用于各种疾病的检测和手术方案的制订,其图像可以清晰地显示出人体内部的解剖细节。这种图像被称为参数化图像,因为需要凭借高技术调整仪器,才能获得有用的图像,突显出各种不同组织之间的对比度差别,用于区分各种不同脏器,识别健康组织和病态组织。MRI几乎适用于人体全身所有部位,包括颅脑、腹腔、心脏、大血管、乳房、骨骼、软组织、关节、软骨、肌肉以及头部和颈部,用于检查癌症、肿瘤和出血等疾病。并且成人和儿童都可以用。

MRI的基础是核磁共振(Nuclear Magnetic Resonance, NMR),最早观察到NMR现象的是Felix Bloch和Edward Purcell等人。他们发现,不仅运动的原子核会发出射频(RF)信号,而且,利用外加射频磁场还可以控制原子核产生具有拉莫尔共振频率的进动,一旦外加磁场消失,原子核就会发射具有该频率的可测RF信号。他们两人的工作成果获得了1951年诺贝尔奖。

从此以后,人们开始利用不同化合物所具有的特定共振频率位移来测定物质的组成,并最终进行了生物物质的NMR实验,不久就获得了磷、碳和氢等原子核的详细核磁共振频谱图。而且还为人体各个部位的NMR研究设计了专用磁体。

Paul Lauterbur最早意识到NMR原理可用于成像。1973年,他发表了一幅非均匀物体的NMR图像。通过改变磁场梯度,他利用NMR的RF信号测定了物体的空间结构。20世纪70年代中后期,又有人成功地获得了动物和人体的早期MRI图像。最初,由于信号太弱,这种成像技术只限于实验室使用。1971年,Raymond Damadian证实,恶性肿瘤与正常组织的弛豫常数 $T_1$ 和 $T_2$ 是不同的。另外, Peter Mansfield还建立了数学模型,用于分析外加强磁场作用下人体内部磁共振信号的变化,并且开发了一种快速成像方法。在这些研究工作的不断推进下,有关MRI临床诊断成像的重要基础知识已经形成,现代新型MRI仪器已经具有很高的信噪比。在此过程中, Lauterbur和Mansfield对MRI作出了重要的贡献,两人共同分享了2003年的诺贝尔医学奖。

### 16.3.2 磁场与电荷

为了解释MRI的工作原理,下面先回顾一下磁场的几个重要性质,特别是电荷与磁场之间的相互作用关系。爱因斯坦曾经指出,将电场和磁场看作能量的两个方面是很有用的。

下面分4种情况逐步介绍有关MRI原理的某些知识。第一种情况:当交流电经过导线时,其周围就会产生磁场。如图16.27所示,对于无限长导线,由Biot-Savart定律可知,导线中的电流会产生环绕导线的环形磁场,且其磁通量为

$$B_{\phi} = \frac{\mu_0 I}{2\pi r} \quad (16.48)$$

式中  $B_{\phi}$ ——磁通量,单位为韦伯(即Wb),  $1\text{T} = 10^4 \text{ Wb/m}^2$ , T为特斯拉;

$\mu_0$ ——真空磁导率,  $\mu_0 = 4\pi \times 10^{-7} \text{ H/m}$  [即  $\text{Wb}/(\text{A} \cdot \text{m})$ ], H为亨利;

$I$ ——电流,单位为A;

$r$ ——离开导线的径向距离,单位为m。

根据右手螺旋法则,拇指表示电流方向,则四指就表示磁场 $B$ 的方向。

**例 16.10**

假设导线中通过的电流为 20A，请计算距离导线 5mm 处的磁场强度（即磁通量），单位为 T。

解：

由式 (16.48) 可得

$$B_{\phi} = \frac{4\pi \times 10^{-7} \times 20}{2\pi \times 5 \times 10^{-3}} (\text{Wb/m}^2) \times 1 \text{ T}/10^4 (\text{Wb/m}^2) = 8 \times 10^{-6} \text{ T}$$

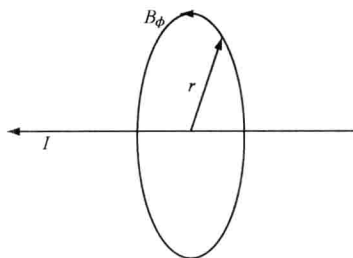


图 16.27 无限长导线中流过的电流所产生的环形磁场

如果将导线绕成一个圆圈，那么，就会产生具有南北两极的磁偶极子。如图 16.28 所示，这是要讲述的第二种情况，一个旋转的电荷就会产生这种情况。设线圈半径为  $r$ ，其中流过的电流为  $I$ ，取长为  $dl$  的小段导线，并设这段导线的等效电荷为  $q$ ，质量为  $m$ ，该等效电荷沿导线圆轨道运行的频率为  $\nu$ ；（此处不是英文字母  $\nu$ ，而是表示频率的希腊字母  $\nu$ ——译者注）那么，电荷产生的磁偶极矩为等效电流与圆圈面积的乘积，即

$$\hat{\mu} = (q\nu A) \hat{z} = q\nu \pi r^2 \hat{z} = \frac{1}{2} q r^2 \omega \hat{z} \quad (16.49)$$

$\hat{\mu}$  的方向根据右手螺旋法则确定，就是其单位矢量  $\hat{z}$  的方向。矢量既有大小又有方向。此处，单位矢量  $\hat{z}$  的幅值为 1，方向是  $z$  轴。如果电荷的质量为  $m$ ，则其轨道角动量是

$$L = m r^2 \omega \quad (16.50a)$$

旋磁比 (gyromagnetic ratio) 定义为

$$\gamma_c = \frac{\mu}{L} = \frac{q}{2m} \quad (16.50b)$$

由此可见，绕轨道运行的电荷所产生的磁场效应与具有南极和北极的小磁体一样。

那么，反过来，运动的磁场是否可以在导线中产生电流或电压呢？这就是第三种情况。如图 16.29 所示的实验装置中，半径为  $d$  的线圈垂直于  $x$  轴，强度为  $B_0$  的永磁体以恒定的角频率  $\omega$  绕  $z$  轴旋转；于是，磁体轴线与  $x$  轴之间的夹角为  $\theta = \omega t$ ，旋转磁场相对于  $x$  轴的强度为  $B_0 \cos \omega t$ ，线圈的面积为  $S = \pi d^2$ ，面积矢量的方向垂直于线圈平面。那么，根据法拉第定理，旋转磁体在线圈中产生的电压  $V$  与线圈所包围面积中磁通量对时间的变化率成正比，即

$$V = \frac{d}{dt} (B_0 \pi d^2 \cos \omega t) = -\omega B_0 \pi d^2 \sin \omega t \quad (16.51)$$

可见，旋转磁体产生的电压  $V$  是一个正弦交变电压，当磁体轴向与线圈平面方向垂直时，电压达到最大值；当两个方向平行时，电压为零。

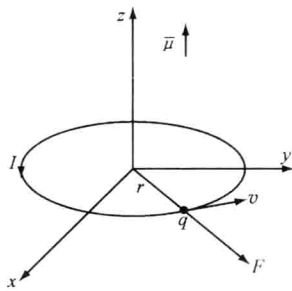


图 16.28 圆形轨道中运行的电荷所产生的磁偶极矩

第四种情况如图 16.30 所示, 旋转的电荷被置于强静磁场  $B_0$  中。此时, 磁场在电荷上产生的作用力可以用如下洛伦兹 (Lorentz) 方程来表示

$$\hat{F} = q \hat{v} \times \hat{B}, \quad \text{即 } |F| = q |v| |B| \sin\theta \quad (16.52a)$$

其中, 速度矢量  $\hat{v}$  与电荷运行轨道相切, 作用力的方向与  $\hat{v}$  和外加磁场  $\hat{B}_0$  都垂直,  $\hat{v}$  与  $\hat{B}_0$  之间的角度为  $\theta = 90^\circ$ 。此时作用力的幅值可以写为

$$|F| = q |v| |B| \sin\theta = mv^2/r \quad (16.52b)$$

电荷的角频率  $\omega_c$  定义为电荷旋转速度与半径之比, 由上式可知, 为

$$\omega_c = v/r = v/(mv/qB_0) = (q/m)B_0 \quad (16.53a)$$

根据式 (16.50b) 的旋磁比定义可以推导出 MRI 中常用的重要频率公式:

$$\nu_c = \frac{\omega}{2\pi} = \frac{(2\gamma_c)B_0}{2\pi} = \frac{\gamma_c B_0}{\pi} \quad (16.53b)$$

此式表明, 电荷的轨道频率  $\nu_c$  正比于外加磁场。不幸的是, 这并不是 MRI 真正需要的理论基础, 因为上述经典电磁场理论所讨论的电荷不具有绕自身轴的旋转运动。而 MRI 中感兴趣的电荷是电子, 它具有自旋运动, 就像地球在绕太阳公转的同时具有自转一样。为了获得描述这种情况的重要方程, 就需要了解有关自旋状态的量子力学理论。

### 16.3.3 原子核的自旋状态

由上述理论可知, 电子绕自身轴的旋转也会产生微小的磁场, 因此, 其行为也就像具有南北两极的磁偶极子一样。

永磁棒是具有强极性的磁偶极子。如图 16.31a 所示, 如果将两个相同的磁棒北极对南极放置, 两者就会被强大的吸引力吸在一起; 反之, 如图 16.31b 所示, 如果将两者北极对北极 (或者南极对南极) 靠近放在一起, 那么, 两个磁棒就会受到强烈的排斥力。磁棒的这两种摆放位置是产生最大作用力的稳定平衡状态。

如果将很多微小的磁偶极子放在强静磁场  $B_0$  中, 那么, 如图 16.32 所示, 这些磁偶极子要么顺着磁场方向 (即平行) 排列, 要么锁定在逆磁场方向 (即反平行) 的位置。并且, 由于顺磁场排列所需能量较小, 因此, 多数偶极子会保持这种取向。所有偶极子的偶极矩矢量之和就形成了一个总的净磁化强度, 即

$$\hat{M}_0 = \sum_n \hat{\mu}_n \quad (16.54)$$

如图中所示。

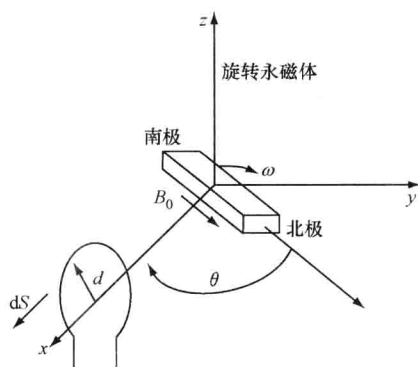


图 16.29 强度为  $B_0$  的旋转永磁体在半径为  $d$  的线圈中产生感应电压

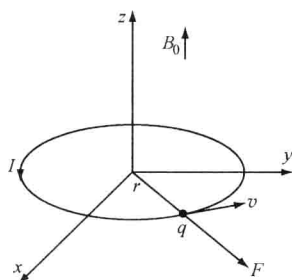


图 16.30 在静磁场中旋转的电荷所受到的洛伦兹力

注：图中标出了电荷的速度矢量  $v$  和作用力  $F$ ，以及磁场  $B_0$ 。

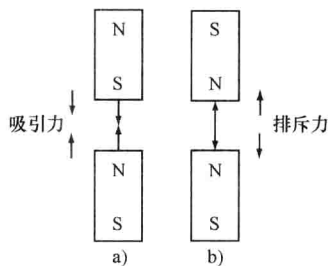


图 16.31 具有南极 (S) 和北极 (N) 的两个永磁体在两种不同摆放方式下所产生的吸引力 (图 a) 和排斥力 (图 b)

从一种自旋状态转变到另一种自旋状态所需的能量为

$$\Delta E = h\nu \quad (16.55)$$

式中  $h$ ——普朗克常数  $6.626 \times 10^{-34} \text{ J} \cdot \text{s}$ ;

$\nu$ ——光子频率。

该式的物理意义是，如果电子吸收了频率为  $\nu$  的光子，它就会跃迁到较高的能级；反过来，如果电子发射了频率为  $\nu$  的光子，它就会降到较低的能级，从而使处于激发态的电子返回到原始平衡状态。与发射电离辐射的 X 射线成像不同，MRI 成像中只发射对人体无损害的光子。

如果要利用外加磁场激发自旋状态的转变，那么，激励磁场的频率应该为多少呢？回到上一节所述的第四种情况，这种情况相当于静磁场中电子电荷绕原子核旋转的情况。根据量子力学理论，自旋电子的旋磁比  $\gamma$  等于  $q/m$ 。自旋的方向遵循左手螺旋法则，即绕  $B_0$  顺时针方向。将  $\gamma$  代入式 (16.53b)，可得频率公式为

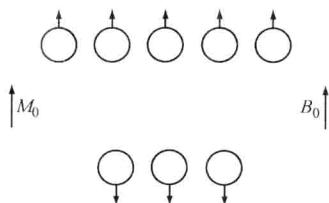


图 16.32 静磁场  $B_0$  中排列的磁偶极子及其所产生的净磁化强度

$$\nu_L = \frac{\omega}{2\pi} = \frac{\gamma}{2\pi} B_0 = \gamma' B_0 \quad (16.56)$$

这就是所谓的拉莫尔频率，它可以用于计算电子能级跃迁所需的转化能量。注意，该公式表明旋磁比  $\gamma$  与角频率相关，其归一化形式  $\gamma'$  则与频率相关。式 (16.56) 是频率与外加磁场相联系的重要公式。对于 MRI 最常用的氢同位素， $\gamma' = 42.58 \text{ MHz/T}$ 。幸运的是，MRI 成像所需的参数值都在适合检测的范围之内，也就是，频率低于  $100 \text{ MHz}$ ，磁场强度为  $0.1 \sim 4 \text{ T}$ 。

拉莫尔频率就是外加磁场用于诱发自旋状态转变的共振激发频率。MRI 的研究对象是原子核自旋数为奇数的同位素。例如，顺外加磁场的氢原子  $^1\text{H}$  的自旋量子数被设定为 “ $1/2$ ”，其磁偶极矩为  $\mu_z = \gamma h \times (+1/2)$ 。逆外加磁场的  $^1\text{H}$  的自旋量子数被设定为

“ $-1/2$ ”，其磁偶极矩为  $\mu_z = \gamma h \times (-1/2)$ 。表 16.2 列出了各种同位素的  $\gamma'$  值。一般， $\mu_z = \gamma h m$ ，其中  $m = 0, \dots, \pm(I-1)$ ， $I$  即为表 16.2 所列自旋量子数。

那么，处于不同自旋状态的原子究竟会有多少呢？假设处于低能级和高能级的自旋数量分别为  $n_-$  和  $n_+$ ，则任意时刻处于两个能级的自旋数量之比可用以下 Boltzmann 定律计算

$$n_- / n_+ = \exp(-\Delta E / \underline{KT}) \tag{16.57}$$

式中  $\underline{K}$ —— Boltzmann 常数  $1.3805 \times 10^{-23} \text{ J/K}$ ；  
 $\Delta E$ ——两个能级之间的能量差，参见式（16.55）；  
 $T$ ——热力学温度，单位为开尔文（K）。

表 16.2 几种与 MRI 相关的同位素的特性

核素	自旋量子数	$\gamma' / (\text{MHz/T})$	天然同位素丰度 (%)	相对于 <sup>1</sup> H 的灵敏度
<sup>1</sup> H	1/2	42.58	99.99	100
<sup>13</sup> C	1/2	10.71	1.11	1.6
<sup>19</sup> F	1/2	40.05	100	3.4
<sup>23</sup> Na	3/2 <sup>1</sup>	11.26	100	9.3
<sup>31</sup> P	1/2	17.24	100	6.6

例 16.11

设频率为 20MHz，温度为 300K，请计算高能级自旋数量  $n_+$  多于低能级自旋数量  $n_-$  的比例，即  $(n_+ - n_-) / n_+$ 。

解：

已知频率为 20MHz，由式（16.55）可计算高低两个能级之间的能量差为

$$\Delta E = h\nu = 6.626 \times 10^{-34} \text{ J} \cdot \text{s} \times 20 \times 10^6 / \text{s} = 1.325 \times 10^{-26} \text{ J}$$

再由式（16.57）可求得多余的高能级原子数量的比例为

$$(n_+ - n_-) / n_+ = 1 - n_- / n_+ = 1 - \exp(-\Delta E / \underline{KT}) \tag{16.58}$$

代入相应的数据，可得

$$\begin{aligned} (n_+ - n_-) / n_+ &= 1 - \exp[-1.325 \times 10^{-26} \text{ J} / (1.3805 \times 10^{-23} \text{ J/K} \times 300 \text{ K})] \\ &= 3.2 \times 10^{-6} \end{aligned}$$

这对于整个被测物体而言是一个相当小的数字。实际上，某些同位素具有比较高的出现概率。某种同位素在其元素的所有天然同位素中所占的百分比称为天然丰度，表 16.2 列出了几种同位素的天然丰度。除了同位素丰度以外，在选择医用 MRI 的同位素检测对象时，还有一个需要考虑的重要问题就是所选同位素在人体中的含量有多少。另外，相对检测灵敏度也是需要考虑的因素（参见表 16.2）。值得庆幸的是，人体内的氢原子很丰富，尤其在脂肪和水中特别多。 ■

例 16.12

根据表 16.2 所列数据，说明同位素<sup>1</sup>H、<sup>13</sup>C 和<sup>31</sup>P 是否适用于人体的 MRI 成像。

解：

注意，<sup>1</sup>H 的天然丰度为 99.98%，而<sup>13</sup>C 却只有 1.11%，所以，<sup>13</sup>C 不适合用于 MRI 成像。另外，<sup>31</sup>P 虽然很丰富，但其灵敏度很低，很难检测。人体重量的 60% 是水，并

且 $^1\text{H}$ 具有很高的灵敏度和丰度,因此,难怪 $^1\text{H}$ 会用于医学MRI成像。 ■

### 16.3.4 拉莫尔进动

要将氢原子磁偶极子激发到可用于成像的自旋状态,必须外加激励磁场。正如本章16.3.2节所述的第四种情况,如果测量线圈垂直于 $x$ 轴放置,那么,由于自旋磁偶极子的方向与 $z$ 轴基本一致,很难测量其产生的磁偶极矩。因此,需要寻找一种方法,能够使磁偶极子倒向 $x$ - $y$ 平面,这样就可以用类似于图16.29所示的测量方法检测磁偶极矩。这里需要一个作用力将偶极子推入一种进动状态,使其盘旋运动。其原理与陀螺在重力作用下的转动相似,开始时,陀螺是垂直的,然后,由于重力的作用,陀螺逐渐倾斜,进入一种进动旋转的状态,最后,倒在水平位置。

图16.33显示了磁偶极子的这种进动变化过程。开始时,偶极子的净磁化强度矢量 $\hat{M}_0$ 是顺静磁场 $B_0$ 的 $z$ 轴方向(图16.33a)。在 $x$ 轴方向外加另一个以拉莫尔频率交变的磁场 $B_1$ 之后, $\hat{M}_0$ 就会变成以拉莫尔频率绕 $z$ 轴的进动,使 $\hat{M}_0$ 与 $z$ 轴之间形成一个 $\phi$ 角(图16.33b)。

为了理解外加射频磁场后 $\hat{M}_0$ 的变化,这里有必要引入一个参考坐标系来简化叙述。该坐标系的坐标轴用类似 $\hat{x}'$ 的方法标记。使用这种参考系后,一方面可以清晰地考察复杂的自旋轨迹和磁化矢量的进动;另一方面可以将拉莫尔频率 $\nu_L$ 作为参考频率,简化其他各种频率的检测。

#### 旋转坐标系

上述参考坐标系就是一种旋转坐标

系,它相对笛卡尔固定坐标系中的某个点,以拉莫尔频率 $\nu_L$ 跟随磁化矢量一起旋转。这种方法与频闪仪的原理相似:相当于将旋转物体看作静止不动的,同步跟随物体的旋转频率,来摄取物体的图像。以频闪仪的频率作为参考,一旦物体的旋转速度变快或者变慢,那么,它与参考频率之差就立即可以测得。同理,在旋转坐标系中,相对于 $\nu_L$ 顺时针转动的频率称为正频率,逆时针转动的频率称为负频率。

本章16.3.2节所述的第三种情况其实是一种测量装置,垂直于 $x$ 轴的测量线圈可以测得永磁体绕 $z$ 轴旋转的信号,它是一个频率为 $\omega$ 的正弦信号。如果在 $x$ - $y$ 平面上绕 $z$ 轴旋转的不是永磁体,而是以拉莫尔频率旋转的时变磁化矢量,且矢量的初始位置在 $x$ 轴上,那么

$$\hat{B}_x(t) = \hat{x}B_1 \cos\omega t \quad (16.59)$$

现在来看这个磁场矢量在旋转坐标系中会变成怎样。下面用坐标转换方法来求这个新坐标系下旋转磁场新矢量 $B_1'$ 的分量,即

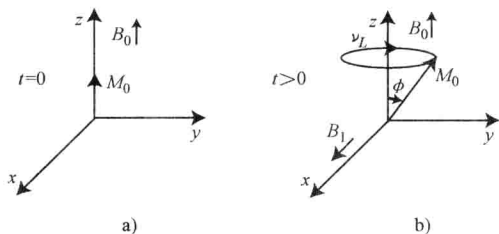


图16.33 a) 顺静磁场 $B_0$ 方向的初始净磁化强度矢量 $M_0$  b)  $x$ 轴方向外加射频交变磁场 $B_1$ 之后,使得 $M_0$ 以拉莫尔频率绕 $z$ 轴进动, $M_0$ 与 $z$ 轴之间形成 $\phi$ 角

$$B_{x'} = \cos(\omega t) B_x - \sin(\omega t) B_y \quad (16.60a)$$

$$B_{y'} = \sin(\omega t) B_x + \cos(\omega t) B_y \quad (16.60b)$$

将式 (16.59) 代入, 可得

$$B_{x'} = B_1 \cos^2 \omega t \quad (16.60c)$$

$$B_{y'} = B_1 \cos \omega t \sin \omega t \quad (16.60d)$$

利用三角恒等式的半角公式, 可以将上式简化为

$$\hat{B}'_1(t) = \hat{x}' B_{x'} + \hat{y}' B_{y'} = \hat{x}' \left( \frac{B_1}{2} - \frac{B_1}{2} \cos 2\omega t \right) + \hat{y}' \frac{B_1}{2} \sin 2\omega t \quad (16.60e)$$

如果用低通滤波器将两倍拉莫尔频率的成分去除, 那么就得到

$$\hat{B}'_1(t) = \hat{x}' \frac{B_1}{2} \quad (16.60f)$$

不出所料, 旋转坐标系中  $B_1$  的分量看起来是静止不动的, 变成了非时变信号。

### 翻转角和弛豫

在 MRI 中, 磁化矢量位置的控制很重要, 图 16.34 用旋转坐标显示了磁化矢量运动的一种控制方法。首先, 初始时的磁化矢量方向与外加静磁场方向一致 (图 16.34a); 然后, 沿  $x'$  轴外加一个以拉莫尔频率  $\nu_L$  旋转的射频磁场  $B_1$ ,  $B_1$  是一个门控的正弦波短脉冲信号, 脉冲持续时间设为  $t_p$ 。此脉冲磁场会产生一个作用力, 将磁化矢量  $\hat{M}_0$  (其初始方向通常沿  $z$  轴) 拉向与  $z$  轴成  $\varphi$  角的进动状态, 该  $\varphi$  角被称为翻转角, 即

$$\varphi = \gamma \left( \frac{B_1}{2} \right) t_p = \gamma B'_1 t_p \quad (16.61)$$

如图 16.34b 所示, 进动磁化矢量可以分解成旋转系中的各个笛卡尔分量。除了沿  $z'$  轴的分量  $M_{z'}^0$  以外, 还有  $x'$ - $y'$  平面中的总分量, 设其幅值为  $M_{x'y'}^0$ 。虽然  $M_{z'}^0$  和  $M_{x'y'}^0$  是同步发生的, 但是, 单独分开考察这两个分量的复杂的时间变化规律, 会方便得多。

### 例 16.13

假设磁场与例 16.10 所述相同, 如果要获得  $\pi$  弧度的翻转角, 请计算所需的外加射频磁场的脉冲宽度。如果线圈产生的磁场强度增加 100 倍, 所需的脉冲宽度又是多少?

解:

由式 (16.56) 可知  $\gamma = 2\pi\gamma'$ ; 又由例 16.10 可知  $B_1 = B_\phi = 8 \times 10^{-6}$ ; 且由表 16.2 得知  $\gamma' = 42.58 \times 10^6$  MHz/T。于是, 根据式 (16.61), 可求得  $t_p$  为

$$t_p = \frac{\phi}{2\pi\gamma'(B_1/2)} = \frac{\pi}{2\pi \times 42.58 \times 10^6 (1/S \cdot T) (4 \times 10^{-6} T)} = 2.936 \text{ ms}$$

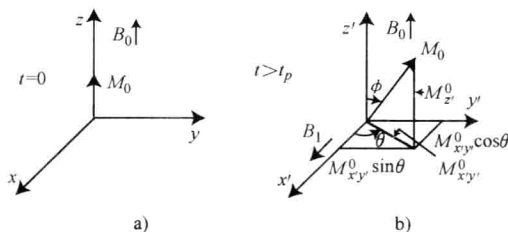


图 16.34 a) 在  $t = 0$  时刻的初始磁化矢量方向 b) 在旋转坐标系中, 沿  $x'$  轴方向的外加射频 (拉莫尔频率) 磁场  $B_1$  的作用使得净磁化矢量从  $z$  轴倾斜了  $\varphi$  角 (图中显示了净磁化矢量在各个坐标轴上的投影分量)

如果磁场强度增加 100 倍, 那么, 脉冲宽度就可以减小 100 倍, 即为  $29.36\mu\text{s}$ 。■

如果翻转角选定为  $90^\circ$  (即  $\pi/2$  弧度), 那么, 如图 16.35a 所示, 在射频脉冲磁场的作用下, 磁化矢量就会从初始  $z'$  轴上的  $M_0$  偏转到  $y'$  轴上, 使得  $z'$  方向的垂直分量变为 0。脉冲磁场一旦消失之后, 经过一段时间的恢复, 垂直分量又会回到初始的  $M_0$  值。这个恢复过程可以用如下方程描述:

$$M_{z'}(\phi = \pi/2) = M_0 [1 - \exp(-t/T_1)] \quad (16.62)$$

式中  $T_1$ ——自旋—晶格弛豫时间, 由于它与垂直方向相关, 故被称为纵向弛豫时间常数;

$t$ ——从射频脉冲磁场结束时刻开始计算的时间。

图 16.36 中的实线显示了该方程描述的曲线, 其弛豫时间与温度和物体的黏性有关, 物体的黏性越大, 弛豫时间就越长。

如果翻转角选定为  $180^\circ$  (即  $\pi$  弧度), 那么, 磁化矢量就会从初始  $z'$  轴上的  $M_0$  转变到  $-z'$  轴上, 使得  $z'$  方向上的垂直分量变为  $-M_0$ 。这种反向平行磁化矢量的弛豫方程为

$$M_{z'}(\phi = \pi) = M_0 [1 - 2\exp(-t/T_1)] \quad (16.63)$$

图 16.35b 显示了这种情况, 其弛豫曲线如图 16.36 中的虚线所示。

可以将上述方程推广到磁化矢量  $z'$  轴分量的任意变化值。假设射频脉冲磁场使磁化矢量的  $z'$  轴分量变为  $M_z^0$ , 则其弛豫方程为

$$M_{z'}(t) = M_0 \left[ 1 - \left( 1 - \frac{M_z^0}{M_0} \right) \exp(-t/T_1) \right] \quad (16.64)$$

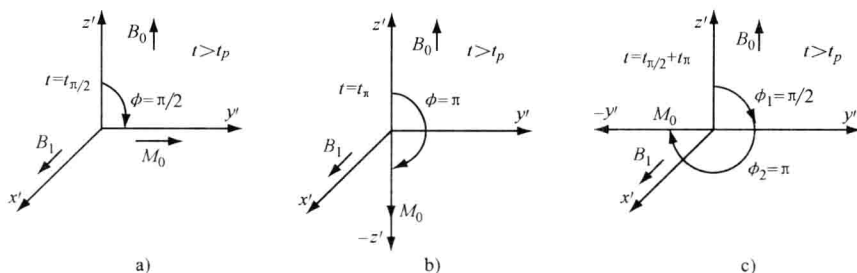


图 16.35 a) 磁化矢量经过  $\pi/2$  弧度翻转角到达  $y'$  轴 b) 磁化矢量经过  $\pi$  弧度翻转角到达  $-z'$  轴 c) 磁化矢量的连续两次翻转: 首先经过  $\pi/2$  弧度翻转角到达  $y'$  轴, 然后再经过  $\pi$  弧度翻转角到达  $-y'$  轴

下面来计算  $x$ - $y$  平面上的磁化矢量分量的变化。我们重新假设翻转角为  $\pi/2$ , 也就是磁化矢量偏转到  $y'$  轴的情况。设脉冲磁场关闭时刻 ( $t = 0$ ),  $x'$ - $y'$  平面上的磁化矢量初始值为  $M_{x'y'}^0$ , 那么, 脉冲磁场消失后  $M_{x'y'}^0$  立即可逐渐衰减, 回到 0 值, 从而使磁化矢量恢复到原来的纯垂直向量  $M_0$ 。 $M_{x'y'}^0$  的弛豫方程为

$$M_{x'y'}(\theta = \pi/2) = M_{x'y'}^0 [\exp(-t/T_2)] \quad (16.65)$$

式中  $T_2$ ——自旋—自旋弛豫时间。



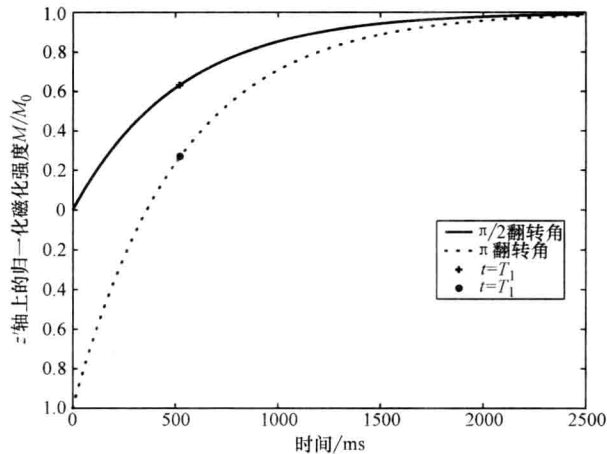


图 16.36 磁化矢量  $z'$  轴分量的恢复曲线（弛豫时间常数为  $T_1$ ）

注：图中实线和虚线分别是大脑灰质  $\pi/2$  和  $\pi$  翻转角的弛豫曲线。

此方程表示的弛豫曲线如图 16.37 所示。由于磁化矢量的这个横向分量可以移动和旋转，因此，它与生物组织等物质的相互作用就与前述垂直分量不同。如图 16.38 所示，随着磁化矢量扫过的区域逐渐增大，原子核系统发生相散，使磁化矢量横向分量的净总和逐渐趋于零。

$T_2$  与  $T_1$  的意义不同。 $T_2$  对分子之间的相互作用和外加磁场  $B_0$  的非均匀性较敏感。该弛豫常数还有一种比较切合实际应用的定义，它包括了磁场变化  $\Delta B_0$  的效应，即

$$\frac{1}{T_2^*} = \frac{1}{T_2} + \frac{\gamma \Delta B_0}{2} \tag{16.66}$$

比较图 16.36 和图 16.37 可见， $T_2$  显然比  $T_1$  短，而  $T_2^*$  则是三者中最短的。表 16.3 列出了各种人体组织常用的  $T_1$  和  $T_2$  时间常数。

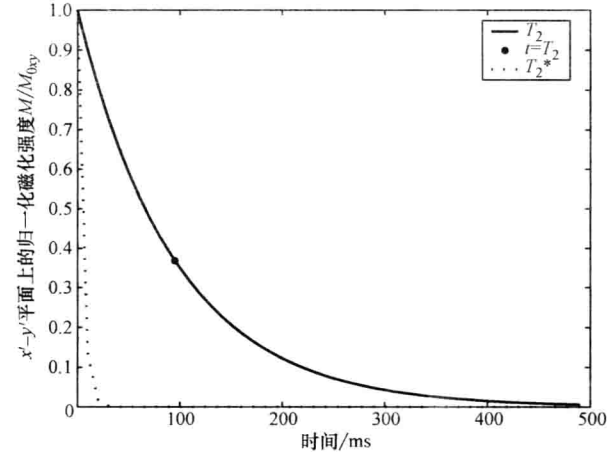


图 16.37 大脑灰质  $\pi/2$  翻转角的磁化矢量在  $x'-y'$  平面上的分量的弛豫曲线（弛豫时间常数为  $T_2$ ， $T_2^* = 5\text{ms}$ ）

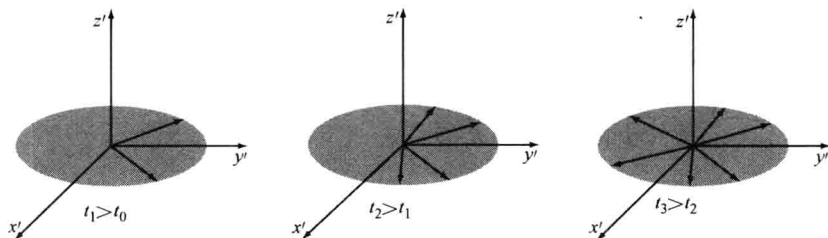


图 16.38  $\pi/2$  翻转角发生之后自旋—自旋弛豫的相散时间序列（弛豫时间常数为  $T_2$ ）

#### 例 16.14

在产生  $\pi/2$  翻转角之后，当磁化矢量的水平分量衰减为初始值的  $1/e$  时，脂肪组织中与  $T_1$  相关的磁化矢量的垂直分量恢复了百分之几？

解：

由表 16.3 可知，脂肪的  $T_1 = 160\text{ms}$ ，且  $T_2 = 100\text{ms}$ 。 $T_2$  就是磁化矢量水平分量衰减到  $1/e$  初始值所需的时间。根据式（16.62），此时垂直分量的恢复值为

$$1 - \exp(-T_2/T_1) = 0.465 = 46.5\%$$

表 16.3 几种人体组织的常用  $T_1$  和  $T_2$  值

组织	$T_1/\text{ms}$	$T_2/\text{ms}$
脑脊液	2000	1000
脂肪	160	100
灰质	520	95
恶性肿瘤	800	200
水肿或梗塞	600	150
白质	380	85

#### MRI 检测的信号

至此我们已经讲述了有关核磁共振激发和衰减的背景知识，接下来就可以介绍 MRI 检测的信号。测量装置的原理如图 16.33a 所示，检测线圈平面与  $x$  轴垂直。引发  $90^\circ$  翻转角的  $\pi/2$  射频磁场激励脉冲是一个脉宽为  $t_p$  的正弦波短脉冲信号，正弦波的频率就是拉莫尔频率， $t_p$  值由式（16.61）决定。由于激励脉冲的持续时间比任何恢复时间常数和衰减时间常数都要长得多，因此，可以用一个按指数规律变化的正弦波信号来简化分析过程。 $x$ - $y$  平面上的横向磁化向量可以写为

$$\hat{M}_{xy}(t) = M_{xy}^0 e^{-t/T_2} e^{j\omega t} (\hat{x} + j\hat{y}) \quad t < t_p \quad (16.67)$$

该磁场激励的作用是改变氢原子中电子的自旋状态并诱发共振。利用法拉第定律可以检测本章 16.3.2 节所述第三种情况下的总的净磁化响应。假设直径为  $d$  的测量线圈的面积为  $S$ ，则

$$S = \frac{M}{I} \quad (16.68)$$

式中  $M$ ——磁化强度；

$I$ ——等效电流。

如果线圈面积的方向就是  $x'$  轴, 且上式中的  $M$  是相应的  $x$ - $y$  平面上的分量, 那么, 根据式 (16.51) 的法拉第定律, 对于某个体积为  $V_{\text{voxel}}$  的成像体素, 其产生的感应电压为

$$v(t) = -V_{\text{voxel}} \frac{\partial}{\partial t} \left[ \hat{B}'_1(t) \times \frac{M_{xy}}{I} \right]$$

$$v(t) = -V_{\text{voxel}} \frac{\partial}{\partial t} \left[ \hat{B}'_1(t) \times \frac{\hat{M}_{xy}}{I} \right] = -V_{\text{voxel}} \frac{\partial}{\partial t} \left[ \left| \hat{B}'_1(t) \right| \left| \frac{M_{xy}}{I} \right| \sin \theta \right] \quad (16.69a)$$

由式 (16.67) 可得  $M_{xy}$ , 且由式 (16.60f) 可得  $\hat{B}'_1(t)$ 。并且,  $\hat{B}'_1$  与  $\hat{M}_{xy}$  之间的夹角  $\theta = 90^\circ$ , 因此, 上式所表示的电压就变为

$$v(t) = \left( \frac{B_1}{2I} \right) \cdot (j\omega V_{\text{voxel}} M_{xy}^0 e^{-|t|/T_2} e^{j\omega t}) \quad (16.69b)$$

式中  $V_{\text{voxel}}$ ——图像体素的三维体积。

该磁共振电压信号  $v(t)$  被称为自由感应衰减 (Free Induction Decay, FID) 信号, 图 16.39 显示了此信号的实部。

但是, FID 信号并不适合用于 MRI 检测, 主要是因为它受磁场变化的影响太大, 而磁场决定了原子核自旋状态的响应信号。另外, FID 信号的衰减时间常数很小, 信号衰减太快, 难以直接测量。如图 16.38 所示, 随着原子核运动的空间位置的变化, 其自旋状态要经历非均匀磁场的作用, 从而导致各个原子核磁化矢量角频率之间的差异。由式 (16.56) 可知, 某些原子核的进动速度要比其他原子核快。因此, 使原子核系统迅速相散, 测不到磁共振信号。

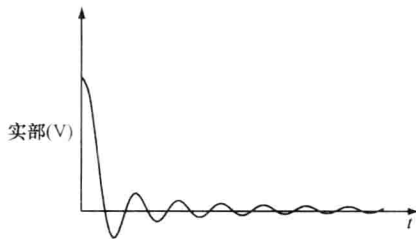


图 16.39 随时间变化的自由感应衰减信号 (信号从  $t = 0$  开始)

自旋回波 (Spin Echo, SE) 法是一种巧妙

的间接测量方法。如图 16.35c 所示, 先施加一个  $\pi/2$  激励脉冲, 使磁化矢量偏转到  $y$  轴; 然后, 激励脉冲结束后经过某个  $T_e/2$  时间, 当自旋矢量发生明显相位离散但还未完全失相位时, 再施加第二个  $\pi$  激励脉冲, 其幅值为原  $\pi/2$  脉冲的两倍。如图 16.40a 所示, 该  $\pi$  激励脉冲可以将所有不同相位的原子核翻转  $180^\circ$ , 从而使各个磁化矢量又向反方向进动。由于各自的速度保持不变, 再经过  $T_e/2$  时间后, 所有原子核又重新聚集到  $y$  轴上, 变成同相位。于是, 就会在  $T_e$  时刻再次出现磁共振信号的一个波峰, 然后再衰减, 这就形成了图 16.40b 所示的自旋回波信号。这种方法的妙处就在于它抵消了磁场不均匀性的影响, 实现了人体组织  $T_2$  响应信号的准确测量。与 FID 信号的推导方式相似, 自旋回波信号的方程如下

$$v(t) = j(B_1/2I) \omega V_{\text{voxel}} M_{xy}^0 e^{-|t|/T_2} e^{j\omega t} \quad (16.70)$$

利用以下两个傅里叶变换, 可以求得自旋回波信号的频谱。一个变换是

$$\mathcal{F}[\exp(-|t|)] = \frac{2}{1 + (2\pi f)^2} \quad (16.71a)$$

另一个变换是

$$\mathcal{F}(e^{j\omega_L t}) = \delta(f - f_L) \quad (16.71b)$$

注意, 式 (16.70) 中的  $\omega$  是个常数, 且  $\omega = \omega_L = 2\pi f_L$ , 其物理意义相当于拉莫尔频率  $\nu_L$ 。

再根据式 (16.4a) 所述的傅里叶比例变换性质, 于是, 式 (16.70) 的回波信号的频谱就成为

$$V(f) = \mathcal{F}\left(\frac{jB_1 M_{xy}^0 \omega_L V_{\text{voxel}} e^{-1/T_2} e^{j\omega_L t}}{2I}\right) = \frac{jB_1 M_{xy}^0 \omega_L V_{\text{voxel}} T_2}{2I} \left\{ \frac{1}{1 + [2\pi T_2 (f - f_L)]^2} \right\} \quad (16.71c)$$

该频谱的幅值如图 16.40c 所示。

如果定义  $S(f)$  函数为

$$S(f) = \frac{jB_1 M_{xy}^0 \omega_L V_{\text{voxel}} T_2}{2I} \left\{ \frac{1}{1 + [2\pi T_2 f]^2} \right\} \quad (16.71d)$$

那么式 (16.71c) 就变为

$$V(f) = S(f - f_n) \quad (16.71e)$$

此处  $f_n = f_L$ 。一般, 下标  $n$  表示  $x_n$  处的拉莫尔激励频率。下一节就将介绍这种对应关系的由来。

### 16.3.5 磁共振成像设备

为了根据测量信号重建被测物体的 MRI 图像, 必须建立一种被测信号的空间定位方法。MRI 成像中, 笛卡尔三维坐标系中的 3 个坐标轴各自有一种被测数据与坐标位置之间的编码方法, 所以, 下面将分别介绍  $z$  轴、 $x$  轴和  $y$  轴的定位。三维图像由许多离散化的微小立方体组成, 这些立方体被称为体素 (voxel), 每个体素的体积为  $V_{\text{voxel}} = \Delta x \Delta y \Delta z$ 。

创建图像的第一步是要确定所需成像的层面, 如图 16.41 所示, 它是  $z$  轴上厚度为一个体素的切面。MRI 检测时, 病人被推入一个能够产生强静磁场  $B_0$  的巨型超导磁体中。回顾本章 16.3.2 节所述的第 1 种和第 2 种情况: 导线或线圈中的电流可以产生磁场。MRI 的磁体中就是安装了多个线圈, 这些线圈可以产生一个  $z$  轴方向的电控线性梯度磁场, 即

$$\vec{B}_z = \hat{z}(B_0 + G_z z) \quad (16.72a)$$

式中  $G_z$ ——磁场梯度常数, 单位为  $T/m$ 。

由式 (16.56) 可知, 该梯度磁场可以在  $z$  轴的每个位置上产生一个特定的拉莫尔

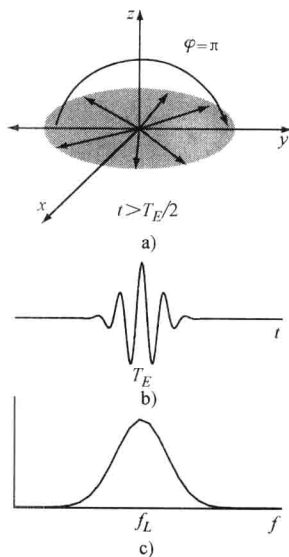


图 16.40 a)  $\pi$  激励脉冲引起各个原子核磁化矢量旋转方向的  $180^\circ$  翻转, 使它们重新向同相位运动 b) 自旋回波信号的时间函数 c) 自旋回波信号的幅值频谱

频率，即

$$\omega = \gamma B_z = \gamma B_0 + \gamma G_z z \tag{16.72b}$$

$z=0$  处被设定为中心位置，该中心位置的拉莫尔频率为  $\omega_0 = \gamma B_0$ ，被称为中心频率，它可以通过电子处理方法从  $\omega$  中减去。

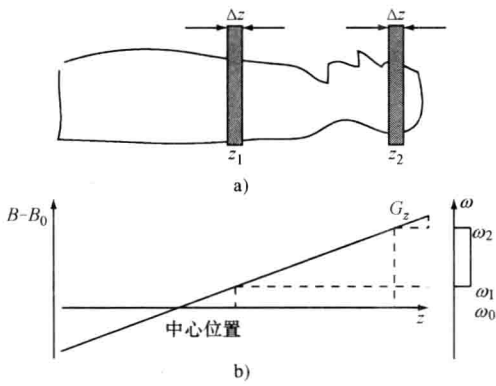


图 16.41 a) 轴向成像平面位置的侧视图 b) 在  $z$  轴梯度磁场上选中的两个成像断层的位置  
注：图中右侧的垂直坐标显示了射频激励脉冲选择拉莫尔频率的范围。为了能够看得清楚，此图没有按比例绘制。

如图 16.41 所示，如果外加激励磁场的频率在合适的范围内，那么，就可以选中某个特定的成像平面。为了获得较平稳的激励磁场，时域上的射频激励脉冲的正弦波包络线形状需要进行适当的调制。sinc 函数形状的脉冲具有平坦的方波频谱，也就是，其傅里叶变换是一个方波函数。但是，理论上，这种函数在时域上是无限长的。图 16.42 显示了 sinc 脉冲及其相应的磁场频谱形状。时域 sinc 脉冲函数的傅里叶变换可以用带宽为  $\Delta f$  的方波函数表示如下

$$\mathcal{F}[\text{sinc}(\Delta f t) \exp(j2\pi f_1 t)] = (1/\Delta f) \prod [(f - f_1)/\Delta f] \tag{16.73}$$

作为一种折中方法，实际使用的是直接截断或者加窗截断的有限长 sinc 脉冲，图 16.40b 和 c 所示就是加了锥形递减窗的 sinc 脉冲波形及其幅值频谱。

例 16.15

假设磁场梯度常数  $G_z = 0.352\text{T/m}$ 。如果要获得 10mm 层厚的  $z$  轴断层图像，请问激励磁场的频谱带宽应该为多少？如果静磁场  $B_0 = 1\text{T}$ ，离开中心位置 10cm 和 20cm 处的断层成像分别需要使用中心频率为多少的激励磁场？

解：

将  $\gamma = 2\pi\gamma'$  代入式 (16.72b)，就可以计算如下频率差（即频谱带宽），它与层面厚度成正比，即

$$\Delta f = 42.58(\text{MHz/T}) \times 0.352(\text{T/m}) \times 0.010\text{m} = 0.15\text{MHz}$$

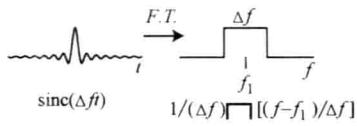


图 16.42 具有选定拉莫尔中心频率的 sinc 调制激励脉冲及其傅里叶变换（其频谱表示了外加激励磁场的形状）

同样, 利用此公式也可以计算偏离中心位置 10cm 处的层面所需的中心频率为

$$f_1 = 42.58 \text{ (MHz)} [1\text{T} + 0.352 \text{ (T/m)} \times 0.1\text{m}] = 44.08 \text{ MHz}$$

同理, 20cm 处所需的中心频率为  $f_2 = 45.58 \text{ MHz}$ 。

用梯度磁场确定了扫描层面在  $z$  轴上的位置之后, 如图 16.43 所示, 下一步就是要确定  $x$ - $y$  平面上的位点。同理,  $x$  轴上的空间定位也利用外加梯度磁场来确定, 即

$$\omega = \gamma B_x = \gamma B_0 + \gamma G_x x \quad (16.74a)$$

当  $B = B_0$  时, 也有  $\omega_{\text{mix}} = \omega_0$ 。消去  $\omega_0$  之后, 频率差与位置  $x$  成正比

$$\Delta\omega = \omega - \omega_{\text{mix}} = \gamma G_x x \quad (16.74b)$$

根据式 (16.72b), 前述选择  $z$  轴上某个层面位置时使用了特定的激励磁场频率。虽然选定  $x$  轴上位置时也应用同样的原理, 但实现方式有所不同。这里, 被测磁共振信号的频率随  $x$  轴上的距离变化, 如图 16.44 所示, 是一个线性梯度磁场信号。沿  $x$  扫描线的一系列共振激发信号组成了整个测量信号, 信号的频率变化编码了  $x$  轴的位置信息。

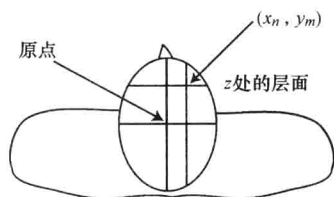


图 16.43  $z$  轴上位置  $z$  处的某个  
层厚为  $\Delta z$  的  $x$ - $y$  层面  
(参见图 16.41 所示层面位置)

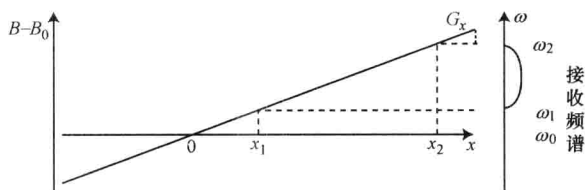


图 16.44  $x$  轴上扫描位置的频率编码方法  
(图中显示了  $x_1$  和  $x_2$  两个位置)

超声成像中所检测的回波信号的时间延迟与超声传播途径中不同深度距离上遇到的反射物相关。与这种超声成像原理不同, 不同空间位置上的 MRI 信号是由频率编码的, 它们都叠加在相同的时间点上。在频域上为

$$V(f) = \sum_n S(f - f_n) \quad (16.75)$$

下一节会介绍此  $x$  轴位置信号的解码方法。

虽然 MRI 系统也曾经采用过外加  $y$  轴方向的线性梯度磁场来定位  $y$  轴坐标, 但是, 现在比较常用的不是这种频率编码方法, 而是另一种相位编码方法。其依据是式 (16.61) 表示的翻转角理论, 此处变为

$$\varphi(y) = \omega t = -(\gamma B_0 t + \gamma G_y t_p y) \quad (16.76)$$

其中  $y = y' + y_0$ ,  $y_0$  是中心位置。根据此翻转角理论, 具有特定脉宽  $t_p$  的射频磁场可以使质子的磁化矢量旋转一个所需的角。由式 (16.76) 可知, 改变脉宽  $t_p$  或者改变梯度常数  $G_y$  都可以引起磁化矢量相位的变化。

如图 16.45 所示, 比较实用的方法是通过改变  $y$  轴梯度线圈的电压幅值来调节梯度常数  $G_y$  的大小和方向, 而不是改变脉宽  $t_p$ 。为了获得整个  $x$ - $y$  平面的成像信息, 一般使

用 128 或 256 个不同的激励信号扫描  $y$  轴，每个激励信号对应于一个特定的  $y$  轴位置。图 16.46 显示了顺序排列的几条扫描线的控制脉冲和激励信号。

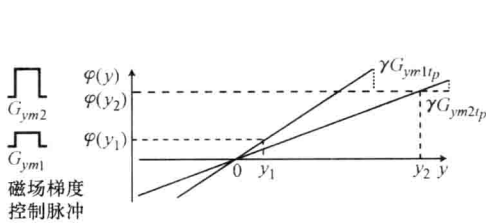


图 16.45  $y$  轴位置的相位编码方法  
(图中显示了  $y_1$  和  $y_2$  两个位置)

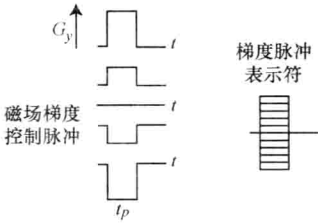


图 16.46 几条依次排列的扫描线脉冲序列  
(请注意  $G_y$  脉冲的幅值变化过程，通常  $G_y$  的变化范围为  $G_{y\max} \sim -G_{y\max}$ )

16.3.6 磁共振成像序列

前面已经将 MRI 成像所需的几乎所有基础知识都介绍过了。现在，我们要逐步总结各种不同的控制和检测方法，并将它们整合起来，用于阐述 MRI 成像的实际过程。为了简洁明了，某些过程将适当简化。图 16.43 所示是颅脑扫描的一个  $x$ - $y$  成像平面，其中包含了中心位置，也就是磁场坐标系的原点。下面就介绍此平面中某个特定位置上的净磁化信号转换成磁场强度、被测信号以及最终转换为图像信号的过程。

图 16.47 显示了 MRI 测量的脉冲序列：

首先是两个射频脉冲信号  $\pi/2$  脉冲和  $\pi$  脉冲。正如本章 16.3.4 节所述，这两个射频激励脉冲迫使磁化向量进动到  $x$ - $y$  平面，从而建立自旋回波信号。 $z$  轴的梯度脉冲信号  $G_z$  与射频脉冲同步发生，用于接通梯度线圈，使线圈发射选定频率的射频脉冲，进行 16.3.5 节所述的  $x$ - $y$  成像平面在  $z$  轴上的定位。

然后，在原子核进动期间和自旋回波形成过程中，发射  $x$  轴方向的梯度脉冲。通过该梯度磁场的作用，将原子核自旋信号在  $x$  轴上的位置信息转变成不同的频率信号。

最后，再用梯度脉冲激励  $y$  轴线圈，并通过脉冲的幅值实现  $y$  轴位置的相位编码。此后，在  $t = T_E$  时刻检测自旋回波信号。上述基本序列的重复时间间隔为  $T_R$ 。

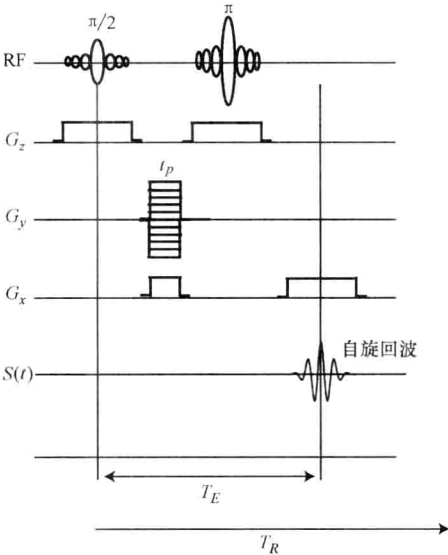


图 16.47 MRI 的基本射频激励信号以及用于自旋回波信号  $S(t)$  检测的梯度脉冲序列  $G_z$ 、 $G_y$  和  $G_x$

注： $T_E$  为回波时间； $T_R$  为重复周期，也就是两个基本序列之间的时间间隔。

利用傅里叶变换可以将采集到的一系列信号序列与被测物体的磁共振图像（即净磁化矢量的分布）关联起来。假设成像层面的  $z$  轴位置已经选定，那么，物体的图像就是坐标位置  $(x, y)$  的函数，需要使用二维傅里叶变换。如果能够先将  $x$  和  $y$  两个坐标分开考虑，单独进行一维傅里叶变换，然后再将它们合成二维变换，那就比较简单了。下面分析成像层面上  $(x_n, y_m)$  点处的净磁化分布信号。

为了便于理解，我们先回顾一下本章 16.1.1 节所述的冲击函数及其傅里叶变换的性质，它们对于 MRI 图像的重建技术具有重要的作用。冲激函数是一个具有特殊性质的广义函数，正如 16.1.1 节所述，它对被积函数具有采样作用，即

$$\int_{-\infty}^{\infty} \delta(f - f_0) R(f) df = R(f_0) \quad (16.77a)$$

冲激函数的傅里叶反变换是一个指数函数，即

$$g(t) = \int_{-\infty}^{\infty} \delta(f - f_0) e^{i2\pi ft} df = e^{i2\pi f_0 t} \quad (16.77b)$$

而该指数函数的傅里叶变换就是

$$G(f) = \int_{-\infty}^{\infty} (e^{i2\pi f_0 t}) e^{-i2\pi ft} dt = \int_{-\infty}^{\infty} e^{-i2\pi t(f-f_0)} dt = \delta(f - f_0) \quad (16.77c)$$

如果函数  $w(t)$  的傅里叶变换为  $W(f)$ ，那么

$$\int_{-\infty}^{\infty} [w(t) e^{i2\pi f_0 t}] e^{-i2\pi ft} dt = \int_{-\infty}^{\infty} w(t) e^{-i2\pi t(f-f_0)} dt = W(f - f_0) \quad (16.77d)$$

现在，我们先从  $y$  轴开始分析 MRI 图像的建立方法。MRI 的  $y$  位置信息是一种相位编码，并且由式 (16.76) 决定。消去净磁场  $B_0$  产生的相位之后，式 (16.76) 可以简化为

$$\varphi(y) = -\gamma G_y t_p y \quad (16.78a)$$

与  $y$  轴上特定位置  $y_m$  相对应的相位就是

$$\varphi_m(y_m) = -(\gamma G_{y,m} t_p y_m) \quad (16.78b)$$

此相位是位置  $y_m$  和特定的磁场梯度系数  $G_{y,m}$  的函数。相应的被编码时间信号可以描述为

$$S_m(0, G_y) = e^{-i\gamma t_p y_m G_y} \quad (16.78c)$$

如图 16.45 所示，梯度系数  $G_y$  是确定相位的变量。以  $G_y$  为变量进行傅里叶变换时，傅里叶域中的新变量用  $u$  表示。我们知道，时间  $t$  与频率  $f$  这对傅里叶变换变量的单位之间存在倒数关系。同理， $u$  的单位也是  $G_y$  单位的倒数，即  $m/T$ 。 $G_y$  和  $u$  这两个变量可用于构建特定的相位项，并且，还可以通过傅里叶变换与  $y_m$  联系起来。下面我们就来分析这个关系。设傅里叶变换

$$S_m(0, u) = \int_{-\infty}^{\infty} (e^{i2\pi u_m G_y}) e^{-i2\pi u G_y} dG_y = \int_{-\infty}^{\infty} e^{-i2\pi(u-u_m)G_y} dG_y = \delta(u - u_m) \quad (16.79)$$

这里  $u$  出现在被积函数第二个指数项的参数中。根据式 (16.77c) 和式 (16.78a)，此第二个指数项的整个参数就是相位，因此，由以下等式可以求得  $u$  的显式函数，即



$$2\pi u G_y = -\gamma t_p y G_y \quad (16.80a)$$

$$u = -\gamma t_p y / (2\pi) \quad (16.80b)$$

可见, 该相位编码的傅里叶变换是根据冲激函数的性质得到的。将式 (16.80b) 代入式 (16.79), 进行变量代换, 可得

$$S_m(0, u) = \delta(u - u_m) = \delta[-\gamma t_p / (2\pi) (y - y_m)] \quad (16.81a)$$

再利用 16.1.1 节所述的冲激函数的性质  $\delta(au) = \delta(u) / |a|$ , 就有

$$S_m(0, y) = [2\pi / (\gamma t_p)] \delta(y - y_m) \quad (16.81b)$$

这是 MRI 的一个关键方程, 其推导过程揭示了磁共振成像的重要原理之一。首先, 根据式 (16.78b), 某处的梯度系数  $G_{y,m}$  将  $y$  轴上的位点  $y_m$  编码成为相位。其次, 在傅里叶变换域, 该相位使得磁共振信号频谱的中心变为  $u$ , 而  $u$  值与相应的净磁化矢量的位置相关。最后, 通过简单的比例变换, 就可以将信号频谱转换到  $y$  轴空间位置上 (图 16.48a)。因此, 该过程将尺度变化了的磁共振信号幅值频谱映射到了  $y$  轴上。

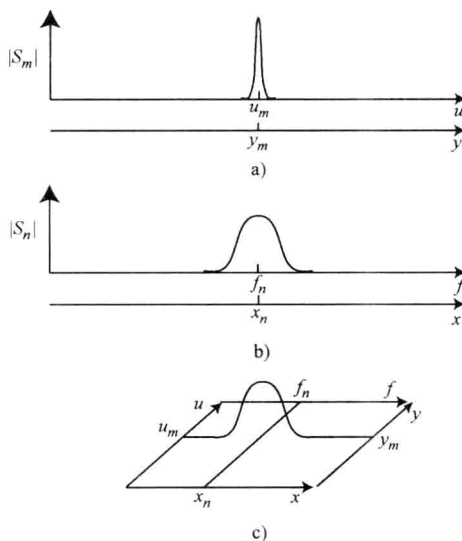


图 16.48 a) 同时以  $y$  轴和  $u$  轴为横坐标作出的相位编码磁共振信号的幅值频谱曲线, 其中  $y$  轴和  $u$  轴经过比例变换 b) 同时以  $x$  轴和  $f$  轴为横坐标作出的频率编码磁共振信号的幅值频谱曲线, 其中  $x$  轴和  $f$  轴经过比例变换 c)  $xy$  平面 (即  $uf$  平面) 上的频谱曲线。为了清晰, 图中尺度被放大

以上是  $y$  轴的分析结果, 下面我们来建立  $x$  轴上的傅里叶变换关系。假设单个自旋回波信号如图 16.40b 所示, 它位于  $y=0$  位置, 因此  $G_y=0$ 。由式 (16.70) 可知, 经过时间延迟  $T_E$ , 并经过特定时间常数  $T_{2n}$  的衰减之后 ( $T_{2n}$  与位置  $x_n$  相关), 该自旋回波信号变为

$$S_n(t, 0) = 2S_0 e^{-1(t-T_E)/T_{2n}} e^{j\omega_n(t-T_E)} \quad (16.82)$$

式中  $s$  是  $t$  和  $G_y$  的函数, 且  $G_y=0$ ,  $S_0$  为常数。与位置  $x_n$  相关的拉莫尔频率  $\omega_n$  为

$$\omega_n = \gamma G_x x_n \quad (16.83)$$

注意, 中心位置的  $\omega_0$  已被消去。

式 (16.82) 的一维傅里叶变换是

$$S_n(f, 0) = \int_{-\infty}^{\infty} s(t, 0) e^{-i2\pi ft} dt = \int_{-\infty}^{\infty} [S_0 e^{-|t-T_E|/T_{2n}}] [e^{-i2\pi f_n T_E} e^{-i2\pi(f-f_n)t}] dt \quad (16.84a)$$

将此式与式 (16.77d) 进行对比, 可见, 此式其实可以看做位于  $f_n$  处的冲激函数的傅里叶变换。这就意味着左方括号内函数的傅里叶变换是以  $f_n$  为中心的。为了说明这个结果, 有必要确定该方括号中函数的傅里叶变换是否具有式 (16.71a) 和式 (16.71d) 的形式, 即

$$W_n(f, 0) = \int_{-\infty}^{\infty} w_n(t, 0) e^{-i2\pi ft} dt = \int_{-\infty}^{\infty} [S_0 e^{-|t-T_E|/T_{2n}}] e^{-i2\pi ft} dt = \frac{S_0}{1 + (2\pi f T_{2n})^2} \quad (16.84b)$$

$S_0$  为常数。因此,  $S_n(f, 0)$  就可以表示为

$$S_n(f, 0) = e^{-i2\pi f_n T_E} W_n(f - f_n) \quad (16.84c)$$

根据式 (16.83), 对上式中的频率变量进行代换, 就得到

$$S_n(x, 0) = e^{-i\gamma G_x x_n T_E} W_n\left[\frac{\gamma G_x}{2\pi}(x - x_n)\right] \quad (16.84d)$$

这也是 MRI 的一个关键方程, 其推导过程揭示了磁共振成像中的另一个重要原理。首先, 局部的受激磁共振信号将位置信息编码成为频率  $f_n$ , 作为时间信号相位的一部分。其次, 在傅里叶变换域, 该相位使得信号函数的频谱中心频率与净磁化强度的位置相关。最后, 经过简单的比例变换, 信号的频谱就被转换到  $x$  轴的空间位置上 (图 16.48b)。该过程将尺度变化了的磁共振信号幅值频谱映射到  $x$  轴上。

以上分别推导了  $y$  轴和  $x$  轴的一维信号, 为了将它们组合成二维信号, 可以将两个一维傅里叶反变换结合在一起, 得到如下二维函数:

$$s(t, G_y) = \mathcal{F}^{-1}[I(f, u)] = \iint I(f, u) e^{i2\pi ft} e^{i2\pi u G_y} df du \quad (16.85)$$

为了根据  $(x_n, y_m)$  位置上的测量信号计算磁化矢量的强度分布  $I$ , 再对上式求二维傅里叶变换, 即

$$I(f, u) = S_{mn}(f, u) = \mathcal{F}[s_{mn}(t, G_y)] = \iint s_{mn}(t, G_y) e^{-i2\pi ft} e^{-i2\pi u G_y} dt dG_y \quad (16.86)$$

这里, 函数  $S_{mn}(t, G_y)$  是两个一维信号的简单相乘, 即

$$S_{mn}(t, G_y) = [S_0 e^{-|t-T_E|/T_{2mn}}] e^{i\omega_n(t-T_E)} e^{i2\pi y_m G_y} \quad (16.87)$$

因此, 将此式代入式 (16.86), 可得二维傅里叶变换为

$$S_{mn}(x, y) = \left\{ e^{-i\gamma G_x x_n T_E} W_{mn}\left[\frac{\gamma G_x}{2\pi}(x - x_n)\right] \right\} [2\pi/(\gamma t_p)] \delta(y - y_m) \quad (16.88)$$

如图 16.48c 所示, 在这种情况下, 两个一维函数的交点就构成了  $(x_n, y_m)$  位点上的尺度变换了的频谱。 $u_m$  的作用是通过尺度的比例变换确定频谱在  $y$  轴上的位置。在 MRI 图像中, 频谱  $S_{mn}$  被映射为图像的灰度级, 白色表示  $z$  层面上的最大值。由此可见,

MRI 图像显示的并不是测量的磁共振时间信号,而是时间信号的频谱幅值。通过上述这些编码方法,这些频谱幅值被映射到相应的空间位置上。

MRI 实际测量的感应电压信号是被扫描层面  $z$  平面上所有位点产生的净磁化矢量信号之和,即

$$V(t, G_y) = \sum_{m,n} S_{m,n}(t, G_y) \quad (16.89)$$

这些测量信号并不是式 (16.87) 和式 (16.88) 推导出来的理想形式,而是反映被测人体组织特性和组成结构的信号。

$k$  空间 ( $k$ -space) 方法是分析 MRI 采样数据及其傅里叶变换的一种简单方法。它用  $k$  空间描述原始测量信号,并用  $(x, y)$  空间描述相应的傅里叶变换信号。如下所述,通过简单的变量代换,就可以实现这种描述。先从包含了重要变量的式 (16.83) 和式 (16.80a) 开始,将这两个公式变换成如下两个新公式:

$$2\pi f_n t = k_x x_n \quad (16.90a)$$

$$2\pi u G_y = k_y y_m \quad (16.90b)$$

根据前述定义,很容易看出

$$k_x = \gamma G_x t \quad (16.91a)$$

$$k_y = -\gamma G_y t_p \quad (16.91b)$$

即

$$t = k_x / \gamma G_x \quad (16.92a)$$

$$G_y = -k_y / \gamma t_p \quad (16.92b)$$

再将这两个  $t$  和  $G_y$  的公式代入式 (16.85), 可得

$$s(k_x / \gamma G_x, -k_y / \gamma t_p) = \iint \left\{ \left( \frac{\gamma G_x}{2\pi} \right) \left( \frac{-\gamma t_p}{2\pi} \right) I \left[ \left( \frac{\gamma G_x}{2\pi} \right) x, \left( \frac{-\gamma t_p}{2\pi} \right) y \right] \right\} e^{ik_x x} e^{ik_y y} dx dy \quad (16.93)$$

用新变量  $\tilde{s}$  和  $\tilde{I}$  重新定义上式中的  $s$  和  $I$  函数, 可得

$$\tilde{s}(k_x, k_y) = \iint \tilde{I}(x, y) e^{ik_x x} e^{ik_y y} dx dy \quad (16.94)$$

其中  $\tilde{I}(x, y)$  等于式 (16.93) 指数前面大括号中的项。同理, 式 (16.86) 可以变为

$$\tilde{I}(x, y) = \iint \tilde{s}(k_x, k_y) e^{-ik_x x} e^{-ik_y y} dk_x dk_y \quad (16.95)$$

这样, 前面所述的分析过程就都可以用  $xy$  空间和  $k$  空间的变量来完成。

### 16.3.7 MRI 成像系统

图 16.49 显示了 MRI 系统的主要组成部分。其中, 巨型超导磁体用于产生均匀的静磁场  $B_0$ 。临床使用的静磁场强度一般在 0.15 ~ 2T 的范围内, 但也有使用 3 ~ 5T 磁场强度的 MRI 系统。主磁体内还安装有用于产生  $x$ 、 $y$  和  $z$  轴梯度磁场的成对表面线圈。这些线圈产生的磁场强度通常只有主静磁场的百分之几, 它们用于磁自旋共振信号的定

位。被测人体所产生磁共振信号被射频发射/接收线圈检测, 该线圈有时制作成靠近人体放置的表面线圈。计算机(即 CPU) 控制射频脉冲发生器和序列发生器产生射频信号。切换开关将这些射频脉冲送给射频线圈, 同时又将接收到的射频信号送给放大器。然后, 接收信号被数据采集系统采样, 并由计算机处理后经过傅里叶变换生成图像。新型 MRI 系统的灵活性很大, 用户可以通过改变各个磁场梯度和脉冲序列来获得不同的成像效果和不同的加权像。图像采集时间一般为  $50 \sim 100\text{ms}$  数量级, 不过, 现在已经有更快的采集速度。

MRI 检测时, 可以通过调节图 16.47 所示的基本脉冲序列, 来强调不同的信号特征。例如, 如果缩短脉冲重复时间间隔  $T_R$  和自旋回波时间  $T_E$ , 就可以获得图 16.50b 所示的常见的  $T_1$  加权像 ( $T_1W$ )。典型的取值是  $T_E = 12\text{ms}$ ,  $T_R = 300\text{ms}$ 。如果延长  $T_R$  和  $T_E$ , 并使  $T_E$  前后的延时变长, 那么, 就可以获得图 16.50a 所示的  $T_2$  加权像 ( $T_2W$ )。这种成像的典型设置是  $T_E = 100\text{ms}$ ,  $T_R = 3000\text{ms}$ 。如果将长  $T_R$  和短  $T_E$  相结合,

那么, 就可以产生所谓的质子密度加权像 (PD) (图 16.50c)。其典型的取值是  $T_E = 30\text{ms}$ ,  $T_R = 3000\text{ms}$ 。前面提到过,  $T_1$  对物体不同区域的热特性比较敏感, 而  $T_2$  则对截面上不同区域的磁场非均匀性比较敏感。MRI 检测的定时和脉冲序列设置方法还有很多种, 它们在各种不同临床成像应用中都具有重要的作用。

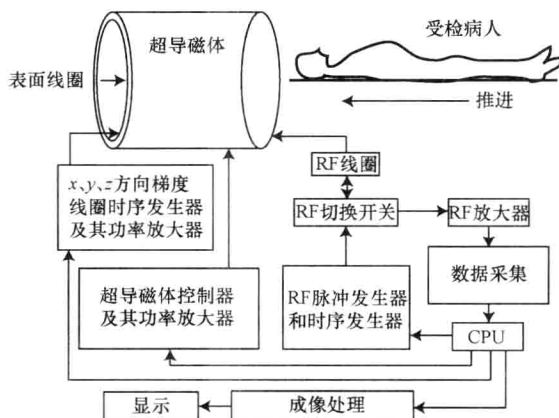


图 16.49 MRI 系统的结构框图

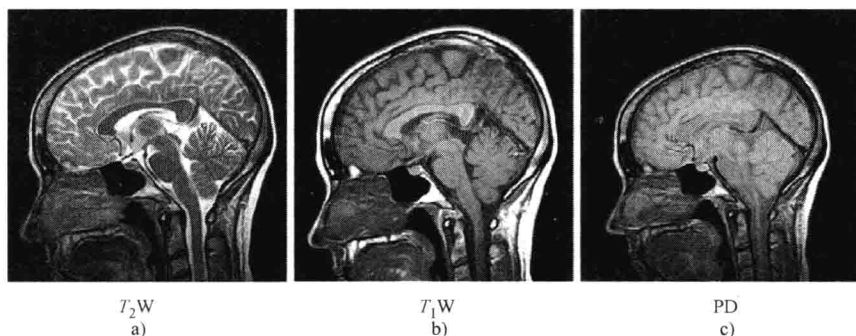


图 16.50 颅脑矢状面的 3 种 MRI 权重图像 (由 Philips 公司赠送)

a)  $T_2$  加权像 b)  $T_1$  加权像 c) 质子密度加权像

对比度是 MRI 成像系统的一个重要参数, 它反映了不同组织之间信号强度的差异。图 16.51 显示了两种不同组织纵向磁化矢量随时间变化的函数, 可见两条曲线的上升过程有所不同, 表明了两者  $T_1$  的差别。注意, 两条曲线在不同时间点上的垂直间距是不

同的，因此，两种组织之间的对比度是随时间变化的。如果比较 400ms、800ms 和 1600ms 这 3 个时间点上两条曲线之间的间距，就可以看出其变化。由此可见，通过改变检测的时间点就可以改变对比度。还有一种提高 MRI 图像对比度的方法就是注射顺磁性物质，如含钆造影剂等。

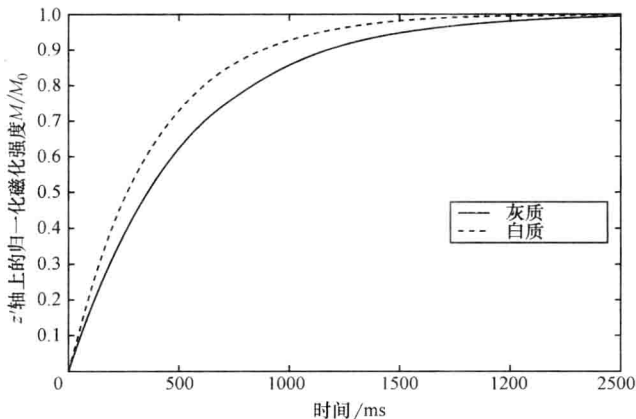


图 16.51 脑组织中灰质和白质的纵向磁化强度随时间变化的曲线

### 16.3.8 功能磁共振成像

功能磁共振成像（即 fMRI）就是利用 MRI 检测大脑不同区域的活动变化，通常包括大脑的新陈代谢、血流、容积和血氧浓度等的变化，用于考察大脑执行各种不同任务时的响应。这些测量参数的变化都相互关联在一起，并且可能产生相反的作用效果。例如，血流的增加会增加血氧浓度，而新陈代谢的增加却会降低血氧浓度。最常用的检测方法是测量血红蛋白磁化率的变化。氧合血红蛋白是逆磁性物质，而还原血红蛋白是顺磁性物质。利用这两者之间的差别所建立的检测方法被称为血氧水平依赖性（Blood Oxygen Level Dependent, BOLD）磁共振成像，即 BOLD - fMRI。血氧浓度的变化会引起  $T_2^*$  衰减常数的变化，因此，BOLD - fMRI 采用的是  $T_2^*$  加权像。由于这种变化非常微弱，因此，检测时，需要采集大脑执行任务前后的图像，然后将两张图像相减，再将相减的结果叠加在标准图像上。采集图像时还要特别注意去除各种噪声的干扰。一般需要在同一个成像层面上采集数百张图像，然后经过统计处理，才能获得最终的图像。这种检测可能的噪声来源有：热噪声、头部运动以及呼吸周期和心动周期的影响等。图 16.52 显示的就是 BOLD-fMRI 图像（见参考文献 [5]）。

功能磁共振成像已被广泛应用于研究各个不同脑区的活动与刺激和高级认知之间的关系（见参考文献 [7]），生物运动感知的研究就是这类神经成像的一个例子。受试者置身于 MRI 扫描设备中，一边看视频图像，一边接受实时扫描成像。试验项目有生物运动感知、人脸识别和非刚性运动感知等。如图 16.53 所示，试验结果被显示为三维重建图像中不同颜色编码的脑区。注意，对应于不同的大脑活动，图像所能达到的空间分辨率、定位和甄别的准确度各不相同。

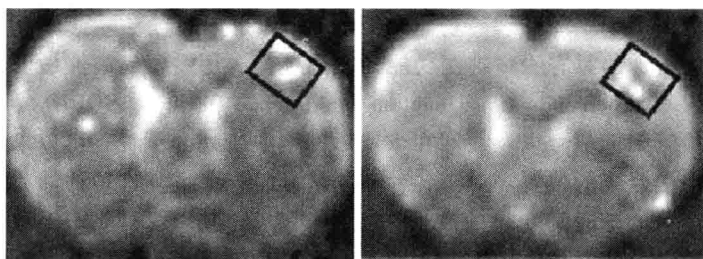
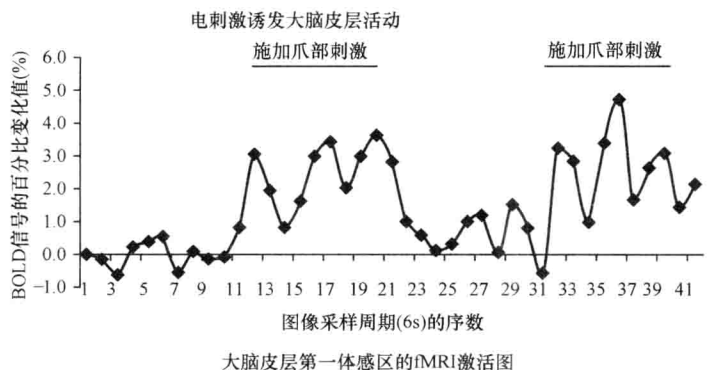


图 16.52 利用快速自旋回波信号的功能磁共振成像（经 Elsevier 许可，摘自 Ludwig 等，2004，见参考文献 [5]。）

注：图中显示的是大鼠左后肢爪部受到电刺激时右侧大脑皮层体感区（激活图方框所示区域）的响应数据，也就是 BOLD 信号的百分比变化值。

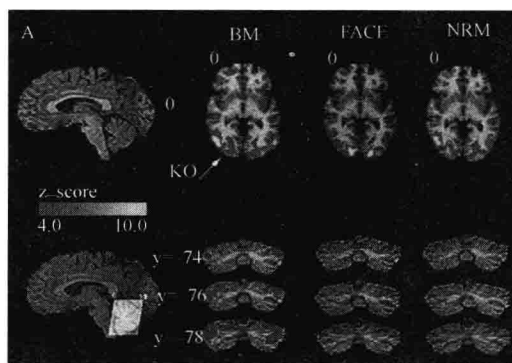


图 16.53 人脑处于不同响应时的 fMRI 图像

注：左上图中穿过脑的矢状切片的接近水平（标为“0”）的灰色直线显示了右边 3 张轴向切片的位置。这 3 张图分别是下列 3 项试验的具有统计学意义的神经活动的平均信号：生物运动感知（Biological Movement, BM）、人脸识别（Face Recognition, FACE）和非刚性运动感知（Nonrigid Motion, NRM）。生成这种 z 图像时，利用 t 检验来比较每项试验的结果与对照组之间的差别。灰度标尺表示脑区激活的 z 分值的大小。注意，多数激活区位于 KO 区和小脑外侧。左下图矢状切片上穿过小脑的直线表示了冠状切片的角度。右下图从上至下排列的是 3 张冠状切片，它们表明只有 BM 任务激活了小脑外侧。（摘自参考文献 [4]）

## 16.4 脑磁图

脑磁图 (Magnetoencephalography, MEG) 是一种神经成像, 它记录的是来自脑组织的头皮电位所产生的与电流方向正切的磁场分量 (见参考文献 [3])。虽然头皮电位用脑电图也可以记录 (electroencephalogram, EEG); 但是, 这种电位的动态磁场分量却能够提供包含空间分布的其他信息。fMRI 和 PET 只能通过新陈代谢或者血流信息来间接地提供脑组织神经突触活动的信息, 因此具有延时。而 MEG 则不同, 它可以在不同的空间位置上定位那些直接响应刺激并产生相应时间过程的脑区。

做脑磁图时, 受试者把头伸入头盔一样的装置内, 其中含有数百个磁场感应线圈组成的半球形阵列。由于脑的动态磁场非常微弱, 其强度比背景磁场噪声小 5 个数量级; 因此, 必须采用特殊的具有噪声抑制功能的线圈结构, 还需要超高灵敏度的探测器, 即超导量子干涉仪 (Superconducting Quantum Interference Devices, SQUID), 以及屏蔽室。利用各个线圈检测到的信号以及线圈在半球形网格中所处的位置, 可以求解逆问题, 从而计算出大脑中信号源的位置。对于各种不同信号组合, 重复这种计算, 直到识别出被激活的脑区所产生的随时间变化的波形为止。将这些波形数据与 MRI 和/或者 fMRI 图像相结合, 来辅助脑区定位。图 16.54 所示就是 MEG 的神经图像的一个例子, 它能够

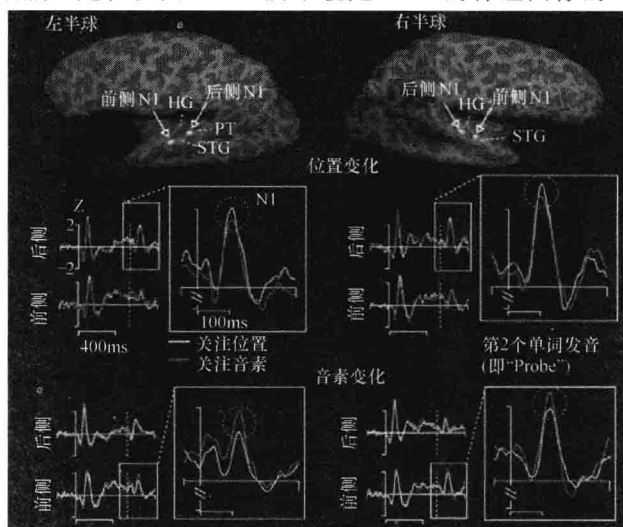


图 16.54 MEG 神经图像示例

上图: 受试者的大脑在响应不同外部空间位置上依次播报出来的 2 个不同单词 “Adaptor” 和 “Probe” 时, MEG 定位的等效电流偶极子 (Equivalent-Current Dipoles, ECD), 显示在大脑半球 MRI 图像上。中图的幅值归一化电流源波形表明 “在哪里” 神经通路与 N1 的位置相关, 而下图的波形则表明并行的 “是什么” 通路与 N1 的位置相关。这些平均波形之间的区别 (波峰的变化已用圆圈标明) 表明了对于声音或者位置的选择性关注所产生的作用。响应 “Probe” 的 N1 波形幅值 (加圆圈的) 受到任务依赖性的调节。紧随 “Adaptor” 之后, 对于不同空间位置传来的 “Probe”, 选择空间位置关注的任务时, 后侧 N1 活动增强。而对于紧随不同音素 “Adaptor” 之后的 “Probe”, 选择音素关注的任务时, 前侧 N1 活动增强。(摘自参考文献 [1])

同时提供定位（“在哪里”）和识别（“是什么”）两种神经通路的信息，还可以检测受试者选择性关注“在哪里”或者“是什么”的能力。根据半球形网格阵列记录的 MEG 信号，计算得到偶极子的位置，再将其显示于相应的 MRI 图像上。

MEG 可用于探讨癫痫和精神分裂症等患者的精神特征，还有助于脑的研究，例如，了解认知功能的形成机制，了解人脑使用哪些脑区来完成各种不同的任务等。

## 16.5 造影剂

造影剂可以增强、放大图像中原本不可见或者模糊不清的生理特征和功能特征。心血管系统是造影剂最常用的部位之一，器官也可以摄取造影剂，从而反映出其功能或者代谢活动的强弱。针对于特定成像技术的物理原理以及人体内需要显示的部位，有各种不同的造影剂，下面分别介绍。

### 16.5.1 CT 造影剂

静脉注射的 CT 造影剂含有碘或者钆，常用于血管的可视化。例如，在 CT 血管造影中，由于 X 射线的衰减加大（即透明度减小），血栓和阻碍物都可以看出来，造影剂使得图像上血管中的血流亮度增加。通过这种血管增强效果，还可以显示出大脑、脊椎、肝脏、肾脏等其他器官的内部结构。造影之后，肝脏和肾脏通常需要参与排泄，将造影剂排出体外。某些情况下，造影剂可能具有风险，可能引起肾脏等的过敏反应。

在诊断肠胃道疾病和损伤时，可以口服或者灌肠 CT 造影剂，最常用的是稀释的硫酸钡乳液，应用于癌症的诊断和严重肠胃疼痛和创伤病因的检查等。

### 16.5.2 MRI 造影剂

对于 MRI，造影剂会改变附近区域的磁场，要么增强要么削弱局部 MRI 信号，取决于成像权重的选择和造影剂的特性，它们会减小附近区域的  $T_1$  和  $T_2$  弛豫时间。造影剂通常要么是顺磁材料，要么是超磁材料。经过修饰之后，可以通过吞服或者注射安全地进入人体，然后再被排出。常用造影剂主要是各种形式的钆螯合物，它们主要应用于血管造影和肠胃道造影。

### 16.5.3 PET 造影剂

PET（参见本书 15.3.3 节）检测的是  $\gamma$  射线，它由发射正电子的放射性核材料产生。利用探测器阵列检测这种示踪剂（也就是造影剂）在人体内各个部位的浓度，然后重建成三维图像。最常用的示踪剂是氟代脱氧葡萄糖（ $^{18}\text{F}$ -FDG），它是一种葡萄糖衍生物。人体组织摄取这种物质的浓度大小与局部区域的代谢活动相关。PET 图像仅显示示踪剂的浓度，悬于空中，难以确定空间标志来定位；因此，PET 成像经常与 CT 等其他成像技术联合使用（参见本章 16.7 节）。



16.5.4 超声造影剂

超声造影剂是很小的微气泡，用于增强原本难以成像的那些部位的血流通道。如果不进行特殊处理，血液几乎不能超声成像。这类造影剂的微气泡中通常包含空气或者全氟化碳等气体，气泡的壁很薄很软，一般用人的血清蛋白和表面活性剂制成。气泡的直径约为4μm，大小与血液的红细胞相似。造影剂注射进入静脉系统后就成为血细胞的示踪剂，它能够显著地增强超声跟踪血流的能力和灵敏度。特别适用于观察小血管中的血流，肌肉的供血（尤其是心肌的供血）情况，以及心脏跳动时心壁的运动（使用造影剂后心脏呈现不透明状）。跟随血液流动之后，造影剂气泡逐渐扩散，通过肺脏时就被释放出去。

针对不同的应用有不同的超声造影剂，与特定的声透频率相匹配。它们就像微型的非线性共振器，对于超声具有很强的反射能力。这种造影剂具有与众不同的特性，在一定的条件下，它们的大小、空化、破碎和运动方向都可以改变。

16.6 几种成像技术的比较

下面总结主要医学成像技术的特点。表16.4列出了这些成像技术的特性。图16.55则显示了人体右肾的MRI、CT和超声图像。

表 16.4 几种主要医学成像技术之间的比较

	超声	X 射线	CT	MRI
检测量	力学特性	组织的平均吸收系数	组织的吸收系数	生化参量( $T_1$ 、 $T_2$ 、PD)
观察窗	小窗口即可	人体两侧面	环绕人体一周	环绕人体一周
空间分辨率	0.3 ~ 3mm，与频率和方向有关	~ 1mm	~ 1mm	~ 1mm
穿透性	3 ~ 25cm，与频率有关	极好	极好	极好
安全性	很好	电离辐射	电离辐射	很好
速度	100 帧/s	数分钟	半分钟 ~ 数分钟	数分钟
费用	\$	\$	\$ \$ \$ \$	\$ \$ \$ \$ \$ \$ \$ \$
便携性	极好	好	不好	不好

16.6.1 超声成像技术

与其他成像技术不同，超声图像的分辨率和穿透性取决于超声波的中心频率和换能器的类型。分辨率随空间位置变化，并且取决于激活孔径的大小、换能器的中心频率和带宽以及声束的聚焦深度。常用的聚焦深度与发射孔径之比是5，这时，中心频率处声束的半

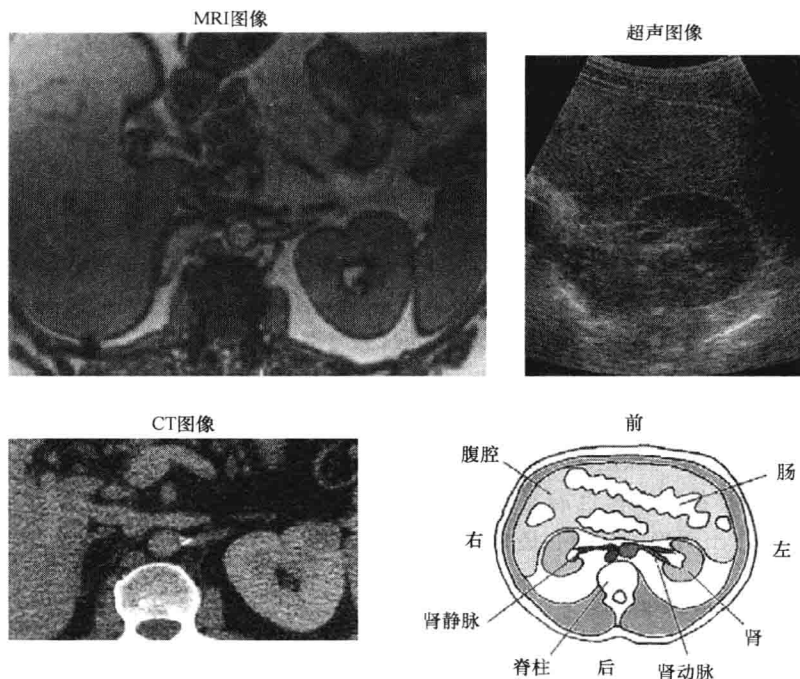


图 16.55 不同成像技术所呈现的右肾图像 (由 Marilyn Roubidoux 馈赠)

注: 左上是 MRI 图像; 左下是 CT 图像; 右上是超声图像; 右下是显示肾脏位置的腹部横截面示意图。

功率宽度约等于两个波长; 因此, 侧向空间分辨率约为两个波长。对于常用的  $1 \sim 15\text{MHz}$  超声波频率范围, 侧向分辨率就是  $0.3 \sim 3\text{mm}$ 。而且, 聚焦区域的分辨率最高。由于尺寸为几个到几十个波长的发射孔径会引起衍射效应, 其他区域的分辨率会产生非均匀变化。对于短脉冲, 轴向分辨率约为两个波长。

影响超声图像分辨率的另一个主要因素是衰减作用, 它限制了声波的穿透深度。中心频率越高, 检测深度越深, 那么, 声波的衰减就越大; 因此, 在较深的检测区域, 声波较弱, 难以达到较高的分辨率。

超声图像非常详细, 它根据生物组织的“声学特性”, 也就是特征阻抗的差异, 呈现人体力学结构的图像。特征阻抗取决于组织的硬度、弹性和密度。由于其成像速度可以达到每秒数百帧, 超声成像还可以用于显示心脏等人体器官的动态活动。

医学超声是一项非侵入式的检测技术, 并且很安全, 没有任何生物副作用的积累。超声成像还有两个优点就是费用低且轻便。如今, 用于筛查的小型便携式超声仪正在不断推广, 超声成像的这两个优点也越来越受到关注。

不过, 高质量超声图像需要高水平的操作技术才能获得。这是因为: 超声探头的观察窗有众多的选择, 人体的解剖结构有差异, 观察面也有很多选择, 寻找与诊断密切相关的观察面和目标需要一定的经验。另外, 图像上生物组织的识别、解释和测量也都需

要大量经验的积累。

### 16.6.2 CT 成像技术

本书第15章介绍过X射线计算机层面成像技术CT，它有时也被称为计算机轴向层面成像（CAT）。X射线穿过人体时会被组织吸收，从而在射线路径上产生一个总“平均衰减”量。CT的空间分辨率与射线的波长无关，而是由X射线管的焦点大小和生物组织的散射决定，目前的最新技术可达到1mm。吞服或者注射放射性造影剂可以提高CT图像的血管分辨能力。虽然曝光时间很短，但X射线毕竟是一种电离辐射，它具有累积剂量效应，对于眼睛等敏感器官或者孕妇都需格外谨慎。

CT设备庞大且是固定的，可以容纳一个人体，因此，其运行费用相当高。通过ECG信号的同步控制，CT现在已经可用于采集心脏运动的连续图像。CT扫描机产生的人体大脑、骨骼、肺和软组织的图像质量非常高，可以与超声图像互相补充。

虽然CT扫描机的操作也需要经过一定的训练，但并不难。不过，要正确解释CT层面图像，并作出明确的诊断，还是需要大量的经验积累。

### 16.6.3 磁共振成像技术

磁共振成像时，病人躺在巨型封闭电磁体产生的强静磁场中。其图像的分辨率主要取决于磁场梯度，一般为1mm。成像系统检测的是与磁共振弛豫时间成正比的感应电压信号，然后应用图像重建算法，根据这些测量数据，计算出人体截面的层面图像。成像速度较快，且比较安全，没有电离辐射。不过，应用时，不要让铁磁性物质接近设备所使用的强大磁体，并且，要知道设备所能提供的磁场强度是有限的，各种磁场的切换速度也是有限的。由于成像设备很贵，因此，MRI检查费用也很高。

MRI设备有好几个参数可供选择，如定时、取向和磁场频率等；因此，需要具备高水平的操作技术，才能得到具有诊断意义的图像。并且，只有全面了解成像设备的各种设置，拥有大量的经验，才能正确解释MRI图像。

## 16.7 图像融合

根据上述3种不同成像技术的比较以及16.5.2节所述的PET成像的特点，每种图像显示生物组织的不同特性和功能。为了获得更全面的信息，可以将2种或者更多种图像结合起来。图像融合就是同时将两种不同类型的图像显示出来，要么并排显示，要么重叠显示。图16.65比较了某个癌症扩散区域的4种图像的显示结果，解释见下面。

目前主要的图像融合是PET/CT，两台特殊的扫描设备在空间上组合在一起，患者在一台仪器中就可以方便地获得两组图像（见参考文献[2]）。以图16.65所示的癌症患者FDG造影剂图像为例。左上和中上是PET的前视图和横切图，箭头所指的黑色小点是FDG摄取区域，表示此处代谢活动过盛，很像癌症扩散区域。但是，这些图像上癌症肿瘤的解剖定位模糊不清。左下的CT横切图具有很高的分辨率，组织的结构清晰

可辨,但却没有清楚地显示出结节。中下的 PET 与 CT 横切图的融合图中就清晰地显示出结节了。作为比较,右上的 MRI 横切图能够显示器官的空间结构,但此图本身信息量不足。最后,右下的超声图像提供了其他信息,可用于引导活检组织检查。

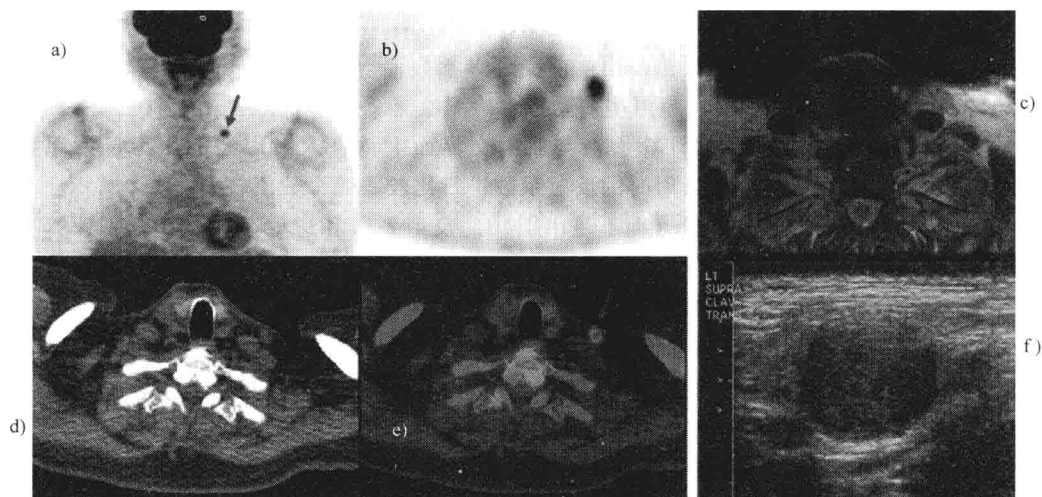


图 16.56 不同成像技术的图像以及图像融合

a) 左上图: PET 前视图 b) 中上图: PET 横切图 c) 右上图: MRI 横切图 d) 左下图: CT 横切图 e) 中下图: PET/CT 横切图的融合 f) 右下图: 超声图像

注: 这些是一名患有鼻腔神经胶质瘤(是一种鼻癌)的 74 岁男性患者在常规复查时的图像。可见,图 a、b、d 和 e 的 PET 图像显示出左侧锁骨上方有代谢过盛的癌症扩散结节,而在图 c 的 MRI 图像中却看不出来。该结节的超声引导活检组织检查的结果表明鼻腔神经胶质瘤阳性,而后手术切除(图 f)。(图片由 Rathan Subramaniam 博士于 2010 年馈赠)

## 16.8 总结

表 16.4 和图 16.55、图 16.56 总结了前述 3 种成像技术各自的不同特点。不同成像技术所检测的组织特性完全不同,可以互相补充。图像融合技术为克服各种成像技术单独应用时的局限性提供了新的机会。研究人员已经尝试了各种成像之间的不同组合,其中 PET/CT 融合已迅速成为最受欢迎的模式(见参考文献 [2])。CT 和 MRI 都具有—致的分辨率和对比度,都可以将人体全身成像;不过,这两种技术的费用最高,成像速度很慢,设备不能搬动。而超声图像虽然分辨率高穿透力强,但变化很大,不能用于人体某些部位(如肠道、肺和骨骼)的成像。并且,只能对软组织成像,但是它具有成本低、便于携带、成像速度快等优点。

## 16.9 习题

1. 给定傅里叶变换对  $F[\Pi(\tau)] = \sin(\pi\varphi)/(\pi\varphi) = \text{sinc}(\varphi)$ , 请求出  $\Pi[(t - t_0)]$

$c/L$ ] 的傅里叶变换。

2. 下列哪个事件的发生促使医学超声成像开始迅速发展起来?

- (a) Wild 和 Reid 证明了实时成像的可能性;
- (b) Edler 和 Hertz 开始研究超声心动图;
- (c) Stewart 发现儿童患癌症与出生前受到 X 射线照射有关;
- (d) Satomura 和同事们用超声多普勒技术检测血流。

3. 请利用表 16.1 的数据计算血液与肌肉交界面上垂直入射声波的声压反射系数 (单位为 dB), 并将其与  $45^\circ$  入射时的反射系数进行比较, 哪个数值较大?

4. 请推导垂直入射时声强 (而不是声压) 的反射系数和透射系数, 并分别计算血液与 (a) 肝脏、(b) 理想刚性边界和 (c) 空气之间的垂直入射声强透射系数。将这些声强透射系数与相应的声压透射系数进行比较。

5. 假设换能器等效电路的  $Q$  值定义为  $Q = f_0 / \Delta f = 1 / [\omega_0 C_0 R_A(f_0)]$ , 其中  $\Delta f$  为 -6dB 带宽,  $f_0$  为 5MHz。请比较以下两种换能器材料的 -6dB 带宽百分比数值 (即  $\Delta f / f_0$ ): (a)  $k_T = 0.7$ ,  $\epsilon_R = 1470$ ; (b)  $k_T = 0.9$ ,  $\epsilon_R = 680$ 。提示: 请参考式 (16.27c)。

6. 请利用例 16.3 的常数计算以下两种换能器设计在谐振时的电阻抗: 一种是压电晶体直接接触水负载, 另一种是在晶体与水之间加匹配层, 其中  $Z_B = Z_C$ 。[提示: 利用式 (16.34)。] 加了匹配层之后, 声损耗降低了多少?

7. 超声不能直接用于骨骼成像。(a) 请计算垂直入射时肌肉与骨骼界面上的声压反射系数; (b) 如果在肌肉与骨骼之间加一层匹配层, 请计算匹配层的阻抗; (c) 加了匹配层之后, 谐振时的声压反射系数和透射系数各是多少?

8. 某公司只能为其生产的换能器产品提供可调电感或者匹配层, 你认为采用哪种方式比较好, 为什么? 有关数据如下: 换能器晶体的尺寸为面积  $A = 400\text{mm}^2$ , 厚度  $d = 0.87\text{mm}$ ; 晶体数据为  $c = 4.35\text{km/s}$ ,  $\epsilon_R^S / \epsilon_0 = 830$ ,  $\epsilon_0 = 8.85\text{pF}$ ,  $k_T = 0.49$ ; 电源阻抗  $R_g = 50\Omega$ 。

9. 请计算以下两种超声扫描图像的帧频: (a) 扫描深度为 10cm、每帧 128 线的 3MHz 心脏扇形扫描仪; (b) 扫描深度为 1cm、每帧 300 线的 10MHz 线阵扫描仪。

10. 假设某成像系统 5MHz 换能器的总的往返动态范围为 100dB。如果用它检测肝脏与骨骼界面的声压反射, 那么, 最大检测距离为多少? 对于肝脏与肌肉界面, 最大检测距离又是多少? 假设界面之前的平均组织特性与肝脏相同。有关组织的特性参数请参考表 16.1。

11. 假设需要探查 6cm 深的一块直径约为 2mm 的损伤区, 有下列几种具有不同孔径和中心频率的线阵换能器可供选用, 你会选择哪一种, 为什么?

- (a)  $L = 15\text{mm}$ ,  $f_c = 6\text{MHz}$ ;
- (b)  $L = 11\text{mm}$ ,  $f_c = 5\text{MHz}$ ;
- (c)  $L = 12\text{mm}$ ,  $f_c = 3\text{MHz}$ 。

假设  $c = 1.5\text{mm}/\mu\text{s}$ , 扫描平面内的聚焦长度  $F = 60\text{mm}$ 。

12. 对于圆形孔径为  $a = 5\text{mm}$ , 频率为 5MHz 的换能器, 配上以下哪种聚焦长度的透镜之后可以使其总的有效聚焦长度达到 40mm?

- (a)  $F = 50\text{mm}$ ;  
 (b)  $F = 40\text{mm}$ ;  
 (c)  $F = 80\text{mm}$ 。

13. 某 2MHz 血液多普勒超声系统的检测阈值为  $-35\text{dB}$ 。假设血管壁外附着的肌肉层吸收损失可以忽略不计, 血流速度为  $1\text{m/s}$ 。请计算可以提供足够信号强度的入射角范围(精确到 $^\circ$ )以及相应的多普勒频率。有关数据请参考表 16.1。注意, 多普勒角度  $= 90^\circ - \text{入射角}$ 。

14. 检测系统如图 16.29 所示。测量旋转磁体所产生的感应电压时, 如果增加线圈的半径  $d$ , 那么, 所测得的电压会增大还是减小? 请解释其物理原理。注意, 电压单位  $V = \text{Wb/s}$ 。

15. 请利用表 16.2 的数据分别计算  $^1\text{H}$ 、 $^{19}\text{F}$  和  $^{23}\text{Na}$  的所有核磁偶极矩  $\mu_z$ 。

16. 设温度  $T = 300\text{K}$ , 磁场  $B_0 = 0.5\text{T}$ , 且质子密度  $N = 6.7 \times 10^{19}$  质子/ $\text{mm}^3$ ; 请计算水的净磁化矢量  $M_0$ 。利用式 (16.54)  $\hat{M}_0 = \sum_n \hat{\mu}_n = \hat{\mu}(n_+ - n_-)$ , 并假设  $n_+ = N/2$ 。

17. 假设  $\hat{B}_y(t) = \hat{y}B_1 \sin(\omega t)$ , 那么, 旋转坐标系中的磁场将是什么? 低通滤波除去  $2\omega$  频率之后, 剩下的各个分量是什么?

18. (a) 设  $B_1 = 10^{-5}\text{T}$ , 如果要产生  $\pi/2$  弧度的翻转角, 那么,  $^1\text{H}$  所需的脉宽(即翻转时间)  $t_p$  是多少? (b)  $\pi/2$  的翻转角再接一个  $\pi$  旋转, 请计算其总的翻转时间。

19. 请分别计算  $t = 250\text{ms}$  时刻大脑白质和恶性肿瘤的  $\pi/2$  和  $\pi$  翻转角所产生的相对弛豫。哪个翻转角下两种组织之间的对比度较大? 再比较  $t = 500\text{ms}$  时刻的情况。

20. (a) 请推导 F. I. D. 脉冲  $v'(t) = v(t)H(t)$  的频谱表达式。其中  $H(t)$  是阶跃函数, 也就是,  $t > 0$  时,  $H(t) = 1$ ;  $t < 0$  时,  $H(t) = 0$ 。利用傅里叶变换对  $[e^{-a|t|} H(t)] = \frac{1 - i2\pi f/a}{|a| [1 + (2\pi f/a)^2]}$ 。(b) F. I. D. 频谱与自旋回波的复数比是什么? (c) 请计算该复数比在拉莫尔频率处的值。(d) 请根据两者的时间信号波形解释这个比值。

21. (a) 如果习题 20 所述 F. I. D. 脉冲的  $T_2 = T_2^* = 5\text{ms}$ , 请计算  $5\text{MHz}$  拉莫尔频率处的频谱分量。设  $B_1 = 20\mu\text{T}$ ,  $I = 1\text{A}$ ,  $V_{\text{voxel}} = 1\text{cm}^3$ ,  $M_{xy}^0 = 5 \times 10^{-12}\text{J}/(\text{T} \cdot \text{mm}^3)$ 。(b) 对于脂肪组织自旋回波的  $T_2$ , 在相同拉莫尔频率处的频谱分量又是多少?

22. 假设需要扫描  $z$  轴上中心位置前后  $-15\text{cm} \sim +15\text{cm}$  范围内的  $1\text{mm}$  层厚的 MRI 层面图像, 请计算所需时间脉冲包络的  $-6\text{dB}$  带宽, 以及带宽两端的频率。设  $G_z = 0.5\text{T/m}$ 。

23. 为了覆盖  $y$  轴上中心位置前后  $\pm 10\text{cm}$  的扫描范围。对于  $^1\text{H}$  用  $t_p = 10\mu\text{s}$  的脉冲进行相位编码, 总相移为  $\pi/2$ 。请计算磁场两端的梯度系数  $G_{ym}$ , 以及  $256$  线分辨率时的梯度系数变化率。

24. 给定  $f_n = 78.5\text{MHz}$ ,  $G_x = 10^{-4}\text{T/m}$ ,  $t_p = 5\mu\text{s}$ ,  $u_m = 21.3\text{m/T}$ ; 对于  $^1\text{H}$ , 请计算测量点  $(x_n, y_m)$  相对于中心点的位置。

25. 请根据式 (16.87) 推导  $s_{nm}(k_x, k_y)$ 。

26. 请回答下列有关 MRI 成像的问题:

- a. MRI 图像显示的是什么信号?
- b. 如何根据一系列测量信号确定人体内部空间位置?
- c. 在三个成像轴中, 哪些是可以主动控制的, 哪些是被动检测的?
27. 请解释  $T_1$ 、 $T_2$  和 PD 加权像区分各种生物组织的基本物理原理。
28. PET 与 CT 图像之间什么互补性使得两者适合于图像融合?

## 参考文献

- [1] J. Ahveninen, et al., Task-modulated “what” and “where” pathways in the human auditory cortex, *Proc. Natl. Acad. Sci. U. S. A.* 103 (2006) 14608–14613.
- [2] T.M. Blodgett, C.C. Meltzer, D.W. Townsend, PET/CT: Form and Function, *Radiology* 242 (2007) 360–385.
- [3] D. Cohen, E. Halgren, Magnetoencephalography, *Encyclopedia of Neuroscience* 5 (2009) 615–622.
- [4] P.C. Lauterbur, Image formation by induced local interactions: Examples employing nuclear magnetic resonance, *Nature* 242 (1973) 190–191.
- [5] R. Ludwig, G. Bodgdanov, J. King, A. Allard, C.F. Ferris, A dual Rf resonator system for high-field functional magnetic resonance imaging of small animals, *J. Neurosci. Methods* 132 (2004) 125–135.
- [6] R.K. Panda, Development of novel piezoelectric composites by solid freeform fabrication techniques, Dissertation, Rutgers, New Brunswick, NJ, 1998.
- [7] L.M. Vaina, J. Solomon, S. Chowdhury, P. Sinha, Belliveau, Functional neuroanatomy of biological motion perception in humans, *Proc. Natl. Acad. Sci. U. S. A.* 98 (2001) 11658–11661.

## 推荐阅读资料

- F. Bitter, H.A. Medicus, *Fields and Particles: An Introduction to Electromagnetic Wave Phenomena and Quantum Physics*, American Elsevier, New York, 1973.
- D.W. Chakeres, P. Schmalbrock, *Fundamentals of Magnetic Resonance Imaging*, Williams & Wilkins, Baltimore, MD, 1992.
- Z.H. Cho, J.P. Jones, M. Singh, *Foundations of Medical Imaging*, Wiley, New York, 1993.
- J.A. Jensen, *Estimation of Blood Velocities Using Ultrasound*, Cambridge Univ. Press, Cambridge, 1996.
- E.E. Kim, E.F. Jackson, *Molecular Imaging in Oncology*, Springer-Verlag, Berlin, 1999.
- G.S. Kino, *Acoustic Waves: Devices, Imaging, and Analog Signal Processing*, Prentice-Hall, Englewood Cliffs, NJ, 1987.
- V. Kuperman, *Magnetic Resonance Imaging Physical Principles and Applications*, Elsevier Academic, Boston, 2000.
- Z.P. Liang, P.C. Lauterbur, *Principles of Magnetic Resonance Imaging: A Signal Processing Approach*, IEEE Press, New York, 2000.
- K.K. Shung, M.B. Smith, B.M.W. Tsui, *Principles of Medical Imaging*, Academic, San Diego, CA, 1992.
- T.L. Szabo, 1998, Transducer arrays for medical ultrasound imaging, in: A. Duck, A.C. Baker, H.C. Starritt (Eds.), *Ultrasound in Medicine*, Medical Science Series, F, Institute of Physics Pub., Bristol, UK.
- T.L. Szabo, *Diagnostic Ultrasound Imaging: Inside Out*, Elsevier Academic, Boston, 2004.

# 第 17 章 光学和激光在生物医学中的应用

Gerard L. Coté 博士

LiHong V. Wang 博士

Sohi Rastegar 博士

## 本章目录

- 17.1 基本光学理论概述
- 17.2 生物组织中光传播的基本理论
- 17.3 光的物理作用及其检测
- 17.4 生化物质的光学检测技术
- 17.5 光热疗的基本原理
- 17.6 光纤和波导在医学中的应用
- 17.7 生物医学中的光学成像
- 17.8 习题
- 推荐阅读资料

## 本章的主要学习内容：

- 基本光学原理、光在生物组织以及其他生物和生化介质中传播的基本理论；
- 根据基本工程原理开发的激光等光学技术的检测、成像、诊断和治疗仪器设备；
- 光纤等光学系统与生物组织之间的生物化学和生物物理作用；
- 激光与生物组织之间作用的光热效应。

从早期利用日光进行简单的热疗以及眼睛、皮肤和伤口的检查，到如今利用激光和内窥镜等先进技术实现各种医学诊断和治疗，光在医学中的应用一直在不断发展。的确，近十年，光学技术给临床医学带来了许多变革。与其他技术相比，光学技术的低成本使它在医疗领域的应用具有巨大的发展潜力。例如，应用光纤传像束的腹腔镜胆囊切除术，是一种创伤最小的胆囊切除手术，它将原来痛苦且昂贵的手术几乎变成了一种门诊手术。经过不断的努力，生物医学工程师们已经掌握了光和热与生物介质之间相互作用的许多基本原理，光学在皮肤学、眼科学、心脏病学和泌尿学等医学领域的应用正在迅速发展。

传统光学工程是电气工程课程的一部分，它主要讲述光学在国防技术中的应用。将光学应用于生物医学时，会涉及很多光与生物组织之间的相互作用问题，这些问题在传



统光学教材和课程中并不介绍。因此,本章的目的是较详细地给学生们讲解日益发展的生物医学光学的基本理论,以及基于光学技术的各种监测、诊断和治疗仪器。

## 17.1 基本光学理论概述

自古以来,伽利略、牛顿、惠更斯、菲涅尔、麦克斯韦、普朗克和爱因斯坦等许多伟人都研究过光的性质。开始时,人们认为光的本质不是粒子就是波。但是,经过长期的争论和研究之后,人们得出的结论是:在某些情况下,光表现出波动性;而在另一些情况下,光又会表现出粒子性。本节将从波动方程开始,阐述光的基本特性,并且介绍光谱以及与光的吸收、散射和偏振相关的控制方程。其中,波动方程一般由麦克斯韦方程推导得到。

### 17.1.1 电磁波和光谱

19世纪末,麦克斯韦(J. Clerk Maxwell)创立了电磁学的几个基本定理,并由此推导出波动方程,得出光的本质是电磁波的结论。此推论的关键是波动方程真空解所对应的电磁波的速度正好与实验测得的光速相等。很多有关光学的导论性教材(如 Hecht 和 Pedrotti 的著作等)都是从以下矢量形式的麦克斯韦波动方程开始讲述:

$$\nabla^2 E = \varepsilon_0 \mu_0 \partial^2 E / \partial t^2 \quad (17.1)$$

式中  $\nabla^2 E$ ——电场强度对于空间位置的二阶偏导数,即  $\partial^2 E / \partial x^2 + \partial^2 E / \partial y^2 + \partial^2 E / \partial z^2$ ,

$\varepsilon_0$ ——介质的介电常数,

$\mu_0$ ——介质的磁导率。

在真空中,  $\mu = \mu_0$ , 且  $\varepsilon = \varepsilon_0$ 。

由对称性可知,磁场强度  $H$  也具有同样形式的方程。

波速  $c_0$  等于光速,其值已知,可用如下表达式表示:

$$c_0 = 1 / (\varepsilon_0 \mu_0)^{1/2} \quad (17.2)$$

因此,麦克斯韦波动方程描述了电场强度(或磁场强度)的空间变化与速度以及场强的时间变化之间的关系。在图 17.1 所示的笛卡尔坐标  $O_x$ 、 $O_y$ 、 $O_z$  下,此波动方程的一个特解就是以下正弦波函数:

$$E_x = E_0 \exp[j(\omega t - kz)] \quad (17.3)$$

$$H_y = H_0 \exp[j(\omega t - kz)] \quad (17.4)$$

这两个方程表明电场是  $x$ - $z$  平面上的正弦波,而磁场则是与电场正交的  $y$ - $z$  平面上的正弦波,两个波均沿  $O_z$  方向传播。

电磁波的频率  $f$  和波长  $\lambda$  都与速度  $c$  有关,即

$$f = \omega / 2\pi \quad (17.5)$$

$$\lambda = 2\pi / k \quad (17.6)$$

$$c = f\lambda = \omega / k \quad (17.7)$$

电磁波在真空中的传播速度  $c_0$  与在介质中的传播速度  $c$  之比被称为介质的折射率  $n$ , 即  $n = c_0/c$ 。

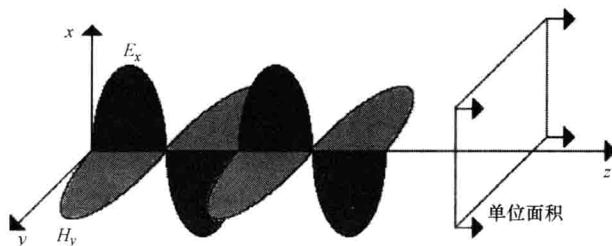


图 17.1 正弦电磁波

### 例 17.1

红色氦氖激光的波长为 633nm, 请计算其在折射率为 1.33 的清澈角膜组织中的传播速度。在折射率为 1.5 的玻璃中, 该激光的传播速度又会变成多少? 并请说明该计算结果的意义。

解:

由  $n = c_0/c$  可得

对于角膜组织:  $c_{\text{组织}} = c_0/n_{\text{组织}} \approx (2.998 \times 10^8)/1.33 = 2.25 \times 10^8 \text{ m/s}$

而对于玻璃则:  $c_{\text{玻璃}} = c_0/n_{\text{玻璃}} \approx (2.998 \times 10^8)/1.5 = 2.00 \times 10^8 \text{ m/s}$

该结果说明: 光在清澈的生物组织等具有较小折射率的介质中的传播速度比玻璃中要快。本章后面将计算光线穿过各种不同介质, 如眼球的角膜、房水和晶状体等清澈组织时, 光线的反射角和折射角, 那时就可以进一步理解本例题计算结果的意义。■

电磁波的辐射强度, 也就是单位面积的功率, 可以用坡印亭 (Poynting) 矢量  $\Pi$  来表示, 它定义为电场与磁场的矢量乘积:

$$\Pi = E \times H \quad (17.8)$$

电磁波一个周期上坡印亭矢量的平均值就是电磁波的辐射强度  $I$ , 因此, 如图 17.1 所示, 如果  $E$  和  $H$  在空间上是正交的, 那么

$$I = \langle |\Pi| \rangle = \text{单位面积功率} = c\epsilon E^2 \quad (17.9)$$

式中  $\langle |\Pi| \rangle$  ——  $\Pi$  的平均值。

由此可见, 电磁波的辐射强度与电场强度的二次方成正比, 这在各向同性的绝缘介质中成立。由麦克斯韦方程可知, 辐射强度同样也与磁场二次方成正比。因此, 如果电场与磁场在相位上正交, 即相位差为  $90^\circ$ , 那么, 由于正弦与余弦乘积的平均值为零, 因此, 电磁波的辐射强度将等于 0, 即

$$I = \langle |\Pi| \rangle = \langle E_0 \cos(\omega t) H_0 \sin(\omega t) \rangle = 0 \quad (17.10)$$

除了辐射强度以外, 光还可以用波长特性来描述, 也就是电磁波谱, 其频率范围从  $10^3 \text{ Hz}$  的低频无线电波到  $10^{20} \text{ Hz}$  的伽马射线。如图 17.2 所示, 光的波长范围可以分成以下几个区段: 波长为  $0.003 \sim 0.4 \mu\text{m}$  的紫外线, 波长为  $0.4 \sim 0.7 \mu\text{m}$  的可见光 (其相应的频率范围为  $7.5 \times 10^{14} \sim 4.3 \times 10^{14} \text{ Hz}$ ), 波长为  $0.7 \sim 2.5 \mu\text{m}$  的近红外光, 波长为

2.5 ~ 12μm 的中红外光，以及波长大于 12μm 的远红外光。

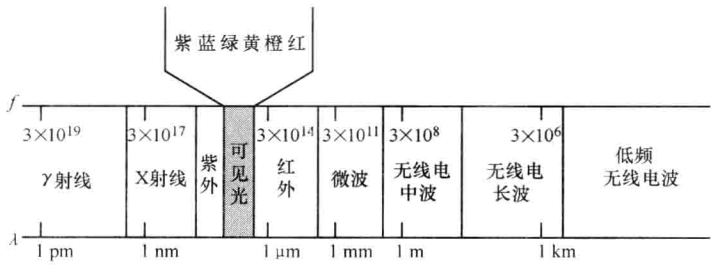


图 17.2 电磁波的波谱

17.1.2 光的偏振

上节所述的  $E_x$  和  $H_y$  正弦函数解只是麦克斯韦方程无穷多个正弦解之一。角频率为  $\omega$  的正弦通解可以写为

$$E(\mathbf{r}, t) = E(\mathbf{r}) \exp(j\omega t) \tag{17.11}$$

式中  $E(\mathbf{r}, t)$ 、 $E(\mathbf{r})$ ——复数矢量，  
 $\mathbf{r}$ ——实数半径矢量。

为了简化，这里只考虑真空中沿  $O_z$  方向传播的平面波单色光，即单波长光，其电磁波动方程的通解可以写为

$$E_x = e_x \cos(\omega t - kz + \delta_x) \tag{17.12}$$

$$E_y = e_y \cos(\omega t - kz + \delta_y) \tag{17.13}$$

式中  $\delta_x$  和  $\delta_y$ ——任意相位角。

这样，此解用  $x$ - $y$  平面和  $y$ - $z$  平面上的两个波就可以完整地描述。在某个特定  $z$  值点  $z_0$  处，这两个波的方程分别是

$$E_x = e_x \cos(\omega t + \delta'_x) \delta'_x = \delta'_x - kz_0 \tag{17.14}$$

$$E_y = e_y \cos(\omega t + \delta'_y) \delta'_y = \delta'_y - kz_0 \tag{17.15}$$

这就好像每个电场矢量的端点在沿着一条直线随时间作正弦振动。其中， $E_x$  被称为  $O_x$  方向的线性偏振，而  $E_y$  被称为  $O_y$  方向的线性偏振。

由式 (17.15) 可见，对于完全偏振光，只要用幅值和相位，即  $2 \times 1$  矩阵  $[e_x \exp(j\delta'_x) \ e_y \exp(j\delta'_y)]$ ，就可以完整地描述其方程。这种向量表示法被称为 Jones 向量。光学系统中，如果光的传播介质是无散射（因而不存在去偏振作用）的透镜或者清澈的生物组织等，那么，这种介质就可以用  $2 \times 2$  Jones 矩阵完整地描述出来。而偏振光穿过这种介质之后的输出光就可以用 Jones 矩阵与输入光向量的乘积来表示。如果光的传播介质具有散射性，也就是传播的光既包含全偏振光又包含部分偏振光，那么，这种系统可以用  $4 \times 4$  的 Mueller 矩阵和  $4 \times 1$  的 Stokes 矢量来描述。

再来看式 (17.15)，偏振光向量端点的轨迹是  $E_x$  和  $E_y$  两个向量之和，通常，它具有图 17.3 所示的椭圆运动轨迹，在  $z = z_0$  处的  $x$ - $y$  平面上，其笛卡尔坐标方程为

$$E_x^2/c_x^2 + E_y^2/c_y^2 + 2(E_x E_y / e_x e_y) \cos \delta = \sin^2 \delta \quad (17.16)$$

其中,  $\delta = \delta'_y - \delta'_x$ 。应该注意, 如果 1)  $E_x \neq 0$  且  $E_y = 0$ ; 或者 2)  $E_y \neq 0$  且  $E_x = 0$ ; 或者 3)  $\delta = m\pi$  ( $m$  为正整数或负整数), 那么, 椭圆运动轨迹就会变成直线, 从而产生线偏振光。如果  $e_x = e_y$  且  $\delta = (2m+1)\pi/2$ , 由于  $E_x$  和  $E_y$  具有相同的幅值且相位正交, 椭圆轨迹就变成了圆。

对于物理性质与方向相关的各向异性介质, 光的偏振特性尤其重要, 此时,  $E_x$  与  $E_y$  不相等, 光传播路径上  $e_x$ 、 $e_y$  和  $\delta$  都有变化, 双折射晶体、保偏光纤以及胶原蛋白等具有规则排列的生物组织纤维都属于这类各向异性介质。

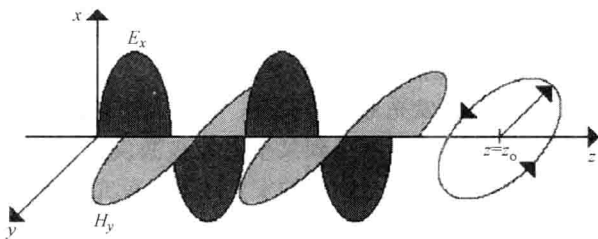


图 17.3 电磁波的偏振传播

### 例 17.2

设波动方程的一个通解是如下表达式所表示的平面电磁波:

$$E_x = 0, E_z = 0, E_y = 2 \cos[2\pi \times 10^{14}(t - x/c) + \pi/2]$$

请计算电磁波的频率  $f$ 、波长  $\lambda$ 、运动方向 (即  $x$ 、 $y$  或  $z$ )、幅值  $A$ 、初始相位角  $\phi$  以及波的偏振性 (即线偏振、圆偏振或者椭圆偏振)。注: 请使用 SI 国际单位制。

解:

平面电磁波通解可以表示为  $E = A \cos(kx \pm \omega t + \phi)$ , 其中  $k = 2\pi/\lambda$ ,  $\lambda = c/f$ ,  $\omega = 2\pi f$ ,  $c = 3 \times 10^8 \text{ m/s}$ 。将题中给出的通解表达式变换为  $E_y = 2 \cos[2\pi \times 10^{14}t - (2\pi \times 10^{14}x/c) + \pi/2]$ 。对比这两个方程可知:  $f = 1 \times 10^{14} \text{ Hz}$ ,  $\lambda = 3 \times 10^{-6} = 3 \mu\text{m}$ , 且电磁波沿  $x$  轴正向传播,  $A = 2 \text{ V/m}$ ,  $\phi = \pi/2$ 。由于  $E_x = E_z = 0$ , 此电磁波必定是  $y$  方向的线偏振波。 ■

### 17.1.3 光的吸收、散射和发射

讲述了光的偏振性质之后, 我们现在要重点介绍用于描述光穿过生物介质时所发生变化的光学特性, 包括光的吸收、散射和各向异性。这些光学特性在光学诊断、传感器开发以及光学治疗方面都有许多应用。例如, 有些研究人员在利用光的吸收特性开发非侵入式定量检测人体葡萄糖等化学物质的方法; 另外, 还有研究人员在利用光的吸收和散射效应, 模拟前列腺手术和癌症肿瘤治疗等过程中特定波长的光所产生的凝血和组织消融作用。

光在生物组织中的作用深度和作用体积是光的吸收和散射特性的函数。如果光的散

射可以忽略不计,也就是以光的吸收为主,那么,透射光强度的变化由光路的吸收特性和入射光的波长决定。由于生物组织的含水量很高,波长大于  $1.5\mu\text{m}$  的光穿过各种生物组织时都是以光的吸收为主。光强与光程和溶液浓度之间的关系可以用如下比尔-朗伯定律来描述:

$$I(z) = I_0 \exp(-\mu_a z) \quad (17.17)$$

式中  $I$ ——透射光强度;

$I_0$ ——入射光强度;

$z$ ——光程长度;

$\mu_a$ ——吸收系数,单位为  $1/\text{cm}$ 。

吸收系数可以进一步分解为吸光物质的浓度  $C$  ( $\text{mg/mL}$ ) 与其摩尔吸收系数  $\nu$  ( $\text{cm}^2/\text{mg}$ ) 的乘积,而  $\nu$  则是入射光波长的函数。

就物体的冷发光而言,根据发光寿命的长短,可分为荧光和磷光。当电磁辐射的光子被物体分子吸收之后,这些分子会跃迁到某个高能级激发态,随后再返回到低能级,在此过程中就会发射出辐射光,这就是物体的发光过程。荧光的发射不涉及电子自旋状态的变化,因此产生速度较快,寿命较短。物体发光过程中所吸收的能量可以用单光子能量来描述,其公式为

$$E = hc/\lambda \quad (17.18)$$

式中  $E$ ——单光子能量;

$h$ ——普朗克常数,其值为  $6.626 \times 10^{-34} \text{J} \cdot \text{s}$ ;

$c$ ——光速;

$\lambda$ ——波长。

由于光子发射之前原吸收能量中的一部分已被耗散,因此,这种吸收和重发射过程并不能达到 100% 的效率,激发光的能量总是比发射光的能量大,即

$$E_{\text{激发}} > E_{\text{发射}} \quad (17.19)$$

并且,发射光的波长总是大于激发光的波长,即

$$\lambda_{\text{发射}} > \lambda_{\text{激发}} \quad (17.20)$$

荧光物质的发射光能级由其分子发射光子的离散能级决定,每种特定的荧光染料在某个给定波长激发光的作用下,只能发射某个特定波长的荧光。荧光辐射原本只是用于检测稀溶液的浓度,是一种灵敏度极高且成本很低的技术。最近,研究人员开始将荧光辐射用于生物组织等混浊光学介质的检测和诊断。

除了上述光的吸收和发射之外,生物组织还具有光的散射作用,尤其对于可见光和近红外波长的光。与光的吸收和发射不同,光的散射不涉及原子或者分子在量子化能级之间的能量跃迁,它只是由介质介电常数在空间的随机变化产生的作用。如果存在光的散射效应,实际的光强分布就会与比尔定律的计算结果截然不同。光线穿过生物组织时,会经历大量散射过程,使光从平行光束中发散出去。已经证明,平行光束穿过既有吸收又有散射的混浊介质时所产生的能量转换可以用光的传输理论来描述。该传输理论以前一直用于描述光的散射、吸收和荧光辐射,近来也用于描述光的偏振特性,其原因

之一是只需经历没几次散射过程, 光束的偏振就可以被完全随机化。本章 17.2.2 节将介绍这种传输理论, 它是基于多重散射介质中光子传输过程的统计近似, 是一种直观推断方法。

## 17.2 生物组织中光传播的基本理论

本节将介绍光在生物组织中的传播特性。首先不考虑介质的吸收和散射效应, 讲述光在介质中的几何光学传播理论; 然后, 介绍光传播中的吸收和散射效应, 以及边界效应, 并讲述各种测量光吸收和散射特性的方法。

### 17.2.1 光在介质中的几何传播

前面, 我们将光定义为沿  $O_i$  方向传播的一组电磁波。本节我们要把光看作一组直线传播的“光线”, 它们由前述复指数描述的平面波构成。“光线”的方法 (即几何光学) 对于研究光在两种不同光学介质交界面处的效应非常重要。在几何光学中, 假设入射光、反射光和折射光都处于同一平面。如图 17.4 所示, 光线到达两种不同介质的交界面时, 其传播规律遵循两个基本定理: 反射角等于入射角; 折射角的正弦值

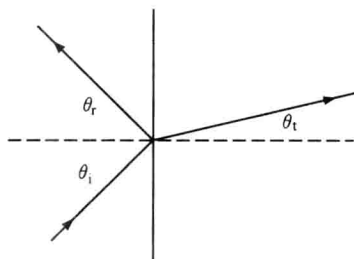


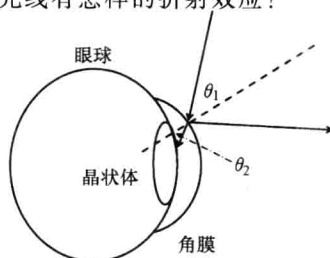
图 17.4 光线在两种不同介质交界面处的传播

注: 显然, 入射角等于反射角, 即  $\theta_i = \theta_r$ ; 由 Snell 折射定理可知, 折射角的正弦值与入射角的正弦值之比为常数, 即  $n_i \sin(\theta_i) = n_t \sin(\theta_t)$ 。

与入射角的正弦值之比为常数 (即 Snell 折射定理)。注意, 虽然这种光线传播理论可以满足透镜和棱镜等宏观光具设计中的大多数应用情况, 但是, 它还是有很大的局限性。例如, 它不能用于估计折射光和反射光的强度, 也不能用于分析光的吸收和散射效应。另外, 当光学器件的孔径比光的波长小时, 还会产生衍射现象, 使光束发散, 从而使几何光学理论不成立。

#### 例 17.3

如下图所示, 假设有一束绿色光线射向眼睛的角膜, 光线与界面的法线成  $25^\circ$  角。设空气的折射率为 1.000, 角膜的折射率为 1.376。a) 请计算光线从角膜前表面射向角膜内的出射角; b) 角膜对于光线有怎样的折射效应?



解:

a) 根据 Snell 折射定理,  $n_1 \sin(\theta_1) = n_2 \sin(\theta_2)$ , 由此可得角膜内光线的出射角  $\theta_2$  的计算公式为

$$\theta_2 = \arcsin(1.000 \sin(25)/1.376) = 17.89^\circ$$

b) 由  $\theta_2$  的计算值可知, 角膜将光线折向法线。这是合理的, 因为眼睛的作用之一就是使光线产生折射, 让光线能够穿过眼球中央的虹膜和晶状体, 到达视网膜, 从而由大脑形成视觉图像。 ■

波动光学的理论可以用于计算光线从一种介质传播到另一种介质时反射光和折射光的强度。如图 17.4 所示, 假设两种介质都是绝缘体, 其边界条件遵循麦克斯韦方程, 也就是  $\mathbf{E}$  和  $\mathbf{H}$  的切线分量在边界上连续, 即  $\mathbf{E}_i + \mathbf{E}_p = \mathbf{E}_t$ , 并且磁通量密度  $\mathbf{B}$  和电位移  $\mathbf{D}$  的法线分量也在边界上连续。只有当所有光波的频率都相同时, 这些条件才能在任何时刻和边界上任意位置处成立。这样, 就可以计算各个光波的相对幅值。注意,  $\mathbf{E}$ 、 $\mathbf{H}$ 、 $\mathbf{D}$  和  $\mathbf{B}$  的值与入射光的电场  $\mathbf{E}$  和磁场  $\mathbf{H}$  相对于入射平面的振动方向有关, 也就是, 与光波的偏振性相关。将入射光分解为两个正交的偏振光, 即振动面平行于入射平面的线偏振光 ( $p$  分量) 和振动面垂直于入射平面的线偏振光 ( $\perp$  分量)。同时应用麦克斯韦方程、Snell 折射定理和反射定理, 再加上边界条件, 就可以推导出以下 Fresnel 方程。其中, 平行偏振光的反射方程和透射方程分别为

$$r_p = \left( \frac{E_r}{E_i} \right)_p = (-n_i \cos \theta_i + n_t \cos \theta_t) / (n_i \cos \theta_i + n_t \cos \theta_t) \quad (17.21)$$

$$t_p = \left( \frac{E_t}{E_i} \right)_p = (2n_i \cos \theta_i) / (n_i \cos \theta_i + n_t \cos \theta_t) \quad (17.22)$$

垂直偏振光的反射方程和透射方程分别为

$$r_\perp = \left( \frac{E_r}{E_i} \right)_\perp = (n_i \cos \theta_i - n_t \cos \theta_t) / (n_i \cos \theta_i + n_t \cos \theta_t) \quad (17.23)$$

$$t_\perp = \left( \frac{E_t}{E_i} \right)_\perp = (2n_i \cos \theta_i) / (n_i \cos \theta_i + n_t \cos \theta_t) \quad (17.24)$$

应用这些方程时, 要注意如下两种特殊情况限制。

第一种情况: 如果  $n_t > n_i$ , 则  $\theta_t > \theta_i$ , 对于任意  $\theta_i$  值,  $r_\perp$  总是负值, 而  $r_p$  则从  $\theta_i = 0$  处的正值开始逐渐减小, 直到  $\theta_i + \theta_t = 90^\circ$  时,  $r_p$  等于 0。此时意味着折射光和反射光彼此正交, 根据 Snell 折射定理, 这种情况只有当  $\tan \theta_i = n_t/n_i$  时才能出现。这个特定的入射角  $\theta_i$  被称为偏振角, 也常称为 Brewster 角。在此入射角下, 只有垂直于入射平面的偏振光才被反射, 而平行于入射平面的偏振光无反射, 因此, 可以用这种方法产生偏振光。如果  $\theta_i$  增大且超过  $\theta_p$ , 那么,  $r_p$  就变得越来越负, 并在  $\theta_i = 90^\circ$  时变为 -1.0, 这意味着交界面在此入射角下变成了全反射镜面。另一方面, 如果光波垂直入射, 即  $\theta_i = \theta_t = \theta_r = 0$ , 那么  $t_p = t_\perp = 2n_i/(n_i + n_t)$ , 并且  $r_p = -r_\perp = (n_t - n_i)/(n_i + n_t) = -(n_i - n_t)/(n_i + n_t)$ 。

光波的辐射强度可以用检测器实际测得, 其大小与电场强度的二次方成正比, 即

$$(I_R/I_i) = (r_p)^2 = \left(\frac{E_r}{E_i}\right)^2 = (n_t - n_i)^2 / (n_i + n_t)^2, (I_t/I_i) = (t_p)^2 = \left(\frac{E_t}{E_i}\right)^2 = 4n_i^2 / (n_i + n_t)^2.$$

这两个表达式很有用，它们表示了光从一种介质传向另一种介质时，法向全反射所引起的能量损失。

第二种情况：如果  $n_t < n_i$ ，则  $\theta_t > \theta_i$ ，对于任意  $\theta_i$  值， $r_\perp$  总是正值，且其值从  $\theta_i = 0$  时的初始值开始逐渐增大，直到 +1.0 为止，此时入射角  $\theta_i$  称为临界角  $\theta_c$ 。当  $\theta_i = \theta_c$  时， $\theta_t = 90^\circ$ ，由 Snell 折射定理可知，此时  $\sin\theta_t = n_i/n_t \sin\theta_i$ 。显然，当光线从低密度介质传向高密度介质，即  $n_t > n_i$  时，由该式计算得到的  $\sin\theta_t$  值可能大于 1，这对于任何  $\theta_i$  都是不可能的。当  $n_i/n_t \sin\theta_c = 1$ ，也就是  $\theta_t = 90^\circ$  时，入射角  $\theta_i$  就等于临界角  $\theta_c$ 。这样，任何  $\theta_i > \theta_c$  的入射光都会在交界面上产生全反射。这就是光纤的工作原理，光纤的纤芯材料（即光传播的介质）的折射率比其外包层材料的折射率稍大，因此，光线进入光纤之后，就会在纤芯内不断产生全反射，使传播过程中光的衰减达到最小，光就可以沿着光纤传播出去。

## 17.2.2 光与介质之间的相互作用——吸收和散射

激光器或者其他光源发射的入射光照射在生物组织上时，生物组织对入射光会产生不同程度的反射、吸收、散射和透射作用。分析这种复杂情况的理想方法是使用能够阐述光分布的电磁波理论。不过，这种方法的实际应用比较困难，而且还必须已知生物组织各种电特性的可靠数据。还有一个比较实用的方法就是利用传输理论，建立光强传播的微分方程。本节下面将先推导纯吸收介质中光强分布的方程，然后再进一步介绍既具有散射又具有吸收的介质中的通用光传输方程。

### (1) 纯吸收介质

为了描述激光能量在不透明吸收性介质中的分布和传输，可以假设介质中同时存在两个“相”：一个是系统的物质相；另一个是电磁辐射的光子相。如图 17.5 所示，物质相用圆圈表示，光子相则用撞击物质相的曲线箭头表示。物质相的能量平衡方程将在 17.3 节和 17.5 节讲述系统的热力学过程时再介绍。这里先讲解光子相的能量平衡方程。

如图 17.6 所示，假设某个无穷小的物体单元受到光辐射的照射。辐射能量  $U^{(\text{rad})}$  随时间的变化率等于射线的入射通量与出射通量之差，再减去物质相的能量吸收率。其中，射线入射通量与出射通量之差的极限就是辐射通量散度的负值。于是，如果用  $Q_L$  表示物质相的能量吸收率，也就是激光能量转换成热能的部分（即吸收率），用  $\vec{q}^{(\text{rad})}$  表示辐射通量，那么，光子相的能量变化率就可以用以下微分方程来表示

$$\partial U^{(\text{rad})} / \partial t = -\vec{\nabla} \cdot \vec{q}^{(\text{rad})} - Q_L \quad (17.25)$$

这里忽略了物质相可能存在的光子发射和散射。

对于单色准直平行入射光的稳态系统（稳态意味着随时间的变化为 0），假设光辐射仅沿  $z$  轴的正向传播，即只有一个向前的辐射通量，那么，式 (17.25) 可以简化为

$$dq_z^{(\text{rad})} / dz = -Q_L \quad (17.26)$$



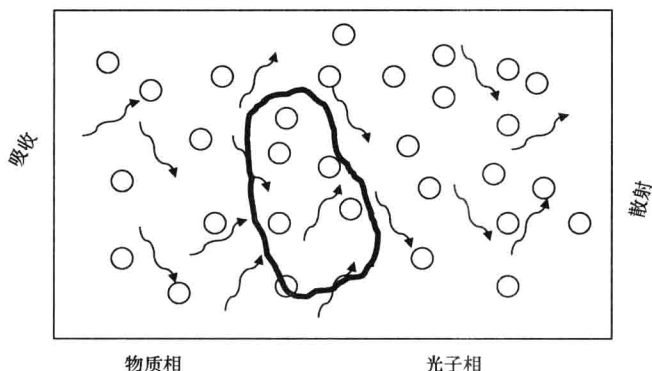


图 17.5 物体中同时存在的两个相——物质相和光子相

考虑光的传播速度和生物组织的大小,除了时间分辨法以外,对于一般的应用情况,这种稳态系统的假设条件是合理的。这里关键的一步是要利用以下唯象方程

$$Q_L = \mu_a I \quad (17.27)$$

式中  $\mu_a$ ——吸收系数;

$I$ ——总的光强。

物体上某点的总光强是该点受到的各个辐射通量之和。在此我们只考虑纯吸收组织,只有单个辐射通量,因此

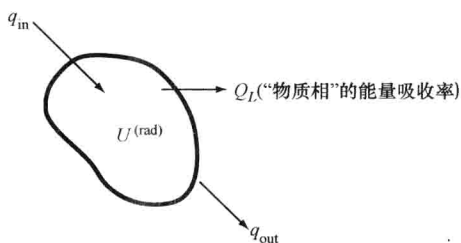


图 17.6 物体的无穷小单元中光子相能量变化的示意图

注:图中显示了光辐射的人射通量和出射通量、辐射能量以及由物质相的吸收引起的能量损耗率。

$$I = q_z \text{ (rad)} \quad (17.28)$$

将式 (17.27) 和式 (17.28) 代入式 (17.26), 可得以下微分方程

$$\frac{dI}{dz} = -\mu_a I \quad (17.29)$$

该微分方程有简化解

$$I(z) = I_0 \exp(-\mu_a z) \quad (17.30)$$

其中  $I_0$  是物体表面  $z=0$  处的光强。此方程就是本章前面已经提到过的描述纯吸收介质的著名的比尔-朗伯定律,也就是式 (17.17)。

由式 (17.27) 和式 (17.30) 可知,转换成热能的那部分光能量(即吸收率)现在可以写成

$$Q_L = \mu_a I_0 \exp(-\mu_a z) \quad (17.31)$$

此方程可以推广到轴对称的三维空间,用于描述径向对称分布的激光光束垂直入射到平板上的情况,此时方程变为

$$Q_L(r, z) = \mu_a I_0 \exp(-\mu_a z) f(r) \quad (17.32)$$

其中  $f(r)$  是轴对称光束的径向辐射分布。高斯分布是常用的激光照射模型, 其分布方程为

$$f(r) = \exp\left(-\frac{2r^2}{\omega_0^2}\right) \quad (17.33)$$

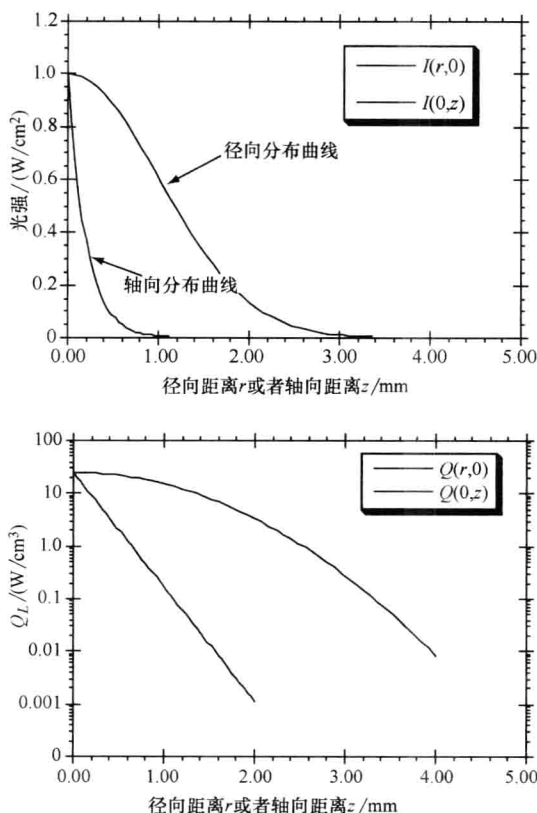
式中  $\omega_0$ ——光束的“ $1/e^2$  半径”, 因为在  $r = \omega_0$  处, 有  $f(r) = 1/e^2$ 。

#### 例 17.4

对于波长为  $2.1\mu\text{m}$  的高斯分布激光束, 假设吸收系数为  $25\text{cm}^{-1}$ , 散射忽略不计, 那么, 利用上述方程可以计算出光强的径向分布、生物组织表面  $z=0$  处的吸收率 (即产热率) 以及产热率沿光束中心轴  $r=0$  的轴向分布。请做图显示  $r$  从  $-2\omega_0$  到  $2\omega_0$  范围内的  $I(r, 0)$  曲线,  $z=0$  到  $z=5/\mu_a$  范围内的光强曲线  $I(0, z)$ , 以及相应的吸收率曲线  $Q_L(r, 0)$  和  $Q_L(0, z)$ 。为了简化, 假设  $I_0 = 1\text{W}/\text{cm}^2$ 。

解:

下图所示是纯吸收生物组织中光强  $I$  和容积吸收率  $Q_L$  的径向和轴向分布曲线。



既有散射又有吸收的介质

(2) 光传输理论的基本参量就是总的辐射比强度  $L$ 。对于沿着单位矢量  $\hat{s}$  所表示的

方向传播的光,  $L$  是位置  $\vec{r}$  的函数, 其单位是  $\text{W}/(\text{cm}^2 \cdot \text{s})$ 。  $L$  的传输方程可以写为

$$\frac{dL(\vec{r}, \hat{s})}{ds} = -(\mu_a + \mu_s)L(\vec{r}, \hat{s}) + \mu_s \int_{4\pi} p(\hat{s}, \hat{s}') L(\vec{r}, \hat{s}') d\omega' + S(\vec{r}, \hat{s}) \quad (17.34)$$

此方程表示了光的散射  $\mu_s$  和光的吸收  $\mu_a$  引起的  $L$  的减小, 以及来自其他方向  $\hat{s}'$  的散射所引起的  $L$  的增加 (见图 17.7)。光的散射系数与吸收系数之和, 即  $\mu_t = \mu_s + \mu_a$ , 被定义为衰减系数。函数  $p(\hat{s}, \hat{s}')$  称为“相函数”, 它与光粒子的散射幅度有关, 散射幅度用散射角概率分布的标量来表征。注意, 如果不考虑散射, 并假设光源是准直平行光, 那么, 式 (17.34) 就可以简化为上节推导的式 (17.29)。另外, 式 (17.34) 中的  $S(\vec{r}, \hat{s})$  表示光源函数, 可以是物体表面受到的光照, 也可以是物体内部产生的荧光, 即内部容积光源。

传输方程是一个含积分的微分方程, 一般没有解析解。不过, 有几种近似求解方法, 如: 二流模型 (two-flux model)、N 流模型 (multiflux model)、离散坐标有限元法 (the discrete ordinate finite element method)、球谐函数法 (the spherical harmonic method)、漫射近似法 (the diffusion approximation) (其中包括了来自其他方向的散射光  $s'$ ) 以及 Monte Carlo 模型等。这些方法都有一定的限制条件和假设。本章下面重点讲述比较常用的漫射近似法。

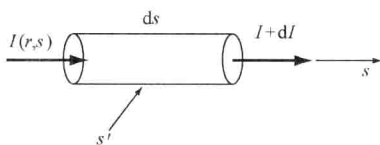


图 17.7 传输理论所描述的光强变化量

### 漫射近似法

漫射近似方程是一个二阶微分方程。在散射“大于”吸收的假设条件下, 由辐射传输方程 (17.34) 可以推导出以下漫射近似的微分方程:

$$\nabla^2 \phi_d - 3\mu_a \mu'_s \phi_d = -\frac{\mu'_s}{D} \phi_c \quad (17.35)$$

式中  $\phi_d$ ——漫射光能流率。方程的参数分别是:  $\mu'_s = \mu_s(1 - g)$ ,  $\mu'_s = \mu'_s + \mu'_s$ ,  $D = 1/3\mu'_s$ , 其中  $g$  是介质的散射各向异性因子,  $\mu_s$  为约化散射系数。此漫射近似方程的解是研究混浊介质中光的分布的有用工具。

物体上某个点的总光能流率  $\phi$  (单位是  $\text{W}/\text{cm}^2$ ) 等于准直光的光能流率  $\phi_c$  与漫散射光的光能流率  $\phi_d$  之和, 即

$$\phi(r, z) = \phi_c(r, z) + \phi_d(r, z) \quad (17.36)$$

$\phi$  的大小等于介质空间中微小球体所接受的总的光能除以该球体的表面积。总光能流率是激光与生物组织之间相互作用的关键因素。

上式中准直光的光能流率为

$$\phi_c = I_o(r)(1 - r_{sp}) \exp(-\mu'_t z) \quad (17.37)$$

式中  $I_o$ ——入射光的表面光通量密度, 单位为  $\text{W}/\text{cm}^2$ ;

$r_{sp}$ ——反射系数。

光轴  $r=0$  处的光学边界条件是

$$\left. \frac{\partial \phi_d}{\partial r} \right|_{r=0} = 0 \quad (17.38)$$

其他地方的边界条件是

$$\phi_d - 2AD \nabla \phi_d \cdot \tilde{n} = 0 \quad (17.39)$$

式中  $A$ ——内反射系数;

$\tilde{n}$ ——指向介质内部的单位法向矢量。

内反射系数  $A$  表示边界与周围介质之间的折射率不匹配效应, 其计算公式为

$$A = \frac{1 + r_i}{1 - r_i} \quad (17.40)$$

其中  $r_i$  由如下经验公式估计

$$r_i = -1.440n_{\text{rel}}^{-2} + 0.710n_{\text{rel}}^{-1} + 0.688 + 0.0636n_{\text{rel}} \quad (17.41)$$

式中  $n_{\text{rel}}$ ——生物组织折射率与周围介质折射率之比。

当边界匹配时,  $n_{\text{rel}} = 1$ , 内反射系数  $A$  降为 1。

式 (17.35) ~ 式 (17.41) 就是漫射近似的控制微分方程组及其边界条件。对于生物组织等同时具有散射和吸收作用的介质, 其光能流率就可以用这组方程的解析解或者数值解来计算和分析。例如, 假设无限大介质中有一个各向同性的点光源, 那么, 在介质中, 与光源相距很“远”的距离  $r$  处, 检测器所测得的光能流率, 就可以用上述方程组的 Green's 解函数来计算, 即

$$\phi(r) = \frac{\phi_o}{4\pi D} \frac{e^{-r/\delta}}{r} \quad (17.42)$$

式中  $\delta = \sqrt{D/\mu_a}$  为穿透深度。

### 例 17.5

假设需要测量某散射系数已知的介质中某种吸收物的浓度。如果约化散射系数  $\mu'_s$  已知, 并且与各向同性光源相距  $r_o$  处的相对光强  $\phi(r_o)/\phi_o$  可以测得, 那么, 只要  $r_o$  足够大, 能够使漫射近似方程成立, 就可以用漫射近似法求得描述介质吸收系数的代数方程。请推导此方程。

解:

给定约化散射系数  $\mu'_s$ , 以及  $r_o$  和  $\phi(r_o)/\phi_o$ , 应用漫射近似法推导吸收系数  $\mu_a$  的过程如下:

$$\begin{aligned} \phi(r) &= \phi_o \exp(-r/\delta) / (4\pi D r) \\ \log[\phi(r)/\phi_o] &= -r/\delta - [\log 4 + \log \pi + \log D + \log r] \\ D &= 1/3\mu'_s \end{aligned} \quad (\text{ex. 1})$$

其中  $\delta = \sqrt{D/\mu_a}$ 。式 (ex. 1) 左边的值已知, 设为  $k_1$ , 则

$$\begin{aligned} \therefore k_1 &= -r/\delta - [\log 4 + \log \pi + \log D + \log r] \\ \therefore k_1 + \log 4 + \log \pi + \log r &= -r/\delta - \log D \end{aligned} \quad (\text{ex. 2})$$

式 (ex. 2) 左边的值也是一个已知数, 设为  $k_2$ , 则

$$\begin{aligned} k_2 &= -r/(\sqrt{D/\mu_a}) - \log D \\ k_2 &= -r/(\sqrt{\mu_a/D}) - \log D \\ k_2 &= -r/(\sqrt{\mu_a/1/(3\mu'_t)}) - \log(1/3\mu'_t) \\ k_2 &= -r(\sqrt{3\mu_a\mu'_t}) - \log(1/3\mu'_t) \\ k_2 &= -r(\sqrt{3\mu_a(\mu_a + \mu'_s)}) - \log(1/3(\mu_a + \mu'_s)) \end{aligned} \quad (\text{ex. 3})$$

求解上式 (ex. 3) 的就可以得到吸收系数  $\mu_a$ 。 ■

### 17.2.3 光学特性的测量

生物组织的吸收系数  $\mu_a$ 、散射系数  $\mu_s$  和散射各向异性因子  $g$  等光学参数的检测一直是生物光学核心问题。这些数据的测量对于光学在医学诊断和治疗中的应用非常重要。例如, 为了准确估算光动力学疗法、光凝法和组织消融等光照治疗过程中组织所接受的局部光通量, 就必须知道这些光学参数。并且, 生物组织的光学参数不仅对于光学成像和荧光光谱等在体诊断技术具有重要的意义, 而且它们本身还可以提供人体的新陈代谢信息, 用于疾病的诊断。

目前, 测量生物组织光学特性参数的方法已有很多种。例如, 应用准直光透射技术可以测量光的吸收和散射作用之和, 即总作用系数  $\mu_a + \mu_s$ 。测量时, 用准直光束照射组织切片, 然后通过小孔检测非散射的透射光。小孔可以遮挡并去除散射光。根据比尔—朗伯定律, 也就是式 (17.30) 的扩展形式, 就可以计算出被测物的特性参数。适用于散射介质的比尔—朗伯定律是  $I(z) = I_0 \exp[-(\mu_a + \mu_s)z]$ , 其中  $I(z)$  是穿过深度  $z$  之后的未散射的透射光强度。在准直光透射测量中,  $I_0$ 、 $I(z)$  和  $z$  均可以测得, 因此, 就可以计算出  $\mu_a + \mu_s$  的值。

#### 例 17.6

一束 5mW 的准直激光穿过 4cm 厚的无吸收的散射介质, 通过小孔测得的准直透射光为 0.035mW。请计算介质的散射系数。

解:

根据比尔—朗伯定律, 有

$$\mu_s = \ln(5/0.035)/4 = 1.2 \text{ cm}^{-1}。 \quad \blacksquare$$

最早开发的一种测量生物组织的光吸收和散射的方法是积分球测量法。积分球各有一个入口和一个出口, 其内壁涂有一层漫反射材料。测量时, 将组织切片夹在两个积分球之间, 用准直光照射组织样本, 通过漫反射光和透射光的积分, 就可以同时分别测得组织的反射系数和透射系数。然后, 再根据有关模型, 用这两个测得的数据计算出吸收系数  $\mu_a$  和约化散射系数  $\mu'_s$ 。所用的模型可以根据倍增法、 $\delta$ -Eddington 近似法和 Monte Carlo 法等光子传输理论来建立。

还有一种测量方法是垂直入射反射摄影仪 (Normal Incidence Video Reflectometry)。测量时, 准直光垂直入射到生物组织上, 用 CCD 摄像机或者光纤束采集漫反射光强的

空间分布。然后,再根据漫射理论拟合所测得的漫反射空间分布,计算出各个光学特性参数。除非能够通过漫反射分布数据测得总的漫反射光强,否则测得的漫反射空间分布数据只能是绝对值。而绝对值的校准比较困难,因此,这种方法并不适用于临床。

另外,用时间分辨光谱技术和频域技术也可以测量介质的光学特性参数。不过,这些方法所需的仪器设备比较昂贵,对于非科研应用,可能费用太高。最近出现的基于光纤的斜入射反射仪是一种应用前景较好的在体光学特性检测方法。只要被测样本可以看作半无限大混浊的散射介质(这对于通常在体生物组织都成立),使用这种方法就能够简单准确地测得组织的吸收系数  $\mu_a$  和约化散射系数  $\mu'_s$ 。本节下面就介绍这种方法。

斜入射光所产生的漫反射空间分布,其中心点与光的入射点之间存在一个位移,这个位移直接与介质的漫射系数  $D$  相关。通过光纤探头可以将斜入射光传送给被测样品,同时采集样品漫反射空间分布的相对值,这种检测方法不必测量绝对值。然后,根据漫反射分布数据,就可以测得漫射系数  $D$ ,并且通过曲线拟合计算有效衰减系数  $\mu_{\text{eff}}$ ,再计算  $\mu_a$  和  $\mu'_s$ 。这里,有效衰减系数  $\mu_{\text{eff}}$  的定义是

$$\mu_{\text{eff}} = \sqrt{\mu_a/D} \quad (17.43)$$

已经有人曾经利用两个各向同性的点源,建立了垂直入射光漫反射的空间分布模型。一个是正源,位于生物组织表面下方  $1\text{mfp}'$  处;另一个是负像源,位于组织表面上方。正源表示组织内部的单个散射源,其像源在  $z$  方向上的高度与边界条件相关。光子的传输平均自由程 (mean free path, mfp) 定义为

$$\text{mfp}' = 1/(\mu_a + \mu'_s) \quad (17.44)$$

对于斜入射光,隐藏的点源应该位于组织内相同光程处,不过此时是在根据 Snell 折射定理确定的新光路上。假设 (a) 光的入射角已知; (b) 生物组织和传递光的某种介质的折射率都已知。那么,就可以得到两个点源的位置变化数据,特别是  $x$  方向的位移。图 17.8a 和图 17.8b 分别显示了垂直入射光和斜入射光的模型。

斜入射光的漫反射分布以两个点源的位置为中心,因此,位移  $\Delta x$  就是漫反射分布中心相对于光入射点的距离。双点源模型的表达式如下

$$R(x) = \frac{1}{4\pi} \left[ \frac{\Delta z(1 + \mu_{\text{eff}}\rho_1) \exp(-\mu_{\text{eff}}\rho_1)}{\rho_1^3} + \frac{(\Delta z + 2z_b)(1 + \mu_{\text{eff}}\rho_2) \exp(-\mu_{\text{eff}}\rho_2)}{\rho_2^3} \right] \quad (17.45)$$

其中  $\Delta z = 3D\cos\theta_i$ 。此式可以随意按比例缩放,用于拟合非绝对值的相对漫反射分布曲线。有效衰减系数  $\mu_{\text{eff}}$  前面已有定义,  $\rho_1$  和  $\rho_2$  分别为两个点源与光线采集点 (见图 17.8) 之间的距离。如图 17.8b 所示,漫射系数  $D$  可以由  $\Delta x$  计算得到

$$D = \Delta x / (3\sin\theta) \quad (17.46)$$

生物组织的光学特性参数与组织的种类和光的波长有关。例如,对于氩激光等光源发出的绿色光,红色的肝的吸收系数要比黄褐色的鸡胸等组织的吸收系数大得多。可见光和近红外光的一组典型光学特性参数是:吸收系数为  $0.1\text{cm}^{-1}$ , 散射系数为  $100\text{cm}^{-1}$ , 各向异性因子为 0.9。在紫外光区域,生物组织中的蛋白质的光吸收为主;在红外光区

域，则是水的光吸收为主。近红外（~800nm）区域由于吸收最小且散射也相当弱，因此被作为诊断检测区域。

光学特性参数检测的一项重要应用是测定血红蛋白氧饱和度，它是一个重要的生理参数。由于氧合血红蛋白和还原血红蛋白具有不同的吸收光谱，因此，通过检测组织的光学特性参数，就可以计算出两种血红蛋白的相对浓度之比。

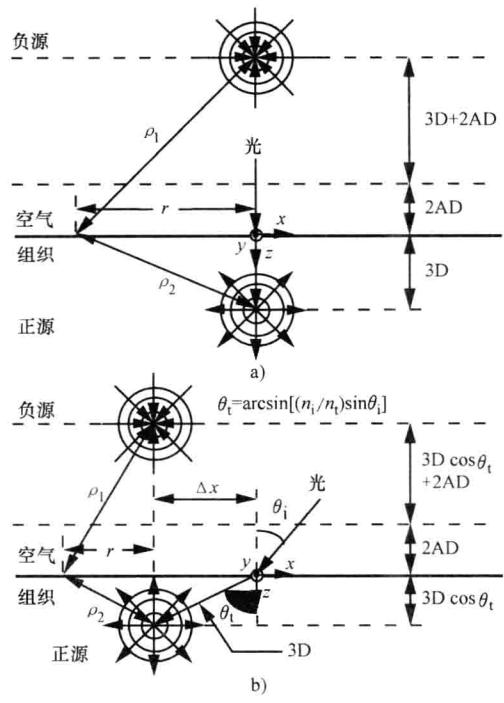


图 17.8 垂直入射光漫射理论模型两个点源的位置（图 a）和斜入射光漫射理论模型两个点源的位置（图 b）  
注：图中 y 轴指向纸外， $\rho_1$  和  $\rho_2$  分别是正源和负源与组织表面检测点之间的距离，检测点与两个点源连轴之间的距离为  $r$ 。 $\theta_t$  由 Snell 折射定理计算得到。

17.3 光的物理作用及其检测

由以上 17.2 节的内容可知，人体多数组织对光是不透明的，也就是组织对光具有吸收和散射作用。本节讲述光与组织之间的物理作用及其在医学检测和治疗中的应用。所述内容将围绕 4 种基本物理量的变化，即热变化、压力变化、速度变化以及样本的光程变化。其中，利用光既可以诱发也可以测量组织样本的热变化和压力变化，通过光的

多普勒频移现象可以检测速度变化,通过两束以上光束的干涉图案则可以测量样本光程长度的变化。

### 17.3.1 热作用和温度监测

人体所有组织对于不同波长的光都有吸收作用,光被吸收之后,光能就转化为热能。同时,与任何绝对温度在 0 度以上的物体一样,人体组织还会产生光辐射,称为黑体辐射。因此,光可以加热人体组织,用于治疗;反过来,通过检测组织的光辐射,还可以测量组织的温度。

#### (1) 温度监测

通常,使用既廉价又可靠的热敏电阻或者热电偶等电子传感器,就可以检测温度。不过,如果存在较强的电磁场干扰,这些传感器就不能用,这种情况在医院里经常会遇到。而且,这些传感器也不能用于监测激光照射所引起的温度上升,因为它们本身会吸收激光辐射。因此,人们开发了几种间接测量人体温度的光学方法。例如,液晶光极(liquid crystal optrode)会随着温度的变化产生明显的颜色变化;干涉仪传感器则可以通过其相位和干涉条纹的变化,反映出温度变化引起的光程长度变化;另外,很多物体的发光与温度之间存在很强的相关性,也可以用于温度测量。

下面先介绍一种直接测量温度的传感器,就是所谓的热像仪(或者辐射计)。这种系统最初由军队研制并使用,可以在黑暗环境中探测交通工具、人体、船只等。温度为  $T$  的黑体的总辐射量计算公式是

$$I = \varepsilon \sigma T^4 \quad (17.47)$$

式中  $\varepsilon$ ——辐射系数;

$\sigma$ ——Stefan-Boltzmann 常数。

室温下,物体的辐射主要属于光谱上的远红外区域。随着温度的上升,辐射会逐渐出现在近红外区域,最后到达可见光区域。生物组织的辐射系数为 1,即  $\varepsilon = 1$ ,因此,其总辐射只与温度  $T$  相关。在军事上,用红外辐射产生的热像图可以显示出物体的温度分布,同理,这种技术可以在医学上用于监测人体的体表温度。例如,配有视频显示器的热像仪可用于显示人体胸部的温度分布。由于乳腺癌组织的温度比健康组织的温度高,因此,从这种图像上就可以观察乳腺癌的病情。注意,在乳腺癌筛查中,虽然红外成像不如乳房 X 射线透射成像可靠,但是,这种方法对人体毫无损害,病人不会受到辐射照射。不过,用红外热像仪测量时,被测物体表面到探测器之间必须存在直接的视线通路,不能有遮挡。如果有其他物体挡住了视线,那么,有时可以在探测器上连接红外线光纤,通过光纤传导红外辐射。这种光纤辐射计已经被提议用于生物组织的微波热疗和激光热疗。

#### (2) 光致发热

如前所述,除了监测人体的光辐射之外,光本身还可用于加热具有光吸收性的生物组织。生物组织的光致发热有很多应用,包括生物刺激、封口和血管焊接、组织损毁和组织汽化等。生物刺激是指光诱导的生物组织短时间加热,这种方法可以刺激神经,加速创口的愈合。另外,具有高吸收特性的激光可以促进组织之间的融合,特别是血管的



连接;也可以促使血液凝固,用于手术过程中的止血。如果光致发热使生物组织的温度上升到45℃以上,那么,就会发生组织坏死,这可用于癌症和前列腺组织增生的治疗。如果照射光的功率密度再增加,那么,生物组织就会发生消融和汽化,所谓的矫正视力的激光角膜切除术就是这种情况。

光致发热一般都使用激光,可以选择紫外到红外区域的各种不同波长的激光,激光的功率密度(即光束功率与照射面积之比)以及持续时间都可以调节。通过改变功率密度或者激光脉冲的持续时间,可以改变传递给生物组织的能量,从而控制温度的上升。激光的功率密度较高时,组织会发生凝固、坏死和汽化;而功率密度较低,只产生较小的加热效应。组织吸收的能量是照射光波长的函数。对于某些波长,如那些水的强吸收波段,由于生物组织的主要成分是水,因此,组织对于这些波段的激光的吸收很强。如果用这些波长的光进行照射,光的能量会立即被靠近表面的组织薄层大量吸收,使该组织层迅速升温,激光角膜切除手术就是使用这种机理。如果用其他波长的光进行照射,生物组织的光吸收较小,加热的速度较慢,加热的深度就会增加,可以加热较大体积的生物组织,前列腺手术就是这种情况。

### (3) 温度上升与光子吸收率之间的关系

光与物体相互作用所产生的热力学不可逆反应就是光子能量被物质相吸收的过程。在不存在热传导的情况下,生物组织温度的上升由热力学状态方程决定。状态方程表明物质内部能量的变化与温度的上升成正比。在无热传导和其他热传输作用的前提下,物质内部能量的变化就等于物质的光子吸收率,它用时间微商表示,即

$$\Delta U / \Delta t = \rho C \Delta T / \Delta t \approx Q_L \quad (17.48)$$

式中  $\Delta T$ ——温度的上升量,单位为K;

$Q_L$ ——组织的单位体积光子吸收率,单位为W/m<sup>3</sup>;

$\rho$ ——物体的质量密度,单位为kg/m<sup>3</sup>;

$C$ ——比热,单位为J/kg·K;

$\rho C$ ——单位体积的热容量,单位为J/(m<sup>3</sup>·K);

$\Delta t$ ——光照持续时间,即曝光时间。

光子吸收率 $Q_L$ 是物质利用光子升温的重要因素,它就是光源函数项,也称为能量沉积率。在通常的光作用过程中,物体的光子吸收率与辐照度成正比,比例常数就是吸收系数,即

$$Q_L = \mu_a \phi \quad (17.49)$$

辐照度 $\phi$ 与组织中光子的空间分布有关<sup>①</sup>。例如,对于纯吸收物质,应用比尔—朗伯定律,并假设光束具有高斯分布,则

$$Q_L = \mu_a \times \phi_0 \exp(-\mu_a z) \exp(-2r^2/\omega^2) \quad (17.50)$$

式中  $\phi_0$ ——入射光强度;

$z$ ——深度;

① 对于多光子的光与组织作用过程, $\phi$ 的指数成倍增加,如双光子过程的光子吸收率 $Q_L = \mu_a * \phi^2$ 。——原文注

$r$ ——径向距离。

如果存在光的散射作用,那么,可以用前面所述的各种散射模型来表示  $\phi_s$ 。

式 (17.48) 成立的假设条件是不存在传导、对流等其他热作用过程。如果这些过程可以忽略不计,例如,持续时间非常短的激光脉冲就是如此,那么,由式 (17.48) 可知,物体温度的上升可以计算如下

$$\Delta T \approx Q_L \Delta t / \rho C \quad (17.51)$$

其中  $\Delta t$  是光照的持续时间。

本章 17.5 节将进一步介绍激光与组织之间相互作用所产生的其他热效应。为了使照射过程中的热扩散可以忽略不计,式 (17.51) 只有在非常短的脉冲照射下才能成立,照射脉冲时间宽度的上限临界值可用下式计算:

$$\Delta t_{\text{MAX}} = \frac{1}{\sqrt{4\mu_a^2 \alpha}} \quad (17.52)$$

其中  $\alpha$  是物体的热扩散系数。水的  $\alpha$  值约为  $1400 \text{ cm}^2/\text{s}$ 。

### 17.3.2 激光多普勒测速仪

除了使物体升温以外,光与运动物体之间的物理作用还可以产生多普勒现象,也就是运动物体的速度所产生的频移。例如,人体血管中流动的直径约为  $7 \mu\text{m}$  的血红细胞就是一种运动物体,利用多普勒技术测量血流速度的方法已经形成多种临床应用,包括心脏监护、冠状动脉血管成形术、冠状动脉狭窄检测、体表组织血流测量以及分娩过程中胎儿头皮的血流监测等。

当频率为  $f$ 、速度为  $c$  的入射光照射在静止物体上时,其反射光的频率保持不变。但是,如果被照射物体以速度  $v$  运动时,那么,反射光的频率  $f'$  就与原入射光频率  $f$  不同,两个频率之差(即频移)  $\delta f$  称为多普勒频移,表示为

$$\delta f = f - f' \quad (17.53)$$

光束照射在流动的红细胞上所产生的多普勒频移可以用以下公式计算

$$\delta f / f = 2v n \cos \theta / c_0 \quad (17.54)$$

式中  $v$ ——红细胞流动速度;

$n$ ——介质的折射系数;

$c_0$ ——生物组织中的光速;

$f$ ——入射光频率;

$\theta$ ——入射光与血管之间形成的夹角。

由于波长  $\lambda$  等于光速除以频率,因此,上式可以变为

$$\delta f = 2v n \cos \theta / \lambda_0 \quad (17.55)$$

在声波中,多普勒效应可以用驶向观察者的火车来说明,当火车越来越接近观察者时,火车的鸣笛声听起来音调会增高。

#### 例 17.7

用激光多普勒系统测量血流速度。假设使用波长为  $514 \text{ nm}$  的氩激光,探头与血管成  $30^\circ$  角度,血液的折射系数为  $1.33$ ,测得的频移为  $60 \text{ kHz}$ 。请计算血流速度,并说明

该血流速度是否符合实际生理情况。如果探头与被测血管之间的角度有  $10^\circ$  误差，那么，对计算结果会有什么影响？

解：

利用式 (17.55)，计算速度如下

$$v = (\delta f \cdot \lambda) / [2n \cos(\theta)] = [(60 \times 10^3) \times (514 \times 10^{-9})] / [2 \times (\cos 30^\circ) \times (1.33)] = 1.34 \text{ cm/s}$$

对于人体内中等大小直径的血管而言，这个速度是合理的。如果探头角度有  $10^\circ$  误差，比如将  $30^\circ$  误作为  $40^\circ$  来计算，那么得到的速度为  $1.51 \text{ cm/s}$ ，误差很大，有 13%。

虽然激光多普勒是一种很好的监测速度的方法，但是，它在临床中的应用并没有得到推广，原因之一是因为临床上对于诊断有价值的物理量是血流的流量（单位为  $\text{cm}^3/\text{s}$ ），相当于血液中各种颗粒的平均流速，但这种流量并不能用多普勒方法直接测得，而是要通过计算才能得到。如果刚性管道中的水流速度已知，那么，计算其流量就很简单。不过，仅仅根据多普勒测得的血流速度来计算血液的流量，却是一个很困难的问题。特别是对于狭小的血管，由于血液比水黏稠得多，血流的特性很复杂。而且，血管并不是刚性直管，其中的血流是脉动式的。最后，测量血流时，为了获得一系列速度数据，用于流量计算，经常需要将光纤探头插入血管中进行测量。在这种情况下，探头本身也会对血流的流量产生影响。

总之，激光多普勒测速是一种简单的方法，通过设计，可以用于测量物质流量的相对变化，但是，要用这种方法测量绝对流量却很难。因此，临床上广泛使用的血流量标准测量法是热稀释法。该方法的原理是：在血液循环系统的某个部位注入一定量的低温溶液，从而引入一个预定的血液热容量变化，然后在血流下游某处血液温度已经混合均匀的地方，检测血流的温度变化，从而计算出血流量。参见本书 10.3.3 节。

### 17.3.3 干涉仪

干涉现象也是光的一种物理作用，通常由来自同一光源的两束或多束光波叠加产生。光波由电场和磁场的振荡构成，而电场和磁场都是矢量，它们的叠加是矢量相加。因此，如果来自同一光源的两束或多束光波分别通过不同的传播路径，然后，再重新组合在一起，那么，这些光波之间就会发生增强或者抵消的干涉效应。空间交替出现的增强和抵消干涉效应表现为一系列干涉条纹。如果其中某条光束传播路径受到温度、压力或者折射率等的微小变动的影响，发生了变化，那么，从这条路径过来的光束与无变化的参考光束重新相遇时，所形成的干涉条纹就会产生移位。这种移位可以通过光电技术测出，精度可达条纹间距的  $10^{-4}$ 。利用这种干涉方法，可以非常精确地测量与目标参量变化相关的有用信息。光传播路径变化的测量精度可以达到百分之一波长的数量级，对于可见光，相当于  $5 \times 10^{-9} \text{ m}$ 。

干涉仪有很多种，最早的一种是瑞利（Rayleigh）折射计，后来演变为 Mach-Zehnder 干涉仪。为了简明扼要，本节主要介绍基于 Rayleigh 原理的两种比较精密的干涉仪：双光束 Michelson 干涉仪和多光束 Fabry-Perot 干涉仪。如图 17.9 所示，在 Michelson 干涉仪中，光源发出的光被分光镜或者光纤分为两束，当这两束光分别从两个镀银全反

射镜反射回来时,分光镜或光纤又会将它们重新组合起来。干涉仪中有时还配有一块补偿板,可用于调节光路,使测量前或者仪器空载时,测量光程与参考光程相等。被测的变动可以是压力或者温度变化引起的物体应变,从而使样品光路上的光程发生变化;也可以是光路上加入生物组织样本所引起的变化;或者用组织样本代替反射镜之后产生的变化。例如,用 Michelson 干涉仪可以测量生物组织的厚度,特别是在矫正视力的激光角膜切除手术过程中,可用于监测角膜的厚度。配上低相干光源之后,这种干涉仪还可用于各种体表组织的相干断层成像 (Optical Coherence Tomographic Imaging)。当两束干涉光的幅值相等时,以光轴为中心的干涉条纹圈的控制方程是

$$I = 4I_0 \cos^2(\delta/2) \quad (17.56)$$

其中  $I_0$  为入射光强度,相位差  $\delta$  定义为

$$\delta = 2\pi\Delta/\lambda \quad (17.57)$$

其中  $\lambda$  为波长,两条光路光程的净差  $\Delta$  定义为

$$\Delta = 2d\cos(\theta) + \lambda/2 = (m + 0.5)\lambda \quad (17.58)$$

显然,由此式可以推导出以下方程

$$2d\cos(\theta) = m\lambda \quad (17.59)$$

式中  $2d$ ——从分光镜开始的两条光路光程之差;

$m$ ——干涉条纹数目;

$\theta$ ——入射角,  $\theta = 0$  时是垂直入射。

注意,光程与实际物理距离是不同的。如果将折射率为常数的一块薄板、一小瓶气体或者一片吸收和散射极小的组织薄片,插入其中一条光路中,那么其光程  $d$  为

$$d = (n_s - n_{\text{空气}})L$$

式中  $L$ ——被测物的实际厚度;

$n_s$ ——被测物的折射率;

$n_{\text{空气}}$ ——空气的折射率。

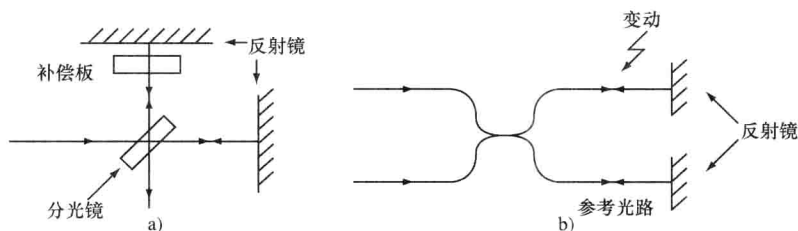


图 17.9 透镜 (图 a) 和光纤 (图 b) 结构的 Michelson 干涉仪

### 例 17.8

将一片  $n \approx 1.33$  的清澈组织薄片,比如一小块眼睛角膜,垂直插入 Michelson 干涉仪的一路光线中,结果使干涉条纹移动了 50 个条纹的距离。假设光的波长为  $589\text{nm}$ ,请计算这块组织的厚度。

解:

由式 (17.59) 的  $2d\cos(\theta) = m\lambda$  可得  $d = (50 \times 0.589)/2 = 14.72\mu\text{m}$ 。此计算值是光程长度, 生物组织的实际物理厚度还必须利用样本和空气的折射率来计算, 其值为  $L = d/(n_s - n_{\text{空气}}) = 14.72/(1.33 - 1.0) = 44.6\mu\text{m}$ 。■

Michelson 干涉仪和 Mach-Zehnder 干涉仪都属于双光束干涉仪, 这类干涉仪的一个缺点是, 其干涉条纹亮度呈现式 (17.59) 所示的正弦变化, 最大值或者最小值的精确位点难以分辨, 因此, 其测量精度受到限制。对于测量精度要求非常高的仪器, 如精密的光谱仪, 这个缺点就会产生较严重的影响。利用多光束干涉法, 可以克服这个缺点, 大大提高测量精度。图 17.10 所示的 Fabry-Perot 干涉仪使用的就是多光束。这种干涉仪用两块平行板产生多束透射光形成干涉条纹。两块平行板通常是封装在一起的厚玻璃或者石英, 中间夹着空气层。平行板内表面的平整度和反射率很重要, 一般抛光精度要高于  $\lambda/50$ , 并且需要镀上高反射银膜或铝膜。对于 400nm 以上波长的可见光, 镀银比较好; 而对于 400nm 以下波长的光则铝的反射率比银高。镀层必须很薄, 才能使其具有较好的透射性, 例如, 银质镀层的厚度通常约为 50nm。在很多情况下, 平行板的外表面并不是与内表面完全平行, 而是特意做成与内表面之间形成几分小角度, 以便消除玻璃板本身引起的干涉条纹伪迹, 因为两面平行的玻璃板自身就是一个平行板干涉仪, 会产生干涉条纹伪迹。如果两块平行板之间的间距  $L$  固定, 那么, 干涉仪称为 Fabry-Perot 标准具。仪器中, 各个相邻平行光束的光程差决定了某个空间位置  $P$  处光束叠加的结果, 光程差的计算公式是

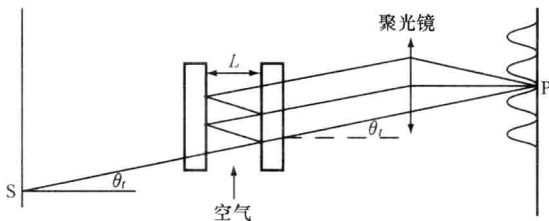


图 17.10 Fabry-Perot 多光束干涉仪

$$\Delta = 2n_f L \cos\theta_i = m\lambda_{(\text{最小})} = 2L \cos\theta_i \quad (17.60)$$

对于空气,  $n_f = 1$ 。

进入平行板的来自光源不同点的其他光束, 如果与光轴形成相同的倾斜角  $\theta_i$ , 光程差相等, 这些光束也会聚在  $P$  点。如果  $L$  固定不变, 是常数, 那么, 以上公式就表示角度为  $\theta_i$  的入射光束之间的光程差  $\Delta$ , 如图 17.11a 和 17.11b 所示, 这些等倾光束所形成的聚焦干涉条纹是同心圆环。如果间距  $L$  是随时间变化的变量, 那么, 检测器  $D$  就会记录到如图 17.11c 所示的随时间变化的干涉曲线。

Fabry-Perot 干涉仪干涉条纹的亮度变化, 也就是所谓的干涉条纹分布, 是光程差 (即相位) 的函数。条纹的锐度是决定仪器分辨能力的重要因素。利用三角恒等式  $\cos \delta = 1 - 2\sin^2(\delta/2)$ , 可得光束的透射率计算公式为

$$T = I_T/I_i = 1/\{1 + [4r^2/(1-r^2)^2] \sin^2(\delta/2)\} \quad (17.61)$$

其中  $r$  是反射系数,  $\delta$  是相位差。分母方括号内的项被称为精细度  $F$ ; 于是

$$T = 1/[1 + F \sin^2(\delta/2)] \quad (17.62)$$

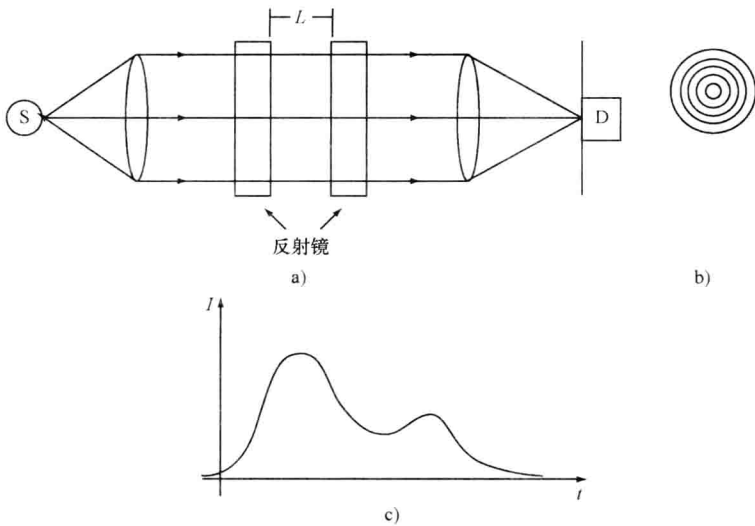


图 17.11 Fabry-Perot 干涉仪 (图 a) 及其随空间 (图 b) 和随时间 (图 c) 变化的干涉条纹

注意, 由于  $0 < r < 1$ , 因此  $0 < F < \infty$ 。精细度  $F$  也是一种干涉条纹对比度的衡量指标, 即

$$F = [(I_T)_{\max} - (I_T)_{\min}] / (I_T)_{\min} = (T_{\max} - T_{\min}) / T_{\min} \quad (17.63)$$

注意, 当  $\sin(\delta/2) = 0$  时, 有  $T_{\max} = 1$ ; 当  $\sin(\delta/2) = \pm 1$  时, 有  $T_{\min} = 1/(1 + F)$ 。不同  $r$  值下干涉条纹的亮度分布曲线如图 17.12 所示。

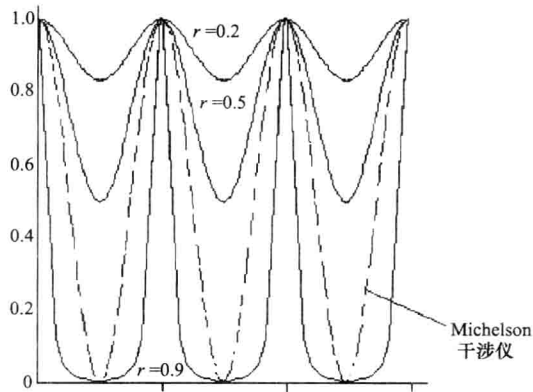


图 17.12 具有不同反射率的多光束 Fabry-Perot 干涉仪  
与双光束 Michelson 干涉仪之间分辨率的比较

由图中可见, 当  $\delta = m2\pi$  时,  $T = T_{\max} = 1$ ; 当  $\delta = (m + 1/2)2\pi$  时;  $T = T_{\min} = 1/(1 + F)$ 。并且,  $T_{\max} = 1$  与  $r$  无关, 而  $T_{\min}$  不会等于零, 只是当  $r$  趋向于 1 时  $T_{\min}$  趋向于 0。另外,  $r$  值越大, 干涉条纹的波峰就越尖锐, 条纹之间的大部分区域干涉强度都接近于零。注意, 图中虚线所示的是 Michelson 干涉仪的分布曲线, 为了便于比较, 图中

显示的都是按照最大值归一化之后的数据。可见, 由于 Michelson 干涉条纹的亮度分布直接与  $\cos^2(\delta/2)$  相关, 因此, 其条纹不够尖锐。Fabry-Petot 光纤颅内压监测仪是干涉仪在临床上的一种应用, 用于诊断严重的脑损伤或脑积水, 脑积水是指脑室和蛛网膜下腔脑脊液的增多。

## 17.4 生化物质的光学检测技术

近年来, 许多医学仪器公司和高校都投入极大的热情, 积极开发各种临床光学检测技术, 用于癌症的检测, 以及血糖、乳酸、白蛋白和胆固醇等血液生化指标的定量监测等。人们最熟悉的在体临床光学监测技术可能就是脉搏血氧仪, 它可以根据流过动脉的脉动血流中氧合血红蛋白和还原血红蛋白的光谱吸收峰, 来间接地测量血氧饱和度以及血容量的变化, 还常用于测量心率。

医学检测和诊断中最常用的光学原理包括光的吸收、散射、荧光发射和光的偏振等, 检测的主要参量是光穿过介质之后的光强变化, 这种光强变化与入射光波长以及偏振性有关。光的寿命和相位也可以作为参量。当被测物浓度适中时, 光的吸收或者荧光发射所引起的光强变化与物质浓度变化之间接近线性关系; 但是, 当被测物浓度很高时, 两者就呈现非线性关系。

### 17.4.1 基于光吸收原理的分光光度计

很多研究人员曾经试图利用红外线吸收进行血液生化物质等临床检测, 尤其是血糖的监测和癌症诊断。本章前面已经介绍了适用于纯吸收介质和荧光发射的比尔-朗伯定律, 也就是式 (17.17), 将该式表示为对数形式, 可以写为

$$A = \ln(T) = \ln(I_0/I) = \mu z = z \varepsilon_i C_i \quad (17.64)$$

式中  $A$ ——吸光度;

$T$ ——透射率;

$I_0$ ——入射光强度;

$I$ ——透射光强度;

$z$ ——光程长度;

$\mu$ ——吸收系数, 也就是被测介质中各个不同组分摩尔吸收系数  $\varepsilon_i$  与浓度  $C_i$  乘积之和。

对于生物组织和血液, 在波长为  $2.5 \sim 12 \mu\text{m}$  的中红外 (mid-infrared, mid-IR) 区域, 式 (17.64) 才成立, 因为, 在这个波长范围内, 生物体化学物质的吸收峰比较尖锐明显, 并且光的散射很弱。不过, 此波长范围内生物组织中水的光吸收比任何血液生化成分的光吸收都要大好几个数量级, 因此, 如果用红外线测量, 样本光程的长度只能很小, 仅为微米数量级。这样, 就形成了表面测量, 也就是, 在人体皮肤表面进行测量, 或者将光纤插入体腔内, 进行腔内表面测量。但是, 现有的可用于这个波长范围的光纤都有毒, 且吸湿性强, 很坚硬。因此, 由于存在水的光吸收问题, 再加上没有合适

的光纤, 这种利用中红外光进行在体检测和诊断的方法目前还很难实现。中红外检测系统中, 可用的光源有: 宽光谱的钨丝、能斯特灯、镍铬合金丝、硅碳棒以及谱带较窄且波长可调的液氮冷却式激光二极管等。光强检测器有: 冷却式碲镉汞 (Mercury Cadmium Telluride, MCT), 热电堆和热敏电阻等。光学器件则有: 氯化钠或溴化钾单晶制作的样品池, 镀金的反射镜和光栅等。

在近红外 (Near-Infrared, NIR) 波长区域, 光谱受水的影响不像中红外区那么大, 光程长度可达  $1\text{mm} \sim 1\text{cm}$ 。并且, 低 OH 硅质光纤在这个波段的透明度相当好, 且无毒、低吸湿。NIR 的波长范围为  $700 \sim 2500\text{nm}$ , 该波段的光吸收主要由  $700 \sim 1000\text{nm}$  的低能量电子振动以及  $1000 \sim 2500\text{nm}$  的分子化学键振动所产生的谐波组成。含有 -CH、-OH 和 -NH 等化学键的物质会在这个波段产生谐波, 通常, 能够检测到的只有分子光谱的一、二和三次谐波, 且谱峰较宽。只有高浓度的化学样本的谐波谱峰才能用于定量检测, 且谱峰的强度随着谐波次数的增加迅速减小。NIR 吸收波段还会受到温度、压力和氢键的影响, 这些影响组合在一起会产生严重的干扰。在  $700 \sim 1200\text{nm}$  波段还存在光的散射效应的影响。因此, 与 mid-IR 分光光度计不同, NIR 分光光度计主要用于定性观察, 并不适用于定量检测。不过, 应用多变量统计等方法, 也可以用 NIR 光谱进行定量分析。NIR 波段可用的光源有: 宽光谱的钨丝、发光二极管 LED、激光汞固体激光器 (如波长可调的钛蓝宝石激光器等) 以及各种激光二极管。可用的检测器有: 适用于  $1\mu\text{m}$  波长的硅检测器、适用于  $1.7\mu\text{m}$  波长的锗检测器以及适用于  $5.5\mu\text{m}$  波长的碲化镉检测器等。光学器件有: 低 OH 透镜、石英、玻璃、光栅和反射镜等。

分离宽带光源中不同波长光的方法主要有色散和非色散两类。色散型系统使用反射光栅或者透射棱镜来分离不同波长的光。而非色散型系统则用一系列不同波长的滤光器, 或者用红外傅里叶变换器 (Fourier Transform Infrared, FTIR) 来分离光谱。在 FTIR 系统中, 首先使用类似图 17.9 所示的 Michelson 干涉仪采集完整的光谱数据, 然后, 再通过傅里叶变换, 将以时间为变量的干涉图谱变换为以频率为变量的光谱图。色散和非色散两种方法都可以用于建立覆盖 NIR 和 mid-IR 波段的光谱。色散系统的优点是分辨率高, 可以区分波长靠得很近的谱带; 而非色散系统由于各种波长的光都通过被测样本之后才被分离, 因此, 一般具有较高的光通量。

#### 17.4.2 基于散射光的检测技术

光的散射主要有弹性和非弹性两种。弹性散射可以用 Mie 理论来描述。当散射微粒小于波长时也可以用 Rayleigh 散射来描述。Mie 理论表明散射光的强度与溶液浓度、容积大小和散射微粒的形状有关。非弹性散射中散射光子的能量发生变化, 可以用 Raman 散射来描述。荧光就是非弹性散射光。

利用散射光进行测量时, 通常检测的是反射光的强度。反射光有两种不同的形式: 一种是发生在介质表面上的镜面反射。这种反射过程中光波没有进入介质内, 反射光并不包含介质材料的任何信息, 因此, 检测时要想办法尽可能减少或者消除这种镜面反射光。另一种是光波进入介质之后所产生的漫反射。在介质中, 部分光波经过多重散射之



后, 会返回到介质表面。本章 17.2 节所述的光子传输理论可用于描述生物组织中光的漫反射效应, 解释漫反射的检测原理。

弹性散射光既可以用于癌症诊断, 也可以用于糖尿病患者的非侵入式血糖监测等。在血糖浓度监测应用中, 可以使用光强可调的频域近红外光谱仪, 将物体的约化散射系数与吸收系数分开, 以便检测出与人体肌肉中血糖含量相关的约化散射系数。显然, 血糖浓度在生理范围内的增加会减少肌肉组织的总散射量, 因此, 这种方法作为血糖浓度随时间变化的一种相对值测量方法, 具有较好的应用前景。但是, 弹性散射检测用于物质浓度的监测还是存在难以克服的缺点。其中, 特异性是这种方法的最大问题, 因为与血糖浓度无关的其他生理效应也会产生类似的约化散射系数的时间变化, 并且, 与光的吸收不同, 光的弹性散射几乎与波长无关。

另一个问题是约化散射系数的测量精度不够高, 因为光的散射与光的吸收之间的分离比较困难。要检测出如此微弱的散射光变化量, 同时要避免生物组织 (尤其是血红蛋白) 较大的光吸收变化的影响, 这是很困难的。另外, 检测时还必须考虑各种生物组织具有的不同折射率。生物组织的散射由各种物质成分以及质膜、线粒体、细胞核等细胞器产生, 它们都具有不同的折射率。血糖浓度及其分布对于散射光的影响是一个非常复杂的问题, 只有在细胞水平上搞清楚这个问题, 才可能将上述方法用于实际临床检测。由于约化散射系数与细胞密度等因素有关, 这类仪器可能需要根据某种标准进行在体校准。最后, 还必须考虑可能改变约化散射系数的其他各种因素, 如温度、红细胞浓度、电解质浓度、细胞内外之间水的传输等。

作为一种癌症诊断的筛查方法, 散射测量在组织切片和离体细胞的检测中具有较好的发展前景。癌症引起的很多生物组织变化是形态上的改变, 是细胞和亚细胞结构大小和形状的变化, 不是化学物质的变化。因此, 测量时应该使所产生的大部分弹性散射变化与组织形态的变化相关。如果谨慎选择测量所用的入射光波长, 将波长选取在水和血红蛋白的主吸收区之外, 并且, 检测出漫散射光随光线入射角变化的数据, 那么, 就可能用这种方法辅助癌症的诊断。

近三十多年来, 使用非弹性 Raman 散射光谱仪的主要是物理学家和化学家。Raman 光谱仪已经成为一种非常重要的研究工具, 可用于分析蛋白质、酶、免疫球蛋白、核酸、核蛋白、脂类等各种生物分子, 以及生物膜和碳水化合物等。并且, 随着高功率激光光源和高灵敏度检测器的发展, Raman 光谱仪也正在成为有用的临床检测和诊断工具。当单波长的单色光入射到介质上时, 就会产生 Raman 散射现象。除了透射光之外, 一部分光被散射。并且, 频率为  $\omega_0$  的部分入射光会产生  $\pm \omega_m$  的频移, 该频移与物质分子的转动、振动和能级的变化相关。通常, 散射光的强度和偏振取决于测量点相对于入射光的位置。多数应用中检测的是频率为  $\omega_0 - \omega_m$  的 Stokes 散射谱线。此时, Raman 光谱仪的检测谱带要移到比激发光波长长的区域。

与红外光谱技术相似, Raman 散射光谱也可以用于研究各种分子结构, 这两种光谱都可以检测分子极化和偶极矩变化的特征光谱。当两种方法单独使用都不能测出某种分子的所有能态时, 可以将 Raman 散射光谱作为红外吸收光谱的一种补充。不过, 某些

分子的某些能态,这两种方法可能都测不出。根据偶极子的非简谐振子模型,除了基频振动以外,还存在谐波。Raman 光谱的一个优点就是谐波比基波要微弱得多,因此,与吸收型光谱相比,其光谱简单得多。

Raman 光谱用于生物检测时,还有一个优点是水的 Raman 散射光谱很弱,对溶质光谱的干扰很小,因此,可用于测量各种水溶液的光谱,这点与红外光谱不同。但是,Raman 光谱的信号本身就很弱,因此,直到最近,快速 CCD 阵列取代了慢速光电倍增管,并且高功率近红外激光二极管产品出现之后,Raman 光谱技术才有可能用于鉴别正常和异常生物组织,准实时定量监测血液中的各种生化物质。另外,研究人员还应用偏最小二乘法(Partial Least Squares, PLS)等统计学方法来辅助 Raman 光谱的生化物质浓度计算。

与弹性散射光谱一样,Raman 非弹性散射光谱也已用于临床监测和诊断。诊断方法就是寻找癌变组织等生物组织中存在的,由不同化学物质引起的各种光谱谱峰,以及各个谱峰之间的光强差。定量分析时,只需计算强度差。生物组织测量时,除了水的吸收问题之外,还有一个问题就是高浓度蛋白质等荧光物质的影响。富含血管的生物组织所产生的自发荧光会造成较强的荧光背景信号。由于在波长较长的区域,生物组织的荧光发射较弱,因此,人们开发了使用近红外(NIR)波长激发光的仪器来克服自发荧光的问题。

NIR 波长激发光还有一个优点,就是在穿过体积较大的组织样本时,与可见光和紫外光等较短波长的光相比,波长较长的 NIR 光的吸收和散射都比较小。但是,随着波长的增加,在荧光减少的同时,Raman 信号的强度也会迅速衰减,它与波长的四次方成反比。因此,既要使荧光最小化,又要保证足够大的 Raman 信号,只能采取折中的办法。有人提出,在眼睛部位进行 Raman 光谱检测可以避免自发荧光的影响。不过,为了避免损伤眼睛,这种检测所用的激发光功率必须很小,这会大大降低信噪比。最后,与红外和近红外吸收型光谱仪一样,进行生物体内低浓度物质的在体定量测定时,还必须解决各种不同化学物质 Raman 光谱的重叠问题。

### 17.4.3 基于物体发光特性的检测技术

如前所述,发光是物质吸收某个波长的电磁辐射光子,然后在另一个波长上再发射光子的过程。生物组织等介质中的分子吸收光子之后,上升到某个激发态,然后返回到某个较低能态时,分子就会发光。物体的冷发光有荧光和磷光两种。荧光发射过程中的能量转变不涉及电子自旋的变化,光的再发射速度较快。因此,荧光只在激发时才产生,而磷光则在激发停止之后还可以持续一段时间。例如,普通电视机屏幕在开机时会产生荧光,而在关机后的短时间内还会发出磷光。

荧光测量技术已用于临床检测和诊断,它利用生物组织的内源性和外源性荧光来获得诊断信息,特别是用于癌症诊断和动脉血管内壁的沉积物诊断。内源性荧光来自蛋白质、核酸和核苷酸辅酶等物质产生的自发荧光,而外源性荧光则是生物组织摄入荧光染料之后所产生的荧光。外源性荧光已用于监测血糖、细胞内钙离子、蛋白质和核苷酸辅

酶等物质。与化学的稀溶液荧光检测不同,生物组织的外源性荧光检测受到内源性自发荧光以及光的散射和吸收等干扰。

荧光传感器检测的是荧光强度,即

$$I_f = \Phi_f(I_o - I) \quad (17.65)$$

式中  $I_f$ ——测得的荧光强度;

$\Phi_f$ ——荧光系数;

$I_o$ ——照射在样品上的入射光强度;

$I$ ——穿过样品的透射光强度。

荧光系数可以分解成三个因子:(1)量子产量 (quantum yield),它是激发态分子通过发射光子衰变而不是非辐射性损耗能量的概率。该因子的数值变化范围是 1.00 ~ 0.05,并且会在纳秒数量级的时间上发生变化。因此,除了光强测量以外,还可以利用脉冲光源和快速检测器进行时间分辨荧光光谱测量。(2)几何参数,它是与检测器探头结构有关的荧光发射检测角度。(3)检测器本身对于所发射荧光波长的检测效率。

荧光发射是一种吸收和再发射过程,可以用比尔定律描述如下

$$I_f = \Phi_f I_o [1 - \exp(-\epsilon Cl)] \quad (17.66)$$

式中  $C$ ——被测物浓度;

$l$ ——光程长度;

$\epsilon$ ——摩尔吸收系数。

此式可以展开成指数级数,并且,对于弱吸光物质,即  $\epsilon Cl < 0.05$  时,级数的第一项为主,其他项可以忽略不计。因此,在此条件下,荧光传感器测得的荧光强度就与被测物的浓度呈线性关系,可以表示为

$$I_f = \Phi_f I_o \epsilon Cl \quad (17.67)$$

多数荧光传感器检测的是荧光强度,不过,也有一些仪器在时域或频域上检测荧光寿命。为了获得尽可能多的信息,特别是对于科研和教学应用,普通台式荧光计通常要用两个单色器,一般均为光栅式波长分离器;检测器则用光电倍增管或者 CCD 阵列;光源是紫外光和可见光为主的宽光谱氙灯。测量时,光源发出的光首先经过第一个单色器,根据用户的设置,该单色器将所需波长的激发光分离出来;然后,激发光穿过被测样品之后,再经过第二个单色器;最后,由光电倍增管 (Photo Multiplier Tube, PMT) 扫描采集该单色器光栅反射出来的各个不同波长上的荧光强度,或者,用 CCD 检测阵列同时采集不同波长的荧光,从而获得荧光强度随时间变化的曲线。

CCD 阵列的优点是能够实时采集荧光光谱;PMT 的优点则是灵敏度较高。很多荧光检测系统中,还将一小部分入射光分离出来,由参考检测器检测,用于校正光源的波动。如果某种特定临床应用(如宫颈癌检测和血糖检测等)的最佳波长设置已经确定,那么,就可以设计一种比较简单稳定的专用荧光检测系统。这种系统不必使用单色器,只要用几个特定波长的滤光片,选取两个或多个离散的工作波长就可以了。另外,还可以用光纤将光传递到远处,或者将远处的光采集回来。由于激发光的波长和发射光的波长不同,用同一条光纤或光纤束就可以同时传出激发光并采回荧光。设计时,最重要的

是要考虑光源、所用染料、被测样本和检测器的光谱特征。例如，任何荧光系统的设计都要根据被测生物组织的特性，考虑光的吸收、散射和自发荧光等因素的影响。

#### 17.4.4 基于光偏振特性的检测技术

本章 17.1.2 节讲述了有关偏振光的一些基本电磁理论，本节将介绍偏振光的应用。偏振光可用于定量检测血糖等生化物质，或者定性分析生物组织的特性，尤其可用于癌细胞的识别，以及正常眼睛和青光眼的神经纤维层鉴别。

多年来，由光学活性物质引起的线偏振光的旋转已经被用于定量检测溶液的浓度，出现了适用于测定不同光学活性物质的各种偏振计，例如，专用于糖溶液含量检测的旋光糖量计等。这些仪器的检测原理是：当偏振光穿过被测样品时，其中的光学活性物质会使偏振光的振动面产生旋转，旋转角的大小与样品层的厚度、入射光的波长以及温度、溶剂的 pH 值和光学活性物质的浓度相关。

传统的偏振计一般在规定的标准条件下进行测量，也就是，被测液体样品的光程长度定为 10cm，入射光用波长为 5416Å 的汞绿光，测量温度定为 20℃。假设样品的厚度为  $L$  (dm)，溶液的浓度为  $C$  (g/100mL)，测得的旋光度为  $\alpha$  (°)，标准条件下手性分子的比旋光度为  $[\alpha]$ ，那么

$$C = \frac{100\alpha}{L[\alpha]} \quad (17.68)$$

式中分子的比旋光度  $[\alpha]$  与温度  $T$ 、波长  $\lambda$  和溶液的 pH 值相关。

利用偏振测定法进行非侵入式测量，如血糖监测时，光源发出的偏振光必须在不被完全去偏振的情况下，穿过人体组织，到达探测器。由于人体皮肤的散射系数很大，会引起光的去偏振，因此，要使偏振光穿过包括皮肤在内的厚组织层（如 1cm 左右厚度），且保持光的偏振信息，这是不太可能的。如果厚度小于 4mm，那么，或许可行。不过，这时组织的散射作用会造成 95% 以上的去偏振，偏振测量传感器必须在如此大的去偏振情况下，能够测出千分之一度数量级的旋光度。

为了避免光穿过皮肤组织所产生的这种不利效应，人们选择眼球的房水作为在体检测血糖浓度的部位。房水是一种清澈的光学生物介质，并且，眼球房水的葡萄糖浓度与血糖浓度之间具有很好的相关性。兔类动物实验证明，房水葡萄糖浓度跟踪血糖浓度变化的延时很小，只有数分钟。人眼眼前房的平均厚度约为 1cm。因此，假定葡萄糖对于  $\lambda = 633\text{nm}$  的偏振光的比旋光度为  $45.62^\circ\text{cm}^2/\text{g}$ ，那么，在正常血糖浓度 1mg/mL 下，测得的房水的单位光程旋光度应该约为 4.562 毫度。但是，在眼球上测量也有问题，存在角膜的双折射作用和眼球运动伪迹等影响。

如式 (17.68) 所示，由于旋光度直接与被测物体的光程长度成正比，因此，光程长度的测定很关键，或者至少对于同一个检测对象光程必须保持恒定，不随检测位点而变化。如果在眼球上测量，对于每个病人，光线在其角膜表面的入射角也必须保持相对恒定，这样，每次测量读数时，光程长度和入射角都要固定。设计仪器时，还需要考虑生物组织（包括眼球等）的蛋白质等其他手性分子引起的旋光度变化。另外，很多生

物组织还具有双折射效应，这在葡萄糖偏振仪等的设计中也必须予以考虑。

在生物组织特性测定中，偏振光双折射引起的延迟效应以及组织的偏振散射是信号，而不是噪声。例如，用激光扫描偏振仪可以测量偏振光入射到视网膜神经纤维层时所产生的延迟变化。根据统计数据，在某些区域，正常眼球的这种延迟显著大于青光眼。另外，根据各种偏振光散射作用建立的图像，还可以用于区别癌细胞和正常成纤维细胞。

#### 17.4.5 微米和纳米生物传感器的应用

微米技术，特别是纳米技术的发展正在不断推进生物传感器、人造假体及其移植以及医学诊断等领域的快速发展。在医学诊断方面，与光学生物传感技术相结合，微米和纳米器件已经用于芯片实验室（lab-on-a-chip），实现血液等样本的体外高效筛查分析。同时，很多研究人员和公司正在开发用于体内癌症诊断和治疗的基于光学的纳米应用技术。

生物医学光学领域中纳米技术的研究前沿之一是量子点（quantum dots）。量子点是能够把电子约束在很小的三维空间内的一种半导体纳米结构，在如此小的空间中，电子的量子效应（即波动性）变得很显著，超过其经典粒子效应。室温下，量子点的三维空间尺寸一般不大于 30nm。电子被束缚之后，互相之间会排斥，没有两个电子可以处于同一个量子态。于是，量子点中的电子就会形成与原子结构非常相似的壳层轨道，并且表现出原子的各种光、电、热和化学特性。在胶状绝缘层包围下，半导体纳米粒子可以生长成为量子点。这种量子点可以沉积在某种基质表面，如分布有金属电极的半导体晶片等基质上；也可以通过各种方式结晶成为块状固体。在电刺激或者光刺激的作用下，这两种形式的量子点都会发生某些特性变化。理论上，使用某个波长的单色光激发量子点时，大小不同的量子点会在长一些的波长上发射出窄带荧光。利用这种与尺寸相关的特性，量子点技术可用于多物质检测，因为，使用单波长的光照射样品中所包含的大小不同的量子点就可以产生多个波长的光。

量子点是 20 世纪 80 年代中期在光电应用领域发展起来的纳米晶体，其在生物医学领域的应用之一是长时间全彩色监测活细胞的变化，显示出活体生物中所发生的各种复杂过程，如胚胎的发育过程等，其精细程度前所未有的。如前所述，现有的荧光成像技术使用的是天然荧光分子，如水母和萤火虫上发现的有机染料和蛋白质等。这些染料的发射光波长都很宽，不同染料的光谱之间一般都会相互重叠，很难同时使用三种以上荧光染料来标定不同的生物分子。并且，这些染料的荧光发射还会随时间快速衰减。半导体纳米晶体（即量子点）可以解决这些问题。与有机荧光染料相比，量子点发射光的强度高、寿命长、发射光谱窄，而激发光谱却较宽。这样，如上所述，只要用单波长的激发光源，就可以同时激发包含不同大小量子点的混合物发射出各种不同波长的荧光，用于检测和彩色成像。

以上介绍的是荧光量子点在生物医学检测中的应用，其实，这种微米和纳米粒子可以用多种材料制成，而且可以与各种不同的光学技术结合应用。例如，金或银等金属的

纳米微粒可以与 Raman 光谱仪相结合, 构成所谓的表面增强 Raman 光谱仪 (Surface-Enhanced Raman Spectroscopy, SERS), 它比普通 Raman 光谱仪的灵敏度要高百万倍。这种金属微米或纳米粒子可以注入癌变组织中, 成为一种吸收剂, 吸收红外照射光的能量, 加热肿瘤癌细胞, 并将它们杀死。纳米微粒的开发还刚刚起步, 它们进入人体后可能产生什么毒性, 它们是否能够对于特定的器官或者癌细胞等起作用, 以及这些微粒与光相结合是否还可以开发出其他生物医学应用, 这些都有待于进一步的研究。

## 17.5 光热疗的基本原理

光热疗 (包括激光热疗) 的原理就是将光子的能量转变为生物组织物质相的吸收能量。这种能量转变主要表现为组织温度的非均匀上升, 从而导致一系列热力学过程, 利用这些过程可以产生光热凝固和组织消融等治疗作用。还有一种应用是利用组织吸收的光能量激活某些内源性或外源性光敏剂, 从而选择性地诱发某些光化学反应, 这称为光动力疗法 (Photo Dynamic Therapy, PDT)。

光 (包括激光) 与生物组织之间的相互作用其实是光学过程与热力学过程的结合, 图 17.13 概括了这些作用过程。光照射在生物组织上时, 光子进入组织, 光的能量就在组织中扩散。这种能量扩散的分布与生物组织的散射、吸收和折射等光学特性有关。其中一部分光能被组织吸收, 并转变为热能, 使入射光成为一种分布式热源。此热源会引发不均匀的热传输过程, 使组织升温, 通过热的传导、对流和辐射等作用机制, 在组织中形成与时间和空间相关的温度分布。这种温度分布的结构取决于组织的传导率、热容量、对流系数和辐射系数等热特性。

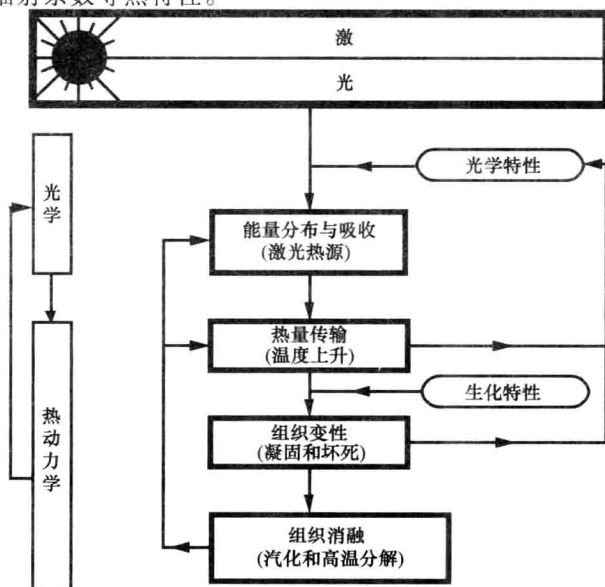


图 17.13 光与生物组织的热作用过程中光—热—化学变化的流程图

随着热量在生物组织中的不断积累和传输，组织的温度会达到某个阈值，超过这个阈值之后，就会引发不可逆的热损伤。热损伤会导致酶和蛋白质的变性，从而发生组织凝固，并最终致使细胞坏死。这种热化学损伤同时使生物组织的各种特性，尤其是光学特性，开始产生变化。组织特性的变化反过来又会影响组织的光能吸收和分布过程。

这些过程进一步发展下去，就会引发组织消融。也就是，随着局部温度的持续上升，达到另一个阈值，如果此时的热量积累速度继续大于组织传输热能的速度，那么，就会引发组织水分的猛烈汽化，并伴随大分子的高温分解，从而导致组织消融，也就是组织切除。

本节将介绍光加热生物组织至消融的热力学过程，并且描述这个过程的各种控制方程。首先，讲述热传导方程及其通用边界条件和初始条件；然后，再介绍用于定量分析生物不可逆热损伤的 Arrhenius-Henriques 模型。

17.5.1 光/激光加热过程中的温度场

本章 17.2 节已经介绍过生物组织等介质吸收光能的过程。受到照射的物体以速率  $Q_L$  吸收光能之后，立即会形成向各个不同方向传播的热能流量。由于入射光束存在沿径向变化的光强分布以及轴向的光吸收， $Q_L$  在这两个方向上的分布都不均匀。下面推导物体物质相的能量变化率平衡方程。

假设图 17.14 所示是受到光/激光照射的物体中的一个无限小单元，该单元的热能储存速率  $U$  取决于输入热流与输出热流之差，设光能的吸收率为  $Q_L$ ，其他各种能量变化率之和用  $Q_o$  表示。单元的流入与流出热流之差的极限等于热流矢量散度的负值。于是，物体单元的能量变化率平衡方程可以写为

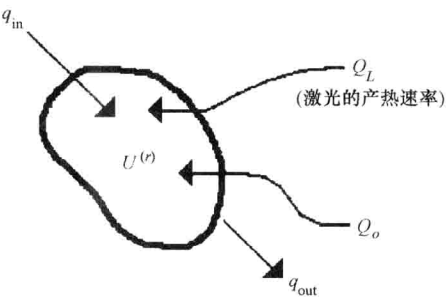


图 17.14 物质相无限小控制体积单元中的热流和能量

$$\partial U / \partial t = - \vec{\nabla} \cdot \vec{q} + Q_L + Q_o \tag{17.69}$$

式中  $\vec{\nabla} \cdot \vec{q}$ ——热流的变化量。

热能的状态方程为

$$U = \rho c^T \tag{17.70}$$

式中  $T$ ——热力学温度，单位为 K；

$\rho$ ——质量密度，单位为  $\text{kg}/\text{m}^3$ ；

$C$ ——物质的比热，单位为  $\text{J}/(\text{kg} \cdot \text{K})$ 。

与光子相的推导过程一样，此处也需要一个热流的唯象方程。常用的方程就是 Fourier 定律，即

$$\vec{q} = - \kappa \vec{\nabla} T \tag{17.71}$$

式中  $\kappa$ ——物质的热导率，单位为  $\text{W}/(\text{m} \cdot \text{K})$ 。



将式 (17.71) 和式 (17.70) 代入式 (17.69), 就得到热传导方程

$$\partial(\rho CT)/\partial t = \vec{\nabla} \cdot \kappa \vec{\nabla} T + Q_L + Q_o \quad (17.72)$$

结合适当的初始条件和边界条件就可以求解此方程, 从理论上估算激光照射生物组织时所形成的温度分布。

生物组织的其他能量变化率  $Q_o$  可以写为

$$Q_o = Q_b + Q_m \quad (17.73)$$

式中  $Q_b$ ——血液流动带走热量的速率;

$Q_m$ ——新陈代谢产生热量的速率。

这两项热量变化此处可以忽略不计。除了长时间低功率激光治疗等应用以外, 一般, 这两项数值比激光热源产生的  $Q_L$  小得多。

很多生物组织 (包括人体组织) 的物质特性  $\kappa$  和  $\rho C$  的值都已测定。通常这些参数与温度和水分有关, 这是式 (17.72) 成为非线性方程的因素之一。还有一个非线性因素就是与温度相关的光学特性, 一旦存在, 它将起主导作用。

### 17.5.2 组织的热凝固和坏死——热损伤模型

定量描述热变性过程的模型最早出现于 20 世纪 40 年代。早期的研究应用单因素动力学速率模型, 将凝固、变性和坏死等与生物组织热损伤相关的各种不可逆生化过程结合起来, 粗略地用单个方程来描述。并且, 定义了一个无量纲函数  $\Omega$ , 作为描述组织损伤程度的特征参数, 该模型假设函数  $\Omega$  的变化率遵循 Arrhenius 关系式, 即

$$\frac{d\Omega}{dt} = A \exp\left(-\frac{E}{RT}\right) \quad (17.74)$$

式中  $R$ ——普适气体常数, 单位为 cal/mole;

$T$ ——热力学温度, 单位为 K;

$A$  和  $E$ ——实验测定的常数, 单位分别为 1/s 和 cal/mol。

将式 (17.74) 重排并积分, 可以得到时间段  $t$  上积累的总损伤量, 即

$$\Omega = A \int_0^t \exp\left(-\frac{E}{RT}\right) dt \quad (17.75)$$

根据猪皮肤实验的结果, 如果将  $\Omega = 1.0$  作为皮肤完全坏死,  $\Omega = 0.53$  作为不可逆损伤的阈值, 那么, 常数  $A$  和  $E$  的值分别为:  $A = 3.1 \times 10^{98} \text{ s}^{-1}$ ,  $E = 150000 \text{ cal/mol}$ 。与这些值相对应的温度阈值大约为  $45^\circ\text{C}$ 。除了猪皮肤以外, 其他生物组织的有关参数值也已有报道。例如, 对于人体动脉血管壁,  $A$  和  $E$  的值分别为  $A = 4.1 \times 10^{44} \text{ s}^{-1}$ ,  $E = 74000 \text{ cal/mol}$ 。与这些值相对应的  $\Omega = 1.0$  定义为组织学分析可以测得凝固损伤时的阈值。应该注意, 凝固就是胶原蛋白变性, 是与皮肤烧伤不同的一种损伤。

根据热传导方程 (17.72) 求解得到温度场之后, 再代入式 (17.75), 就可以估算生物组织中各点的积累损伤。所谓的温度场就是描述组织中每一点温度变化的数据。

### 17.5.3 光热消融

激光照射下的生物组织, 其温度并不能持续地无限上升。当温度上升到某个阈值之



后，如果光/激光产生的热积累速率仍然继续大于热传输机制可以传送的速率，那么，就会发生组织水分的剧烈汽化，结果形成空泡，随后在更高的温度下产生分解。组织剧烈汽化、空泡化和大分子高温分解的整个过程就是“光/激光消融过程”。这是激光手术切除生物组织的主要机理。

生物组织通常都含有大量水分，这说明消融过程的主导部分就是剧烈的汽化过程。因此，下面对高温分解只做简单介绍，主要讲述汽化过程。首先，将消融问题作为一个具有移动边界的非线性数学问题，推导消融界面上的能量平衡方程；然后，在结束时再提一下高温分解问题。

消融界面的能量平衡方程介绍如下。

热传导方程独自并不能用于计算组织消融前沿随时间变化的动态过程。实际上，消融前沿的移动会影响热传导过程。因此，必须建立消融前沿的能量平衡方程，才能计算其移动过程及其对于温度场的影响。

假设图 17.15 所示是光照射下的生物组织中的某个单元，它具有单位截面积，厚度为  $\Delta s$ ，并且，其温度达到了消融阈值，在接下来的  $\Delta t$  时间内就会产生汽化。那么，利用式 (17.71) 表示的热流 Fourier 定律，经过数学推导，可以得到如下消融边界上的能量平衡方程：

$$\kappa \frac{\partial T(s,t)}{\partial z} = \rho f_L L \frac{ds}{dt}$$

(17.76)

式中  $f_L$ ——水的含量系数。

可见，此方程是一个非线性方程，方程中的消融表面温度梯度与消融前沿位置的变化率相关，而后者事先是未知的。求解此方程需要用迭代方法，并且，要在适当的边界条件和初始条件下，同时求解热传导方程和消融前沿能量平衡方程。

式 (17.76) 是描述消融的热力学动态过程的基础，结合适当的边界条件和初始条件，将其与热传导方程一起求解之后，就可以估算消融前沿的位置及其移动速度。并且，还可以获得如下所述的有关生物组织内部温度分布的重要信息。

注意，在消融进行过程中，式 (17.76) 右边的  $ds/dt$  项总是正的，这意味着方程左边的温度项  $\partial T/\partial z$  也一定为正。因此，组织表面下方的温度一定高于表面温度。也就是，表面以下组织必定被加热到比表面消融温度更高的温度，这样，组织表面就可以获得来自下方的热能供给，使消融过程得以进行。这与热力学第二定律的一种推论是一致的，该推论表明热只能从温度较高处传向温度较低处。实际上，高于消融阈值的温度将表面下方

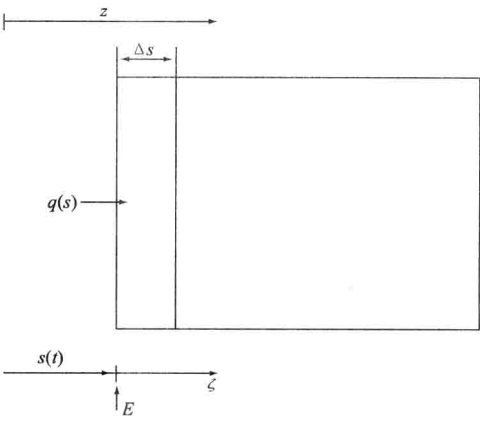


图 17.15 厚为  $\Delta s$  的小块生物组织消融时所需的能量（即消融界面上的能量平衡）

的组织置于一种亚平衡状态, 这种状态受到内部组织状况的干扰, 使得表面以下的组织开始出现成核现象并汽化, 从而突破并撕裂组织。应该注意, 消融过程的启动包括了许多非平衡成核过程, 上述方法并没有考虑这些过程。

#### 17.5.4 纯吸收介质中光加热方程的解析解

以上 17.5.3 节讲述了光消融的控制方程。本节将这些控制方程用于一维半无限大纯吸收介质。消融前加热时期的控制方程可以写为

$$\frac{\partial \rho c T}{\partial t} = \frac{\partial^2 T}{\partial z^2} + \mu_a I e^{-\mu_a z} \quad (17.77)$$

式中  $\mu_a$ ——吸收系数。

在组织消融发生之前, 也就是表面温度达到消融的阈值温度  $T_{ab}$  之前, 此方程成立。这里不分析消融过程的细节。

20 世纪 70 年代末, 有人求解了一个轴对称三维无量纲的热传导方程, 该方程描述消融前吸收介质中高斯分布激光束的加热过程。如下这些关系式可以将控制方程转化为无量纲活动坐标系下的方程

$$\theta = \frac{T - T_0}{T_{ab} - T_0}, \quad \xi = (I_0 c / kL) z, \quad \tau = (I_0 c / kL) (I_0 / \rho L) t \quad (17.78)$$

式中  $\theta$ ——无量纲温度;

$\xi$ ——无量纲活动坐标, 其原点定为消融前沿;

$\tau$ ——无量纲时间。

$B$  为无量纲吸收参数,  $\lambda$  为无量纲加热参数。其参数定义为

$$B = (kL / I_0 c) \alpha$$

$$\lambda = c (T_{ab} - T_0) / L \quad (17.79)$$

利用空间变量  $\xi$  的拉普拉斯变换, 可以求得无量纲控制方程的解析解, 该解如下

$$\theta(\xi, \tau) = \frac{1}{B\lambda} \left\{ 2B\sqrt{\tau} \operatorname{ierfc} \left[ \frac{\xi}{2\sqrt{\tau}} \right] - e^{B\xi} + \frac{1}{2} e^{B^2\tau} \left( e^{-B\xi} \operatorname{erfc} \left[ B\sqrt{\tau} - \frac{\xi}{2\sqrt{\tau}} \right] + e^{B\xi} \operatorname{erfc} \left[ B\sqrt{\tau} + \frac{\xi}{2\sqrt{\tau}} \right] \right) \right\} \quad (17.80)$$

此式表明温度场是无量纲空间变量  $\xi$  和无量纲时间变量  $\tau$  的函数。消融的起始对应于  $\theta = 1$ , 在此之前, 上式成立。符号  $\operatorname{ierfc}$  表示函数  $\operatorname{erfc}$  的积分, 即  $\operatorname{ierfc}(z) = \int_z^\infty \operatorname{erfc}(t) dt$ 。使用简便易学的 MATLAB 等计算机软件工具, 可以方便地求解方程 (17.80)。图 17.16 显示了该方程的一组解, 这些曲线表示了不同时刻下温度分布随深度变化的情况。

令式 (17.78) 中  $\xi = 0$  处有  $\theta = 1$  (即  $T = T_{ab}$ ), 就可以得到如下超越代数方程:

$$B\lambda = \frac{2}{\sqrt{\pi}} B \sqrt{\tau_{ab}} + e^{B^2\tau_{ab}} \operatorname{erfc} [B\sqrt{\tau_{ab}}] - 1 \quad (17.81)$$

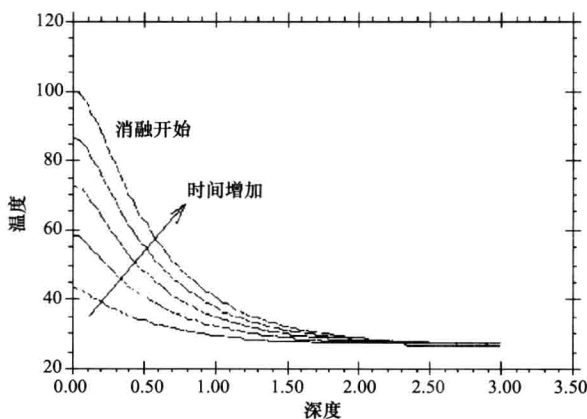


图 17.16 消融发生前各个不同时刻无量纲温度随无量纲深度变化的曲线

用数值方法求解此方程, 可以得到消融发生的起始时刻  $\tau_{ab}$ 。注意, 对于较大的  $BA$  值, 此方程接近线性, 斜率为  $\frac{2}{\sqrt{\pi}}$ 。

这里的分析没有考虑组织的散射效应。应用 17.2 节介绍的漫射近似法可以求得  $Q_L$  的解析解。但是, 如果将该  $Q_L$  解代入式 (17.72) 来解析求解温度分布, 那是非常麻烦的。因此, 温度场的求解通常用有限差分或有限元等数值方法。

### 17.5.5 生化损伤的分析

前面介绍过预测组织损伤的 Arrhenius 模型, 并在 17.5.2 节中定义了损伤方程。由于式 (17.75) 中参数  $A$  和  $E$  的值非常大, 因此, 数值计算时, 将此式的积分写成如下等价形式比较方便:

$$\Omega(z, t) = \int_0^t \exp\left(\ln A - \frac{E}{RT(z, t)}\right) dt \quad (17.82)$$

前面已提到过两组  $A$  和  $E$  数值, 一组是猪皮肤的数据, 另一组是人体血管壁的数据。如果将上一节求得的  $T(z, t)$  的解析解代入上式, 就可以计算  $\Omega(z, t)$  的值。消融前的解只能用于消融发生之前, 消融发生之后就要用消融时期的解。

将式 (17.82) 左边的  $\Omega$  设为 1, 并求解  $z$ , 就可以得到任意给定时刻  $t$  下, 组织损伤的范围, 也就是损伤前沿的位置。或者, 对于任意给定的位点  $z$ , 按照可控的变时间步长求式 (17.82) 的积分, 直到  $\Omega = 1$  为止。用这种方法可以计算损伤前沿位置随时间变化的曲线。在计算过程中, 根据积分上限和下限值之差来控制积分时间步长的变动。例如, 假设光源是持续时间为 500ms 的 5W 激光脉冲光源, 分别用猪皮肤和人体血管壁的  $A$  和  $E$  数据, 那么, 用上述方法计算得到的消融前沿位置随时间变化的曲线如图 17.17 所示。详细内容此处不作介绍。

图中 0.0035s 左右的垂直线表示消融起始时刻, 可见在消融开始之前, 组织已受到

生化损伤。消融开始之后,生化损伤前沿与消融前沿之差就表示组织的实际损伤厚度。重要的是,由图中可见,根据 2 组不同的  $A$  和  $E$  数据计算得到的损伤厚度之间存在差别。显然,在同样的光照条件下,热损伤在皮肤中的推进速度比在血管壁中要快,这是因为血管壁和皮肤的损伤机制有所不同。

### 例 17.9

假设用温度为  $T$  的恒温光源加热皮肤,如果光照持续时间分别设为  $t =$

$1\mu\text{s}$ ,  $t = 1\text{ms}$ ,  $t = 1\text{s}$ ,  $t = 60\text{s}$  和  $t = 30\text{min}$ ,那么,要在光照期间使组织达到热损伤(即  $\Omega = 1$ ),所需的加热温度至少应该分别设为多少?也就是求临界加热温度  $T_c$ (单位为  $^{\circ}\text{C}$ )。请列表显示  $T_c$  随光照持续时间变化的各个数据。

解:

给定光照持续时间  $t = 1\mu\text{s}$ 、 $1\text{ms}$ 、 $1\text{s}$ 、 $60\text{s}$  和  $30\text{min}$ ,普适气体常数  $R = 2\text{cal/gm} \cdot ^{\circ}\text{C}$ ,现在计算各个  $t$  值下  $\Omega = 1$  时的临界温度  $T_c$ 。

假设使用猪皮肤组织的  $A$  和  $E$  数据,分别约为 102.72 和 74000,则有

$$\Omega(z, t) = \int_0^t \exp(\ln A - E/(RT(z, t))) dt$$

$$\therefore 1 = \int_0^t \exp(\ln A - E/(RT_c)) dt$$

$$\therefore 1 = \int_0^t \exp(102.72 - 74000/(2 \times T_c)) dt \quad (\text{ex. 1})$$

$$\therefore 1 = \exp(102.72 - 74000/(2 \times T_c)) \int_0^t dt \quad (\text{ex. 2})$$

$$\therefore 1 = \exp(102.72 - 74000/(2 \times T_c)) t \quad (\text{ex. 3})$$

求解式 (ex. 3), 就可以得到对应于任意光照持续时间  $t$  的  $T_c$  值。部分  $t$  和  $T_c$  的对应数据列表如下:

光照持续时间/s	临界温度 $T_c/^{\circ}\text{C}$
$1\text{e}^{-6}$	143.1548
$1\text{e}^{-3}$	113.153
1	87.2
60	74.56
1800	72

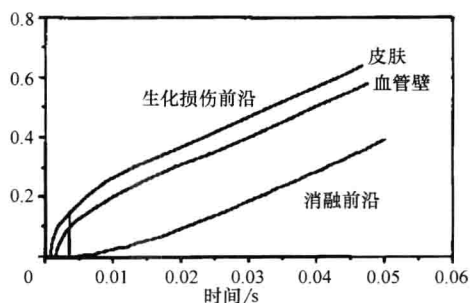


图 17.17 损伤前沿随时间的变化过程

17.5.6 汽化效应和消融温度

前面 17.5.3 节讲述消融的能量平衡方程时曾经引入了水的含量系数  $f_L$ 。除了汽化作用以外，该系数对于表面成核现象造成的物质排出也有影响。如前所述，不经过汽化，物质块也可以通过高温分解排出。由于高温分解需要更高的消融阈值温度，消耗更多的能量，因此，高温分解是影响消融速度的另一个因素。

本章不介绍消融问题的全解，不过，通过消融速度的稳态解，我们可以了解上述现象对于消融速度的影响。稳态解的方程可以直接推导得到，为

$$v_{ss} = \frac{I}{\rho c \Delta T_{ab} + \rho f_L L}$$

(17.83)

给定  $I$ 、 $\rho$ 、 $c$  和  $L$  的值，就可以计算参数  $f_L$  和  $\Delta T_{ab}$  对于  $v_{ss}$  的影响。例如，根据水的物理性质， $I$  定为  $267.8\text{W/cm}^2$ ，于是，当  $\Delta T_{ab} = 100^\circ\text{C}$  且  $f_L = 1$  时， $v_{ss} = 1\text{mm/s}$ 。图 17.18 显示了  $f_L$  从 0.01 变化到 1.0 时，消融温度对于消融速度的影响。无论是消融温度的上升还是  $f_L$  值的增加都会使消融速度减小，这从式 (17.83) 就可以看出。但是，显然  $f_L$  值越大，消融温度对于消融速度的影响就越小。例如，当  $f_L = 0.1$  时，如果温度从  $100^\circ\text{C}$  变到  $500^\circ\text{C}$ ，消融速度就从  $4\text{mm/s}$  降为  $1.15\text{mm/s}$ ；然而，当  $f_L = 0.8$  时，对于同样的温度变化范围，消融速度只有  $1.20\text{mm/s}$  到  $0.69\text{mm/s}$  的变化。因此，如果  $f_L$  表示组织中的水含量，那么，只有低水分（如 30% 以下）的组织才需要考虑消融温度的升高会降低消融速度。根据图 17.18 中各个不同  $f_L$  值对应的消融速度曲线上  $\Delta T_{ab} = 200^\circ\text{C}$  处的数据，可以作出图 17.19 所示的消融速度随  $f_L$  变化的曲线，图中的  $f_L$  取值个数比图 17.18 多。

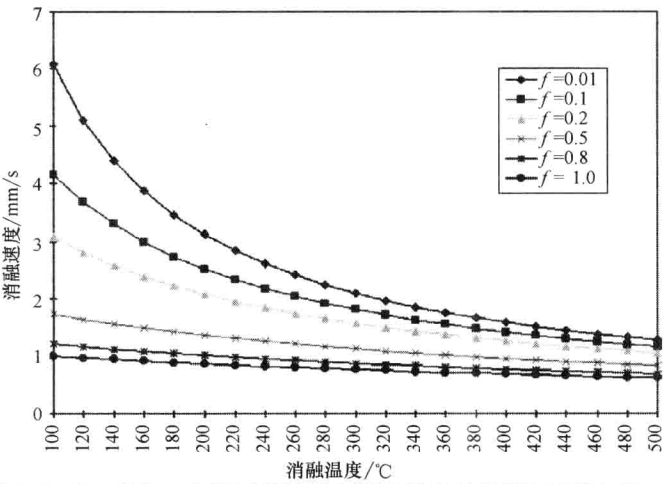
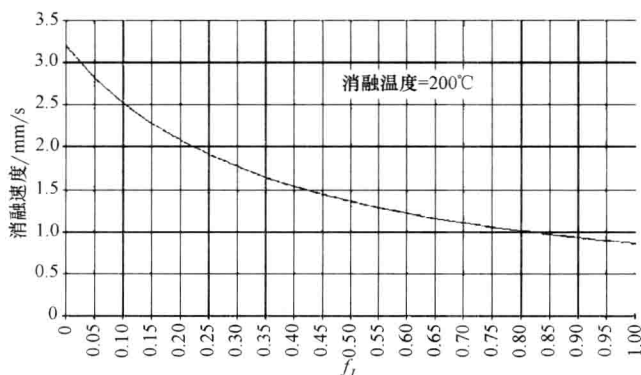


图 17.18 各种水分不同的组织中消融温度对于消融速度的影响

由图 17.19 可知， $\Delta T_{ab} = 200^\circ\text{C}$  时，当  $f_L$  从 0 变化到 1 时，消融速度则从  $3.2\text{mm/s}$  变化到  $0.86\text{mm/s}$ ；也就是，消融速度可以超过其在  $f_L = 1.0$  处值的 3 倍。图 17.18 的各条曲线在较高的消融温度处，相互之间靠得比较近，这表明消融温度越高， $f_L$  值的变化对于消融速度的影响就越小。

图 17.19 水分含量系数  $f_L$  对于消融速度的影响

## 17.6 光纤和波导在医学中的应用

早在耶稣基督诞生之前数百年，人类就已经使用各种刚性导管检查人体内部。但是，直到 19 世纪，人们才在导管内加上了照明，也就是，用  $45^\circ$  反射镜将烛光投射到导管内。20 世纪初出现用于图像传输的多透镜之后，产生了可以插入人体的半柔性导管。20 世纪 20 年代末又出现了用透明细玻璃丝制作的光纤探头，但这种探头被搁置了 20 多年，在 20 世纪 50 年代才开始受到广泛关注。1959 年有人研制出了第一台基于光纤技术的医学仪器，并用于临床病人的诊断，这就是柔性光纤胃窥镜。20 世纪 60 年代又诞生了激光器，20 世纪 70 年代初光纤在通讯领域的应用迅速发展。所有这些进展推动了如今在医学领域广泛使用的光纤探头和内窥镜技术的发展。

### 17.6.1 光纤和波导的基本原理

本章 17.2.1 节讲述了光在介质中的几何传播。当时，我们将光看作光“线”，推导了 Fresnel 方程，用于描述光束在两种物质交界面上的相互作用。结果表明，随着两种物质折射率的变化，以及光线入射角的变化，交界面上反射光和折射光的量也会发生变化。虽然本节将介绍的光纤中光的传输问题很复杂，不过，这种传输也可以用简单的几何模型来解释。如图 17.20 所示，将光纤看作一根透明的细丝，假设光纤纤芯的折射率为  $n_1$ ，其圆柱形外壳材料（即包层）的折射率为  $n_2$ ，且  $n_1 > n_2$ ，那么，根据 Snell 折射定理，当光线在纤芯与包层交界面处的入射角大于某个临界角时，光在此界面上就会发生全内反射，这样，光线就会沿着纤芯传播。为了使光线在纤芯与包层界面处能够发生全反射，入射光在光纤端面相对于芯轴的入射角，必须在某个锥度范围之内，该锥度角的最大值  $\theta_0$  定义为

$$n_0 \sin(\theta_0) = (n_1^2 - n_2^2)^{1/2} = \text{NA} \quad (17.84)$$

此式也是数值孔径 NA 的定义。硅光纤的 NA 通常为  $0.2 \sim 0.4$ 。由此式可见，增加纤芯

折射率与包层折射率之间的差别，可以增大 NA 值，也就可以增大光纤接收入射光的锥度角。NA 和接收锥度角越大，光纤能够传输的具有不同反射角的光线就越多，也就是传输模式越多，每种传输模式具有不同的光束折线路径。如果纤芯直径很小，那么，光纤就只能产生单一的传输模式。

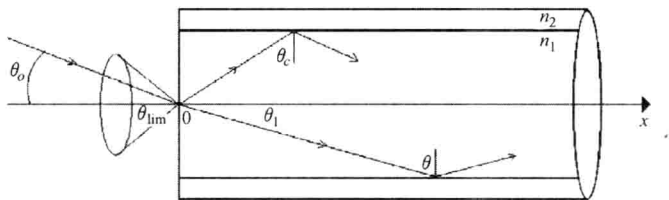


图 17.20 光纤的基本传输模式（其中圆柱形纤芯的折射率为  $n_1$ ，包层的折射率为  $n_2$ ，且  $n_1 > n_2$ ）

为了满足不同的应用需求，光纤产品具有各种不同的结构、形状和材质。例如，用于前列腺组织凝固等治疗的光纤，其尖端被加工成可以产生侧射（side-firing）光束。光纤尖端还可以做成逐渐缩小的锥形，提供点光束；也可以做成发散的尖端，提供均匀的大面积光照。一般，按照纤芯折射率分布的不同，以及单模式还是多模式传输，可以将光纤分成各种不同的类型。例如，如图 17.21 所示，如果整条光纤纤芯的折射率为恒定不变的常数，那么这种光纤称为阶跃型光纤（step-index fiber）；如果光纤的折射率不是常数，而是从纤芯中心到包层界面呈抛物线分布，中心折射率高，边缘折射率低，那么这种光纤称为梯度型光纤（graded-index fiber）；如果光纤纤芯很细，NA 值很小，那么就是单模光纤（single-mode）。与粗细相当的阶跃型光纤相比，梯度型光纤可以将模式色散减小到百分之一，并增加带宽。这是常用光纤的分类法，除此之外，有时还用到某些特殊结构的光纤，例如，下面将介绍的用于内窥镜成像的相干光纤束、用于检测和诊断的单光纤或非相干光纤束以及用于治疗的高功率光纤等。

关于光纤材料，需要考虑波长、功率和生物相容性这三方面问题。治疗时，无论是使用连续激光还是脉冲激光，都要考虑光纤对于激光功率的影响。光纤中含有的杂质会吸收光能，一方面减少到达探头出口的检测光的能量，另一方面还会加热光纤，致使光纤受损。除了杂质以外，光纤材料本身可能只适用于某些波长的光，不能用于其他波长的光。例如，标准硅（即玻璃纤维）可以很好地传输可见光波长范围内的光，但却会吸收波长大于  $2.0\mu\text{m}$  的光，因此，不能用于红外线的传输。其他光纤，如锗、蓝宝石、氟化钡和空芯波导（如镀金光纤）等，则在可见光和红外区域都可以使用。但是，如果用于人体，除了上述问题以外，还需要考虑光纤的许多其他问题，如不能太硬，不能有较强的吸湿性（即溶于水），更不能有毒。因此，光纤材料的生物相容性很重要，必须对人体无毒，在体内必须能够正常工作，不能被溶解或者断裂。

17.6.2 光纤传像束

将很多根光纤的两端按照一定的规则排列起来，组成一束，就可以做成光纤传像

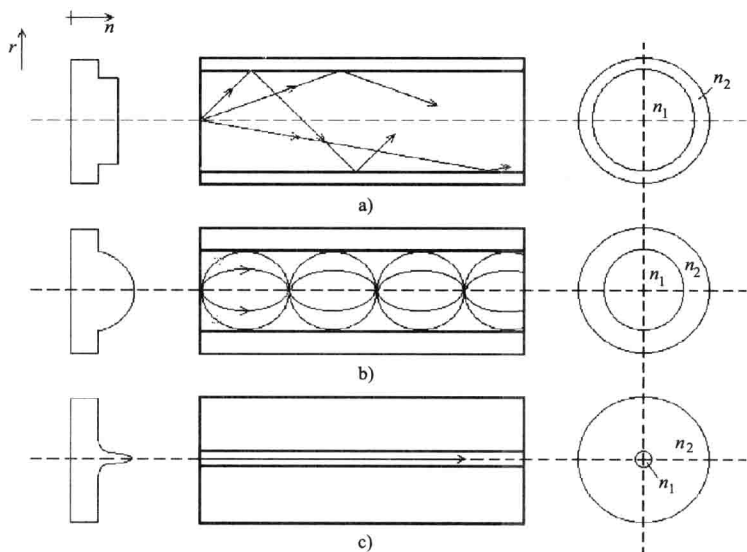


图 17.21 光纤的主要类型

a) 阶跃型光纤 b) 梯度型光纤 c) 单模光纤

束。其中，每根光纤在两个端头的位置都必须严格一一对应，而中间部分则可以松散，这样就构成了既柔软又可以任意弯曲的有序排列的传像束。如果将图像投射到传像束的一端，那么，在其另一端就可以得到同样的图像。光纤传像束是内窥镜的关键部件。

内窥镜可以通过尽可能小的创口，将体内器官的图像传输到体外。使用时，用一束普通的无序排列光纤束将光源导入，照亮体内需成像的部分，同时用一束光纤传像束将图像传输出来。一般用白光光源照明，这样就可以得到具有真彩色的人体组织图像。

采光量和图像分辨率是决定传像束图像传输质量的两个主要因素。每根光纤能够采集到的光的功率大小由纤芯的直径和数值孔径 NA 决定。纤芯直径和 NA 值较大，采集到的光强就大，医生就能够较好地观察到体内被照明物体的图像。图像分辨率代表所呈现的物体的细节程度，它由每根光纤纤芯的直径  $d$  决定。传像束能够分辨的最小细节约等于  $d/2$ 。分辨率定义为每毫米能够分辨出来的线条数目。因此，纤芯的直径越小，分辨率就越高。由于受到分辨率的限制，物体上的直线在图像中可能呈现为 Z 字形折线。

传像束中的每根光纤都必须有包层，用于尽可能减小和消除光纤之间的串扰。早期的内窥镜采用没有包层的光纤，成像质量就很差。无包层光纤中传输的光线会从纤芯中逸出，并进入其他光纤，这种串扰会引起图像不同部分的重叠，使图像模糊不清。

采光量大和图像分辨率高这两个要求之间存在矛盾。纤芯直径越大，传输的光就多，但分辨率却低。另外，如果涂上较厚的包层，虽然可以避免不同光纤之间的串扰，但却限制了采光量和图像分辨率。因此，实际应用中要权衡利弊。常用的光纤纤芯直径是  $10 \sim 20 \mu\text{m}$ ，包层厚为  $1.5 \sim 2.5 \mu\text{m}$  数量级。

其他一些因素也会影响光纤传像束的成像质量，例如：某些偏离的光线会穿过包层



进入其他光纤的纤芯, 这些光线叠加起来形成了背景噪声, 从而降低了图像的对比度。传像束中有缺陷光纤的存在会产生更严重的问题, 如果某根光纤坏了, 不能传输光线, 那么图像中就会出现一个固定不变的暗点。另外, 如果各个光纤在两端的排列不是严格对应, 那么, 图像就会变形。

光纤传像束的两端都可以加上透镜, 用于调节放大倍数。虽然原理上可以通过调节物镜与光纤束之间的距离来改变传像束的聚焦, 但是, 为了简便, 通常使用景深较大的固定焦距。另外, 显示在监视器上的图像可以用 VCR 实时记录下来。

如今市场上已经有很多种专用光纤内窥镜产品, 可以用于各种不同人体器官的成像, 例如: 静脉和动脉血管镜、关节内窥镜、支气管内窥镜、胆管镜, 结肠镜、阴道镜、膀胱镜、食管镜、肠胃镜、腹腔镜、喉镜和脑室镜等。

### 17.6.3 光纤检测探头

在人体微创检测领域, 光纤探头是 20 世纪 80 年代之后才发展起来的一种新兴技术。为了了解这种探头的应用前景, 我们先来回顾一下传感器的定义及其性能要求。传感器是将某种输入参量 (即被测量) 转化成另一种参量 (即所谓的信号) 的器件。例如, 通过光纤探头尖端上薄膜的位移, 可以将压力信号转化为光强信号, 而光强信号又可以由光探测器变成电压信号。衡量传感器性能的指标有: 特异性, 也就是在不受其他参量干扰的情况下, 检测出某种特定参量的能力; 灵敏度, 也就是测出给定被测量微小变化的能力; 准确度, 也就是测量值与真实值之间的接近程度; 另外, 还有成本要低。与一般传感器相同, 光纤传感器的应用也需要在一定限制条件下权衡利弊。例如, 在合理的成本下可以得到 95% 的准确度, 但要达到 99% 的准确度, 就像军用技术规格所要求的那样, 那么, 成本就可能大大增加。光纤探头有很多优点, 如: 体积小, 速度快 (因为光速很快), 可见光和近红外波长的探头生物相容性好, 并且安全 (人体不需要电气连接)。

各种光纤探头使用时, 都要先将光传入体内, 光与体液和生物组织、或者体内压力、体温等产生直接或间接的相互作用, 从而引起光束的改变, 变化了的光束再反传回检测系统。输入光束和输出光束可以通过各自独立的光纤传输。如果输入和输出光束的波长不同, 也可以用同一根光纤传输, 荧光光纤探头就是如此。光纤传感器可以用于本章 17.3 节和 17.4 节所介绍的各种化学和物理参量的测量。不过, 这里我们不逐一介绍各种光纤探头的具体应用例子, 而是将光纤探头分为直接和间接两大类来介绍。

直接光纤传感器中, 光直接与被测样本产生作用。例如, 理论上, 通过测量样本的光吸收, 可以检测血氧含量等参量, 定量分析血样。图 17.22a 所示的相距间隔固定的两根侧射光纤, 或者图 17.22b 所示的渐逝波光纤都可以用于这类检测。渐逝波光纤的部分包层被剥去, 这样, 沿着纤芯传导的部分光线就会跑出光纤, 与样本发生作用, 然后再返回光纤的纤芯 (参见第 10 章)。图 17.22c 所示是另一种直接测量方法, 它利用生物组织的自发荧光 (即 Raman 光谱) 进行检测。其中的光纤束同时将输入光传送给组织, 并将组织发射的荧光接收回来, 用于早期癌症的癌变组织诊断。本章 17.3.3 节

介绍的 Fabry-Perot 干涉仪等各种干涉仪也可以通过半反射镜与光纤相结合, 这样, 由体内温度或者压力等变化引起的各种光纤参量的物理变化, 就可以通过光干涉条纹的变化直接测量出来。最后, 本章 17.2.3 节所述的利用光纤探头测量生物组织光学特性的方法也是一种直接测量样本反射光的方法。注意, 这里只是简单介绍各种光纤探头的原理, 实际应用中, 需要在人体噪声环境下检测各种微弱信号, 必须经过大量设计工作, 才能使光纤探头达到所需的特异性、准确度和灵敏度。

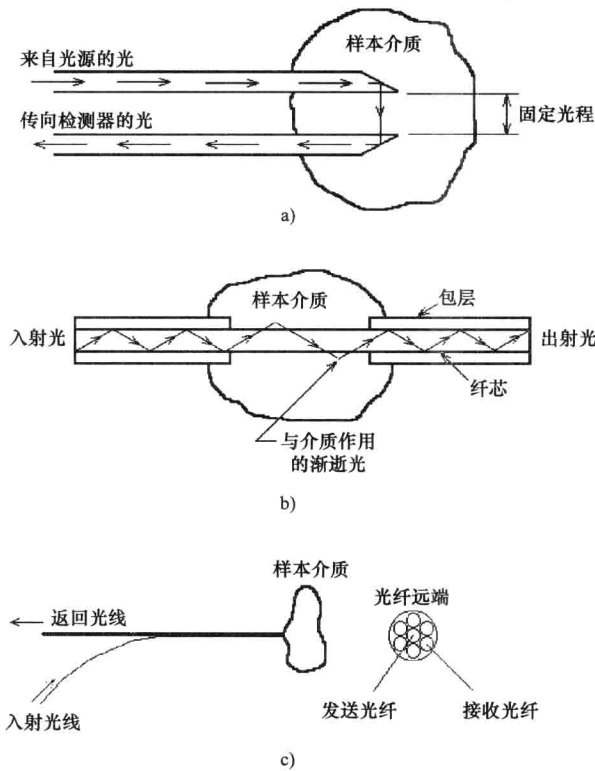


图 17.22 直接测量型光纤探头

- a) 使用侧射光的吸收型探头 b) 渐逝波探头 (其中的光线从纤芯传到样本, 再从样本传回纤芯)  
c) 直接测量生物组织自发荧光 (即 Raman 光谱) 的多光纤探头, 可用于鉴别正常组织和癌变组织

间接光纤的检测通过安装在光纤远端的一种微型传感器进行测量, 这种光纤有时被称为光极 (optode)。光极中的光与微传感器产生相互作用, 而微传感器再与样本相互作用。例如, 图 17.23a 所示是一种位移光极, 其尖端薄膜产生移动时, 通过反射进入光纤的光就会减少, 于是, 这种光极就可以用于监测压力或者温度的变化。另外, 如图 17.23b 所示, 还可以在光纤远端的薄膜内加入荧光物质, 其产生的荧光强度就可以反映血液中某种特定物质的浓度。这里也只是简单讲述这些间接测量方法的原理, 其实, 达到一定精确和灵敏度要求的实际产品是相当复杂的。总之, 间接光纤测量方法的特异性通常比直接测量方法要高, 但其代价是探头比较复杂。

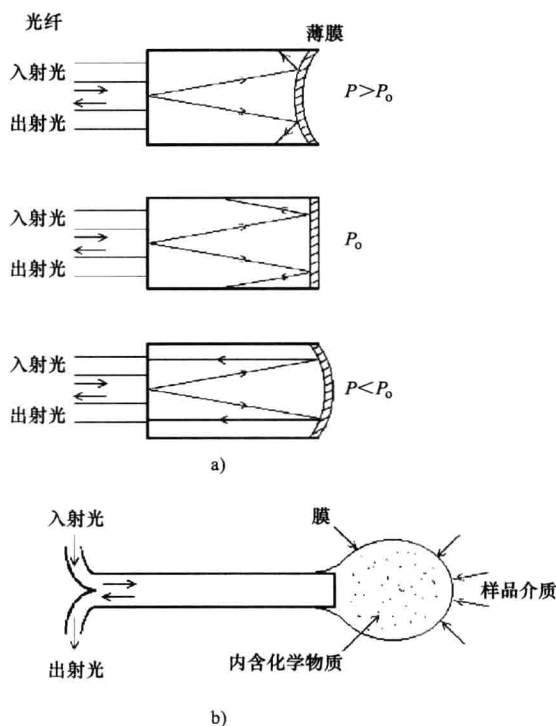


图 17.23 间接测量型光纤探头

a) 用于压力或者温度测量的反射薄膜 b) 光纤远端薄膜内包含某种特殊化学物质的光极，它利用对于待测物具有特异性的荧光物质来测定待测物的浓度

## 17.7 生物医学中的光学成像

近一个世纪以来，医学成像的发展引起了医学领域的彻底变革，使医生能够在无创的情况下清楚地“看见”人体内部的病变并迅速做出诊断，对于疾病的治疗效果具有深刻的影响。

医学成像起源于1895年德国物理学家W. C. Roentgen偶然发现X射线的事件。由于这项重要发现，Roentgen在1901年获得了首届物理学诺贝尔奖（<http://www.almaz.com/nobel/>）。现在我们知道，直接利用X射线投影就可以容易地呈现出人体的解剖结构，如今仍在使用的X射线胸透成像就是一个例子。20世纪70年代计算机断层扫描成像技术（Computerized Tomography, CT）的发明标志着现代化医学成像技术的开始。当时，英国人G. N. Hounsfield基于美国人A. M. Cormack创立的理论，试制了第一台计算机图像重建系统。他们两人于1979年同时获得了诺贝尔医学奖。发明CT的依据是：根据各个不同角度所观察到的物体的信息，可以计算出其截面的图像，这就是图像“重建”原理。

CT 的出现激发了其他各种断层成像新技术,甚至三维成像技术的发展。例如,图像重建技术用于传统核医学成像就产生了正电子发射断层成像 (Positron Emission Tomography, PET) 和单光子发射计算机断层成像 (Single Photon Emission Computed Tomography, SPECT); 而用于核磁共振则产生了磁共振成像 (Magnetic Resonance Imaging, MRI)。

各种不同的成像技术可用于检测生物组织的不同特性。例如, X 射线成像主要检测电子密度; MRI 成像检测的是质子密度及其相关的弛豫特性; 超声成像检测声阻抗; 核成像检测服用放射性药物之后人体发出的核辐射, 并由此反映体内某种特定的生化功能。

各种成像技术都具有各自的优缺点, 下面以乳腺癌检查为例加以说明。乳腺癌是一种最常见的恶性肿瘤, 居美国妇女癌症死亡病因之首。目前还没有发明防止乳腺癌的方法, 早期诊断和治疗是提高其治愈率的最好方法。现在, 临床上常用乳房 X 线摄影和超声成像联合检测乳腺癌。乳房 X 线摄影是目前唯一能够检测出临床上未能触及的乳腺癌的可靠方法。作为辅助工具, 超声检查则用于评价 X 线摄影检测出来的肿块影或者触摸发现的肿块的囊实性, 这在乳房 X 线摄影中很难判断。另外, 乳房 X 线摄影具有电离辐射, 且很难显示致密型乳房中的肿块。高性能乳房 X 线摄影不能显示的许多未能触及的乳腺癌, 超声成像也检测不出来。

其他乳腺癌成像技术也正在开发之中。其中, 磁共振成像 (MRI) 用于致密型乳房的成像具有很好的前景。乳房 MRI 在区别实性和囊性病变上优于乳房 X 线摄影, 在显示不同软组织结构上则与乳房 X 线摄影相当。虽然乳腺癌组织与腺体组织具有相似的磁共振特性, 但是, 通过静脉注射造影剂, 就可以提高 MRI 的癌症检测能力。不过, 乳房 MRI 费用很高, 其空间分辨率低于乳房 X 线摄影, 并且不能显示微钙化组织。也有人使用乳房 CT 扫描来区别良性和恶性肿瘤。但是, 乳房 CT 需要静脉注射碘造影剂, 且空间分辨率较低, 费用较高; 因此, 它不适用于常规乳腺癌筛查。

### 17.7.1 光学断层成像

虽然光的透射成像早在 1929 年就开始应用了, 但是, 非电离辐射的光学断层成像却是一个新兴研究领域。虽然正常生物组织本身的光学特性就存在很大变异, 不过, 正常组织与病变组织的光学特性还是不同的, 可以通过光学特性的检测来诊断某些乳腺癌等病变。

由于癌变组织的细胞结构和亚细胞结构存在明显变化, 并且, 引起弹性散射的细胞成分的大小通常相当于可见光到近红外线波长的数量级, 因此, 癌变组织显然会表现出光学特性的变化。例如, 某些肿瘤会产生血管增生, 其中的血液会增加光吸收量。利用光学造影剂还可以提高正常组织与异常组织之间的成像对比度。由于光学信息取决于生物组织的分子构象, 因此, 光学成像应该能够灵敏地检测和监视早期癌变。

生物组织是具有高散射性的混浊光学介质, 频繁的散射会使组织中的光迅速发散。这种强散射性是生物组织光学检测难以解决的一个问题。一般, 生物组织中, 可见光的散射系数约为  $100\text{cm}^{-1}$ , 用于医学诊断的 X 射线的散射系数约为  $0.2\text{cm}^{-1}$ 。透过生物组织的光可以分为三类: 弹道光 (即直行光)、蛇行光 (即准弹道光) 和漫射光。弹道光

没有经历任何散射,直接穿过组织。就像X射线透射成像一样,弹道光中包含直接的成像信息。蛇行光经历少数散射,包含部分成像信息。在较厚的生物组织中,经历多重散射的漫射光则几乎不含直接的成像信息,反而会干扰弹道光 and 蛇行光。

早期光子成像 (early-photon imaging) 是一种光学断层成像技术。如果将漫射光挡去,只采集弹道光 and 蛇行光,就可以像X射线透视一样检测深藏在介质内的物体。这种技术使用脉冲宽度小于1ps的短脉冲激光照射生物组织。只有最先射出组织的那部分透射光才被允许通过光检测器,随后的透射光用快速时间选通门挡掉。由于弹道光 and 蛇行光通过生物组织时的光程总是比漫射光短,因此,其光子比漫射光子先到达检测器。只检测弹道光的技术称为弹道光成像。研究表明,这种成像技术只能用于厚度小于1.4mm (即平均自由程为42mfp) 的生物组织。文献中报道的一般弹道成像技术只达到约30mfp。因此,这种方法只适用于较薄的组织样本。对于较厚的生物组织,由于组织的强散射效应,弹道光强度和分辨率的损失都很大。

### 例 17.10

请计算弹道光穿过厚度为30mfp生物组织之后的衰减。如果组织的散射系数为 $100\text{cm}^{-1}$ ,请计算相应的厘米厚度。

解:

根据比尔定律,衰减等于  $\exp(-30) = 9.4 \times 10^{-14}$ ;

组织的厘米厚度为  $30/100 = 0.3\text{cm}$ 。 ■

临床检测的乳腺组织厚约5~10cm,必须用散射光成像的方法。研究结果表明,对于吸收系数为 $0.1\text{cm}^{-1}$ 且约化散射系数为 $10\text{cm}^{-1}$ 的5cm厚乳腺组织,检测器必须从至少经历了1100次散射的透射光中采集到足够强的信号,再用于成像。此时透射光中的弹道光 and 蛇行光都几乎荡然无存,因此,不能用这两种光成像。但是,如果将10mW的可见光或近红外激光照射在5cm厚的乳腺组织的一侧,根据漫射理论的计算结果,漫射透射率约为 $10\text{nW}/\text{cm}^2$  (即 $10^{10}$ 光子/ $(\text{s} \cdot \text{cm}^2)$ ) 数量级,这种光强可以用光电倍增管检测,光电倍增管能够实现单光子计数。同理,通过10cm厚乳房组织的漫射透射率约为 $1\text{pW}/\text{cm}^2$  (即 $10^6$ 光子/ $(\text{s} \cdot \text{cm}^2)$ ) 数量级。虽然散射系数较高,但由于吸收系数较低,因此,光的透射率还是比较大。

单纯激光成像的分辨率随着组织厚度的增加线性下降。散射光的时间分布可以用超高速扫描摄像机检测。将该分布的初期部分积分,就可以建立混浊介质中隐藏物体的图像。这种时域成像方法需要昂贵的短脉冲激光器和快速光检测器。

光学相干断层扫描成像技术 (Optical-Coherence Tomography, OCT) 的出现为临床检测提供了一种很有用的工具。这种成像仪实际上是一种使用短相干长度光源的 Michelson 干涉仪 (见图 17.9)。干涉仪的一路光束射向被测样品,另一路光束则射向参考反射镜,光电检测器检测两路光束反射回来的光强。只有当样品臂和参考臂之间的光程差在光源相干长度范围之内时,两束反射光才会产生干涉,这样,就可以检测来自样品不同深度的反射光。OCT 系统采用外差法进行检测,也就是,直接利用多普勒频移效应,通过高速匀速扫描的方法改变参考反射镜的位置,使参考光程的长度产生微小变

化,记录干涉信号幅度随着参考反射镜位置变化的数据,此信号就反映了样品的反射强度,从而可以产生类似于 A 型超声的扫描图像。OCT 的分辨率可以达到  $10\mu\text{m}$ ,但穿透深度仅约为  $1\text{mm}$ 。

最近, OCT 已经扩展到应用多普勒频移效应进行皮肤表层血管的血流成像。血液的流动会引起入射光频率的多普勒频移,将光学干涉信号进行快速傅里叶变换,就可以得到多普勒频移数据,然后,再用此频移数据计算血液的流速。

有一种光学成像方法可用于厚组织,它就是基于光子密度波 (photon-densitywaves) 的频域法。光子密度波的控制方程是如下漫射方程:

$$\partial\Phi(r,t)/c\partial t + \mu_a\Phi(r,t) - D\nabla^2\Phi(r,t) = S(r,t) \quad (17.85)$$

式中  $\Phi(r,t)$ —— $t$  时刻在位点  $r$  处的光能流率,单位为  $\text{W}/\text{cm}^2$ ;

$c$ ——介质中的光速,单位为  $\text{cm}/\text{s}$ ;

$\mu_a$ ——吸收系数,单位为  $\text{cm}^{-1}$ ;

$S(r,t)$ ——光源强度,单位为  $\text{W}/\text{cm}^3$ 。

频域成像技术需要使用复杂的图像重构反变换算法。检测时,从多个不同位置,用调幅激光 (约  $100\text{MHz}$ ) 照射生物组织。并在各个照射位置下,用光检测器在组织周围多个不同位置上测量漫射光的幅度和相位。如果组织的光学特性已知,那么,用式 (17.85) 的漫射方程就可以估算漫射光的测量值。反过来,也可以通过测得的漫射光数据来计算组织的光学特性,这就是图像重建。图 17.24 所示的样本图像就是根据理论计算生成的漫射光数据重建的。

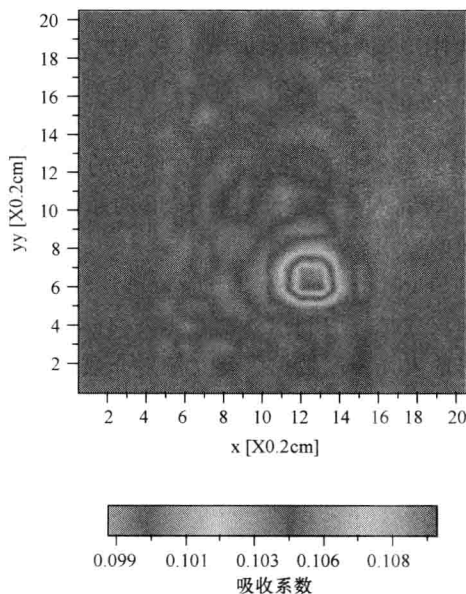


图 17.24 利用光子密度波数据重建的样本图像 (在图像右下方可以看到吸收系数升高的肿瘤组织)

### 17.7.2 光声混合成像技术

目前正在开发的几种新型成像技术将穿透力强的声波与散射光结合起来,产生了所谓的光声混合成像技术。下面简单介绍这类成像技术中的超声调制光学层析成像、光声层析成像和声致发光成像方法。

超声调制光学层析成像技术,利用聚焦在散射介质中的超声波,来调制穿过介质的激光。这些调制激光的特性与介质中超声调制区域的力学特性和光学特性相关。用光电倍增管采集穿过介质的调制激光,如果介质中隐含的物体的特性与散射背景介质不同,那么,通过聚焦超声波的扫描就可以得到该物体的图像。

光声层析成像技术利用短脉冲光束照射散射介质,光束在介质中漫射并被部分吸收。如果介质中存在强吸光物体,如肿瘤,那么,该物体吸收的光会比周围区域多。被吸收的光能转化为热能,吸收物受热膨胀会产生声波。生成的热量越多,产生的声波就越强。因此,较强的吸光物体会发出较强的声波。如果用多个声波换能器检测介质周围的声波信号,根据各个声波信号的时间分布数据就可以确定吸光物体的位置,并由此建立介质的图像。这项技术已经用于实现功能成像和分子成像。

光声层析成像反过来就变成了声致发光层析成像 (Sono Luminescence Tomography, SLT)。物体在超声波作用下产生光的现象被称为声致发光 (Sono Luminescence, SL),最早发现于 1934 年,当时是一种多泡声致发光 (Multiple-Bubble Sono Luminescence, MBSL)。1990 年单泡声致发光 (Single-Bubble Sono Luminescence, SBSL) 发明以后,声致发光现象受到了广泛关注。虽然 SL 的机理还没有完全搞清楚,但是,人们已经知道,在超声波的作用下,当物体中细小的囊泡破裂时会发出光。小泡的初始半径约为数微米,由于声波正弦周期的负半周声压减小,小泡会膨胀到近  $50\mu\text{m}$ 。到了声波的正半周,声压又迅速增加。这种压差变动会使小泡迅速破裂,并伴随着发光。根据测量数据,SL 闪光时间只有数十皮秒。SBSL 非常亮,甚至在明亮的室内肉眼都可以看到,而 MB-SL 则在暗室内可以看见。研究人员正在设想利用 SL 的超快闪光开发其在声聚变、声化学以及构建超快激光方面的应用。

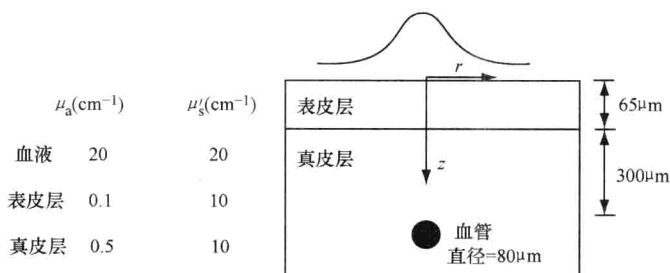
声致发光层析成像 (Sono Luminescent Tomography, SLT) 是 SL 的一个应用,主要用于强散射介质的无创断层成像。它利用外部超声波扫描被测介质,在介质内部引发声致发光,然后,根据测得的发光强度数据,建立散射介质的图像。图像的空间分辨率由超声波聚集点的大小决定,缩小聚焦点可以提高分辨率。

光学成像技术也可以用于无创检测生物组织的光谱。除了其他物体测量中常用的吸收光谱之外,还可以检测散射光谱。光谱可以用于定量检测血氧饱和度等重要的生理参数。

总之,光学成像等生物医学光学技术通常具有以下优点:(1)属于非电离辐射;(2)能够检测功能性生理参数;(3)检测生物组织病变的灵敏度较高;(4)成本较低。不过,生物医学光学是一个充满挑战的新兴研究领域,需要拥有各种才能的医生、科学家和工程师们的共同努力,才能推进其发展。

## 17.8 习题

- (a) 为什么生物医学应用中需要光学传感器或光纤传感器？请至少说出 3 点理由。(b) 请说出 3 个光学或光纤生物医学传感器的潜在缺陷。
- 请说明光的偏振、冷发光、光的吸收、光的散射和 Raman 散射之间的异同。
- 假设清澈的水组织 ( $n_i = 1.33$ ) 与玻璃 ( $n_g = 1.5$ ) 之间形成交界面，一束入射光以  $45^\circ$  入射角从水中射向界面，请计算此光线的出射角。如果反过来，光线从玻璃一侧入射到界面上，请计算水组织中的出射角，并解释此结果是否合理。
- 请用 MATLAB 等软件，分别作图显示玻璃 ( $n_i = 1.5$ ) 与空气 ( $n_t = 1.0$ ) 交界面上， $R_\perp = r_\perp^2$  和  $R_\parallel = r_\parallel^2$  随入射角  $\theta_i$  变化的曲线，并解释其含义。
- 假设用波长为  $1064\text{nm}$  的高斯分布 Nd:YAG 激光束治疗血管扩张形成的鲜红斑痣（即葡萄酒色痣）。设均匀介质中光分布的模型为  $I(r, z) = I_0 \exp(-\mu z) \exp(-2(r/\omega_b)^2)$ ，其中  $\mu = \mu_a + \mu_s$ ， $\mu_a$  和  $\mu_s$  分别是吸收系数和散射系数，并且  $I_0 = 1$ 。请根据下图所示该波长下各层皮肤组织和血管的吸收系数和散射系数，求出组织中  $r = 0$  处光强  $I$  和激光产热速率  $Q$  的表达式和曲线，即  $I(r = 0, z)$  和  $Q(r = 0, z)$ 。并说明血液层的选择性光热解效应是如何形成的。



- 假设某种混浊生物组织的吸收系数为  $\mu_a = 0.1\text{cm}^{-1}$ 。请应用漫射近似法，在同一张图上作出对应于 4 个不同约化散射系数  $\mu_s = 1, 10, 50, 100\text{cm}^{-1}$  的相对光强随半径  $r$  变化的对数曲线，其中  $r$  的取值范围为  $0.1 \sim 2.0\text{cm}$ 。并说明散射效应对于光强分布的影响。
- 假设肝脏组织受到 Ho:YAG 激光脉冲的照射，请计算热传导可以忽略不计的光照持续时间。设 Ho:YAG 激光波长处的吸收系数为  $30\text{cm}^{-1}$ ，并且肝脏组织的热扩散与水相同。如果消融的阈值温度是  $150^\circ\text{C}$ ，请计算消融的阈值通量，单位为  $\text{J}/\text{cm}^2$ 。
- 假设用某个氦氖激光的光纤多普勒探头测量血流速度，探头与血管成  $60^\circ$  角，得到的频移为  $63\text{kHz}$ ，那么，血流速度是多少？从生理学上分析，与人体内大小血管的平均血流速度相比较，该计算结果是否合理？
- 假设你要用 Michelson 干涉仪或者 Fabry-Perot 干涉仪测量一块置于空气 ( $n_a = 1.0$ ) 中的生物组织 ( $n_t = 1.33$ ) 的厚度，所用光源波长为  $780\text{nm}$ ，并且测量仪器可以



读出 20 条干涉条纹。方法是:用大功率脉冲激光切割这块组织(即消融),每个激光脉冲大约能去除  $2\mu\text{m}$  厚的组织。当组织被完全切除时,测得其厚度是  $20\mu\text{m}$ 。(a) 请通过计算说明,不改动仪器的情况下,两种干涉仪是否都具有足够长的动态范围,用于这块组织的测量。并解释所得到的结果。(b) 假设需要将这两台仪器之一用作生物组织激光切除的反馈检测仪器。为了能够测得组织切除过程中的最小厚度和最大厚度,每种仪器的干涉条纹数的范围(即最小和最大条纹数)应该为多少?为什么。

10. 在一般情况下,什么时候 Fabry-Perot 干涉仪比标准 Michelson 干涉仪更具有优势?你可以制作一台比 Michelson 干涉仪性能差的 Fabry-Perot 干涉仪吗?为什么。

11. 什么是 Raman 光谱仪的 Stokes 频带和反 Stokes 频带?通常哪种频带可以用于检测?将 Raman 光谱仪用于生物医学检测时,需要克服的主要问题是什么?

12. 假设你想用无创测量眼睛房水葡萄糖含量的方法,来定量检测血糖浓度。如果  $656\text{nm}$  波长处葡萄糖的比旋光度为  $41.89^\circ/(\text{dm} \cdot \text{g/mL})$ ,并且眼睛房水的光程长度约为  $0.8\text{cm}$ ,请计算 15 毫度旋光度所对应的葡萄糖浓度。从生理学上看,所得的计算值合理吗?被测病人属于正常还是患有糖尿病?

13. 在  $600 \sim 1100\text{nm}$  的近红外光谱区域存在氧合血红蛋白和还原血红蛋白的吸收峰。这里,暂时假设该光谱区域以光的吸收为主(注意:一般不会如此)。已知:组织样本的厚度为  $2\text{cm}$ 。在  $758\text{nm}$ 、 $798\text{nm}$  和  $898\text{nm}$  三个波长下测得的氧合血红蛋白消光系数分别为  $1.612$ 、 $2.072$  和  $2.763\text{mM}^{-1}\text{cm}^{-1}$ ,还原血红蛋白的消光系数分别为  $3.914$ 、 $2.072$  和  $2.072\text{mM}^{-1}\text{cm}^{-1}$ 。这 3 个波长下组织的总吸收系数可以用时间分辨系统测得,分别为  $0.293\text{cm}^{-1}$ 、 $0.1704\text{cm}^{-1}$  和  $0.1903\text{cm}^{-1}$ 。请计算氧合血红蛋白和还原血红蛋白的浓度。从生理学上看,该结果合理吗?为什么。

14. 应用本章给出的热传导方程的解析解,并利用习题 7 的参数,作出  $z=0$  处温度随时间  $t$  变化的曲线, $t$  的取值范围为  $0 \sim 10\text{ms}$ 。且在同一张图上作出温度随时间线性变化的直线(忽略热传导效应)。并结合习题 7 计算得到的扩散时间解释图中显示的结果。

15. 假设皮肤组织被线性加热,就像脉冲激光凝固中  $T = T_0 + mt$  的情况,其中  $T_0$  是初始温度(如  $37^\circ\text{C}$ ), $m$  是加热速率(如  $10^3^\circ\text{C/s}$ )。请说明如何计算热损伤的临界温度。假设光照时间相同,你觉得此临界温度应该低于还是高于恒温加热时的临界温度?

16. 为了预测组织消融的发生时刻,请作出  $B\sqrt{\tau_{ab}}$  随  $B\lambda$  变化的曲线,并测出“大”  $B\lambda$  值下的斜率,应该为  $\frac{2}{\sqrt{\pi}}$ 。假设组织的吸收系数为  $100\text{cm}^{-1}$ ,激光强度为  $1000\text{W/cm}^2$ ,请使用水的热特性计算消融起始时刻(设消融始于  $150^\circ\text{C}$ )。

17. 在可见光区域,生物组织的散射效应超过吸收效应。假设有一块  $5\text{cm}$  厚的生物组织,其散射系数为  $100\text{cm}^{-1}$ ,所用的激光波长为  $0.5\mu\text{m}$ 。为了能够平均检测到一个穿过组织的弹道光光子,请问入射光需要具有多少焦耳的能量?并将此入射光能量与地球的静止能量进行比较。设地球的质量为  $6 \times 10^{24}\text{kg}$ ,应用爱因斯坦质能方程  $E = mc^2$  可以求得地球的静止能量。

# 附录

John D. Enderle 博士

## A.1 MATLAB 简介

MATLAB 是一种用于科学计算和做图的高级计算机软件，其基础是矩阵运算，它的许多功能与 FORTRAN、C 等程序设计语言相同，但 MATLAB 的使用更方便。本附录介绍求解本书例题和习题所需的 MATLAB 编程知识，其中某些 MATLAB 功能已在相应章节中有过介绍。

### A.1.1 矩阵的基础知识

MATLAB 最早是作为矩阵计算工具开发的，其多数指令都表示为矩阵的形式。矩阵 (matrix) 是由  $n$  行和  $m$  列元素组成的数组，用大写的黑体字母表示，例如，矩阵  $\mathbf{A}$  表示为

$$\mathbf{A} = \begin{bmatrix} a_{11} & a_{12} & \cdots & a_{1m} \\ a_{21} & a_{22} & \cdots & a_{2m} \\ \vdots & \vdots & & \vdots \\ a_{n1} & a_{n2} & \cdots & a_{nm} \end{bmatrix} \quad (\text{A.1})$$

其中，数组的各个元素  $a_{ij}$  为常数或函数。矩阵  $\mathbf{A}$  的阶数表示为  $n \times m$ ，如果  $n = m$ ，则  $\mathbf{A}$  为  $n$  阶方阵。本书所涉及的矩阵元素通常是各种系统参数，如电阻、电容或者电感等的数值。

只包含一列元素的矩阵称为列矢量，它是一个  $n \times 1$  阶数组，用小写黑体字母表示，例如

$$\mathbf{x} = \begin{bmatrix} x_1 \\ x_2 \\ \vdots \\ x_n \end{bmatrix} \quad (\text{A.2})$$

其中，各个元素  $x_i$  为变量、常数或者时间函数。列矢量常用于表示系统的变量和输入。只包含一行元素的矩阵称为行矢量，它是一个  $1 \times n$  阶数组。行矢量常用于表示系统特征函数的多项式（后面有定义）。 $1 \times 1$  阶矩阵就是标量。

只有同阶矩阵才能进行加法和减法运算，这两种运算是将矩阵中相应的各个元素进

18. 请利用漫射理论估算生物组织的透射光。假设某个 10mW 的各向同性点光源被置于无限大的混浊介质中, 介质的吸收系数为  $0.1\text{cm}^{-1}$ , 厚为 5cm 的组织的散射系数为  $100\text{cm}^{-1}$ , 散射的各向异性因子为 0.9, 光的波长是  $0.5\mu\text{m}$ 。请计算距离光源 5cm 处的光能流率。

19. 请利用漫射理论估算声致发光所产生的光在生物组织中的传播。假设某个单位功率的各向同性点光源被置于无限大的混浊介质中, 介质的吸收系数是  $0.1\text{cm}^{-1}$ , 厚为 5cm 的组织的散射系数为  $100\text{cm}^{-1}$ , 散射的各向异性因子是 0.9。请计算以光源为中心的半径为 5cm 的整个球面上的总光能流率的积分。

20. 与只能测量漫射光幅值的连续波技术相比, 频域成像技术中的相位测量能够提供什么其他信息?

### 推荐阅读资料

- G. Boisdé, A. Harmer, Chemical and Biochemical Sensing with Optical Fibers and Waveguides, Artech House, Boston and London, 1996.
- M. Born, E. Wolf, Principles of Optics, seventh expanded ed., Cambridge University Press, 1999.
- B. Culshaw, J. Dakin, Optical Fiber Sensors: Vols. I and II, Artech House, Boston and London, 1989.
- F.A. Duck, Physical Properties of Tissue, Academic, London, 1990.
- E. Hecht, Optics, Addison-Wesley, Reading, MA, 1987.
- A. Katzir, Lasers and Optical Fibers in Medicine, Academic Press Inc., San Diego, CA, 1993.
- J. Lakowicz, Principles of Fluorescence Spectroscopy, second ed., Kluwer Academic/Plenum Publishers, 1999.
- F.L. Pedrotti, L.S. Pedrotti, Introduction to Optics, second ed., Prentice Hall, Upper Saddle River, NJ, 1993.
- V. Tuchin, Tissue Optics: Light Scattering Methods and Instruments for Medical Diagnosis, Society of Photo-Optical Instrumentation Engineers Press, Bellingham, Washington, 2000.
- T. Vo-Dinh, Biomedical Photonics Handbook, CRC Press, January 24, 2003.
- L.V. Wang, H.-I. Wu, Biomedical Optics: Principles and Imaging, Wiley, 2007.
- A.J. Welch, M.J.C. van Gemert, Optical-Thermal Response of Laser Irradiated Tissue, Plenum Press, New York and London, 1995.
- H.H. Willard, L.L. Merritt, J.A. Dean, F.A. Settle, Instrumental Methods of Analysis, seventh ed., Wadsworth Publishing Inc., Belmont, CA, 1988.

行加、减运算, 即

$$\begin{aligned} & \begin{bmatrix} a_{11} & a_{12} & \cdots & a_{1m} \\ a_{21} & a_{22} & \cdots & a_{2m} \\ \vdots & \vdots & & \vdots \\ a_{n1} & a_{n2} & \cdots & a_{nm} \end{bmatrix} + \begin{bmatrix} b_{11} & b_{12} & \cdots & b_{1m} \\ b_{21} & b_{22} & \cdots & b_{2m} \\ \vdots & \vdots & & \vdots \\ b_{n1} & b_{n2} & \cdots & b_{nm} \end{bmatrix} \\ &= \begin{bmatrix} c_{11} = a_{11} + b_{11} & c_{12} = a_{12} + b_{12} & \cdots & c_{1m} = a_{1m} + b_{1m} \\ c_{21} = a_{21} + b_{21} & c_{22} = a_{22} + b_{22} & \cdots & c_{2m} = a_{2m} + b_{2m} \\ \vdots & \vdots & & \vdots \\ c_{n1} = a_{n1} + b_{n1} & c_{n2} = a_{n2} + b_{n2} & \cdots & c_{nm} = a_{nm} + b_{nm} \end{bmatrix} \end{aligned} \quad (\text{A.3})$$

加法运算时  $c_{ij} = a_{ij} + b_{ij}$ ; 而减法运算时  $c_{ij} = a_{ij} - b_{ij}$ 。

只有当第一个矩阵的列数等于第二个矩阵的行数时, 这两个矩阵才能进行乘法运算。 $n \times m$  阶矩阵  $A$  乘以  $m \times n$  阶矩阵  $B$ , 所得到的矩阵  $C$  为  $n \times n$  阶矩阵,  $C$  中的每个元素  $c_{ij}$  等于  $A$  的第  $i$  行元素与  $B$  的第  $j$  列各元素的乘积之和, 即

$$c_{ij} = \sum_{k=1}^n a_{ik} b_{kj} \quad (\text{A.4})$$

其中,  $i=1, 2, \cdots, n$ ;  $j=1, 2, \cdots, m$ 。通常矩阵相乘是不可交换的, 即  $AB \neq BA$ 。矩阵与标量  $\alpha$  的乘积等于矩阵的每个元素乘以  $\alpha$ 。

对角线元素均为 1、非对角线元素均为 0 的方阵称为单位矩阵  $I$  (identity matrix), 即

$$I = \begin{bmatrix} 1 & 0 & 0 & \cdots & 0 \\ 0 & 1 & 0 & \cdots & 0 \\ 0 & 0 & 1 & \cdots & 0 \\ \vdots & \vdots & \vdots & & \vdots \\ 0 & 0 & 0 & \cdots & 1 \end{bmatrix} \quad (\text{A.5})$$

所有元素均为 0 的矩阵称为零矩阵  $\mathbf{0}$  (null matrix)。

矩阵的加、减、乘、除运算基本遵循实数运算的规则, 对于符合要求的任意矩阵  $A$ 、 $B$ 、 $C$ , 有

交换律:  $A + B = B + A$

结合律:  $A + (B + C) = (A + B) + C$

分配律:  $A(B + C) = AB + AC$

单位矩阵  $I$  和零矩阵  $\mathbf{0}$  的性质有

$AI = A$

$\mathbf{0}A = \mathbf{0}$

$A\mathbf{0} = \mathbf{0}$

$A + \mathbf{0} = A$

方阵  $A$  的逆矩阵记为  $A^{-1}$ , 其定义是

$$A^{-1}A = AA^{-1} = I \quad (\text{A.6})$$

逆矩阵在求解系统的方程组时很有用。

矩阵  $A$  的转置记为  $A'$  或者  $A^T$ , 就是将  $A$  的行与列进行交换, 式 (A.1) 的转置矩阵  $A^T$  为

$$A^T = \begin{bmatrix} a_{11} & a_{12} & \cdots & a_{1n} \\ a_{21} & a_{22} & \cdots & a_{2n} \\ \vdots & \vdots & & \vdots \\ a_{m1} & a_{m2} & \cdots & a_{nm} \end{bmatrix}$$

应用网络理论等方法进行系统分析时经常产生含有未知量的方程组, 另外, 利用初始条件求解微分方程系数时也会产生含有未知量的方程组。

假设  $i_1$ 、 $i_2$  和  $i_3$  为电路中三条支路的电流, 并且根据基尔霍夫电压定律得到如下描述该电路的方程组:

$$\begin{aligned} 2i_1 - i_2 + 0i_3 &= 6 \\ -2i_1 + 3i_2 + i_3 &= 0 \\ -i_1 + 5i_2 - 4i_3 &= 0 \end{aligned} \quad (\text{A.7})$$

其中, 与电流相乘的常数是电路中的电阻, 而数值“6”是电路的输入电压。该方程组中的每个方程都按照顺序写出了所有3个变量, 有的变量的系数为0。将该方程组写成矩阵形式为

$$\begin{bmatrix} 2 & -1 & 0 \\ -2 & 3 & 1 \\ -1 & 5 & -4 \end{bmatrix} \begin{bmatrix} i_1 \\ i_2 \\ i_3 \end{bmatrix} = \begin{bmatrix} 6 \\ 0 \\ 0 \end{bmatrix} \quad (\text{A.8})$$

或者为

$$Ai = F \quad (\text{A.9})$$

其中

$$A = \begin{bmatrix} 2 & -1 & 0 \\ -2 & 3 & 1 \\ -1 & 5 & -4 \end{bmatrix}, \quad i = \begin{bmatrix} i_1 \\ i_2 \\ i_3 \end{bmatrix}, \quad F = \begin{bmatrix} 6 \\ 0 \\ 0 \end{bmatrix}$$

为了求解方程组 (A.8) 的电流矢量  $i$ , 将上式两边同乘以  $A$  的逆矩阵  $A^{-1}$ , 则

$$A^{-1}Ai = A^{-1}F \quad (\text{A.10})$$

即

$$i = A^{-1}F \quad (\text{A.11})$$

### A.1.2 MATLAB 的使用

MATLAB 是一种用于数学计算和做图显示结果的软件。它配备有适用于各种工程领域的很多工具箱, 包括神经网络、图像处理、数字信号处理、控制理论、线性代数、信号与系统、数值方法、符号数学以及 Simulink 等, 其中 Simulink 提供了复杂微分和积分方程的近似迭代求解方法。MATLAB 的做图功能很强, 可以满足大多数应用的要求。如

果需要数据统计方面的专用图形显示,那么还可以将 MATLAB 的计算结果导入到 Microsoft 的 EXCEL 软件中进行处理。

这里只简单介绍 MATLAB 的基本内容,读者如果需要深入学习这个软件,可以在图书馆或书店找到许多详细介绍 MATLAB 软件的书籍。

### 启动 MATLAB

单击 Microsoft Windows 的“开始”菜单,选择“程序”中的“MATLAB”项,单击其中的“MATLAB”,就可以启动 MATLAB,出现的界面如图 A.1 所示,其中包含三个部分:指令窗、浏览器和历史指令窗。

现在我们可以图 A.1 右侧的 MATLAB 指令窗中进行操作。在提示符“>>”后键入指令,按下回车键,就可以交互式地执行 MATLAB 指令。注意, MATLAB 区分大小写字母,“a”与“A”是不同的;而且, MATLAB 中不能像 A.1 节所述那样用斜体和黑体字符。

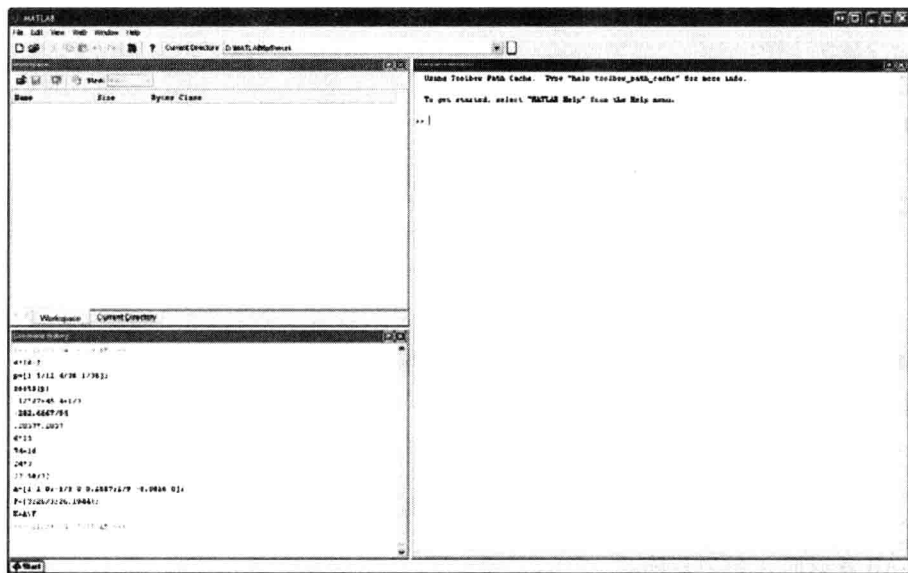


图 A.1 包含 3 个窗的 MATLAB 工作环境 (即浏览器、指令窗和历史指令窗)

MATLAB 可以执行标量运算和矩阵运算。例如,键入:

```
>> A = 10/5
```

MATLAB 返回

```
A =
```

```
2
```

输入矩阵时,先键入矩阵名、等号,后跟左方括号,输入数组的所有元素,再加上右方括号即可。数组元素一行行输入,先输入第一行。每行的各个元素之间用空格或者逗号隔开,行与行之间用分号或者回车隔开。例如,键入如下矩阵 A:

```
>> A = [5 9 6; 3 2 3; 5 9 1]
```

MATLAB 则返回

```
A =  
    5    9    6  
    3    2    3  
    5    9    1
```

矩阵元素也可以是函数, 如

```
>> A = [ -5/2, sqrt(4), 3 * (6 - 4) ]
```

MATLAB 则返回

```
A =  
   -2.5000    2.0000    6.0000
```

注意, 分号 “;” 表示元素行的结束, 如果在输入行的末尾加 “...” 并按回车键, 那么, 该行元素就可以延续到下一行。例如

```
>> C = [1...  
2 3  
4 5 6  
7 8 9]  
C =  
    1    2    3  
    4    5    6  
    7    8    9
```

本例中第一行末尾的 “...” 和回车将该元素行分成了两行。

如果矩阵  $A$  为

```
>> A = [5 9 6; 3 2 3; 5 9 1]
```

再键入

```
>> B = inv(A)
```

MATLAB 就返回  $A$  的逆矩阵

```
B =  
   -0.2941    0.5294    0.1765  
    0.1412   -0.2941    0.0353  
    0.2000    0       -0.2000
```

MATLAB 有指数、 $\pi$  等许多特殊函数和常数。例如, 如果要用  $\pi$  进行计算, 只要键入 “pi”, 即

```
>> pi  
ans =  
    3.1416
```

对于每条输入指令, MATLAB 都会返回一个数值结果。指数函数的调用方法是

“exp ( -0.5 )”，键入以后，就可以得到其输出为 0.6065。高级科学计算器具有的正弦和余弦等大多数基本的标准内置函数在 MATLAB 中都有。打开 MATLAB 的帮助窗，再选择 “Functions—Alphabetical List”，就可以列出所有 MATLAB 函数。

### A.1.3 算术表达式

MATLAB 的算术运算符号如下：

^   \*   /   \   +   -

它们依次为幂运算、乘、右除、左除、加和减。注意，1/4 和 4\1 分别表示 1 除以 4 和 4 除 1，它们都等于 0.25。如下面的例 A.1 所示，我们常用左除 “\” 运算符求解方程组。

这些运算符在 MATLAB 中的计算顺序就是以上排列次序，即 “^” 最先，其次是自左向右的 “\*”、“/”、“\”，最后是自左向右的 “+”、“-”。例如

```
> > 5 + 6^2 * 3 / 7 * 2
```

输出结果是

```
ans =  
35.8571
```

该式首先计算  $6^2 = 36$ ，然后 36 乘 3，再除以 7，乘以 2，最后加 5。与数学运算相似，计算自左向右，使用圆括号可以改变计算次序。例如

```
> > 3 * (6 - 4)
```

输出结果是

```
ans =  
6
```

该式首先计算  $6 - 4$ ，再将结果乘以 3。

MATLAB 的三角函数计算中的角度用弧度表示，例如，求  $\sin(45^\circ)$ ，要键入

```
> > sin(pi/4)
```

输出结果是

```
ans =  
0.7071
```

#### 例 A.1

请求解如下方程组：

$$\begin{aligned} 4i_1 - i_2 - i_3 - i_4 - i_5 &= 240 \\ -i_1 + 8i_2 - i_3 + 0 \times i_4 + 0 \times i_5 &= 0 \\ -i_1 - i_2 + 5i_3 - i_4 + 0 \times i_5 &= 0 \\ -i_1 + 0 \times i_2 - i_3 + 5i_4 - i_5 &= 0 \\ -i_1 + 0 \times i_2 + 0 \times i_3 - i_4 + 8i_5 &= 0 \end{aligned}$$

解：将方程组写成矩阵形式

$$Ai = F$$

其中



$$A = \begin{bmatrix} 4 & -1 & -1 & -1 & -1 \\ -1 & 8 & -1 & 0 & 0 \\ -1 & -1 & 5 & -1 & 0 \\ -1 & 0 & -1 & 5 & -1 \\ -1 & 0 & 0 & -1 & 8 \end{bmatrix}; \quad i = \begin{bmatrix} i_1 \\ i_2 \\ i_3 \\ i_4 \\ i_5 \end{bmatrix}; \quad F = \begin{bmatrix} 240 \\ 0 \\ 0 \\ 0 \\ 0 \end{bmatrix}$$

使用左除 “\” 运算可以方便地求得列矢量  $i$ ，即

$$A \setminus Ai = i = A \setminus F$$

MATLAB 求解  $i$  矢量的指令如下：

```
>> A = [4 -1 -1 -1 -1; -1 8 -1 0 0; -1 -1 5 -1 0; -1 0 -1 5 -1; -1 0 0 -1 8];
>> F = [240; 0; 0; 0; 0];
>> i = A \ F
```

$i =$

```
77.5000
12.5000
22.5000
22.5000
12.5000
```

■

#### A.1.4 矢量

MATLAB 以行矢量的形式存储各个矢量，矢量的第一个元素为  $i$  分量，第二个元素为  $j$  分量，第三个元素为  $k$  分量，都写在方括号里。例如，矢量  $F = 3i - 4j + 2k$  在 MATLAB 中的键入方式为

```
>> F = [3 -4 2]
```

结果是

```
F =
3 -4 2
```

指令 “norm” 用于计算矢量的幅值，例如，矢量  $F$  的幅值为

```
>> Fmagnititude = norm ( F )
Fmagnititude =
5.3852
```

计算两个矢量点积的 MATLAB 指令为 “dot ( A, B )”。例如，假设  $A = 5i - 8j - 2k$ ， $B = 6i + 4j - 3k$ ，则两者的点积计算是

```
>> A = [5 -8 -2];
>> B = [6 4 -3];
>> ABdot = dot ( A, B )
ABdot =
```

计算两个矢量叉积的指令为“cross (A, B)”，它也是一个内置函数。例如， $A \times B$  为

```
>> A = [5 -8 -2];
>> B = [6 4 -3];
>> ABcross = cross (A, B)
ABcross =
    32    3    68
```

### A.1.5 复数

MATLAB 中所有的数都作为复数存储，并用  $i$  或  $j$  表示复数的虚部，也就是在 MATLAB 中  $z = 3 + i4$  和  $z = 3 + j4$  是等价的，即

```
>> z = 3 + 4j
```

结果是

```
z =
    3.0000 + 4.0000i
```

而

```
>> z = 3 + 4i
```

结果也是

```
z =
    3.0000 + 4.0000i
```

如前所述，本书中用符号  $i$  表示电流（参见例 A.1），用符号  $j$  表示复数。但是，MATLAB 的默认复数符号是  $i$ 。MATLAB 中的复数也可以用极坐标形式来表示，即对于任意实数  $x$  和  $y$ ，有

$$z = x + jy = |z| e^{j\theta}$$

其中

$$|z| = \sqrt{x^2 + y^2}$$

$$\theta = \arctan \frac{y}{x}$$

MATLAB 有很多处理复数的内置函数，表 A.1 列出了其中几个基本函数。

表 A.1 MATLAB 的复数指令（设  $z = x + jy$ ）

运算	指令
$\text{Re}(z)$	<code>real(z)</code>
$\text{Im}(z)$	<code>imag(z)</code>
$ z  = \sqrt{x^2 + y^2}$	<code>abs(z)</code>
$\theta = \arctan \frac{y}{x}$	<code>angle(z)</code>

### 例 A.2

假设  $z_1 = 3 + j2$ ,  $z_2 = 2 - j$ , 请用 MATLAB 求解  $z_3 = \frac{z_1}{z_2}$ 。

解:

MATLAB 求解过程如下:

```
> > z1 = 3 + j * 2
z1 =
    3.0000 + 2.0000i
> > z2 = 2 - j
z2 =
    2.0000 - 1.0000i
> > z3 = z1/z2
z3 =
    0.8000 + 1.4000i
```

#### 例 A.3

请计算:  $z = (60 + j30) + 100e^{-j0.4887}$ 。

解:

用如下 MATLAB 指令, 联合使用复数的直角坐标和极坐标两种形式来计算  $z$  值:

```
> > z = 60 + j * 30 + 100 * exp ( - j * 0.4887 )
z =
    1.4829e + 002 - 1.6948e + 001i
```

#### 例 A.4

试计算如下复数的幅值和角度:

$$z = (5 - j4)^3$$

解:

```
> > z = (5 - j * 4)^3
z =
   -1.1500e + 002 - 2.3600e + 002i
> > r = abs ( z )
r =
    262.5281
> > theta = angle ( z )
theta =
   -2.0242
```

### A.1.6 多项式及其根

MATLAB 用行矢量处理多项式, 并且可以用内置函数计算多项式的根。行矢量中多项式系数按照次数下降的顺序排列, 最高次的系数排在最前面。假设多项式为

$$x^4 - 12x^3 + 0x^2 + 25x + 116 = 0 \quad (\text{A. 12})$$

它在 MATLAB 中表示为

```
> > p = [1 -12 0 25 116]
```

结果是

```
p =
1 -12 0 25 116
```

每项系数都必须输入，系数为 0 的项也要输入，就像式 (A. 12) 一样。然后，用内置函数 “roots” 就可以求得多项式的根。方程 (A. 12) 的求根指令为

```
> > r = roots(p)
```

MATLAB 返回如下两个实数根和一对共轭复数根：

```
r =
11.7473
2.7028
-1.2251 + 1.4672i
-1.2251 - 1.4672i
```

MATLAB 规定多项式是行矢量，而根是列矢量。

反过来，如果已知多项式的根，就可以用 MATLAB 指令 “poly” 求得多项式。在如上求得的多项式根的基础上，键入 “poly” 指令就可以恢复原来的多项式，即

```
> > pp = poly(r)
```

返回结果

```
pp =
1.0000 -12.0000 -0.0000 25.0000 116.0000
```

利用 MATLAB 函数 “conv” 可以进行多项式的乘法运算，也就是求两个多项式的卷积。例如，要将如下两个多项式相乘

$$A(x) = x^3 + 2x^2 + 3x + 4 \quad (\text{A. 13})$$

$$B(x) = x^3 + 4x^2 + 9x + 16 \quad (\text{A. 14})$$

就在 MATLAB 中键入

```
> > A = [1 2 3 4];
> > B = [1 4 9 16];
> > AB = conv(A,B)
```

返回结果为

```
AB =
1 6 20 50 75 84 64
```

注意，矩阵 **A** 和 **B** 后面分号的作用是取消指令的返回结果显示。写成符号形式，这两个多项式相乘的结果就是

$$AB(x) = x^6 + 6x^5 + 20x^4 + 50x^3 + 75x^2 + 84x + 64 \quad (\text{A. 15})$$

具有相同次数的多项式才能相加，例如，要将如下两个多项式相加

$$S(x) = x^5 + 4x^4 + 5x^3 + 6x^2 + 7x + 2 \quad (\text{A. 16})$$

$$T(x) = 2x^4 + 9x^3 + 8x^2 - 4x + 5 \quad (\text{A. 17})$$

由于式 (A. 17) 的多项式为 4 次, 因此, 要添加一个系数为 0 的  $x^5$  项。这样, MATLAB 中输入的多项式为

```
>> S = [1 4 5 6 7 2];
>> T = [0 2 9 8 -4 5];
>> U = S + T
```

返回结果是

```
U =
    1     6    14    14     3     7
```

也就是

$$x^5 + 6x^4 + 14x^3 + 14x^2 + 3x + 7 \quad (\text{A. 18})$$

利用 MATLAB 函数 “deconv (A, B)” 可以进行多项式的除法运算, 它表示 B 除 A, 也就是 A 除以 B。通常多项式的除都有余数, 因此该函数的调用形式是  $[Q, V] = \text{deconv}(A, B)$ ; 其中, Q 为多项式的商, V 为余数。例如, 以上多项式 (A. 16) 与 (A. 17) 之比, 也就是  $x^5 + 4x^4 + 5x^3 + 6x^2 + 7x + 2$  除以  $2x^4 + 9x^3 + 8x^2 - 4x + 5$  为

```
>> S = [1 4 5 6 7 2];
>> T = [2 9 8 -4 5];
>> [Q,R] = deconv(S,T)
Q =
    0.5000 -0.2500
R =
    0     0    3.2500   10.0000    3.5000    3.2500
```

将该结果写成符号形式为

$$\frac{1}{2}x - \frac{1}{4} + \frac{3.25x^3 + 10x^2 + 3.5x + 3.25}{2x^4 + 9x^3 + 8x^2 - 4x + 5}$$

下面举一个没有余数的简单例子, 即  $x^2 - 2x + 1$  除以  $x - 1$ , 则

```
>> S = [1, -2, 1];
>> T = [1, -1];
>> [Q,V] = deconv(S,T)
Q =
    1 -1
V =
    0     0     0
```

此结果是  $x - 1$ 。

#### 例 A. 5

设有如下方程:

$$\frac{(1600 - 3x)^3}{27x^3} = \frac{x}{500 - x}$$

试找出 0 ~ 500 之间的  $x$  解。

解：

由于 MATLAB 默认的表达式计算使用的是“format short”格式，为了使计算值具有足够多的有效位数，这里我们使用“format long”指令。首先计算  $(1600 - 3x)^3$ ：

```
> >format long
> >y = [ -3 1600 ];
> >r = conv(y,y);
> >w = conv(y,r)
```

返回的结果为

```
w =
    1.0e + 009 *
    -0.00000002700000    0.00004320000000    -0.02304000000000    4.09600000000000
```

其中“w”就是表达式  $(1600 - 3x)^3$ 。注意，“1.0e + 009”是 w 表达式所有系数的倍数因子。

为了将题目中方程右边的分母消去，下面将该方程两边同乘以  $500 - x$ ，即：

```
> >z = [ -1 500 ];
```

还是用“conv”指令来完成  $w * z$  的叉积：

```
> >s = conv(z,w)
```

结果为

```
s =
    1.0e + 012 *
Columns 1 through 4
    0.00000000002700    -0.00000005670000    0.00004464000000    -0.01561600000000
Column 5
    2.04800000000000
```

再将方程左边的分母  $27x^3$  乘以右边的分子  $x$  得到  $(27x^4)$ ，在 MATLAB 中是

```
> >q = [ 27 0 0 0 0 ]
```

输出为

```
q =
    27    0    0    0    0
```

然后，将 s 表达式与 q 表达式相减，即

```
> >t = s - q
```

得到

```
t =
    1.0e + 012 *
    -0.00000000000000
```

Columns 1 through 4

0 -0.00000005670000 0.00004464000000 -0.01561600000000

Column 5

2.048000000000000

写出以上计算得到的多项式  $t$ , 就是

$$-5.67 \times 10^4 x^3 + 4.464 \times 10^7 x^2 + 1.5616 \times 10^{10} x + 2.048 \times 10^{12} = 0$$

最后, 求该多项式  $t$  的根, 即

$> v = \text{roots}(t)$

得到

$v =$

1.0e+002 \*

2.62504409150663 + 2.62297313283571i

2.62504409150663 - 2.62297313283571i

2.62292769000261

其中两个复数根不在题目给定的数值范围之内, 因此, 符合题目要求的解只有

$$x = 262.3$$

表 A.2 归纳了一些用于多项式计算的 MATLAB 指令。

表 A.2 MATLAB 的多项式运算指令

运算	符号表达式	指令
多项式 多项式求根 根据根写出多项式	$a_n x^n + a_{n-1} x^{n-1} + \cdots + a_1 x + a_0$ $(x - r_1)(x - r_2) \cdots (x - r_n)$ $a_n x^n + a_{n-1} x^{n-1} + \cdots + a_1 x + a_0$	$P = [a_n a_{n-1} \cdots a_1 a_0]$ $r = \text{roots}(P)$ $\text{poly}(r)$
两个多项式的乘 $S(x) = A(x) \times B(x)$	$S(x) = (a_n x^n + a_{n-1} x^{n-1} + \cdots + a_1 x + a_0) \times$ $(b_m x^m + b_{m-1} x^{m-1} + \cdots + b_1 x + b_0)$	$S = \text{conv}(A, B)$  $S = A + B$
两个多项式的加 $S(x) = A(x) + B(x)$ ; 注意: 多项式的 次数必须相同	$S(x) = (a_n x^n + a_{n-1} x^{n-1} + \cdots + a_1 x + a_0) +$ $(0x^n + \cdots + b_m x^m + b_{m-1} x^{m-1} + \cdots + b_1 x + b_0)$	
两个多项式的除 $S(x) = \frac{A(x)}{B(x)} = Q(x) + V(x)$	$S(x) = \frac{a_n x^n + a_{n-1} x^{n-1} + \cdots + a_1 x + a_0}{b_m x^m + b_{m-1} x^{m-1} + \cdots + b_1 x + b_0} = q_p x^p + \cdots + q_1 x + q_0$ $+ \frac{v_1 x^l + \cdots + v_1 x + v_0}{b_m x^m + b_{m-1} x^{m-1} + \cdots + b_1 x + b_0}$	$[Q, V] = \text{deconv}(A, B)$

### A.1.7 MATLAB 做图

MATLAB 具有很强的二维和三维矢量 (即矩阵) 的做图功能, 可以用于数据的可视化图形显示, 并且根据用户的需要可以设计不同的图形显示方式, 例如线宽、颜色、注释和标题等。下面介绍几种作图指令。

#### (1) fplot 指令

MATLAB 的基本做图指令是 “fplot (‘f’, [T<sub>1</sub>, T<sub>2</sub>])”, 它显示 T<sub>1</sub> 到 T<sub>2</sub> 区间上的  $f$  函数曲线。注意, 表达式 “f” 要加上单引号, 这样, MATLAB 就会将其作为字符串表

达式来处理，而不是计算“ $t$ ”时刻的函数值。例如，要作出  $f = 2e^{-t}$  在  $0 \sim 5$  区间上的曲线图，MATLAB 指令为

```
>> fplot('2 * exp(-t)', [0,5])
```

该指令将函数  $f$  在  $0 \sim 5$  时间区间上的曲线显示在如图 A.2 所示的独立窗口中。如果要编辑该图形，选中打印图标旁边的箭头图标，然后双击图形，就可以打开另一个指令窗，在此可以修改线条的颜色、线形、字体、坐标轴标题、坐标轴等图形的属性。

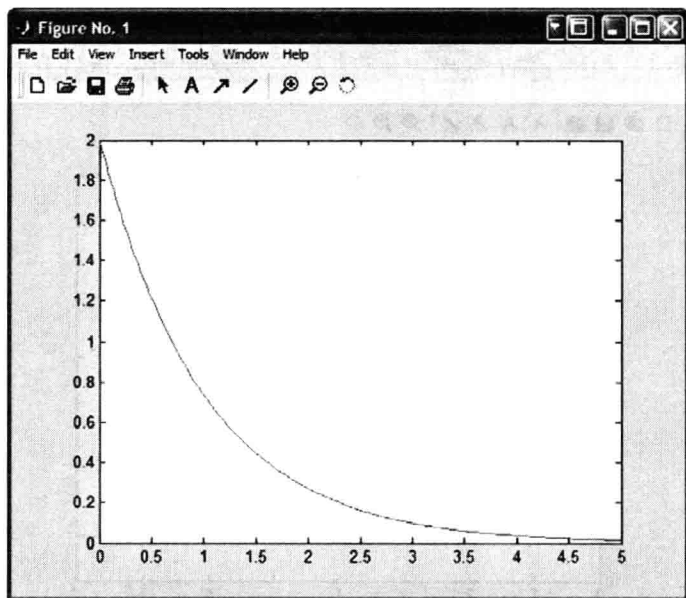


图 A.2 使用 MATLAB “fplot” 指令显示的  $f = 2e^{-t}$  函数曲线

MATLAB 图形可以通过剪贴板方便地复制和粘贴到 Microsoft Word 等其他应用软件中。利用 MATLAB 图形窗中编辑菜单下的“Copy Options”还可以控制图形的复制方式，例如，“Metafile”格式复制图形时无背景颜色，而“Bitmap”格式则完全复制图形，包括背景颜色。

## (2) plot 指令

另一条作图指令是“plot( $t, y$ )”，它作出  $y$  随着  $t$  变化的曲线，数据点之间用直线相连。用“linspace”指令可以定义自变量  $t$ ，该指令的写法是“ $t = \text{linspace}(a, b, n)$ ”，它产生含有  $n$  个元素的行矢量，元素值线性分布于  $a \sim b$  的区间上。

例如，如下指令可以作出函数  $y = 210\sqrt{2}e^{-2t}\sin(\sqrt{2}t)$  的曲线：

```
>> t = linspace(0,8,1000);
>> y = 297 * sin(1.414 * t) . * exp(-2 * t);
>> plot(t,y)
```

其中，第一条指令创建含有 1000 个元素的行矢量  $t$ ，其元素值分布于  $0 \sim 8$  区间上。



第二条指令通过“.”\*”运算将  $\sin(1.414 * t)$  与  $\exp(-2 * t)$  相乘, 创建含有 1000 个元素的行矢量  $y$ 。“.”\*”运算是点积运算, 它执行矩阵中对应元素之间的相乘。在本例的这个运算中, 如果误用“\*”运算, 而不是“.”\*”运算, 那么, MATLAB 就会出错。因为此处  $t$  为  $1 \times 1000$  的行矢量, 使得  $\sin(1.414 * t)$  和  $\exp(-2 * t)$  都是  $1 \times 1000$  的行矢量, 这样, 两个矩阵的阶数就不符合矩阵乘法“\*”的要求。图 A.3 显示了以上“plot”指令在 0~8 时间区间上作出的 1000 个点连接而成的  $y$  函数曲线。

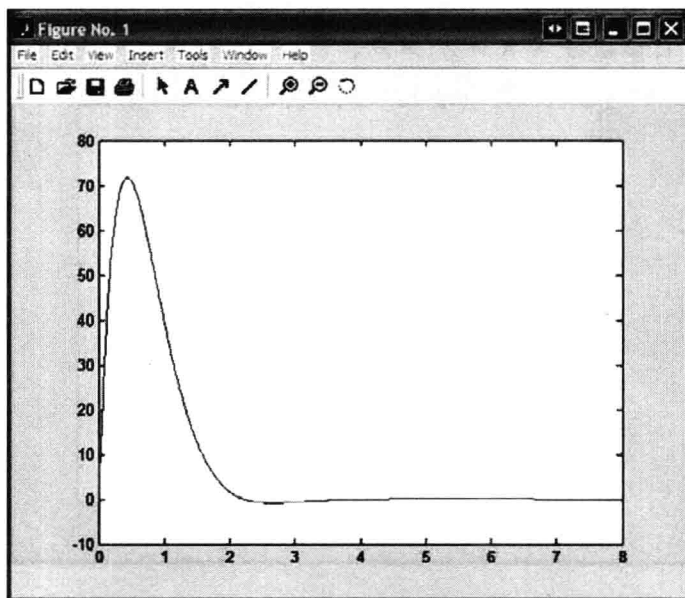


图 A.3 使用 MATLAB “plot” 指令显示的

$$y = 210\sqrt{2}e^{-2t}\sin(\sqrt{2}t) \text{ 函数曲线}$$

用“plot”指令还可以在同一张图上画出多条函数曲线。例如, 如下是将  $f = 100e^{-t}$  和  $y = 210\sqrt{2}e^{-2t}\sin(\sqrt{2}t)$  两个函数显示在同一张图上的指令:

```
> > t = linspace(0,8,1000);
> > y = 297 * sin(1.414 * t) .* exp(-2 * t);
> > f = 100 * exp(-t);
> > plot(t,y,t,f)
```

生成的图形如图 A.4 所示。如上所述, 根据用户的需要可以改变图形的各项属性, 包括线条的颜色、线形、字体、坐标轴及其标题等。

MATLAB 的做图指令还有很多, 包括三维图、直方图、饼形图等。读者可以在 MATLAB 的帮助信息中查阅所有做图函数。

### (3) Microsoft Excel 做图

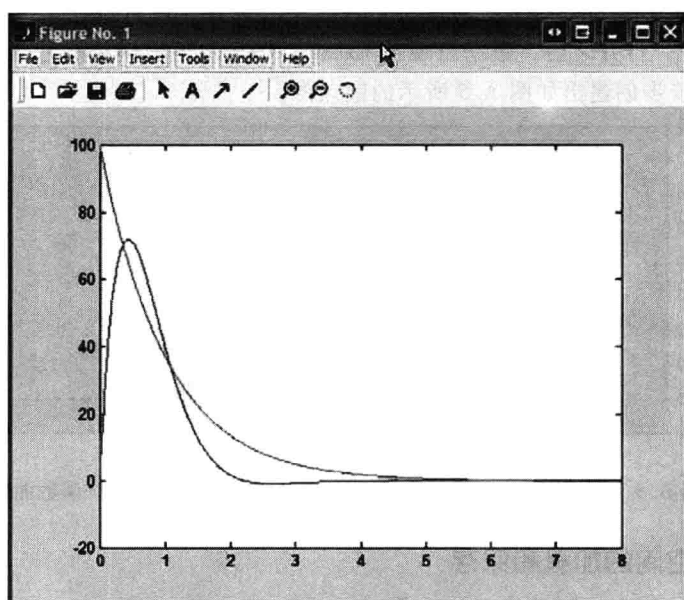


图 A.4 使用 MATLAB “plot” 指令作出的  $f=100e^{-t}$  和  $y=210\sqrt{2}e^{-t}\sin(\sqrt{2}t)$  函数曲线

虽然 MATLAB 提供了很强的做图功能，但是，如果将数据导出到 Microsoft Excel 等其他应用软件，就可以绘制出更专业化的图形。此时，首先要把数据从 MATLAB 中导出，然后导入到 Excel 中。MATLAB 的所有数据都存放在工作空间的各个变量中，各种工具箱（包括 Simulink）都可以通过变量名访问数据。用 MATLAB 的 “who” 或 “whos” 指令可以列出工作空间中存在的所有变量。“who” 指令只列出变量名，而 “whos” 指令在列出变量名时还给出其大小、所用字节数以及变量的类型（即逻辑字符、整数数组、浮点数组等）。

在数据导出之前，先要把数据组合到同一个数组矩阵中，自变量列在前面，后跟对应于自变量数据点上计算得到的各个因变量。例如，如果要导出图 A.3 所示函数的数据， $t$  和  $y$  的值为

```
> > t = linspace(0,8,1000);  
> > y = 297 * sin(1.414 * t) .* exp(-2 * t);
```

记住，此处  $t$  和  $y$  存放成  $1 \times 1000$  的行矢量，因此，必须先将这两个行矢量转置，才能组合成新的数据矩阵 data，即

```
> > data = [t', y'];
```

该 data 矩阵的阶数为  $1000 \times 2$ 。如果如图 A.4 所示还有另外矢量要一起导出，那么，可以用 “data = [t', y', f'];” 指令组合数据。

如果要将数据导出到 ASCII 码文件 “output.txt” 中，并且用制表符 tab 分隔变量的各个数值，那么可以用如下指令：

```
> > save output.txt data-ascii-tabs
```

该文件存放在默认的 MATLAB 子目录 “work” 中。现在, 就可以在 Excel 中打开 “output.txt” 文件了。打开之后, 数据出现在 Excel 工作空间的前两列, 按照做图向导的指示, 就可以一步步创建出如图 A.5 所示的散点图。

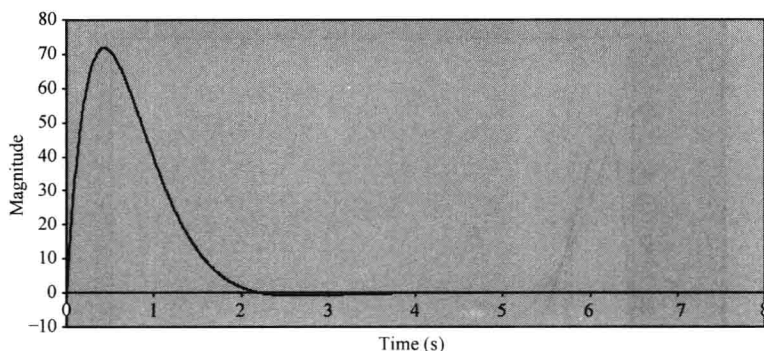


图 A.5 利用 Microsoft Excel 做出的  $y = 210\sqrt{2}e^{-2t}\sin(\sqrt{2}t)$  函数曲线

### A.1.8 工作空间的加载和保存

许多问题可以用 MATLAB 的交互运行方式求解, 也就是在指令行中输入信息, 并按回车键, MATLAB 就会给出表达式的计算结果。如果问题比较复杂, 程序较长, 就要用 m 文件保存程序, 以便以后可以随时调用。用户逐渐精通 MATLAB 之后, 就会经常使用 m 文件来保存 MATLAB 指令、数据和输入输出信息。MATLAB 数据文件的默认扩展名是 “.mat”。

m 文件有多种生成方式。保存工作空间可以生成 m 文件, 或者在 Windows 记事本中输入指令, 再保存为 m 文件, 然后在 MATLAB 中用 “load” 指令加载这些指令。加载时, MATLAB 会计算 m 文件包含的所有表达式。

打开 m 文件的指令是

```
> > load “filename.mat”
```

“save” 指令用于保存工作空间, 如果没有给定文件名, MATLAB 就用默认的文件名 “matlab.mat”。

## A.2 利用 MATLAB 求解微分方程

MATLAB 提供符号数学工具箱, 可以用符号法求解各种微积分问题和代数问题。该工具箱是基于名为 Maple 软件的一组函数运算指令集, Maple 由加拿大 Ontario 的 University of Waterloo 大学开发。与前面所介绍的 MATLAB 指令不同, 这个工具箱指令的运行结果不是数值, 而是符号函数。下面是几个符号函数的例子:

$$\tan(t^2), \frac{d}{dt}(4y^2 + 2y + 4), \int \sin(y)e^{-2y} dy \text{ 和 } 4\dot{y}^2 + 2\dot{y} + 6 = e^{-2t}.$$

符号数学工具箱里的 MATLAB 指令可用于求取函数的微分、积分或者微分方程的精

确符号解。例如，求  $\tan(t^2)$  的导数，就会得到 MATLAB 返回的解  $2t(1 + \tan(t^2)^2)$ 。下面介绍用于本附录例题求解的一些指令。

执行符号运算之前必须先定义所有符号变量。符号变量用 MATLAB 的 “sym” 指令或者 “syms” 指令定义，变量名写在单引号内，例如，以下指令建立符号变量 “y”：

```
> > y = sym('y')
```

不用 “sym” 指令，直接在单引号内写出函数式也可以定义符号变量，如

```
> > f = 'tan(t^2)'
```

```
f =
```

```
tan(t^2)
```

该指令定义了符号变量 “f”，其在内存中保存为 “tan(t^2)”。如果需要定义多个符号变量，就用 “syms” 指令，例如：

```
> > syms w, x, y, z
```

或者写成

```
> > syms('w','x','y','z')
```

这两条指令都定义了 4 个符号变量，它们与用 “sym” 指令分别定义单个变量的结果相同。任何函数如果使用已定义的符号变量，那么，该函数就是符号函数。例如：

```
> > f = tan(y^2)
```

```
f =
```

```
tan(y^2)
```

注意，由于 “y” 已经被定义为符号变量，该 MATLAB 指令中不需要用单引号写成  $f = \tan(t^2)$ 。这些已定义的符号变量 “w”、“x”、“y” 和 “z” 就可以用于求取符号化的计算结果，例如，可以用 MATLAB 指令 “det” 建立如下符号行列式：

```
> > m = [w,x;y,z]
```

```
m =
```

```
[w,x]
```

```
[y,z]
```

```
> > det(m)
```

```
ans =
```

```
w * z - x * y
```

MATLAB 指令 “diff” 和 “int” 分别是符号化的导数运算和积分运算，下面是这两个符号函数的应用示例：

```
> > x = diff('cos(y)')
```

```
x =
```

```
-sin(y)
```

```
> > x = int('sin(y)')
```

```
x =
```

$$-\cos(y)$$

如果 MATLAB 的符号化计算结果难以辨认, 那么, 可以用 “simplify” 指令进行代数化简, 生成比较容易识别的形式。例如

```
> > simplify((x^2 + 7 * x + 12)/(x + 4))
=
x + 3
```

下面大家就会看到, 这条指令在积分和微分运算中很有用。

在 MATLAB “int” 指令中加入积分限, 还可以计算定积分。例如, 以下指令计算

$\int_0^{\pi} \cos(y) dy$  的积分:

```
> > x = int('sin(y)', '0', 'pi')
x =
2
```

积分限并不一定必须是数值, 也可以是符号变量, 例如

```
> > x = int('sin(y)', 'a', 'b')
x =
-cos(b) + cos(a)
```

用 “solve” 指令可以方便地求解符号代数表达式, 例如, 以下指令求解多项式  $x^4 + 14x^3 + 71x^2 + 154x + 120 = 0$  的根:

```
> > solve('x^4 + 14 * x^3 + 71 * x^2 + 154 * x + 120 = 0')
ans =
[ -5]
[ -4]
[ -3]
[ -2]
```

前面已经讲过, 用 “roots” 指令也可以求多项式的根, 即

```
> > p = [1 14 71 154 120];
> > r = roots(p)
r =
-5.0000
-4.0000
-3.0000
-2.0000
```

这两条指令的区别在于 “solve” 指令求根的符号解时不需要给定多项式系数的值。例如, 以下指令可以求解众所周知的二次方程的根:

```
> > syms a b c y x
> > solve('a * x^2 + b * x + c = 0')
```

```
ans =
```

```
[1/2/a * (-b + (b^2 - 4 * a * c) ^ (1/2))]
[1/2/a * (-b - (b^2 - 4 * a * c) ^ (1/2))]
```

为了求解各种动态系统的输出响应，通常要求解包含数个未知变量（如自由响应的各个系数）的系统方程组。例如，假设需要求解  $K_1 + K_2 = 3$  和  $-5K_1 - 3K_2 = 299$  组成的方程组，我们曾经用过矩阵方法，现在也可以用以下“solve”指令求解这个方程组：

```
> > syms k1 k2
> > [k1,k2] = solve('k1 + k2 = 3', '-5 * k1 - 3 * k2 = 299')
k1 =
    -154
k2 =
    157
```

“solve”指令还有许多其他调用方式，读者可以查阅 MATLAB 的帮助信息或者参考其他书籍深入了解该指令的使用方法。

求解常微分方程的 MATLAB 指令是“dsolve”，该指令中用大写字母“D”表示一阶导数，用“D2”表示二阶导数，用“D3”表示三阶导数，依此类推。指令的参数包括微分方程和初始条件，用逗号隔开，并分别写在单引号内。例如，用“dsolve”指令求解如下微分方程在  $t \geq 0$  时的解：

$$\ddot{y} + 4\dot{y} + 3y = 0$$

初始条件为  $y(0) = 1$  和  $\dot{y}(0) = 0$ ，则指令如下

```
> > dsolve('D2y + 4 * Dy + 3 * y = 0', 'Dy(0) = 0', 'y(0) = 1')
ans =
    -1/2 * exp(-3 * t) + 3/2 * exp(-t)
```

MATLAB 的作图函数“ezplot”可以用于显示符号函数曲线，例如，运行指令

```
> > ezplot(y,[0,5])
```

就可以得到如图 A.6 所示的本例题解的曲线，指令中方括号内的参数指定了做图的起点和终点。

如果“dsolve”指令中没有给定初始条件，那么，解就用未知参数表示。例如，以下指令不包含初始条件

```
> > dsolve('D2y + 4 * Dy + 3 * y = 0')
```

返回的解就是

$$C1 * \exp(-t) + C2 * \exp(-3 * t)$$

其中  $C1$  和  $C2$  的值要用初始条件来确定。

例如，用 MATLAB 求解微分方程

$$\ddot{y} + 16000\dot{y} + 10^8 y = 5 \times 10^8 t$$

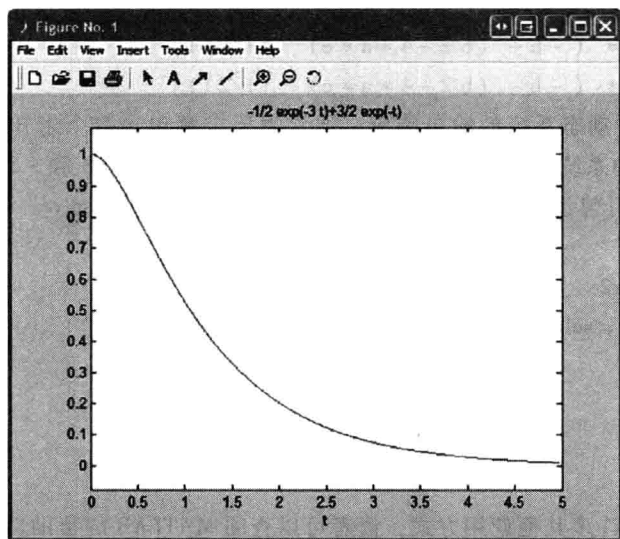


图 A.6 MATLAB 作图函数 “ezplot” 输出的曲线图

初始条件为  $y(0) = 300$  和  $y(0) = -45 \times 10^{-3}$ , 则

```
>> dsolve('D2y + 16000 * Dy + 10^8 * y = 5 * 10^8 * t',  
          'Dy(0) = 300', 'y(0) = -45 * 10^(-3)')
```

ans =

```
- 1/1250 + 5 * t - 293/30000 * exp(- 8000 * t) *  
sin(6000 * t) - 221/5000 * exp(- 8000 * t) * cos(6000 * t)
```

利用 “dsolve” 指令也可以求解微分方程组, 只要将方程组中的每个方程和初始条件都分别列在参数项中, 用单引号括起来, 并用逗号隔开就可以了。例如, 如果要求解以下方程组:

$$5\dot{y}_2 + 10\dot{y}_1 + 60y_1 = 300u(t)$$

$$5\dot{y}_2 + 40y_2 + 5\dot{y}_1 = 0$$

$t = 0$  时的初始条件为 0。则 MATLAB 指令为

```
>> [x, y] = dsolve('5 * Dy + 10 * Dx + 60 * y = 300',  
                  '5 * Dy + 40 * y + 5 * Dx = 0', 'x(0) = 0', 'y(0) = 0')
```

x =

```
- 45 + 45 * exp(12/17 * t)
```

y =

```
- 5 * exp(12/17 * t) + 5
```

求解微分方程组时, 偶尔 MATLAB 也会出错, 因此, 要通过做图显示、初始条件和终止条件的验证或者用 Simulink 仿真, 仔细核实结果的正确性。

### A.3 框图与 Simulink 仿真

如前所述, 求解微分方程和微分方程组的工作量都很大。由上节可知, MATLAB 的符号数学工具箱提供了一种方便的求解方法, 但是, 有时它并不能给出正确的解。本节我们将介绍利用 MATLAB 的另一个工具箱 Simulink 来求解线性微分方程和非线性微分方程数值解的方法。对于非线性微分方程组, 通常只能用 Simulink 求解。为了利用 Simulink 计算数值解, 首先必须将系统方程画成框图。

#### A.3.1 框图

框图是系统微分方程的图形表示, 它用常数、增益、加法器和积分器等基本数学运算来表示方程。处理非线性元件时, 可以建立包含二次方根、指数和对数等数学函数的特殊模块。如图 A.7 所示是框图的基本元件。

创建框图时, 首先, 将输出变量的最高阶导数项放在等式左边, 把其余项都放在等式右边。然后, 将等式右边各项都连接到代表等式这一边的一个加法器上, 加法器的输出就是等式的左边。在加法器的输出上添加足够的积分器, 把最高阶导数降为输出变量 (如  $\frac{d^3 y}{dt^3}$  需要 3 个积分器等)。最后, 通过增益模块将输出变量及其各阶导数反过来连接到加法器上。如果存在输入信号, 就将它们也添加到加法器上。输入可以是常数模块表示的单位阶跃函数, 或者是  $t$ 、 $e^{-t}$  等函数模块。

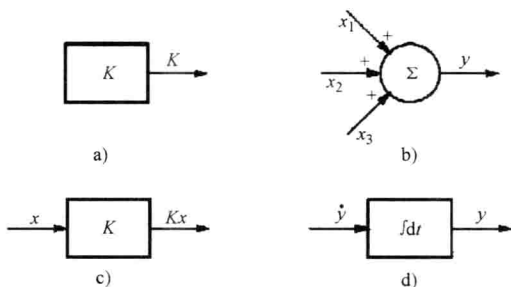


图 A.7 框图的基本元件

a) 常数模块 b) 加法器 c) 增益模块 d) 积分器

#### 例 A.6

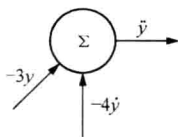
请画出方程  $\ddot{y} + 4\dot{y} + 3y = 0$  的框图。

解:

首先, 将微分方程重排为

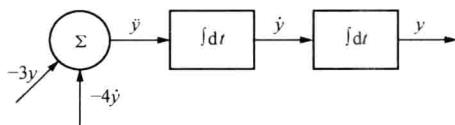
$$\ddot{y} = -4\dot{y} - 3y$$

再做出框图的加法器如下:

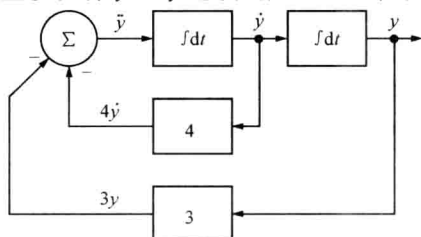


然后, 如下所示, 在加法器的输出上添加两个积分器, 得到  $\dot{y}$  和  $y$ :





最后, 如下所示, 通过增益模块将  $\dot{y}$  和  $y$  连接到加法器上, 框图就完成了。



用这种方法也可以建立微分方程组的框图, 就是分别画出每个微分方程的框图, 并把输出变量及其各阶导数连接到相应的加法器上。

### 例 A.7

请画出如下微分方程组的框图:

$$3\ddot{y}_1 + 10\dot{y}_1 + 60y_1 + 5y_2 = f(t)$$

$$5y_1 + 4\ddot{y}_2 + 5\dot{y}_2 + 40y_2 = 0$$

其中  $f(t)$  为未确定的输入函数。

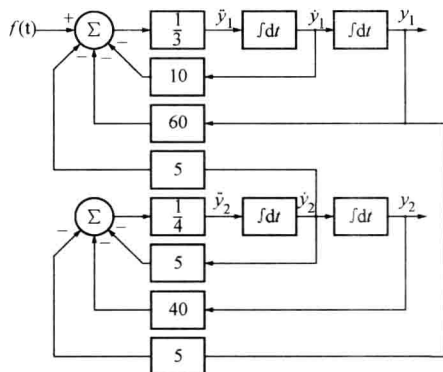
解:

首先, 求各方程的最高阶导数, 即

$$\ddot{y}_1 = \frac{1}{3}(-10\dot{y}_1 - 60y_1 - 5y_2 + f(t))$$

$$\ddot{y}_2 = \frac{1}{4}(-5y_1 - 5\dot{y}_2 - 40y_2)$$

建立框图时, 先画出两个加法器, 它们的输出分别是  $\ddot{y}_1$  和  $\ddot{y}_2$ , 再在每个输出变量之后添加两个积分器; 然后, 通过相应的增益元件将两个方程右边的各项添加到加法器的输入上, 就完成了如下所示的框图。



## A.4 Simulink 仿真工具箱

Simulink 是 MATLAB 的一个工具箱，可用于仿真各种连续和离散的线性和非线性动态系统。下面根据上一节所介绍的系统方程的框图，在 Simulink 中通过拖拉和连接模块来建立 Simulink 的仿真模型，并运行仿真程序，做图输出结果，或将输出结果传送给 MATLAB。

启动 Simulink 时，先打开 MATLAB，在指令窗中键入小写“simulink”，就可以打开如图 A.8 所示的另一个包含各种 Simulink 仿真图标窗口。然后，选择菜单栏中“File”菜单下的“New”和“Model”项，这样，又打开一个新的窗，它就是图 A.9 所示的用于建立模型的 Simulink 工作空间。图 A.8 所示的各种图标代表用于仿真建模的基本模块的子系统，每个子系统含有一组模块，构成模块库，模块库是功能类似的模块组合。

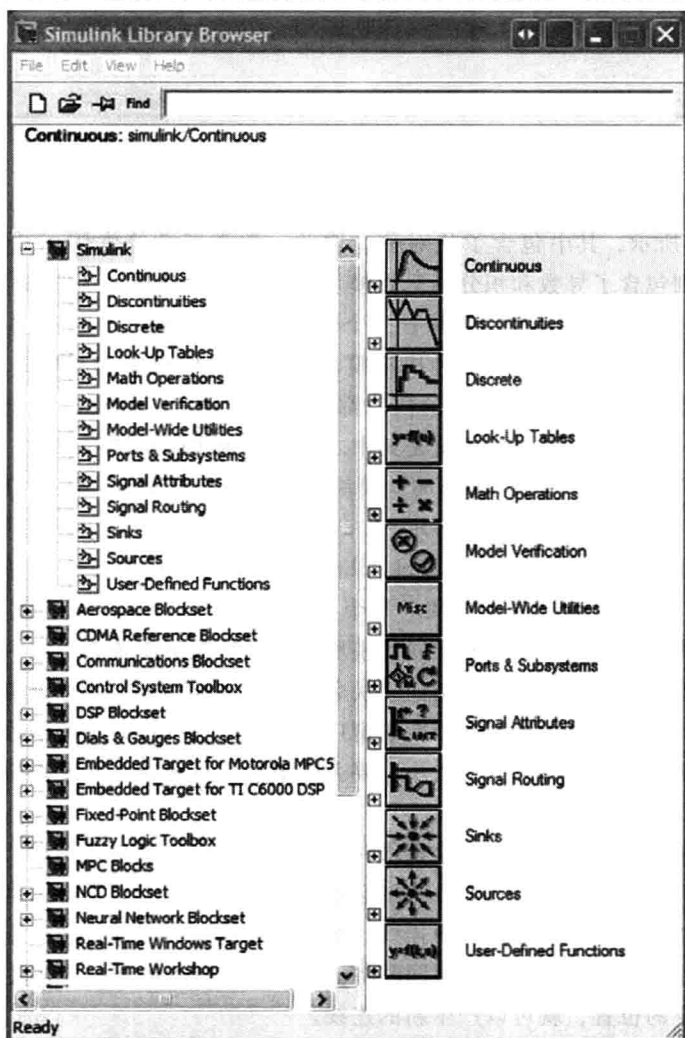


图 A.8 Simulink 模块库（右边）和 MATLAB 工具箱（左边）

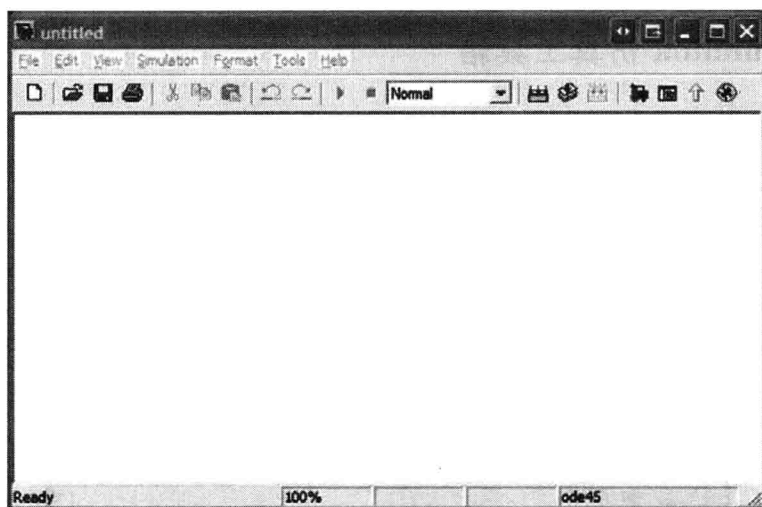


图 A.9 用于建立仿真模型的 Simulink 工作空间

双击图标可以打开模块库，例如，双击数学运算“Math Operations”模块库打开的窗口如图 A.10 所示，其中包含了绝对值、增益、数学函数等常用运算。连续模块库“Continuous”则包含了导数和积分等运算模块。信号源模块库“Sources”包含了常数、时钟、阶跃函数等模块，这些模块都有一个输出，但没有输入。时钟“clock”模块的输出变量是当前仿真时间，它在各种决策模块的应用中以及向 MATLAB 输出变量时都很有用。接收器模块库“Sinks”中的模块都只有一个输入，却没有输出。例如，用于显示变量随时间变化的示波器模块就是其中之一，就像实际示波器一样。这个模块库中还有一个重要的模块是“To Workspace”模块，它可以将变量传送到 MATLAB 的工作空间中，以便进一步分析处理和做图显示。

直接将 Simulink 库浏览器“Simulink Library Browser”窗中的模块拖拉到图 A.9 所示的工作空间中，就可以复制各种模块。每个模块放到工作空间之后，就有了特定的名称，显示在模块下方。如果有多个相同的模块，其名称就是模块名后加一个整数。模块内部还有一个模块标识符。将鼠标指向模块名，单击鼠标左键，就可以编辑模块名。双击工作空间中的模块，可以打开一个新的窗口，用于设置模块的各种参数。用鼠标选中模块并按住左键拖动，可以改变其大小。要去除模块，只要选中并删除即可。用复制和粘贴操作还可以方便地复制模块。

模块之间用线段连接。连接两个模块时，将鼠标指向一个模块的输出端（即“>”处），按下鼠标键并将光标拖动到另一个模块的输入端（即“<”处）。如果连线不对，就用鼠标选中并删除即可。如果选中连线，按住鼠标左键，可以将连线拖拉成所需的形状。也可以将连线分支，按住 Ctrl 键同时将鼠标指向需分支的连线，按住鼠标左键，将光标拖拉到想要的位置，就可以产生新的连线。

图 A.11 上方显示了一个正弦波发生器、一个积分器和一个示波器组成的仿真模

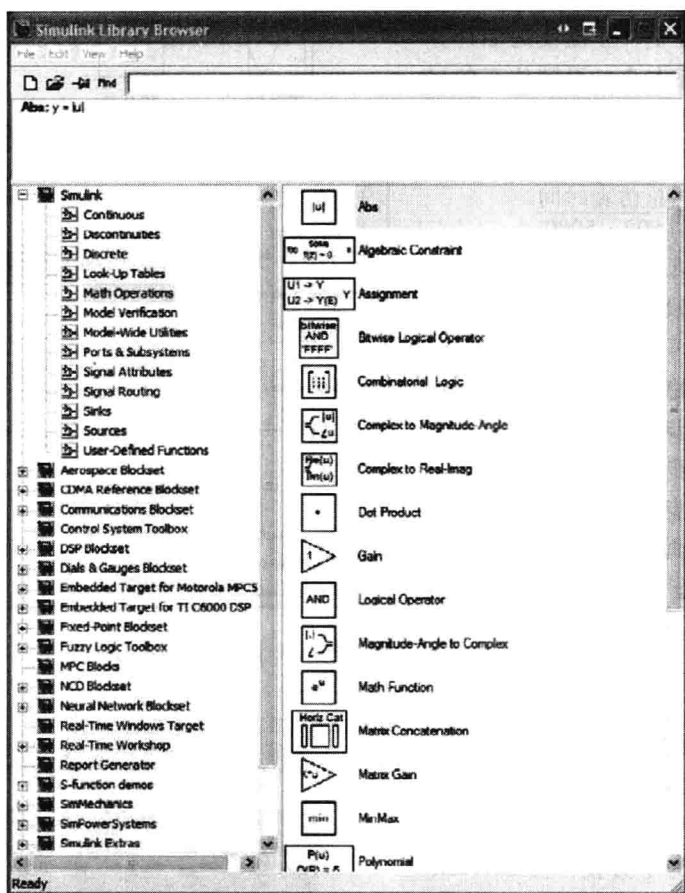


图 A.10 Simulink 的数学运算模块库

型，其中，正弦波的输出连接到积分器的输入，积分器的输出连接到示波器的输入。双击正弦波发生器可以显示图 A.11 中间所示的该模块的参数，双击示波器则显示图 A.11 下方所示的图形。示波器是一个很好的调试工具，可用于验证仿真输出是否正确，但是其图形质量和做图功能远不如 MATLAB 和 Excel。

Simulink 模型建好后，就可以执行仿真，计算某段仿真时间上的所有输入和输出。在运行仿真之前，先要单击菜单上的“Simulation”项，选择下拉菜单中的“Simulation Parameters”项，设置仿真参数。图 A.12 所示是仿真参数窗口中的默认设置，许多简单仿真可以直接使用这些默认参数。显然，停止时间“Stop time”应该至少设为 5 个（主导）时间常数的值，起始时间可以设成合适的值。大多数仿真都可以使用默认的仿真算法 ode45（即 Dormand-Prince 公式），这种算法是最佳首选，它在计算下一个状态的输出值时只需用到当前的输出值。

仿真的运行可以用固定步长求解器或者用变步长求解器。固定步长求解器从起始时

间开始，采用等间隔时间步长来计算。步长要足够小，才能使近似计算有效；但也不能太小，否则仿真的运行时间会太长而得不到结果。经验准则是：先设定

$$\text{步长} = \frac{\text{总仿真时间}}{500 \sim 5000}$$

然后，将步长减小为原步长的 1/10，如果仿真输出没什么变化，就保持该步长；否则再减小为该步长的 1/10，直到输出稳定为止。变步长算法会自动调整步长，当输出变化较快时，就减小步长；当输出变化较慢时，就增加步长。变步长仿真通常可以节省仿真的计算时间，加快仿真速度。选择仿真菜单中的“Start”指令或者单击运行图标，就可以开始运行仿真。

Simulink 模型建立之后，选择“File”菜单中的“Save”或者“Save as”选项可以保存模型。一般仿真模型都有一些参数，每次仿真时参数的取值会不同。为了方便，在 MATLAB 中定义参数比较好，例如， $K = 5$ ， $M = 3$  等，这样就可以把参数值保存在 m 文件中。此后，只要在 MATLAB 中打开 m 文件就可以将这些参数用于 Simulink 模型。如果要打印 Simulink 模型，选择“File”菜单中的“Print”指令，或者选择“Edit”菜单中的“Copy Model to Clipboard”指令并将模型粘贴到 Microsoft Word 等其他应用软件中。

例 A.8

请仿真例 A.7 所示系统的输出响应，假设初始条件为 0，输入  $f(t)$  为  $t = 0$  时刻的一个脉冲函数，脉冲幅值为 120，宽度为 10。

解：

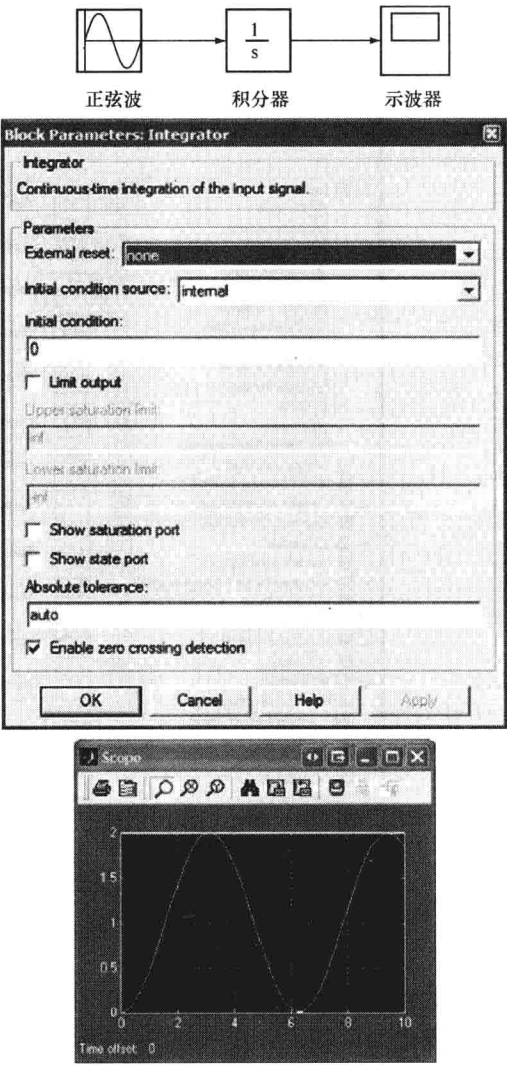


图 A.11 Simulink 仿真模型示例

注：上图为 Simulink 模块图；中图为积分器模块的参数；下图为示波器模块的输出。

建立 Simulink 仿真模型时最好先画出框图。例 A.7 已经建好了本题的框图：将最高阶导数放在等式左边，其余项放在等式右边；用加法器完成等号功能，用积分器去除导数项，并且用增益模块作为反馈元件。Simulink 模型基本上与该框图相同。

创建 Simulink 模型时，进入 Simulink，打开其工作空间，并打开所需的模块库，然后拖拉图标创建模型。最终的 Simulink 模型如下图所示。下面详细介绍如何建立该模型。

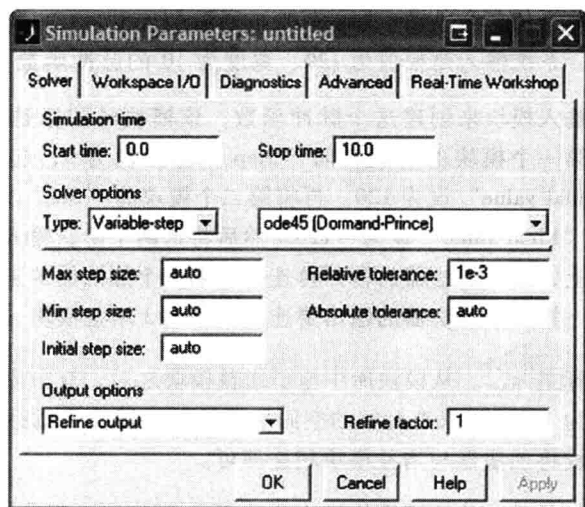
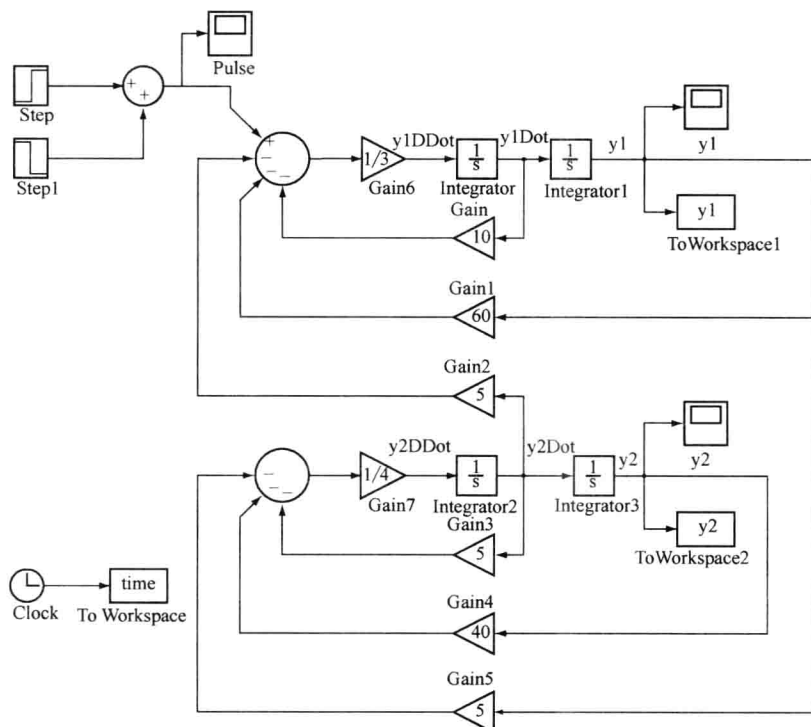




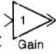
图 A-12 Simulink 的仿真参数窗



开始时，先添加数学运算模块库中的加法器模块，加法器图标为。双击模块打开其参数设置窗口，可以将该模块默认的圆形改变成长方形，也可以通过添加“+”号或“-”号来增加输入端口的数目。本例题的第一个方程有4个元件要连接到加法器上，1个正的输入元件和3个负的反饋元件，因此，去掉默认加法器中的一个正输入

端并添加 3 个负输入端, 就变成了 .

系统输入是幅值为 120、宽度为 10 的脉冲函数, 这里用信号源模块库中的两个阶跃输入模块来创建这个脉冲函数, 该模块的图标是 。双击模块打开参数设置窗口, 将第一个模块的阶跃时间“Step Time”设为 0, 起始值“Initial value”设为 0, 终值“Final value”设为 120。再将第二个模块的“Step Time”设为 10, “Initial value”设为 0, “Final value”设为 -120。然后将这两个阶跃输入模块的输出都连接到一个新的加法器上, 这个加法器的输出再连接到第一个加法器的正输入端。

第一个加法器的输出要连接一个  $1/3$  增益模块。增益模块在数学运算模块库里, 其图标是 。从模块库中拖出增益模块之后, 双击模块打开其参数设置窗口, 将增益值设为  $1/3$ 。如果有足够的空间用于显示, 模块中就标出增益值, 否则就显示“-k-”。用直线将加法器与增益模块相连即可。

然后, 从连续模块库中拖出两个积分器, 积分器上标有  $\frac{1}{s}$ , 它表示积分运算的拉普拉斯变换。有时, 积分器需要非 0 初始值, 本例中并非如此。如果要设置积分器的初始值, 就双击模块打开其参数设置窗口, 积分器的默认初始值为 0。紧跟加法器之后的增益模块的输出连接到第一个积分器的输入端, 第一个积分器的输出再连接到第二个积分器的输入端。最好给每个积分器的输出加上标签, 单击工作空间任意空余的地方就可以添加标签。一种较方便的表示方式是将  $y_1$  标为“y1DDot”, 将  $y_2$  标为“y1Dot”, 依此类推。

再从数学运算模块库中拖出 3 个增益模块。为了将增益模块转个方向, 选中模块, 连续按“Ctrl-R”键两次就可以将其旋转  $180^\circ$ , 每按一次反时针方向旋转  $90^\circ$ 。分别双击 3 个模块可以将它们的增益值分别设定为 10、60 和 5。将各个积分器的输出连接到相应增益模块的输入端时, 按下“Ctrl”键并单击鼠标左键可以将连线分支。再将各个增益模块的输出连接到加法器上。注意, 在建立第二个方程的模型之后,  $y_2$  项才能连接到 Gain2 增益模块上。

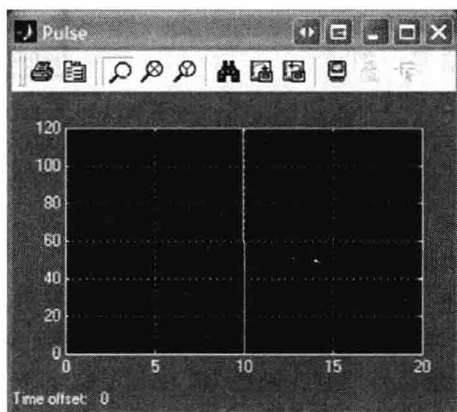
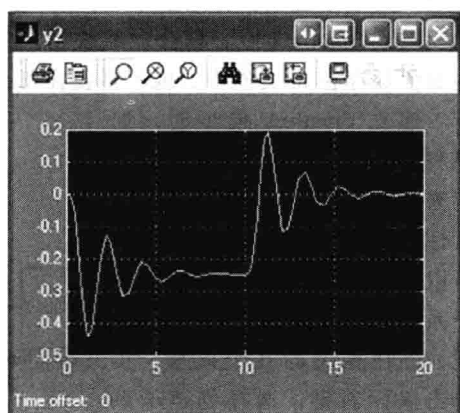
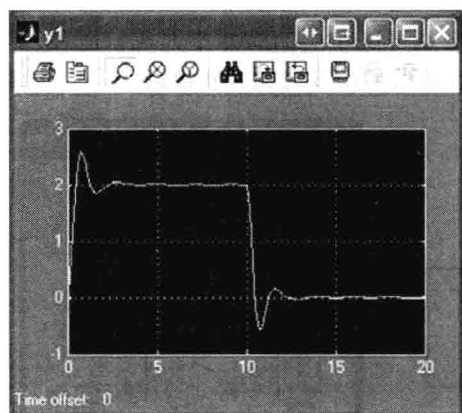
用同样的步骤可以建立第二个方程的模型。注意, Gain2 模块的输入是  $y_2$ , 而 Gain5 模块的输入是  $y_1$ 。

为了显示输出结果, 再添加接收器模块库中的两个示波器模块, 双击名称标签, 将它们分别改为“y1”和“y2”, 以便于区分。双击示波器图标可以打开一个新的窗口用于显示输出变量的曲线。最好在输入脉冲处也加一个示波器, 以便于确认输入信号是否正确。示波器图形窗菜单上的望远镜图标可用于自动调节图形的大小。

来自信号源模块库的时钟模块“Clock”用于获取每一步仿真之后的仿真时间。为了将 Simulink 的仿真数据传送到 MATLAB 的工作空间做进一步处理和做图显示, 还用了接收器模块库的“To Workspace”模块。本例一共用了三个“To Workspace”, 分别传送变量  $y_1$ 、 $y_2$  和时间。“To Workspace”模块使用的默认变量名是“simout1”(第一个

变量)、“simout2”(第二个变量)等。双击模块可以方便地修改这些变量名,使用  $y_1$ 、 $y_2$  和 Time 等具有含义的变量名。此外,模块的保存格式“Save format”应该改为数组“Array”,采样时间“Sample Time”则设置成可以提供足够多数据点的数值。本例中,如果仿真时间设为 20,采样时间设为 0.2,那么, MATLAB 工作空间中的每个变量就会有 100 个数据点。数据传送到 MATLAB 工作空间之后,就可以用于处理和显示,例如,用“plot(Time,  $y_1$ )”指令作图等。

最后一步是打开仿真参数设置窗口,将“Stop time”设为 20,并单击运行按钮,下面这些图显示了 3 个示波器的输出结果。



有时,需要采用不同的模型参数进行仿真计算,以便考察模型的性能。本例模型的各个模块参数必须逐个调整。如果模型包含有数百个参数,那么,调整参数的工作量就非常大。此时如果在 MATLAB 中输入参数值,模型仿真中用参数名,而不是参数值,就要方便多了。例如,在 MATLAB 中输入如下信息:

```
> > PulseGain = 120;  
> > PulseDuration = 10;
```



```

> > Gain = 10;
> > Gain1 = 60;
> > Gain2 = 5;
> > Gain3 = 5;
> > Gain4 = 40;
> > Gain5 = 5;
> > Gain6 = 1/3;
> > Gain7 = 1/4;

```

然后, 每个增益模块都用参数名, 而不是参数值。MATLAB 中参数值的任何变动都会自动反映到 Simulink 中。积分器模块初始值的设定也可以在 MATLAB 中完成。而且, 把初始值保存在 m 文件中, 就不需要在每次重新启动 MATLAB 时键入参数值了。 ■

建立 Simulink 模型时, 如果利用子系统把多个模块组合起来, 就可以增强模型图的可读性。例如, 上述例题 A. 8 中可以将脉冲输入信号画成一个子系统, 只要用鼠标拉出一个框, 围住相关的几个模块, 再单击鼠标右键, 选择创建子系统 “Create subsystem” 即可。子系统的输入和输出就是所选模块的那些相应信号。图 A. 13 显示了脉冲信号子系统及其与模型其余部分的连接。双击子系统模块可以打开其窗口, 显示子系统中各个模块, 其中子系统的输出用 Out1 模块表示。

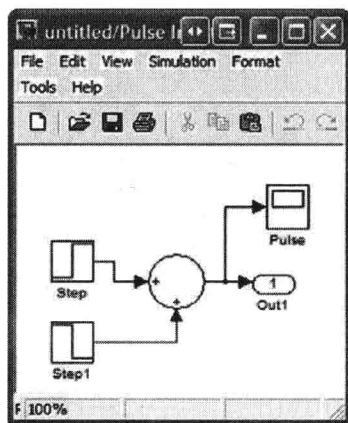
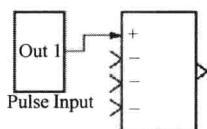


图 A. 13 Simulink 的子系统

注: 左图: 脉冲输入信号的子系统。右图: 双击子系统打开的新窗, 显示子系统所包含的模块。

“Math Function” 和 “Fcn” 这两个模块在仿真中很有用。“Math Function” 来自数学运算模块库, 利用它可以方便地通过下拉菜单输入指数、对数、幂函数等多种数学函数。例如, 如果输入变量名为 “u”, 函数为 “exp”, 就得到 “exp (u)”。模块上的标签就是数学函数。“Fcn” 来自用户自定义函数 “User-Defined Functions” 模块库, 用它输入各种表达式。设输入变量名还是 “u”, “Fcn” 模块可以使用任何加、减、乘、除等代数运算, 以及正弦、余弦、指数、幂等数学函数, 也可以使用任何 MATLAB 参数来定义表达式。例如, 表达细胞膜钾离子通道的电导要用表达式  $\bar{g}_k n^4$ , 其中  $\bar{g}_k$  是常数,  $n$  是随膜电压和时间变化的速率常数。在 Simulink 中用 “Fcn” 模块, 将其参数设置成 “Gkbar \* u^4”, 其中 “Gkbar” 的值在 MATLAB 中定义, “u” 是模块的输入, 代表  $n$  (参见本书第 12 章)。

系统仿真时,某些参数的取值可能随着阈值条件而变化。例如,在扫视眼动系统中(参见本书第13章),主动肌的输入信号  $F_{ag}$  是一个经过低通滤波的脉冲-阶跃信号,可以用如下方程描述:

$$\dot{E}_{ag} = \frac{N_{ag} - F_{ag}}{\tau_{ag}}$$

其中,  $N_{ag}$  为神经控制输入信号(即脉冲-阶跃波),并且

$$\tau_{ag} = \tau_{ac} [u(t) - u(t - t_1)] + \tau_{de} u(t - t_1)$$

其中  $\tau_{ag}$  是随时间变化的时间常数函数,它由激活时间常数  $\tau_{ac}$  和去激活时间常数  $\tau_{de}$  构成。如图 A.14 所示,建立这个子系统时,我们用了信号路由“Signal Routing”模块库中的开关“Switch”模块,并用时钟模块“Clock”监测仿真时间。仿真开始时,使用时间常数  $\tau_{ac}$ ; 当仿真时间大于  $t_1$  时,达到阈值,开关就切换到时间常数  $\tau_{de}$ 。图 A.14 的其余模块用于求解  $F_{ag}$ 。

有关 Simulink 的其他功能,请读者参考其帮助菜单。

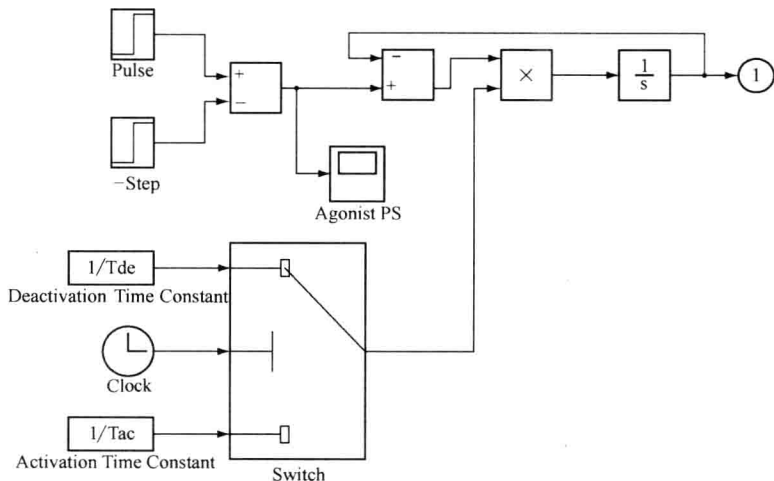


图 A.14 时间常数随时间变化的低通滤波器模型

## 国际信息工程先进技术译丛

- 《生物医学工程学概论》(原书第3版)
- 《数值方法在生物医学工程中的应用》
- 《信号统计分析方法——生物医学和电气工程应用指南(原书第3版)》
- 《医疗电子仪器的设计与开发》
- 《电生理学方法与仪器入门》
- 《自主式传感器系统的能量收集——设计、分析以及实践应用》
- 《基于视觉的自主机器人导航》
- 《无线神经接口的超低功耗集成电路设计》
- 《基于片上去耦电容的配电网络》(原书第2版)
- 《智能摄像机》
- 《车载系统和安全的数字信号处理》
- 《嵌入式系统设计——嵌入式信息物理系统基础》(原书第2版)
- 《纳米封装——纳米技术与电子封装》
- 《内容分发网络》
- 《全面的功能验证:完整的工业流程》
- 《无线Mesh网络架构与协议》
- 《UMTS蜂窝系统的QoS与QoE管理》
- 《半导体制造与过程控制基础》
- 《WCDMA原理与开发设计》
- 《下一代移动系统:3G/B3G》
- 《IMS:IP多媒体概念和服务》(原书第2版)
- 《下一代无线系统与网络》
- 《深入浅出UMTS无线网络建模、规划与自动优化:理论与实践》
- 《HSDPA/HSUPA技术与系统设计——第三代移动
- 《通信系统宽带无线接入》
- 《无线传感器及元器件:网络、设计与应用》
- 《印制电路板——设计、制造、装配与测试》
- 《IPTV与网络视频:拓展广播电视的应用范围》
- 《多电压CMOS电路设计》
- 《微电子技术原理、设计与应用》
- 《蜂窝网络高级规划与优化2G/2.5G/3G/...向4G的演进》
- 《基于蜂窝系统的IMS——融合电信领域的VoIP演进》
- 《无线网络中的合作原理与应用》
- 《电生理学方法与仪器入门》
- 《移动电视:DVB-H、DMB、3G系统和富媒体应用》
- 《环境网络:支持下一代无线业务的多域协同网络》
- 《基于射频工程的UMTS空中接口设计与网络运行》
- 《未来UMTS的体系结构与业务平台:全IP的3G CDMA网络》
- 《UMTS-HSDPA系统的TCP性能》
- 《宽带无线通信中的空时编码》
- 《数字图像处理》(原书第4版)



ISBN 978-7-111-45878-4



9 787111 458784 >

上架指导 工业技术 / 生物医学

ISBN 978-7-111-45878-4

定价: 168.00元